

Bretagne, Ille-et-Vilaine, Cesson-Sévigné

## LGV Le Mans/Rennes secteur 1 La Salmondière

# Occupation diachronique du Bronze final au haut Moyen Âge



sous la direction de :

**Jean-Claude Durand**

Inrap Grand Ouest  
37 rue du Bignon CS 67737  
35577 Cesson Sévigné Cedex  
Tel. 02 23 36 00 40, grand-ouest@inrap.fr

Août 2015



Bretagne, Ille-et-Vilaine, Cesson-Sévigné

## LGV Le Mans/Rennes secteur 1 La Salmondière

# Occupation diachronique du Bronze final au haut Moyen Âge

sous la direction de :

avec la collaboration de :

par :

**Jean-Claude Durand**

Sandrine Barbeau

Vérane Brisotto

Anne-Françoise Cherel

Anna-Maria Desiderio

Bernard Gratuze

Françoise Labaune-Jean

Alexandre Monnier

Hervé Morzadec

Hélène Seignac

Laure Simon

Julian Wiethold

Nolwenn Zaour

Laurent Aubry

Kévin Bideau

Florian Bonhomme

Solenn Briand

Julie Cosseron

Tristan David

Claire Dupin

Yoann Escats

Adrien Etienvre

Quentin Favrel

Marion Foucher

Frédérique Gorain

Aurélie Guesnon

Gwendal Jouon des Longais

Joseph Le Gall

Hugo Le Guennic

Gildas Le Marchand

Loïc Leday

Philippe Millier

Anne-Sophie Paranthöen-Alaoui

Adeline Richard

Aude Valérien

Inrap Grand Ouest  
37 rue du Bignon CS 67737  
35577 Cesson Sévigné Cedex  
Tel. 02 23 36 00 40, grand-ouest@inrap.fr

Août 2015

# Sommaire

## Données administratives

6	<b>Fiche signalétique</b>
7	<b>Mots-clés des thesaurus</b>
8	<b>Intervenants</b>
11	<b>Notice scientifique</b>
14	<b>Arrêté de prescription</b>
20	<b>Projet de fouille</b>
34	<b>Arrêté d'autorisation de fouille</b>
39	<b>1. Contexte général</b>
39	<b>1.1. Introduction</b>
41	<b>1.2. Les contextes de l'intervention</b>
41	<b>1.2.1. Contexte topographique et géologique</b>
44	<b>1.2.2. Contexte archéologique et historique</b>
46	1.2.2.1. Le cadastre récent
48	1.2.2.2. Le cadastre napoléonien de 1820
49	<b>1.3. Les objectifs de la fouille</b>
49	<b>1.3.1. Les contraintes</b>
50	<b>1.3.2. Le décapage</b>
51	<b>1.3.3. La fouille</b>
51	<b>1.3.4. La post-fouille</b>

## Résultats

54	<b>2. Les occupations archéologiques</b>
54	<b>2.1. L'occupation du Bronze final</b>
54	<b>2.1.1. Présentation</b>
59	<b>2.1.2. Les constructions</b>
59	2.1.2.1. Les habitations
60	2.1.2.2. Les greniers
71	<b>2.1.3. Les mobiliers par Anne-Françoise Cherel</b>
71	2.1.3.1. La céramique
72	2.1.3.2. La perle en pâte de verre
74	2.1.3.3. Le tranchet à soie en bronze
74	2.1.3.4. Le peson ou contre-poids
76	<b>2.1.4. Étude d'une perle annulaire en verre bleu par Bernard Gratuze</b>
76	2.1.4.1. La méthode d'analyse utilisée
77	2.1.4.2. La composition des objets protohistoriques de parure en verre et en faïence d'Europe occidentale
79	2.1.4.3. Le matériel étudié
79	2.1.4.4. Résultats
80	2.1.4.5. L'origine des petites perles annulaires en verre bleu des sites de l'âge du Bronze final du l'est de la France
82	<b>2.2. L'occupation du II<sup>e</sup> âge du Fer</b>
82	<b>2.2.1. Présentation générale</b>
82	<b>2.2.2. Chronologie</b>
82	<b>2.2.3. Les chemins</b>
82	2.2.3.1. Le chemin 1
86	2.2.3.2. Le chemin 2
87	<b>2.2.4. Ensemble 1</b>
87	2.2.4.1. L'enclos E1
130	2.2.4.2. L'enclos E2
148	2.2.4.3. Le système d'entrée
150	2.2.4.4. L'enclos E4
159	2.2.4.5. L'enclos E3
211	<b>2.2.5. Ensemble 2</b>
211	2.2.5.1. L'enclos E6

239	2.2.5.2. L'enclos E7
252	<b>2.2.6. Étude céramique protohistorique par A.-F. Cherel et A. Monnier</b>
252	2.2.6.1. Méthode
253	2.2.6.2. Données générales
253	2.2.6.3. Décors
254	2.2.6.4. Typologie et comparaisons régionales
255	2.2.6.5. Observations complémentaires
256	2.2.6.6. Horizons
256	2.2.6.7. Phasage
259	2.2.6.8. Bilan
267	<b>2.2.7. Phasage du site pour la période gauloise</b>
267	2.2.7.1. Première phase
268	2.2.7.2. Deuxième et troisième phases du IIIe au Ier siècle av.J.-C.
270	<b>2.3. L'occupation gallo-romaine du site de La Salmondière à Cesson-Sévigné</b>
270	<b>2.3.1. A la fois continuité avec la phase précédente et restructuration</b>
270	<b>2.3.2. Organisation spatiale du nouveau domaine</b>
270	2.3.2.1. Chemin 3
273	2.3.2.2. Chemin 4
280	2.3.2.3. L'enclos gallo-romain
290	2.3.2.4. Le parcellaire antique
332	2.3.2.5. La zone de forge
353	<b>2.3.3. Étude céramique antique par L. Simon (avec la collaboration de R. Delage)</b>
353	2.3.3.1. Données générales
355	2.3.3.2. Commentaire des structures ayant livré du mobilier céramique significatif
362	<b>2.3.4. Le verre</b>
366	<b>2.4. L'occupation médiévale du site de La Salmondière à Cesson-Sévigné</b>
366	<b>2.4.1. Données générales</b>
366	<b>2.4.2. Chemin 5</b>
370	<b>2.4.3. Enclos médiéval 1</b>
385	<b>2.4.4. Enclos 2</b>
390	<b>2.4.5. Enclos 3</b>
393	<b>2.4.6. Étude du mobilier du haut Moyen Âge Par Françoise Labaune-Jean</b>
393	2.4.6.1. La composition des lots et le traitement
393	2.4.6.2. Présentation des lots (PL. 25)
396	<b>2.5. Étude métallurgique par S. Barbeau et N. Zaour</b>
396	<b>2.5.1. La chaîne opératoire de la production du fer :</b>
396	<b>2.5.2. La paléométallurgie</b>
397	2.5.2.1. Protocole d'analyse métallurgique
398	2.5.2.2. Typologie et assemblage des déchets métallurgiques à Cesson – La Salmondière
398	2.5.2.3. Les produits métalliques
401	<b>2.5.3. Cesson-La Salmondière – la phase antique (fig. 295)</b>
406	<b>2.6. Étude du mobilier métallique par S. Barbeau</b>
406	<b>2.6.1. Pour la période de l'âge du Fer</b>
411	<b>2.6.2. Pour la période antique</b>
416	<b>2.7. Le matériel de mouture et de broyage de La Salmondière à Cesson- Sévigné par V.Brisotto et H. Morzadec)</b>
416	<b>2.7.1. L'occupation gauloise</b>
419	<b>2.7.2. L'occupation antique</b>
419	<b>2.7.3. L'occupation du haut-Moyen-Âge</b>
419	<b>2.7.4. Les autres individus provenant de structures non datées ou incertaines</b>
421	<b>2.8. Etude anthracologique du site archéologique de « La Salmondière », Cesson-Sévigné (Ille-et-Vilaine) par H. Seignac INRAP Bretagne</b>

421	<b>2.8.1. Introduction</b>
422	<b>2.8.2. Matériel et Méthode</b>
422	2.8.2.1. Principe de l'étude anthracologique
422	2.8.2.2. L'examen dendrologique
423	<b>2.8.3. Résultats d'analyse</b>
423	2.8.3.1. Résultats anthracologiques des échantillons prélevés dans la structure de combustion gauloise 1666
426	2.8.3.2. Résultats anthracologiques des échantillons prélevés dans la zone de forge antique
431	2.8.3.3. Résultats anthracologiques de l'échantillon prélevé dans la fosse 2035
432	<b>2.8.4. Interprétation et discussion</b>
432	2.8.4.1. Essai d'une approche paléoécologique
434	2.8.4.2. Les bois utilisés comme combustible pour l'activité de forge. Données paléoethnographiques et comparaisons pour la période gallo-romaine
436	<b>2.9. Etude d'un stock d'orge vêtue (<i>Hordeum vulgare</i> ssp. <i>vulgare</i>) de La Tène ancienne par A.-M. Desiderio et J. Wiethold</b>
436	<b>2.9.1. Introduction</b>
436	<b>2.9.2. L'état de la recherche carpologique dans l'Ouest de la France et dans les autres villes. Comparaison régional</b>
438	<b>2.9.3. Mode de conservation</b>
439	<b>2.9.4. Choix de prélèvements, traitement technique et conservation de restes végétaux</b>
439	<b>2.9.5. Méthodologie du traitement des refus de tamis</b>
440	<b>2.9.6. Datation des macro-restes végétaux</b>
441	<b>2.9.7. Les résultats carpologiques</b>
442	<b>2.9.8. Discussion des résultats et interprétations</b>
446	<b>3. Synthèse</b>
447	<b>3.1. Environnement</b>
447	<b>3.2. Chronologie</b>
448	<b>3.3. Phasage du site et spatialité</b>
448	<b>3.4. Réseau viaire</b>
450	<b>3.5. Gestion de l'eau</b>
451	<b>3.6. Activités</b>
452	<b>Conclusion</b>
456	<b>Bibliographie</b>
470	<b>Table des illustrations</b>
475	<b>Listing des tableaux</b>
476	<b>Annexes</b>

## Inventaires techniques

519	<b>Inventaire et datation des structures</b>
583	<b>Inventaire des mobiliers</b>
614	<b>Inventaire des prélèvements</b>
617	<b>Inventaire des minutes</b>
628	<b>Inventaire des photographies</b>



**I. Données  
administratives,  
techniques  
et scientifiques**

# FICHE SIGNALÉTIQUE

Localisation	Références des opérations	Organisme de rattachement
Région Bretagne	Numéros de l'arrêté de prescription 2012-084	Inrap Grand Ouest 37 rue du Bignon CS 67737 35577 Cesson Sévigné
Département Ille et Vilaine (35)	Numéro de l'opération DB05030812	
Commune Cesson-Sévigné	Numéros de l'arrêté de désignation du responsable 2012-102	<b>Dates d'intervention sur le terrain</b>  fouille du 04/06/2012 au 26/10/2012
Adresse ou lieu-dit La Samondière	<b>Maître d'ouvrage des travaux d'aménagement</b>  Eiffage Rail Express 22, rue Henri Fréville 35200 Rennes	post-fouille de manière discontinue du 11/02/2013 au 14/08/2015
<b>Codes</b>	<b>Nature de l'aménagement</b>  Ligne LGV Le Mans-Rennes	<b>Surface du projet d'aménagement</b>  63 000 m <sup>2</sup>
Code INSEE 35051	<b>Opérateur d'archéologie</b>  Inrap Grand Ouest	<b>Surface de la fouille</b>  63 000 m <sup>2</sup>
Numéro de dossier Patriarche non communiqué		
Numéro de l'entité archéologique non communiqué	<b>Responsable scientifique de l'opération</b>  Jean-Claude Durand, Inrap	
<b>Coordonnées géographiques et altimétriques selon le système national de référence</b>  RGF93CC48  x : 1360100 y : 7221075 z : 70 à 73 m NGF		
<b>Références cadastrales</b>		
Commune Cesson-Sévigné		
Année 2012 section(s) ZP parcelles : 78, 79, 80, 81, 82		



# MOTS-CLÉS DES THÉSAURUS

## Chronologie

<input type="checkbox"/>	<b>Paléolithique</b>
<input type="checkbox"/>	Inferieur
<input type="checkbox"/>	Moyen
<input type="checkbox"/>	Supérieur
<input type="checkbox"/>	Mésolithique et Épipaléolithique
<input checked="" type="checkbox"/>	<b>Néolithique</b>
<input type="checkbox"/>	Ancien
<input type="checkbox"/>	Moyen
<input checked="" type="checkbox"/>	Récent
<input checked="" type="checkbox"/>	<b>Protohistoire</b>
<input checked="" type="checkbox"/>	<b>Âge du Bronze</b>
<input type="checkbox"/>	Ancien
<input type="checkbox"/>	Moyen
<input type="checkbox"/>	Récent
<input checked="" type="checkbox"/>	<b>Âge du Fer</b>
<input type="checkbox"/>	Hallstatt (premier âge du Fer)
<input checked="" type="checkbox"/>	La Tène (second âge du fer)
<input type="checkbox"/>	<b>Antiquité romaine (gallo-romain)</b>
<input type="checkbox"/>	République romaine
<input type="checkbox"/>	Empire romain
<input type="checkbox"/>	Haut-Empire (jusqu'en 284)
<input type="checkbox"/>	Bas-Empire (de 285 à 476)
<input checked="" type="checkbox"/>	<b>Époque médiévale</b>
<input type="checkbox"/>	haut Moyen Âge
<input checked="" type="checkbox"/>	Moyen Âge
<input checked="" type="checkbox"/>	bas Moyen Âge
<input checked="" type="checkbox"/>	<b>Temps modernes</b>
<input checked="" type="checkbox"/>	<b>Époque contemporaine</b>
<input type="checkbox"/>	Ère industrielle

## Sujets et thèmes

<input type="checkbox"/>	Édifice public
<input type="checkbox"/>	Édifice religieux
<input type="checkbox"/>	Édifice militaire
<input checked="" type="checkbox"/>	Bâtiment
<input type="checkbox"/>	Structure funéraire
<input type="checkbox"/>	Voirie
<input type="checkbox"/>	Hydraulique
<input checked="" type="checkbox"/>	Habitat rural
<input type="checkbox"/>	Villa
<input type="checkbox"/>	Bâtiment agricole
<input type="checkbox"/>	Structure agraire
<input type="checkbox"/>	Urbanisme
<input type="checkbox"/>	Maison
<input type="checkbox"/>	Structure urbaine
<input checked="" type="checkbox"/>	Foyer
<input checked="" type="checkbox"/>	Fosse
<input type="checkbox"/>	Sépulture
<input type="checkbox"/>	Grotte
<input type="checkbox"/>	Abri
<input type="checkbox"/>	Mégalithe
<input type="checkbox"/>	Artisanat
<input type="checkbox"/>	Argile : atelier
<input type="checkbox"/>	Atelier
<input type="checkbox"/>	Four à chaux
<input checked="" type="checkbox"/>	St. indéterminée
<input checked="" type="checkbox"/>	Enclos

## Mobiliers

<input checked="" type="checkbox"/>	<input type="checkbox"/>	Industrie lithique
<input type="checkbox"/>	<input type="checkbox"/>	Industrie osseuse
<input checked="" type="checkbox"/>	<input type="checkbox"/>	Céramique
<input type="checkbox"/>	<input type="checkbox"/>	Restes
<input type="checkbox"/>	<input type="checkbox"/>	Végétaux
<input type="checkbox"/>	<input type="checkbox"/>	Faune
<input type="checkbox"/>	<input type="checkbox"/>	Flore
<input checked="" type="checkbox"/>	<input type="checkbox"/>	Objet métallique
<input type="checkbox"/>	<input type="checkbox"/>	Arme
<input checked="" type="checkbox"/>	<input type="checkbox"/>	Outil
<input type="checkbox"/>	<input type="checkbox"/>	Parure
<input type="checkbox"/>	<input type="checkbox"/>	Habillement
<input type="checkbox"/>	<input type="checkbox"/>	Trésor
<input type="checkbox"/>	<input type="checkbox"/>	Monnaie
<input type="checkbox"/>	<input type="checkbox"/>	Verre
<input type="checkbox"/>	<input type="checkbox"/>	Mosaïque
<input type="checkbox"/>	<input type="checkbox"/>	Peinture
<input type="checkbox"/>	<input type="checkbox"/>	Sculpture
<input type="checkbox"/>	<input type="checkbox"/>	Inscription
<input checked="" type="checkbox"/>	<input type="checkbox"/>	Tuiles

## Etudes annexes

<input checked="" type="checkbox"/>	Géologie
<input type="checkbox"/>	Datation
<input type="checkbox"/>	Anthropologie
<input type="checkbox"/>	Paléontologie
<input type="checkbox"/>	Zoologie
<input type="checkbox"/>	Botanique
<input type="checkbox"/>	Palynologie
<input type="checkbox"/>	Macrorestes
<input checked="" type="checkbox"/>	An. de céramique
<input checked="" type="checkbox"/>	An. de métaux
<input type="checkbox"/>	Acq. des données
<input type="checkbox"/>	Numismatique
<input type="checkbox"/>	Conservation
<input type="checkbox"/>	Restauration
<input type="checkbox"/>	Autre

# Intervenants

## Intervenants scientifiques

Prénom, nom, organisme, appartenance	Tâches génériques	Tâches affectées dans le cadre de l'opération
Stéphane Deschamps, SRA	Conservateur régional	Prescription et contrôle scientifique
Anne Villard-Le Tiec, SRA	Conservateur en charge du dossier	Prescription et contrôle scientifique
Michel Baillieu, Inrap	Adjoint scientifique et technique	Mise en place et suivi de l'opération
Jean-Claude Durand, Inrap	Chargé d'opération et de recherches	Responsable scientifique

## Intervenants administratifs

Prénom, nom, organisme, appartenance	Tâches génériques	Tâches affectées dans le cadre de l'opération
Stéphane Deschamps, SRA	Conservateur régional	Prescription et contrôle scientifique
Anne Villard-Le Tiec, SRA	Conservateur en charge du dossier	Prescription et contrôle scientifique
Claude Le Potier, Inrap	Directeur Interrégional Grand Ouest	Mise en place et suivi de l'opération
Arnaud Dumas	Administrateur	Mise en place et suivi de l'opération
Michel Baillieu, Inrap	Adjoint scientifique et technique	Mise en place et suivi de l'opération
Thomas Arnoux, Inrap	Assistant technique	Mise en place et suivi de l'opération
Christelle Picault, Inrap	Assistante opérationnelle	Planification des personnels
Isabelle Giron	Conseillère sécurité et prévention	Suivi de la sécurité et de la prévention
Matthieu Caracciolo	Logisticien	Logistique
Olivier Laurent	Gestionnaire de base	Gestion du matériel
Nolwenn Le Rudulier	Gestionnaire de convention	Suivi de l'opération

## Maîtrise d'ouvrage et financeur de l'opération

Prénom, nom, organisme, appartenance	Tâches génériques	Tâches affectées dans le cadre de l'opération
François Poggio, Société Eiffage Rail Express ERE Eiffage Rail Express 22, avenue Henri Fréville 35000 Rennes Tel : 02.23.61.49.75 Fax : 02.23.61.49.78	Chargé de mission archéologie préventive LGV BPL	-

## Equipe de fouille

Prénom, nom, organisme, appartenance	Tâches génériques	Tâches affectées dans le cadre de l'opération
Jean-Claude Durand, Inrap	Chargé d'opération et de recherche	Coordination scientifique
Laurent Aubry	Chargé d'opération et de recherche	Travaux de terrain
Sandrine Barbeau	Chargé d'opération et de recherche	Travaux de terrain
Kévin Bideau	Technicien	Travaux de terrain
Florian Bonhomme	Technicien	Travaux de terrain
Solenn Briand	Technicienne	Travaux de terrain
Julie Cosseron	Technicienne	Travaux de terrain
Tristan David	Technicien	Travaux de terrain
Claire Dupin	Technicienne	Travaux de terrain
Yoann Escats	Assistant d'Etude et de recherche	Travaux de terrain
Adrien Etienvre	Technicien	Travaux de terrain
Quentin Favrel	Technicien	Travaux de terrain
Marion Foucher	Technicienne	Travaux de terrain
Frédérique Gorain	Technicienne	Travaux de terrain
Aurelie Guesnon	Technicienne	Travaux de terrain
Gwendal Jouon des Longrais	Technicien	Travaux de terrain
Joseph Le Gall	Technicien	Travaux de terrain
Hugo Le Guennic	Technicien	Travaux de terrain
Gildas Le Marchand	Technicien	Travaux de terrain
Loic Leday	Technicien	Travaux de terrain
Philippe Millier	Technicien	Travaux de terrain
Alexandre Monnier	Technicien	Travaux de terrain
Morzadec Hervé	Chargé d'opération et de recherche	Travaux de terrain
Anne-Sophie Paranthöen-Alaoui	Technicienne	Travaux de terrain
Adeline Richard	Technicienne	Travaux de terrain
Aude Valérien	Technicienne	Travaux de terrain

## Equipe de post-fouille

Prénom, nom, organisme, appartenance	Tâches génériques	Tâches affectées dans le cadre de l'opération
Jean-Claude Durand, Inrap	Chargé d'opération et de recherche	Coordination scientifique
Sandrine Barbeau, Inrap	Chargé d'opération et de recherche	Etude des scories
Vérane Brisotto, Inrap	Spécialiste des meules	Etude des meules
Véronique Chaigne, Inrap	Technicienne	Lavage, conditionnement du mobilier
Anne-Françoise Cherel, Inrap	Céramologue	Etude céramique âge du Bronze
Anna-Maria Desiderio	Laboratoire archéobotanique Inrap	Etude macro-restes végétaux
David Gache	Technicien	Dessin céramique protohistorique
Bernard Gratuze, IRAMAT C.N.R.S.		Etude perle en verre
Françoise Labaune, Inrap	Céramologue	Etude céramique, médiéval
Gilles Leroux, Inrap	Chargé d'opération et de recherche	Photographie aérienne
Alexandre Monnier	Céramologue	Etude céramique Âge du Fer
Hervé Morzadec, Inrap	Chargé d'opération et de recherche	DAO
Hervé Pierre Paitier, Inrap	Chargé d'opération et de recherche	Photographie aérienne
Patrick Pihuit, Inrap	Dessinateur	DAO
Hélène Seignac, Inrap	Anthracologue	Etude des charbons de bois
Laure Simon	Céramologue	Etude céramique antique
Julian Wiethold, Inrap	Laboratoire archéobotanique Inrap	Etude macro-restes végétaux
Nolwenn Zaour	Spécialiste des scories	Etude des scories

---

Philippe Boulinguez	Topographe	Topographie
Frédéric Boumier	Topographe	Topographie
Vincent Paumier	Topographe	Topographie

---

## Intervenants techniques

Prénom, nom, organisme, appartenance	Tâches génériques	Tâches affectées dans le cadre de l'opération
Ets Beausire	-	Terrassement mécanique à 2 pelles de 180 CV avec godet de curage de 3m de large et tracto-bennes

## NOTICE SCIENTIFIQUE

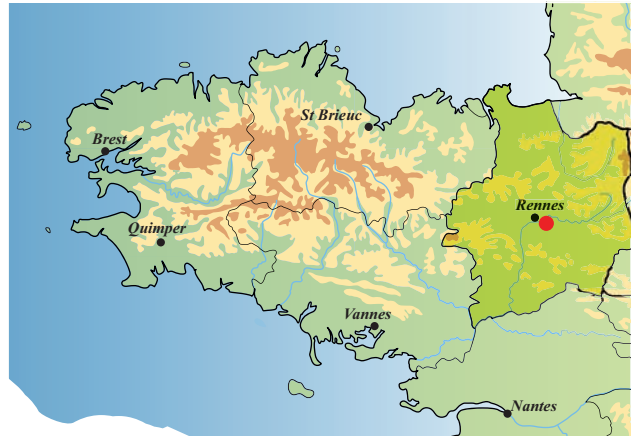
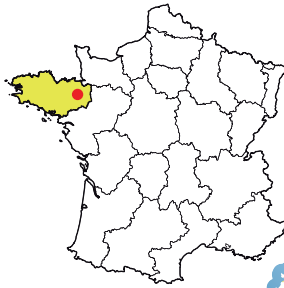
Dans le cadre des travaux de la Ligne à Grand Vitesse Le Mans-Rennes une fouille archéologique a été conduite en 2012 sur la commune de Cesson-Sévigné, au lieu dit La Salmondière. Elle porte sur une superficie de 6 hectares et a permis la mise au jour d'occupations allant du Bronze final au haut Moyen Âge, avec des *hiatus*. En effet à l'habitat du Bronze final, composé de maisons ovalaires et de greniers sur poteaux, a suivi l'implantation d'une ferme indigène à partir de la fin du IV<sup>e</sup> siècle av. J.-C. jusqu'au III<sup>e</sup> siècle ap. notre ère. Le site sera de nouveau occupé à partir du VI<sup>e</sup> siècle jusqu'au IX<sup>e</sup> siècle.

L'occupation gauloise, dans sa phase la plus ancienne est composée d'un habitat peu enclos comportant des bâtiments de forme curviligne sur tranchées de fondations. A partir du III<sup>e</sup> siècle un enclos fossoyé principal est creusé auquel va s'ajouter d'autres enclos ou cours pouvant correspondre à des activités spécifiques dont l'accès se fait vers l'est par une double entrée monumentale. Le site est abandonné au début de la période augustéenne et remplacé par une ferme antique ne prenant pas en compte l'organisation précédente. Elle se caractérise par un grand enclos d'au moins 80 m de côté, de grands bâtiments allongés et une forge.

La période médiévale se compose de petites unités de parcellaire curviligne avec peut être un bâtiment sur 12 poteaux et un foyer de forge. A l'époque moderne du parcellaire et des vergers viennent modeler le paysage. Le site de l'âge du Fer a livré une structure particulière pouvant être liée au stockage de l'eau ainsi qu'une grande structure de combustion de plus de 4 m de longueur. Il faut ajouter un bel ensemble céramique de La Tène finale avec quelques fragments d'amphore qui montrent que cette ferme avait un certain statut social. La découverte de graines d'orge vêtue confirme que parmi ses différentes activités, elle pratiquait la culture des céréales.

La forge antique, de part l'importance de ses rejets correspond à un atelier mixte, produisant pour le domaine mais également pour la demande locale. Ce qui confirme l'importance de la place de ce domaine dans le contexte local.

# Localisation de l'opération



Bretagne  
 Ille-et-Vilaine  
 Cesson-Sévigné  
 La Salmondière LGV secteur 1

Parcelles  
 ZP 78, 79, 80, 81, 82

X : 1360100  
 Y : 7221075  
 Z : de 70 à 73 m NGF



Localisation du site sur fond IGN au 1/250 000

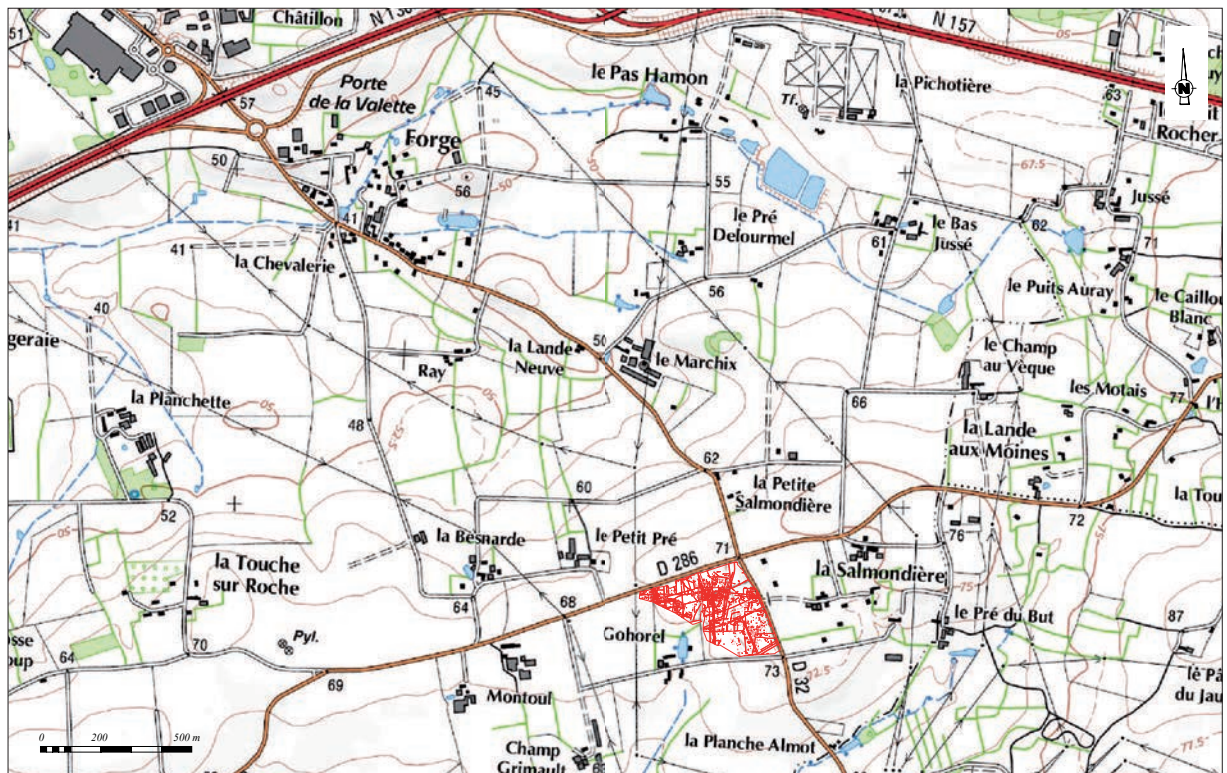


Fig. 1 : localisation du site de Cesson-Sévigné «La Salmondière» sur cartes IGN au 1/25 000 et 1/250 000

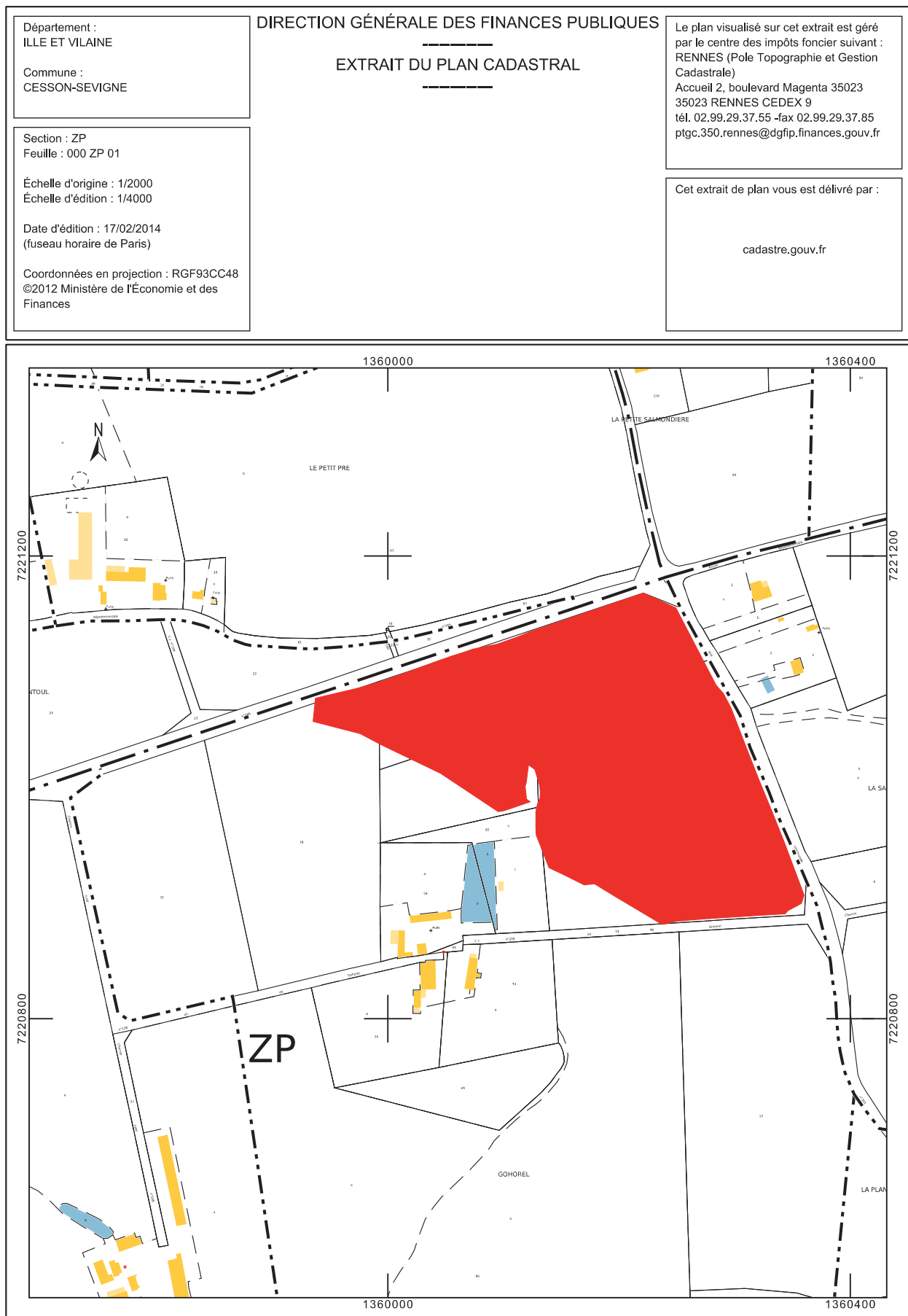


Fig. 2 : localisation du site de Cesson-Sévigné «La Salmondière» sur cadastre récent



**PREFET DE LA REGION BRETAGNE**

**le Préfet de la région de Bretagne,  
Préfet d'Ille-et-Vilaine,**

**ARRETE n° 2012-084 portant prescription de fouille archéologique préventive**

**VU** le code du patrimoine, notamment son livre V ;

**VU** l'arrêté préfectoral n° 2010 S.G.A.R. / DRAC/DSG en date du 14 décembre 2010 portant délégation de signature à M. François ERLÉNACH, directeur régional des affaires culturelles de Bretagne,

**VU** l'arrêté n° 2011-2208 du 18 mars 2011 portant subdélégation de signature paru au recueil des actes administratifs n° 347 du 25 mars 2011,

**VU** le rapport du diagnostic archéologique prescrit par arrêté n° 2010-012 du 19 janvier 2010 modifiant l'arrêté n° 2008-140 du 8 septembre 2008,

**VU** l'attribution du contrat de partenariat pour la construction de la ligne nouvelle Bretagne-Pays de Loire entre Rennes et le Mans à Eiffage Rail Express (ERE) le 14 avril 2011,

**VU** l'avis de la commission interrégionale de la recherche archéologique en date du 6 décembre 2011 ;

**VU** le courrier de saisine de Eiffage Rail Express pour la prescription d'une fouille préventive, en date du 1<sup>er</sup> mars 2012 ; reçu le 2 mars 2012 par la direction régionale des affaires culturelles,

**CONSIDERANT** que le diagnostic a mis en évidence une succession d'occupations, notamment gauloises et antiques à proximité immédiate d'une villa détectée en prospection aérienne,

**ARRETE**

**Article 1<sup>er</sup>** : Est prescrite une fouille préventive préalable aux aménagements, ouvrages ou travaux portant sur le terrain sis en :

Région : Bretagne

Département : Ille-et-Vilaine

Commune : CESSON-SEVIGNE

Lieu-dit : La Salmondière

Cadastre : section : ZP parcelles : 78, 79, 80, 81, 82 année : 2012

pétitionnaire : Eiffage Rail Express

**Article 2** : La fouille sera réalisée conformément au cahier des charges annexé, sous la maîtrise d'ouvrage de Eiffage Rail Express, qui projette d'exécuter les travaux donnant lieu à la présente prescription.

La réalisation peut être confiée, au choix du maître d'ouvrage, à l'Institut national de recherches archéologiques préventives, à un service archéologique territorial agréé ou à tout autre opérateur de droit public ou privé titulaire de l'agrément prévu aux articles R 522-7 à R 522-13 du code du patrimoine.



31/05/2012 15:30 0299845919

SRA BRETAGNE

PAGE 02/02

A l'expiration de la période de garde, qui ne peut excéder deux ans à compter de la date de délivrance de l'attestation de libération de terrain visée à l'article 5, l'opérateur remet le mobilier à l'Etat avec la documentation scientifique constituée au cours de l'opération.

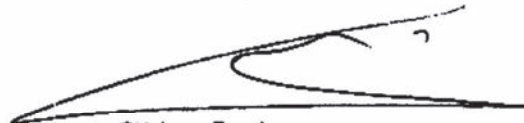
**Article 4 :** Lorsqu'il n'est pas lui-même propriétaire du terrain, l'aménageur communique au service régional de l'archéologie le nom et l'adresse du ou des propriétaires afin que ceux-ci puissent, le cas échéant, exercer leurs droits sur le mobilier dont l'inventaire leur sera transmis par l'Etat.

**Article 5 :** L'aménageur notifie l'achèvement de l'opération de fouille sur le terrain. Dans les quinze jours suivant la réception de cette notification, une attestation de libération du terrain lui est délivrée. Faute de délivrance de l'attestation dans ce délai, celle-ci est réputée acquise.

**Article 6 :** Le directeur régional des affaires culturelles est chargé de l'exécution du présent arrêté, qui sera notifié au directeur de Eiffage Rail Express, 22 avenue Henri Fréville, 35000 Rennes et à l'Institut national de recherches archéologiques préventives, Direction interrégionale Grand-Ouest, 37 rue du Bignon - CS 67737 - 35577 Cesson-Sévigné cedex.

Fait à Rennes, le 30 mai 2012

pour le Préfet de région,  
pour le directeur régional des affaires culturelles  
absent ou empêché,



Stéphane Deschamps  
Conservateur régional de l'archéologie

destinataires : Eiffage Rail Express  
Inrap

copie à : Mairie de Cesson-Sévigné  
Préfecture d'Ille-et-Vilaine  
Préfecture de région  
DREAL Ille-et-Vilaine



**PREFET DE LA REGION BRETAGNE**

**Prescriptions de fouille archéologique préventive  
annexées à l'arrêté préfectoral numéro 2012-084**

**le Préfet de la région de Bretagne, Préfet d'Ille-et-Vilaine,**

région :	Bretagne		
département :	Ille-et-Vilaine		
commune :	CESSON-SEVIGNE		
lieu-dit :	La Salmondière		
cadastre :	section : ZP	parcelles : 78, 79, 80, 81, 82	année : 2012
pétitionnaire :	Eiffage Rail Express		

**1 - Emprise de la fouille archéologique**

Emprise d'étude, telle que précisée sur le plan annexé : 2,4 ha en tranche ferme et 3,9 ha maximum en tranche conditionnelle

Surface à ouvrir: 2 ha minimum en tranche ferme ; la superficie de la tranche conditionnelle sera établie à l'issue du diagnostic prescrit dans l'emprise de la phase 2 du secteur 1 (arrêté n° 2012-029 du 13 février 2012 modifié) dont la réalisation est programmée en avril 2012.

**2 - Environnement archéologique**

Les résultats du diagnostic réalisé par Sandrine Barbeau, archéologue à l'Inrap, dans l'emprise du projet de la L.G.V., secteur 1 – Phase 1 (arrêté n° 2010-012 du 19 janvier 2010 modifiant l'arrêté n° 2008-140 portant prescription de diagnostic archéologique) ont montré une densité importante de l'occupation humaine de ce secteur depuis le néolithique. La topographie de la Salmondière, un relief certes peu prononcé dominant la vallée de la Vilaine, était particulièrement propice à l'installation humaine puisque les indices de l'âge du Bronze, un habitat de La Tène moyenne et Finale, une villa et ses dépendances, et des vestiges du Haut Moyen Age ont été mis en évidence dans cet environnement.

Le bâtiment de la villa de la Salmondière (35 051 0005) était connu grâce à la prospection aérienne d'Alain Provost et l'extension de son domaine dans l'emprise ferroviaire était prévisible. Depuis une trentaine d'années en effet, le Bassin de Rennes fait l'objet de prospections aériennes et pédestres qui ont permis de mettre au jour un nombre important d'habitats fondés principalement au second âge du Fer, au début de la période antique, et au Moyen Age (enclos, mottes et enceintes). En revanche, l'habitat de l'âge du Fer qui l'a vraisemblablement précédée était inconnu.

**3 - Données scientifiques issues du diagnostic**

L'emprise de prescription de fouille se caractérise par une succession d'occupations dont il n'est pas simple de déterminer les limites et parfois la chronologie.

serait souhaitable que les opérations portant sur les sites de l'âge du Fer et antiques dans l'emprise de la P.G.V. soient dirigées par les mêmes équipes ou que ces dernières puissent travailler en coordination afin d'aboutir à une réflexion et une publication communes des résultats scientifiques.

## 5 - Principes méthodologiques et nature prévisible des travaux demandés à l'opérateur

### 5.1- Décapage

- décapage extensif des horizons superficiels sur la surface à ouvrir, prévue à l'article 1 (surface ouverte: 2 ha minimum pour la tranche ferme) à la pelle mécanique avec godet-retro de curage :
  - l'emprise de la tranche ferme fera l'objet d'un décapage exhaustif, à l'exception du secteur situé entre les tranchées 1173, 1174, 1168, 1169 et 1175 où des tranchées complémentaires pourront être réalisées ou non, en fonction de la nature et la densité des vestiges mis au jour au sud de l'habitat gaulois et au nord de l'occupation non datée détectée au sud-est de l'emprise.
  - l'emprise du décapage concernant la tranche conditionnelle sera définie par le service régional de l'archéologie - DRAC de Bretagne, à partir des résultats obtenus lors du diagnostic prescrit dans l'emprise de la phase 2 du secteur 1 (arrêté n° 2012-029 du 13 février 2012 modifié) dont la réalisation est programmée en avril 2012. L'opérateur d'archéologie préventive devra donc prendre en compte les moyens à mettre en oeuvre pour la réalisation de cette tranche dans son projet d'opération, à partir des données déjà acquises en 2011 lors du diagnostic de Sandrine Barbeau.
- décapage fin (nettoyage à la rasette) des zones difficilement lisibles où la présence de structures domestiques ou artisanales, voire funéraires, sont probables ;
- utilisation systématique du détecteur de métaux, notamment au moment du décapage de la terre végétale ;
- évacuation et stockage des déblais hors emprise de la surface à ouvrir et, de manière souhaitable, hors de l'emprise d'étude.

### 5.2 - Fouille

- la durée moyenne de la fouille de la tranche ferme, hors décapage et remise en état des terrains et tranche conditionnelle, ne pourra pas être inférieure à 40 jours
- le nombre minimal de personnes affectés à la phase fouille ne pourra pas être inférieur à 6 personnes, y compris le responsable d'opération.

#### 5.2.1 - Relevés simples

- relevé topographiques des plans généraux. Repérage et enregistrement de la totalité des faits archéologiques et levé en plan de toutes les structures.
- relevés simples de surface admis pour les écofacts (chablis, terriers), les ensembles de trous de poteaux sans organisation décelable ou les fossés.

#### 5.2.2 - Fouille manuelle

- fouille manuelle des structures (fosses, trous de poteaux, empièvements, tranchées de fondation, fours, etc.) dont l'étude pourra fournir des éléments de datation (chronologie relative, mise en séquence des faits et des structures, analyse du mobilier) et une meilleure compréhension du site ;
- fouille manuelle des fossés au niveau des intersections, des entrées d'enclos éventuels, et des niveaux livrant du mobilier archéologique ;

#### 5.2.3 - Fouille mécanique

- fouille par échantillonnage des autres fossés, manuelle ou mécanique en fonction de l'intérêt des vestiges et des mobiliers archéologiques mis au jour ;
- fouille mécanique des autres excavations (carrières, puits...), en fonction des découvertes de mobiliers ou des structures internes devant faire l'objet d'une étude plus détaillée et dans le respect de la réglementation en vigueur concernant les conditions de sécurité (cf. 5.6 - organisation générale du chantier)

### - Qualifications et obligations du responsable scientifique et de l'équipe archéologique

- Le responsable de l'opération devra être spécialiste de l'âge du Fer et de l'Antiquité et avoir une bonne connaissance de l'archéologie régionale (communication dans le projet d'opération d'une bibliographie acquise sur le domaine). L'opérateur devra transmettre les avis des Commissions interrégionales de la Recherche Archéologique portant sur les 3 dernières fouilles préventives menées par le responsable d'opération, sauf exception motivée.
- Le responsable de l'opération devra être assisté d'un ou deux spécialistes de la céramique de ces périodes s'il ne dispose pas lui-même des compétences requises dans ces spécialités. Au moins un des membres de l'équipe devra disposer des certificats nécessaires à la conduite des engins mécanisés.
- Dans le projet d'opération, la proposition du responsable d'opération devra être ferme et définitive.
- La présence effective du responsable d'opération sera requise pendant la totalité de l'opération de terrain et de post-fouille.
  - Le projet d'intervention devra en outre préciser le nombre et la qualification des responsables de secteur et des spécialistes.
- Le responsable d'opération, ainsi que les responsables de secteur et les spécialistes devront communiquer un Curriculum Vitae actualisé.

## 8 - Mesure à prendre pour la conservation préventive des vestiges mis au jour

### 8.1 - Vestiges immobiliers

- les éléments observés lors de la phase de diagnostic n'impliquent aucune préconisation particulière. Le responsable de l'opération devra informer le Conservateur régional de l'archéologie dans les plus brefs délais de toute découverte de caractère exceptionnel nécessitant des mesures préventives particulières.

### 8.2 - Vestiges mobiliers

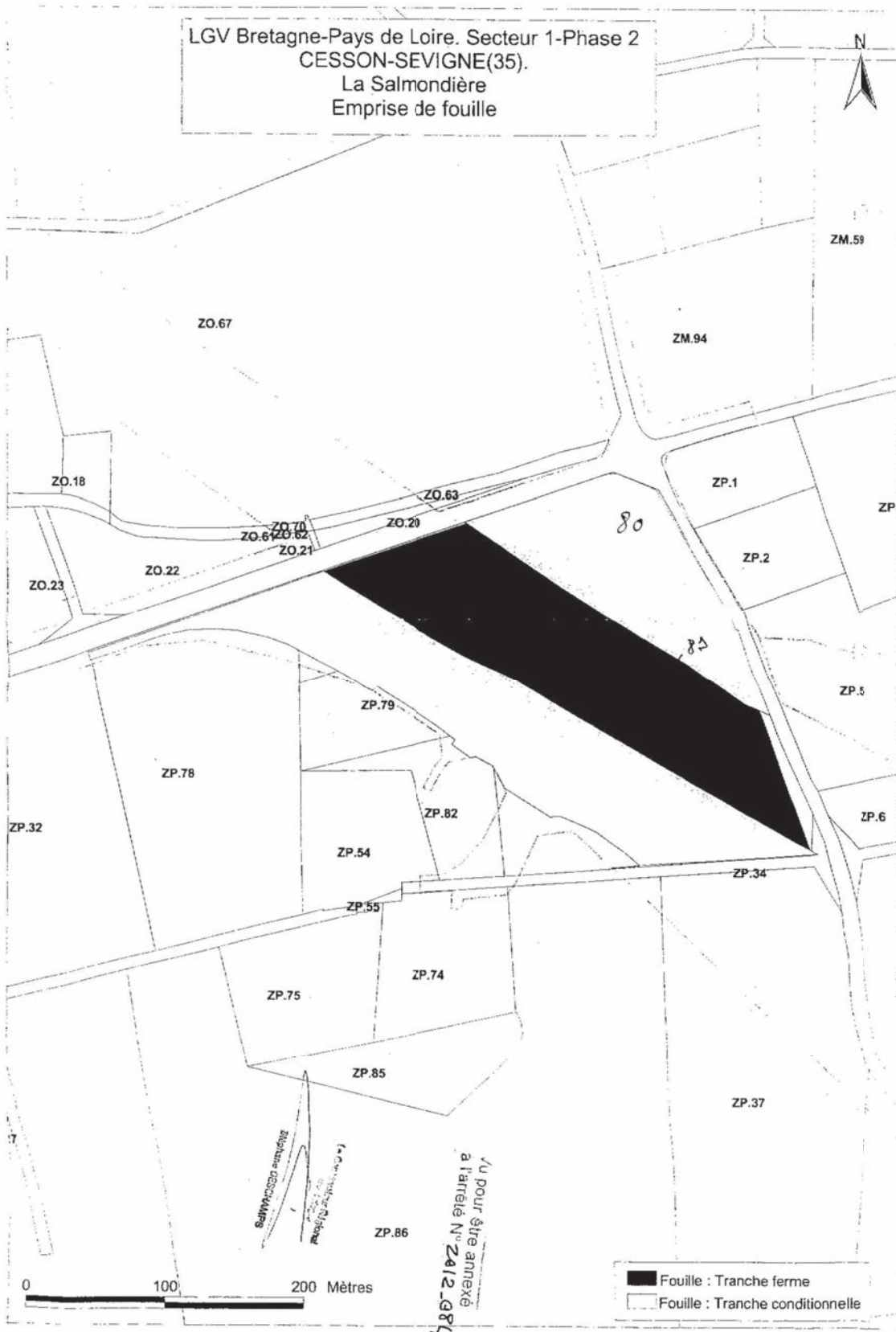
- l'opérateur devra prendre toutes les mesures nécessaires à la bonne conservation des mobiliers mis au jour et devra informer le Conservateur régional de l'archéologie dans les plus brefs délais de toute découverte de caractère exceptionnel nécessitant des mesures préventives particulières. Les prélèvements ne sont pas soumis à autorisation concernant la sortie de territoire. En revanche, le mobilier archéologique est soumis à autorisation spécifique de sortie de territoire délivrée par le Ministère de la Culture.
- le mobilier devra être mis en condition d'étude et de conservation, conditionné en bacs normalisés lors de sa remise au Service régional de l'archéologie, accompagné de son inventaire, selon les normes définies par l'arrêté du 16 septembre 2004.

## 9 - Etudes et travaux de post-fouille

- L'équipe archéologique et les différents spécialistes sollicités devront bénéficier des moyens matériels pour mener à bien leurs études. L'exploitation des données de terrain (documentation graphique, photographique, études spécifiques...) et du mobilier (description, comptage, dessins,...) devra permettre la rédaction d'un rapport final d'opération.
- La durée de la phase post-fouille ne pourra être inférieure à 40 jours. Le nombre minimal de personnes affectés à la phase post-fouille ne pourra pas être inférieur à 3 personnes, y compris le responsable d'opération.
- Le projet d'intervention devra en outre préciser le nombre et la qualification des personnels affectés à la phase post-fouille.

## 10 - Collaboration scientifique

- Le responsable d'opération aura soin d'établir toutes les collaborations scientifiques, nécessaires à la réalisation des travaux de terrain et d'étude en laboratoire, et d'intéresser directement ou indirectement les chercheurs concernés par des problématiques similaires ou comparables à un échelon régional, national ou international. L'accord des chercheurs concernés sera joint au dossier.



DB 05 0308 12 Site de la Salmondière à Cesson-Sévigné (35) LGV Le Mans-Rennes, secteur 1

31/05/12

**Inrap**<sup>+</sup>

**Fouilles archéologiques**  
**Site de la Salmondière à Cesson-Sévigné (35)**  
**Secteur n°1 de la LGV Rennes-Le Mans**

**Un établissement rural du second âge du fer et de  
l'époque Gallo-Romaine**

# **Projet scientifique d'intervention**

Par : Michel Baillieu, Adjoint scientifique et technique Région Bretagne

## SOMMAIRE

<b>Préambule.....</b>	<b>3</b>
<b>I. Identification administrative de l'opération .....</b>	<b>3</b>
<b>II. Définition de l'opération de fouille.....</b>	<b>4</b>
A. Présentation du ou des secteurs de fouille .....	5
<b>III. Les principaux objectifs scientifiques de l'opération .....</b>	<b>5</b>
<b>IV. La méthode d'intervention .....</b>	<b>6</b>
A. La phase préparatoire.....	7
B. Le décapage archéologique et le stockage des terres .....	8
C. La fouille des vestiges : modes opératoires et principes méthodologiques .....	8
D. Estimation des moyens de la phase terrain .....	10
E. L'achèvement de la fouille et la remise en état des terrains .....	11
<b>V. Phases d'études .....</b>	<b>11</b>
A. L'enregistrement des données.....	11
B. Principes généraux de la phase étude .....	1
<b>VII. Equipe scientifique et qualification du responsable d'opération: .....</b>	<b>12</b>
<b>VIII. Le calendrier et le phasage de l'intervention .....</b>	<b>13</b>

DB 05 0308 12 Site de la Salmondière à Cesson-Sévigné (35) LGV Le Mans-Rennes, secteur 1

31/05/12

### Préambule

L'opération de fouille préventive vise à l'étude scientifique des vestiges d'un établissement rural gaulois et gallo-romain (II<sup>ème</sup> avant J.-C/ 2<sup>ème</sup> siècle après J.-C) menacés de destruction par l'aménagement de la ligne LGV Rennes-Le Mans porté par le groupe Eiffage Rail Express (ERE) sur le site de « La Salmondière » à Cesson-Sévigné (35). Elle répond à la prescription n° 2012-084 en date du 12 avril 2012 émise par l'Etat (Préfecture de la Région Bretagne, Direction Régionale des Affaires Culturelles, Service Régional de l'Archéologie), dont, notamment les objectifs et les principes méthodologiques sont précisés dans le cahier des charges scientifique. Le présent projet scientifique d'intervention, a été élaboré sur la base de ce document par Michel Baillieu, adjoint scientifique et technique en charge de la région Bretagne, avec l'étroite collaboration de Thomas Arnoux pour l'étude des moyens techniques (assistant scientifique et technique, région Bretagne) ainsi que Jean-Claude Durand (responsable d'opération, en charge de la fouille). Il rappelle les objectifs scientifiques de l'opération, détaille le mode d'intervention (de la phase terrain à la réalisation du rapport d'opération), les conditions techniques de sa mise en œuvre, et quantifie les moyens humains, techniques et logistiques nécessaires à son déroulement.

#### I. Identification administrative de l'opération

Région	Bretagne
Département	Ille-et-Vilaine
Commune	Cesson-Sévigné
Lieu-dit	La Salmondière
Cadastre	Section ZP, parcelles n° 78 , 79, 80, 81 et 82
Surface prescrite	Tranche ferme : 24 000 m <sup>2</sup> Tranche conditionnelle : 39 000 m <sup>2</sup> (maximum)
Maître d'ouvrage	Eiffage Rail Express (ERE) - 22 avenue Henri Fréville 35 000 Rennes

Contexte actuel	Milieu rural
Nature archéologique	Site rural non stratifié

Date réception de remise des offres	
Arrêté fouille	N° 2012-084 en date du 12 avril 2012
Site n° (n° patriarche)	
Date du projet :	08 mai 2012

Arrêté diagnostic n° :	2010-012 du 19 janvier 2010
Opérateur du diagnostic	Inrap
Nom du Responsable d'Opération du diagnostic	Sandrine Barbeau
Dates de réalisation du diagnostic	Du 14 février 2011 au 12 avril 2011



## II. Définition de l'opération de fouille

Le projet d'intervention présenté ici répond à la prescription de fouille édictée par le Service Régional de l'Archéologie (DRAC Bretagne). Il concerne la fouille d'un ensemble de vestiges fossoyés (fosses, fossés, trous de poteau) majoritairement attribuable à la période gauloise (Tène moyenne/finale) et gallo-romaine (Ier-IIème siècle).

La construction de la Ligne à Grande Vitesse Le Mans-Rennes (LGV) a entraîné la mise en place d'un diagnostic archéologique systématique préalable à la réalisation des travaux sur l'ensemble du tracé soit environ 50 km en région Bretagne entre Rennes et Laval. Dans la partie bretonne du tracé, il est scindé en 4 secteurs d'une douzaine de kilomètres. Le diagnostic du secteur 1, d'une surface de 62 ha, situé entre les communes de Cesson-Sévigné et de Noyal-sur-Vilaine a été réalisé par l'Inrap entre février et avril 2011 (Sandrine Barbeau, RFO, août 2011).

Cette opération aura permis l'étude d'un « transect » au travers d'un environnement varié, alternant plateaux, vallons et promontoires, fond de vallée et zones humides. Sept sites archéologiques ont été mis au jour auxquels se rajoutent quelques indices ou structures isolés. Cela concerne essentiellement les périodes protohistoriques (Age du Bronze et Age du Fer) et historique (gallo-romain et médiéval), la préhistoire ancienne étant peu documentée à l'exception de quelques mobiliers (silex) découverts dans des colluvionnements de fond de vallée.

La villa gallo-romaine de la Salmondière à Cesson-Sévigné, objet de la prescription de fouille n° 2012-084 était déjà recensée à la carte archéologique nationale (site n° 35 051 0005) à l'occasion d'une prospection aérienne d'Alain Provost qui avait permis la découverte de bâtiments situés immédiatement à l'est de l'emprise ferroviaire. En revanche, l'habitat de l'âge du fer était parfaitement inconnu.

Le contexte topographique de la Salmondière, un relief peu prononcé dominant la vallée de la Vilaine, était particulièrement propice à l'occupation humaine comme le confirme des indices d'occupation de l'âge du Bronze situés à l'est de la RD 32, puis l'implantation d'un établissement rural du second âge du fer avant qu'une villa gallo-romaine et ses dépendances ne réoccupent l'espace situé au nord de la départementale 286.

Le site de l'âge du fer (début de la Tène moyenne-La Tène finale) occupe toute la moitié nord de l'emprise de fouille et se développe très certainement plus au nord à l'emplacement de la zone complémentaire (cf. plan de la prescription) qui fera l'objet d'un diagnostic (S. Barbeau, mai 2012) puis selon les résultats d'un complément de fouille. Par conséquent, il est difficile de restituer en l'état des recherches, l'organisation de cet habitat. Un premier enclos a été partiellement reconnu dans l'emprise de la tranche ferme à partir d'un fossé nord-sud qui se prolonge sur plus de 60 m de longueur dans les tranchées 1172, 1178 et 221. On a pu observer plusieurs recoupements entre l'enclos principal et un enchevêtrement de petits fossés et de trous de poteaux ce qui laisse suggérer une évolution chronologique et structurelle de l'habitat.

L'occupation antique semble se limiter au secteur nord-est de l'habitat gaulois. Elle se caractérise par la présence de trous de poteaux, de fosses et de petits fossés d'enclos et/ou de parcellaire. Le mobilier, peu abondant permet de situer l'occupation entre le 1<sup>er</sup> siècle et le début du second. On pourrait donc se trouver en présence des dépendances de la villa mise au

DB 05 0308 12 Site de la Salmondière à Cesson-Sévigné (35) LGV Le Mans-Rennes, secteur 1

31/05/12

jour au nord de la RD 286. Celles-ci s'étendent vraisemblablement à l'est comme à l'ouest de la tranche ferme. Enfin, des traces d'occupation du haut Moyen âge ont été reconnues sous la forme de deux fossés orientés est-ouest et dont la fouille permettra sans doute d'en comprendre l'organisation.

Le projet décrit la méthodologie et les conditions pratiques mises en œuvre pour répondre aux attentes scientifiques précisées dans le cahier des charges.

#### **A. Présentation du ou des secteurs de fouille**

Le site de la Salmondière occupe une superficie d'environ 24 000 m<sup>2</sup> à l'intérieur de l'emprise de la LGV et se développe assurément de part et d'autre du tracé au nord comme au sud mais dans des proportions et selon un mode d'organisation qui restera à définir à l'issue de l'opération de diagnostic complémentaire programmée au mois de mai 2012.

Conformément au cahier des charges scientifique de l'Etat le site sera décapé et étudié de manière exhaustive sur environ 20 000 m<sup>2</sup>, à l'exception du secteur situé entre les tranchées 1173, 1174, 1168, 1169 et 1175 où des tranchées complémentaires pourront être réalisées ou non en fonction de la nature et de la densité des vestiges mis au jour au sud de l'habitat gaulois et au sud-est de l'emprise. Cela concerne le cœur et la périphérie d'un établissement rural gaulois puis gallo-romain. La majorité des vestiges qui le caractérisent sont des structures fossoyées de type fossés, fosses et trous de poteau.

L'épaisseur moyenne des stériles nécessitant un décapage archéologique est d'environ 0,50 m d'épaisseur si l'on veut obtenir une bonne lecture des vestiges. Certaines structures sondées révèlent une profondeur légèrement supérieure à 1 m. Il peut exister ponctuellement des structures plus profondes telles des puits ou des fosses mais que le diagnostic n'a pas mis en évidence.

### **III. Les principaux objectifs scientifiques de l'opération**

Les premiers éléments issus du diagnostic attestent la présence d'un établissement rural de la Tène moyenne/finale qui s'est maintenu puis développé au cours de la période antique jusqu'au début voir le milieu du second siècle après J.C. De tels sites, remontant à la période de transition entre la fin de l'indépendance gauloise et la période augustéenne sont relativement méconnus et rares en Bretagne : seuls quelques sites dans le bassin de Rennes témoignent de ce type d'établissement. On peut citer à titre d'exemple le cas du site de la Dinetière à Brielles sur le tracé de la LGV Rennes-Le Mans (D.Pouille, Inrap, août 2011) où un site d'habitat de l'époque romaine vient supplanter une occupation de la Tène, matérialisée par un important fossé comblé à la Tène finale. On peut également mentionner les sites antiques de Pacé (R. Ferette, L.Paez-Rezende, Inrap) et de Pleurtuit (A-L.Hamon, Inrap) qui correspondent à d'importants établissements ruraux gallo-romains.

A partir de ces éléments, la problématique principale résidera dans l'étude de l'organisation spatiale de l'habitat et de son intégration dans un paysage plus large et plus complexe comprenant des formes parcellaires et des traces diffuses de petites unités satellites.

Cela nous amène à privilégier le caractère extensif de l'étude comme le préconise les services de l'Etat à partir d'un décapage extensif des horizons superficiels sur 20 000 m<sup>2</sup> (cf. plan annexé à la prescription n° 2012-084 du SRA Bretagne). Un plan d'ensemble des vestiges sera effectué dès la phase de décapage afin de guider la réflexion et de permettre l'adaptation des moyens et des méthodes en fonction de la nature et de l'importance des différents ensembles.

On s'attachera bien évidemment à retracer les grandes phases d'évolution du site tant par l'observation des éléments de chronologie relative que par l'étude typologique et architecturale des unités d'habitation qui ont la particularité d'être assez bien conservées. On a pu observer une continuité trans-chronologique dans la mise en œuvre architecturale des bâtiments avec l'utilisation de techniques et de matériaux périssables qui se démarquent sensiblement avec celles usitées pour les habitats de type villae (architecture maçonnée).

Une attention toute particulière sera portée à la recherche des liens chronologiques et fonctionnels entre les différents ensembles ou unités notamment dans le but de préciser le statut social et économique de cet habitat. S'agit-il véritablement d'un petit établissement privé de type ferme ou plutôt d'une unité rurale faisant partie d'un ensemble plus vaste et plus complexe ?

Cette étude permettra également de confronter ces résultats à ceux qui sont déjà connus et recensés à l'échelle régionale. D'un point de vue local, elle devrait enrichir et approfondir la connaissance de ce secteur pour lequel plusieurs indices d'occupation concernant les périodes gauloise et antique ont été mis au jour sans pour autant faire l'objet d'étude approfondie puisqu'ils résultent en priorité de la prospection aérienne.

En résumé, on peut décliner les principales problématiques de la fouille de la manière suivante :

- étude de l'organisation spatiale de l'habitat rural par la mise en évidence des éléments structurants et de leurs relations.
- évolution de l'occupation dans le temps et l'espace par la mise en évidence des éléments de chronologie relative.
- étude du paysage à travers les éléments du parcellaire antique et protohistorique (forme, module, gestion de l'espace...).
- étude chronotypologique du mobilier céramique.
- mise en perspective de ces vestiges et confrontation des données à celles des sites régionaux et extra régionaux.

#### **IV. La méthode d'intervention**

La méthode d'intervention sur le terrain est divisée en trois grandes phases : la phase préparatoire, le décapage, et la fouille. En fonction des premiers résultats issus des décapages,

DB 05 0308 12 Site de la Salmondière à Cesson-Sévigné (35) LGV Le Mans-Rennes, secteur I

31/05/12

la méthodologie de fouille sera confortée ou adaptée à la réalité des problématiques et ce en concertation avec les représentants de l'Etat (SRA Bretagne) en charge du contrôle scientifique de cette opération.

Compte tenu du caractère aléatoire d'un diagnostic linéaire (pourcentage d'ouverture de 7%), on peut s'attendre à la découverte de vestiges inattendus comme par exemple un secteur de nécropole à incinération dans la partie basse du site. Par conséquent il faudra s'attendre à devoir effectuer des ajustements tant méthodologiques qu'en terme de répartition de moyens (humains et mécaniques) en fonction des premiers résultats issus du décapage archéologique et cela dans le respect de l'économie globale du projet et de son calendrier.

#### **A. La phase préparatoire**

La phase terrain sera précédée par une période de mise en place de l'opération étalée sur deux jours durant lesquels l'archéologue responsable de l'opération assisté d'un topographe prendra connaissance du contexte archéologique, géologique et technique de l'intervention. Il mettra ce délai à profit pour coordonner la mise en place des infrastructures de chantier et préciser le mode opératoire de la fouille en adéquation avec les moyens matériels et humains affectés à l'opération, les objectifs scientifiques définis précédemment, et les contraintes techniques inhérentes au site. Les protocoles d'enregistrement des données archéologiques de même que les différents modes opératoires mis en œuvre lors de la fouille seront définis, en corrélation avec la hiérarchie des objectifs attribués à chaque étape de l'intervention. Seront également mis en place les différents dispositifs et équipements individuels ou collectifs nécessaires à la mise en sécurité du chantier et des personnels, de même qu'au bon déroulement de la phase terrain. Le topographe procédera à l'implantation des différentes zones de fouille conformément à la prescription de l'état et au plan d'organisation annexé au PSI.

La semaine précédant le démarrage du décapage archéologique, l'Inrap, procédera à l'implantation d'une plateforme destinée à l'installation des cantonnements et au stationnement des véhicules. La plateforme sera installée dans un décaissement de 0,3 m après retrait de la terre végétale. Il sera procédé à la pose d'un GTX avant la mise en place de la grave. La grave sera une GNT (grave non traitée) ou une GR (grave recyclée) de 0/31,5 et mise en place sur toute la surface sur une épaisseur de 0,3 m. La plateforme sera nivelée de façon à lui assurer une planimétrie horizontale continue. Un minimum de compactage sera effectué pour assurer à la plateforme une portance suffisante pour la circulation de VL et ponctuellement de PL.

Le cantonnement de chantier sera composé de structures modulaires organisées en vestiaires, salle de vie, bureau, et toilettes ainsi que d'un container permettant le stockage des outils. Ce cantonnement fera l'objet d'un raccordement électrique soit par le biais d'un branchement au réseau d'électricité soit par le biais de l'installation d'une alimentation autonome. Dans la mesure du possible, un raccordement au réseau d'eau potable sera effectué.

C'est pendant cette phase préparatoire, préalablement à toute installation sur site, que sera signé avec l'aménageur le PV de mise à disposition du terrain. Ce procès verbal dressé de façon contradictoire avec l'Inrap, permet de constater le respect du délai et la possibilité

pour l'Inrap d'occuper le terrain constituant l'emprise de la fouille, qui en conséquence, est placé sous sa garde et sa responsabilité. Ce document permet aussi de constater le respect de l'ensemble des conditions de mise à disposition du terrain négocié avec l'aménageur.

#### **B. Le décapage archéologique et le stockage des terres :**

La fouille de la tranche ferme sera menée sur une superficie de 20 000 m<sup>2</sup>, conformément au plan annexé à la prescription de fouille. Le décapage mécanique consistera dans l'enlèvement de la terre végétale jusqu'à l'apparition des structures archéologiques soit une couche de terre de 0,50 m d'épaisseur en moyenne.

Par conséquent, cette phase de l'opération est estimée à environ deux semaines et demie (13 jours ouvrés) et prévoit la mise en place de deux ateliers de décapage (1 pelle mécanique et 2 tracteurs-bennes par atelier) permettant d'ouvrir simultanément la tranche ferme et la tranche complémentaire nord et réduire ainsi de moitié la durée du décapage. Chaque atelier est composé d'une équipe de 3 archéologues placés sous la responsabilité du responsable de l'opération (atelier 1) et d'un technicien expérimenté (atelier 2).

Le sens du décapage sera déterminé par le choix des emplacements des zones de dépôt. Par conséquent, nous préconisons de démarrer le décapage à l'ouest afin de progresser vers l'est. Cela permettra de circuler uniquement sur l'emprise ferroviaire et d'acheminer les terres vers l'unique zone de stockage située au nord de la tranche ferme. Cette zone complémentaire (nord) fera l'objet d'un diagnostic préalable. L'objectif de ce diagnostic, outre la reconnaissance du potentiel archéologique de ce secteur, sera de déterminer une zone de stockage de terre d'au moins 1,3 ha car la présence de ligne électrique ne permettra qu'un stockage partiel. Par conséquent, les vestiges situés en partie nord seront le cas échéant et dans la mesure du possible, étudiés dans le cadre du diagnostic et sous le contrôle du SRA Bretagne (Anne villard, conservateur, en charge du dossier LGV Bretagne).

En fonction des conditions d'accès et de circulation sur le terrain (terrain humide ou non) et afin de ne pas interrompre l'opération, des pelles mécaniques supplémentaires pourraient se substituer aux tracteurs agricoles pour l'évacuation des terres en procédant par jets de pelles (sur un temps limité à quelques jours).

En parallèle au décapage, l'équipe de fouille se consacrera également aux travaux de nettoyage, de délimitation et de numérotation des structures. Cette étape vise à inventorier et à dénombrer de manière exhaustive les vestiges du site afin d'asseoir les principes méthodologiques et les choix de la fouille.

#### **C. La fouille des vestiges : modes opératoires et principes méthodologiques :**

Afin de répondre aux préconisations du cahier des charges et d'atteindre les objectifs scientifiques développés plus haut, cette phase de fouille, consécutive à l'achèvement des décapages, est prévue pour une durée d'environ six semaines (32 jours ouvrés) avec une équipe d'archéologues constituée d'un responsable d'opération, assisté de six techniciens de fouille.

Dans un premier temps, une partie des moyens sera consacrée au dégagement, au nettoyage et au relevé précis des vestiges. Des levées topographiques seront réalisées au fur et à mesure de l'avancée du décapage puis de la fouille afin de disposer dès que possible du plan masse et du plan général des vestiges pour chacun des grands ensembles d'occupation. C'est à partir de ce plan que les grands principes méthodologiques seront mis en place, dans le respect des objectifs prioritaires tels qu'énoncés dans le cahier des charges scientifique et qui sont les suivants :

- 1) définir l'organisation générale des occupations
- 2) restituer la chronologie relative à chacun des ensembles ou des entités archéologiques.
- 3) recherche d'éléments mobiliers (chronologie absolue) pour les ensembles les plus remarquables (bâtiments, voies anciennes, enclos spécifiques, structures à vocation artisanale...).

Une attention toute particulière sera portée aux zones de contact et de recoupement des structures dans le but de préciser les éléments de chronologie relative. L'objectif visé sera de déterminer le phasage précis de l'occupation et d'en suivre l'évolution. D'autre part, l'étude architecturale des bâtiments de l'âge du fer comme de l'antiquité ainsi que l'étude des structures de combustion qui pourraient témoigner des restes d'une activité artisanale particulière, ce qui demeure extrêmement rare pour les périodes considérées, seront également privilégiées.

Concernant le réseau des fossés (enclos et/ou parcellaires), la méthode d'approche en sondage sera privilégiée (fouille par échantillonnage). Des sondages régulièrement espacés sur le tracé de ces éléments linéaires viendront compléter l'approche morpho-chronologique et renseigner la nature des processus de comblement (naturels et/ou anthropiques ; phases de curages ou d'entretien...). Ils seront le plus souvent réalisés au moyen d'engins de terrassement adaptés (pelle mécanique et surtout mini-pelle compte tenu des modules présents sur ce site). Dans les sections livrant des ensembles de mobiliers conséquents et définis en position de rejet primaire, la fouille manuelle (stratigraphique ou par passe) sera privilégiée.

Les fosses seront abordées selon le principe de l'échantillonnage par segments alternés, techniques permettant le relevé des profils et de la stratigraphie sur les axes longitudinaux et transversaux. En cas de comblements homogènes ou indifférenciés, le prélèvement du mobilier sera effectué par passe. Là encore, une fouille complète pourra être entreprise en fonction de la qualité des informations collectées dans la première étape.

Les autres structures en creux feront l'objet d'un échantillonnage manuel. Le choix sera arrêté sur la base de leur participation ou non à une des étapes de l'organisation du site, ou encore sur l'apport d'informations chronologiques par la seule présence de mobiliers. Ainsi, les trous de poteau entrant dans la composition d'architectures cohérentes seront fouillés par moitié et si nécessaire, intégralement vidés. Il convient de souligner la présence de plusieurs grandes concentrations de trous de poteau et de fosses au niveau de la tranchée 1183 qui pourraient suggérer la présence d'un ou plusieurs bâtiments. Celles-ci feront l'objet d'un décapage puis d'une fouille fine afin d'en restituer un plan précis. Enfin, les éléments isolés et déconnectés de toute implication dans la compréhension du site seront négligés.

DB 05 0308 12 Site de la Salmondière à Cesson-Sévigné (35) LGV Le Mans-Rennes, secteur 1

31/05/12

En complément des datations par le mobilier céramique dont la présence comme l'état de conservation reste aléatoire selon les secteurs et ou les types de structures, le principe de datation radiocarbone est envisagé, mais il ne sera mis en œuvre que lorsque la fiabilité des échantillons sera assurée et que l'analyse répondra aux problématiques générales. De la même façon, certaines questions liées à cette étude pourront trouver des éléments de réponse dans la mise en œuvre de disciplines annexes, comme la micromorphologie et la sédimentologie ou bien encore la palynologie.

### ***Le suivi de la fouille***

Tout au long de la fouille, les méthodes utilisées seront évaluées et adaptées au regard des données archéologiques. Au cours de la fouille, le responsable de l'opération évaluera régulièrement l'adéquation de la stratégie d'intervention avec les objectifs scientifiques de la fouille. Nous proposons d'organiser des réunions de chantier avec l'aménageur et le SRA afin de faire le point sur le chantier et son évolution, et si besoin de réorienter la stratégie de fouille à l'aune des découvertes. Ces réunions peuvent se faire selon un calendrier préalablement établi avec toutes les parties, ou en fonction des besoins dictés par l'actualité.

#### **D. Estimation des moyens de la phase terrain**

*La durée maximale de la phase terrain en tranche ferme est estimée à **45 jours ouvrés** (environ 2 mois et demi) et se décompose de la manière suivante :*

*-décapage mécanique : **13 jours***

*-fouille manuelle et mécanique des vestiges : **32 jours***

*L'équipe de base sera constituée du responsable d'opération assisté de cinq techniciens pendant la phase de décapage et de six techniciens pendant la phase de fouille. L'équipe sera complétée en fonction des besoins du responsable par des spécialistes (géomorphologue, palynologue, topographe, photographe, ...).*

#### **E. Estimation des moyens de la phase terrain de la tranche conditionnelle**

La surface maximale d'étude des tranches conditionnelles situées au nord et au sud de la section courante (cf. plan ci-joint) a été fixée à 3,9 ha par l'Etat (SRA Bretagne). Toutefois, compte tenu de l'absence de zones de stockage en périphérie immédiate des zones prescrites, nous proposons de nous limiter à une surface d'ouverture d'environ 3 ha majoritairement située au sud de la tranche ferme, à partir de laquelle nous avons déterminé les moyens complémentaire à mettre en œuvre (phase terrain et post-fouille). Dans tous les cas, une zone d'environ 1,3 ha devra être libérée au nord à des fins de stockage des terres de décapage. L'emprise définitive ainsi que sa localisation précise de la zone complémentaire sera définie par le SRA Bretagne à partir des résultats obtenus lors du diagnostic (phase 2, secteur 1, arrêté n° 2012-029).

*La durée maximale de la phase terrain en tranche conditionnelle est estimée à **40 jours ouvrés** et se décompose de la manière suivante :*

*-décapage mécanique : **15 jours***

*-fouille manuelle et mécanique des vestiges : **25 jours***

*L'équipe de base sera constituée du responsable d'opération assisté de 3 techniciens pendant la phase de décapage et de 9 techniciens pendant la phase de fouille. L'équipe sera complétée en fonction des besoins du responsable par des spécialistes (géomorphologue, palynologue, topographe, photographe,...).*

#### **F. L'achèvement de la fouille et la remise en état des terrains :**

A l'issue de la phase terrain, la fouille fera l'objet d'un contrôle et d'une validation des services de l'Etat (SRA Bretagne) afin de vérifier l'atteinte des objectifs conformément au cahier des charges scientifique de l'Etat. L'Inrap procédera également à la démobilisation des installations et au démontage de la plateforme.

Lorsque les terrains auront été libérés par l'Inrap, un procès verbal de fin d'opération sera signé entre l'Inrap et l'aménageur. Ce document constate la fin de l'opération de fouilles archéologiques sur le terrain, la cessation de l'occupation par l'Inrap des zones d'emprise de fouille, qui ne peut plus être considéré comme responsable de la garde et de la surveillance du chantier, la date à partir de laquelle l'aménageur recouvre l'usage du terrain, l'accomplissement des obligations prévues par la présente convention, et le cas échéant, les réserves formulées par l'une ou l'autre des parties. Dans ce cas, un nouveau procès verbal constatera la levée de ces réserves. Conformément à l'article R.523-59 du Code du Patrimoine, le préfet de région délivrera à l'aménageur une attestation de libération du terrain dans les quinze jours suivant la notification par l'aménageur de l'achèvement des opérations de fouilles sur le site.

Conformément à la demande du maître d'ouvrage, la question de la remise en état des terrains est présentée en option dans le présent marché et sera déclenchée au non à sa demande. Dans ce cas, il sera procédé au remblaiement des terres issues du décapage afin de restituer le niveau de sol actuel et permettre une remise en culture des terres agricoles. Ce remblaiement sera effectué par un prestataire de l'Inrap (terrassier) à l'aide de moyens mécaniques appropriés, sous le contrôle de l'établissement.

#### **V. Phases d'études**

##### **A. L'enregistrement des données**

Chaque séquence de la fouille sera accompagnée des indispensables mesures de sauvegarde des informations archéologiques : photographies, relevés graphiques en plan et en coupe (1/20<sup>e</sup> et 1/100<sup>e</sup>), inventaires, descriptions des structures ou unités stratigraphiques et collectes du mobilier par contexte, unité stratigraphique ou à défaut par passe. L'inventaire



des structures élaboré lors du décapage sera révisé et complété au fur et à mesure de l'échantillonnage. Une fiche individuelle permettant de consigner les observations archéologiques et caractéristiques intrinsèques sera remplie pour chaque niveau fouillé (fiche d'Unité Stratigraphique) et structure testée et/ou fouillée. Elle sera accompagnée des photographies et dessins nécessaires à son étude.

Dans la perspective d'une publication future demandée dans le cahier des charges de la prescription, ou pour les besoins du rapport, une nacelle élévatrice permettant de meilleures prises de vues photographiques générales pourra être ponctuellement mobilisée.

#### **B. Principes généraux de la phase étude :**

Dès l'achèvement de la phase terrain, il sera demandé au responsable d'opération d'apprécier l'adéquation des moyens à la finalité des études et de proposer, le cas échéant une réorientation d'une partie de ceux-ci. Il conviendra bien entendu d'assurer une collaboration le plus en amont possible avec l'ensemble des spécialistes intéressés par les problématiques liées à cette opération.

En l'état actuel des données, la phase étude (tranche ferme) est prévue pour une durée d'environ deux mois pour le responsable d'opération (35 jours ouvrés). Il sera assisté d'un dessinateur et d'un technicien pour les tâches de traitement, de conditionnement et d'inventaire de données. Le traitement de la documentation graphique sera conçu avec un souci de clarté afin de répondre à la fois aux exigences du rapport final d'opération (RFO) et à celles d'une future publication qui, au regard de l'intérêt du gisement apparaît plus qu'évidente. Un céramologue, spécialiste de la période antique assurera l'étude du mobilier. Si la présence d'autres types de mobilier se confirmait (faune, métal, ...), leur étude serait confiée à des spécialistes afin d'en assurer la caractérisation et éventuellement la datation.

Le rapport final d'opération comportera une présentation des problématiques générales et des connaissances archéologiques préalables, ainsi que les grandes orientations méthodologiques. Il comportera ensuite la présentation des résultats. Enfin, une synthèse générale sera proposée afin de replacer l'intérêt du site dans les problématiques régionales, en mettant en exergue les principaux apports de l'opération. Ces derniers serviront de base à la réflexion pour juger des suites à donner à l'opération (publication, action de valorisation ou de communication...).

Au terme de la phase d'étude, le rapport de fouille sera remis en 5 exemplaires au Service Régional de l'Archéologie de Bretagne, accompagné du mobilier, des archives et des différents inventaires, conformément aux dispositions de l'arrêté ministériel du 27 septembre 2004 portant définition des normes de contenu et de présentation des rapports d'opérations archéologiques.

*La phase d'étude de la tranche ferme sera conduite par le responsable de l'opération pendant environ deux mois (35 jours ouvrés). Il sera assisté d'un dessinateur (30 jours), d'un céramologue (30 jours) et d'un technicien (20 jours) pour le traitement du mobilier et des archives de fouille. Le reste des moyens sera réparti entre les différents spécialistes (géomorphologue, palynologue, archiviste, photographe,...) en fonction de la pertinence et de l'intérêt des études à réaliser.*

*La phase d'étude de la tranche conditionnelle sera conduite par le responsable d'opération pendant un mois (20 jours). Il sera assisté d'un céramologue (20 jours), d'un technicien de fouille (20 jours) et d'un dessinateur (20 jours).*

## **VI. Equipe scientifique et qualification du responsable d'opération :**

Le responsable scientifique proposé par l'Inrap pour conduire cette intervention est Monsieur Jean-Claude Durand, spécialiste de la période de l'âge du fer. Comme en témoigne son curriculum vitae, cet archéologue possède une solide expérience en matière d'étude de sites d'habitat rural pour la période considérée et une bonne maîtrise des contextes régionaux et locaux. Il a notamment participé aux études récentes des sites gaulois et gallo-romain de La Dinetière et de la Massuère à Brielles sur le secteur 4 de la LGV.

Afin de mener à bien cette étude et de répondre à l'ensemble des problématiques du site, conformément aux exigences du cahier des charges scientifique (prescription de l'Etat), une équipe pluri disciplinaire sera constituée autour du responsable d'opération. Elle réunira l'ensemble des disciplines scientifiques utiles à cette étude (palynologue, anthracologue, céramologue), chacun apportant des compétences dans un domaine particulier. Par conséquent, le responsable d'opération sera assisté en tant que de besoin des spécialistes suivants :

- Théophile Nicolas (Inrap), céramologue, âge du Bronze
- Anne-Françoise Cherel (Inrap), céramologue, âge du fer
- Laure Simon (Inrap), céramologue, période antique
- Hélène Seignac (Inrap) anthracologue
- Delphine Barbier-Pain (Inrap), palynologue

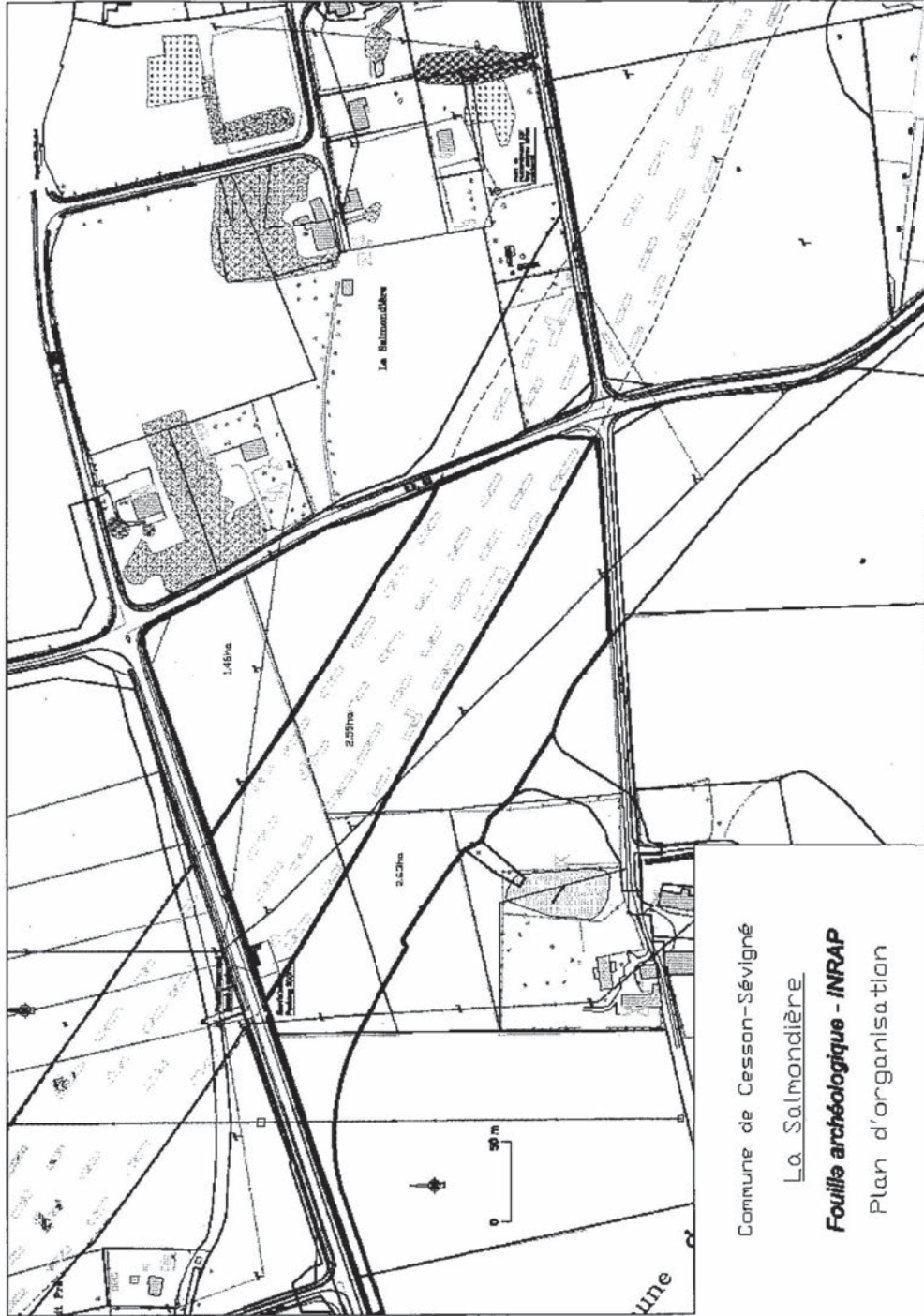
## **VII. Le calendrier et le phasage de l'intervention**

La durée de la phase terrain est estimée à environ 2 mois et demi (hors phase de préparation) pour la tranche ferme, et 2 mois et demi pour la tranche conditionnelle. La période d'intervention proposée par l'Inrap pour la fouille de la tranche ferme et de la tranche conditionnelle nord est comprise entre le **04 juin** et le **19 octobre 2012** avec l'assurance pour le maître d'ouvrage d'une libération des terrains et une levée de la contrainte archéologique au plus tard le 19 octobre 2012.

La période d'intervention proposé par l'Inrap pour la tranche conditionnelle sud est comprise entre le **04 juin** et le **10 août 2012** afin de permettre une étude du site dans la continuité, conformément aux recommandations de l'Etat (SRA Bretagne). Ce calendrier est indicatif et susceptible d'être modifié en fonction des décisions que pourrait prendre l'Etat à l'issu du diagnostic des tranches complémentaires.

31/05/12

DB 05 0308 12 Site de la Salmondière à Cesson-Sévigné (35) LGV Le Mans-Rennes, secteur 1



31/05/2012 15:30 0299845919

SRA BRETAGNE

PAGE 01/02



PREFET DE LA REGION BRETAGNE

REÇU LE  
31 MAI 2012  
3050  
I.N.R.A.P.

**ARRETE n° 2012-102**  
**portant autorisation de fouille archéologique préventive**

**Le Préfet de la région Bretagne**  
**Préfet d'Ille-et-Vilaine**

VU le code du patrimoine, notamment son livre V ;

VU l'arrêté préfectoral n° 2010 S.G.A.R. / DRAC/DSG en date du 14 décembre 2010 portant délégation de signature à M. François ERLÉNBACH, directeur régional des affaires culturelles de Bretagne,

VU l'arrêté n° 2011-2208 du 18 mars 2011 portant subdélégation de signature paru au recueil des actes administratifs n° 347 du 25 mars 2011,

VU l'avis de la commission interrégionale de la recherche archéologique en date du 6 décembre 2012,

VU l'arrêté de prescription de fouille archéologique n° 2012-084 du 12 avril 2012 et son cahier des charges ,

VU le contrat conclu pour la réalisation de la fouille prescrite, reçu par courriel le 29 mai 2012, et l'ensemble des autres pièces du dossier de demande de l'autorisation ,

**CONSIDERANT** que le contrat et, notamment, le projet d'intervention de l'opérateur, sont conformes au cahier des charges prescrit ;

**ARRETE**

**Article 1<sup>er</sup>** : EIFFAGE RAIL EXPRESS, maître d'ouvrage du projet est autorisée à faire réaliser par l'Inrap, opérateur, sous la direction scientifique de Monsieur Jean-Claude DURAND, la fouille archéologique préventive portant sur le terrain sis en :

Département :	Ille-et-Vilaine	
Commune :	CESSON-SEVIGNE	
Lieu-dit :	La Salmondière	
Cadastre :	section : ZP	parcelles : 78, 79, 80, 81, 82,

**Article 2** : L'aménageur et l'opérateur notifieront au service régional d'archéologie les dates de début et de fin de la fouille au moins cinq jours ouvrables avant le début de l'opération et faciliteront par tous moyens aux représentants de l'Etat l'exercice de leur mission de contrôle. Avec le responsable scientifique, ils veilleront, chacun pour ce qui le concerne, à la mise en œuvre des observations et des instructions formulées par le représentant de l'Etat lors de visites ou de réunions de chantier.

**Article 3** : Aux fins de son étude scientifique, le mobilier archéologique issu de la fouille est placé sous la garde de l'opérateur qui en dresse l'inventaire, prend les dispositions nécessaires à sa sécurité et, en tant que de besoin, à sa mise en état pour étude.

31/05/2012 15:30 0299845919

SRA BRETAGNE

PAGE 02/02

A l'expiration de la période de garde, qui ne peut excéder deux ans à compter de la date de délivrance de l'attestation de libération de terrain visée à l'article 5, l'opérateur remet le mobilier à l'Etat avec la documentation scientifique constituée au cours de l'opération.

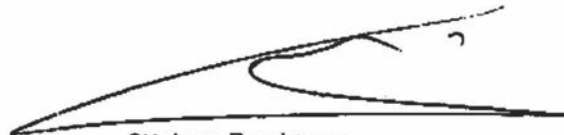
**Article 4 :** Lorsqu'il n'est pas lui-même propriétaire du terrain, l'aménageur communique au service régional de l'archéologie le nom et l'adresse du ou des propriétaires afin que ceux-ci puissent, le cas échéant, exercer leurs droits sur le mobilier dont l'inventaire leur sera transmis par l'Etat.

**Article 5 :** L'aménageur notifie l'achèvement de l'opération de fouille sur le terrain. Dans les quinze jours suivant la réception de cette notification, une attestation de libération du terrain lui est délivrée. Faute de délivrance de l'attestation dans ce délai, celle-ci est réputée acquise.

**Article 6 :** Le directeur régional des affaires culturelles est chargé de l'exécution du présent arrêté, qui sera notifié au directeur de Eiffage Rail Express, 22 avenue Henri Fréville, 35000 Rennes et à l'Institut national de recherches archéologiques préventives, Direction interrégionale Grand-Ouest, 37 rue du Bignon - CS 67737 - 35577 Cesson-Sévigné cedex.

Fait à Rennes, le 30 mai 2012

pour le Préfet de région,  
pour le directeur régional des affaires culturelles  
absent ou empêché,



Stéphane Deschamps  
Conservateur régional de l'archéologie

destinataires : Eiffage Rail Express  
Inrap

copie à : Mairie de Cesson-Sévigné  
Préfecture d'Ille-et-Vilaine  
Préfecture de région  
DREAL Ille-et-Vilaine

## **II. Résultats**

# 1. Contexte général

## 1.1. Introduction

Le projet de construction de la Ligne à Grande Vitesse Le Mans-Rennes par la société Eiffage Rail Express, a conduit le Service Régional de l'Archéologie de Bretagne à prescrire une série de diagnostics sur l'ensemble du tracé. Quatre secteurs d'intervention ont été déterminés pour la partie bretonne. Le site de Cesson-Sévigné La Salmondière est situé dans le secteur 1 (fig. 3). Une première phase de diagnostic a été réalisée en 2011 par Sandrine Barbeau (Inrap) permettant la mise au jour de 7 indices de sites archéologiques (Barbeau, 2011) allant du Bronze final jusqu'au XV<sup>e</sup> siècle (fig. 4). Entre mai et juin 2012, Sandrine Barbeau a réalisé des diagnostics complémentaires (Barbeau, 2012) sur des zones ponctuelles et notamment sur celle de La Salmondière (fig. 5).

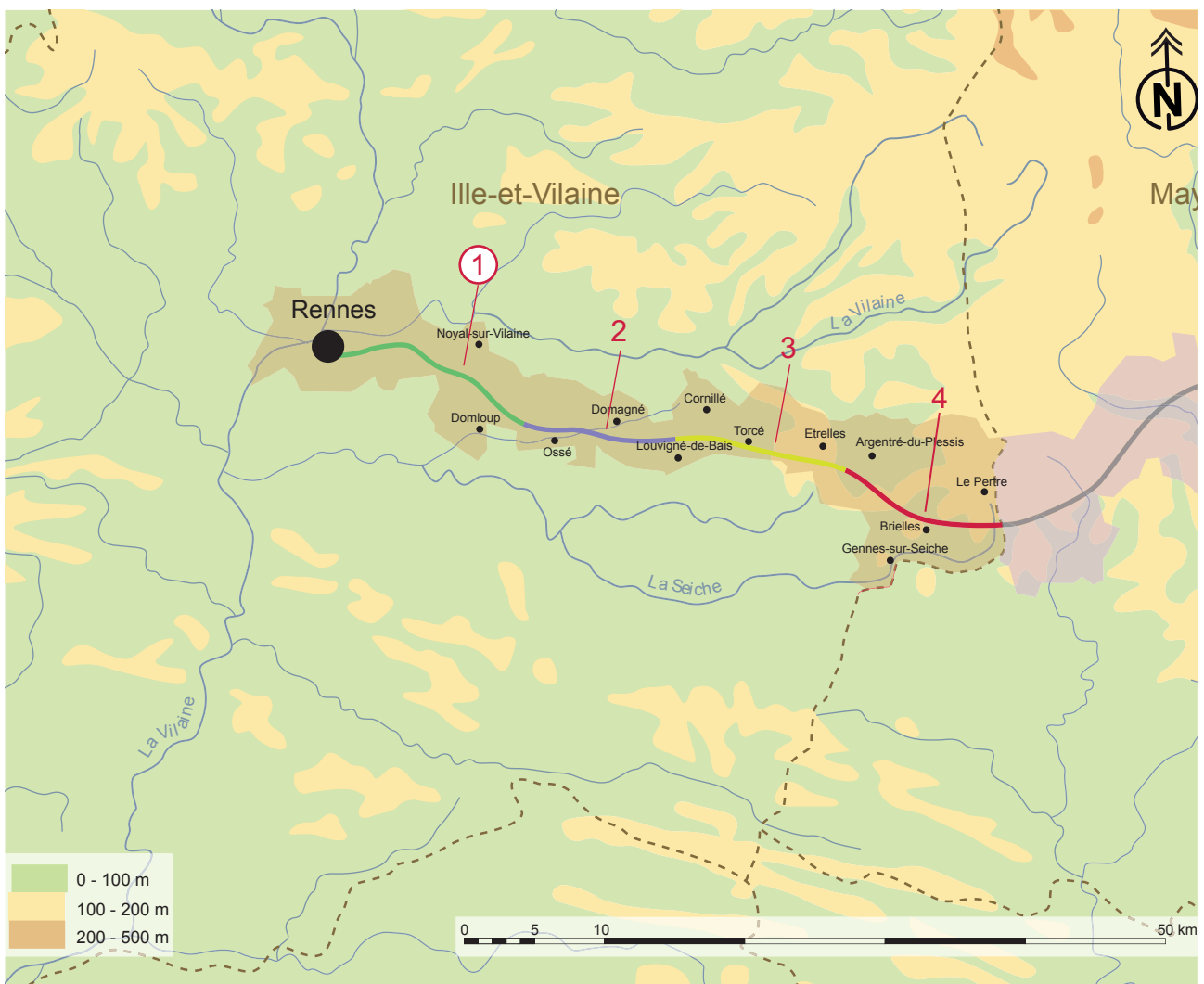


Fig. 3 : carte de localisation des différents secteurs de la LGV Le Mans-Rennes

Localisation de l'opération et environnement archéologique

★ Age du Fer ★ Antique ★ Moyen Âge

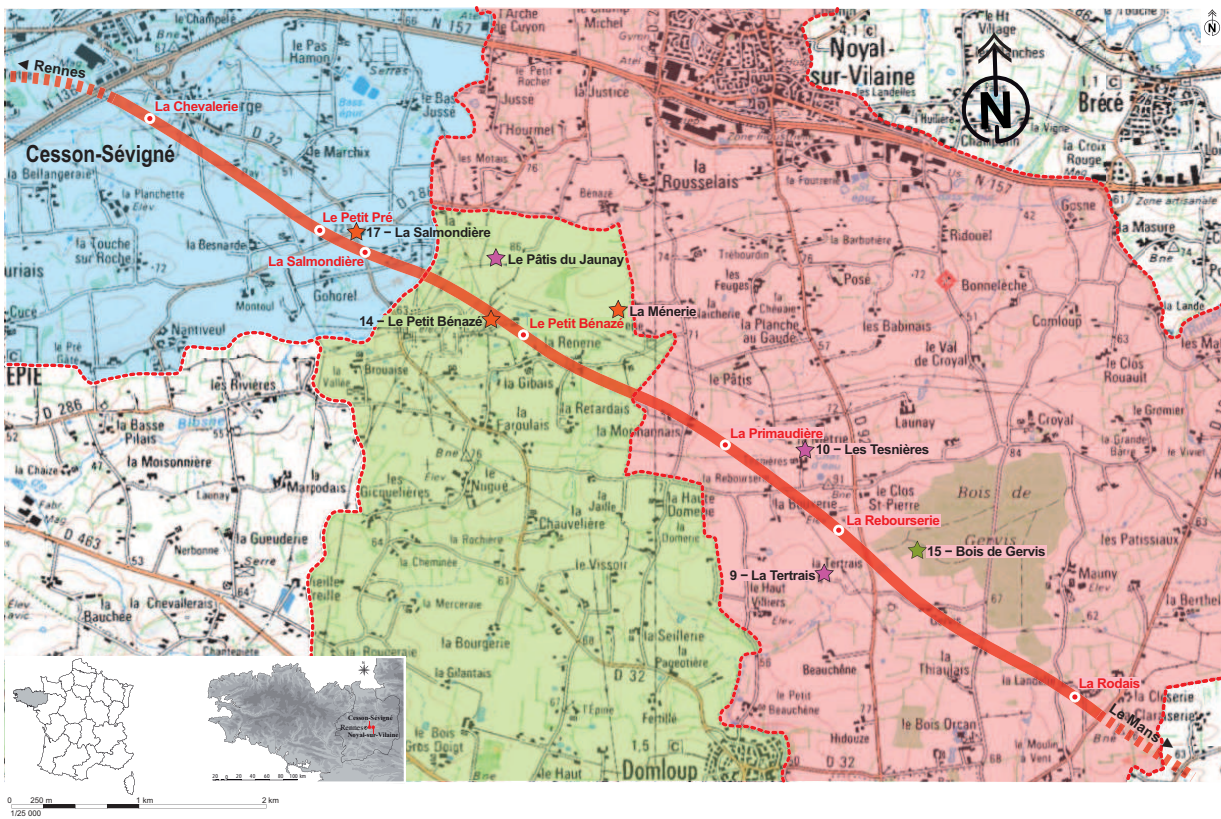


Fig. 4 : carte des sites du secteur 1 de la LGV Le Mans-Rennes



Fig. 5 : plan des tranchées de diagnostic de La Salmondière



## 1.2. Les contextes de l'intervention

### 1.2.1. Contexte topographique et géologique

Le site est située sur la commune de Cesson-Sévigné, au sud-est, à l'intersection de la départementale D286 en direction de Chantepie et de la départementale D32 en direction de Domloup (fig. 6). La topographie de ce secteur se caractérise par un relief peu marqué (pénéplaine) parcouru par un riche réseau hydrographique (fig. 7). L'altitude moyenne du site est de 73 m NGF, constituant un petit rebord de plateau dominant un paysage s'étalant vers le nord et nord-ouest à la cote minimale de 40 m NGF. Par contre la courbe des 70 m NGF constitue comme une limite enserrant la totalité du site (fig. 8). A 500 m environ au sud-est, coule le ruisseau Le Blosne. La géologie de ce secteur appartient au Massif armoricain, dont le substrat est constitué de schiste briovérien (fig. 9).

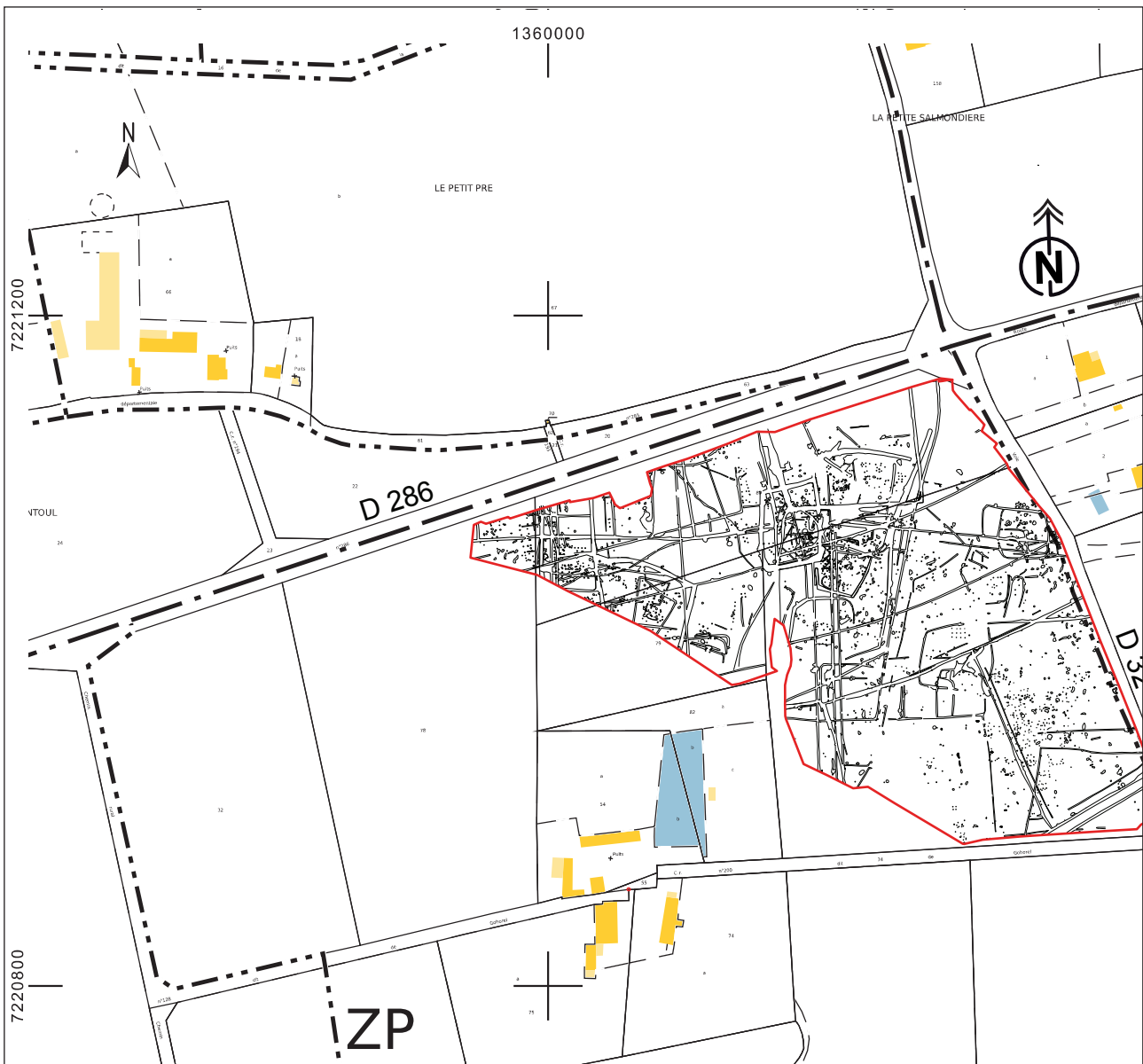


Fig. 6 : localisation du site sur cadastre récent

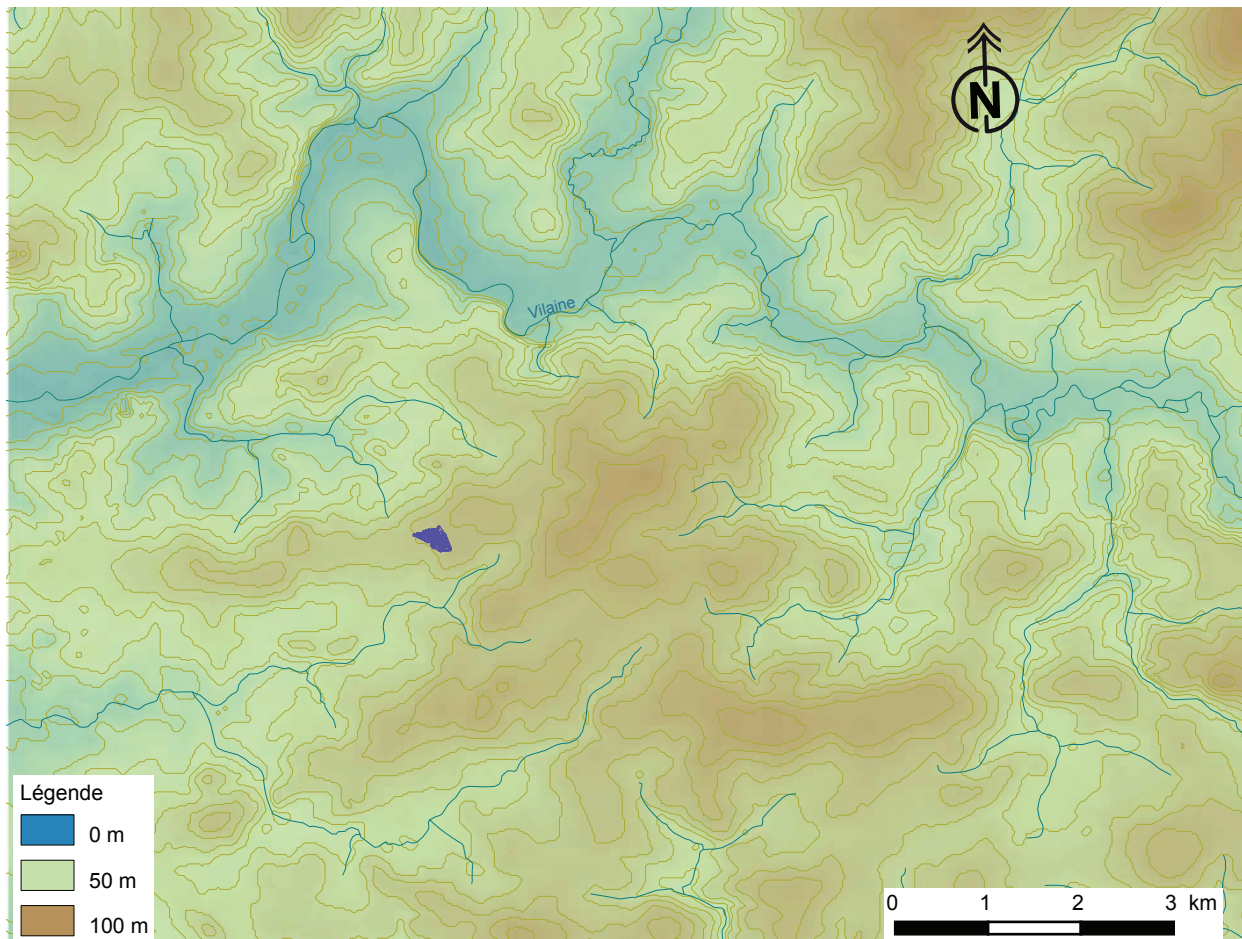


Fig. 7 : plan de localisation du site de la Salmondière sur fond topographique



Fig. 8 : détail du site dans son contexte topographique

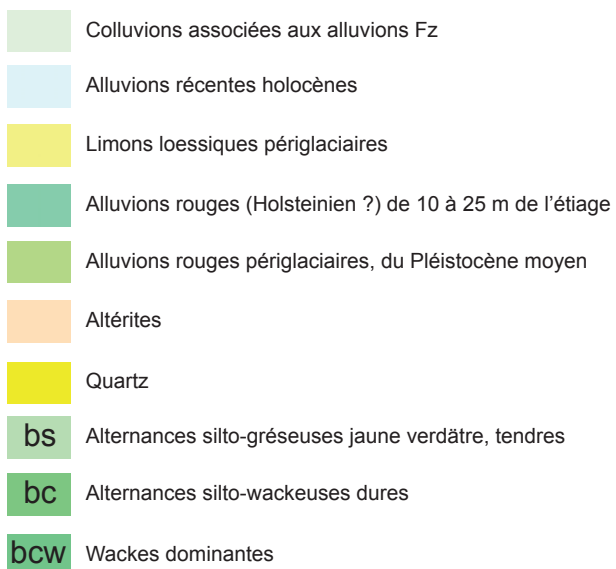
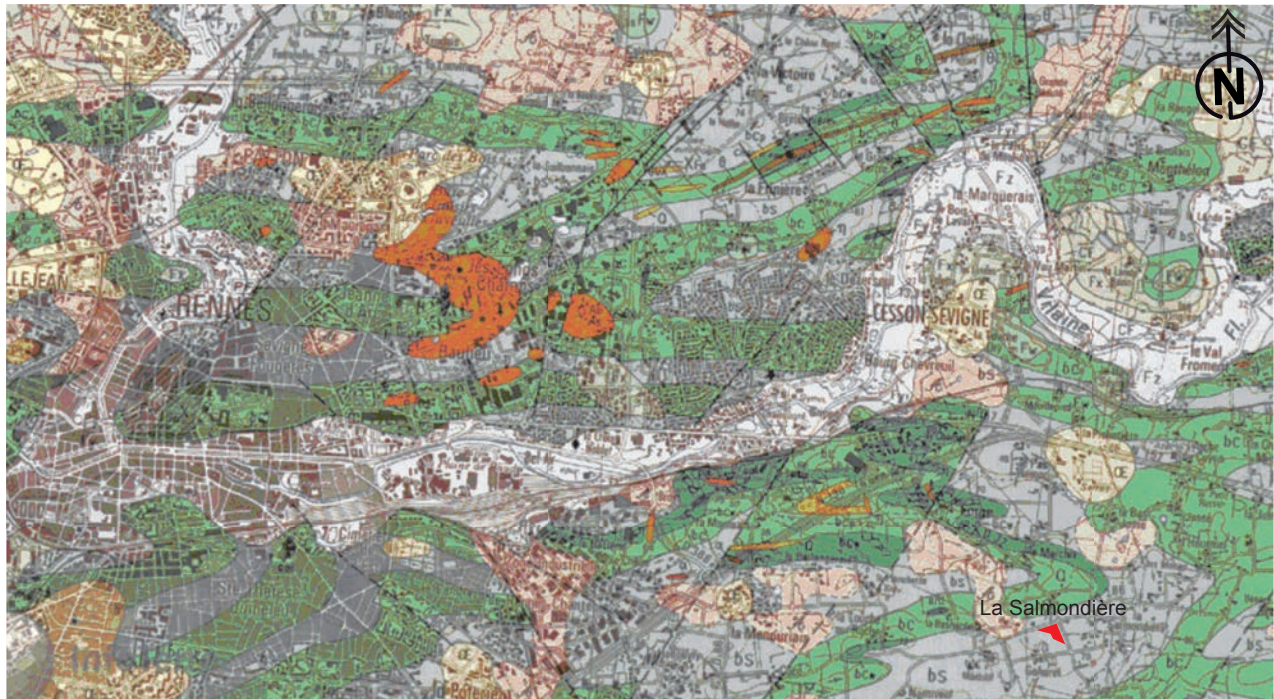


Fig. 9 : localisation du site sur fond géologique au 1/50 000 Feuille de Rennes © BRGM 2000

### 1.2.2. Contexte archéologique et historique

Le contexte archéologique de ce secteur est riche. C'est à partir du recensement de la carte archéologique du SRA (fig. 10) regroupant à la fois les prospections pédestres, aériennes ainsi que les diagnostics et fouilles archéologiques que nous pouvons proposer une fenêtre ponctuelle d'environ 3 km de rayon autour du site sur des périodes allant du Néolithique jusqu'à la période médiévale.

Pour la période néolithique deux indices de site existent. Il s'agit de traces d'occupations au lieu dit Le Petit Pré, sur la commune de Cesson-Sévigné (2011) et au lieu dit Les Rives du Blosson sur Chantepie (2003). Ce dernier site s'intègre dans une série d'opérations suivie sur plusieurs années dans le cadre de l'aménagement d'une ZAC. Il s'agit de sites multi périodes. La découverte du Petit Pré correspond à une phase de diagnostics réalisée par S. Barbeau en 2011, dans le cadre de la LGV Le Mans - Rennes. Sur ce site a été mise au jour une fosse comportant de la céramique du Néolithique final.

Pour l'âge du Bronze, il faut signaler la découverte d'un torque en or sur la commune de Cesson-Sévigné à La Touche-sur Roche, au Champ Pual, au nord-ouest du site à environ 1,5 km. Il proviendrait des Iles Britanniques (CAG 35 p. 341). Il faut également y associer quelques structures provenant du site du Petit Pré (Barbeau 2011).

Pour l'âge du Fer ce sont essentiellement des enclos présents majoritairement sur la commune de Chantepie avec : Soeuvres (2001), La Marpodais (2010) et La Basse Pilais (2008) et pour Cesson-Sévigné : La Fosse au Loup (2001). D'autres indices d'enclos ont été repérés par G. Leroux par prospections aériennes. L'un de ces indices (un enclos de plan carré) à été repéré à moins de 200 m au nord-ouest du site de La Salmondière. Dans les environs de l'opération, les sites gallo-romains sont situés essentiellement sur les communes de Domloup et Chantepie. Sur la commune de Domloup, Le Petit Bénazé est un habitat qui vient de faire l'objet d'une fouille (A-L Hamon, 2015). Les autres sites sont localisés principalement sur la commune de Chantepie, le long de la voie romaine Rennes-Angers. Elle correspond, pour une part à la limite communale puis est reprise par des chemins. Par contre, il faut signaler quelques découvertes fortuites présentées dans la CAG 35<sup>1</sup> (p. 265) dans le secteur nord-est de la commune de Cesson-Sévigné. Il s'agit notamment de poteries et de figurines trouvées sur les bords de la Vilaine au Pont des Romains ainsi que de monnaies à Bout-de-Bois. Il faut y ajouter du mobilier des deux premiers siècles de notre ère à la Chapelle ainsi qu'un enclos quadrangulaire à fossés à dominante rectiligne de 100 m par 80 m à la Bretonnière. La présence d'artefacts au sol évoque une ferme indigène gallo-romaine.

Il est important de noter également qu'à la Salmondière, de l'autre côté de la départementale D 286 au nord-ouest du site, à moins de 100 m, des prospections pédestres réalisées par le CERAPAR<sup>2</sup> ont mis au jour : «... des moellons associés à des tegulae, des briques, des éléments de dallage ou placages en schistes et des tessons d'amphore et de céramique commune et sigillée des I<sup>er</sup> et II<sup>e</sup> siècle de notre ère.»<sup>3</sup> Ces différents éléments évoquant la présence d'une villa gallo-romaine ou d'une ferme de cette époque.

Les occupations médiévales sont représentées principalement par des mottes castrales auxquelles il faut ajouter les sites d'habitat ruraux de La LGV, fouillés en 2012 sur la commune de Noyal-sur-Vilaine (La Primaudière et la Rebourserie) et dont les rapports sont en cours. Les prospections aériennes ont également permis de révéler la présence de lambeaux de chemins dont certains apparaissent sur le cadastre napoléonien, tout en pouvant être d'origine plus ancienne.

<sup>1</sup> Carte Archéologique de La Gaule d'Ille-et-Vilaine

<sup>2</sup> Centre de Recherches Archéologiques du Pays de Rennes

<sup>3</sup> A. Provost, 1987.

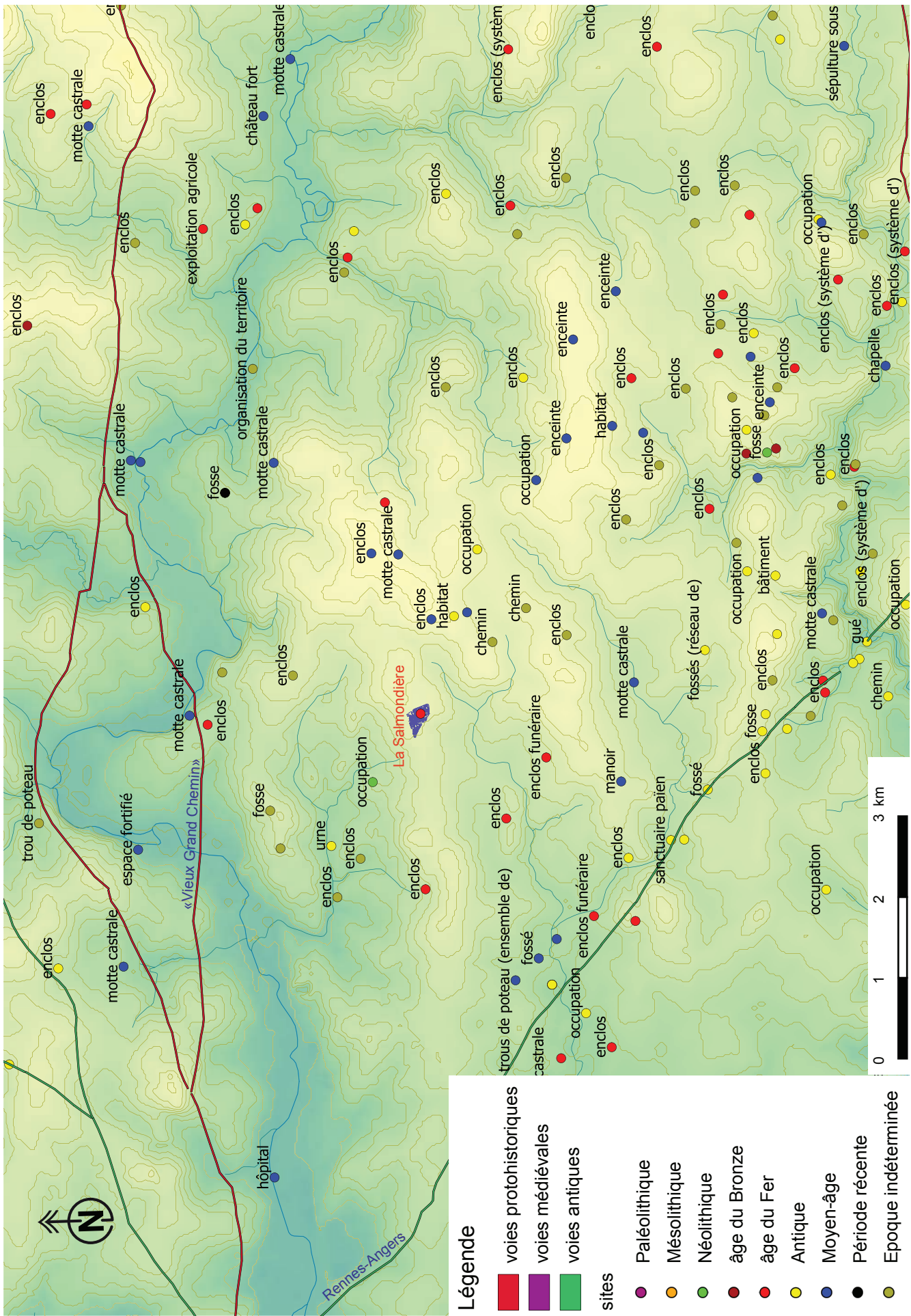


Fig. 10 : localisation des sites archéologiques sur fond topographique, données de la Carte archéologique du SRA

### 1.2.2.1. Le cadastre moderne

Certaines limites parcellaires retrouvées lors du décapage sous forme de fossés se rapportent à des périodes récentes. En effet sur une mission aérienne de 1955, il est possible de voir l'état du site avant le remembrement des années 60 (fig. 11). Dans la partie sud-est en bordure d'un chemin, un petit enclos rectangulaire d'axe nord-ouest/sud-est bien marqué dans le paysage, semble enfermer un verger comme l'attestent les points noirs correspondant à l'alignement des arbres. Est accolé à cet enclos côté ouest, un ensemble de parcelles laniérées. Une autre limite est fortement marquée dans le paysage, il s'agit d'un axe (sous forme de haie) traversant le site du sud vers le nord. Nous verrons dans le cadre de ce rapport que certaines de ces limites reprennent des éléments présents dès l'époque gauloise.

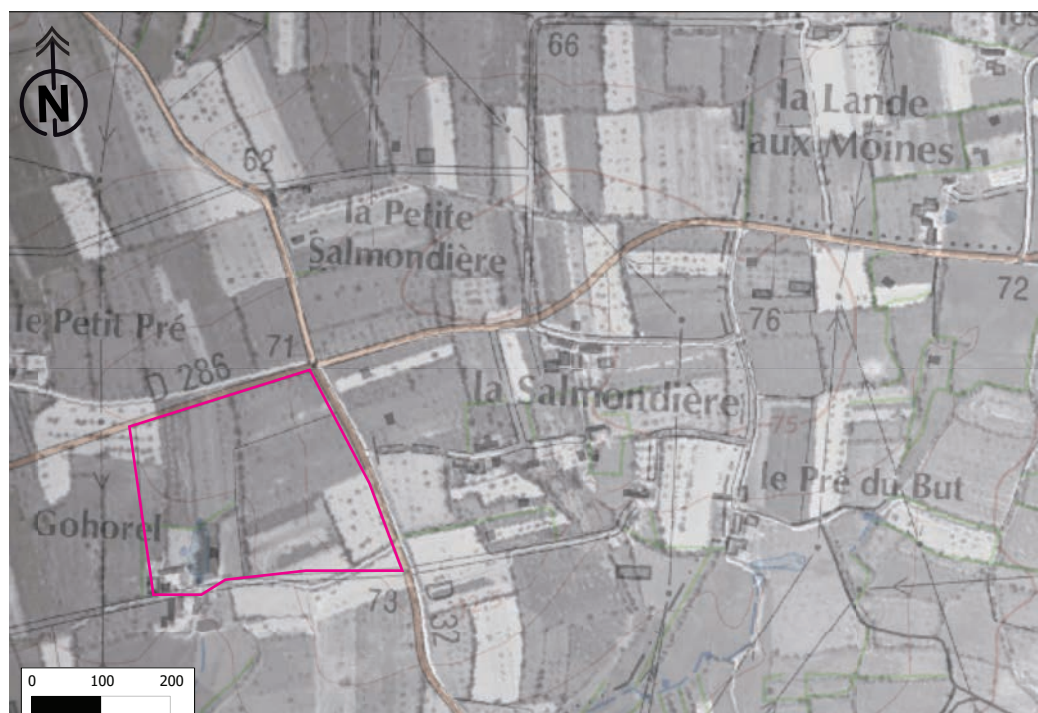


Fig. 11 : report d'une mission aérienne de 1955 sur l'emprise du site sur carte au 1/25 000 (IGN)

La vue du site avant notre intervention (fig. 12) indique que le petit enclos du sud-est a disparu et que les deux limites fortes sont : la haie d'axe nord/sud, partant du domaine Le Gohorel et l'axe est/ouest situé dans la partie plus septentrionale. En 1955, la haie allait jusqu'à la route de Chantepie, elle a disparu dans la bande est/ouest.



Fig. 12 : vue aérienne du site avant intervention © Google Maps 2012

#### 1.2.2.2. Le cadastre napoléonien de 1820

Sur ce cadastre ancien (fig. 13) il est possible de voir des limites cadastrales représentées par des fossés et des haies présentes également dans le cadre des fouilles (fig. 14). Nous avons reporté en noir sur le cadastre napoléonien les fossés et haies trouvés en fouille et visibles sur ce même plan. Il est donc possible de voir que le paysage bocager n'ayant évolué qu'après le remembrement des années 60 a certainement fossilisé des limites plus anciennes. Il faut noter, par exemple, que pour la période gauloise, la haie 1002 (la haie la plus à l'ouest sur le plan) reprend exactement le tracé du fossé 836 de l'enclos gaulois.

Doit-on parler de limite de propriétés pérennes ou bien peut on également parler de déterminisme ? En effet, si l'on observe la figure 14, au lieu dit Gohorel (ferme datée du XV<sup>e</sup> siècle), se trouve un plan d'eau vers lequel semble converger une partie de l'ensemble du réseau parcellaire. Il se peut donc que ce point bas ait de tout temps eu comme fonction la captation des eaux de ruissellement apportées par les fossés jouant le rôle de drain.

L'étude comparative entre le cadastre napoléonien et le plan récent, montre une reprise du réseau viaire entre ces deux périodes. En effet le site est bordé au nord par la route menant à Chantepie alors qu'au début du XIX<sup>e</sup> siècle, le chemin passe plus au nord dans les terrains agricoles situés de l'autre côté de la route. A noter que les vestiges de cet axe ont été retrouvés lors de la phase diagnostic (Barbeau 2011).

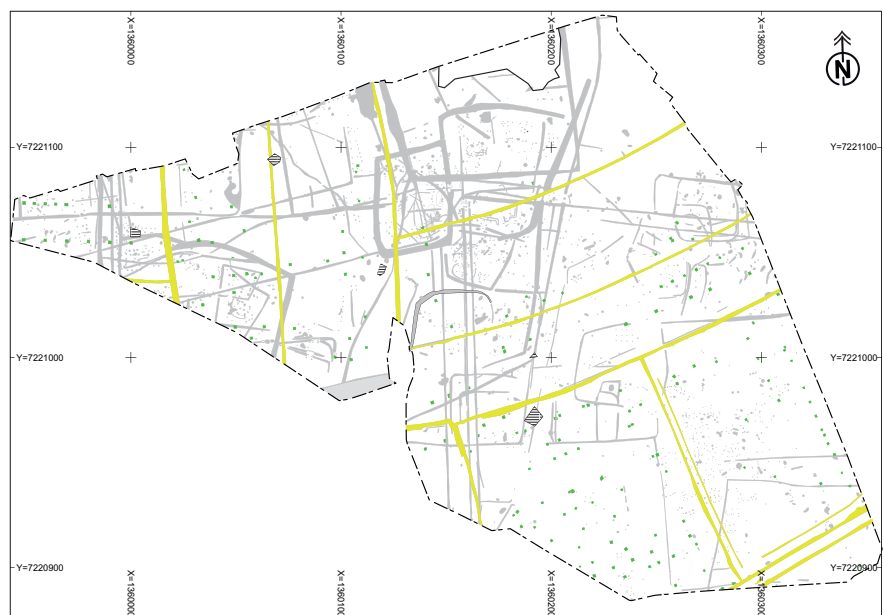
A l'opposé dans l'angle sud-est de l'emprise, un chemin traverse le site selon un axe nord-est/sud-ouest, il correspond sur le cadastre napoléonien au chemin qui menait à la ferme Le Gohorel. Il est maintenant abandonné, remblayé et remplacé par une petite route d'axe est/ouest, passant plus au sud. Il a été recoupé à la pelle mécanique mais sa fouille n'a pas permis de



**Fig. 13** : localisation (en noir) des limites cadastrales présentes à la fois sur le cadastre napoléonien et dans le décapage © sur fond de cadastre napoléonien, Archives départementales d'Ille-et-Vilaine

lui attribuer une origine plus ancienne que le XIX<sup>e</sup> siècle.

Nous avons constaté sur la photographie aérienne de 1955 la présence de nombreuses plantations d'arbres correspondant à des vergers. Ces plantations se retrouvent (en vert) sur le plan de fouille sous la forme de carrés correspondant à des «caves à pommiers» ou sous une forme moins bien définie correspondant à des chablis. Il faut noter que ces éléments sont tous de période récente, car aucun n'est recoupé par une structure d'une des époques protohistoriques ou historiques.



**Fig. 14** : en jaune, les limites cadastrales retrouvées en fouille et en vert les fosses de plantation



### 1.3. Les objectifs de la fouille

La prescription de fouille archéologique du site de La Salmondière porte sur une tranche ferme de 2,4 ha (avec un minimum de 2 ha) et une tranche conditionnelle de 3,9 ha, cette dernière étant liée aux résultats de la phase complémentaire de diagnostique.

Le cahier des charges scientifiques déterminé par le SRA (annexé à l'arrêté de prescription) a permis de définir le cadre précis de cette intervention archéologique. Il indique notamment que : « *Les résultats du diagnostic [...] ont montré une densité importante de l'occupation humaine de ce secteur depuis le Néolithique. La topographie de La Salmondière [...] était particulièrement propice à l'installation humaine puisque les indices de l'âge du Bronze, un habitat de La Tène moyenne et finale, une villa et ses dépendances, et des vestiges du haut Moyen Âge ont été mis en évidence dans cet environnement* ».

Les différentes phases de diagnostic ont montré une forte densité d'occupation sur le site avec un enchevêtrement de périodes difficile à démêler. La fouille «... vise à identifier la nature et la fonction des ensembles détectés lors du diagnostic, notamment l'habitat gaulois et le site antique qui semble lui succéder ».

Pour les secteurs situés plus au sud, une nouvelle expertise sera réalisée par le SRA après décapage afin de déterminer le mode opératoire : relevé de surface ou fouille rapide.

Les résultats de la fouille devront être mis en relation avec notamment deux sites de la LGV : La Dinetière à Brielles (fouille de Dominique Pouille en 2011) et La Claraiserie à Ossé (fouille en cours par Joseph Le Gall) afin de tenter une étude comparative «... tant sur le plan de la typologie du mobilier que du phasage des occupations ou de la hiérarchisation des sites».

#### 1.3.1. Les contraintes

L'intervention archéologique sur ce site répond à un double projet. En effet, il s'agit à la fois de la réalisation de la ligne LGV traversant le site du nord-ouest vers le sud-est (L sur le plan, **fig. 15**), mais également de la construction d'un giratoire dans la partie sud-ouest de l'emprise. Ce dernier desservant vers le nord le lieu dit Forge et vers le sud la ferme du Gohorel et permettant également de relier selon un axe nord-ouest/sud-est les communes de Chantepie à Domloup. Ces différents ouvrages d'art répondant à un calendrier précis de l'aménageur, ont conditionné l'intervention archéologique. La priorité étant mise sur le giratoire, la Société Eiffage nous a demandé de libérer toute la zone sud pour fin juillet. Nous avons tenu notre engagement, mais afin d'éviter une cohabitation des équipes non souhaitée par les deux parties, l'aménageur n'a pris réellement possession des lieux qu'à la fin de l'opération. Ce calendrier nous a quand même obligé à faire des choix scientifiques. En effet le décapage ayant mis en évidence (dans une partie de cette zone), une occupation du Bronze final, période peu documentée dans ce secteur, le SRA nous a demandé de centrer nos efforts sur ces structures, au dépend de la phase d'occupation médiévale, située dans l'angle nord-est du site.

Le site a beaucoup souffert de conditions météorologiques peu favorables et notamment d'une pluviométrie importante. En effet après le passage des pluies et le séchage, se dépose une couche de limon masquant les structures qu'il faut le plus souvent décapier à la mini-pelle. De plus l'usage d'une

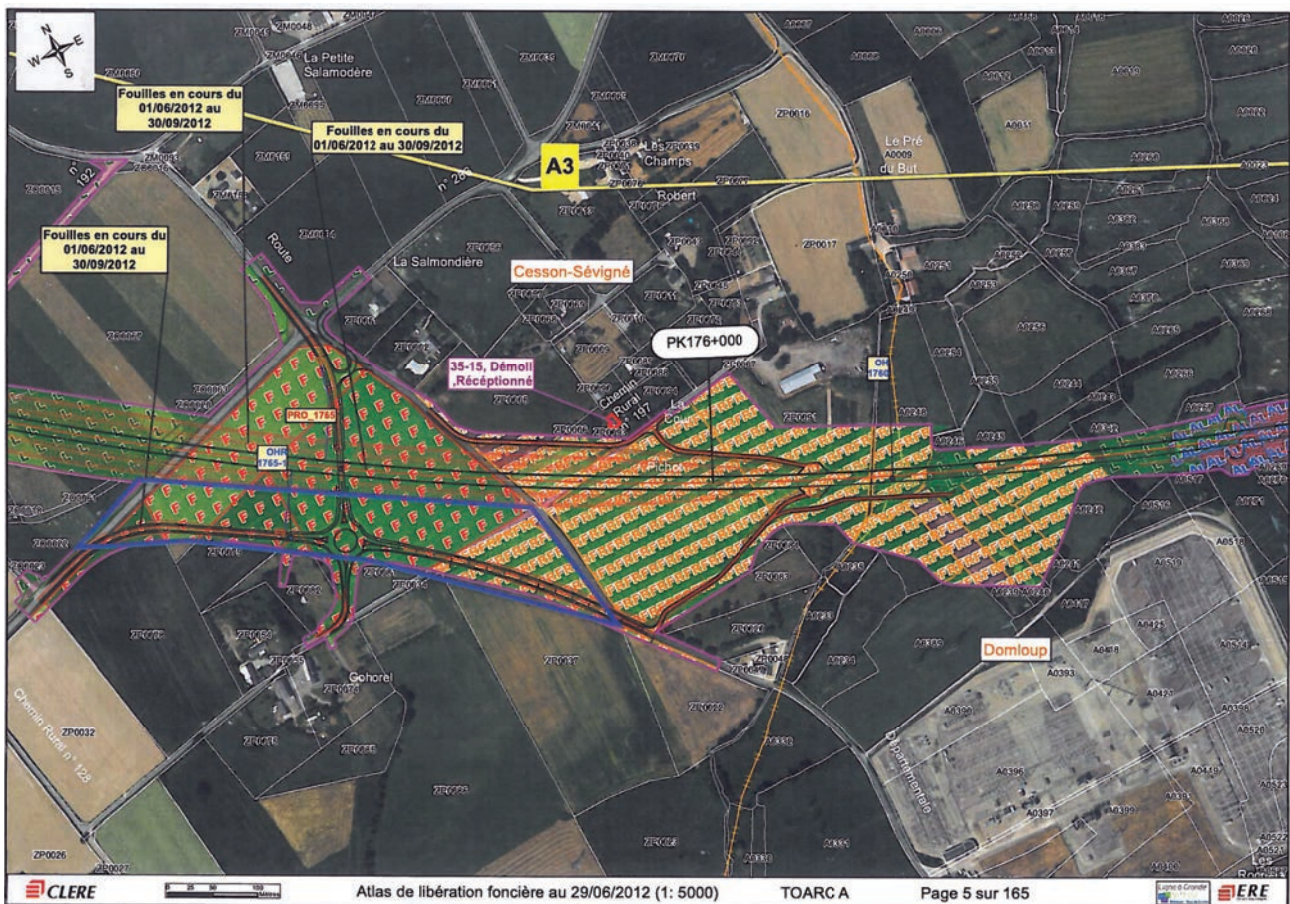


Fig. 15 : plan de présentation des différents aménagements envisagés © Atlas de libération foncière ERE

pompe a été nécessaire ponctuellement pour vider des accumulations d'eau dans le fond des tranchées de diagnostic ré-ouvertes et décapées de nouveau. A la fin de l'opération, de nombreux sondages mécaniques dans les fossés n'ont pas pu être traités en raison de la remontée des nappes dans les structures, provoquant des effondrements de parois rendant dangereuse toute intervention.

### 1.3.2. Le décapage

Dans un premier temps, une zone située dans la partie nord-ouest du site, a été décapée, relevée en plan et fouillée rapidement pour stocker les terres provenant du décapage (fig. 16). Ensuite le décapage a été réalisé à l'aide de deux pelles mécaniques de 20 tonnes équipées en rétro d'un godet de curage de 3 m de largeur. Elles étaient accompagnées chacune de trois tracto-remorques. L'ensemble représente 61 jours de pelles mécaniques pour décapier les six hectares.

Le décapage a été réalisé par fines passes mécaniques jusqu'à l'apparition des structures ou du terrain naturel. Des sondages ont été réalisés dans les fosses ou les fossés selon les besoins, soit à l'aide des grosses pelles, soit avec une mini-pelle présente sur le terrain durant toute la durée de la fouille.



Fig. 16 : vue générale du site décapé avec emplacement de la zone de stockage des terres © Hervé Paitier

### 1.3.3. La fouille

L'ensemble des structures a été topographié, fouillé au moins par moitié relevé en plan (fig. 11) et en coupe (pour la majorité au  $1/20^{\circ}$  et sinon  $1/50^{\circ}$ ) et photographié si cela était nécessaire. De même des prélèvements ont été réalisés dans les comblements en fonction des résultats recherchés. Des coupes manuelles ont été réalisées dans les fossés, notamment en extrémité et aux intersections avec d'autres fossés, pour comprendre la chronologie des occupations. Ces ouvertures manuelles ont été complétées par des sondages systématiques à la mini-pelle. Le mobilier a été prélevé et enregistré. Les structures ou considérées comme telles ont été numérotées de 500 à n au fur et à mesure du décapage, soit 2867 numéros de faits au terme du décapage. A noter que chaque segment de fossé a reçu un numéro. Les sondages ont été numérotés de 1 à n, soit 801 à la fin de l'opération. Les faits se répartissent en 602 fragments de fossés ou tranchées de fondations, 1031 trous de poteaux et 150 fosses. Le reste correspond à des faits annulés et (ou) non fouillés ainsi qu'à des écho facts du type : chablis, caves à pommier...

### 1.3.4. La post-fouille

Pour une meilleure gestion des informations, l'ensemble des données de terrain a été saisi sur une base de données File Maker. Les minutes de terrain ont été traitées par un dessinateur : enregistrement et mise au net. Les différents mobiliers ont été enregistrés et stockés selon le protocole établi à la base archéologique de Cesson-Sévigné. Les prélèvements ont été tamisés et les refus de tamis ont été triés suivant les spécialités.

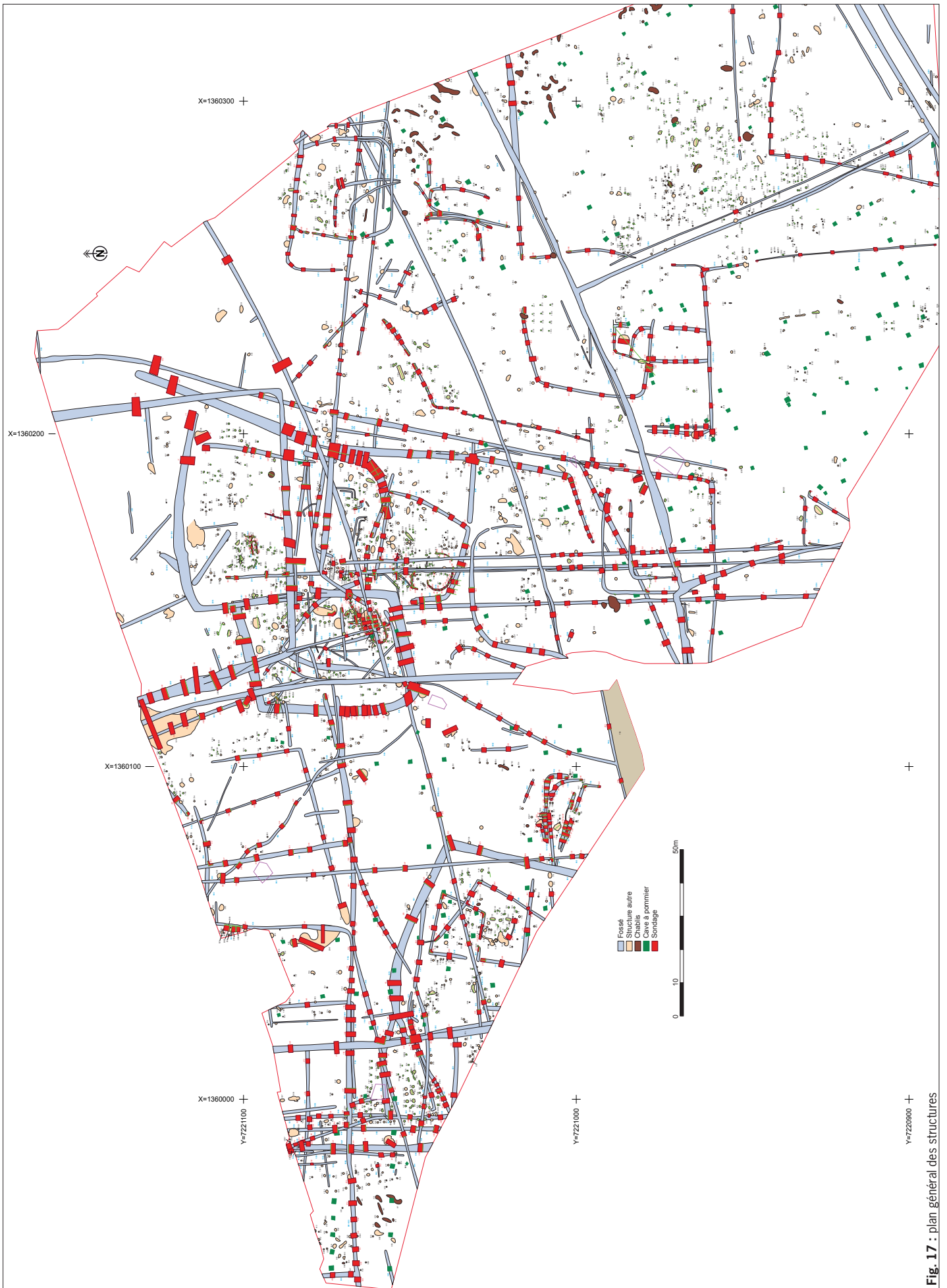


Fig. 17 : plan général des structures



Fig. 18 : plan chronologique du site

## 2. Les occupations archéologiques

### Introduction

Le site de «La Salmondière» a été densément occupé pendant plus de 2000 ans. En effet l'implantation humaine débute avec un petit habitat groupé à la fin du Bronze final, puis après un *hiatus*, se poursuit au deuxième âge du Fer sous la forme de deux ensembles gaulois espacés d'une cinquantaine de mètres. Vient ensuite soit un habitat antique ou soit la *pars rustica* d'une *villa* jusqu'à la fin du II<sup>e</sup> s./ début III<sup>e</sup> s. De nouveau un *hiatus*, puis la réoccupation du site sous forme d'enclos au haut Moyen Âge. Dans le cadre de ce rapport, nous allons présenter les restes de ces occupations en respectant l'ordre chronologique.

### 2.1. L'occupation du Bronze final

#### 2.1.1. Présentation

Dans la partie sud-est du site, se sont installés des hommes à l'âge du Bronze final. Sur le cliché aérien du site vue de l'ouest (**fig. 19**), on discerne bien une zone grisâtre qui correspond tout à fait à l'emprise de cette occupation (**fig. 20**) sur le substrat schisteux.



Fig. 19 : vue aérienne du site décapé avec localisation de la zone Bronze final © cliché Hervé Pattier

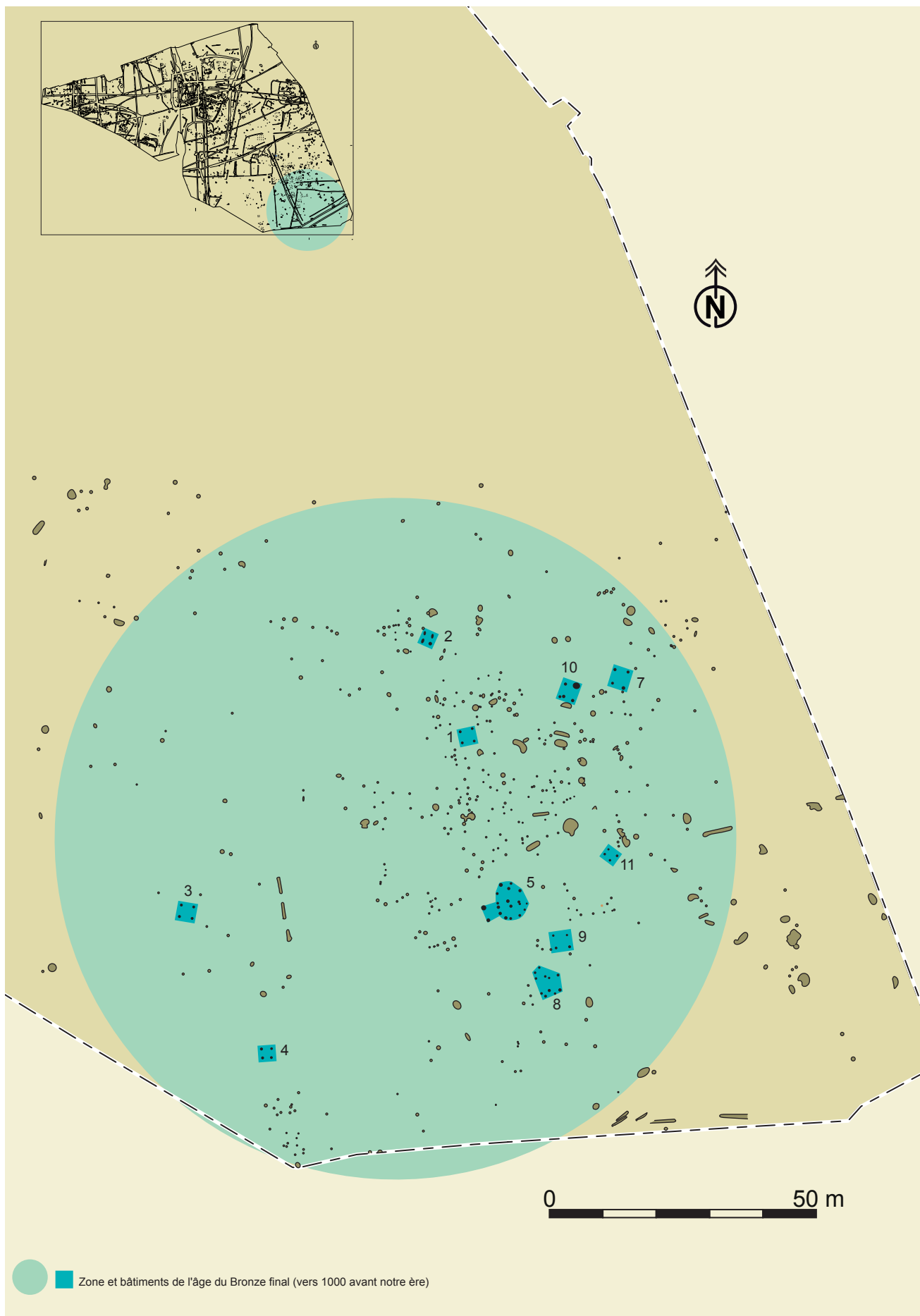


Fig. 20 : plan général de la zone Bronze final



Fig. 21 : plan général des structures avec numéros, extrait 1



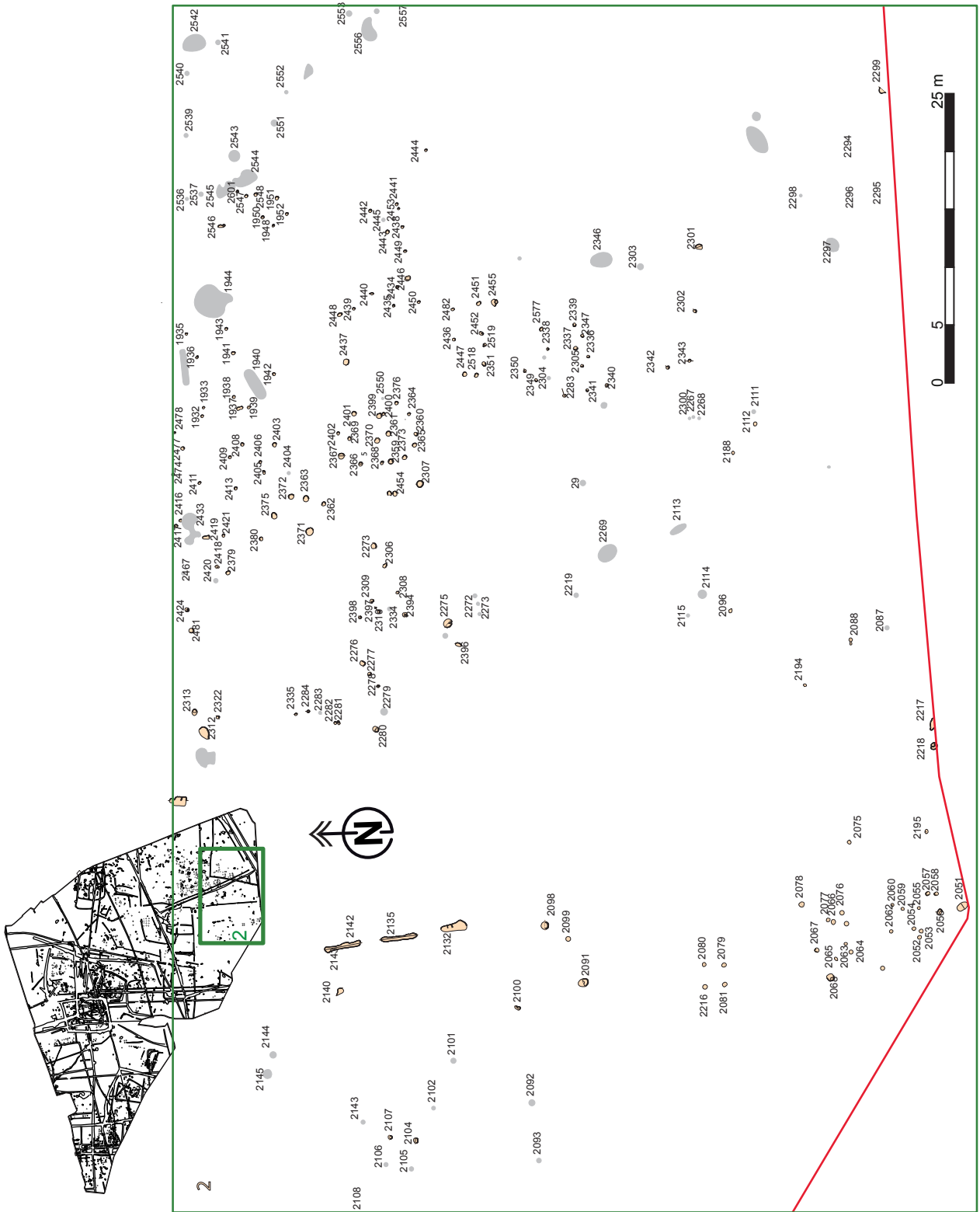


Fig. 22 : plan général des structures avec numéros, extrait 2

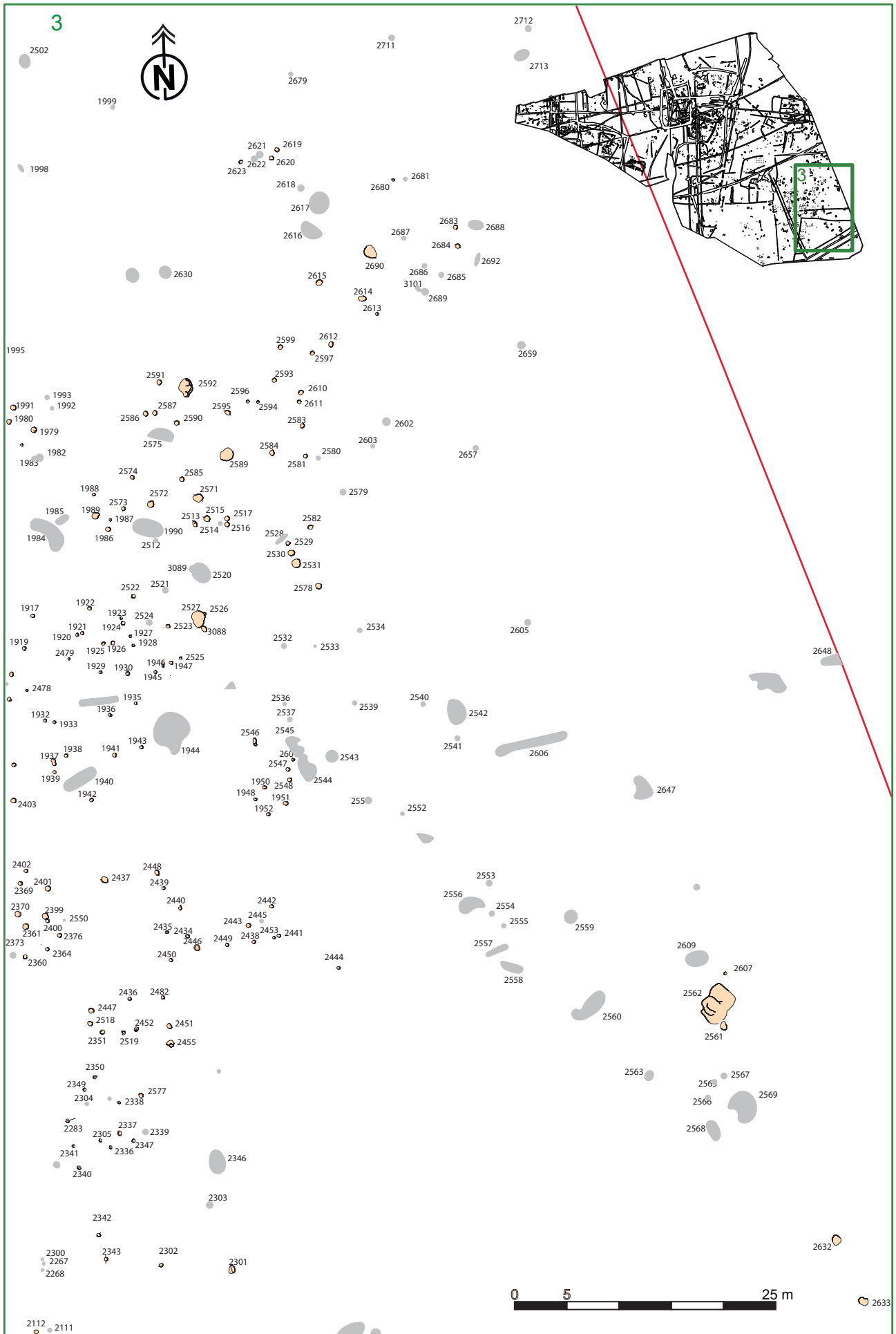
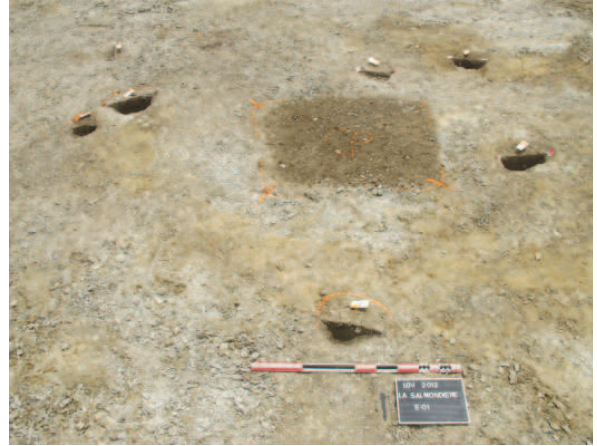


Fig. 23 : plan général des structures avec numéros, extrait 3

Cette occupation correspond à un habitat ouvert dont ne reste qu'une forte concentration de trous de poteaux dans laquelle il est très difficile à la fois de discerner des plans de bâtiments, mais également de confirmer une attribution chronologique à cette même période, en effet du mobilier plus récent se rencontre dans les trous de poteaux de cette zone. Enfin, l'état de conservation étant difficile avec ce type de substrat, les structures sont souvent fortement érodées (**fig. 24**).



**Fig. 24** : vue de l'arasement des structures dans le substrat schisteux  
© équipe de fouille

### 2.1.2. Les constructions

Si nous prenons de la hauteur, nous allons nous rendre compte que parmi cette constellation de trous de poteaux se détachent des ensembles appelés ici unités, au nombre de 11. Les plus faciles à identifier sont des structures à quatre poteaux assimilables à des greniers. Mais se distinguent également des bâtiments de plan circulaire ou ovale comme l'unité 5 (**fig. 20 et 25**).

#### 2.1.2.1. Les habitations

Une seule semble présenter un plan cohérent, il s'agit de l'Unité 5. Les Unités 8, 9 10 et 11 ne sont que de possibles vestiges de ces constructions sans aucune certitude. Nous développerons donc dans un premier temps, l'ensemble architectural Unité 5.



**Fig. 25** : vue aérienne de l'unité 5 © Hervé Païtier

### L'unité 5

Il s'agit d'un bâtiment de plan ovalaire d'axe nord-ouest/sud-est, d'environ 7 m de longueur sur 5 m de largeur, soit à peu près 35 m<sup>2</sup> de surface interne. L'entrée, située au sud-ouest est constituée de deux trous de poteaux servant de dormant à la porte et sur lesquels s'arrête le mur périphérique. L'ouverture fait environ 1,40 m de largeur sur 2 m de profondeur. Les deux trous de poteaux de l'entrée ont un diamètre allant de 0,43 à 0,58 m pour des profondeurs conservées de 0,15 et 0,20 m. Deux autres trous de poteaux sont dans l'axe de l'entrée, l'ensemble formant comme un auvent.

Le bâtiment est constitué de 12 trous de poteaux en périphérie et au moins 5 trous de poteaux internes (fig. 26). Ils ont des diamètres variant de 0,58 à 0,22 m pour des profondeurs conservées allant de 0,08 à 0,21 m. Ils sont comblés d'un sédiment limoneux brun meuble homogène mélangé à des fragments de schiste, des nodules de terre cuite et des charbons de bois. Aucun ne présente un calage de pierre conservé.

Ce type de bâtiment à ossature en bois et de forme circulaire, se retrouve sur quelques sites de Bretagne et de Normandie notamment sur les habitats groupés de Caudan (Morbihan) «Lenn Sec'h Lot 1» (Mélanie Levan à paraître) ou Malleville-sur-le-Bec (Eure) «Buisson-du-Roui» (Eric Mare fouille de 2003) ou encore Cahagnes (Calvados) «Benneville» (Jahier 1997). Sur tous ces sites ainsi que sur des sites présentant des structures isolées, les maisons ont des plans franchement circulaires par rapport à notre bâtiment, le plus souvent sans poteau central ou bien avec un seul poteau central, des alignements de poteaux en vis à vis deux par deux et le plus souvent une entrée nord-est. La maison de Cesson se démarque donc avec son plan ovalaire, trois poteaux internes pouvant participer à un système de couverture et il n'y a pas de poteaux axés deux à deux avec une entrée au sud-ouest.

En ce qui concerne les poteaux situés à l'intérieur, il est possible qu'ils correspondent à une phase de construction antérieure ou postérieure ou à un cloisement intérieur, mais il est également possible qu'ils constituent un élément d'architecture du bâtiment. Pour notre hypothèse de travail il faut considérer qu'il existait un autre trou de poteau qui a disparu ou qui n'a pas été appréhendé lors de la fouille. Avec ce quatrième élément, nous avons donc un carré, d'environ 1 m de côté, dont les poteaux porteurs sont reliés par des entrants constituant une sablière haute sur laquelle viennent se fixer les chevrons. Les éléments de comparaison ne sont pas à chercher dans l'ouest de la France, mais plus au nord, en Grande-Bretagne. En effet, sur la reconstitution de la maison 222 du site de Trethellan Farm on peut voir ce système à quatre poteaux (fig. 26). Il est donc possible que les constructeurs aient repris le même système à Cesson-Sévigné.

Comme le montre la figure, ce type de maison possédait le plus souvent à l'extérieur des poteaux, une tranchée pouvant recevoir la paroi déportée ou le ruissellement des eaux de pluie. Malheureusement l'arasement du sol n'a pas permis (s'il était présent ?) de conserver un tel vestige. Aucun foyer n'a été mis au jour à l'intérieur de cette habitation.

D'autres concentrations de trous de poteaux peuvent évoquer des bâtiments, mais il nous semble hasardeux d'envisager des plans précis.

Les autres structures à peu près avérées, sont des groupements de quatre poteaux évoquant des greniers (fig. 27 et 28).

#### 2.1.2.2. Les greniers

Au moins 7 unités architecturales semblent pouvoir être classées dans cette catégorie (fig. 27 et 28). Elles forment des carrés d'environ 1,50 à 2,50 m de côté, offrant ainsi des surfaces internes variant de 3 à 6,25 m<sup>2</sup>. Les trous de poteaux ont des diamètres d'environ 0,40 m pour des

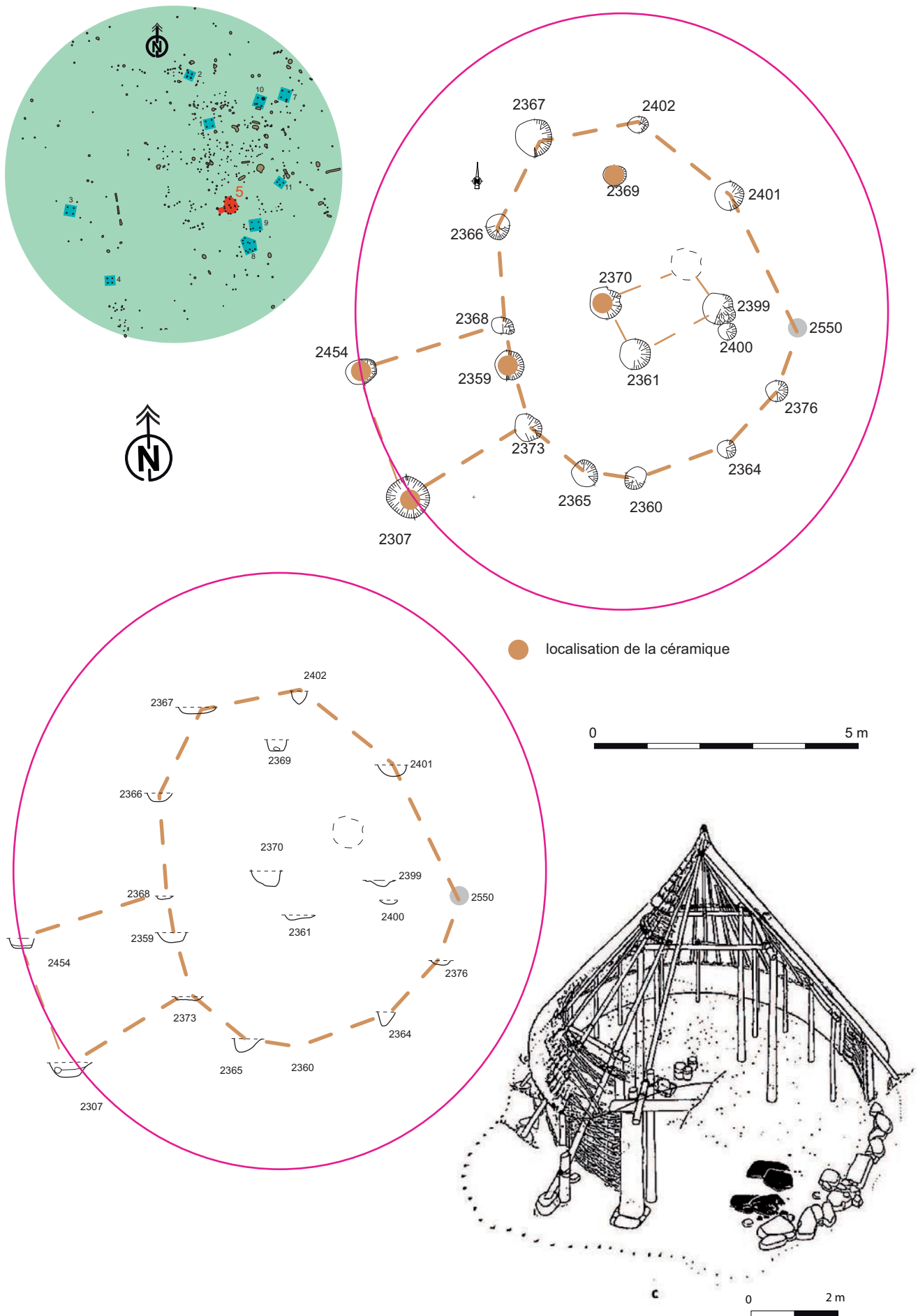


Fig. 26 : plan de l'unité 5 avec restitution de la maison de Trethellan Farm

profondeurs conservées variant de 0,6 à 0,24 m (fig. 28). L'érosion de cette partie du site laisse supposer que seule une petite partie de ces structures a été conservée. Disséminées sur l'ensemble de la zone elles peuvent se rattacher à de petites unités domestiques, mais la présence de mobilier gallo-romain dans certains trous de poteaux de cette zone du Bronze final, nous oblige à rester très prudents dans l'interprétation.

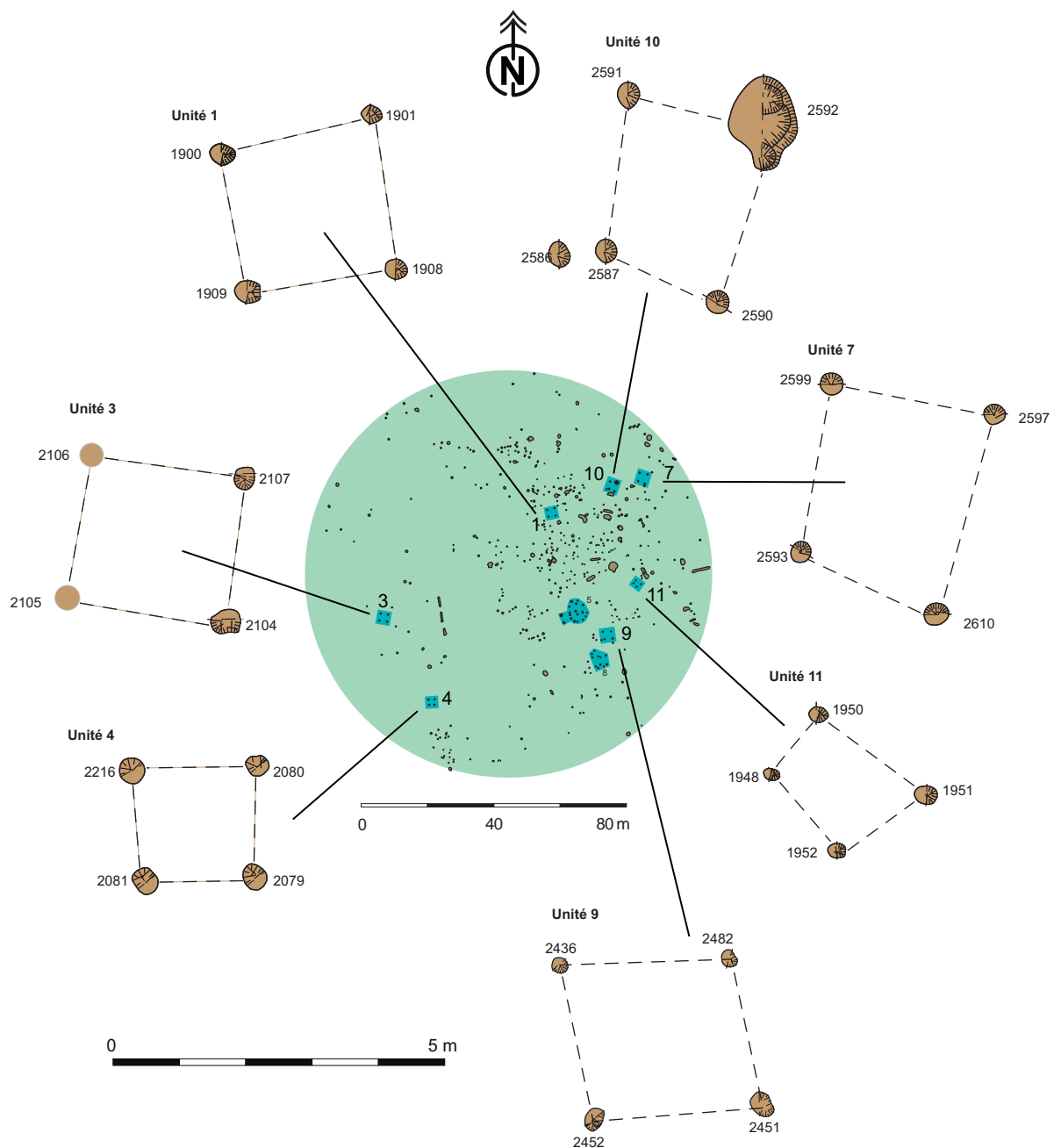


Fig. 27 : plan de localisation des greniers

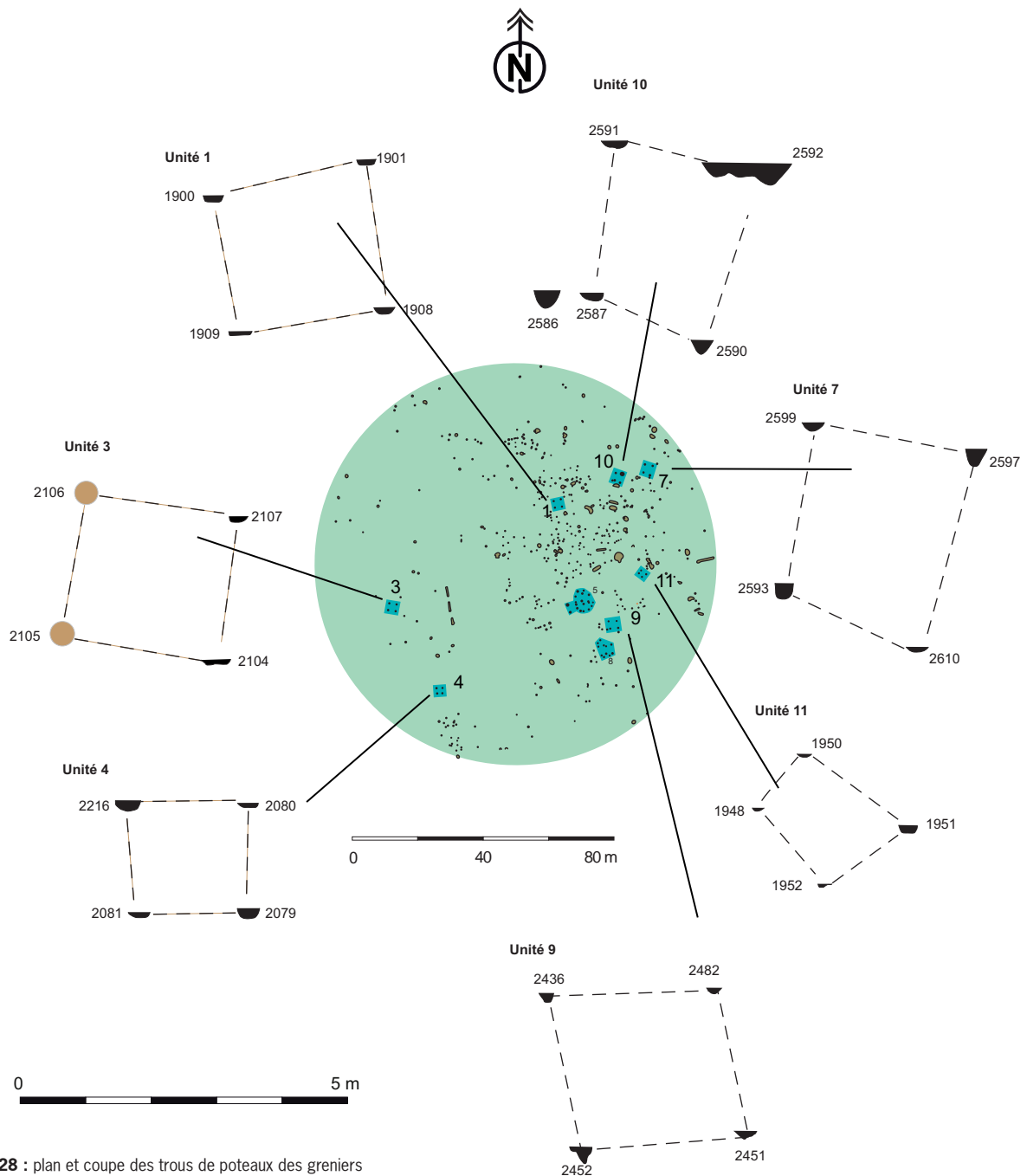


Fig. 28 : plan et coupe des trous de poteaux des greniers

Quelques alignements de trous de poteaux peuvent aussi correspondre à des palissades, mais il est difficile, à partir du plan, de discerner une organisation spatiale de l'ensemble.

Quelques fosses dont la fonction n'a pas pu être déterminée sont présentes sur le site (fig. 29). Le comblement légèrement rubéfié de certaines peut évoquer des foyers alors que la présence de fragments de peson dans d'autres (notamment F2237) peut indiquer sur le site une activité artisanale de tissage. Quelques creusements polylobés comme F2562 peuvent correspondre à des fosses d'extraction de sédiment. Il faut également noter la présence de fosses allongées très étroites disposées en chapelet ressemblant à des lambeaux de fossés interrompus (F2132, 2135, 2142).

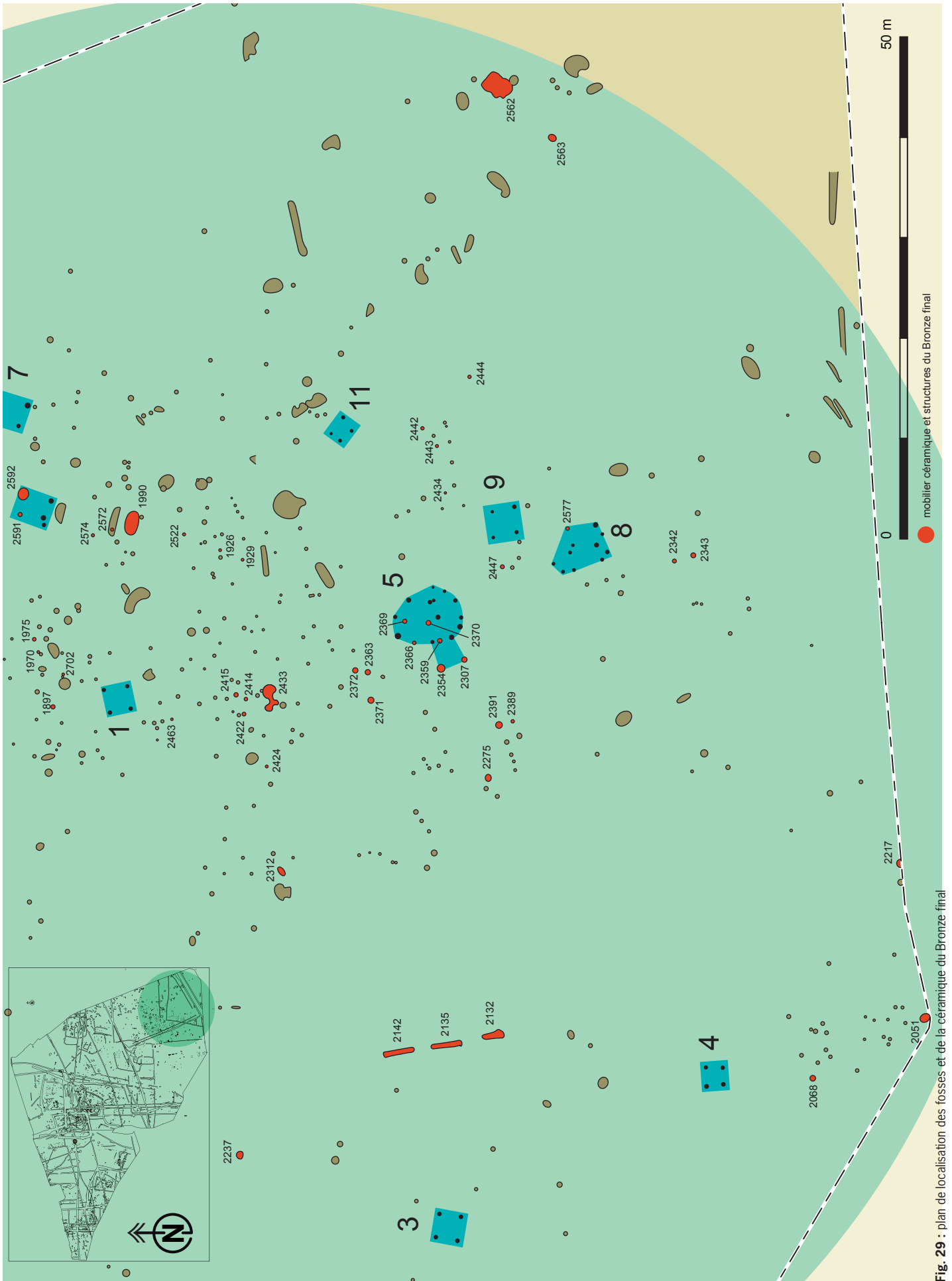


Fig. 29 : plan de localisation des fosses et de la céramique du Bronze final



### Les fosses

La fosse 2051, située en extrémité sud de l'emprise, est une fosse ovale de 0,98 m de longueur sur 0,62 m de largeur pour une profondeur conservée de 0,26 m (fig. 30). Ses parois sont évasées avec un fond arrondi. Elle est comblée principalement d'un sédiment limoneux gris homogène renfermant de nombreux tessons de céramique.

La fouille a livré 67 tessons de céramique pour 4 vases datés du Bronze final.

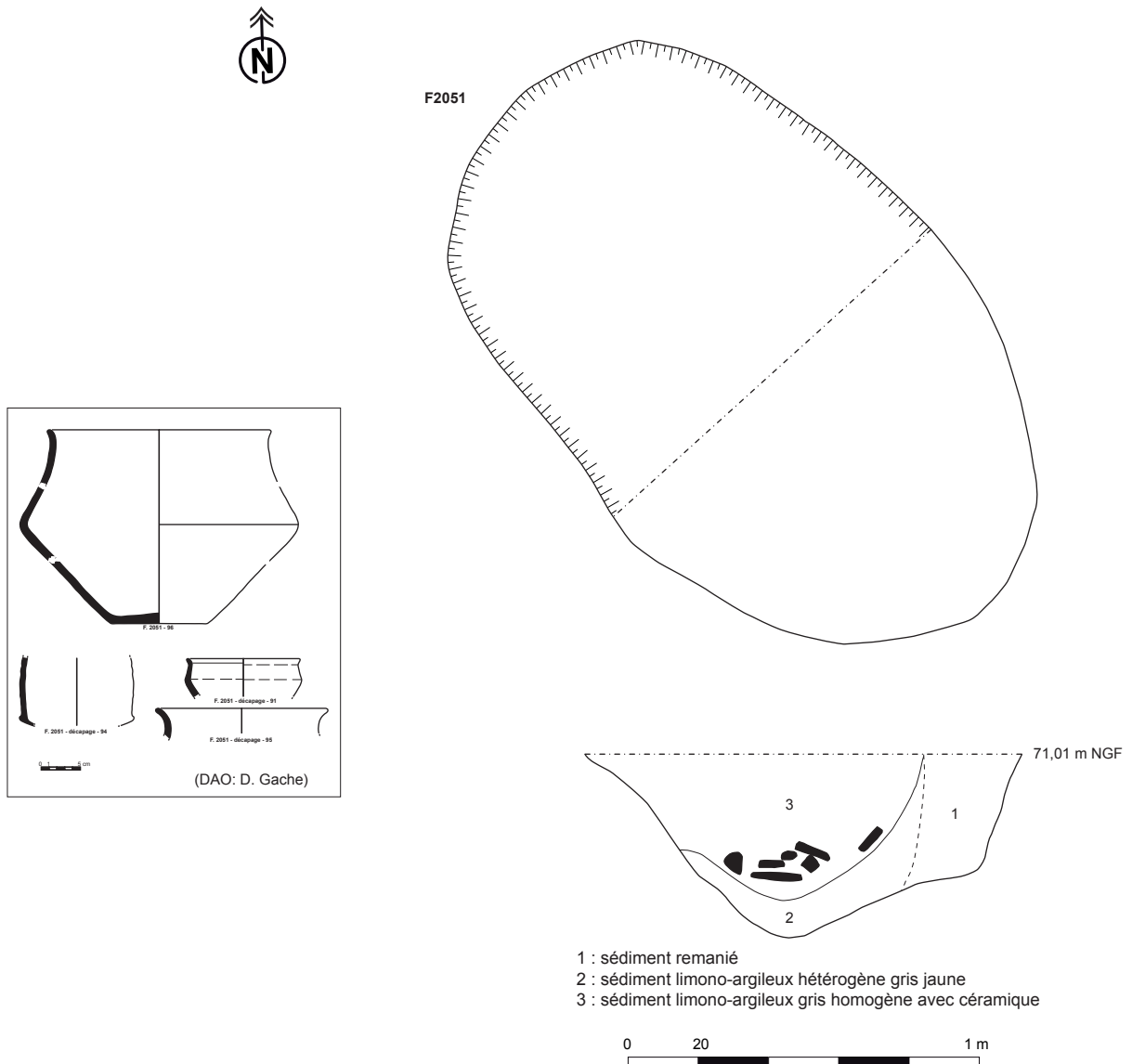


Fig. 30 : plan, coupe et mobilier de la fosse F2051

La fosse 1990 de forme ovale fait 2,76 m de longueur sur 1 m de largeur pour une profondeur moyenne de 0,20 m. Le profil est évasé et le fond est irrégulier (fig. 31). Le comblement est constitué d'un sédiment limoneux gris. La forme évoque une fosse d'extraction de limon. La fouille a livré 1 tesson de céramique d'époque protohistorique.

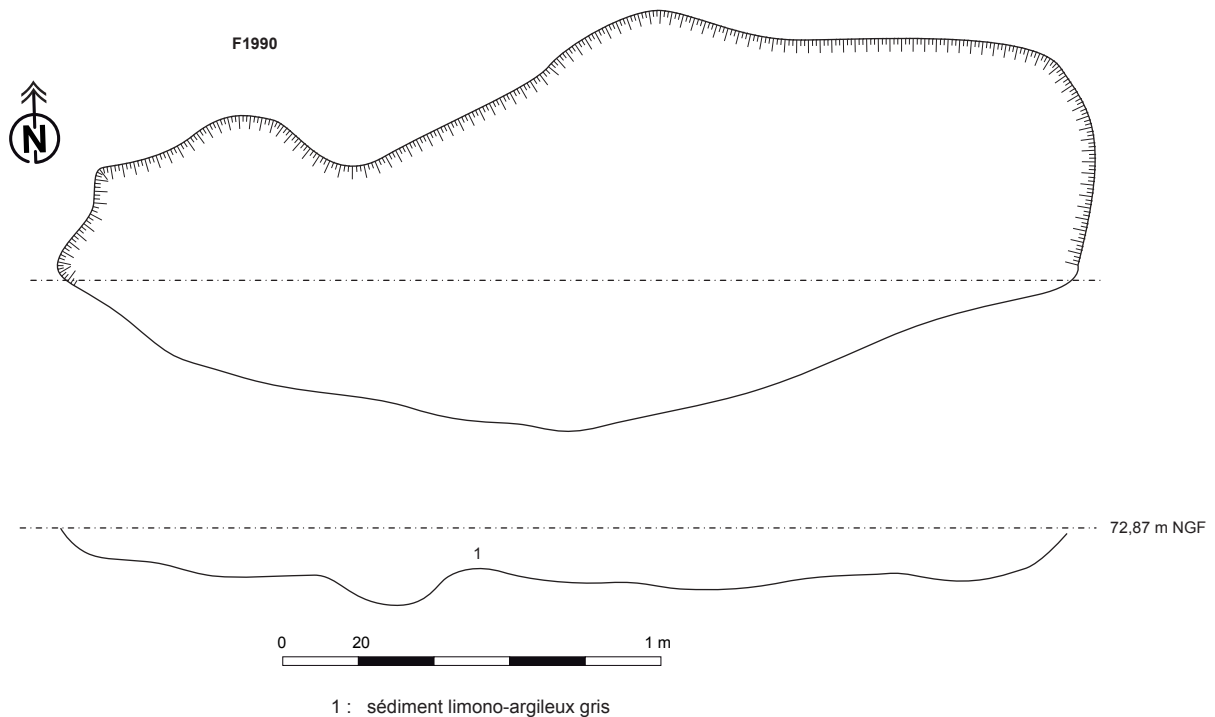


Fig. 31 : plan et coupe de la fosse F1990

La fosse 2217 est une petite fosse située en partie sous la berme en limite sud-est d'emprise. Elle offre dans sa partie visible, une longueur de 0,82 m pour une largeur de 0,36 m avec une profondeur conservée de 0,21 m. Le profil est évasé et le fond est arrondi (fig. 32). Le comblement est un sédiment limoneux gris.

La fouille a livré 39 tessons de céramique pour 3 formes attribuables au Bronze final.

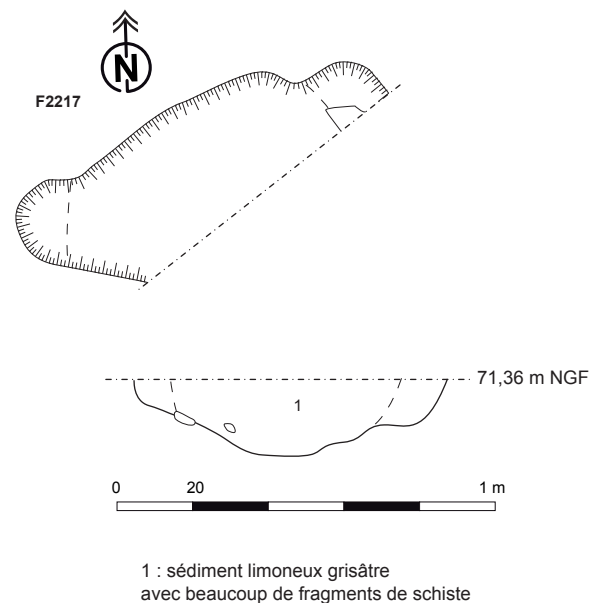


Fig. 32 : plan et coupe de la fosse F2217

La fosse 2237 est une petite fosse circulaire de 0,63 m de diamètre conservée sur une profondeur de 0,16 m (fig. 33). Les parois sont abruptes et le fond est relativement plat. Le comblement est constitué d'un sédiment limoneux brun avec des fragments de quartz rubéfiés.

La fouille a livré 25 tessons de céramique pour 3 formes attribuables à la fin de l'étape moyenne ou à l'étape finale du Bronze final. Ils sont accompagnés de 28 fragments de terre cuite semblant correspondre à du peson pour un poids de 1200 gr.



© Alexandre Monnier

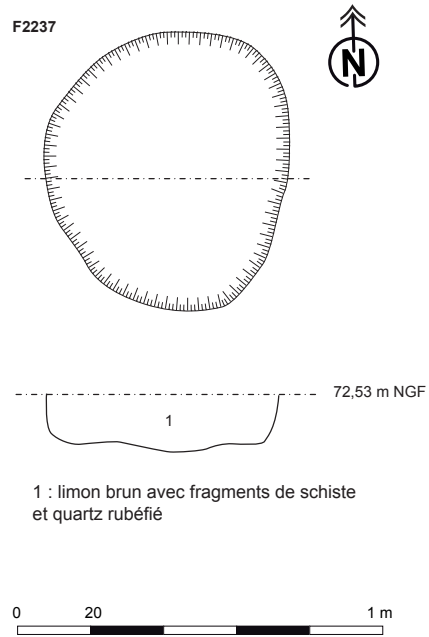
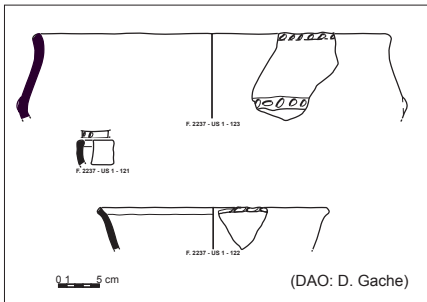


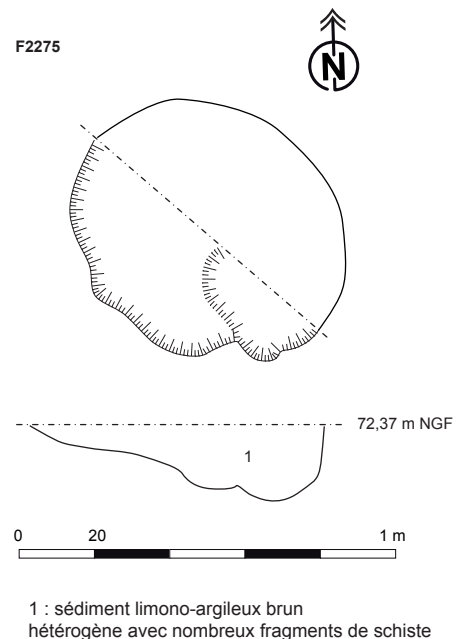
Fig. 33 : plan, coupe et mobilier (peson) de la fosse F2237

La fosse 2275 est une petite fosse circulaire de 0,70 m de diamètre et de 0,20 m de profondeur. Le profil évasé côté sud-ouest est abrupt côté nord-est. Le fond est irrégulier. L'ensemble peut évoquer un trou de poteau déformé par l'arrachement du poteau.

Le comblement est constitué d'un sédiment limono-argileux brun hétérogène avec de nombreux fragments de schiste.

La fouille a livré de la céramique du Bronze final.

Fig. 34 : plan et coupe de la fosse F2275



La fosse 2562 est une grande fosse plus ou moins quadrangulaire de 2,80 m de longueur sur 2 m de largeur et conservée sur une profondeur de 0,26 m (fig. 35). De profil évasé avec un fond irrégulier, elle semble constituée d'une série de creusements successifs évoquant une fosse d'extraction. Le comblement est constitué de couches de sédiment limono-argileux gris à ocre avec plus ou moins de fragments de schiste. La fouille a livré 59 tessons de céramique pour un seul individu. Il est daté de la transition étape moyenne-étape finale du Bronze final.

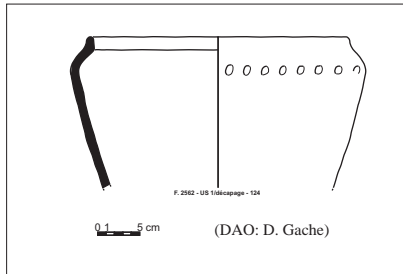
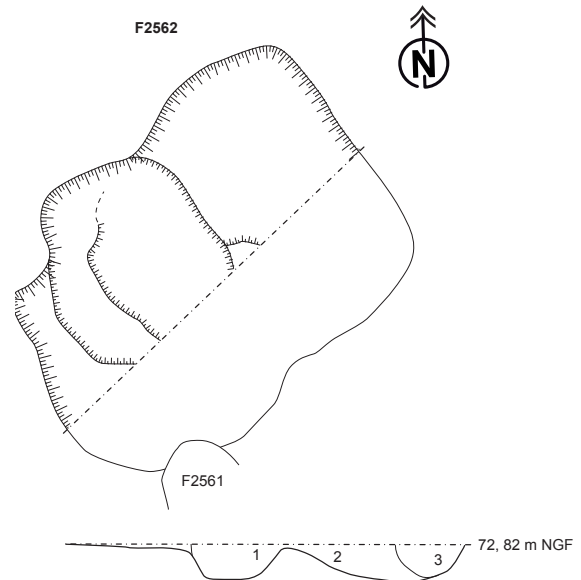


Fig. 35 : plan, coupe et mobilier de la fosse F2562

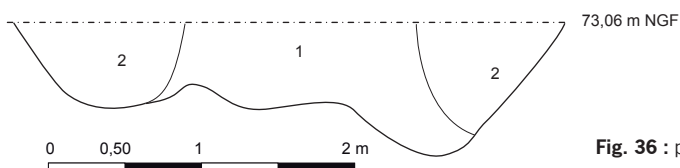


1 : sédiment limoneux gris avec fragments de schiste  
2 : sédiment limoneux gris ocre avec rares fragments de schiste  
3 : sédiment limoneux gris avec rares fragments de schiste

0 0,50 1 2 m

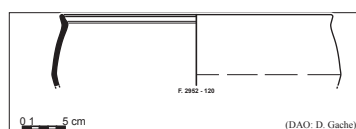
La fosse 2592 est une petite fosse ovale de 1,40 m de longueur sur 1 m de largeur pour une profondeur conservée de 0,32 m (fig. 36). Le profil est évasé avec un fond très irrégulier évoquant des creusements successifs pouvant correspondre à une fosse d'extraction. L'un de ces creusements a été intégré comme trou de poteau au grenier Unité 12. La structure est comblée principalement par l'us 1 constituée d'un sédiment limono-argileux gris compact homogène, mélangé à des inclusions orangées et quelques charbons de bois ainsi que de nombreux blocs de schiste. Les deux autres creusements, situés à chaque extrémité de la coupe, sont comblés d'un sédiment limono-argileux gris plus foncé. Le mobilier céramique est présent dans l'us 1.

La fouille a livré 19 tessons de céramique pour une forme pouvant dater de l'étape moyenne du Bronze final.



1 : sédiment limoneux gris avec inclusions orangées compact homogène et blocs de schiste avec charbons de bois  
2 : sédiment limoneux gris foncé très compact homogène avec blocs de schiste et charbons de bois

Fig. 36 : plan, coupe et mobilier de la fosse F2592



Le trou de poteau 2618 de 0,35 m de diamètre et 0,18 m de profondeur est relativement isolé, ne permettant pas de le rattacher à un plan de bâtiment. La fouille a livré 5 tessons de céramique du Bronze final ainsi que 4 tessons de panse avec pâte du haut Moyen Âge.

Il faut également ajouter du mobilier céramique de la même période trouvé en surface dans deux structures non fouillées : 2433 et 2563.

Le fossé interrompu 2142-2135-2132 et une structure allongée très arasée constituée de trois segments de fossés formant un ensemble de 12 m de longueur espacé respectivement de 1,50 m et 2 selon un axe nord/sud.

Le segment 2142 a été suivi sur une longueur de 3,10 m pour une largeur de 0,35 m et une profondeur conservée de 0,11 m. Les deux extrémités sont marquées avec une paroi abrupte côté sud, plus évasée côté nord. Le comblement est constitué d'un sédiment de limon brun avec des éclats de schiste et des plaquettes délitées.

la fouille a livré 5 tessons de céramique vraisemblablement de l'âge du Bronze.

Le segment 2135 a été suivi sur une longueur de 3,10 m pour une largeur de 0,40 m et une profondeur conservée de 0,17 m. Les deux extrémités sont évasées. Le comblement est constitué d'un sédiment de limon brun avec des éclats de schiste et du cailloutis.

La fouille a livré 6 tessons de céramique vraisemblablement de l'âge du Bronze.

Le segment 2132 a été suivi sur une longueur de 2,18 m pour une largeur de 0,90 m et une profondeur conservée de 0,34 m. Les deux extrémités sont évasées et le profil s'apparente plus à une fosse. Il est possible que la structure soit perturbée par un chablis. Le comblement est constitué d'un sédiment de limon brun foncé assez hétérogène, avec des éclats de schiste et du cailloutis.

La fouille a livré 4 tessons de céramique vraisemblablement de l'âge du Bronze.

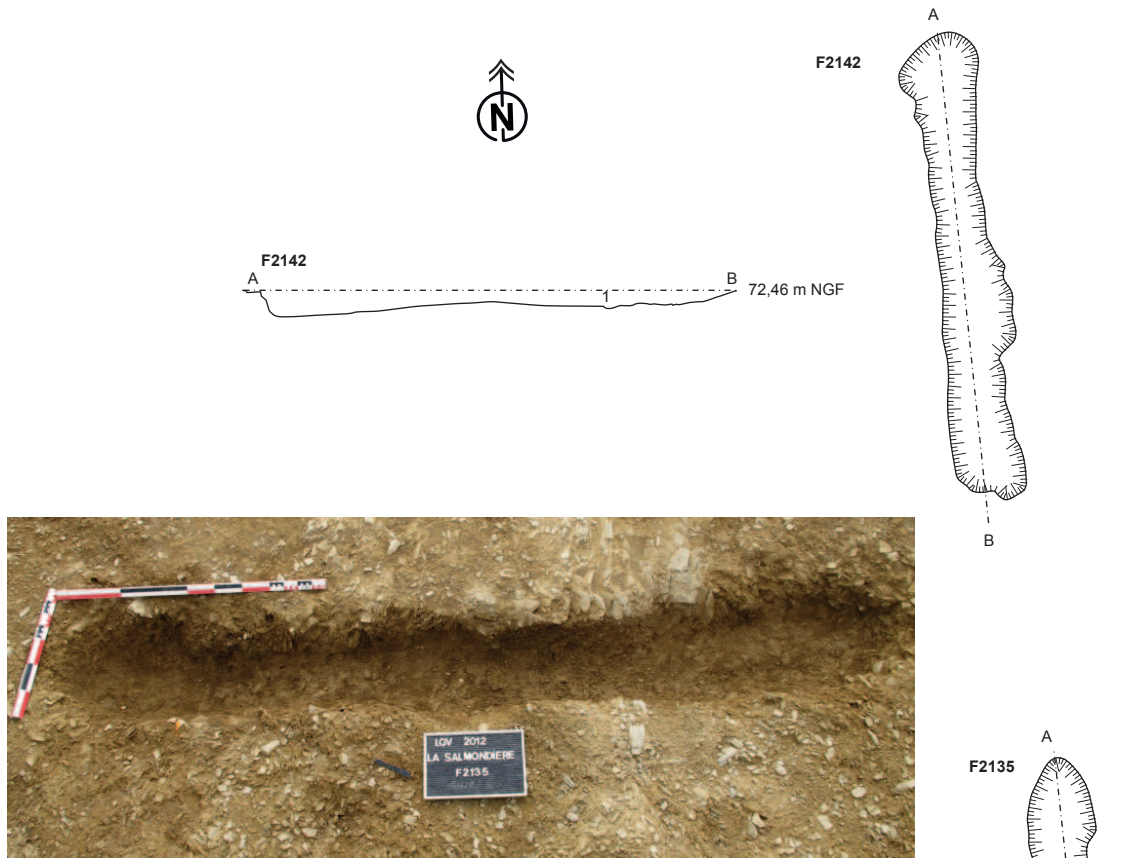


Fig. 37 : coupe ouest du fossé F2135 © Aurélie Guesnon

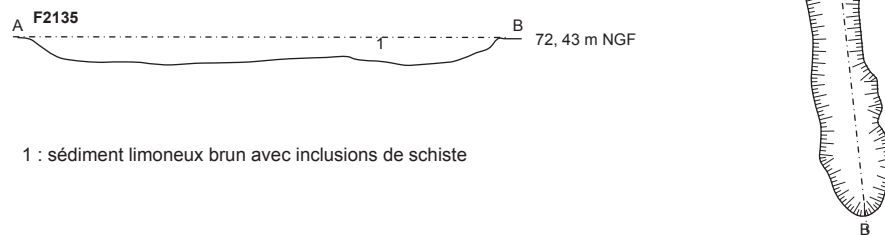
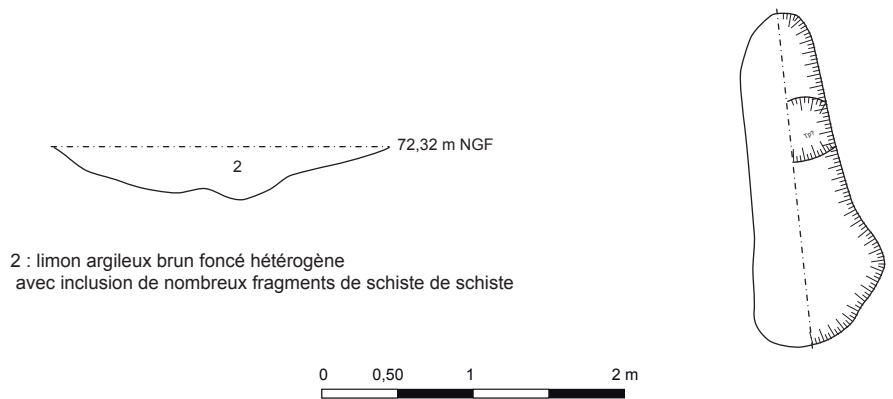


Fig. 38 : plan, coupe des fossés F2132, 2135, 2142



### 2.1.3. Les mobiliers par Anne-Françoise Cherel

#### 2.1.3.1. La céramique

Au sud/sud-est de l'emprise, plusieurs fosses contenaient du mobilier distinct des productions habituellement datées de l'âge du Fer sur le site (fig. 29 et 39 et Tab. 1). Il semble qu'il existe une certaine cohérence chronologique des productions, excepté le contexte de la fosse 2433 qui pose des problèmes de datation. On notera également la présence d'une perle en verre analysée par B. Gratuze (IRAMAT, CNRS, Orléans), et d'un tranchet à soie en bronze.

#### La fosse 2051

Le comblement de cette fosse a livré 67 tessons pour un NMI estimé à 4 vases.

Un grand récipient archéologiquement complet (fig. 39 n°96) ne trouve pas de comparaisons équivalentes dans l'ensemble du Grand-Ouest et dans le domaine continental de la Vallée de l'Oise. Son attribution chronologique pose donc problème.

Une écuelle carénée (fig. 39 n°91) trouve des analogies avec une forme ornée datée de l'âge du Bronze final IIIa, découverte en contexte continental à Catenoy (Oise), « Le Camp César » (Blanchet 1984).

Deux autres fragments de vases viennent compléter cet ensemble (fig. 39 n°94 et 95).

Une datation par la méthode du radiocarbone réalisée sur un prélèvement charbonneux effectué directement sur le vase n°94 indique la datation suivante : 2720 +/- 30 BP, soit en datation calibrée à 2 sigma -920-810 BC. Cette datation correspond donc à la transition étape moyenne-étape finale du Bronze final et à l'étape finale.

#### La fosse 2237

On a recueilli 25 tessons pour 3 vases au sein de cette fosse.

Un grand récipient fermé à décor de cordon imprimé au niveau de son épaulement, orné d'impressions sommitales (fig. 39 n°123), est relativement fréquent dans les contextes de l'Ouest. Pourtant, les équivalences locales, en Bretagne sont relativement rares. En effet, les ensembles bretons de l'âge du Bronze final sont peu renseignés, hormis le tout début de l'âge du Bronze final. On peut donc penser que les quelques vases recueillis, qui s'inscrivent dans les productions de l'âge du Bronze final, sont légèrement postérieures. Dans l'Oise, comme à La Croix St-Ouen, Le Parc scientifique (Oise), (Blanchet et Talon 2005), les ornements de cordons rapportés sur de grands vases sont courantes à partir du Bronze final IIIb.

Un récipient ouvert (fig. 39 n°122) est décoré d'impressions sommitales.

Avec son rebord éversé, il est comparable à celui trouvé dans une fosse de l'habitat de Longueil-Ste-Marie (Oise), Les Gros Grès IV (Blanchet et Talon 2005) pour une datation à la phase récente de l'étape moyenne du Bronze final. Sur ce site, de nombreuses affinités avec les productions céramiques de tradition RSFO sont d'ailleurs observables.

A partir de ces quelques éléments, il est difficile d'attribuer précisément ce lot au sein du Bronze final, probablement à la fin de l'étape moyenne ou à l'étape finale, sans certitude toutefois.

#### Le trou de poteau 2307

Faisant partie d'un bâtiment circulaire sur poteaux, le comblement du trou de poteau 2307 contenait 8 tessons pour un NMI estimé à un unique vase. Une datation par la méthode du radiocarbone réalisée sur un échantillon charbonneux prélevé dans le comblement de cette structure indique

la datation suivante : 2890 +/- 30 BP, soit en datation calibrée à 2 sigma -1190-1000 BC et à un sigma -1120 à -1010 BC. Ces datations correspondent donc aux XII<sup>e</sup> et XI<sup>e</sup> siècles av. J.-C., c'est-à-dire à l'étape moyenne du Bronze final.

#### La fosse 2433

Cette fosse ne recelait que 5 tessons pour un NMI évalué à un unique vase. Il est difficile de se prononcer sur sa datation car ce grand récipient qui possède un profil rentrant (fig. 39 n°118) se rencontre dans les contextes dès la fin du Néolithique, mais avec une embouchure plus resserrée.

#### La fosse 2562

Un petit lot de mobilier composé de 59 tessons pour un NMI correspondant à un seul récipient (fig. 39 n°124) provient de cette fosse.

Il s'agit d'un grand récipient à rebord rentrant muni d'un méplat interne quasi vertical. Son épaulement est décoré d'impressions digitées. Avec son rebord rentrant doté d'un méplat quasi vertical, il évoque les productions d'Ifs (14), ZAC Object'Ifs Sud (Cherel 2004) datées de la transition Bronze final IIIa-IIIb soit la transition étape moyenne-étape finale du Bronze final et l'étape finale.

#### Le trou de poteau 2618

Au sein de cette structure, on dénombre seulement 5 tessons pour un NMI équivalant à 2 céramiques. La partie supérieure d'un récipient est décorée d'impressions sommitales, à l'instar de l'exemplaire issu de la fosse 2237 (fig. 39 n°122). Toutefois, ce type d'ornementation facile à réaliser se rencontre couramment dans les contextes antérieurs au début de La Tène moyenne. Sur le site et dans ce secteur, ce sont essentiellement des céramiques datées de la fin du Bronze final qui en sont pourvues.

#### La fosse 2592

Cette fosse a livré 19 tessons pour un NMI estimé à un unique vase (fig. 39 n°120). Ses surfaces brunes sont fortement altérées et sa pâte sandwichée est grise au cœur et brune vers les tranches. Sa paroi externe est soigneusement lissée, peut-être lustrée à l'origine. Sa lèvre à marli et sa forme générale évoquent les productions continentales du Bronze final IIb-IIIa, hormis son important diamètre. On peut par exemple évoquer des rapprochements avec certains récipients du site de Pont de Metz (Somme), Le Champ Pillard (Talon et Buchez 2005) qui présentent un faciès à mettre en parallèle avec le mobilier RSFO. Ce récipient plutôt d'obédience orientale pourrait donc être attribué au Bronze final, et peut-être à l'étape moyenne du Bronze final. La perle en verre découverte dans la structure 2307 confirme l'occupation du secteur à cette époque.

#### 2.1.3.2. La perle en pâte de verre

Une petite perle annulaire bleue turquoise (fig. 40) a également été prélevée dans l'US 2. D'après l'analyse chimique réalisée par Bernard Gratuze, IRAMAT (Institut de Recherche sur les Archéo-MATériaux, CNRS, Orléans), c'est un verre sodo-potassique de composition très spécifique qui caractérise les perles de verre datées du Bronze final que l'on retrouve sur des sites européens tant en France, qu'en Angleterre, Irlande, Suisse, Allemagne ou Italie.

L'origine nord italienne des perles en verre sodo-potassique est aujourd'hui l'hypothèse la plus fréquemment avancée. En effet, pour cette période, le travail du verre et de la faïence n'a été reconnu que sur le site de Frattesina (RO) dans la Plaine du Pô qui a livré, entre autres, plusieurs creusets.

L'exportation de perles à partir de cette région est une hypothèse plausible, si l'on considère la grande similitude de composition que l'on observe entre



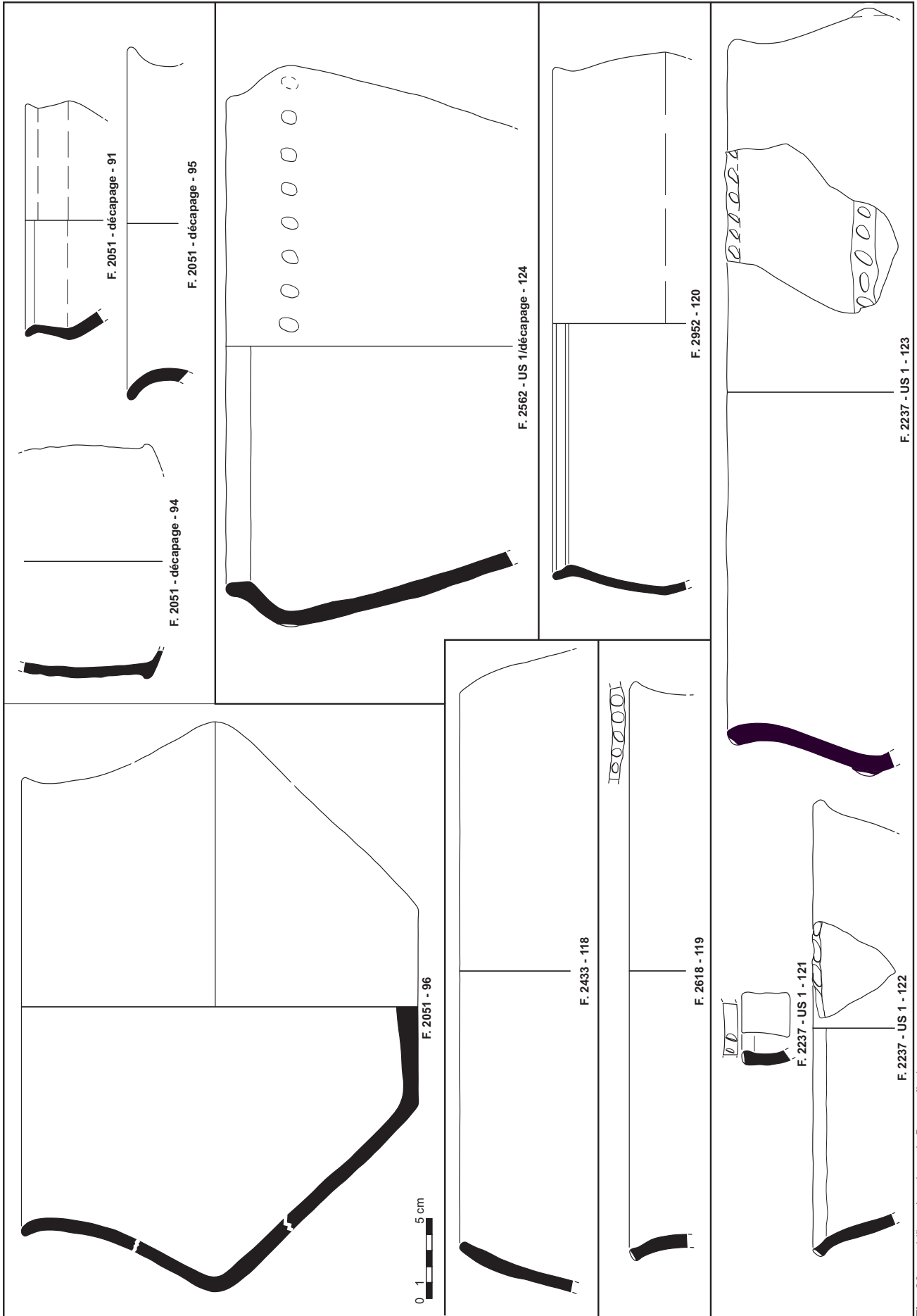


Fig. 39 : mobilier céramique du Bronze final DAO David Gachle



Fig. 40 : perle en pâte de verre © Hervé Paitier

le verre des perles retrouvées sur l'ensemble des sites européens de cette période et celui travaillé par les ateliers de Frattesina (cf étude d'une perle annulaire en verre bleu de B. Gratuze, dans ce rapport).

Parmi les différents types de perles produites par les ateliers de la région de Frattesina, les petites perles annulaires comme celle de Cesson-Sévigné La Salmondière sont de loin les objets les plus fréquemment rencontrés sur les sites français de l'âge du Bronze final.

### Conclusion pour l'étude céramique

Quelques fosses ont donc livré de la poterie de facture différente à celle habituellement retrouvée dans les autres contextes, notamment au niveau des enclos. La présence d'une petite perle en verre d'origine nord-italique, les quelques datations  $^{14}\text{C}$  et les comparaisons typologiques se réfèrent à la fin de l'étape moyenne et à l'étape finale du Bronze final, avec des analogies notables liées au domaine continental. Cette remarque s'observe pour certains contextes de l'âge du Bronze final d'Ille-et-Vilaine, zone de contacts entre domaines maritime et continental.

Structure	Sondage	US/Profondeur	NR	NMI	dessin
657			13	2	non
2051		décapage	14	2	oui
2051			53	2	oui
2066			1	1	non
2068			19	1	non
2217			39	3	non
2237		US 1	25	3	oui
2414			2	1	non
2422			3	1	non
2424			3	1	non
2433			5	1	oui
2562		décapage	21	0	non
2562		US 1	38	1	oui
2592			19	1	oui
2618			5	2	oui
		<b>Total NR</b>	<b>260</b>	<b>22</b>	

Tab. 1 : pourcentage par structure des NR et NMI céramique

#### 2.1.3.3. Le tranchet à soie en bronze

Un tranchet à soie en bronze (fig. 41) a été découvert dans le même secteur. L'importante épaisseur de sa partie tranchante complètement émoussée suggère son réaménagement et sa réutilisation à d'autres fins. Le départ de sa soie est conservé. Sa proposition de datation au Bronze final, au regard des autres artefacts trouvés sur le site, est tout à fait envisageable.



Fig. 41 : tranchet en bronze © Anne-Françoise Chereil

#### 2.1.3.4. Le peson ou contre-poids

La fouille de la fosse 2237 a livré 1,2 kg de terre cuite, correspondant à des fragments d'un gros peson ou contre-poids de forme pyramidale, à perforation décentrée (fig. 42). Il est du même type que celui qui a été mis au jour lors du diagnostic d'Eddy Roy à Caudan (56), « Lenn Sec'h » en 2012 (Roy 2012, p. 106 et fig n°92 p. 108) et dont la fouille réalisée par Mélanie Levan est en cours d'étude. Il s'apparente également à celui trouvé par Eddy Roy en 2011 sur le site de Theix (56), « Le Clérigo » dans le trou de poteaux 90 (Roy 2011 p. 75). Les deux sont datés de la fin du Bronze final, début I<sup>er</sup> âge du Fer.

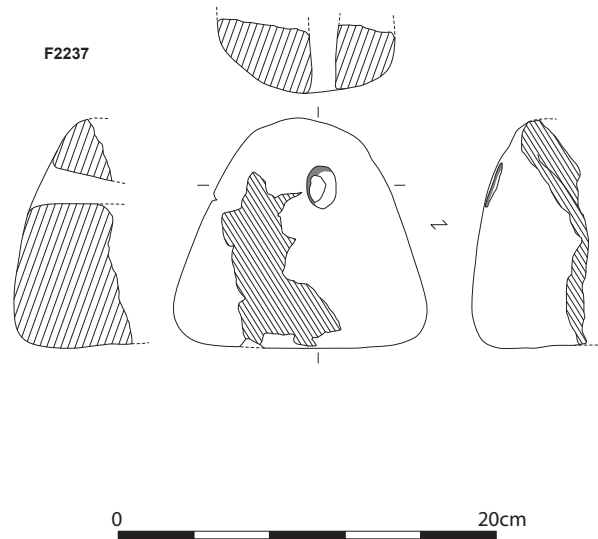


Fig. 42 : peson ou contre-poids en terre cuite © Patrick Pihuit

### En résumé

Cette petite occupation du Bronze du final s'apparente à un petit habitat groupé composé de quelques maisons d'habitation vraisemblablement de forme ovale, accompagnées de greniers à quatre poteaux ainsi que de quelques fosses sans fonction définie. La présence de quelques fragments de pesons indique une activité domestique de tissage.

L'arasement important de cette partie du site, la présence de chablis ainsi que le diachronisme ne permettent pas d'appréhender l'ensemble des structures et de proposer une organisation spatiale. Ce qui est avéré (à travers les tranchées de diagnostic) c'est que le site se poursuit à l'est (de l'autre côté de la route de Domloup et au sud (derrière la partie route menant à la ferme Gohorel).

La céramique datée de la fin de l'étape moyenne et finale du Bronze final trouve des comparaisons dans l'Oise. La perle en verre confirme la datation proposée par la céramique ainsi que des échanges réalisés par ces populations, car cet objet semble provenir des ateliers italiens de Frattesina.

## 2.1.4. Etude d'une perle annulaire en verre bleu par Bernard Gratuze<sup>1</sup>

### 2.1.4.1. La méthode d'analyse utilisée

L'analyse par spectrométrie de masse couplée à un plasma inductif avec prélèvement par ablation laser (LA-ICP-MS).

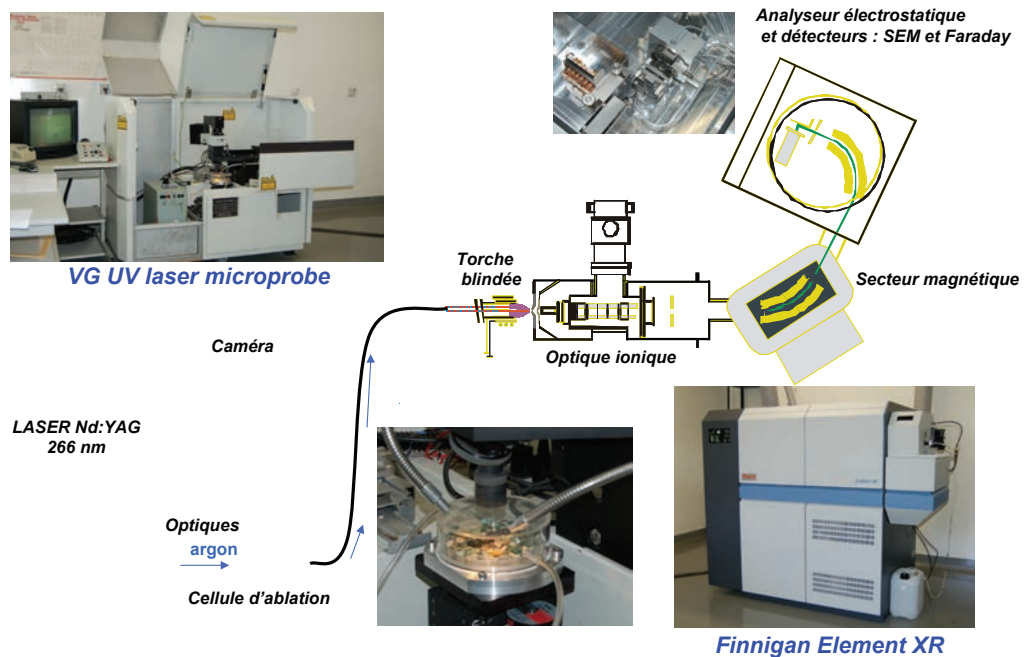
Le spectromètre de masse (**fig. 43**) utilisé est un Element XR de Thermofisher et le système d'ablation laser une microsonde laser UV de VG Elemental (NdYAG quadruplé à 266nm).

Cette méthode est particulièrement bien adaptée aux objets composites ou de petite taille comme les perles. Lors de l'analyse, ces derniers sont placés à l'intérieur d'une cellule en quartz. Un micro-prélèvement, invisible à l'œil nu, est effectué par un rayon laser (diamètre 80 micromètres, profondeur 200 micromètres). La matière prélevée (quelques microgrammes) est transportée vers une torche à plasma par un flux gazeux d'argon. La haute température du plasma (8000°C) dissocie et ionise la matière, dont les différents constituants sont identifiés selon leur masse. Un détecteur électronique permet leur quantification. L'étude des objets est réalisée sans aucune préparation de l'échantillon (Gratuze et al. 1997 et 2001). Pour chaque analyse, deux à trois prélèvements sont effectués à un endroit sain de la surface de l'objet. Deux mesures sont réalisées dans un premier temps afin de s'assurer de l'homogénéité de la matrice. Une troisième mesure peut être effectuée si une incohérence est constatée entre les deux premières acquisitions. Cinquante et un éléments sont mesurés, parmi ceux-ci se trouvent les constituants majeurs du verre, et différents éléments mineurs et traces que l'on a choisi d'analyser en fonction de la problématique étudiée. Un programme de calcul, réalisé en Visual Basic sous Excel, permet de traiter l'ensemble des données. Le calcul est effectué sur la moyenne des prélèvements. La méthode de calcul utilisée est basée sur le principe de l'étalon interne. L'étalonnage est effectué à l'aide des verres étalons développés par le NIST (SRM610) et la Corning (verres A, B, C et D) ainsi que par des verres archéologiques de composition connue.

La justesse de la méthode est régulièrement vérifiée en analysant des verres étalons internationaux. Les limites de détection obtenues varient entre 0,1 et 0,01 % pour les éléments majeurs, et entre 20 et 500 ppb pour les autres éléments. La précision des résultats est de l'ordre de 5 à 15 % relatifs selon les éléments et les teneurs mesurés.

<sup>1</sup> IRAMAT, Institut de Recherche sur les Archéomatériaux, Centre Ernest Babelon, C.N.R.S., 3D rue de la Férollerie, F-45071 Orléans cedex 21

## LA-HR-ICP-MS : système d'analyse



**Fig. 43** : le spectromètre de masse utilisé est un Element XR de Thermofisher et le système d'ablation laser une microsonde laser UV de VG Elemental (NdYAG quadruplé à 266 nm).

### 2.1.4.2. La composition des objets protohistoriques de parure en verre et en faïence d'Europe occidentale

D'un point de vue chronologique, les objets de parure en faïence précèdent les objets de parure en verre. Les perles en faïence apparaissent en Europe occidentale entre la fin du Néolithique et le début de l'âge du Bronze ancien, alors que les premiers objets en verre n'apparaissent qu'à l'âge du Bronze, moyen vers les XV<sup>e</sup>-XIV<sup>e</sup> siècles avant notre ère (Billaud et Gratuze 2002). On observe alors une croissance continue du nombre de découvertes d'objets de parure en verre entre le début de l'âge du Bronze moyen et la fin du second âge du Fer.

L'ensemble des études effectuées sur les objets de parure en verre de l'âge du Bronze et de l'âge du Fer a permis de mettre en place une classification qui établit une relation entre la composition chimique du verre, les aires de production de ce matériau et la chronologie des objets (Sayre et Smith 1961, Foy et al. 2003, Billaud et Gratuze 2002, Gebhard 2010).

Pour les objets protohistoriques de parure retrouvés en Europe occidentale et dans le Bassin méditerranéen, les verres peuvent ainsi être répartis en trois grandes familles chimiques (Tab. 2), selon le type de fondant utilisé : fondants issus de dépôts minéraux ou de cendres de plantes. Au sein de ces familles, différents sous-groupes peuvent être identifiés en fonction des agents vitrifiants (silice issue de sables plus ou moins purs ou de quartz) et des adjuvants (colorants et opacifiants) employés.

**Tableau 2** : Les trois principaux groupes chimiques de verres de la Protohistoire et de l'Antiquité en fonction des fondants utilisés, teneurs en % pondéraux : soude ( $\text{Na}_2\text{O}$ ), potasse ( $\text{K}_2\text{O}$ ), chaux ( $\text{CaO}$ ), magnésie ( $\text{MgO}$ ). Les autres constituants principaux sont, pour un verre bleu au cuivre : la silice ( $\text{SiO}_2$ ) 50 à 75% ; l'alumine ( $\text{Al}_2\text{O}_3$ ) 0,5 à 5% ; le phosphore ( $\text{P}_2\text{O}_5$ ) 0,1 à 3% ; le chlore (Cl) 0,1 à 1,5% ; les oxydes de fer ( $\text{Fe}_2\text{O}_3$ ) 0,2 à 2%, de manganèse ( $\text{MnO}_2$ ) 0,1 à 2% et de cuivre ( $\text{CuO}$ ) 1 à 5%.

Groupe chimique	% Na <sub>2</sub> O	% K <sub>2</sub> O	% CaO	% MgO
Verre calco-sodique à soude végétale	12 - 18	> 1,5 et < MgO	4 - 9	> 1,5 et > K <sub>2</sub> O
Verre sodo-potassique	4 - 12	4 - 13 (≥ Na <sub>2</sub> O)	2 - 4	< 0,5
Verre calco-sodique à soude minérale	12 - 23	< 1,5	4 - 9	< 1,5

**Tab. 2** : les trois principaux groupes chimiques de verres de la Protohistoire et de l'Antiquité

Nous distinguerons ainsi successivement :

- Les verres calco-sodiques à cendres végétales, dont la production massive débute vraisemblablement en Mésopotamie et en Egypte vers le milieu de deuxième millénaire avant notre ère, c'est à dire pendant l'âge du Bronze moyen européen. Ce type de verre caractérise la verroterie égyptienne et mycénienne. Sa production semble connaître un déclin, qui s'amorce à partir du X<sup>e</sup> s. av. notre ère, pour presque disparaître vers le VIII<sup>e</sup> s. av. notre ère. En Europe, cette composition caractérise les perles en verre du Bronze moyen et final. Cette technologie connaîtra un nouvel essor vers la fin du premier millénaire de notre ère et caractérisera, à partir de cette époque, les productions des centres verriers du littoral méditerranéen.

- Les verres sodo-potassiques qui, d'après les données dont on dispose actuellement, sont apparus en Italie du nord (Frattesina) vers le XI<sup>e</sup> s. av. notre ère. Leur production s'arrête vers le VIII<sup>e</sup> s. av. notre ère, lorsque les verres calco-sodiques à soude minérale, fabriqués au Proche Orient, arrivent massivement dans la partie occidentale du Bassin Méditerranéen. Cette composition est caractéristique de la majeure partie des objets de parure en verre du Bronze final que l'on rencontre en Europe occidentale.

- Les verres calco-sodiques à soude minérale (tel le natron des dépôts égyptiens), dont les premiers exemplaires apparaissent entre le X<sup>e</sup> et le VIII<sup>e</sup> s. av. notre ère au Proche Orient. Cette composition caractérise alors les verres produits en Syro-Palestine et en Egypte. En Europe occidentale, elle est typique des verres retrouvés à partir du début de l'âge du Fer. Bien que les objets fabriqués à partir de ce verre aient une composition chimique relativement stable et homogène de l'âge du Fer à la fin de l'Antiquité, plusieurs sous-groupes peuvent être individualisés au sein de cette famille au cours du Hallstatt et de La Tène. Ceci permet de proposer, dans certains cas, une datation relative des objets retrouvés hors contexte (Gratuze 2009).

### 2.1.4.3. Le matériel étudié

La petite perle annulaire en verre bleu (fig. 44) retrouvée sur la fouille de Cesson (35), La Salmondière a été analysée par LA-ICP-MS (spectrométrie de masse couplée à un plasma inductif avec prélèvement par ablation laser) au centre Ernest-Babelon (IRAMAT, UMR 5060, CNRS – Université d'Orléans).

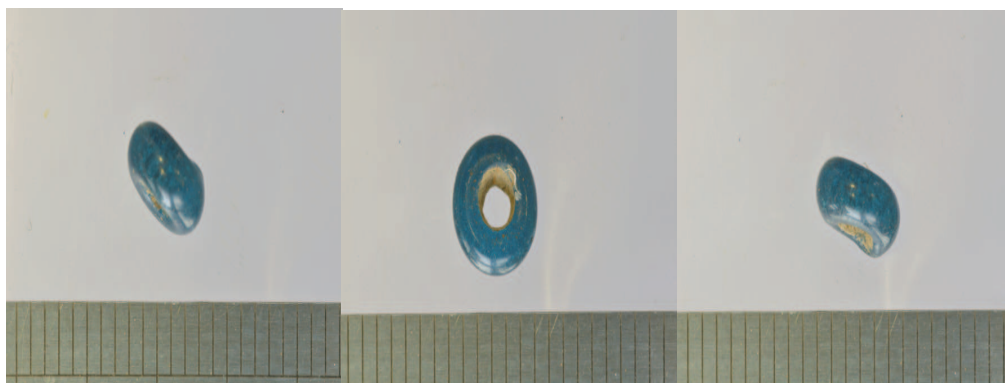


Fig. 44 : la petite perle annulaire en verre bleu retrouvée sur la fouille de Cesson (35), La Salmondière

### 2.1.4.4. Résultats

La composition de la perle

Les résultats obtenus montrent que la perle étudiée a été élaborée à partir d'un verre très riche en silice, probablement obtenu en mélangeant des galets de quartz à un fondant mixte sodo-potassique (Tab. 3).

	Cesson-Sévigné		
Li <sub>2</sub> O	0,0083%	As <sub>2</sub> O <sub>3</sub>	0,0089%
B <sub>2</sub> O <sub>3</sub>	0,0092%	Rb <sub>2</sub> O	0,014%
Na <sub>2</sub> O	6,32%	SrO	0,012%
MgO	0,57%	Y <sub>2</sub> O <sub>3</sub>	0,0005%
Al <sub>2</sub> O <sub>3</sub>	2,31%	ZrO <sub>2</sub>	0,0045%
SiO <sub>2</sub>	75,6%	Nb <sub>2</sub> O <sub>3</sub>	0,0004%
P <sub>2</sub> O <sub>5</sub>	0,24%	Ag	0,0025%
Cl	0,20%	SnO <sub>2</sub>	0,35%
K <sub>2</sub> O	7,06%	Sb <sub>2</sub> O <sub>3</sub>	0,0052%
CaO	1,55%	Cs <sub>2</sub> O	0,0001%
TiO <sub>2</sub>	0,075%	BaO	0,0109%
V <sub>2</sub> O <sub>5</sub>	0,0016%	La <sub>2</sub> O <sub>3</sub>	0,0006%
Cr <sub>2</sub> O <sub>3</sub>	0,0017%	CeO <sub>2</sub>	0,0011%
MnO	0,023%	PrO <sub>2</sub>	0,0001%
Fe <sub>2</sub> O <sub>3</sub>	0,71%	Nd <sub>2</sub> O <sub>3</sub>	0,0005%
CoO	0,0032%	HfO <sub>2</sub>	0,0001%
NiO	0,0064%	PbO	0,012%
CuO	4,88%	Bi	0,0008%
ZnO	0,0087%	ThO <sub>2</sub>	0,0002%
GaO	0,0004%	UO <sub>2</sub>	0,0001%

Tab. 3 : Compositions de la perle analysée (teneurs en % massique)

Ce verre sodo-potassique est un matériau de composition très spécifique, qui caractérise les perles de verre datées du Bronze final que l'on retrouve sur de nombreux sites européens tant en France, qu'en Angleterre, Irlande, Suisse, Belgique, Allemagne, république Tchèque, ou Italie (Angelini et al. 2004, Azemar et al. 2000, Bellintani et al. 1998, Bellintani 2000, Biavati et Verità 1989; Brill 1992; Guilaine et al. 1991, Bilaud et Gratuze 2002, Gratuze et Bilaud 2003, Gratuze et al. 1998, Gratuze 2010, Hartman et al. 1997, Mildner et al. 2010, Henderson 1988, 1989 et 1993, Raftery et Henderson 1987, Cosyn et al. 2008, Ploin et al. à paraître, Venclova et al. 2011). Il est caractérisé par une teneur élevée en silice ( $\text{SiO}_2$  de l'ordre de 75%), des teneurs faibles en chaux et alumine ( $\text{CaO}$  et  $\text{Al}_2\text{O}_3$  de l'ordre de 1,5 à 3 %) et par l'utilisation d'un fondant mixte sodo-potassique (avec  $\text{K}_2\text{O}+\text{Na}_2\text{O}$  de l'ordre de 15% et  $\text{K}_2\text{O}>\text{Na}_2\text{O}$ ). Ce type de verre apparaît vers le onzième siècle avant notre ère pour disparaître vers le huitième siècle, période qui correspond à la fin du Bronze final. Cependant, au vu des résultats récents obtenus sur des perles en faïence du Bronze ancien et du Bronze moyen, une apparition à une date plus précoce n'est pas à écarter.

Le colorant utilisé pour colorer en bleu turquoise le verre de la perle analysée est l'oxyde de cuivre. Cet élément colore les verres en bleu turquoise, vert ou rouge selon la recette de fabrication utilisée et l'atmosphère (oxydante ou réductrice) du four. Le cuivre provient habituellement de déchets métallurgiques (cuivre ou bronze) et amène souvent de l'étain. La teneur en étain mesurée pour cette perle dénote l'utilisation d'un bronze renfermant un peu moins de 7 % d'étain.

#### 2.1.4.5. L'origine des petites perles annulaires en verre bleu des sites de l'âge du Bronze final du l'est de la France

Grâce à la collaboration de nombreux chercheurs et archéologues, l'ensemble des études menées sur la parure protohistorique en verre permet aujourd'hui de disposer d'un inventaire relativement à jour des objets retrouvés sur les sites français datés du Bronze ancien au premier âge du Fer. Pour la Bretagne, la perle de Cesson-Sévigné s'inscrit au sein d'un corpus du Bronze final assez restreint par rapport aux autres régions Françaises (Tab 4).

La grande similitude de composition que l'on observe entre le verre de la perle analysée, et celui produit sur le site nord-italien de Frattesina (Bronze final XI<sup>e</sup>-VIII<sup>e</sup> s. av. notre ère), indique que cette perle, a été importée d'Italie du Nord.

Les principales découvertes de perles annulaires du quart nord-ouest de la France sont données dans le tableau 4.

### Conclusion

L'élément de parure en verre retrouvé sur le site de La Salmondière à Cesson-Sévigné est une perle issue des productions des ateliers de verriers protovillanoviens de la région de Frattesina (Fratta Pollesine, Vénétie, Italie). De telles perles ont été découvertes sur de nombreux sites du Bronze final européen : Italie, Suisse, République Tchèque, Allemagne, Belgique, Irlande et Angleterre. Les perles annulaires font partie des perles les plus représentées au sein des sites du Bronze final européen. Elles s'inscrivent dans un schéma global de circulation des biens entre l'Italie du Nord et l'Europe du Nord et de l'Ouest via les Alpes, la Suisse et la vallée du Rhin (zone RSFO) et le Bassin Parisien.



Région	Département	Site	Commune	Quantité
<b>Petites perles annulaires bleues</b>				
Bretagne	Morbihan	Kerlande Brandivy	Kerlande Brandivy	1
Ile de France	Seine-et-Marne	Les Gours-aux-lions, incinération 2	Marolles-sur-Seine	1
		Ferme de la Muette	Marolles-sur-Seine	1
		Le Camp, sépulture 119	Château-Landon	2
		Les Vinotières	Gironville	4
		Haute-Grève	Gouaix	34
		les Pétreaux, le Dessus de la Chaussée	Changis-sur-Marne	19
Centre	Loir-et-Cher	Le Theil	Billy	11
<b>Grosses perles sphéroïdes</b>				
Bretagne	Côtes d'Armor	Toul Goulic	Toul Goulic	1
Ile de France	Paris	Le Louvre 'cour Napoléon'	Paris	1
Centre	Eure-et-Loir	Fort Harrouard	Sorrel-Moussel	2
<b>Perles à nodosités</b>				
Bretagne	Finistère	Quimper Kergolvez	Quimper	1
<b>Perles à ocelles</b>				
	Côte d'Armor	Collédic, Kerguinissec	Saint-Nicolas-du-Pelem	1
Bretagne		Le Quiou	Le Quiou	1
		Toul Goulic	Toul Goulic	1
	Morbihan	Kerlande, Brandivy	Brandivy	1
		Arzon Le Petit Mont	Arzon	1
Poitou-Charentes	Charente	Grotte de Rancogne	Rancogne	1
Ile de France		Ferme de la Muette	Marolles-sur-Seine	1
<b>Perles à ocelles sur noyau d'argile</b>				
Centre	Eure-et-Loir	Fort Harrouard	Sorrel-Moussel	1
Bretagne	Finistère	Mez Notariou	Ouessant	1
Ile de France	Seine-et-Marne	Haute-Grève	Gouaix	1

Tab. 4 : inventaire des perles en verre, attribuées aux ateliers nord-italiens, retrouvées sur des sites archéologiques du nord-ouest de la France

## 2.2. L'occupation du II<sup>e</sup> âge du Fer

### 2.2.1. Présentation générale

Cette occupation se compose de deux ensembles d'enclos 1 et 2, distants l'un de l'autre d'une cinquantaine de mètres (fig. 45). Le premier est situé dans la partie nord et le second en limite sud-ouest de l'emprise. Ils fonctionnent en même temps de la fin du IV<sup>e</sup> siècle / début III<sup>e</sup> siècle, jusqu'à la fin de La Tène finale. Ils sont ensuite abandonnés puis remblayés et une occupation antique s'installe sur l'ensemble du site sans tenir compte des implantations antérieures.

L'ensemble 1 semble constitué d'une grande avant cour limitée côté est par deux enclos parallèles ouverts sur le flanc est. A l'intérieur de cette avant cour d'autres fossés forment des partitions internes venant s'accoler à un enclos quadrangulaire ouvert côté est. Entre cette avant cour et l'enclos quadrangulaire deux petits fossés parallèles semblent se rapporter à un chemin.

L'ensemble 2 est constitué principalement d'un enclos quadrangulaire avec de petites partitions internes. Sur son flanc ouest vient s'accoler des éléments de parcellaire.

Deux fossés parallèles d'axe nord/sud peuvent également constituer les vestiges d'un chemin de la même période.

### 2.2.2. Chronologie

Un phasage de chronologie relative a d'abord été établi par des recoupements de fossés, ensuite il a été affiné par les données provenant de l'étude céramique d'Alexandre Monnier. Quatre horizons céramiques semblent se dégager mais ils sont difficiles à différencier dans l'évolution du site. Trois grandes étapes paraissent plus se mettre en place. La première phase d'occupation date de la fin de La Tène ancienne et du tout début de La Tène moyenne, soit la fin du IV<sup>e</sup> /début III<sup>e</sup> siècle av. J. C. Elle semble plus correspondre à un habitat ouvert.

La seconde phase, qui concerne le creusement des grands fossés d'enclos couvre les III<sup>e</sup> et II<sup>e</sup> siècles. La dernière se rapporte au I<sup>er</sup> siècle.

### 2.2.3. Les chemins

L'accès à l'ensemble 1 semble se faire au moyen d'un chemin d'axe est/ouest dont une partie est conservée par les deux fossés bordiers (fig. 45).

Pour l'ensemble 2, il s'agit d'un axe nord/sud situé en extrémité ouest d'emprise.

#### 2.2.3.1. Le chemin 1

Un chemin d'axe est/ouest dont la trace n'est conservée que par deux fossés bordiers, au nord 1462 et au sud 1451-1368 est présent à l'intérieur du domaine. Il permet après le double passage de l'entrée, d'accéder à l'enclos E1 de l'ensemble 1. Les fossés bordiers délimitent une bande de roulement de 4,30 m de largeur en moyenne. Ce chemin a été suivi sur plus de 50 m de longueur. Son tracé est ensuite plus difficile à définir en raison de la présence d'autres réseaux de fossés.

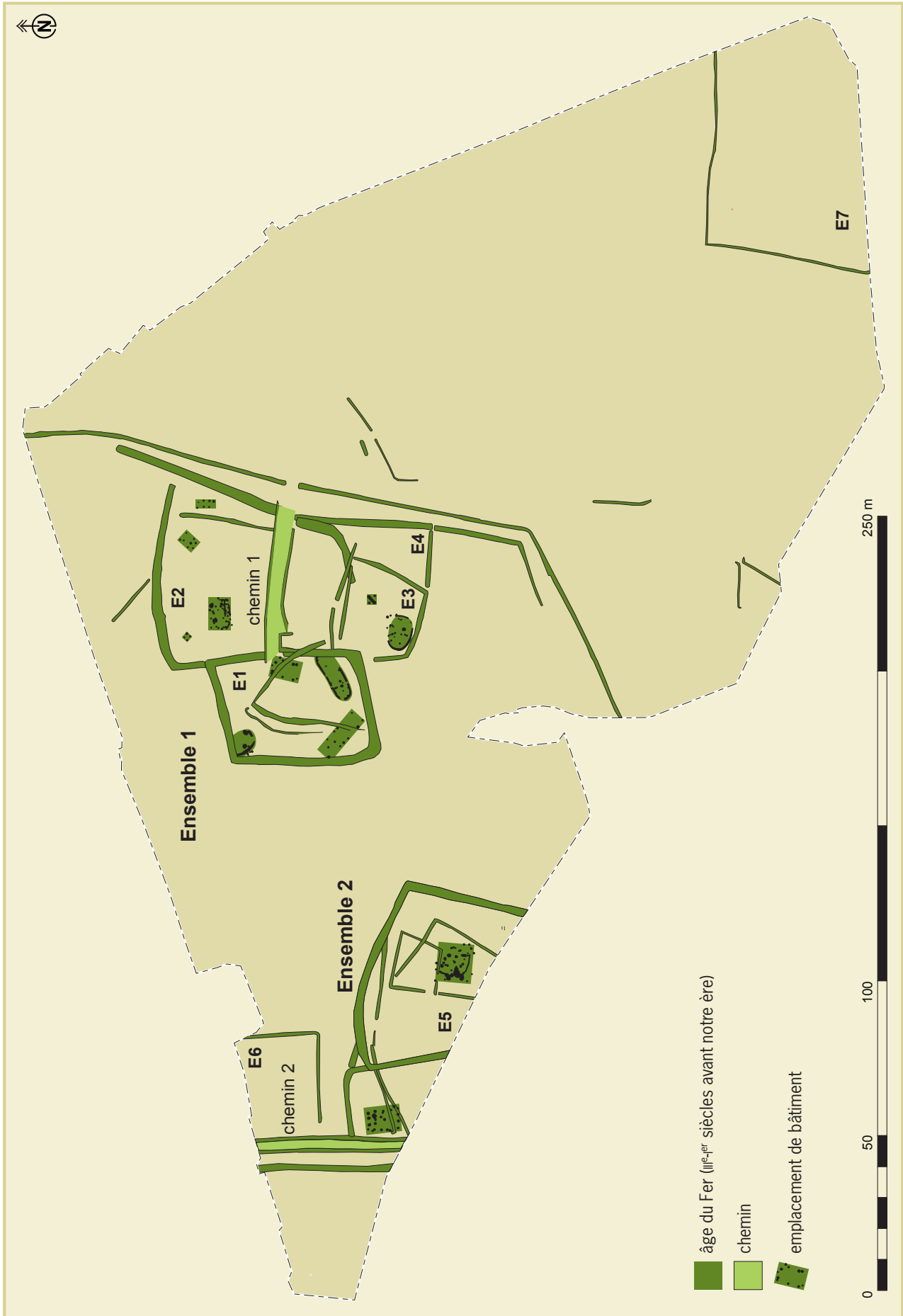


Fig. 45 : plan général des occupations de l'âge du Fer

### Fossé 1541-1368

Il a été suivi sur au moins 30 m de longueur pour une largeur d'environ 1,14 m et pour une profondeur conservée allant de 0,14 à 0,43 m. Au moins trois sondages ont été réalisés dans ce fossé dont seulement un a été relevé. Ils montrent un profil assez régulier en V à fond arrondi (fig. 46 et 47). Cette différence de gabarit peut s'expliquer outre l'érosion du site, par des phases successives de curage.



Fig. 46 : coupe ouest du fossé 1541-1368 © Hervé Morzadec

Le comblement présente une certaine uniformité à savoir : un sédiment limono-argileux brun gris peu compact et homogène avec inclusions de charbons de bois et traces d'oxydations. Il recouvre un sédiment gris vert très oxydé.

La fouille a livré 1 tesson de céramique de La Tène.

### Fossé 1462

Il a été suivi sur au moins 52 m de longueur et sur une largeur de 0,90 m pour une profondeur conservée de 0,65 m. Sur les 3 sondages ouverts, 2 ont été relevés. Ils montrent un profil en U (fig. 47).

Le comblement est constitué d'un sédiment limono-argileux brun peu compact hétérogène avec cailloutis et petits blocs de schiste. Il recouvre un sédiment limono-argileux brun oxydé plus argileux. Dans le sondage 592, ce fossé est recoupé par le fossé 545 qui s'arrête dans 592.

La fouille du sondage 592 a livré 2 tessons de céramique datés de la période protohistorique.

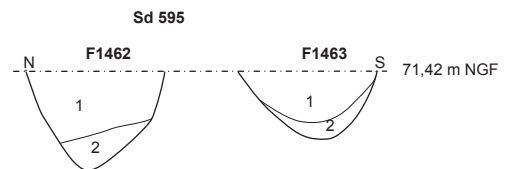
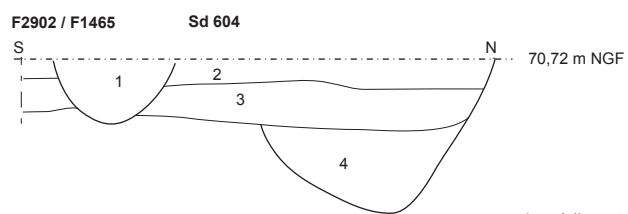
Dans un premier temps nous avons pensé que le fossé 2902 était le prolongement de 1462 (donc du bord nord du chemin) vers l'ouest, mais le sondage 604 montre qu'il recoupe les deux US venant elles-mêmes recouper le fossé 581 (fig. 47). Ce dernier étant gallo-romain, 2902 ne peut pas à la fois être antérieur chronologiquement à 581 (puisque le chemin est gaulois) et postérieur stratigraphiquement. Il semble donc que 2902, ne soit pas le prolongement de 1462.

### Fossé 2902

Dans le sondage 604, il fait 0,80 m de large sur 0,40 m de profondeur.

Le comblement est constitué d'un sédiment limono-argileux gris compact homogène avec charbons de bois épars et traces d'oxydation.

A cet endroit, le terrain est perturbé par une nappe de cailloux (fig. 48) dans une matrice argileuse très oxydée pouvant correspondre à un éventuel chemin moderne (non présent sur le cadastre napoléonien) et venant oblitérer la vision des structures dans ce secteur, obligeant à un sur-décapage. Il est donc possible que le fossé 2902 soit les vestiges d'un des fossés bordier de ce chemin ou une trace d'ornière.



1 : sédiment argilo-limoneux brun peu compact hétérogène avec fragments de schiste  
 2 : sédiment argilo-limoneux brun orangé avec oxyde

- 1 : sédiment argileux gris compact homogène avec oxyde et charbons de bois (F2902)
- 2 : sédiment limono-argileux gris (F1465)
- 3 : nappage ?? (F1465)
- 4 : sédiment argileux gris compact homogène avec oxyde, fragments de schiste et charbons de bois (F1465)



Fig. 47 : plan et coupe des fossés du chemin 1



Fig. 48 : vue aérienne du sud-ouest avec zone caillouteuse (chemin moderne ?) en pointillé venant recouper l'enclos antique © Gilles Leroux

### 2.2.3.2. Le chemin 2

D'axe nord/sud, il est constitué de deux fossés parallèles 826-920-956-1043-1036-837 et 825-921-959-1034 distants d'environ 2,80 m.

#### Fossé 826-920-956-1043-1036-837

Il est situé en extrémité ouest de l'emprise, traverse le site selon un axe nord/sud. Il a été suivi sur une longueur de 48,39 m et sur une largeur moyenne de 1 m pour une profondeur conservée d'environ 0,40 m. Sur les 10 sondages pratiqués dans le fossé 826, 8 ont été relevés. Ils montrent un même profil en V légèrement arrondi à la base avec pour certaines coupes des phases d'effondrement (sd 180, 182, 184) et un même type de comblement constitué d'un sédiment limoneux brun beige avec de nombreuses inclusions de manganèse, quelques cailloux de quartz et des charbons de bois. Ce fossé est recoupé par le fossé 958 de La Tène finale et les fossés gallo-romains 914, 927, 956 et 1041. Il faut également noter qu'il est recoupé à plusieurs endroits par toute une série de trous de poteaux. La fouille du sondage 396 a livré 9 tessons pour 2 formes (Pl. 3). Deux fragments d'une céramique presque archéologiquement complète (45, Pl. 3) ont aussi été retrouvés dans la moitié septentrionale du fossé dans le sondage 180. Le mobilier céramique retrouvé nous permet d'attribuer le fossé à la fin du IV<sup>e</sup> et au début du III<sup>e</sup> siècle av. J. C. En outre, le décor et le profil du vase 15 (Pl. 3) provenant du sondage 396 correspond parfaitement à cette période.

### Fossé 825-921-959-1034

Il a été suivi sur une longueur totale de 45,60 m pour une largeur moyenne d'1 m et une profondeur conservée d'environ 0,56 m. Les 5 sondages réalisés dans ce fossé offrent un profil en V arrondi à la base. Les coupes présentent des phases d'effondrement et le comblement principal est constitué d'un sédiment limono-argileux gris clair avec beaucoup d'inclusions d'altérite ainsi que des traces d'oxydation et des charbons de bois. Comme le fossé 826, il recoupe le fossé 1039 et est recoupé à la fois par les fossés gallo-romains 1033 et 2866 dans le sondage 333 ainsi que 926 et 927. La fouille a seulement livré 2 tessons de céramique dans le sondage 395. Ils sont datés de la période protohistorique.

### 2.2.4. Ensemble 1

Il se compose d'un enclos principal de forme quadrangulaire sur lequel viennent se greffer des fossés formant d'autres espaces enclos, vraisemblablement des cours ou des zones liées à des activités spécifiques ou se rattachant à des chronologies différentes.

#### 2.2.4.1. L'enclos E1

Cet enclos de forme quadrangulaire est composé d'un seul fossé de 48 m de longueur sur les côtés ouest (F 1401) et est (F 1491 – F 1305) sur 35 m de largeur sur les côté sud (F 2046) et nord (F 1402). Une ouverture de 3,80 m est présente sur la façade orientale (fig. 50).

L'ensemble offre une surface totale de 1680 m<sup>2</sup> pour une surface interne de 1314 m<sup>2</sup>. Creusé dans le substrat constitué de schiste et d'altérite jaune/orange, l'ensemble présente une certaine homogénéité de profil et de dimension. Il semble qu'il soit accompagné d'un talus interne.

Vingt sept sondages mécaniques ont été pratiqués dans les segments de cet enclos, dont deux aux extrémités de l'entrée. Ils montrent en général un profil en V très prononcé avec une profondeur variant de 1,50 à 1,80 m.

L'enclos est implanté sur un sol pratiquement plat présentant, d'après la planimétrie actuelle, un dénivelé du nord-est vers le sud-ouest d'environ 0,50 m, passant de 71,5 m NGF à 71 m NGF. Lorsque l'on compare les altitudes de fond des coupes des fossés on retrouve cette très faible différence de l'angle nord-est de l'enclos avec 69,45 m à la base de la coupe du sondage 468 à l'angle sud-ouest avec le sondage 381 à la côte 68,92 m NGF.

Si nous comparons les altitudes entre le flanc nord et le flanc sud nous obtenons en fond de structure une différence maximale de 0,70 m. Il semble donc, en tenant compte de la très légère déclivité du terrain, que cet enclos présente un léger pendage à partir du nord permettant de drainer l'eau vers le sud. Par contre aucun raccordement de fossé ne permet d'envisager une évacuation du trop plein. La stratigraphie des coupes semble indiquer un fossé ouvert avec une petite circulation d'eau pouvant s'évacuer par capillarité.

Il faut noter lors de la fouille une remontée très rapide de la nappe dans le fossé jusqu'à la surface, occasionnant des effondrements de coupe, ce qui n'est pas envisageable au moment de l'utilisation du site. La nappe à cette époque devait être beaucoup plus basse qu'actuellement.

L'étude des coupes permet de proposer une dynamique de comblement de cet ensemble fossoyé, pouvant varier suivant la localisation dans le fossé d'enclos. Plusieurs phases ont été notées que nous allons détailler par façade.

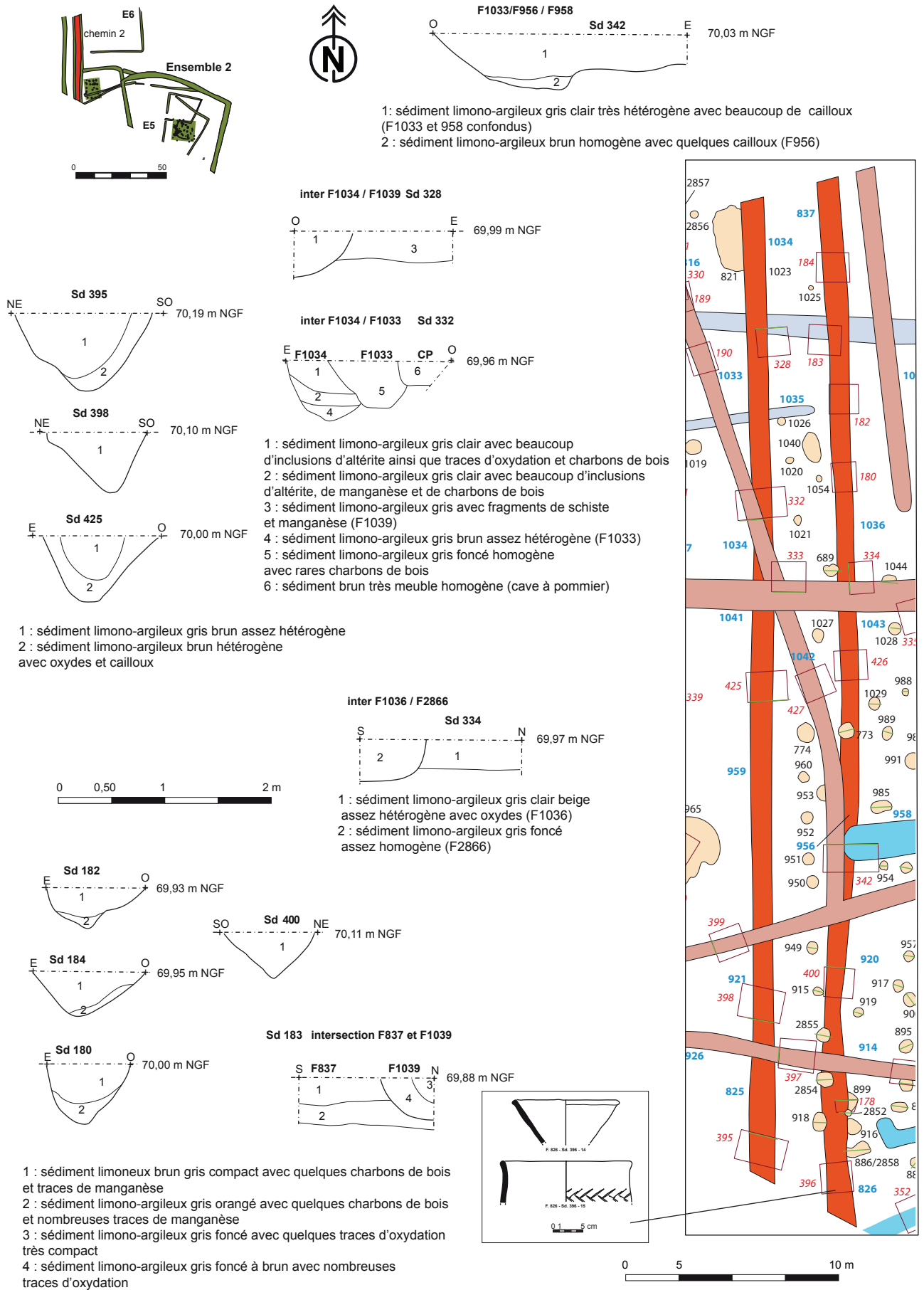


Fig. 49 : plan et coupe des fossés du chemin 2



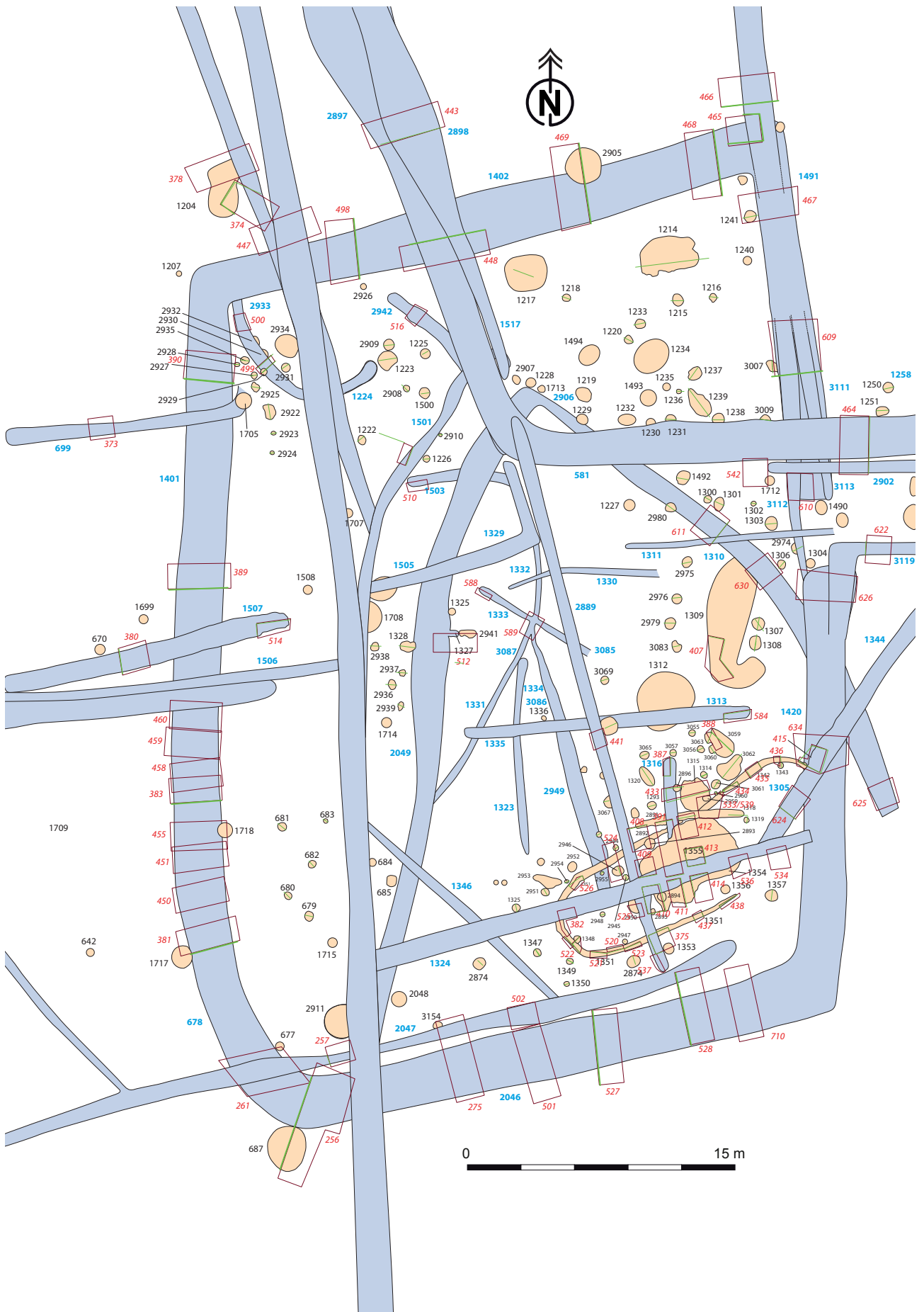


Fig. 50 : plan général de l'enclos E1 de l'ensemble 1

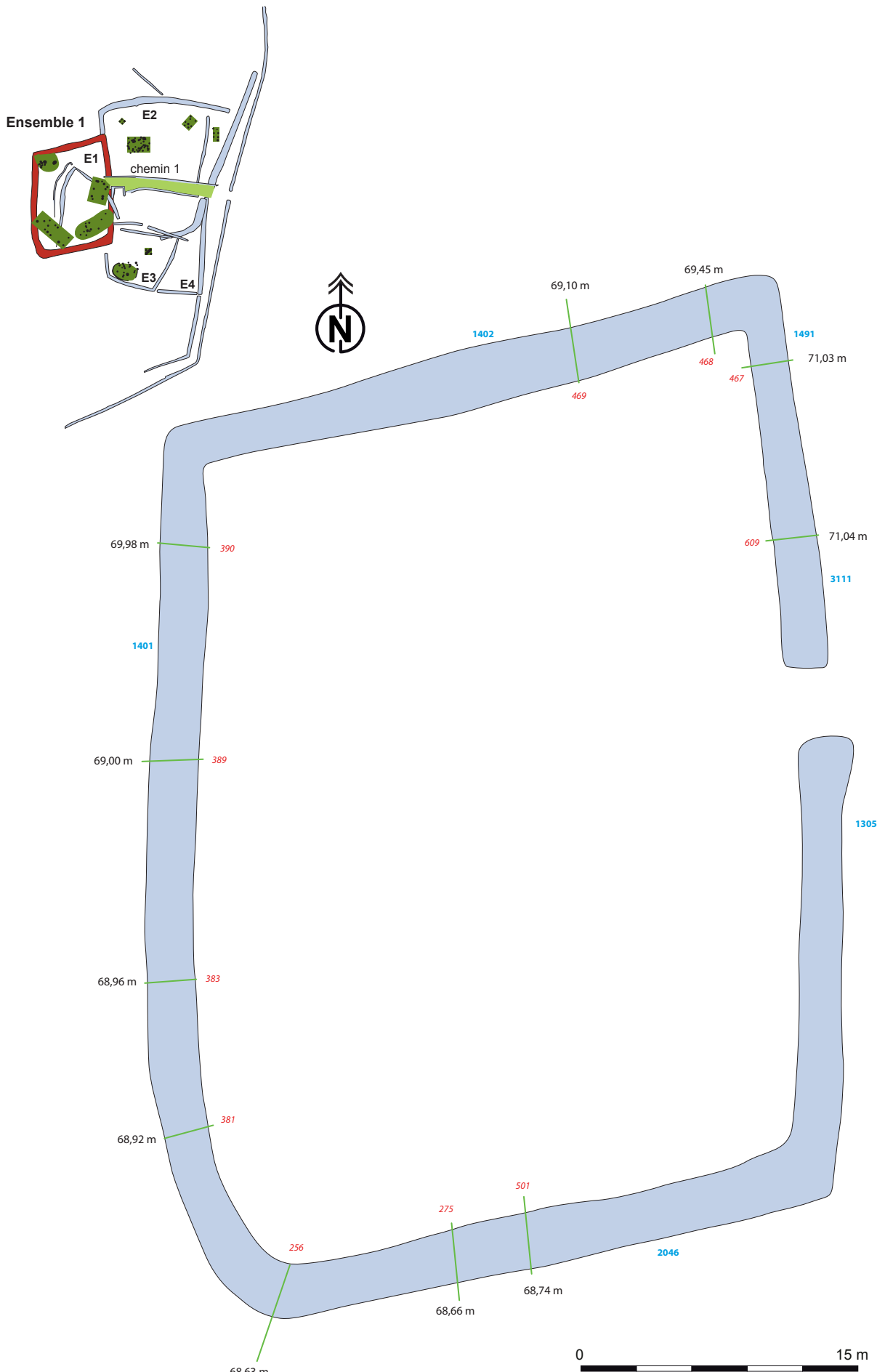


Fig. 51 : plan des côtes NGF des sondages de l'enclos E1 de l'ensemble 1

## La façade occidentale

### Fossé 1401

De 48 m de longueur et d'orientation générale nord/sud, il présente au niveau du plan un léger bombement aux extrémités nord et sud, lui donnant un petit aspect curviligne, surtout dans sa partie sud (fig. 52).

La largeur varie de 2,40 m (sondage 381) à 2,73 m (sondage 389). Pour la profondeur conservée, elle varie de 1,50 m (sondages 381 et 389) à 1,66 m (sondage 390). Le profil général est en V avec un fond légèrement arrondi.

Les sondages ont révélé plusieurs phases de comblement :

-Une première couche est constituée d'un sédiment argilo-limoneux gris à brun gris mélangé à des plaquettes de schiste ou du schiste décomposé, le tout pouvant former comme des litages, correspondant à une sédimentation lente de la structure. Cette dernière provenant à la fois d'un envasement progressif du fossé et à l'effondrement des parois. Pour assurer un bon écoulement de l'eau, ce niveau a dû faire l'objet de nombreux curages. A noter que la fouille a livré de la céramique gauloise.

-La deuxième phase est constituée d'un niveau de schiste décomposé mêlé à une matrice limoneuse brun-beige, présente surtout dans les sondages 389 et 390, pouvant se rapporter à l'affaissement progressif du talus situé sur le bord du fossé.

-Une troisième phase correspondant à des séquences de colluvionnement est constituée d'un sédiment argileux gris sombre avec des inclusions d'oxydation, des blocs de schiste et du charbon de bois. Viennent ensuite de petites phases d'effondrement alternant avec des phases de comblement massif constituées de sédiment argileux brun plus ou moins riches en inclusions d'altérite et charbons de bois. Le comblement terminal est constitué d'un sédiment argilo-limoneux gris brun compact renfermant des inclusions d'altérite orange, des charbons de bois ainsi que de la céramique de la fin du second âge du Fer.

La partie supérieure présente, dans plusieurs sondages, une dépression livrant en surface de la céramique gallo-romaine pouvant, dans un premier temps, évoquer une réutilisation de l'enclos à l'époque antique. Mais il s'agit selon toute vraisemblance d'un phénomène de tassement de niveaux d'occupations gallo-romains.

## La façade méridionale

### Fossé 2046

De 43 m de longueur et d'orientation générale est/ouest, il a été sondé par 7 sondages dont 3 ont été relevés (fig. 53). La largeur varie de 2,90 m (sondage 256) à 3,20 m (sondage 501) pour une profondeur conservée passant de 1,54 m (sondage 256) à 1,80 m (sondage 501).

Le profil général est en V avec un fond légèrement arrondi. Les altitudes de fond variant peu, passant de 68,63 m NGF (sondage 256) à 67,74 m NGF (sondage 501).

Les sondages ont révélé plusieurs phases de comblement :

-On retrouve la couche de sédiment lente de fond de fossé au moins dans les sondages 256 et 501, mais dans ce dernier elle est précédée d'une couche de substrat remanié. Cette même couche de substrat est présente dans le sondage 275.

-La deuxième est ensuite composée des différentes couches argilo-limoneuses de comblement. A noter dans les sondages 275 et 501, l'intercalation de petits horizons détritiques très charbonneux non présents sur la façade ouest. Comme pour le fossé 1401 du mobilier gallo-romain est présent dans la partie sommitale du fossé.

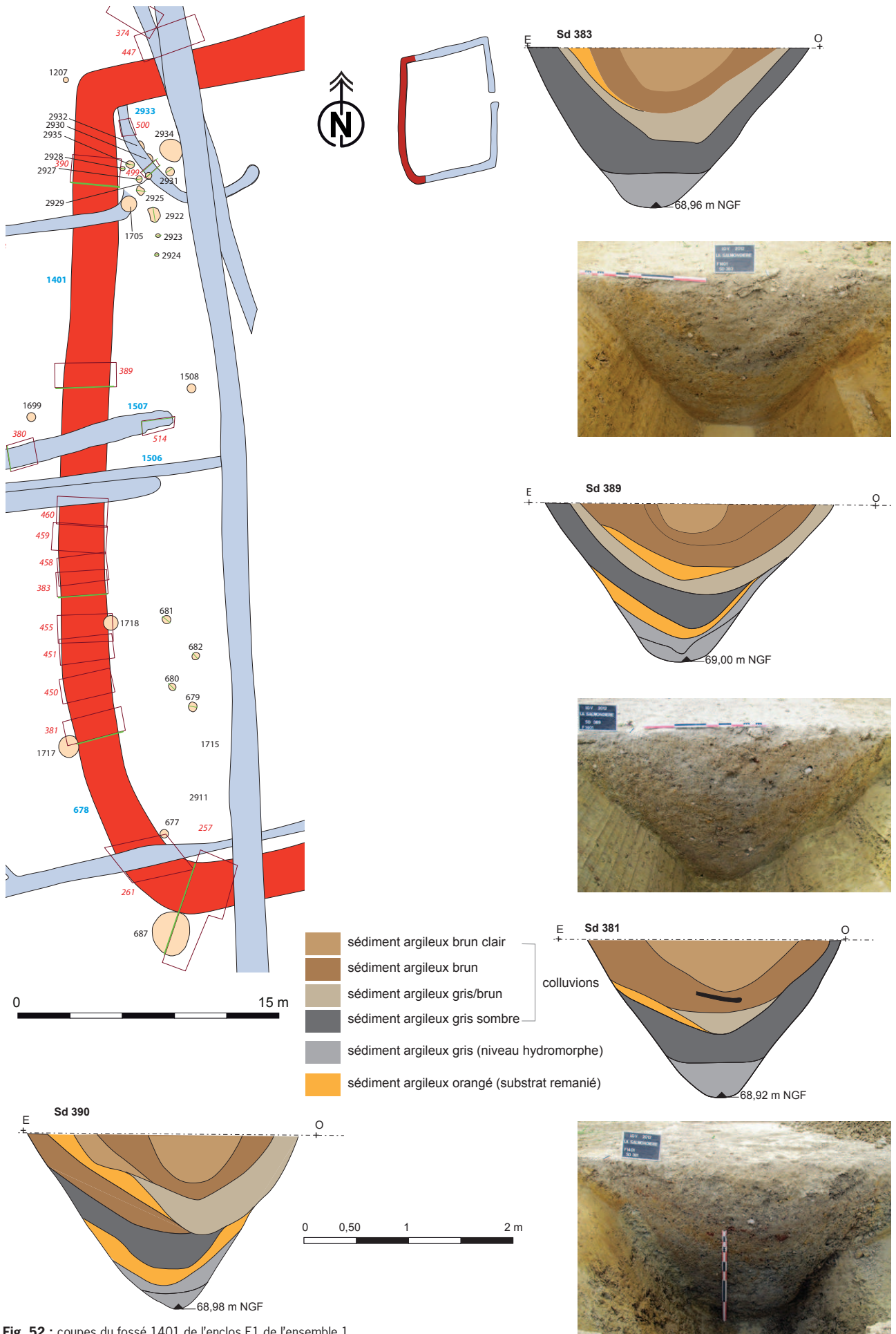


Fig. 52 : coupes du fossé 1401 de l'enclos E1 de l'ensemble 1

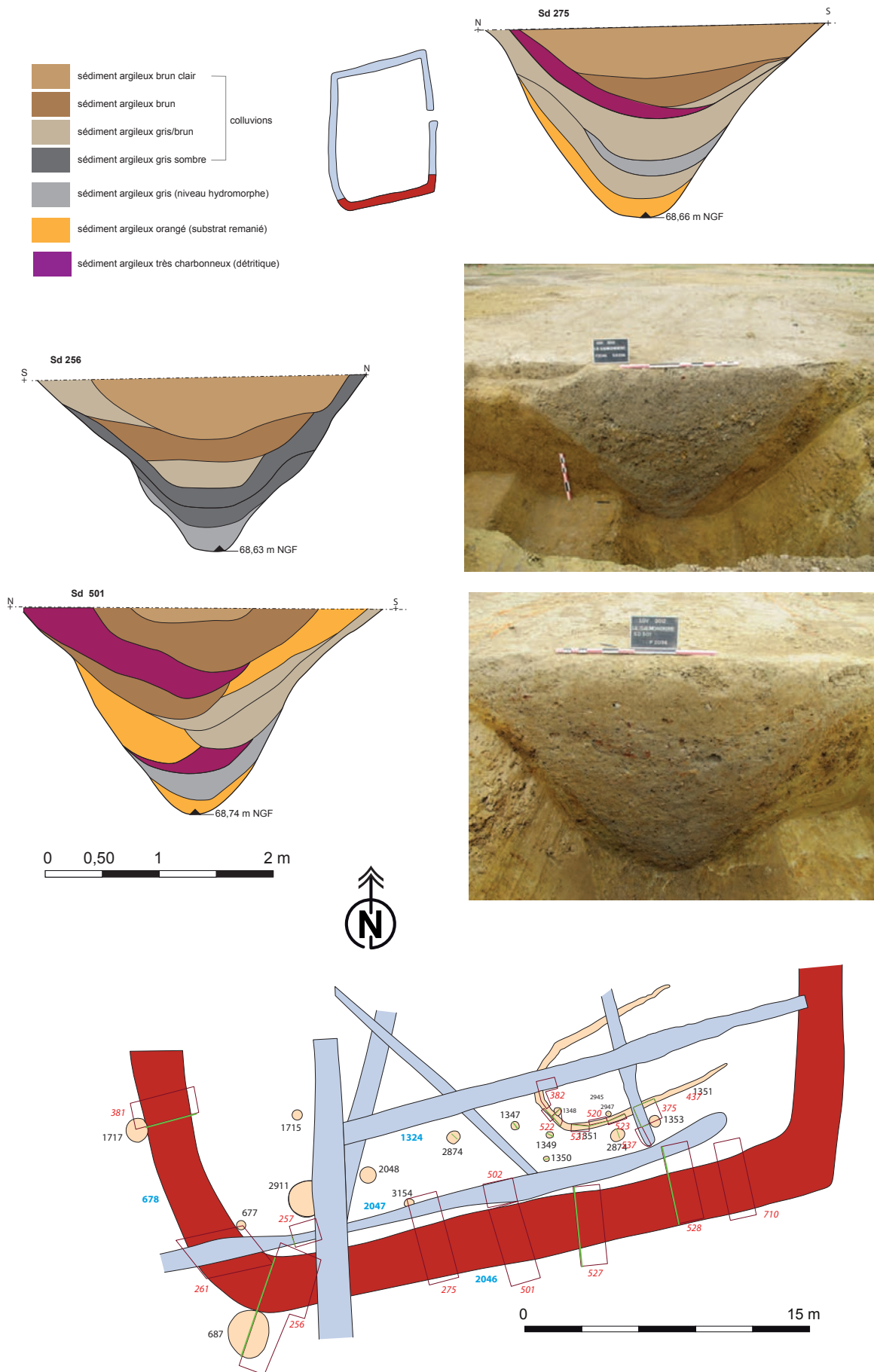


Fig. 53 : coupes du fossé 2046 de l'enclos E1 de l'ensemble 1

## La façade septentrionale

### Fossé 1402

De 34,56 m de longueur d'axe nord-est/sud-ouest il a été sondé par 5 sondages dont 4 ont été relevé (fig. 54), mais le sondage 448 concerne l'inter avec les fossés gallo-romains 2597 et 2598. La largeur varie de 2,70 m (dans le sondage 468) à 3 m (dans le sondage 469) pour une profondeur conservée passant réciproquement de 1,54 m NGF à 1,80 m NGF.

Les sondages ont révélé plusieurs phases de comblement :

-La couche de sédimentation lente de fond de fossé est présente dans les deux sondages avec ensuite des phases d'effondrement.

- Le sondage 469 a livré une couche détritique très charbonneuse sur la façade externe de l'enclos.

-La troisième phase est ensuite composée des différentes couches argilo-limoneuses de comblement de massif et de colluvionnement, sans présence de mobilier gallo-romain en surface.

A noter que le fossé est recoupé dans le sondage 469 par la fosse 2905, mais la fouille de cette dernière n'a pas donné de mobilier.

## La façade orientale

Elle est composée de deux fossés 1491 et 1305, séparés par une ouverture de 3,80 m de largeur (fig. 55).

### Fossé 1491

De 21,50 m de longueur d'axe nord-ouest/sud-est, il a été sondé par 3 sondages relevés. La largeur varie de 2,06 à 2,40 m pour une profondeur conservée allant de 1,64 à 1,72 m. La cote du fond de fossé varie guère passant d'une extrémité à l'autre de 69,40 m NGF pour le sondage 467 à 69,36 m NGF pour le sondage 610, ce qui ne correspond pas à un pendage pour l'écoulement de l'eau. Le profil est en V très prononcé. L'extrémité remonte de façon assez abrupte dans le sondage 610. Cette extrémité est d'ailleurs recoupée selon un axe est/ouest par le fossé 3113 et nord/sud par le fossé 3112. Ces deux fossés ont livré de la céramique protohistorique mais provenant vraisemblablement du fossé 1491. Seule la coupe du sondage 467 présente un niveau argileux au fond du fossé, les autres montrant une phase d'effondrement de la paroi. Se succèdent ensuite des couches de sédiments limono-argileux évoluant du gris au brun, correspondant aux colluvions et comblement massif avec des alternances de phases d'effondrement. Le sondage 465 a été implanté à l'intersection avec le fossé 2903 afin de déterminer la relation stratigraphique entre ces deux entités.

D'après l'examen des coupes, il semble dans un premier temps que 1402 et 2903 fonctionnent ensemble, 2903 devenant 1491 en façade orientale. Puis 1491 aurait été recreusé plus profondément alors que 1402 est en partie remblayé. Le but étant peut être la mise en valeur de ce côté de l'enclos, un souci de monumentalité.

### Fossé 1305-3119

De 25 m de longueur d'axe nord/sud, il a été sondé par 2 sondages mais les problèmes de remontée de la nappe n'ont pas permis de les relever. D'environ 2,40 m de largeur, ce fossé est conservé sur une profondeur d'environ 1,60 m en extrémité nord (sondage 626). Le profil est en V mais l'étude du comblement n'a pas pu se faire. Les observations de terrain au moment du décapage ont montré que ce segment de fossé recoupe les fossés 1471 et 1310 et qu'il est recoupé par le fossé gallo-romain 1344. Il recoupe également la tranchée du bâtiment 1 dans le sondage 634.

- sédiment argileux brun clair
  - sédiment argileux brun
  - sédiment argileux gris/brun
  - sédiment argileux gris sombre
- } colluvions
- sédiment argileux gris (niveau hydromorphe)
  - sédiment argileux orangé (substrat remanié)
  - sédiment argileux très charbonneux (détritique)

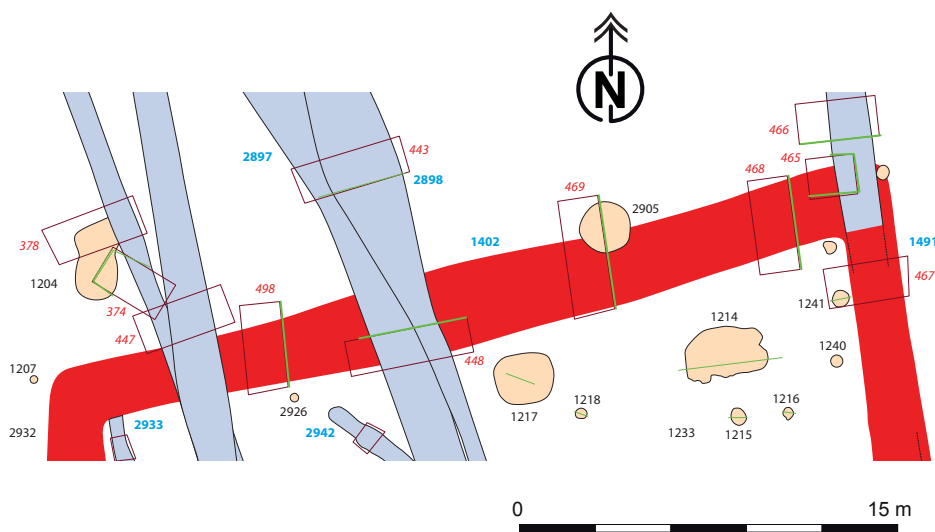
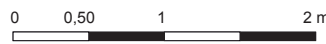
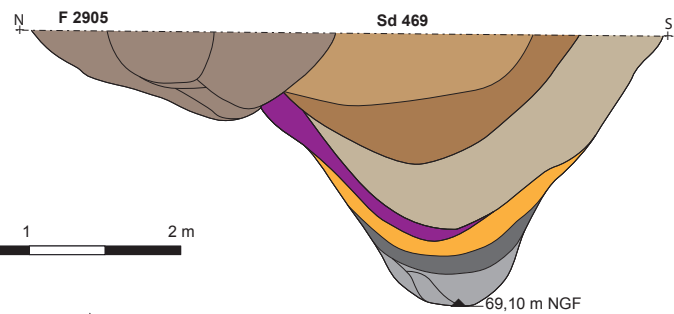
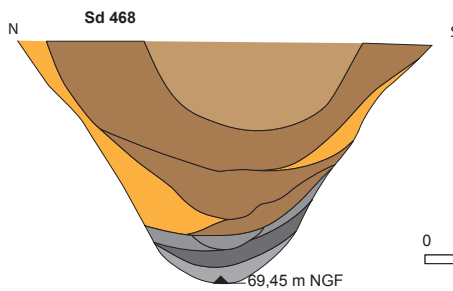
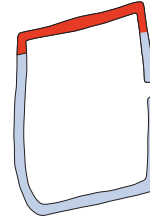


Fig. 54 : coupes du fossé 1402 de l'enclos E1 de l'ensemble 1





### Chronologie

Nous avons pu constater que cet enclos recoupait des structures et était lui-même recoupé par d'autres fossés (**fig. 56**).

Mais qu'en est-il des phases d'utilisation et de comblement de cette structure ? Du mobilier à caractère vraisemblablement intrusif et daté des IV<sup>e</sup>/III<sup>e</sup> siècle av. J.-C. est présent dans la partie sud de l'enclos, mais il n'indique pas à quel moment a été creusé et utilisé ce dernier. L'étude de la céramique présente dans les couches de comblement du fossé indique au moins trois phases de comblement. Il est intéressant de constater qu'elles ne se répartissent pas uniformément sur toute la périphérie de l'enclos. En effet des disparités apparaissent en fonction des sondages. Sur les côtés est, nord et ouest, a été mis au jour, dans les 0,60 cm supérieurs du fossé, une céramique comprise dans une fourchette chronologique allant du milieu du II<sup>e</sup> au I<sup>er</sup> siècle av. J.-C (**fig. 57 à 62**).

Pour la partie sud, les sondages n'ont livré que de la céramique du I<sup>er</sup> siècle av. J.-C., mais ce qui est étonnant, c'est que le sondage 459 de la façade ouest n'a livré que de la céramique de La Tène finale D2, soit fin du I<sup>er</sup> siècle av. J.-C./Gallo-romain précoce et c'est le seul de tous les sondages ouverts (**fig. 63**). Il confirme déjà qu'il n'y a pas eu de *hiatus* entre la fin de l'occupation gauloise et le début de la période gallo-romaine, mais on peut se demander pourquoi ce mobilier est localisé à cet endroit ? Il n'est pas présent en surface, mais dans les US 1 et 2 correspondant environ à 0,50 ou 0,60 m de profondeur sous la surface actuelle. La seule explication logique est la relative proximité du sondage avec le bâtiment 2 qui pourrait ainsi être daté de cette époque, mais d'autres sondages plus proches ne sont pas comblés avec ce type de céramique. Nous n'avons pas réellement la réponse à cette question.

### Les mobiliers

Sur les 4049 tessons de céramique datés de la période gauloise trouvés sur le site, 1544, soit plus de 38 % proviennent des sondages pratiqués dans les fossés de l'enclos. Cela représente un NMI (nombre minimal d'individus) de 151 vases, soit plus de 49 % de l'ensemble. Ces éléments se rapportent essentiellement aux phases de La Tène moyenne et finale. Les rejets sont dispersés sur toute la périphérie de l'enclos, mais avec des concentrations en façade ouest et sud-est à proximité des bâtiments 1 et 2. Une dernière phase de comblement comporte de la céramique de transition entre la période gauloise et le début de la période gallo-romaine.

Pour être complet, il faut également signaler que quelques éléments d'importation ont pu être trouvés dans la dernière phase de comblement, en surface (**fig. 64**). Ils sont vraisemblablement à mettre en relation avec cette phase d'occupation terminale.

La fouille a également livré des scories (**fig. 65**) ainsi que plusieurs fragments de clous en fer à section rectangulaire, une agrafe et un petit anneau.

A l'intérieur de cet enclos E1 se trouvent un certain nombre de structures fosses et fossés ainsi que des concentrations de trous de poteaux pouvant correspondre à l'emplacement de bâtiments. Au moins 4 bâtiments semblent présents dans cet enclos (**fig. 66**).

### *Bâtiment 1*

Un bâtiment sur tranchée situé à l'intérieur de l'ensemble 1 (**fig. 66**), dans l'angle sud-est, est recoupé par le fossé d'enclos de ce dernier. Il est donc antérieur à cette partie enclose du site. Il peut correspondre à un habitat ouvert car il ne semble fonctionner avec aucun des enclos présents dans cette partie du site.

Ce bâtiment sur tranchée fait en dimension externe, 16,84 m de longueur selon un axe nord-est/sud-ouest et sur une largeur de 5,56 m. En dimension



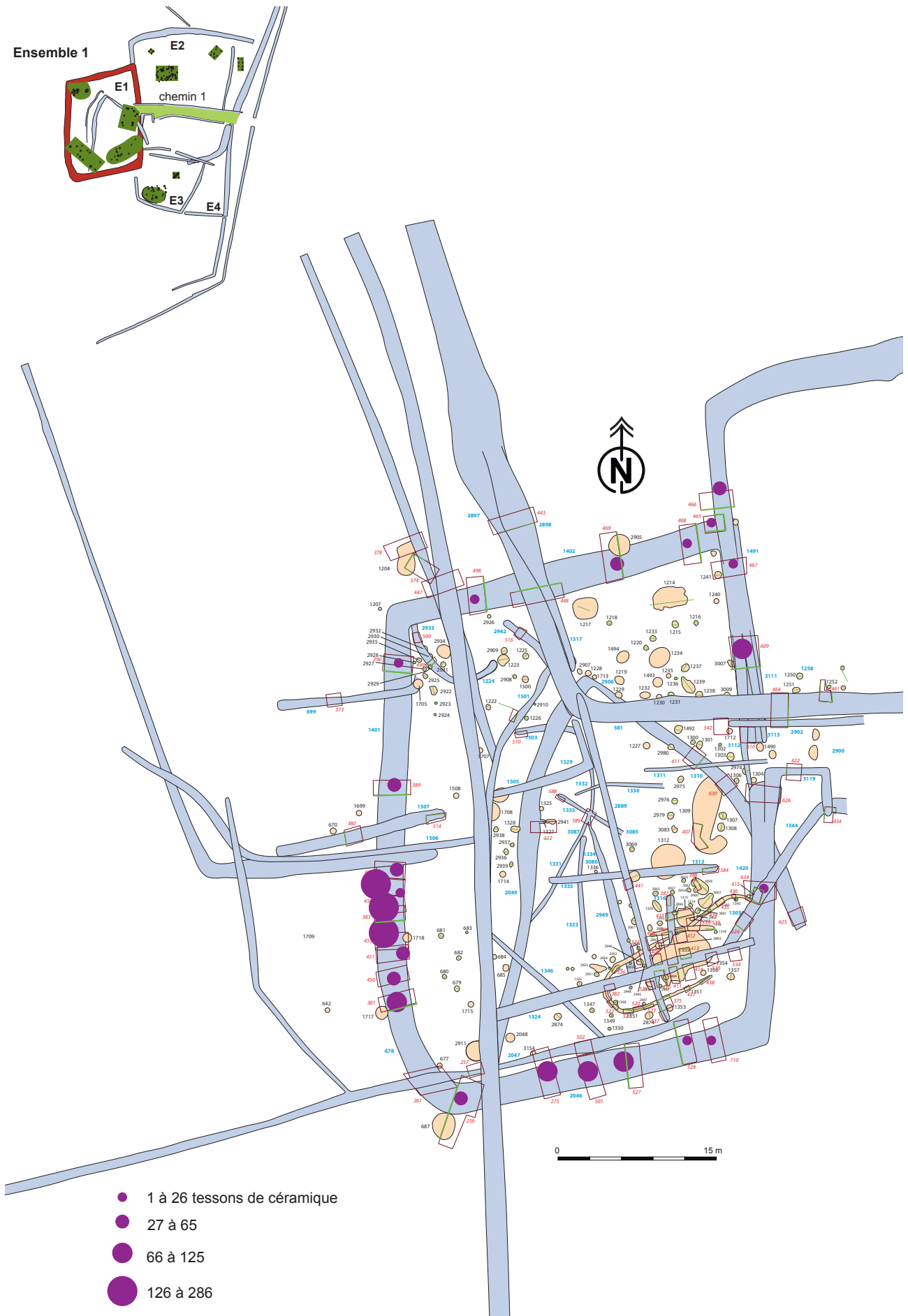


Fig. 57 : plan de répartition de la céramique dans E1

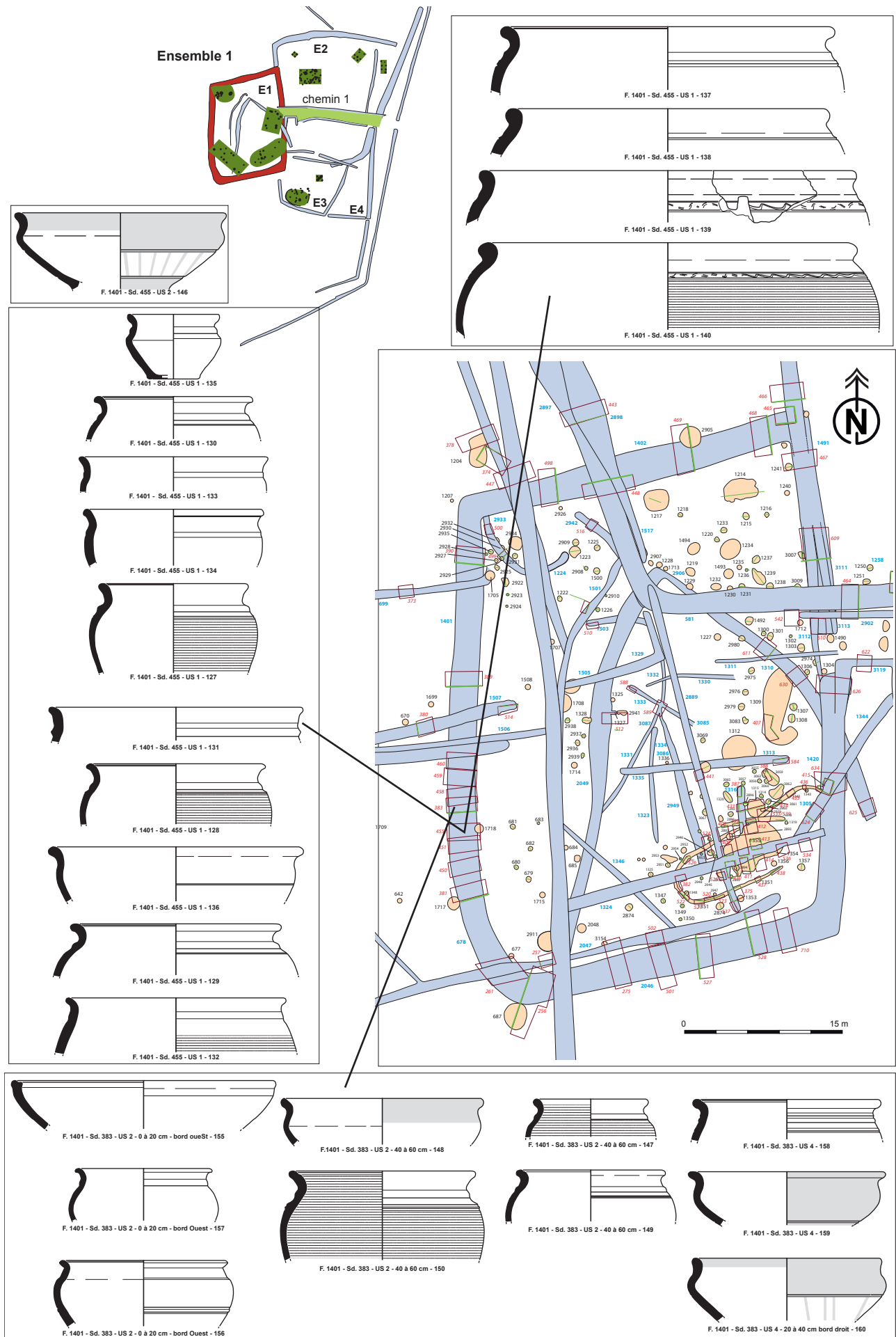


Fig. 58 : localisation de la céramique des sondages 383 et 455 dans E1

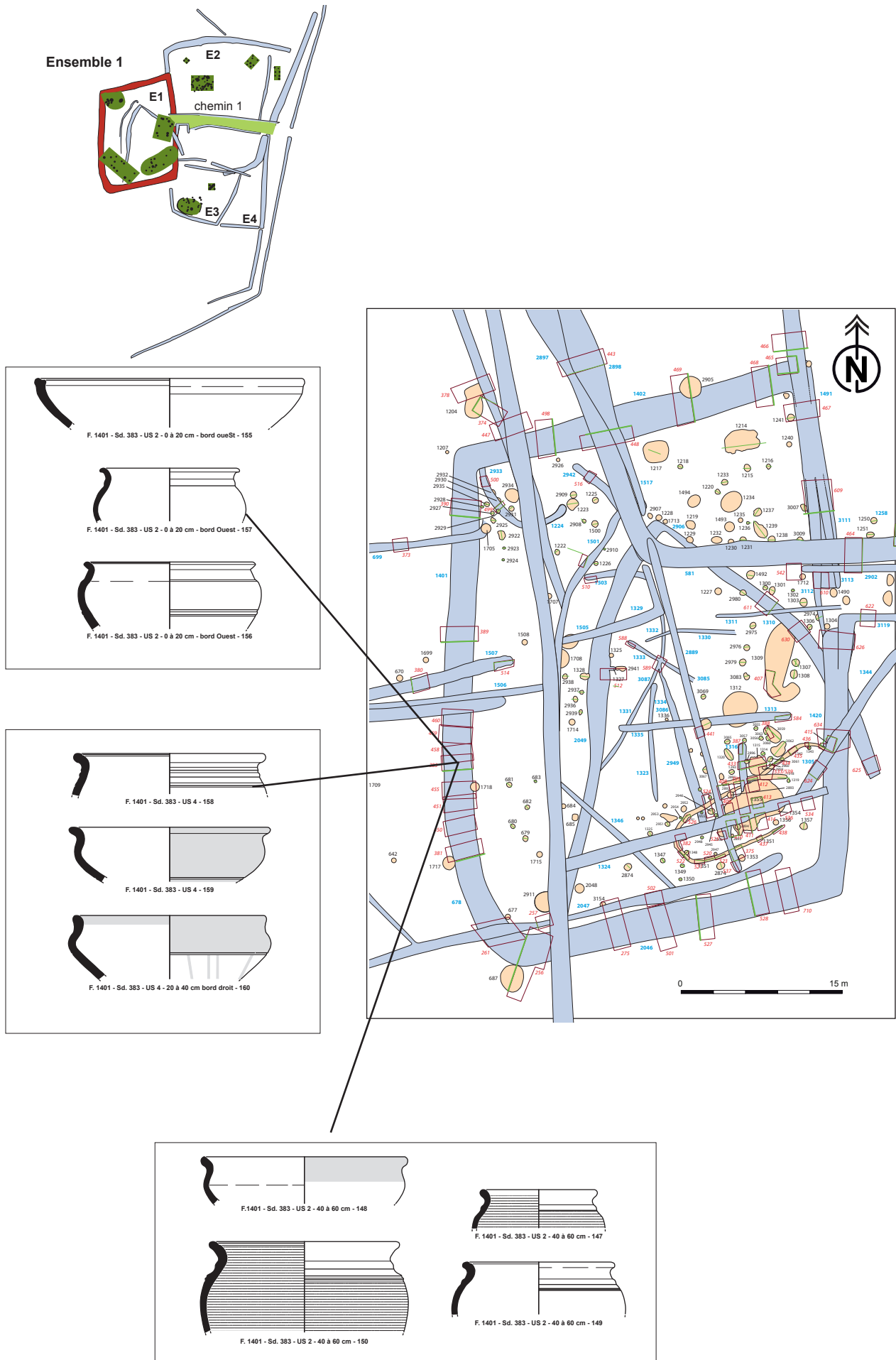


Fig. 59 : localisation de la céramique du sondage 383 dans E1

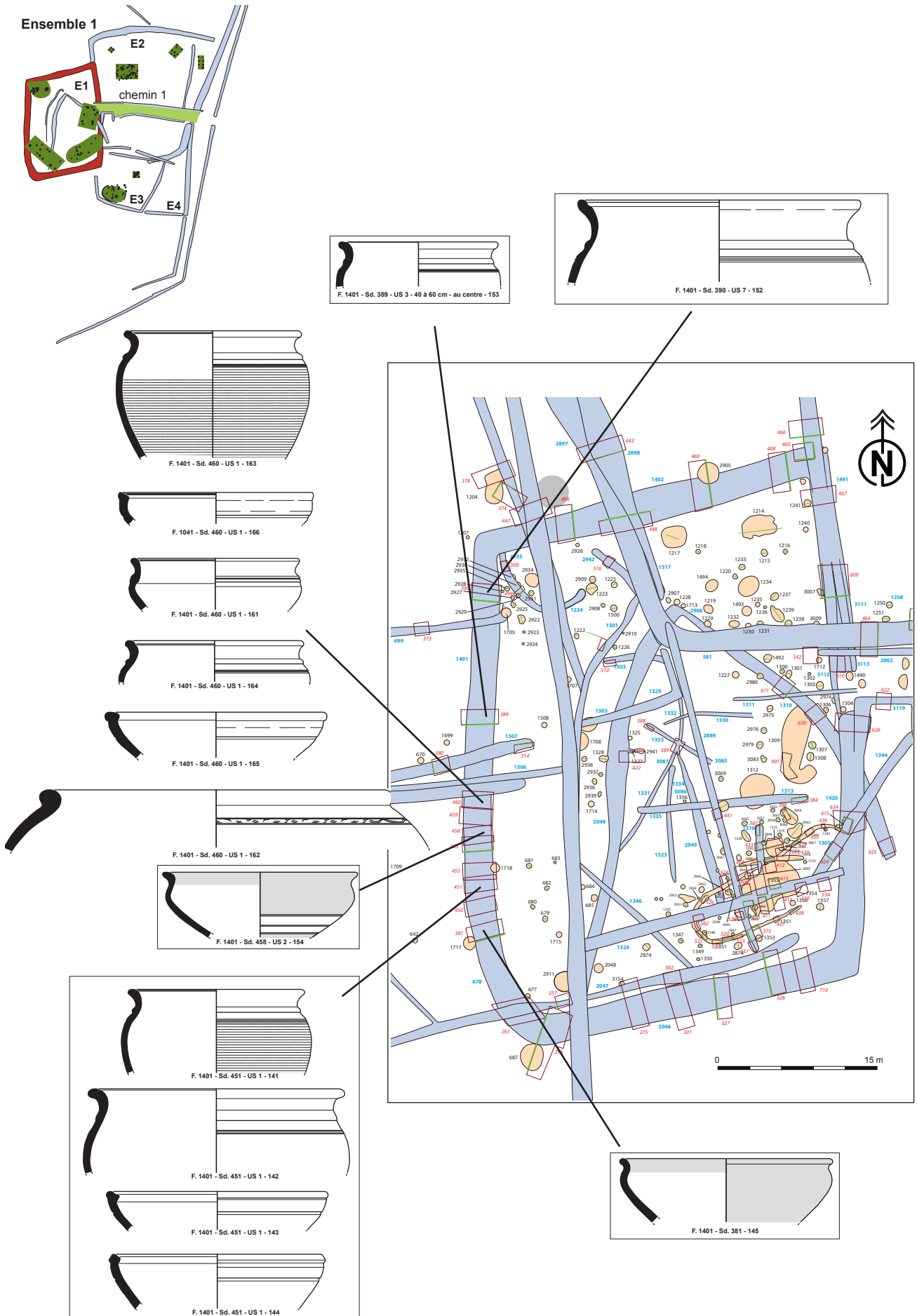


Fig. 60 : localisation de la céramique des sondages 381, 389, 390, 451, 458 460 dans E1

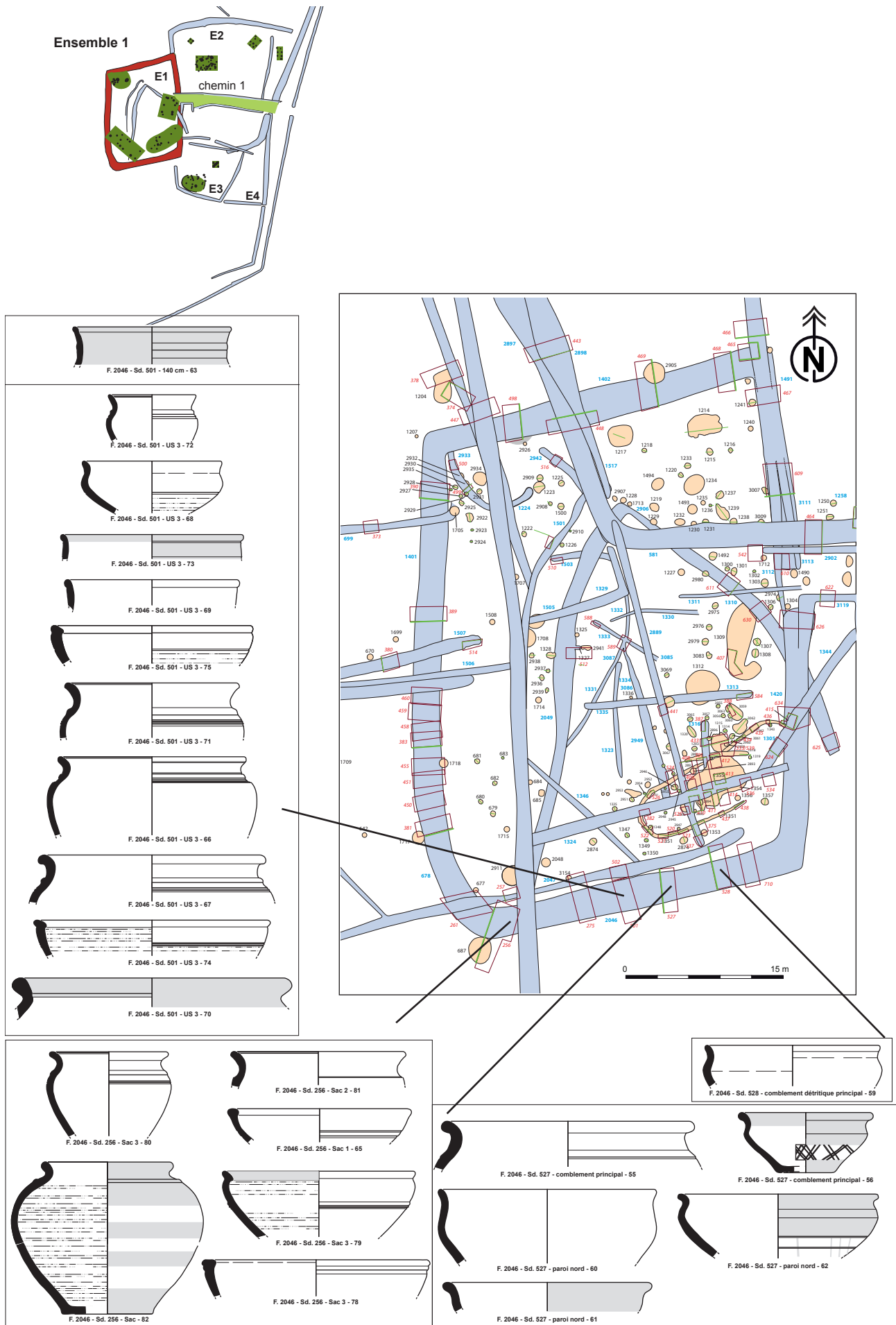


Fig. 61 : localisation de la céramique des sondages 256, 501, 527 et 528 dans E1









Fig. 64 : localisation des importations gallo-romaines dans E1



Fig. 65 : localisation des scoriness et des objets métalliques dans E1

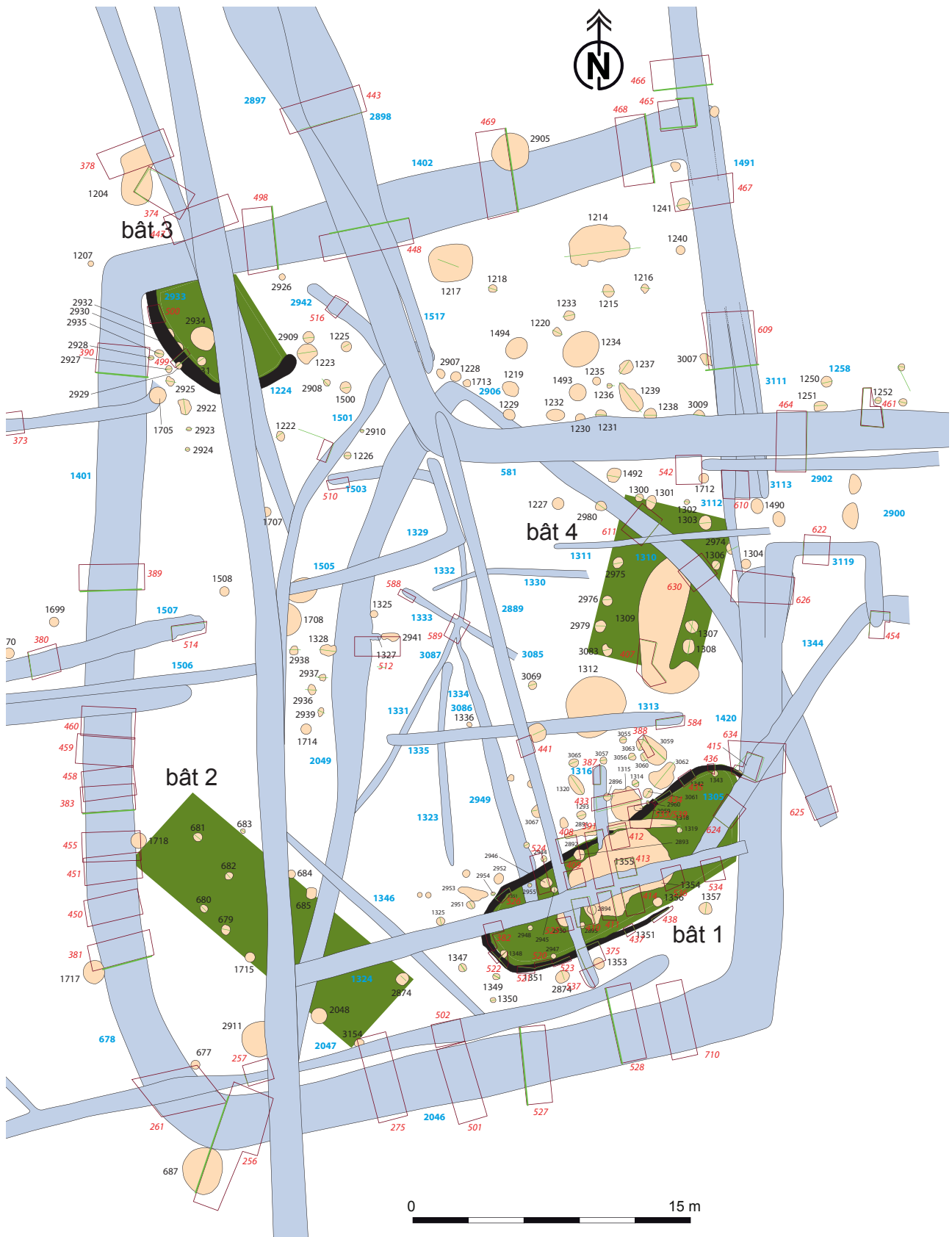


Fig. 66 : localisation des bâtiments à l'intérieur de l'enclos E1

interne, il a une longueur de 15,83 m pour une largeur de 4,75 m (fig. 68), soit une superficie interne de 75 m<sup>2</sup>. Ces deux extrémités sont curvilignes, mais il faut noter que son côté nord-est n'est que partiellement conservé car il a été recoupé à la fois par le fossé d'enclos gaulois (1305 dans ce secteur), puis le fossé gallo-romain (1344 dans ce secteur) et enfin le fossé moderne (1324 dans ce secteur). En prenant en compte ces éléments perturbateurs ainsi que le fait que la tranchée sud-est semble s'interrompre dans le sondage 438, une entrée pouvait se trouver en façade sud-est. Malheureusement l'absence de retour sur ce flanc sud-est, vers le nord-est, ne permet pas d'indiquer la largeur de cette ouverture. Par contre en vis-à-vis sur la façade nord-ouest, une interruption de 2,90 m de largeur entre les tranchées 2892 (côté sud-ouest) et 1342 (côté nord-est) peut évoquer une deuxième ouverture. Cependant la grande largeur d'ouverture, l'absence de trou de poteau fonctionnant avec cette ouverture et la forte érosion de la tranchée ne permettent pas de le confirmer.

Dans cette même interruption a été mis au jour un autre segment de tranchée (sondage 539) recoupé par la tranchée 2891 (sondage 533) d'axe nord-ouest/sud-est. La relation stratigraphique entre ce petit segment et la tranchée principale n'a pu être déterminée. Il est possible qu'il s'agisse d'un creusement consécutif à une réfection de cette partie du bâtiment.

#### Le radier

Des sondages manuels ont été pratiqués à la fois dans les tranchées mais également à l'intérieur du bâtiment afin de déterminer les relations stratigraphiques entre les différentes structures excavées. Certains de ces sondages ont révélé la présence dans l'emprise interne du bâtiment, d'une dépression d'une vingtaine de centimètres de profondeur maximale (F1354 et F1355) colmatée par une couche composée d'un cailloutis très compact mélangé à du substrat remanié composé de schiste et d'altérite avec des traces d'oxydation (fig. 68). Ce niveau constituant ainsi comme un radier nivelant le terrain et pouvant recevoir un sol d'occupation, malheureusement non conservé.

Comme le montre la figure 68, ce niveau couvre les sondages 391, 408, 409, 410, 411, 413 et 414, dépassant ainsi vers le nord, par les sondages 391 et 408, la tranchée du bâtiment. Malheureusement la fouille de ce niveau n'a livré aucun élément datant. Ce n'est que par chronologie relative que l'on peut arriver à mieux situer sa phase d'installation. Cette couche est recoupée par le fossé moderne 1324 (sondages 409, 391, 410 et 411) mais ce qui est le plus intéressant par le TP 2894 (sondage 410) (fig. 69) et surtout par la tranchée 2892 du bâtiment (sondage 391) (fig. 70). Cela pourrait donc confirmer une préparation du sol avant la construction de l'édifice, et expliquerait son débordement au-delà des parois de la maison.



Fig. 67 : vue à partir de l'est du radier composé de cailloutis et de substrat  
© équipe de fouille

#### Les parois

Elles sont installées dans une tranchée qui fait en moyenne 0,50 m de largeur pour une profondeur conservée de 0,15 m. Son profil est en V à fond plat (fig. 72). Elle est comblée d'un sédiment limono-argileux gris beige plus ou moins compact mélangé à du schiste et de l'altérite. Sur certains tronçons elle est tellement érodée qu'elle est à peine conservée.

Les possibles extrémités sont visibles dans les sondages 438, 412 et 434.

Dans le sondage 438, la tranchée semble se rétrécir en extrémité nord-est, mais n'ayant plus que 4 cm d'épaisseur, il n'est pas du tout sûr qu'il s'agisse vraiment d'une interruption liée à une ouverture mais plus à une perte de son tracé par érosion.

Pour l'extrémité nord-est de 2892, la vue en plan montre un décalage ou un fort rétrécissement entre la tranchée 2892 et l'extrémité présente dans le sondage 412 (fig. 71). La liaison entre ces deux éléments est masquée par le fossé 1316 qui vient les recouper toutes les deux. Il est donc possible que

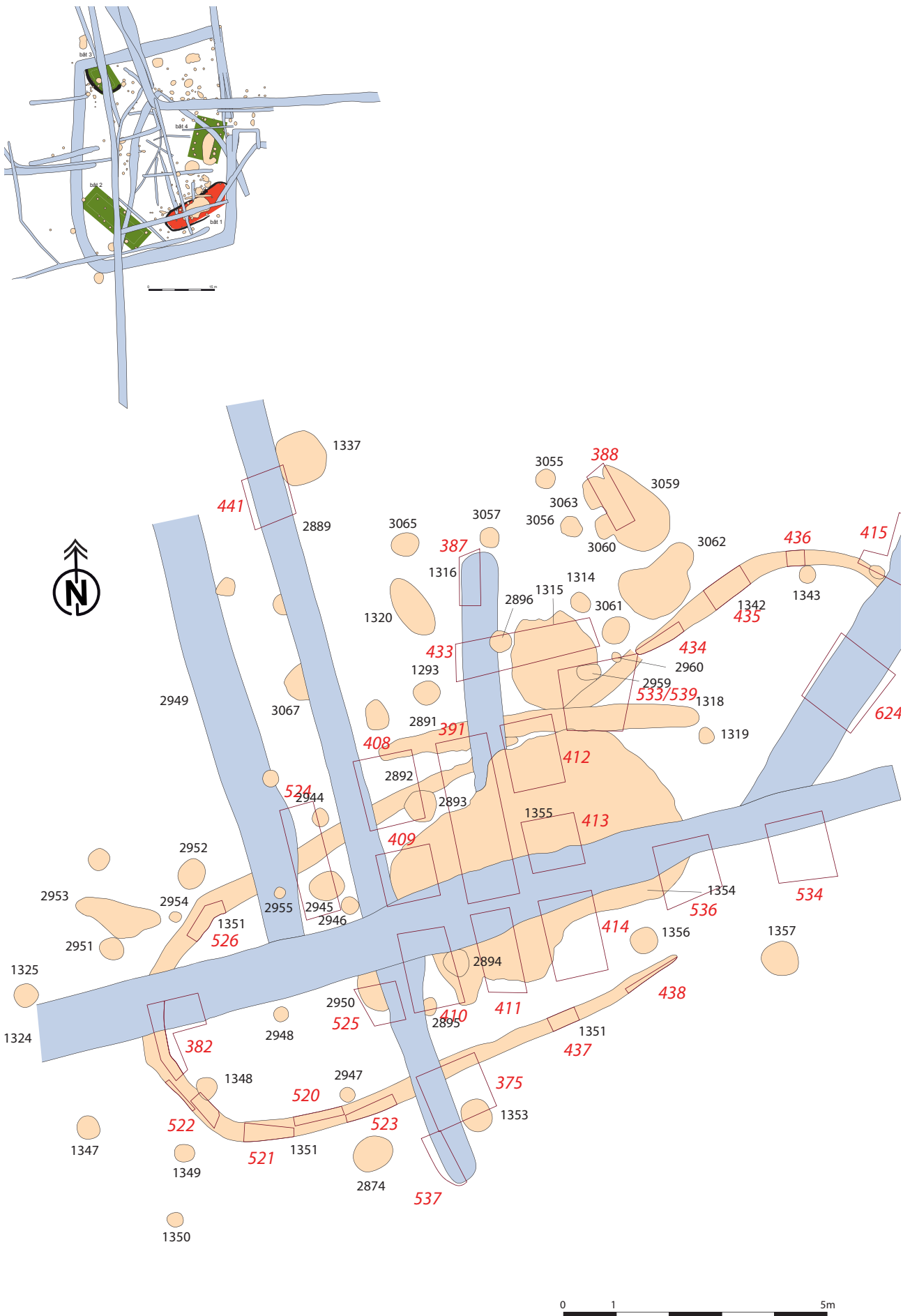


Fig. 68 : plan du bâtiment 1 et de son environnement

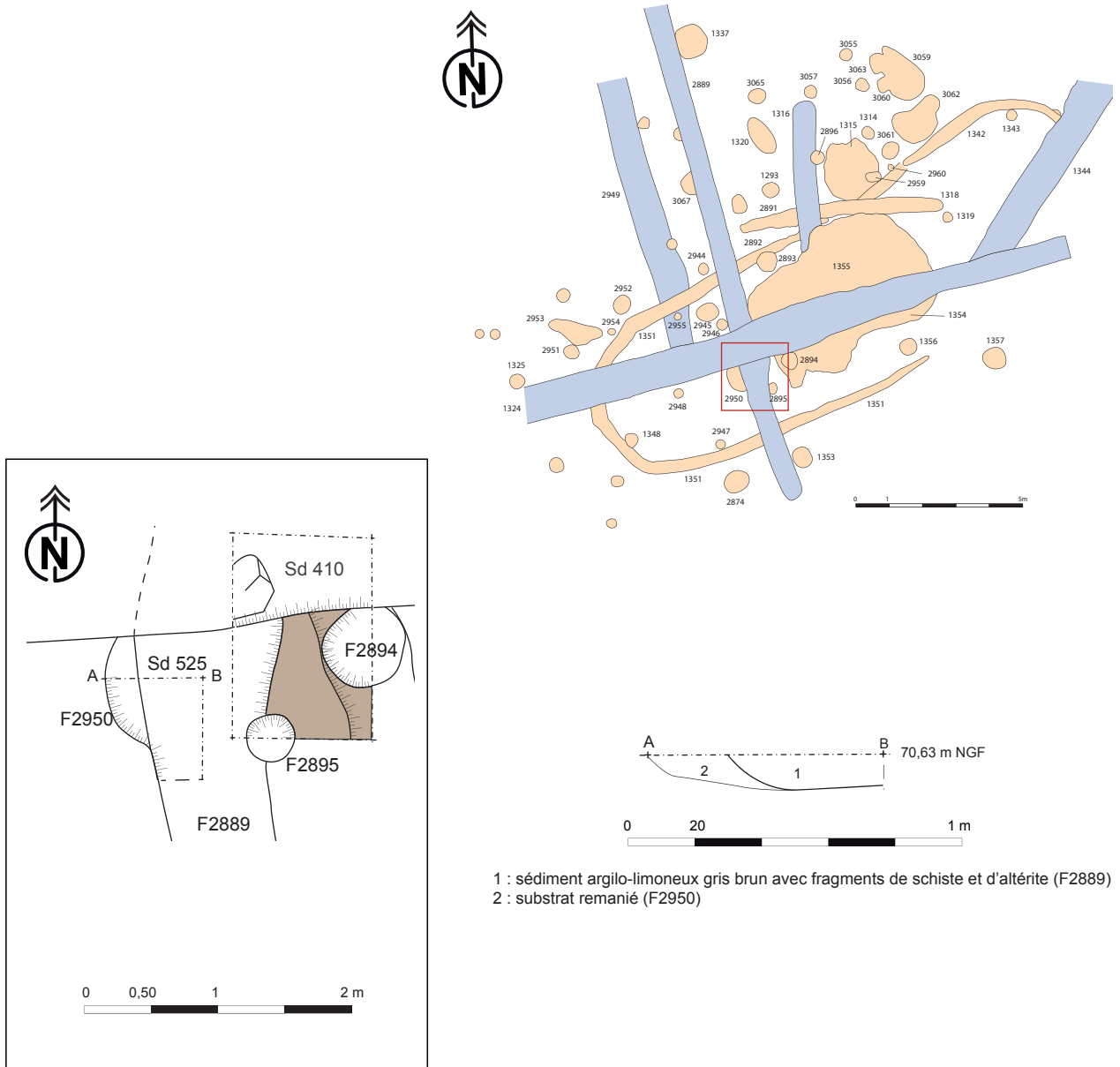
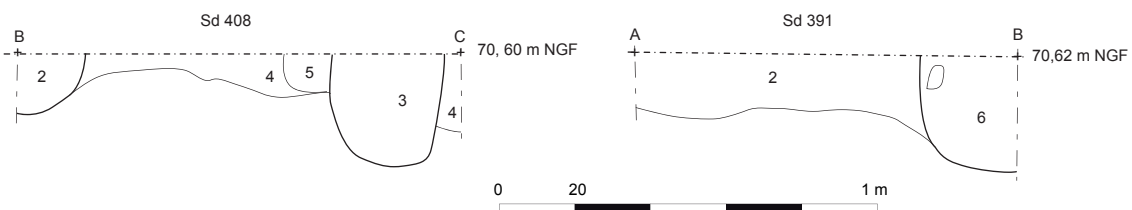
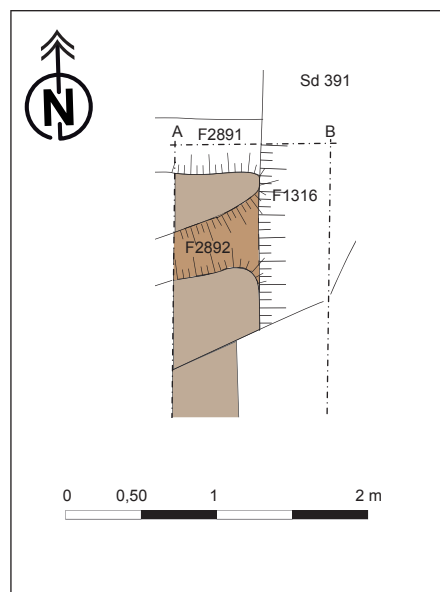
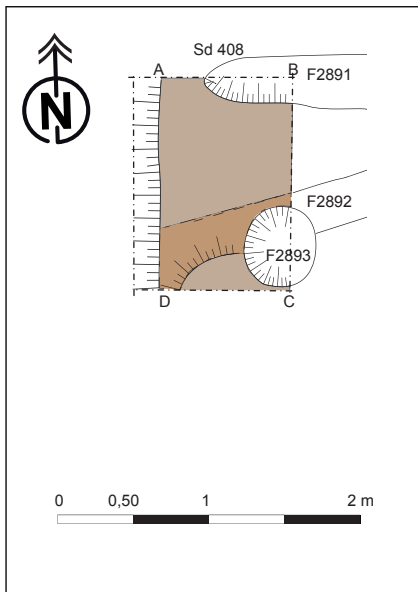
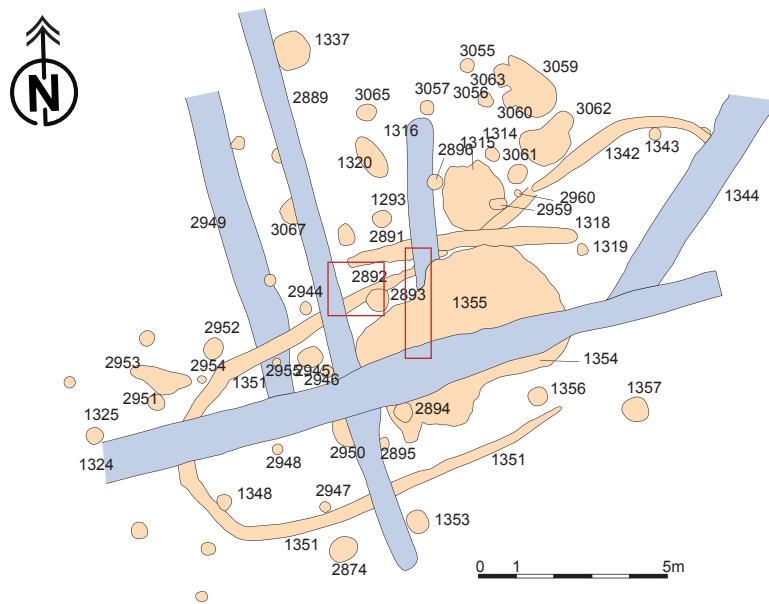


Fig. 69 : localisation, plan et coupe du sondage 410



- 2 : sédiment argilo-limoneux gris beige compact avec inclusions de grès rouge, charbons de bois et terre cuite (F2891)
- 3 : sédiment argilo-limoneux gris compact homogène avec quelques fragments de schiste (F2893)
- 4 : substrat remanié très compact
- 5 : sédiment limono-argileux gris beige avec inclusions de schiste, altérite, compact (F2892)
- 6 : sédiment limono-argileux gris beige, compact, avec inclusions de schiste, d'altérite et quelques blocs de quartz (F1316)

Fig. 70 : localisation, plan et coupe des sondages 391 et 408



ces deux éléments n'aient aucun rapport l'un avec l'autre.

Le cliché du sondage 412 (fig. 43) évoque plus pour cette extrémité, une cupule pouvant correspondre au fond d'un trou de poteau venant entamer le fond de la tranchée 2891.

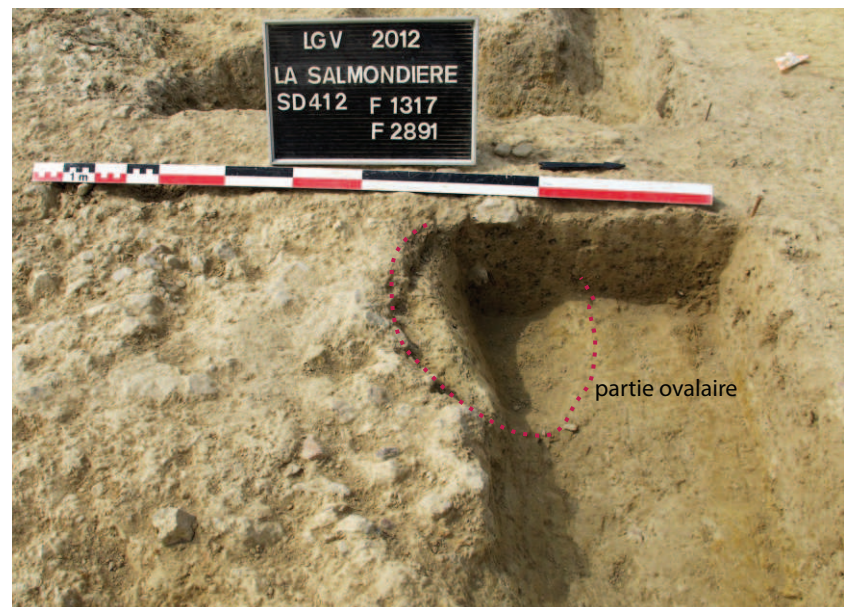


Fig. 71 : détail du creusement (extrémité de la tranchée ou TP ?) dans le sondage 412 © Solène Briand

Donc aucune certitude non plus que nous soyons en présence d'une extrémité.

Ce qui est avéré c'est que la tranchée 2891 recoupée par cet élément, recoupe elle-même dans le sondage 533, le petit segment de tranchée F2959 séparant 2892 de 1342 (fig. 72).

Dans le sondage 434 (fig. 72), l'extrémité sud-ouest de 1342 semble plus plausible que les autres. En effet son profil d'axe sud-ouest/nord-est présente une profondeur conservée de 0,20 m remontant brutalement vers le sud-ouest pour n'être conservé que sur 4 cm. D'autres questions se posent également pour le type de construction. En effet cette tranchée atteste d'un bâtiment dont les parois sont fondées dans une tranchée. Mais qu'en est-il de l'ossature en bois ? Certains trous de poteaux comme 1348 viennent recouper la tranchée, d'autres, comme 2947 sont accolés à la tranchée à l'intérieur du bâtiment ou à l'extérieur comme pour 2954 ou 2960.

Certains comme F2893 ne recoupant qu'une partie de la tranchée semblent plus indiquer une occupation postérieure. Il y a enfin tous ces trous de poteaux situés en périphérie des tranchées. Quels sont ceux qui participent vraiment à la construction ? Seuls deux poteaux F2948 et F1319 peuvent en être le témoignage. Il faut également indiquer que les coupes pratiquées dans les tranchées n'ont révélé la présence d'aucun creusement visible pouvant correspondre à l'emplacement d'un poteau ou d'un piquet.

Plusieurs hypothèses sont donc envisageables, mais la plus vraisemblable semble être une construction avec parois sur poteaux plantés, les poteaux n'étant pas implantés dans la tranchée mais en bordure de celle-ci (poteaux F1356, F2947, F1348, F2955, F2893, F1343). Ces poteaux d'environ 1,50 m de hauteur, étant reliés entre eux par une sablière haute, les chevrons composant la toiture reposeraient directement sur ces sablières. L'ensemble pourrait être complété par une ligne de poteaux axiaux recevant la faitière et dont ne seraient conservés que les poteaux F2948 et F1319, d'autres poteaux pouvant se trouver sous les fossés F2889 et F1324. Venant en complément cette ligne ne nécessiterait pas d'être fondée profondément.

Les deux poteaux font respectivement 0,30 m et 0,40 m de diamètre pour

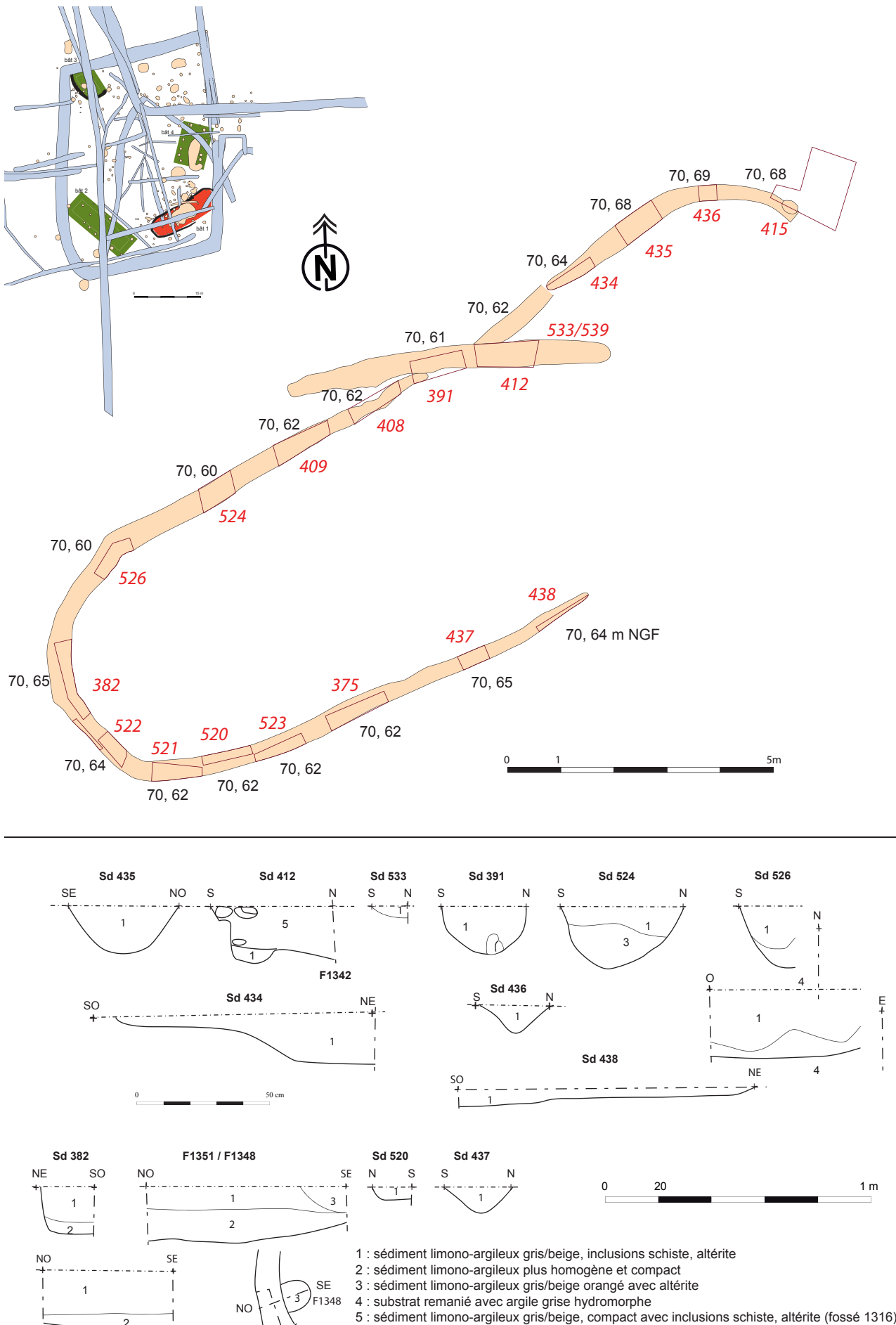


Fig. 72 : localisation et coupe des sondages dans le bât 1 avec NGF de surface d'axe de coupe

des profondeurs conservées de 0,12 et 0,08 m. Ils sont comblés d'un sédiment limono-argileux gris compact homogène.

Les autres trous de poteaux de ce secteur correspondent vraisemblablement à des bâtiments postérieurs mais aucun plan cohérent ne se dessine vraiment.

Ce type de construction à parois curvilignes se retrouve fréquemment dans le bassin rennais et le meilleur exemple est apporté par la construction présente sur le site de Vitré « La grande Haie boulevard de Laval » (A-L. Hamon 2010), dont une restitution a été proposée par l'auteur (fig. 73).

### Le mobilier

La fouille des segments de tranchée de fondation du bâtiment a donné peu de céramique :

-Le sondage 535 a livré 7 tessons de panse d'une céramique dont la pâte évoque La Tène moyenne ou La Tène finale.

-Le sondage 533 de la tranchée F2959 a livré 2 tessons protohistoriques

### Chronologie relative

Comme le montre le sondage 524 (fig. 74), la tranchée de fondation F2892 de la paroi du bâtiment 1 recoupe le fossé F2949 d'axe nord/sud, non daté. Elle est recoupée dans les sondages 408 et 375 par le fossé également non daté 2889.

Elle est également recoupée dans le sondage 391 par le fossé 1316, d'axe nord/sud, daté par la céramique de la fin de La Tène moyenne ou du début de La Tène finale.

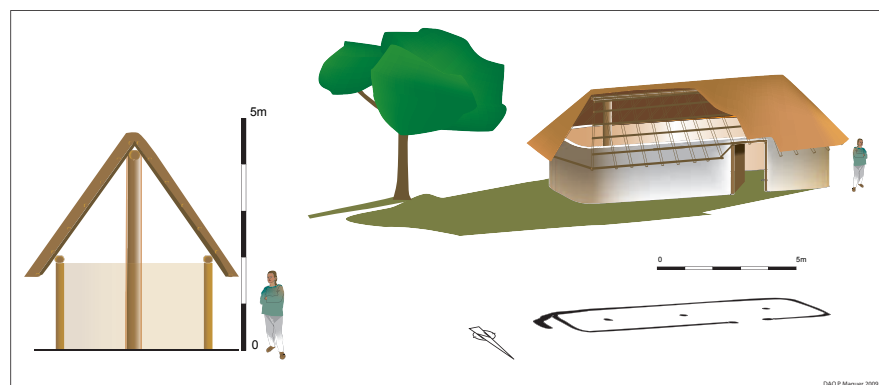
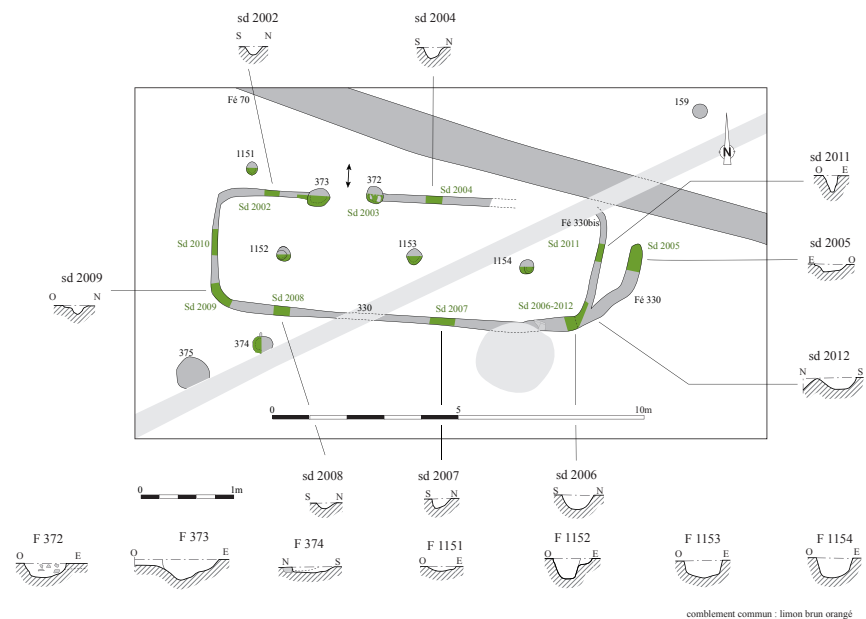


Fig. 73 : plan, coupe des trous de poteaux et restitution de la maison de Vitré DAO Patrick Maguer

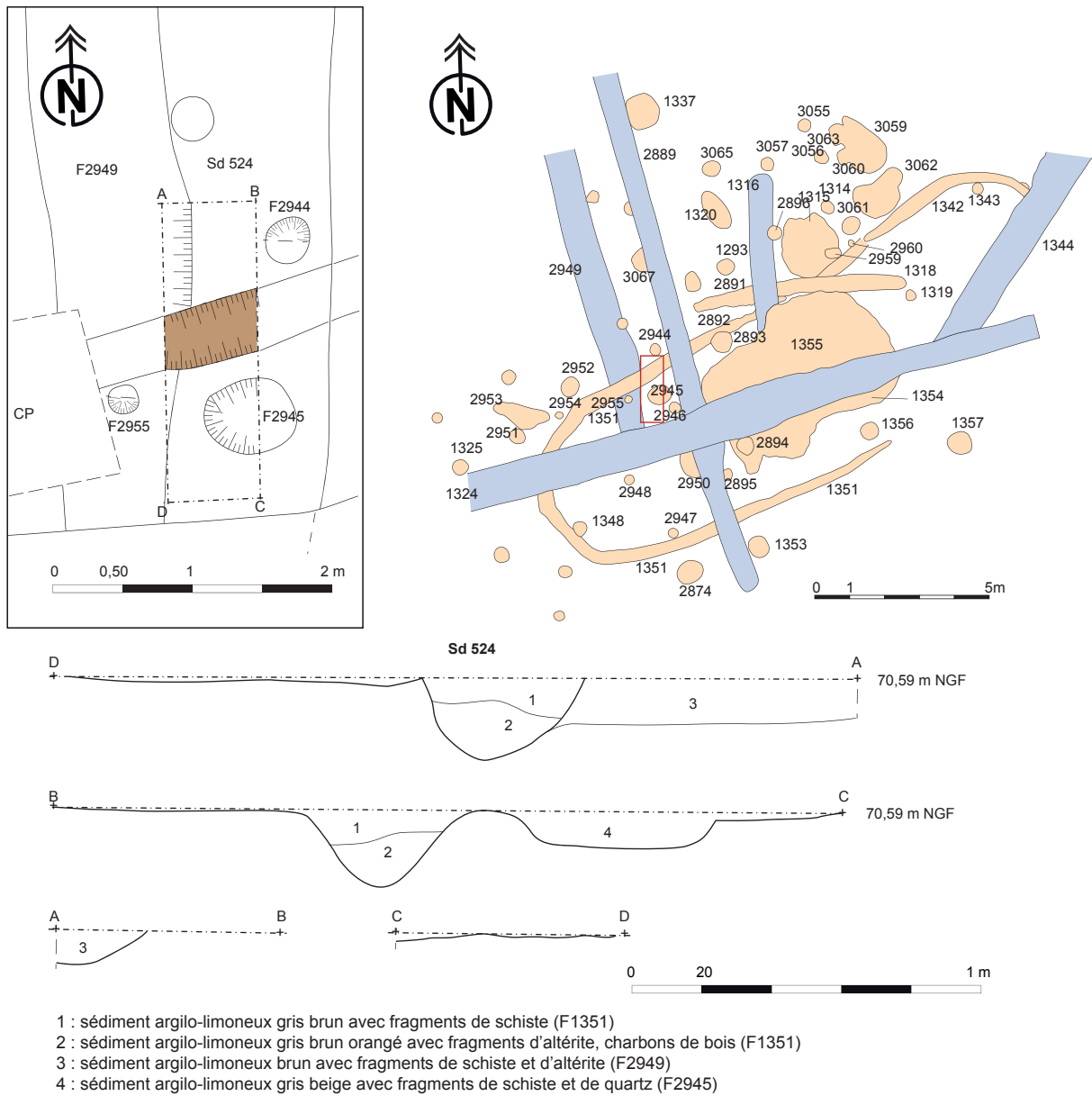
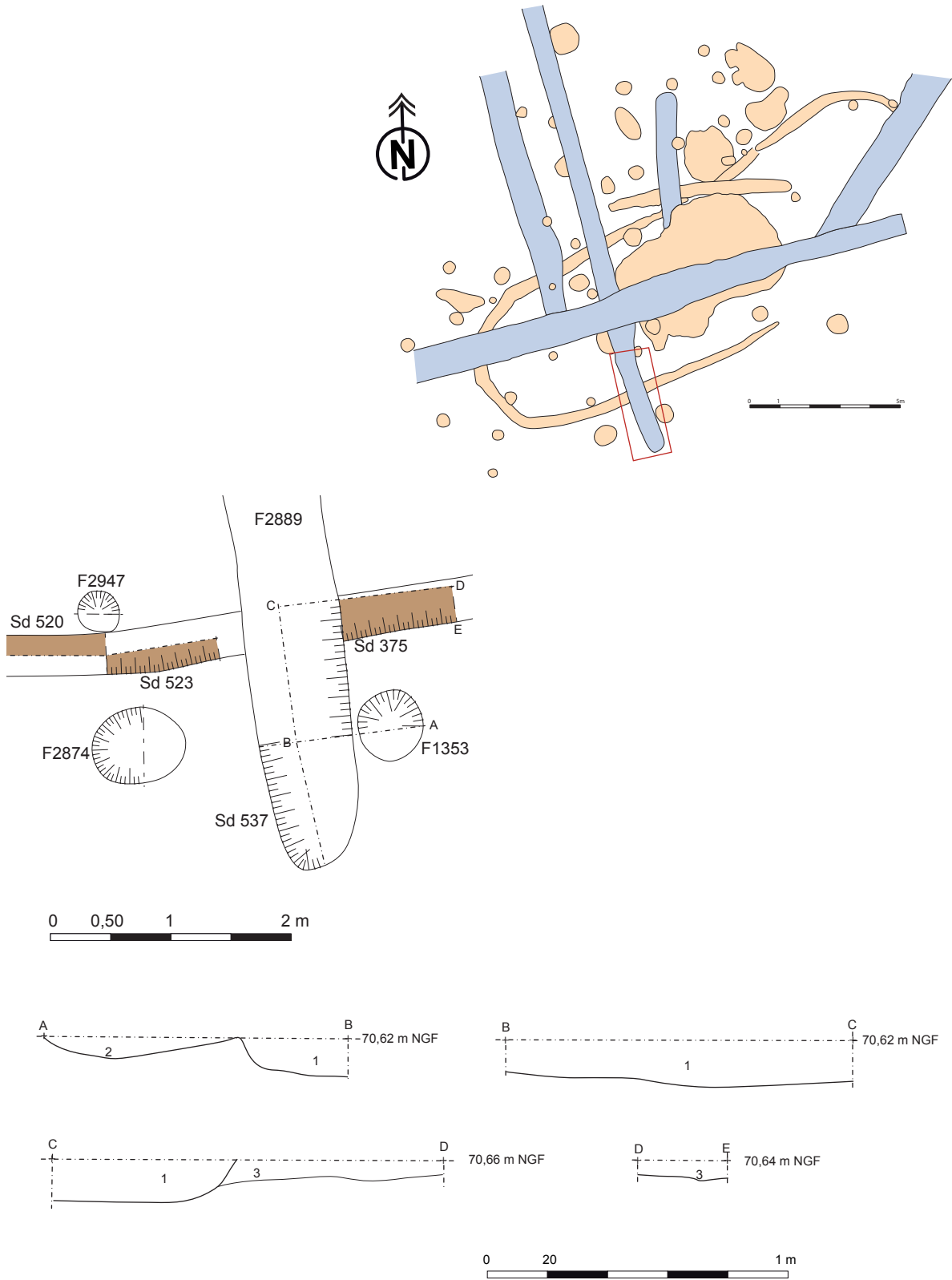


Fig. 74 : localisation et coupe du sondage 524 dans le bât 1



- 1 : sédiment argilo-limoneux gris brun hétérogène avec nombreux fragments de schiste et manganèse (F2889)
- 2 : sédiment argilo-limoneux gris beige hétérogène avec fragments de schiste (TP1353)
- 3 : sédiment argilo-limoneux gris beige et fragments de schiste remanié et manganèse (F1351)

Fig. 75 : localisation plan et coupe du sondage 537 dans l'extrémité sud du fossé 2889

### *Bâtiment 2*

Un bâtiment 2 de forme rectangulaire prend place également dans l'enclos de l'ensemble 1. Il est situé dans l'angle sud-ouest. Composé d'au moins 11 trous de poteaux (679, 680, 681, 682, 683, 684, 685, 1715, 2048, 2874, 3154), il fait 13,75 m de longueur selon un axe nord-ouest/sud-est, sur une largeur moyenne de 4,75 m (**fig. 76**).

Il manque des poteaux et certains n'ont pas été fouillés, mais l'ensemble semble dessiner une construction à toiture à deux pans et croupe avec adjonction côté nord-ouest d'un pan coupé. Les poteaux latéraux reliés en vis-à-vis par des entrails recevraient la toiture à deux pans, constituée de chevrons fixés sur une sablière haute. Ce type de bâtiment étroit et allongé se rencontre sur les sites de cette période et peut s'apparenter aussi bien à une maison d'habitation qu'à un grenier. L'absence de ligne centrale et la faiblesse des supports indique une structure peu haute et tendrait plus à évoquer le grenier.

Les trous de poteaux très arasés ont des diamètres variant de 0,30 m à 0,70 m pour des profondeurs conservées allant de 0,05 à 0,16 m. Lorsque l'état de conservation permet de le déterminer, notamment pour F682, le profil est en V avec un fond arrondi.

Le comblement est le plus souvent composé d'un sédiment sablo-limoneux brun clair compact homogène avec charbons de bois et nodules de terre cuite. Seul le trou de poteau F685 a livré de la céramique. Il s'agit de deux tessons de panse d'époque protohistorique.

### **Chronologie**

Ce bâtiment est recoupé selon un axe nord-ouest/sud-est par le fossé moderne 2010 et selon un axe est/ouest par le fossé moderne 1324 (**fig. 77**). Il recoupe ou est recoupé par le fossé protohistorique 2049, d'axe nord-est/sud-ouest, la relation stratigraphique n'a pas pu être mise en évidence. De plus le trou de poteau F3154 rattaché à ce bâtiment semble être recoupé par le fossé gallo-romain F2047, confirmant ainsi une datation à la période protohistorique.

### *Bâtiment 3 ?*

#### **F 2933 et 1224**

Ce sont deux tranchées pouvant former les côtés sud-ouest et sud-est d'un bâtiment sur tranchée curviligne du même type que le bâtiment 1. L'ensemble conservé ferait au moins 6,80 m par 3,80 m, les tranchées ayant une largeur moyenne d'environ 0,60 m pour une profondeur conservée de 0,14 m (**fig. 78**). Le profil est évasé avec un fond arrondi. Le comblement est constitué d'un sédiment limono-argileux gris brun avec cailloutis de schiste et d'altérite ainsi que quelques charbons de bois. A noter que dans le sondage 499, la structure recoupe le trou de poteau 2930 et elle est recoupée par le trou de poteau 2929.

Il faut également considérer que 2933 semble recoupée par le fossé nord de l'enclos principal et que l'on ne retrouve pas la tranchée au-delà de ce même enclos.

Quelques trous de poteaux et creusement sont présents dans ce secteur mais rien ne permet de les rattacher à cette éventuelle construction.

### *Bâtiment 4*

Une concentration de trous de poteaux située en face de l'entrée de l'enclos pourrait correspondre à un quatrième bâtiment (**fig. 79**). Cette structure conservée par onze supports (F 1301, 1303, 1306, 1307, 1308, 2969, 2974, 2975, 2976, 2979, 3083), formerait un rectangle d'orientation nord-est/sud-ouest de 8 m de longueur sur 5 m de largeur. Les trous de poteaux ont des diamètres variant de 0,34 à 0,80 m avec une valeur moyenne autour de 0,60 m pour des profondeurs conservées allant de 0,08 à 0,18 m. Le profil

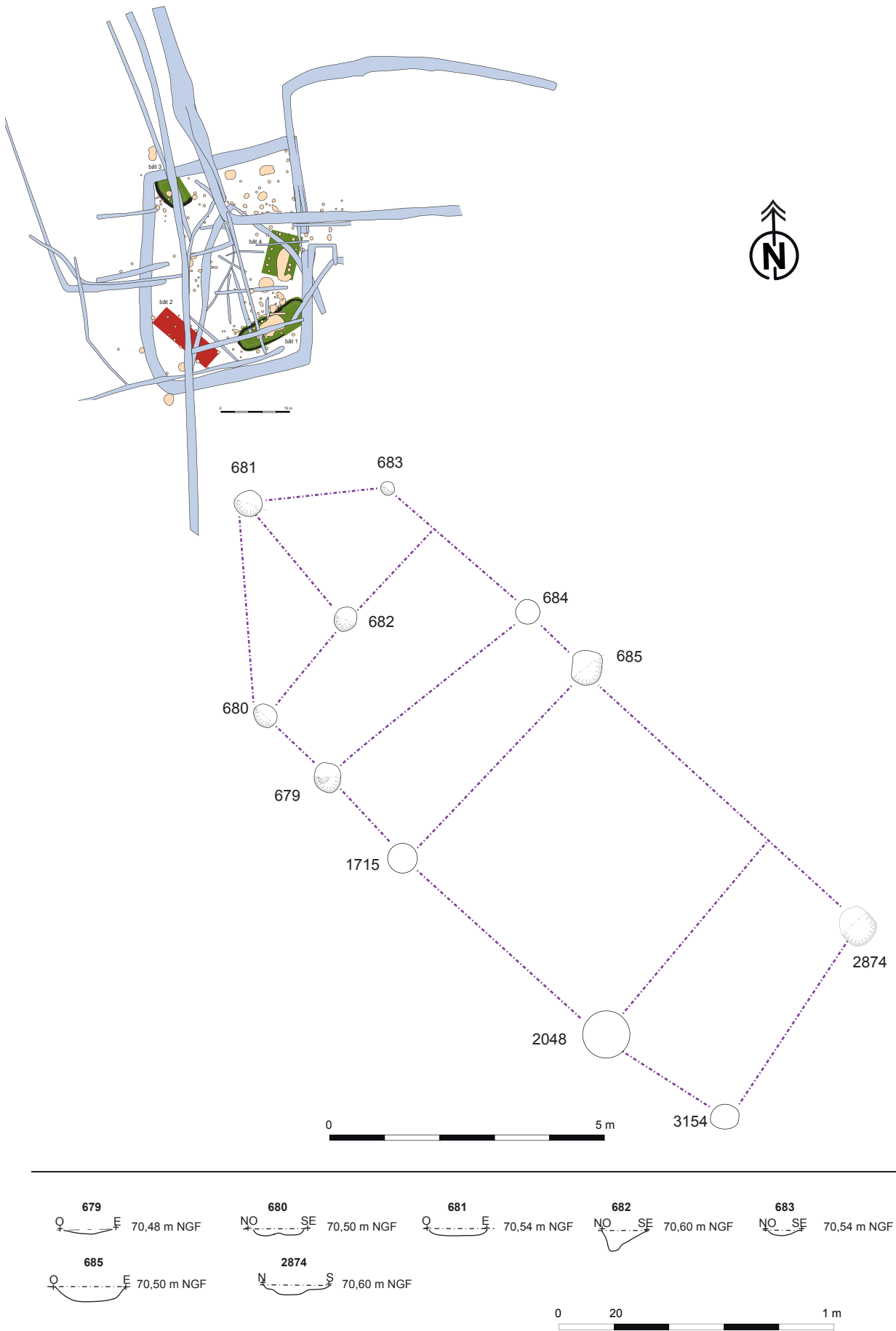


Fig. 76 : localisation plan et coupe du bâtiment 2 dans l'enclos E1



Fig. 77 : chronologie relative entre le bâtiment 2 et les fossés présents dans l'enclos E1



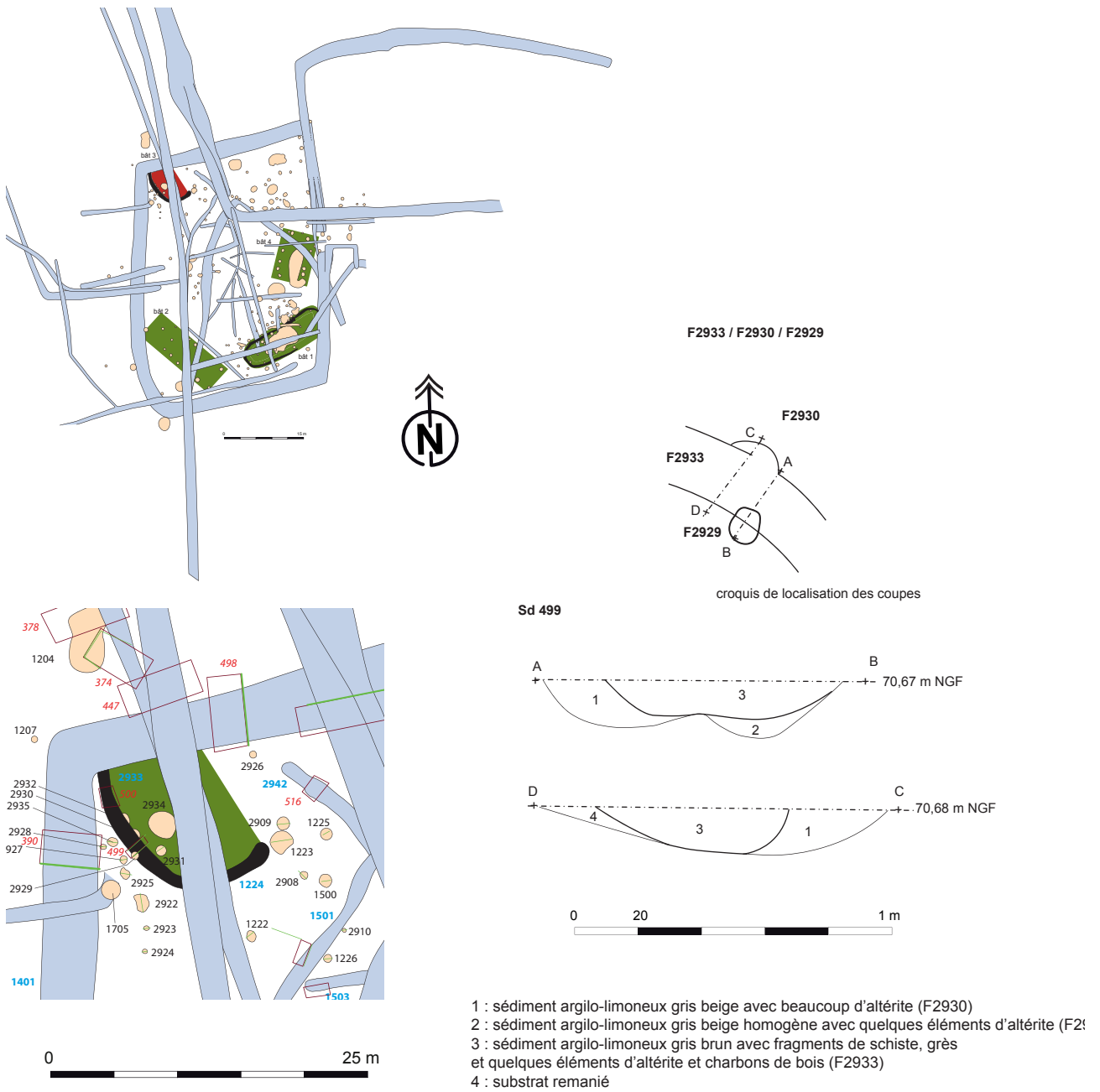


Fig. 78 : localisation plan et coupe du bâtiment 3 dans l'enclos E1

est évasé avec un fond arrondi. Ils sont comblés d'un sédiment limono-argileux brun homogène avec inclusions de charbons de bois.

Le bâtiment, certainement du même type que le 2, avec des entrants reliant les poteaux porteurs, a une largeur raisonnable (environ 5 m) permettant la non utilisation de la rangée axiale de poteaux porteurs. Cependant notre appréhension globale de cet édifice ne peut être que lacunaire, car que ce soit le fossé 1310 qui le traverse ou la dépression 1309, ils nous privent d'un certain nombre d'informations. En effet le fossé occulte vraisemblablement la présence d'autres trous de poteaux et nous pouvons nous demander si la dépression 1309 ne masque pas une ligne centrale de trous de poteaux, car elle traverse la construction du nord-est vers le sud-ouest tout en recouvrant également l'angle sud-est.

La fouille n'a livré de la céramique que dans le comblement de 2969. Il s'agit d'un seul tesson de céramique protohistorique ne permettant pas de dater plus précisément cette construction. Par contre la localisation de ce bâtiment devant l'entrée de l'enclos n'est pas du tout compatible avec un fonctionnement contemporain de l'enclos. Si l'on prend en compte le tesson céramique retrouvé, il est possible de proposer une datation antérieure à la construction de l'enclos donc peut être de la phase 1 comme pour le bâtiment 1.



Fig. 79 : localisation plan et coupe du bâtiment 4 dans l'enclos E1

Un autre bâtiment est vraisemblablement présent dans l'angle nord-est de l'enclos. Il pourrait être constitué d'une ligne de poteaux allant de 1713 à 1215 pour la façade nord-ouest. Le retour nord-est serait composé des supports 1216 à 3007 et le côté sud-est de 3007 à 1492. Cela donnerait une large construction avec peut-être un axe central, mais, par manque de temps, très peu de creusements ont été fouillés, et une grande partie est occultée par le fossé sud de l'enclos gallo-romain. De plus, cette concentration de trous de poteaux se trouvant également incluse dans l'enclos gallo-romain recoupant l'enclos gaulois, en absence de mobilier datant, il devient très hasardeux de proposer un rattachement chronologique.

#### *Les fosses*

Parmi les quelques fosses datées par la céramique, présentes dans l'enclos, certaines sont situées à proximité immédiate du bâtiment 1 (fig. 80). Il est possible qu'elles aient servi de fosse d'extraction de matériaux pour la réalisation du torchis pour les murs. Il s'agit notamment des fosses 1315, 3059 et 3062.

#### **Fosse 1315**

C'est une fosse à peu près circulaire de 2 m diamètre pour une profondeur conservée de 0,26 m (fig. 81). Les parois sont évasées et le fond est irrégulier. Elle semble constituée de plusieurs alvéoles avec des remontées de substrat, le tout évoquant les fosses polylobées d'extraction. Le comblement est constitué d'un sédiment limono-argileux brun gris homogène compact avec terre cuite.

La fouille a livré 12 tessons de céramique dont 3 formes permettant de dater le comblement des II<sup>e</sup> et I<sup>er</sup> siècle av. J.-C.

#### **Fosse 1320**

C'est une petite fosse ovale d'orientation nord-ouest/sud-est d'1,18 m de longueur sur 0,47 m de largeur pour une profondeur conservée de 0,27 m (fig. 82). Les parois sont évasées et le fond est arrondi. Le comblement est un sédiment limono-argileux brun foncé compact homogène avec de nombreuses inclusions de charbons de bois et de nodules de terre cuite. Il est recouvert d'un sédiment plus clair avec du cailloutis et peu d'inclusions. La fouille a livré 3 tessons de céramique de la Tène.

#### **Fosse 1337**

C'est une petite fosse circulaire de 0,93 m de diamètre pour une profondeur conservée de 0,06 m (fig. 83). Les parois sont évasées et le fond est plat. Le comblement est un sédiment limono-argileux jaune orangé avec des traces de manganèse. Il semble d'après la coupe qu'elle recoupe légèrement le fossé 2889 dans le sondage 441.

La fouille a livré 1 seul tesson de céramique daté de La Tène ainsi qu'un morceau de métal.

#### **Fosse 3059**

C'est une fosse ovale d'axe nord-ouest/sud-est d'1,60 m de longueur sur 1,12 m de largeur et pour une profondeur conservée de 0,26 m (fig. 84). Les parois sont évasées avec deux excroissances 3060 et 3063 pouvant s'apparenter à des trous de poteaux ou à des cupules d'une fosse polylobée. Le fond est irrégulier. Le comblement est constitué dans un premier temps d'un sédiment limono-argileux gris brun hétérogène compact avec charbon de bois. Il est ensuite recouvert d'un sédiment limono-argileux brun gris foncé homogène meuble avec charbons et terre cuite.

#### **Fosse 3062**

C'est une fosse ovale d'orientation est/ouest d'1,60 m de longueur sur 1,20 m de largeur pour une profondeur conservée de 0,08 m (fig. 85).

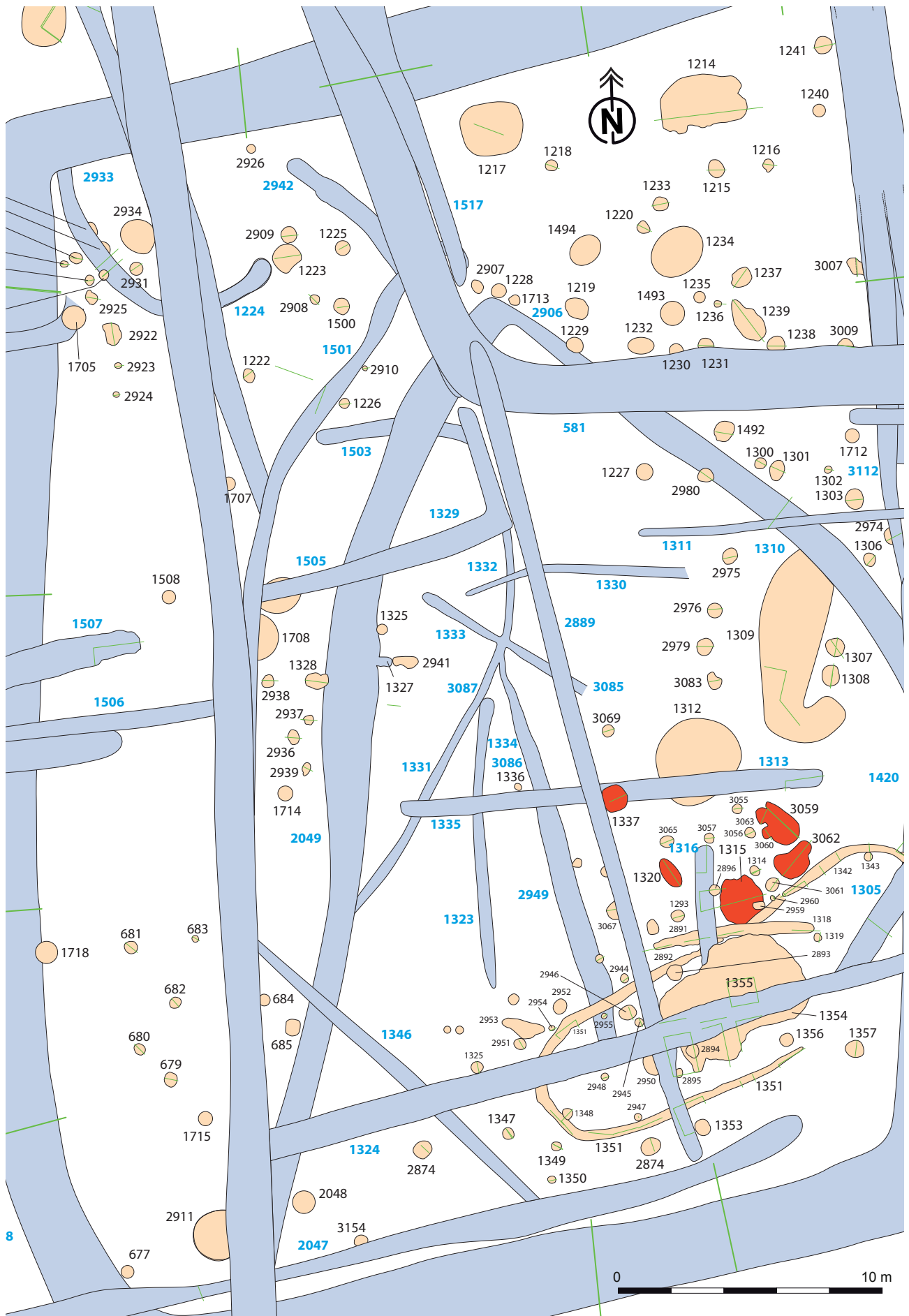


Fig. 80 : plan de localisation des fosses dans l'enclos E1

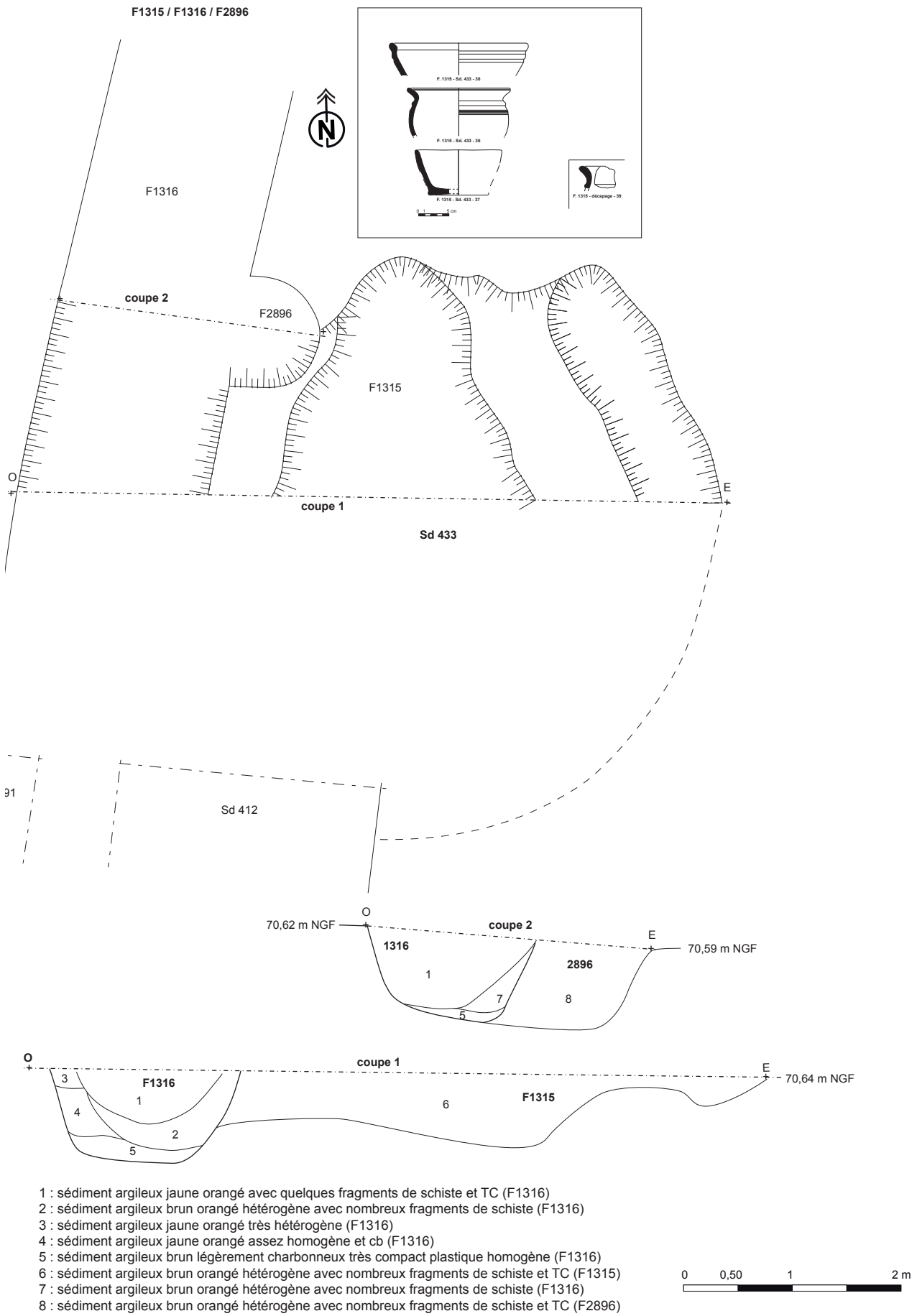


Fig. 81 : plan et coupe de la fosse 1315

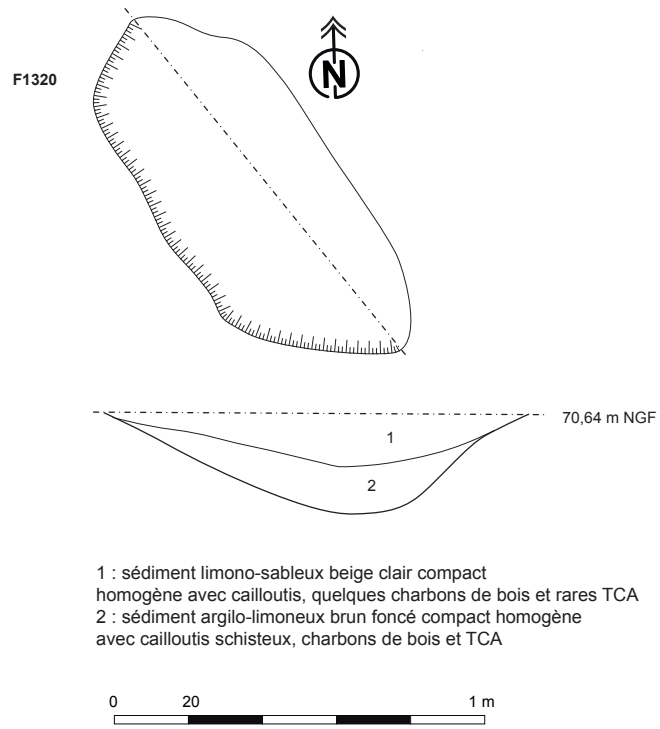


Fig. 82 : plan et coupe de la fosse 1320

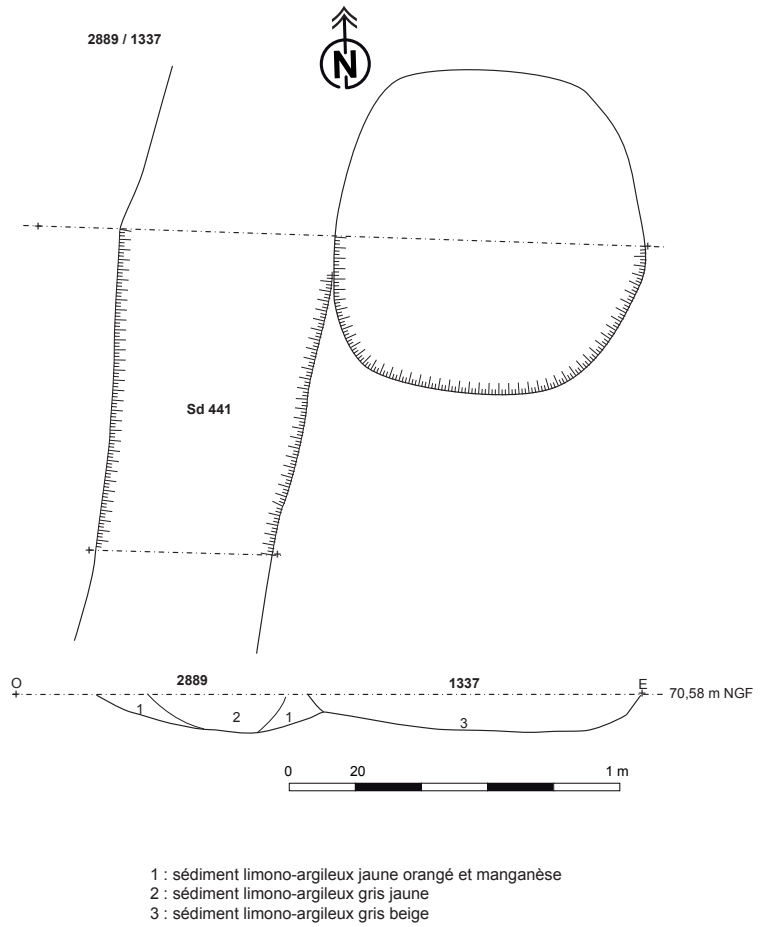


Fig. 83 : plan et coupe de la fosse 1337

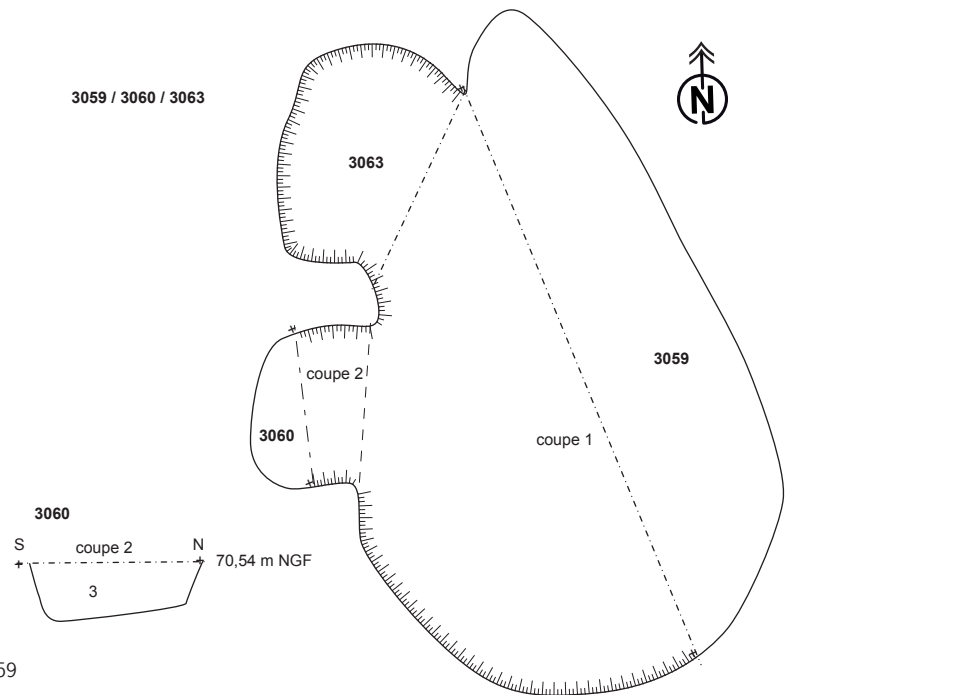
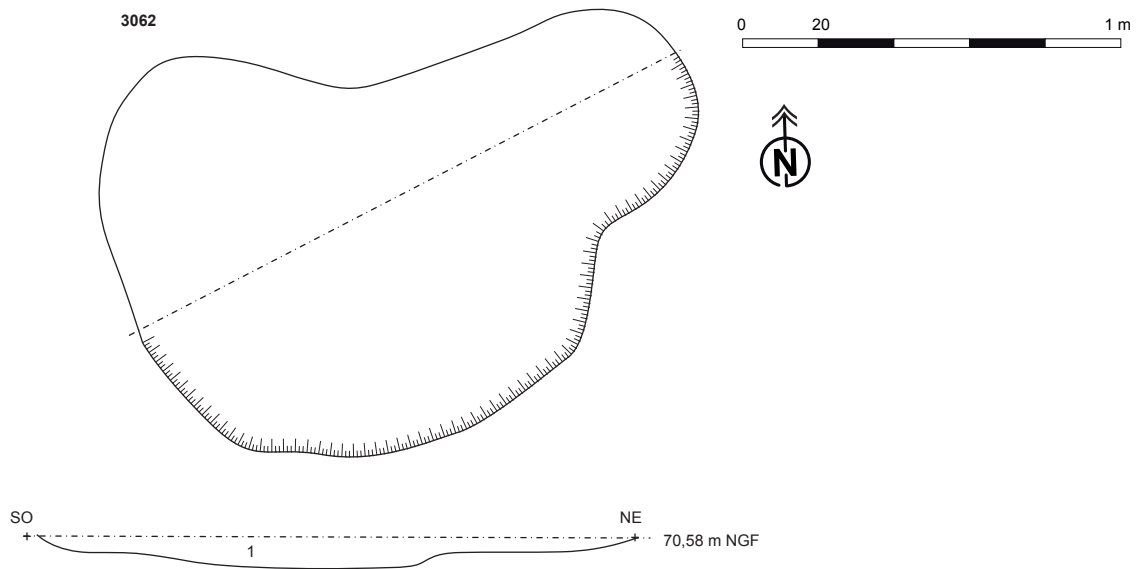


Fig. 84 : plan et coupe de la fosse 3059

- 1 : sédiment limono-argileux brun gris foncé homogène meuble avec TC et cb
- 2 : sédiment limono-argileux gris brun hétérogène compact avec cb
- 3 : sédiment limono-argileux brun gris homogène compact avec fragments de schiste



- 1 : sédiment limono-argileux gris brun homogène compact

Fig. 85 : plan et coupe de la fosse 3062



Les parois sont évasées et le fond est irrégulier. Le comblement est constitué d'un sédiment limono-argileux gris brun homogène et compact. La fouille a livré 3 tessons de céramique d'époque protohistorique.

#### Les fossés

Le décapage à l'intérieur de l'emprise de l'enclos E1 a permis de mettre au jour un certain nombre de petits fossés de dimensions différentes constituant vraisemblablement pour certains des réseaux de drainage. Le manque de temps n'a pas permis de tester toutes les intersections afin d'établir leur chronologie d'autant plus que très peu ont livré du mobilier. Certains recoupent les bâtiments ce qui permet de leur attribuer une datation postérieure à ces derniers. Par contre un ensemble presque à angle droit entoure le bâtiment 1 et comme lui il est recoupé par le fossé de façade orientale 1305 de l'enclos E1. Il s'agit du fossé 2049 et de son retour 2906 (1310).

#### Le fossé 2049

De tracé un peu curviligne, il traverse l'enclos selon un axe sud-ouest/nord-est (fig. 86) sur une longueur de 38 m pour une largeur moyenne de 1,50 m et une profondeur conservée de 0,50 m. Le profil est évasé et le fond est arrondi (fig. 87).

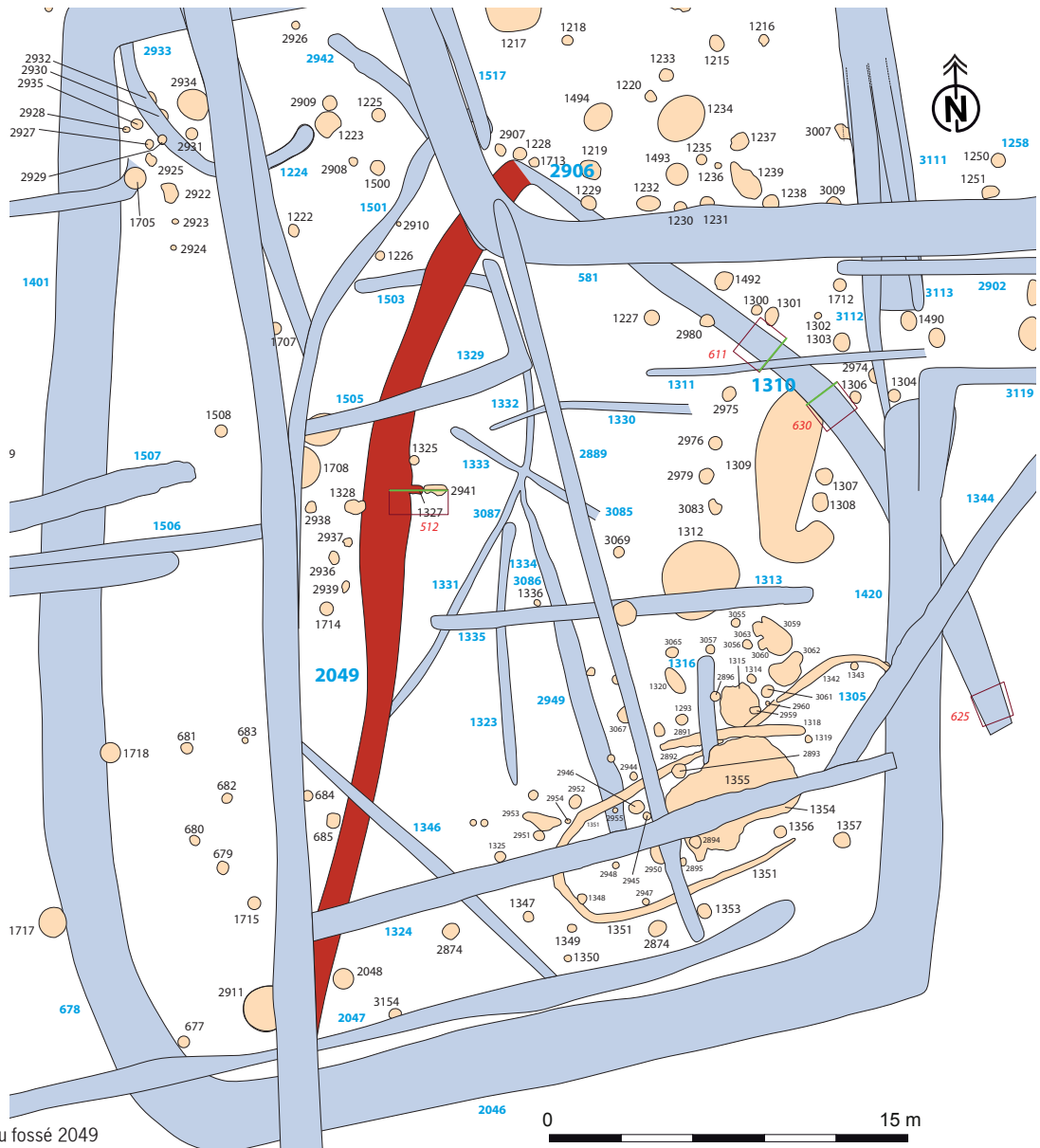


Fig. 86 : localisation du fossé 2049



Le comblement est constitué d'un sédiment limono-argileux gris brun avec des inclusions d'altérite et de petits blocs de schiste et de quartz. Des blocs de grès et de quartz sont présents dans le fond du fossé. Le décapage a livré en surface deux tessons de céramique de La Tène.

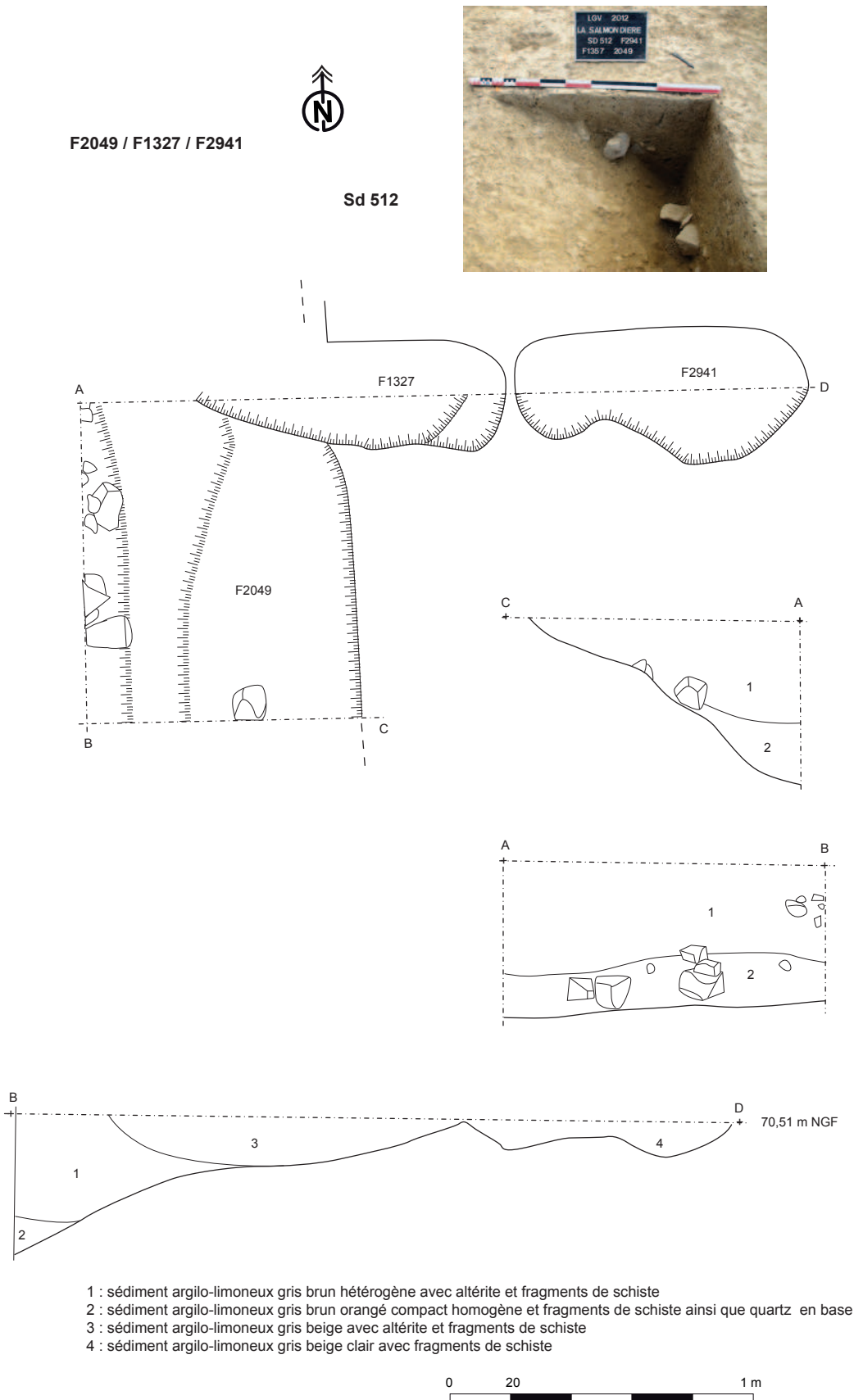


Fig. 87 : plan et coupe du fossé 2049 sondage 512 et des fosses 1327 et 2941

### Fossé 2906-1310

Il traverse l'enclos selon un axe nord-ouest/sud-est en formant un angle presque perpendiculaire avec le fossé 2049 (fig. 88). Il a été suivi sur une longueur de 31 m pour une largeur variant de 1,30 m à 1,40 m et une profondeur conservée de 0,50 m dans le sondage 611 passant à 0,80 m dans le sondage 630. Le profil est évasé dans le sondage 611 alors qu'il forme un V parfait dans le sondage 630. Le comblement est constitué d'un sédiment limono-argileux gris très hydromorphe avec des poches d'oxydation. La fouille a livré 3 tessons de céramique de La Tène moyenne dans l'angle nord-est (partie 2906) et 19 tessons de la même période dont 11 dans le sondage 611, le reste dans le sondage 630. Il faut également noter que ces deux fossés sont recoupés par les fossés et haies modernes 2010 et 1324 mais également par le fossé gallo-romain 581 mais surtout par la façade orientale 1305 de l'enclos E1, comme le bâtiment 1.

Nous avons dit que cet habitat semblait ouvert, mais il est possible aussi de penser que ces deux fossés forment un enclos contemporain du bâtiment 1 et venant enclore son espace. Cette portion d'enclos curviligne appartiendrait donc à la première phase d'occupation du site. Il est intéressant de constater que du mobilier céramique de cette même phase a été retrouvé dans le sondage 621 réalisé dans le fossé 1371, lui-même daté de la phase 2.

Il est possible que le fossé 1310 se soit prolongé jusqu'au fossé 1371 et que le recoupement par le fossé moderne ait masqué la suite du fossé.

#### 2.2.4.2. L'enclos E2

Situé au nord du chemin 1, il s'appuie à l'ouest sur l'enclos E1 et à l'est sur le fossé 525 (fig. 89). Il forme un trapèze rectangle dont la façade nord fait environ 62 m de longueur et la base sud 34 m de longueur pour une largeur moyenne de 26 m, soit une superficie d'environ 1200 m<sup>2</sup>. Son aire inclut au moins 4 bâtiments.

La façade nord est constituée du fossé 2903-94-506.

Le fossé 2903-94-506 d'axe dans un premier temps nord-ouest/sud-est forme un coude se développant ensuite selon un axe d'ouest vers l'est.

### Fossé 2903

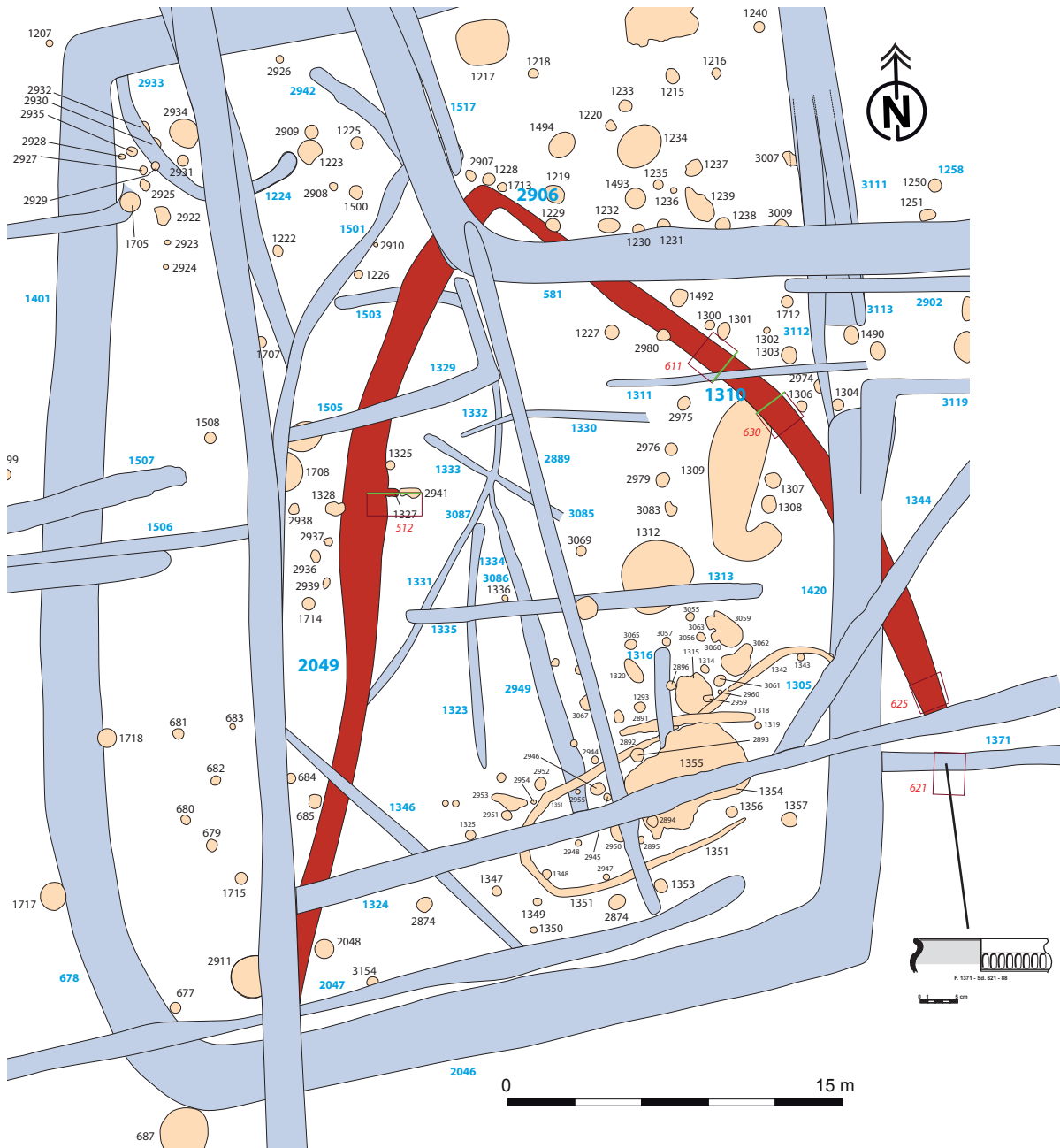
D'axe nord-ouest/sud-est, il a été suivi sur une longueur de 11 m et sur une largeur de 1,56 m pour une profondeur conservée d'1,42 m (fig. 90). Le sondage 466 présente un profil en V arrondi au fond. La base du fossé présente un horizon argileux hydromorphe recouvert par une couche d'effondrement. Le reste correspond à des phases de colluvionnement et d'effondrement dans lesquelles s'intercalent de petits horizons argileux. La partie sommitale est comblée d'un sédiment limono-argileux gris brun compact dense comportant de nombreuses inclusions d'altérite orangée et de fragments de charbons de bois.

La fouille a livré dans cette même couche supérieure 34 tessons de céramique dont 3 formes. Elles sont datées du milieu du II<sup>e</sup> siècle av. J.-C. Ce fossé est venu recouper le comblement supérieur de l'enclos E1.

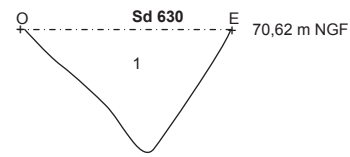
### Fossé 94-506

D'axe est/ouest, il a été suivi sur une longueur de 62 m et une largeur de 1,40 m. Le sondage 13 situé en extrémité est montre un profil en pente douce avec une profondeur conservée de 0,78 m. La couche du fond présente une phase d'effondrement sur laquelle reposent des phases de colluvionnement constituées d'un sédiment limono-argileux brun comportant de l'altérite en surface.

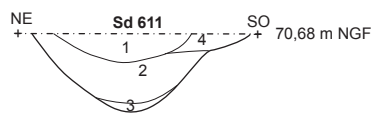
La fouille a livré 7 tessons de céramique de La Tène.



F1310



1 : sédiment argileux gris hydromorphe



- 1 : sédiment limoneux gris avec oxyde et quelques fragments de schiste
- 2 : sédiment limoneux brun gris avec oxyde, altérite et charbons de bois
- 3 : sédiment argileux gris bleuté hydromorphe
- 4 : sédiment limoneux brun meuble

Fig. 88 : localisation, plan et coupe du fossé 2906-1310 sondages 630 et 611

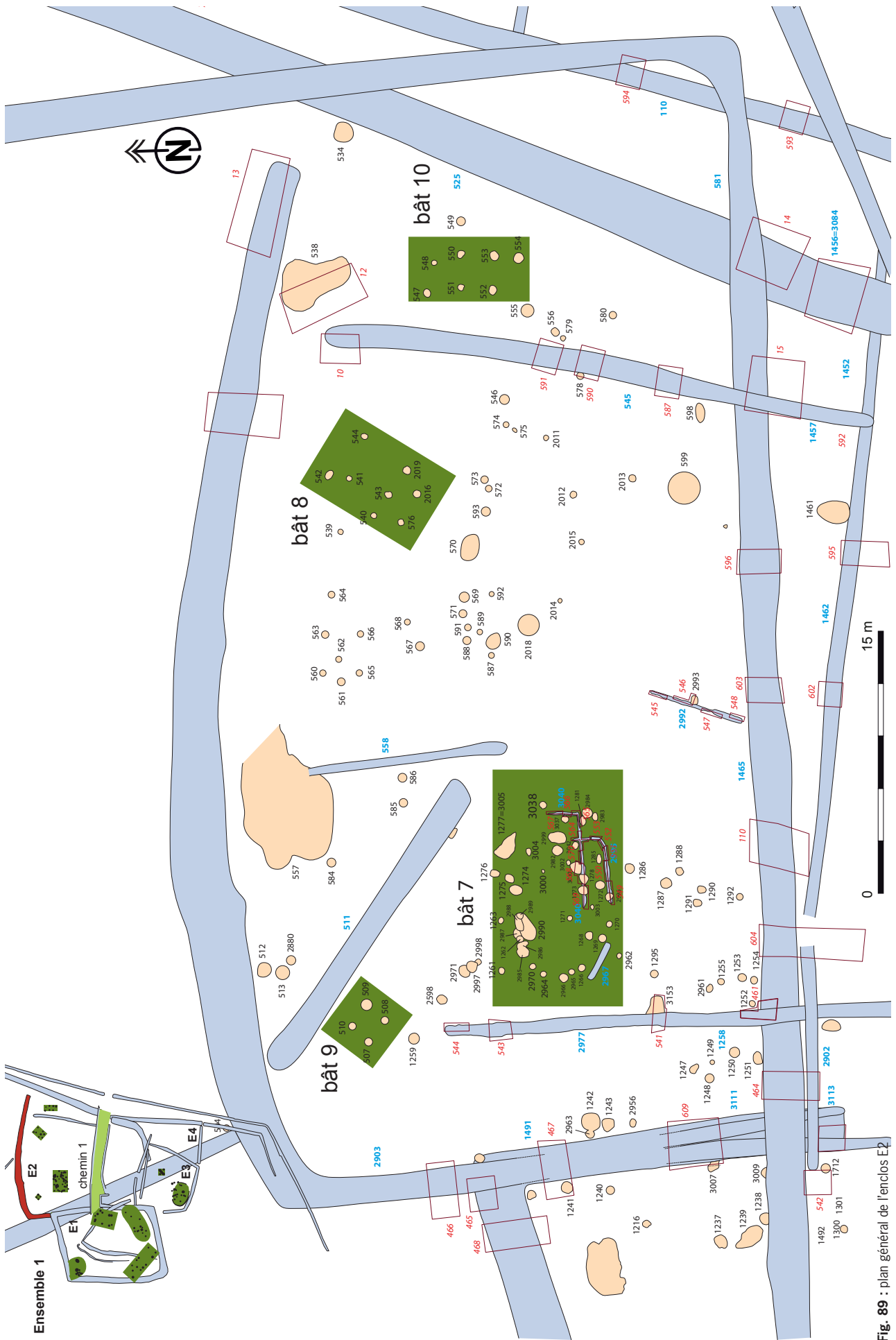


Fig. 89 : plan général de l'enclos E2

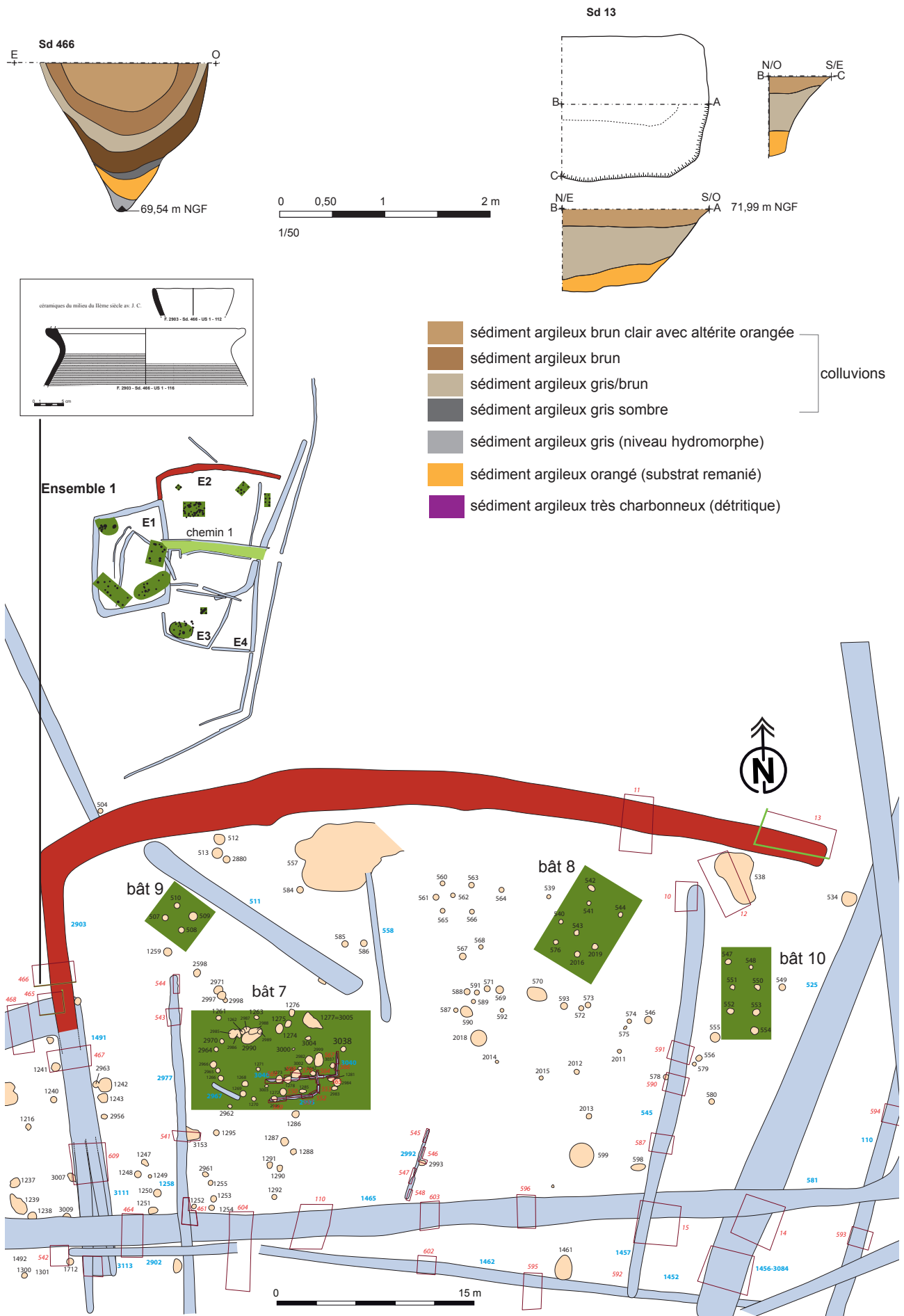


Fig. 90 : localisation, plan et coupe du fossé 2903-94-506 sondages 466 et 13

### Fossé 525-1456-3084

Situé en vis-à-vis de 3006, d'orientation nord-est/sud-ouest, il a été suivi sur une longueur de 57 m et sur une largeur variant de 2 à 3 m pour une profondeur conservée allant de 1,40 à 2 m (fig. 92). Les trois sondages ouverts ont été relevés et montrent un profil en V avec pour le 758 un fond très arrondi. Le NGF de fond variant de 70,70 à 70 m, l'inclinaison de la pente est d'un peu plus de 1%, ce qui permet un écoulement naturel de l'eau vers l'extrémité sud-ouest. Il est possible que le petit fossé 1454 situé entre les deux extrémités des fossés 3084 et 3006 ait pu servir d'exutoire. Il faut noter une interruption du fossé 3084 en partie nord-est, mais cette dernière étant située dans la zone de stockage des terres par manque de temps et par remontée rapide de la nappe, elle n'a pas été sondée. Par contre le fossé ne se poursuit pas au-delà.

Dans ce secteur le fossé n'a qu'une largeur de 2 m pour une profondeur de 1,40 m. La largeur et la profondeur vont vraiment s'accroître en extrémité sud-ouest et le profil va s'affiner, présentant un V fortement prononcé.

Est-ce que là aussi il y aurait une volonté de mise en valeur de l'entrée, reprenant éventuellement un fossé plus ancien ?

La fouille a livré 1 seul tessin protohistorique.

A l'intérieur de cet ensemble se trouvent au moins quatre bâtiments (fig. 92).

### Les bâtiments

Parmi les alignements de trous de poteaux peuvent se distinguer au moins 4 bâtiments (7, 8, 9 et 10) de plan carré ou rectangulaire.

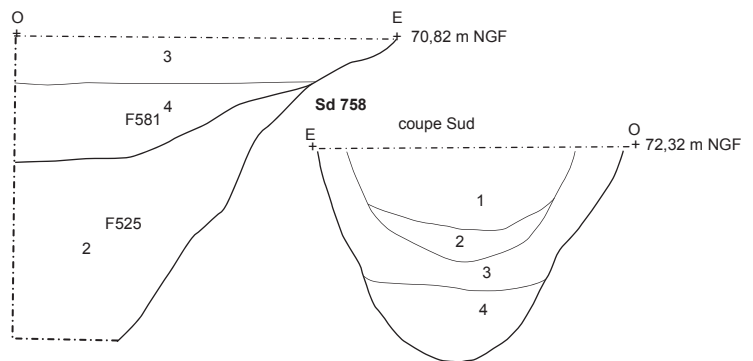
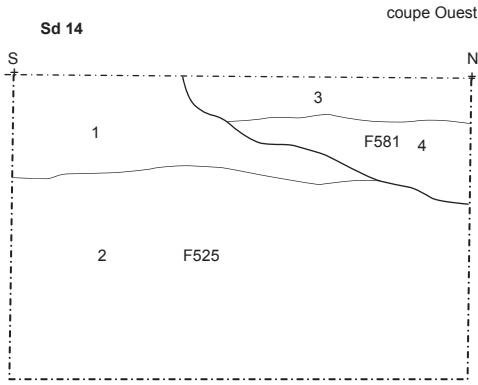
#### Bâtiment 7

La première impression générale évoque un bâtiment ovalaire mais la présence des tranchées de fondation oriente vers la superposition d'au moins deux phases d'une même construction rectangulaire, pouvant se décaler à la fois vers le sud et l'ouest (fig. 91). Le sondage 564 montre que c'est la tranchée nord/sud, attribuable à l'état 2 qui recoupe la tranchée est/ouest, attribuable à l'état 1.



Fig. 91 : vue du bâtiment 7 à partir de l'est  
© équipe de fouille

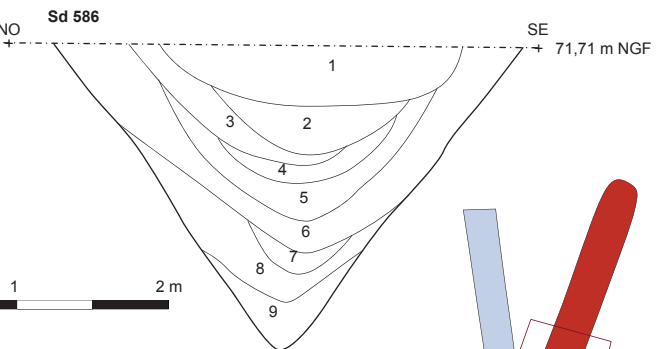
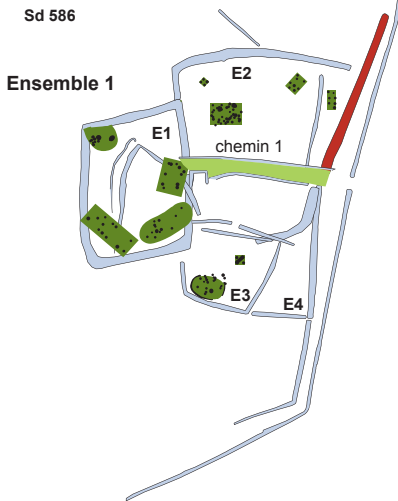
intersection F581 / F525



- 1 : sédiment limono-argileux limon brun clair avec inclusions de schiste, charbons de bois et cailloutis de quartz
- 2 : sédiment limoneux brun clair et gris avec comblement massif de schiste
- 3 : sédiment limoneux brun foncé
- 4 : sédiment limoneux brun foncé avec schistes oxydés

- 1 : sédiment limono-argileux limon brun clair avec inclusions de schiste, charbons de bois et cailloutis de quartz
- 2 : sédiment limoneux brun orangé oxydé compact et homogène
- 3 : sédiment limoneux gris moyen assez compact et homogène
- 4 : sédiment limoneux brun orangé avec quelques poches de limon gris plus argileux assez compact et hétérogène avec quelques infiltrations de plaquettes de schiste

F3084



- 1 : sédiment limono-argileux limon brun clair avec inclusions de schiste, charbons de bois et cailloutis de quartz
- 2 : sédiment limono-argileux gris
- 3 : sédiment limono-argileux gris avec fragments de schiste
- 4 : sédiment limono-argileux hétérogène avec oxyde orangé et quelques fragments de schiste
- 5 : sédiment limono-argileux hétérogène avec fragments de schiste
- 6 : sédiment schisto-argileux brun orangé hétérogène
- 7 : sédiment argileux gris
- 8 : sédiment schisto-argileux peu compact hétérogène
- 9 : sédiment argileux gris hydromorphe

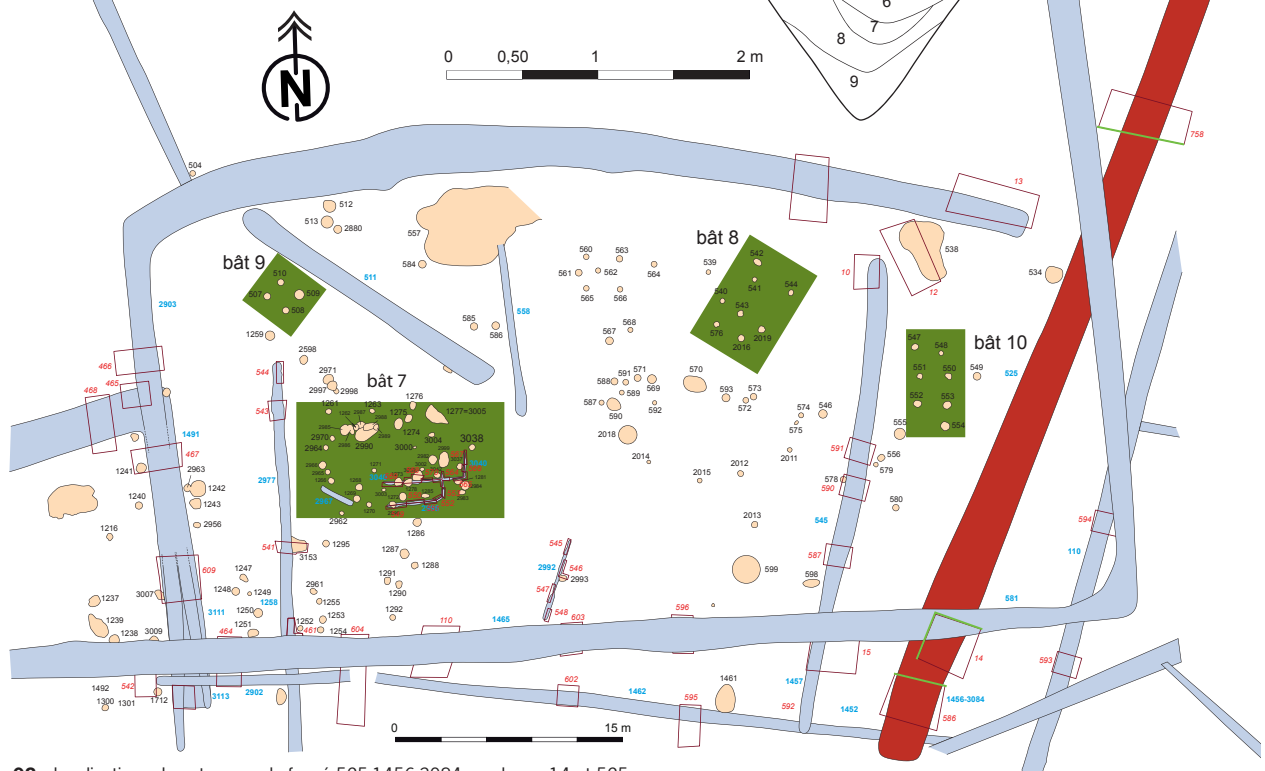
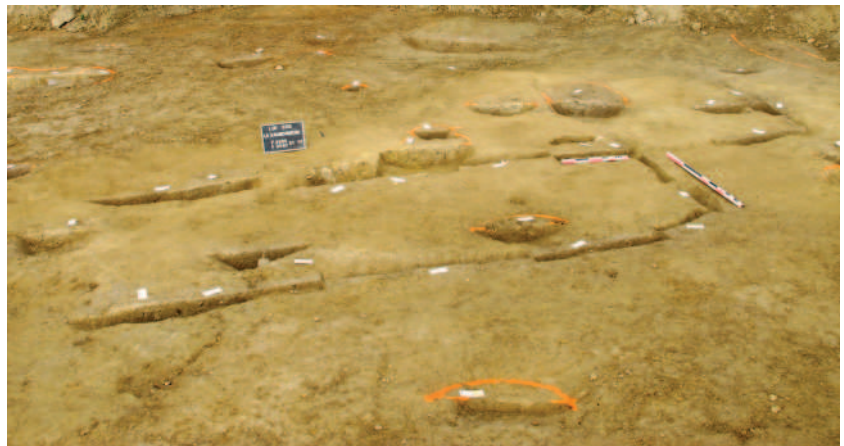


Fig. 92 : localisation, plan et coupe du fossé 525-1456-3084 sondages 14 et 525



**Fig. 93** : vue du bâtiment 7 à partir du sud  
© équipe de fouille

**Le premier état (fig. 95)**, dans cette hypothèse de travail, serait constitué de la sablière basse ou tranchée de fondation 3040, correspondant à l'angle sud-est du bâtiment, se prolongeant vers le sud-ouest par les poteaux 1273 et 1268, l'angle sud-ouest étant supporté par 1266. L'angle nord-ouest quant à lui étant représenté par 1261 avec une façade nord-ouest constituée des poteaux 1263 et 1276 et peut être une partie de la fosse 1277.

**Le second état (fig. 95)**, pourrait être représenté par la sablière ou tranchée 2995 se prolongeant vers le sud-ouest par le poteau 1270, avec une façade sud-ouest constituée des poteaux 1266, 2995 et 2964. La façade nord-ouest pouvant être constituée de l'ensemble des creusements 2985, 2986, 1262, 2987, 2988 et 2989 ainsi que les trous de poteaux 1274 et 1275. L'angle nord-est pouvant être marqué par la fosse 1277 et la façade nord-est passant par 2999.

Le premier état correspond à un édifice de 8,75 m de longueur sur 5 m de largeur, soit une superficie interne de 43,75 m<sup>2</sup> et le second état fait 7,40 m de longueur sur 5,40 m de largeur, soit une superficie interne d'environ 40 m<sup>2</sup>. Les trous de poteaux ont des diamètres variant de 0,30 à 0,76 m pour des profondeurs conservées allant de 0,06 à 0,28 m. Le comblement est constitué d'un sédiment limono-argileux brun gris homogène compact avec charbons de bois. L'étude comparative des caractéristiques des creusements (diamètre et profondeur) n'apporte pas d'éléments complémentaires pour une bonne restitution des plans.

La fouille des trous de poteaux 2962, 2983, 2984 et 3037 a livré 7 tessons de céramique protohistorique ne permettant pas de dater plus précisément cette phase d'occupation.



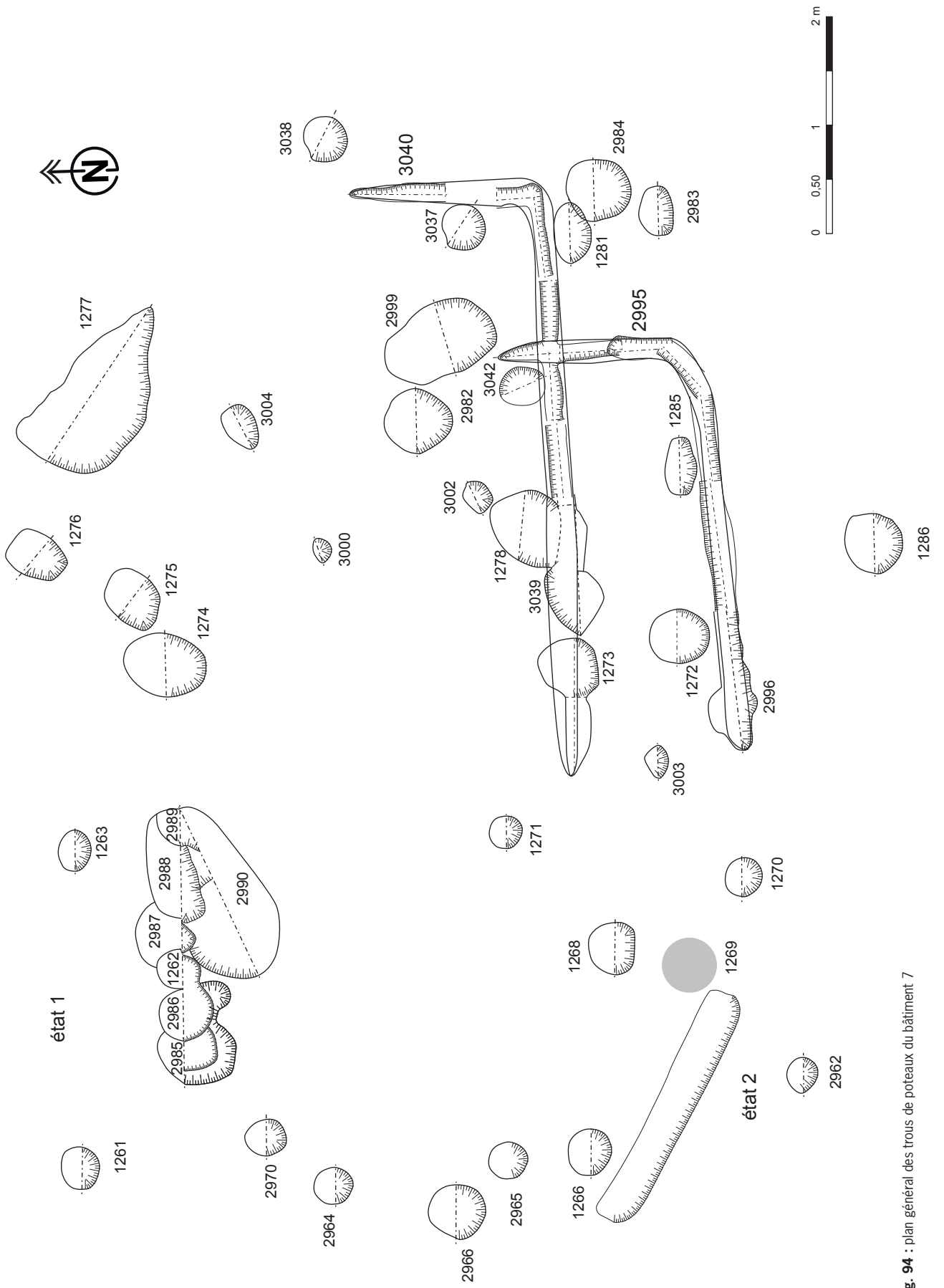


Fig. 94 : plan général des trous de poteaux du bâtiment 7

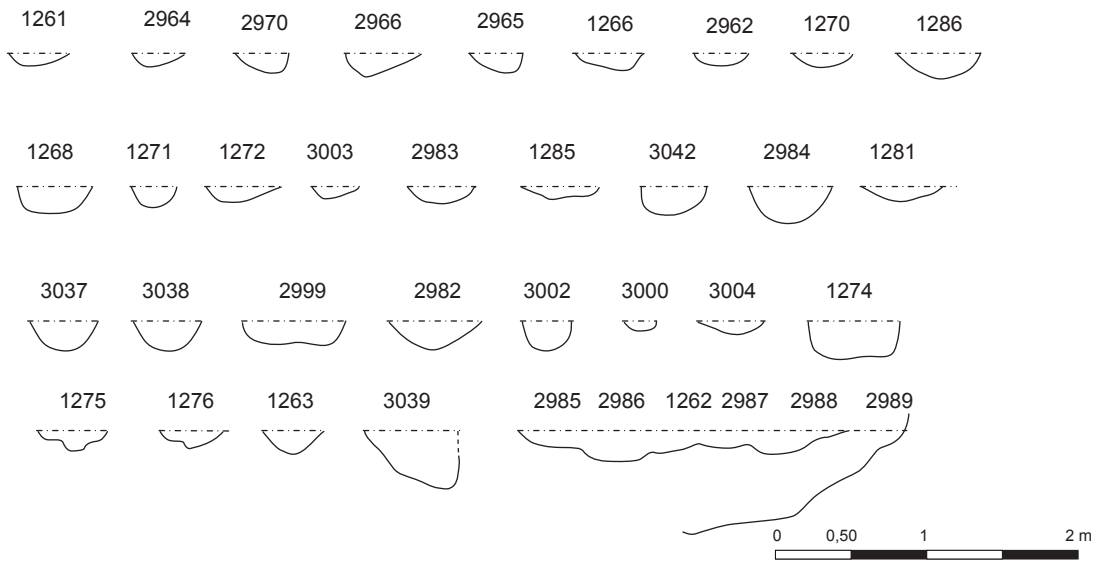
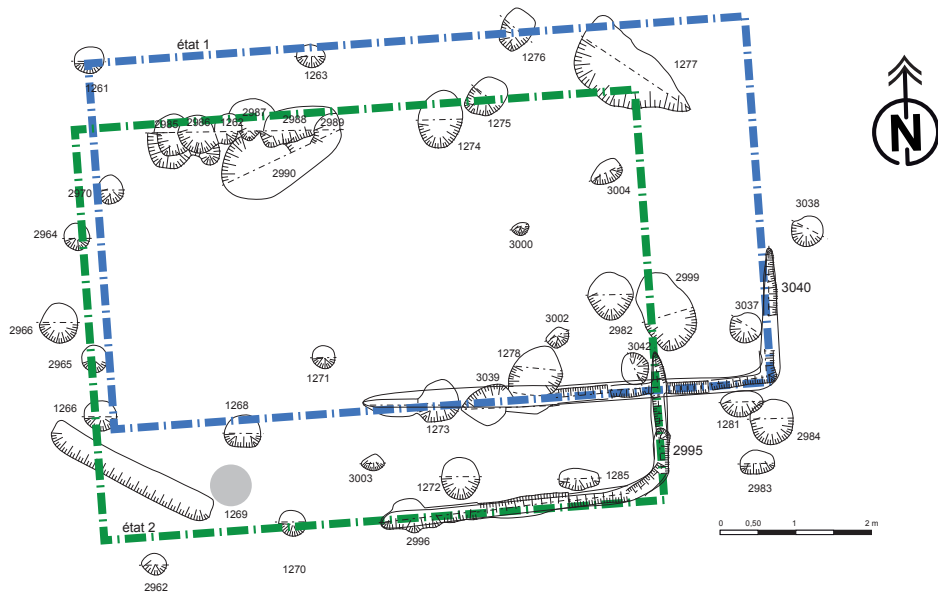


Fig. 95 : essai de restitution des plans de bâtiments avec coupe des TP

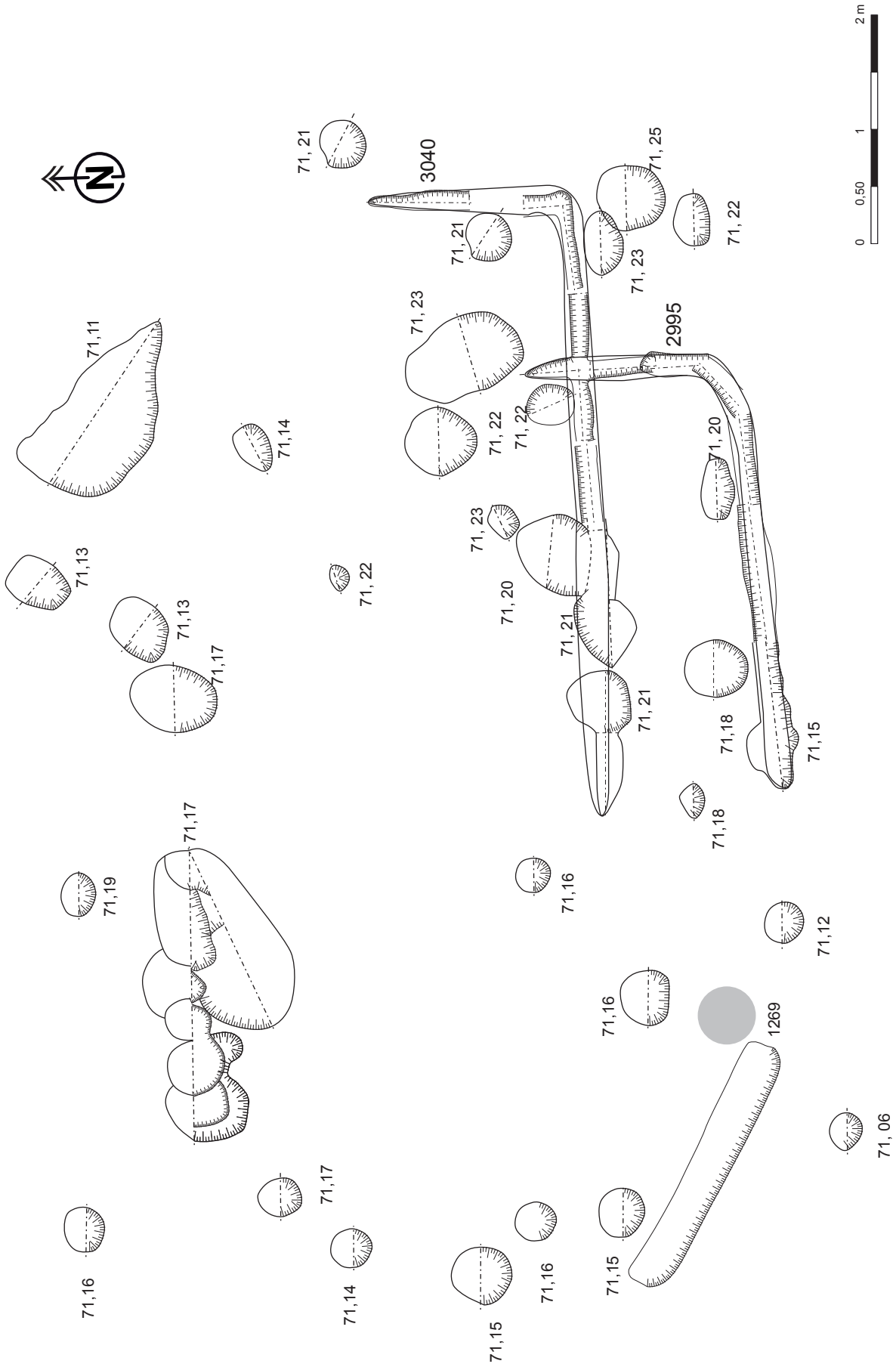
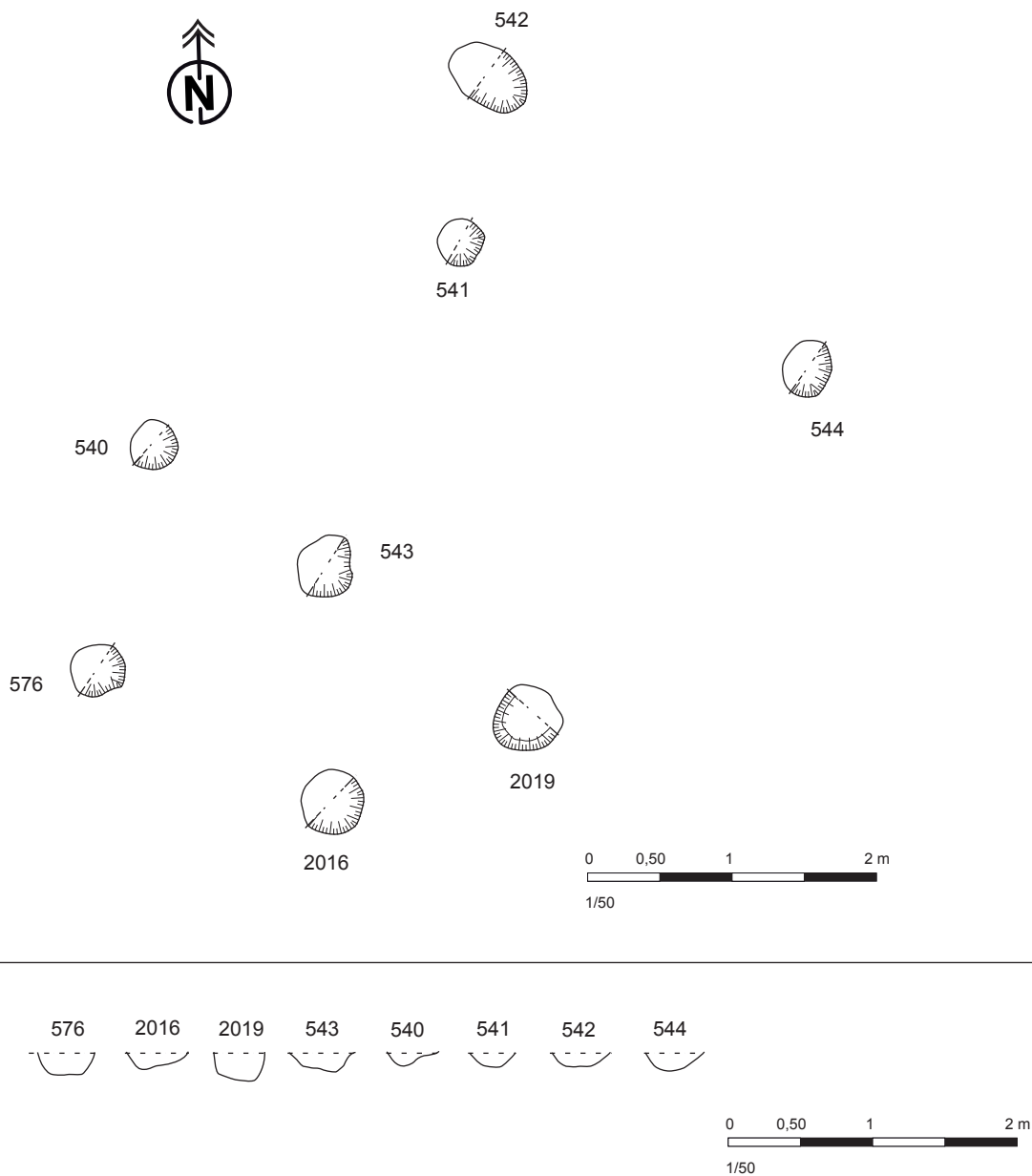


Fig. 96 : plan du bâtiment 7 avec côtes NGF

**Bâtiment 8**

D'orientation nord-est/sud-ouest, il semble être composé d'un rectangle de 3,40 m de longueur sur 3 m de largeur, conservé sur 5 poteaux (**fig. 97 98**). La façade sud-ouest peut être prolongée par les poteaux 2016 et 576 pouvant constituer une avancée ou une entrée. Cette dernière de 2 m de largeur fait 1,45 m de profondeur. Les trous de poteaux ont des diamètres variant de 0,38 à 0,60 m pour des profondeurs conservées allant de 0,10 à 0,18 m. Les profils sont évasés avec des fonds arrondis ou plats. Le comblement est constitué d'un sédiment limono-argileux gris avec charbons de bois. L'ensemble peut correspondre à un bâtiment de stockage de type grenier.

La fouille a livré respectivement 3 tessons de céramique dans 576 et 3 tessons dans 2019. Ils sont de l'époque protohistorique sans plus de précision.



**Fig. 97** : concentration des trous de poteaux du bâtiment 8

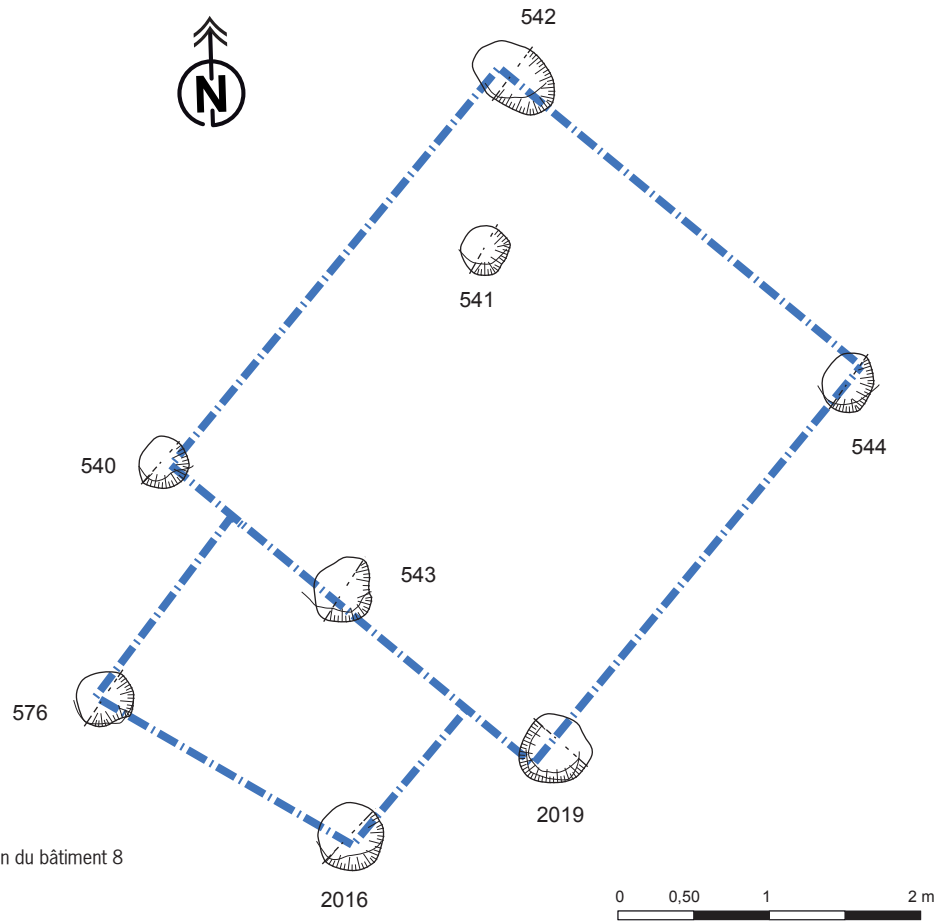


Fig. 98 : proposition de restitution du plan du bâtiment 8

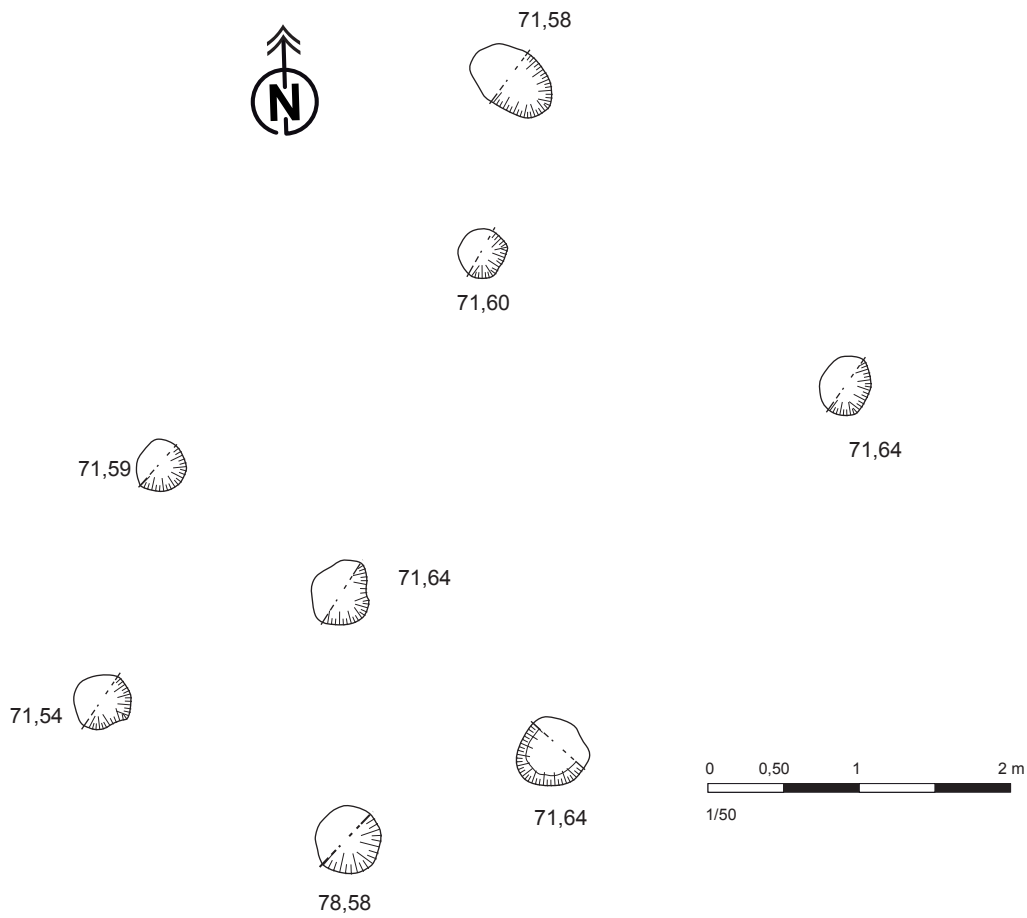


Fig. 99 : bâtiment 8 avec côtes NGF de surface

### Bâtiment 9

Petite construction sur quatre poteaux, non fouillée, semblant former un carré d'environ 1,50 m de côté avec des trous de poteaux de 0,50 m de diamètre (fig. 100). La surface interne est de 2,25 m<sup>2</sup>. Il peut s'agir d'un petit grenier.

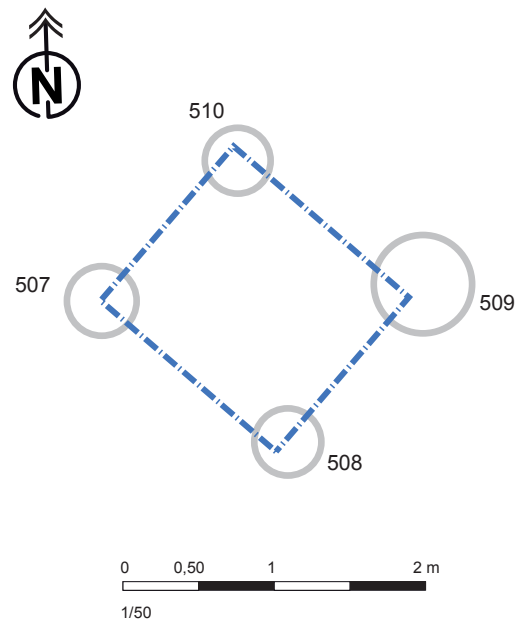


Fig. 100 : plan du bâtiment 9

### Bâtiment 10

Il s'agit d'une petite construction d'orientation nord-sud de 5,45 m de longueur sur 2,20 m de largeur, correspondant à une superficie interne d'environ 12 m<sup>2</sup> (fig. 101). Elle est composée d'au moins 7 trous de poteaux avec des diamètres variant de 0,30 à 0,60 m pour des profondeurs conservées allant de 0,05 à 0,18 m. Les profils sont évasés avec des fonds arrondis ou plats. Le comblement est constitué d'un sédiment limono-argileux beige à orangé avec charbons de bois. La fouille du trou de poteau 52 a livré un tesson de céramique protohistorique.

### Fosses

Elles sont peu nombreuses à l'intérieur de cet enclos (fig. 103). Il s'agit essentiellement de la grande fosse 557 (non fouillée par manque de temps) dont le ramassage de surface a livré quelques tessons de céramique de La Tène et de la fosse 538 recoupée à la pelle mécanique. Situées non loin des bâtiments leur forme évasée peut permettre de les assimiler à des fosses d'extraction de matériaux vraisemblablement pour la construction des parois des bâtiments et réutilisées en fosse détritrique. D'autres petites fosses de forme circulaire avec un profil en cuvette ont également été mises au jour dans ce secteur. Elles sont plutôt situées, comme 1242, dans la moitié ouest de l'enclos (sans mobilier céramique pour les dater) et certaines, nous l'avons vu précédemment peuvent participer au plan du bâtiment 7.

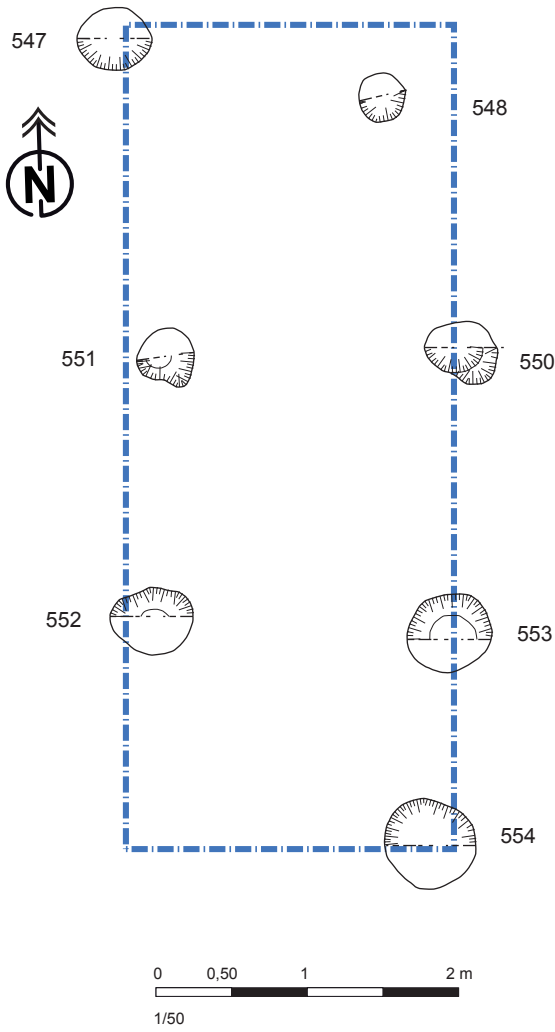


Fig. 101 : restitution du plan du bâtiment 10 avec coupe des trous de poteaux

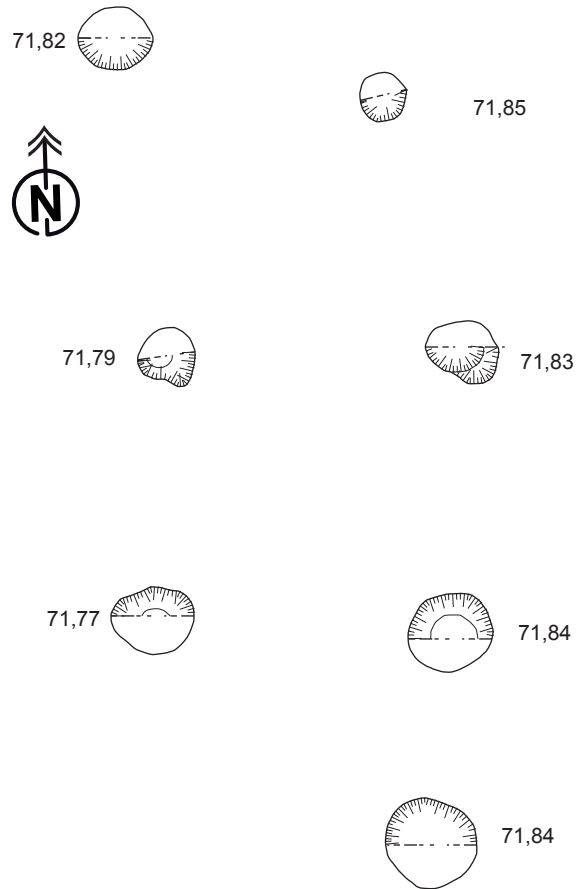


Fig. 102 : plan du bâtiment 10 avec côtes NGF de surface

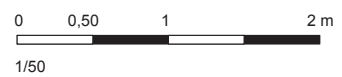




Fig. 103 : localisation des structures dans l'enclos E2



### Fosse 538

C'est une structure piriforme d'orientation nord-ouest/sud-est de 4,10 m de longueur sur 1,70 m de largeur, pour une profondeur conservée de 0,40 m (fig. 104). La coupe réalisée à la pelle mécanique montre des recreusements évoquant une fosse polylobée. Les bords sont évasés et le fond est irrégulier. Le comblement très hétérogène est constitué d'un sédiment limono-argileux gris beige à orangé, plus ou moins mélangé au substrat et comportant des nodules de terre cuite et des charbons de bois. Ce type de structure évoque les fosses d'extraction de matériaux pour réaliser les parois des bâtiments. La fouille a livré 12 tessons de céramique (pour 1 NMI non dessiné) datés du second âge du Fer.

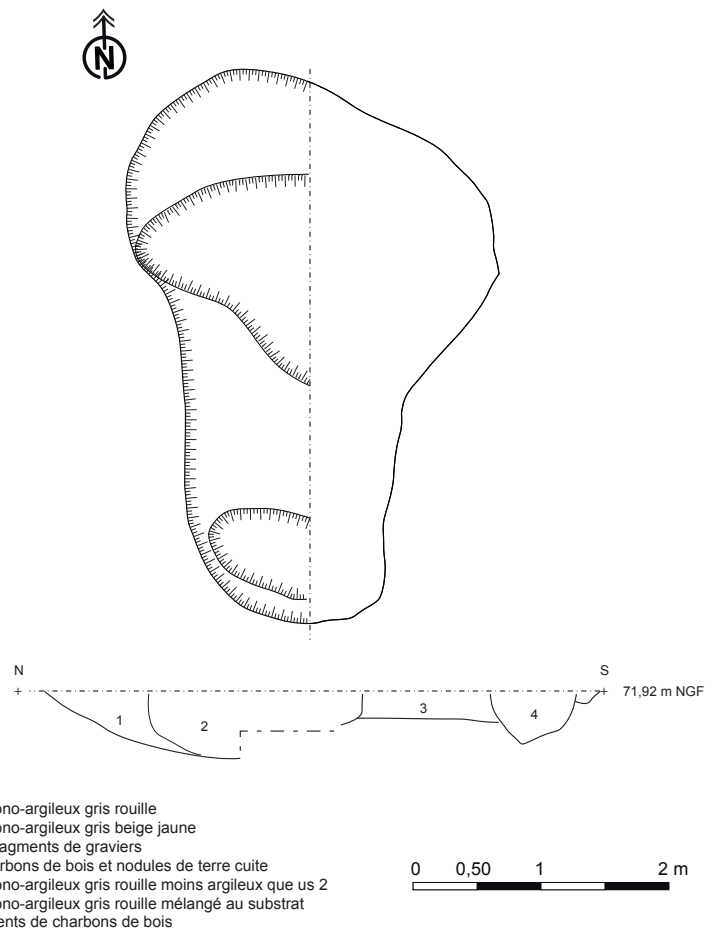


Fig. 104 : plan et coupe de la fosse 538

### Fosse 1242

C'est une petite fosse circulaire de 1 m de diamètre, conservée sur une profondeur de 0,16 m (fig. 105). Le profil est évasé et le fond est irrégulier. Elle est comblée d'un sédiment limono-argileux gris avec charbons de bois. Elle est recoupée par le trou de poteau 2963.

### Fossés

De petits fossés traversent l'enclos selon un axe nord/sud. Parmi ceux-ci le fossé 545 est d'époque gauloise alors que 1258-2977 est d'époque gallo-romaine. Le fossé 2992 n'est pas daté.

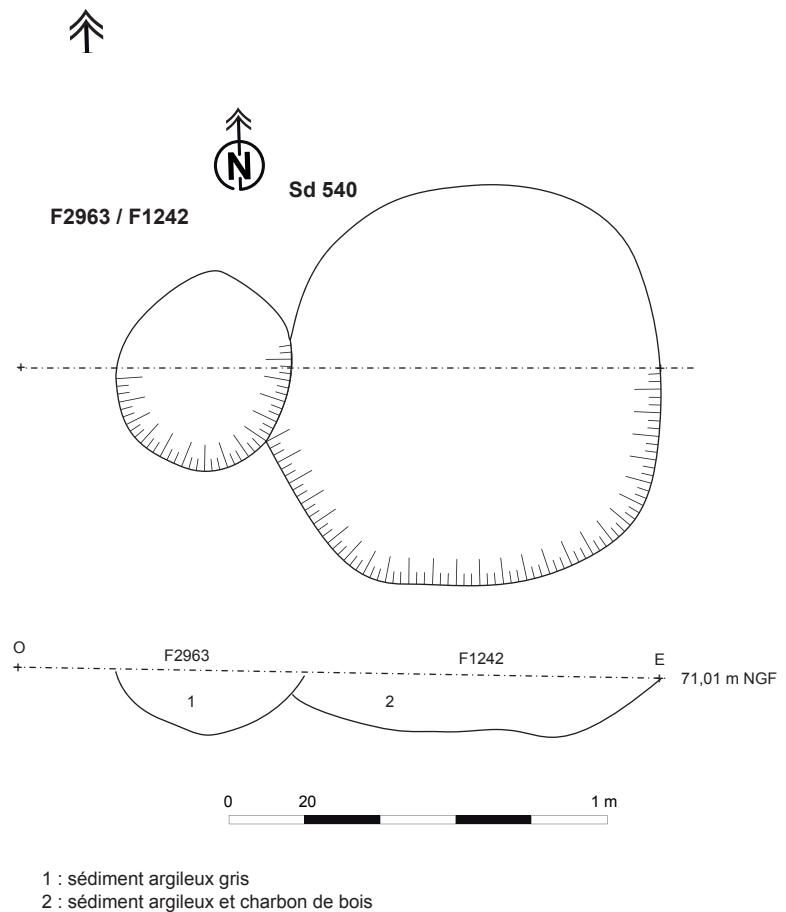


Fig. 105 : plan et coupe de la fosse 1242 et du TP 2963

#### Fossé 545-1457

Il traverse l'enclos E2 selon un axe nord-est/sud-ouest, sur une longueur de 31 m pour une largeur moyenne de 1,25 m et une profondeur conservée d'environ 0,70 m (fig. 106). Sur les six sondages ouverts, cinq ont été relevés, dont deux à chaque extrémité. Le profil du fossé est un V fortement marqué avec un fond plus ou moins arrondi. La première phase de comblement est constituée, dans le sondage 590 ainsi qu'en extrémité nord, par une couche argileuse hydromorphe. Se succèdent ensuite des phases de colluvion de sédiment limono-argileux brun plus ou moins riche en fragments de schiste et en altérite. A noter dans le sondage 587 que le fossé est resté suffisamment longtemps ouvert pour que se produise un effondrement des parois. L'extrémité nord du fossé présente un bord abrupt et un fond plat pour une profondeur d'environ 0,67 m, alors que l'extrémité sud à bord en pente plus douce, n'est conservée que sur 0,36 m. Il faut noter que cette partie orientale vient recouper le fossé 1462 (possible fossé bordier du chemin gaulois). Relevons également que ce fossé 545 est recoupé par le fossé gallo-romain 581.

Le pendage de cette structure est quasiment inexistant puisque les deux extrémités ont un fond à la cote 71,14 m NGF avec un dénivelé en surface de 10 cm.

La fouille a livré 51 tessons de céramique, dont 6 dans le sondage 590, 16 dans le sondage 591 et 9 dans le sondage 10. Ils sont datés de La Tène, sans plus de précision.

Cet enclos E2 semble s'appuyer au sud sur le chemin 1 qui permet de relier l'enclos E1 à un premier système de franchissement doublé plus à l'est par un second système.

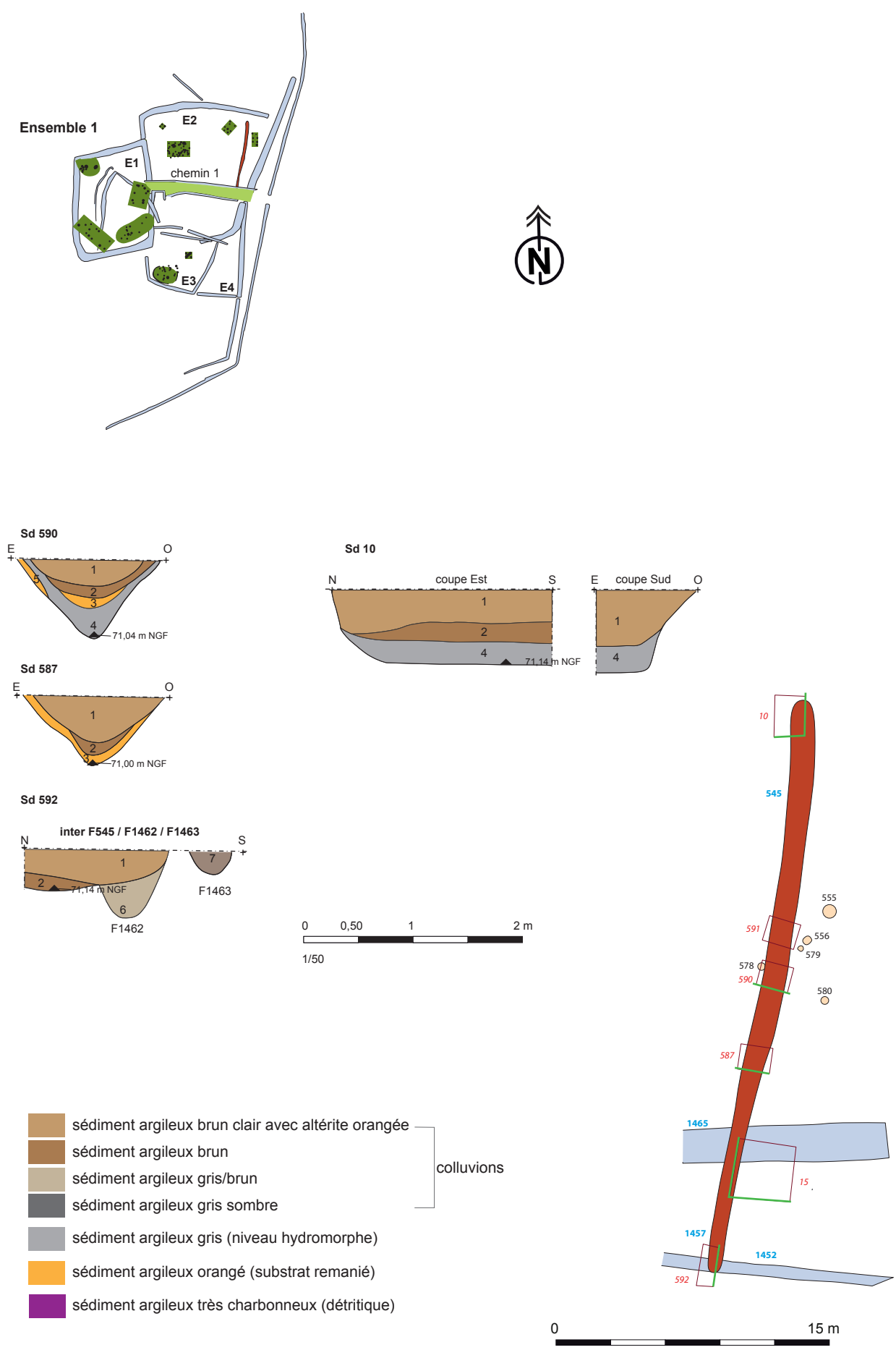


Fig. 106 : plan et coupe des sondages du fossé 545-1457

### 2.2.4.3. Le système d'entrée

Le chemin 1 semble mener vers l'est vers un premier système d'entrée constitué côté sud des fossés 3006 et 1645 et côté nord du fossé 525-1456-3084 sur lequel semble se refermer l'enclos E2 (fig. 107). Une interruption de 4,30 m entre les fossés 3006 et 525-3084 constitue vraisemblablement un accès aménagé pour atteindre l'enclos E1. Mais la concentration de structures (notamment croisements de fossés postérieurs) ou d'anomalies n'a pas permis de mettre en évidence l'aménagement d'un portail.

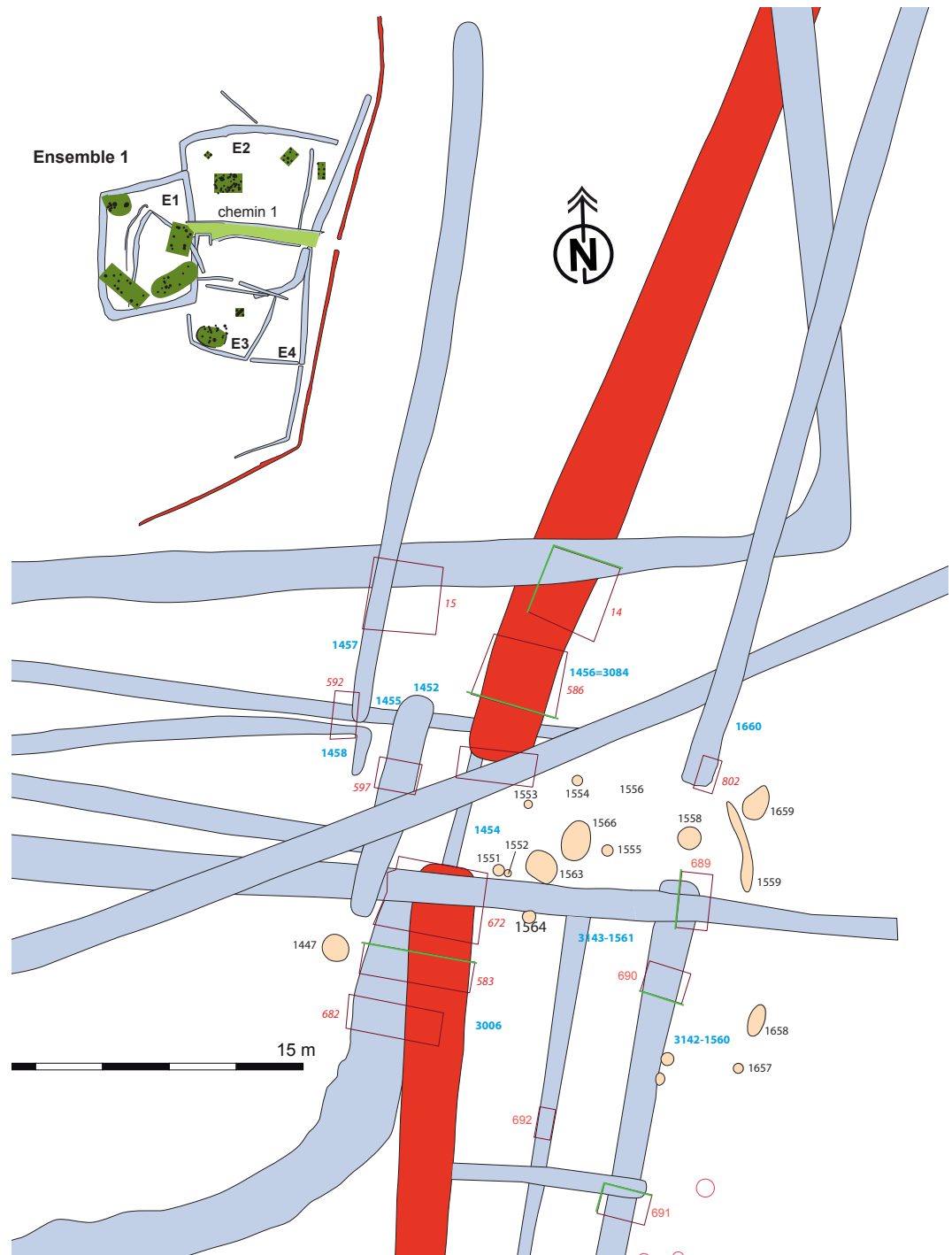


Fig. 107 : entrée constituée des fossés 3006 et 525

Cette entrée est doublée vers l'est par un nouveau passage constitué des fossés 1660-522-110-106-104 et 3142-1560-2844 et le retour 2004 (fig. 108). Cet autre passage exactement dans l'axe du précédent fait environ 4,20 m de largeur. Ces deux systèmes d'enclos, dessin de chaque côté comme un couloir pouvant correspondre soit à un petit chemin permettant d'amener le bétail à pâturer dans les champs pouvant se trouver de chaque côté de l'établissement, soit à l'emplacement d'un talus, renforçant l'aspect monumental de l'ensemble. L'étude des coupes des fossés ne permet pas de confirmer la présence de ce talus. Pour les fossés situés dans la moitié sud (3006 et 3142), l'espacement est d'environ 8 m de large côté nord-est et il se réduit à 3 m en extrémité sud-ouest. Pour l'ensemble situé dans la moitié nord, l'espacement est de 6,70 m en extrémité sud-ouest (entre 3084 et 1660) et se limite à 2,30 m en extrémité nord-est.

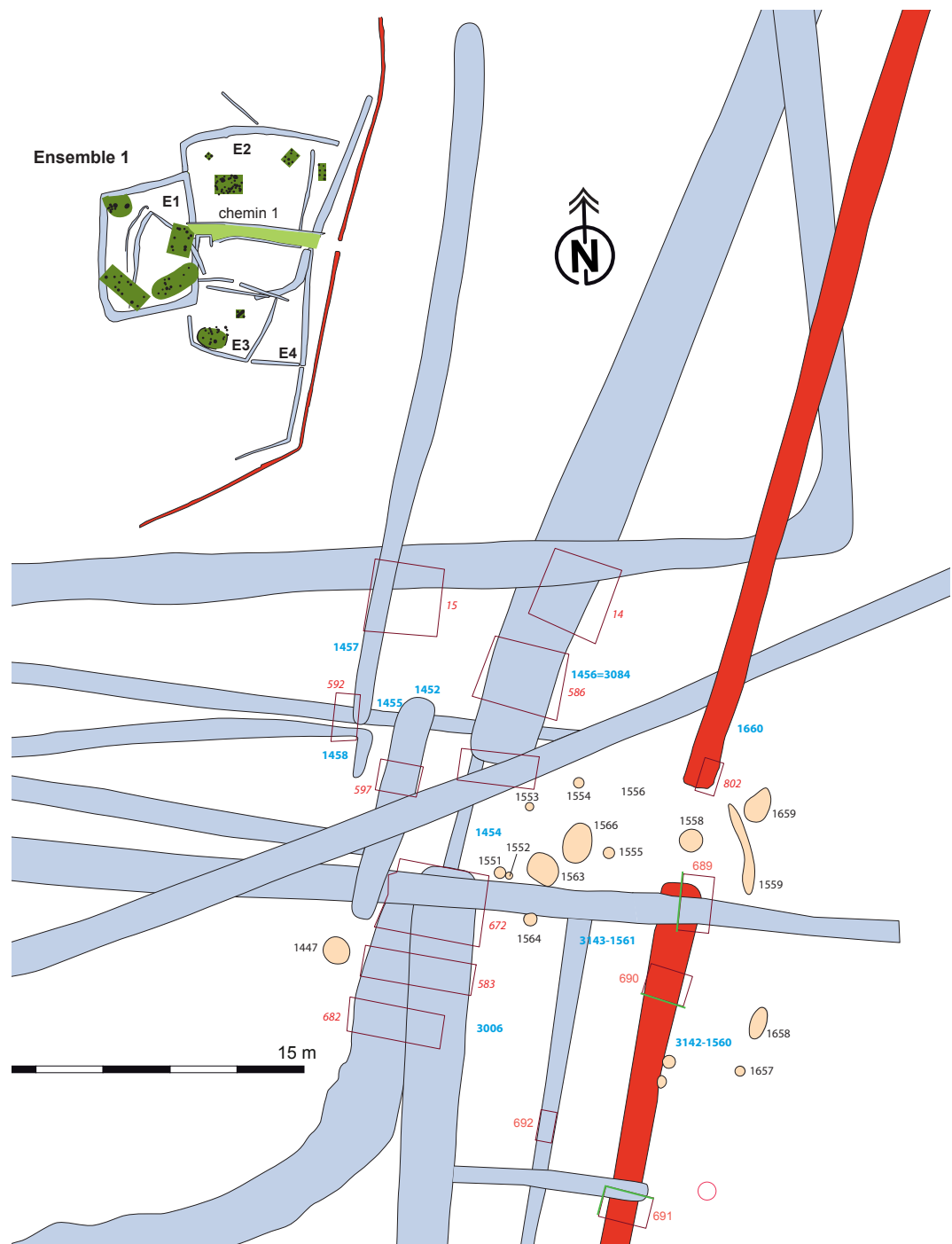


Fig. 108 : entrée constituée des fossés 1660 et 3084

Situé en vis-à-vis du fossé 525-1456-3084 (que nous avons vu précédemment), le fossé 3006 constitue la partie sud de l'entrée. L'ouverture entre les deux est d'environ 4,50 m.

#### Fossé 3006

D'axe nord, il a été suivi sur une longueur de 44,60 m et sur une largeur moyenne de 2,10 m pour une profondeur conservée d'1,35 m (fig. 109). Il atteint 1,75 m dans le sondage 583. Neuf sondages ont été ouverts à la pelle mécanique, dont 5 en commun avec 3131. Le profil est en V avec un fond arrondi. Le comblement de ce fossé est très stratifié. Comme le montre la présence de phases d'effondrement au fond et sur les parois, ce fossé est resté ouvert quelques temps avant d'être comblé par des phases de colluvionnement, dans lesquelles peuvent s'intercaler de petites couches détritiques plus charbonneuses. L'observation des coupes n'a pas permis de mettre en évidence la présence d'un talus.

Le niveau de décapage présente un dénivelé du nord vers le sud d'environ 0,30 m, passant de 71,50 m NGF à 71,20 m NGF. Par contre la pente induite par le fond du fossé est inversée. En effet, partant du sondage 555 (au sud) à 70,12 m NGF, elle reste à peu près constante à 70,00 m NGF sur 3 sondages pour plonger à 69,70 m NGF dans le sondage 583 au nord-est. L'ensemble ne permet donc pas une pente constante pour l'évacuation de l'eau.

La fouille a livré : 2 tessons de céramique dans le sondage 554, 4 dans le sondage 572 et 236 dans le sondage 571, dont un vase à impressions digitées sur le col et à la limite col/panse, daté du III<sup>e</sup> siècle a.v. J.-C.

#### 2.2.4.4. L'enclos E4

Le fossé 3006 pourrait constituer la partie est d'un enclos E4, s'appuyant au nord sur le chemin 1 et limité au sud par une partie de l'enclos E3 ainsi que la structure 3008. A l'ouest il viendrait se greffer sur l'enclos E1 tout en intégrant l'enclos E3. L'ensemble forme un carré d'environ 35 m de côté, soit une superficie d'environ 1225 m<sup>2</sup>. Il pourrait s'agir d'une partition interne du domaine pouvant répondre à une activité spécifique ou une phase chronologique différente des autres enclos. Malheureusement nous ne disposons pas d'éléments concrets permettant de le vérifier. Dans cet enclos se retrouve quelques trous de poteaux ou fosses ou de petits fossés incurvés 1420 et 1421 ainsi que 1437 et 1438 mais dont la fouille n'a pas livré de mobilier permettant de les dater ou d'appréhender leur fonction.

La partie nord de l'enclos est recoupée par le fossé gallo-romain 1443 et par le fossé moderne 1324. Par contre le fossé 3006 recoupe une structure pouvant être antérieure à cet enclos. Il s'agit de la structure composite 3131.

#### Structure 3008

D'axe est/ouest il se présente sous la forme d'un fossé de 18 m de longueur sur une largeur moyenne de 1,40 m pour une profondeur conservée de 0,38 m (fig. 112). Les parois sont évasées et le fond est arrondi. Il est comblé d'un sédiment limono-argileux brun homogène avec inclusions d'altérite. Il s'apparente à une haie venant fermer l'espace que nous avons appelé enclos E4.

Cette haie 3008 située perpendiculairement à l'ouvrage 3006 vient presque buter sur l'enclos E3.

Cet enclos E4 vient recouper, par le fossé 3006, la structure composite 3131 (1539, 1538, 1546, 3138).

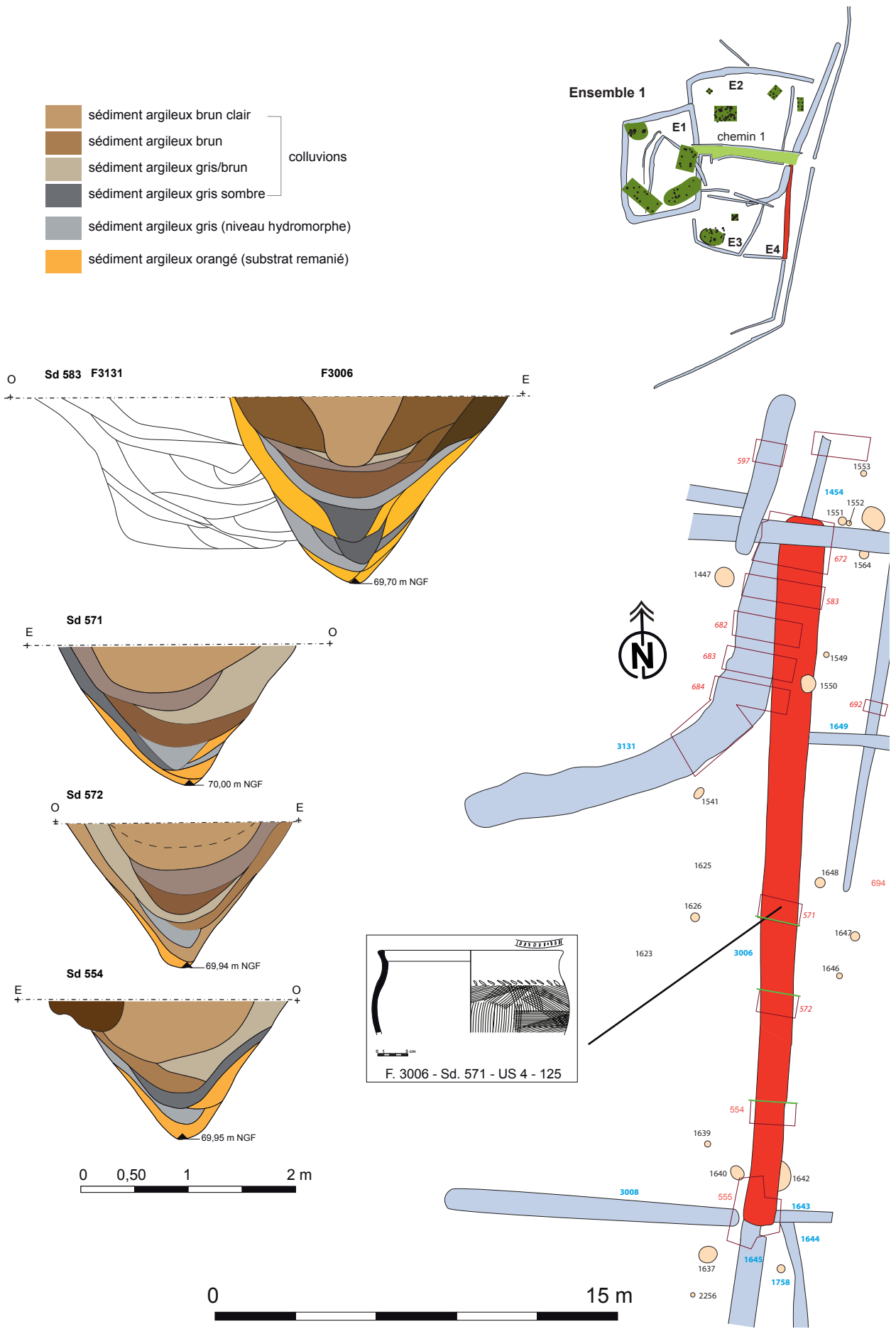


Fig. 109 : plan du fossé 3006 avec coupe des sondages 554, 471, 572 et 583



**Fig. 110** : sondage 583 coupe nord et 571 coupe sud du fossé 3006 © équipe de fouille





**Fig. 111** : sondage 572 coupe nord et 554 coupe sud du fossé 3006 © équipe de fouille

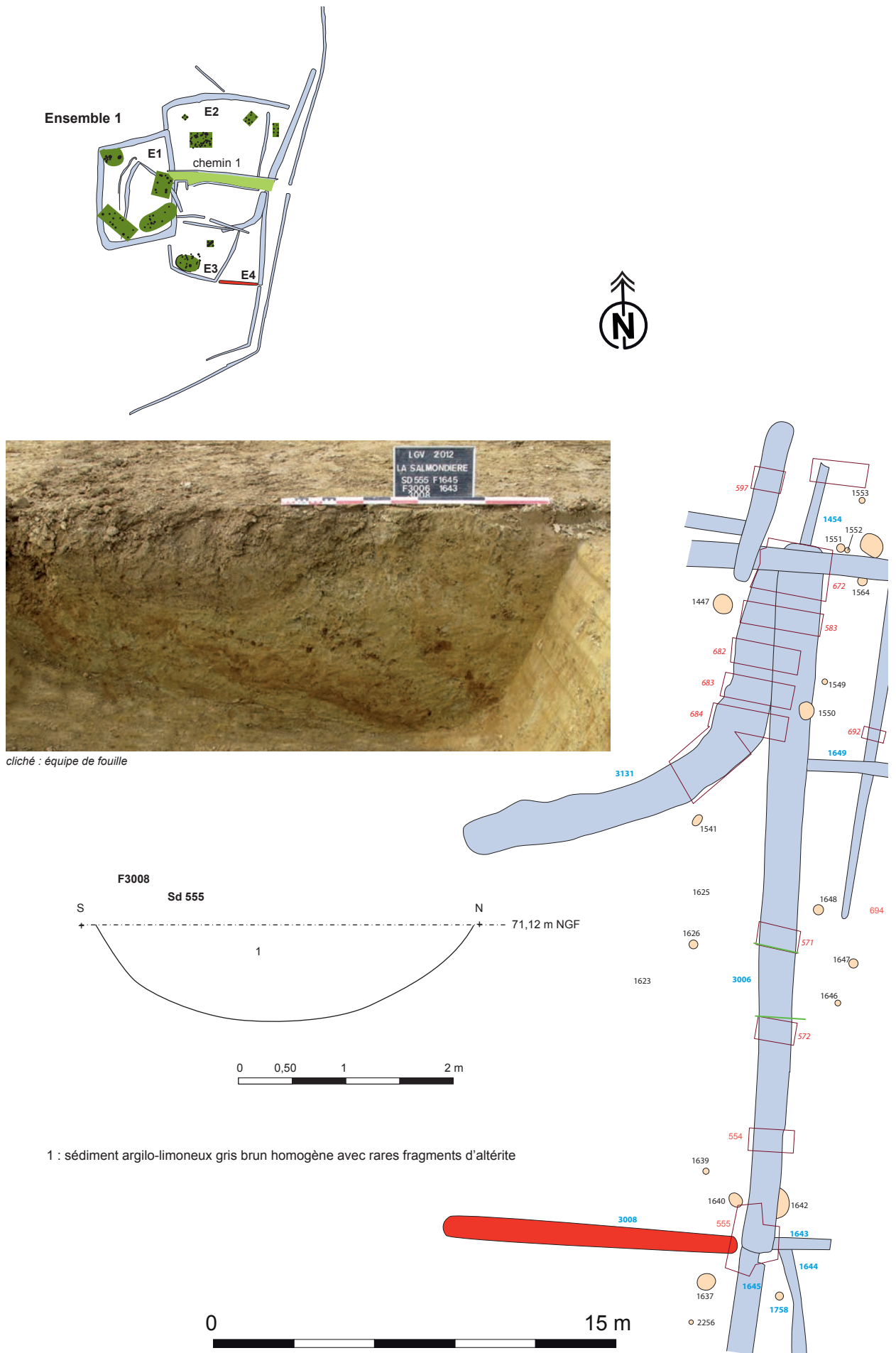


Fig. 112 : plan et coupe ouest de la structure 3008

### Fosse 31316153961538615466154863138

C'est une structure composite de plus d'une trentaine de mètres de longueur sur une largeur moyenne de 2 m, d'axe nord-est/sud-ouest décrivant une courbe vers le nord (fig. 115). Lors du décapage la structure est apparue comme un simple fossé avec un même comblement terminal. Des coupes pratiquées à la mini-pelle, régulièrement espacées, évoquent plus un fossé interrompu du type de ceux que l'on peut rencontrer sur des sites de l'âge du Bronze en Bretagne comme par exemple le site du « Plateau de la Tourelle » fouillé par S. Blanchet en 2006-2007 sur la commune de Lamballe dans les Côtes d'Armor. En effet l'ouverture des sondages a révélé des structures quadrangulaires à fond plat et bord abrupt, disposées en chapelet et dont la profondeur allait en s'accroissant du sud-ouest vers le nord.



Fig. 113 : vue à partir de l'est du creusement présent dans le sondage 672 avec remontée rapide de la nappe © équipe de fouille

Les conditions de fouille s'étant révélées très difficiles en raison d'une remontée rapide des eaux dans les sondages (fig. 113 et 114), le relevé manque de précision et nous avons été obligé de réinterpréter certaines de ces alvéoles ainsi que leur emplacement en fonction des informations recueillies lors de la fouille et du souvenir que nous en avons gardé. En effet certaines n'ont été appréhendées qu'en surface, comme celle du sondage 616 ou que sur un côté comme par exemple les sondages 617 ou 683. Des axes nord/sud et nord-est/sud-ouest ont été tendus mais ils n'ont pas permis de faire un profil en long, en effet les bermes étroites sapées par l'eau s'écroulaient avant que nous puissions les relever. C'est donc à partir des quelques éléments relevés que nous allons tenter de décrire cette structure et d'en proposer des interprétations possibles.

Ces « alvéoles », espacées d'au moins 1 m, font un peu plus de 2 m de longueur sur environ 1,50 m de largeur et sur une profondeur variant de 0,45 m à 1,60 m. Elles ont une emprise au sol réduite de 3 à 5 m<sup>2</sup> environ. Cette différence de profondeur peut sembler importante, mais si l'on tient compte des 0,45 m de dénivelé du terrain après décapage entre l'extrémité nord et l'extrémité sud-ouest, cette différence se réduit à 0,60 m, les fonds étant à 70,35 m NGF dans le sondage 517 et 69,75 m NGF dans le sondage 672. A partir du sondage 615 la pente s'accroît progressivement jusqu'à l'extrémité nord.

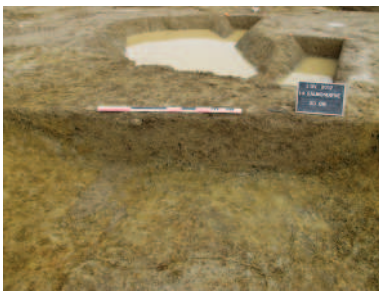


Fig. 114 : vue du sondage 615 avec à l'arrière plan les autres sondages submergés © équipe de fouille

Dans le sondage 616, le décapage a été arrêté sur un niveau présentant des traces situées latéralement de chaque côté du creusement et pouvant correspondre à des trous de poteaux. Certaines de ces taches ont été testées manuellement mais leur nature n'a pas pu être déterminée avec certitude. Comme le montre la coupe du sondage 583 (fig. 115), ces « alvéoles » ont des parois verticales pouvant s'évaser en partie haute ainsi qu'un fond plat. Ce qu'il faut surtout noter ici c'est que cette structure a été comblée d'une succession de couches comportant des fragments de schiste (parfois brûlés) avec des charbons de bois mélangés à de l'altérite. Certaines US comme la 21 et la 25 sont plus argileuses. Mais ce qui retient l'attention c'est que ce comblement est très compacté à tel point qu'un fossé en V (3006) a été creusé dans ce remblai, sans provoquer de déstabilisation puisque la limite entre le fossé et le remblai est fortement marquée. De plus ce fossé a été creusé lorsque la structure a été complètement comblée. Cela s'est joué sur peu de temps (peut être une génération), car le mobilier céramique provenant de 3006 date ce fossé du III<sup>e</sup> siècle (n° 125 Pl. 6) alors que la structure 3131 est datée de la fin du IV<sup>e</sup> siècle, début III<sup>e</sup> siècle. En extrémité sud-ouest se trouve la fosse 2943. Il n'est pas sûr qu'elle appartienne à cette structure 3131, mais le creusement ressemble aux « alvéoles ». Considérée au départ comme un atelier semi-excavé, elle a été fouillée entièrement manuellement.

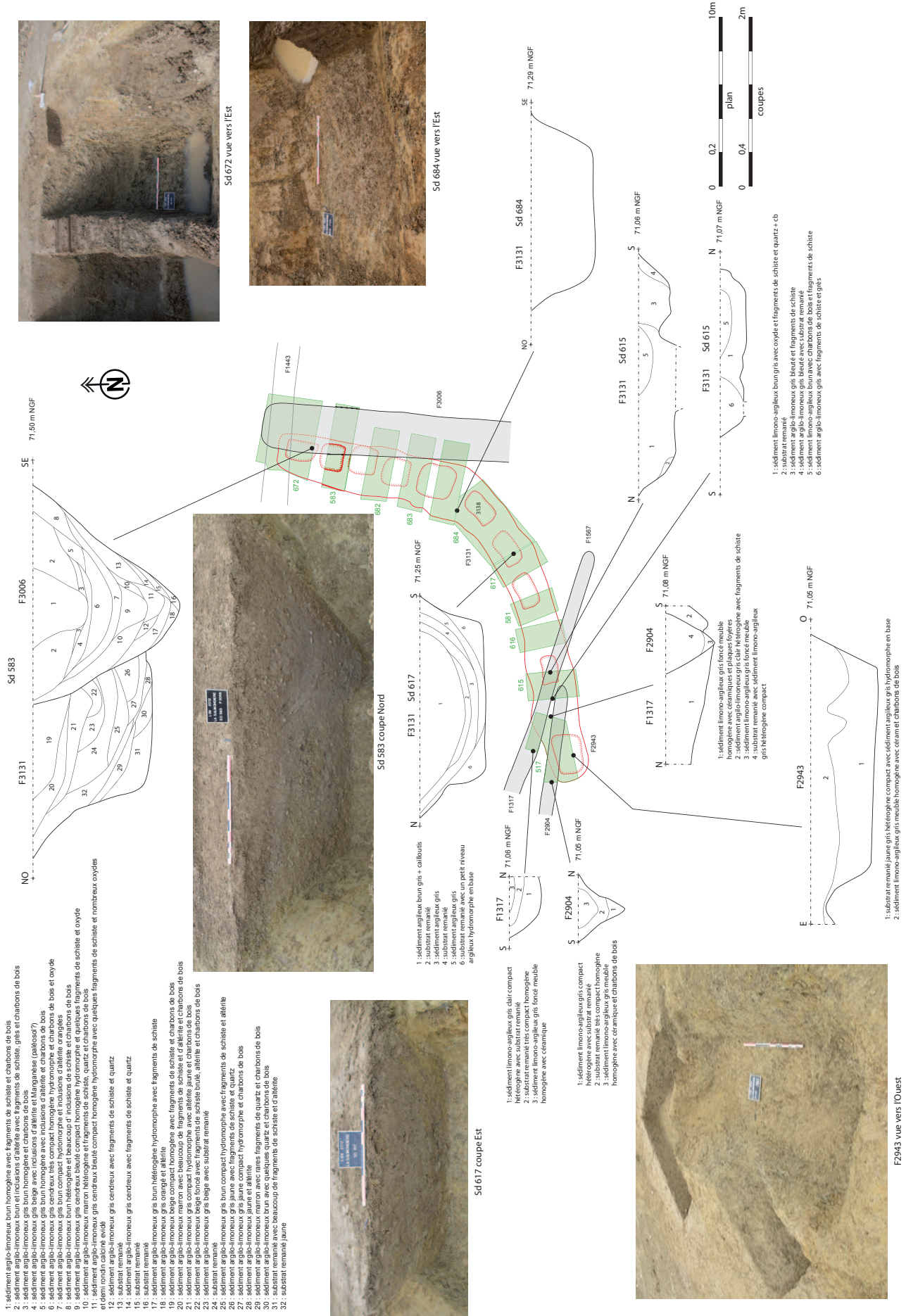


Fig. 115 : plan et coupe de la structure composite 3131 © DAO Hervé Morzadec et Patrick Pliut

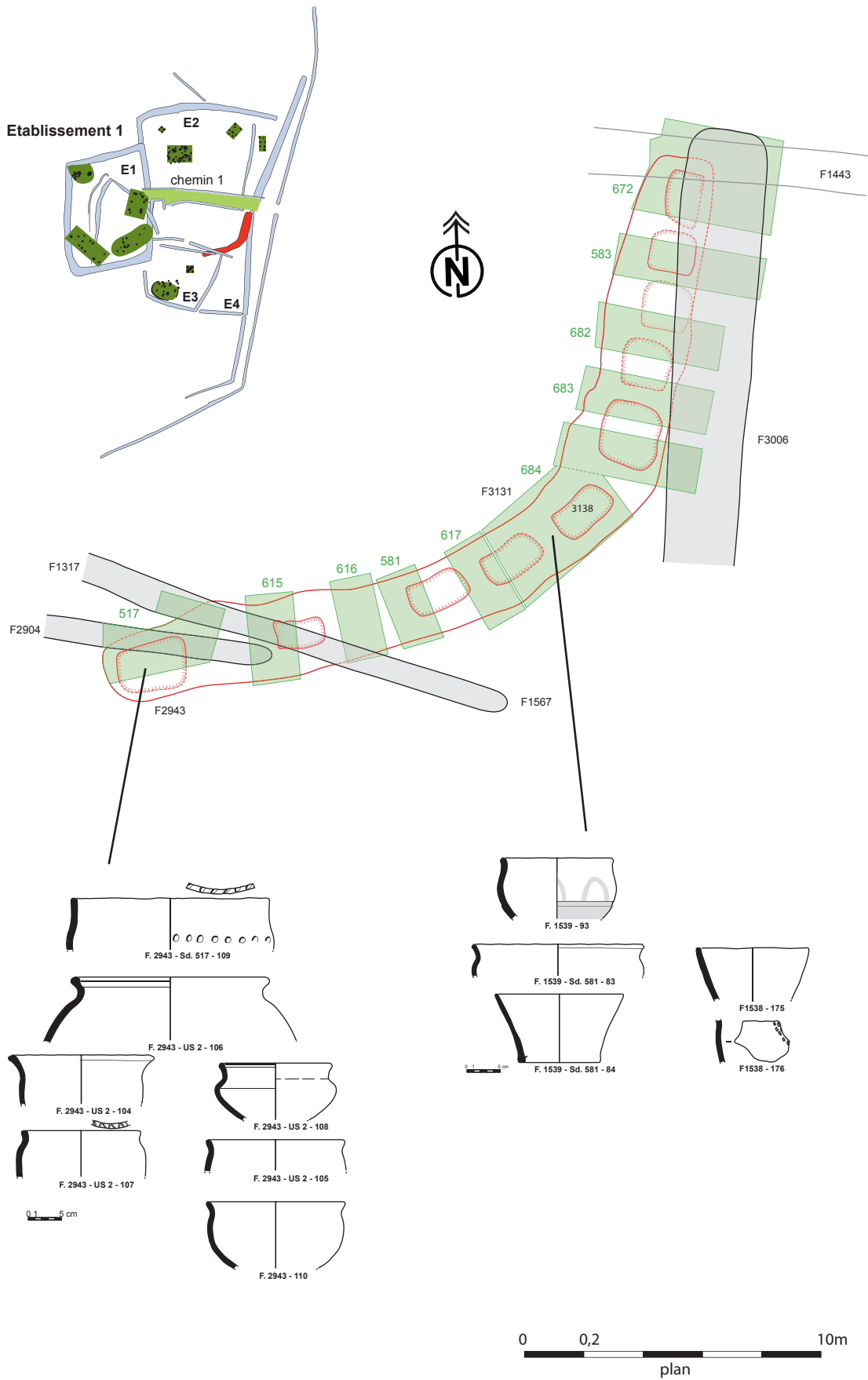


Fig. 116 : localisation du mobilier céramique dans la structure composite 3131

### Fosse 2943

D'orientation nord-est/sud-ouest de forme quadrangulaire, elle fait 3 m de longueur sur 1,80 m de largeur. La profondeur conservée est de 0,75 m. Les bords sont abrupts et le fond est plat. Le comblement inférieur est constitué d'une couche de substrat remanié jaune et gris compact, présentant des traces de stagnation d'eau. Il est recouvert d'un sédiment limono-argileux gris très meuble homogène, comportant des charbons de bois. Comme le montre le sondage 517, cette fosse est recoupée par le fossé 2904.

La fouille a livré 90 tessons de céramique parmi lesquels deux vases dont le bord est décoré d'impressions digitées (n° 109 et 107 Pl. 5). L'ensemble peut être daté de fin de La Tène ancienne, soit fin du IV<sup>e</sup> siècle, début du III<sup>e</sup> siècle av. J. C.

Si l'on ajoute le mobilier provenant des différents sondages de 3131, l'ensemble a livré 262 tessons de céramique pour 21 formes (incluant celles de 2943) datables de la même période (fig. 51).

### Discussion

Vu les conditions de fouille, il est très difficile de donner une bonne interprétation de cette structure qui à notre connaissance, paraît inédite pour la Bretagne. Car si l'on considère qu'il s'agit d'un fossé interrompu, on ne voit pas pourquoi seul ce petit boyau a été retrouvé, d'autres segments devraient compléter le dispositif. Nous avons envisagé un système de récupération et de filtrage d'eau, cette dernière pouvant se décanter dans les différentes alvéoles. Malheureusement, le comblement (surtout visible dans la coupe du sondage 583) ne présente aucun phénomène argilo-sableux relatif à une phase de décantation. Il est possible également qu'il s'agisse d'une sorte de carrière à ciel ouvert pour l'extraction de matériaux, mais pour quel type de matériaux, le substrat étant constitué principalement de schiste et pourquoi les creusements auraient ces formes « d'alvéoles ». Il reste l'éventualité d'un système de stockage de légumineuses dans des caves constituées de ces excavations dont les parois pouvaient être boisées, le tout recevant comme toiture un plancher en bois. Il faut signaler à toute fin utile, un fragment de bois calciné (planche ou simple élément de tronc d'arbre) trouvé au fond du fossé 3006 (recoupant cette structure), dans le sondage 583 (fig. 117). Il constitue peut être un élément d'un éventuel boisage.

Ce type de cave enterrée se retrouve sur des sites d'époque gauloise comme le site du Camp de Saint-Symphorien à Paule (Cotes-d'Armor) (Menez 2008). La fouille a livré des salles souterraines auxquelles on accède par un petit tunnel et séparées entre elles par des chatières. Le but est d'après l'auteur de conserver une bonne hygrométrie. Certaines n'ont que 1 m de hauteur restituée et des dimensions de 2,50 m pour 1 m de large, ce qui rejoint les dimensions de celles de Cesson. Si les « salles » de Cesson communiquaient entre elles, l'accès pouvait également se faire par des chatières (non observées à la fouille). Contrairement à Paule, il faut noter l'absence ou la non observation de trous de poteaux dans le fond des creusements sur le site de la Salmondière.

Il faut également prendre en considération, qu'aucune structure de type silo enterré n'a été retrouvé sur le site de La Salmondière, par contre il existe un certain nombre de petits bâtiments sur quatre poteaux pouvant s'apparenter à des greniers surélevés.

Dans le cadre d'un système de caves semi-enterrées, cela implique encore une fois que la nappe phréatique se trouvait beaucoup plus basse qu'actuellement pour assurer une bonne conservation des denrées.



Fig. 117 : détail du bois calciné au fond du fossé 3006 © Jean-Claude Durand

#### 2.2.4.5. L'enclos E3

De forme trapézoïdale, il s'appuie côté ouest sur l'enclos E1. Il est constitué d'un fossé continue pour 3 côtés, avec pour les façades ouest et sud-sud-ouest, le segment 1477 et pour la façade sud-est, le fossé 1568. L'espace est fermé côté nord-est par les fossés 1567 et 1371. Il s'agit donc de la réunion de plusieurs éléments composites formant un tout sans être vraiment reliés les uns aux autres (fig. 119). Cet enclos E3 enferme un bâtiment ovalaire sur tranchées et trous de poteaux.

Cet enclos présentant des similitudes de morphologie et de comblement, nous le présenterons dans sa globalité.

Il se compose donc d'une façade ouest 1477 de 11 m de longueur sur une largeur moyenne de 1,50 m pour une profondeur conservée de 0,97 m. La façade sud-sud-ouest présente les mêmes valeurs pour une longueur de 22 m. En ce qui concerne la façade sud-est, elle a été suivie sur une longueur de 26 m et sur une largeur moyenne de 1 m pour une profondeur conservée variant de 0,63 à 0,68 m (fig. 120). Les sondages montrent un profil en V à fond arrondi. Par contre, il semble possible d'après les coupes 506, 511 et 716 que ce fossé ait été palissadé. En effet un sédiment limono-argileux gris marron US 4 hétérogène comportant de nombreux fragments de quartz, de grès mélangés à du schiste, forme une couche de forme évasée pouvant correspondre au négatif de l'emplacement du poteau. Pour vérifier cette hypothèse une coupe longitudinale a été réalisée dans le sondage 515. Une dépression, sous la forme d'une cupule entamant le terrain naturel est visible dans l'angle ouest de la coupe, mais n'atteste pas totalement de la présence de cette palissade (fig. 118). Il est malgré tout étonnant de retrouver cette couche (avec les fragments de quartz) semblant inciser les autres strates dans plusieurs sondages sur les différentes façades de l'enclos.



**Fig. 118** : détail de la coupe nord longitudinale du sondage 515 avec possible trou de poteau dans l'angle ouest © Jean-Claude Durand

Au fond du fossé un horizon hydromorphe gris bleuté est présent dans le sondage 506, 716 et en extrémité nord-est (sondage 717). Viennent ensuite des phases d'effondrement des parois, dans lesquelles, notamment pour les sondages 511 et 716 semble être installée la palissade. Lorsque cette dernière est abandonnée, le fossé est recouvert de phases de colluvion composées de successions de sédiments limono-argileux marron à beige comportant plus ou moins de fragments de schiste et plus ou moins mélangé avec de l'altérite.





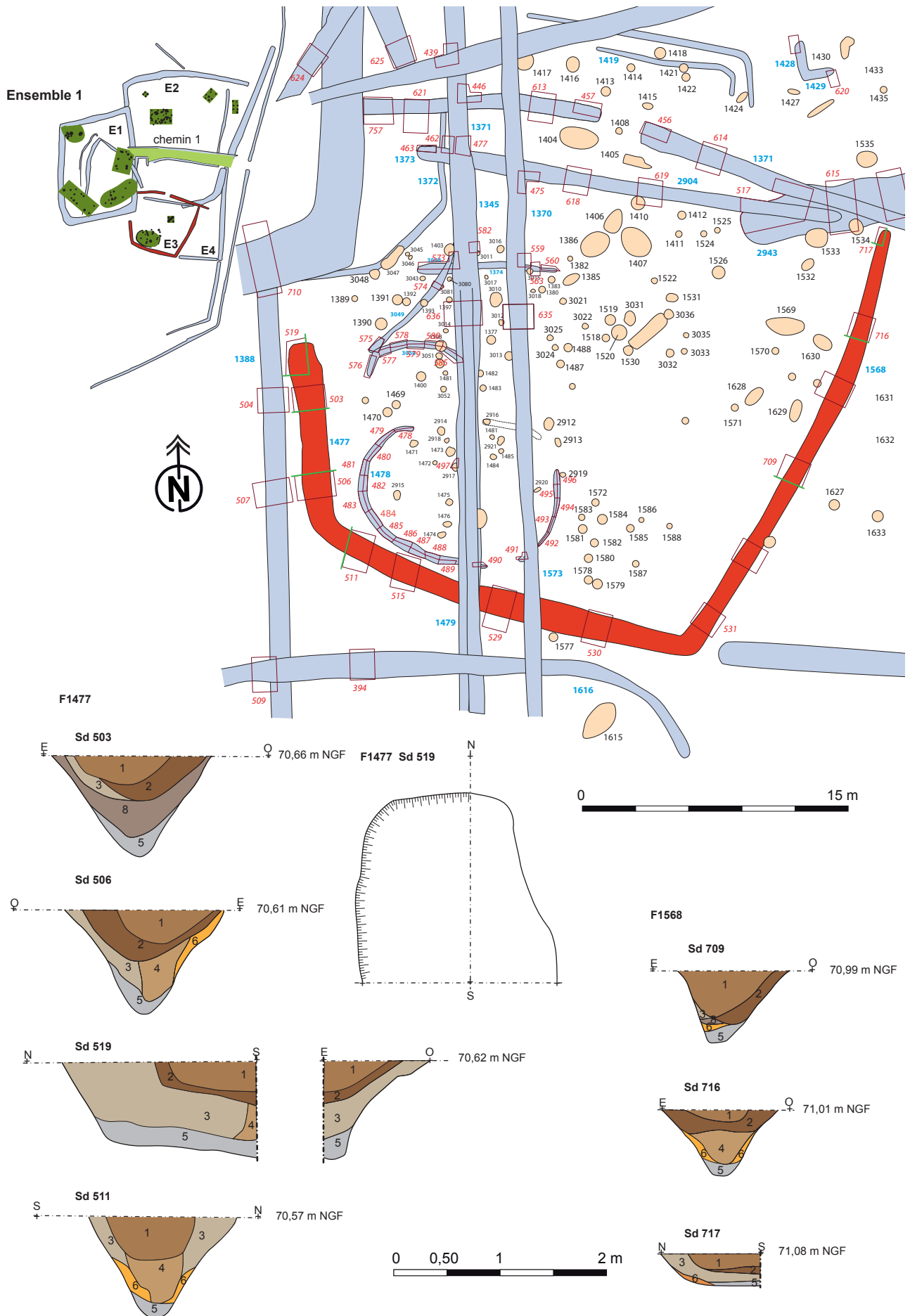


Fig. 120 : plan et coupes des fossés 1477 et 1568 de l'enclos E3



Fig. 121 : coupes des sondages 503, 506 et 519 du fossé 1477 © équipe de fouille

La fouille a livré 134 tessons de céramiques pour 7 formes. Ils vont du II<sup>e</sup> au I<sup>er</sup> siècle av. J.-C., soit la fin de La Tène moyenne et La Tène finale. Le comblement de ce fossé semble contemporain du mobilier retrouvé dans les tranchées de fondation du bâtiment présent à l'intérieur de l'enclos.

Cet enclos semble se refermer au nord-est avec les deux fossés 1371 et 1567. Ces deux éléments s'interrompent sur 2,50 m de large, ce qui correspond vraisemblablement à l'entrée principale de cet enclos E3.

**Fossé 1371**, branche ouest de la façade nord-est a été suivi sur une longueur de 13 m et une largeur de 0,84 m pour une profondeur conservée de 0,78 m (**fig. 122**). La coupe du sondage 613 montre un profil évasé en partie haute, mais très resserré en partie basse (parois très abruptes) avec un fond plat. La forme du creusement est peut être révélatrice de la présence d'une palissade ? Le fond du fossé comporte un horizon hydromorphe gris bleuté recouvert d'un sédiment limono-argileux beige gris orangé compact hétérogène avec altérite, grès, schiste et charbons de bois. Comme le montre le sondage 446, il est recoupé par le fossé gallo-romain 1345.

#### **Fossé 1567**

Branche est de la façade nord-est, il a été suivi sur une longueur de 19 m et une largeur de 0,92 m pour une profondeur conservée de 0,76 m (**fig. 122**). La coupe du sondage 614 présente exactement le même profil très resserré à la base avec un fond plat que pour le sondage 613 de 1371. Le comblement comporte également un horizon hydromorphe recouvert d'un sédiment limono-argileux gris sombre hétérogène, comportant notamment des fragments de quartz. Le tout est comblé par le sédiment limono-argileux gris orangé compact hétérogène avec altérite, grès, schiste et charbons de bois que l'on trouve aussi en comblement terminal du fossé 1371. Il semble donc évident que ces deux segments de fossés fonctionnent ensemble, de même qu'ils semblent fonctionner également avec 1477 et 1568 formant la partie sud de l'enclos E3.

Le mobilier céramique ne confirme pas cette contemporanéité. En effet nous avons vu précédemment que le mobilier de 1477 était daté des II<sup>e</sup> et I<sup>er</sup> siècle av. J.-C. La fouille des fossés 1371 et 1567 a livré 94 tessons de céramique pour 8 formes. Le mobilier étant peu caractéristique, est daté de la période protohistorique ou de La Tène. Seuls les vases 87 et 88 sont datés du III<sup>e</sup> siècle av. J.-C., ce qui nous donne une date antérieure au comblement de 1477. Cependant ces vases ont été trouvés dans le sondage 621 situé exactement dans le prolongement du fossé 1310 (daté du III<sup>e</sup> siècle av. J.-C.). Il est donc possible que ce fossé 1310 se prolongeait vers le sud et qu'il ait été recoupé par 1371.

Les deux extrémités de l'entrée ont des profondeurs différentes selon les sondages. En effet dans le sondage 456, la profondeur est de 0,48 m alors que dans le sondage 457, elle atteint plus de 1 m. Dans les deux cas, le fond est plat avec un bord évasé pour 456 et très abrupt pour 457.

Lorsque l'on considère le plan, de part et d'autre de l'entrée, deux trous de poteaux (situés à l'extérieur) et deux fosses (situées à l'intérieur) peuvent participer à un système de portail. Mais après fouille, la fosse 1405 et le trou de poteau 1415 ne semblent pas le confirmer. En effet, la fosse 1405 est très peu fondée.

#### **Fosse 1405**

De forme ovale, elle fait 1,66 m de longueur sur 0,55 m de largeur pour une profondeur conservée de 0,20 m (**fig. 123**). Les parois sont évasées et le fond est relativement plat. Elle est comblée d'un sédiment limono-argileux gris clair avec charbons de bois.

La fouille a livré 3 tessons de céramique dont 1 avec un décor de la fin du IV<sup>e</sup>/début du III<sup>e</sup> siècle av. J.-C.

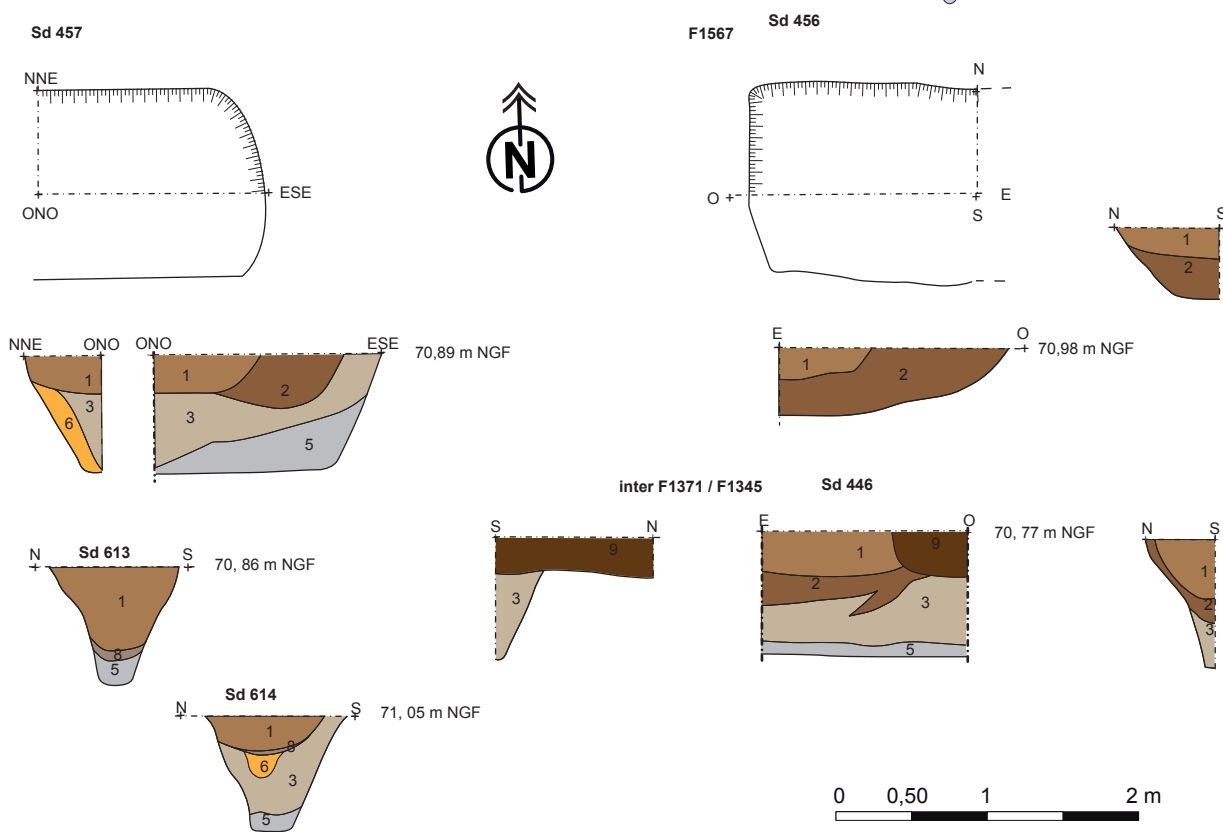
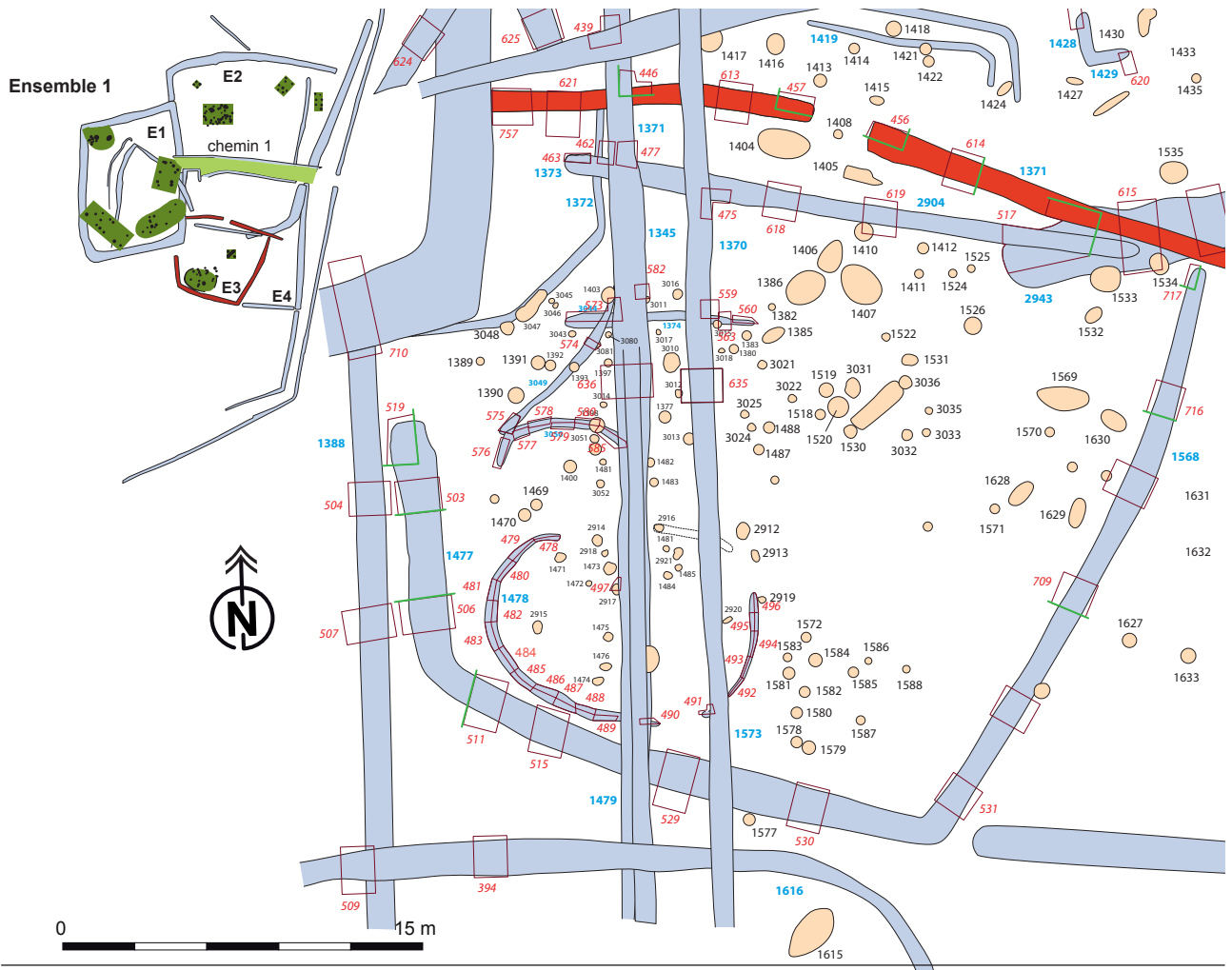


Fig. 122 : plan et coupes des fossés 1371 et 1567 de l'enclos E3

### Fosse ou double trou de poteau 1415

De forme ovale, elle fait 0,60 m de longueur sur 0,32 m de largeur pour une profondeur conservée de 0,21 m (fig. 123). La structure se présente sous la forme d'un double creusement à parois relativement abruptes et fond plat. Le comblement est constitué d'un sédiment limono-argileux brun meuble homogène avec rares charbons de bois. Il peut donc s'agir d'un double trou de poteau mais également d'un écofact, les creusements pouvant correspondre à des passages de racines ou des perturbations dues à des animaux fouisseurs.

### Bâtiment 5

Il est présent dans l'angle sud-ouest de l'enclos E<sub>3</sub> (fig. 123 et 124). Il est constitué d'une tranchée de fondation ovale de 11 m de longueur selon un axe nord-ouest/sud-est et 8 m de largeur selon un axe nord-est/sud-ouest. Les tranchées ont une largeur variant de 0,20 à 0,50 m pour une profondeur conservée allant de 0,04 à 0,25 m. Les parois sont évasées et le fond est plat. Aucun trou de poteau n'est présent dans la tranchée. Le comblement est un sédiment limono-argileux gris compacte hétérogène avec quelques cailloux des nodules de terre cuite et du charbon de bois.

Cette structure est recoupée par les deux fossés gallo-romains 1479 et 2073 ce qui nous prive vraisemblablement d'une partie de l'information (fig. 125).

En effet la surface interne a été minutieusement décapée à la rasette, sans permettre la découverte d'autres trous de poteaux. L'ensemble s'inscrit dans une forme ovale ouverte au nord. Il est possible que dans cette partie septentrionale, les sablières soient remplacées par les trous de poteaux 2914, 1481 et 2921 pouvant recevoir une palissade ou un aménagement spécifique pour l'entrée. Il y a au moins 16 trous de poteaux qui peuvent se rapporter à cette construction. Ils ont des diamètres variant de 0,26 à 0,56 m pour des profondeurs conservées allant de 0,03 à 0,20 m (fig. 126 à 128). Le croisement des données entre les diamètres et les profondeurs ne permet pas de faire avancer l'interprétation, c'est donc à partir du plan que va s'organiser la réflexion. En effet, quelques trous de poteaux dessinent des alignements pouvant présenter une structure rectangulaire de 8,30 m de longueur (selon un axe nord-ouest/sud-est) et sur une largeur d'environ 3 m. Les trous de poteaux 1476 et 1474 pourraient laisser envisager une autre ligne parallèle à celle précédemment décrite, passant par 1474, mais tout cela reste vraiment hypothétique. Nous pourrions alors avoir une construction sur supports ancrés avec une paroi rejetée, comme pour les bâtiments bronze du site, la différence ici serait la conservation de la tranchée de fondation. Certains supports de l'aire interne et d'autres à l'extérieur de la construction peuvent se rapporter à un autre bâtiment antérieur ou postérieur. Il serait constitué d'au moins 8 à 9 supports (en vert sur le plan) dessinant un plan rectangulaire d'axe nord-est/sud-ouest d'environ 2,50 m de longueur sur 2 m de largeur. Cela correspondrait dans ce cas à une petite structure de type grenier (fig. 129).

La fouille a livré 14 tessons de céramique pour 3 formes. Le mobilier est localisé dans 6 sondages se trouvant dans toute la partie ouest du bâtiment au contact de l'angle sud-ouest de l'enclos E<sub>3</sub>. Le seul mobilier datant provient du sondage 486, il est du II<sup>e</sup> siècle av. J.-C (fig. 130).

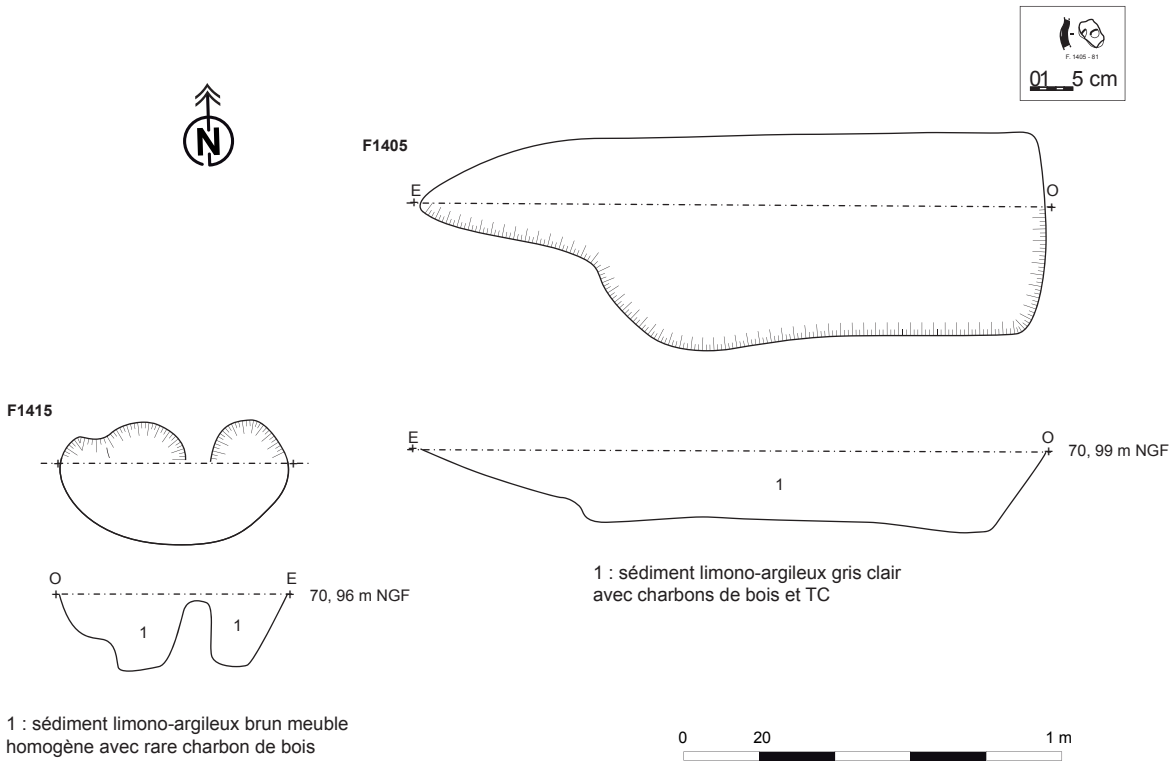
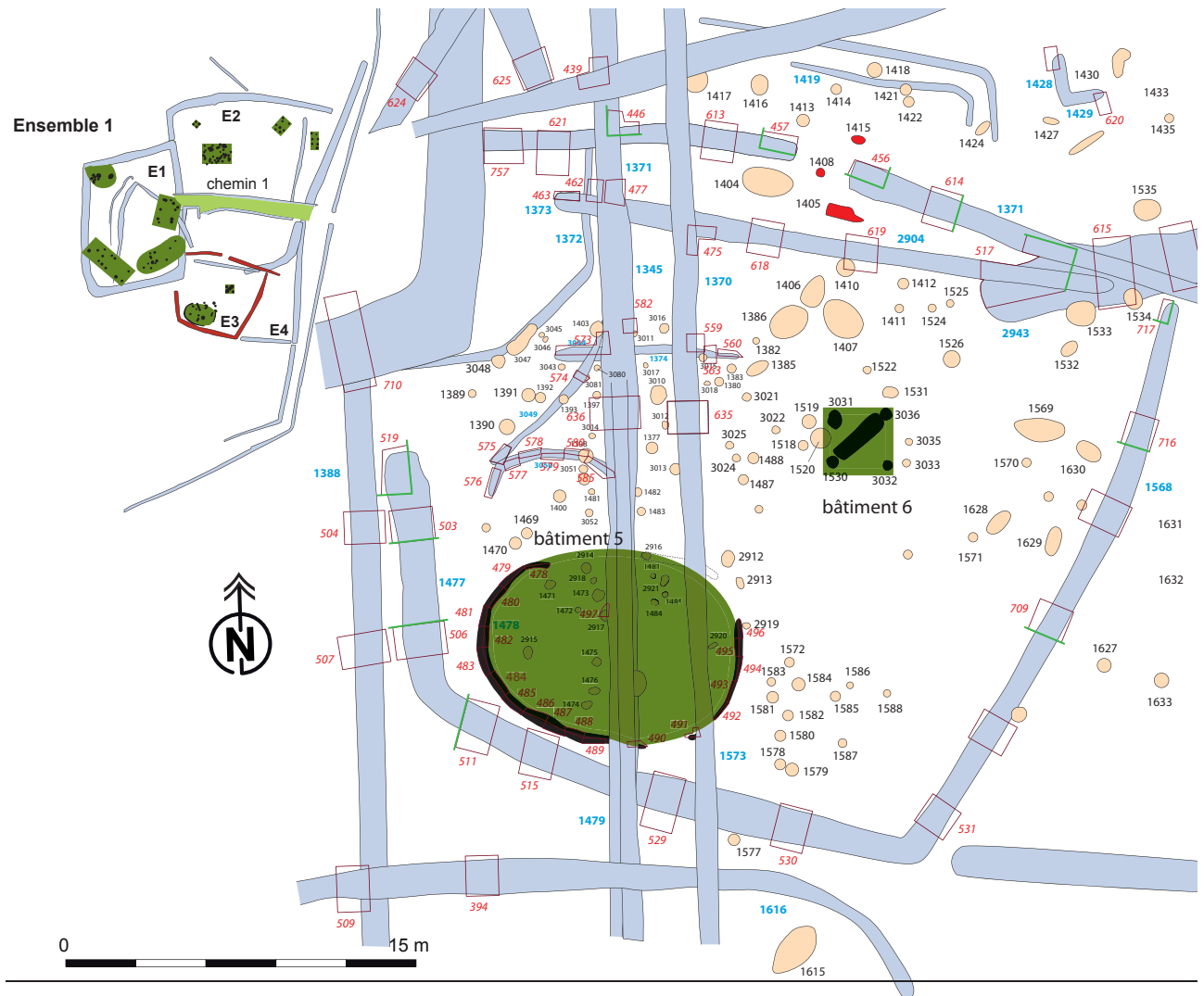


Fig. 123 : plan et coupes des fosses 1405 et 1415

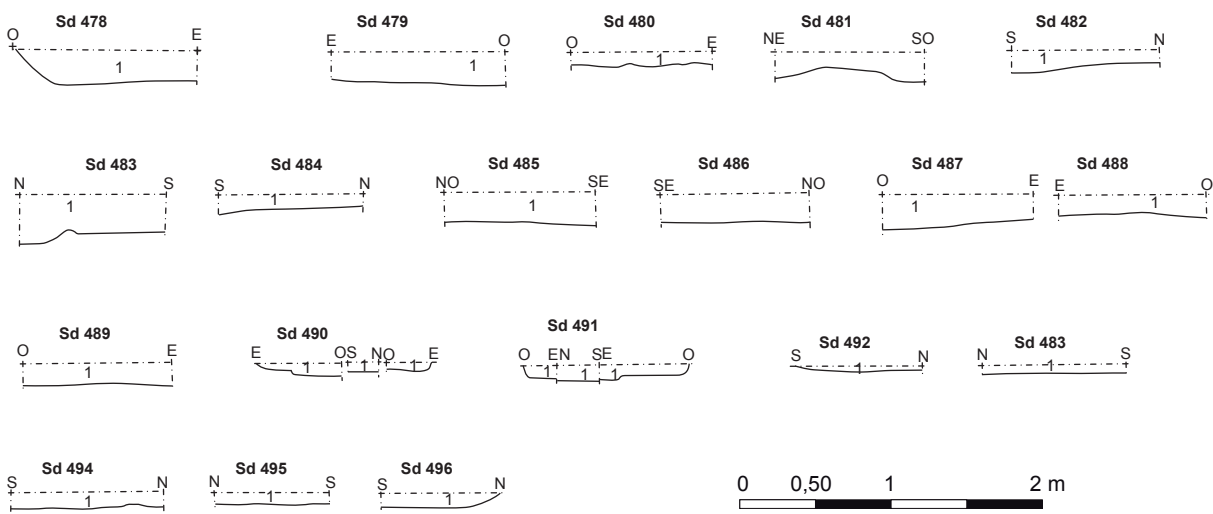
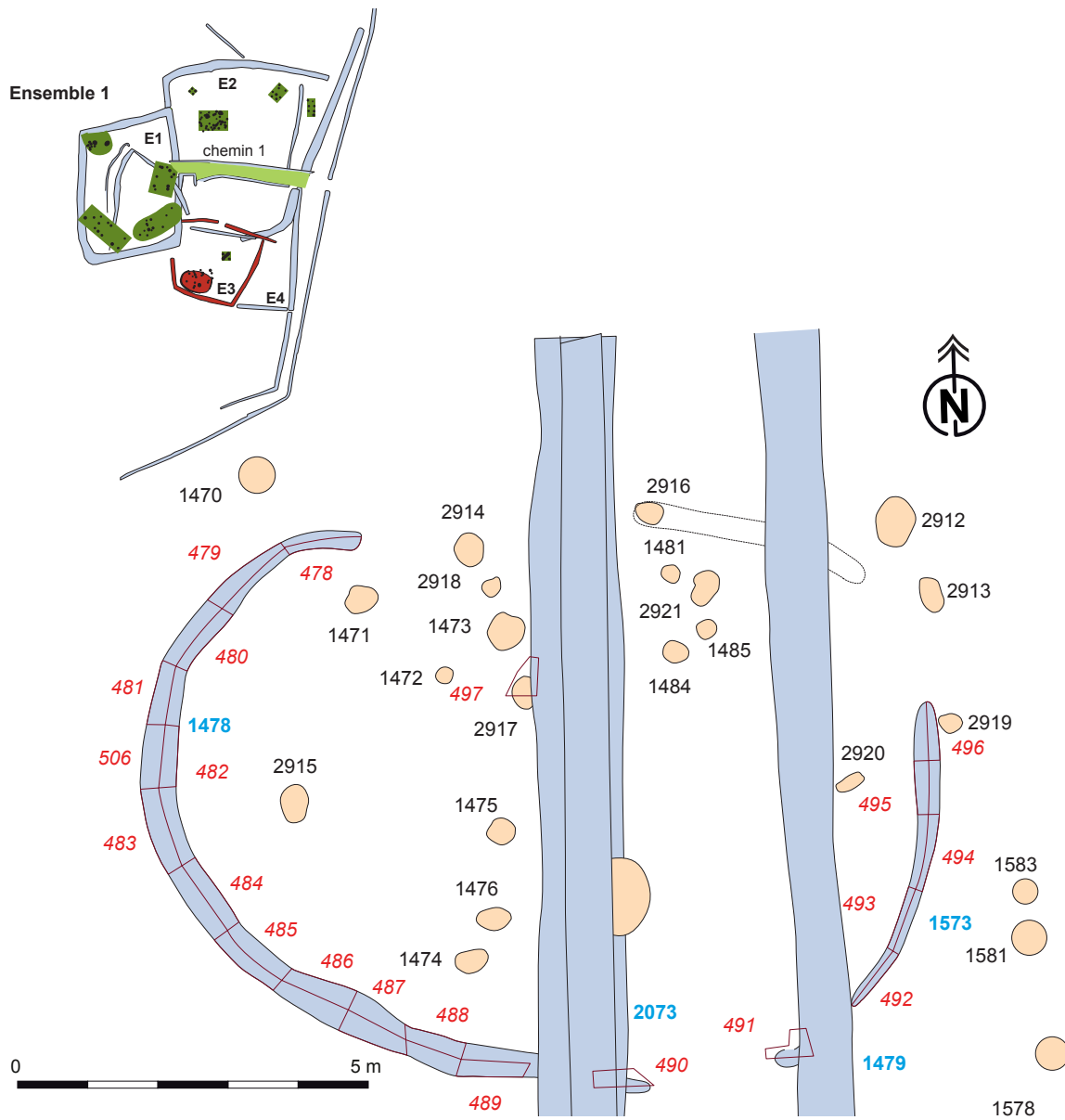


Fig. 124 : vue aérienne du bâtiment 5 © Gilles Leroux



Fig. 125 : vues des sondages de la tranchée de fondation du bâtiment 5 avec ci-dessus tracé des fossés gallo-romains recoupant ce dernier © Joseph Le Gall





1 : substrat remanié compact hétérogène avec charbons de bois et TC

Fig. 126 : plan et coupes des sondages du bâtiment 5 de l'enclos E3

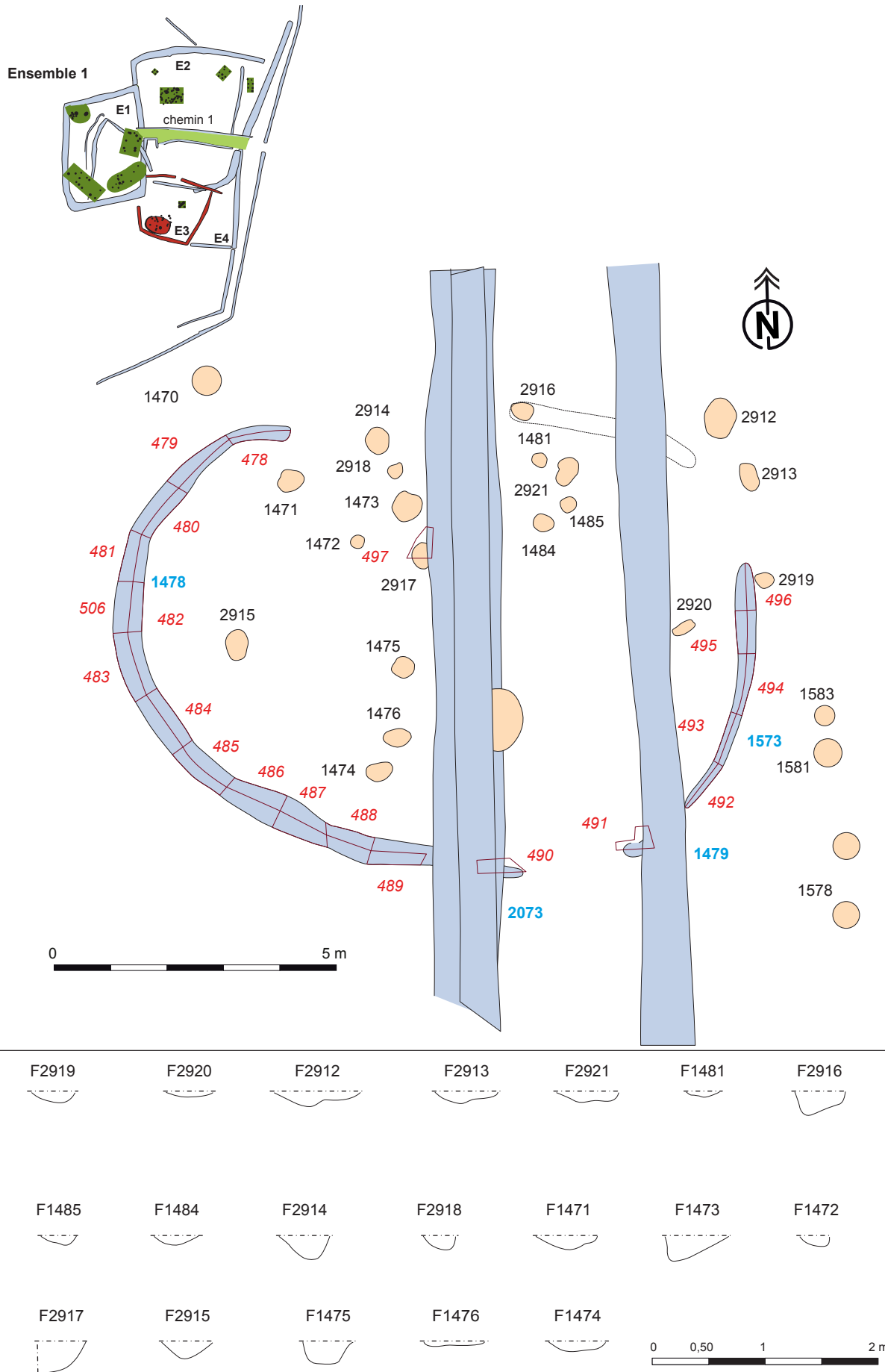


Fig. 127 : plan et coupes des trous de poteaux du bâtiment 5 de l'enclos E3

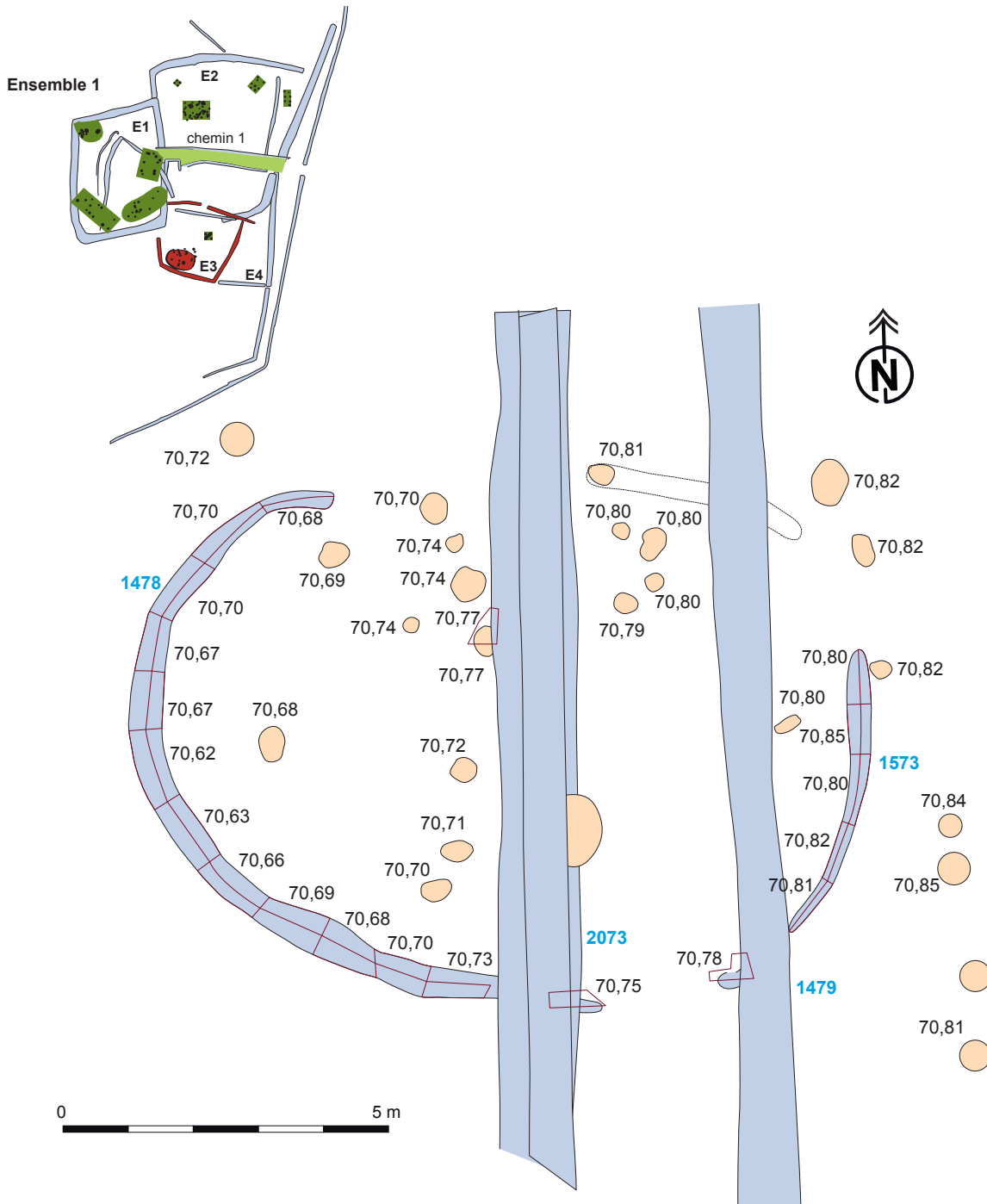


Fig. 128 : plan avec côtes NGF du bâtiment 5 de l'enclos E3

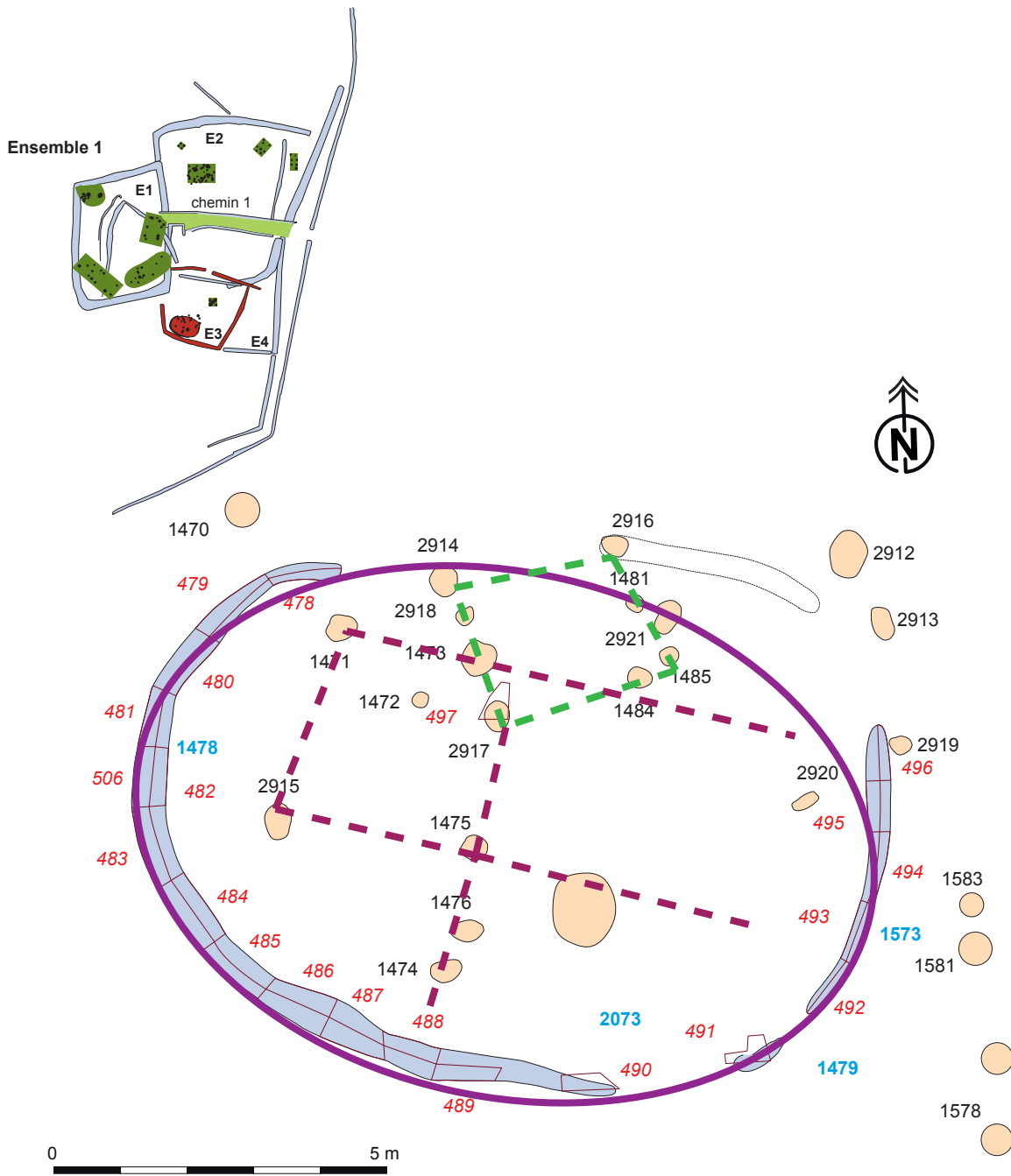


Fig. 129 : interprétation du plan du bâtiment 5 de l'enclos E3

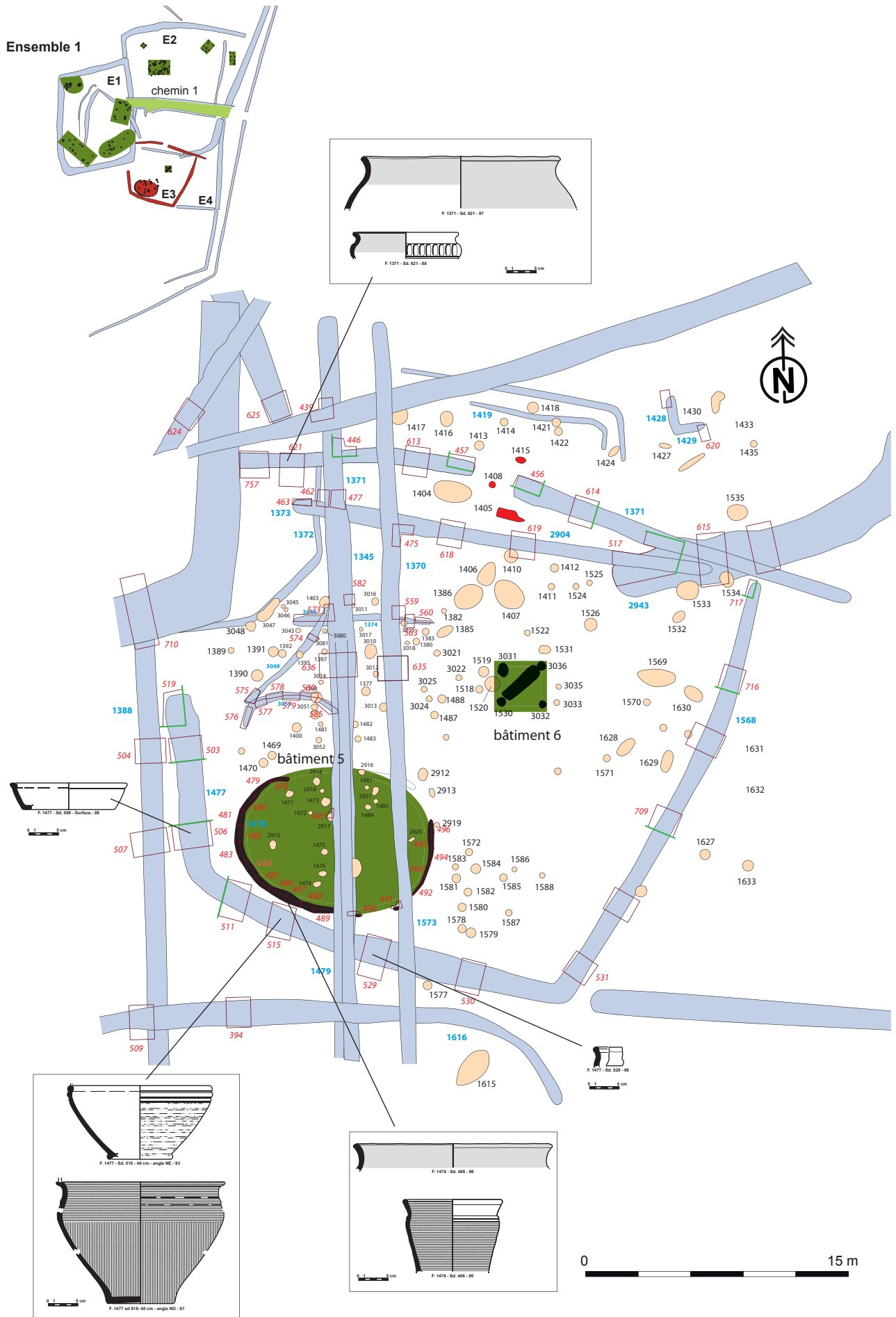


Fig. 130 : répartition du mobilier céramique dans l'enclos E3

### Bâtiment 6

C'est une petite structure située à l'intérieur de ce même enclos E3. Elle est composée d'au moins 4 supports d'environ 0,50 m de diamètre et conservés sur une profondeur variant de 0,20 à 0,45 m. L'ensemble forme un édifice à peu près rectangulaire de 2,20 à 2,40 m de longueur sur 1,80 à 2 m de largeur (fig. 131). En oblique entre les poteaux 3036 et 3156 se trouve une fosse étroite allongée de 2,55 m de longueur sur environ 0,75 m de largeur pour une profondeur conservée de 0,15 m. Les bords sont évasés et le fond est plat. Le poteau 3036 semble avoir recoupé cette fosse. Ce genre de construction s'apparente à un grenier sur poteau. Les deux petits trous de poteaux situés à l'est peuvent éventuellement correspondre à l'emplacement de l'échelle permettant l'accès à la partie haute de la structure de stockage.

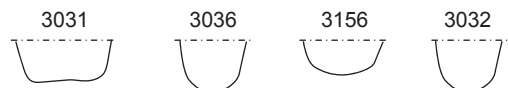
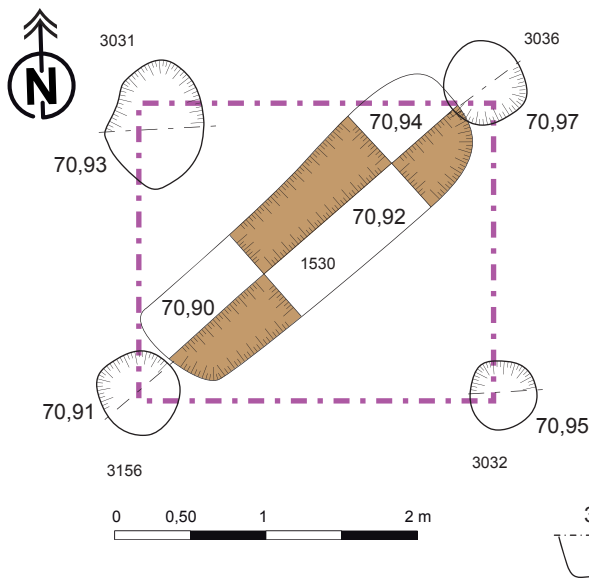
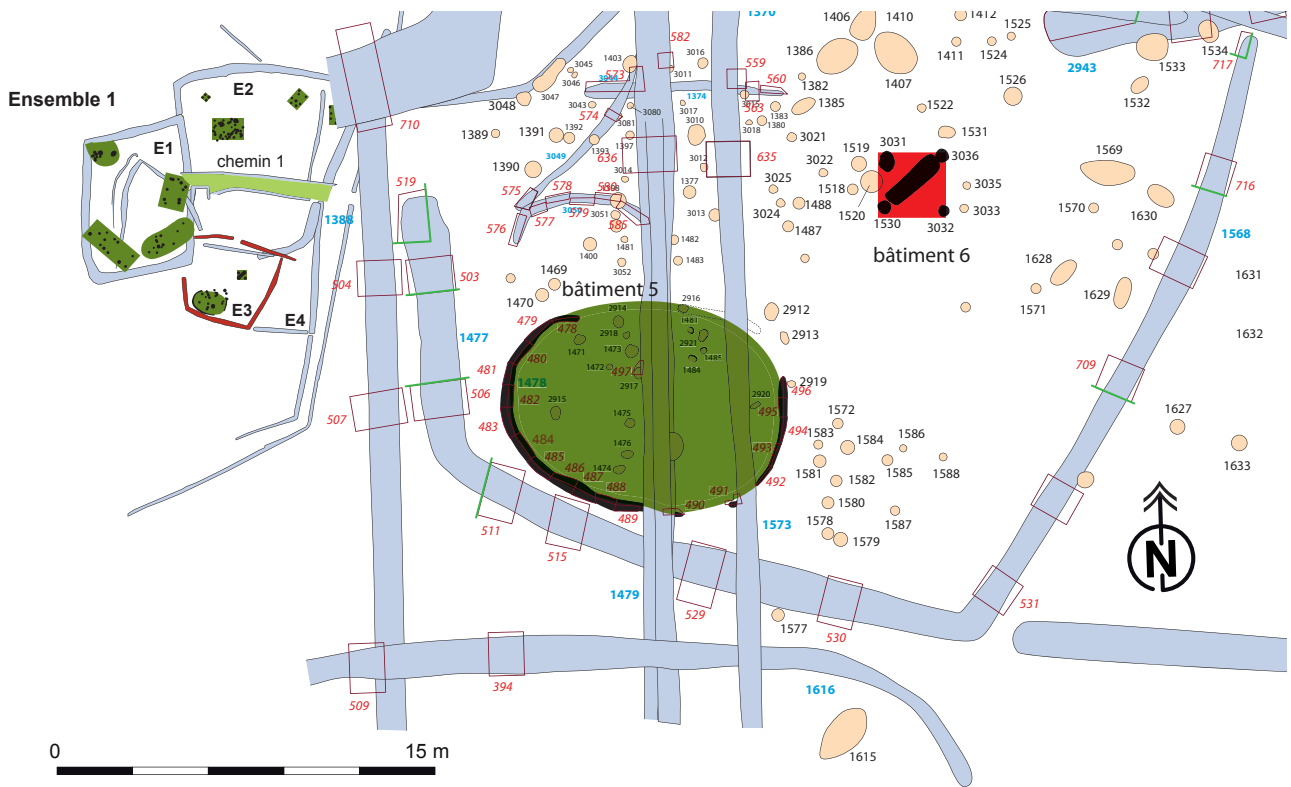


Fig. 131 : plan et coupe des TP du bâtiment 6 dans l'enclos E3

La fouille a livré 2 tessons de céramique dans le trou de poteau 3031 et 2 dans 3036. Ils sont datés de la période protohistorique. D'autres trous de poteaux et sablières présents dans cet enclos doivent correspondre à d'autres bâtiments, mais le temps imparti n'a pas permis de les traiter.

#### *Les autres structures*

##### **Fossé 3044-1374**

Il a été suivi selon un axe est/ouest, sur une longueur de 8 m, pour une largeur variant de 0,20 m en extrémité est (sondage 560) à 0,55 m (en extrémité ouest). La profondeur conservée varie de 0,08 à 0,13 m (fig. 132). Le sondage 573 montre une paroi évasée et un fond ondulé. Le comblement est constitué d'un sédiment limono-argileux gris avec fragments de schiste orangé et quartz. Ce petit fossé est recoupé à la fois par la sablière non datée 3049 et par le fossé gallo-romain 1345. La fouille a livré 2 tessons de céramique d'époque protohistorique.

##### **Fossé 2904**

D'axe ouest-nord-est/est-sud-est a été suivi sur une longueur de 24 m pour une largeur d'environ 0,80 m et sur une profondeur conservée variant de 0,54 à 0,62 m (fig 133). Le profil est en V très appointé pour le sondage 517. Le comblement est hydromorphe à la base du fossé dans le sondage 618 avec ensuite des phases d'effondrement de parois. Il est ensuite recouvert d'un sédiment limono-argileux gris sombre avec de nombreux fragments de schiste, de quartz et de charbons de bois. Cette couche présente des similitudes avec celle présente dans les fossés de l'enclos E3 dans laquelle pouvait se trouver la palissade. Comme le montre le sondage 463, ce fossé recoupe la tranchée de fondation 1372 et il est recoupé par le fossé gallo-romain 1373 dans le sondage 462. Il est également recoupé par le fossé gallo-romain 1370 dans le sondage 475. Il recoupe enfin dans le sondage 517, la fosse 2943 datée par la céramique de la fin du IV<sup>e</sup> et du début du III<sup>e</sup> siècle av. J.-C.

La fouille a livré 32 tessons de céramique datés de la période protohistorique ou pour certains du second âge du Fer, sans plus de précision possible.

Ce fossé est vraisemblablement postérieur à l'installation de l'enclos car il semble barrer l'entrée. Dans le cadre d'une fonction de package d'animaux, il peut permettre de canaliser le bétail, ce dernier devant suivre un cheminement imposé l'amenant vers le nord-ouest de l'enclos.

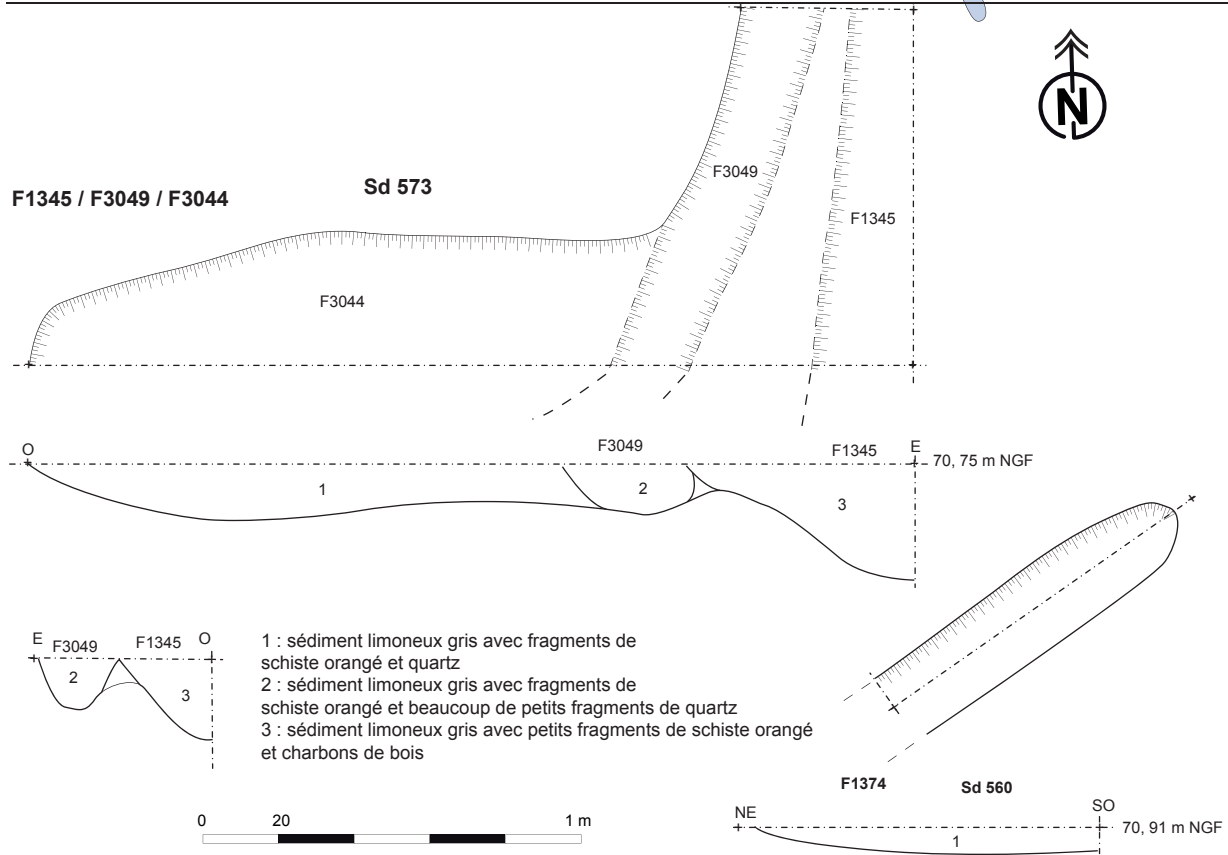
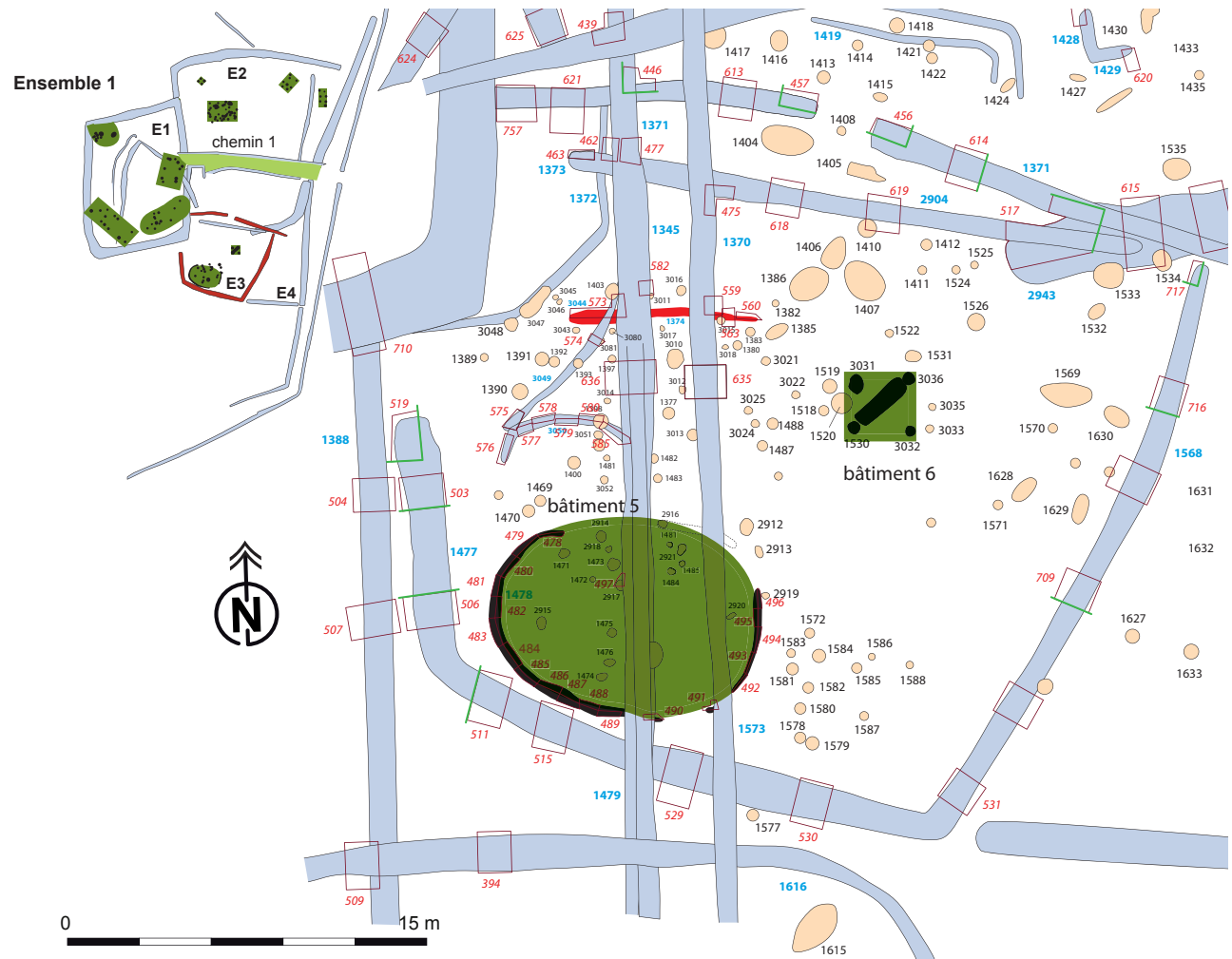


Fig. 132 : plan et coupe des sondages 573 et 560 du fossé 3044-1374 dans l'enclos E3



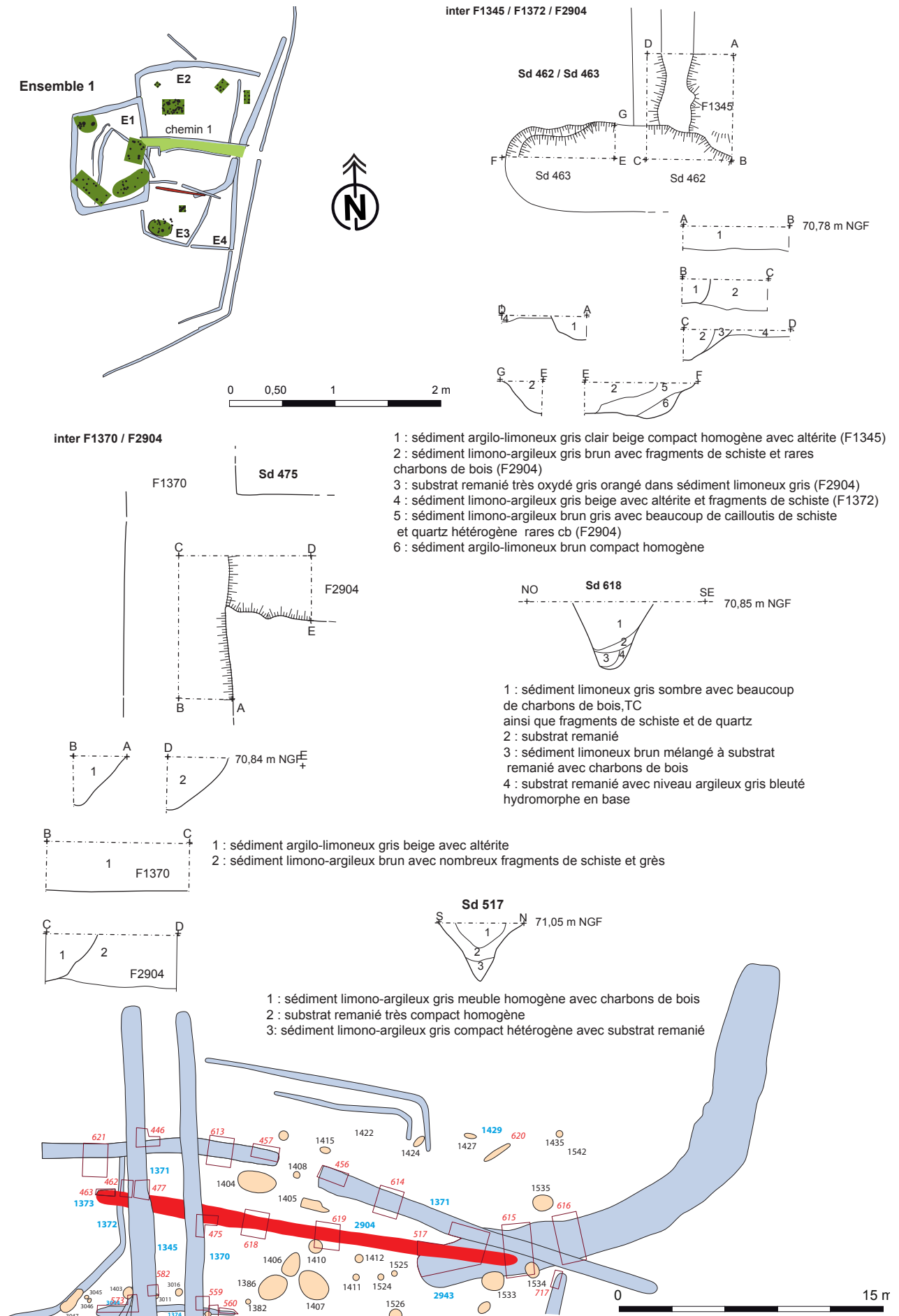


Fig. 133 : plan et coupe du fossé 2904 et des sondages 475 et 462 dans l'enclos E3

## Systèmes de franchissement

Comme vu précédemment par les fossés orientaux des enclos E2 et E4, les fossés 525 et 3006 opposés deux à deux, forment une entrée avant d'accéder à l'enclos E1. Ce fossé 3006 est prolongé vers le sud par le fossé 2190-1645 (fig. 134).

### Fossé 2190-1645

C'est un fossé d'axe est-nord-est/ouest-sud-ouest (2190) formant un coude vers le nord-est (1645).

#### Segment 2190

Il a été suivi sur une longueur de 22 m et sur une largeur allant de 0,54 à 1,25 m pour une profondeur conservée variant de 0,28 à 0,56 m (fig 135 et 136). Le profil est en V avec un fond arrondi. Sur les 8 sondages ouverts, deux ont été relevés, l'un à l'extrémité ouest-sud-ouest (sondage 61), l'autre à l'extrémité est-nord-est (sondage 562). L'extrémité ouest-sud-ouest du fossé (sondage 61) est en pente relativement douce avec un fond plat. Cette partie est comblée d'un sédiment limono-argileux gris compact homogène avec de nombreuses traces d'oxydation orangées. Cette couche est ensuite recouverte d'un sédiment gris à brun, meuble homogène, moins oxydé, comportant des fragments de charbon de bois.

Cette dernière couche se retrouve dans le sondage 562.

#### Segment 1645

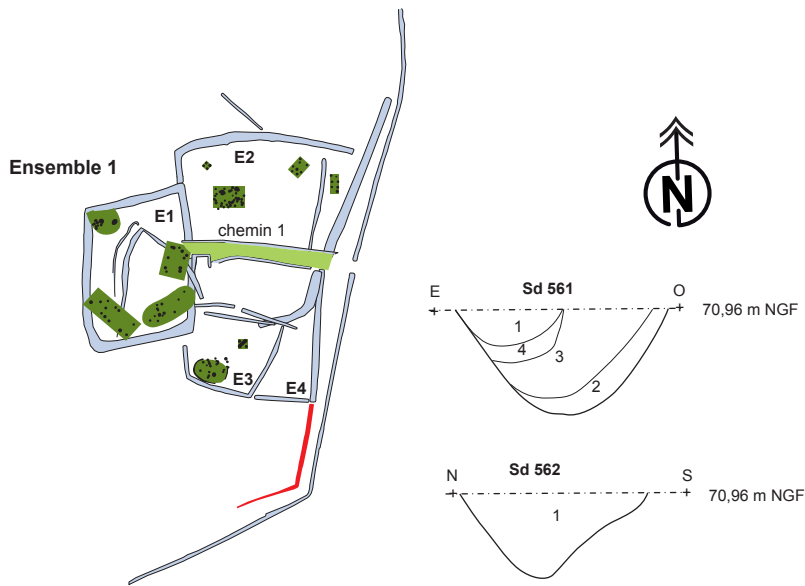
Constituant le prolongement de 2190, il a été suivi sur une longueur de 26 m et une largeur allant de 1,40 à 1,68 m pour une profondeur conservée comprise entre 0,70 et 0,98 m (fig 135, 136 et 137). Le NGF de fond oscille entre 70,14 et 70,26 m, ce qui ne constitue pas une variation suffisante pour une pente pour un écoulement d'eau. Tous les sondages ouverts ont été relevés. Ils montrent un profil en V avec un fond arrondi. Le fond du fossé est tapissé d'un sédiment limono-argileux gris beige mélangé au substrat, correspondant à l'effondrement des parois. Le comblement principal est constitué d'un sédiment limono-argileux gris brun comportant des fragments de schiste, quartz, grès ainsi que des traces de manganèse et du charbon de bois. Dans le sondage 61, le fond et le bord ouest du fossé sont tapissés d'un sédiment mélangé au substrat, correspondant à une phase d'effondrement des parois. Vient ensuite le même type de comblement que dans les autres sondages. La partie haute (côté est) est ensuite recoupée par une fosse ou trou de poteau (pas noté en plan, uniquement dans cette coupe) composé de deux couches : un sédiment limono-argileux gris brun comportant plus ou moins d'altérite. Comme nous l'avons vu précédemment le fossé 3006 s'interrompt dans le sondage 555. Cependant la coupe est de ce même sondage montre que le fossé 1645 vient buter sur l'extrémité de 3006. Il est donc possible que dans une première phase 3006 et 1645 avec 2190 ne formaient qu'un seul et même fossé et que par « effet de façade » (volonté de monumentalité), une portion de ce fossé (3006) ait été reprise et recreusée jusqu'au sondage 555. Il faut en effet noter que le fossé 3006 est plus profond d'au moins 0,40 m que 1645.

Dans ce même sondage, les deux fossés 3006 et 1645 sont recoupés côté est par le petit fossé 1643 qui forme un angle droit entre ces deux fossés.

L'autre ouverture située plus à l'est et pouvant constituer l'entrée du domaine, est constituée des fossés 3142-1560-2844 au sud et 110-522-1660 au nord.



Fig. 134 : vue en plan des deux systèmes de franchissement



- 1 : sédiment argilo-limoneux gris brun avec fragments de schiste, quartz, grès charbons de bois et manganèse
- 2 : sédiment argilo-limoneux gris beige avec beaucoup d'inclusions d'altérite
- 3 : sédiment argilo-limoneux gris beige avec quelques inclusions d'altérite, schiste, quartz et manganèse
- 4 : sédiment argilo-limoneux gris brun avec quelques inclusions d'altérite

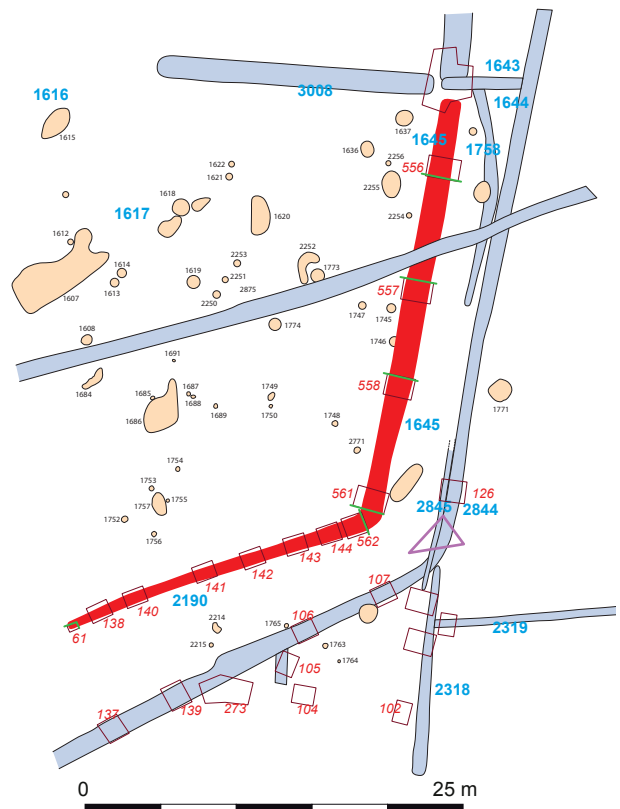
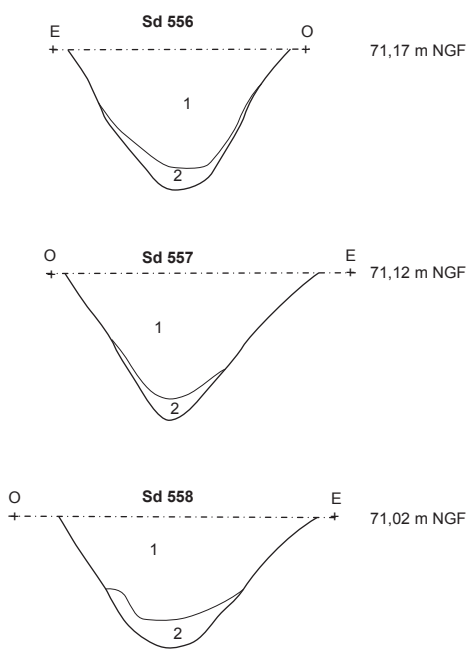


Fig. 135 : vue en plan et coupes des fossés 1645 et 2190



Fig. 136 : vues des sondages 558 du fossé 1645 et 562 du fossé 2190 © équipe de fouille



Fig. 137 : vues des sondages 556 et 557 du fossé 1645 © équipe de fouille

#### Fossé 3142-1560-2844

Il constitue la partie orientale de la première entrée pour un visiteur venant de l'est. D'axe nord-est/sud-ouest, il a été suivi sur une longueur de 76 m pour une largeur variant de 1 à 1,30 m et une profondeur conservée allant de 0,60 à 0,84 m (fig. 138). Sur les 7 sondages ouverts 5 ont été relevés. Ils montrent un profil en V à fond arrondi. Ce fossé semble être resté ouvert quelques temps car le fond présente, dans tous les sondages, un petit horizon argileux gris hydromorphe. Il est recouvert d'un sédiment limono-argileux gris brun comportant de nombreuses plaquettes de schiste et de quartz et du substrat remanié. Dans le sondage 691, ce fossé est recoupé perpendiculairement par le petit fossé 3144 qui est lui-même recoupé par le fossé 2845 qui reprend tout le tracé du fossé 3142. Cette reprise datée par la céramique de l'époque gallo-romaine, correspond soit à un curage de la partie supérieure du fossé 3142 ou bien à l'établissement d'une limite parcellaire reprenant exactement le tracé du fossé gaulois. On retrouve ce fossé dans le sondage 689 et il semble recouper le fossé bordier du chemin antique 612. On perd sa trace, mais il est possible qu'il prolonge ce chemin bordier vers l'ouest car on assiste à un épaississement du fossé dans cette direction avec comme le montre le sondage 599 du fossé 612, une reprise de ce dernier.

Ce fossé aurait donc pu servir d'exutoire pour évacuer, vers le sud-ouest, les eaux de pluie du chemin. Mais si l'on prend en compte la cote NGF du fond du fossé 2845, le dénivelé n'atteint pas les 1% nécessaires à l'écoulement. Ce fossé forme une courbe vers le sud-ouest avec le fossé 2004.

#### Fossé 2004

D'axe nord-est/sud-ouest il a été suivi sur 67,50 m de longueur et sur une largeur variant de 0,82 à 1,30 m pour une profondeur conservée allant de 0,43 à 1,14 m (fig. 138). Sur les 7 sondages ouverts, 6 ont été relevés. Ils montrent un profil en V avec un fond arrondi. Des phases d'effondrement des parois sont visibles notamment dans le sondage 106, mais aucune coupe ne présente un niveau hydromorphe dans le fond du fossé. Le comblement est unique pour les sondages 50, 106 et 107, il est multiple pour les sondages 51, 52 et 137. Le comblement principal est un sédiment limono-argileux brun gris homogène avec des fragments de schiste. Dans les sondages 52, 51 et 137, ce comblement principal est recoupé par une portion de fossé à profil évasé comblé d'un sédiment limono-argileux gris avec des traces d'oxydation, comportant du schiste. Il est possible qu'il s'agisse du prolongement du fossé 2845 reprenant le tracé du fossé 3142. La fouille n'a pas livré de mobilier permettant de dater ce recreusement.

#### Fossé 110-522-1660

Il a été suivi sur une longueur de 86,50 m et sur une largeur allant de 1,00 à 1,20 m pour une profondeur conservée moyenne de 0,70 m (fig. 139). Le profil est en V avec un fond arrondi. Sur les 4 sondages ouverts, 2 ont été relevés, dont l'un à l'extrémité sud-ouest (sondage 802). Cette extrémité est en pente relativement douce avec un fond plat. Dans cette partie, le fond est comblé d'un sédiment limono-argileux mélangé au substrat, témoignant d'une phase d'effondrement des parois. Il est ensuite recouvert de couches de colluvions. Il est à noter que ce fossé est recoupé en partie nord par le petit fossé médiéval 523 et à deux reprises par le fossé d'enclos gallo-romain 581.

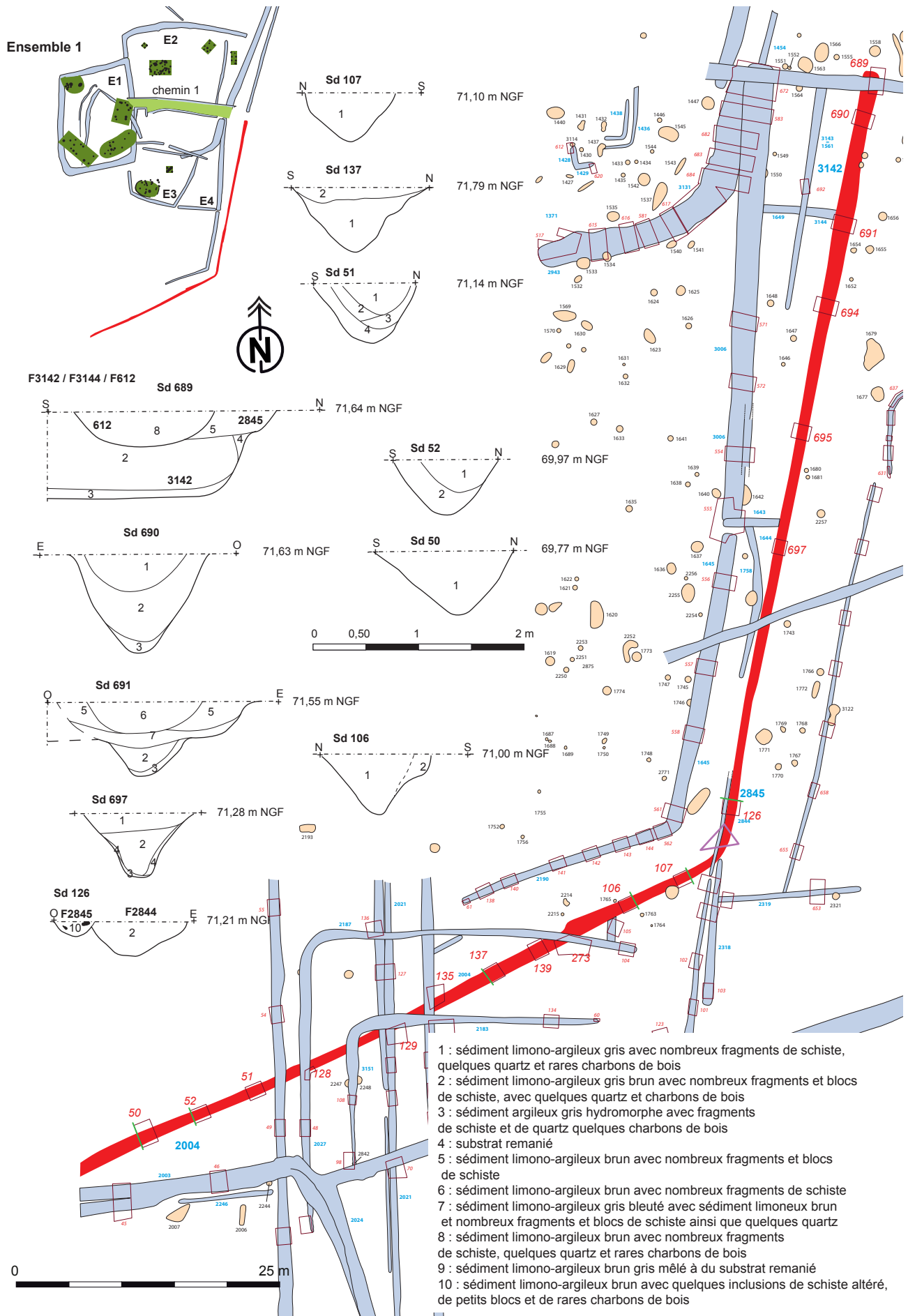
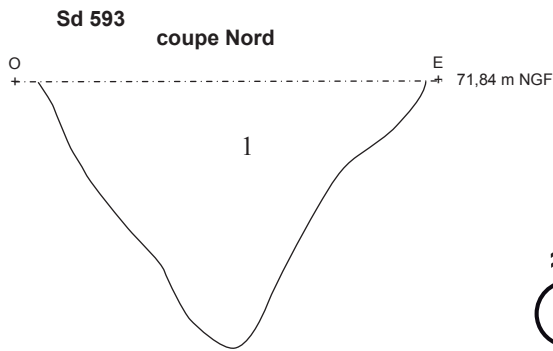
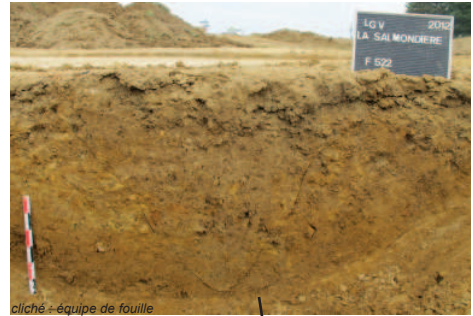
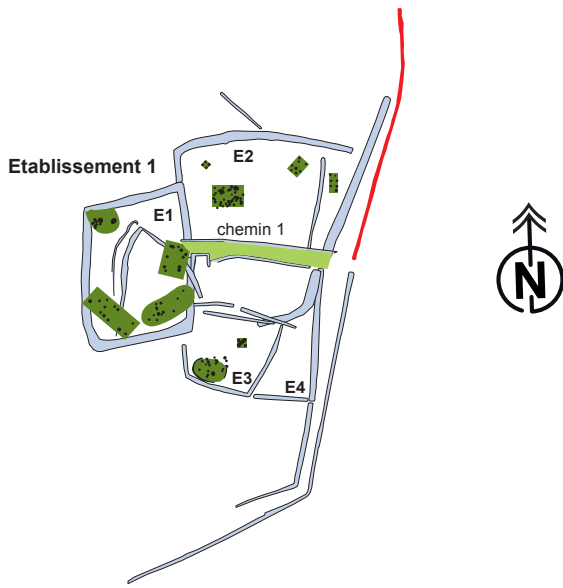


Fig. 138 : vue en plan et coupes des fossés 2004 et 3142





1 : limon argileux brun gris avec schiste altéré orange et quelques charbons de bois et rares petits quartz

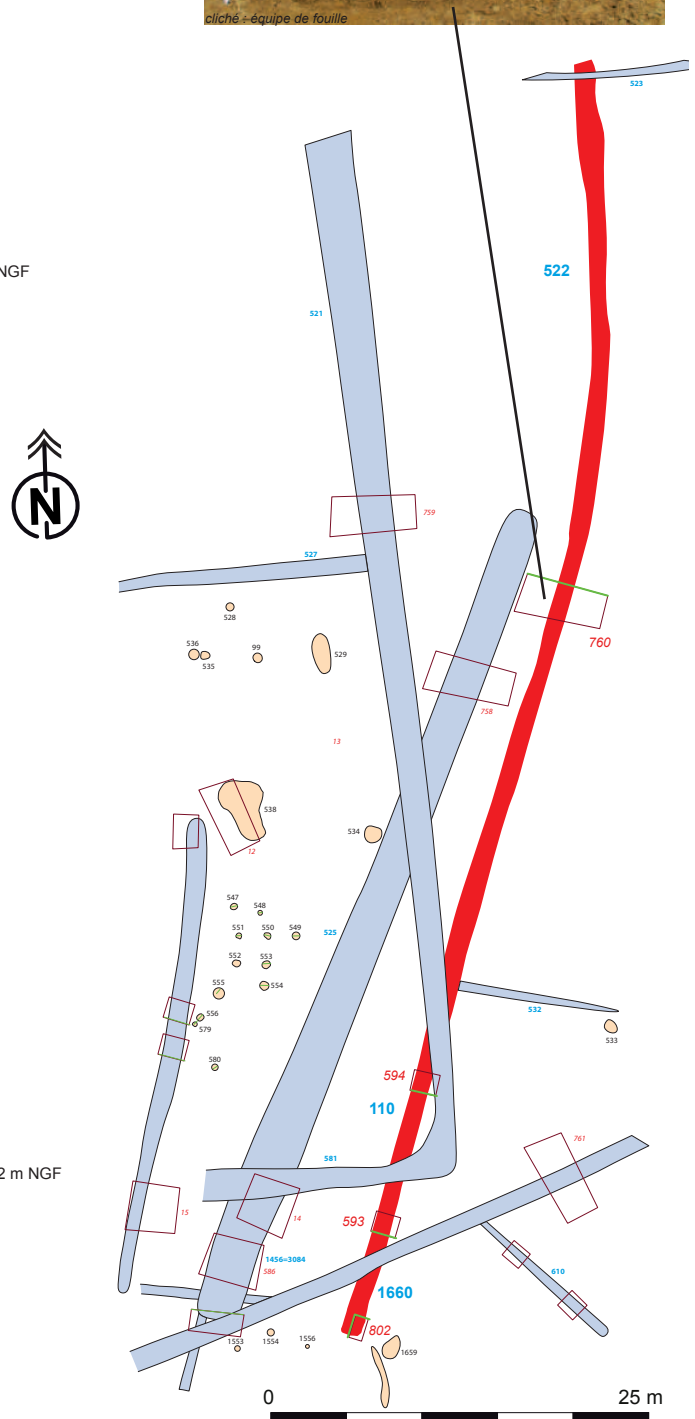
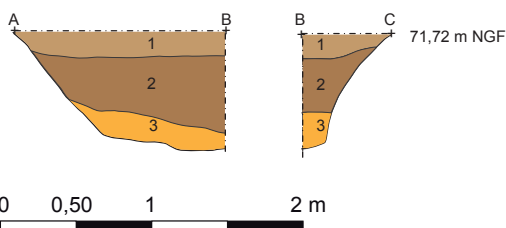
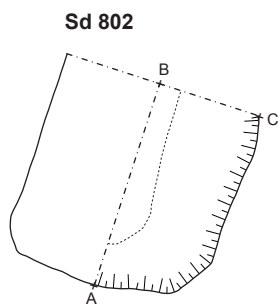


Fig. 139 : vue en plan et coupes du fossé 110-104-106-1660

Au sud-est du deuxième système de franchissement, une interruption entre deux petits fossés : 1835 à l'est et 1675 à l'ouest, semble former une ouverture de 2,80 m de largeur.

#### Fossé 1835

Il a été suivi selon un axe nord-est/sud-ouest sur une longueur de 13,20 m sur une largeur moyenne de 0,65 m pour une profondeur conservée de 0,36 m (fig. 141). Sur les 6 sondages pratiqués, 5 ont été relevés. Ils montrent un profil évasé avec un fond arrondi. Les deux extrémités sont bien marquées, avec un bord abrupt. Dans 3 sondages : 726, 733 et 734, le comblement est constitué de 2 couches pouvant évoquer une phase de recreusement. Le comblement principal est constitué d'un sédiment limono-argileux gris bleu, comportant de nombreux fragments de schiste. Il est entamé sur son flanc nord-ouest par un creusement comblé d'un sédiment limono-argileux gris brun compact homogène avec des fragments de schiste et des charbons de bois.

La fouille a livré un fragment de fond de La Tène moyenne ou finale dans le sondage 627.

#### Fossé 1675

Il a été suivi selon un axe nord-est/sud-ouest sur une longueur de 13,20 m sur une largeur moyenne de 0,65 m pour une profondeur conservée de 0,36 m (fig. 142). Sur les 10 sondages pratiqués, 6 ont été relevés. Ils montrent un profil évasé avec un fond arrondi. Le comblement est constitué d'un sédiment limono-argileux gris brun compact homogène avec des fragments de schiste et des charbons de bois. Il s'apparente au comblement terminal du fossé 1835. Par contre une partie de la coupe du sondage 629 (extrémité nord-est du fossé), a livré une phase de comblement constituée d'un rejet de pierres brûlés et gros charbons de bois US 2. Cette couche présente de nombreuses similitudes avec le comblement supérieur de la fosse 1666, située au nord de ce fossé.

#### Fosse 1666

De forme ovale, elle fait 4,10 m de longueur (selon un axe nord-est/sud-ouest) sur 0,98 m de largeur pour une profondeur moyenne conservée de 0,50 m (fig. 143 à 145). Le creusement est abrupt et le fond est plat. Le fond de la fosse est tapissé d'un lit de charbons de bois US 5, sur lequel reposent de gros fragments de bûches non entièrement calcinées. Ce niveau de branchages est recouvert d'un sédiment limono-argileux brun constituant une matrice englobant de nombreux blocs brûlés de schiste et de quartz. Ce lit de pierres, très dense (800 kg de blocs) est recouvert d'un sédiment limono-argileux brun, homogène meuble US 1, avec des éclats brûlés, de schiste et des inclusions de charbons de bois. Dans la moitié est de la structure, cette couche est plus hétérogène. C'est cette même couche qui a livré le peu de céramique trouvée. Les parois sur tous les côtés sont rubéfiées sur toute la hauteur, jusqu'au niveau de branchages et de charbons de bois. Lorsque l'on gratte la couche de charbon de bois on peut constater que le fond n'est pas rubéfié. Des prélèvements de sédiment ont été réalisés pour une étude anthracologique.

La fouille a livré 9 tessons de céramique de période protohistorique.

Deux datations 14C ont été réalisées à partir des charbons de bois présents au fond de la structure US 5. Elles offrent une fourchette assez large couvrant le début de La Tène ancienne jusqu'au début de la période gallo-romaine.

Soit :

- pour la première : Cal BC 390 to 340 (Cal BP 2340 to 2290) and Cal BC 320 to 200 (Cal BP 2270 to 2150)

- pour la seconde : Cal BC 160 to 130 (Cal BP 2110 to 2080) and Cal BC 110 Cal AD 20 (Cal BP 2060 to 1930)

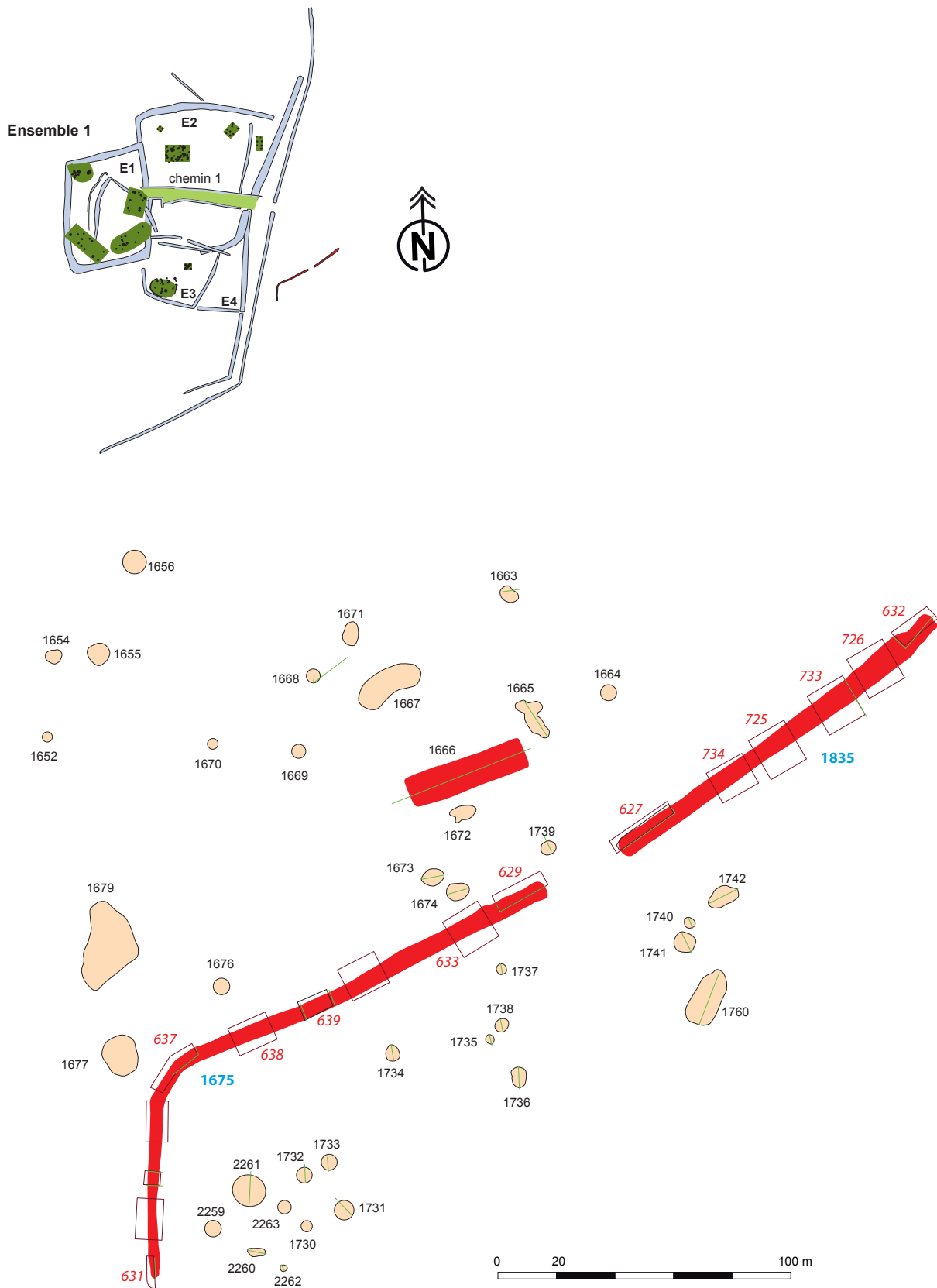


Fig. 140 : vue en plan des fossés 1645 et 1835 ainsi que la fosse 1666

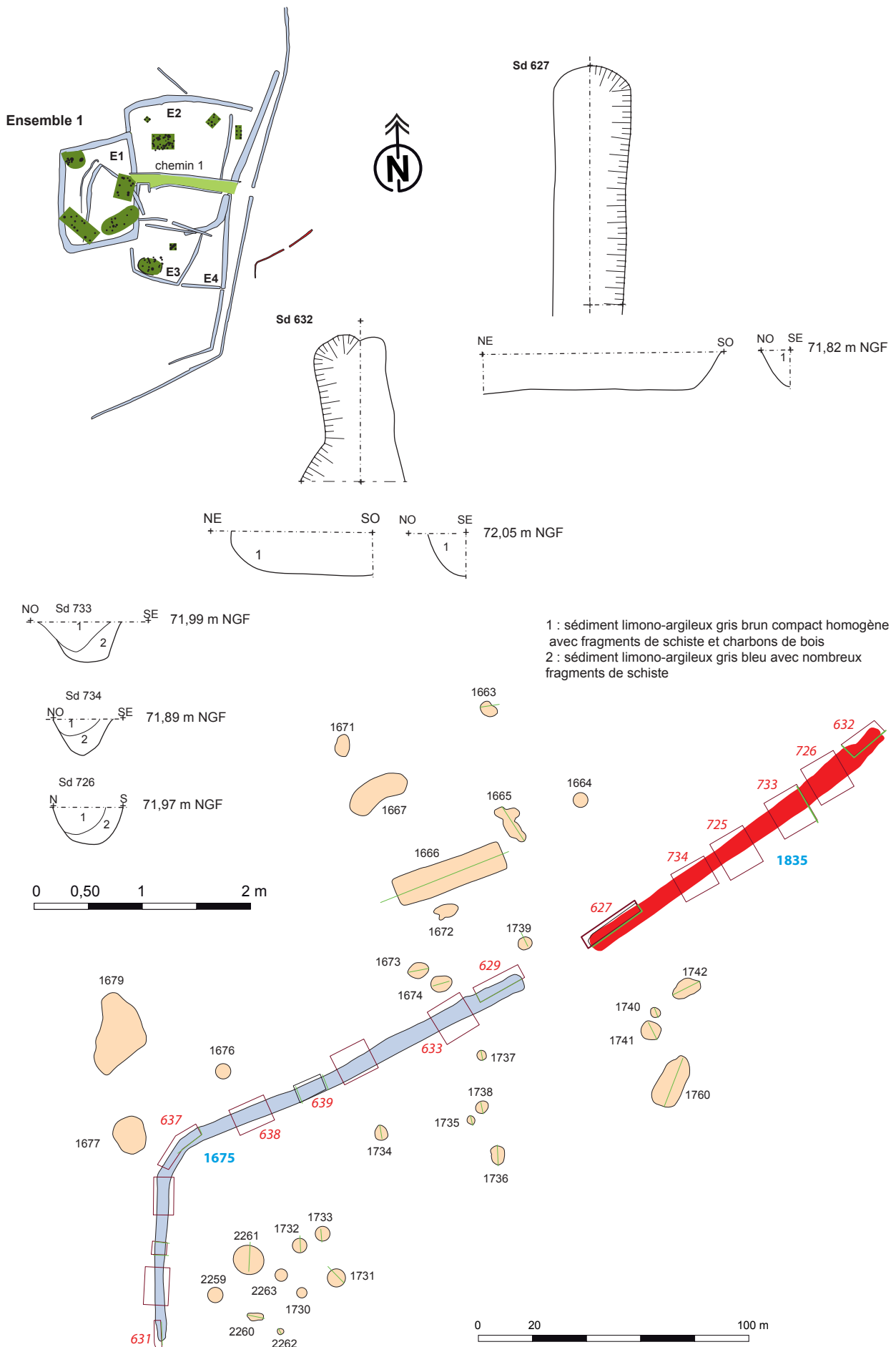


Fig. 141 : vue en plan du fossé 1835 avec coupes

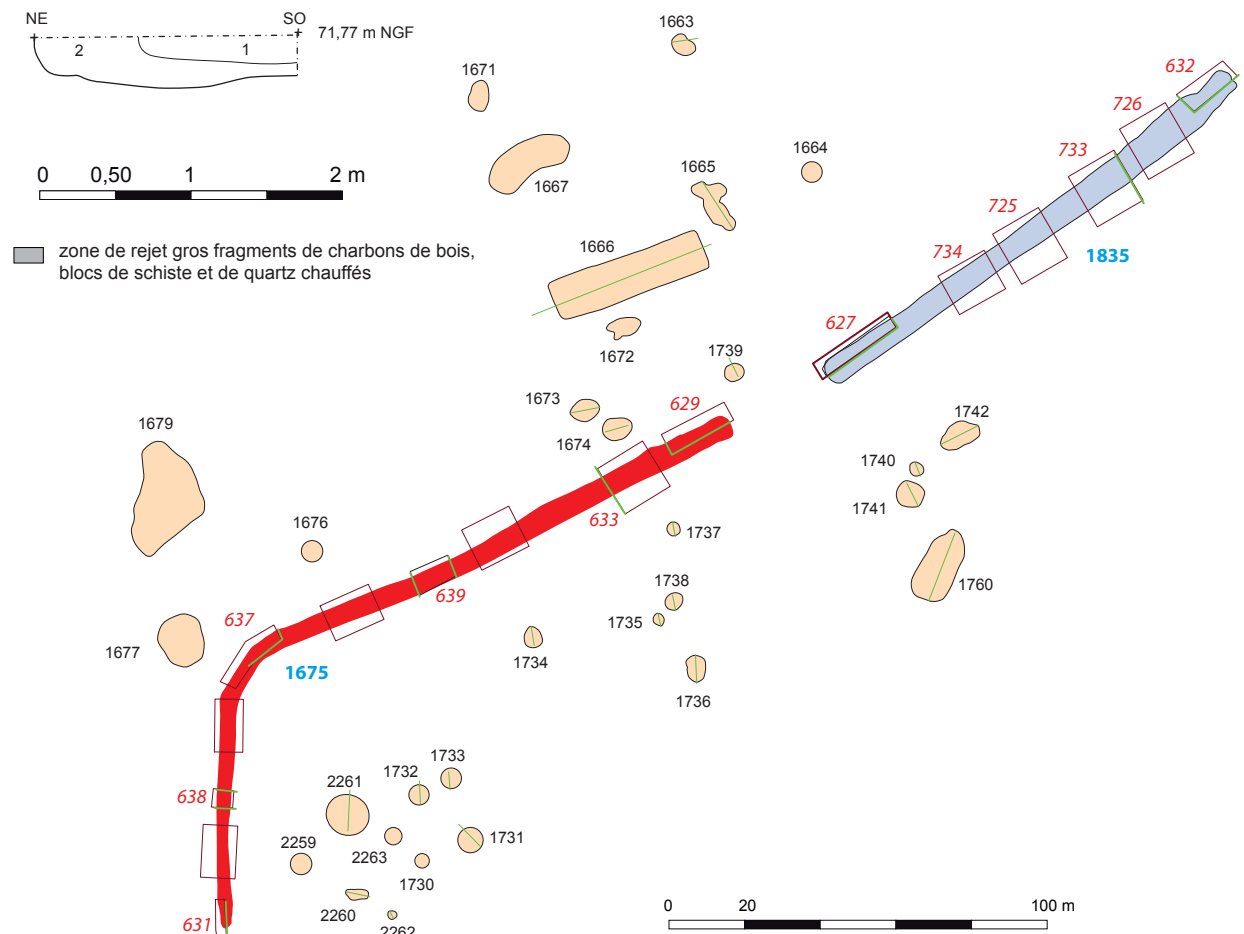
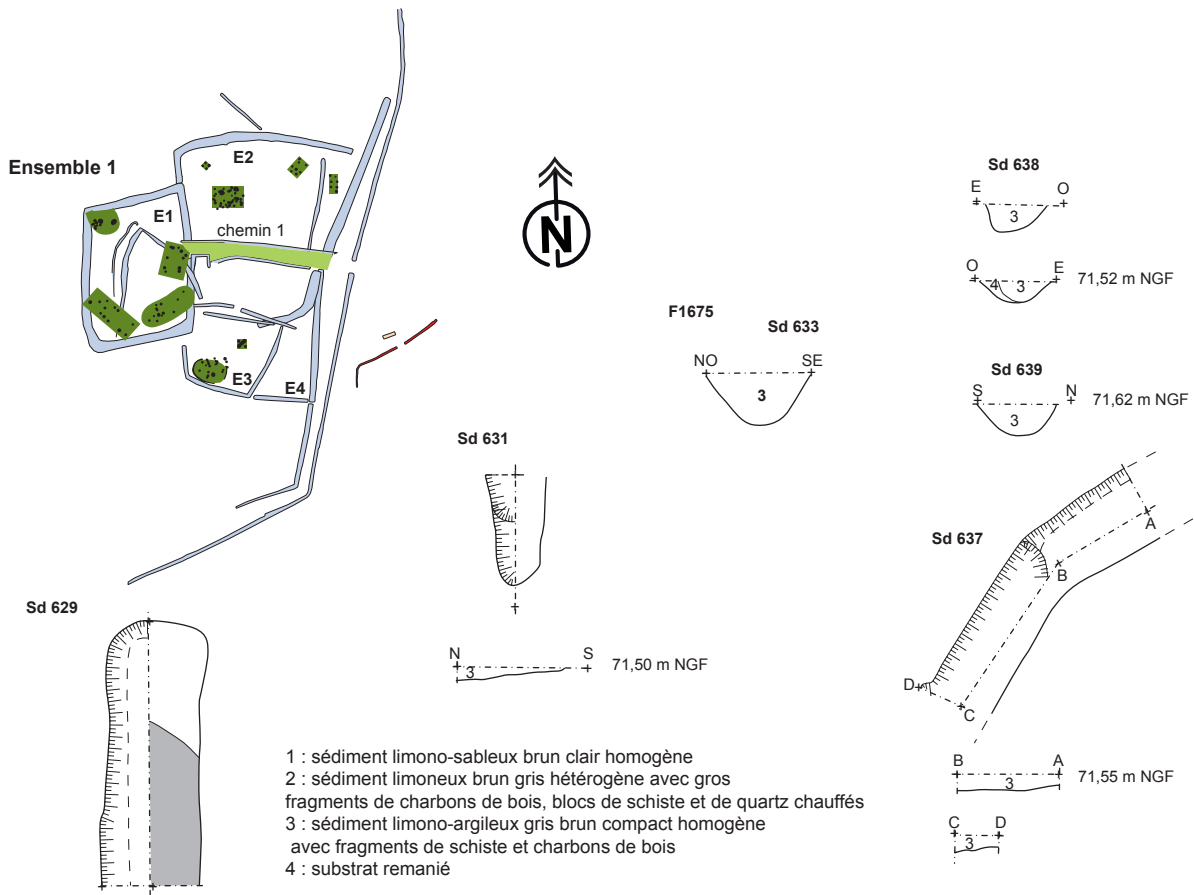


Fig. 142 : vue en plan du fossé 1675 avec coupes

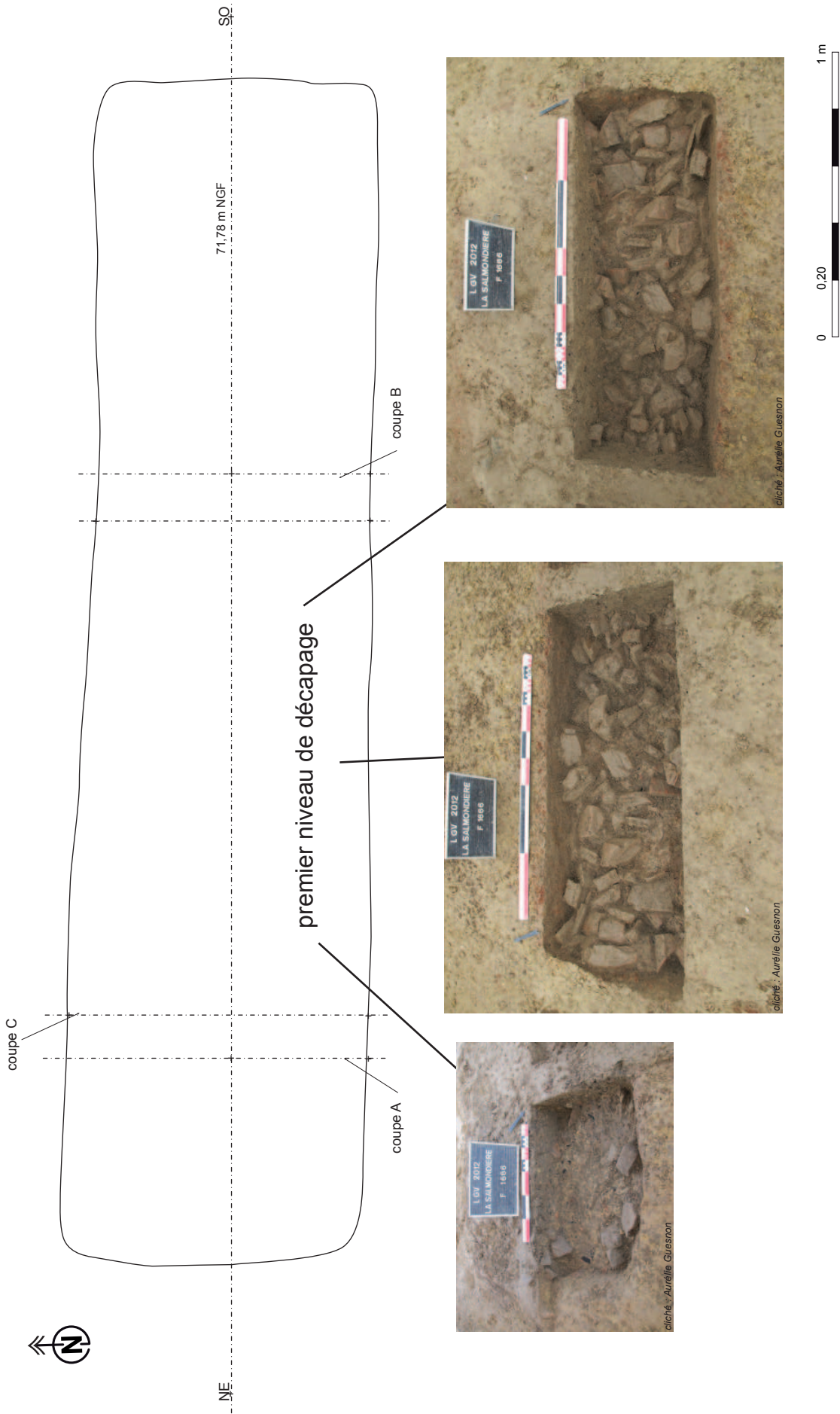
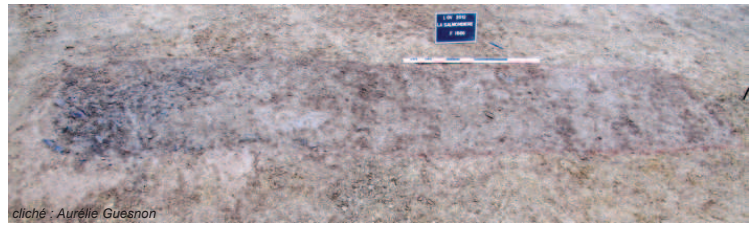
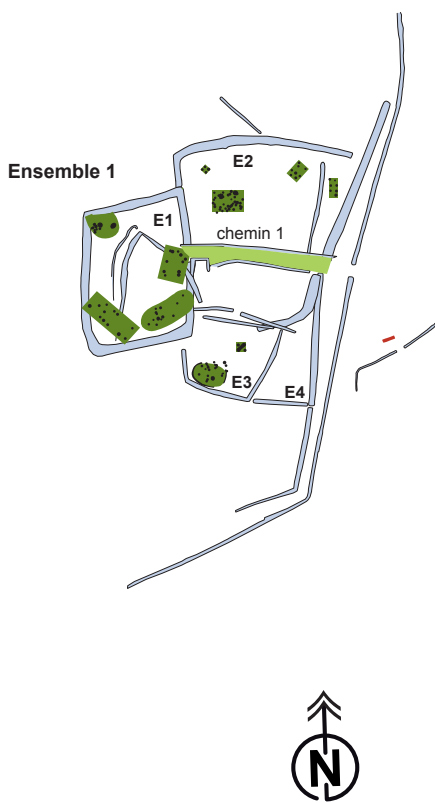
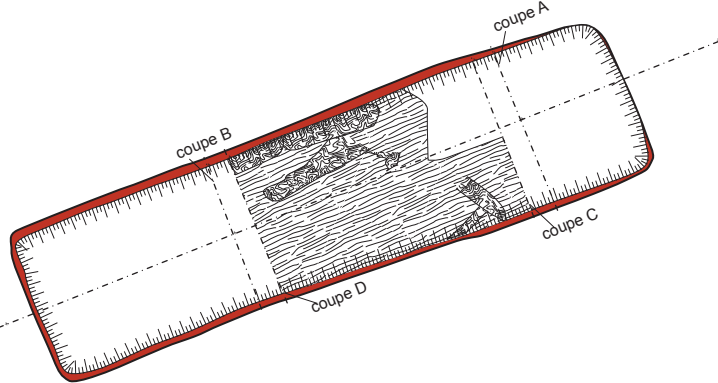


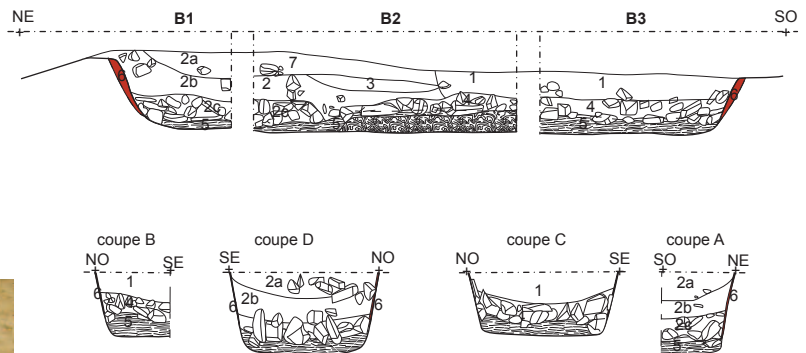
Fig. 143 : vue en plan de la fosse 1666 avec premier niveau caillouteux de fouille



1 : vue avant fouille



F1666 four rectangulaire



- 1 : sédiment limono-argileux brun meuble homogène avec charbons de bois et fragments de schiste brûlés
- 2 : sédiment argilo-limoneux brun très hétérogène compact avec nombreux fragments de schiste quelques charbons de bois et TC
  - 2a : plus homogène, moins de fragments de schiste
  - 2b : forte densité de fragments de schiste et beaucoup de gros charbons
  - 2c : matrice contenant de nombreux blocs de schiste similaire à 4
- 3 : sédiment sableux beige orangé homogène
- 4 : sédiment limono-argileux brun souvent rubéfié avec grand nombre de fragments de schiste et de quartz chauffés
- 5 : sédiment constitué uniquement de charbon ( [diagramme] ), présence d'un fragment de tronc partiellement calciné ( [diagramme] )
- 6 : schiste rubéfié constituant la paroi du four ( [diagramme] )



2 : vue générale comblement de pierres

Fig. 144 : vue en plan de la fosse 1666 avec coupes



1 : coupe A



3 : coupe B



2 : coupe C avec apparition des bûches calcinées



4 : coupe D structure fouillée complètement



5 : vue de la structure fouillée complètement du sud-ouest vers le nord-est

Fig. 145 : vues des coupes du four 1666 et vue générale après fouille complète © Aurélie Guesnon et Solenn Briand



Cette fosse peut à la fois correspondre à un grand four à pierres chauffées ou une structure pour produire des charbons de bois. Elle s'apparente à celles retrouvées par Eric Nicolas (Inrap) sur le site de Châteaulin, Penn ar Roz dans le Finistère (Nicolas 2013 p. 87 à 89). En effet la fouille de ce site a livré au moins 5 fosses allongées, dont les parois sont rubéfiées et le fond tapissé d'un lit de charbons de bois. L'une de ces fosses, la 1471, de par sa longueur (5,15 m) et sa profondeur conservée (environ 0,70 m), se rapproche de celle de Cesson-Sévigné. Par contre elle est beaucoup plus large, 1,70 m. Elle est datée en datation calibrée (2 sigma), entre 110 avant notre ère et 50 après notre ère (op. cit. p. 90). Sur le site de Châteaulin, ces structures s'intègrent dans une activité artisanale de réduction du minerai, ce qui permet à l'auteur de lui attribuer une fonction de production de charbons de bois.

Sur le site de La Salmondière, seule l'activité de forge peut nécessiter la production de charbons de bois, mais en quantité moindre par rapport à la réduction. Nous pouvons nous demander pour quelle raison le bois est resté dans la fosse ? Et pourquoi a-t-il été recouvert de pierres ? Ces pierres, notons le, ont subi une chauffe, correspondant plus à un four à pierres chauffées. Il est possible de s'étonner des dimensions de ce dernier mais certains de la région toulousaine nous ont habitué à des dimensions encore plus grandes.

Dans l'état actuel de la recherche nous ne pouvons donc pas privilégier une fonction par rapport à une autre pour la fosse 1666 mais les résultats de l'étude anthracologique (cf. § Étude anthracologique par H. Seignac) semblent écarter la production de charbons de bois.

Les quelques fosses situées à proximité de 1666 ont été fouillées, mais il s'agit le plus souvent de chablis ou d'anomalies. Il est possible que le fossé 1635, situé au sud de la fosse 1666 se prolonge par le fossé 3122 et peut être 2156, mais les différentes coupes pratiquées dans ces petits fossés n'ont pas permis de dater leur comblement. Par contre l'ensemble paraît former comme un couloir avec les fossés 2002 et 2160 (fig. 146). Il est possible qu'il s'agisse d'un cheminement permettant d'amener le bétail vers les champs.

#### Fossé 2002

Il a été suivi selon un axe est/ouest sur une longueur de 54,50 m pour une largeur variant de 0,66 m à 1 m et pour une profondeur conservée allant de 0,12 à 0,32 m (fig. 147). Le profil est évasé et le fond arrondi. Le comblement est constitué d'un sédiment limoneux brun hétérogène avec traces d'oxydes et substrat remanié. Ce fossé est recoupé par la haie moderne 2024 ainsi que par le fossé gallo-romain 2073 dans le sondage 69. Par contre, la coupe du sondage 67 avec le fossé gallo-romain 2005 n'a pas permis de déterminer une relation chronologique claire. Au niveau du décapage, le terrain à cet endroit, présente un dénivelé de 1,11 m de l'est vers l'ouest passant de 71, 22 m NGF au niveau du sondage 73 à 70, 11 m NGF au niveau du sondage 43. Cela donne une pente à 2 %. Ce même dénivelé se retrouve avec le fond du fossé. Il n'est plus que de 0,95 m mais cela donne encore une pente à 1,72 % ce qui est suffisant pour un bon écoulement de l'eau. Il faut noter que dans la zone hors emprise située à l'ouest de l'extrémité ouest du fossé, se trouve un petit étang. Il est donc possible que ce fossé 2002 récupérait les eaux de ruissellement.

#### Fossé 2160

Il constitue la façade est de cet ensemble parcellaire. D'axe nord-sud, il a été suivi sur une longueur de 35,75 m pour une largeur variant de 0,68 m à 0,86 m et pour une profondeur conservée de 0,36 m (fig. 148). Sur les 8 sondages ouverts seulement 2 ont été relevés. Ils montrent un profil évasé avec un fond arrondi. Le comblement est constitué d'un sédiment limono-argileux brun meuble avec beaucoup d'inclusions de cailloutis, quelques altérites et de rares charbons de bois. Ce fossé est recoupé par la haie

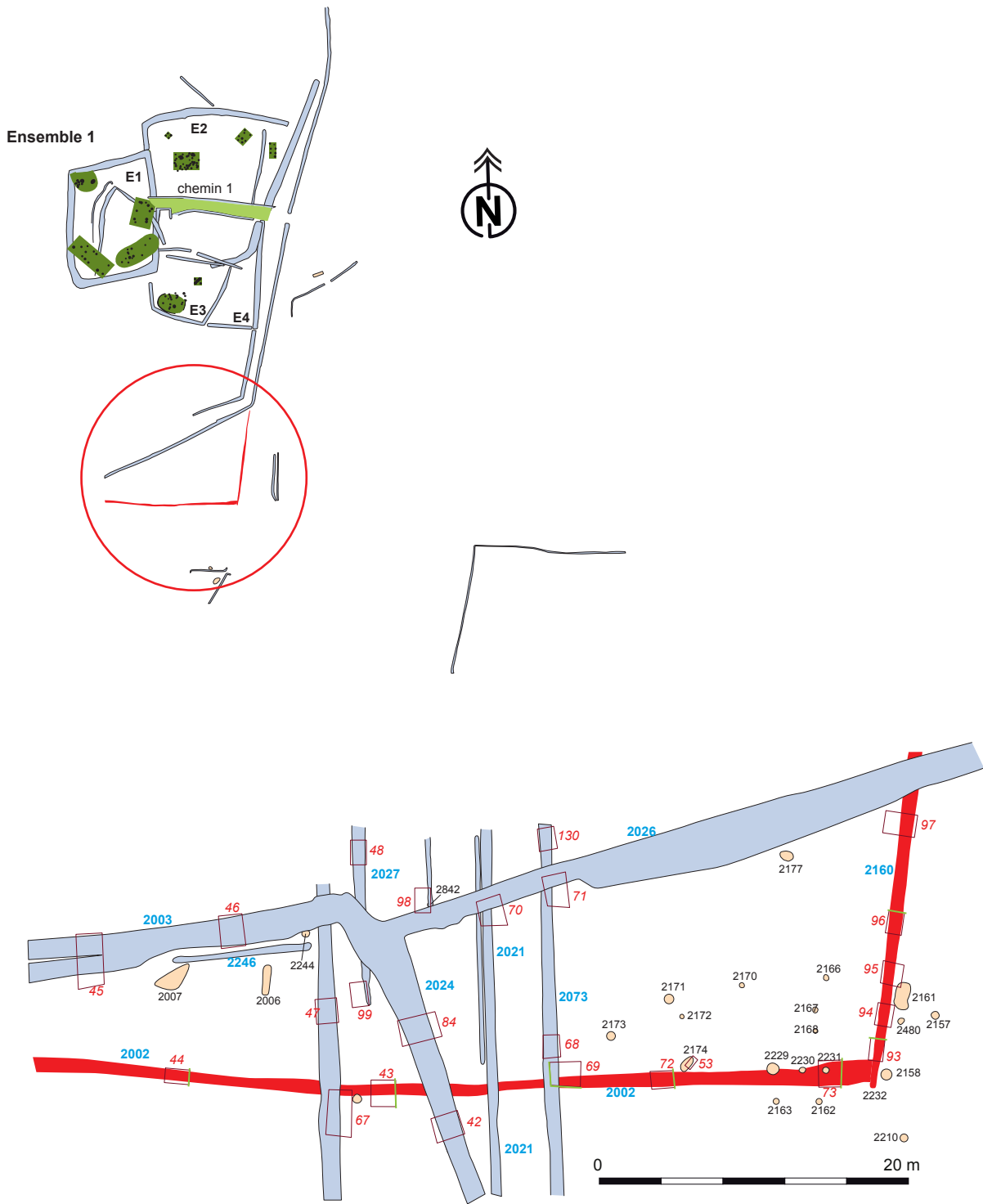


Fig. 146 : plan des fossés 2002 et 2160

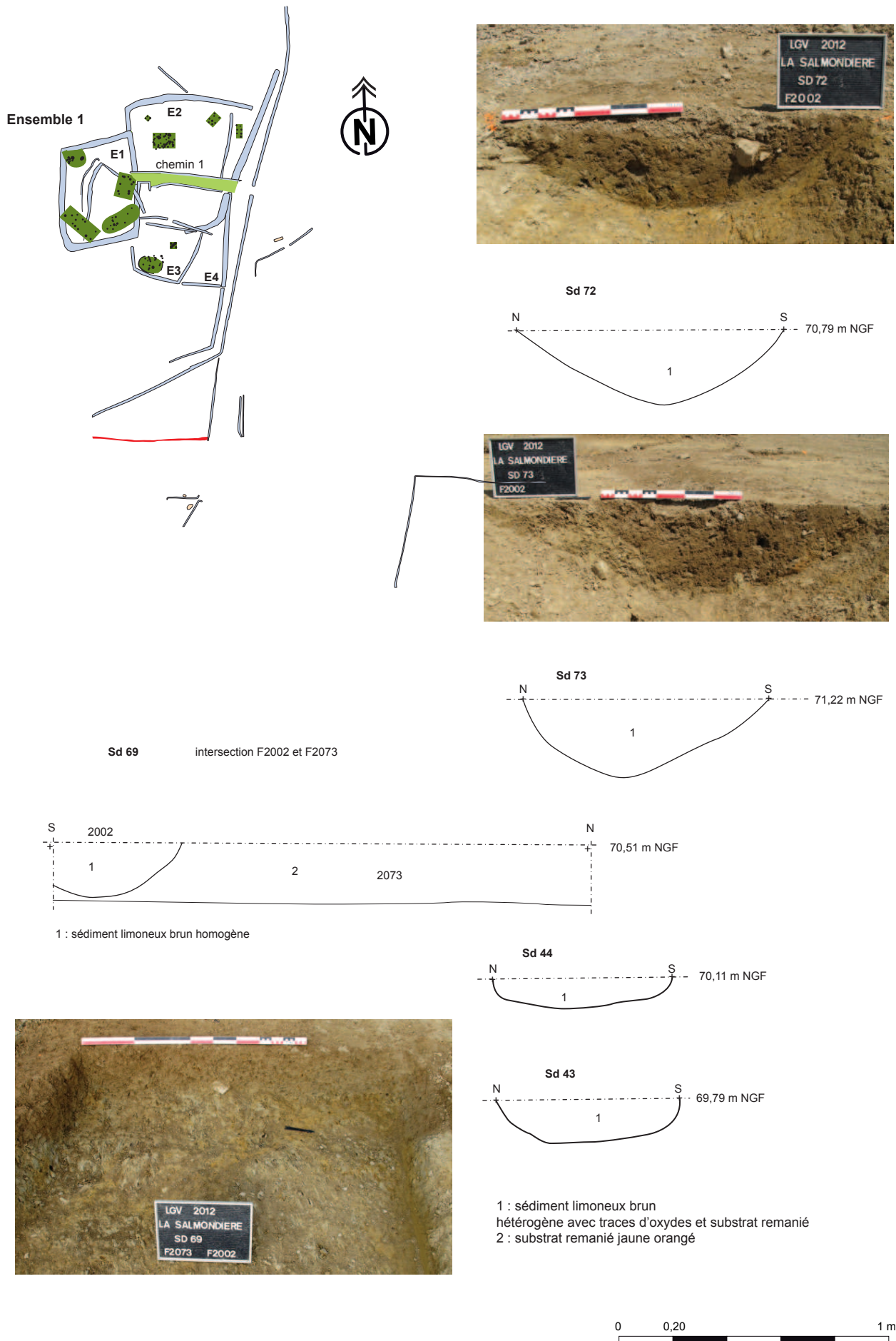
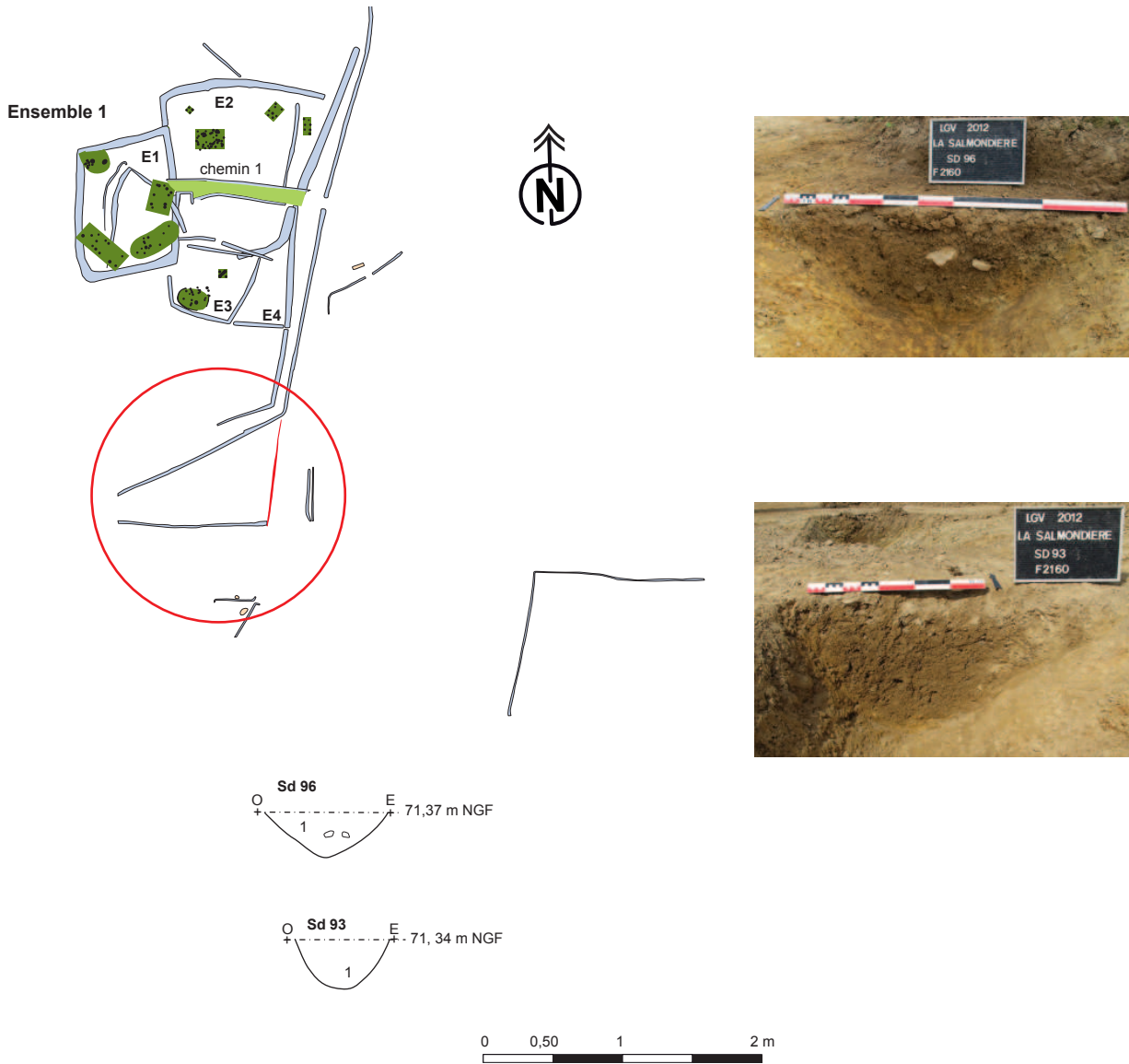


Fig. 147 : coupes du fossé 2002 © clichés équipe de fouille



1 : sédiment limono-argileux brun meuble, beaucoup d' inclusions de cailloutis, quelques altérites et rares charbons de bois

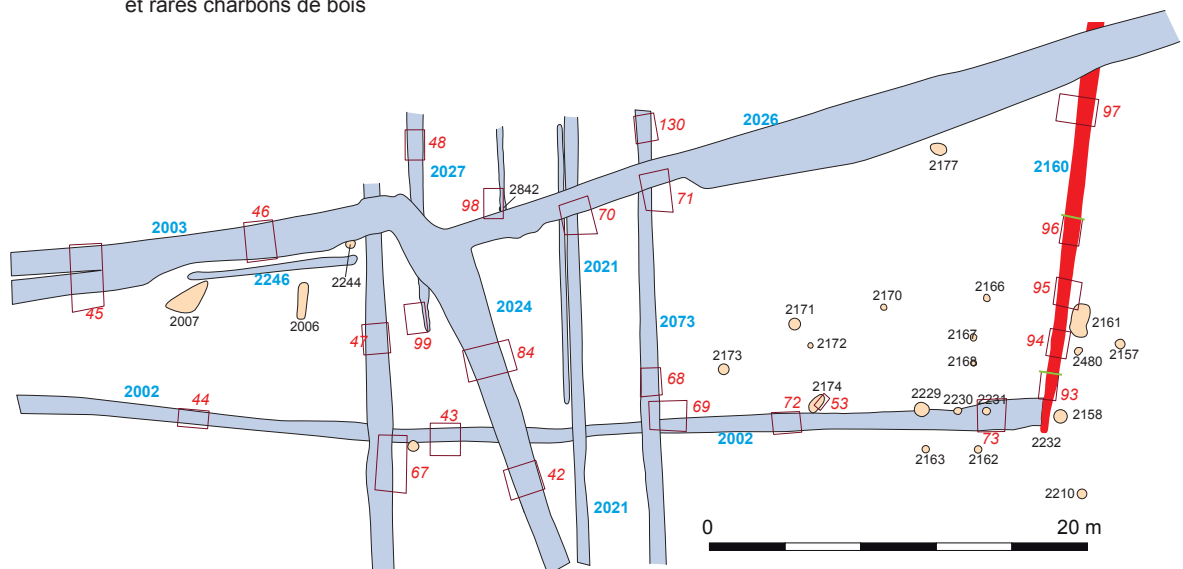


Fig. 148 : coupes du fossé 2160 © clichés équipe de fouille

moderne 2024 et semble s'interrompre dans l'angle sud-est du fossé gaulois 2004. Il est possible qu'il se prolonge avec le fossé 2845 qui reprend le tracé du fossé gaulois 2844. Cependant 2845 semble appartenir à la période gallo-romaine. Il peut aussi se raccorder au petit fossé non daté 1644, plus au nord.

La fouille du sondage 93 a livré 5 tessons de céramique se rapportant à un vase du VIII<sup>e</sup> siècle (PL. 25). Cependant ce mobilier ne suffit pas à dater le comblement du fossé, en raison de la présence de nombreux trous de poteaux et fosses à proximité de ce dernier pouvant se rapporter à un bâtiment de la période médiévale. En effet comme l'attestent certains trous de poteaux 2229 et 2230 venant recouper le fossé, ils sont postérieurs à ce dernier.

Par contre, dans ce même secteur, la fouille a livré du mobilier protohistorique dans deux petits fossés parallèles 2207 et 2153.

#### Fossé 2207

Il a été suivi selon un axe nord/sud, sur 19 m de longueur, sur une largeur moyenne de 0,77 m et pour une profondeur conservée de 0,36 m (fig. 149). Sur les 6 sondages ouverts, 2 ont été relevés. Le sondage 86 montre un profil évasé avec un fond arrondi. Le comblement est constitué d'un sédiment limono-argileux brun, meuble avec des inclusions de petites plaquettes de schiste, de quartz ainsi que du charbon de bois. Dans le sondage 90, ce fossé est recoupé par la fosse 2773, dont la fouille a livré du mobilier gallo-romain. Ce fossé forme un léger coude vers le sud-est pour s'arrêter sur le fossé 2154.

#### Fossé 2153-2317

Il a été suivi selon un axe nord-sud sur 19,40 m de longueur, sur une largeur de 0,53 m pour une profondeur conservée de 0,19 m (fig. 149). Le profil est évasé et le fond arrondi. Le comblement est constitué d'un sédiment limoneux brun avec plaquettes de schiste.

La chronologie pose un problème, car dans le sondage 89 a été trouvé du mobilier daté de la période protohistorique, mais dans le sondage 64, il recoupe la fosse 2208, dont la fouille a livré de la céramique mérovingienne. Il ne peut donc pas être de la période protohistorique mais soit d'une autre époque médiévale ou soit de la période moderne.

A l'angle sud du fossé 2207 et recoupé par le fossé non daté 2205-2154, se trouve une fosse 2275.

#### Fosse 2775

C'est une fosse ovulaire de 2 m de longueur sur 1 m de largeur et sur une profondeur conservée de 0,50 m (fig 150). Les parois sont évasées et le fond est arrondi. Elle est comblée d'un sédiment limoneux brun sombre évoluant vers le gris à la base accompagné de pierres.

La fouille a livré 2 tessons de céramique d'époque protohistorique.

En limite sud de décapage a été mis au jour un petit ensemble composé de 2 fossés 2069 et 2072 pouvant former un enclos ainsi que de 2 fosses 2083 et 2071 et 1 trou de poteau 2070 (fig 151). L'ensemble a livré du mobilier protohistorique (sans plus de précision), pouvant être de l'âge du Fer, mais en fonction de sa localisation, pouvant également être de l'âge du Bronze.

#### Fossé 2069

D'axe nord-est/sud-ouest, il présente une inflexion à son extrémité vers l'est. Il a été suivi sur une longueur de 15 m pour une largeur moyenne de 0,60 m et conservé sur une profondeur de 0,26 m. Les 3 sondages ont été relevés et présentent un profil évasé avec un fond arrondi. Le comblement est constitué d'un sédiment limoneux brun gris comportant de nombreux fragments de schiste.

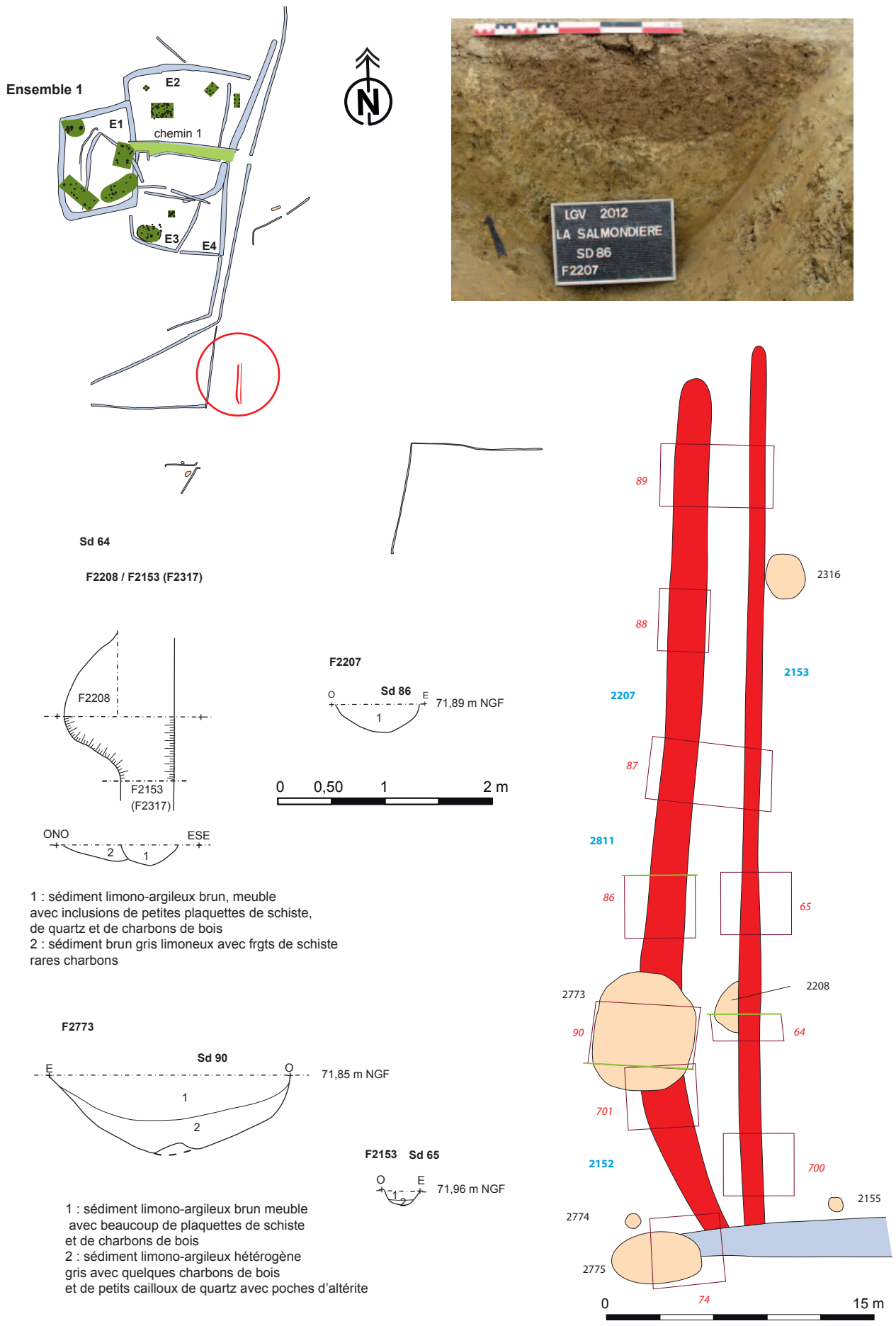


Fig. 149 : coupes des fossés 2207 et 2153 ainsi que des fosses 2773 et 2208 © cliché équipe de fouille

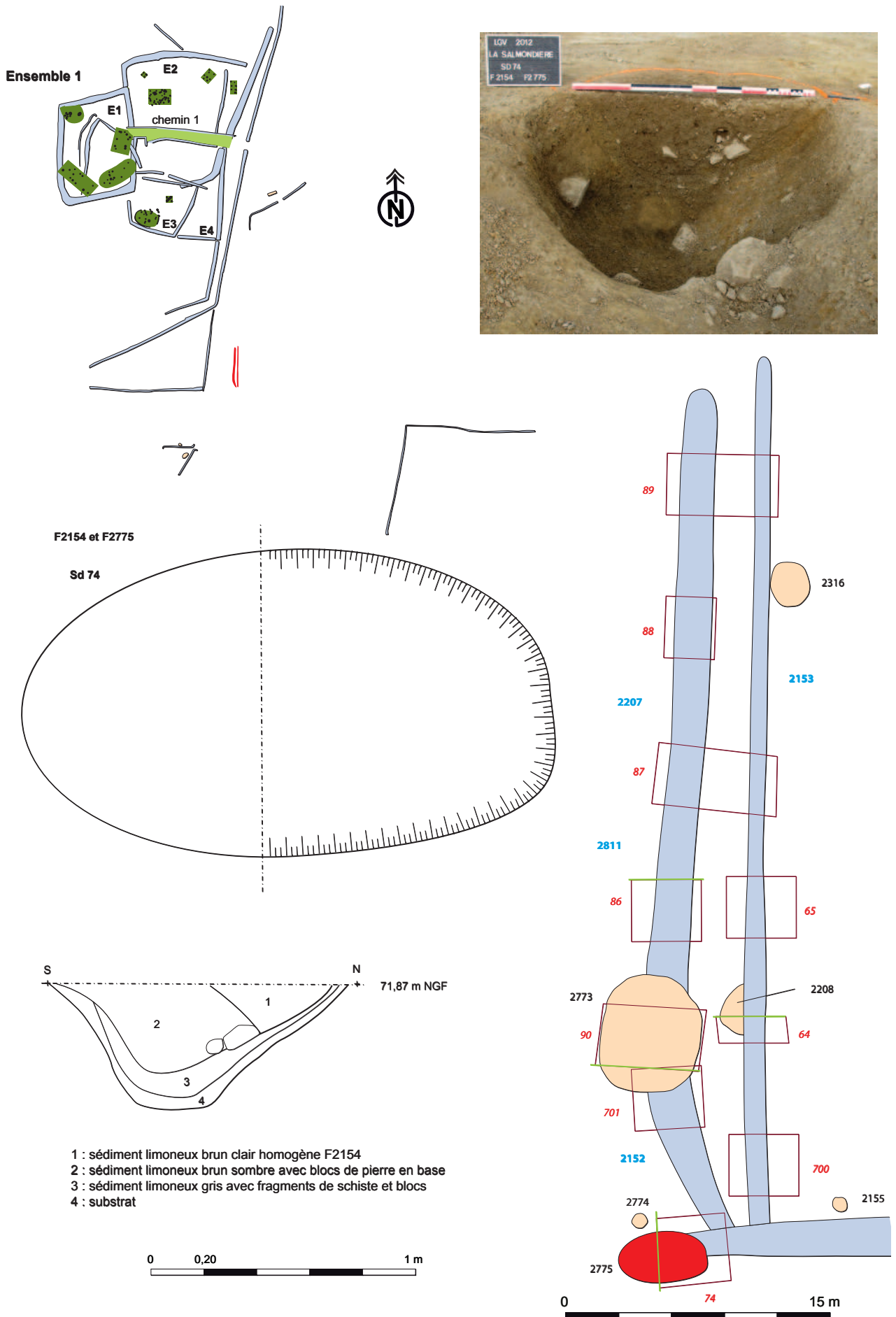


Fig. 150 : plan et coupe de la fosse 2775 © cliché équipe de fouille

Ce fossé sort de l'emprise au sud. La fouille n'a pas livré de céramique, mais il semble fonctionner avec 2072.

#### Fossé 2072

D'axe est/ouest, il présente une inflexion à son extrémité vers le nord. Il a été suivi sur une longueur de 15 m pour une largeur de 0,50 m et une profondeur conservée de 0,24 m. Les 3 sondages montrent un profil évasé à fond arrondi. Le comblement est constitué d'un sédiment limoneux brun gris comportant de nombreux fragments de schiste. Ce fossé est recoupé à l'ouest par le chemin antique 2073 et 2021 et par la haie moderne. La fouille a livré 3 tessons de céramique de période protohistorique, dans le sondage 37.

Ces deux fossés semblent former un petit enclos dans lequel se trouvent une fosse 2071 et un trou de poteau 2070.

#### Fosse 2071

De forme ovale, elle fait 3,30 m de longueur sur 1,92 m de largeur et sur une profondeur conservée de 0,69 m. Le profil est évasé avec un fond arrondi, comportant un surcreusement. Le fond de la structure est tapissé d'un sédiment argileux gris lessivé homogène pouvant indiquer que la fosse est restée ouverte un certain temps. Elle est ensuite comblée de couches de sédiment limono-argileux gris comportant plus ou moins de schiste. Le mobilier céramique provient essentiellement de l'US 1. La fouille a livré 12 tessons de céramique d'époque protohistorique.

#### Fosse 2083

De forme ovale, elle est située en dehors de l'enclos. Elle a une longueur, selon un axe est/ouest, de 1,48 m pour une largeur d'environ 1,08 m et une profondeur conservée variant de 0,21 à 0,34 m. En effet le profil très irrégulier évoque plus la juxtaposition de deux trous de poteaux. Le comblement présent dans les deux dépressions est constitué d'un sédiment limoneux brun meuble homogène avec quelques inclusions de plaquettes de schiste et quelques blocs de grès ferrugineux avec charbons de bois.

La fouille a livré 4 tessons de céramique protohistorique.

Dans l'angle sud-est du site, dans la zone du Bronze final, le décapage a permis la mise au jour de deux fossés protohistoriques 2109 et 2549, formant un angle droit (fig. 152). Ces fossés s'apparentent à du parcellaire.

#### Fossé 2109

D'axe nord-est/sud-ouest, il a été suivi sur une longueur de 54 m pour une largeur moyenne de 0,78 m et une profondeur conservée de 0,37 m. Sur les 8 sondages ouverts, 4 ont été relevés. Ils montrent un profil évasé avec un fond arrondi. Le comblement est constitué d'un sédiment limono-argileux gris avec fragments de schiste. Dans le sondage 23 le fond est tapissé d'un petit niveau plus argileux gris beige pouvant indiquer que le fossé est resté ouvert avec stagnation d'eau. Ce fossé a été recoupé par la haie 2565 et le fossé modernes 2566 comme le montre le sondage 111.

La fouille a livré 1 tesson de céramique protohistorique dans le sondage 24.

#### Fossé 2549

D'axe est/ouest, il forme un angle droit avec le fossé 2109. Il a été suivi sur une longueur de 62,95 m pour une largeur moyenne de 0,38 m et une profondeur conservée de 0,66 m. Sur les 8 sondages ouverts, 2 ont été relevés. Ils montrent un profil évasé avec un fond arrondi. Le comblement est constitué d'un sédiment limono-argileux gris avec fragments de schiste.



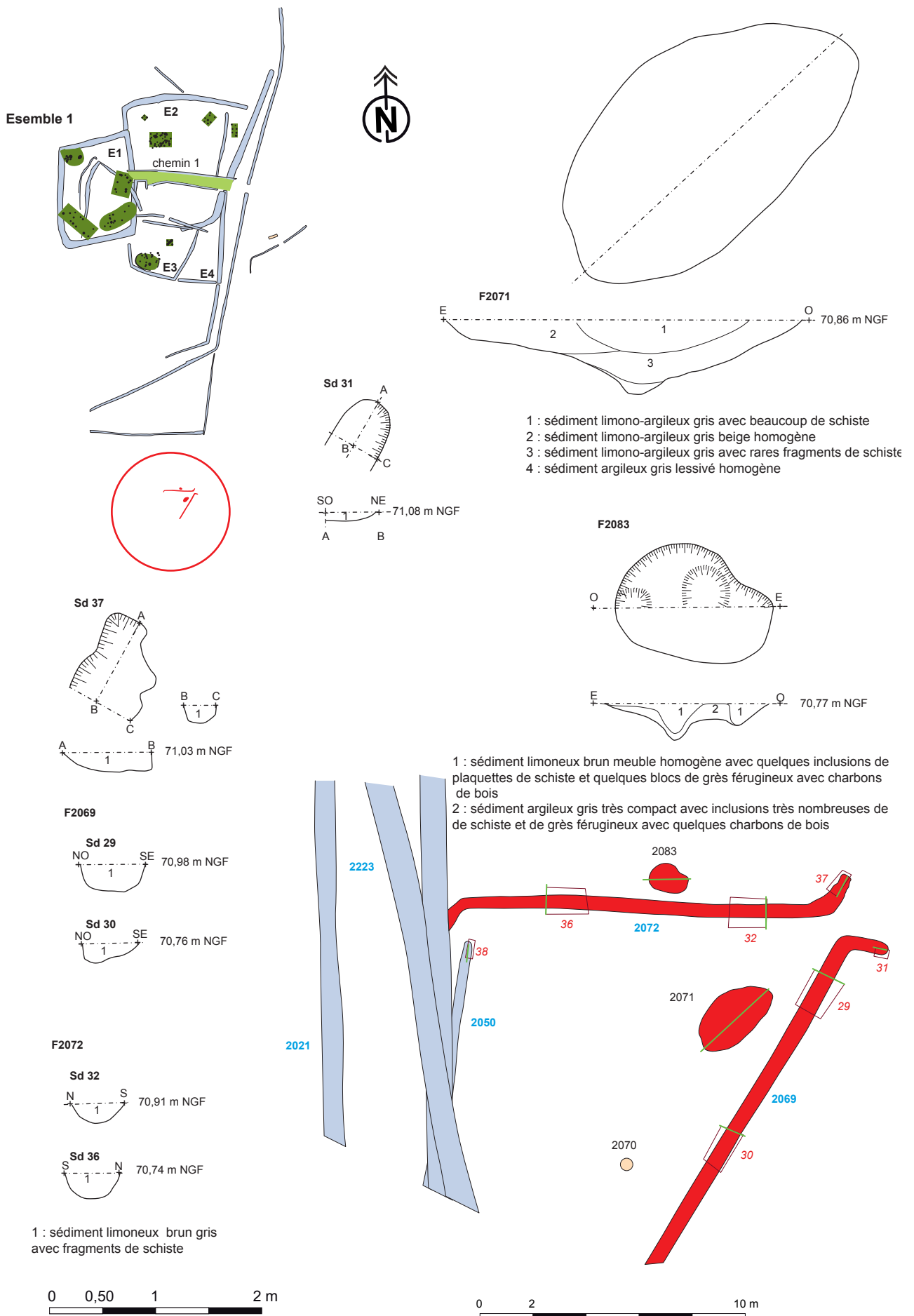


Fig. 151 : plan et coupe des fossés 2069 et 2072 ainsi que des fosses 2071 et 2083

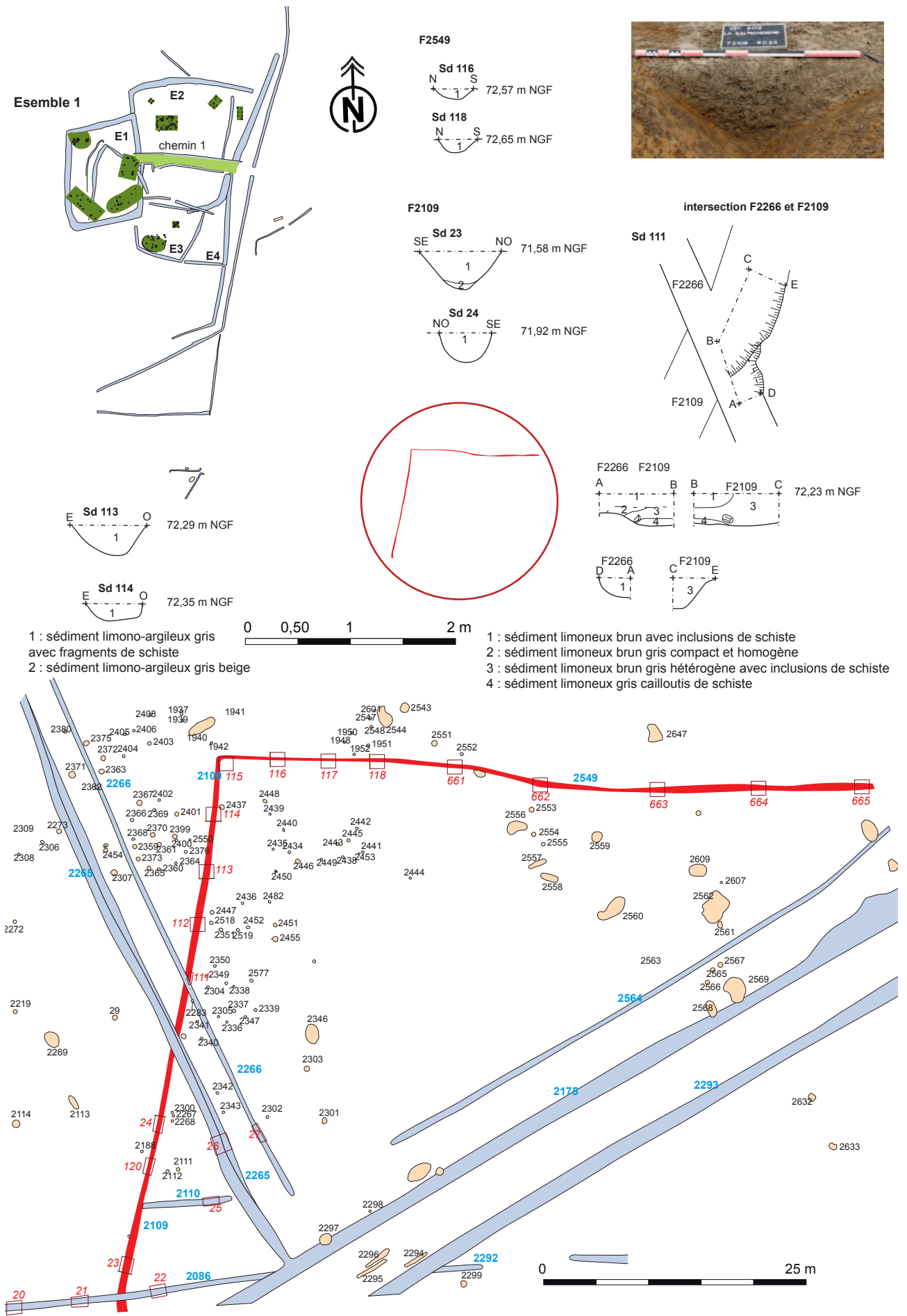


Fig. 152 : plan et coupes des fossés 2109 et 2549 © cliché équipe de fouille

### *Fosses en dehors des enclos*

Quelques fosses situées à l'ouest et au sud de l'enclos E1 ont été fouillées (fig. 153).

#### **Fosse 639**

C'est une fosse circulaire d'environ 2,70 m de diamètre sur 1,95 m de profondeur (fig. 154). Les parois évasées dans la partie haute deviennent verticales à mi hauteur et la structure se termine par un fond plat à 68,55 m NGF. Toute la moitié inférieure de la fosse est comblée d'un sédiment argilo-limoneux fortement oxydé, mélangé au substrat et à l'altérite, ce qui lui donne un aspect brun orangé, dans lequel s'intercalent de petites couches d'argiles grises riches en charbon de bois. Vient ensuite une couche argileuse grise à caractère détritique dans laquelle ont été trouvés des fragments de meule en granite. Le tout est recouvert de couches limono-argileuses beige-gris auxquelles sont mélangés des fragments de quartz, des charbons de bois et de l'altérite. La forme de cette structure évoque un puits dont le creusement aurait été abandonné.

La fouille a livré 15 tessons de céramique, dont (reposant sur le fond), la forme complète d'une jatte datée du milieu du II<sup>e</sup> siècle av. J.-C.

#### **Fosse 687**

C'est une fosse circulaire de 2,60 m de diamètre par 0,80 m de profondeur (fig. 155). La paroi sud-ouest est abrupte, alors que celle située au nord-est est évasée. Le fond est irrégulier et se trouve à la cote 69,41 m NGF. Le comblement est constitué de différentes couches composées d'un sédiment limono-argileux gris clair à gris foncé très oxydé plutôt meuble et hétérogène au fond, devenant plus compact et homogène en surface avec des charbons de bois et du quartz.

La fouille a livré une jatte à profil en S datée du III<sup>e</sup> siècle av.-J.-C.

#### **Fosse 641**

C'est une fosse ovale de 2,75 m de longueur sur 1,58 m de largeur pour une profondeur conservée de 1,64 m (fig. 156). Les parois sont abruptes et le fond arrondi est à 68,70 m NGF. Le comblement de la partie basse de la fosse est constitué d'un sédiment argilo-schisteux jaune orangé mélangé au substrat. Il est recouvert de différentes couches de sédiment limono-argileux gris plus ou moins oxydé avec fragments de schiste et de quartz.

La fouille n'a pas livré de mobilier, mais comme pour la fosse 639, la forme cylindrique peut évoquer le creusement d'un puits abandonné. A noter que les deux côtes de fond de ces structures n'ont que 0,15 m de différence. Il semble donc possible de la rattacher à la période gauloise.

#### **Fosse 2008**

De forme presque quadrangulaire, elle a une longueur de 0,89 m sur une largeur de 0,62 m (fig. 157). Elle est très arasée avec seulement 0,07 m de profondeur. Les parois sont évasées et le fond relativement plat. Le comblement est constitué d'un sédiment argilo-limoneux brun assez homogène.

La fouille a livré 1 tesson de céramique de période protohistorique.

#### **Fosse 2032**

C'est une petite fosse circulaire de 1,16 m de diamètre conservée sur une profondeur de 0,35 m (fig. 158). Les parois sont relativement abruptes et le fond est arrondi. Le comblement principal est constitué d'un sédiment limoneux brun gris meuble hétérogène avec de nombreux fragments de schiste, blocs de quartz et quelques charbons de bois. Il recouvre un sédiment limoneux brun foncé charbonneux meuble homogène avec

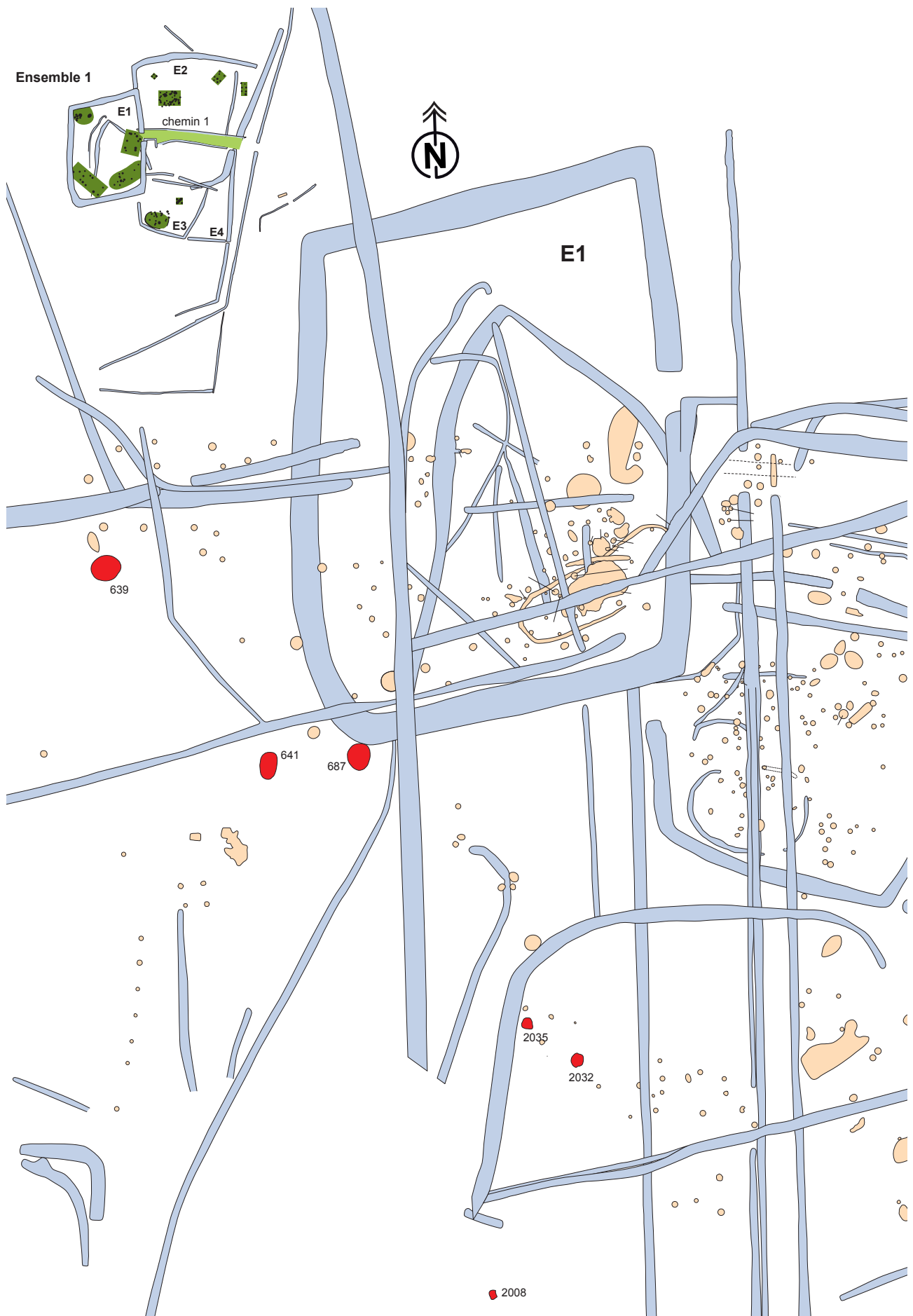
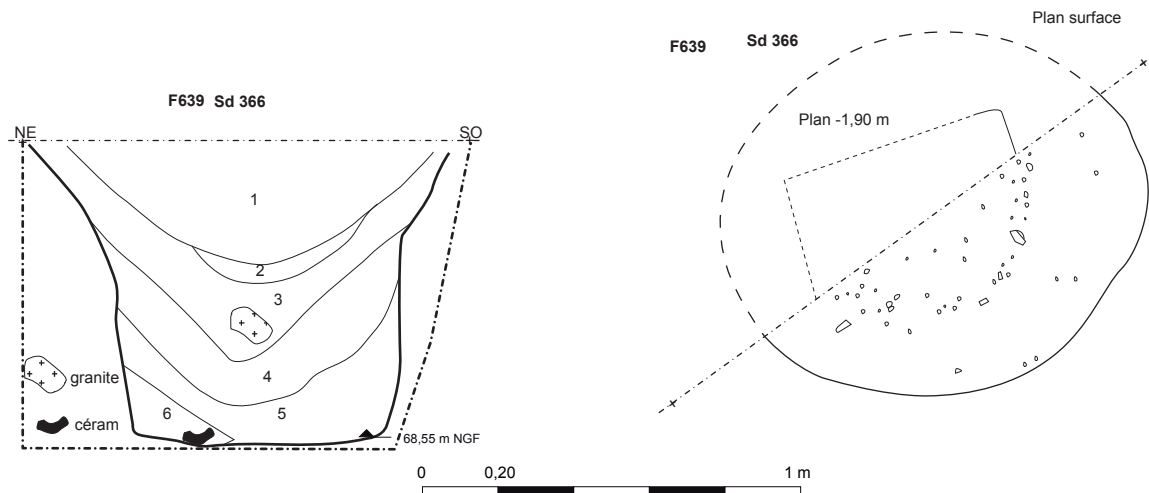
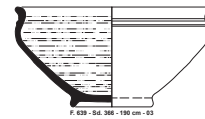
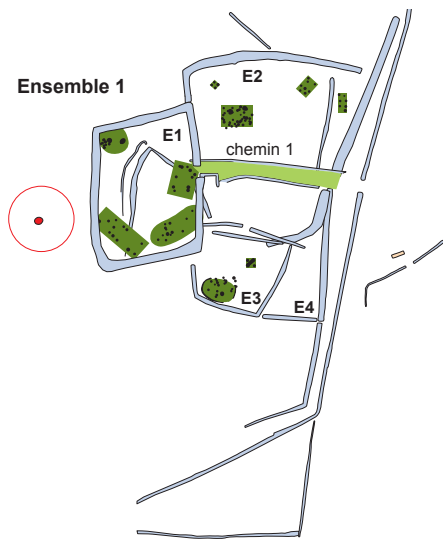
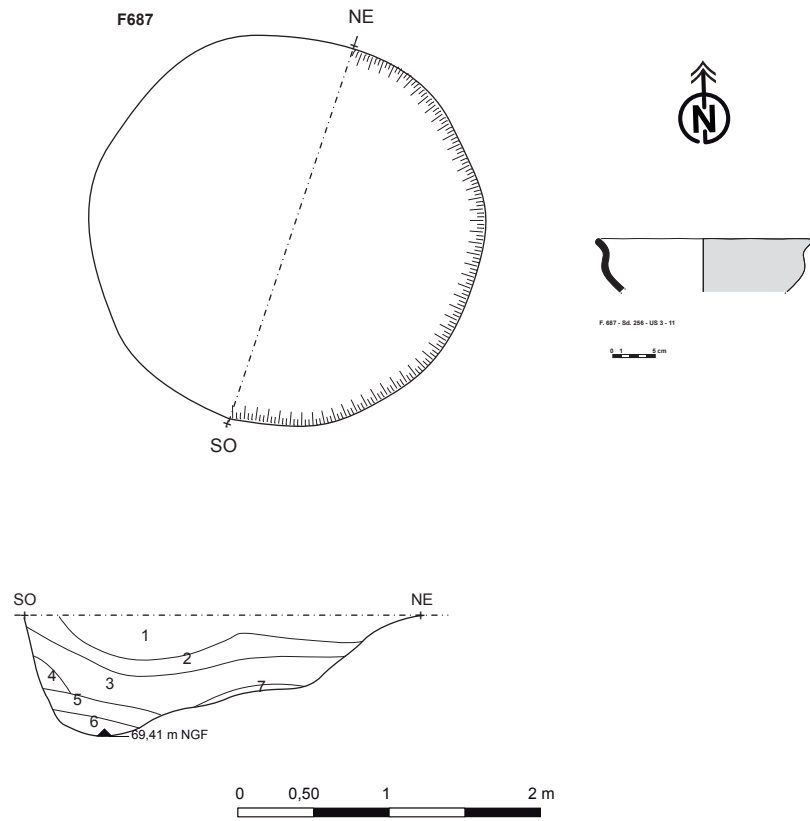
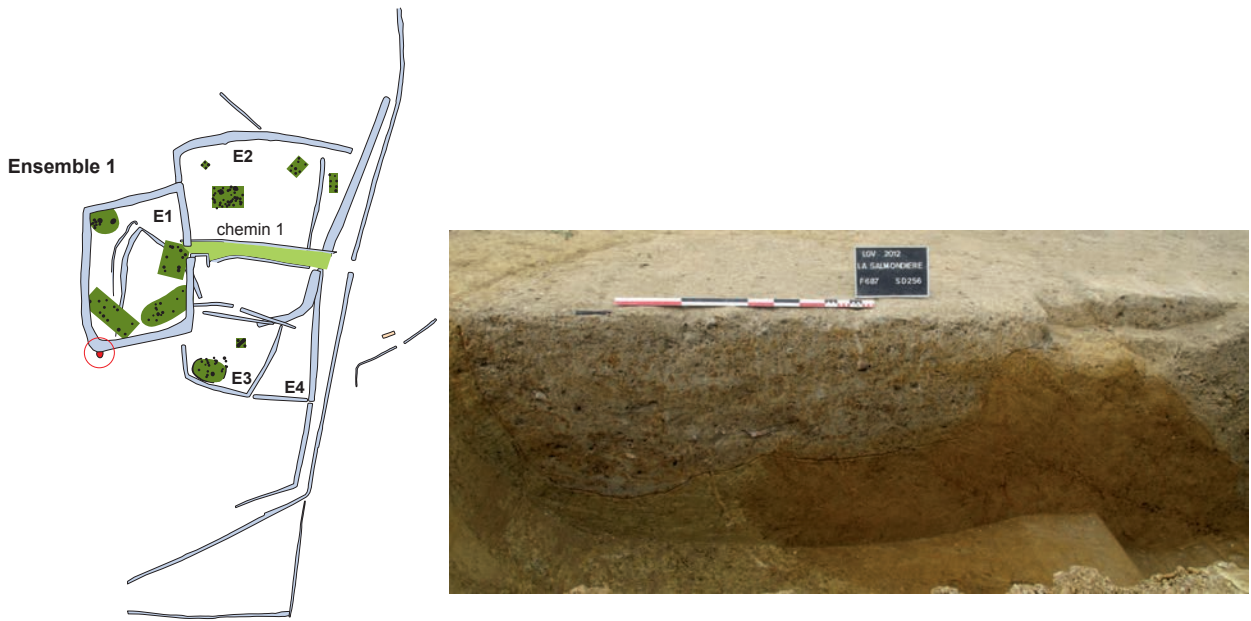


Fig. 153 : plan de localisation des fosses hors des enclos



- 1 : sédiment limono-argileux beige gris avec altérite, charbons de bois, manganèse et quelques fragments de quartz
- 2 : sédiment limono-argileux gris beige homogène charbons de bois, manganèse
- 3 : sédiment argilo-limoneux gris avec quelques fragments d'altérites coté N-E charbons de bois et meule en granite
- 4 : sédiment argilo-limoneux gris avec beaucoup de substrat remanié grossier coté S-O plus fin coté N-E
- 5 : sédiment argilo-limoneux gris très hétérogène mélangé à du substrat avec charbons de bois
- 6 : sédiment argilo-limoneux beige gris hétérogène avec altérite, charbons de bois et céramique

Fig. 154 : plan et coupe de la fosse 639 © cliché équipe de fouille



- 1 : sédiment limoneux gris clair oxydé compact homogène avec quelques charbons de bois et quartz
- 2 : sédiment limoneux gris clair très oxydé compact homogène avec quelques charbons de bois et quartz
- 3 : sédiment limono-argileux gris clair très oxydé meuble homogène avec céramique
- 4 : sédiment limono-argileux gris foncé très oxydé meuble homogène avec céramique
- 5 : sédiment limono-argileux orangé gris meuble hétérogène
- 6 : sédiment argileux gris meuble homogène
- 7 : sédiment limono-argileux gris orangé meuble hétérogène

Fig. 155 : plan et coupe de la fosse 687 © cliché équipe de fouille

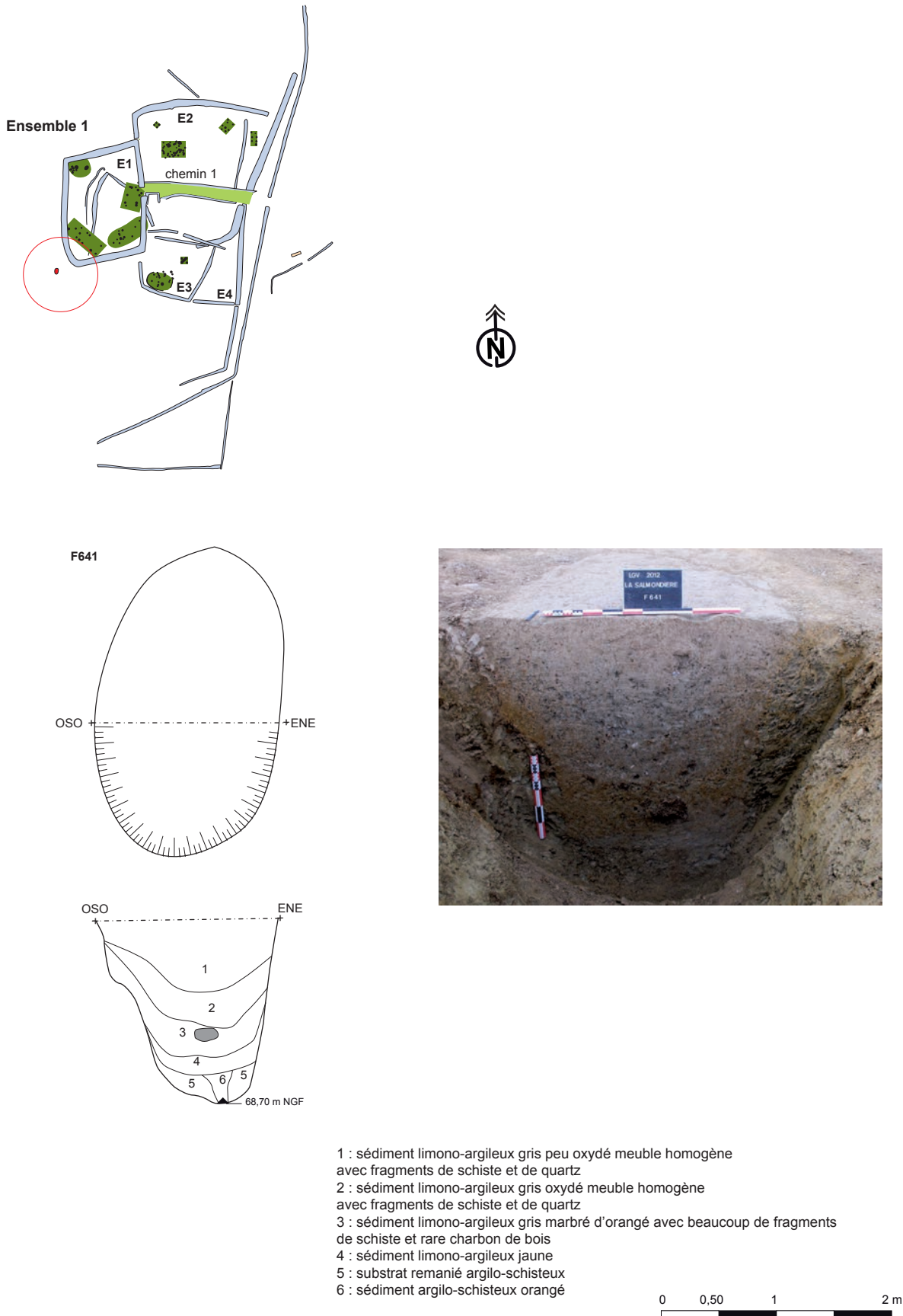


Fig. 156 : plan et coupe de la fosse 641 © cliché équipe de fouille

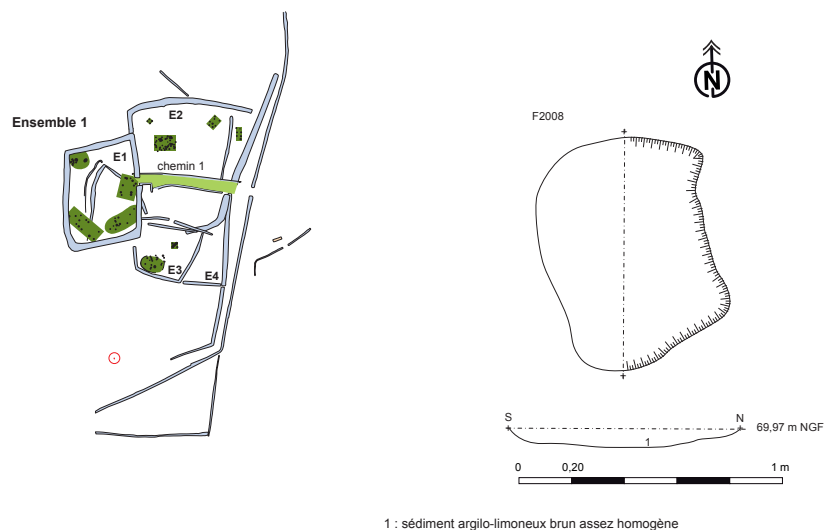


Fig. 157 : plan et coupe de la fosse 2008

quelques fragments de schiste brûlés, blocs de quartz et surtout une grande quantité de graines qui ont fait l'objet d'une étude carpologique (cf. § Étude d'un stock d'orge vêtue par Anna-Maria Désidério). Cette analyse montre que : «... les carpolestes étaient en position secondaire et ils ne témoignent pas d'un stockage primaire dans cette structure en creux ». Ce qui semble être confirmé par la forme de la fosse qui n'évoque pas une fosse de stockage de type silo.

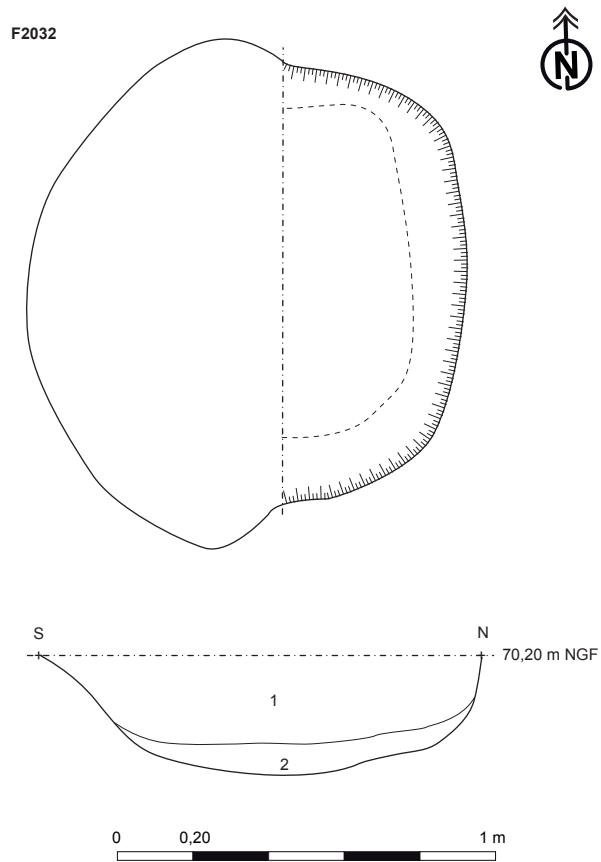
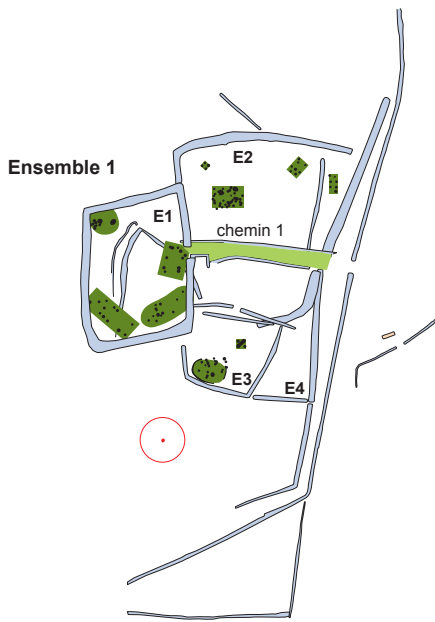
De plus, ces mêmes graines ont permis d'établir une datation au  $^{14}\text{C}$  par le laboratoire Beta Analytic (Floride, Etats-Unis), donnant la date Beta-360240 :  $2140 \pm 30$  BP, soit calibré avec 2-sigma (95%) probabilité : 350-60 BC.

#### Fosse 2035

C'est une petite fosse circulaire de 1 m de diamètre et conservée sur une profondeur de 0,47 m (fig. 159). Les parois sont abruptes et le fond est arrondi. Elle est comblée d'un sédiment limoneux gris meuble homogène avec fragments de schiste et de quartz devenant gris, plus argileux et compact au fond de la structure. A noter un comblement détritique US 2 très riche en charbons de bois. Cette couche a fait l'objet d'une étude anthracologique par Hélène Seignac (cf. § Étude anthracologique). Elle indique la présence de : «... deux bons combustibles associés. Le chêne caducifolié pour sa combustion lente et durable et le noisetier pour l'allumage du feu avec une montée rapide en température ». Il faut noter qu'elle est située non loin de la fosse 2032 ayant également livré des rejets détritiques.

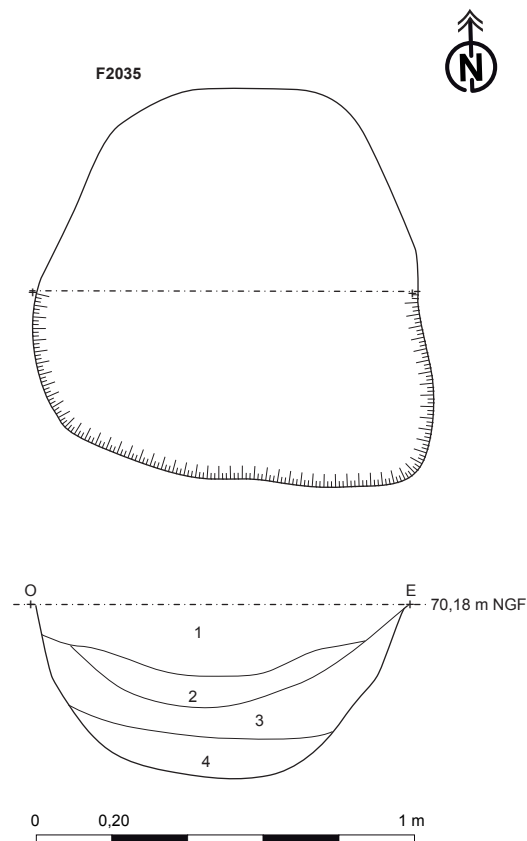
La fouille a livré 2 tessons de céramique de période protohistorique.





- 1 : sédiment limoneux brun gris meuble hétérogène avec nombreux fragments de schiste, blocs de quartz et quelques charbons de bois
- 2 : sédiment limoneux brun foncé charbonneux meuble homogène avec quelques fragments de schiste brûlés, blocs de quartz et de nombreuses graines

Fig. 158 : plan et coupe de la fosse 2032 © cliché équipe de fouille



- 1 : sédiment limoneux gris brun meuble homogène avec quelques fragments de schiste et de quartz avec traces d'oxydation
- 2 : sédiment limoneux brun meuble homogène, riche en charbons de bois avec quelques fragments de schiste, de quartz et des traces d'oxydation
- 3 : sédiment limono-argileux gris peu compact homogène avec quelques fragments de schiste, de quartz et beaucoup de traces d'oxydation
- 4 : sédiment limono-argileux gris peu compact homogène avec quelques fragments de schiste, de quartz et quelques traces d'oxydation

Fig. 159 : plan et coupe de la fosse 2035 © cliché équipe de fouille

### 2.2.5. Ensemble 2

Il est situé en extrémité ouest de l'emprise et se compose d'un grand enclos quadrangulaire (dont seulement une partie nord est visible). A l'intérieur se trouvent d'autres petits enclos et des bâtiments sur tranchée de fondation et sur poteaux. Il est bordé à l'ouest par le chemin 2 (fig. 160) et par un fossé d'axe nord/sud semblant constituer une limite occidentale pour l'occupation gauloise.

#### 2.2.5.1. L'enclos E6

Situé en limite sud-ouest de décapage, il n'est visible que sur une moitié nord. Il a une forme quadrangulaire un peu désaxée. Sa plus grande longueur est/ouest est de 60 m et sa plus grande largeur nord/sud est de 42 m. Ce qui donne en tenant compte de la forme générale, une superficie minimum d'environ 2200 m<sup>2</sup>. Cette partie accessible est déjà plus grande que l'enclos E1 de l'ensemble 1 qui rappelle le a une superficie d'environ 1680 m<sup>2</sup> avec une longueur de 48 m pour une largeur de 35 m. L'enclos E6 pourrait presque faire le double de l'enclos E1.

Sa façade est, est composée du fossé 860, la nord, du fossé 861-1074-1066 et l'ouest du fossé 836 (fig. 161).

#### Fossé 860,

D'orientation nord-est/sud-ouest, il a été suivi sur une longueur de 40 m pour une largeur moyenne de 2,30 m et une profondeur conservée variant de 1,40 à 1,50 (fig. 162). Les 3 sondages ouverts relevés montrent un profil évasé avec un fond arrondi. Le sondage 345 (ayant été réalisé dans l'angle de l'enclos) n'est pas bien perpendiculaire au fossé. C'est la raison pour laquelle son profil est très étiré sur son flanc ouest. Les 3 coupes présentent un même type de comblement que nous allons retrouver majoritairement dans les autres fossés avec des variantes localisées.

#### Fossé 861-1074-1066

D'orientation nord-ouest/sud-est, il forme une légère courbe en partie nord-ouest. Il a été suivi sur une longueur de 60 m pour une largeur variant de 1,40 m à 3 m et une profondeur conservée allant de 1,25 m à 1,60 m (fig. 163). Sur les 5 sondages ouverts 4 ont été relevés. Ils montrent un profil en V avec un fond arrondi ou aplati, dans le sondage 247.

#### Fossé 836

D'orientation nord-ouest/sud-est il a été suivi sur une longueur de 27,66 m pour une largeur moyenne de 1,30 m et une profondeur conservée variant de 0,85 à 1,10 m (fig. 164). Sur les 3 sondages ouverts 2 ont été relevés. Ils montrent un profil en V à fond arrondi. A noter, comme le montre les sondages 416 et 63 que le tracé de ce fossé a été complètement repris par la haie moderne 1002.

#### Dynamique de comblement

Les différentes coupes pratiquées permettent de mettre en évidence une dynamique de comblement qui se répète dans l'ensemble de l'enclos, mais qui présente localement des disparités (fig. 162 à 168).

Il est ainsi possible de déterminer 3 grandes phases.

- Tout d'abord une grosse phase de colluvionnement US 3 constituée d'un sédiment limoneux brun clair avec de nombreuses inclusions d'altérite. On la retrouve dans l'ensemble des sondages avec des épaisseurs variables et la présence ou non de charbons de bois. Elle

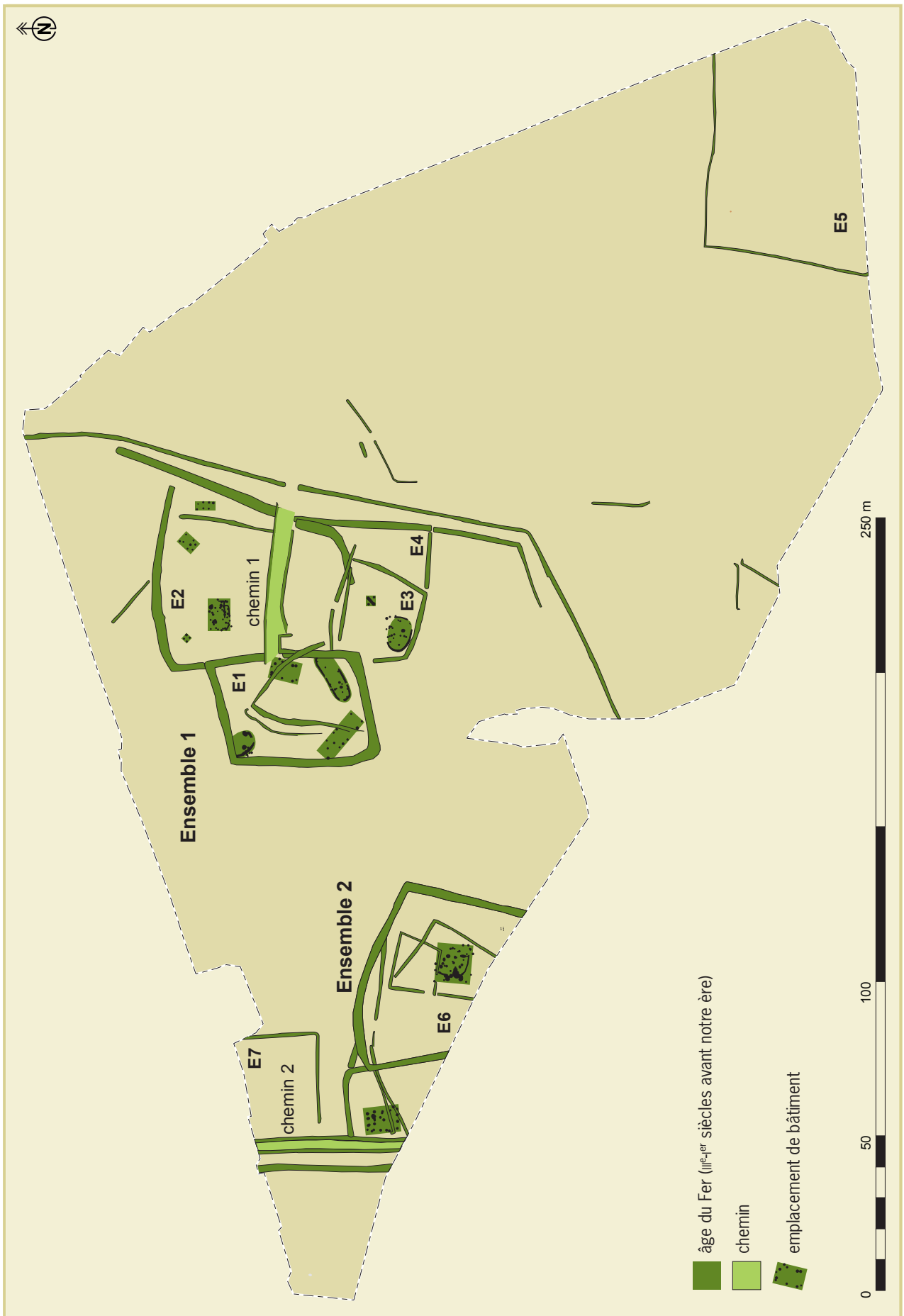


Fig. 160 : plan général des ensembles

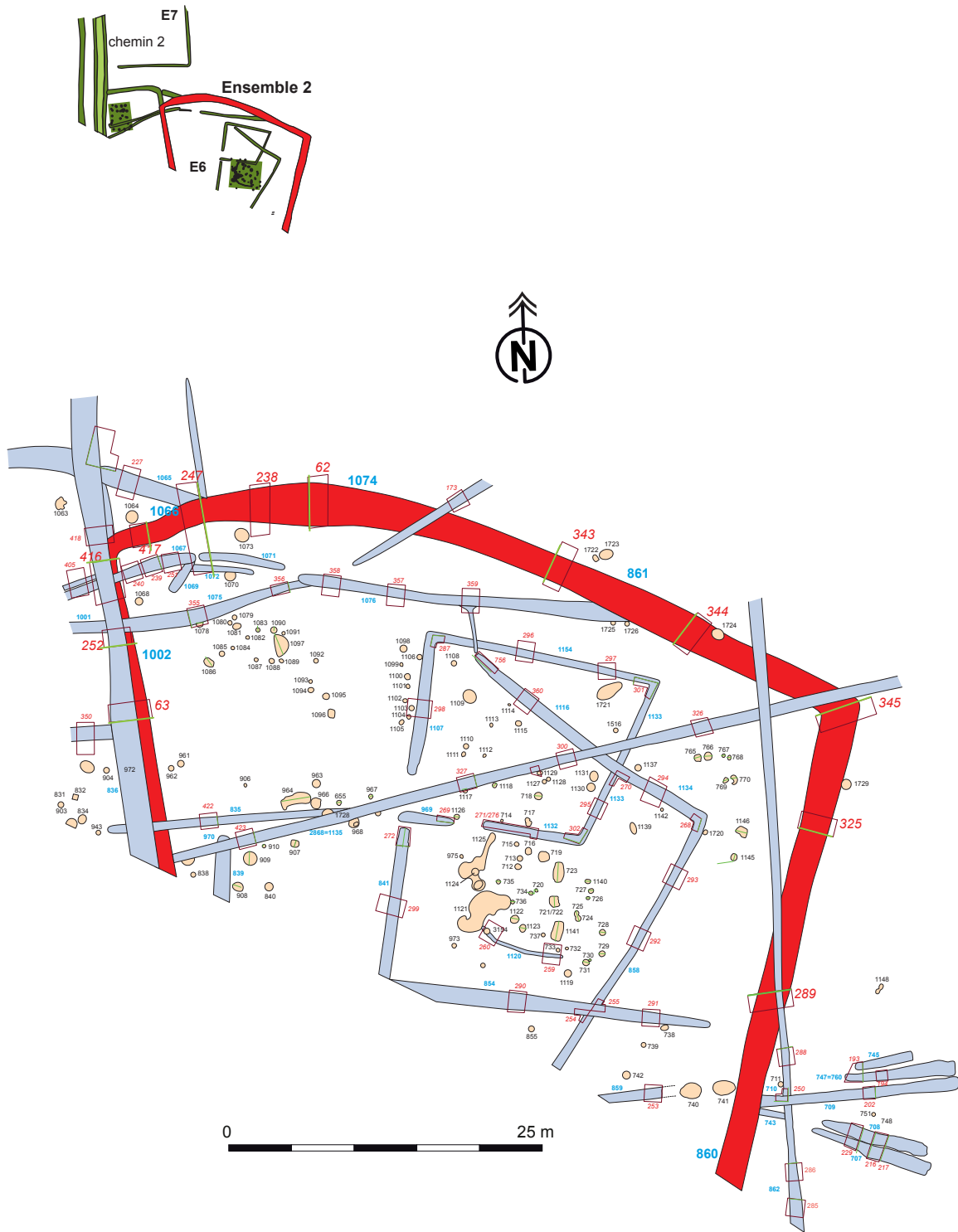


Fig. 161 : plan général de l'enclos E6

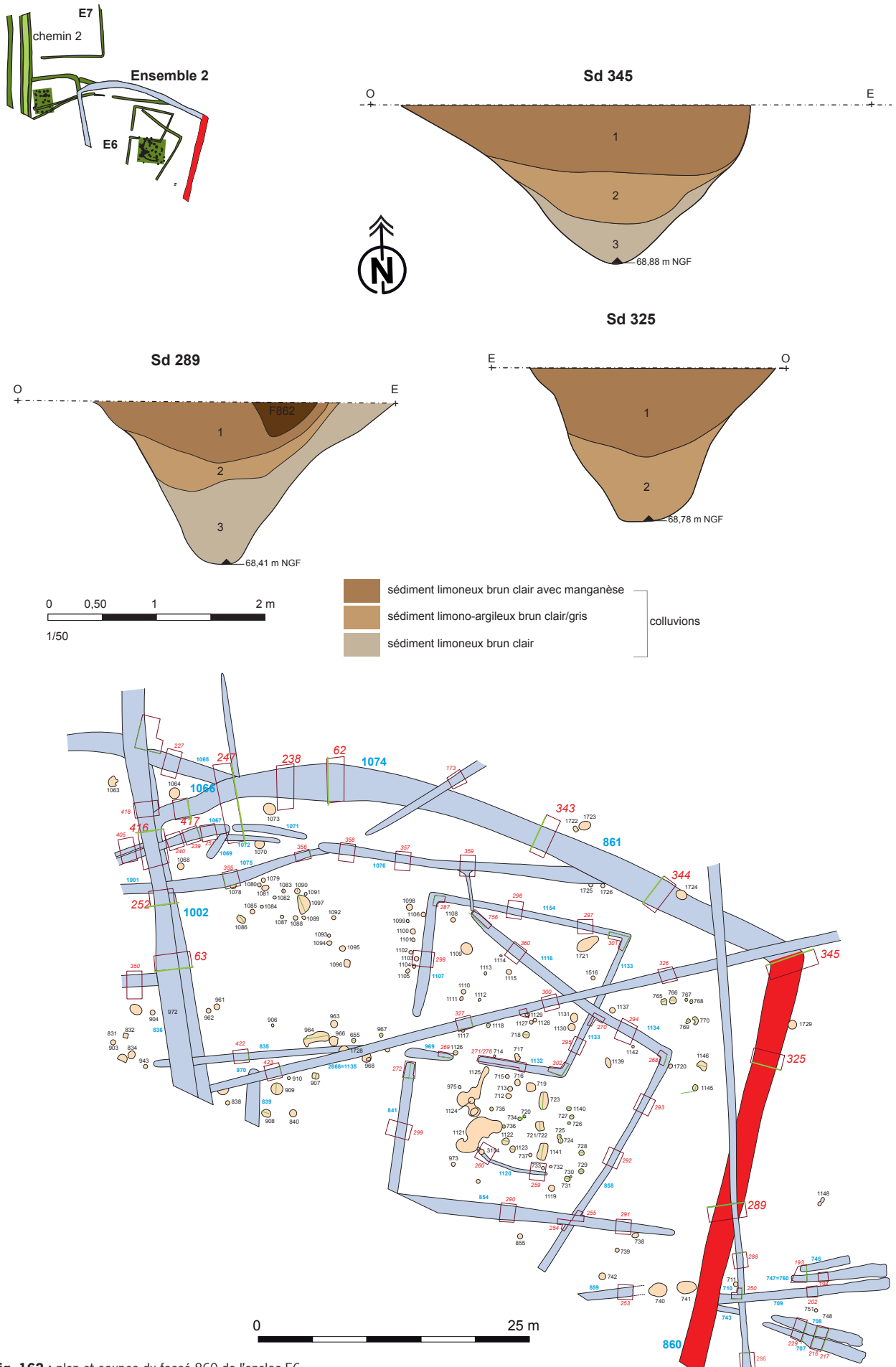


Fig. 162 : plan et coupes du fossé 860 de l'enclos E6

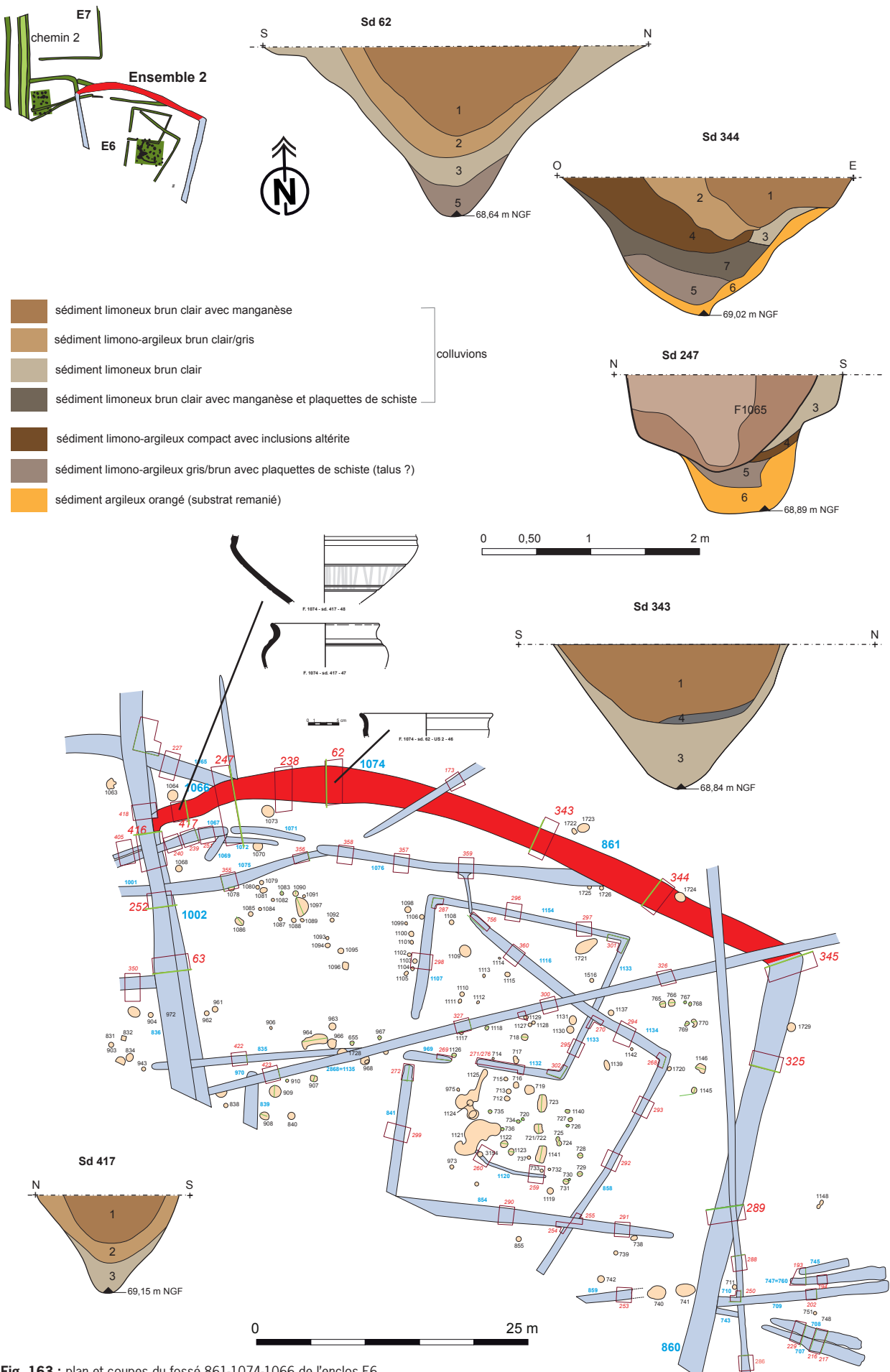


Fig. 163 : plan et coupes du fossé 861-1074-1066 de l'enclos E6

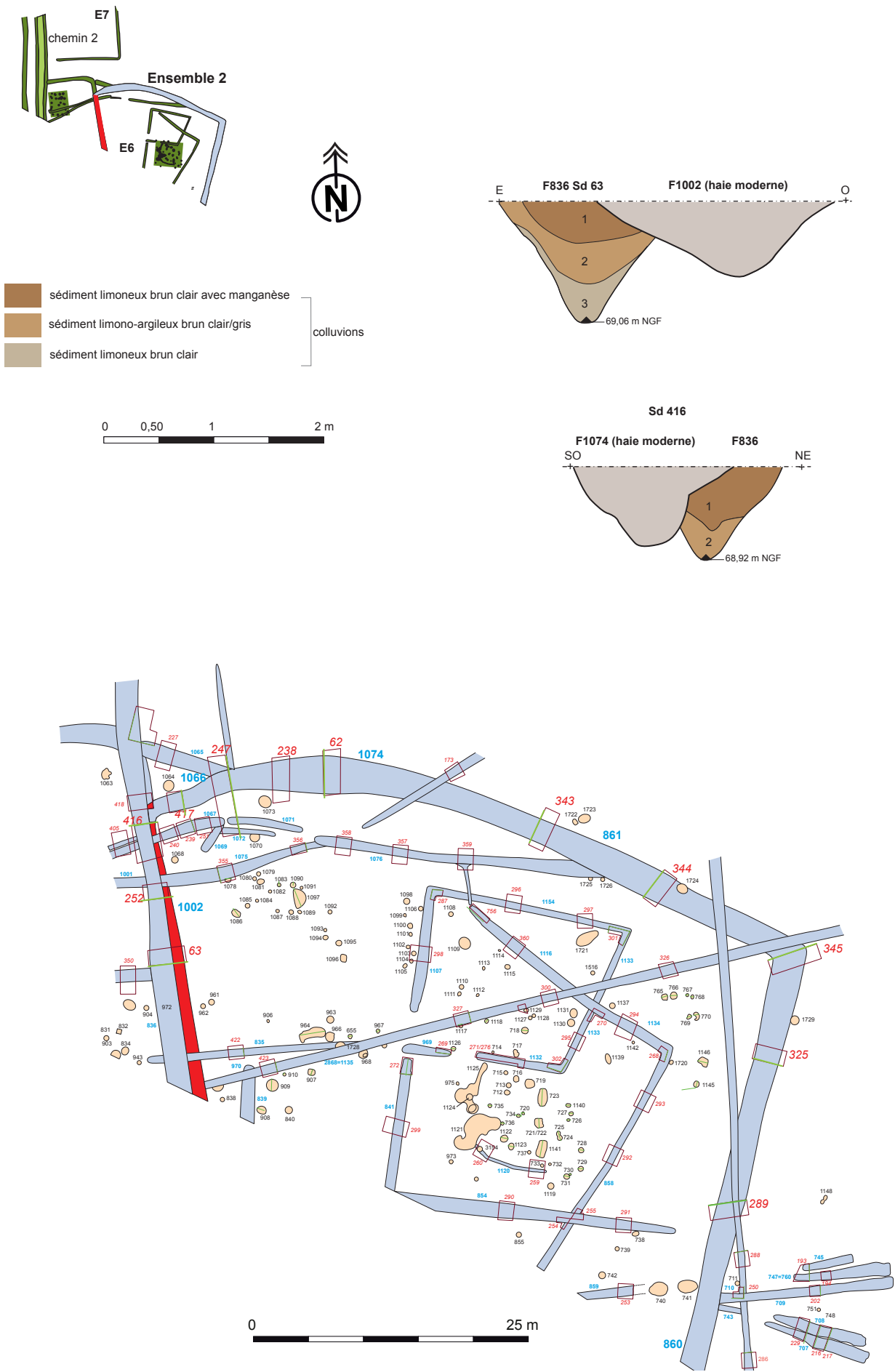


Fig. 164 : plan et coupes du fossé 836 de l'enclos E6



témoigne d'un fossé ouvert (mais sans stagnation apparente d'eau) comblé lentement par l'effondrement des parois.

- Vient ensuite US 2, constituée d'un sédiment limono-argileux brun clair grisé avec des inclusions de manganèse et d'altérite avec quelques cailloux de quartz et de rares charbons de bois. Présente au moins dans 5 sondages, il est possible qu'elle n'est pas été différenciée de la couche 1 dans les autres sondages.

- La 3<sup>e</sup> couche commune, c'est le comblement terminal US 1 constitué d'un sédiment limoneux brun clair avec de nombreuses petites inclusions de manganèse, quelques charbons de bois et des blocs de quartz.

Ces deux dernières phases doivent plus correspondre à un comblement volontaire plus ou moins rapide.

Deux coupes reprenant ce même schéma général de comblement se démarquent. Il s'agit des sondages 344 et 62, situés sur la façade nord de l'enclos. En effet, dans le fond du fossé dans la coupe 62, sur le flanc sud et surtout dans le sondage 344 se trouvent des poches de concentrations de schiste. Ces dernières pouvant provenir de l'éboulement dans le fossé d'un talus situé côté sud (fig. 167-1 et 168-1). De plus l'US 2 de cette coupe est la seule de l'ensemble des sondages à livrer une couche réellement à caractère détritique avec de gros morceaux de terre cuite et notamment de la plaque foyère. Enfin, la nature des comblements US 3 et US 5 ne semble pas s'apparenter à l'US 2 des autres coupes et relève donc d'un geste différent par rapport à la dynamique générale de comblement.

La fouille des fossés de cet enclos a livré peu de mobilier céramique : 69 tessons et 10 formes, situés principalement dans la couche terminale du comblement US 1. L'ensemble semble dater du début de La Tène finale, notamment la céramique provenant du sondage 406 n°49 (Pl. 7), datée du milieu du II<sup>e</sup> siècle avant notre ère (fig. 165). A cette même période se rattachent le vase 47 (Pl. 7) du sondage 417 appartenant au sous-groupe H20c ainsi que le profil incomplet 48, décoré de bandes verticales et obliques lustrées (Pl. 7). La céramique plus ancienne provenant du sondage 406, se rapporte vraisemblablement au fossé 1067 recoupé, dans ce sondage par le fossé 836. Il s'agit des vases 50 et 51 (Pl. 7) qui rappellent les formes du début de La Tène moyenne du site.

A noter qu'au sondage 345 du fossé 861 a été attribué du mobilier gallo-romain : amphore Dr. 20 d'Espagne et de Gaule lyonnaise ainsi qu'une assiette Drag. 18 de La Graufesenque. Ce mobilier provient en fait certainement du fossé antique 2868, qui traverse l'enclos gaulois.

A l'intérieur de cet enclos E6, se trouvent un certain nombre de structures et notamment de petits enclos et de possibles bâtiments sur poteaux.

#### **Enclos composé des fossés 1107, 1154, 1133, 1132**

C'est un petit enclos de forme plus ou moins trapézoïdal (fig. 169) dont la plus grande longueur est 19 m et la plus grande largeur est de 15 m. La largeur des fossés varie de 0,56 à 0,77 m pour une profondeur conservée allant de 0,24 à 0,42 m. Le comblement est constitué principalement d'un sédiment limono-argileux gris beige homogène avec de nombreux fragments de schiste, des poches d'altérite et du charbon de bois.

#### **Fossé 1107**

D'axe nord-est/sud-ouest il a été suivi sur une longueur de 11,65 m pour une largeur de 0,77 m et sur une profondeur conservée de 0,30 m. Les 3 sondages ouverts montrent un profil évasé avec un fond arrondi. Le sondage 298 montre un élargissement et un surcreusement pouvant correspondre à une perturbation naturelle ou à une structure étant venue

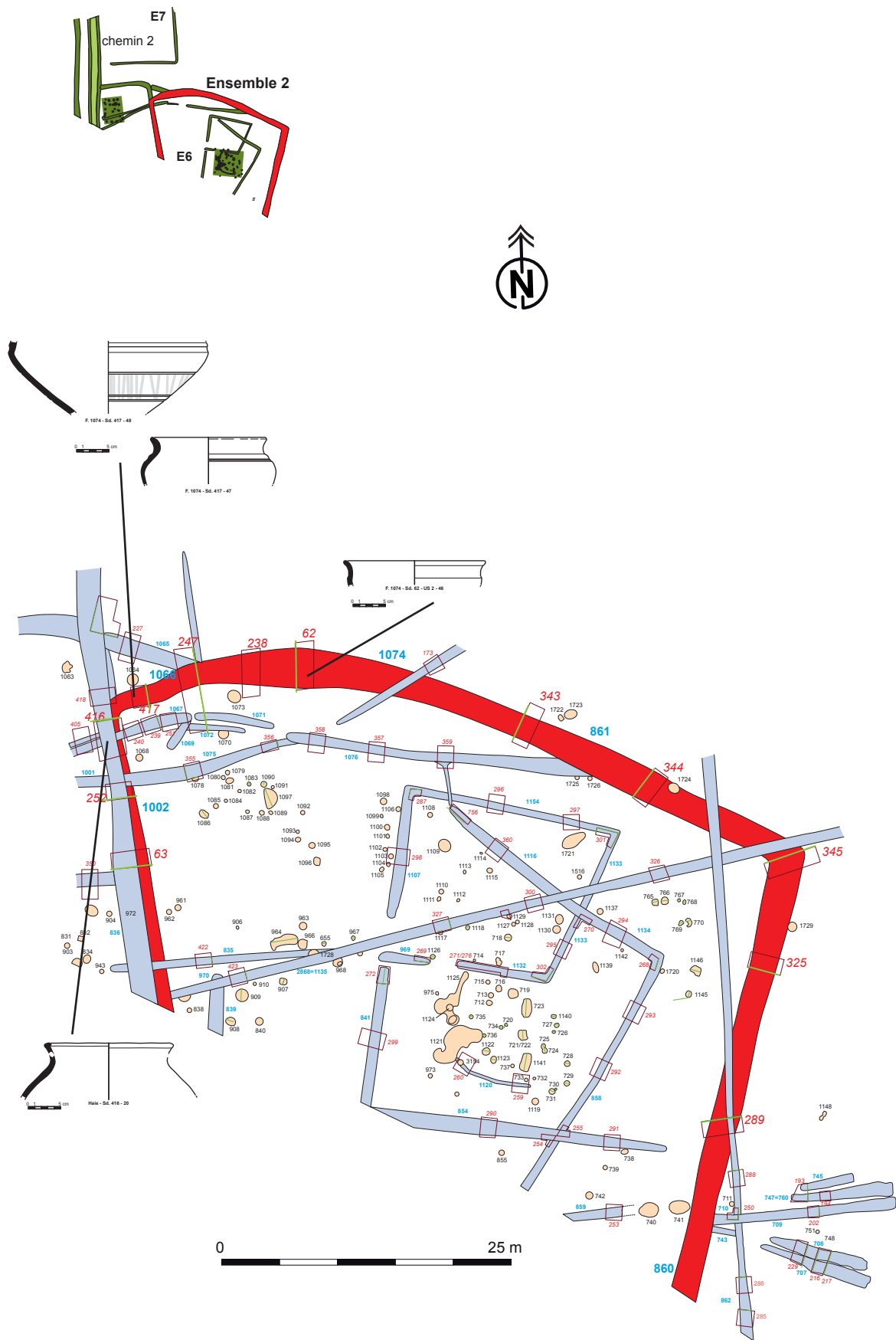


Fig. 165 : plan de localisation du mobilier céramique des fossés de l'enclos E6



1



2

Fig. 166 : sondages 325 du fossé 860 et 343 du fossé 861-1074-1066 © cliché équipe de fouille



1



2

Fig. 167 : sondages 344 et 417 du fossé 861-1074-1066 © cliché équipe de fouille



1



2

Fig. 168 : sondages 62 du fossé 861-1074-1066 et 63 du fossé 836 avec recoupement de ce dernier par la haie 1002 © cliché équipe de fouille

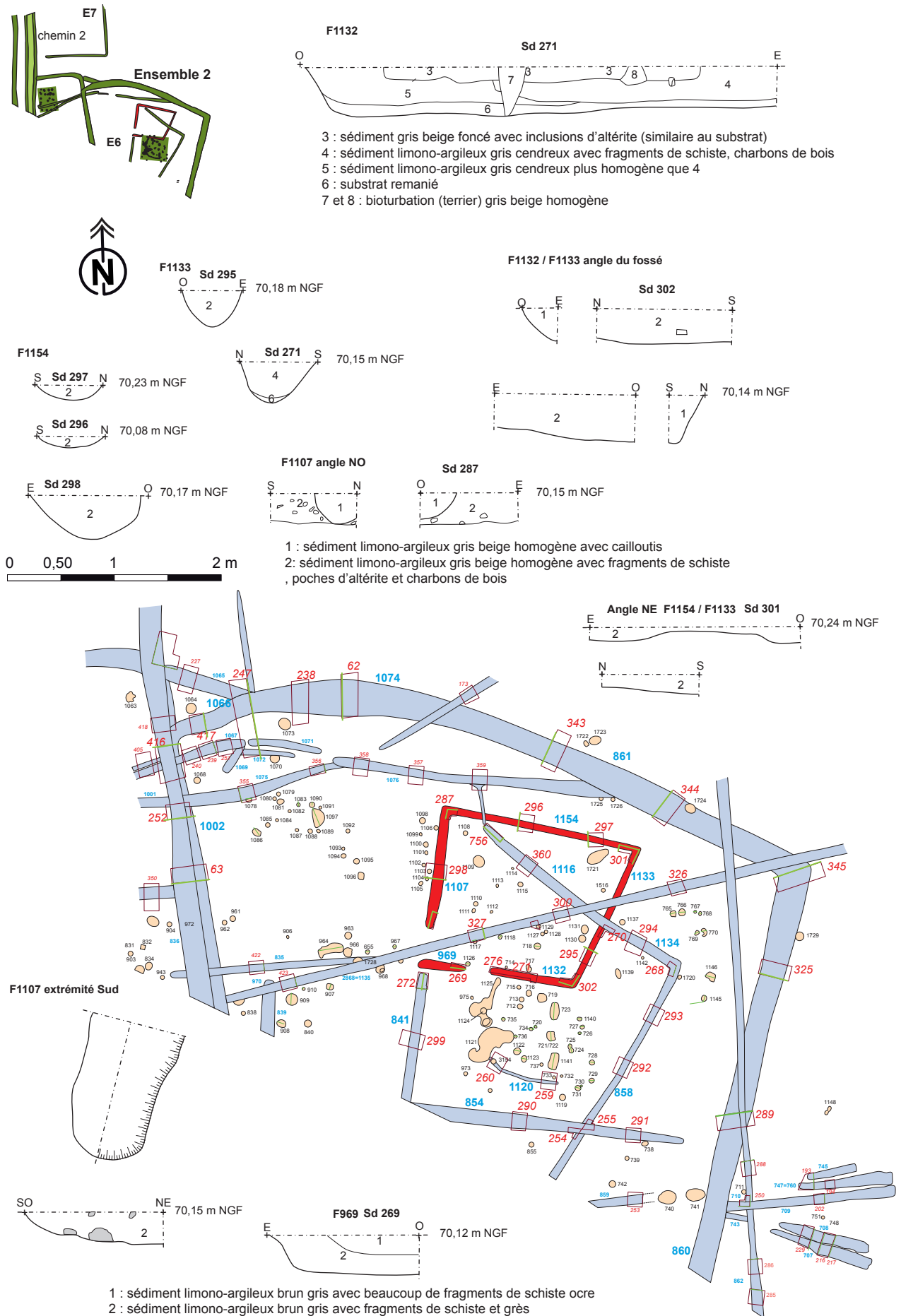


Fig. 169 : plan des fossés 841, 969, 1107, 1154, 1132 et 1133

recouper le fossé, mais le relevé de la coupe n'a pas permis de le préciser.

#### Fossé 1154

D'axe est/ouest, il a été suivi sur une longueur de 19 m et sur une largeur de 0,60 m pour une profondeur conservée de 0,12 m. Les 2 sondages montrent un profil évasé à fond arrondi. Le sondage 301 situé dans l'angle est avec le fossé 1133, montre que le creusement semble continu alors que le sondage 287 de l'angle ouest, présente un recreusement. Il s'agit peut être d'une phase de curage ou bien d'un creusement anthropique ou naturel.

#### Fossé 1133

D'axe nord-est/sud-ouest, il a été suivi sur une longueur de 15 m pour une largeur moyenne de 0,56 m et une profondeur conservée de 0,35 m. Le sondage 295 montre un profil évasé avec un fond arrondi.

#### Fossé 1132

D'axe est/ouest, il a été suivi sur une longueur de 8 m pour une largeur moyenne de 0,70 m et une profondeur conservée de 0,39 m. Le sondage 271 montre un profil évasé avec un fond arrondi. L'extrémité ouest semble bien marquée, avec un bord abrupt, ce qui peut confirmer de la présence d'une ouverture à cet endroit. Elle est d'environ 2,50 m entre 1132 et 969. Le sondage 276 réalisé sous la forme d'une coupe longitudinale montre une reprise des US 4 et 5 par l'US 3.

La fouille a livré 6 tessons de céramique dans le sondage 271 et 3 dans le sondage 302, dont un vase daté de La Tène finale.

#### Fossé 969

D'axe est/ouest, situé dans le prolongement de 1132 il a été suivi sur une longueur de 4,30 m et sur une largeur de 0,82 m pour une profondeur conservée de 0,37 m. L'extrémité ouest présente un bord abrupt avec un fond plat. Le comblement est constitué d'un sédiment limono-argileux brun gris avec beaucoup de fragments de schiste ocre en surface et de fragments de grès au fond. Ce petit bout de fossé forme une double ouverture pour pénétrer dans l'enclos, à la fois avec le fossé 1132 (flanc sud) de 2,50 m de large et avec le fossé 1107 (flanc ouest) de 3 m.

Ce premier petit enclos est recoupé par une portion d'enclos constituée des fossés 1134-1116-858. Ces derniers forment un angle droit avec pour la façade nord-est, les fossés 1116 et 1134 et la façade sud-est, le fossé 858 (fig. 170).

#### Façade nord-est 1116-1134

Ce fossé a été suivi sur une longueur de 23 m et une largeur moyenne d'1 m pour une profondeur conservée de 0,34 m (fig. 170). Sur les 5 sondages ouverts, 4 ont été relevés. Ils montrent, notamment avec le sondage 294, un profil en V ouvert avec un fond arrondi. Le comblement principal est composé d'un sédiment limono-argileux gris compact avec fragments de schiste et charbons de bois. Ce segment de fossé est recoupé par le fossé gallo-romain 2868 qui le traverse selon un axe nord-est/sud-ouest. Par contre d'après le sondage 270, il recoupe le fossé 1133, ce qui pose, nous le verrons dans la suite du chapitre un problème chrono-stratigraphique. Cette façade nord-est s'interrompt en extrémité nord-ouest juste avant le fossé 1154. Comme le montre le sondage 756, le profil remonte progressivement vers l'extrémité et s'arrête de manière abrupte.

La fouille a livré 298 tessons de céramique pour 3 formes, provenant uniquement du sondage 268. Le nombre de restes est ici surreprésenté du fait de l'importante fragmentation des tessons, dû non pas aux modalités d'abandon ou à la taphonomie mais plutôt au type de pâte dont le mauvais état de conservation rend difficile le remontage. Laèvre graphitée à

cannelure labiale interne 30 (Pl. 4) ainsi que le vase 29 (Pl. 4) du groupe H22, confirment la datation de la fin du IV<sup>e</sup> siècle et du début du III<sup>e</sup> siècle av. J.-C.

Le sondage 268 montre que le segment nord-est 1116-1134, constitue un même creusement continu avec le segment sud-est 858.

#### Fossé 858

Il a été suivi sur une longueur de 23 m selon un axe nord-est/sud-ouest pour une largeur moyenne de 0,60 m et une profondeur conservée de 0,30 m. Les trois sondages ouverts ont été relevés. Ils montrent comme pour 1134, un profil en V ouvert avec un fond arrondi. Le comblement est également un sédiment limono-argileux gris compact avec fragments de schiste et charbons de bois. Seul le sondage 293 montre un effondrement des parois. Les sondages 254 et 255 montrent que le fossé 858 est recoupé par le fossé 854 (non daté). Le fossé 858 se poursuit hors emprise vers le sud-ouest. La fouille n'a pas livré de mobilier.

Nous avons précédemment évoqué un problème chrono-stratigraphique. En effet la portion d'enclos 1134-1116-858 datée de La Tène ancienne recoupe d'après la coupe du sondage 270, l'enclos constitué des fossés 1107-1154-1133-1132 et peut être 969. Cependant la fouille du sondage 302 du fossé 1132 a livré de la céramique, dont une forme 42 (Pl. 7), est datée de La Tène finale. Donc soit, ce fossé a bien une phase d'utilisation antérieure à 1134 et la céramique Tène finale proviendrait d'une réutilisation postérieure de ce dernier, soit il y a eu une erreur d'interprétation de la coupe. Il faut noter que la coupe 271 montre un recusement des US 4 et 5, il est donc possible qu'il y est (comme nous allons le voir plus loin) une phase postérieure pouvant être liée à la concentration de trous de poteaux située à proximité.

En vis à vis du fossé 1107 se trouve un petit ensemble composé des fossés 841 et 854 (fig. 171).

#### Fossé 841

D'axe nord-est/sud-ouest, il est situé dans le prolongement du fossé 1107 et peut constituer un développement vers le sud de l'enclos. Il a été suivi sur une longueur de 12 m pour une largeur de 1 m et une profondeur conservée de 0,30 m. Le sondage 299 montre un profil évasé avec un fond arrondi. Le comblement est constitué d'un sédiment limono-argileux gris orangé avec fragments de schiste, petits blocs de quartz et terre cuite. La fouille a livré 1 tesson de céramique de période protohistorique dans le sondage 272.

Il est possible que le fossé 854 participe à ce même système, pouvant constituer un retour est/ouest de 841.

#### Fossé 854

D'axe est/ouest, il a été suivi sur une longueur de 27 m pour une largeur de 0,90 m et une profondeur conservée de 0,25 m. Dans le sondage 290, la largeur est de 1,40 m mais à cet endroit le fossé est recoupé par une fosse de plantation d'arbre. Le profil est évasé et le fond arrondi. Le comblement est constitué d'un sédiment limono-argileux gris beige avec altérite et quelques fragments de schiste. Dans les sondages 254 et 255 le fossé 854 recoupe le fossé 858.

La fouille n'a pas livré de mobilier.

Ces systèmes de petits enclos emboîtés enferment des concentrations de trous de poteaux, pouvant se rapporter à au moins 4 bâtiments (bâtiment 11, 12, 13 et 14) (fig 172).



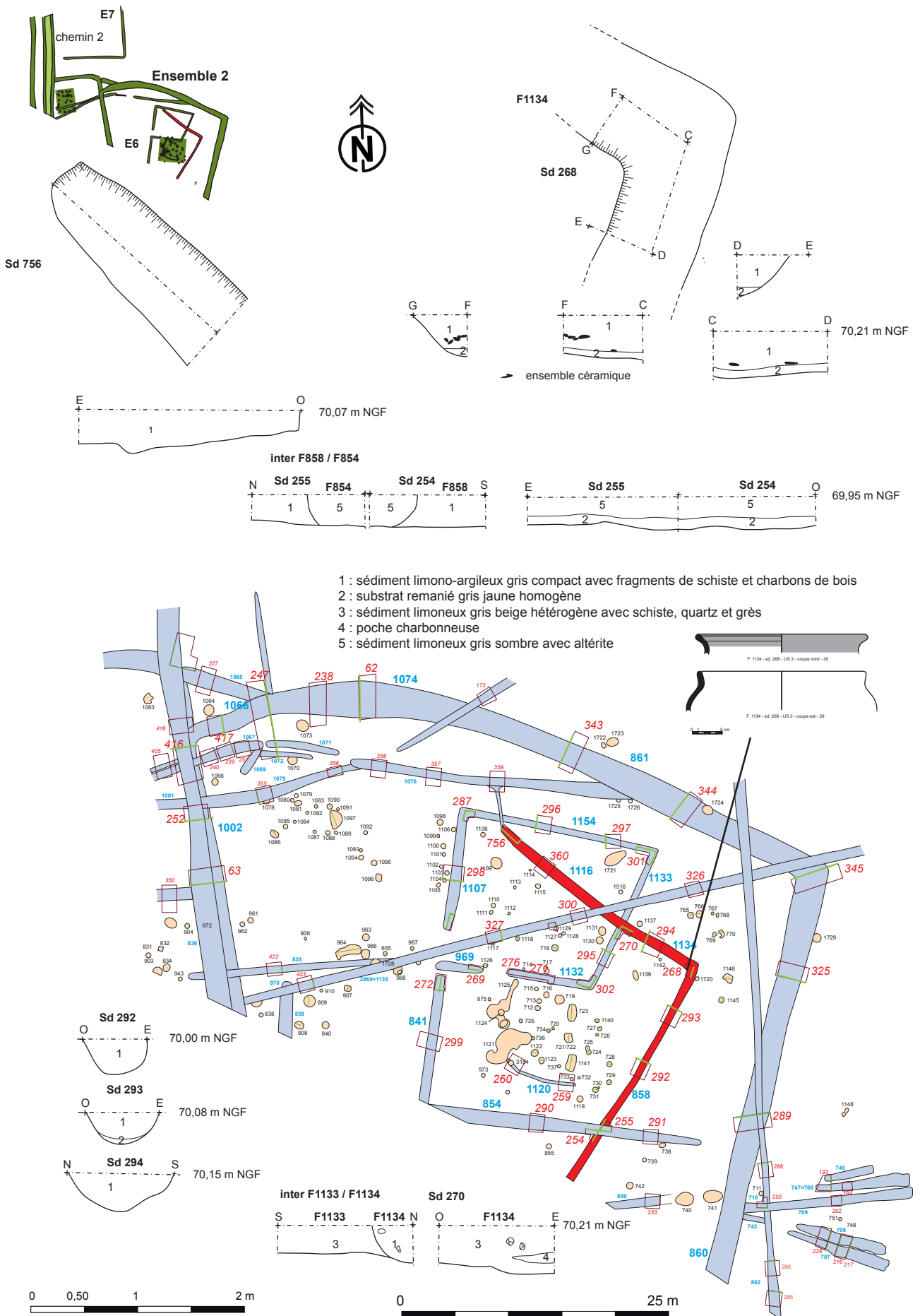


Fig. 170 : plan et coupes des fossés 1116, 1134 et 858

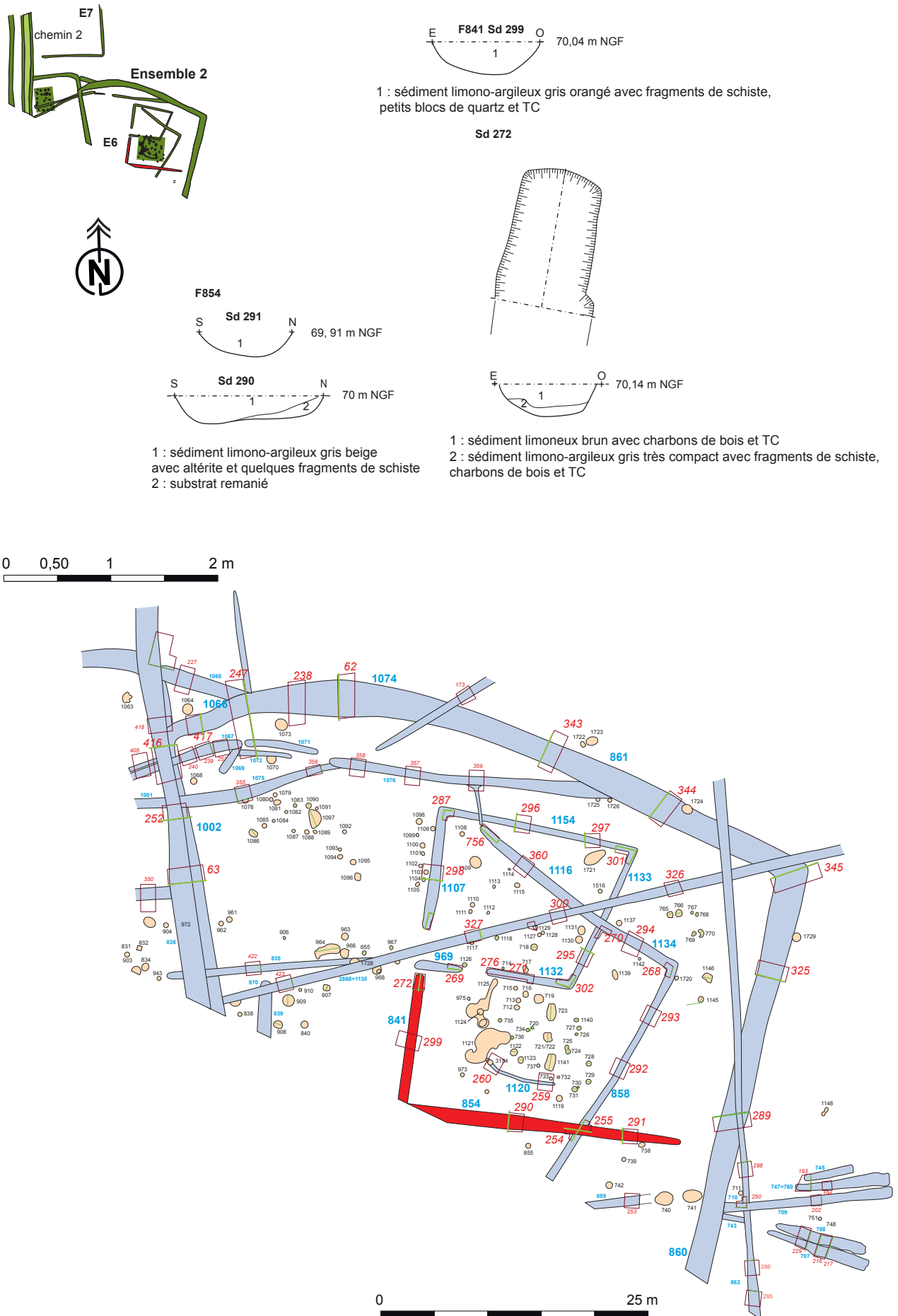
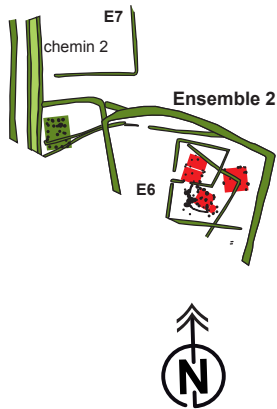


Fig. 171 : plan et coupes des fossés 841 et 854



### Bâtiment 11

Il est situé à l'intérieur de ces petits enclos entremêlés et semble être constitué de petites tranchées de fondation enserrant des concentrations de trous de poteaux (fig. 172). La tranchée 1120 située au sud est recoupée par un chablis 1121 et peut se prolonger par la tranchée 1125 masquée également par le chablis 1124 côté ouest. Pour la partie nord, il semble que cette tranchée corresponde au recreusement du fossé 1132, retrouvé dans la coupe longitudinale du sondage 271 (fig. 173). Cette tranchée visible qu'en coupe a été suivie sur une longueur de 4 m et sur une profondeur de 0,13 m. Le comblement est constitué d'un sédiment beige foncé avec inclusions d'altérite.

### Tranchée 1120

Elle a été suivie sur une longueur de 6,80 m pour une largeur de 0,25 m et une profondeur de 0,05 m (fig. 173). Le profil est évasé avec un fond arrondi. Le comblement est constitué d'un sédiment limoneux gris beige. L'ouverture du sondage 260 a permis la mise au jour d'un trou de poteau 3154, creusé dans la tranchée. D'un diamètre de 0,33 m, il est conservé sur une profondeur de 0,13 m. Le comblement est constitué d'un sédiment limoneux brun gris.

Les trous de poteaux et les fosses arasées constituent vraisemblablement les supports d'au moins un bâtiment pouvant peut être s'inscrire dans un

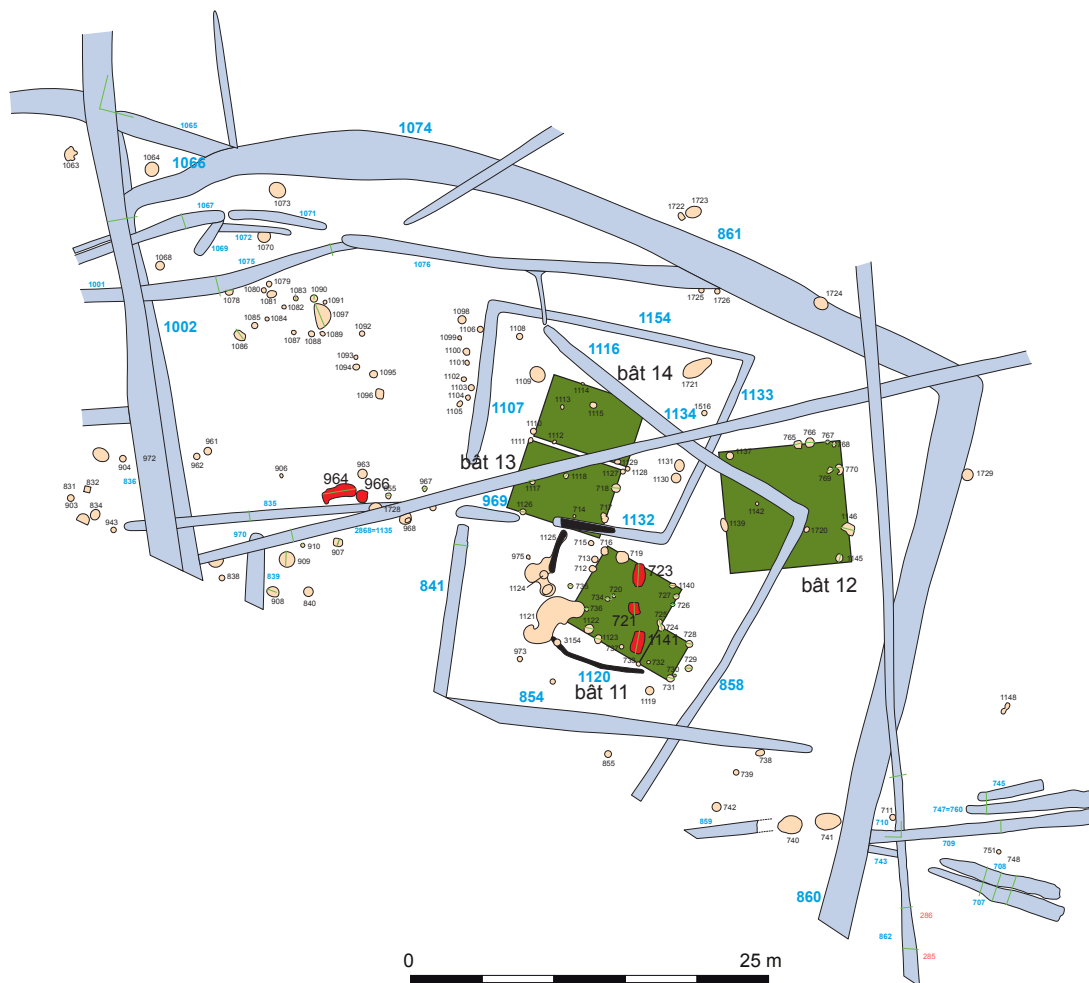
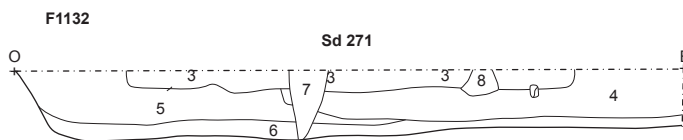
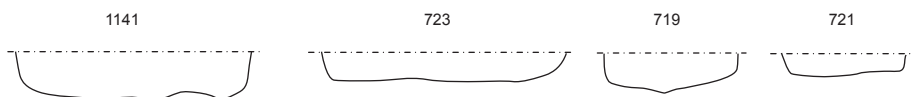
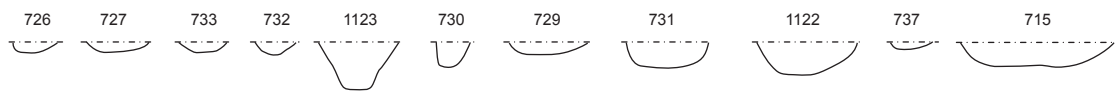
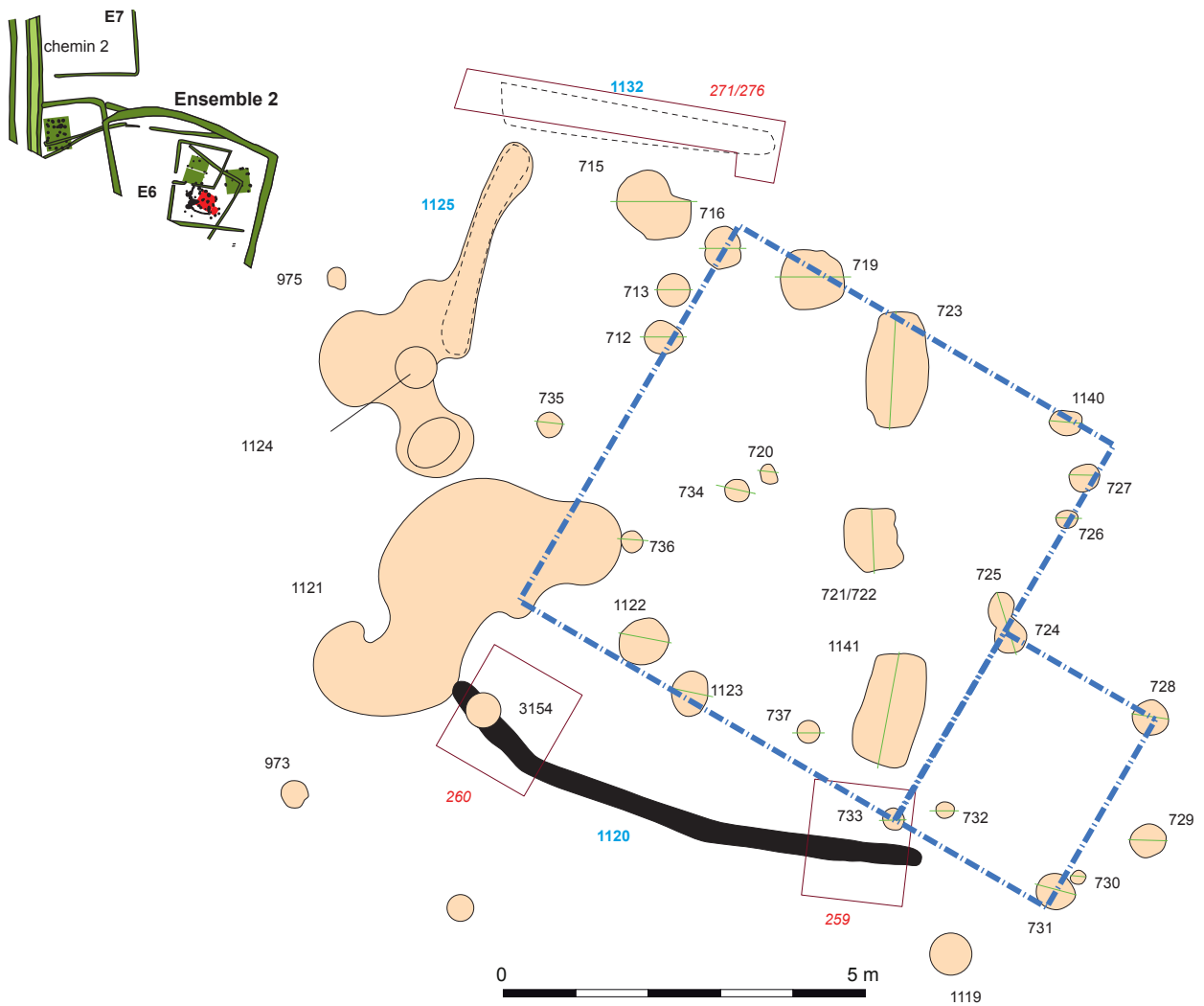
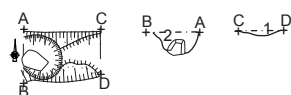


Fig. 172 : plan général de localisation des bâtiments et des fosses

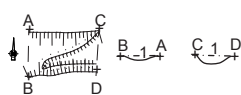


**F1120**

**Sd 260**



**Sd 259**



- 3 : sédiment gris beige foncé avec inclusions d'altérite (similaire au substrat)
- 4 : sédiment limono-argileux gris cendré avec fragments de schiste, charbons de bois
- 5 : sédiment limono-argileux gris cendré plus homogène que 4
- 6 : substrat remanié
- 7 et 8 : bioturbation (terrier) gris beige homogène

- 1 : sédiment limoneux gris beige
- 2 : sédiment limoneux brun gris

**Fig. 173** : bâtiment 11 avec coupes des trous de poteaux et fosses ainsi que restitution possible du plan

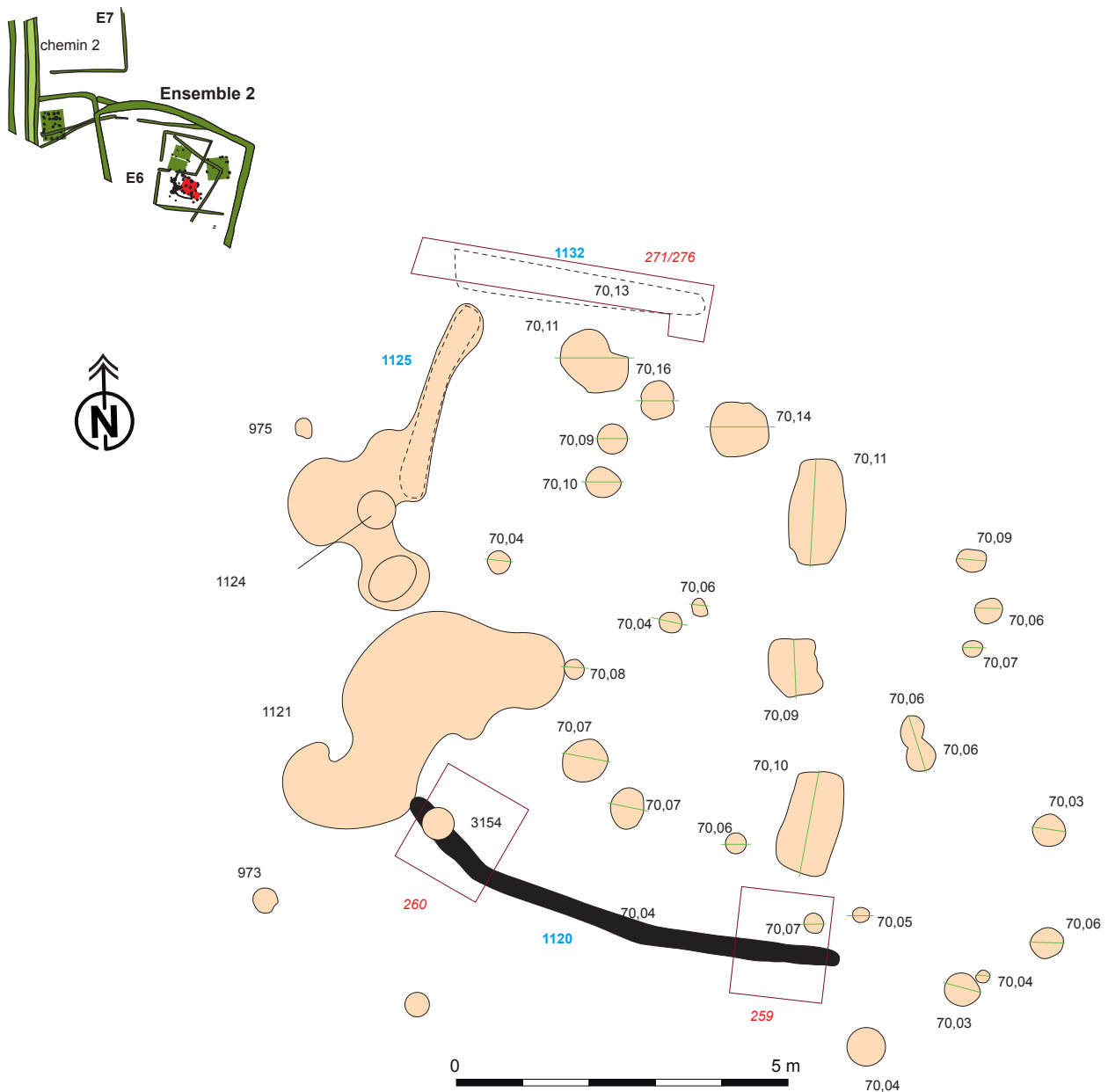


Fig. 174 : plan du bâtiment 11 avec cote NGF

carré d'environ 6 m de côtés avec dans l'angle sud-est une entrée ou une petite annexe de 3 m sur 2,40 m (fig. 173), soit environ 43 m<sup>2</sup>. L'ensemble étant limité au sud à l'ouest et au nord par les tranchées de fondation ou de récupération des eaux de pluie. Ceci est donné à titre d'hypothèse de travail, d'autres combinaisons sont également possibles.

De plus la fouille n'a livré du mobilier céramique que dans la fosse 1141.

#### Fosse 1141

De forme quadrangulaire, elle fait 1,54 m de longueur sur 0,82 m de largeur et 0,28 m de profondeur (fig. 173). Les parois sont abruptes avec un fond relativement plat. En extrémité nord-est, une dépression peut s'apparenter à un trou de poteau. Elle est comblée d'un sédiment limono-argileux gris jaune comportant des charbons de bois à la base. Le reste de la fosse est comblé d'un sédiment limono-argileux brun jaune à gris comportant de nombreux fragments de terre cuite et de charbons de bois. La fouille a livré 1 tesson de céramique de période protohistorique.

Trois autres fosses sont présentes dans ce secteur : 719, 721 et 723.

#### Fosse 719

De forme circulaire, elle fait 0,88 m de diamètre pour une profondeur conservée de 0,26 m (fig. 173). Les parois sont abruptes et le fond forme une pointe. Le comblement est constitué d'un sédiment limono-argileux gris beige, avec fragments de schiste.

#### Fosse 721

De forme plus ou moins quadrangulaire, elle fait 0,84 m de longueur sur 0,77 m de largeur et conservée sur 0,17 m de profondeur (fig. 173). Les parois sont abruptes et le fond irrégulier. Le comblement est constitué d'un sédiment limono-argileux brun orangé, avec fragments de schiste et de quartz ainsi que charbons de bois et terre cuite.

#### Fosse 723

De forme quadrangulaire, elle fait 1,60 m de longueur sur 0,86 m de largeur pour une profondeur conservée de 0,20 m (fig. 173). Les parois sont abruptes et le fond est relativement plat. Le comblement est constitué d'un sédiment limono-argileux gris orangé avec charbons de bois et terre cuite.

Parmi ces fosses, 723 et 1141 présentent des ressemblances de dimension et de forme entre elles et des similitudes de comblement avec la fosse 721. Il est possible donc que ces 3 structures se rattachent à une même période protohistorique.

Un autre bâtiment composé de trous de poteaux peut également être proposé au nord-est du bâtiment 11.

#### Bâtiment 12

Il semble former un carré de 8,5 m de côté, soit une superficie interne de 72,25 m<sup>2</sup> (fig. 175). De nombreux poteaux des parois ne seraient pas conservés. Les creusements périphériques ont des diamètres variant de 0,26 à 0,62 m pour des profondeurs conservées allant de 0,08 à 0,20 m. Le profil est en cuvette avec un fond arrondi. Le comblement est un sédiment limono-argileux brun gris homogène compact avec plaquettes de schiste et fragments de quartz avec rares charbons de bois.

#### Bâtiment 13

Il semble former un rectangle de 6,80 m de longueur sur 5 m de largeur. Soit une superficie interne 34 m<sup>2</sup> (fig. 176). Les creusements périphériques ont des diamètres variant de 0,20 à 0,40 m pour des profondeurs conservées d'environ 0,08 m. Le profil est en cuvette avec un fond arrondi. Le comblement est un sédiment limono-argileux brun gris homogène compact avec plaquettes de schiste et fragments de quartz avec rares charbons de bois. La structure 717 peut correspondre à deux trous de poteaux l'un à côté de l'autre.

#### Bâtiment 14

Il semble former un rectangle de 7,20 m de longueur sur 4,50 m de largeur. Soit une superficie interne de 32,40 m<sup>2</sup> à peu près équivalente à celle du bâtiment précédent (fig. 177). Les creusements périphériques ont des diamètres variant de 0,20 à 0,25 m pour des profondeurs conservées allant de 0,04 à 0,09 m. Le profil est en cuvette avec un fond arrondi. Le comblement est un sédiment limono-argileux brun gris homogène compact avec plaquettes de schiste et fragments de quartz avec rares charbons de bois.

D'autres poteaux situés dans la partie nord-ouest de l'enclos E6 se rapportent vraisemblablement à d'autres bâtiments mais aucun plan précis

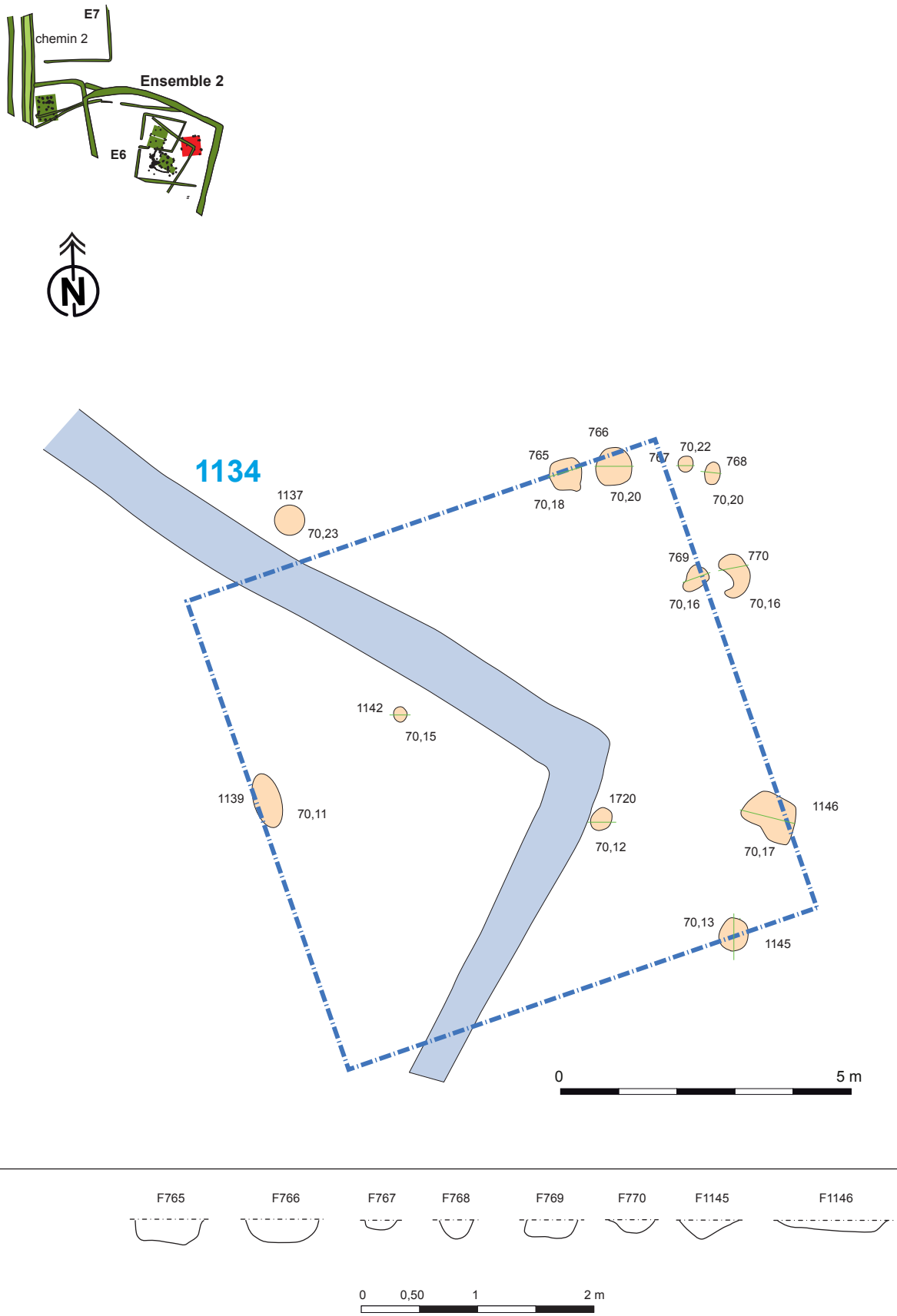


Fig. 175 : plan du bâtiment 12 avec coupe des trous de poteaux et cotes NGF

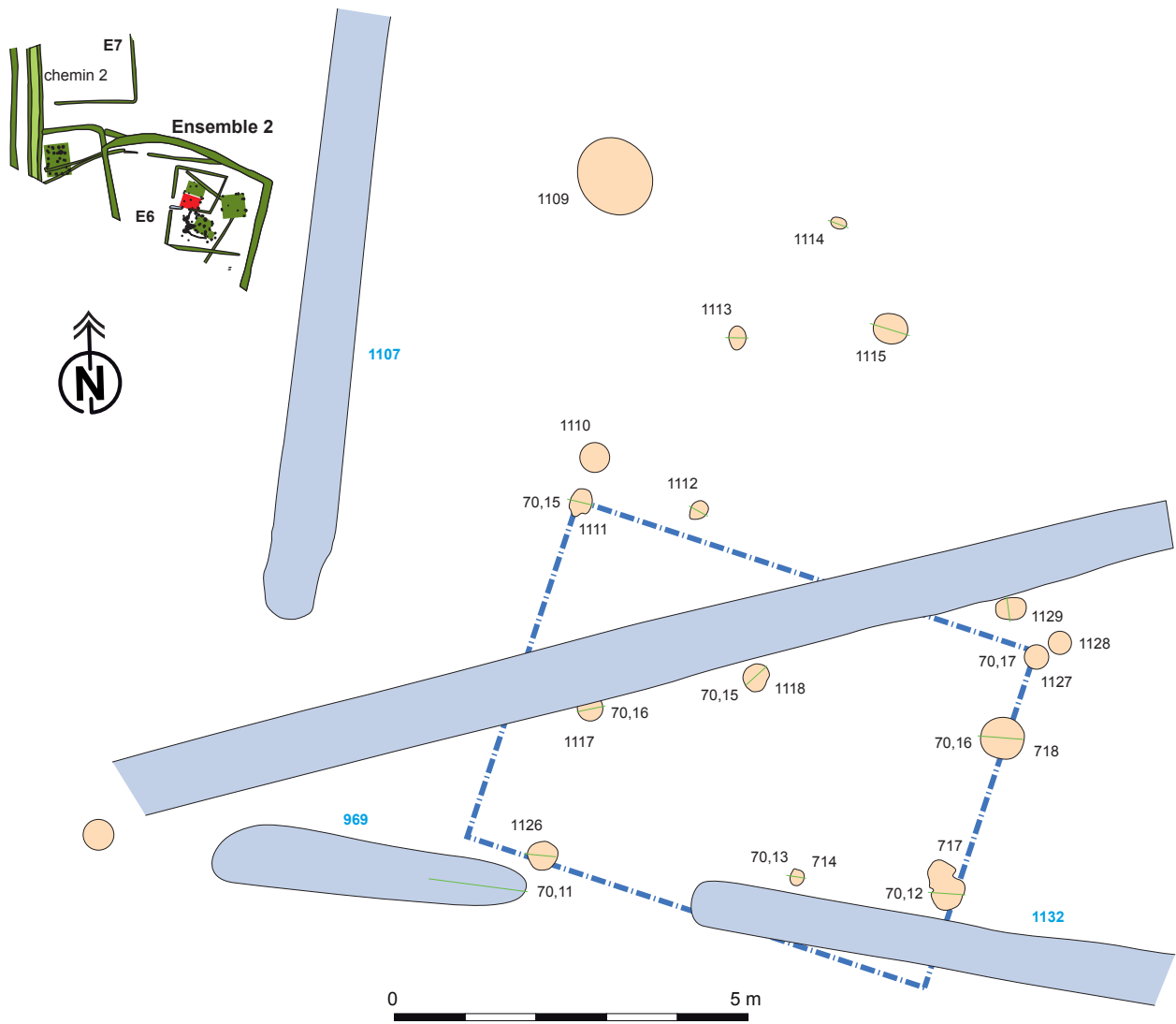


Fig. 176 : plan du bâtiment 13 avec coupe des trous de poteaux et cotes NGF



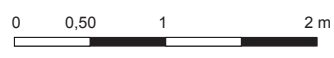
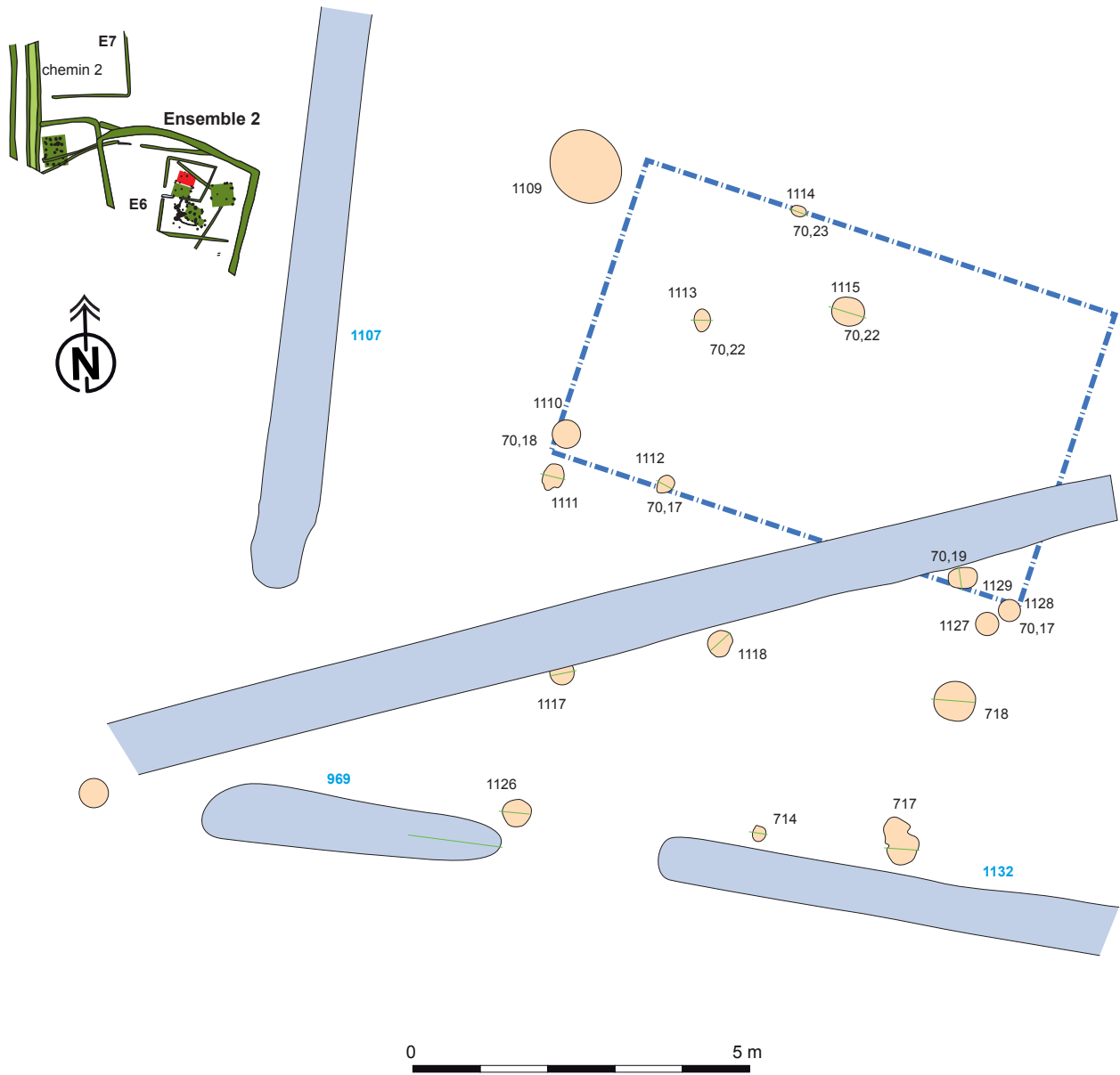
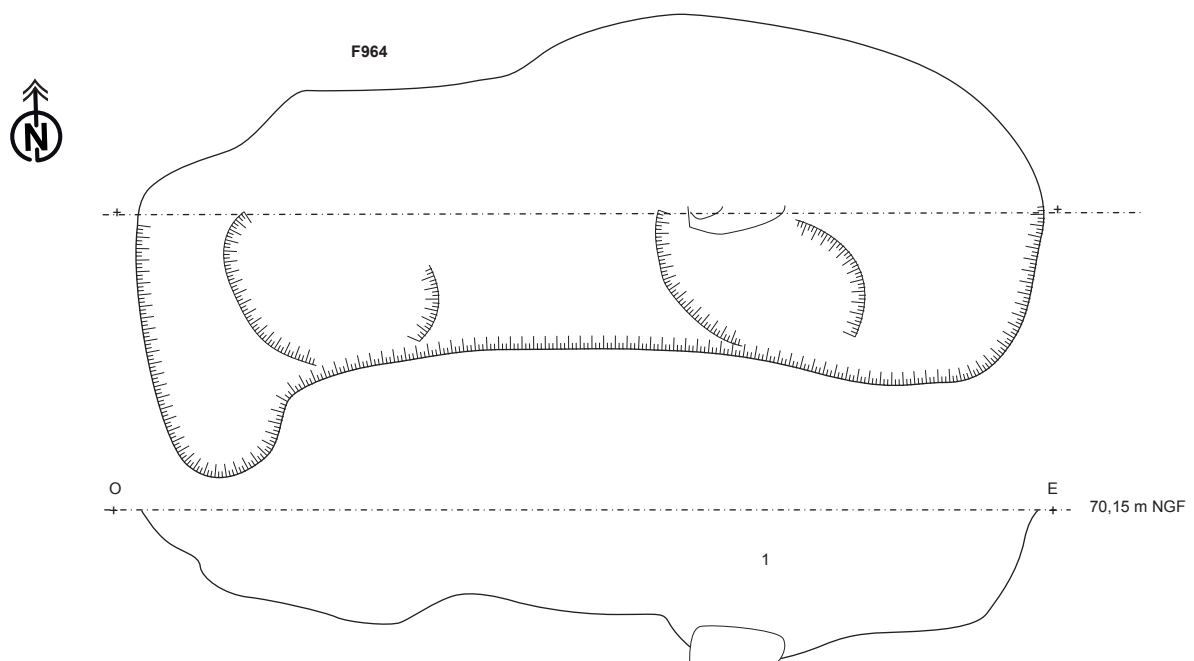


Fig. 177 : plan du bâtiment 14 avec coupe des trous de poteaux et cotes NGF

ne se dessine. Deux fosses ont livré du mobilier protohistorique. Il s'agit de 964 et 966.

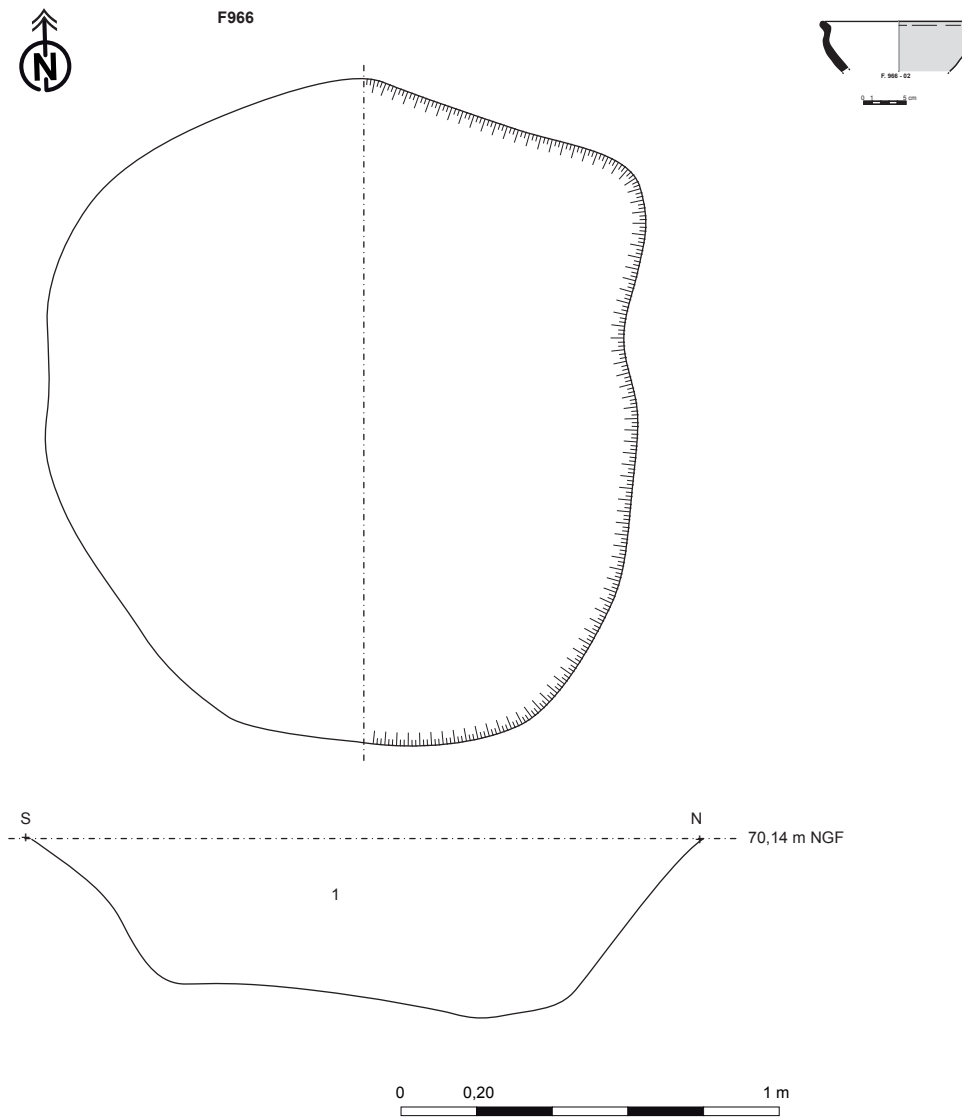
**Fosse 964** est une fosse étroite allongée de 2,40 m dans sa plus grande longueur et 0,90 m dans la largeur pour une profondeur conservée de 0,30 m (fig. 178). Les parois sont abruptes et le fond est irrégulier. Des dépressions situées sur le fond peuvent correspondre à des trous de poteaux mais le comblement homogène ne permet pas de le confirmer. Le comblement est constitué d'un sédiment limoneux brun clair homogène avec quelques charbons de bois.



1 : sédiment limoneux gris brun clair homogène avec rares charbons de bois



Fig. 178 : plan et coupe de la fosse 964 © cliché équipe de fouille



1 : sédiment argilo-limoneux beige orangé  
compact homogène avec fragments de schiste et charbons de bois

Fig. 179 : plan et coupe de la fosse 966 © cliché équipe de fouille

La fouille a livré 3 tessons de céramique de période protohistorique.

#### Fosse 966

C'est une petite fosse circulaire de 0,78 m de diamètre pour une profondeur conservée de 0,22 m (fig. 179). Les parois sont évasées et le fond est irrégulier. Le comblement est constitué d'un sédiment argilo-limoneux beige orangé compact homogène avec des fragments de schiste et des charbons de bois.

La fouille a livré 2 tessons de céramique dont une forme datée de La Tène moyenne (n° 2 PL. 7).

L'enclos E6 est traversé par des fossés antiques mais également par les fossés 1076 et 827-1067 (fig. 180) les deux étant datés de la période gauloise. Le fossé 1076 situé en vis-à-vis du fossé 827-1067 est séparé de ce dernier d'un peu plus de 8 m. Ces deux éléments peuvent constituer une façade nord d'un enclos curviligne. Le fossé 885-945 vient se greffer sur le fossé 827-1067.

#### Fossé 1076

Il a été suivi selon un axe est/ouest sur une longueur de 25 m pour une largeur moyenne de 0,90 m et une profondeur conservée de 0,72 m. Sur les trois sondages ouverts, deux ont été relevés (358 et 359), indiquant un profil en V très marqué avec un fond arrondi ou aplati. Le sondage 359 présente un effondrement de paroi indiquant que le fossé est resté ouvert un certain temps. A noter que ce fossé est recoupé en son extrémité nord-ouest par le fossé gallo-romain 1075.

La fouille des sondages 357 et 358 a livré 20 tessons de céramique pour 3 formes datés de La Tène ancienne (PI. 3).

#### Fossé 827-1067

Il a été suivi sur 31,67 m de longueur selon un nord-est/sud-ouest, sur une largeur moyenne de 0,70 m pour une profondeur conservée de 0,50 m. Sur les onze sondages ouverts dans ce fossé, six ont été relevés. Ils montrent un profil en V avec un fond arrondi (fig. 180). Le comblement principal est composé d'un sédiment limono-argileux gris beige avec des fragments de schiste, de l'altérite et des inclusions de charbons de bois et de terre cuite. Certaines coupes montrent des traces d'effondrement des parois, indiquant qu'il est resté ouvert pendant un certain temps.

Ce fossé se poursuit vers le sud-ouest, alors qu'il présente une interruption côté nord-est sur le segment 1067. A noter qu'il est recoupé dans les sondages 354, 154 et 166 par des trous de poteaux.

La fouille a livré 223 tessons et 10 formes (PI. 3) répartis dans 6 sondages d'un bout à l'autre du fossé, ce qui confirme une datation bien homogène, sans mélange et reprise postérieure. C'est un lot quantitativement important et bien daté. En effet, celui-ci semble clairement appartenir à la transition entre La Tène ancienne et La Tène moyenne.

Il faut souligner, dans le sondage 416, intersection entre la haie moderne et le fossé 827, la présence d'un col de vase de la même époque 20 (PI. 4).

#### Fossé 885-945

Il reprend à peu près le même axe nord-est/sud-ouest du fossé 827 et rejoint ce dernier à partir du sondage 404 pour presque se confondre avec lui au niveau du sondage 416. Malheureusement, ce sondage correspond à un véritable carrefour entre ces deux fossés, le fossé d'enclos 1074 et la haie moderne 1002. La conjonction de ces différents éléments fait que l'on perd la trace côté nord-est de ce fossé 885. Côté sud-ouest, il semble se terminer par un ressaut vers le nord-ouest, mais il se trouve dans une zone très riche en trous de poteaux. Il est donc possible que son extrémité soit perturbée par l'un d'entre eux. Par contre contrairement à 827, aucun trou de poteau ne vient recouper le tracé du fossé.

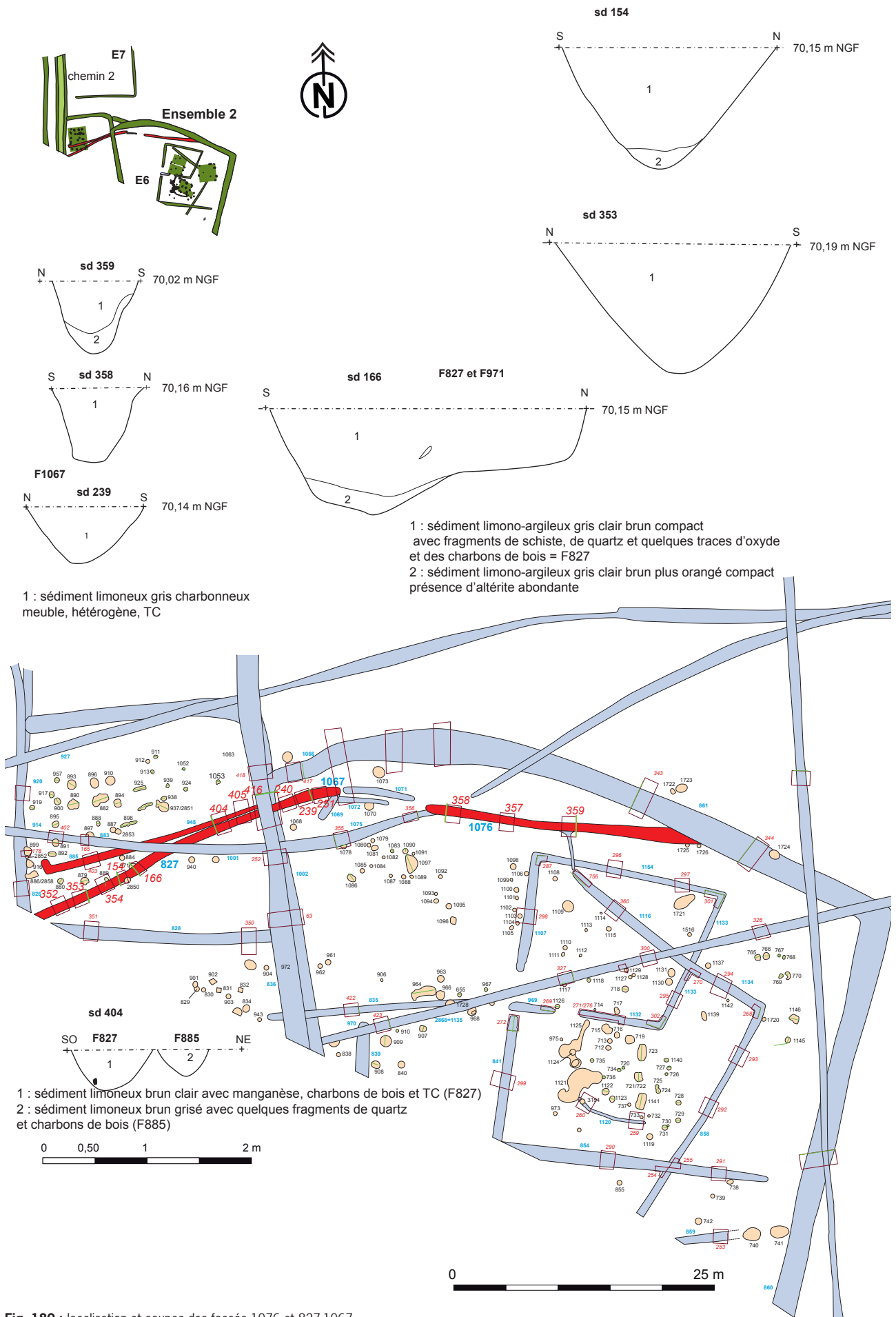


Fig. 180 : localisation et coupes des fossés 1076 et 827-1067

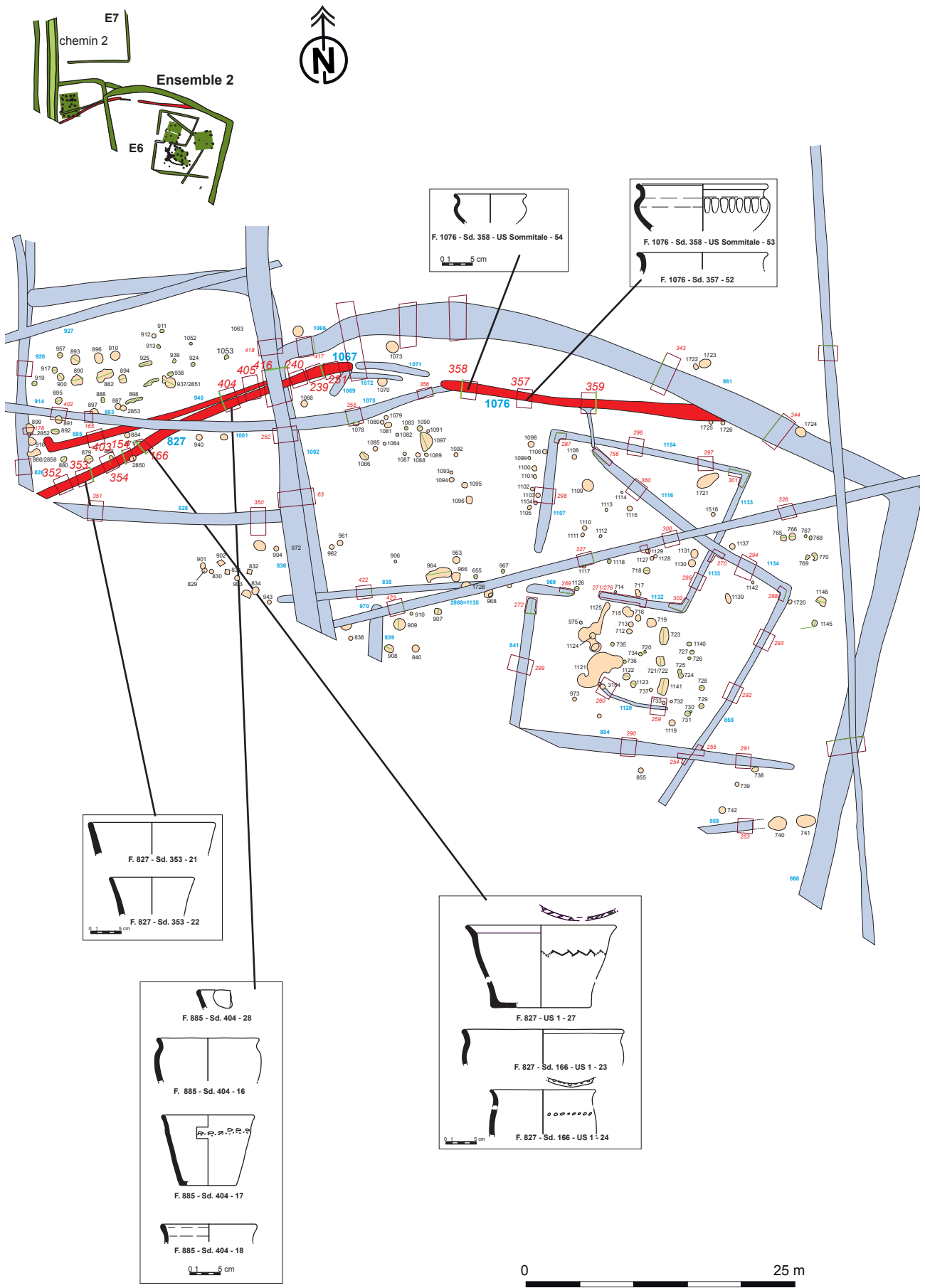


Fig. 181 : localisation de la céramique dans les fossés 1076, 827-1067 et 885

Ce fossé a été suivi sur 20,96 m de longueur, sur une largeur moyenne de 0,76 m pour une profondeur conservée de 0,38 m. Comme le montre le sondage 404 (fig. 180), le profil est en V, sans phase visible d'effondrement. Le comblement est constitué d'un sédiment limono-argileux brun gris mélangé à du quartz avec des inclusions de charbons de bois.

La fouille a livré 23 tessons pour 5 formes. Comme le montre la typologie de la lèvre et la pâte du vase 18 (Pl. 4), cette céramique peut être datée de La Tène ancienne (fig. 181).

Il faut toutes fois noter que cette céramique de même datation que 827 a été trouvée dans l'un des rares sondages de ce même fossé n'ayant pas livré de mobilier (Sd 404) et de plus à un emplacement où les deux fossés se rejoignent. Il est possible de se demander si la céramique ne provient pas en fait du fossé 827.

#### Fossé 958-1065

D'axe est/ouest, il forme un coude au niveau de la haie 1002 selon un axe nord/sud pour venir buter sur le fossé 1074 dans le sondage 418 (fig. 182 et 183). Le fossé a été suivi sur une longueur totale de

28,85 m pour une largeur moyenne de 1,72 m et une profondeur maximale conservée de 0,88 m. Sur la branche est/ouest, 4 sondages sur les 5 ont été relevés. Le premier en extrémité ouest, permet de constater que le fossé s'interrompt et qu'il est recoupé par les fossés 956 et 1042 (sondage 342).

Le sondage 147 montre un profil évasé avec un fond relativement plat. Ce fossé est ensuite recoupé par le fossé gallo-romain 927 dans les sondages 232, 241 et 242. Dans ces deux derniers sondages, il présente le même profil. Un horizon hydromorphe US 6 gris bleuté est visible dans le fond de ce fossé dans les sondages 147 et 242, indiquant qu'il est resté ouvert en phase d'utilisation. Il est ensuite comblé par des colluvions puis par un épais comblement de nature détritique US 2, charbonneux, comportant de la céramique et des fragments de meule dans le sondage 241. La haie 1002 n'a pas permis de conserver le fossé 958 dans le sondage 418, nous privant de la relation entre ce dernier et 1074. Si l'on compare les altitudes de fond entre les sondages 147 et 242, nous passons de 69,53 m NGF à 69,17 m NGF. La différence de surface entre ces deux points n'étant que de 0,10 m, nous obtenons une différence de profondeur de 0,43 m sur une distance de 13 m soit une pente de 0,5 % ce qui semble insuffisant pour un écoulement régulier de l'eau.

La fouille a livré 228 tessons de céramique de La Tène finale pour 7 formes : dont les vases 04, 06, 08, 09 et 10 (Pl. 8).

#### 2.2.5.2. L'enclos E7

C'est un enclos parcellaire à angle droit, dont sont conservées que la façade sud 1164-1165 et la façade est 780 (fig. 184).

#### Fossé 1164-1165

D'axe est/ouest, il a été suivi sur une longueur de 28 m pour une largeur variant de 0,90 à 1,10 m pour une profondeur conservée allant 0,09 à 0,30 m. Le profil est évasé avec un fond arrondi. Le comblement est constitué d'un sédiment limono-argileux brun. Ce fossé est recoupé longitudinalement par le fossé gallo-romain 1058-2849.

La fouille a livré 1 tesson de céramique protohistorique dans le sondage 150 attribué au fossé gallo-romain 2849.

#### Fossé 780

D'axe nord-sud, il a été suivi sur une longueur de 25 m pour une largeur moyenne d'1,40 m et une profondeur conservée de 0,28 m. Le profil est évasé avec un fond arrondi. Le comblement est constitué d'un sédiment limono-argileux brun.

L'ensemble du site pour la période gauloise semble être limité côté ouest par

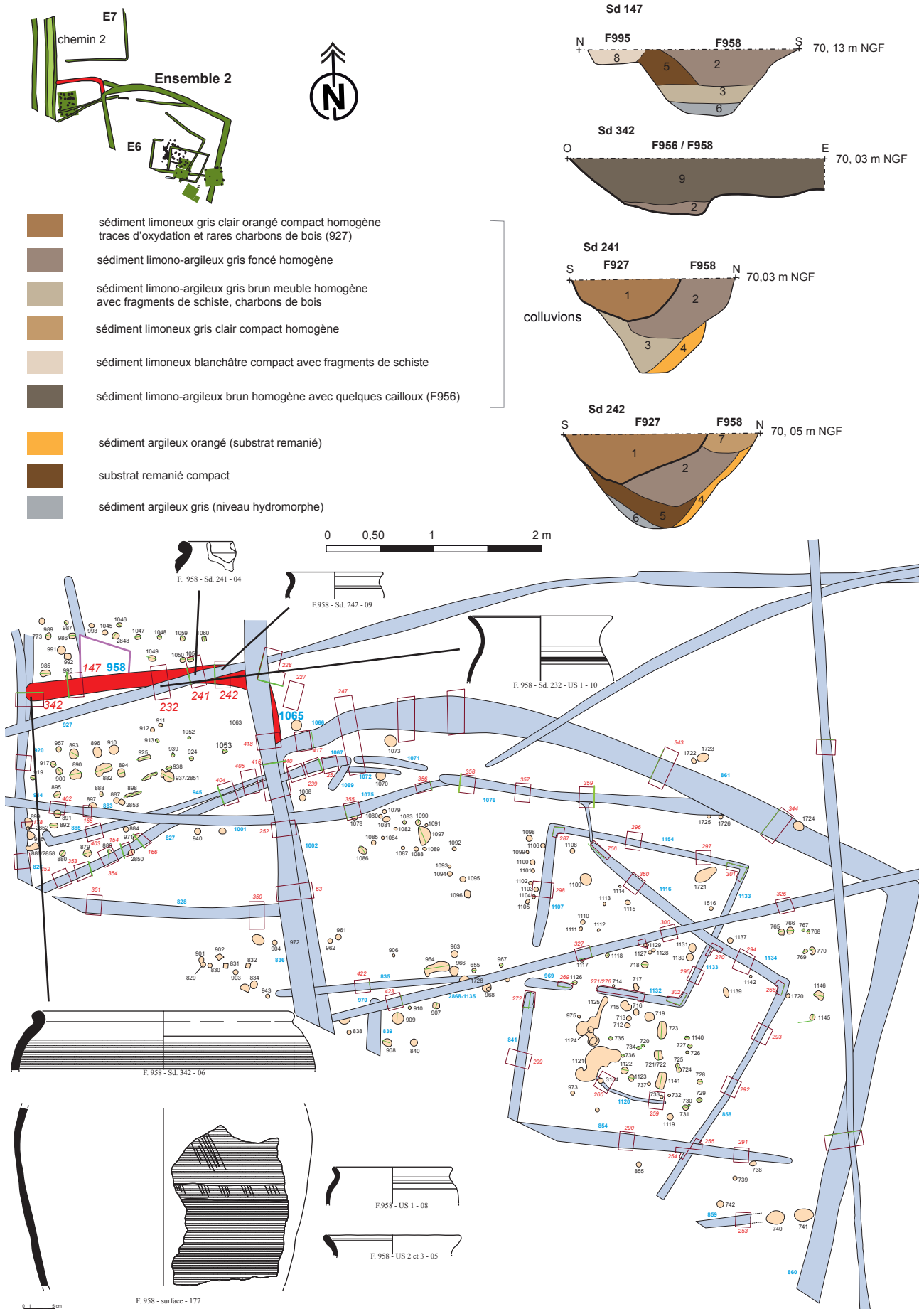


Fig. 182 : localisation et coupes du fossé 958-1067 et répartition de la céramique





1

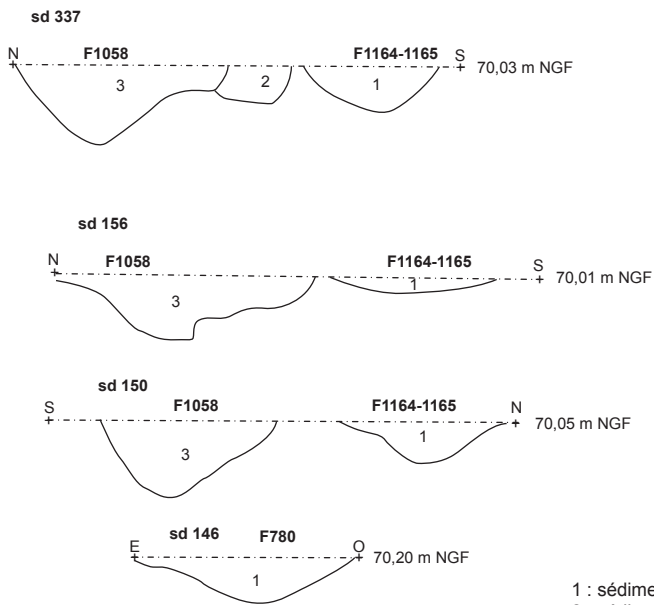
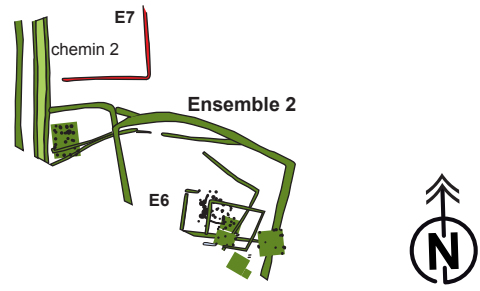


2



3

Fig. 183 : sondages dans le fossé 958-1067 © cliché équipe de fouille



- 1 : sédiment limono-argileux brun
- 2 : sédiment limono-argileux gris foncé hétérogène avec oxyde, charbons de bois et TC
- 3 : sédiment limoneux gris beige compact

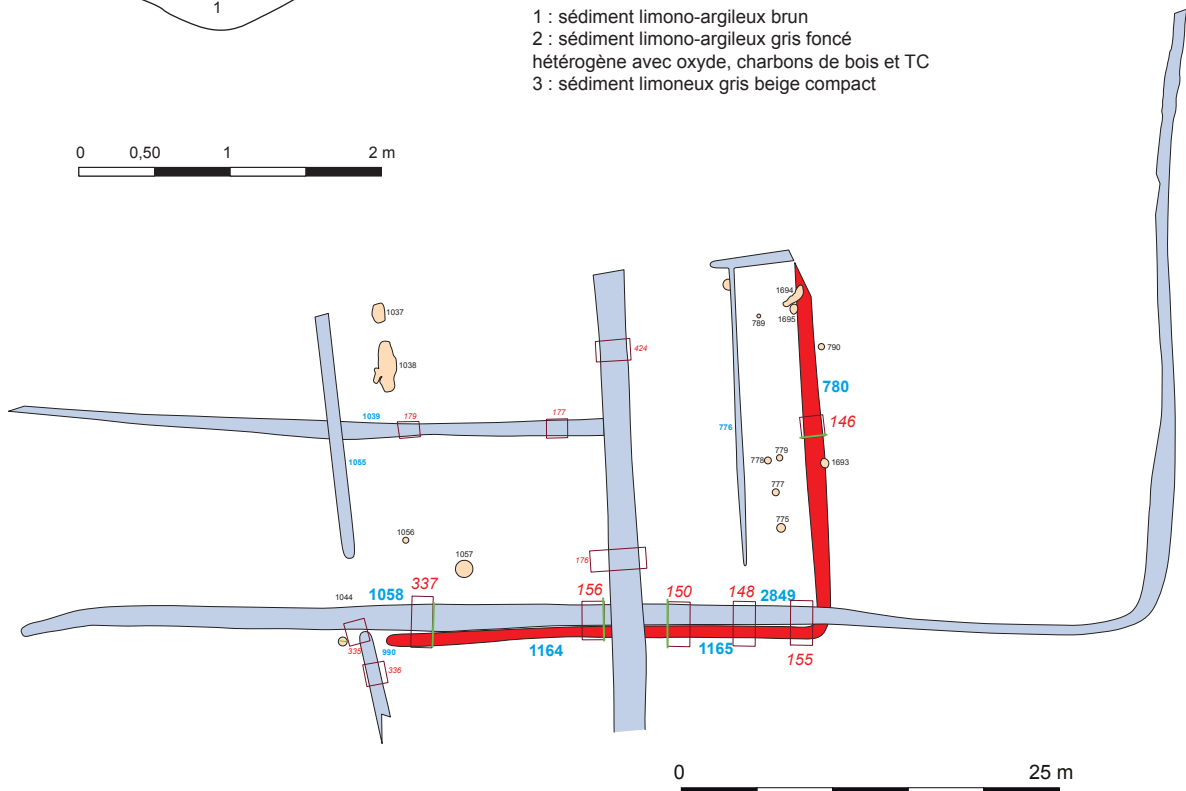
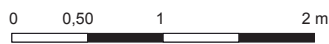


Fig. 184 : plan et coupes des fossés 1064-1065 et 780 © cliché équipe de fouille

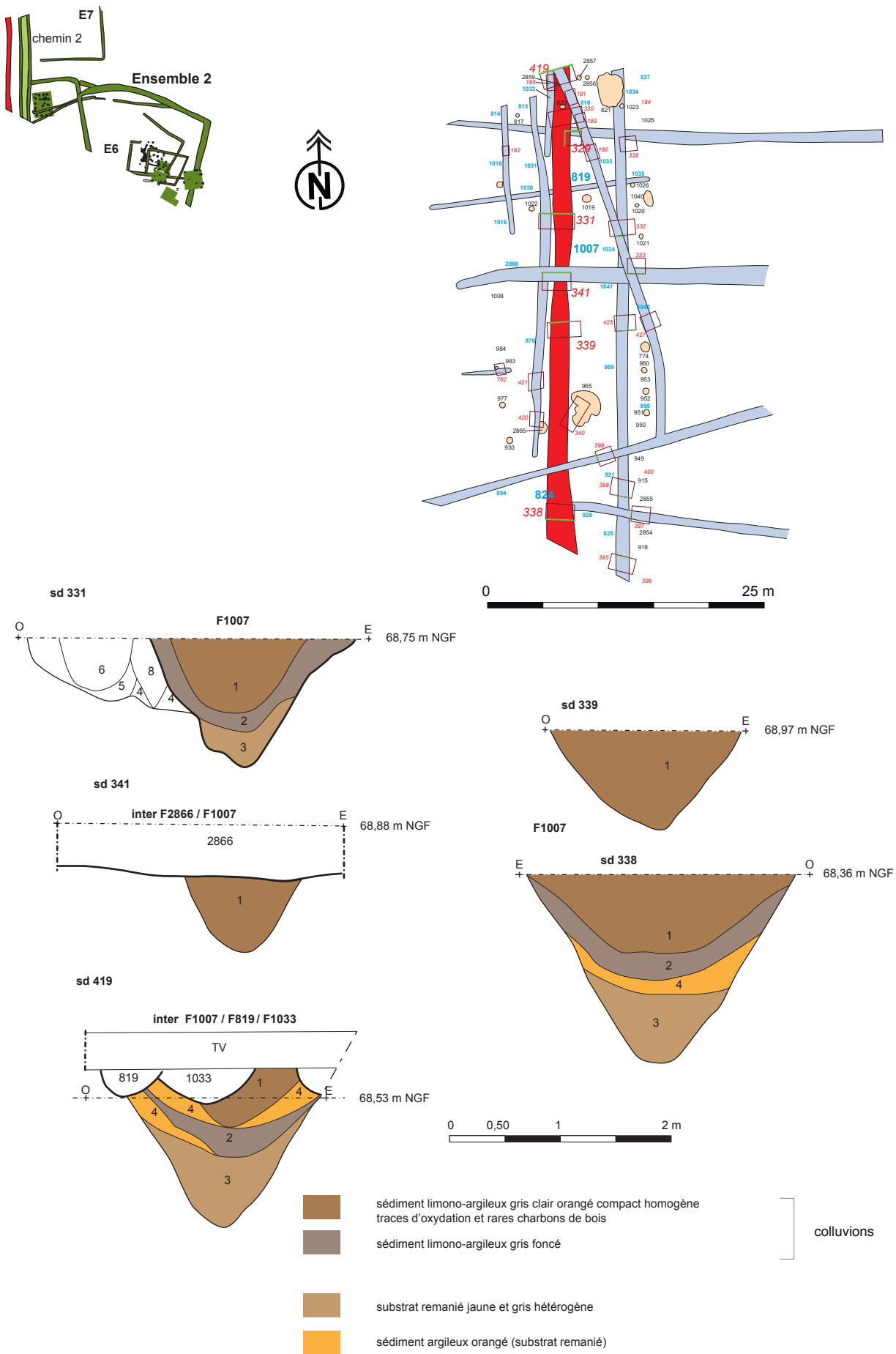
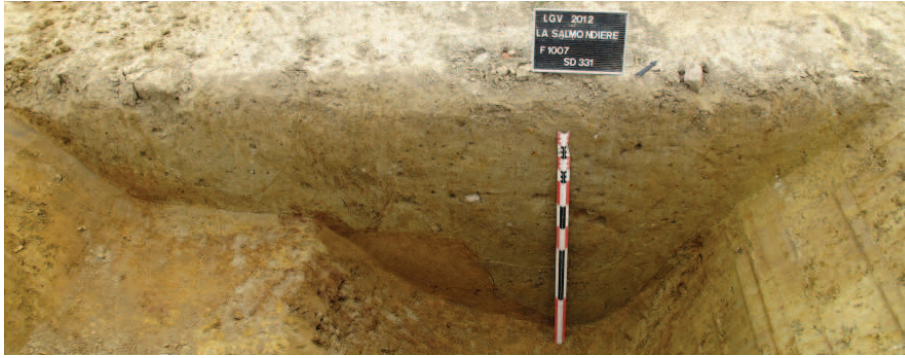


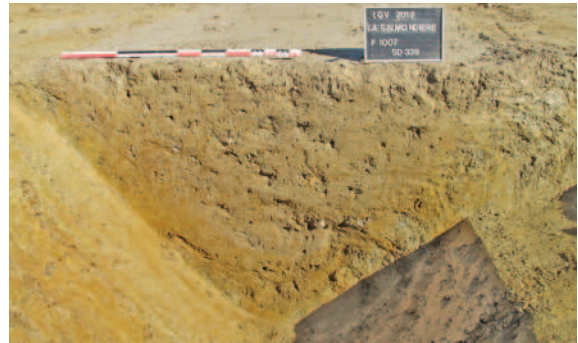
Fig. 185 : plan et coupes du fossé 824-819-1007



1



2



4



3



5

**Fig. 186** : coupes du fossé 824-819-1007 © cliché équipe de fouille

le fossé 824-1007-819.

#### Fossé 824-1007-819

D'axe nord/sud, il a été suivi sur une longueur de 42,90 m pour une largeur moyenne de 2 m et une profondeur conservée variant de 1,42 m (en extrémité nord d'emprise, sondage 419) à 1,72 m (en extrémité sud, sondage 338). Entre ces deux sondages, le fossé à une profondeur avoisinant les 1 m (fig. 185 et 186). Sur les 7 sondages ouverts dans ce fossé, seulement 2 (338 et 419) permettent de se faire une idée du profil général du fossé. Les autres ont le plus souvent été réalisés à l'intersection avec d'autres fossés. Ce profil est un V bien prononcé.

Le fond du fossé est comblé d'une phase de colluvionnement rapide US 3 constituée d'un sédiment limono-argileux brun orangé avec quelques poches grises et quelques charbons de bois éparses. Elle est recouverte d'une couche détritique US 2 formée d'un sédiment limono-argileux gris foncé hétérogène avec traces d'oxydation et d'altérite et quelques charbons de bois. Le comblement terminal US 1 est constitué d'un sédiment limono-argileux gris clair avec quelques inclusions d'altérite et rares charbons de bois. C'est dans ces deux dernières couches qu'est présent le mobilier archéologique. Dans cette stratigraphie générale s'intercalent de petites phases d'effondrement de parois ainsi que des phases de comblement rapide US 4 avec du substrat remanié jaune et gris hétérogène pouvant peut être correspondre au reste d'un éventuel talus effondré dans le fossé.

Le terrain décapé étant relativement plat dans ce secteur, environ 70 m NGF, lorsque l'on compare les cotes de fond de fossé, un sens découlement semble s'établir du sud vers le nord. En effet nous passons à des altitudes de fond allant de 68,97 m NGF dans le sondage 339, puis 68,88 m dans 341, 68,75 m dans 331 et enfin 68,53 m dans 419. Cependant, le surcreusement du sondage 338, ne respecte pas cette direction de la pente, puisque que le fossé descend à 68,36 m NGF, soit plus de 0,60 m sous le niveau du fossé dans 339. Dans l'état actuel de la recherche rien ne nous permet d'expliquer ce surcreusement, sauf comme pour la façade est de l'enclos A, afficher une volonté de « monumentalité » ou bien pour des raisons techniques, permettant de piéger de l'eau à un endroit donné, seul le trop plein s'évacuant vers le nord.

Ce fossé a été recoupé par les fossés gallo-romains 1032 et 1033 ainsi que 2866 et 804. Il semble par contre recouper le fossé 1039 non daté, dans le sondage 329.

La fouille a livré 3 tessons protohistoriques provenant du sondage 185 (mobilier attribué au fossé 819) et 22 tessons de céramique de La Tène provenant du sondage 338.

#### *Les bâtiments*

Entre le fossé limite d'occupation gauloise à l'ouest et l'enclos E6, se trouve un certain nombre de trous de poteaux. Peu ont livré du mobilier protohistorique alors qu'une majorité a livré du mobilier antique. Leur rattachement à cette dernière période se justifie donc plus. Cependant nous ne pouvons pas écarter l'hypothèse de la présence de bâtiments gaulois dans ce secteur. D'autant plus que quelques fosses ont livré du mobilier protohistorique (fig. 187).

#### Fosse 937

C'est une petite fosse circulaire d'environ 0,97 m de diamètre sur une profondeur conservée de 0,28 m (fig. 188). Le profil est évasé et le fond arrondi. Le comblement du fond de la structure est constitué d'un sédiment limono-argileux gris meuble, homogène avec blocs de quartz et fragments de schiste. Il est recouvert d'une couche à caractère plus détritique comportant des traces d'oxydations orangées, du charbon de bois ainsi que des nodules de terre cuite.

Cette fosse recoupe la dépression ou trou de poteau 2851.

La fouille a livré 1 fragment de céramique de stockage avec décor peigné

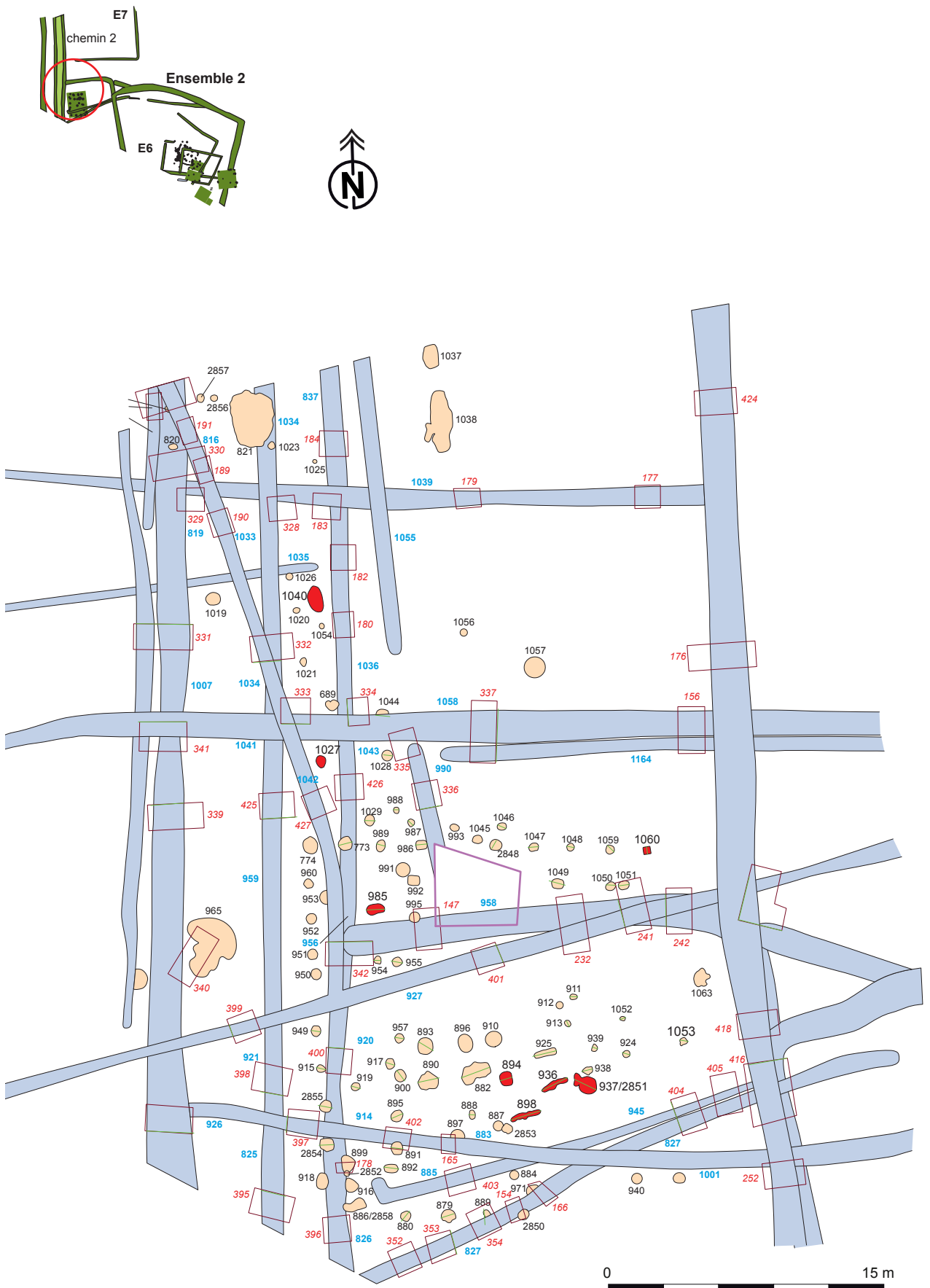
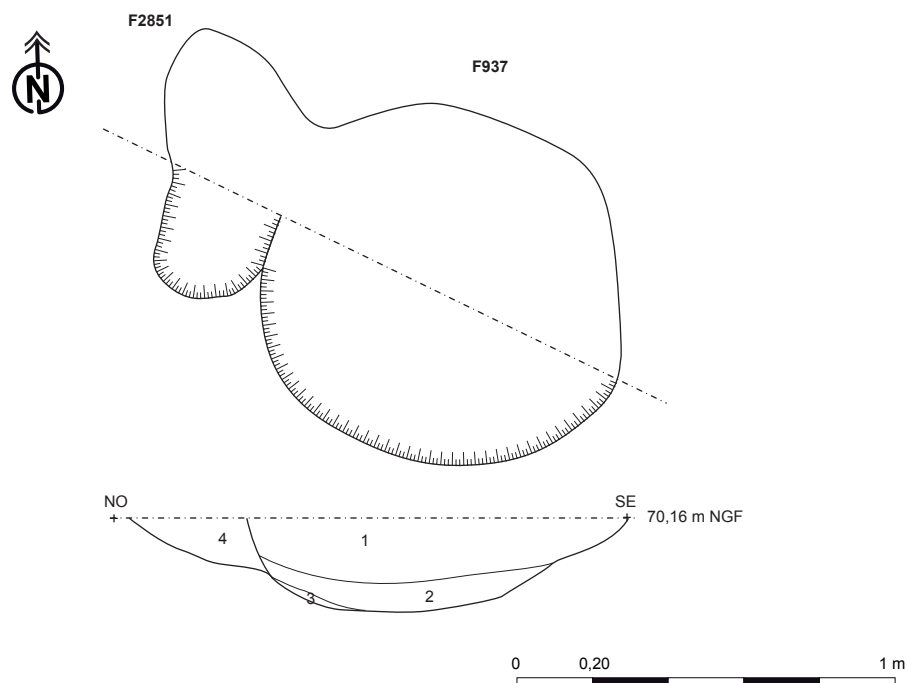


Fig. 187 : localisation des fosses et TP protohistoriques à l'est du fossé 824-819-1007



- 1 : sédiment limoneux brun meuble, hétérogène avec quelques traces d'oxydations orangées, charbons de bois, TCA et blocs de quartz et fragments de schiste
- 2 : sédiment limono-argileux gris meuble, homogène avec blocs de quartz et fragments de schiste
- 3 : sédiment argilo-limoneux orangé gris compact, homogène
- 4 : sédiment limoneux gris brun meuble, homogène, nombreuses traces d'oxydation orangées avec rares charbons de bois, TCA, blocs de quartz et fragments de schiste

Fig. 188 : plan et coupe de la fosse 937-2851 © cliché équipe de fouille

(non dessiné).

Celle de 2851 à livré 3 tessons de céramique également de période protohistorique.

#### Fosse 936

C'est une petite fosse allongée de 1,55 m de longueur sur 0,40 m de largeur et conservée sur une profondeur de 0,13 m (fig. 189). Les parois sont évasées et le fond est irrégulier. Une limite peu nette dans le comblement suggère un recreusement de la fosse (peut être reprise d'un trou de poteau).

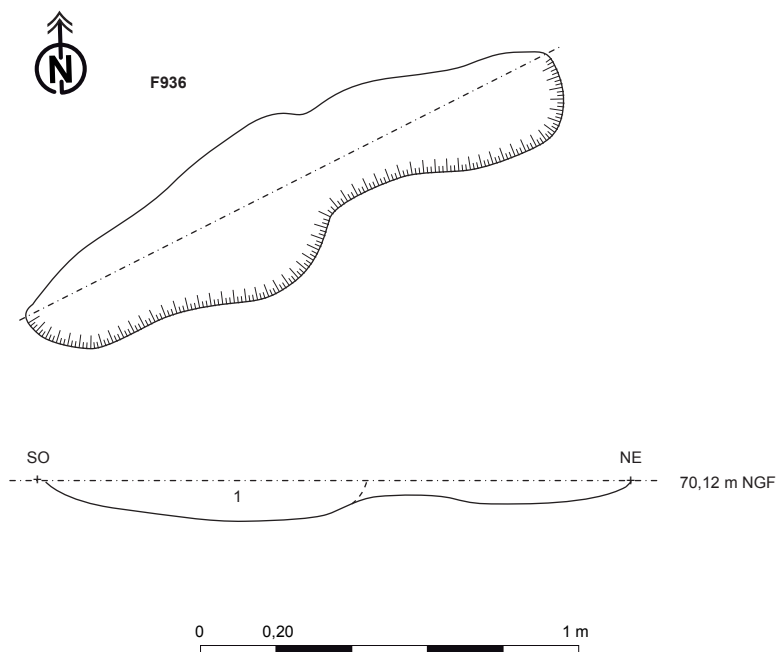
Le comblement est composé d'un sédiment limoneux brun meuble homogène avec quelques fragments de schiste, de quartz, traces d'oxydation et charbons de bois.

La fouille a livré 1 tesson de céramique de la fin de La Tène.

#### Fosse 894

C'est une fosse ovale de 0,80 m de longueur sur 0,66 m de largeur pour une profondeur conservée variant de 0,14 à 0,25 m (fig. 190). Les parois sont abruptes et le fond est irrégulier. Le comblement est constitué d'un sédiment limoneux brun gris meuble hétérogène avec rares charbons de bois et terre cuite.

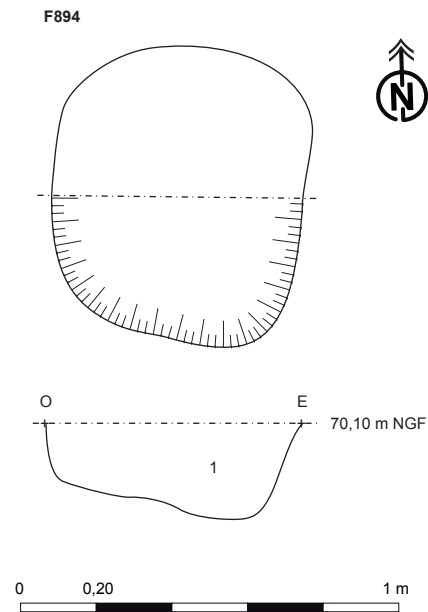
La fouille a livré 2 tessons de céramique de période protohistorique.



1 : sédiment limoneux brun meuble homogène avec quelques fragments de schiste, de quartz, traces d'oxydation et charbons de bois

Fig. 189 : plan et coupe de la fosse 936 © cliché équipe de fouille





1 : sédiment limoneux gris brun meuble hétérogène avec cailloutis de schiste et de quartz, traces d'oxydation, rares charbons de bois et TCA

Fig. 190 : plan et coupe de la fosse 894 © cliché équipe de fouille

#### Fosse 898

C'est une fosse allongée de 1,72 m de longueur sur 0,35 m de largeur et sur une profondeur conservée de 0,12 m (fig. 191). Les parois sont évasées et le fond irrégulier. Le comblement est constitué d'un sédiment limoneux brun meuble hétérogène avec rares charbons de bois et terre cuite.

La fouille a livré 1 tesson de céramique de période protohistorique.

Les fosses 936 et 898 peuvent évoquer les restes de deux sablières ou tranchées de fondation d'un bâtiment mais les autres structures situées à proximité ne permettent pas de proposer un plan cohérent. Il faut également noter la présence dans ce secteur d'un foyer 925 ou d'une «tranchée foyer» mais sans éléments de datation. Cette structure peut autant se rapporter à l'époque gauloise qu'à l'époque gallo-romaine. Nous avons choisis de la présenter avec les structures gauloises, car sa forme rappelle 936 et 898.

#### Fosse 925

C'est une fosse allongée de 1,24 m de longueur sur 0,34 m de largeur et conservée sur une profondeur de 0,11 m (fig. 192). Le profil est évasé et le fond est arrondi. Le comblement est constitué d'un sédiment limoneux brun gris meuble et hétérogène avec de nombreux charbons de bois et blocs de quartz.

#### Fosse 1040

C'est une fosse ovale de 1,87 m de longueur sur 0,82 m de largeur et conservée sur une profondeur de 0,22 m (fig. 193). Les parois sont évasées et le fond est arrondi. Elle est comblée d'un sédiment limono-argileux gris mélangé à du substrat remanié compact.

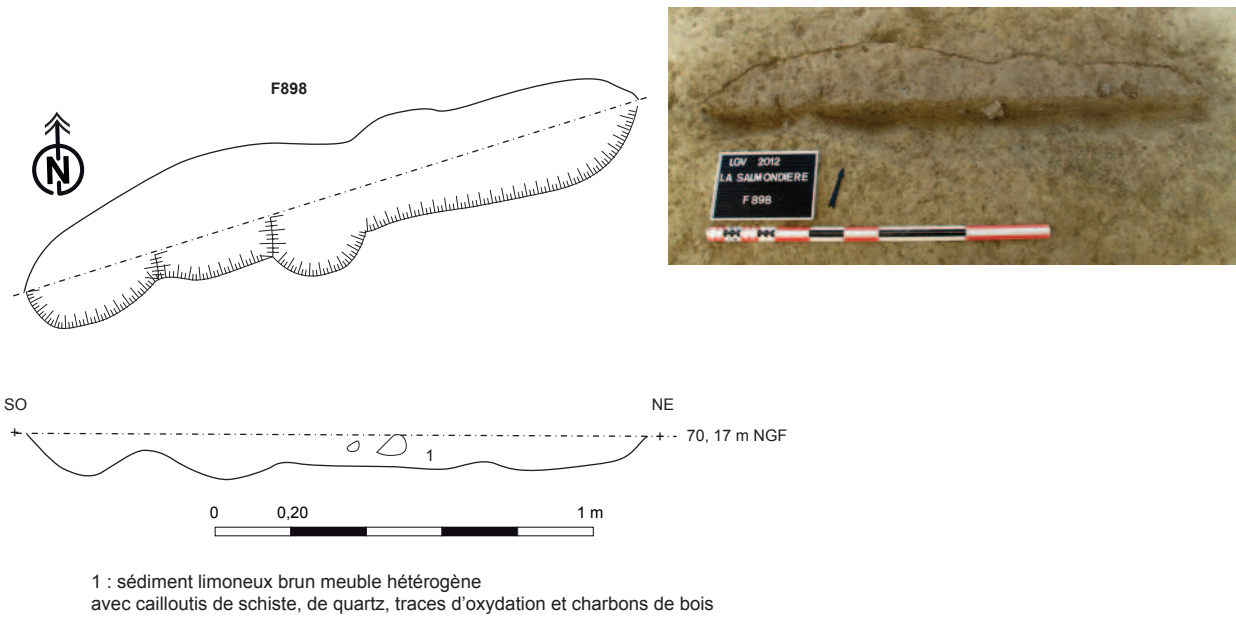


Fig. 191 : plan et coupe de la fosse 898 © cliché équipe de fouille

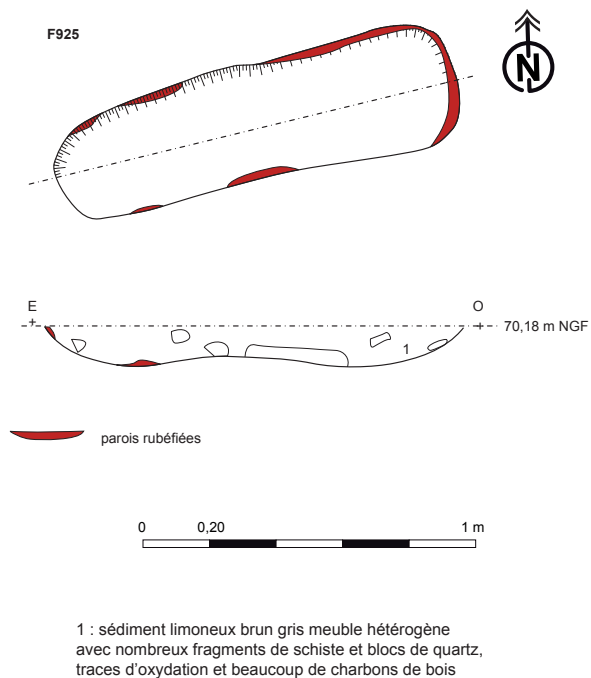


Fig. 192 : plan et coupe de la fosse 925 © cliché équipe de fouille

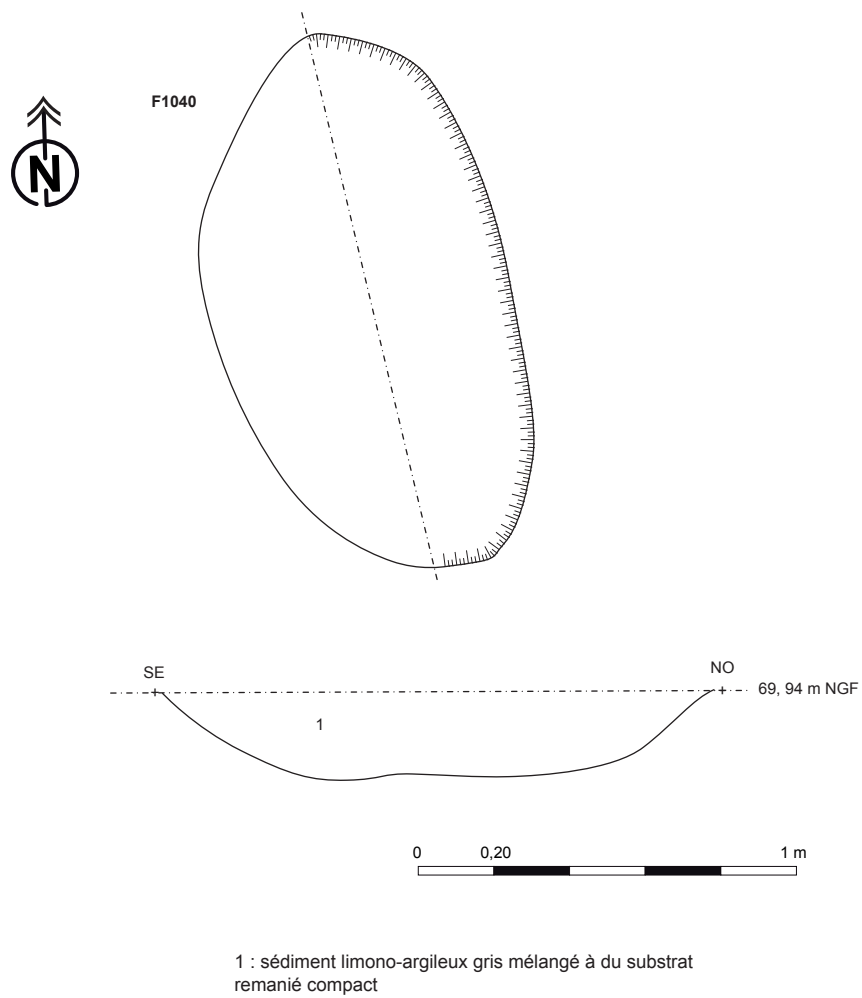


Fig. 193 : plan et coupe de la fosse 1040

## 2.2.6. Étude céramique protohistorique par A.-F. Cherel et A. Monnier

La fouille réalisée sur le site de Cesson-Sévigné La Salmondière a livré un très intéressant corpus de céramiques protohistoriques. Les 6 hectares de fouille ont offert 4281 tessons pour 325 formes.

Cette étude a pour but de discerner les différentes phases d'occupation. La partie du Bronze final ayant été traitée par A.-F. Cherel, nous présentons ici ce qui concerne le second âge du Fer. Cela correspond à 4049 fragments pour 308 formes.

Il faut noter la présence de plusieurs occupations postérieures à la protohistoire sur l'emprise. En effet, des installations antiques et médiévales recoupent les structures antérieures.

### 2.2.6.1. Méthode

#### *Inventaire*

Tous les tessons retrouvés lors de la fouille ont été comptabilisés avant collage sauf les cassures fraîches, par structure, pour déterminer le nombre de restes (NR).

Par la suite, les formes archéologiquement complètes ainsi que les lèvres ont été recensées afin de calculer le nombre minimum d'individus (NMI). Pour éviter les doublons, les éléments spécifiques trop ressemblants sont comptabilisés comme un seul NMI. Afin d'être le plus précis possible, ce NMI a été pondéré par les fonds et les décors discriminants et qui sont certains de ne pas être rattachés à une forme déjà recensée.

Ce processus de comptabilisation est établi à partir des travaux méthodologiques développés lors de la table ronde de Glux-en-Glenne en 1998 (Arcelin et Tuffreau-Libre 1998).

Le mobilier étant étudié séparément, il est apparu logique de scinder aussi les comptages. Ainsi, l'intégralité de ces décomptes figure dans les tableaux (**tab. 5**). En plus des simples comptages, le tableau (**tab. 5**) présente le pourcentage de mobilier céramique que chaque structure représente à l'échelle du site (pour chaque période) ainsi que la présence ou non de forme(s) dessinée(s).

#### *Élaboration de groupes typologiques*

Les formes dessinées ont été classées par groupe selon les critères morphologiques décrits dans le chapitre typologie. Trier, ranger et regrouper les céramiques par types peut paraître artificiel. Cependant ce classement permet de regrouper les vases selon leurs caractéristiques morphologiques, parfois très particulières, puis selon leurs fonctions (prouvées, évidentes ou supposées).

#### *Dessins et planches*

La planche **PL. 1** montre les trames utilisées pour la représentation des vases sur ce site. Ces trames proviennent du didacticiel sur l'infographie des céramiques de l'âge du Fer dans le Grand-Ouest (Jean 2010). La typologie des vases gaulois du site est proposée sur les figures 194 et 195. Les céramiques de la protohistoire ancienne sont représentées au tiers sur la planche **PL. 2**. Les planches **PL. 3** à **PL. 18** présentent les formes du second âge du Fer par horizon et par fait à l'échelle 1/3. La vectorisation des minutes a été réalisée par D. Gache, Inrap.

### 2.2.6.2. Données générales

Sur un corpus de 308 formes, 163 vases, dont 3 archéologiquement complets, ont été dessinés. Seules 129 formes ont été utilisées pour élaborer les groupes typologiques (fig. 184 et 185). Trop fragmentées et trop partielles, les autres formes n'apportent pas assez d'informations pour être intégrées dans cette typologie. Il faut noter que le taux de fragmentation des vases est entre 10% et 15%. Bien que plus élevé que la moyenne relevée sur l'ensemble des autres sites, il reste conforme à ce qui a été observé dans la région pour ce type d'occupation.

Les formes sélectionnées ont fait l'objet d'un classement typologique, en fonction de différents critères morphologiques et visuels.

Tout d'abord, les céramiques ont été classées selon leur profil, leur ouverture et leur hauteur. Par convention, les formes basses à moyennes sont notées B et les formes moyennes à hautes, H. Puis les vases sont classés par groupes, de 1 à n, des formes basses aux formes hautes, des plus ouvertes aux plus fermées. Afin d'affiner ce classement, des sous-groupes ont été créés, de a à z. Ils prennent en compte les détails (sommets de lèvres, col, carène, taille, diamètre d'ouverture, décor) qui sont différents d'un vase à un autre, sans rentrer dans une classification à outrance. Ils permettent de montrer l'éventail de possibilités lié à un type de vase ou à une utilisation. Il en résulte des séries de formes qui peuvent être hétérogènes.

### 2.2.6.3. Décors

Concernant l'occupation gauloise, outre les cannelures, sillons, cordons et baguettes, on compte quelques décors plus complexes. Certains vases présentent des digitations sur la partie médiane/haute, sur la lèvre ou près du fond (13, 17, 24, 57, 76, 81, 107, 109, Pl. 3, 4, 5, 6 et 17). Aux mêmes emplacements, ce type de décor est remplacé par des incisions, dit « à l'angle » sur les formes 58 et 125 (Pl. 6 et 17) mais elles sont parfois plus fines. Par exemple, la céramique 27 (Pl. 3) présente un décor « en chevrons » et la lèvre porte des incisions, tout comme celle du vase 107 (Pl. 5). Quant à la forme 103 (Pl. 10), elle présente des incisions fines et obliques formant une bande sous l'épaule. Le vase 15 possède deux lignes d'incisions de ce type, superposées, en miroir l'une par rapport à l'autre et légèrement en décalage (Pl. 3).

Un décor d'impressions faites avec une pointe triangulaire orne le fragment de céramique 176 (Pl. 5).

La forme 126 (Pl. 15) porte un décor lustré dit « en vannerie » ou décor de croisillons sur la partie basse de la panse. Des casiers, lissés à l'intérieur, sont formés par le lustrage de la partie haute du vase. Il est possible aussi de voir des décors lustrés, en bandes horizontales (forme 82, Pl. 17) ou en petites lignes rayonnantes, sur les formes 48, 62, 92, 146 et 160 (Pl. 7, 10, 12, 14 et 17). Il faut noter d'ailleurs que ces décors rayonnants sont souvent placés sur la partie médiane de la panse, entre deux zones intégralement lustrées. Ce type d'ornement est parfois remplacé par un décor incisé fait de bandes doubles formant des croix, comme sur la céramique 56 (Pl. 17). Le vase 93 (Pl. 5) est orné d'un décor fait d'arches lustrées en légères surimpressions, s'appuyant sur le lustrage de la partie basse de la panse.

Il est difficile de juger si des céramiques sont intégralement ou partiellement lustrées du fait du caractère incomplet de ces dernières. Néanmoins, elles sont bien représentées dans le corpus de ce site.

Parfois, le lustrage laisse place à un graphitage, comme sur les vases 30, 64 et 92 (Pl. 4, 10 et 17).

Des décors de godrons (léger enfoncement de la paroi) ornent les jattes 53 et 88 (Pl. 3 et 6).

Certains grands vases (139, 140 et 162, Pl. 13 et 14) possèdent un décor typique de la région de Rennes pour ce genre de forme, à savoir une incision

ondée sur la partie haute de la paroi et encadrée par deux cannelures. Il existe aussi des panses dont des portions de surface portent des traces de tour (laissées volontairement ?) ou de peigne horizontal régulier. Pratique utilitaire ou décorative, l'état des surfaces ainsi que le manque d'expérimentations empêchent de répondre clairement à cette question. Des vases portent aussi des traces de peigne obliques (**44** et **177**, **Pl. 8** et **10**) ou verticales (**97**, **Pl. 6**). Enfin, la forme **125**, en plus des incisions, présente un peignage qui semble aléatoire (**Pl. 6**).

#### 2.2.6.4. Typologie et comparaisons régionales

La typologie est représentée sur les figures (**fig. 194**) pour les formes basses à moyennes et (**fig. 195**) pour les formes moyennes à hautes.

La forme *B1*, symbolisée par l'écuelle **89**, est caractéristique de l'extrême fin de la période gauloise dans la région. Elle est même comparable à des formes gallo-romaines bien qu'il n'y en ait aucune sur ce site.

Les vases tronconiques évasés *B2* ne sont pas tous datant, car il est possible d'en retrouver tout le long de la période gauloise. Néanmoins, certains d'entre eux peuvent apporter des informations. C'est le cas de la forme **14** (*B2a*), qui est comparable à une céramique retrouvée à Moutiers – La Guerche de Bretagne (Cherel 2011a) et datée de la transition entre La Tène ancienne et La Tène moyenne, c'est-à-dire le début du III<sup>e</sup> siècle av. J. C. Le vase **27** (*B2c*), dont le profil est relativement rare, présente tout de même des décors incisés qui seraient de la même époque, voire légèrement plus ancien.

Les jattes *B3* tronconiques arrondies à bords rentrants sont probablement toutes de La Tène finale. En effet, le sous-groupe *B3b* est caractéristique du I<sup>er</sup> siècle av. J. C., sur de nombreux sites dont Bais Carrière des Vallons (Cherel 2011b), Brielles La Massuère (Cherel 2013) et Visseiche Le Clos Maugendre (Meuret 2005). Outre leurs décors, la finition et le montage au tour témoignent en ce sens. Il en va d'ailleurs de même pour la forme **93** (*B3c*), qui est comparable à des céramiques de cette époque à Pleurtuit ZAC du Cap Emeraude (Monnier 2013a) et Rennes ZAC de Beauregard-Quincé (Monnier 2013b).

La jatte biconique lustrée **169** du groupe *B4* est quant à elle comparable à une céramique de La Tène finale retrouvée lors du diagnostic de Pleurtuit Le Tertre Esnault (Cherel 2011c).

Ce sont sur les sites de Rennes Vieuxville-Beaurade (Leroux 1998) pour La Tène moyenne et ZAC de Beauregard-Quincé (Monnier 2013b) pour le III<sup>e</sup> siècle et le début du II<sup>e</sup> siècle av. J. C. ainsi qu'à Bais (Cherel 2011b) pour la fin du III<sup>e</sup> siècle et le II<sup>e</sup> siècle qu'il est possible de trouver des comparaisons pour la forme **11** du groupe *B5*.

Les vases à profil en esse du groupe *B6* sont quant à eux relativement courants dans la région à La Tène finale. En effet, ils correspondent à la phase 3 du site artisanal de Bais (Cherel 2011b).

Il en va de même pour les jattes du groupe *B7*.

La forme **151** du groupe *B8* est relativement tardive pour l'époque gauloise. Son profil et sa pâte grisée nous permettent de l'attribuer à la transition entre le second âge du Fer et la période gallo-romaine, soit entre -50 et -30 av. J. C.

Les bols du sous groupe *B9a* sont caractéristiques de La Tène ancienne. Il est notamment possible de retrouver des comparaisons sur le site de Betton Pluvignon (Cherel 2007) pour le début du IV<sup>e</sup> siècle.

La forme et le décor du vase **93** du groupe *B10* sont peu connus.

L'irrégularité du profil et de l'ornement semble tout de même rattacher ce vase à la première moitié du second âge du Fer.

Les céramiques à haut col du groupe *B11* trouvent des comparaisons à Bais pour La Tène finale.

Les jattes du groupe *B13* sont plus anciennes. En effet, ces formes sont similaires à des vases découverts à Bais (Cherel 2011b) pour la fin du III<sup>e</sup>

siècle et le début du II<sup>e</sup> siècle av. J. C. Des comparaisons sont aussi possibles avec des céramiques retrouvées à Rennes (Leroux 1998) pour La Tène moyenne et sur le site aristocratique de Paule Camp de Saint-Symphorien (Menez 2001a) au III<sup>e</sup> siècle avant notre ère.

Le vase **160** du sous-groupe *B14a* est facilement attribuable à La Tène finale, comme à Bais (Cherel 2011b). La jatte **156** (*B14d*) est de la même époque sur les sites de Pleurtuit (Cherel 2011c), Chantepie Les Rives du Blossne (Cherel 2004) et Saint-Méen-le-Grand Parc d'activité de Haute-Bretagne (Cherel 2008). La forme **108** (*B14b*) est plus ancienne car il est possible de trouver des parallèles sur le site d'Ifs (Cherel 2002) pour la seconde moitié du IV<sup>e</sup> siècle av. J. C. et à Brielles La Dinetière (Monnier 2013c) à la transition entre La Tène ancienne et La Tène moyenne, c'est-à-dire le début du III<sup>e</sup> siècle avant notre ère. Il en va de même pour les jattes à décor de godrons du sous-groupe *B14c* sur les sites de Bais (Cherel 2011b) et Betton (Cherel 2007).

Grâce aux vases retrouvés sur les sites de Rennes Rue d'Antrain/rue des Tanneurs (Pouille 2004) et Vieuxville-Beaurade (Leroux 1998) ainsi que de Betton (Cherel 2007), il est possible de dater les groupes *H15*, *H17a* et *H18* de la transition entre La Tène ancienne et La Tène moyenne. La forme **107** (*H18c*) est d'ailleurs comparable à une céramique de la seconde moitié du IV<sup>e</sup> siècle av. J. C. découverte à Paule (Menez 2001a).

Le vase haut à bord très éversée **97** (*H16*) semble similaire à un exemplaire de la fin du II<sup>e</sup> siècle et du I<sup>er</sup> siècle avant notre ère retrouvé à Visseiche (Meuret 2005).

Les formes du groupe *H17b* sont un peu plus anciennes et leurs profils rappellent des céramiques de La Tène moyenne de Rennes (Leroux 1998). Mise à part le vase **10** (*H19b*) qui est de La Tène finale à Corps-Nuds ZAC des Grands Sillons (Cherel 2010), le groupe *H19* trouve des similitudes du II<sup>e</sup> siècle av. J. C. dans des profils découverts à Bais, Betton et Brielles (Cherel 2011b, 2007 et 2013).

D'ailleurs, le site artisanal de Bais est la référence locale à La Tène finale pour les vases à profil en esse et à col légèrement rentrant souvent ornés d'un cordon et d'une ou deux cannelures du groupe *H20*. Il en va de même pour les gros volumes du groupe *H23*, notamment ceux portant le décor ondé typique du secteur. Les sites de Brielles (Cherel 2013 et Monnier 2013c), de Visseiche (Meuret 2005) et Corps-Nuds (Cherel 2010) complètent la liste des sites de référence.

Sur ces mêmes sites, les formes du sous-groupe *H21a* sont un peu plus vieilles et il est possible de les retrouver dès le milieu du II<sup>e</sup> siècle av. J. C. Les céramiques du sous-groupe *H21b* sont encore plus anciennes et pourraient dater de la transition entre La Tène ancienne et La Tène moyenne.

Les vases du groupe *H22* ont des profils proches des formes précédentes mais plus globuleux. Ces vases sont datables de la fin du IV<sup>e</sup> siècle et du début du III<sup>e</sup> siècle avant notre ère à Prat Pouilladou (Le Goff 2001) et à Paule (Menez 2001). La taille de la cannelure labiale interne de la céramique **106** vient confirmer ces datations.

#### 2.2.6.5. Observations complémentaires

L'observation de la typologie générale nous permet de remarquer la forte proportion de trois formes. Les écuelles du sous-groupe *B3b*, les vases à cordon et cannelure(s) à la base d'un col rentrant du groupe *H20* ainsi que les céramiques globulaires du groupe *H23* sont bien représentées sur le site. Au vu des profils, ces formes ont probablement servi à des tâches relativement distinctes. Néanmoins, est-il possible que ces céramiques participent à un même processus nécessitant plusieurs étapes différentes, et donc, plusieurs formes adaptées ?

Lors du tri et de la datation des céramiques, il nous a été possible de constater que les formes hautes anciennes décorées de cordon et

cannelure(s) à la base du col (*H19a*), plus ouvertes et peu globuleuses, tendent à se refermer avec le temps (*H20*). Cette observation a déjà été faite sur le site de Lamballe ZAC de la Tourelle par A.-F. Chérel en 2010 pour d'autres types de formes, même s'il n'est pas possible d'appliquer cette « règle » à l'évolution des céramiques en général.

#### 2.2.6.6. Horizons

Au vu des comparaisons établies, 4 horizons semblent se dégager. Le premier concerne la fin de La Tène ancienne et le tout début de La Tène moyenne, soit la fin du IV<sup>e</sup> siècle et le début du III<sup>e</sup> siècle av. J. C. Ce mobilier n'est pas toujours clairement séparé du second horizon. En effet, ce dernier concernerait la céramique du III<sup>e</sup> siècle avant notre ère mais plus ancrée dans La Tène moyenne que dans La Tène ancienne. Il peut même y avoir des mélanges (comme les jattes à godrons du sous-groupe *B14c* par exemple). Ce qui les différencie, ce sont les formes plus archaïques du groupe *H18* notamment, parfois avec des lèvres décorées et des digitations. Par la suite, les deux derniers horizons tranchent avec les deux premiers. Le troisième concerne les vases du II<sup>e</sup> siècle av. J. C., pas forcément très nombreux mais qui datent le moment de la réorganisation spatiale du site (cf. paragraphe suivant). D'ailleurs, cette restructuration, qui nous permet de séparer si facilement les horizons anciens des récents, nous complique un peu la tâche dans la détermination de ces derniers. En effet, ce sont souvent les mêmes structures qui sont concernées par ces deux horizons. Cependant, même structure ne veut pas dire même horizon et la présence importante de mobilier de la fin du II<sup>e</sup> siècle et du I<sup>er</sup> siècle avant notre ère nous permet de trancher la question. Si l'horizon 2 est ancré dans La Tène moyenne, il en va de même avec l'horizon 3, alors que le quatrième devient un synonyme de La Tène finale.

#### 2.2.6.7. Phasage

La fouille a révélé une occupation gauloise composée de multiples fossés enserrant des espaces construits. L'observation des structures montre qu'il n'y a pas de concentration particulière de céramique perceptible dans les comblements. Le mobilier est généralement retrouvé dans les couches supérieures des structures.

#### Une occupation de la fin de La Tène ancienne

Le tronçon de fossé F. 826 a livré 9 tessons pour 2 formes (**Pl. 3**). Deux fragments d'une céramique presque archéologiquement complète (**45, Pl. 3**) ont aussi été retrouvés dans un autre tronçon de ce fossé (F. 1036, **Sd. 180**). Le mobilier céramique retrouvé nous permet d'attribuer le fossé à la fin du IV<sup>e</sup> et au début du III<sup>e</sup> siècle av. J. C. En outre, le décor et le profil du vase **15** correspond parfaitement à cette période.

La fouille des fossés F. 827 et F. 1067 a permis de mettre au jour 223 tessons et 10 formes (**Pl. 3**). C'est un lot quantitativement important et bien daté. En effet, celui-ci semble clairement appartenir à la transition entre La Tène ancienne et La Tène moyenne, tout comme le fossé F. 826/F. 1036. Les 20 tessons pour 3 formes extraits du fossé F. 1076 ne tendent qu'à confirmer cette datation (**Pl. 3**).

Le tronçon de fossé F. 1134, qui a livré 298 tessons et 3 formes, est prolongé des faits 1116 et 858. Le nombre de restes est ici surreprésenté du fait de l'importante fragmentation des tessons, dû non pas aux modalités d'abandon ou à la taphonomie mais plutôt au type de pâte dont est fait un vase compliqué à remonter. La lèvre graphitée **30** (**Pl. 4**), du fait de sa



cannelure labiale interne et de ses surfaces graphitées, confirme la datation de la fin du IV<sup>e</sup> siècle et du début du III<sup>e</sup> siècle av. J. C. proposée par le vase **29 (Pl. 4)** du groupe *H22*.

Il faut souligner la présence d'une forme de la même époque (**20**, Sd. 416, **Pl. 4**) dans la haie reprenant l'orientation d'un fossé gaulois. Provient-elle des structures F. 827/F. 1067 ?

Enfin, 23 tessons pour 5 formes ont été retrouvés dans le fossé F. 885 (prolongé par F. 945). Les céramiques présentes dans le comblement appartiennent à la même période que les structures précédentes, comme le confirme la pâte de la lèvre **18 (Pl. 4)**, typique de La Tène ancienne.

Une structure excavée, formée de petites salles (F. 1538, F. 1539, F. 1546, F. 1547, F. 1548, F. 2943, F. 3131 et F. 3138), qui pourrait être une cave, a livré 262 tessons pour 21 formes (**Pl. 5**). Le mobilier dans son ensemble suggère un comblement intervenant à la fin de La Tène ancienne, à la fin du IV<sup>e</sup> siècle ou au début du III<sup>e</sup> siècle av. J. C.

Il faut noter la présence d'ornements correspondant probablement à cette occupation. Le décor digité 13 de la structure F. 514 (12 fragments, 2 formes, **Pl. 6**) en est l'exemple.

Cette installation aurait donc pu commencer dans le courant de La Tène ancienne, probablement durant le IV<sup>e</sup> siècle avant notre ère. Les structures sont par la suite rebouchées à la fin du IV<sup>e</sup> siècle ou au début du III<sup>e</sup> siècle av. J. C., pour permettre une nouvelle organisation du site.

#### Quelques structures de la première moitié de La Tène moyenne

Il est difficile d'établir clairement la chronologie absolue d'occupation des lieux tant les datations des céramiques peuvent se chevaucher. Néanmoins, certaines structures n'ont pas pu être contemporaines et ne peuvent que se succéder du fait du mobilier présent dans les comblements.

C'est le cas du fossé F. 1371 (prolongé par F. 1567) qui a livré 94 tessons et 8 formes (**Pl. 6**). Les vases dessinés sont datés du début du III<sup>e</sup> siècle av. J. C. et sont moins archaïques que les céramiques de la phase précédente. Par exemple, la jatte à décor de godrons **88** est plus fermée que sa consœur de la structure F. 1076 et la cannelure labiale interne est déjà plus fine.

La fosse/trou de poteau F. 1405 (3 fragments, un décor, **Pl. 6**) pourrait avoir fonctionné avec le fossé précédent.

De même, les 246 tessons pour 3 formes proviennent d'un fossé recoupant la « cave ». Notamment, le fait F. 3006 (prolongé par les faits F. 1645 et F. 2190) a livré une forme (**125**, **Pl. 6**) qui est datée de la transition entre La Tène ancienne et La Tène moyenne, et dans ce cas-ci, du début du III<sup>e</sup> siècle avant notre ère.

Il en va de même pour la jatte (**11**, **Pl. 6**) issue de la fosse F. 687 (pour un tesson) qui correspond à cette période.

D'ailleurs, le fragment (**77**, **Pl. 6**) du fossé F. 2049 (2 tessons pour 2 formes) ressemble à la jatte précédente et pourrait être daté de la même époque.

Cette occupation du III<sup>e</sup> siècle avant notre ère est assez difficile à cerner. Néanmoins, les vases se détachent bien de la période suivante.

## La fin de l'occupation gauloise

Le début du II<sup>e</sup> siècle av. J. C. est marqué par un développement conséquent de l'organisation du site. Faisant suite à l'installation antérieure, les nouvelles structures prolongent les précédentes, voire même en réutilisent.

La fouille des fossés F. 1002 (la haie), F. 1066, F. 1074 et F. 861 (l'ensemble de l'enclos E6) a permis de mettre au jour 69 tessons et 10 formes. Les vases **50** et **51** du sondage 406 (**Pl. 7**), rappellent pourtant les formes du début de La Tène moyenne du site. Y a-t-il une réutilisation d'une structure préexistante non perçue à la fouille ou ces tessons proviennent-ils des fossés anciens présents dans ce sondage ? Car l'autre céramique (**49**, **Pl. 7**) de ce même sondage est quant à elle plutôt datée du milieu du II<sup>e</sup> siècle avant notre ère. De même, le vase (**47**, **Pl. 7**) du sondage 417 appartient au sous-groupe *H20c* chronologiquement calé à La Tène finale. Le profil incomplet **48**, décoré de bandes verticales et obliques lustrées (**Pl. 7**), vient confirmer cette datation. L'extension F. 958 a livré 228 tessons pour 7 formes. Ce bout de fossé s'appuie à l'Ouest sur la voie gauloise, formé notamment du fossé F. 826 et rejoint F. 1002. Il est difficile de dire s'il est complémentaire des fossés précédemment cités ou s'il correspond à une restructuration du secteur. Car les vases (**04**, **06**, **08**, **09** et **10** **Pl. 8**) présents dans le comblement de cette structure sont clairement datés de La Tène finale.

La fosse F. 966 pourrait correspondre à cette même période d'occupation. La forme (**02**, **Pl. 7**) pour 2 tessons retrouvée dans la structure appartient au sous-groupe B6a.

Le trou de poteau F. 1089 (2 tessons pour une forme) pourrait avoir fonctionné en même temps que les faits précédents. Le vase (**43**, **Pl. 7**), à pâte grisée, ressemble à la forme du sous-groupe *B14d*.

Le fossé F.1132 (puis F. 1133, F. 1154 et F. 1107) a livré 9 tessons et 2 formes. L'une d'elle (**42**, **Pl. 7**) appartient au sous-groupe *B7a* et est datée de La Tène finale.

Il faut noter la présence, au décapage près de F. 921, d'un fragment de vase globulaire (**01**, **Pl. 7**) du I<sup>er</sup> siècle av. J. C.

Des fragments de pesons (**Pl. 9**) ont été découverts dans les faits F. 821 et F. 926. Bien que ces structures soient associées à l'occupation gallo-romaine, ce mobilier semble protohistorique. D'ailleurs, il n'y en a aucun autre exemplaire à l'époque antique sur ce site.

L'installation principale du site est un enclos formé par les fossés F. 678, F. 1305, F. 1401, F. 1402, F. 1491, F. 1495, F. 2046, F. 3111 et F. 3113. 1601 fragments de céramique et 152 formes (**Pl. 12** à **18**) proviennent des différents tronçons, F. 1401 a d'ailleurs livré la majorité des tessons (**tab. 4**) ainsi que des fragments de plaques foyères et de peson (**Pl. 16**). La très grande majorité des vases date de La Tène finale, particulièrement les profils appartenant aux groupes *B3b*, *H20* et *H23*. Néanmoins, quelques formes sortent un peu du cadre. Outre les céramiques qui correspondent au milieu et à la seconde moitié du II<sup>e</sup> siècle av. J. C., comme le sous-groupe *H21a*, il existe du mobilier plus vieux. Par exemple, les décors respectivement digité et incisé (**57** et **58** **Pl. 17**) sont plus anciens. Provenant du fond du fossé, ces tessons sont résiduels et proviennent vraisemblablement de la première occupation laténienne. Deux jattes sortent aussi du lot : **64** (F. 2046, Sd. 256, **Pl. 17**) et **92** (F. 1402, Sd. 469, **Pl. 10**). Celles-ci sont datées du milieu du III<sup>e</sup> siècle et du début du II<sup>e</sup> siècle av. J. C. Soit elles proviennent de l'occupation précédente, soit elles correspondent au début de l'installation de l'enclos. Il faut souligner que l'une d'elle, **64**, provient du sondage qui coupe F. 2046 mais aussi F. 687, d'où elle pourrait être originellement issue. Enfin, la forme **151**

(groupe B8, Pl. 15) retrouvée dans l'US 2 du sondage 459 du fait 1401 est datée de la La Tène D2b, soit entre -50 et -30 avant notre ère.

Ces données nous permettent d'affirmer que l'enclos principal a probablement été fondé au II<sup>e</sup> siècle av. J. C., puis comblé un peu après la Conquête.

La fouille du fossé F. 2903, prolongé par les fait 94 et 506, a permis de mettre au jour 41 tessons et 3 formes (Pl. 10). Ces vases pourraient correspondre à la première phase d'occupation de l'enclos, c'est-à-dire le II<sup>e</sup> siècle av. J. C.

Les faits 1315, 1316 et 1318 sont situés à l'intérieur de l'enclos principal et ont respectivement livré 12, 17 et 3 fragments pour 5, 3 et 1 formes. La céramique 36 (Pl. 11) peut dater du II<sup>e</sup> siècle av. J. C. Mais les autres vases sont de La Tène finale (Pl. 11), ce qui permet de les rattacher à l'occupation de l'enclos.

Il en va de même pour la structure F. 3119, où 10 tessons et une forme ont été découverts dans le comblement (Pl. 11).

Le petit fossé F. 1477 (suivi du fait 1568) a livré 130 tessons et 7 formes. Deux d'entre elles peuvent être anciennes : le vase haut à lèvre éversée 97 est probablement du II<sup>e</sup> siècle av. J. C. et le vase 90 peut être plus ancien encore (Pl. 6). Alors que les céramiques (89 et 93 Pl. 6) sont clairement du I<sup>er</sup> siècle avant notre ère.

La tranchée F.1478 (15 fragments et 3 formes) du bâtiment 5 a vraisemblablement fonctionné avec le fossé F. 1477. Les 2 céramiques dessinées (Pl. 6) sont à priori de La Tène moyenne.

La structure F. 3050, qui a livré un tesson et une forme, est sûrement associée à ces faits. Malheureusement, le vase tronconique évasé 99 (Pl. 6) n'est pas assez datant pour nous apporter des précisions.

Si ces excavations ont bien fonctionné ensemble, les vases de La Tène finale marqueraient la fin de l'occupation. Et les formes de La Tène moyenne, probablement du II<sup>e</sup> siècle av. J. C., nous indiquent le début de l'installation. Dans le cas de structures ayant fonctionné fermées, cela reste plausible.

Le trou de poteau F. 2983 a livré un tesson et une forme (Pl. 11). Cette dernière n'est que trop partielle pour permettre une datation précise. Néanmoins, elle est probablement datée de la deuxième moitié du second âge du Fer.

La fosse F. 639 a permis de mettre au jour 15 tessons pour une forme (Pl. 11). Celle-ci est indubitablement de La Tène finale.

Un tesson et une forme (Pl. 11) proviennent du fossé F. 1835. Bien qu'incomplet, le profil de cette probable jatte est similaire à celle trouvée en F. 639, du sous-groupe B7b et serait datée de la même époque.

Cette dernière installation a vraisemblablement commencé au début du II<sup>e</sup> siècle av. J. C. pour se terminer durant la transition entre la période gauloise et l'époque gallo-romaine.

#### 2.2.6.8. Bilan

L'étude de la céramique protohistorique du site de Cesson-Sévigné La Salmondière a permis de proposer une chronologie pour l'occupation du site.

En ce qui concerne la période gauloise, la céramique nous permet d'affirmer que les lieux ont été occupés de la fin du IV<sup>e</sup> siècle av. J. C. jusqu'à peu après la Conquête. Bien que cette longue occupation se traduise sur le

terrain par des réorganisations spatiales parfois difficiles à percevoir et séparer, il est finalement plus simple *via* le mobilier d'y voir une seule séquence s'étalant sur plusieurs siècles. Cette longévité est déjà en soi une particularité non négligeable. Dans l'avenir, l'étude du mobilier du site voisin de Bais, source principale des comparaisons céramologiques locales, permettra probablement d'affiner la chronologie de la fin de l'époque gauloise dans la région.

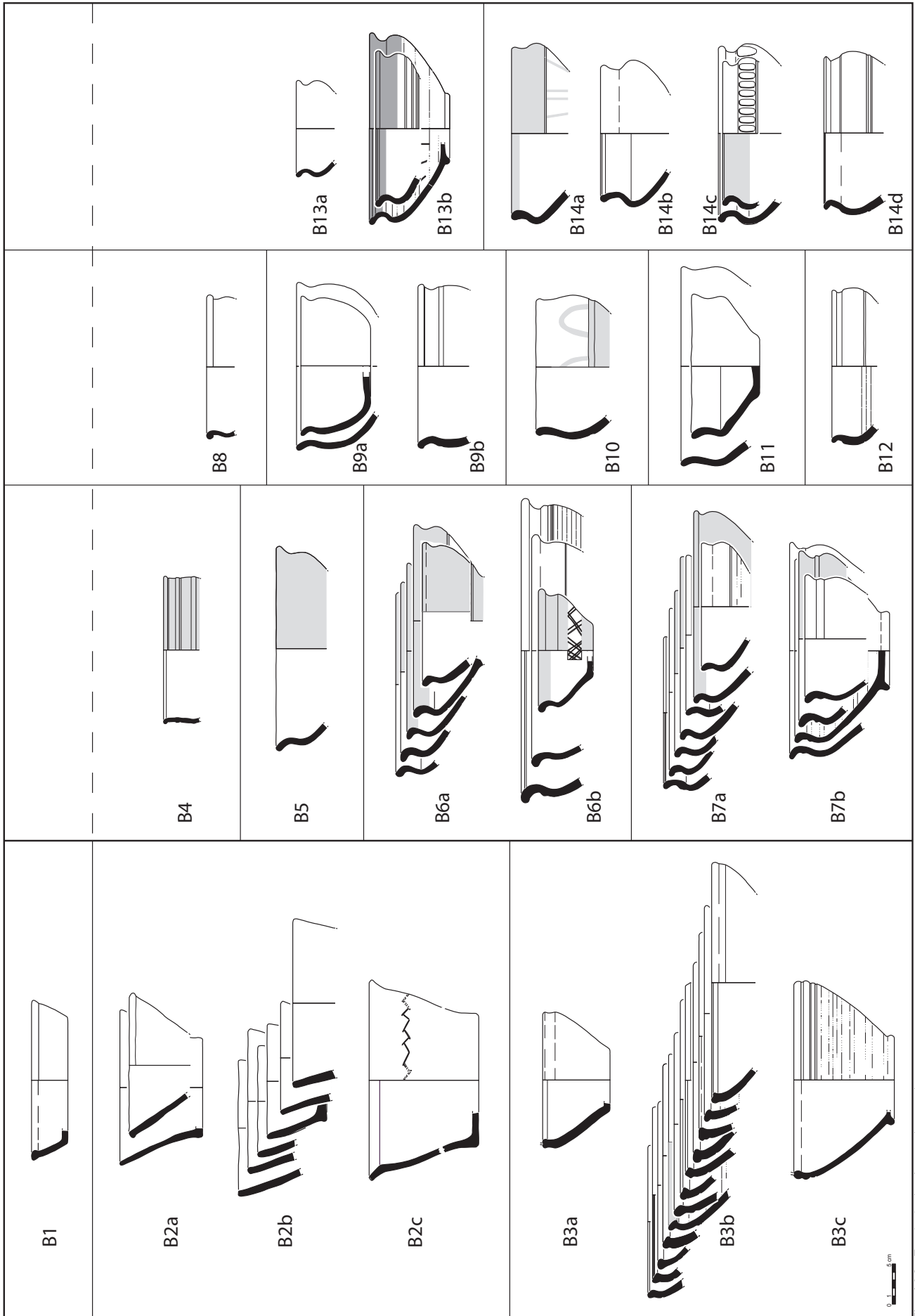


Fig. 194 : Typologie des formes basses à moyennes © David Gache

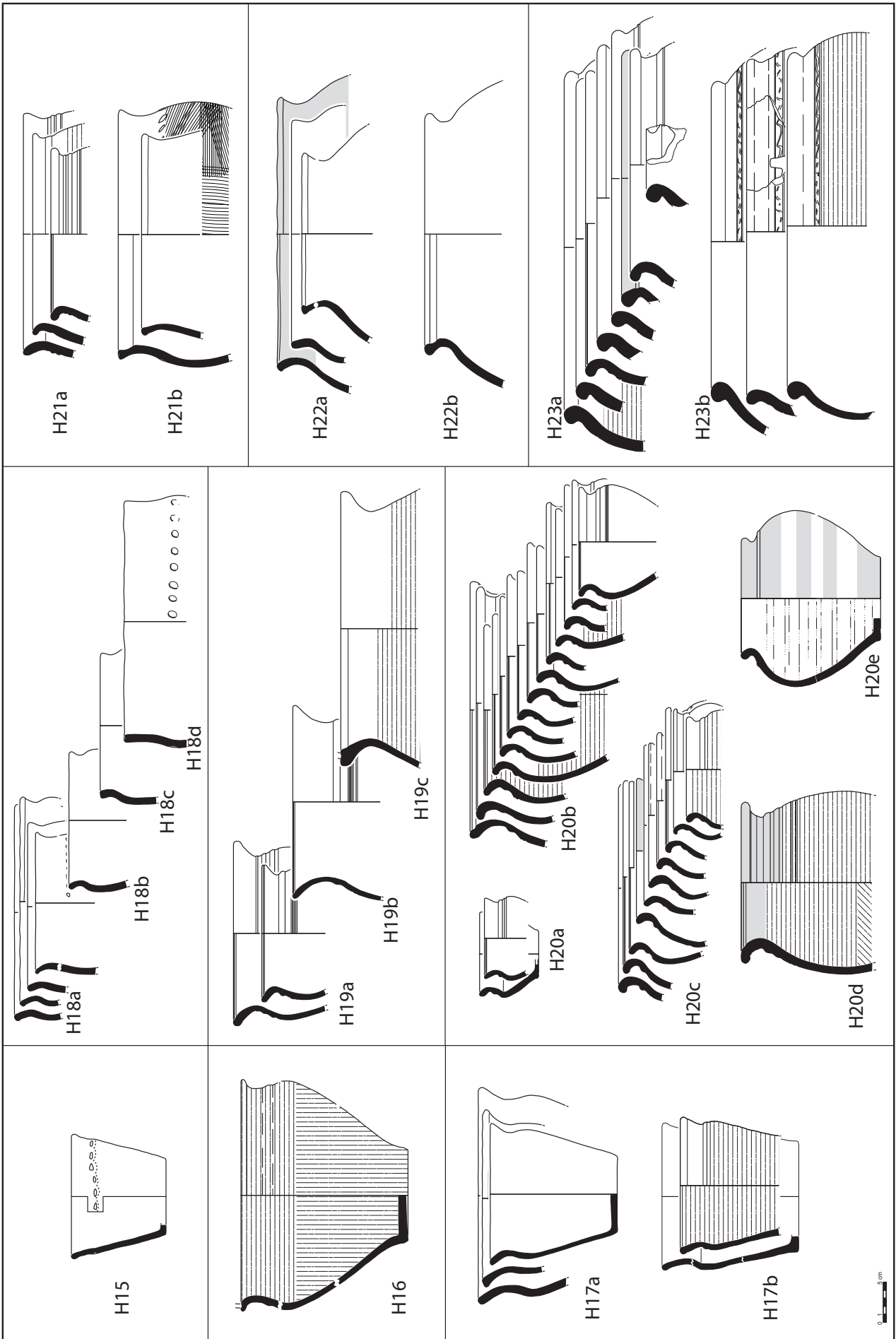


Fig. 195 : Typologie des formes moyennes à hautes © David Gache

Structure	NR	NMI	%NR	%NMI	Dessin
94	6	0	0,1%	0,0%	non
506	1	0	0,0%	0,0%	non
514	12	2	0,3%	0,6%	oui
516	2	0	0,0%	0,0%	non
525	1	0	0,0%	0,0%	non
532	2	0	0,0%	0,0%	non
538	12	1	0,3%	0,3%	non
545	51	1	1,3%	0,3%	non
549	1	0	0,0%	0,0%	non
552	1	0	0,0%	0,0%	non
557	12	2	0,3%	0,6%	non
570	1	1	0,0%	0,3%	non
576	3	0	0,1%	0,0%	non
594	2	0	0,0%	0,0%	non
597	1	0	0,0%	0,0%	non
612	1	0	0,0%	0,0%	non
622	1	0	0,0%	0,0%	non
639	15	3	0,4%	1,0%	oui
685	2	0	0,0%	0,0%	non
687	1	1	0,0%	0,3%	oui
805	2	0	0,0%	0,0%	non
819	3	1	0,1%	0,3%	non
825	2	0	0,0%	0,0%	non
826	9	2	0,2%	0,6%	oui
827	122	7	3,0%	2,3%	oui
827/885	62	2	1,5%	0,6%	oui
841	1	0	0,0%	0,0%	non
861	7	0	0,2%	0,0%	non
885	23	5	0,6%	1,6%	oui
894	2	0	0,0%	0,0%	non
898	1	0	0,0%	0,0%	non
Proche 921	5	1	0,1%	0,3%	oui
927	1	0	0,0%	0,0%	non
936	1	0	0,0%	0,0%	non
937	1	0	0,0%	0,0%	non
938	3	0	0,1%	0,0%	non
956/958	7	1	0,2%	0,3%	non
958	228	7	5,6%	2,3%	oui
964	3	0	0,1%	0,0%	non
966	2	1	0,0%	0,3%	oui
985	2	0	0,0%	0,0%	non
1002	26	4	0,6%	1,3%	oui
1007	22	2	0,5%	0,6%	non
1027	1	0	0,0%	0,0%	non
1036	2	1	0,0%	0,3%	oui
1040	3	0	0,1%	0,0%	non
1058	2	0	0,0%	0,0%	non
1060	1	0	0,0%	0,0%	non
1065	7	0	0,2%	0,0%	non
1067	101	3	2,5%	1,0%	oui
1072	1	0	0,0%	0,0%	non

Tab. 5 : pourcentage par structure des NR et MNI céramique

Structure	NR	NMI	%NR	%NMI	Dessin
1074	36	6	0,9%	1,9%	oui
1076	20	3	0,5%	1,0%	oui
1089	2	1	0,0%	0,3%	oui
1104	1	0	0,0%	0,0%	non
1132	9	2	0,2%	0,6%	oui
1134	298	3	7,4%	1,0%	oui
1141	1	0	0,0%	0,0%	non
1238	3	0	0,1%	0,0%	non
1241	1	0	0,0%	0,0%	non
1305	53	2	1,3%	0,6%	oui
1305/3119	16	1	0,4%	0,3%	oui
1310	19	2	0,5%	0,6%	non
1315	12	5	0,3%	1,6%	oui
1316	17	3	0,4%	1,0%	oui
1318	3	1	0,1%	0,3%	oui
1320	11	1	0,3%	0,3%	non
1324	2	0	0,0%	0,0%	non
1337	1	0	0,0%	0,0%	non
1340	1	0	0,0%	0,0%	non
1342	7	0	0,2%	0,0%	non
1344	15	0	0,4%	0,0%	non
1351	1	0	0,0%	0,0%	non
1369	7	0	0,2%	0,0%	non
1370	1	0	0,0%	0,0%	non
1371	94	8	2,3%	2,6%	oui
1401	991	98	24,5%	31,8%	oui
1402	66	2	1,6%	0,6%	oui
1402/2897/2898	3	0	0,1%	0,0%	non
1405	3	1	0,1%	0,3%	oui
1408	1	0	0,0%	0,0%	non
1431	1	0	0,0%	0,0%	non
1451	1	1	0,0%	0,3%	non
1462	2	0	0,0%	0,0%	non
1477	135	8	3,3%	2,6%	oui
1478	15	3	0,4%	1,0%	oui
1491	26	4	0,6%	1,3%	oui
1501	1	1	0,0%	0,3%	non
1538	16	4	0,4%	1,3%	oui
1539	178	11	4,4%	3,6%	oui
1601	1	0	0,0%	0,0%	non
1666	9	1	0,2%	0,3%	non
1835	1	1	0,0%	0,3%	oui
1837	1	0	0,0%	0,0%	non
1873	2	0	0,0%	0,0%	non
1877	2	0	0,0%	0,0%	non
1880	5	1	0,1%	0,3%	non
1885	1	0	0,0%	0,0%	non
1926	1	0	0,0%	0,0%	non
1929	3	0	0,1%	0,0%	non
1970	2	0	0,0%	0,0%	non
1975	1	0	0,0%	0,0%	non

Tab. 5 : pourcentage par structure des NR et MNI céramique



Structure	NR	NMI	%NR	%NMI	Dessin
1990	1	0	0,0%	0,0%	non
2008	1	0	0,0%	0,0%	non
2018	4	1	0,1%	0,3%	non
2019	3	0	0,1%	0,0%	non
2035	2	0	0,0%	0,0%	non
2046	392	44	9,7%	14,3%	oui
2049	2	2	0,0%	0,6%	oui
2070	2	1	0,0%	0,3%	non
2071	12	1	0,3%	0,3%	non
2072	3	1	0,1%	0,3%	oui
2073	1	0	0,0%	0,0%	non
2083	4	0	0,1%	0,0%	non
2091	5	0	0,1%	0,0%	non
2109	4	0	0,1%	0,0%	non
2135	6	0	0,1%	0,0%	non
2142	5	0	0,1%	0,0%	non
2153	3	0	0,1%	0,0%	non
2155	3	0	0,1%	0,0%	non
2183	1	0	0,0%	0,0%	non
2190	4	0	0,1%	0,0%	non
2207	4	2	0,1%	0,6%	non
2273	1	0	0,0%	0,0%	non
2291	1	0	0,0%	0,0%	non
2307	8	1	0,2%	0,3%	non
2342	1	0	0,0%	0,0%	non
2343	1	0	0,0%	0,0%	non
2359	2	0	0,0%	0,0%	non
2363	15	1	0,4%	0,3%	non
2366	3	0	0,1%	0,0%	non
2369	1	0	0,0%	0,0%	non
2370	7	0	0,2%	0,0%	non
2371	1	0	0,0%	0,0%	non
2372	1	0	0,0%	0,0%	non
2389	1	0	0,0%	0,0%	non
2391	2	0	0,0%	0,0%	non
2415	4	0	0,1%	0,0%	non
2434	1	0	0,0%	0,0%	non
2442	2	0	0,0%	0,0%	non
2444	1	0	0,0%	0,0%	non
2454/2702	1	0	0,0%	0,0%	non
2463	2	0	0,0%	0,0%	non
2497	15	0	0,4%	0,0%	non
2522	1	0	0,0%	0,0%	non
2563	11	0	0,3%	0,0%	non
2572	1	0	0,0%	0,0%	non
2574	1	0	0,0%	0,0%	non
2577	1	0	0,0%	0,0%	non
2591	4	0	0,1%	0,0%	non
2667	5	0	0,1%	0,0%	non
2702	1	0	0,0%	0,0%	non
2775	2	0	0,0%	0,0%	non

Tab. 5 : pourcentage par structure des NR et MNI céramique

© Alexandre Monnier

Structure	NR	NMI	%NR	%NMI	Dessin
2849	1	0	0,0%	0,0%	non
2851	3	0	0,1%	0,0%	non
2860	1	0	0,0%	0,0%	non
2868	2	0	0,0%	0,0%	non
2902	2	1	0,0%	0,3%	non
2903	34	3	0,8%	1,0%	oui
2904	34	2	0,8%	0,6%	non
2904/2943	9	1	0,2%	0,3%	non
2906	3	2	0,1%	0,6%	non
2911	7	1	0,2%	0,3%	non
2921	2	0	0,0%	0,0%	non
2943	90	7	2,2%	2,3%	oui
2959	2	0	0,0%	0,0%	non
2962	1	0	0,0%	0,0%	non
2969	1	0	0,0%	0,0%	non
2977	1	0	0,0%	0,0%	non
2981	1	0	0,0%	0,0%	non
2983	1	1	0,0%	0,3%	oui
2984	4	0	0,1%	0,0%	non
2991	3	1	0,1%	0,3%	non
3006	242	3	6,0%	1,0%	oui
3012	7	0	0,2%	0,0%	non
3031	2	0	0,0%	0,0%	non
3036	2	0	0,0%	0,0%	non
3037	1	0	0,0%	0,0%	non
3044	2	0	0,0%	0,0%	non
3050	1	1	0,0%	0,3%	oui
3058	9	1	0,2%	0,3%	non
3062	3	0	0,1%	0,0%	non
3111	83	4	2,0%	1,3%	oui
3112	6	0	0,1%	0,0%	non
3113	16	2	0,4%	0,6%	oui
3119	10	1	0,2%	0,3%	oui
3131	1	0	0,0%	0,0%	non
1m au Nord de l'UA 5	2	0	0,0%	0,0%	non
HS	1	0	0,0%	0,0%	non
proche 2141	3	0	0,1%	0,0%	non
proche 2389	8	0	0,2%	0,0%	non
Haie (Sd. 416)	5	1	0,1%	0,3%	oui
	3	0	0,1%	0,0%	non
<b>Total</b>	<b>4049</b>	<b>308</b>	<b>100,0%</b>	<b>100,0%</b>	

Tab. 5 : pourcentage par structure des NR et MNI céramique

### 2.2.7. Phasage du site pour la période gauloise

Comme le montre l'étude céramique, quatre phases typo-chronologiques peuvent être déterminées sur le site. La première correspond à la phase de transition entre la fin de La Tène ancienne et le début de La Tène moyenne, soit : fin IV<sup>e</sup>/début III<sup>e</sup> siècle av. J.-C.

La seconde qui présente des caractéristiques moins archaïques que la première s'inscrit durant le III<sup>e</sup> siècle av. J.-C.

Les troisième et quatrième, difficiles à différencier, s'inscrivent toutes les deux dans la Tène moyenne et finale couvrant les II<sup>e</sup> et I<sup>er</sup> av. J.-C.

Pour la chronologie et l'évolution du site, nous retiendrons seulement trois grandes phases, qui peuvent être réduites à deux comme nous le verront dans le détail de l'étude.

#### 2.2.7.1. Première phase

La première, correspondant à la phase de transition entre la fin de La Tène ancienne et le début de La Tène moyenne est peut-être comme nous allons le voir avec le fossé 1134, précédée d'une autre phase non décelée par la céramique.

Cette première phase est présente à la fois au sein des deux ensembles. Pour l'ensemble 1, c'est à travers la structure composite 3131, la fosse 1405 située à proximité, le bâtiment 1 ainsi que le segment de fossé 514.

Pour l'ensemble 2, on la retrouve à travers le mobilier provenant du fossé bordier est du chemin 2 et des fossés présents à l'intérieur de l'enclos E6 (858, 1134 et 1076) ou le traversant 827 et 885 (fig. 196).

Dans l'ensemble 1, le bâtiment 1 semble être établi en espace ouvert mais aucune structure ne peut lui être associée avec certitude. Il est recoupé par le fossé 1305 dont le comblement est daté de La Tène moyenne et de La Tène finale. Il semble fonctionner avec la cave ou réservoir à eau 3131 ainsi que le petit bout de fossé 514. Ces structures un peu dispersées au niveau de la répartition spatiale ne permettent pas de proposer une véritable restitution de l'habitat.

Pour l'ensemble 2 se pose le problème de chronologie relative entre les enclos formés des fossés 858 et 1134 avec l'enclos 1107-1154-1133 et 1132. En effet le fossé 1132, recoupé par 858-1134 (daté de cette phase de transition) a livré de la céramique de La Tène finale dans le sondage 302. Cette céramique ne peut pas dater la phase d'utilisation de ce fossé et la chronologie relative montre qu'il est antérieur à la phase de transition fin IV<sup>e</sup>/début III<sup>e</sup> siècle av. J.-C. Comme le montre le plan, le fossé 1134 ne constitue pas une reprise du fossé 1132 mais le traverse complètement. Il y a donc une ré-appropriation de l'espace sans tenir compte de l'état intérieur. Cette chronologie relative indique donc qu'il existe une occupation antérieure à cette première phase mais qui n'est pas discernable par la céramique.

Il semble donc qu'il y ait une phase 0 d'occupation visible qu'à travers la chronologie relative puis à la phase 1, l'installation d'au moins un bâtiment (bât 1) sur tranchée de fondation en espace ouvert avec peut-être d'autres bâtiments comme le 3 ou 7 (également sur tranchée) et le 11 (pour l'établissement 2), mais en l'absence de datation précise cela ne reste que des hypothèses.

### 2.2.7.2. Deuxième et troisième phases du III<sup>e</sup> au I<sup>er</sup> siècle av.J.-C.

C'est au cours de cette phase que le site semble se structurer spatialement. Les fossés d'enclos sont creusés et perdureront jusqu'à la fin de La Tène finale avec peu de modifications mais surtout des rajouts ou des reprises de creusement en façade. Cette phase est à la fois représentée par de la céramique et de la chronologie relative. En effet elle concerne peu de structures : les fossés 1371 et 3006 ainsi que la fosse 687, mais les deux fossés recoupent des structures. Comme l'indique l'étude céramique, il est difficile d'établir clairement la chronologie absolue d'occupation des lieux tant la datation des céramiques peut se chevaucher. Néanmoins, certaines structures n'ont pas pu être contemporaines et ne peuvent que se succéder du fait du mobilier présent dans les comblements et surtout de la chronologie relative. C'est le cas du fossé 3006 qui recoupe la structure 3131 de la phase précédente. Mais ce même fossé 3006 participe de toute évidence au deuxième système d'entrée du domaine avec le fossé 1456-525. S'il y a une entrée (qui a pu être doublée postérieurement vers l'est), il y a forcément un chemin menant à un habitat. Donc on peut logiquement penser que l'enclos E1 existe dès cette époque. Cet enclos E1 a recoupé le bâtiment 1 ce qui confirme l'antériorité de ce dernier par rapport à l'enclos E1. Différentes phases de comblement ont été déterminées dans le fossé de l'enclos. Le mobilier le plus ancien daté de la première phase est vraisemblablement à rattacher à l'occupation du bâtiment 1 et s'est retrouvé de manière fortuite dans le comblement du fossé d'enclos lors du creusement de ce dernier. Il ne correspond vraisemblablement pas à la phase d'utilisation du fossé. Le début de la véritable utilisation de cette occupation fossoyée semble être à rattacher à la découverte de deux jattes dans les sondages 256 et 469 datées du milieu du III<sup>e</sup> siècle/début II<sup>e</sup> siècle av. J.-C. (troisième phase céramique). La phase la plus importante d'occupation date de La Tène finale.

En ce qui concerne le fossé 1371, si l'on considère qu'associé au fossé 1567, ces deux éléments constituent l'entrée de l'enclos E3, il est envisageable de dater l'ensemble de la même période avec le bâtiment 5. La fouille du fossé 1477 de l'enclos E3 a livré un lot de céramique du II<sup>e</sup> siècle av. J.-C. (donc La Tène moyenne) et un second daté du I<sup>er</sup> av. J.-C. (La Tène finale). Donc si l'on prend en compte la datation du fossé 1371, l'ensemble, comme pour l'enclos E1, pourrait être installé au cours de la seconde phase (début de La Tène moyenne) et fonctionner durant toute la Tène moyenne et La Tène finale. Ce qui semble correspondre à l'ensemble 1.

Pour l'ensemble 2, nous l'avons vu le chemin et quelques fossés se rattachent à la première phase, peut être avec le bâtiment 11 sur tranchée. Cette implantation serait soit ouverte, soit entourée des petits fossés 827 et 1076. L'enclos E6 ne se mettrait en place qu'au II<sup>e</sup> siècle av. J.-C. jusqu'à La Tène finale. Puis l'enclos E6 est recoupé par du parcellaire romain alors que l'enclos E1 est recoupé par le grand enclos E8 de la phase d'occupation antique.

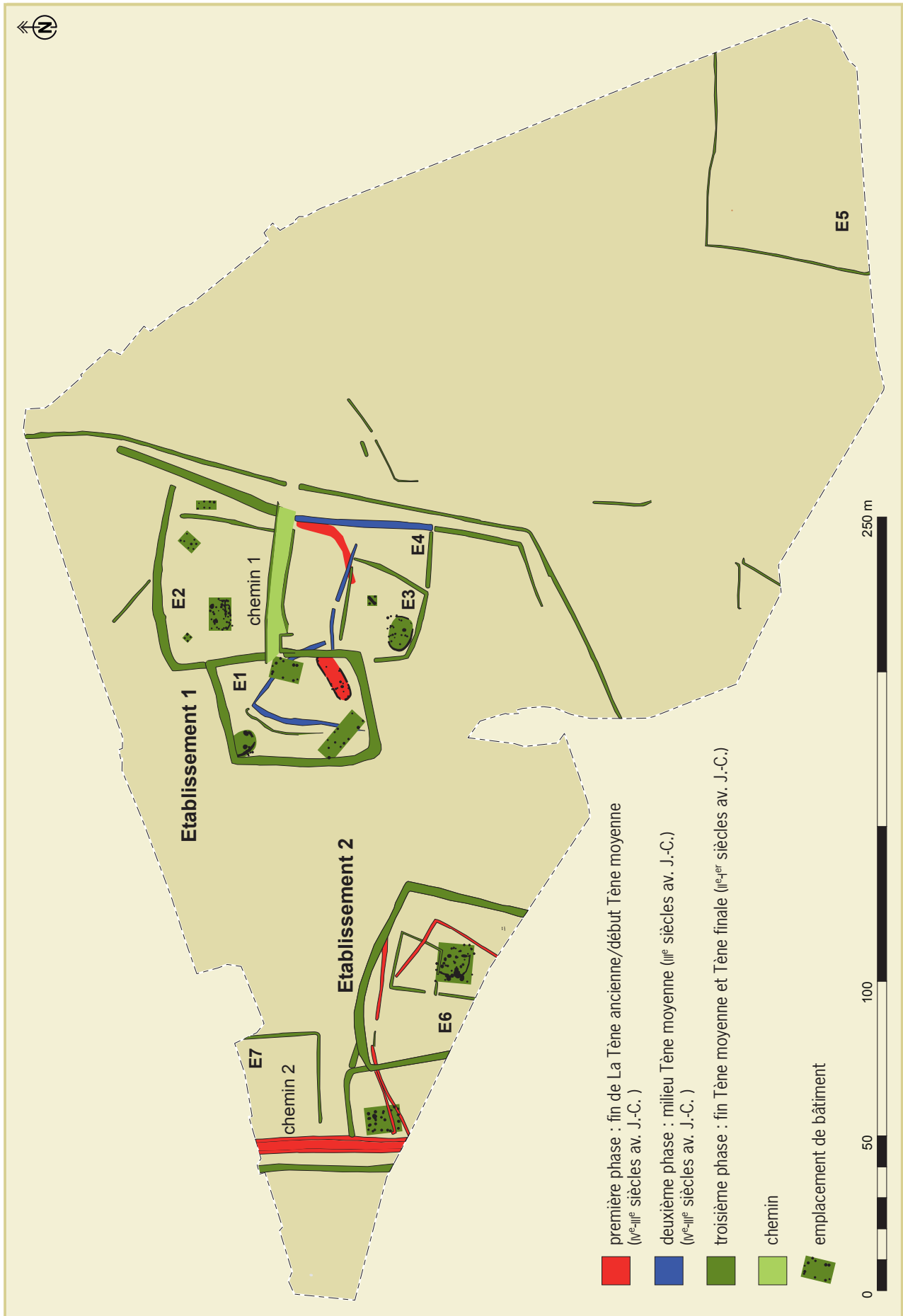


Fig. 196 : phasage de l'occupation gauloise

## 2.3. L'occupation gallo-romaine du site de La Salmondière à Cesson-Sévigné

### 2.3.1. A la fois continuité avec la phase précédente et restructuration

Comme nous l'avons vu précédemment l'aire d'occupation de l'enclos principal gaulois n'est certainement pas complètement abandonnée à la fin de la période gauloise et au début de la période gallo-romaine. Ceci semble être attesté par la présence dans les couches supérieures de comblement des fossés, de céramique de la phase de transition (50 à 30 avant notre ère).

Mais dès le début du I<sup>er</sup> siècle de notre ère, une grosse phase de restructuration du domaine est entreprise. En effet on assiste à l'installation d'un grand enclos venant recouper l'enclos gaulois ainsi qu'à l'implantation d'un système parcellaire venant également recouper ce même enclos. Ce fait est intéressant car il indique que lors de cette restructuration l'enclos gaulois était complètement comblé et que les probables talus n'existaient plus. Leur démantèlement avait du servir à combler les fossés d'enclos. Il semble donc y avoir une réelle perdurance de l'occupation sans *hiatus* car même si Laure Simon note dans son étude céramique, que : « *l'occupation émerge essentiellement à partir de la période claudienne* » (cf. § céramique antique), la fouille a livré quelques tessons augusto-tibériens.

### 2.3.2. Organisation spatiale du nouveau domaine

Cette occupation semble constituée d'un grand enclos quadrangulaire sur lequel vient se greffer des systèmes de parcellaire sur une période allant du début du I<sup>er</sup> siècle jusqu'au III<sup>e</sup> siècle (fig. 197 et 198). Un chemin (chemin 3) partant de l'est de l'emprise permet de pénétrer de l'est vers l'ouest dans ce domaine. Il est complété par un possible chemin plus étroit, d'axe nord-sud, menant peut être dans les champs (chemin 4). Le parcellaire s'étend sur l'ensemble du site. Dans la moitié ouest du domaine, se trouve des bâtiments sur poteaux accompagnés en limite sud-ouest d'une zone de rejets de forge. Des fosses de même période sont présentes en limite nord de la partie ouest, vers la départementale, ce qui laisse penser que le site se prolongeait dans cette direction. D'ailleurs la phase de diagnostic a confirmé qu'une occupation gallo-romaine était présente sur la suite du tracé de la LGV au nord-ouest du site.

#### 2.3.2.1. Chemin 3

Chemin d'axe est/ouest dont la trace n'est conservée que par deux fossés bordiers, au nord 612-1443-1839-1562-2667 et au sud 3146-1836-2778 2781-2783 (fig. 199). Ils délimitent une emprise interne variant de 6,5 m de large côté ouest et 5,13 m côté est reprenant l'axe du chemin gaulois mais avec un décalage vers le sud.

Ces deux lignes parallèles n'ont pas la même longueur. En effet le fossé 3146 s'interrompt au bout de 76 m alors que le fossé 612 semble se prolonger plus à l'ouest sur 140 m mais il recoupe ensuite des enclos gaulois ce qui n'en facilite pas la lecture. Il semble s'arrêter à une entrée matérialisée par une ouverture entre les fossés 1345 et 1370 côté sud et 2900 côté nord.



Fig. 197 : plan de l'occupation antique dans le contexte général des occupations

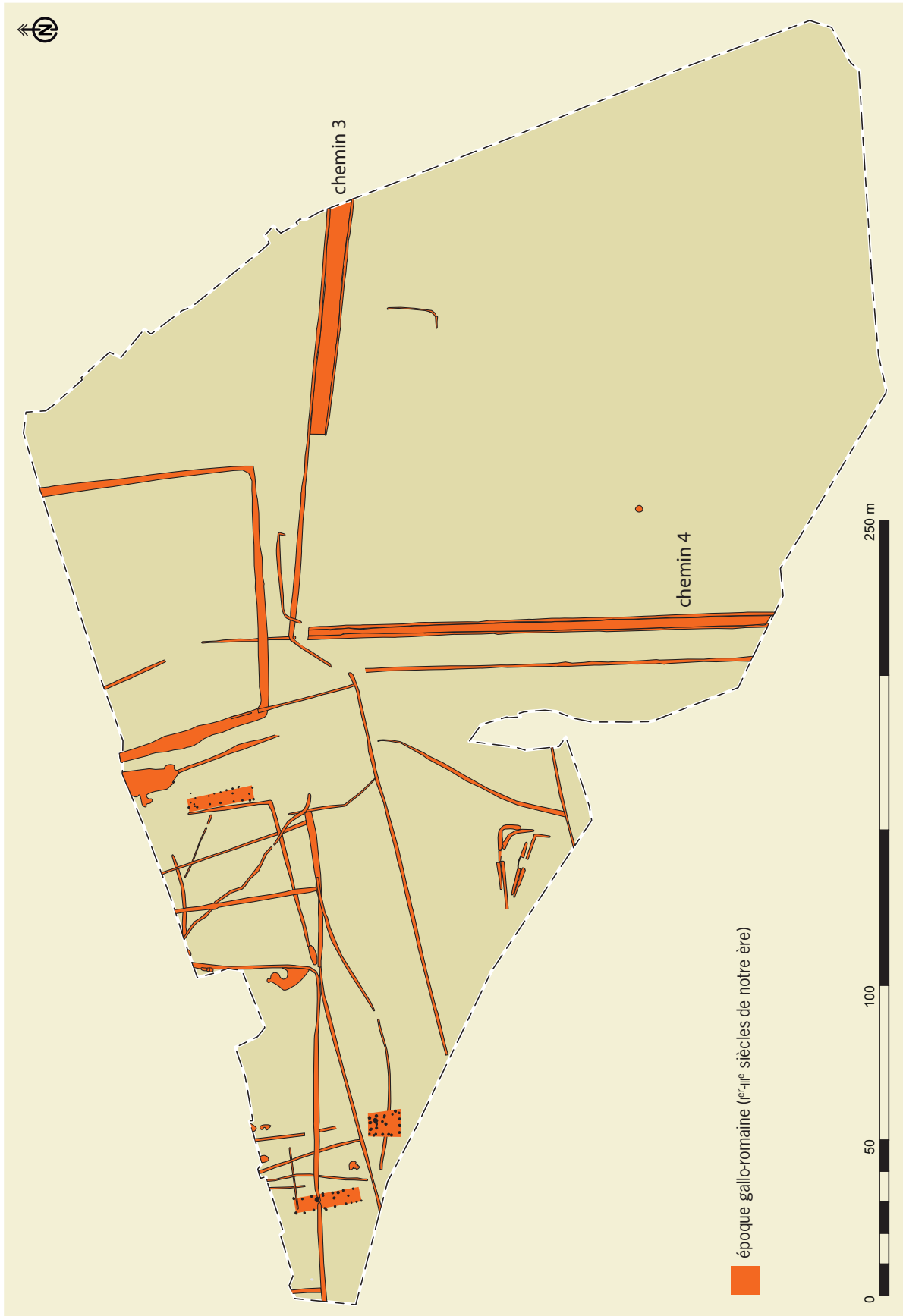


Fig. 198 : plan général de l'occupation antique



De plus des différences de largeur apparaissant dans les coupes, il est possible que cela traduise des reprises liées à de légers déplacements latéraux comme cela est coutumier pour ce type de structure.

#### **Fossé 3146-1836-2778-2781-2783**

Il présente dans les deux sondages ouverts 742 et 747, un même profil en V avec un fond arrondi. Les dimensions sont les mêmes 0,70 m de largeur sur 0,25 m de profondeur pour le sondage 742 et 0,68 m de largeur pour 0,23 m de profondeur. Le comblement est constitué d'un sédiment limono-argileux brun foncé plus ou moins compact homogène avec quelques charbons de bois. Une petite couche plus grise dans le sondage 742 peut indiquer un dépôt de boue.

Il se termine dans le sondage 746 par une extrémité arrondie présentant un surcreusement.

Ce fossé est recoupé par l'ensemble des fossés d'enclos du haut Moyen Âge et le sondage 744 montre que le fossé 3146 recoupe le fossé 1837.

#### **Fossé 612-1443-1839-1562-2667**

Dans sa moitié est, garde à peu près le même gabarit que le fossé précédent à savoir ici 0,72 m de largeur et

0,23 m de profondeur dans le sondage 729 et 0,56 m de largeur pour 0,13 m de profondeur. Son profil est également en V avec un fond arrondi (**fig. 201**). C'est ensuite qu'il s'élargit pour atteindre 1,94 m de largeur pour 0,70 m de profondeur dans le sondage 599. Il semble donc qu'il y est eu des reprises, peut être des curages successifs qui ont élargi le tracé initial. Il est possible également qu'à partir du sondage 699 il ne s'agisse plus du chemin mais d'un autre fossé de même axe. Cela paraît peu probable car nous ne voyons pas à quoi il pourrait alors se rattacher ?

Ce fossé est comblé d'un sédiment limono-argileux brun gris compact homogène avec quelques charbons de bois.

La fouille a livré des tessons de céramique de commune claire et sombre ainsi qu'un fragment d'amphore.

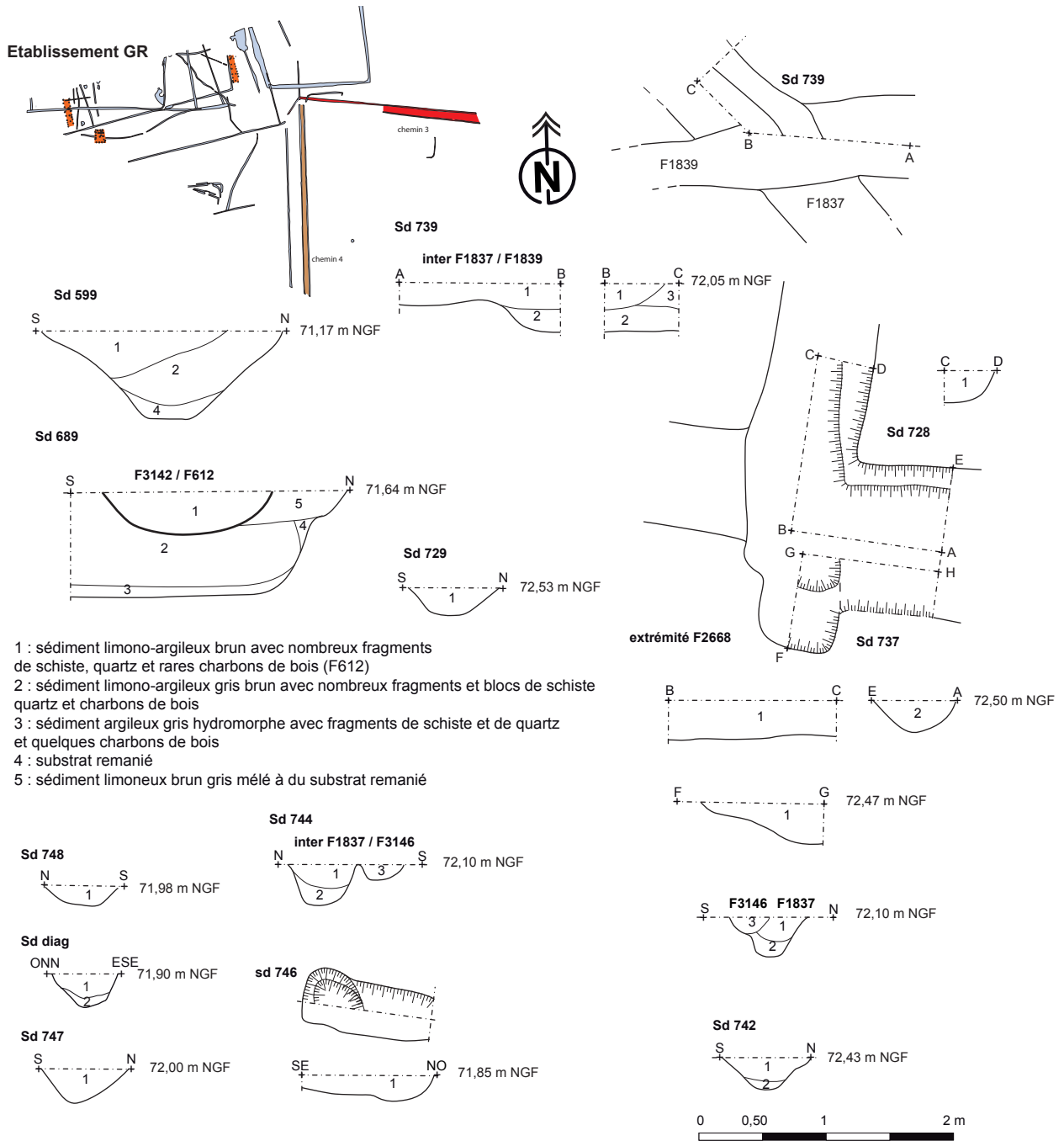
#### **2.3.2.2. Chemin 4**

Deux fossés en parallèle 2073-1370 et 2021-1576-1479-1345, espacés d'environ 3 m ont été assimilés aux fossés bordiers d'un chemin (**fig. 202**). Il semble assuré qu'ils fonctionnent ensemble car ils ont la même relation de chronologie relative avec les autres fossés qu'ils rencontrent et s'arrêtent exactement au même endroit en extrémité nord. Seul un sondage dans l'un de ces fossés a livré du mobilier. Il est possible aussi qu'il s'agisse de deux fossés situés de chaque côté d'une haie, comme on peut en rencontrer dans la région.

#### **Fossé 2021-1576-1479-1345**

D'axe nord/sud a été suivi sur une longueur de 148 m et sur une largeur variant de 0,63 à 0,94 m pour une profondeur conservée allant de 0,10 à 0,30 m (**fig. 203**). Les sondages montrent un profil évasé avec un fond arrondi (sondage 33). Le comblement est constitué d'un sédiment limono-argileux beige gris avec inclusions de charbons de bois. Il faut noter qu'il est bordé côté est par des lambeaux de fossés pouvant correspondre à des reprises de fossés ou des variations latérales fréquentes pour les chemins. La fouille a livré, associé à quelques tessons de céramique commune claire, un tesson de sigillée du Centre Gaule, qui est un fragment de bol moulé Drag. 29 du deuxième quart du I<sup>er</sup> s.

Ce fossé est recoupé dans le sondage 83 par la haie moderne 2223 puis il recoupe le fossé gaulois 2002. Il est de nouveau recoupé par une haie moderne dans le sondage 70, puis par un fossé non daté (mais vraisemblablement d'époque médiévale) dans le sondage 129 tout en recoupant, dans ce même sondage, le fossé gaulois 2004. Il est ensuite



- 1 : sédiment limono-argileux brun avec nombreux fragments de schiste, quartz et rares charbons de bois (F612)
- 2 : sédiment limono-argileux gris brun avec nombreux fragments et blocs de schiste quartz et charbons de bois
- 3 : sédiment argileux gris hydromorphe avec fragments de schiste et de quartz et quelques charbons de bois
- 4 : substrat remanié
- 5 : sédiment limoneux brun gris mêlé à du substrat remanié

- 1 : sédiment limono-argileux brun gris avec nombreux fragments de schiste et quelques charbons de bois
- 2 : sédiment limono-argileux gris avec nombreux fragments de schiste
- 3 : sédiment argilo-limoneux brun avec quelques charbons de bois

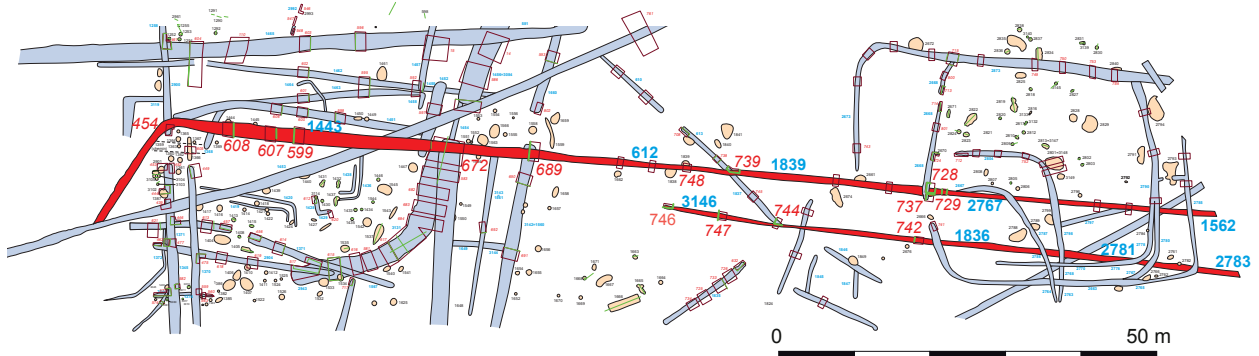
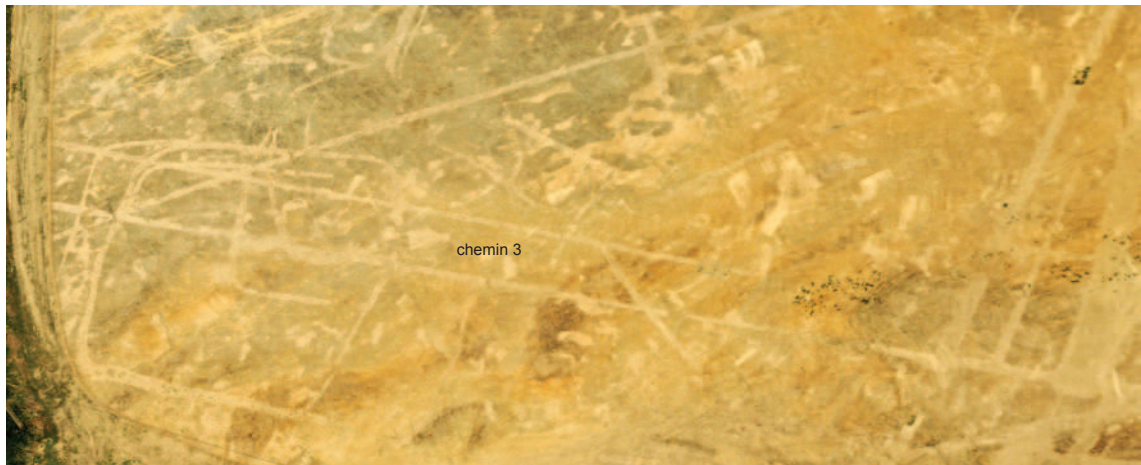


Fig. 199 : plan et coupes du chemin 3



**Fig. 200** : vue aérienne à partir du nord du chemin 3 © Hervé Paitier



**Fig. 201** : coupe ouest du sondage 599 du fossé 1443 du chemin 3 © équipe de fouille

recoupé par le fossé non daté 2187, puis par l'enclos médiéval 1338. Il recoupe ensuite l'enclos gaulois E3, la tranchée de fondation du bâtiment 1478 ainsi que la 3050. Il coupe ensuite le fossé gaulois 1373 dans le sondage 462 (fig. 133), puis 1371 dans le sondage 446 (fig. 122). Son extrémité est visible dans le sondage 452. La coupe montre une remontée en pente douce, mais le fossé très arasé n'a plus que 0,12 m d'épaisseur.

Le comblement est constitué d'un sédiment limono-argileux brun clair assez homogène présentant de petites inclusions d'altérite.

La fouille n'a livré de la céramique que dans le fossé 636. Il s'agit de 9 tessons de commune claire et 1 tesson de sigillée. Cet ensemble ne permet pas de dater le fossé avec plus de précision.

#### Fossé 2073-1370

D'axe nord/sud a été suivi sur une longueur de 154 m et sur une largeur variant de 0,80 à 1 m pour une profondeur conservée allant de 0,26 à 0,48 m (fig. 204). Les trois sondages relevés montrent un profil évasé avec un fond arrondi. Le comblement est constitué d'un sédiment limono-argileux gris beige avec traces d'oxydation. Ce fossé recoupe le petit fossé 2050 non daté, alors qu'il est recoupé dans le sondage 82 par le petit fossé non daté 2085. Il recoupe dans le sondage 69 le fossé 2002 (fig. 147). Il est ensuite recoupé par la haie moderne 2026 puis par les fossés non datés 2183 et 2187 (vraisemblablement d'époque médiévale). Il recoupe dans le sondage 135, le fossé gaulois 2004, de nouveau recoupé par une haie moderne, puis recoupé par le fossé médiéval 1338. Il recoupe ensuite l'enclos gaulois 1377,

la tranchée de fondation du bâtiment gaulois 1478, dans le sondage 475 (fig 133), le fossé gaulois 1373 puis le fossé gaulois 1371. Il est recoupé une nouvelle fois par une haie moderne puis s'arrête dans le sondage 449. Son extrémité remonte en pente douce. La profondeur conservée est de 0,44 m. L'étude de la stratigraphie montre que le fossé est resté ouvert provoquant un dépôt de sédiment limono-argileux gris hydromorphe homogène avec de gros blocs de quartz. Il est recouvert d'un sédiment limono-argileux gris brun compact homogène avec des inclusions de schiste et de petits fragments de quartz. Les pourcentages de pente entre les extrémités nord et sud de ces fossés donnent respectivement 0,16 et 0,38 %, soit une pente quasi nulle pouvant corroborer l'hypothèse du chemin, ces fossés récupérant juste l'eau de pluie présente sur le chemin sans véritable volonté de l'évacuer ou de la conduire dans un exutoire. Ce chemin s'arrête juste en face du grand enclos gallo-romain et face au fossé 2900 qui traverse la phase finale de comblement de ce même enclos. L'ensemble paraît constituer comme une entrée de 4 m de largeur venant se greffer sur le fossé nord du chemin 3. Un autre fossé est parallèle aux fossés du chemin 4. Il s'agit de 1388-2005. Il peut correspondre lui aussi à un fossé bordier avec un déplacement latéral du chemin. Il est distant d'une dizaine de mètres du fossé 2021-1576-1479-1345.



Fig. 202 : vue aérienne à partir du nord-ouest du chemin 4 en cours de décapage © Gilles Leroux

#### Fossé 1388-2005

Il a été suivi selon un axe nord/sud sur une longueur de 124 m pour largeur variant de 0,68 m à 1,16 m et pour une profondeur conservée allant de 0,27 à 0,36 m (fig. 205). Comme le montre la majorité des sondages, le profil est en U avec un fond arrondi. Le comblement relativement homogène est composé d'un sédiment argileux gris beige avec rares oxydes. Seul la coupe du sondage 504 (fig. 206) montre une stratigraphie plus détaillée. Le dénivelé en surface entre les deux extrémités étant de 0,78 m, la pente est de 0,62 %, soit moins de 1%. On retrouve les mêmes cotes en fond de fossé, donc l'écoulement de l'eau se fait du nord vers le sud selon une pente très douce suivant le dénivelé naturel du terrain. Le sondage 710 a été ouvert en extrémité nord du fossé, à la jonction avec

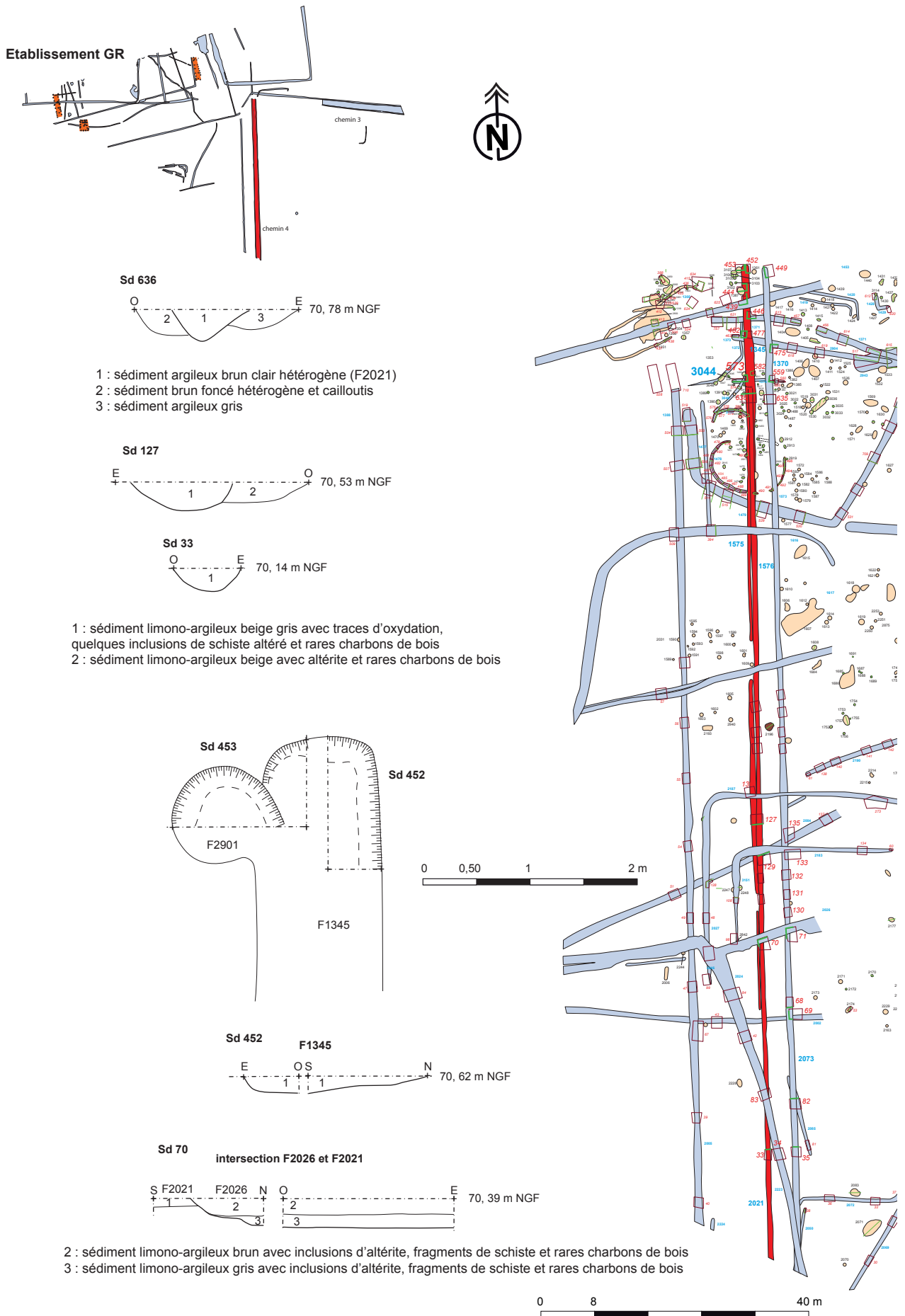


Fig. 203 : plan et coupes du fossé 2021-1576-1479-1345 du chemin 4

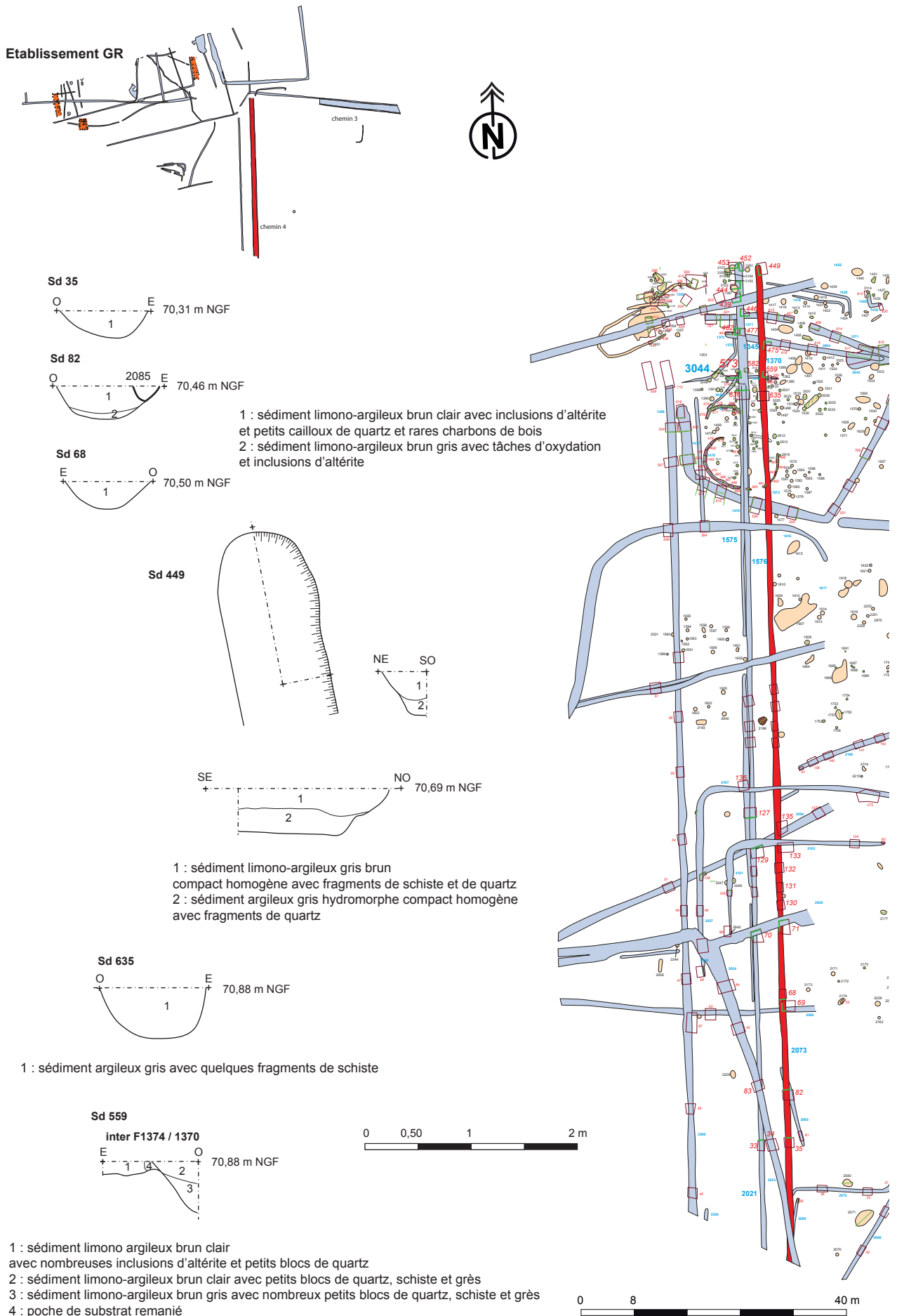


Fig. 204 : plan et coupes du fossé 2073-1370 du chemin 4

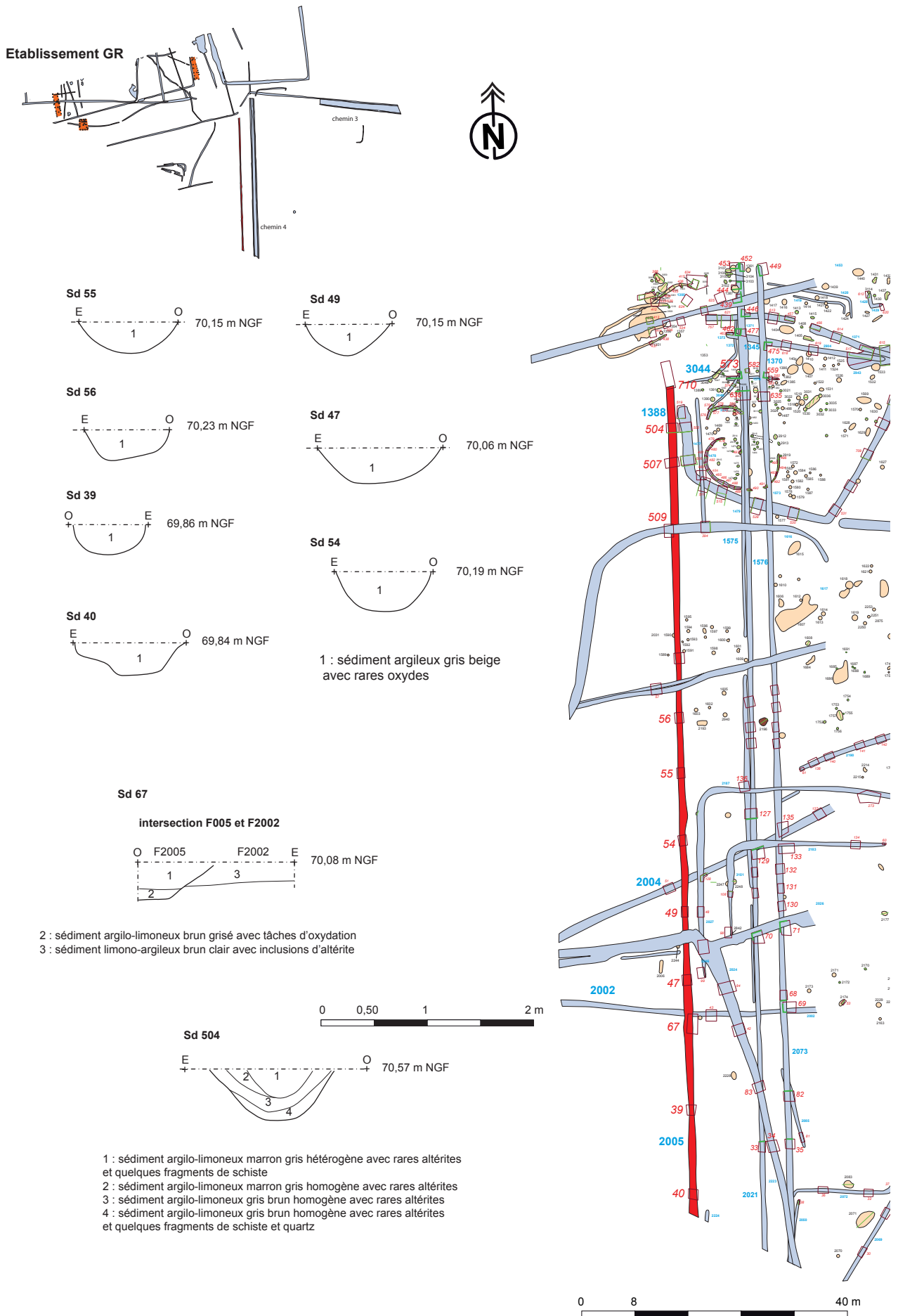


Fig. 205 : plan et coupes du fossé 1388-2005 du chemin 4

le fossé 2046 de l'enclos E1. L'observation de la coupe n'a pas permis d'en retirer une relation stratigraphique. Ce fossé 1388-2005 recoupe le fossé gallo-romain 2002 dans le sondage 67. Il est recoupé ensuite par la haie moderne 2000 et par le fossé 1338, vraisemblablement médiéval. La fouille n'a livré du mobilier que dans le sondage 710 en surface : 1 tesson de commune claire. Ce n'est donc que par ces relations de chronologie relative et par sa possible participation au chemin 4 qu'il est daté de la période antique.



Fig. 206 : coupe sud du sondage 504 du fossé 1388 © équipe de fouille

### 2.3.2.3. L'enclos gallo-romain

La phase d'occupation gallo-romaine semble s'organiser à partir d'un grand enclos quadrangulaire situé en extrémité nord d'emprise et dont seulement la partie méridionale a pu être appréhendée, le reste se trouvant hors emprise (fig 207). La partie décapée fait en façade 69 m de longueur, 81 m en façade sud et 51 m sur sa partie ouest. Ce qui représente pour la zone accessible une surface interne d'environ 5280 m<sup>2</sup>. Aucune interruption de fossé sur cet ensemble n'indique une entrée. Elle devait se trouver en façade septentrionale.

#### Façade orientale

Elle se compose du fossé 521-105 d'1,60 m de largeur pour une profondeur conservée de 0,56 m (fig 208). Situé à l'emplacement de la zone de stockage des terres du décapage, il a fallu le fouiller rapidement et surtout privilégier les relations stratigraphiques avec les autres fossés. Un seul sondage a été ouvert, 759, il montre un profil évasé avec un fond arrondi. Le comblement est constitué d'un sédiment limono-argileux beige gris mélangé à du schiste altéré comprenant quelques fines particules de charbons de bois. Ce fossé recoupe les fossés gaulois 525-1456-3084 et 110-1660. Son retour ouest est constitué du fossé 581-1465.

#### Façade méridionale

Elle se compose du fossé 581-1465 de 81 m de longueur pour une largeur variant de 1,70 m à 2,40 m et une profondeur allant de 0,72 m à 0,97 m (fig. 209). La largeur moyenne semble être de 1,70 m, mais des curages successifs ou la reprise du tracé par un autre fossé amène à pratiquement doubler la largeur dans les sondages 596, 110 et 464. Le profil principal est évasé avec un fond arrondi et comme le montre



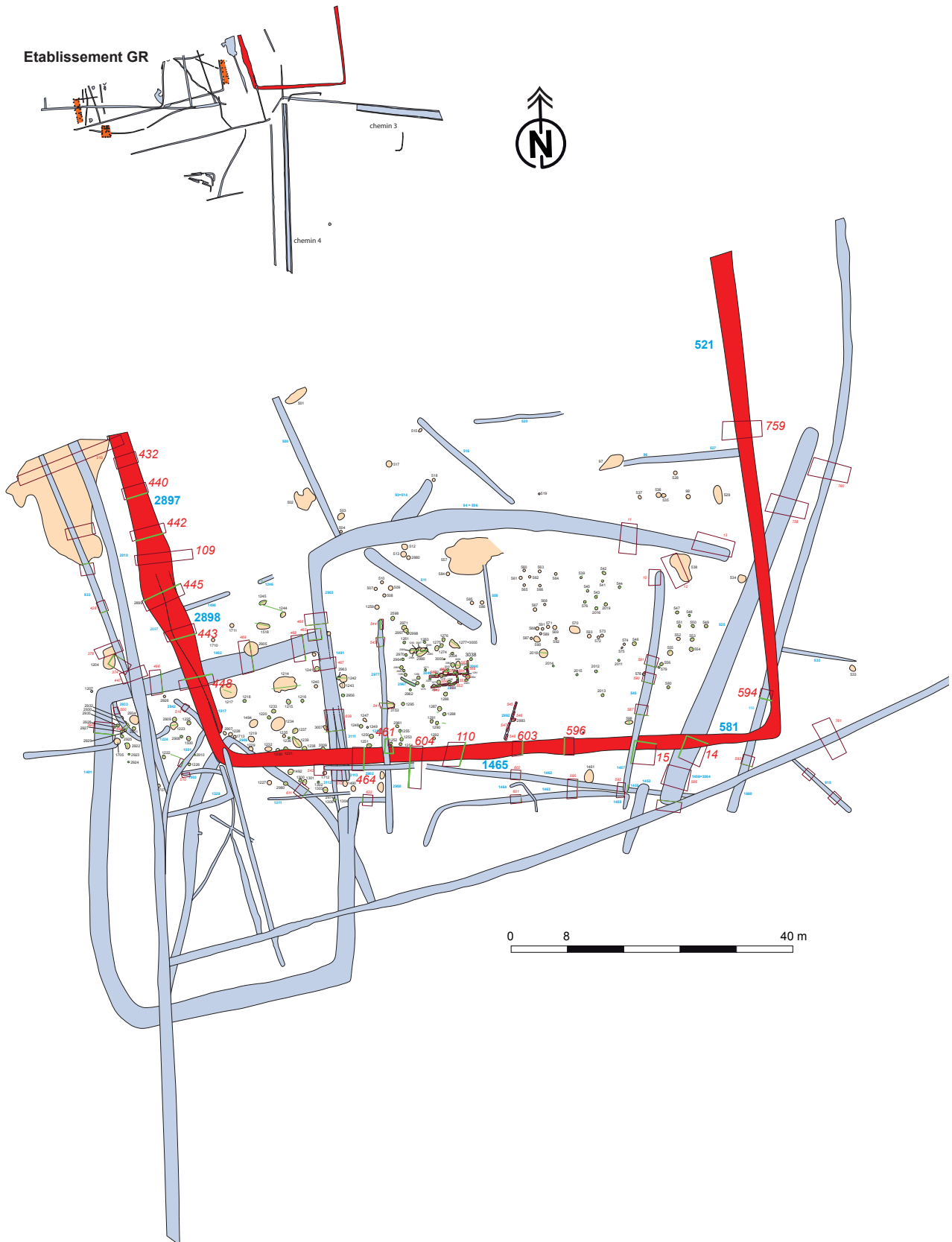
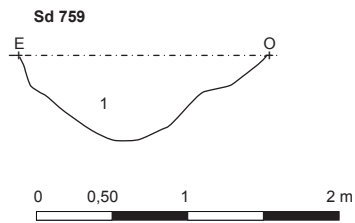
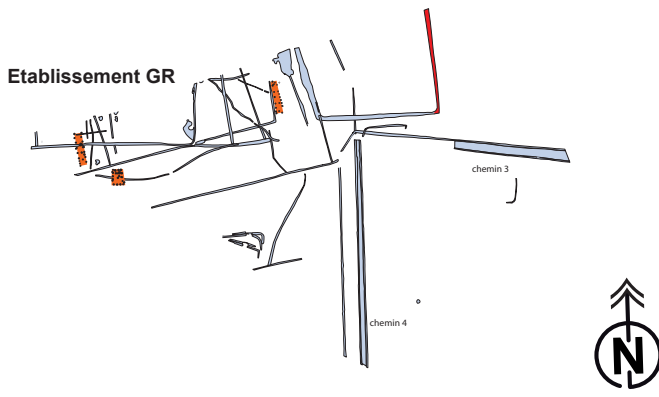


Fig. 207 : plan général de l'enclos gallo-romain



1 : sédiment limono-argileux beige gris moucheté orange peu compact avec charbons de bois

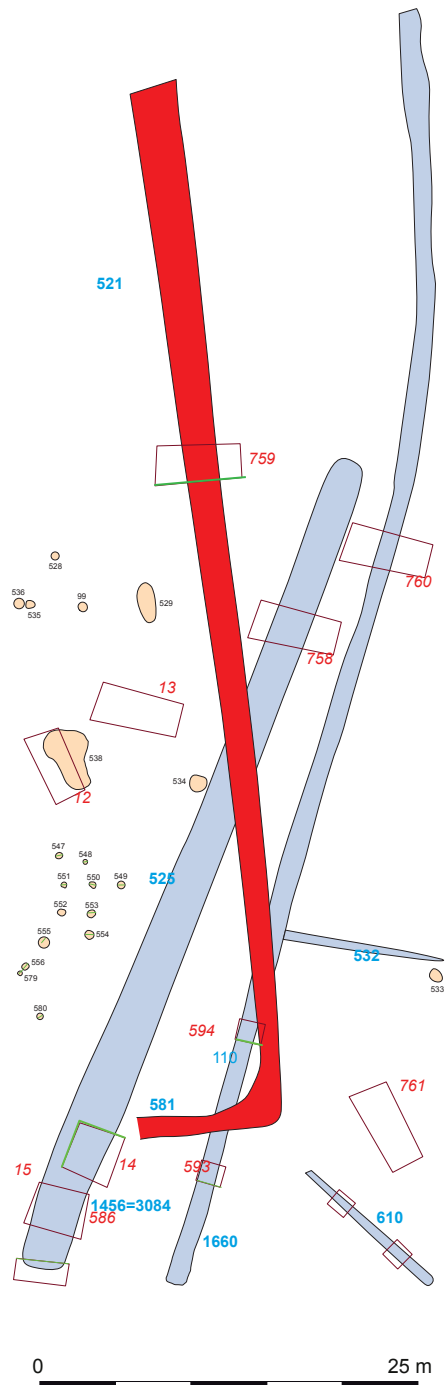
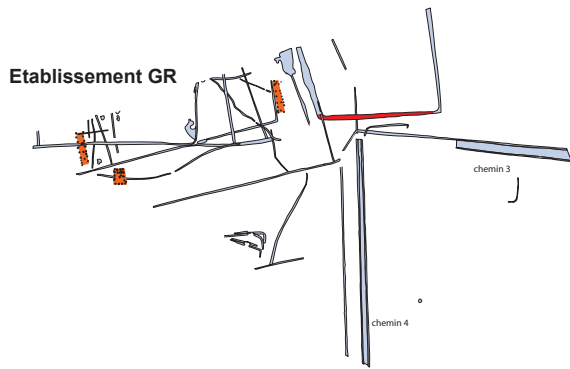
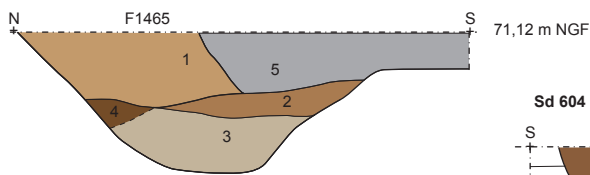


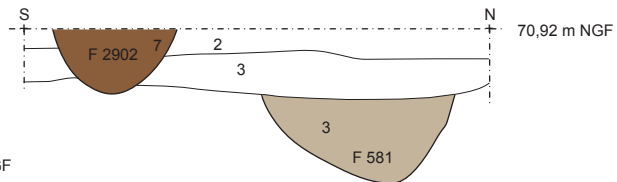
Fig. 208 : plan et coupe du fossé 521 de la façade orientale de l'enclos gallo-romain © cliché équipe de fouille



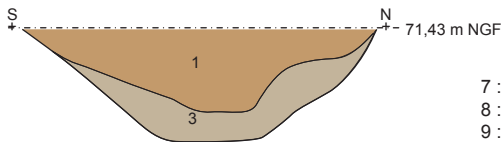
Sd 110



Sd 604

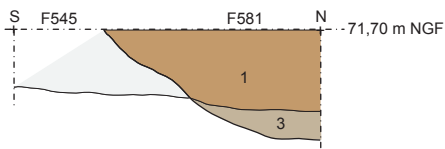


Sd 596

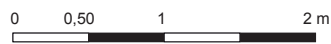
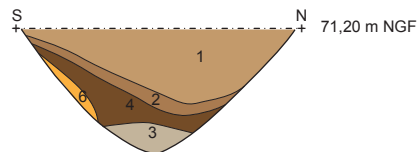


7 : sédiment argileux gris compact homogène avec oxyde et charbons de bois (F2902)  
 8 : sédiment limono-argileux gris (F1465)  
 9 : nappage ?? (F1465)

Sd 15



Sd 603



- 1 : sédiment limono-argileux brun clair avec inclusions d'altérite et petits cailloux
- 2 : sédiment limono-argileux brun avec traces oxydation et plaquettes de schiste
- 3 : sédiment limono-argileux gris avec traces oxydation
- 4 : sédiment limono-argileux gris avec traces oxydation riche en fragments d'altérite
- 5 : sédiment argileux gris hydromorphe recoupe F1465

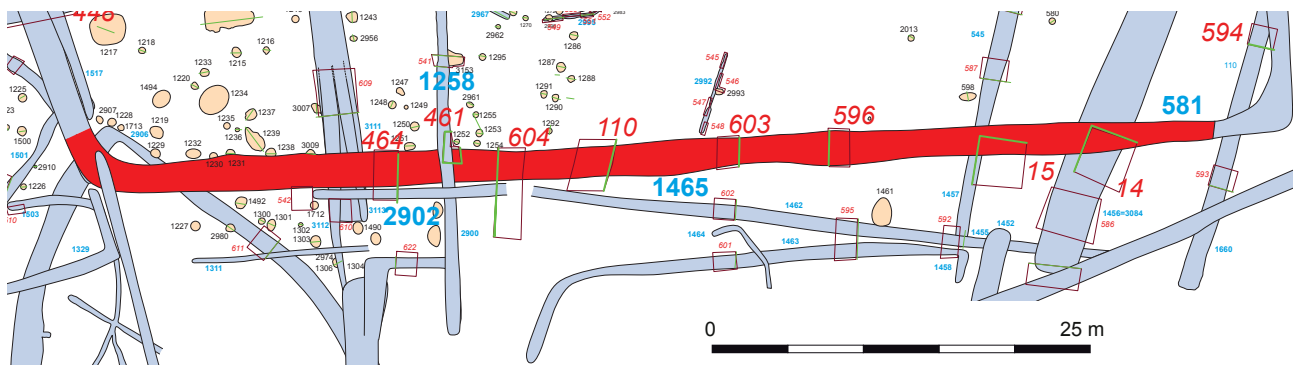


Fig. 209 : plan et coupe de la façade méridionale avec le fossé 581-1465 de l'enclos gallo-romain

le sondage 603 il semble être resté ouvert, la coupe présentant des phases d'effondrement de parois ainsi qu'une petite couche argileuse grise à la base correspondant vraisemblablement au niveau d'atterrissement du fossé. Ce niveau d'argile grise se retrouve de manière plus ou moins épaisse dans les sondages 596 et 110. Le fossé est comblé d'un sédiment limono-argileux gris brun, compact, homogène présentant de nombreuses inclusions d'altérite ainsi que des plaquettes de schiste.

Il recoupe le fossé gaulois 545-1457 dans le sondage 15 (fig. 210) et il est recoupé par le fossé 1258 dans le sondage 461 (fig. 211). Dans le sondage 604 il est recoupé par une dépression comblée d'un sédiment très argileux et très oxydé constituant un nappage de cette zone venant masquer les structures se trouvant en-dessous (fig. 212). Nous avons été obligé notamment dans les sondages 604 et 110 de traverser cette couche à la pelle mécanique pour tenter de comprendre les ramifications de fossés mais ce qui a eu également pour objet de les faire disparaître lorsque leur niveau de conservation est faible. Cette nappe peut correspondre à un niveau de circulation dans le chemin gaulois qui aurait pu perdurer au-delà de La Tène finale et peut être même au-delà de la période antique puisque ce niveau recoupe le fossé gallo-romain. Par contre le problème se pose pour le fossé 2902 que nous avons attribué au chemin gaulois et qui dans le sondage 604 recoupe cette couche hydromorphe (fig. 213). Le creusement du fossé dans ce sondage correspond de toute évidence à une phase ultérieure au scellement du fossé 581 confirmant peut être la pérennité du chemin gaulois jusqu'à la fin de la période antique et peut être à la période médiévale.

#### Façade occidentale

Elle se compose du fossé 2898 repris par le fossé 2897 (fig. 214).

#### Fossé 2898

Il fait 51 m de longueur selon un axe nord-ouest/sud-ouest. Il a été ouvert à la pelle mécanique par 7 sondages dont 5 coupes ont été relevées. Autant nous avons soupçonné la reprise d'un autre fossé en façade sud sans pouvoir vraiment le mettre en évidence, autant ici les coupes confirment qu'il y a deux fossés superposés ce qui rend difficile la recherche du creusement initial. Il semble d'après le sondage 440 qu'il s'agisse d'un fossé évasé à fond arrondi, ressemblant aux autres côtés de l'enclos de 1,70 m à 2 m de largeur pour une profondeur conservée de 0,56 m. Dans les sondages 442 et 443 (fig. 215) le fond se trouve à 0,80 m de profondeur par rapport à la surface actuelle. Le comblement est constitué d'un sédiment limono-argileux beige grisé avec de nombreuses inclusions d'altérite. Dans le sondage 442 il faut noter la présence de fragments de quartz et d'inclusions de manganèse.

La fouille a livré

- dans le sondage 442 : un tesson informe de sigillée du sud de la Gaule, daté de 40-90 de notre ère.
- dans le sondage 445 : 12 tessons de commune claire.

#### Le fossé 2897

Il a été suivi sur 51 m de longueur et sur au moins 3 m de largeur pour une profondeur conservée d'environ 0,55 m. De forme très évasée, le fond est arrondi. Il reprend largement le tracé du fossé 2898 sans en atteindre le fond. Il est possible qu'il se prolonge sur la façade sud mais l'observation des coupes n'a pas permis de le certifier. Par contre il ne semble pas se prolonger vers le sud, même si un petit fossé (3085) de même axe se poursuit vers le sud-est à partir de l'angle sud de l'enclos. Le comblement de 2897 est constitué principalement d'un sédiment limono-argileux brun clair légèrement grisé avec de nombreuses inclusions de manganèse et d'altérite ainsi que des cailloux de quartz, des charbons de bois, ainsi que des fragments de tuile.



Fig. 210 : coupe ouest de l'inter entre les fossés 545 et 581 dans le sondage 15 © cliché équipe de fouille



Fig. 211 : inter fossés 581 et 1258 du sondage 461 © cliché équipe de fouille

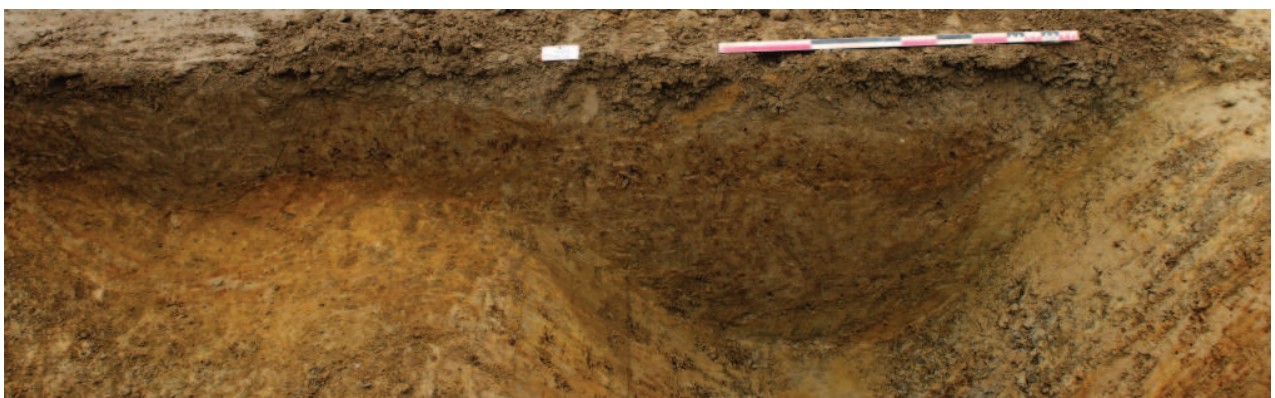


Fig. 212 : coupe ouest des fossés 581 et 2902 du sondage 604 © cliché équipe de fouille

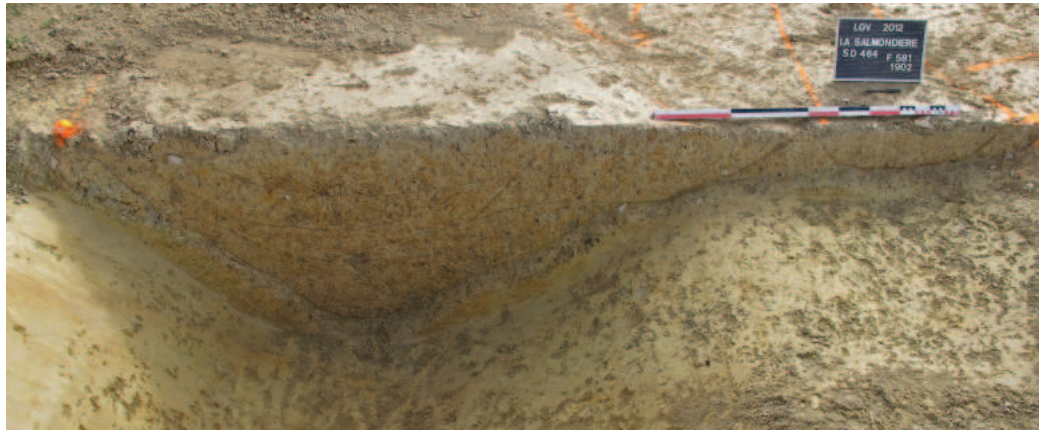


Fig. 213 : coupe est des fossés 581 et 2902 dans le sondage 464 © cliché équipe de fouille

Ces deux fossés recoupent le fossé 1402 de l'enclos gaulois dans le sondage 448 (fig. 216) et le fossé 2897 est recoupé par la fosse 2899.

La fouille a livré :

- dans le sondage 442 : un tesson de commune claire, 76 tessons de commune sombre ainsi que les fragments d'un pot en céramique commune sombre de profil étiré avec une lèvre simple, évoquant le courant du II<sup>e</sup> s.
- dans le sondage 443 : un tesson de céramique commune claire et deux tessons de sigillée d'une assiette Lo43 du Centre Gaule, datée de 140-190 avant notre ère.
- Dans le sondage 445 : 8 tessons de céramique grise mi-fine.

D'après l'étude céramique, il semble donc que l'enclos, avec le fossé 2898, participe à la première phase d'occupation du site du début du I<sup>er</sup> siècle, comme semble l'attester le tesson de sigillée du sud de la Gaule, daté de 40-90 de notre ère trouvé dans le sondage 442 et perdue jusqu'à la fin de l'occupation (fin II<sup>e</sup>, début III<sup>e</sup> siècle) avec le fossé 2897. Cela confirmerait qu'il s'agit d'une partie de l'enclos principal de l'habitat antique.

A l'intérieur de cet enclos sont présents des fossés, des trous de poteaux et des fosses mais, pour la plus part, l'absence de mobilier ne permet pas de dire s'ils participent à l'occupation antique ou gauloise.

#### *Les structures*

Les structures situées dans l'enclos ayant livré du mobilier céramique antique sont peu nombreuses. Il s'agit de la fosse ou trou de poteau 1237 présente dans l'angle sud-ouest ainsi que deux trous de poteaux 2997 et 2998 situés en partie centrale. Aucun de ces éléments ne peut être rattaché à un éventuel bâtiment. Il faut également rajouter les fossés 500 et 1258-2900-2977.

La fouille a livré :

- pour 1237 un tesson de terra nigra du I<sup>er</sup> siècle et 2 tessons de commune sombre.
- pour 2997 un tesson de commune claire
- pour 2998 15 tessons de commune sombre

#### **Fossé 500**

C'est un fossé d'orientation nord-ouest/sud-est de 21 m de longueur sur 1,15 m de largeur. Il n'a pas été sondé mais le décapage a livré (en ramassage de surface) un tesson d'assiette en sigillée du Centre Gaule, caractéristiques des productions des années 40-90 de notre ère.

Il pourrait donc être contemporain du creusement de l'enclos et

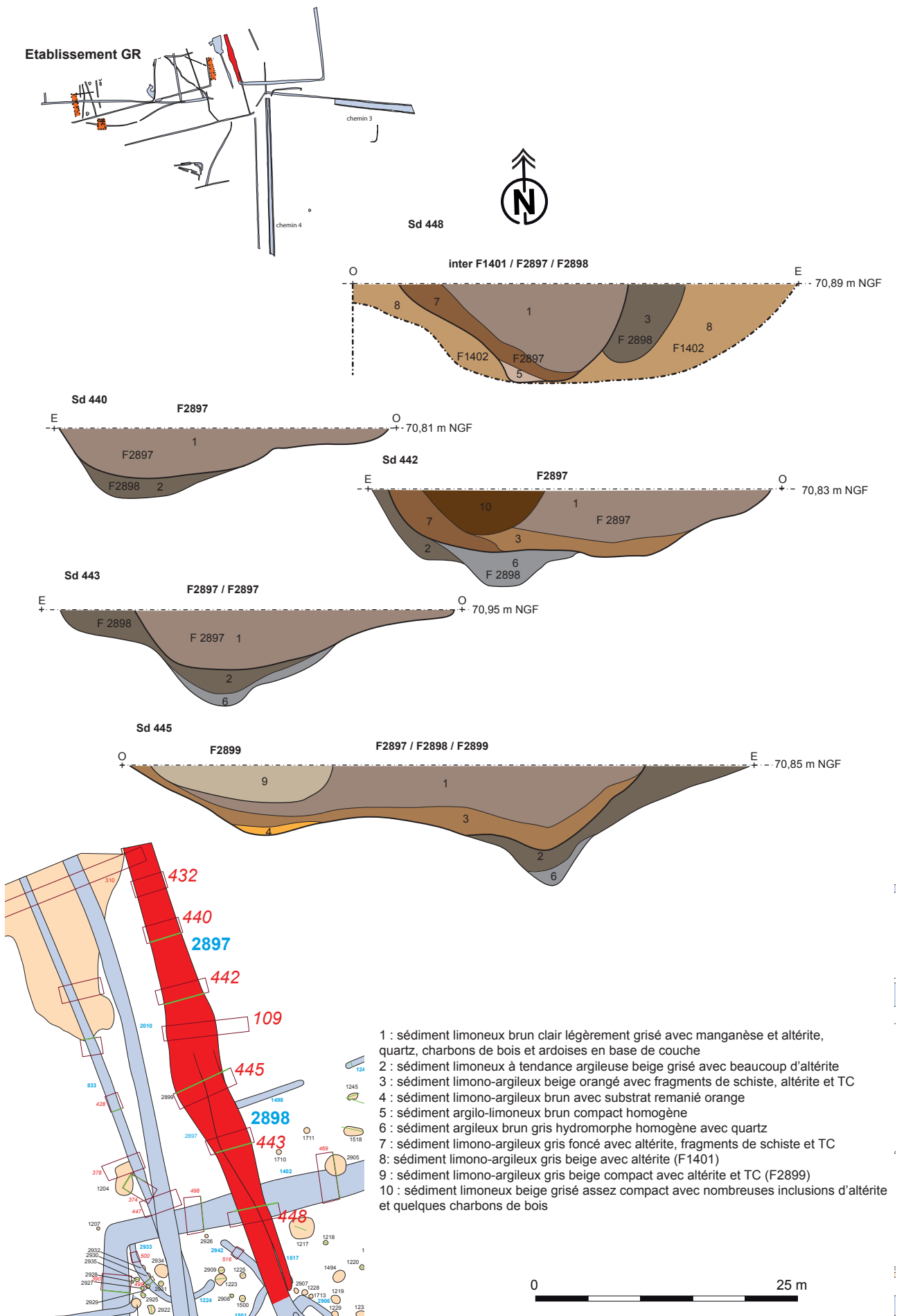


Fig. 214 : plan et coupes de la façade occidentale avec les fossés 2897 et 2898 de l'enclos gallo-romain



**Fig. 215** : coupe sud-est des fossés 2897 et 2898 dans le sondage 443 © cliché équipe de fouille



**Fig. 216** : coupe nord des fossés 2897 et 2898 dans le sondage 448 © cliché équipe de fouille



**Fig. 217** : coupe nord des fossés 2897 et 2898 dans le sondage 445 © cliché équipe de fouille



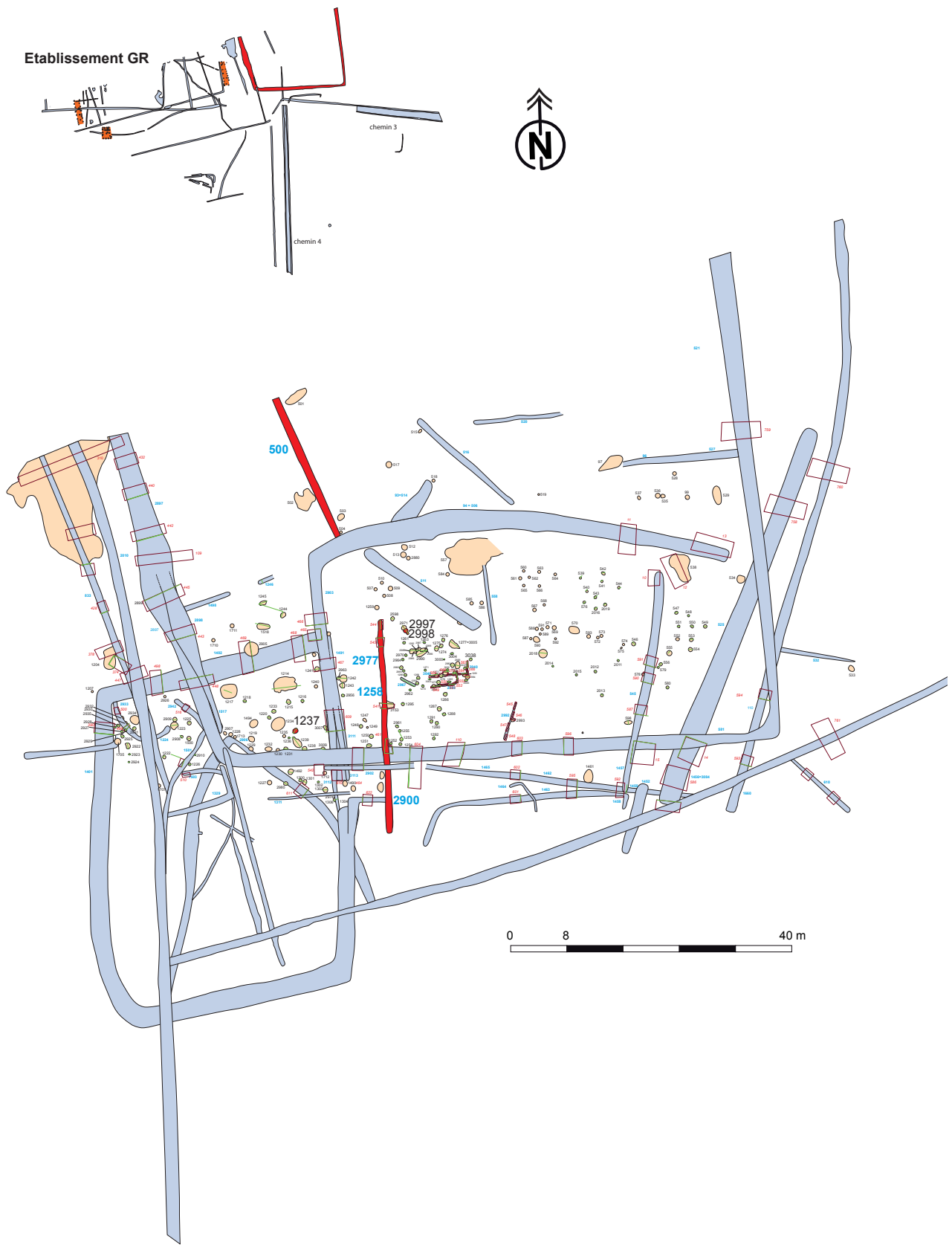


Fig. 218 : localisation des structures ayant livré du mobilier antique dans l'enclos gallo-romain

en constituer une partition interne si l'on se fie à son axe parallèle à la façade ouest de cet enclos.

#### Fossé 1258-2900-2977

D'axe nord/sud traverse la façade sud de l'enclos gallo-romain. Il a été suivi sur une longueur de 30 m et sur une largeur moyenne de 0,65 m pour une profondeur conservée de 0,22 m (fig. 219).

Il s'interrompt à chaque extrémité nord et sud. Les 5 sondages ouverts ont été relevés. Ils présentent un profil évasé avec un fond arrondi. Le comblement est constitué d'un sédiment limono-argileux gris avec charbons de bois et nodules de terre cuite. Dans le sondage 541, le fossé est recoupé par la fosse 3153.

Le sondage 461 (fig 211) montre que le fossé 1258 est soit plus tardif soit contemporain du dernier état de fonctionnement du fossé 581.

L'extrémité sud est bien marquée avec un bord en légère remontée, alors que l'extrémité nord n'en est certainement pas une mais simplement la disparition du fossé par arasement. Il devait certainement se poursuivre dans cette direction. Il faut noter qu'il est parallèle à un autre fossé (non daté 558) pouvant correspondre à une partition interne à l'enclos.

La fouille a livré, dans le sondage 544 : 3 tessons de commune sombre.

#### 2.3.2.4. Le parcellaire antique

Le site est implanté préférentiellement sur un versant exposé au sud-ouest. C'est dans cette direction que semble converger l'ensemble des réseaux de parcellaire que ce soit à l'époque antique et même moderne. L'ensemble semble se diriger vers l'étang de la ferme du Gohorel situé au sud-ouest de l'emprise. Cet axe nord-ouest/sud-est est marqué par le fossé 500 auquel nous avons attribué une datation du I<sup>er</sup> siècle à partir d'un fragment de sigillée trouvé lors de son décapage. Situé à 33 m à l'ouest de ce dernier, se trouve le fossé 833. Il est parallèle au fossé 500 et l'ouverture des sondages 429 et 430 a livré du mobilier du I<sup>er</sup> siècle. Toujours plus à l'ouest à 28,50 m, parallèle à ce dernier se trouve le fossé 1172 daté lui aussi du I<sup>er</sup> siècle. L'écart assez constant entre ces fossés parallèles pourrait correspondre à une trame parcellaire d'environ 30 m de largeur. Par contre, la base sud sur laquelle se refermerait ces parcelles n'est pas conservée. Le fossé 1507 constitue peut être un retour partiel de la parcelle pouvant être constituée des fossés 1172 et 833.

L'ensemble pouvant ainsi former un enclos de parcellaire (enclos 2) d'orientation nord-ouest/sud-est, d'environ 50 m de longueur sur 30 m de largeur (fig. 220).

#### Enclos 2

Dans cette hypothèse de travail, la façade est-nord-est serait constituée du fossé 833, le côté ouest-sud-ouest du fossé 1172 et nord-nord-ouest pouvant être limité par le fossé 1186 ou par une ligne de trous de poteaux et de fosses et la façade sud-sud-est par le fossé 1507.

#### Fossé 833

D'orientation nord-ouest/sud-est a été suivi sur 51 m de longueur et sur une largeur de 0,97 m pour une profondeur conservée de 0,36 m (fig. 221). Sur les 7 sondages ouverts, 5 ont été relevés. Ils montrent un profil évasé avec un fond arrondi. Le comblement principal est composé d'un sédiment limoneux brun gris avec manganèse, charbons de bois et quartz. De petites couches d'effondrement à base d'altérite situées dans le fond de la structure montrent que ce fossé est resté ouvert dans sa phase d'utilisation. L'absence de dépôt argileux semble indiquer une circulation de l'eau sans stagnation. La fouille a livré :

- dans le sondage 310 : un tesson de commune claire.

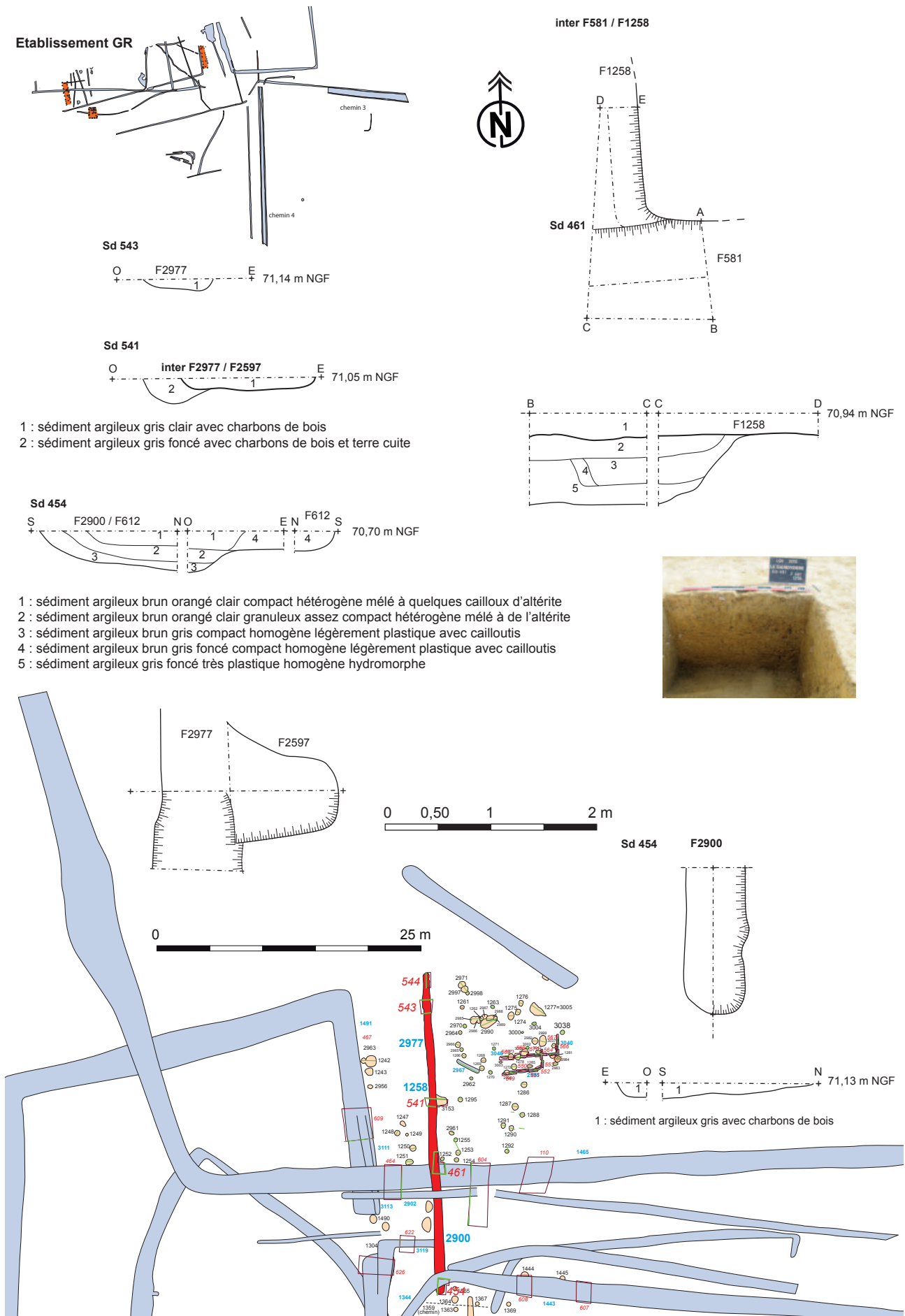


Fig. 219 : plan et coupe du fossé 1258-2900-2977

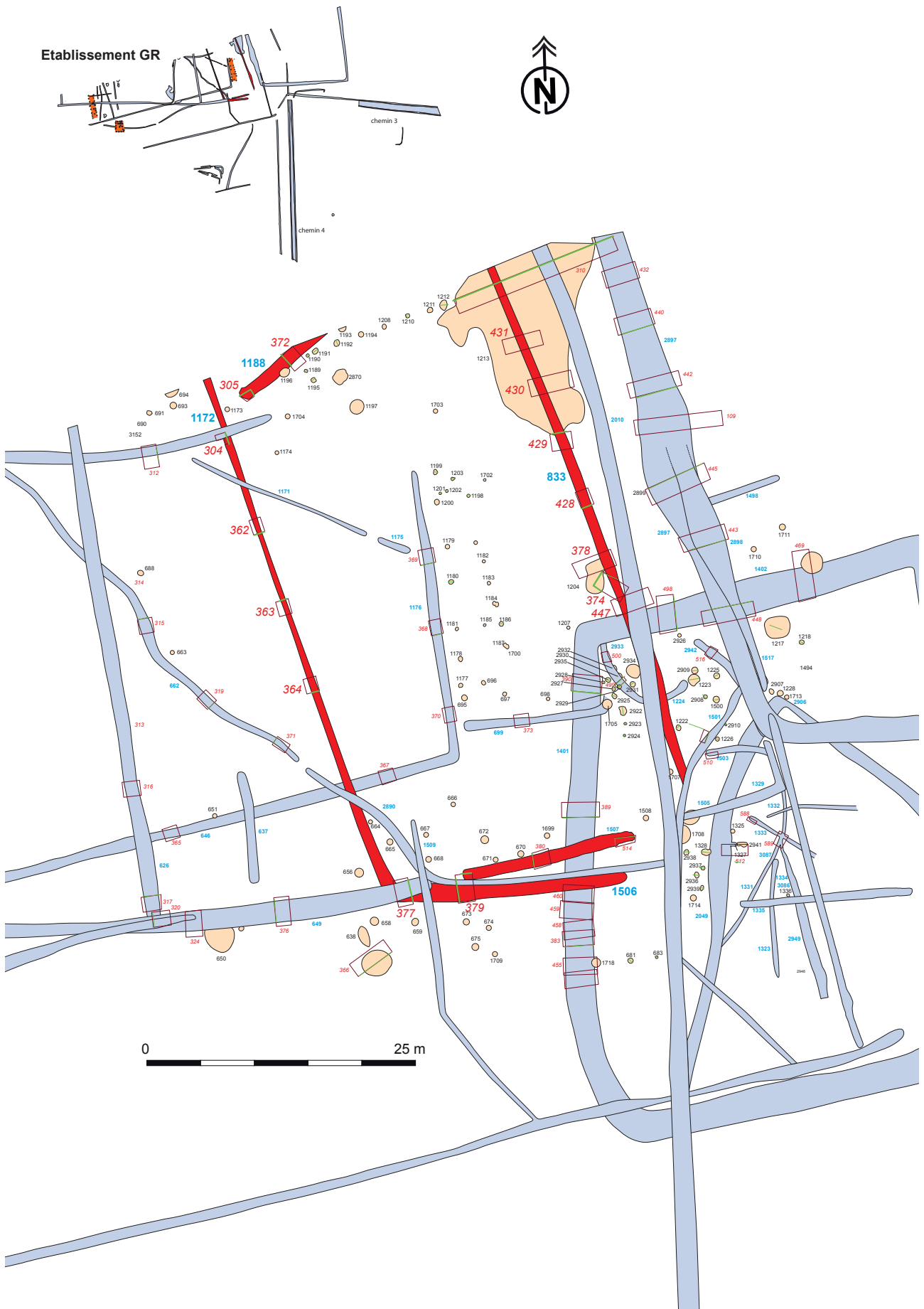
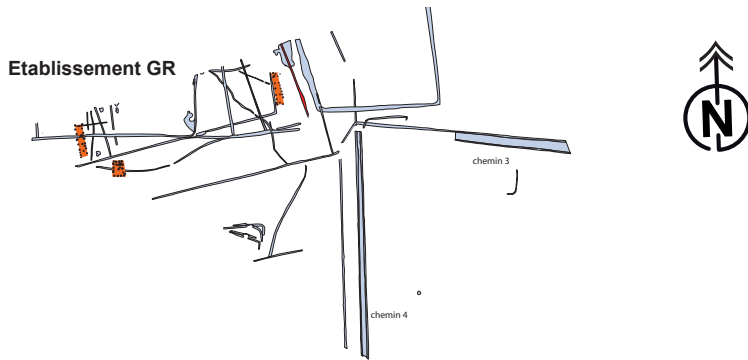
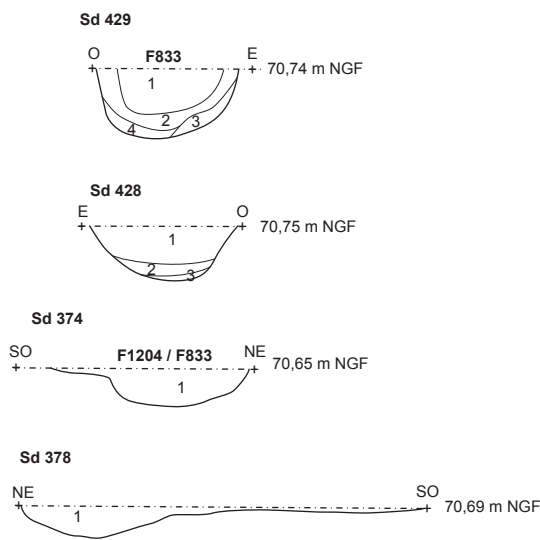


Fig. 220 : localisation des fossés de l'enclos 2



- 1 : sédiment limono-argileux gris avec blocs sur les premiers cm, très hétérogène avec terre cuite et meule en granite
- 2 : sédiment brun avec des racines assez homogène (haie moderne)
- 3 : sédiment limono-argileux gris avec quelques blocs assez hétérogènes et terre cuite



- 1 : sédiment limoneux brun gris avec manganèse, charbons de bois et quartz
- 2 : sédiment limoneux brun gris avec quelques traces de manganèse et rares charbons de bois
- 3 : sédiment limoneux brun gris avec nombreuses inclusions d'altérite
- 4 : sédiment limono-argileux brun gris avec nombreuses inclusions d'altérite

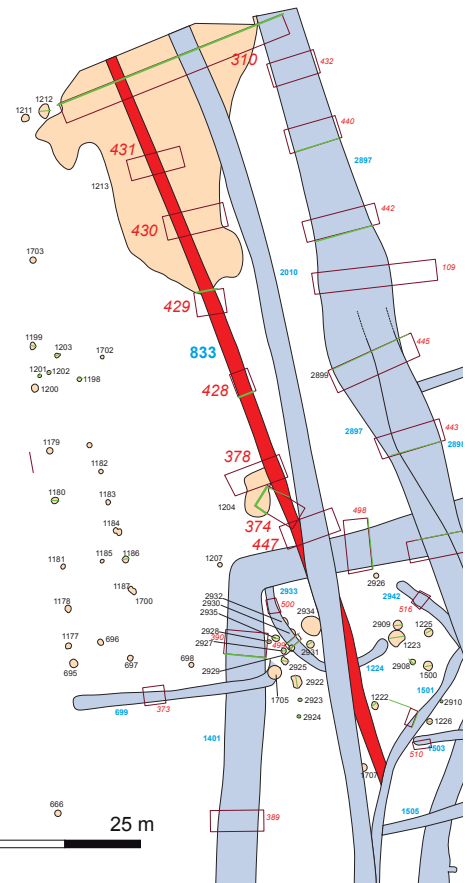


Fig. 221 : localisation et coupes du fossé 833

- dans le sondage 429 : un tesson de terra nigra qui évoque le courant du I<sup>er</sup> s ainsi que 4 tessons de commune sombre.
- dans le sondage 430 : un tesson de sigillée du Sud de la Gaule (La Graufesenque) date des années 60-120.

Dans sa partie septentrionale, le fossé est masqué par la structure 1213 qui a été sondée à plusieurs reprises à la mini-pelle afin de le suivre. Il n'a pas été identifié dans la coupe du sondage 310, mais il se prolonge vraisemblablement en dehors de l'emprise.

#### Fosse 1213 (marre ?)

Il s'agit d'une grande dépression polylobée de 17 m de longueur sur 7 m de largeur environ. Elle est bordée sur son flanc est par une haie moderne. Une coupe est/ouest a été pratiquée à la pelle mécanique en limite nord de décapage afin d'en déterminer sa profondeur et son profil (fig. 222). Celui-ci peu marqué forme une grande cuvette de 0,25 cm d'épaisseur comblée d'une couche de cailloux prise dans une matrice argileuse grise (fig. 223) et dans laquelle sont inclus des fragments de terre cuite ainsi qu'une meule en granite très abimée. La vue à partir de l'est de la tranchée montre que ce secteur est très humide et va le rester durant toute l'opération (fig. 224) ce qui ne va pas faciliter notre intervention et nous amener à considérer cette structure comme une petite marre. Il peut s'agir également d'une dépression résultant d'une extraction de matériaux pouvant dater de l'époque gauloise et que les gallo-romains ont voulu niveler en la comblant de pierre.

Fig. 222 : vue de l'est vers l'ouest de la coupe de F1213 © cliché équipe



Fig. 224 : vue générale de la zone inondée à l'emplacement de F1213 © cliché équipe



Fig. 223 : détail de la coupe nord de F1213 © cliché équipe

### Fossé 1172

Il pourrait constituer la façade nord-ouest de la parcelle. Il a été suivi sur 50 m de longueur et sur une largeur variant de 0,46 m à 0,72 m pour une profondeur conservée allant de 0,23 m à 0,36 m (fig. 225). Les quatre sondages ouverts montrent un profil évasé avec un fond arrondi. Les bords sont plus abrupts dans le sondage 362. Le comblement est constitué d'un sédiment limono-argileux gris homogène avec traces d'oxydation.

La fouille a livré une coupe carénée Menez 96 en terra nigra suggérant une datation couvrant les trois premiers quarts du I<sup>er</sup> s.

### Fossé 1507

Dans cette hypothèse de travail, il formerait la façade sud-est de la parcelle. Il a été suivi sur 16,42 m de longueur et sur une largeur de 0,67 m pour une profondeur conservée de 0,20 m (fig. 225). Le sondage 380 montre un profil évasé avec un fond arrondi. Par contre l'extrémité nord-est du sondage 514 ressemble plus à une disparition du fossé par érosion qu'à une interruption, le fossé devait se prolonger dans cette direction. Son extrémité ouest est visible dans le 379. Le comblement est constitué d'un sédiment limono-argileux gris brun avec manganèse et rares charbons de bois, fragments de schiste et quartz.

La fouille a livré 2 tessons de commune sombre.

### Fossé 1188

C'est un petit segment situé en limite nord-ouest. Il a été suivi sur une longueur de 10,35 m et sur une largeur de 1,22 m pour une profondeur conservée de 0,64 m (fig. 225). Le sondage 372 montre un profil en V. Le comblement est constitué d'un sédiment limono-argileux gris clair homogène présentant des poches d'effondrement des parois.

Contrairement au fossé 1507 en vis-à-vis, l'extrémité ouest de ce fossé correspond à une véritable interruption avec un creusement de 0,50 m de profondeur remontant en pente douce. L'espace de 2,80 m situé entre l'extrémité de 1188 et le fossé 1172 pouvant constituer ainsi une ouverture pour pénétrer dans la parcelle.

La fouille a livré :

- dans le sondage 305 : un tesson de commune claire
- dans le sondage 372 : un tesson de sigillée du sud de la Gaule datable des années 30-60, d'un tesson de couvercle en paroi fine engobée de même provenance (v. 60-150, PL. 24 n°5) et de céramique commune, notamment une écuelle en céramique à pâte sombre (PL. 24 n°6). Le tout se situe à partir de la deuxième moitié du I<sup>er</sup> s.

En fonction de ces résultats nous avons envisagé de proposer la mise en place d'un parcellaire d'axe nord-ouest/sud-est au I<sup>er</sup> s. Malheureusement le fossé 1033 vient contredire cette situation. En effet reprenant exactement le même axe que les fossés précédents, son comblement à partir de plusieurs sondages a été daté de manière homogène du milieu/deuxième moitié du II<sup>e</sup> s. (surtout la deuxième moitié du siècle). Il faut toute fois signaler que les sondages ayant livré du mobilier datant sont tous situés en extrémité nord-ouest de fossé, dans une zone où il y a quelques fosses datées de la même période. Il est donc possible que nous soyons effectivement en présence d'un cadastre du début de l'occupation, mais que cette partie soit comblée au cours du II<sup>e</sup> siècle. Cependant ce même fossé coupe, dans le sondage 333 le fossé 1041 d'époque gallo-romaine mais dont la fouille n'a livré que de la céramique commune ne permettant pas de dater plus précisément.

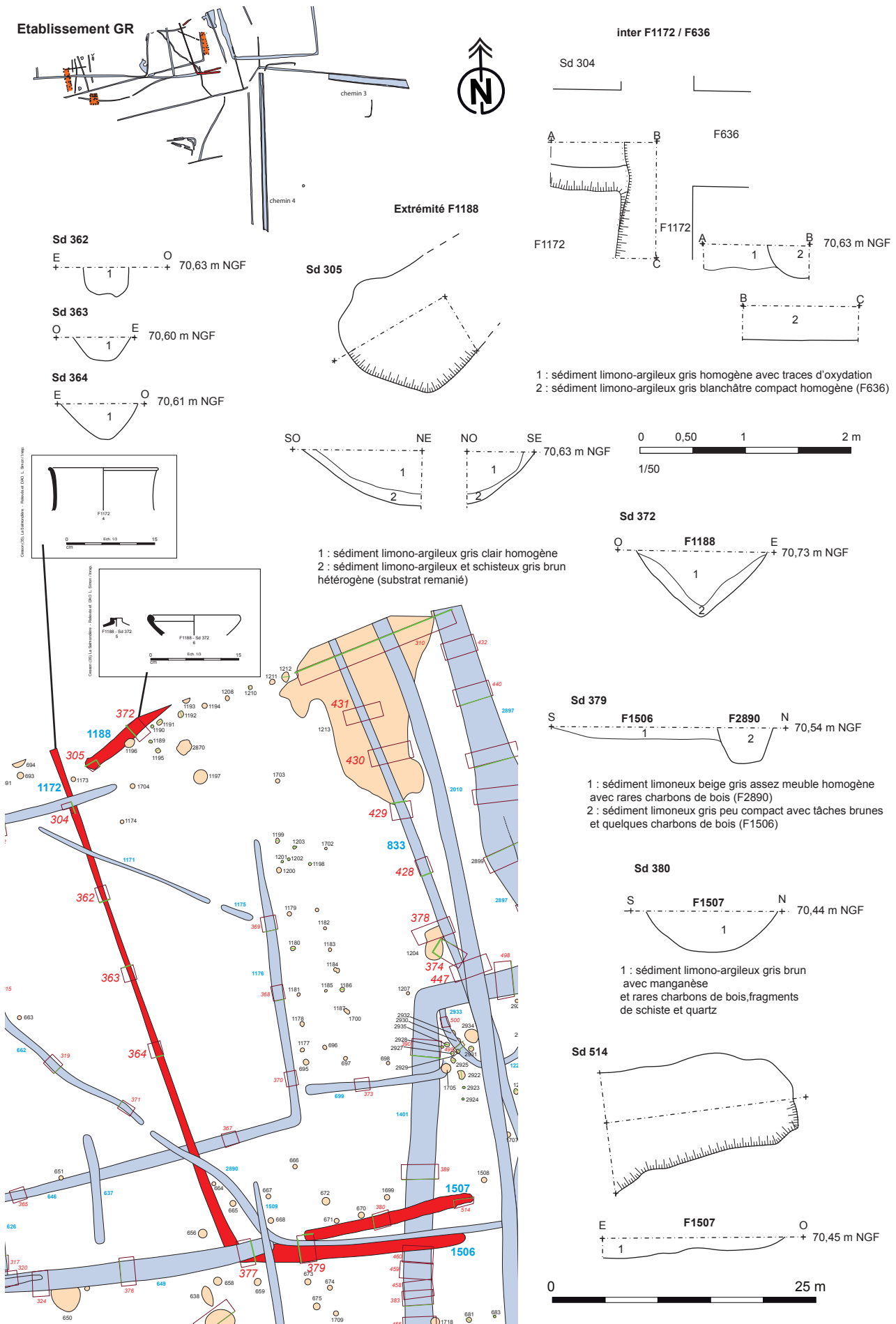


Fig. 225 : localisation et coupes des fossés 1172, 1188, 1506 et 1507



## Les structures à l'intérieur de l'enclos 2

### Bâtiment 1

Des alignements de trous de poteaux situés parallèlement au fossé 1176 semblent dessiner le plan d'un long bâtiment étroit d'environ 14 m de longueur avec une façade nord-ouest de 3 m de large et une base élargie sud-est d'environ 5 m (fig. 226). L'ensemble serait conservé sur 13 poteaux périphériques les chevrons pouvant être liés deux à deux par des entrails. Les deux poteaux internes pouvant constituer soit des cloisonnements internes, soit participer au système de toiture. Les trous de poteaux ont des diamètres variant de 0,27 à 0,60 m mais la moyenne est d'à peu près 0,40 m. Les plus larges correspondent à des juxtapositions de trous de poteaux liés à des reprises ou à l'arrachement du support en bois. Ils ont des profondeurs conservées allant de 0,03 à 0,15 m. De profil évasés, les fonds sont arrondis sans calage conservé. Le comblement est constitué d'un sédiment limono-argileux brun gris meuble homogène comportant des fragments de charbons de bois et quelques traces d'oxydation.

La fouille a livré 1 tesson de commune sombre dans le comblement du trou de poteau 1183.

Cette forme étroite de bâtiment allongé évoque les granges ou les étables que l'on peut rencontrer sur les sites de la période gallo-romaine, dans les *pars rutica*.

Au nord de ce bâtiment une petite concentration de six trous de poteaux correspond vraisemblablement à une construction mais il n'a pas été possible d'en déterminer un plan. Il est possible également que certains de ces éléments se rapportent également au bâtiment, ce qui lui donnerait une longueur totale de 21 m, ce qui reste raisonnable pour ce type de construction légère, en bois ne nécessitant pas d'être ancrée profondément et dont la faible largeur de portée ne nécessite pas une rangée axiale de poteaux porteurs. Les auteurs antiques précisent qu' : « ... il faut faire des étables basses et spacieuses, mais plus longues que larges, afin qu'elles soient chaudes en hiver... » (Columelle De l'Agriculture, 7, III.).

Encore plus au nord, la parcelle semble être fermée par une ligne de trous de poteaux et de petites fosses d'axe nord-est/sud-ouest. Ces structures très arasées ne sont conservées que sur une profondeur maximale de 0,24 m. Les trous de poteaux ont des diamètres variant de 0,30 à 0,60 m mais comme pour le bâtiment 1, la moyenne est de 0,40 m.

La fouille de certains d'entre eux a livré du mobilier céramique :

- dans 1191 : 1 tesson de commune sombre.
- dans 1192 : 1 tesson de sigillée informe du sud de la Gaule-La Graufesenque, datant des années 30-60, ainsi qu'un tesson de terra nigra (I<sup>er</sup> s.).
- dans 1211 : 4 tessons de céramique grise mi-fine.

Trois petites fosses gallo-romaines 1197, 1212 et 2870 sont présentes dans l'emprise de la parcelle (fig. 228).

### Fosse 2870

Elle est pratiquement circulaire avec une longueur de 1,40 m sur une largeur de 1,20 m (fig. 229). Elle est conservée sur une profondeur de 0,18 m. Les parois sont évasées et le fond est arrondi. Le comblement est constitué d'un sédiment limono-argileux brun gris mélangé à des inclusions d'altérite et d'oxydation, mélangé à des charbons de bois et de la terre cuite. La fouille a livré un fragment de bol moulé Drag. 37 en sigillée du Centre de la Gaule présentant les caractéristiques des productions des années 170-210. Il est accompagné d'un tesson de terra nigra (I<sup>er</sup> siècle) et d'un tesson de céramique commune sombre.

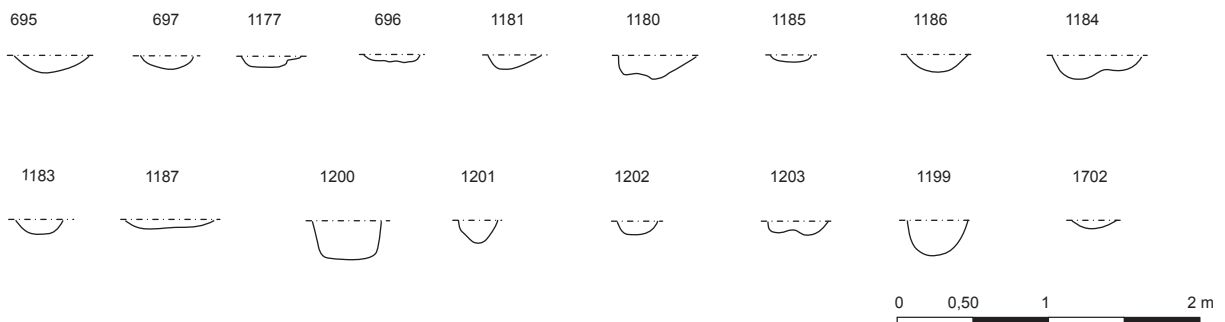
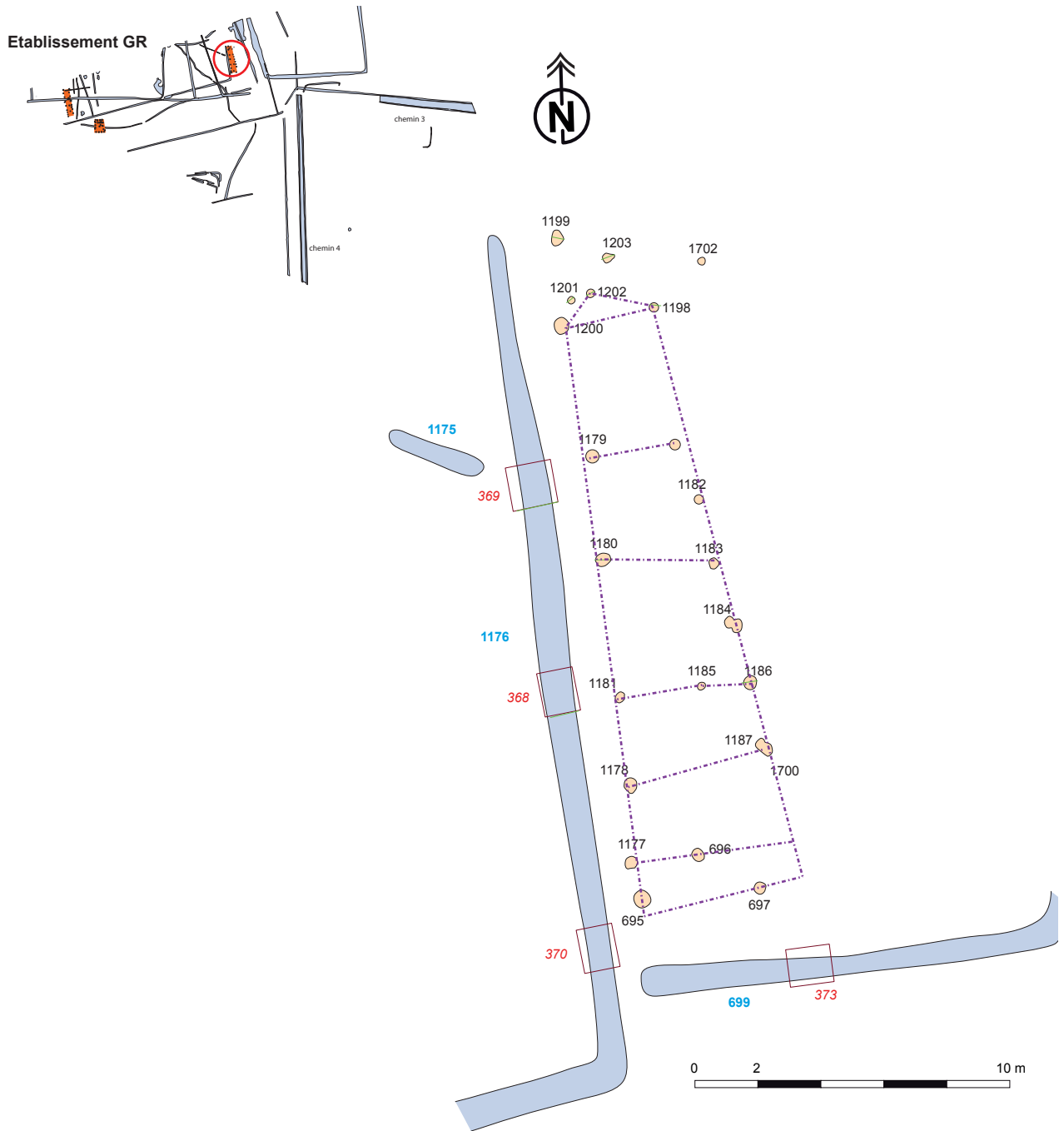


Fig. 226 : plan et coupes des TP du bâtiment 1 GR

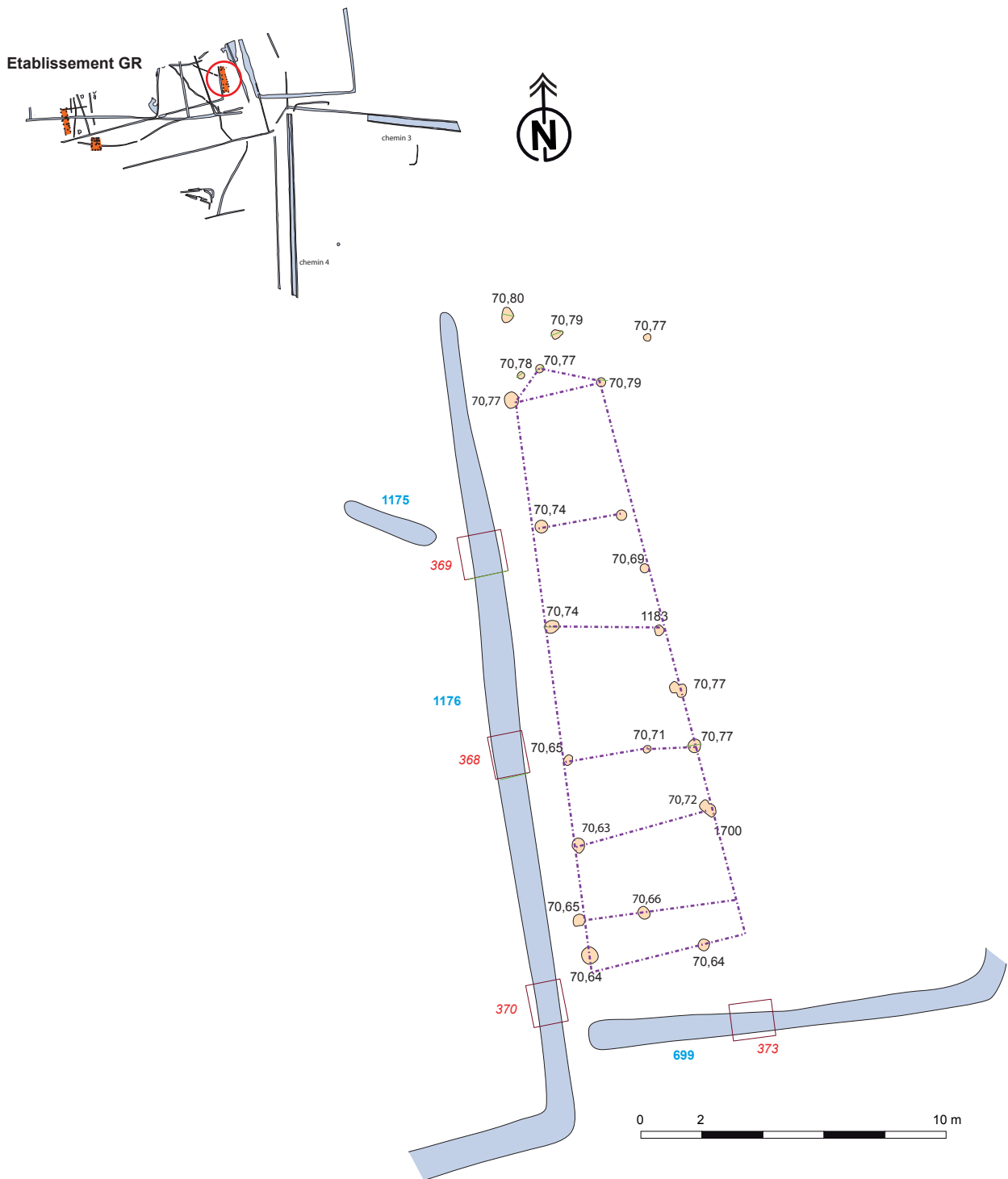


Fig. 227 : plan des TP du bâtiment 1 GR avec cote NGF

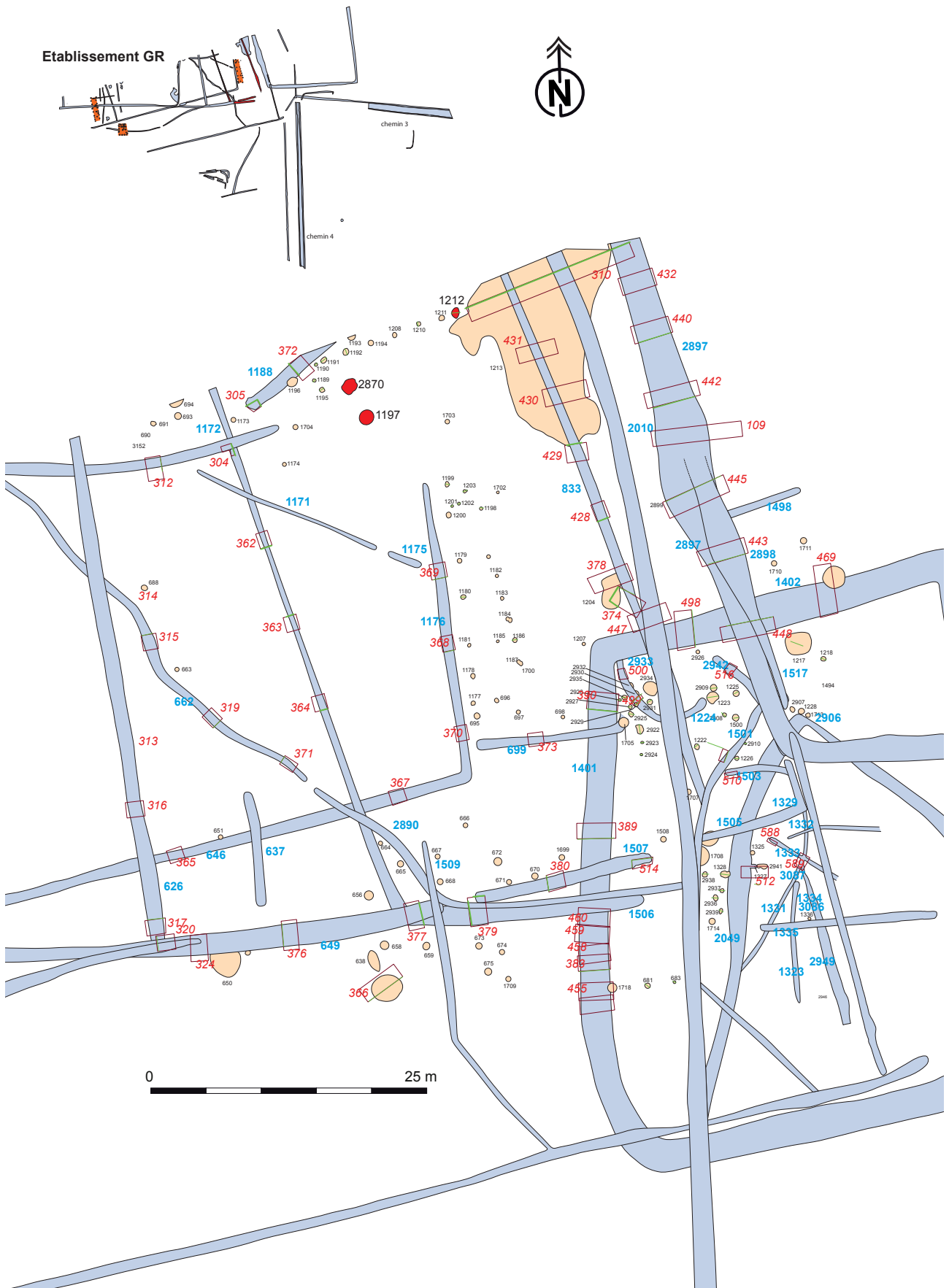


Fig. 228 : localisation des fosses gallo-romaines de ce secteur

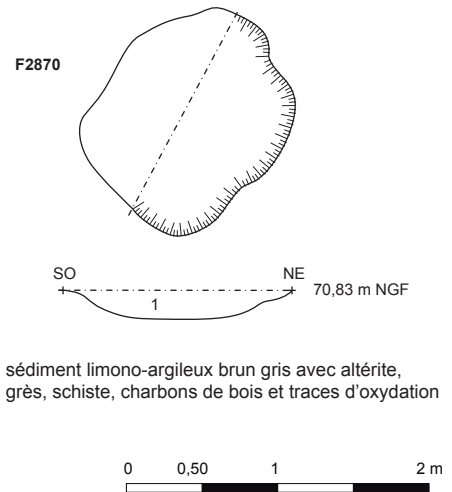


Fig. 229 : plan et coupe de la fosse 2870

**La fosse 1212**

De forme ovale, elle a une longueur de 0,96 m et une largeur de 0,82 m pour une profondeur conservée de 0,03 m (fig. 230). Le profil est évasé avec un fond plat. Le comblement est constitué d'un sédiment limono-argileux gris avec du cailloutis et quelques fragments de terre cuite. La fouille a livré 1 tesson de terra nigra de forme indéterminée évoquant le courant du I<sup>er</sup> siècle.

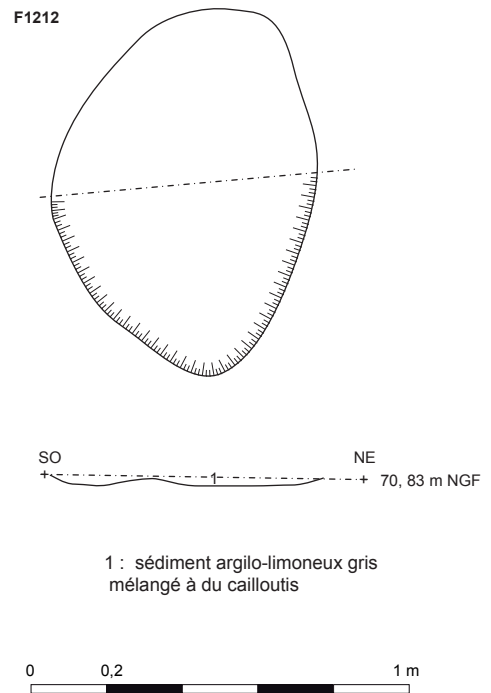


Fig. 230 : plan et coupe de la fosse 1212

**Fosse 1197**

De forme circulaire fait 1,43 m de diamètre mais elle est également très érodée, seulement 0,03 m d'épaisseur. Les parois sont évasées et le fond est plat. Le comblement est constitué d'un sédiment limono-argileux mélangé à de nombreux charbons de bois. La fosse n'a pas été relevée. La fouille a livré 1 tesson de commune claire.

*Les autres fossés de parcellaire*

Le fossé 1172 de ce possible enclos vient recouper un ensemble parcellaire composé des fossés 1176 et 646-648.

**Fossé 1176**

D'orientation nord-ouest/ sud-est, il a été suivi sur 27 m de longueur et sur une largeur variant de 0,80 à 0,97 m pour une profondeur conservée moyenne de 0,20 m mais 0,08 m dans le sondage 370. Les trois sondages révèlent un profil évasé avec un fond plat. Le comblement est constitué d'un sédiment limono-argileux beige brun peu compact homogène avec charbons de bois. Ce fossé forme un coude vers le nord-ouest avec les segments 646 et 648.

La fouille des différents sondages a livré : 2 tessons de terra nigra, 1 tesson de céramique grise mi-fine, 19 tessons de commune claire et 2 de commune sombre.

La présence de terra nigra permet de proposer une datation du I<sup>er</sup> siècle.

**Le fossé 646-648**

Il a été suivi selon un axe nord-est/sud-ouest sur une longueur de 48,68 m et sur une largeur d'environ 1 m pour une profondeur conservée variant de 0,21 m à 0,31 m (fig. 231). Les 3 sondages relevés montrent un profil évasé avec un fond arrondi. Le comblement est constitué d'un sédiment limono-argileux gris brun. Ce fossé est recoupé par la haie 862, mais la relations stratigraphiques avec les fossés 626, 1172 et 2890 n'ont pas été observées. La fouille des sondages du segment 646 a livré : 1 tesson de céramique commune claire, 1 tesson d'amphore et un tesson de sigillée du Sud de la Gaule (La Graufesenque) de forme indéterminée, datable par ses caractéristiques techniques des années 40-90. Le sondage 162 du segment 648 a livré 1 tesson de commune claire.

L'ensemble semble confirmer une datation au I<sup>er</sup> siècle.

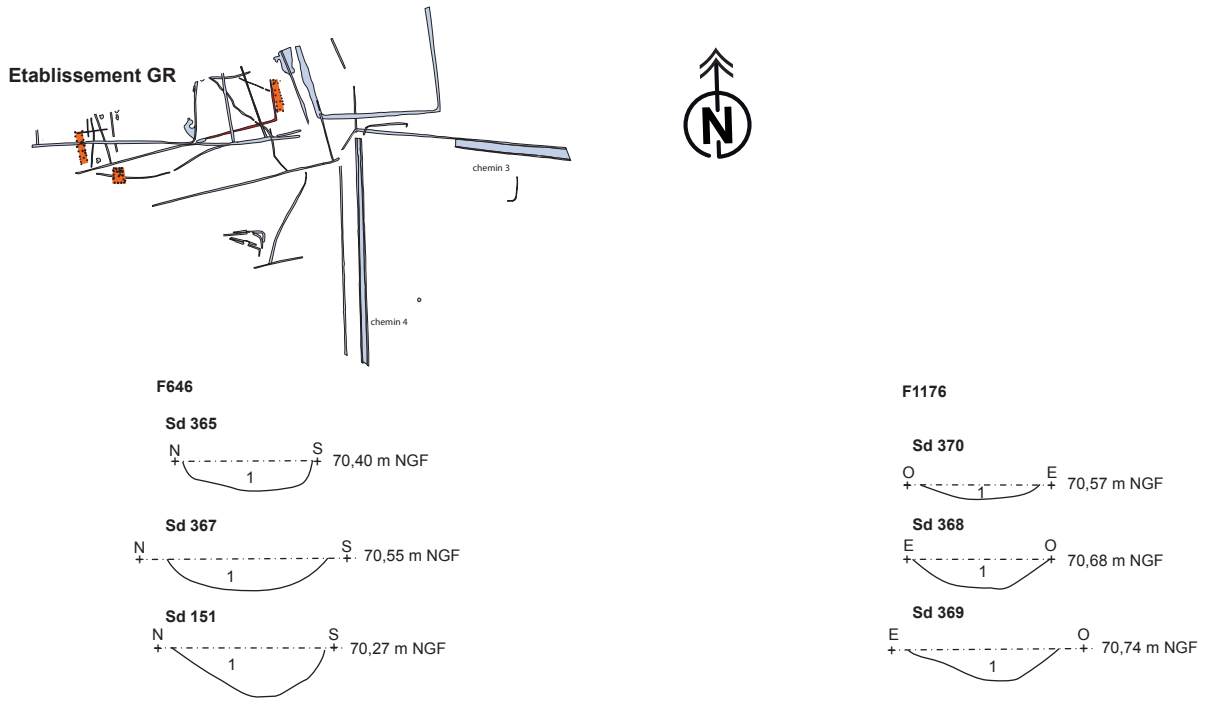
Le fossé vient buter en extrémité sud-ouest sur la fosse 614, mais la fouille de cette dernière n'a pas livré de mobilier permettant de la dater.

Ce fossé est recoupé par le fossé 626-647

**Le fossé 626-647**

D'axe nord-ouest/sud-est, il a été suivi sur une longueur de 45,80 m et sur une largeur variant de 0,80 m à 1,40 m pour une profondeur moyenne conservée de 0,36 m (fig. 232). Sur les 7 sondages, 6 ont été relevés. Ils montrent un profil évasé avec un fond arrondi. Le comblement est constitué d'un sédiment limono-argileux brun clair à gris compact avec charbons de bois. Comme le montre le sondage 320, ce fossé est recoupé par le fossé 649 daté d'époque gallo-romaine. Il recoupe les fossés gallo-romains 646-648 (daté du I<sup>er</sup> siècle), et 635 dans le sondage 309 ainsi que le fossé 636 (peut être de période gauloise) dans le sondage 303. La fouille a livré :

- dans le sondage 303 : 1 tesson de commune claire et 1 tesson de commune sombre ainsi qu'1 tesson de vase moulé Drag. 37 en sigillée du Centre de la Gaule (v. 140-170).
- Dans le sondage 311 : à part 3 tessons de céramique commune sombre et 1 non tourné, on note la présence d'une coupe en sigillée



1 : sédiment limoneux beige brun peu compact homogène avec rares charbons de bois

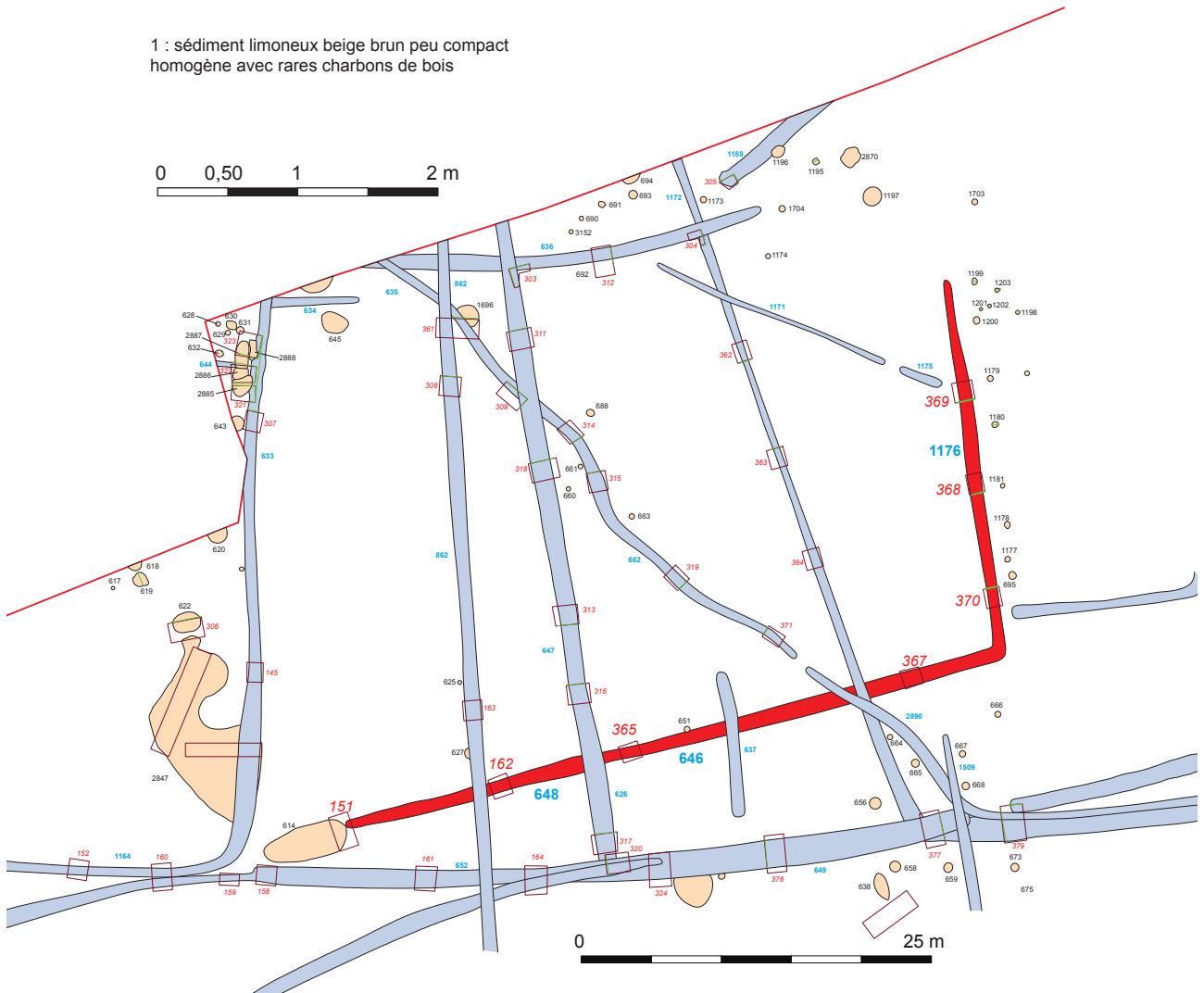


Fig. 231 : plan et coupes des fossés 646-648 et 1176

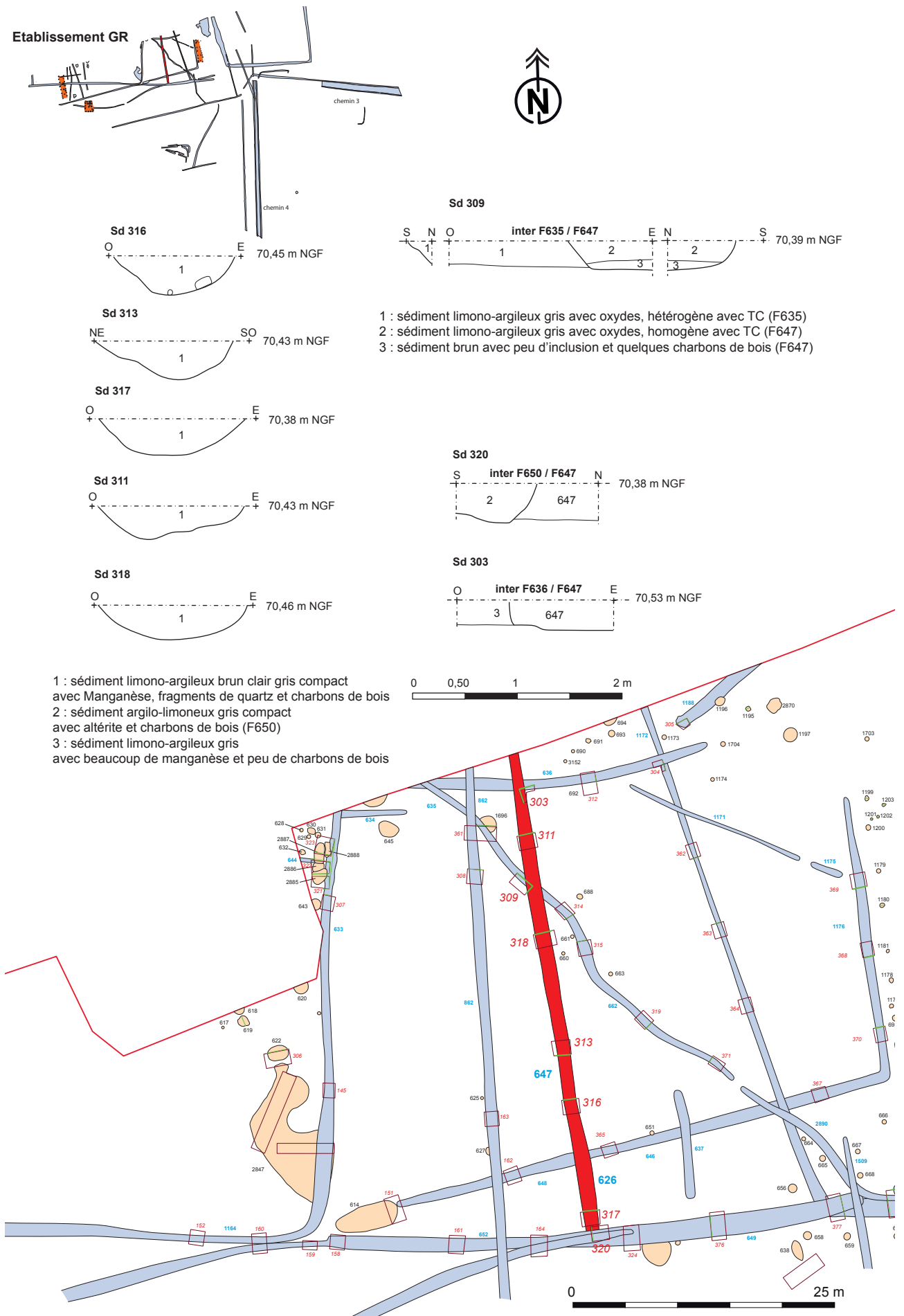


Fig. 232 : plan et coupes du fossé 626-647



- du Centre Gaule de type Curle 11 (v. 70-110).
- Dans le sondage 313 : 1 tesson de commune claire.
- sur le niveau de décapage : quelques tessons, dont un fond d'assiette L054 en sigillée du Centre de la Gaule (v. 140-170). Il est accompagné de céramique commune sombre, dont un bord de grand pot à lèvres éversées, un bord d'assiette à extrémité rentrante.

Tous ces éléments permettent d'envisager une datation pouvant aller jusqu'à la seconde moitié du II<sup>e</sup> siècle.

Nous l'avons vu dans le sondage 309, le fossé 626-647 recoupe le fossé 635-662.

#### Fossé 635-662

D'axe nord-ouest/sud-est, il a été suivi sur 41 m de longueur et sur une largeur variant de 0,58 à 0,96 m pour une profondeur conservée allant de 0,18 à 0,34 m (fig. 233). Les six sondages présentent un profil évasé avec un fond arrondi. Le comblement est constitué d'un sédiment limono-argileux gris avec beaucoup d'inclusions de manganèse et de charbons de bois. La relation stratigraphique avec le fossé 636 n'a pas pu être déterminée et l'absence de mobilier caractéristique ne permet pas de dater précisément ce fossé 635. Par contre la chronologie relative peut nous y aider. En effet dans le sondage 361 il recoupe la fosse 1696 dont la fouille a livré 15 tessons de commune sombre mais surtout 7 tessons de terra nigra pouvant envisager une datation dans le courant du I<sup>er</sup> siècle. Il est lui-même recoupé par le fossé 647 que nous avons daté précédemment d'une période pouvant aller jusqu'à la seconde moitié du II<sup>e</sup> siècle. Nous pouvons donc penser qu'il date de la fin du I<sup>er</sup> au début du II<sup>e</sup> siècle. Sa forme sinueuse assez particulière permet de le mettre en relation avec le fossé 2890.

#### Fossé 2890

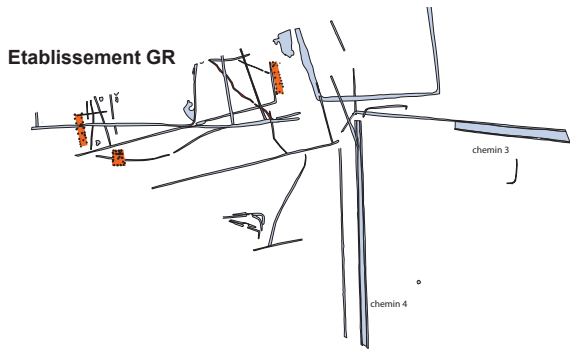
D'axe nord-ouest/sud-est, il est situé en vis-à-vis de 635-662. Il a été suivi sur une longueur de 20 m et sur largeur de 1,60 m pour une profondeur conservée de 0,10 m (fig. 225). Très érodé, son profil n'a pas pu être déterminé. Le comblement est constitué d'un sédiment limono-argileux beige gris assez meuble homogène avec peu de charbons de bois. Dans le sondage 379 (fig. 233) il est recoupé par le petit segment de fossé 1506 dont la fouille lors de la phase diagnostic a livré de la céramique du haut Moyen Âge.

Ce fossé vient buter sur l'extrémité du fossé 649-650-652.

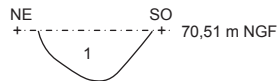
#### Fossé 649-650-652

D'axe est/ouest, il a été suivi sur 50 m de longueur et sur une largeur variant de 0,92 à 1,70 m pour une profondeur conservée allant de 0,36 à 0,58 m (fig. 234). Les 5 coupes relevées montrent un profil évasé avec un fond arrondi. Le comblement est constitué d'un sédiment limono-argileux gris compact avec des inclusions d'altérite et de charbons de bois. Il faut noter que les sondages 376 et 377 présentent un élargissement pouvant correspondre soit à des variations latérales relatives à des curages successifs, soit à la reprise d'un tracé antérieur. L'ouverture du sondage 324 a permis de constater que le fossé 653 vient s'interrompre dans le fossé 649. Par contre le sondage 320 montre que le fossé 649 recoupe le fossé 647. A l'extrémité ouest du fossé 649, le fossé 804 rejoint ce dernier dans le sondage 158. La relation stratigraphique entre les fossés 1172 et 649 n'a pas pu être déterminée.

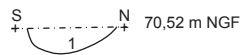
Seul le sondage a livré du mobilier céramique gallo-romain mais il ne permet pas de préciser la datation. Il s'agit : de 4 tessons de commune claire, 11 tessons de commune sombre et 1 tesson de céramique non tournée. Sur ce fossé 649-650-652, vient se greffer le fossé 653.



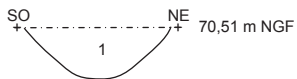
**Sd 314**



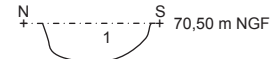
**Sd 371**



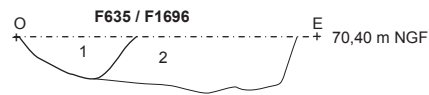
**Sd 315**



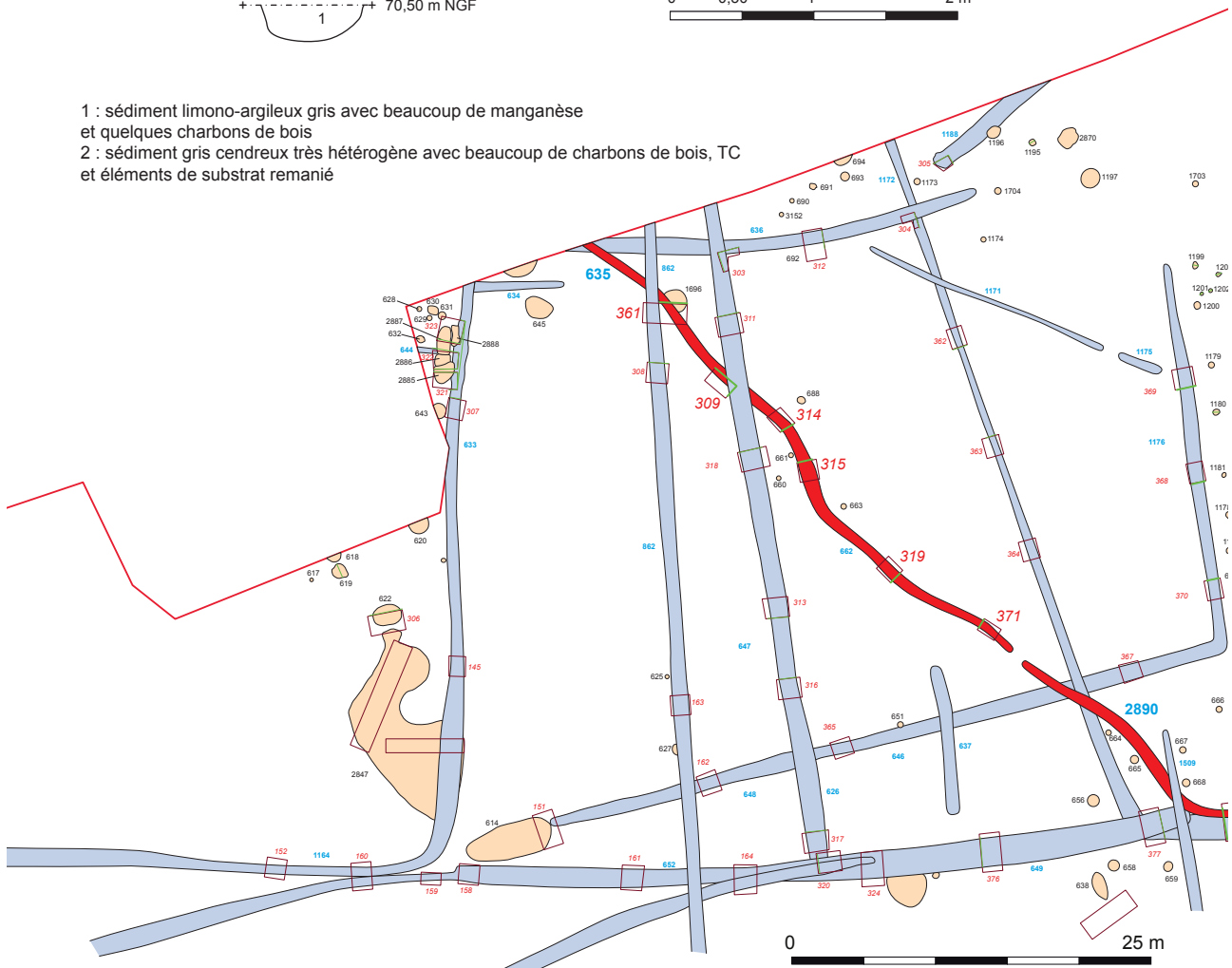
**Sd 319**



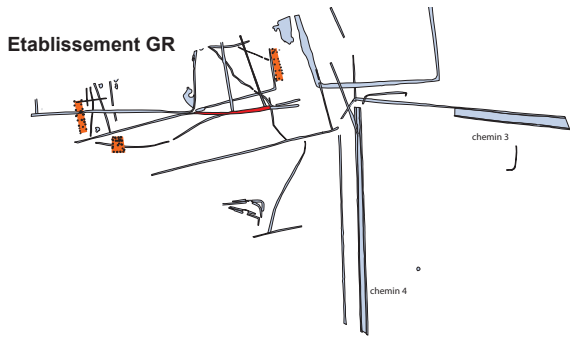
**Sd 361**



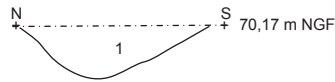
- 1 : sédiment limono-argileux gris avec beaucoup de manganèse et quelques charbons de bois
- 2 : sédiment gris cendré très hétérogène avec beaucoup de charbons de bois, TC et éléments de substrat remanié



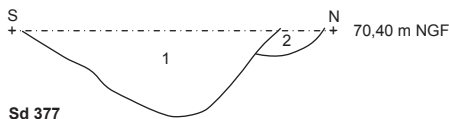
**Fig. 233** : plan et coupes des fossés 635-662 et 2890



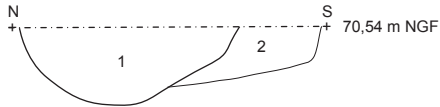
Sd 158



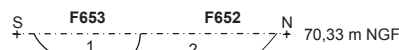
Sd 376



Sd 377



Sd 164



- 1 : sédiment limoneux gris brun
- 2 : sédiment limoneux gris beige

- 1 : sédiment limoneux gris avec nombreuses traces d'oxydation brunes quelques fragments de quartz et charbons de bois
- 2 : sédiment limoneux gris avec nombreuses traces d'oxydation brunes

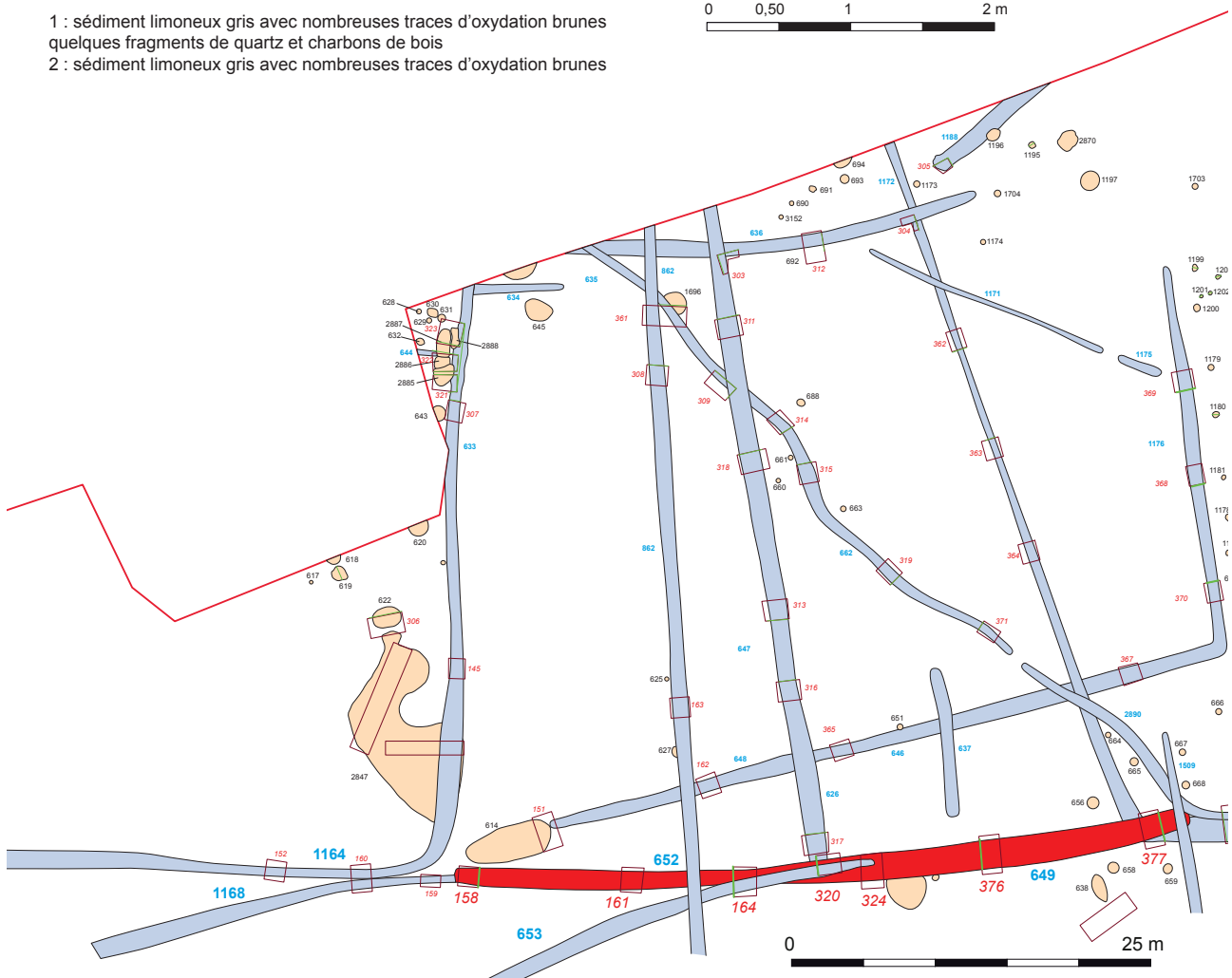


Fig. 234 : plan et coupes du fossé 649-652 © cliché équipe de fouille

**Fossé 653**

D'axe nord-est/sud-ouest, il a été suivi sur une longueur de 47,50 m et une largeur variant de 1,10 à 1,30 m pour une profondeur conservée de 0,36 m (fig. 635). Les deux sondages montrent un profil évasé avec un fond arrondi. Le comblement est constitué d'un sédiment limono-argileux gris brun homogène dense mélangé au substrat.

Ce fossé, nous l'avons vu avec le fossé 650, s'arrête dans le sondage 324 côté est et il s'arrête également côté ouest après avoir décrit une courbe vers le sud-ouest. Il traverse le fossé gaulois 861.

La fouille n'a pas livré de céramique, mais quelques fragments de tegulae dans les sondages 168 et 173, ce qui permet de proposer une datation de l'époque gallo-romaine.

En vis-à-vis se trouve le fossé 926 (914, 883, 1075) pouvant fonctionner en même temps.

**Fossé 926-914-883-1075**

Globalement d'axe est/ouest décrit une courbe vers le sud l'apparentant au fossé 653. Il a été suivi sur une longueur de 48,68 m et une largeur variant de 0,60 à 1,08 m pour une profondeur conservée allant de 0,21 à 0,36 m (fig. 235). Les sondages montrent un profil évasé à fond arrondi. Le comblement est constitué d'un sédiment limono-argileux gris orangé compact hétérogène avec traces d'oxydation et blocs de quartz. Ce fossé recoupe les fossés gaulois 825, 826, 827, 836, 885 et 1076.

La fouille a livré dans le sondage 397, 1 tesson de commune claire ce qui ne permet pas de dater avec certitude ce fossé, mais il est sûr qu'il est postérieur à la phase gauloise et comme il semble fonctionner avec le fossé 653 il semble logique de le dater de la période gallo-romaine, sans plus de précision.

L'extrémité ouest du fossé 649-652 est reprise par le fossé 804-927-1062-1168.

**Fossé 804-927-1062-1168**

Il a été suivi sur une longueur de 79 m pour une largeur variant de 0,62 à 1,50 m et pour une profondeur conservée allant de 0,17 à 0,38 m (fig. 236). Sur les 11 sondages ouverts, 6 ont été relevés indiquant un profil évasé avec un fond arrondi. Le comblement est constitué d'un sédiment limoneux gris beige avec de nombreuses inclusions de manganèse, quelques cailloux de schistes et de rares charbons de bois. Ce fossé recoupe les fossés gaulois 824-921-920-958. Comme le montre le sondage 228, il est recoupé par la haie 1002, dans le sondage 160 il est tangent au fossé 1164 et rejoint le fossé 652 dans le sondage 158.

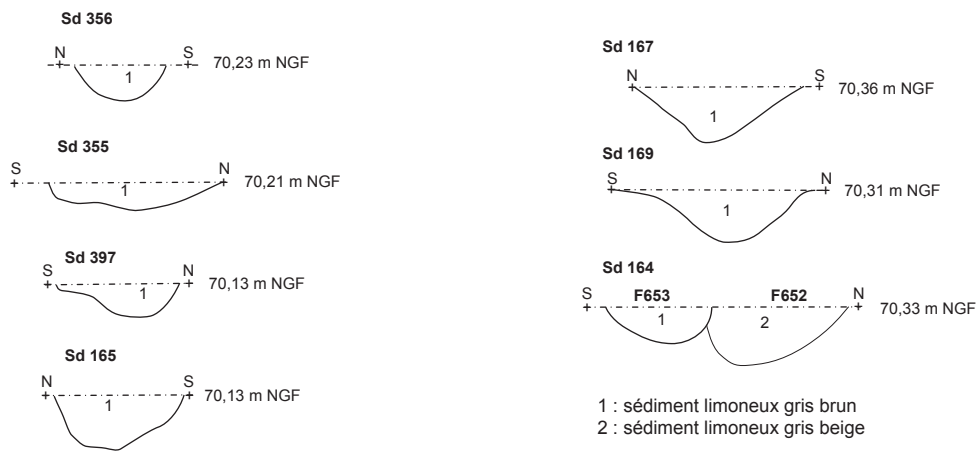
La fouille a livré de la céramique que dans la partie supérieure du sondage 232, ce qui ne permet pas de dater avec certitude ce fossé. Il s'agit d'un bol moulé Drag. 37 en sigillée du Centre de la Gaule date des années 130 à 150.

Sur ce même fossé vient s'appuyer l'angle du fossé 633

**Fossé 633**

D'axe nord/sud a été suivi sur une longueur de 40 m et sur une largeur variant de 0,75 à 1,60 m pour une profondeur conservée allant de 0,17 à 0,26 m (fig. 237). Les trois sondages montrent un profil évasé à fond arrondi. Le comblement est constitué d'un sédiment limono-argileux gris compact avec inclusions de charbon. Dans sa partie septentrionale il est bordé d'un chapelet de petites fosses F2885, 2886, 2887 et 2887 sur son flanc ouest et par une grosse dépression en partie sud. Ce fossé recoupe la fosse 2847 dans le sondage 2 et la fosse 2885 dans le sondage 312. La fouille a livré un lot de céramique se marquant par son hétérogénéité.

Si l'on trouve un peu de mobilier de la deuxième moitié du I<sup>er</sup> siècle/début du II<sup>e</sup> siècle (sigillée du sud de la Gaule-La Graufesenque, v. 60-120, forme



1 : sédiment limoneux beige grisé avec traces d'oxydation altérite et charbons de bois

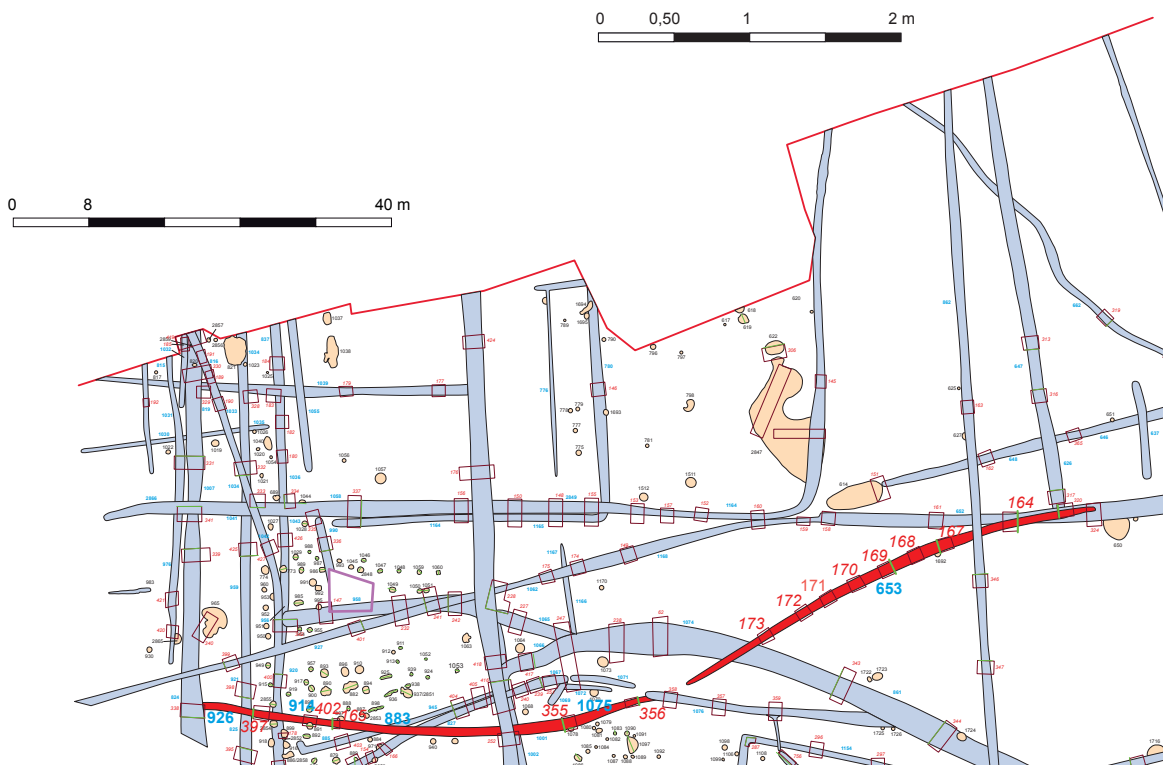


Fig. 235 : plan et coupes des fossés 653 et 926 914 883 1075

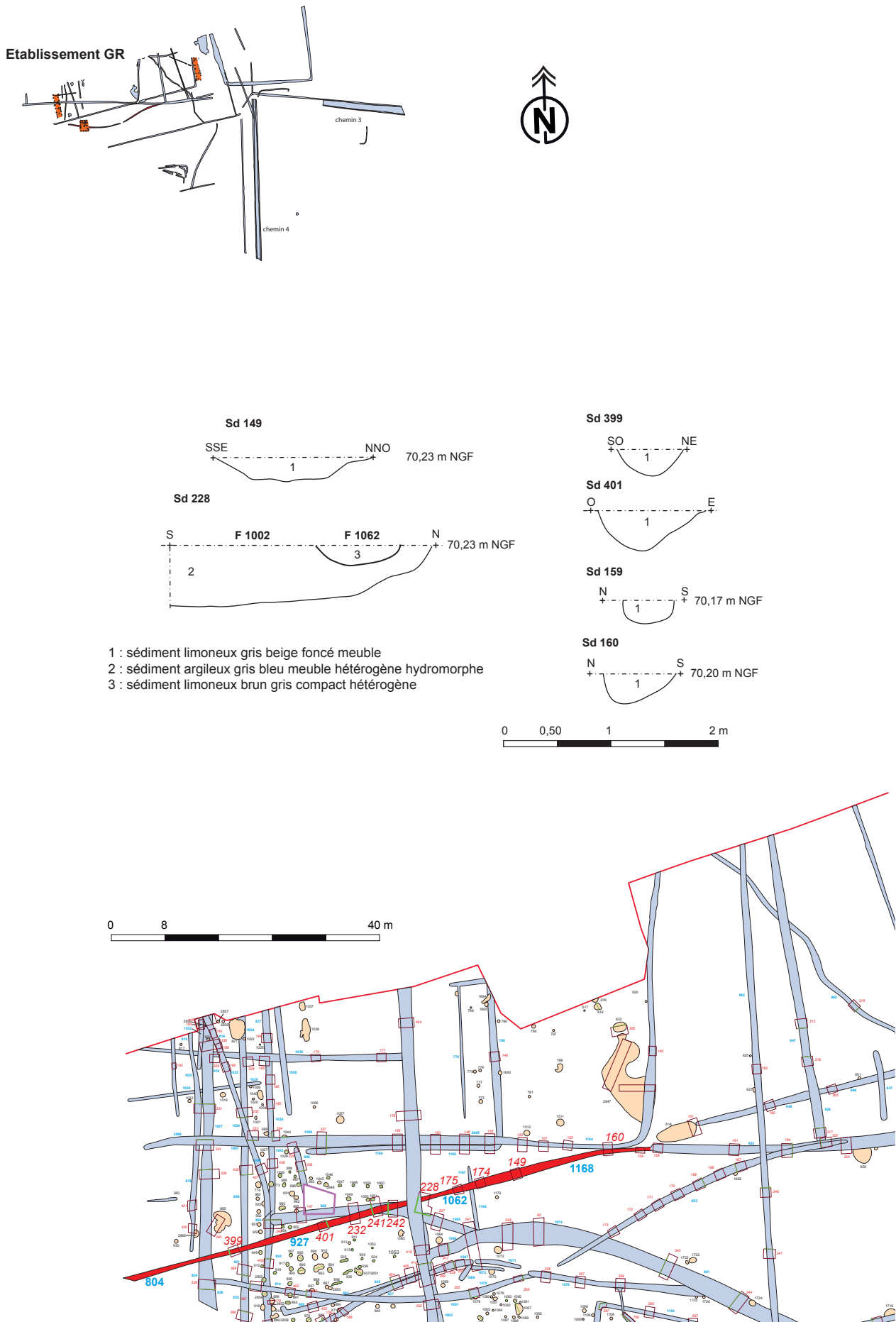


Fig. 236 : plan et coupes du fossé 804-927-1062-1168

indéterminée), les marqueurs les plus précisément datant se réfèrent au courant du II<sup>e</sup> siècle. Il s'agit d'exemplaires de sigillée du Centre de la Gaule, de métallescente de première génération (même origine), ainsi que de formes de céramique commune sombre déterminantes : assiette L045 (v. 110-140), coupe Drag. 38 (v. 140-190) et assiette indéterminée (v. 140-240) en sigillée, gobelet ovoïde Déch. 68 en métallescente précoce (v. 140-180), pots à lèvres en crochet en céramique commune sombre (milieu du I<sup>er</sup>-II<sup>e</sup> siècle).

Mais une pièce en métallescente du Centre de la Gaule, correspondant aux productions des années 190-240, remet en cause cette première appréciation ; il s'agit d'un gobelet élancé L312 (PL. 19 n°1). La présence de pots à lèvres étirés en céramique commune sombre (deuxième moitié du II<sup>e</sup> siècle et III<sup>e</sup> siècle) confirme ce constat d'hétérogénéité.

On notera également la présence de tessons d'amphore à vin Gauloise 4 de Gaule Lyonnaise, Gauloise 3-5 de Gaule Narbonnaise, d'amphore à huile Dr. 20 du sud de l'Espagne (Haut-Empire).

La céramique modelée est présente par 2 pots à lèvres simple.

Enfin, un fragment à bord arrondi d'une coupelle, vraisemblablement de type Isings 42a / AR 80, est attesté en verre bleu-vert (PL. 19 n°2). Ce type est daté du dernier tiers du I<sup>er</sup> siècle au courant du III<sup>e</sup> siècle.

Cette hétérogénéité s'explique par le fait qu'il n'a pas été possible le plus souvent de faire la distinction entre le mobilier provenant du fossé et celui provenant des fosses. Par contre lorsque la différenciation a été faite notamment pour les fosses 2887 et 2847 ces dernières sont datées du I<sup>er</sup> siècle. Sachant que le fossé est postérieur à ces fosses, il semble possible d'attribuer le mobilier le plus récent au fossé, soit les II<sup>e</sup> et début III<sup>e</sup> siècle, soit la fin de l'occupation.

Ce fossé forme un angle droit avec le fossé 1164-1041-2866.

#### Fossé 1164-1041-2866

D'orientation est/ouest, il a été suivi sur une longueur de 75,26 m et sur une largeur variant de 0,60 à 1,70 m pour une profondeur conservée allant de 0,26 à 0,52 m (fig. 237). Les 5 sondages montrent un profil évasé avec un fond arrondi. Les élargissements constatés, notamment dans le sondage 156 sont vraisemblablement le témoignage de curages successifs. Le comblement est constitué d'un sédiment limono-argileux gris brun avec cailloutis orange. Ce fossé recoupe le fossé gaulois 780 dont il suit le retour occidental 2849 (1058) jusqu'au sondage 337. Il recoupe ensuite les 3 fossés gaulois 1034, 1043 et 1007 respectivement dans les sondages : 333, 334 et 341, mais il recoupe dans le sondage 333 par le fossé 1033 daté comme nous l'avons vu précédemment du milieu/deuxième moitié du II<sup>e</sup> siècle.

La fouille a livré :

- dans le sondage 148 : 1 tesson de céramique grise fine.
- dans le sondage 150 : 1 tesson de commune claire.
- dans le sondage 153 : 1 tesson de commune sombre.
- dans le sondage 155 : 1 tesson de commune claire et 10 tessons de céramique grise mi-fine.
- dans le sondage 156 : 2 tessons de commune claire et 1 de commune sombre.
- dans le sondage 337 : 1 tesson de terra nigra et 1 de commune sombre

La présence de ce dernier élément ainsi que la chronologie relative nous incite à dater le comblement de ce fossé du I<sup>er</sup> siècle.

Il faut noter que ce fossé qui s'interrompt dans le sondage 225 (extrémité arrondie bien visible), semble reprendre selon le même axe dans le fossé 801-822. Ces deux éléments sont séparés d'environ 0,30 m.

#### Fossé 801-822

D'axe est/ouest, il a été suivi sur une longueur de 31,80 m et sur une largeur variant de 0,76 à 1,10 m pour une profondeur conservée allant de 0,34 à

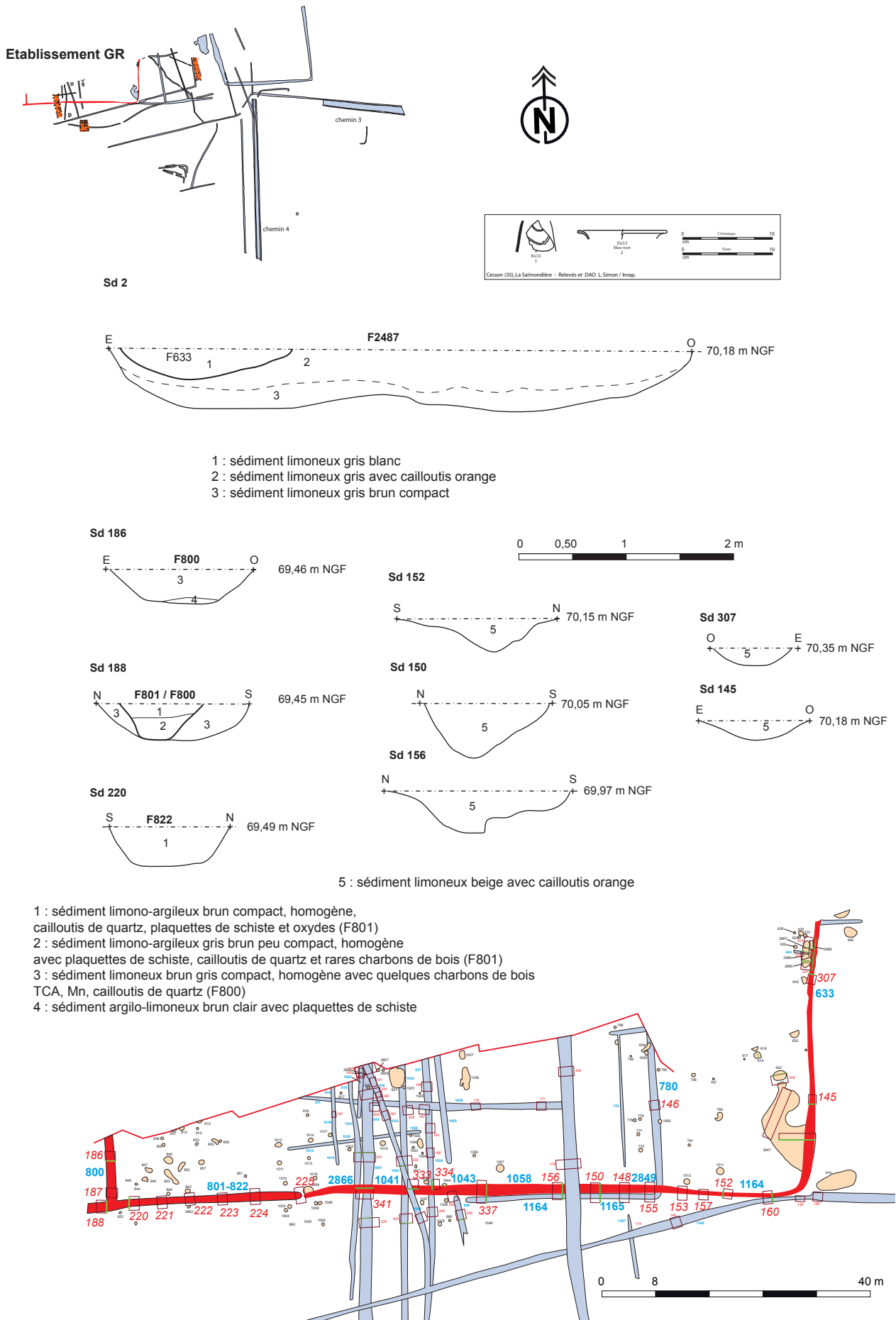


Fig. 237 : plan et coupes des fossés 633, 2849-1058-1043-1041-2866, 801-822 et 800



0,37 m (fig. 238). Sur les 7 sondages, 3 ont été relevés. Ils montrent un profil évasé avec un fond plat. Le comblement est constitué d'un sédiment limono-argileux gris brun peu compact homogène avec rares inclusions de charbons de bois et cailloutis de quartz. Ce fossé recoupe le fossé 800 dans le sondage 188 et se prolonge vers l'ouest.



Fig. 238 : coupe est du fossé 801-822 dans le sondage 188 © cliché équipe de fouille



Fig. 239 : coupe ouest du fossé 801-822 dans le sondage 220 © cliché équipe de fouille

### Fossé 800

D'axe nord-sud, il a été suivi sur une longueur de 9,50 m et sur une largeur variant de 1,32 à 1,48 m pour une profondeur conservée de 0,34 m (fig. 237). Les sondages montrent un profil évasé et un fond plat (fig. 240). Le comblement est constitué d'un sédiment limono-argileux gris compact et homogène avec quelques traces d'oxydation et des inclusions de charbons de bois et de terre cuite.

La fouille a livré 1 fragment de sigillée dans le sondage 186.

Cet axe est/ouest constitué des fossés 1164-1041-2866 et 801-822 est recoupé par un certain nombre de petits fossés d'orientation nord/sud ou nord-ouest/sud-est pour ce qui concerne le fossé 816-1033-1034-1042 (fig. 241).



Fig. 240 : coupe ouest du fossé 800 dans le sondage 186 © cliché équipe de fouille

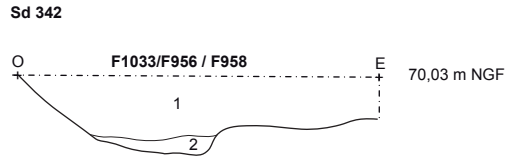
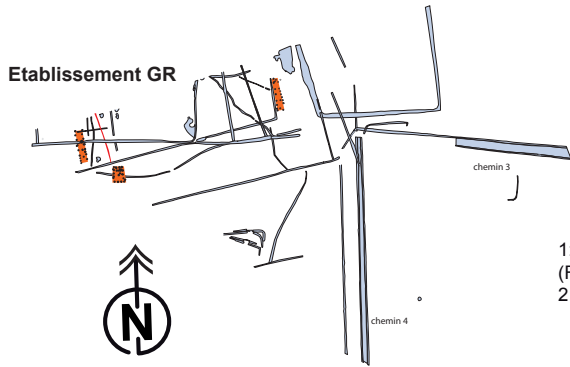
### Fossé 816-1033-1034-1042

Il a été suivi sur 34 m de longueur et sur une largeur de 0,80 à 0,90 m pour une profondeur conservée allant de 0,30 à 0,44 m (fig. 241). Les 4 sondages relevés montrent un profil évasé avec un fond arrondi pouvant être plat dans le sondage 332. Plusieurs de ces sondages ont déjà été traités dans la partie gauloise, lorsqu'ils correspondent à des intersections. Le comblement est constitué d'un sédiment limono-argileux gris avec traces d'oxydation, du quartz et de rares charbons de bois.

La fouille a livré :

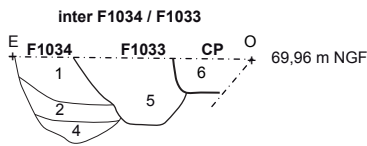
- dans les sondages 181 et 189 : un lot de mobilier relativement conséquent (243 tessons, 32 vases évalués). Notamment 7 vases en sigillée du Centre de la Gaule, dont la confrontation suggère une datation touchant la deuxième moitié du II<sup>e</sup> siècle et plus précisément les années 160-190. On trouve 2 assiettes L043 (v. 140-190), une assiette L054 et un bol moulé Drag. 37 (même datation), ainsi que 2 mortiers Curle 21 et L096 (v. 160-190) (PL. 21 n°1-2). La céramique commune claire compte 1 mortier (PL. 21 n°5) et des tessons de cruche, dont un bord (PL. 21 n°3), un fragment de récipient plus large (PL. 21 n°4) et un fragment de panse perforée d'un vase à usage de filtre. La céramique commune sombre est une catégorie bien représentée, avec, comme souvent, un grand nombre de pots de différents modules (PL. 22 n°9-24), ainsi qu'au moins 2 assiettes (PL. 21 n°6-7) et 1 mortier (PL. 21 n°8). La céramique non tournée est représentée par le bord d'un grand conteneur (PL. 22 n°25).
- dans le sondage 190 : le mobilier le plus précisément datant est représenté par des tessons de sigillée du Centre de la Gaule : il s'agit d'une assiette L045 (v. 130-150) (PL. 21 n°1) et d'un bol moulé Drag. 37 (v. 140-170). La céramique commune claire est représentée par une cruche à lèvre en poulie (PL. 21 n°3), la commune sombre par un pot à lèvre épaissie éversée (PL. 21 n°2) et la céramique non tournée par une écuelle de faible diamètre (PL. 21 n°4).
- Dans le sondage 191 : un tesson d'assiette en sigillée du Centre de la Gaule conforte une datation centrée sur le milieu/deuxième moitié du II<sup>e</sup> siècle (v. 140-190). Notons également la présence d'un petit mortier à pâte claire (PL. 21 n°5), d'une écuelle et d'un pot en céramique commune sombre (PL. 21 n°6-7), ainsi qu'un pot à lèvre simple en céramique modelée (PL. 21 n°8).

Le mobilier recueilli dans les différents sondages réalisés au sein de cette structure évoque donc le milieu/deuxième moitié du II<sup>e</sup> siècle (surtout la

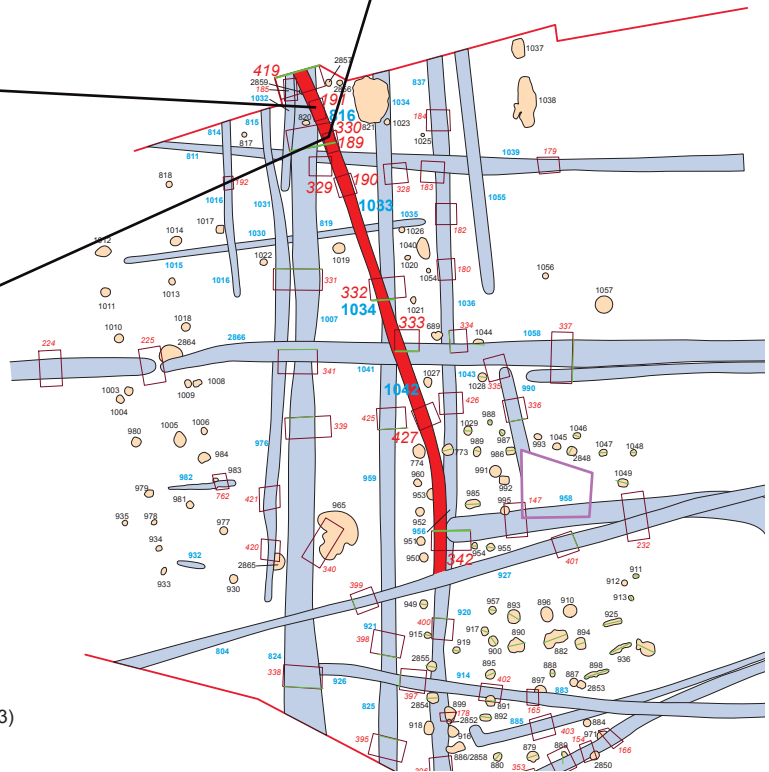
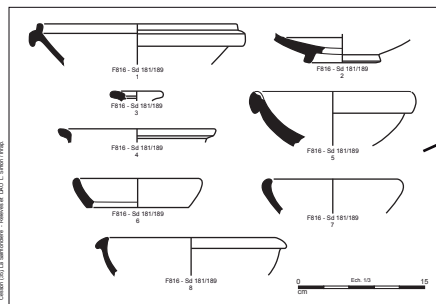
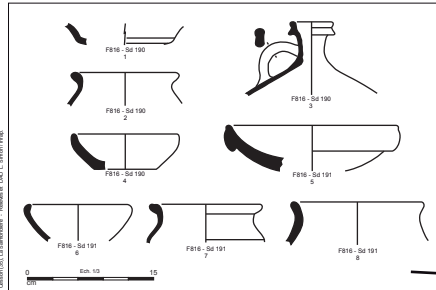
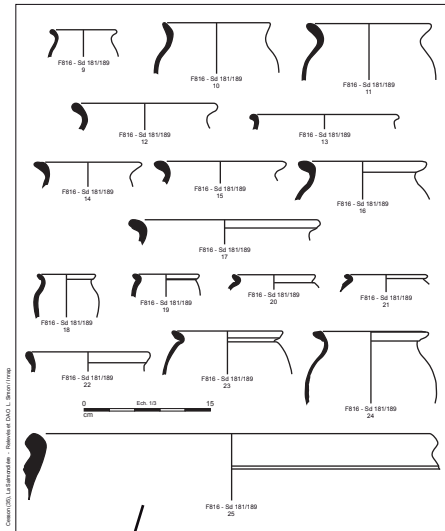


- 1 : sédiment limono-argileux gris clair très hétérogène avec beaucoup de cailloux (F1033 et 958 confondus)
- 2 : sédiment limono-argileux brun homogène avec quelques cailloux (F956)

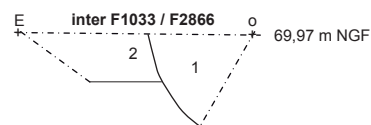
Sd 332



- 1 : sédiment limono-argileux gris clair avec beaucoup d'inclusions d'altérite ainsi que traces d'oxydation et charbons de bois
- 2 : sédiment limono-argileux gris clair avec beaucoup d'inclusions d'altérite, de manganèse et de charbons de bois
- 3 : sédiment limono-argileux gris avec fragments de schiste et manganèse (F1039)
- 4 : sédiment limono-argileux gris brun assez hétérogène (F1033)
- 5 : sédiment limono-argileux gris foncé homogène avec rares charbons de bois
- 6 : sédiment brun très meuble homogène (cave à pommier)



Sd 333



- 1 : sédiment limono-argileux gris foncé très hétérogène avec oxyde et charbons de bois (F1033)
- 2 : sédiment limono-argileux gris clair beige assez hétérogène avec oxydes (F2866)

Fig. 241 : plan et coupes du fossé 816-1033-1034-1042

deuxième moitié du siècle).

L'extrémité sud-est de ce fossé s'appuie sur le fossé 804-927-1062-1168 daté du début du I<sup>er</sup> siècle et qui traverse la moitié ouest du site selon un axe nord-est/sud-ouest.

D'autres petits fossés de parcellaire, d'axe nord/sud ou nord-ouest/sud-est sont présents dans ce secteur (fig. 242).

#### Fossé 819-1032

D'axe nord/sud, il a été suivi sur une longueur de 23 m et une largeur variant de 0,50 à 0,76 m pour une profondeur conservée allant de 0,20 à 0,35 m. Les deux sondages montrent un profil évasé à fond arrondi. Le comblement est constitué d'un sédiment limono-argileux gris très compact et homogène. Ce fossé vient recouper les fossés gaulois 1007 et 1039. La fouille des sondages 181 et 189 a livré 86 tessons de commune claire, 136 tessons de commune sombre et 14 tessons de céramique non tournée. Ces éléments ne permettent pas de préciser la période gallo-romaine.

#### Fossé 815-976-1031

D'axe nord/sud, il a été suivi sur une longueur de 32,44 m pour une largeur variant de 0,67 à 0,72 m et une profondeur conservée allant de 0,22 à 0,30 m. Les trois sondages 420 et 421 et 331 montrent un profil évasé avec un fond plus ou moins arrondi. Le comblement est constitué d'un sédiment limoneux beige gris avec altérite et quelques charbons de bois. Dans le sondage 420 le fossé est recoupé par le trou de poteau 2865 et dans le sondage 341 il est recoupé par le fossé gallo-romain 1041.

#### Fossé 814-1016

D'axe nord/sud, il a été suivi sur une longueur de 12 m pour une largeur moyenne de 0,50 m et une profondeur conservée de 0,18 m. Le profil est évasé avec un fond arrondi. Le comblement est constitué d'un sédiment limoneux gris très compact avec traces d'oxydation, manganèse, cailloutis et rares charbons de bois.

#### Fossé 990

D'axe nord-sud, il a été suivi sur une longueur de 7 m et sur une largeur de 0,93 m pour une profondeur conservée de 0,36 m. Le sondage 336 montre un profil évasé avec un fond arrondi. Le comblement est constitué d'un sédiment limono-argileux gris assez hétérogène avec trace d'oxydation. La fouille a livré :

- en surface : un tesson de mortier en sigillée Curle 21 du Centre de la Gaule datant des années 190-240.
- dans le sondage 335 : un bord de mortier de type Curle 21 en sigillée du Centre Gaule caractéristique des productions des années 160-190.
- dans le sondage 336 : un bord de mortier Drag. 45 en sigillée du Centre Gaule datant de 190-240 (PL. 24 n°2).

Le mobilier recueilli dans ce comblement consiste donc uniquement en tessons de sigillée, qui évoquent une période allant du dernier tiers du II<sup>e</sup> siècle au premier tiers du III<sup>e</sup> siècle, soit la fin de l'occupation.

D'autres petits fossés de parcellaire d'axe est/ouest comme le 1015 sont vraisemblablement d'époque antique mais l'absence de mobilier et d'observations chrono-stratigraphique ne permettent pas de le préciser.

Un long fossé de parcellaire traverse le site et vient recouper l'enclos gaulois de l'ensemble 1. Il s'agit du fossé 28-68-1135-2047.

#### Fossé 2868-1135-2047 (fig. 243)

Il a été suivi sur 127 m de longueur pour une largeur moyenne variant de

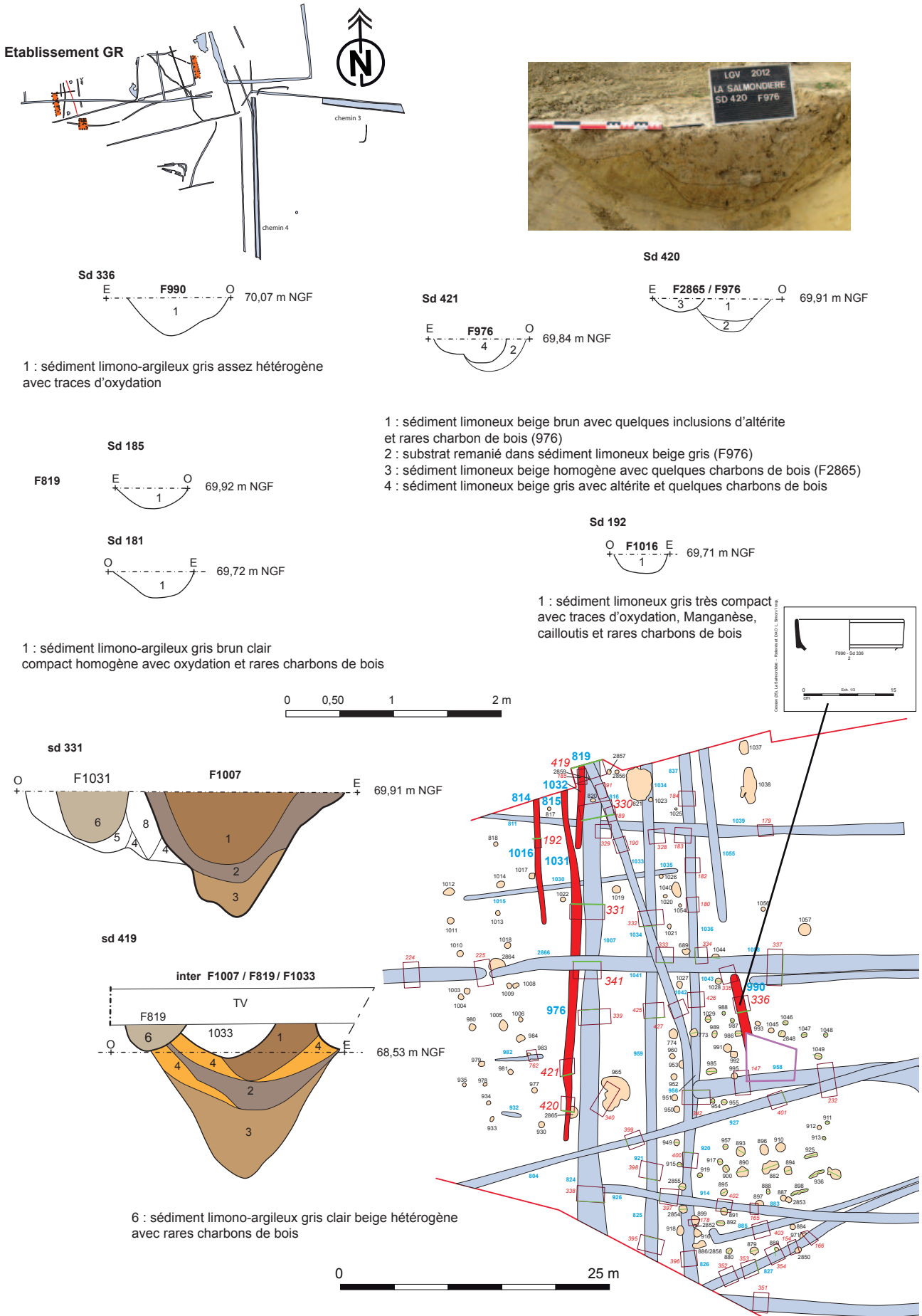
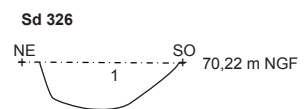
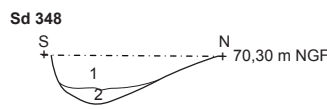
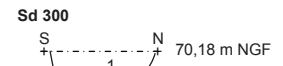
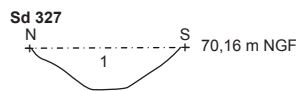
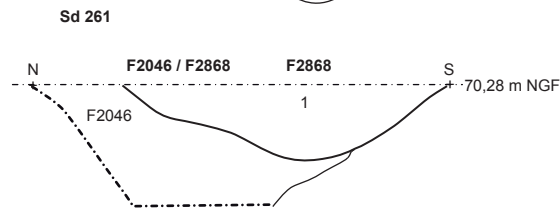
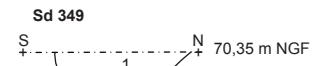
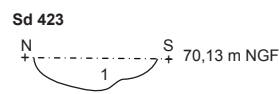
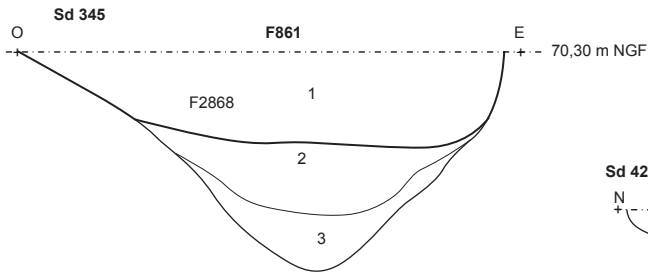
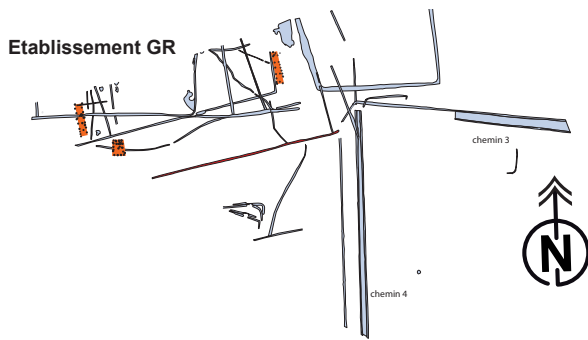
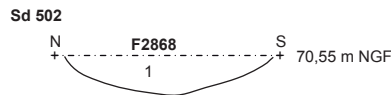
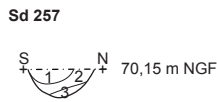
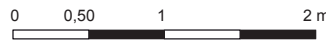


Fig. 242 : plan et coupes des fossés 815-1031-976; 819-1032; 814-1016; 990 © cliché équipe de fouille



- 1 : sédiment argilo-limoneux gris brun avec beaucoup de fragments d'altérite manganèse et quelques nodules de terre cuite (F2868)
- 2 : sédiment argilo-limoneux gris orangé avec beaucoup de fragments d'altérite et quartz
- 3 : sédiment argilo-limoneux orangé mélangé à altérite et quartz

- 1 : sédiment argilo-limoneux gris beige avec fragments de schiste, d'altérite et manganèse
- 2 : substrat remanié



- 1 : sédiment limono-argileux gris orangé compact homogène
- 2 : sédiment limoneux gris compact avec fragments de schiste
- 3 : sédiment limono-argileux gris orangé meuble

- 1 : sédiment argilo-limoneux gris beige meuble

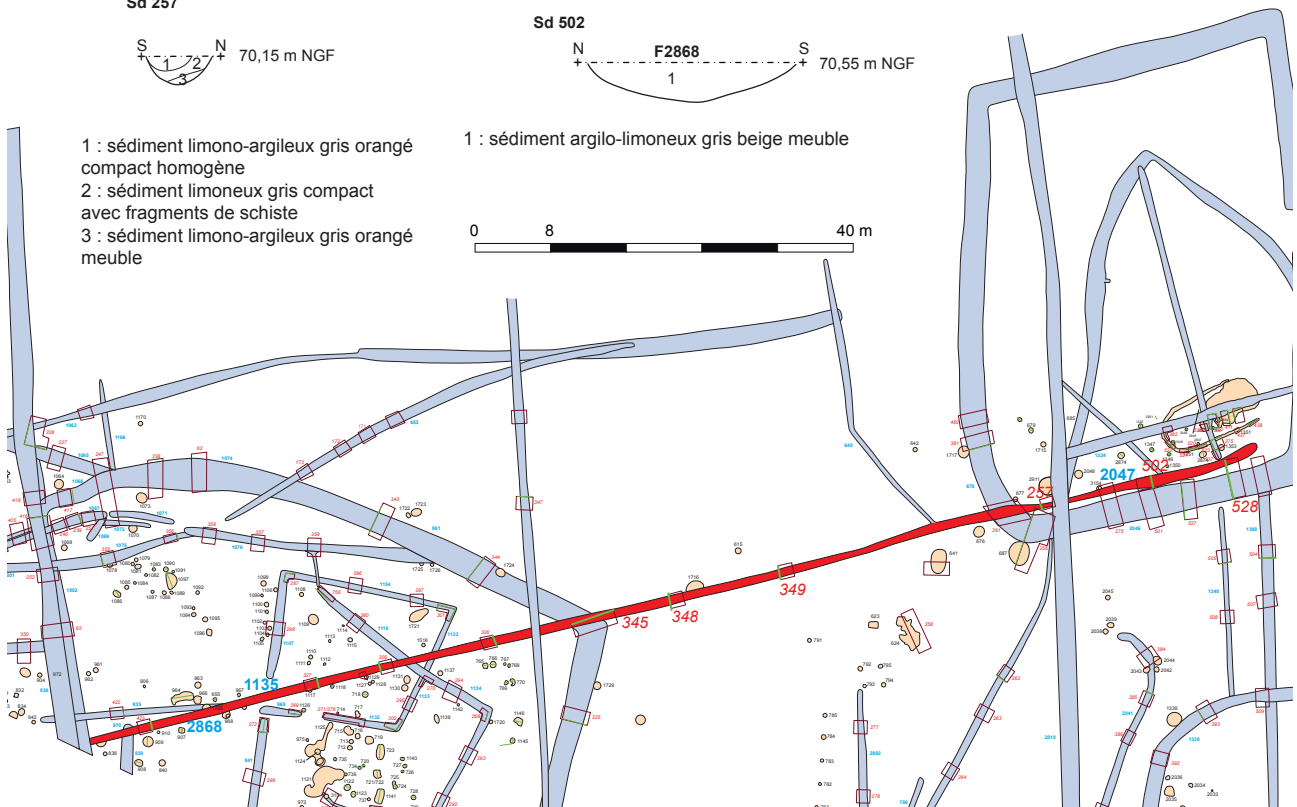


Fig. 243 : plan et coupes du fossé 2868-1135-2047 © cliché équipe de fouille

0,68 à 1,40 m et une profondeur allant de 0,18 à 0,32 m. Les 10 sondages ouverts ont été relevés. Ils montrent un profil évasé avec un fond arrondi. Le comblement est constitué d'un sédiment limono-argileux brun gris peu compact et homogène avec inclusions de charbons de bois et traces d'oxydation. Le fossé est recoupé en extrémité sud-ouest par la haie 1002 et il recoupe le fossé gaulois 836 situé sous cette dernière. Il recoupe le fossé 835 non daté et recoupe ensuite l'enclos 1116 daté de l'époque gauloise. Dans le sondage 345 il recoupe l'enclos 861, d'époque gauloise ce qui fait que du mobilier d'époque gallo-romaine indiqué comme venant du fossé 861 est en fait à attribuer au fossé 2868. Il recoupe ensuite le comblement supérieur de l'angle sud-ouest de l'enclos gaulois 1401 avec le sondage 261. Il semble ensuite s'interrompre à l'intérieur de cet enclos.

La fouille a livré :

- dans les sondages 327 et 261 : 2 tessons de commune claire et 1 tesson d'amphore (261).
- dans le sondage 502 : 3 tessons de commune sombre.
- en décapage, 1 fragment d'amphore (dans la section 1135).
- dans le sondage 345 : 3 tessons d'amphores liées aux I<sup>er</sup>-II<sup>e</sup> siècle : amphore à huile Dr. 20 d'Espagne (Bétique), amphore à vin de Gaule lyonnaise à pâte orangée et cœur gris. Ainsi qu'une assiette Drag. 18 en sigillée de La Graufesenque datée des années 20-50.

Ce fossé pourrait donc être daté du début du I<sup>er</sup> siècle.

#### Fossé 1162 (fig. 244)

D'axe est-nord-est/ouest-sud-ouest, il a été suivi sur une longueur de 33 m pour une largeur allant de 0,50 à 0,66 m et une profondeur conservée de 0,11 à 0,24 m. le profil est évasé avec un fond arrondi. Le comblement est constitué d'un sédiment limoneux gris clair orangé compact, schiste altéré.

#### Fossé 1163 (fig. 244)

D'axe nord-est/sud-ouest, il a été suivi sur une longueur de 57 m et une largeur variant de 0,74 à 0,88 m pour une profondeur conservée allant de 0,17 à 0,42 m. Les 4 sondages montrent un profil évasé avec un fond arrondi. Le comblement est constitué d'un sédiment limono-argileux gris compact homogène très oxydé avec du cailloutis de quartz. Son extrémité nord se perd sous la haie 2010. Il est possible que ce fossé se poursuive par le petit fossé 1503 non daté. Côté sud, il vient buter sur le fossé 1162 (non daté). Ce dernier borde une dépression qui est restée en eau durant toute la fouille et dans laquelle, au moment du décapage avaient été trouvées quelques scories.

La fouille a livré 2 tessons de commune claire dont l'un dans le sondage 266.

Dans la partie est du site un petit bout de fossé a livré un tesson de céramique de la fin de la période antique. Il s'agit du fossé 2705. Il est accompagné d'une fosse 2773 (fig. 245).

#### Fosse 2773

C'est une fosse ovale de 2,18 m de longueur sur 1,90 m de largeur et conservée sur une profondeur de 0,70 m (fig. 245). Le profil est évasé et le fond est arrondi. Le comblement est constitué d'un sédiment limono-argileux brun meuble avec charbons de bois. Elle recoupe le fossé 2152. La fouille a livré 2 tessons de céramique de commune sombre.

#### Le fossé 2705

D'axe nord-sud, il a été suivi sur une longueur de 9,25 m et sur une largeur de 0,40 m pour une profondeur conservée de 0,12 m (fig. 245). Le sondage réalisé à l'extrémité nord du fossé présente un profil évasé à fond plat mais très érodé. Il n'est pas assuré qu'il s'agit bien de l'extrémité, en effet il pouvait se poursuivre plus au nord peut être à relier avec le segment de

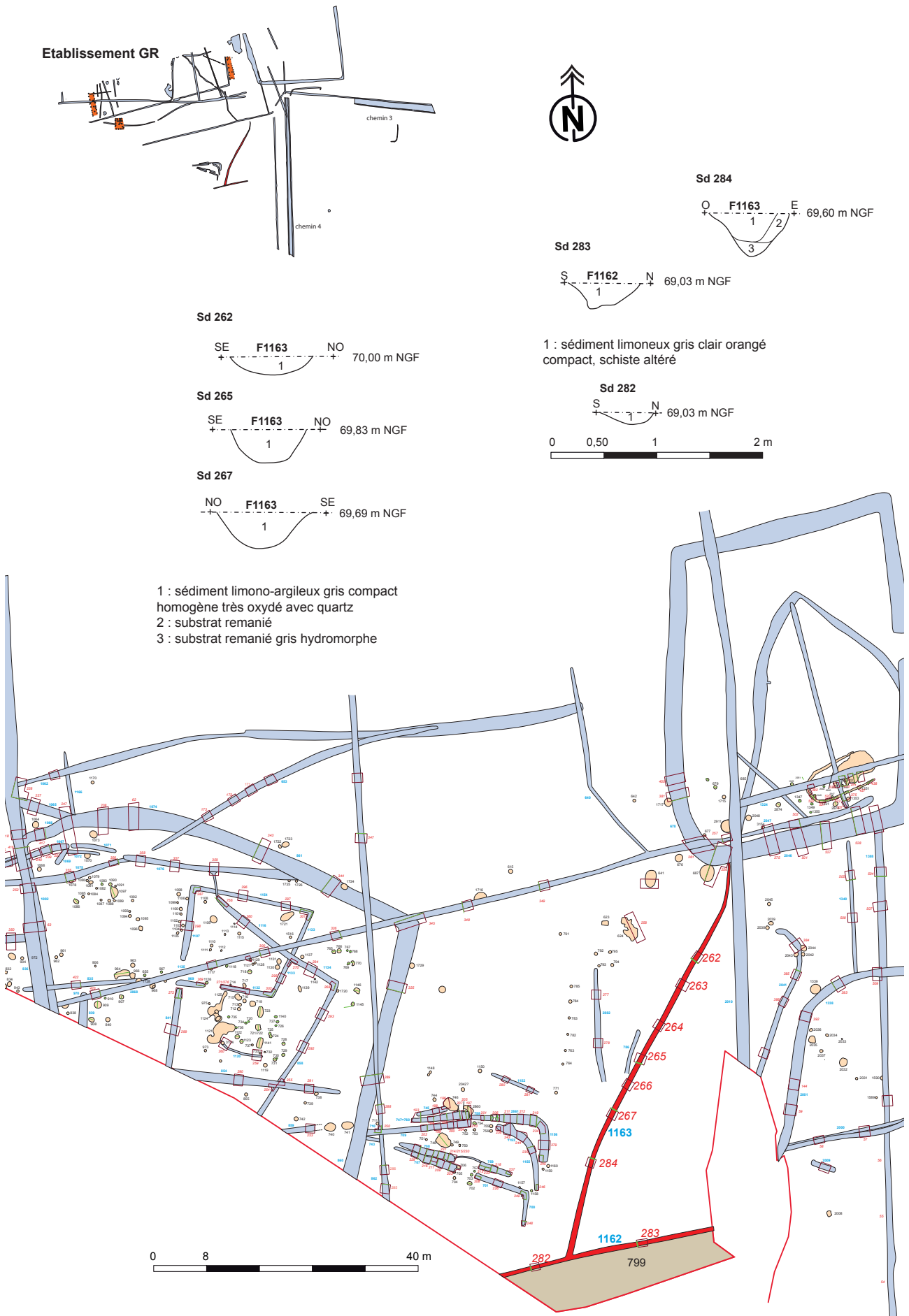


Fig. 244 : plan et coupes des fossés 1162 et 1163



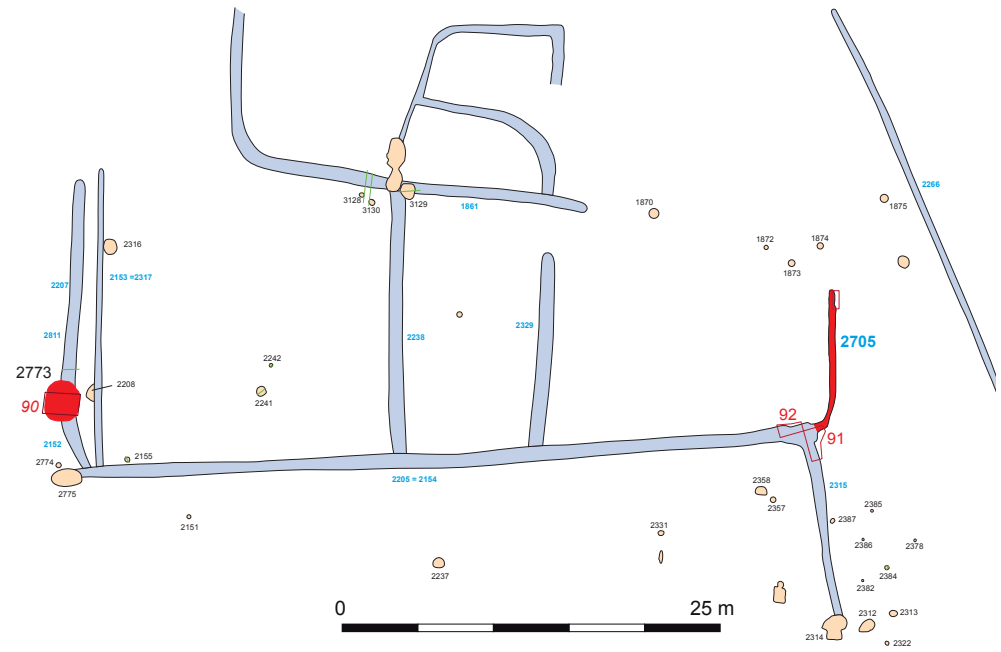
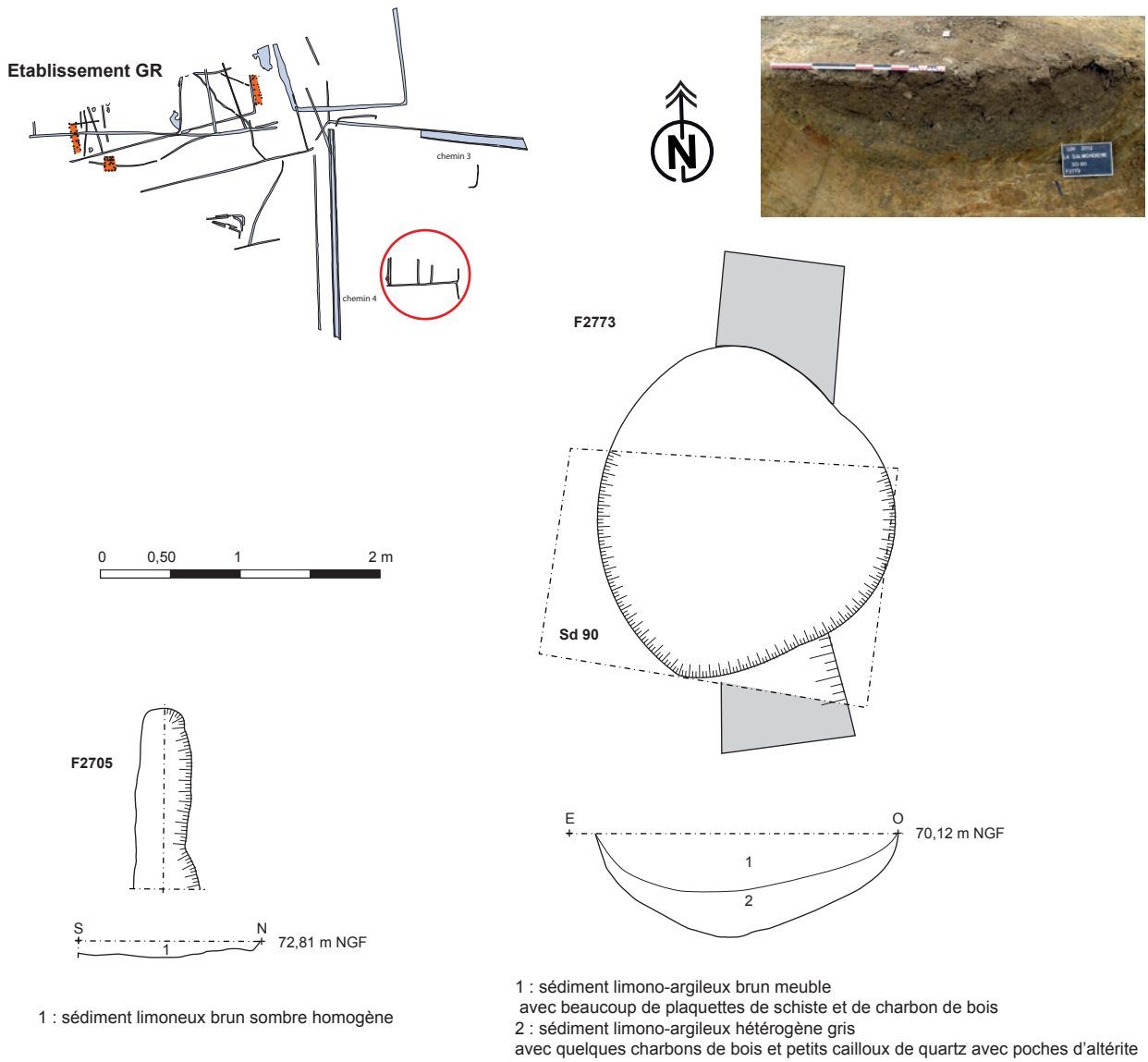


Fig. 245 : plan et coupes de la fosse 2773 et du fossé 2705 © cliché équipe de fouille

fossé 3123 situé dans une zone ayant pu abriter un bâtiment gallo-romain comme l'atteste la présence de céramique antique dans les trous de poteaux. Le fossé 2705 est comblé d'un sédiment limono-argileux brun sombre très homogène. Il se poursuit pratiquement à angle droit vers l'ouest avec le fossé 2154 (2205).

La fouille a livré un tesson de sigillée des IV<sup>e</sup>/V<sup>e</sup> siècles.

*Les fosses situées dans la partie ouest du site (fig. 246)*

#### **Fosse 618 (fig. 247)**

C'est une petite fosse située en limite nord d'emprise et dont seulement une longueur de 1 m est visible. Très arasée, elle n'est conservée que sur une épaisseur de 0,11 m. De profil évasé, le fond est plat. Le comblement est constitué d'un sédiment limoneux brun meuble homogène avec charbons de bois, tc et ardoise.

La fouille a livré 1 tesson de céramique de commune claire.

#### **Fosse 622 (fig. 247)**

C'est une fosse ovale de 1,90 m de longueur sur 1,67 m de largeur pour une profondeur conservée de 0,38 m. Le profil est évasé avec un fond irrégulier. Le comblement est constitué d'un sédiment limono-argileux gris compact.

La fouille a livré 1 tesson de céramique de commune claire.

#### **Fosse 634 (fig. 247)**

C'est une fosse située en limite nord d'emprise et dont seulement une longueur de 2,50 m est visible par 0,68 m de largeur pour une profondeur conservée de 0,50 m. Le profil est évasé et le fond est arrondi.

Le comblement est constitué d'un sédiment limono-argileux gris foncé avec charbons de bois, tc et clou.

La fouille a livré du mobilier céramique pouvant être situé des années 30/40 à 60/70. Il se compose de terra nigra, avec notamment une assiette carénée Menez 55 (PL. 19 n°3) et une paroi de coupe carénée (Menez 96 ?).

La céramique commune claire n'est pas déterminante, mais la céramique commune sombre comprend un bord d'assiette carénée caractéristique de cette période (PL. 19 n°4). Un bord de pot à lèvre en crochet correspond aux premières productions de ce type (PL. 19 n°7), tandis qu'on trouve également des pots à lèvre arrondie (PL. 19 n°6-8). Un pot à lèvre éversée appartient aux productions non tournées (PL. 19 n°9).

La catégorie des amphores comprend un tesson caractéristique des conteneurs à vin de Tarraconaise, en usage au cours des périodes augustéenne et tibérienne. Il est associé à un tesson d'amphore de Gaule lyonnaise à pâte brune.

#### **Fosse 821 (fig. 247)**

De forme quadrangulaire, elle a une longueur de 3 m pour une largeur de 2,30 m et conservée sur une profondeur de 0,19 m. Les parois sont évasées et le fond est plat. Le comblement est constitué d'un sédiment limoneux gris foncé avec charbons de bois et terre cuite. La fosse recoupe le fossé 1034.

La fouille a livré dans l'US 2 un petit lot de sigillée, provenant exclusivement du Centre de la Gaule. On distingue plusieurs vases moulés Drag. 37 (dont PL. 23 n°2, style de Paternus, v. 160-190 et 1 ex. de Cinnamus, v. 140-170). Les autres individus sont plus anciens : une coupe Loo8 (v. 80-110, n°1) et une assiette du I<sup>er</sup> siècle (v. 40-80).

La céramique commune claire compte quelques vases à collerette (PL. 23 n°4), mortiers (PL. 23 n°5) et une cruche représentée par son goulot. On notera également l'attestation d'un vase miniature retrouvé intact, avec un clou en fer dans son remplissage (PL. 23 n°6). La découverte de tels vases n'est pas fréquente, plutôt constatée dans la sphère culturelle (pour la région par exemple au sein d'un laraire à Corseul : Ferrette 2003, p. 125, pl. 50). Cet

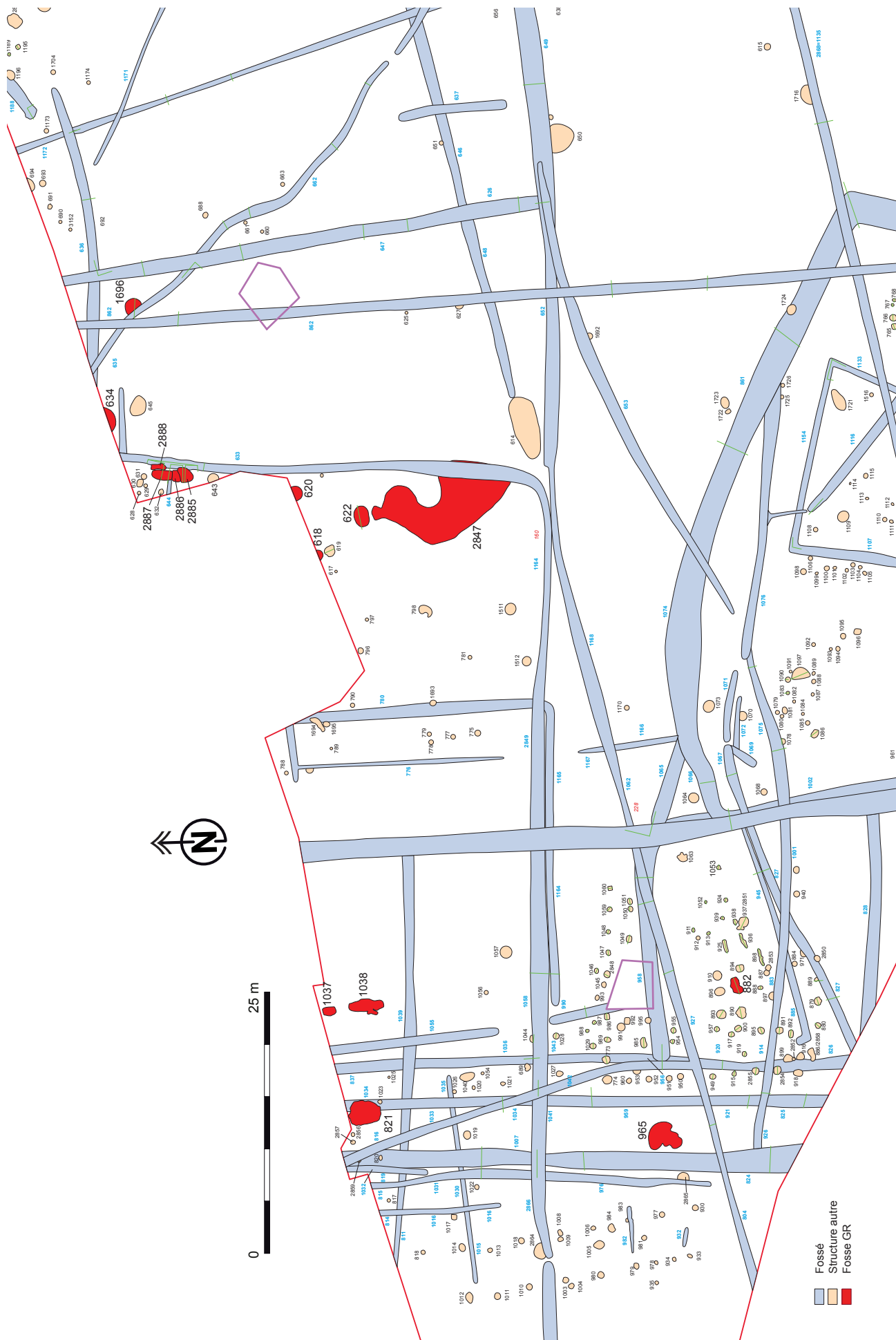
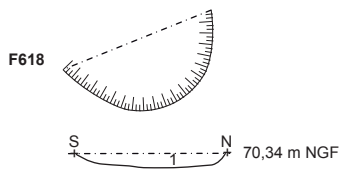


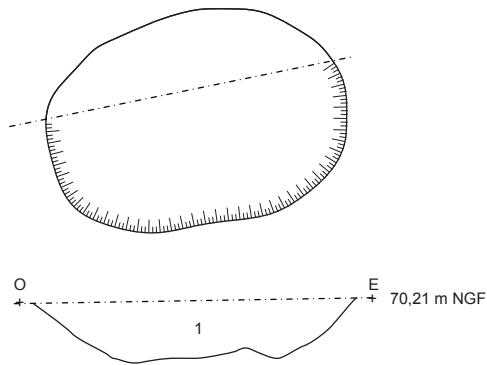
Fig. 246 : localisation des fosses gallo-romaines de la partie ouest du site



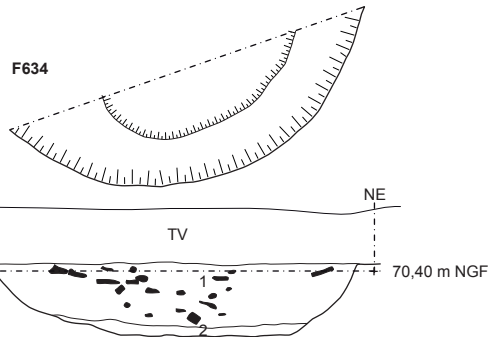
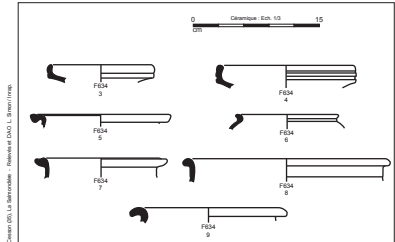
1 : sédiment limoneux brun meuble homogène avec fragments de schiste et de quartz avec TCA



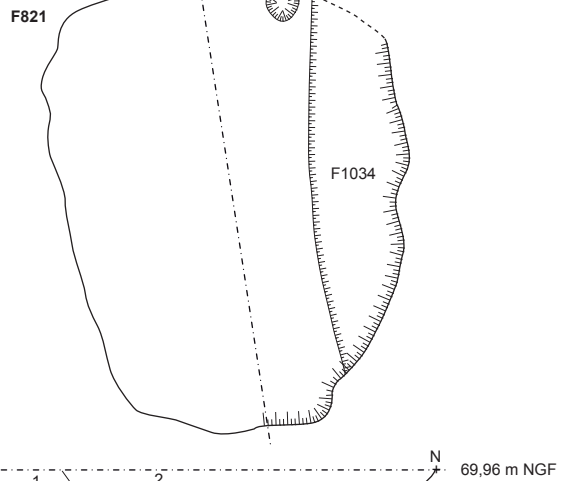
F622 Sd 306



1 : sédiment limono-argileux gris compact avec trace d'oxydation, rares blocs et TCA



1 : sédiment limono-argileux gris foncé avec inclusions de gros charbons de bois  
2 : sédiment limono-argileux induré gris jaune et charbons de bois



1 : sédiment limoneux gris clair compact avec charbon de bois et substrat remanié orangé  
2 : sédiment limoneux gris foncé compact avec charbon de bois et TCA

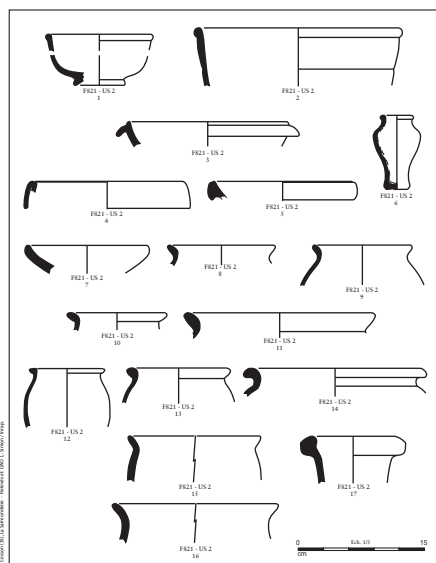


Fig. 9 : Mobilier céramique du Fait F821.

Fig. 247 : plan et coupes des fosses 618; 622; 634; 821 © cliché équipe de fouille

exemplaire ne trouve pas d'équivalent formel pour le moment.

La céramique commune sombre est représentée majoritairement par des pots, de formes et gabarits variés (PL. 23 n°8-14). On note également la présence d'une assiette à bord simple (PL. 23 n°7).

Quelques tessons de céramique non tournée montrent l'usage de cette catégorie technique au cours de la période gallo-romaine, avec notamment deux pots à bord simple éversé (PL. 23 n°15-16).

La catégorie des amphores compte un seul représentant, de production vraisemblablement régionale. Il s'agit d'un bord d'amphore Gauloise 4, destinée au transport du vin (PL. 23 n°17).

#### **Fosse 882 (fig. 248)**

De forme ovale, elle a une longueur de 1,64 m pour une largeur de 0,90 m sur une profondeur conservée de 0,28 m. Cette fosse se présente sous la forme de deux trous de poteaux accolés de profil en U à fond arrondi. Le comblement est constitué d'un sédiment limono-argileux gris clair mélangé au substrat compact hétérogène avec charbons de bois et tc. La fouille a livré 2 tessons de céramique non tournée dans l'US 2.

#### **Fosse 1037 (fig. 248)**

De forme ovale, elle a une longueur de 1,24 m pour une largeur de 0,86 m et une profondeur conservée de 0,32 m. Les parois sont abruptes et le fond est irrégulier. Le comblement principal US 2 est constitué d'un sédiment limoneux gris foncé compact avec charbons de bois et tc. Il est recouvert d'une couche plus claire avec du schiste US 1.

La fouille a livré dans l'US 1 1 tesson de céramique de commune claire et 1 de commune sombre et dans l'US 2, 4 tessons de commune sombre.

#### **Fosse 1038 (fig. 248)**

De forme allongée, elle a une longueur de 3,30 m pour une largeur de 1,20 m et une profondeur conservée de 0,28 m. Les parois sont évasées et le fond est irrégulier. L'ensemble évoque une fosse d'extraction. Le comblement est constitué d'un sédiment limoneux gris clair avec charbons de bois tc et métal.

La fouille a livré un tesson de sigillée du Centre de la Gaule aux caractéristiques techniques altérées, qui ne peut être daté (I<sup>er</sup>-II<sup>e</sup> siècle).

De ce fait provient également un vase en céramique commune sombre, qui a pu être remonté intégralement. Il s'agit d'un pot ovoïde à petite lèvre ronde, dont le type existe sur la longue durée au cours des I<sup>er</sup> et II<sup>e</sup> siècles (probablement guère au-delà du milieu du II<sup>e</sup> siècle).

#### **Fosse 1696 (fig. 248)**

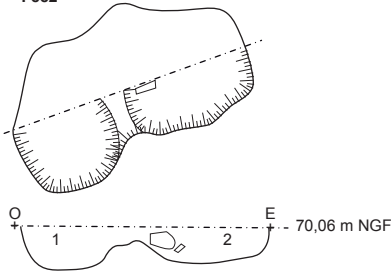
De forme ovale, elle a une longueur de 1,95 m pour une largeur de 1,20 m et une profondeur conservée de 0,35 m. Les parois sont évasées et le fond est arrondi. Le comblement est composé d'un sédiment gris cendré très hétérogène avec beaucoup de charbons de bois et TCA ainsi que des éléments de substrat remanié. Cette fosse étant recoupée par le fossé gallo-romain 635, il est possible que du mélange de mobilier se soit produit entre ces deux structures.

La fouille a livré 15 tessons de céramique de commune sombre et 7 de terra nigra permettant de dater le comblement du I<sup>er</sup> siècle.

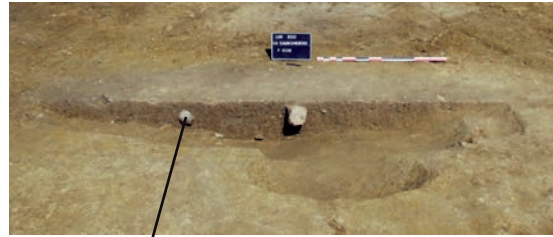
#### **Fosse 623 (fig. 249)**

De forme quadrangulaire, elle a une longueur de 1 m pour une largeur de 0,70 m et une profondeur conservée de 0,18 m. Les parois sont évasées et le fond irrégulier. Le comblement est constitué d'un sédiment limoneux charbonneux compact homogène avec des blocs de schiste chauffés et des concentrations de charbons de bois. L'ensemble évoque un petit foyer, mais il faut noter l'absence de rubéfaction sur les parois. Cela ressemble plus à un four à pierre chauffé comme on en rencontre dès le Néolithique.

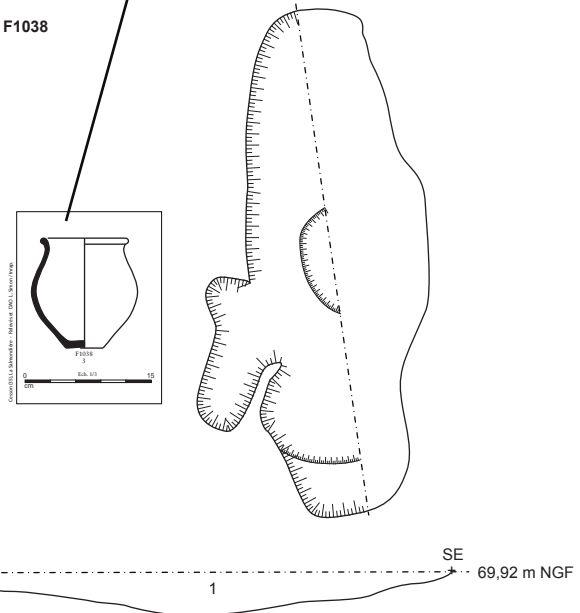
F882



1 : substrat remanié avec sédiment limono-argileux gris clair orangé oxydé compact hétérogène avec charbons de bois et TC  
 2 : sédiment orangé compact et hétérogène avec fragments de meule et de grès (calage) et chabons de bois et TC

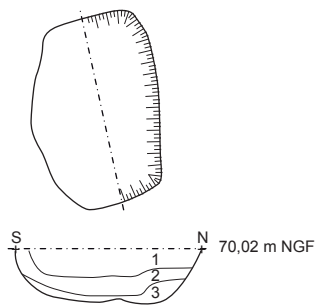


F1038



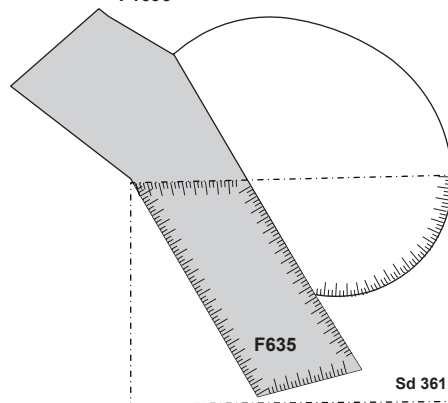
1 : sédiment limoneux gris clair avec schiste, charbon de bois et TCA

F1037



1 : sédiment limoneux gris clair avec schiste, compact  
 2 : sédiment limoneux gris foncé compact avec schiste, charbon de bois et TCA  
 3 : sédiment limono-argileux gris clair avec schiste, compact

F1696



1 : sédiment gris cendré très hétérogène avec beaucoup de charbons de bois et TCA ainsi que des éléments de substrat remanié  
 2 : sédiment gris homogène avec traces d'oxydation



Fig. 248 : plan et coupes des fosses 882; 1037; 1038 et 1696 © cliché équipe de fouille

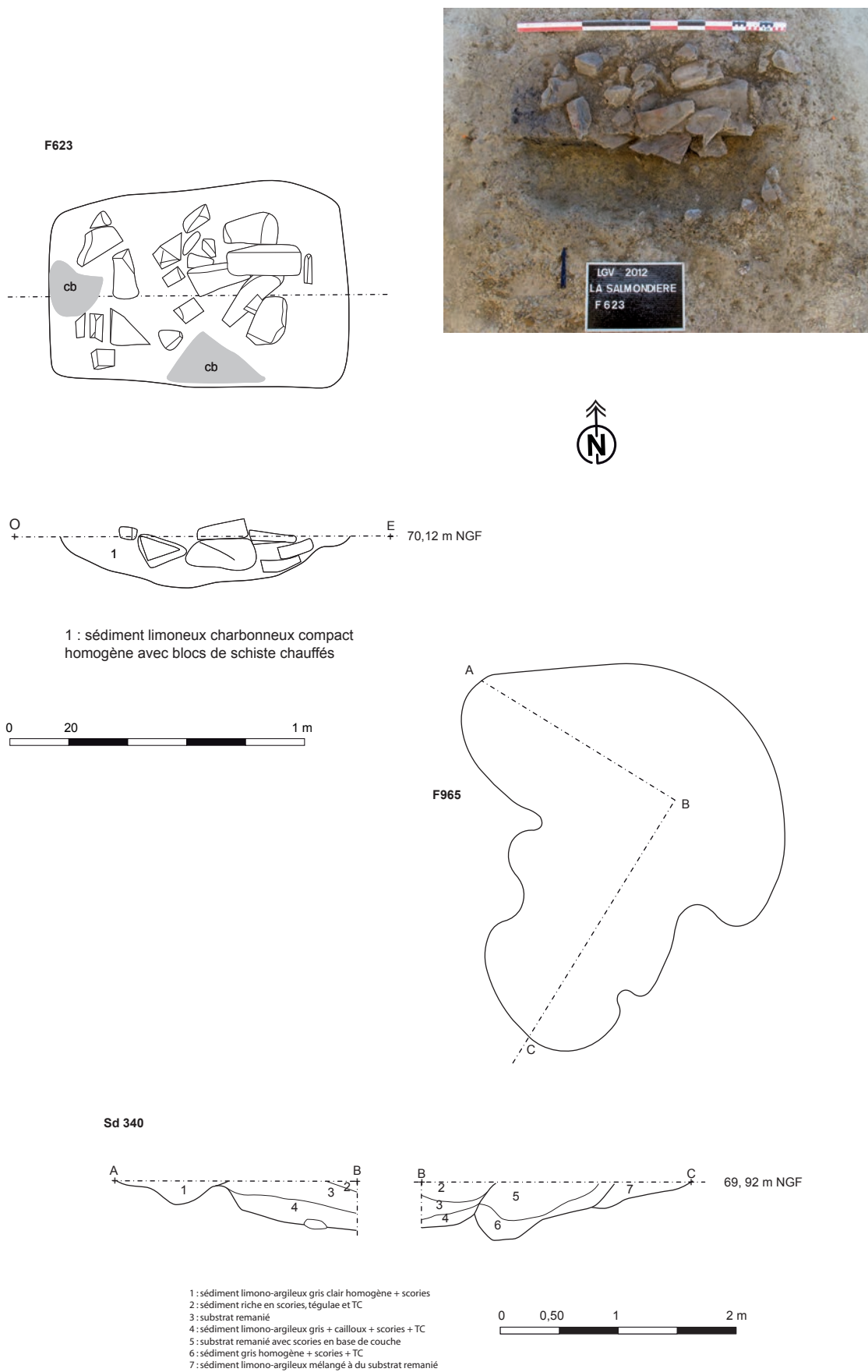


Fig. 249 : plan et coupes des fosses 623 et 965 © cliché équipe de fouille

La fouille a livré 1 tesson de céramique très altéré de forme Menez 146 (v. 30/40-80). Il peut appartenir aux productions locales de céramique grise mi-fine (voire terra nigra).

#### Fosse 965 (fig. 249)

De forme polylobée, elle semble être formée de 4 fosses. La plus grande longueur est de 3,38 m pour une largeur de 1,60 m et une profondeur conservée de 0,50 m. Les parois sont évasées et le fond est irrégulier. Le comblement détritique est composé d'un sédiment limono-argileux gris avec du substrat remanié. A noter la présence de scories.

La fouille a livré 1 tesson de céramique de sigillée informe du Centre Gaule présentant les caractéristiques des productions des années 140-190. Il faut ajouter 1 tesson de commune sombre.

#### Fosse 2847 (fig. 250)

C'est une grande fosse de forme irrégulière ou zone d'épandage de plus de 10 m de longueur sur 7,35 m de largeur et conservée sur une profondeur maximale de 0,64 m. Le profil est évasé et le fond est irrégulier. Le comblement est constitué d'un sédiment limoneux gris mélangé au substrat. Quelques fragments de tuiles étaient dispersés en surface.

La fouille a livré du mobilier très abîmé et parmi quelques tessons de céramique non déterminants (10 tessons de commune claire et 16 de commune sombre) se trouve un fragment de sigillée très érodé (Centre Gaule, I<sup>er</sup> siècle ?). Notons également la présence d'un pot à lèvres en crochet en céramique commune sombre, non antérieur au milieu du I<sup>er</sup> siècle ainsi qu'un fragment d'amphore.

Un chapelet de petites fosses s'est greffé sur le fossé 633. Il s'agit des fosses 2885, 2886, 2887 et 2888 (fig. 251). Elles ont été recoupées sous forme de sondages manuels. Elles s'apparentent à de petites fosses d'extraction ou à une seule polylobée. Elles forment un ensemble d'environ 4 m de longueur sur 1,35 m de largeur pour une profondeur moyenne conservée de 0,20 m. Le comblement est constitué d'un sédiment limoneux brun gris avec charbons de bois et TCA. A noter que la fosse 2885 est recoupée par le fossé 633. Il est possible que les autres fosses soient également antérieures à ce fossé.

La fouille a livré dans la fosse 2885, 10 tessons de commune claire et 12 de commune sombre et dans la fosse 2887, 1 très petit tesson de sigillée correspondant à une production du sud de la Gaule, des années 30-60. Mentionnons également un bord de pot à lèvres éversée en céramique commune sombre. Il faut ajouter 14 tessons de commune claire et 15 de commune sombre.

#### Concentration de trous de poteaux

Nous avons placé ce chapitre dans cette partie du rapport mais il pourrait également pendre place dans la partie consacrée à l'occupation gauloise.

En effet, cette concentration de trous de poteaux (fig. 252) a livré très peu de mobilier céramique permettant d'établir une bonne discrimination entre les périodes. Le mobilier gallo-romain se résume à un tesson de commune sombre dans le comblement du trou de poteau 992 et de la céramique non tournée dans 882 ainsi que des fragments de tuile dans 2853. La chronologie relative montre qu'une majorité de trous de poteaux (689, 2855, 2854, 918 et 2858) recourent le fossé 826 daté de la fin de La Tène ancienne. Un (995) est recoupé par le fossé de La Tène de finale 958 et un autre (897) par le fossé gallo-romain 883. Par contre, le trou de poteau 971 semble recoupé par le fossé de la fin de La Tène ancienne 827. Cette nébuleuse de poteaux prend donc place entre la fin de La Tène ancienne et le I<sup>er</sup> siècle de notre ère.

Elle se compose d'environ 70 structures excavées dans un espace restreint d'environ 400 m<sup>2</sup>. La fouille de ces trous de poteaux a permis de mettre au





sondage 1 du nord-ouest vers le sud-est

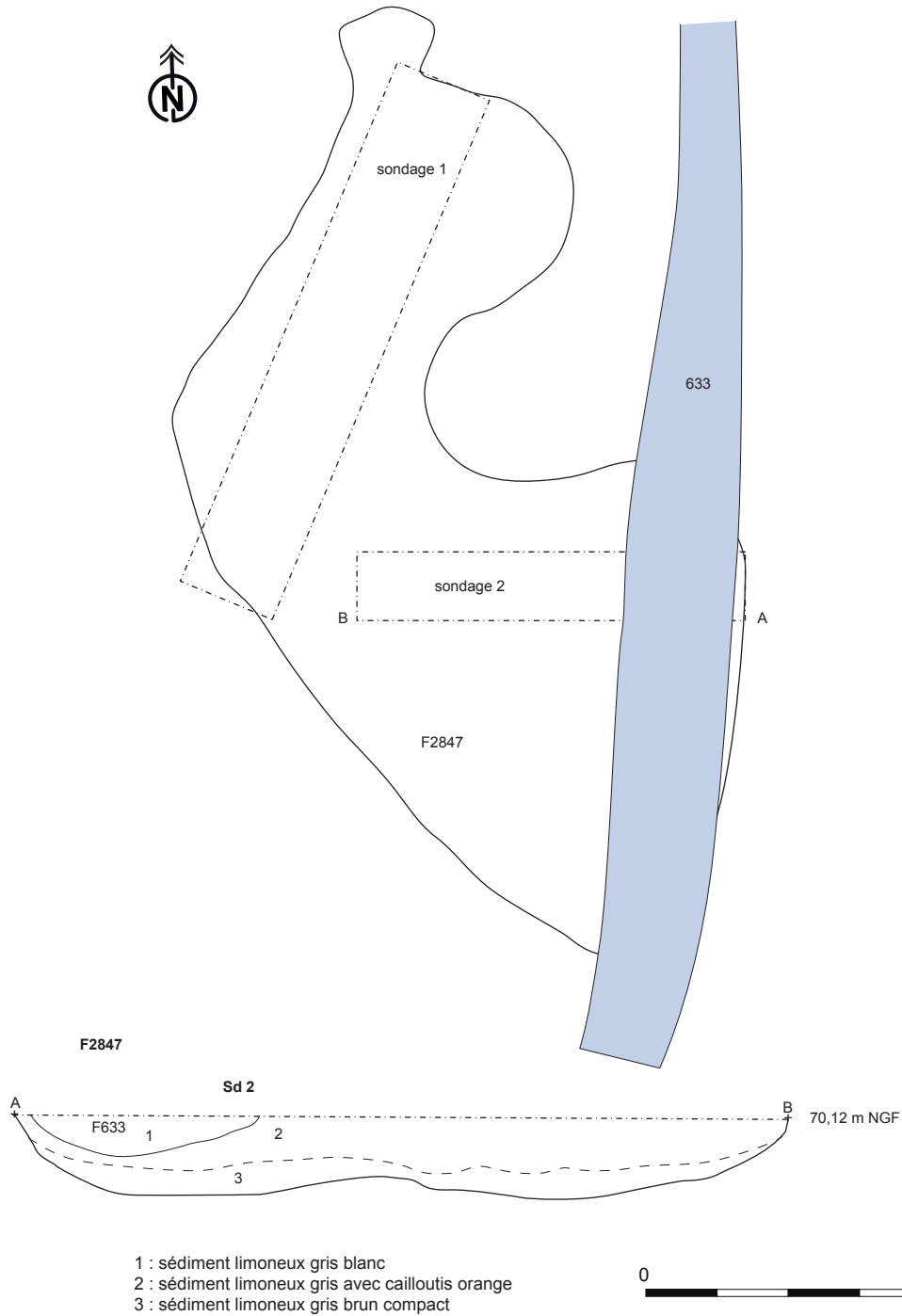
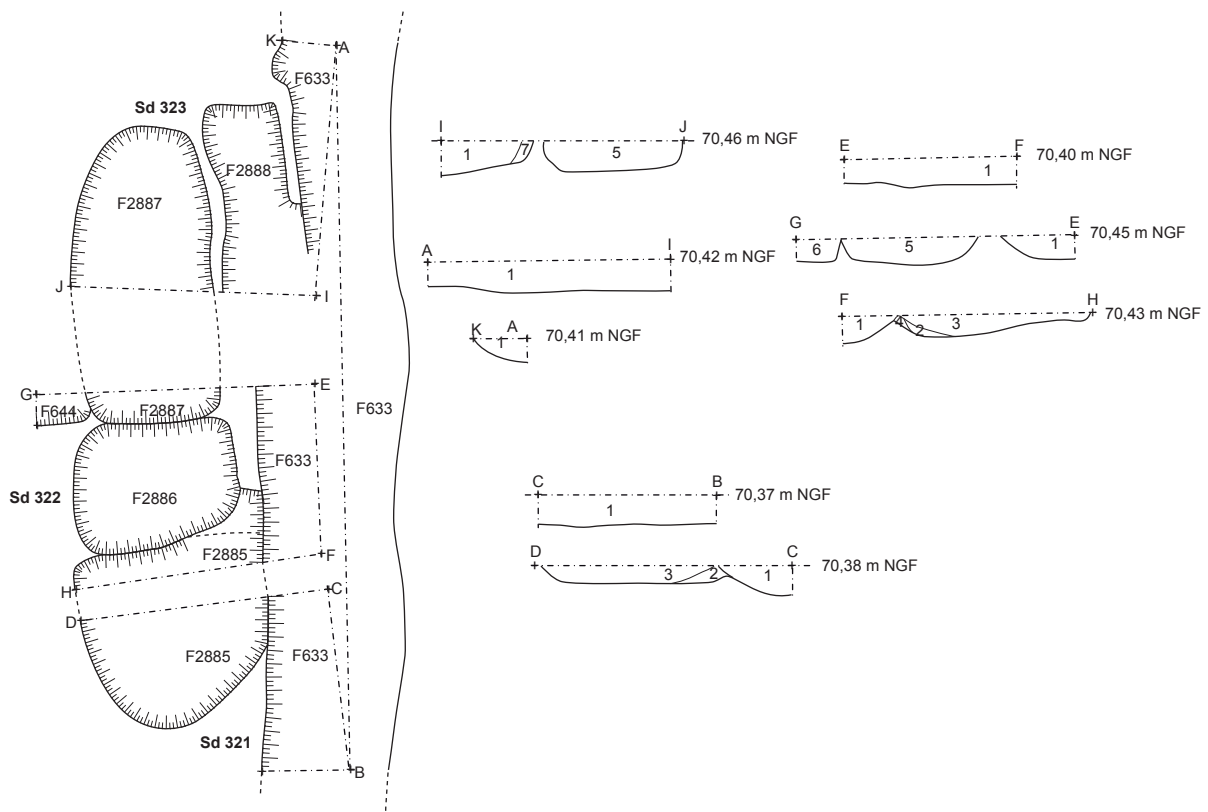


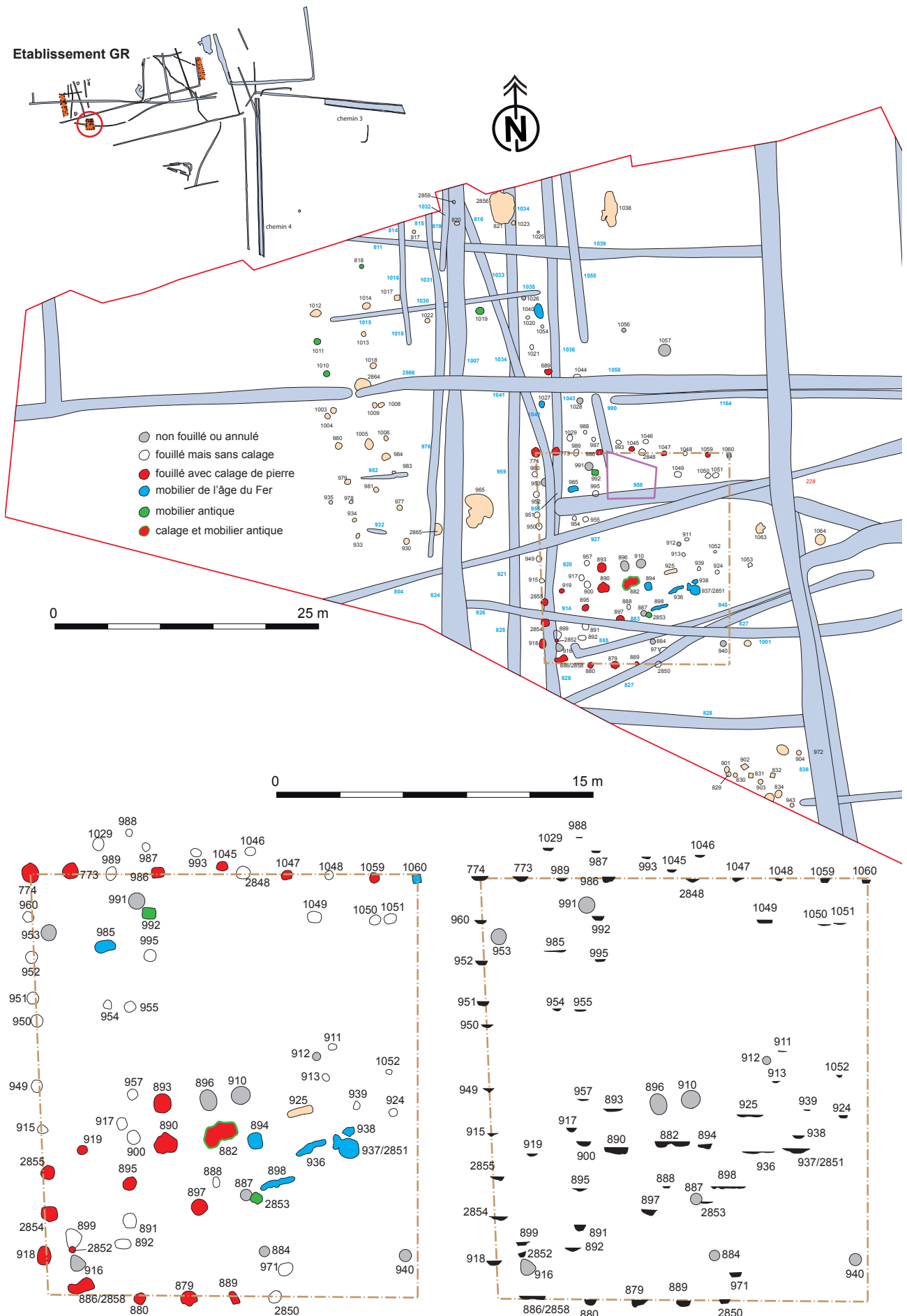
Fig. 250 : plan et coupes de la fosse 2847 © cliché équipe de fouille



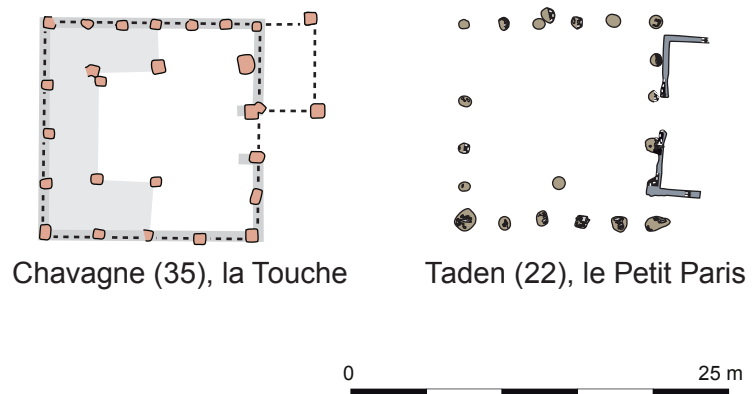
- 1 : sédiment limoneux brun gris meuble homogène avec fragments de schiste, quartz, charbon de bois (F633)
- 2 : sédiment limoneux gris compact homogène avec nombreux oxydes orangés, fragments de quartz et charbon de bois (F2885)
- 3 : sédiment limoneux gris brun meuble homogène fragments de quartz et charbon de bois (F2885)
- 4 : sédiment limoneux brun gris meuble homogène avec charbon de bois et oxydes (F2885)
- 5 : sédiment limoneux brun gris meuble homogène avec fragments de schiste et quartz (F2887)
- 6 : sédiment limoneux gris meuble hétérogène avec quelques oxydes et charbons de bois (F644)
- 7 : sédiment limoneux gris jaune



Fig. 251 : plan et coupes des fosses 2885; 2886; 2887 et 2888 © cliché équipe de fouille



jour une série de calages en pierre. Lorsque l'on reporte la localisation de ces calages sur le plan, se dessine l'amorce d'un carré d'environ 18 m de côté sur au moins deux faces : nord et l'ouest, la face sud étant seulement esquissée à moitié, alors que celle de l'est est inexistante. Ces alignements peuvent correspondre à de simples clôtures, mais les creusements ont des diamètres relativement importants, entre 0,50 et 1,12 m avec une moyenne autour de 0,70 m. Les profondeurs sont conservées entre 0,12 et 0,34 m avec une moyenne autour de 0,28 m. Cela peut correspondre aux poteaux porteurs d'une construction. Les profils sont en U, le plus souvent à fond arrondi. Le comblement livre un sédiment limoneux gris avec du charbons de bois et des nodules de terre cuite. Rien ne permet de différencier chronologiquement ces structures à partir du remplissage, la description restant très subjective en fonction de la personne établissant le relevé et également en fonction des conditions climatiques de la fouille. Nous pouvons noter que les creusements avec calage sont le plus souvent mieux conservés que les autres, mais cela n'indique-t-il pas une érosion plus importante pour les autres ayant pu faire disparaître les pierres de calage ? Notre problème d'identification reste donc le même que pour les autres zones. Si l'on retient comme hypothèse de travail un grand bâtiment de plan carré, cela évoque les granges que l'on peut rencontrer à cette époque en Bretagne (fig. 253), notamment à Taden (22) Le Petit Paris (A.-L. Hamon 2011 ou Chavagne (35) La Touche (J. Le Gall 2013 p. 88-94). Ces bâtiments rentrent dans la catégorie des granges standards, habituellement en pierre d'environ 15 m de côté. Celle de Cesson-Sévigné serait un peu plus grande, environ 18 m de côté, mais il est possible également que cet édifice témoigne de plusieurs phases non discernables à la fouille. Cependant cela reste une hypothèse de travail car rien ne permet d'affirmer que tous les supports sont contemporains et l'ensemble relève peut être d'une série de petits bâtiments venant se superposer dans le temps.



**Fig. 253** : plan des granges sur poteaux en Bretagne (extrait du RFO de Chavagne, La Touche (J. Le Gall 2013 p. 93)

Pour terminer cet inventaire des structures antiques, il faut aborder un secteur situé en limite sud-sud-ouest de décapage à l'est de l'ensemble 2, correspondant vraisemblablement à la zone de forge (fig. 254).

#### 2.3.2.5. La zone de forge

Les seules structures attestant de cette activité sur le site, deux fosses très arasées F746 et F748 dont le fond rubéfié est comblé d'un sédiment très charbonneux dans lequel ont été retrouvés des battitures et de petits nodules de métal. Il s'agit vraisemblablement de l'emplacement des foyers

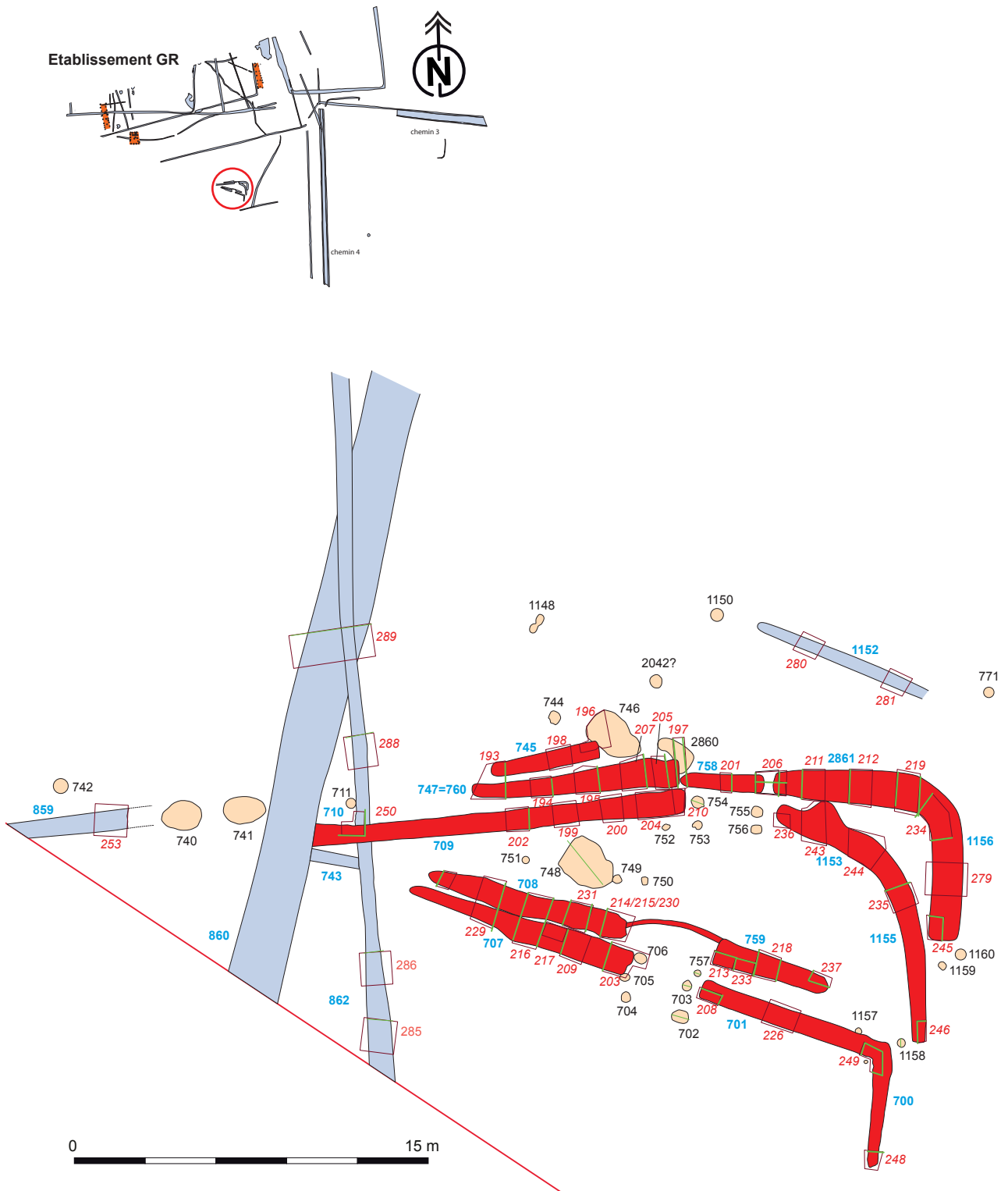


Fig. 254 : plan de la zone de forge

de forge. Ces fosses sont accompagnées d'une dizaine de segments de fossés dont la fouille a livré une grosse quantité de scories ainsi que la céramique du I<sup>er</sup> siècle de notre ère et de petits fragments de métal, de clous ou de petits plaques de fer. Certains de ces segments de fossés d'axe ouest-nord-ouest/est-sud-est ont un retour (formant comme une crosse) vers le sud. Rien n'indique que leur fonction primaire soit liée à la forge antique et leur forme évoquerait plus une présence dès l'occupation gauloise, mais leur comblement bien homogène indique une fin d'utilisation au I<sup>er</sup> siècle. Ils sont accompagnés de quelques trous de poteaux dont leur agencement pourrait évoquer un petit bâtiment à usage artisanal. La fouille manuelle de ces fossés (environ tous les mètres) a permis d'établir une bonne répartition du mobilier (fig. 267).

#### Fossé 759

D'axe ouest-nord-ouest/est-sud-est, il a été suivi sur une longueur de 5 m pour environ 1 m de largeur avec une profondeur conservée variant de 0,20 à 0,34 m (fig. 255). Alors que l'extrémité ouest-nord-ouest est relativement abrupte, celle à l'opposé (comme le montre le sondage 237) est en pente douce. Cela correspond peut être à une érosion et non à une véritable interruption.

Par contre, comme le montre la coupe longitudinale du sondage 233, il semble y avoir un recreusement de l'US 4 en extrémité ouest-nord-ouest. En effet cette US 4 est la continuité des US 1 des sondages 218 et 237. Le profil du fossé est évasé avec un fond relativement plat. Il est principalement comblé d'un sédiment limono-argileux gris assez charbonneux avec des inclusions d'altérite, de rares blocs de quartz et du mobilier archéologique : céramiques et scories. En extrémité ouest-nord-ouest, le comblement est plus stratifié, avec au fond de plus grosses scories, des fragments de parois de four, du métal et du verre.

Le sondage 213 n'ayant pas été ouvert du bon côté ne nous permet pas de voir la liaison chronologique entre le fossé et la petite sablière ou petit canal reliant les fossés 759 et 708.

Cependant selon toute vraisemblance, il doit se raccorder comme dans le fossé 708 en partie supérieure. Ce petit canal de forme incurvée, fait 3,70 m de long pour une largeur de 0,25 m. Le sondage 214 dans le fossé 708 montre qu'il est conservé sur une profondeur de 0,06 m. Son comblement est constitué d'un sédiment limono-argileux gris meuble. Les NGF de fond ne variant que de quelques centimètres, ils ne permettent pas de déterminer un sens d'écoulement de l'eau.

La fouille a livré du mobilier s'inscrivant globalement milieu/deuxième moitié du siècle :

- dans l'US3 du sondage 213 : la céramique se résume à 4 tessons de céramique commune sombre et 9 de commune claire, dont un bord de cruche à lèvre en bourrelet (PL. 20 n°1) ainsi que 3 tessons de terra nigra. On signalera également le bord ourlé d'un pot en verre bleu-vert de type Isings 62 ou Isings 67b/c (PL. 20 n°2), des environs du milieu du I<sup>er</sup> siècle au courant du II<sup>e</sup> siècle).

- dans l'US1 du sondage 218 : on constate la présence de tessons de sigillée du sud de la Gaule-La Graufesenque, d'une assiette Drag. 18 (v. 40-60) et d'un vase indéterminé (v. 40-80), associés à une coupe carénée Menez 96 en terra nigra (I<sup>er</sup> siècle) (PL. 20 n°3) et à un pot à lèvre en crochet en céramique commune sombre (à partir du milieu du I<sup>er</sup> siècle) (PL. 20 n°4).

En vis-à-vis de 759 et de même axe, nous trouvons le fossé 708 relié par ce dernier par le petit canal décrit précédemment.

#### Fossé 708

Il a été suivi sur une longueur de 8,80 m pour une largeur variant de 0,94 m à 1,20 m pour une profondeur conservée allant de 0,10 m en

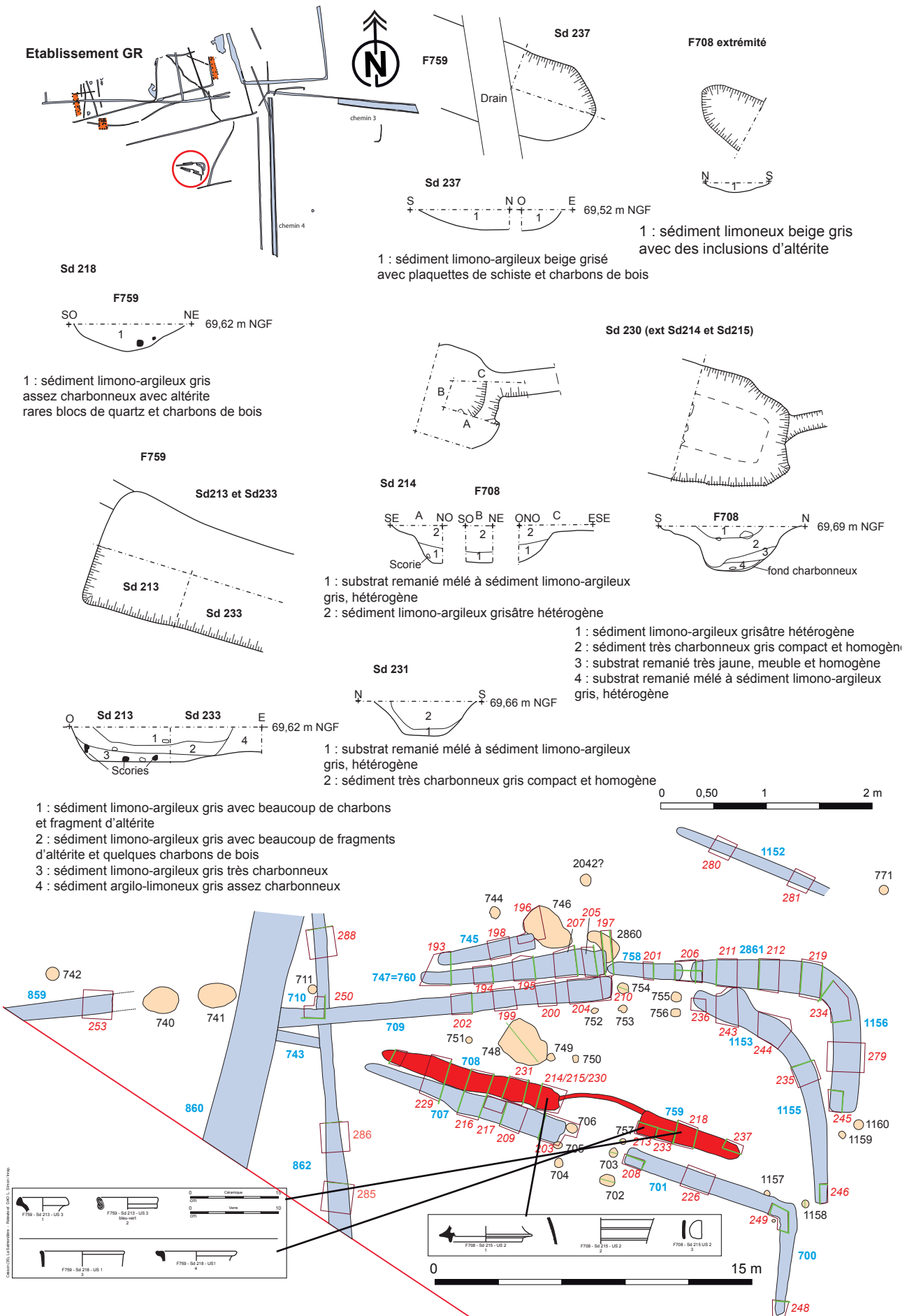


Fig. 255 : plan et coupes des fossés 759 et 708

extrémité ouest-nord-ouest à 0,42 m à l'opposé (fig. 255). Le profil est évasé avec un fond plat ou arrondi selon les sondages. Dans le sondage 229, la coupe montre que le fossé 708 recoupe le fossé 707. L'extrémité est-sud-est est abrupte alors que celle située à l'opposé ne fait que quelques centimètres, ne permettant pas de déterminer avec précision s'il s'agit d'une véritable interruption ou d'une érosion. Le comblement est principalement constitué d'un sédiment limono-argileux gris assez charbonneux avec des inclusions d'altérite, de rares blocs de quartz et du mobilier archéologique : céramiques et scories. Il recouvre de petites phases de sédiment de même nature mélangé au substrat et il est lui-même recouvert dans le sondage 230, d'un sédiment limono-argileux grisâtre hétérogène.

La fouille a livré du mobilier dont les marqueurs chronologiques déterminants se rapportent au I<sup>er</sup> siècle, certains à la période (augusto)-tibérienne, d'autres plus récents au cours du milieu/deuxième moitié du I<sup>er</sup> s :

- dans l'US<sub>2</sub> du sondage 215 : la présence de deux « vases-bobines » en terra nigra, l'un à panse lisse, l'autre à panse cannelée (Menez 125 et 126), situe le mobilier au cours de la période augusto-tibérienne (PL. 20 n°1-2).

Signalons encore un tesson de céramique commune sombre qui semble avoir été retaillé (forme semi circulaire) (PL. 20 n°3).

- dans l'US<sub>4</sub> du sondage 216 : un seul tesson est présent, un pot en terra nigra de forme Menez 148, production d'époque tibéro-claudienne.

- dans l'US<sub>2</sub> du sondage 231 : parmi un petit lot de céramique commune sombre se trouvent deux tessons de sigillée informes, l'un du Sud de la Gaule-La Graufesenque (v. 40-80), l'autre du Centre de la Gaule (v. 20-60). Notons encore un tesson d'amphore de Gaule Lyonnaise, à pâte orangée et cœur gris (I<sup>er</sup> siècle).

Parallèlement au fossé 708, avec à peu près les mêmes dimensions, se trouve le fossé 707.

#### Fossé 707

Il a été suivi sur une longueur de 10 m pour une largeur variant de 0,80 m à 1,12 m pour une profondeur conservée allant de 0,044 m en extrémité ouest-nord-ouest à 0,4 m à l'opposé (fig. 256). Le profil est évasé avec un fond plat ou arrondi selon les sondages. Dans le sondage 229, la coupe montre que le fossé 707 est recoupé par le fossé 708. Le comblement est principalement constitué d'un sédiment limoneux gris brun avec quelques fragments de charbons de bois. Il recouvre de petites lentilles de sédiment mélangé à du substrat. L'étude des NGF de fond, montre un léger pendage de l'ouest-nord-ouest vers l'est-sud-est, passant de 69,37 m à 69,20 m NGF. Ce qui donne 1,7 %, permettant ainsi un écoulement de l'eau.

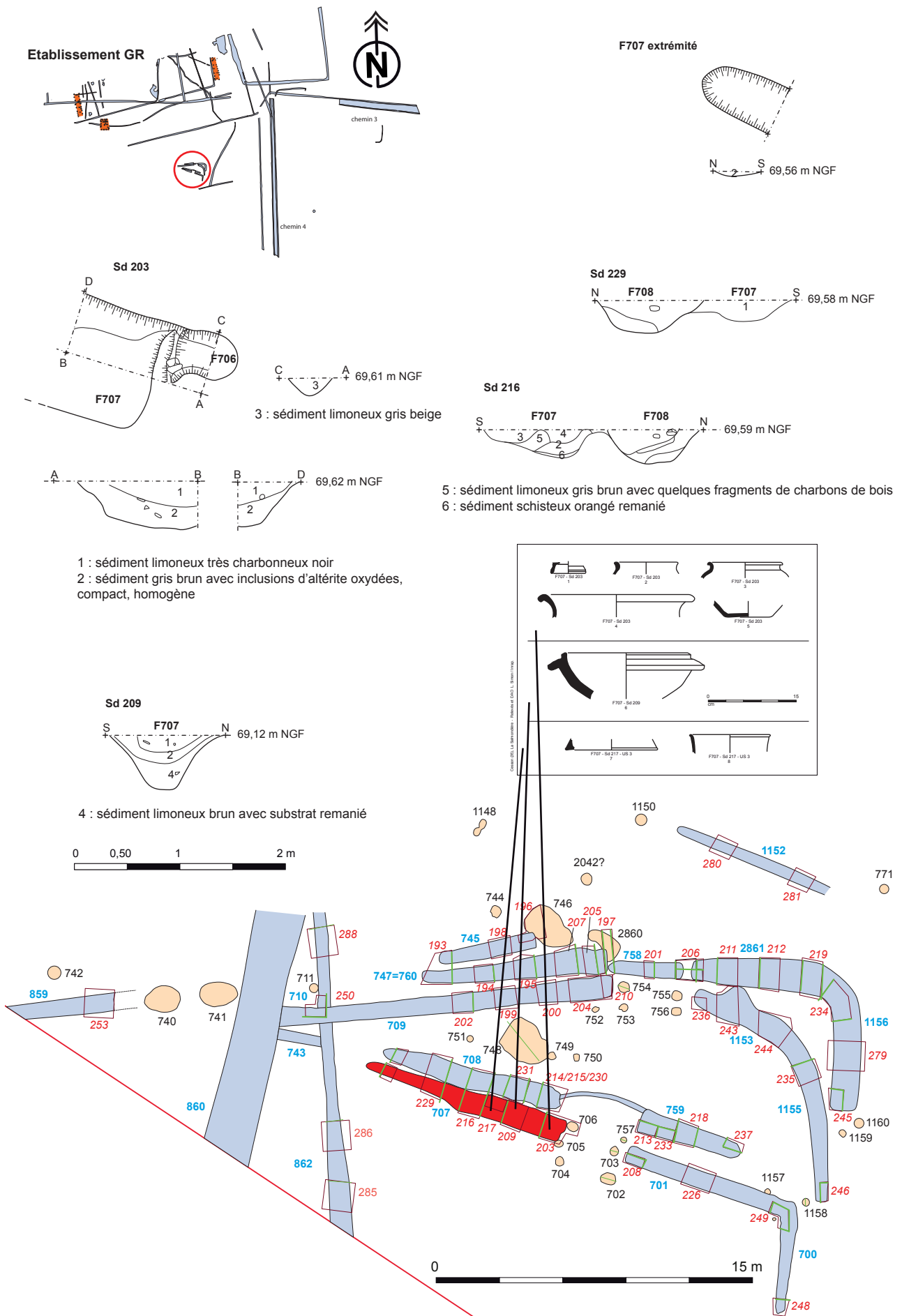
La fouille a livré du mobilier indiquant que ce contexte se rapporte au I<sup>er</sup> siècle, vraisemblablement milieu/deuxième moitié du I<sup>er</sup> siècle :

- dans le sondage 203 : sont présents quelques tessons de sigillée, sans que leur forme puisse être déterminée. Leurs caractéristiques correspondent aux productions du Sud de la Gaule-La Graufesenque (v. 40-80) et Centre de la Gaule (v. 20-60, coupelle PL. 20 n°1 et v. 40-90, forme indéterminée). Un tesson de terra nigra appartient à une paroi de « vase-bobine » Menez 126, habituel des horizons augusto-tibériens, voire claudiens. L'essentiel des tessons se rapporte à de la céramique commune sombre, avec 3 pots de différents gabarits à lèvre arrondie (PL. 20 n°2-5).

La céramique commune claire n'est pas déterminante ; signalons cependant un tesson de paroi perforée (usage de filtre).

- dans le sondage 209 : le mobilier se compose uniquement de céramique commune, dont un mortier à pâte claire à paroi épaisse (PL. 20 n°6).





- dans l'US<sub>3</sub> du sondage 217 : de ce petit lot d'une douzaine de tessons, on retiendra la présence de deux fragments de terra nigra : « vase-bobine » Menez 126 (période augusto-tibérienne **PL. 20 n°7**) et coupe carénée Menez 96 (de la période augustéenne aux années 80, **PL. 20 n°8**).

En vis-à-vis du fossé 707, se trouve le fossé 700-701.

#### Fossé 700-701

Parallèle au fossé 759, il est d'orientation ouest-nord-ouest/est-sud-est, puis forme un angle presque droit nord/sud. Il a été suivi sur une longueur de 8,47 m dans la partie 701 et 4,65 pour le retour 700 (**fig. 257**). La largeur est d'environ 0,80 m pour une profondeur conservée allant de 0,04 m en extrémité sud à 0,34 m en extrémité ouest-nord-ouest. Le profil est évasé avec un fond plat ou arrondi selon les sondages. L'extrémité ouest-nord-ouest est abrupte alors que celle située au sud ne fait que quelques centimètres, ne permettant pas de déterminer avec précision s'il s'agit d'une véritable interruption ou d'une érosion. Le comblement est principalement constitué d'un sédiment limono-argileux brun clair grisé avec charbons de bois, inclusions d'altérite, fragments de schiste et mobilier archéologique : céramiques et scories. Les NGF de fond n'ont que deux ou trois centimètres de différence, ce qui ne permet pas de déterminer un sens d'écoulement de l'eau.

La fouille a livré du mobilier céramique essentiellement dans le sondage 208 :

Il s'agit d'un petit lot de tessons, dominés par la céramique commune sombre. Les formes sont représentées par un couvercle à bord bifide (**PL. 19 n°1**) et des pots (**PL. 19 n°2-3**), dont un exemplaire à lèvre en crochet, non antérieur au milieu du I<sup>er</sup> siècle.

A nord-est de cet ensemble de fossés, se trouve le fossé 2861-1156.

#### Fossé 2861-1156

D'orientation ouest-est, il forme un angle droit nord/sud comme le fossé 700-701. Il a été suivi sur une longueur de 8,82 m dans la partie 2861 et 5,90 m pour le retour 1156 (**fig. 258**). La largeur varie de 1,22 à 1,30 m dans la partie 1156, alors qu'elle passe de 0,92 à 1,50 m dans la partie 2861. Les profondeurs varient de 0,38 à 0,47 m dans la première partie et 0,23 à 0,38 m dans la seconde. Le profil est évasé avec un fond arrondi. Le comblement est principalement composé d'un sédiment argileux très charbonneux gris noir compact avec céramiques et scories. Il est selon les sondages recouvert d'une couche de substrat remanié gris orangé très compact avec quelques blocs de quartz, grès et charbons de bois. Le NGF de fond présente un léger pendage constant partant du sondage 206 à la côte 69,52 m pour arriver progressivement à 69,15 m dans le sondage 245. Cela donne une pente à plus de 2,5 %, permettant l'écoulement de l'eau.

La fouille a livré :

- dans l'US<sub>4</sub> du sondage 211 un tesson de terra nigra suggérant le I<sup>er</sup> siècle
- dans l'US<sub>8</sub> du sondage 211 le mobilier comporte un bord de cruche à pâte brune du Val de Loire, dont la forme à lèvre ronde évoquant les amphores G<sub>4</sub> suggère une datation non antérieure aux années 50/60. Notons également la présence de tessons d'amphore à huile Dr. 20 du sud de l'Espagne.
- dans l'US<sub>4</sub> du sondage 212, un bord de pot en céramique commune sombre à lèvre en crochet est caractéristique des productions régionales du milieu du I<sup>er</sup>-II<sup>e</sup> siècle.

Dans le prolongement du fossé 2861-1156, à moins d'une trentaine de centimètres, se trouve le fossé 758.

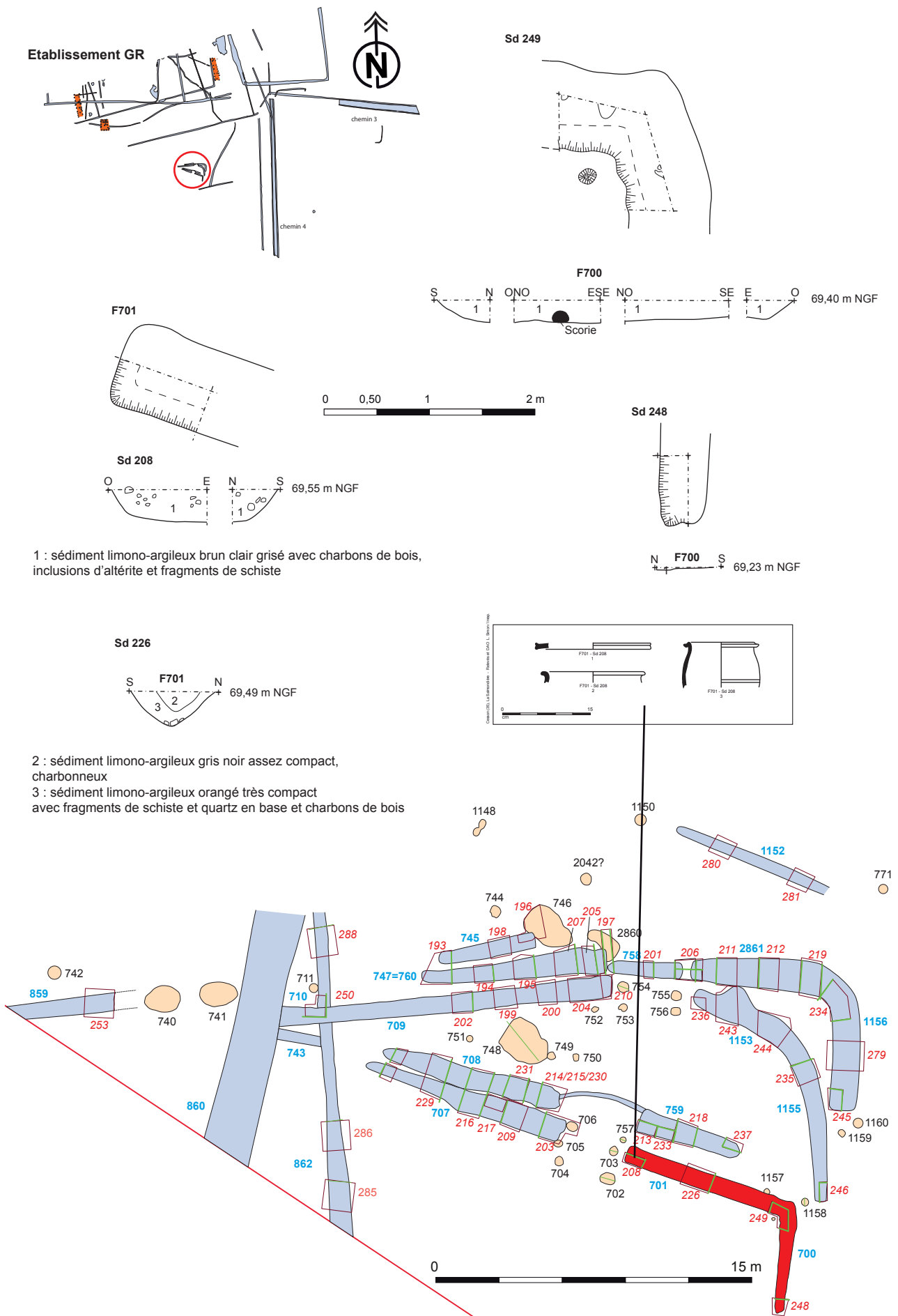


Fig. 257 : plan et coupes du fossé 700-701

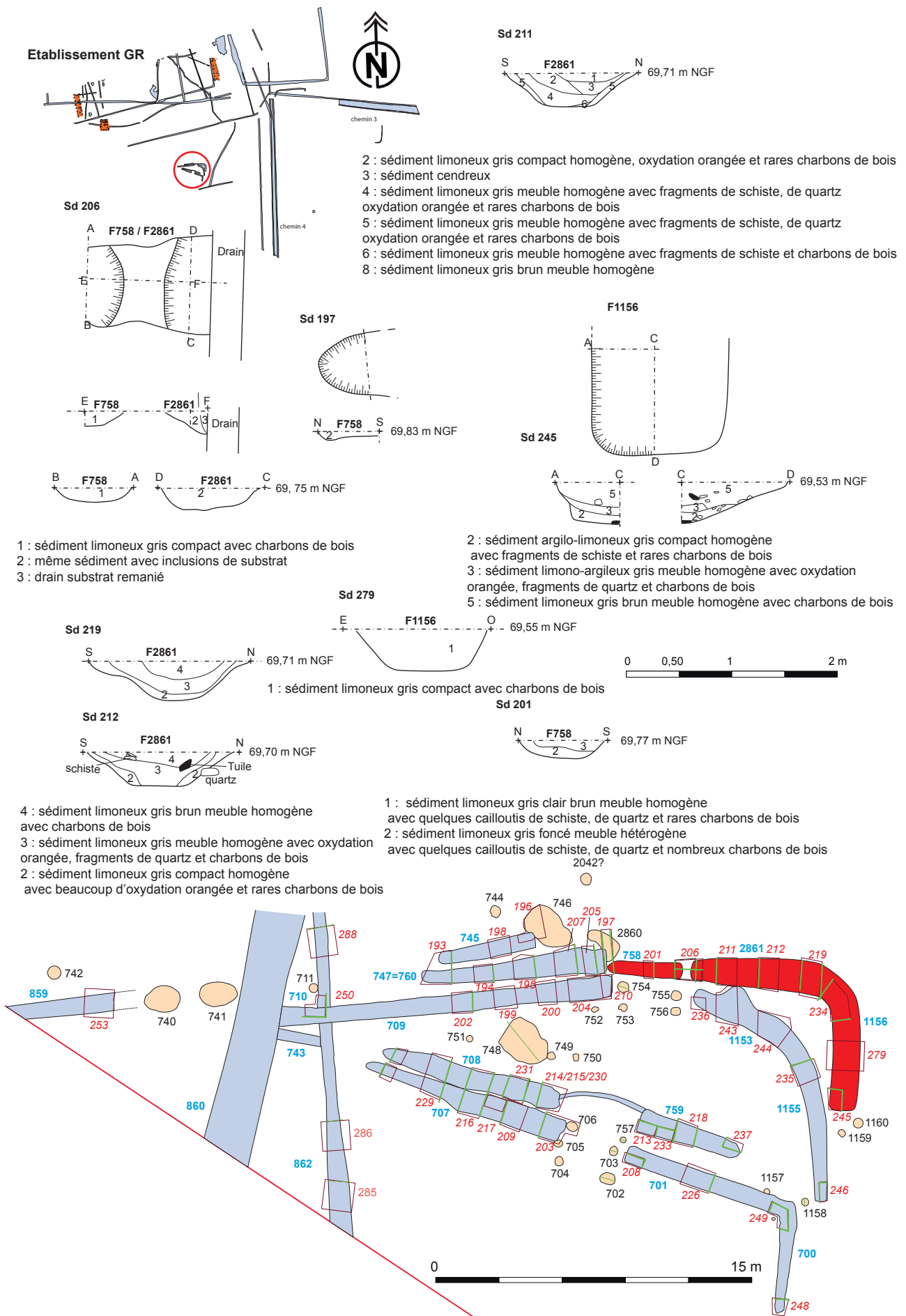


Fig. 258 : plan et coupes du fossé 1156-2861 et 758

**Fossé 758**

D'axe ouest-est, il a été suivi sur une longueur de 3,67 m pour une largeur variant de 0,58 à 0,78 m et une profondeur conservée allant de 0,08 à 0,17 m (fig. 258). Très arasé, les parois sont évasées et le fond est arrondi. Le comblement est constitué d'un sédiment limoneux gris compact avec des charbons de bois. La faible longueur ne permet pas d'établir un sens d'écoulement.

La fouille a livré deux tessons d'assiette du Service A en sigillée du Sud de la Gaule-La Graufesenque (v. 60-120).

En vis-à-vis de ces fossés 2861-1156 et 758 se trouve le fossé 747-760.

**Fossé 747-760**

D'orientation est-nord-est/ouest-sud-ouest, il a été suivi sur une longueur de 8,80 m pour une largeur variant de 0,80 à 1,40 m (fig. 259). La profondeur conservée allant de 0,10 à 0,36 m. Le profil est évasé avec un fond arrondi. Le comblement est principalement composé d'un sédiment argileux très charbonneux gris noir compact avec céramiques et scories. Les NGF de fond n'évoluant pas de manière progressive, il n'y a pas de sens d'écoulement.

Ce fossé recoupe la fosse gauloise 2860.

La fouille a livré un tesson de terra nigra suggérant une datation couvrant les trois premiers quarts du I<sup>er</sup> siècle.

Ce fossé est doublé sur sa façade nord par le fossé 745.

**Fossé 745**

D'orientation nord-est/sud-ouest, il a été suivi sur une longueur de 8,80 m pour une largeur variant de 0,80 à 1,40 m (fig. 259). La profondeur conservée allant de 0,10 à 0,36 m. Le profil est évasé avec un fond arrondi. Le comblement est principalement composé d'un sédiment argileux très charbonneux gris noir compact avec céramiques et scories. Les NGF de fond n'évoluant pas de manière progressive, il n'y a pas de sens d'écoulement.

Ce fossé recoupe la fosse non datée 746.

Au sud du fossé 747-760 se trouve le fossé 709.

**Fossé 709**

D'orientation est-nord-est/ouest-sud-ouest, il a été suivi sur une longueur de 15,72 m pour une largeur variant de 0,27 à 0,54 m (fig. 260). La profondeur conservée allant de 0,75 à 0,82 m. Le profil est évasé avec un fond arrondi mais en extrémité est-nord-est, le bord est abrupt et le fond pratiquement plat. Le comblement est principalement composé d'un sédiment argileux très charbonneux gris noir compact avec céramiques et scories. Comme le montre la figure 262, il est plus stratifié dans le sondage 204.

Les NGF de fond variant de manière progressive de l'ouest vers l'est avec une pente de plus de 3 %, il est donc possible d'envisager un écoulement de l'eau dans ce sens.

La fouille a livré de rares indices mobiliers découverts dans le comblement de cette structure suggérant une datation au cours de la deuxième moitié du I<sup>er</sup> siècle.

- en décapage, le mobilier se résume à un pot trapu sans col en terra nigra, datable des années 40-80.

- dans l'US2 du sondage 204 la découverte d'un col d'amphore de Gaule lyonnaise indique une datation couvrant la deuxième moitié du I<sup>er</sup>-II<sup>e</sup> siècle (PL. 20 n°4).

Le fossé 1153-1155 est situé face au fossé 709.

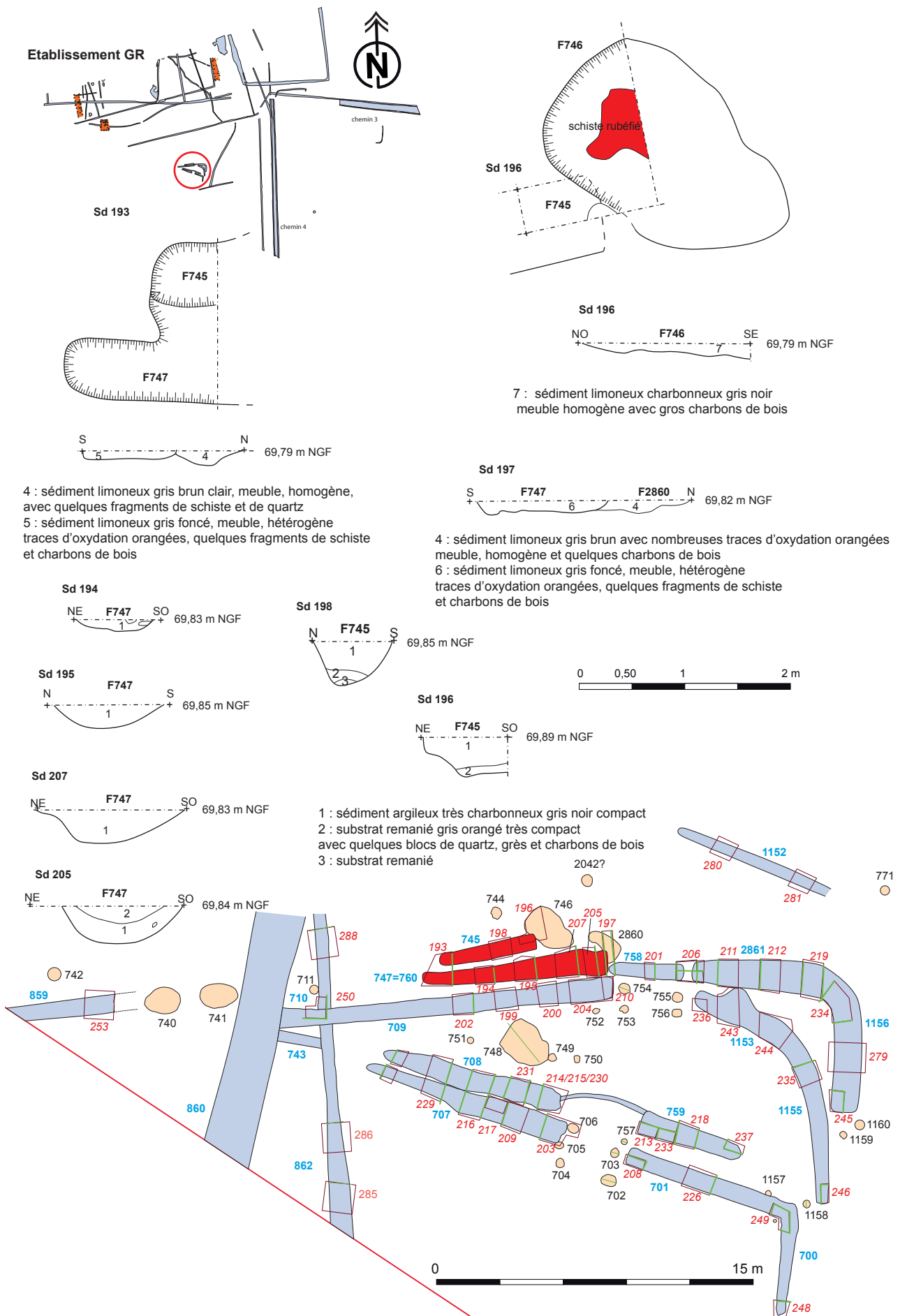


Fig. 259 : plan et coupes du fossé 747-760 et 745

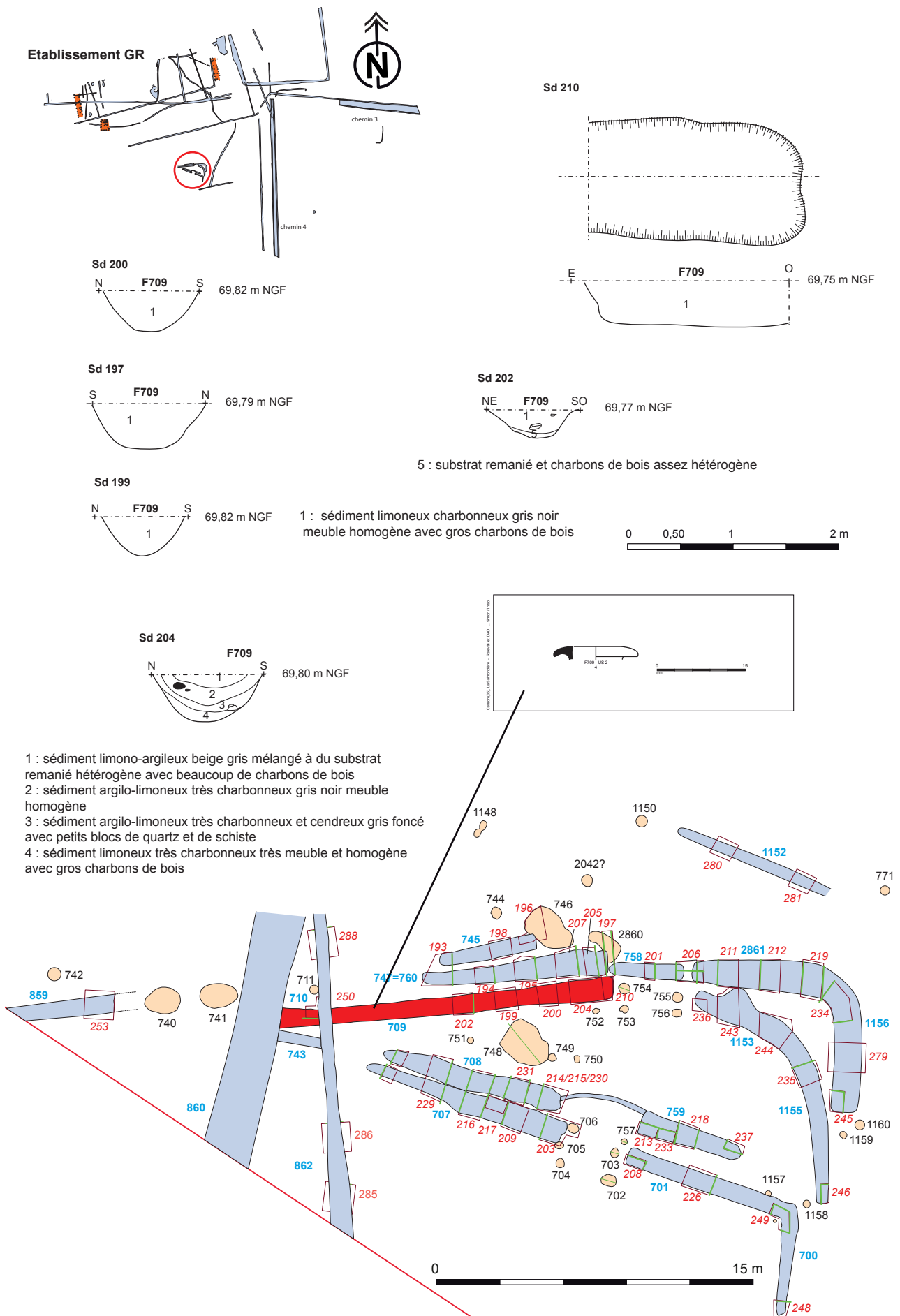


Fig. 260 : plan et coupes du fossé 709

### Fossé 1153-1155

D'orientation nord-ouest/sud-est dans sa partie 1153, il forme un angle presque droit nord/sud en 1155. Il a été suivi sur une longueur de 5,97 m dans la partie 1153 et 6,95 pour le retour 1155 (fig. 261). La largeur est en moyenne de 1 m pour une profondeur conservée variant de 0,12 à 0,38 m. Le profil est évasé avec un fond plat ou arrondi selon les sondages. Le comblement principal est un sédiment limoneux beige gris cendré hétérogène avec beaucoup de charbons de bois.

Un élargissement visible dans le sondage 243, correspond vraisemblablement à une petite fosse recoupée par ce fossé. Les NGF de fond ne variant que de quelques centimètres, il n'est pas possible de déterminer un sens d'écoulement.

La fouille a livré 1 tesson de commune claire et 1 tesson de commune sombre.

### En résumé

Nous ne connaissons pas la fonction primaire de ces fossés mais ils présentent un certain nombre de facteurs communs. En effet ce petit ensemble est très localisée, avec des segments parallèles, des retours pour certains en façade est ainsi qu'un même comblement du I<sup>er</sup> siècle avec des scories. Le tout à proximité immédiate de la fosse 748 qui semble correspondre à l'emplacement du foyer de forge. De part leurs dimensions, ces fossés ne correspondent pas à des tranchées de fondation de bâtiments. Le peu de pendage discernable va de l'ouest vers l'est. Ces structures ont peut être servi à piéger de l'eau nécessaire à une activité artisanale ?

Des séries de trous de poteaux semblent s'arrêter en extrémité de ces fossés comme si ces creusements constituaient des auvents ou des petits appentis de protection. Cependant il est possible également de les regrouper en un seul bâtiment d'environ 9 m de longueur selon un axe nord-est/sud-ouest sur une largeur de 2,75 m (fig. 262). Environ une dizaine de trous de poteaux pourraient correspondre à cette construction. Les creusements varient de 0,30 à 0,74 m pour des profondeurs conservées allant de 0,09 à 0,23 m. Les trous de poteaux F704, 754 et 756 ont livré de la scorie dans leur comblement, ce qui semble indiquer qu'ils ont été rebouchés en même temps que les fossés, soit à la fin du I<sup>er</sup> siècle. F755 a livré un calage de pierre.

Ce genre de petit édifice peut correspondre à une structure légère utilisée dans le cadre d'une activité artisanale.

En plus du mobilier céramique comme nous avons pu le voir assez abondant dans le comblement de ces fossés (cf. § étude mobilier antique par L. Simon), la fouille a également livré plus de 70 kg de résidus de métallurgie, se répartissant en 750 fragments de scories de forge et plus de 300 culots de forge (cf. § Étude paléométallurgique par N. Zaour). Il faut y ajouter des fragments de parois de fours et d'évent. A noter que les parois de four sont localisées de manière préférentielle dans les segments de fossés 759, 1153-1155 et 1156-2861, soit plus dans la partie est de cette petite zone.

Il faut également ajouter un important lot d'objets métalliques (plus de 1,3 kg) trouvé au fond de ces structures (cf. § Étude des objets métalliques par S. Barbeau). Il se compose surtout de fragments de clous ou de tiges et barres ainsi que de petites plaques métalliques et d'un anneau, le tout représentant un total de 62 objets.

De nombreux prélèvements de charbons de bois ont été réalisés dans ces fossés (747 et 2861) ainsi que dans l'un des deux foyers 748. Il est à noter que : « ... le *chêne caducifolié* est le taxon dominant car il représente 99,5 % de l'ensemble des lots ... utilisé sous forme de bûches de taille importante. Les charbons de la fosse de rejet présentent des traits particuliers de combustion assez représentatifs des charbons que



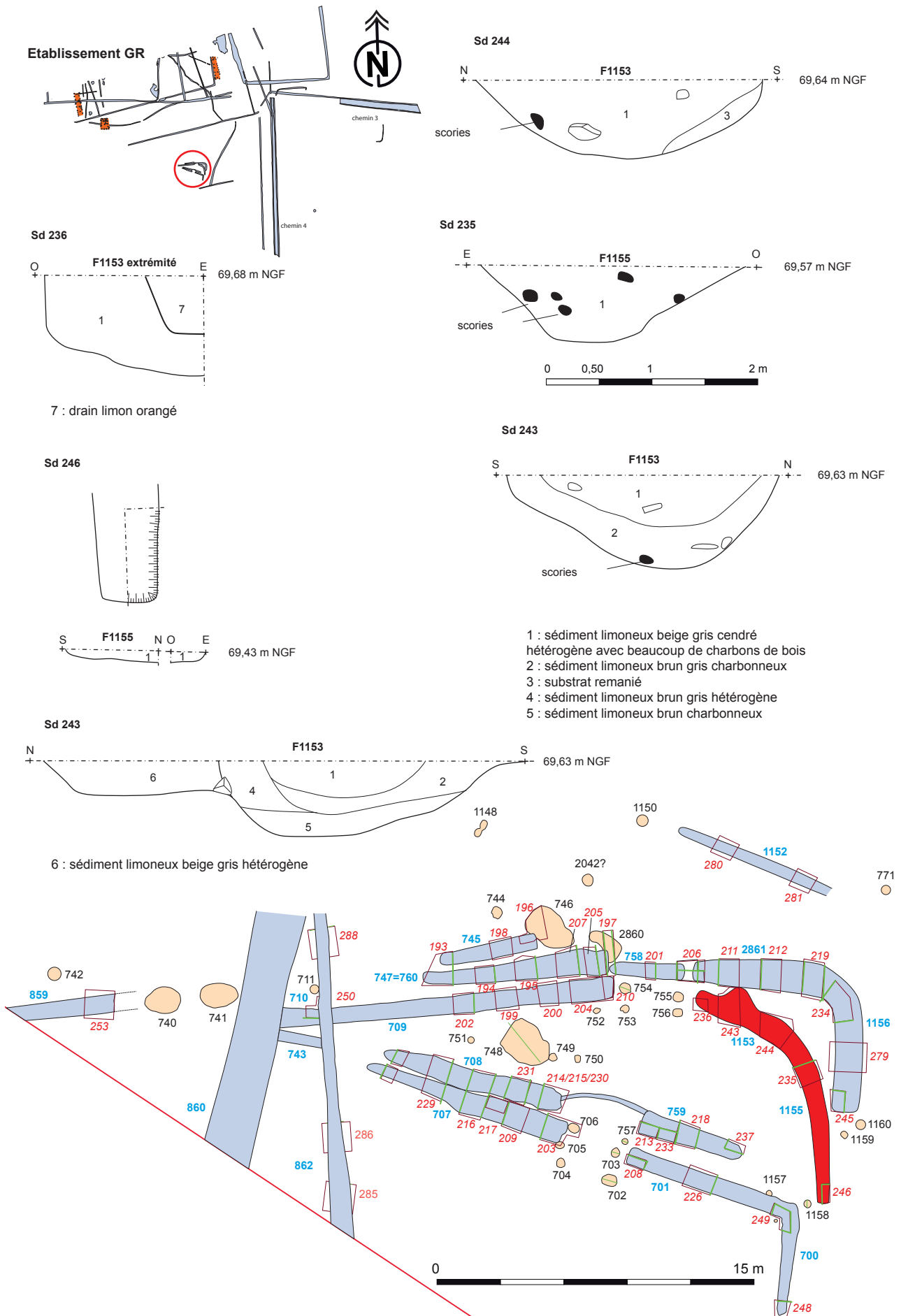


Fig. 261 : plan et coupes du fossé 1153-1155

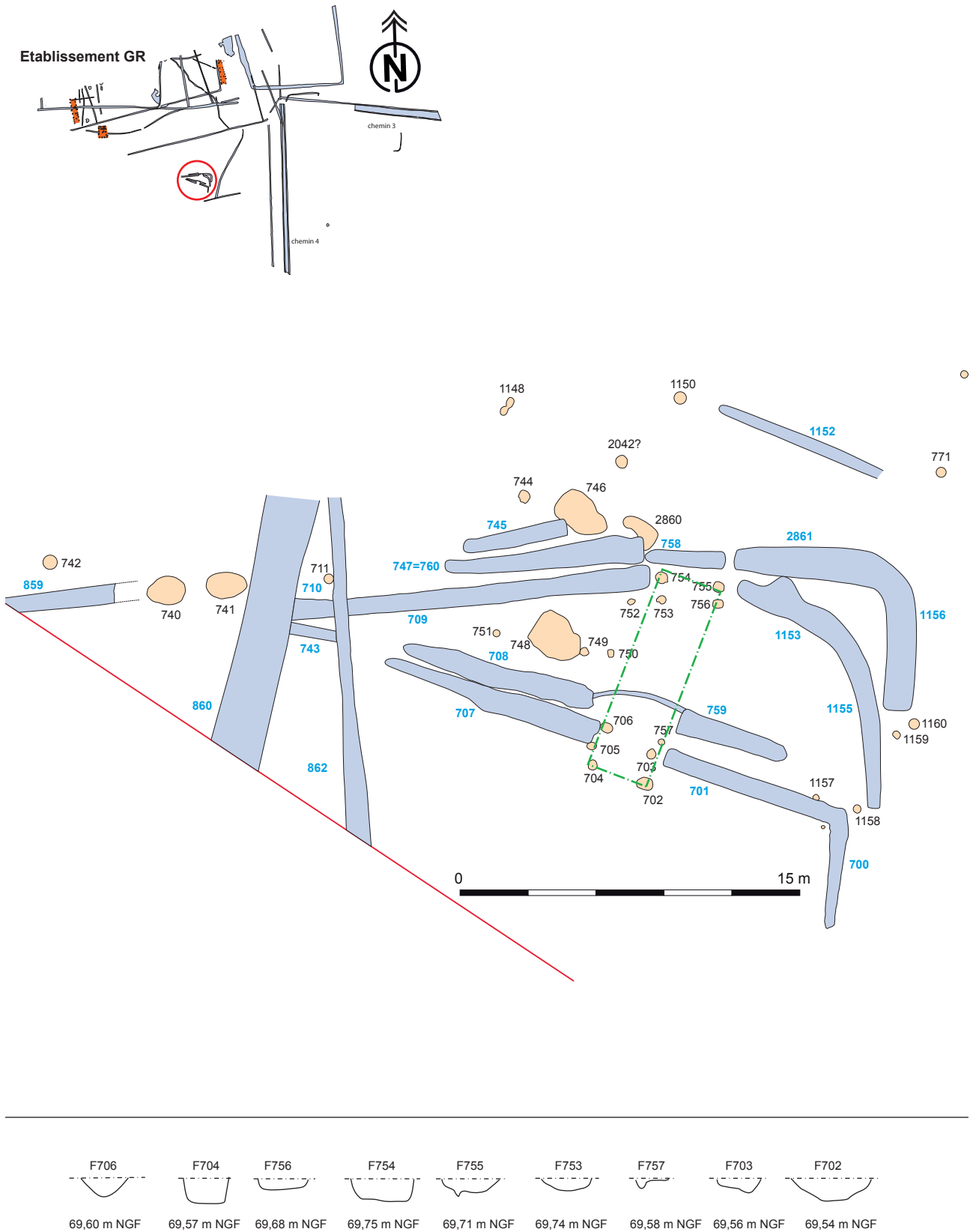


Fig. 262 : plans et coupes des trous de poteaux du possible bâtiment dans la zone de forge

*l'on retrouve en contexte d'une activité métallurgique.* » (cf. § Étude anthracologique par H. Seignac).

#### *Foyers*

Deux fosses très arasées ont été assimilées aux foyers de forge, cela semble être confirmé par la présence de battitures. Il s'agit des fosses 746 et 748.

#### **Fosse 746**

C'est une fosse ovale de 2,45 m de longueur par 1,50 m de largeur et conservée sur une profondeur de 0,14 m (fig. 263). Seul le quart nord-ouest a été fouillé. Il montre une zone rubéfiée en partie centrale. Les parois de la fosse sont évasées et le fond est irrégulier. Le comblement est constitué d'un sédiment limono-argileux meuble noir comportant de gros charbons de bois. Cette fosse est située à proximité du fossé 745 et l'extrémité nord-est de ce dernier la recoupe.

La fouille a livré 959 gr. de masse métallique correspondant à un culot de forge et une scorie de forge ainsi qu'un grand clou de 36 gr.

#### **Fosse 748**

C'est une fosse ovale de 2,20 m de longueur sur 1,65 m de largeur pour une profondeur conservée de 0,12 m (fig. 264). Pour la fouille, un carroyage a été mis en place sous forme de carrés de 0,50 m et un relevé de l'ensemble a été réalisé après une première passe de 0,10 m d'épaisseur. Cette opération a permis de récupérer de nombreuses battitures dans chaque carré. Au centre se trouve une zone charbonneuse de plan presque quadrangulaire d'environ 1,30 m de longueur sur 1,10 m de largeur entourée d'une zone rubéfiée. La partie centrale charbonneuse est légèrement surcreusée sur 6 cm.

La fouille a livré 1 tesson de céramique de terra nigra ainsi 13 culots de forge et 4 fragments de scorie de forge représentant un poids de 750 gr. Il faut y ajouter un clou et de la paroi de four scorifiée.

Dans l'état actuel des recherches nous ne connaissons pas l'activité principale de ces foyers de forge mais d'après les observations de l'étude métallurgique, il semble s'agir : « ... *d'un atelier de forge mixte produisant à la fois pour le domaine et pour une demande locale* » (cf. § Étude paléométallurgique par N. Zaour).

#### **Conclusion**

Un domaine agricole, ferme ou villa s'implante au I<sup>er</sup> siècle sur le site. Il est composé d'un grand enclos, de bâtiments sur poteaux ainsi que d'une forge. Il est accompagné d'un ensemble parcellaire qui se met en place au I<sup>er</sup> siècle de notre ère avec une orientation privilégiée nord-nord-est/sud-sud-ouest, espacé d'environ 33 m avec un cloisonnement plus ou moins perpendiculaire. Dans la partie ouest du site, il semble reprendre un parcellaire plus ancien, d'époque gauloise. Ce parcellaire se poursuit jusqu'au II<sup>e</sup> siècle avec des ruptures d'axes, s'orientant plus nord-ouest/sud-est. Il est difficile d'établir une chronologie précise de cette évolution du parcellaire car l'érosion importante ne permet pas toujours d'établir des relations de chronologie relative. De plus, le mobilier est le plus souvent présent en faible quantité et apparaît majoritairement en surface des fossés lors du décapage.

Nous pouvons simplement constater que le domaine antique s'installe dès le I<sup>er</sup> siècle, sans tenir compte des installations gauloises, puisque l'enclos principal de l'ensemble 1 gaulois est complètement comblé et traversé par les fossés antiques.

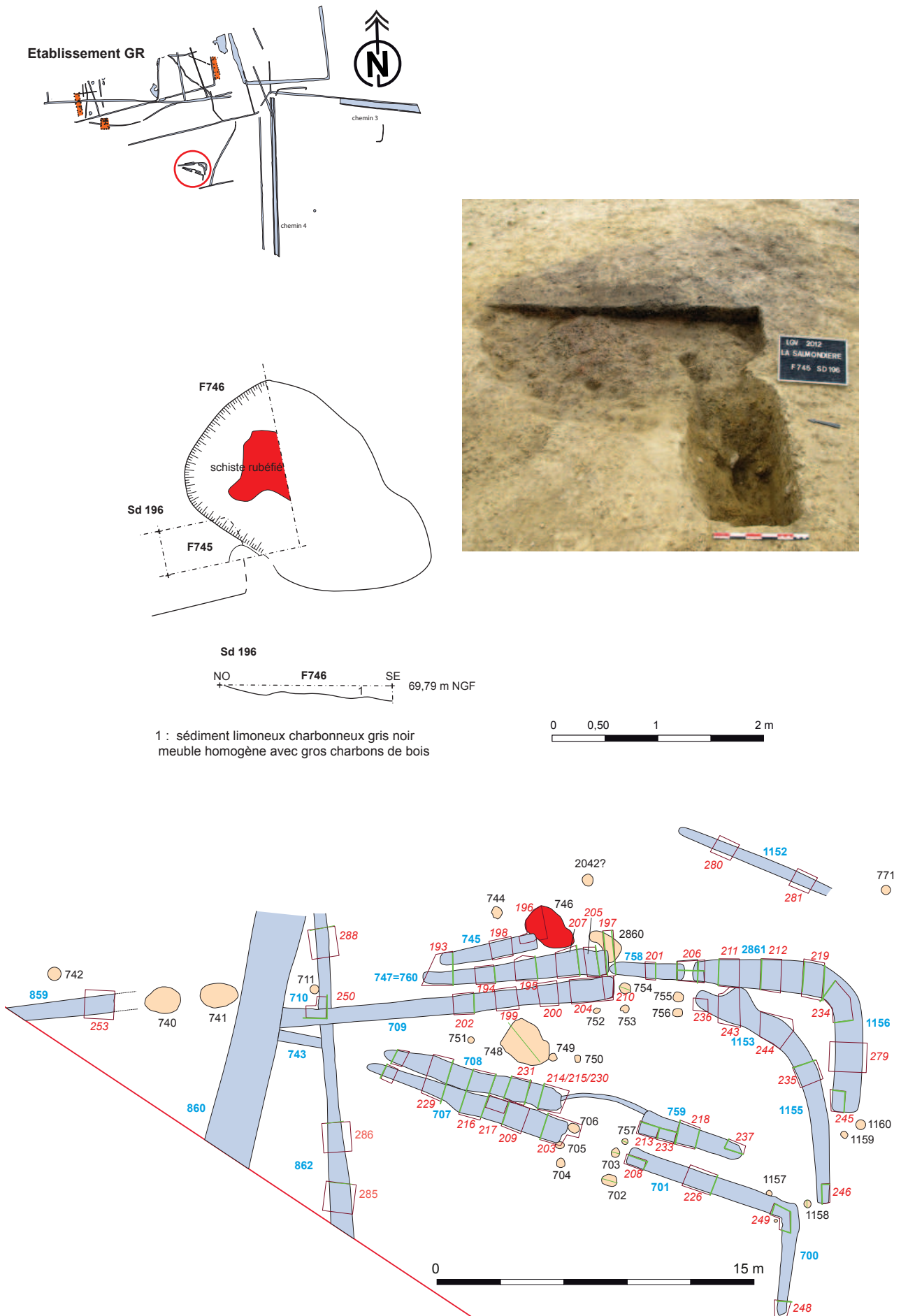


Fig. 263 : plan, coupe et photo de la fosse foyer de forge 746 © cliché équipe de fouille

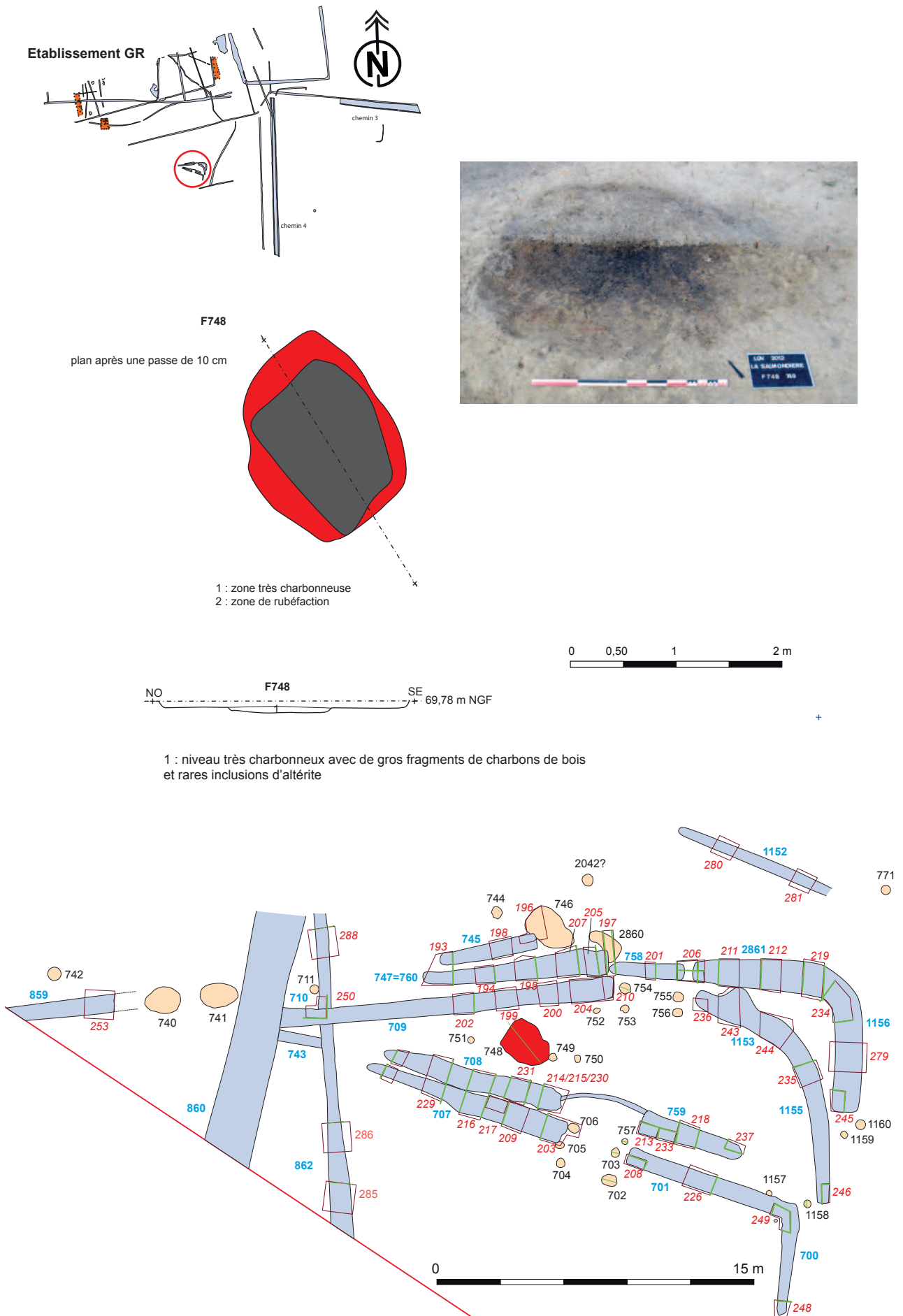


Fig. 264 : plan, coupe et photo de la fosse foyer de forge 748 © cliché équipe de fouille



1



2

Fig. 265 : 1 : vue de l'ouest de l'ensemble des sondages dans la fossés de la zone de forge, 2 : détail de la coupe d'un sondage © cliché équipe de fouille

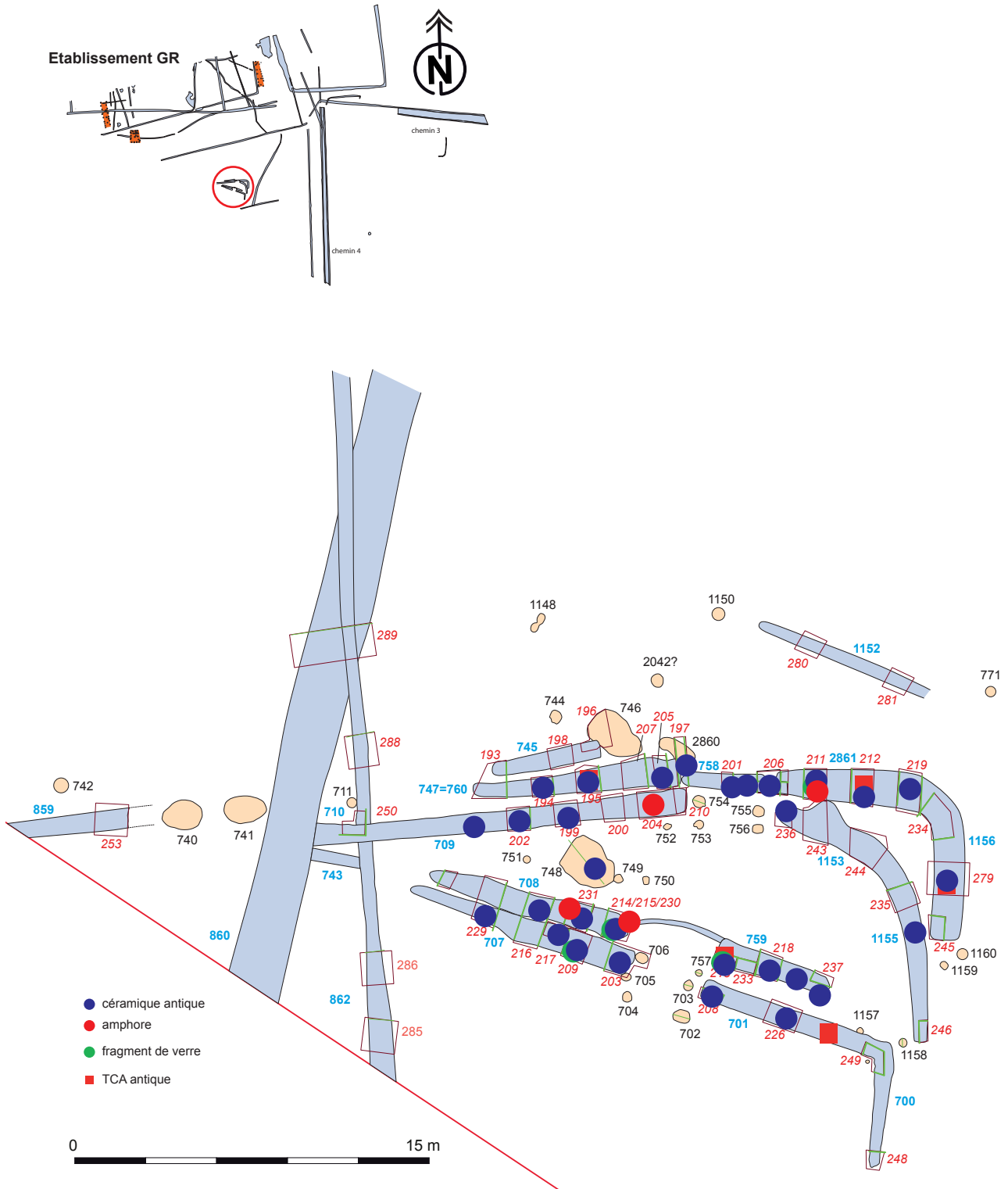


Fig. 266 : plan de localisation du mobilier céramique, amphore, verre et TCA dans la zone de forge

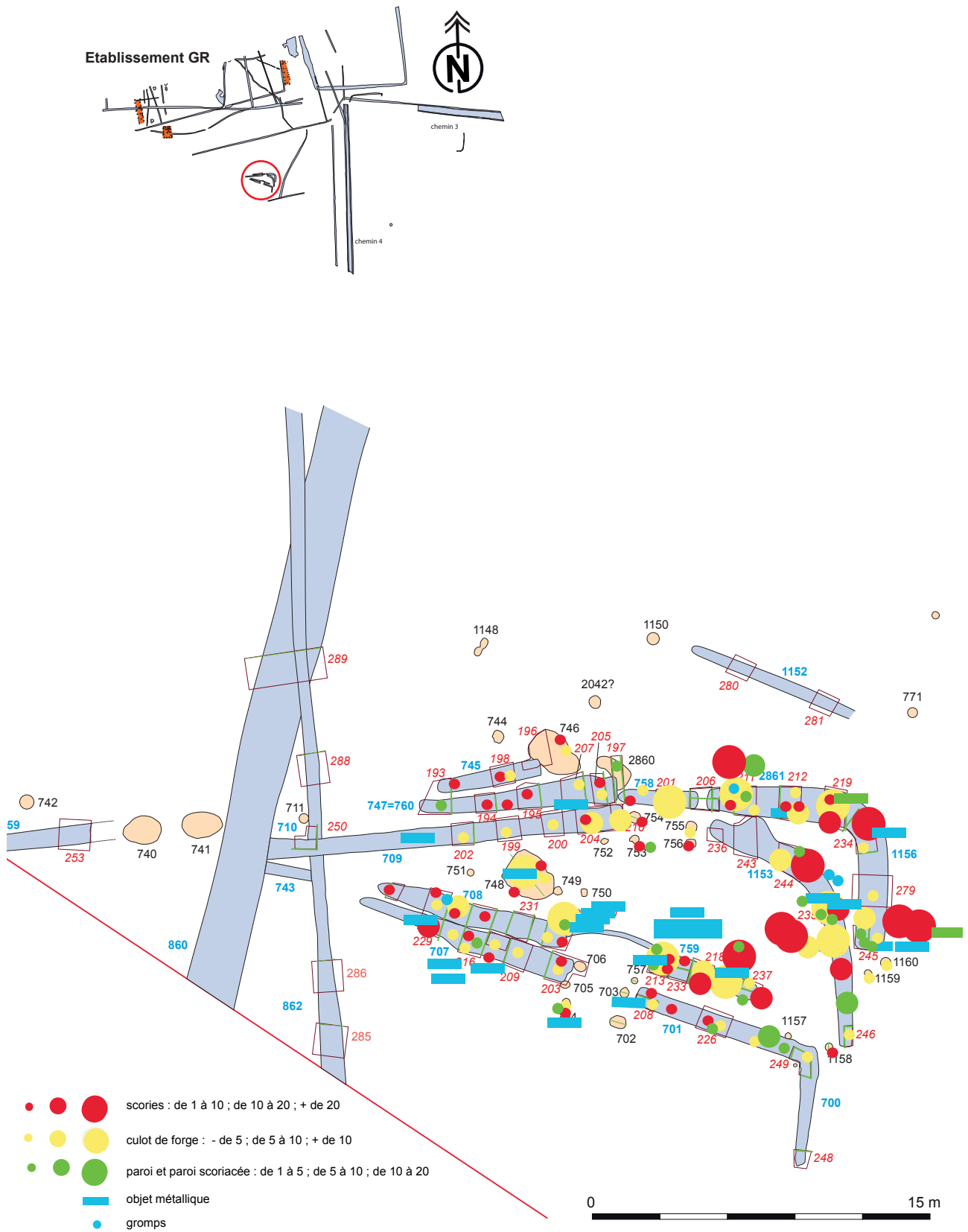


Fig. 267 : plan de localisation des scories et du mobilier métallique dans la zone de forge



### 2.3.3. Étude céramique antique par L. Simon (avec la collaboration de R. Delage)

#### 2.3.3.1. Données générales<sup>1</sup>

De façon générale, le mobilier céramique est représenté par des tessons relativement fragmentés, en position de rejet, disséminés dans le comblement de nombreuses structures, composant à chaque fois des lots de taille réduite. Dès lors, les informations que l'on peut en extraire restent indicatives

(fig. 268).

Les artefacts les plus précisément datant sont liés au mobilier d'importation. Ils sont représentés principalement par la sigillée, mais parfois aussi par des vases en paroi fine engobée, puis par de la céramique métallescente. Ils indiquent une occupation émergeant essentiellement à partir de la période claudienne, soit à partir des années 40/50. En effet, la catégorie des amphores n'est que faiblement représentée (fig. 269) et la quasi-absence (1 tesson, F634) des productions vinaires de Tarraconaise, si habituelles dans la région dans les premiers horizons gallo-romains, renforce l'hypothèse d'un ancrage chronologique non antérieur à la période claudienne. La modestie de la représentation de la vaisselle de table en terra nigra, ainsi que les composantes de son répertoire, vont également dans le même sens (4 tessons de « vases-bobines » augusto-tibériens Menez 125 et Menez 126, dans F707 et F708). De plus, rares sont les tessons de sigillée qui relèvent des productions de la période tibérienne (F861, F2021) ou tibéro-claudienne (F707, F708). Ainsi, si quelques témoignages tibériens existent, ils ne peuvent assurer que le site ait connu une réelle occupation à ce moment.

La fin de l'activité dans ce secteur est à situer à la fin du II<sup>e</sup> /début du III<sup>e</sup> siècle. Les éléments datant les plus fiables pour cette phase sont la sigillée et la céramique métallescente, importés alors uniquement des ateliers du Centre de la Gaule.

Par ailleurs, on notera que les éléments datant pour le II<sup>e</sup> siècle se situent surtout du milieu à la deuxième moitié du siècle, ceux de la première moitié étant plus faiblement attestés. Il reste cependant difficile d'estimer si cette moindre représentation a réellement une signification concernant l'occupation du site.

D'un point de vue général, le répertoire de la céramique correspond pour l'essentiel à des vases d'usage courant, en vogue dans le courant du Haut-Empire dans la région de Rennes (surtout des céramiques communes claires et communes sombres). On ne note pas de production spécifique, si ce n'est un vase miniature en céramique commune claire retrouvé au sein du fait F821.

Le mobilier non céramique est particulièrement limité : quelques tessons de récipients en verre, des fragments d'alliage cuivreux indéterminés et un clou en fer.

<sup>1</sup> La typologie de la terra nigra s'appuie sur le travail d'Yves Menez : Menez 1985, celle sur la sigillée sur Passelac, Vernhet 1993 et Bet, Delor 2000, celle sur le verre sur Isings 1957 et Rütli 1991.

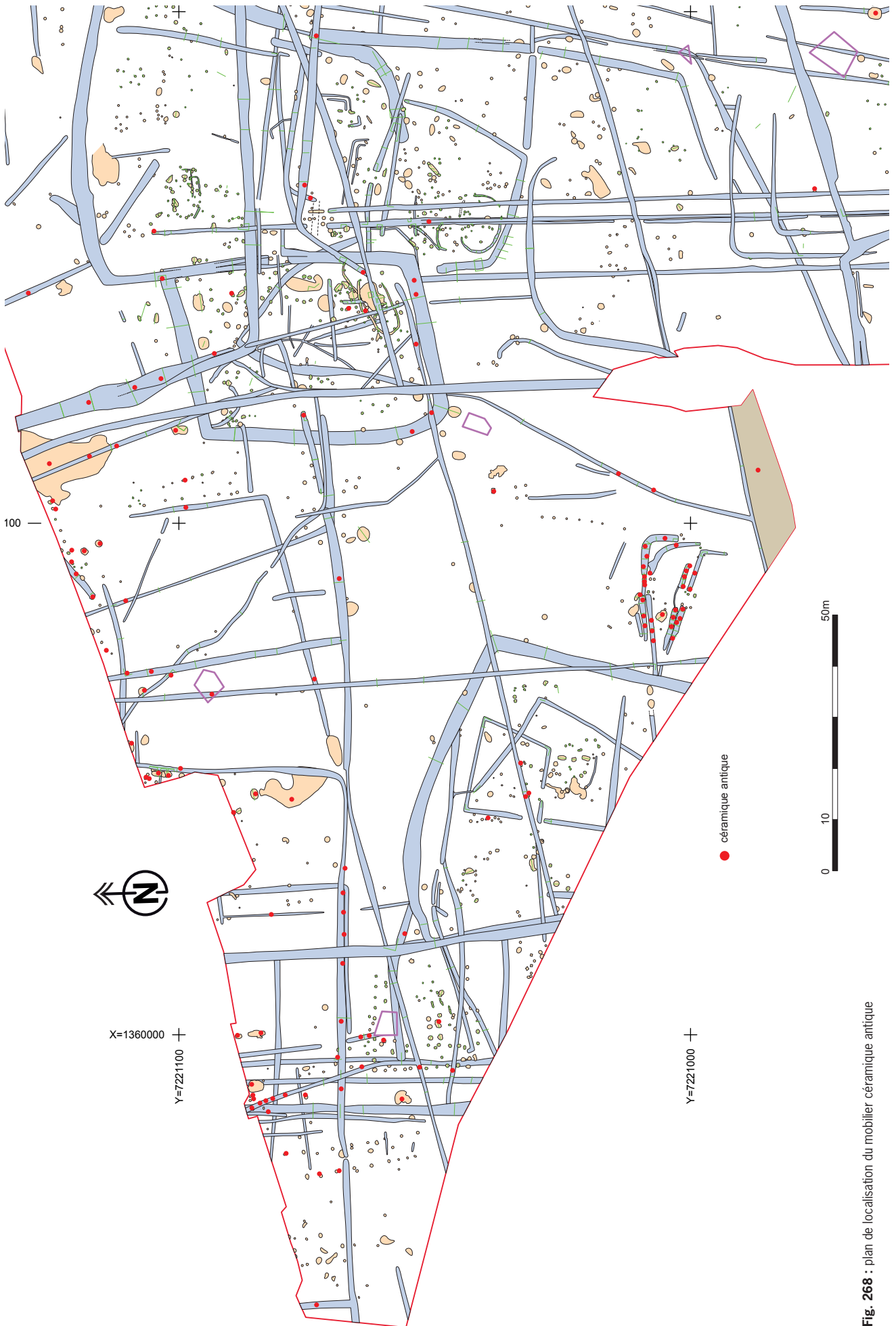


Fig. 268 : plan de localisation du mobilier céramique antique

## 2.3.3.2. Commentaire des structures ayant livré du mobilier céramique significatif

**F500**

Un lot extrêmement réduit de céramique, par ailleurs non déterminant, comprend un tesson d'assiette en sigillée du Centre Gaule, caractéristiques des productions des années 40-90.

**F604**

Le mobilier se limite à un tesson d'amphore vinaire italique, pouvant correspondre aux importations des I<sup>er</sup> siècles BC et AD (Dr. 1, Dr. 2-4).

**F623**

Le seul élément recueilli est un tesson très altéré de forme Menez 146 (v. 30/40-80). Il peut appartenir aux productions locales de céramique grise mi-fine (voire terra nigra).

**F633 (PL. 19)**

Le lot de céramique se marque par son hétérogénéité.

Si on trouve un peu de mobilier de la deuxième moitié du I<sup>er</sup> /début du II<sup>e</sup> siècle (sigillée du sud de la Gaule-La Graufesenque, v. 60-120, forme indéterminée), les marqueurs les plus précisément datant se réfèrent au courant du II<sup>e</sup> siècle. Il s'agit d'exemplaires de sigillée du Centre de la Gaule, de métallescente de première génération (même origine), ainsi que de formes de céramique commune sombre déterminantes : assiette L045 (v. 110-140), coupe Drag. 38 (v. 140-190) et assiette indéterminée (v. 140-240) en sigillée, gobelet ovoïde Déch. 68 en métallescente précoce (v. 140-180), pots à lèvre en crochet en céramique commune sombre (milieu du I<sup>er</sup>-II<sup>e</sup> siècle).

Mais une pièce en métallescente du Centre de la Gaule, correspondant aux productions des années 190-240, remet en cause cette première appréciation ; il s'agit d'un gobelet élané L312 ((PL. 19 n°1)). La présence de pots à lèvre étirée en céramique commune sombre (deuxième moitié du II<sup>e</sup> et III<sup>e</sup> siècle) confirme ce constat d'hétérogénéité.

On notera également la présence de tessons d'amphore à vin Gauloise 4 de Gaule Lyonnaise, Gauloise 3-5 de Gaule Narbonnaise, d'amphore à huile Dr. 20 du sud de l'Espagne (Haut-Empire).

La céramique modelée est présente par 2 pots à lèvre simple.

Enfin, un fragment à bord arrondi d'une coupelle, vraisemblablement de type Isings 42a / AR 80, est attesté en verre bleu-vert ((PL. 19 n°2)). Ce type est daté du dernier tiers du I<sup>er</sup> siècle au courant du III<sup>e</sup> siècle.

**F634 (PL. 19)**

Le mobilier peut être situé des années 30/40 à 60/70.

Il se compose de terra nigra, avec notamment une assiette carénée Menez 55 ((PL. 19 n°3)) et une paroi de coupe carénée (Menez 96 ?).

La céramique commune claire n'est pas déterminante, mais la céramique commune sombre comprend un bord d'assiette carénée caractéristique de cette période ((PL. 19 n°4)). Un bord de pot à lèvre en crochet correspond aux premières productions de ce type (PL. 19 n°7), tandis qu'on trouve également des pots à lèvre arrondie (PL. 19 n°6-8).

Un pot à lèvre éversée appartient aux productions non tournées (PL. 19 n°9).

La catégorie des amphores comprend un tesson caractéristique des conteneurs à vin de Tarraconaise, en usage au cours des périodes augustéenne et tibérienne. Il est associé à un tesson d'amphore de Gaule lyonnaise à pâte brune.

**F646**

Le mobilier comprend un tesson de céramique commune claire et un tesson de sigillée du Sud de la Gaule (La Graufesenque) de forme indéterminée, datable par ses caractéristiques techniques des années 40-90.

**F647 décapage**

Le mobilier se résume à quelques tessons, dont un fond d'assiette Lo54 en sigillée du Centre de la Gaule (v. 140-170). Il est accompagné de céramique commune sombre, dont un bord de grand pot à lèvre éversée, un bord d'assiette à extrémité rentrante.

**F647 Sd 303 US 1**

Le mobilier est peu déterminant, excepté un tesson de vase moulé Drag. 37 en sigillée du Centre de la Gaule (v. 140-170).

**F647 Sd 311**

A part quelques tessons de céramique commune sombre et non tournée, on note la présence d'une coupe en sigillée du Centre Gaule de type Curle 11 (v. 70-110).

**F678 décapage**

Le mobilier se résume à 2 tessons informes de sigillée du Sud de la Gaule-La Graufesenque (v. 60-120) et du Centre de la Gaule (v. 130-160).

**F701 Sd 208 (PL. 19)**

Le mobilier est restreint à un petit lot de tessons, dominés par la céramique commune sombre. Les formes sont représentées par un couvercle à bord bifide (PL. 19 n°1) et des pots (PL. 19 n°2-3), dont un exemplaire à lèvre en crochet, non antérieur au milieu du I<sup>er</sup> siècle.

**F707 (PL. 20)**

Les quelques indices céramiques déterminants dans le mobilier de ce fossé se rapportent au I<sup>er</sup> siècle, vraisemblablement au milieu/deuxième moitié du I<sup>er</sup> siècle.

**F707 Sd 203**

Le mobilier peut être daté du milieu/deuxième moitié du I<sup>er</sup> siècle.

Quelques tessons de sigillée sont présents, sans que leur forme puisse être déterminée. Leurs caractéristiques correspondent aux productions du Sud de la Gaule-La Graufesenque (v. 40-80) et Centre de la Gaule (v. 20-60, coupelle PL. 20 n°1 et v. 40-90, forme indét.).

Un tesson de terra nigra appartient à une paroi de « vase-bobine » Menez 126, habituel des horizons augusto-tibériens, voire claudiens.

L'essentiel des tessons se rapporte à de la céramique commune sombre, avec 3 pots de différents gabarits à lèvre arrondie (PL. 20 n°2-5).

La céramique commune claire n'est pas déterminante ; signalons cependant un tesson de paroi perforée (usage de filtre).

**F707 Sd 209**

Le mobilier se compose uniquement de céramique commune, dont un mortier à pâte claire à paroi épaisse (PL. 20 n°6).

**F707 Sd 217 US 3**

De ce petit lot d'une douzaine de tessons, on retiendra la présence de deux fragments de terra nigra : « vase-bobine » Menez 126 (période augusto-tibérienne PL. 20 n°7) et coupe carénée Menez 96 (de la période augustéenne aux années 80, PL. 20 n°8).

**F708 (PL. 20)**

Les marqueurs chronologiques déterminants pour ce fait se rapportent au

I<sup>er</sup> siècle, certains à la période (augusto)-tibérienne, d'autres plus récents au cours du milieu/deuxième moitié du I<sup>er</sup> siècle.

#### F708 Sd 215 US 2

La présence de deux « vases-bobines » en terra nigra, l'un à panse lisse, l'autre à panse cannelée (Menez 125 et 126), situe le mobilier au cours de la période augusto-tibérienne (PL. 20 n°1-2).

Signalons encore un tesson de céramique commune sombre qui semble avoir été retaillé (forme semi circulaire PL. 20 n°3).

#### F708 Sd 216 US 4

Un seul tesson est présent, un pot en terra nigra de forme Menez 148, production d'époque tibéro-claudienne.

#### F708 Sd 231 US 2

Parmi un petit lot de céramique commune sombre se trouvent deux tessons de sigillée informes, l'un du Sud de la Gaule-La Graufesenque (v. 40-80), l'autre du Centre de la Gaule (v. 20-60). Notons encore un tesson d'amphore de Gaule Lyonnaise, à pâte orangée et cœur gris (I<sup>er</sup> siècle).

#### F709 (PL. 20)

Les rares indices mobiliers découverts dans le comblement de cette structure suggèrent une datation au cours de la deuxième moitié du I<sup>er</sup> siècle.

#### F709 décapage

Le mobilier se résume à un pot trapu sans col en terra nigra, datable des années 40-80.

#### F709 US 2

La découverte d'un col d'amphore de Gaule lyonnaise indique une datation couvrant la deuxième moitié du I<sup>er</sup>-II<sup>e</sup> siècle. (PL. 20 n°4).

#### F747 Sd 207

La présence d'un tesson de terra nigra suggère une datation couvrant les trois premiers quarts du I<sup>er</sup> siècle.

#### F758 décapage

Signalons la présence de deux tessons d'assiette du Service A en sigillée du Sud de la Gaule-La Graufesenque (v. 60-120).

#### F759 (PL. 20)

Le comblement de ce fait est à situer au cours du I<sup>er</sup> siècle, à titre d'hypothèse au milieu/ deuxième moitié du siècle.

#### F759 Sd 213 US 3

La céramique se résume à quelques tessons de céramique commune, dont un bord de cruche à lèvre en bourrelet (PL. 20 n°1).

On signalera également le bord ourlé d'un pot en verre bleu-vert de type Isings 62 ou Isings 67b/c (PL. 20 n°2, des environs du milieu du I<sup>er</sup> siècle au courant du II<sup>e</sup> siècle).

#### F759 Sd 218 US 1

Le mobilier peut être situé au cours du milieu/deuxième moitié du I<sup>er</sup> siècle. On constate la présence de tessons de sigillée du sud de la Gaule-La Graufesenque, d'une assiette Drag. 18 (v. 40-60) et d'un vase indéterminé (v. 40-80), associés à une coupe carénée Menez 96 en terra nigra (I<sup>er</sup> siècle) (PL. 20 n°3) et à un pot à lèvre en crochet en céramique commune sombre (à partir du milieu du I<sup>er</sup> siècle) (PL. 20 n°4).

**F821 US 2 (PL. 23)**

Ce niveau a livré un petit lot de sigillée, provenant exclusivement du Centre de la Gaule. On distingue plusieurs vases moulés Drag. 37 (dont **PL. 23 n°2**, style de Paternus, v. 160-190 et 1 ex. de Cinnamus, v. 140-170). Les autres individus sont plus anciens : une coupe Loo8 (v. 80-110, **PL. 23 n°1**) et une assiette du I<sup>er</sup> siècle (v. 40-80).

La céramique commune claire compte quelques vases à collerette (**PL. 23 n°4**), mortiers (**PL. 23 n°5**) et une cruche représentée par son goulot. On notera également l'attestation d'un vase miniature retrouvé intact, avec un clou en fer dans son remplissage (**PL. 23 n°6**). La découverte de tels vases n'est pas fréquente, plutôt constatée dans la sphère culturelle (pour la région par exemple au sein d'un laraire à Corseul : Ferrette 2003, p. 125, pl. 50). Cet exemplaire ne trouve pas d'équivalent formel pour le moment.

La céramique commune sombre est représentée majoritairement par des pots, de formes et gabarits variés (**PL. 23 n°8-14**). On note également la présence d'une assiette à bord simple (**PL. 23 n°7**).

Quelques tessons de céramique non tournée montrent l'usage de cette catégorie technique au cours de la période gallo-romaine, avec notamment deux pots à bord simple éversé (**PL. 23 n°15-16**).

La catégorie des amphores compte un seul représentant, de production vraisemblablement régionale. Il s'agit d'un bord d'amphore Gauloise 4, destinée au transport du vin (**PL. 23 n°17**).

**F833 Sd 429**

La présence d'un tesson de terra nigra évoque le courant du I<sup>er</sup> siècle.

**F833 Sd 430**

Un tesson de sigillée du Sud de la Gaule (La Graufesenque) date des années 60-120.

**F861**

Le lot de mobilier se compose de tessons d'amphores liées aux I<sup>er</sup>-II<sup>e</sup> siècle : amphore à huile Dr. 20 d'Espagne (Bétique), amphore à vin de Gaule lyonnaise à pâte orangée et cœur gris.

**F861 Sd 345 (PL. 24)**

Une assiette Drag. 18 en sigillée de La Graufesenque date des années 20-50.

**F865**

Un bord de coupe carénée en terra nigra se rapporte au type Menez 96, daté de la période augustéenne aux années 80 de notre ère.

**F927 décapage**

Un bol moulé Drag. 37 en sigillée du Centre de la Gaule date des années 130 à 150.

**F965**

Un tesson de sigillée informe du Centre Gaule présente les caractéristiques des productions des années 140-190.

**F990**

Le mobilier recueilli dans ce comblement consiste uniquement en tessons de sigillée, qui évoquent une période allant du dernier tiers du II<sup>e</sup> siècle au premier tiers du III<sup>e</sup> siècle.

**F990 surface**

Un tesson de mortier en sigillée Curle 21 du Centre de la Gaule date des années 190-240.

**F990 F335**

Un bord de mortier de type Curle 21 en sigillée du Centre Gaule est caractéristique des productions des années 160-190.

**F990 F336 (PL. 24)**

Un bord de mortier Drag. 45 en sigillée du Centre Gaule date de 190-240.

**F1011**

Un tesson de sigillée informe du sud de la Gaule-La Graufesenque date des années 40-90.

**F1033-816 (PL. 21 et 22)**

Le mobilier recueilli dans les différents sondages réalisés au sein de cette structure évoque le milieu/deuxième moitié du II<sup>e</sup> siècle (surtout la deuxième moitié du siècle).

**F1033-816 Sd 181/189 (PL. 24)**

Ce lot de mobilier est relativement conséquent (243 tessons, 32 vases évalués).

Il possède notamment 7 vases en sigillée du Centre de la Gaule, dont la confrontation suggère une datation touchant la deuxième moitié du II<sup>e</sup> siècle et plus précisément les années 160-190.

On trouve 2 assiettes L043 (v. 140-190), une assiette L054 et un bol moulé Drag. 37 (même datation), ainsi que 2 mortiers Curle 21 et L096 (v. 160-190) (PL. 21 n°1-2).

La céramique commune claire compte 1 mortier (PL. 21 n°5) et des tessons de cruche, dont un bord (PL. 21 n°3), un fragment de récipient plus large (PL. 21 n°4) et un fragment de panse perforée d'un vase à usage de filtre.

La céramique commune sombre est une catégorie bien représentée, avec, comme souvent, un grand nombre de pots de différents modules (PL. 22 n°9-24), ainsi qu'au moins 2 assiettes (PL. 21 n°6-7) et 1 mortier (PL. 21 n°8).

La céramique non tournée est représentée par le bord d'un grand conteneur (PL. 22 n°25).

**F1033-816 Sd 190 (PL. 21)**

Le mobilier le plus précisément datant est représenté par des tessons de sigillée du Centre de la Gaule : il s'agit d'une assiette L045 (v. 130-150) (n°1) et d'un bol moulé Drag. 37 (v. 140-170).

La céramique commune claire est représentée par une cruche à lèvre en poulie (n°3), la commune sombre par un pot à lèvre épaissie éversée (n°2) et la céramique non tournée par une écuelle de faible diamètre (n°4).

**F1033-816 Sd 191 (PL. 21)**

Un tesson d'assiette en sigillée du Centre de la Gaule conforte une datation centrée sur le milieu/deuxième moitié du II<sup>e</sup> siècle (v. 140-190).

Notons également la présence d'un petit mortier à pâte claire (PL. 21 n°5), d'une écuelle et d'un pot en céramique commune sombre (PL. 21 n°6-7), ainsi qu'un pot à lèvre simple en céramique modelée (PL. 21 n°8).

**F1038 (PL. 24)**

On note la présence d'un tesson de sigillée du Centre de la Gaule aux caractéristiques techniques altérées, qui ne peut être daté (I<sup>er</sup>-II<sup>e</sup> siècle).

De ce fait provient également un vase en céramique commune sombre, qui a pu être remonté intégralement. Il s'agit d'un pot ovoïde à petite lèvre ronde, dont le type existe sur la longue durée au cours des I<sup>er</sup> et II<sup>e</sup> siècles (probablement guère au-delà du milieu du II<sup>e</sup> siècle).

**F1129**

Un fragment de bol moulé Drag. 37 en sigillée du Centre de la Gaule présente les caractéristiques des productions des années 130-150.

**F1172 (PL. 24)**

La présence d'une coupe carénée Menez 96 en terra nigra suggère une datation couvrant les trois premiers quarts du I<sup>er</sup> siècle.

**F1188 (PL. 24)**

La chronologie du mobilier de ce fait se situe à partir de la deuxième moitié du I<sup>er</sup> siècle.

Il est constitué d'un tesson de sigillée du sud de la Gaule datable des années 30-60, d'un tesson de couvercle en paroi fine engobée de même provenance (v. 60-150, **PL. 24 n°5**) et de céramique commune, notamment une écuelle en céramique à pâte sombre (**PL. 24 n°6**).

**F1192**

Ce fait a livré un tesson de sigillée informe du sud de la Gaule-La Graufesenque, datant des années 30-60, ainsi qu'un tesson de terra nigra (I<sup>er</sup> siècle).

**F1212**

Un tesson de terra nigra de forme indéterminée évoque le courant du I<sup>er</sup> siècle.

**F1237**

Un tesson de terra nigra suggère le I<sup>er</sup> siècle.

**F1401 Sd 383 US 2, Sd 459 US 21, Sd 455 US 1**

Signalons la présence de 5 tessons d'amphore vinicole d'Italie, pouvant correspondre aux importations des I<sup>er</sup> siècle BC et AD (Dr. 1, Dr. 2-4).

**F1401 Sd 389 US 1 et 2**

La présence d'un tesson de terra nigra suggère une datation couvrant les trois premiers quarts du I<sup>er</sup> siècle.

**F1401 Sd 389 US 3**

On note encore la présence d'un tesson de terra nigra

**F1510 décapage**

Ce fait a notamment livré un tesson de coupelle indéterminée en sigillée du sud de la Gaule-La Graufesenque, datant des années 40-80.

**F1696 Sd 361**

Quelques tessons de terra nigra informes suggèrent le courant du I<sup>er</sup> siècle.

**F2021 Sd 636**

Associé à quelques tessons de céramique commune claire se trouve un tesson de sigillée du Centre Gaule, qui est un fragment de bol moulé Drag. 29 du deuxième quart du I<sup>er</sup> siècle.

**F2046 Sd 261**

Le mobilier est restreint à un tesson d'amphore vinicole italique, pouvant correspondre aux importations des I<sup>er</sup> siècle BC et AD (Dr. 1, Dr. 2-4).

**F2046 Sd 528**

Quelques tessons de céramique commune côtoient un tesson de sigillée du sud de la Gaule-La Graufesenque, un fond d'assiette du Service A des années 60-120.

**F2847 Sd 1**

Le mobilier est très abîmé et parmi quelques tessons de céramique non déterminants se trouve un fragment de sigillée très érodé (Centre Gaule,



I<sup>er</sup> siècle ?). Notons également la présence d'un pot à lèvre en crochet en céramique commune sombre, non antérieur au milieu du I<sup>er</sup> siècle.

**F2856**

Parmi quelques tessons très érodés se trouvent deux tessons de sigillée informes fournissant, par leurs caractéristiques techniques, des indications très différentes : Sud de la Gaule-La Graufesenque v. 60-120 et Centre Gaule v. 140-190.

**F2861 Sd 211 US 4**

Un tesson de terra nigra suggère le I<sup>er</sup> siècle.

**F2861 Sd 211 US 8**

Le mobilier comporte un bord de cruche à pâte brune du Val de Loire, dont la forme à lèvre ronde évoquant les amphores G4 suggère une datation non antérieure aux années 50/60. Notons également la présence de tessons d'amphore à huile Dr. 20 du sud de l'Espagne.

**F2861 Sd 212 US 4**

Un bord de pot en céramique commune sombre à lèvre en crochet est caractéristique des productions régionales du milieu du I<sup>er</sup>-II<sup>e</sup> siècle.

**F2870**

Un fragment de bol moulé Drag. 37 en sigillée du Centre de la Gaule présente les caractéristiques des productions des années 170-210. Il est accompagné d'un tesson de terra nigra (I<sup>er</sup> siècle) et d'un tesson de céramique commune sombre.

**F2887 Sd 323**

Un très petit tesson de sigillée correspond à une production du sud de la Gaule, des années 30-60. Mentionnons également un bord de pot à lèvre éversée en céramique commune sombre.

**F2897 Sd 442**

Ce sondage a livré des fragments d'un pot en céramique commune sombre de profil étiré avec une lèvre simple, évoquant le courant du II<sup>e</sup> siècle. Il est accompagné d'un tesson informe de sigillée du sud de la Gaule, daté v. 40-90, vraisemblablement résiduel.

**F2897 Sd 443**

Ce sondage a livré un tesson de céramique commune claire et deux tessons de sigillée d'une assiette L043 du Centre Gaule, datée v. 140-190.

**F2903 Sd 465 surface**

Un tesson de céramique commune sombre présente un profil d'assiette carénée à rapprocher du type Menez 55 en terra nigra. Par sa forme et ses caractéristiques techniques, il peut être daté du deuxième quart/milieu du I<sup>er</sup> siècle.

**Intersections****F635 et F847 Sd 309**

Un bord d'assiette du Service A en sigillée du Centre Gaule date des années 110-130.

**F1156 et F2861 Sd 234**

Un tesson de terra nigra évoque le I<sup>er</sup> siècle, tandis qu'un tesson de coupe à collerette en céramique commune claire reprenant la forme Menez 118 suggère les années 30/40 à 70/80.

**F644 et F2886 et F2887 Sd 322 (surface)**

Parmi des tessons de céramique commune non déterminants, signalons la présence de sigillée qui se réfère en dernier lieu au deuxième quart du II<sup>e</sup> siècle : du Centre Gaule, un bol moulé Drag. 37 (v. 110-130), une coupelle Lo44

(v. 130-150), une assiette Lo54 (v. 130-150) ; du Sud de la Gaule, une assiette du Service A (v. 60-120).

F644 et F2886 et F2887 Sd 322

Un tesson d'assiette en sigillée du Centre Gaule confirme cette proposition chronologique touchant le deuxième quart du II<sup>e</sup> siècle.

**2.3.4. Le verre**

Le site a livré un petit lot de 11 fragments de verre (fig. 270).

Il s'agit exclusivement de tessons de récipients. Tous présentent la « couleur naturelle » bleu-vert du verre commun du Haut-Empire. Aucun élément particulier ou remarquable n'est à signaler.

Les seuls éléments morphologiques déterminants sont le bord arrondi d'une coupelle, vraisemblablement de type Isings 42a / AR 80 (F633, PL. 19, du dernier tiers du I<sup>er</sup> au III<sup>e</sup> siècle), le bord ourlé d'un pot Isings 62 / AR 119 ou Isings 67b/c / AR 118 (F759, PL. 20 n°5, des environs du milieu du I<sup>er</sup> siècle au courant du II<sup>e</sup> siècle) et l'épaule angulaire d'une bouteille ou d'un pot de section carrée (non illustré, milieu du I<sup>er</sup>-III<sup>e</sup> siècle).

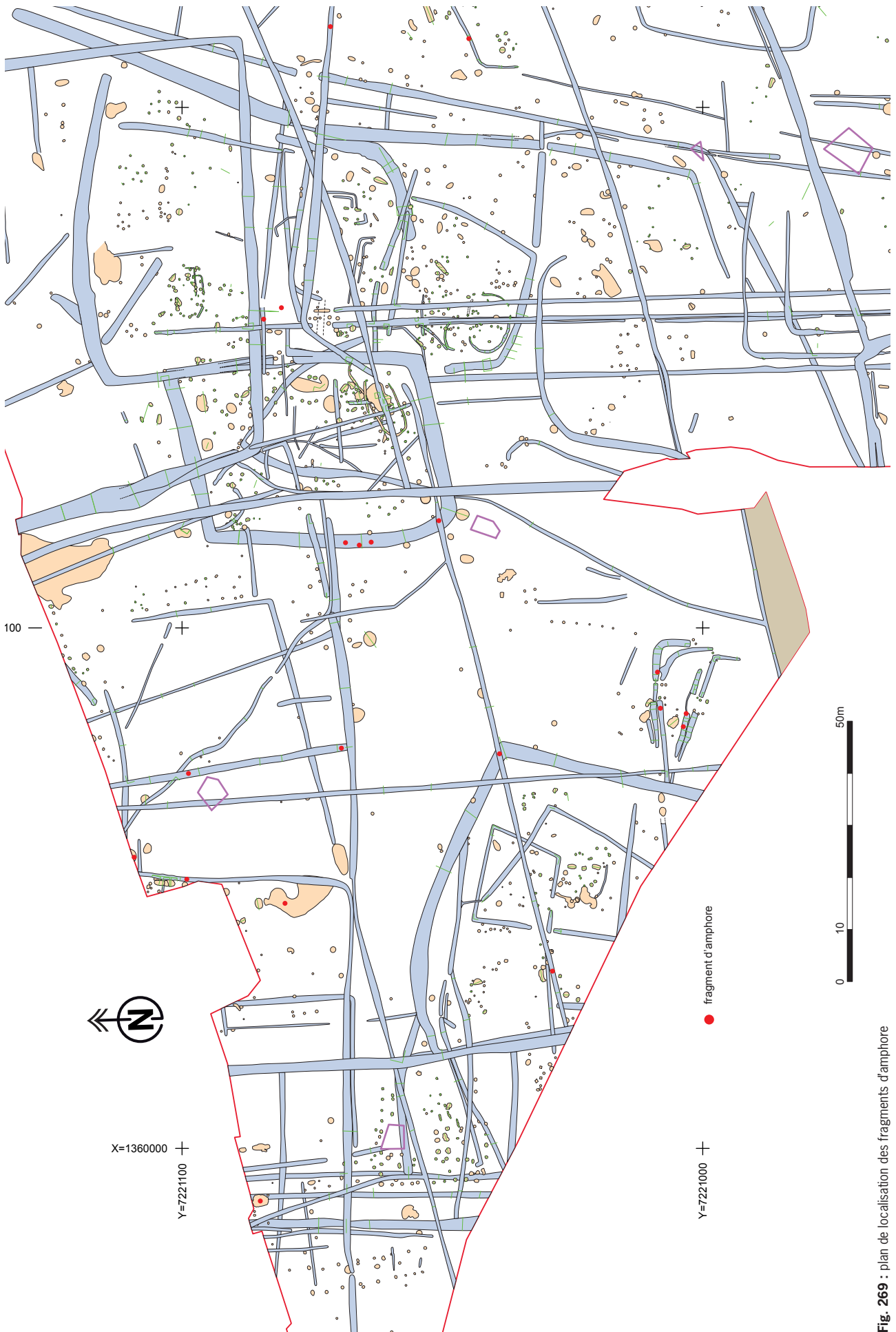


Fig. 269 : plan de localisation des fragments d'amphore

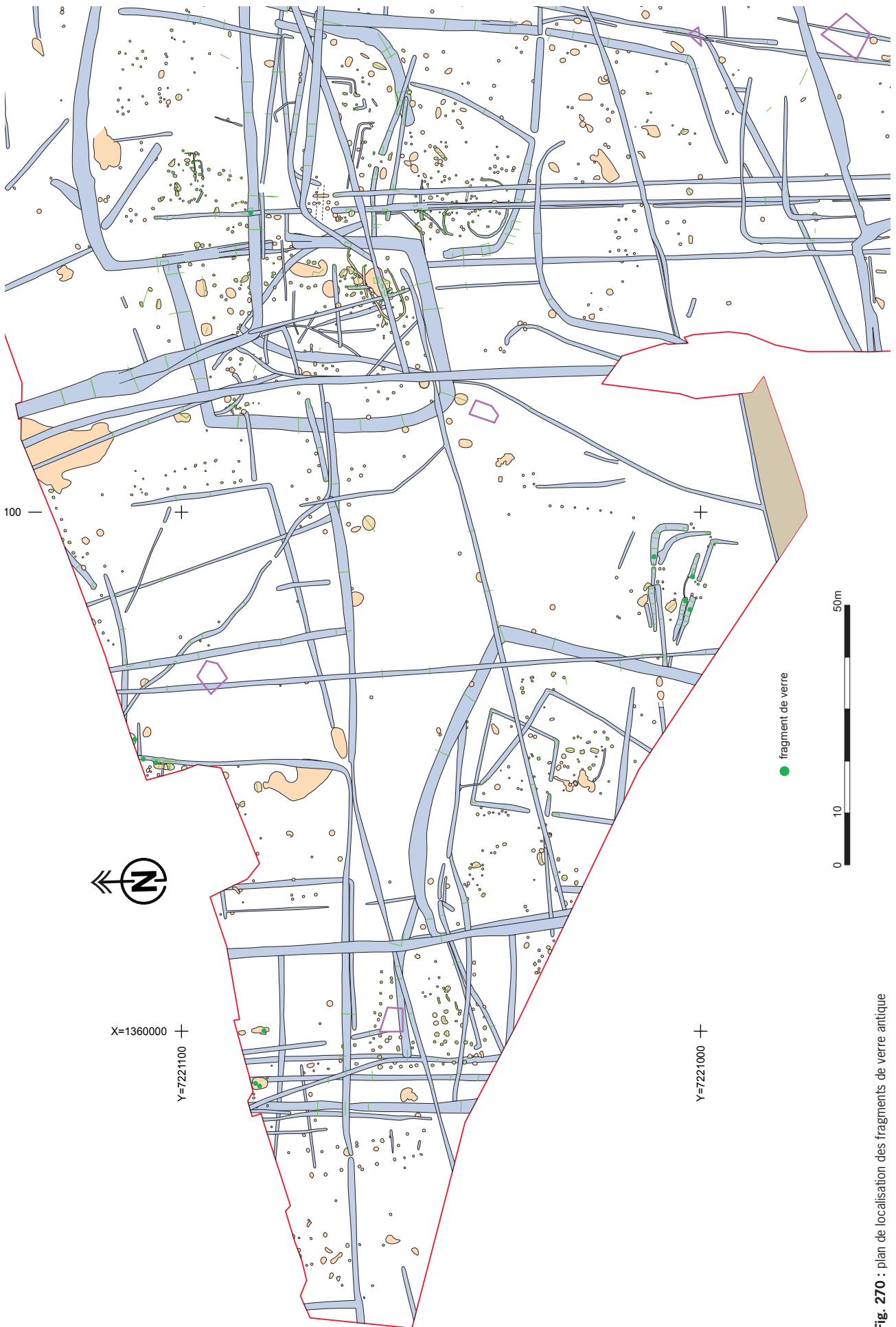


Fig. 270 : plan de localisation des fragments de verre antique

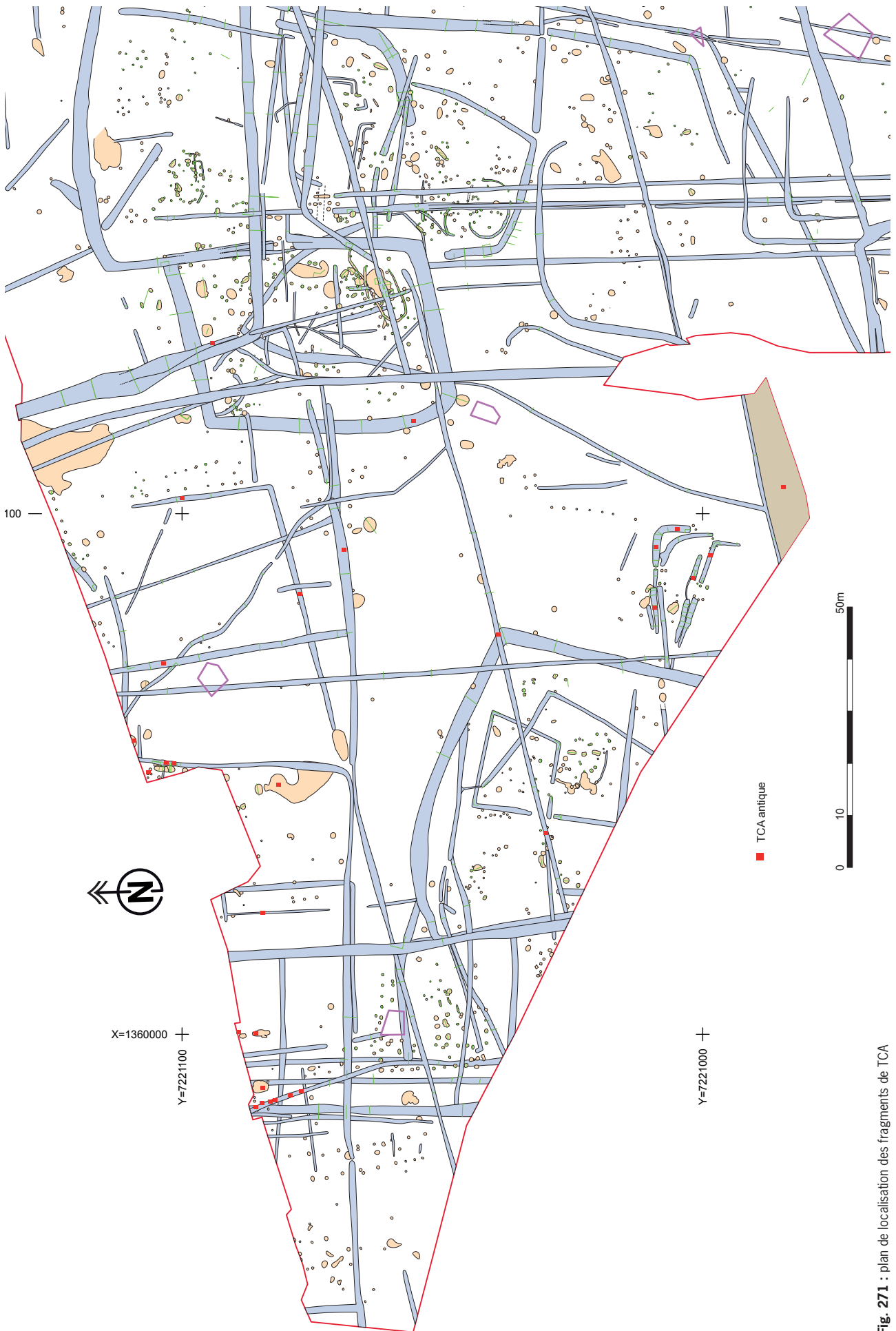


Fig. 271 : plan de localisation des fragments de TCA

## 2.4. L'occupation médiévale du site de La Salmondière à Cesson-Sévigné

### 2.4.1. Données générales

Pour des raisons de choix scientifiques en fonction du temps d'intervention alloué, le SRA de Bretagne nous a demandé de limiter nos investigations sur cette période au minimum, privilégiant le plan et récupérant quelques informations sur la chronologie.

L'étude du mobilier céramique par Françoise Labaune-Jean (cf. § étude céramique), montre que le site est occupé sur une partie du Haut Moyen Âge soit du VI<sup>e</sup> au X<sup>e</sup> siècle, mais avec peut être une probabilité plus grande entre les VII<sup>e</sup> et VIII<sup>e</sup> siècles.

L'habitat est situé dans la partie est et sud-est du site. Il se compose principalement d'enclos curvilignes dédoublés et incomplets. Il faut ajouter la présence d'un bâtiment sur poteaux et vraisemblablement les restes d'une forge. De plus, deux fossés parallèles formant un angle peuvent être correspondre à un chemin (fig. 272 273).

### 2.4.2. Chemin 5

Le chemin dont la surface de roulement n'est pas conservée, serait visible seulement par deux fossés parallèles 2027-2025 (pour la façade ouest) 2187 (pour la façade nord) et 2841-3151 (pour la façade ouest) et 2183 (pour la façade nord) pouvant constituer les fossés bordiers. Ils sont distants de 5,50 m selon un axe nord/sud et plus de 8,50 m selon un axe est/ouest.

#### Fossé 2027-2025

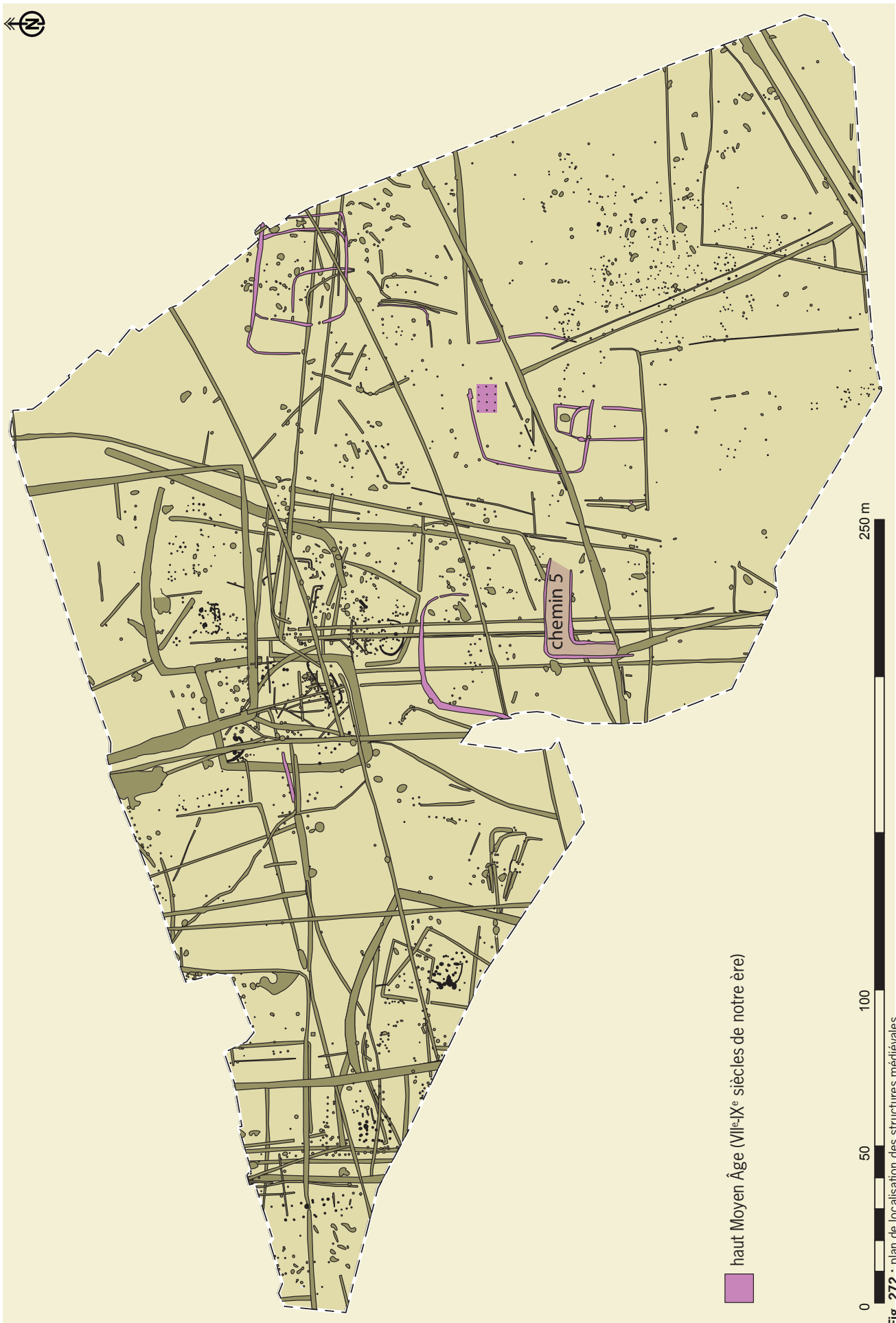
D'axe nord/sud, il a été suivi sur une longueur de 28 m pour une largeur moyenne de 0,84 m et une profondeur conservée de 0,34 m (fig. 274). Le profil est en V avec un fond arrondi. Le comblement est constitué d'un sédiment limono-argileux gris brun clair hétérogène devenant plus ocre et plus caillouteux à la base. Il semble s'interrompre dans le sondage 99 mais ne faisant plus que 0,6 m d'épaisseur, il est possible qu'il soit simplement arasé ensuite. Le sondage 128 montre qu'il recoupe le fossé gaulois 2004. Il est également recoupé par la haie moderne 2223.

#### Fossé 2187

D'axe est/ouest, il a été suivi sur une longueur d'environ 31 m pour une largeur moyenne de 0,72 m et une profondeur conservée de 0,23 m. Le profil est évasé et le fond arrondi. Le comblement est constitué d'un sédiment limono-argileux brun avec blocs de schiste et inclusions de terres cuites. Ce fossé recoupe les fossés antiques 2021 et 2073 ainsi que dans le sondage 273, le fossé gaulois 2004.

#### Fossé 3151-2841

D'axe nord/sud, il a été suivi sur une longueur de 14 m pour une largeur moyenne de 0,58 m et une profondeur conservée de 0,12 m (fig. 274). Le profil est évasé avec un fond plat. Le comblement est constitué d'un sédiment limoneux brun meuble homogène avec quelques oxydations orangées, beaucoup de cailloutis et fragments de schiste. Ce fossé est recoupé par la haie moderne 2026 en son extrémité sud.



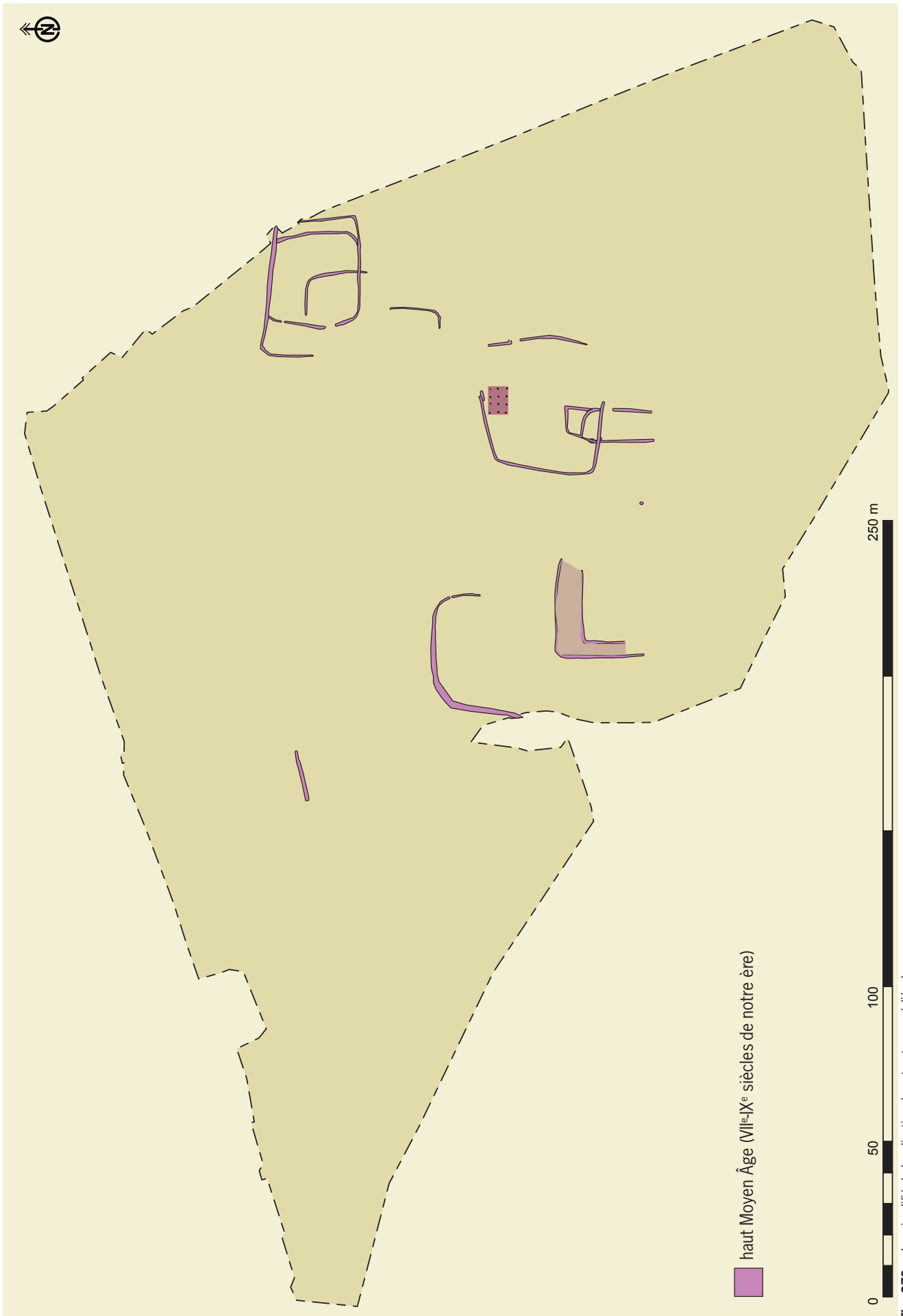
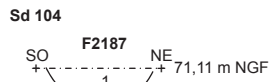
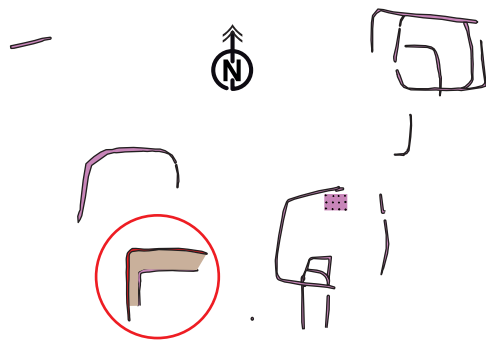


Fig. 273 : plan simplifié de localisation des structures médiévales



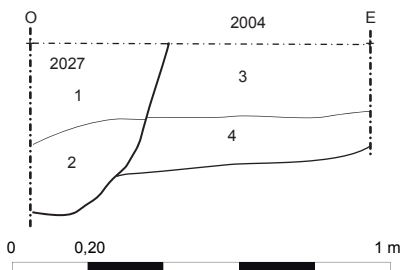
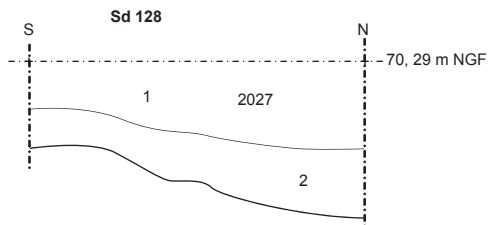


1 : sédiment limono-argileux brun avec blocs de schiste et inclusions de TC



1 : sédiment limoneux gris brun meuble hétérogène, avec beaucoup cailloutis et fragments de schiste

intersection 2027 et 2004



1 : sédiment limono-argileux brun clair gris avec fragments de schiste plus ou moins altérés  
 2 : sédiment limono-argileux brun ocre avec fragments de schiste plus ou moins altérés

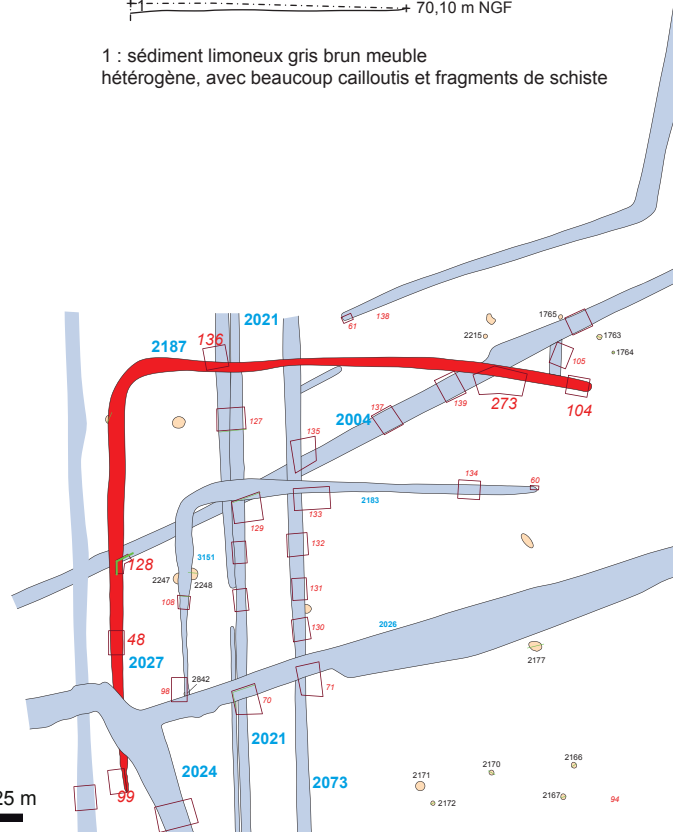


Fig. 274 : plan et coupes des fossés 2027-2025 et 2187 © cliché équipe de fouille

**Fossé 2183**

D'axe est/ouest, il a été suivi sur une longueur de 23 m pour une largeur moyenne de 0,54 m et une profondeur conservée de 0,20 m (fig. 275). Le profil est évasé et le fond relativement plat. Le comblement est constitué d'un sédiment limoneux brun clair avec nombreux fragments de schiste. L'extrémité est a été testée dans le sondage 60, mais elle semble plus correspondre à un arasement qu'à une véritable interruption. Ce fossé recoupe les fossés gallo-romains 2021 et 2073 dans les sondages 129 et 133. Dans le sondage 66, la coupe a été réalisée pour vérifier les relations avec des creusements dont l'un s'est avéré être un chablis et l'autre un possible trou de poteau (2184) mais totalement isolé dont la fouille a livré 1 tesson de céramique d'époque protohistorique.

S'il s'agit bien d'un chemin, il semble reprendre en partie l'axe nord/sud d'un des chemins antiques. Il s'arrête à environ 5 m côté sud et 8,5 m côté est d'un parcellaire vraisemblablement gaulois. Il peut mener à l'enclos médiéval 1 qui se trouve à l'est. Cet ensemble se compose de l'enclos, d'un bâtiment à l'intérieur, d'une éventuelle forge ainsi que de deux fossés non datés (2329 et 2238) mais semblant se greffer à cette phase d'occupation avec la présence d'une fosse également (2208).

**Fossé 2329**

D'axe nord/sud, il a été suivi sur une longueur de 12,75 m pour une largeur moyenne de 0,98 m et une profondeur conservée de 0,25 m (fig. 276). Le profil est évasé et le fond arrondi. Le comblement est constitué d'un sédiment limoneux brun foncé homogène comportant des pierres.

**Fossé 2238**

D'axe nord/sud, il a été suivi sur une longueur de 17,55 m pour une largeur de 0,80 m et une profondeur conservée de 0,13 m (fig. 276). Le profil est évasé et le fond arrondi. Le comblement est constitué d'un sédiment limoneux brun foncé homogène avec inclusions de charbons de bois. En extrémité nord, ce fossé rejoint un enclos 1 curviligne composé des fossés 1861 (façade sud), 2286 (façade ouest) et 1805 (façade nord).

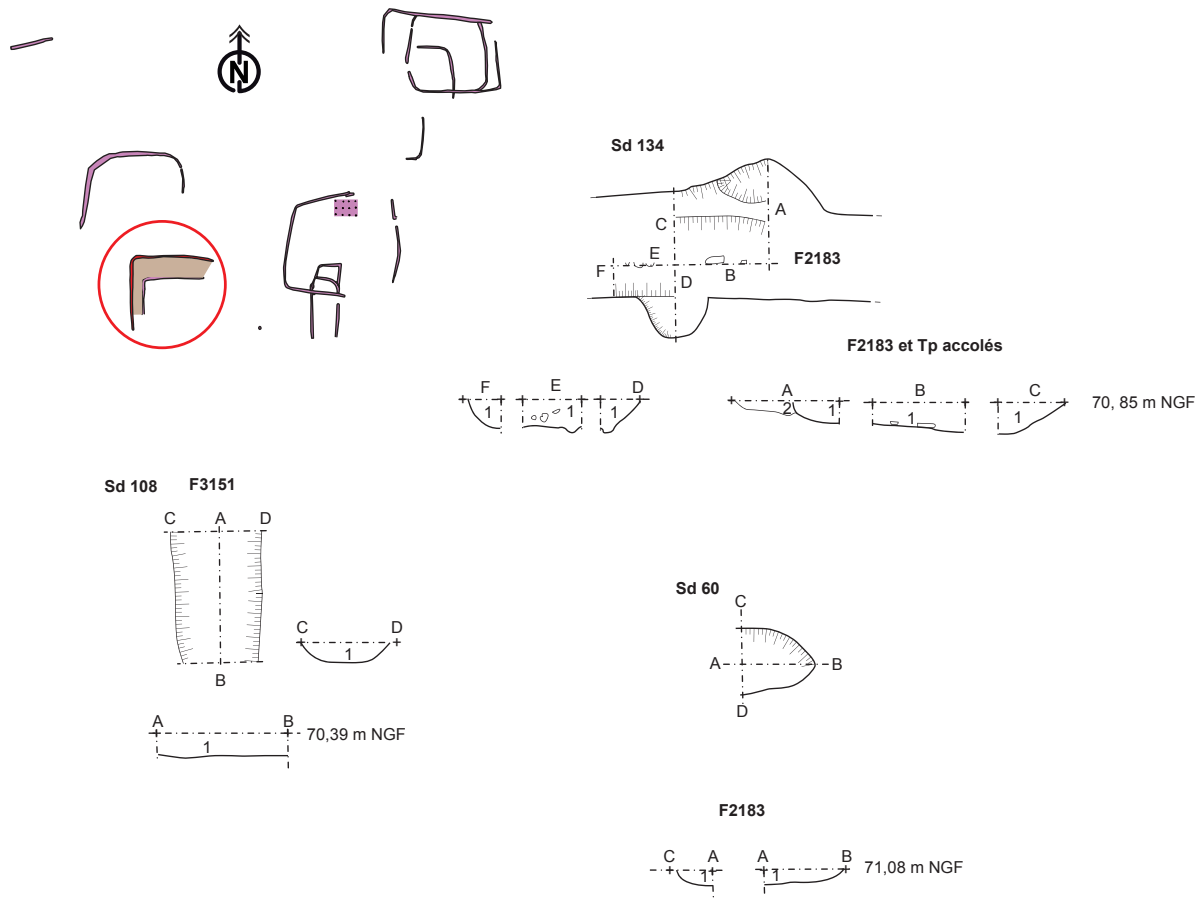
**2.4.3. Enclos médiéval 1**

Ouvert côté est (fig. 277), il fait dans sa plus grande hauteur 40,50 m et sa plus grande largeur, 31 m. En tenant compte de sa forme réelle, la superficie est d'environ 768 m<sup>2</sup>. La façade sud (fossé 1861) a une longueur de 23,28 m, la façade ouest (fossé 2286) 31,42 m et la façade nord (1805) 21,48 m. Toutes les coupes présentent un profil évasé avec un fond plus ou moins arrondi et un comblement constitué d'un sédiment limoneux brun peu compact homogène avec des plaquettes de schiste et des charbons de bois.

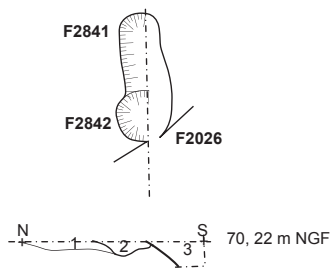
L'extrémité nord-est de l'enclos est bien marquée dans le sondage 628, avec un bord abrupt. La largeur est de 0,70 m avec une profondeur conservée de 0,32 m. Le comblement est constitué de couches de rejets détritiques, comportant des schistes et des quartz brûlés ainsi que des nodules de terre cuite et des charbons de bois. A noter la présence de scories.

**Fossé 1805**

D'axe est-nord-est/ouest-sud-ouest, il a été suivi sur une longueur de 21,48 m pour une largeur variant de 0,70 à 1 m et une profondeur conservée allant de 0,30 à 0,40 m (fig. 278). Le profil est évasé avec un fond arrondi. L'extrémité est bien marquée avec un bord abrupt confirmant bien l'interruption du fossé. Le comblement général du fossé est constitué d'un sédiment argileux brun hétérogène avec fragments de schiste. Dans le sondage 628 de l'extrémité est, Le comblement très stratifié révèle la



- 1 : sédiment limoneux brun clair avec nombreux fragments de schiste
- 2 : sédiment limono-argileux gris avec substrat remanié hétérogène



- 1 : sédiment limoneux brun meuble homogène avec quelques oxydations orangées, beaucoup de cailloutis et fragments de schiste
- 2 : sédiment argileux gris meuble homogène, traces d'oxydation orangées = F2842
- 3 : sédiment argileux brun meuble homogène, traces d'oxydations orangées = F2026

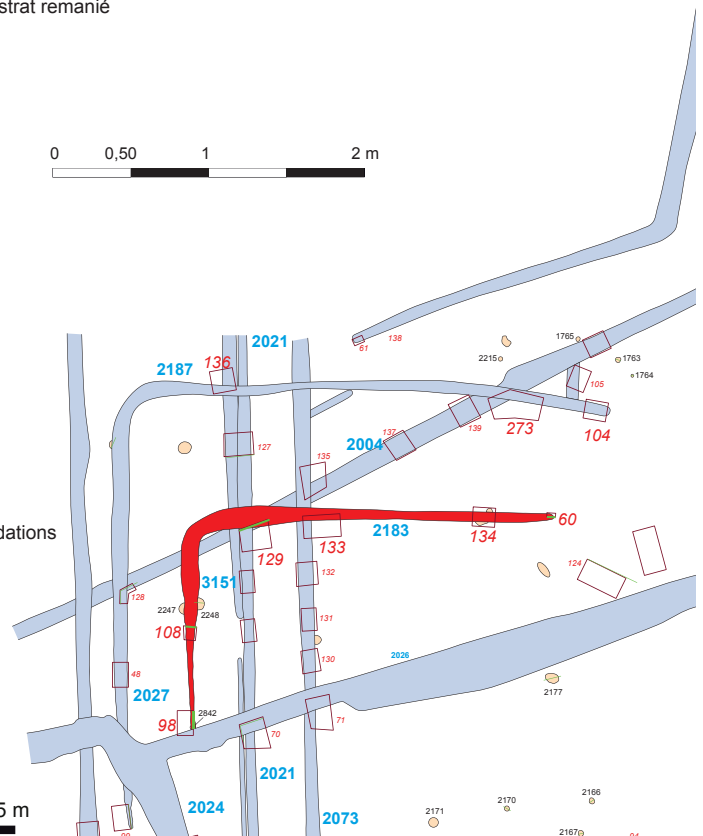
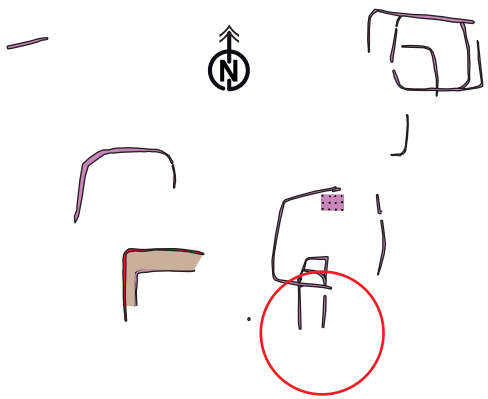
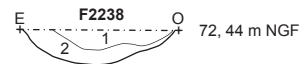


Fig. 275 : plan et coupes des fossés 3151-2841 et 2183



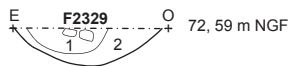
Sd 77



- 1 : sédiment limoneux brun homogène avec charbons de bois
- 2 : substrat



Sd 78



- 1 : sédiment limoneux brun homogène avec blocs de pierres
- 2 : substrat

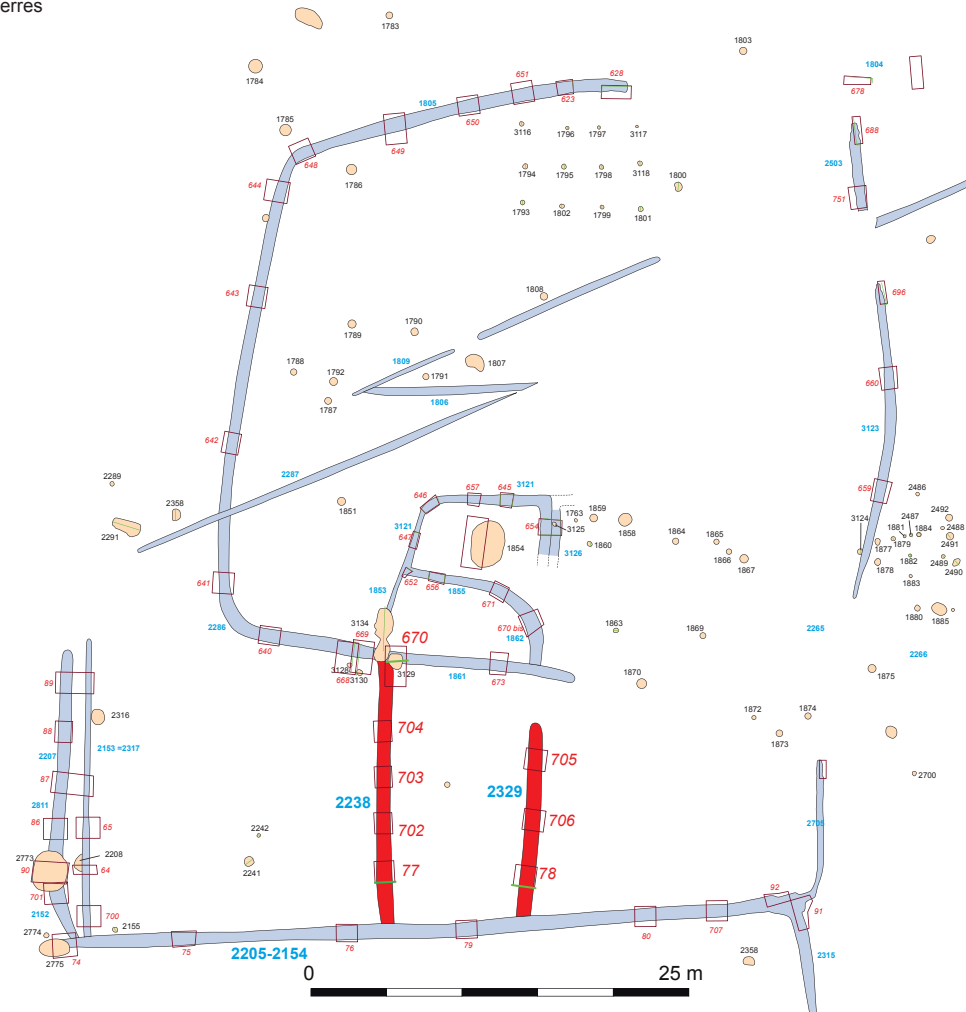


Fig. 276 : plan et coupes des fossés 2329 et 2238 © cliché équipe de fouille

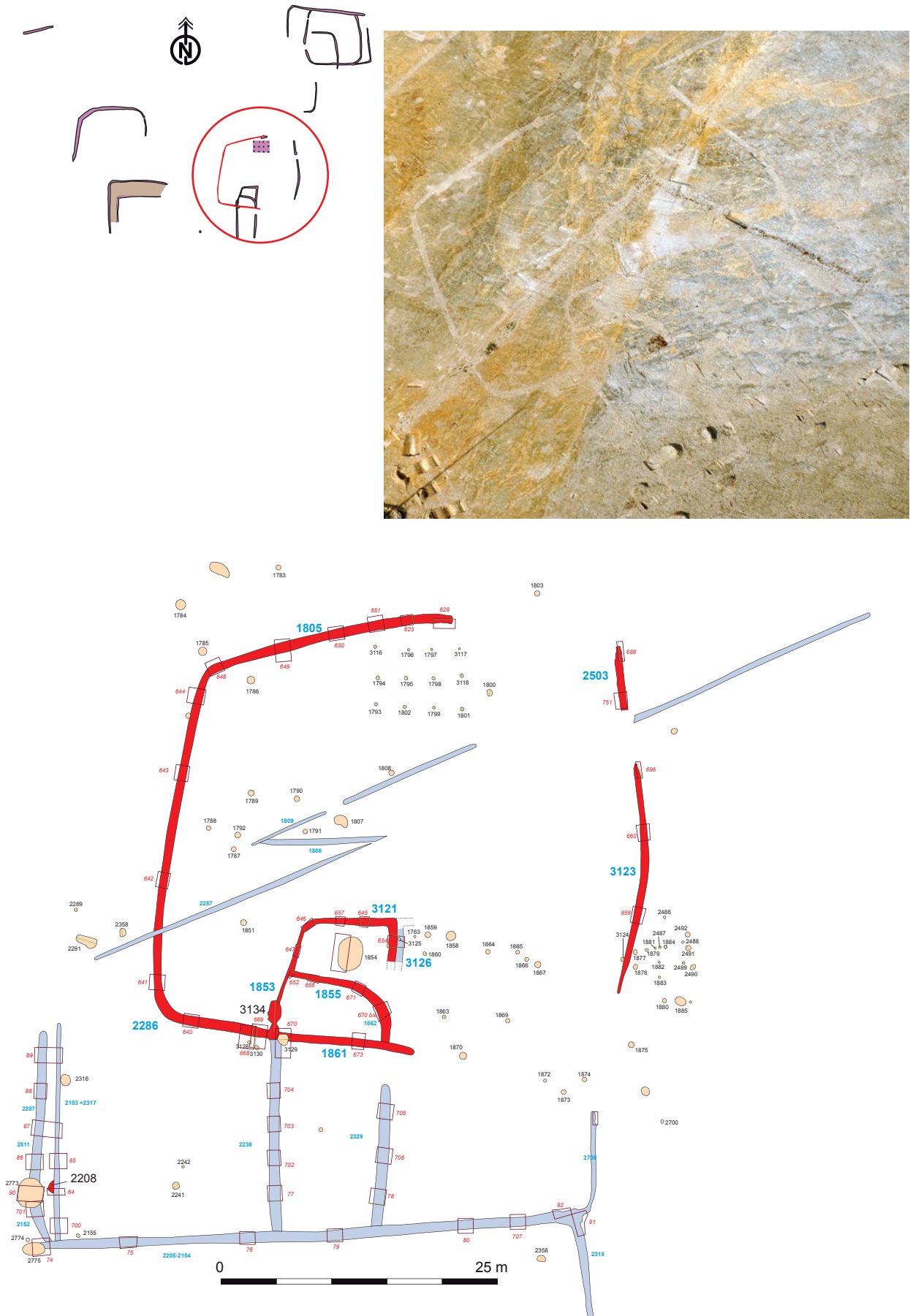


Fig. 277 : localisation de l'enclos et des structures médiévales avec vue aérienne de l'enclos © cliché Gilles Leroux

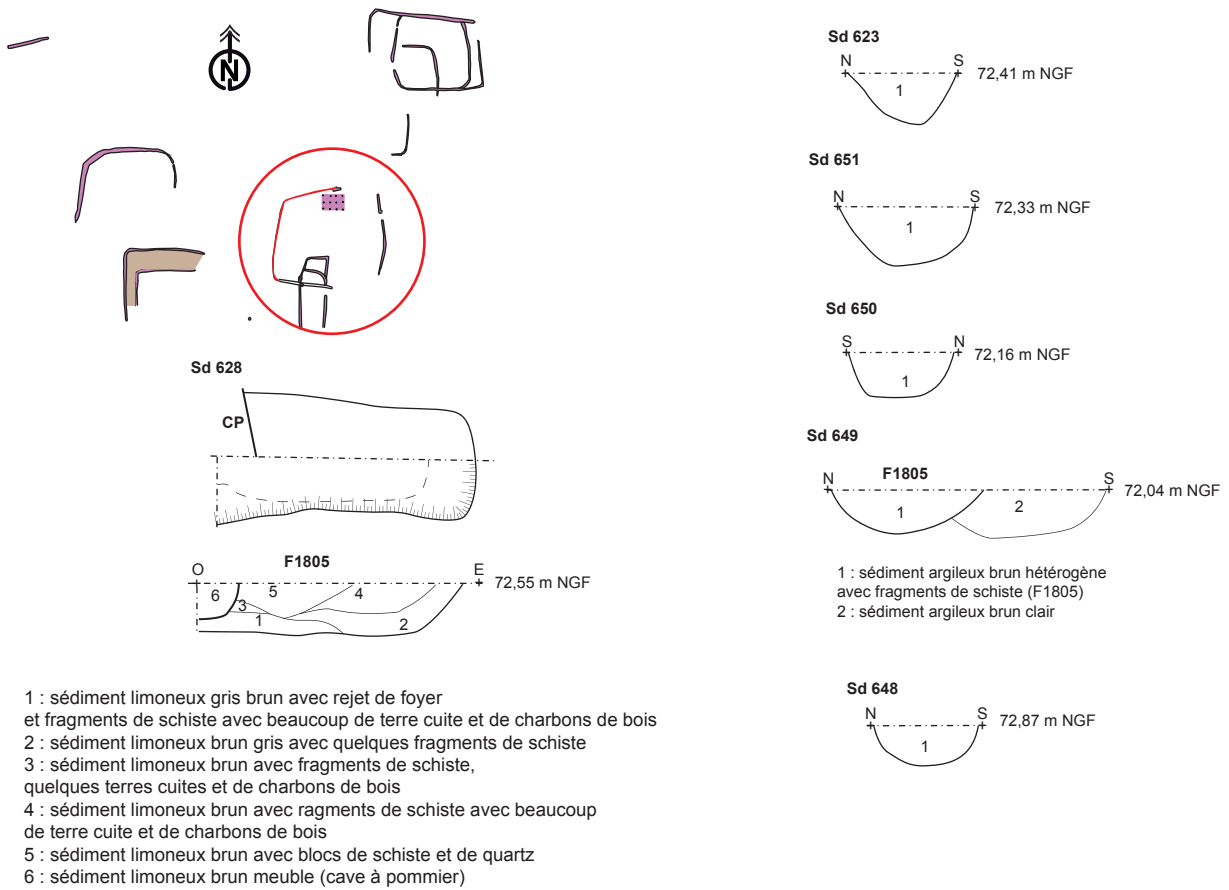


Fig. 278 : plan et coupes des fossés 1805 et 2286

présence de couches de rejets détritiques comportant de nombreux charbons de bois des scories et des fragments de parois de fours scoriacées.

Le relevé des NGF de fond, montre un sens d'écoulement allant de l'est-nord-est vers l'ouest-sud-ouest, passant du sondage 628 à 72,23 m au sondage 648 à 71,55 m NGF.

Lors du décapage a été trouvé au niveau de ce sondage, 1 tesson de panse avec pâte du haut Moyen Âge. La fouille de l'US4 du sondage 628 a livré 8 culots de forge représentant un poids de plus de 4 kg, 8 fragments de scorie de forge ainsi que 2 fragments de parois rubéfiées.

La façade ouest est constituée du fossé 2286.

#### Fossé 2286

D'axe pratiquement nord/sud, il a été suivi sur une longueur de 31,42 m pour une largeur variant de 0,68 à 0,82 m et une profondeur conservée autour de 0,28 m (fig. 278). Le profil est évasé avec un fond relativement plat. Le comblement de même nature que 1805 est composé d'un sédiment argileux brun hétérogène avec fragments de schiste. Les NGF de fond ne varient pas suffisamment pour indiquer un sens d'écoulement. En effet ils passent au nord de 71,68 à 71,62 m NGF, en sachant que le sondage le plus profond de 1805 était à 71,55 m, ce qui ne semble pas permettre une bonne évacuation de ce côté.

#### Fossé 1861

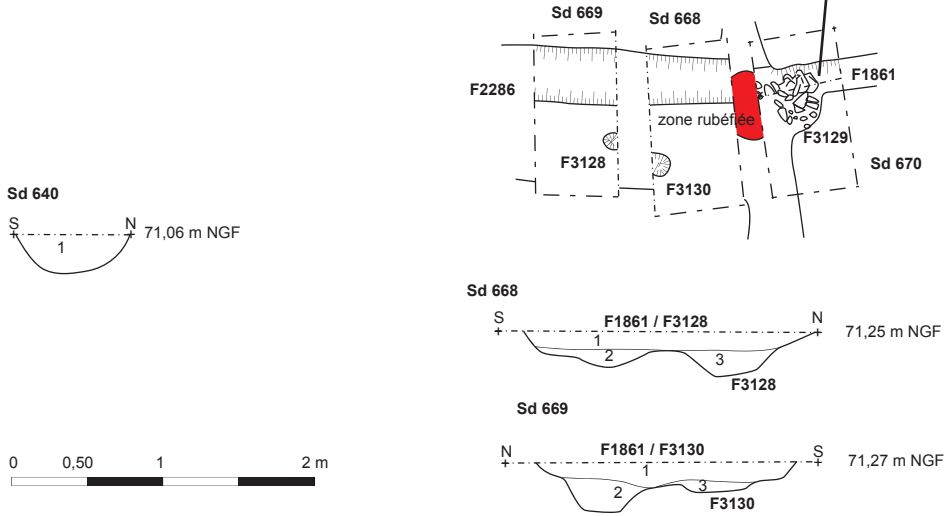
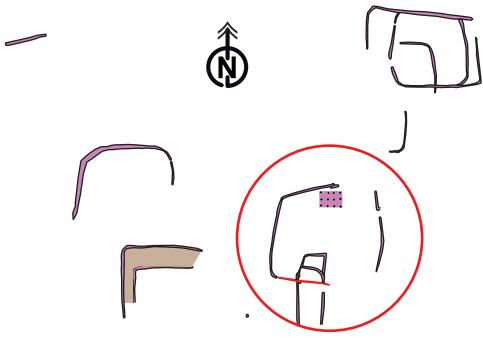
Constituant la façade sud de l'enclos, il a été suivi sur une longueur 23,28 m pour une largeur d'environ 0,74 m maximale et une profondeur conservée d'environ 0,25 m (fig. 279). Le profil est évasé avec un fond plus ou moins arrondi. Le comblement principal est constitué du même sédiment que dans les autres façades de l'enclos, mais dans les sondages 668 et 669, il varie. En effet les coupes montrent que le fossé est comblé d'un sédiment limono-argileux gris compact homogène avec fragments de schiste en partie basse et recouvert ainsi qu'un trou de poteau, d'un sédiment limono-argileux brun foncé compact homogène avec charbons de bois et terre cuite. Cette nouvelle couche est vraisemblablement à mettre en relation avec la présence d'une zone rubéfiée et pierreuse assimilée à la structure 3129. Cette fosse est située à l'intersection avec le fossé 2238, le sondage 670 a permis de monter qu'elle recoupe le fossé 1861.

#### Fosse 3129

De forme circulaire, elle fait environ 1 m de diamètre sur 0,20 m de profondeur (fig. 279). Son comblement est constitué principalement de pierres. Une zone rubéfiée en surface est visible sur sa partie nord-ouest. Cette fosse semble pouvoir être mise en relation avec la fosse 3134 pouvant constituer les restes d'un foyer de forge, la fosse 3129 pouvant constituer une fosse de rejet liée à cette activité.

#### Fosse 3134

De forme allongée, elle a été suivie sur une longueur de 2 m et une largeur de 1,12 m pour une profondeur conservée de 0,40 m (fig. 280). La paroi est tout d'abord abrupte, côté nord, puis elle remonte en pente douce vers le sud. Le fond est plat dans la moitié nord. Cette fosse offre en plan, juste avant l'intersection avec 1861, deux complements bien distincts. Le premier est constitué d'un sédiment limono-argileux brun foncé homogène, meuble avec quelques nodules de terre cuite. Le second, est un sédiment limono-argileux brun avec beaucoup de substrat remanié, hétérogène, avec de gros blocs de pierre au centre se poursuivant jusqu'à la zone de terre rubéfiée située dans le comblement supérieur de la fosse 3129 vue précédemment et implantée sur le fossé 1861. Il est possible que 3129 et 3134 correspondent à une seule et même structure. Le fond de 3134 est comblé d'une couche à caractère détritique riche en charbons de bois et en pierres. Les autres



- 1 : sédiment limono-argileux brun foncé compact homogène avec charbons de bois et terre cuite
- 2 : sédiment limono-argileux gris compact homogène avec fragments de schiste
- 3 : sédiment limono-argileux brun gris compact homogène

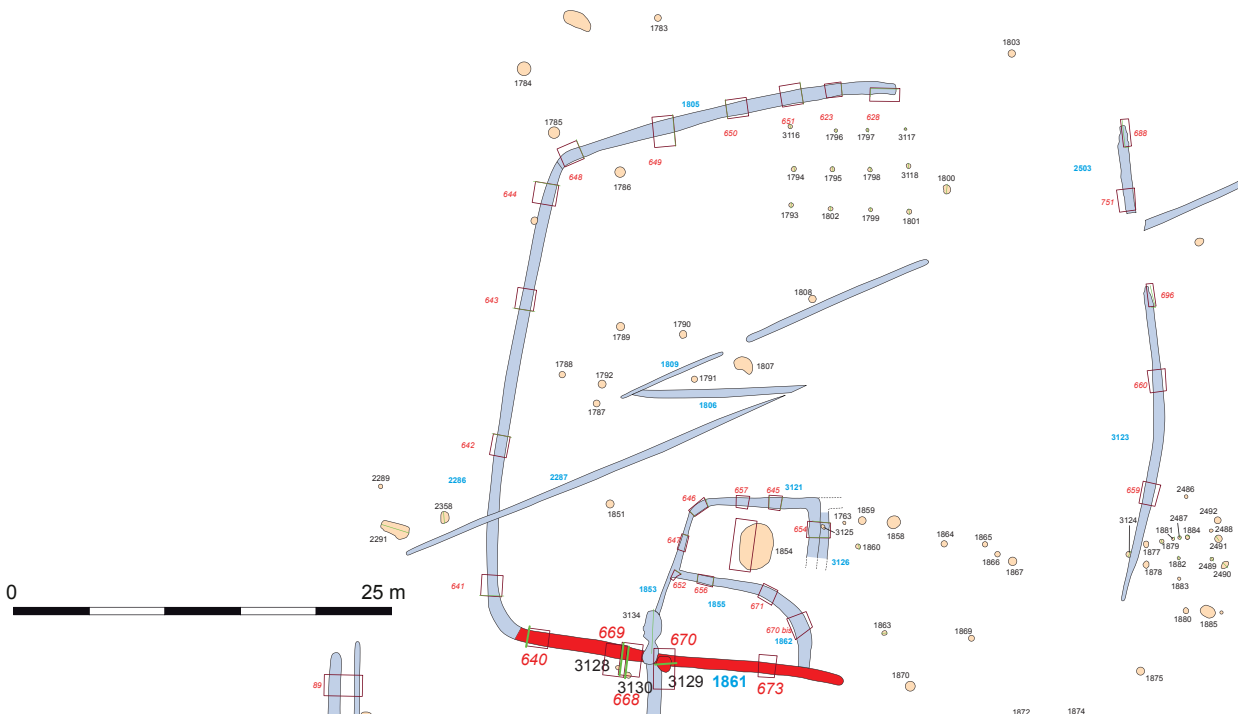
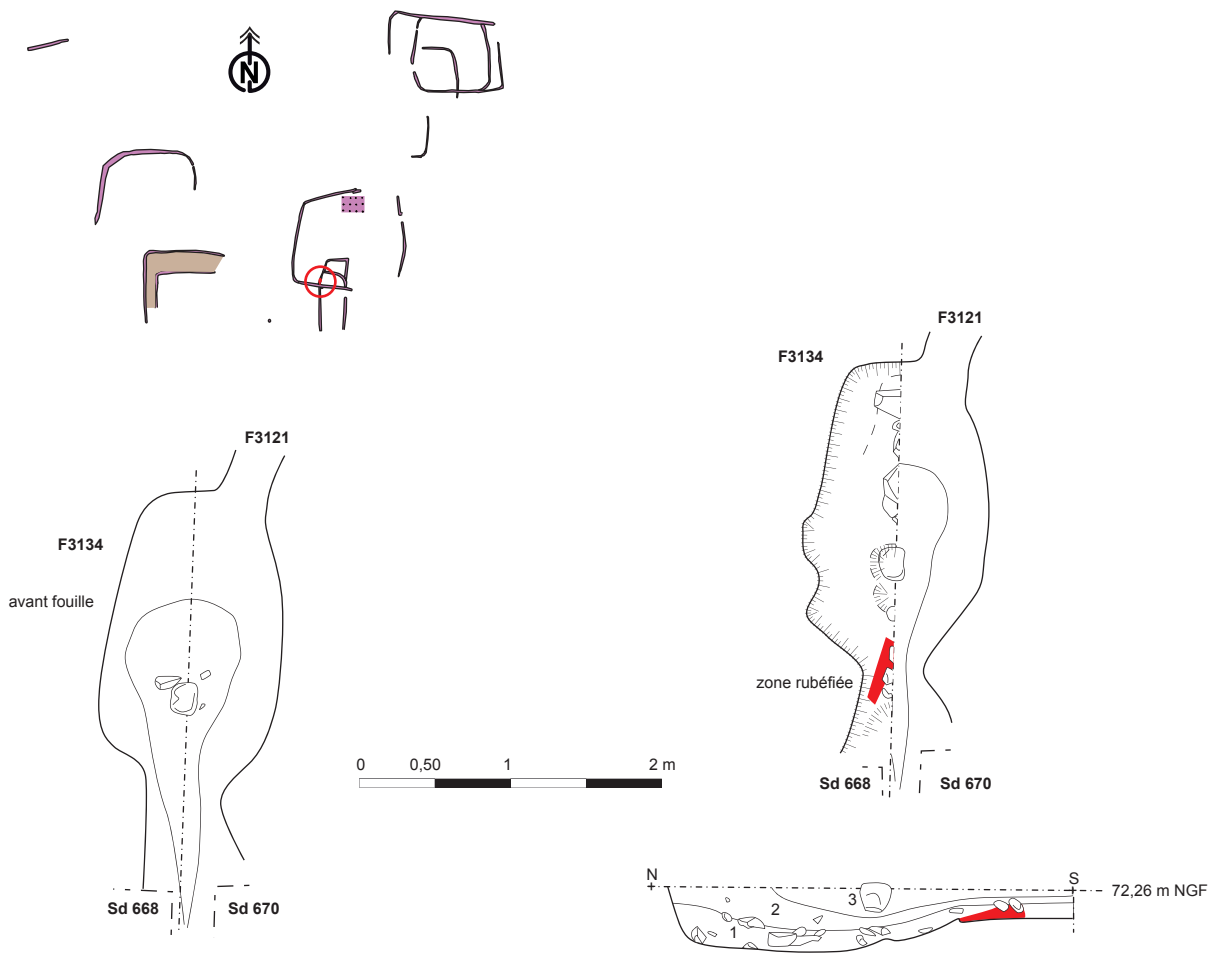


Fig. 279 : plan et coupes du fossé 1861 et la fosse 3129 © cliché équipe de fouille





- 1 : sédiment limono-argileux gris foncé meuble homogène avec blocs de schiste, quartz, grès et charbons de bois
- 2 : sédiment limono-argileux brun meuble homogène avec blocs de schiste, quartz et grès
- 3 : sédiment limono-argileux brun hétérogène avec beaucoup de substrat remanié, blocs de schiste, quartz et grès

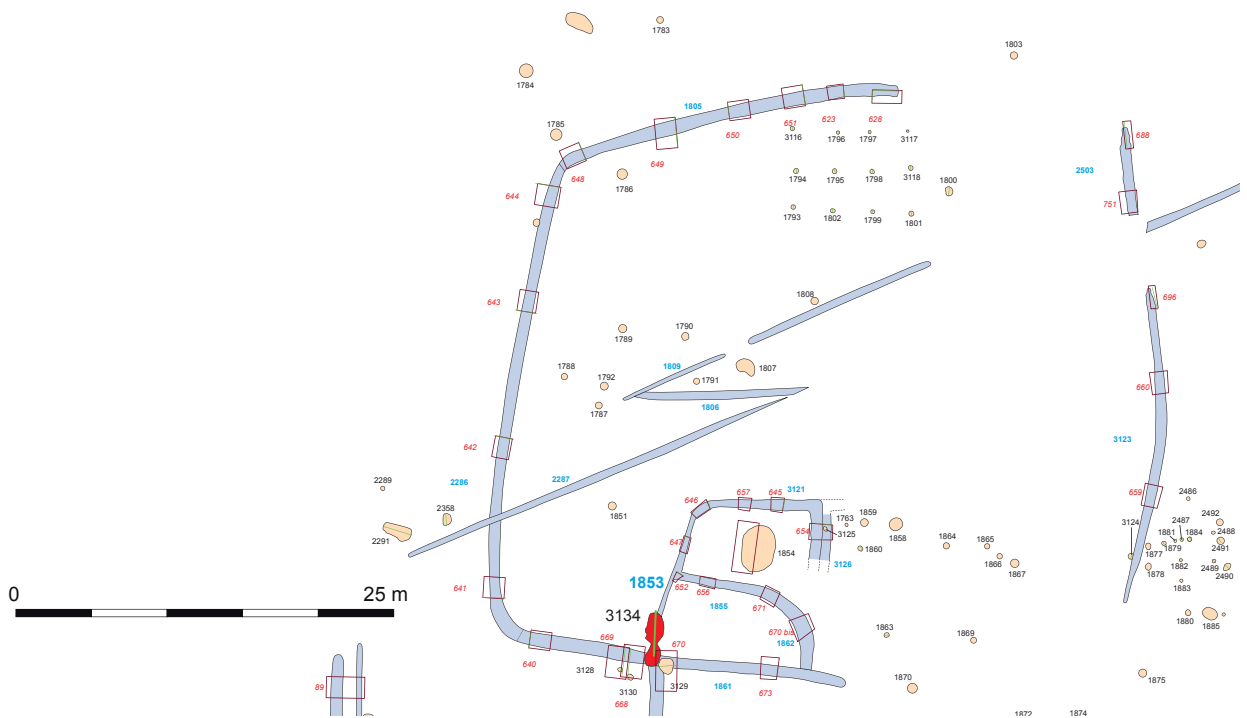


Fig. 280 : plan et coupes de la fosse 3134

couches semblent correspondre à un remblaiement rapide.

La fouille a livré au fond de la fosse 3 tessons de céramique de céramique d'époque carolingienne.

Sur la façade sud de l'enclos, vient se greffer une structure fossoyée rectangulaire d'axe nord/sud, d'environ 11,50 m pour sa plus grande longueur et 10,20 m pour sa plus grande largeur. Le fossé 1855 constitue une séparation interne, à peu près à la moitié, d'axe est/ouest qui vient se rattacher au fossé 1861 par son retour est ainsi que par son retour ouest, le fossé 1853.

#### Fossé 1855

D'axe est/ouest, il a été suivi sur une longueur de 9,75 m pour une largeur variant de 0,75 à 0,54 m et une profondeur allant de 0,17 à 0,36 m (fig. 281). Le profil est évasé avec un fond arrondi. Le comblement est constitué d'un sédiment limono-argileux avec plaquette de schiste et poche d'altérite.

La fouille du sondage 670 bis a livré de la scorie et 9 tessons de céramique du haut Moyen Âge.

Ce fossé est encadré côté est par le fossé 3126 et côté ouest par les fossés 1853. Aucune relation chronologique n'a pu être mise en évidence entre ces différents fossés.

#### Fossé 3126

D'axe nord-est/sud-ouest, il a été suivi sur une longueur de 11,50 m pour une largeur de 0,42 m sur une profondeur conservée de 0,18 m (fig. 281). Le profil est évasé et le fond arrondi. Le comblement est constitué d'un sédiment limoneux gris bleuté avec traces d'oxyde. D'après la coupe sud du sondage 654, ce fossé recoupe le fossé 3121.

La fouille du sondage 654 a livré de la scorie et 2 tessons de céramique des VII<sup>e</sup>-VIII<sup>e</sup> siècles.

#### Fossé 3121

D'axe est/ouest, il constitue la façade nord de la structure. Il a été suivi sur une longueur de 8,50 m pour une largeur variant de 0,50 à 0,82 m et une profondeur conservée allant de 0,11 à 0,30 m (fig. 281). Le profil est évasé avec un fond arrondi. Le comblement est constitué d'un sédiment limono-argileux brun gris avec de nombreuses plaquettes de schiste.

La fouille a livré des scories et 2 tessons de céramique d'époque mérovingienne dans le sondage 646 ainsi 4 culots de forge et 1 fragment de scorie dans le sondage 645. Dans le sondage 657 la fouille a livré 1 fragment de scorie de forge et 1 paroi scoriacée. Le sondage 654 a livré 1 culot de forge de plus de 2 kg.

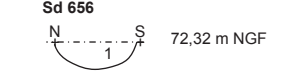
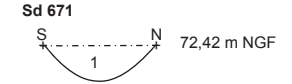
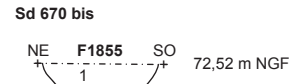
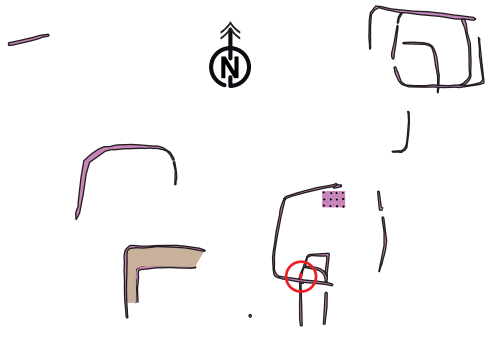
#### Fossé 1853

Il constitue le retour nord-est/sud-ouest du fossé 3121. Il a été suivi sur une longueur de 10 m et sur une largeur de 0,30 m pour une profondeur conservée de 0,08 m (fig. 281). Il se raccorde au fossé 1861 par son extrémité sud-ouest, mais à cet endroit, il est recoupé par la fosse 3134.

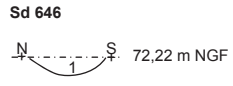
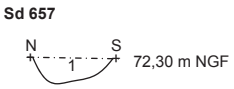
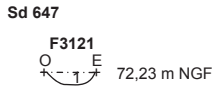
A l'intérieur de cet ensemble, une fosse 1854 a été recoupée à la mini-pelle mécanique.

#### Fosse 1854

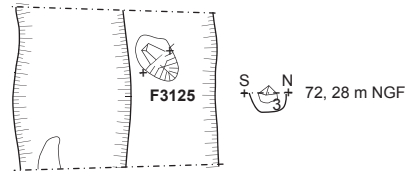
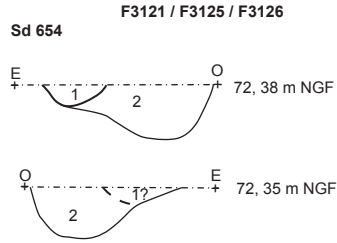
Elle a une longueur sur 3,17 m sur une largeur de 2,40 m, pour une profondeur conservée d'environ 0,50 m. Les parois sont évasées et le fond est plat. Le comblement est constitué d'un sédiment limono-argileux brun foncé mélangé à de nombreuses pierres. La coupe n'a pas été relevée.



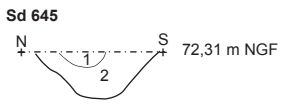
1 : sédiment limono-argileux brun homogène



1 : sédiment limono-argileux gris brun peu compact homogène avec traces d'oxyde, nombreux fragments de schiste



1 : sédiment limoneux gris bleuté avec oxyde et fragments de schiste (F3126)  
 2 : sédiment limoneux gris avec beaucoup d'oxydes et fragments (F3121)  
 3 : sédiment limoneux gris mêlé à du substrat remanié (F3125)



1 : substrat remanié orangé  
 2 : sédiment argilo-limoneux gris brun avec fragments de schiste

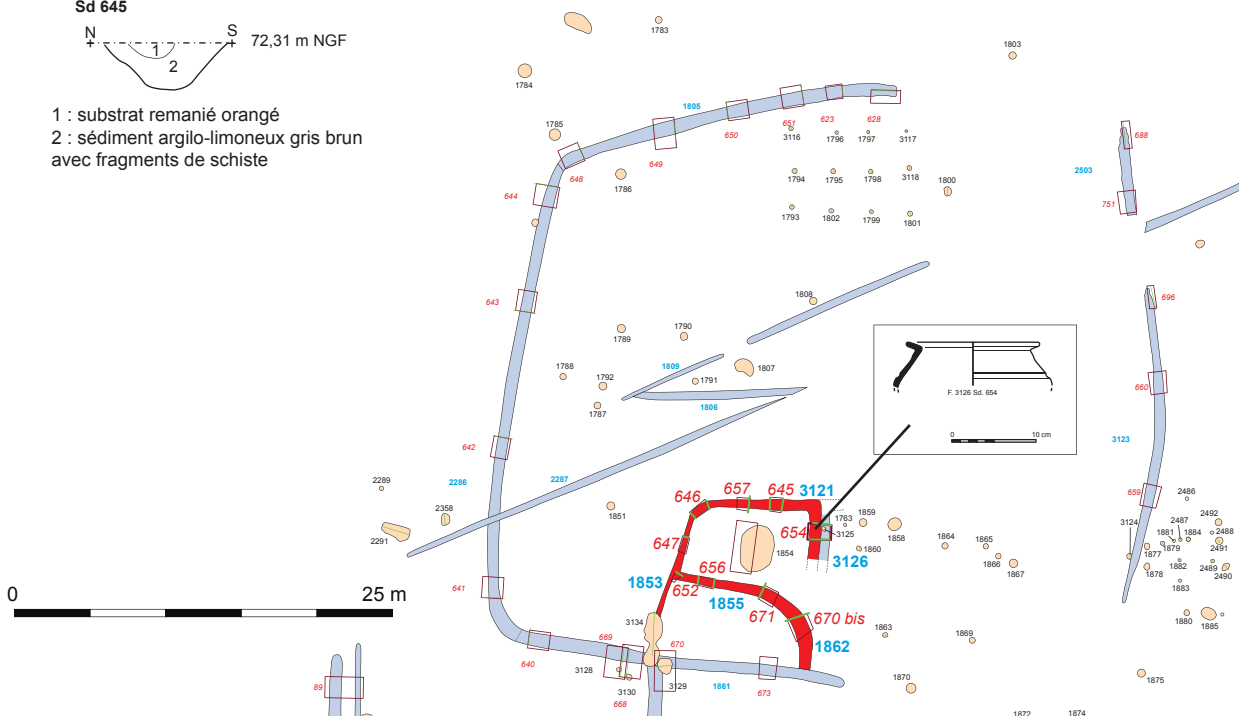


Fig. 281 : plan et coupes des fossés 1853, 1855, 1862, 3121 et 3126

La structure fossoyée peut correspondre à un petit bâtiment dont les trous des supports auraient disparu et dont ne resteraient que les tranchées de fondation ou de récupération des eaux de ruissellement. Ce petit édifice pourrait avoir une relation avec une forge, car le comblement des tranchées a donné de nombreuses scories. Il aurait été abandonné à l'époque mérovingienne et une grosse fosse 3134 (et peut être 3129) serait venue recréer cet ensemble à l'époque carolingienne.

À l'est de l'enclos médiéval, deux petits fossés 2503 et 3123 pourraient se rattacher à l'ensemble. En effet ils sont recoupés par la haie 2265 et le fossé moderne 2266 mais la courbure vers le sud-ouest semble refermer l'espace enclos.

#### Fossé 2503

D'axe nord/sud, il a été suivi sur une longueur de 7,60 m pour une largeur de 0,55 m et une profondeur conservée de 0,10 m (fig. 282). Ce fossé étant arasé, les coupes n'ont pas été relevées. Seule l'extrémité nord l'a été. Cependant, comme le montre le sondage 688, il semble bien que l'interruption soit plus due à un non état de conservation qu'à une véritable extrémité.

Le profil est évasé et le fond irrégulier. Le comblement est constitué d'un sédiment limoneux brun homogène.

#### Fossé 3123

D'axe nord/sud dans une première moitié supérieure, il oblique ensuite vers le sud-ouest. Il a été suivi sur une longueur de 22 m pour une largeur de 0,50 m et une profondeur conservée de 0,14 m (fig. 282). Ce fossé étant arasé, les coupes n'ont pas été relevées. Seule l'extrémité nord l'a été. Cependant, comme le montre le sondage 696, il semble bien que l'interruption soit plus due à un non état de conservation qu'à une véritable extrémité.

Le profil est évasé et le fond irrégulier. Le comblement est constitué d'un sédiment limoneux brun homogène.

#### Fossé 1814-1815-1816

Situé au nord de l'enclos 1, il est d'axe est/ouest. Il a été suivi sur une longueur de 8,56 m pour une largeur de 0,40 m et une profondeur conservée de 0,09 m (fig. 283). Le profil est évasé et le fond arrondi. Le comblement est constitué d'un sédiment limono-argileux brun mêlé de plaquettes de schiste.

La fouille a livré 19 tessons de céramique appartenant à un même récipient daté de la fin du VI<sup>e</sup> – courant du VII<sup>e</sup> siècle.

#### Fosse 2208

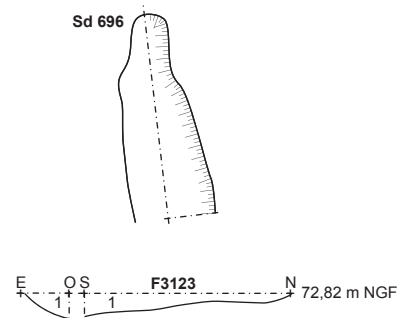
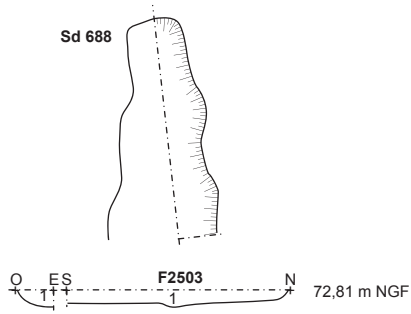
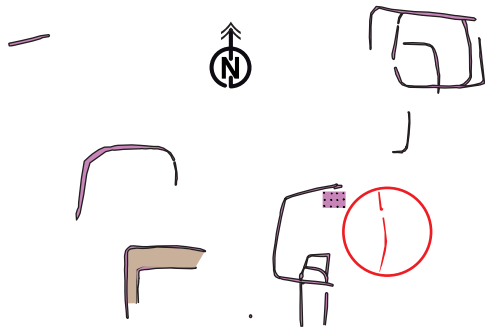
De 1 m de diamètre, elle est conservée sur une profondeur de 0,18 m (fig. 284). Le profil est évasé et le fond arrondi. Le comblement est constitué d'un sédiment limoneux brun gris avec fragments de schiste et rares charbons de bois. La fosse est recoupée par le fossé 2153-2317.

La fouille a livré 3 tessons de céramique du Haut Moyen Âge.

Dans la partie nord de l'enclos médiéval, à proximité de l'extrémité est du fossé 1805, le décapage a permis la mise au jour d'un bâtiment sur poteau.

#### Bâtiment 1

Il est composé d'au moins 12 trous de poteaux dessinant un plan à travée centrale et 2 nefs d'environ 8,20 m sur 5,20 m, soit une superficie interne de 42,64 m<sup>2</sup> (fig. 285). Les entraxes entre les poteaux sont d'environ 2,60 m. Les creusements des supports ont des diamètres variant de 0,17 à 0,35 m de diamètre pour des profondeurs conservées allant de 2 cm à 23 cm de profondeur. Il faut noter que la ligne la plus au nord n'a des



1 : sédiment gris meuble homogène avec terre cuite

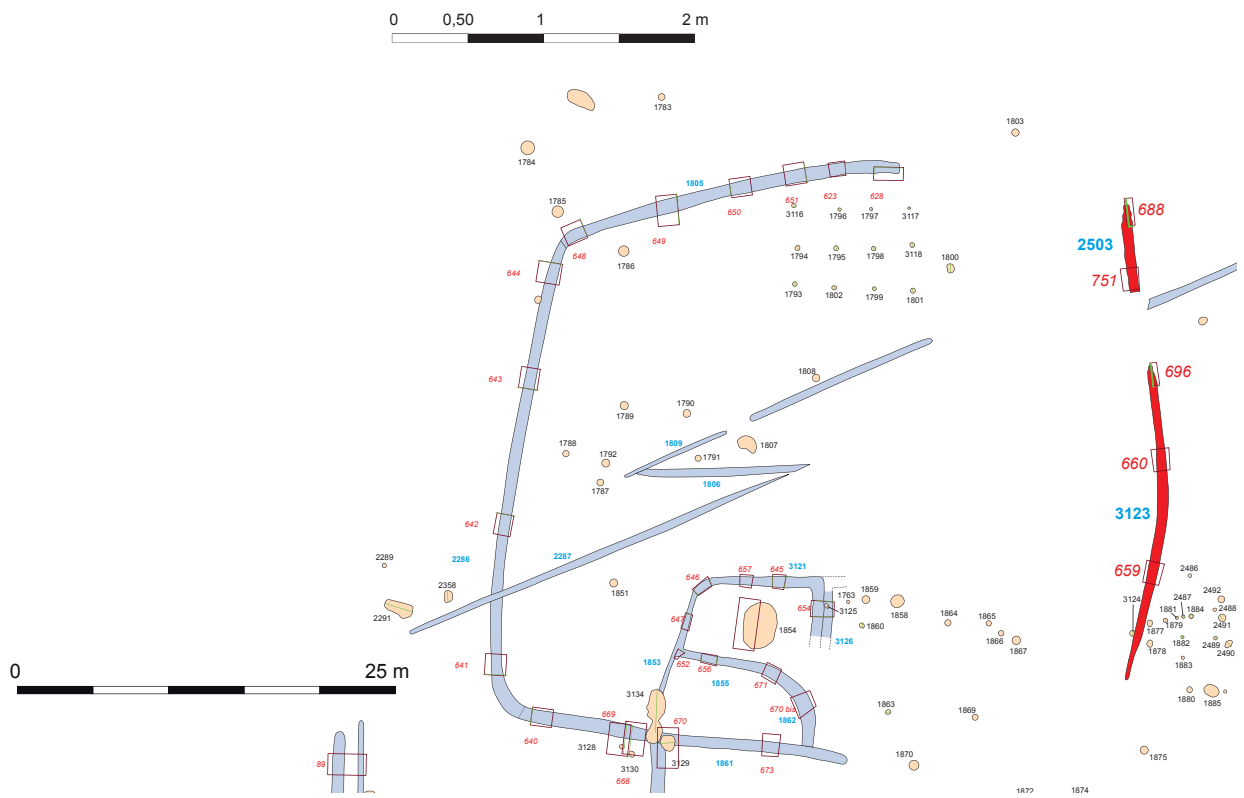


Fig. 282 : plan et coupes des fossés 2503 et 3123

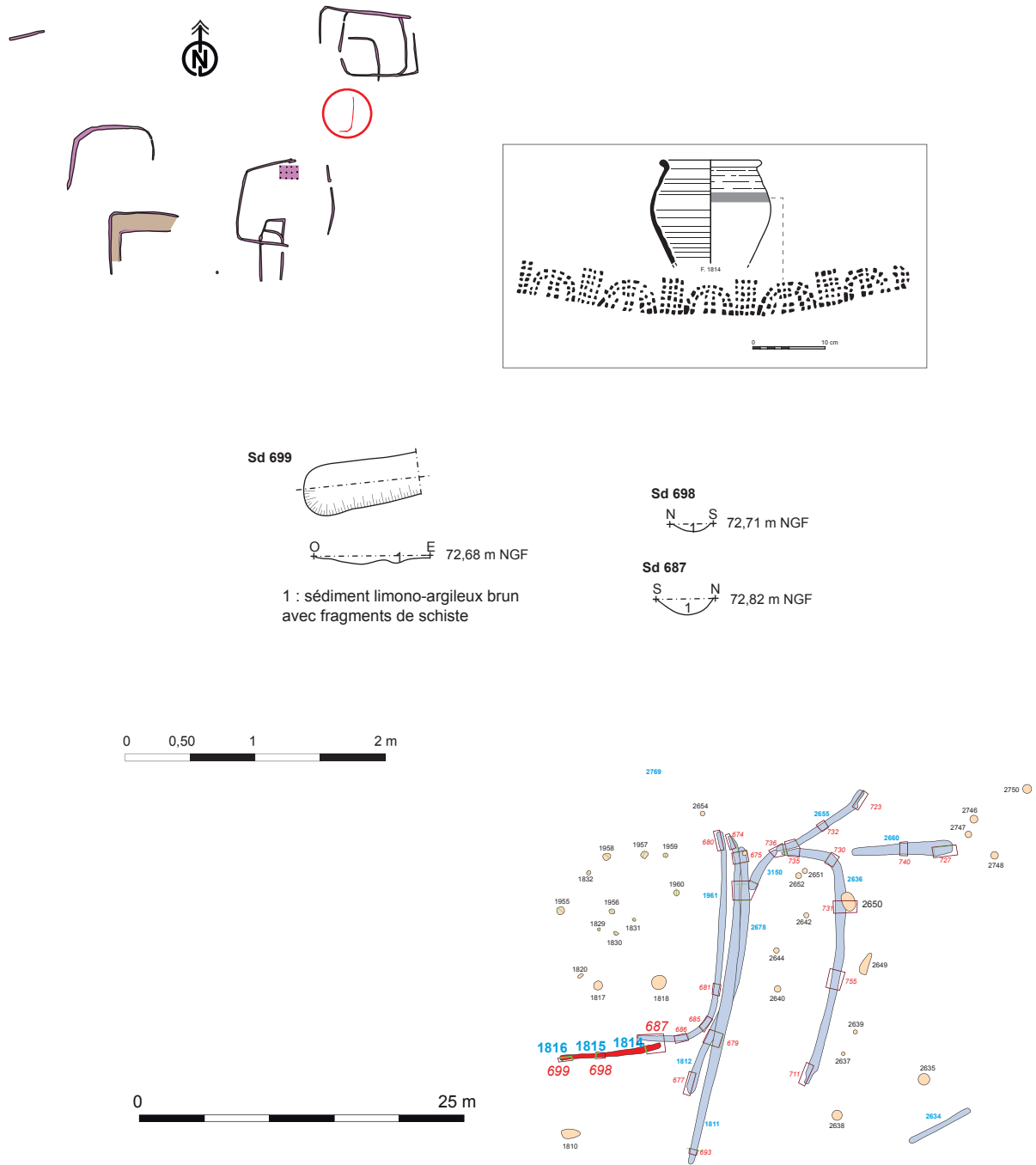


Fig. 283 : plan et coupes du fossé 1814-1815-1816

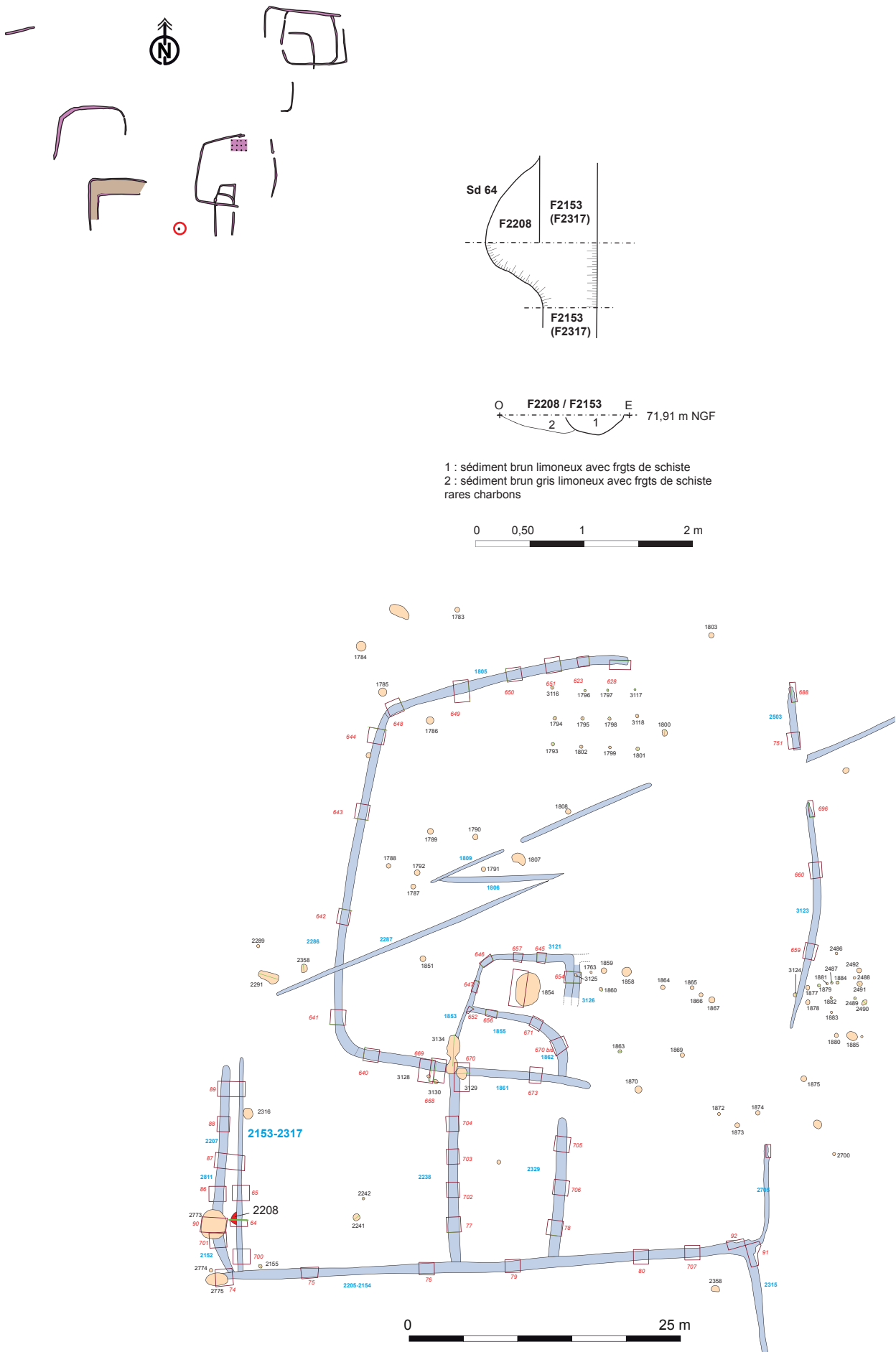


Fig. 284 : plan et coupe de la fosse 2208

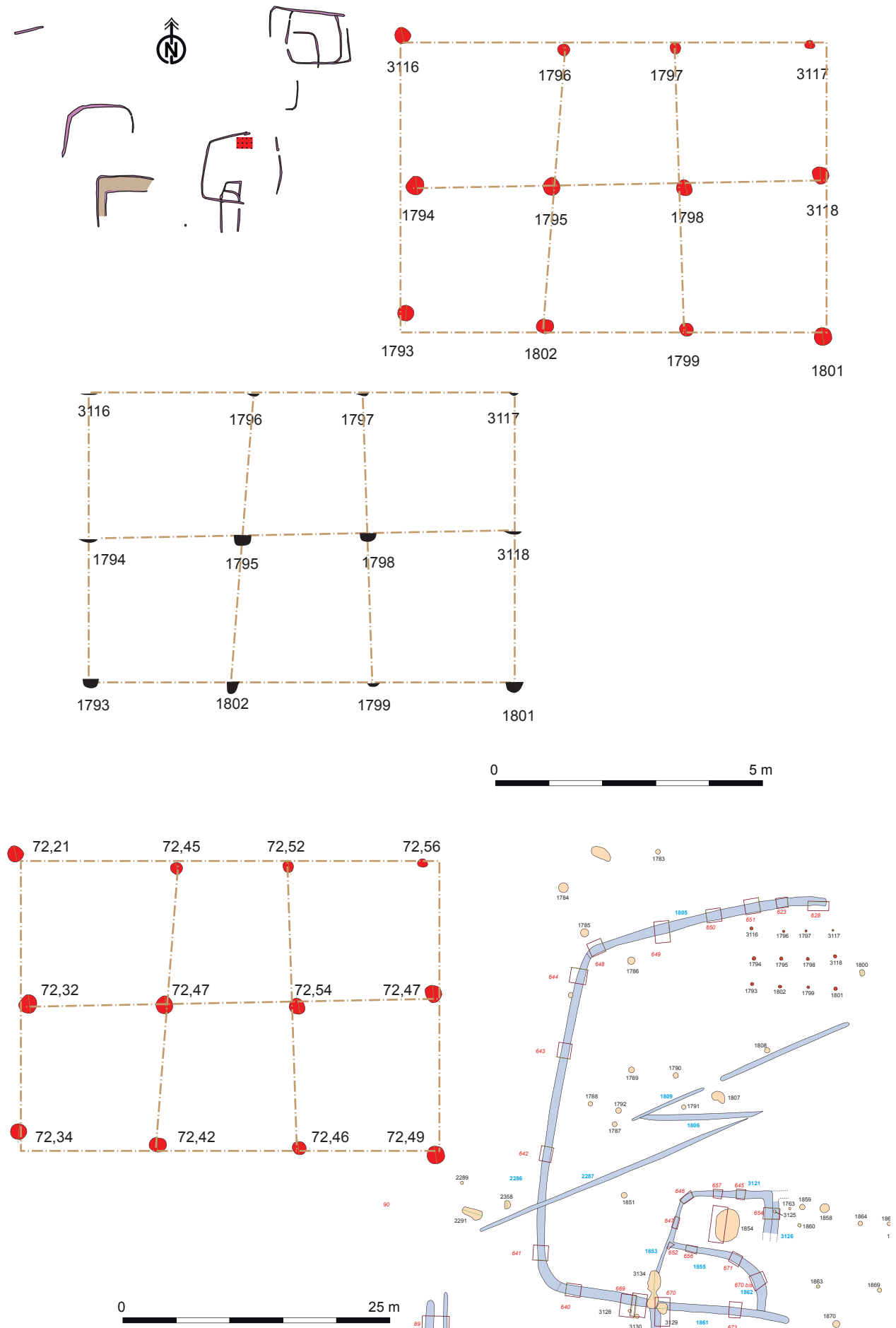


Fig. 285 : plan et coupe des poteaux du bâtiment sur poteau



profondeurs conservées que de 2 à 5 cm.

La fouille n'a pas livré de céramique permettant de dater le comblement des trous de poteaux, mais vue la localisation, il semble plus se rapporter à la période médiévale. Il correspond au type de bâtiment à deux nefs de plan rectangulaire que l'on peut rencontrer sur les sites médiévaux et notamment le Eb6 de Châteaugiron, la Perdriots (35) présentant à peu près les mêmes dimensions que celui de Cesson-Sévigné (I. Catteddu, 2013 p. 288-289). Pour l'auteur, ces plans peuvent correspondre à des bâtiments d'habitation (op. cit. p. 291).

Plus au nord-est, en limite de décapage, se trouve l'enclos 2. Il est composé d'un enclos principal de forme pratiquement carrée avec des reprises ou des ajouts. À l'intérieur se trouvent quelques fosses et trous de poteaux mais surtout des chablis (fig. 286).

#### 2.4.4. Enclos 2

Il fait selon un axe nord/sud 29,60 m avec les fossés 2668 côté ouest et 2790 côté est. Sur un axe est/ouest, il fait environ 31 m de longueur avec les fossés 2873 au nord et 2663 au sud. La superficie interne est d'environ 800 m<sup>2</sup>. Une ouverture de 3 m est située sur la façade ouest, entre les sondages 741 et 737. En avant de la façade vient se greffer le fossé 2673 alors que le fossé de la façade est 2790, se dédouble au sud avec le fossé 2778-2770.

Dans l'angle sud-est, le fossé 2663 de la façade sud, est prolongé par le fossé 2785 formant un retour vers le nord. La façade sud est recoupé par deux fossés 2764-2787 et 2768-2798-2804 d'axe nord/sud faisant un coude vers l'ouest. Enfin un petit fossé 2797 d'axe est/ouest vient se rattacher au fossé 2768-2798-2804. Il faut également noter que la façade nord est composée d'au moins 2 fossés ou 1 fossé avec des recreusements.

Cet enclos recoupe l'axe de circulation antique.

##### Fossé 2873

Il constitue la façade nord et a été suivi selon un axe est/ouest sur une longueur de 35,16 m pour une largeur variant de 1,20 m dans le sondage 749 à 1,50 m dans le sondage 754 pour une profondeur conservée comprise entre 0,34 et 0,38 m (fig. 287). La grande largeur de ce fossé s'explique par la reprise de son tracé par 1 ou 2 fossés, visible dans les sondages 749, 750 et 753. Le comblement est constitué d'un sédiment limono-argileux brun gris peu compact avec des inclusions de cailloutis de schiste et de quartz. Le profil de ce fossé est très évasé avec un fond plus ou moins arrondi. Sa moitié sud est reprise par un fossé à profil plus abrupt à fond également arrondi. Le comblement est constitué d'un sédiment limono-argileux brun hétérogène, avec de nombreuses inclusions de schiste, de la terre cuite et des charbons de bois. Ce deuxième fossé n'a pas été observé dans le sondage 754. Par contre dans les sondages 749 et 750 est visible un autre creusement, comblé d'un sédiment limoneux brun comportant des plaquettes de schiste éparses.

La fouille a livré des fragments de tuile dans les sondages 749, 750, 753 et 754.

##### Fossé 2790

Il constitue la façade est, d'axe nord/sud il a été suivi sur une longueur de 20 m et une largeur de 0,80 m (fig. 288). Il a été sondé à plusieurs endroits mais les coupes n'ont pas été relevées.

Il se divise ensuite en 2778-2770 et en 2780-2767.

##### Fossé 2663

Il constitue la façade sud d'axe est/ouest, il a été suivi sur une longueur de

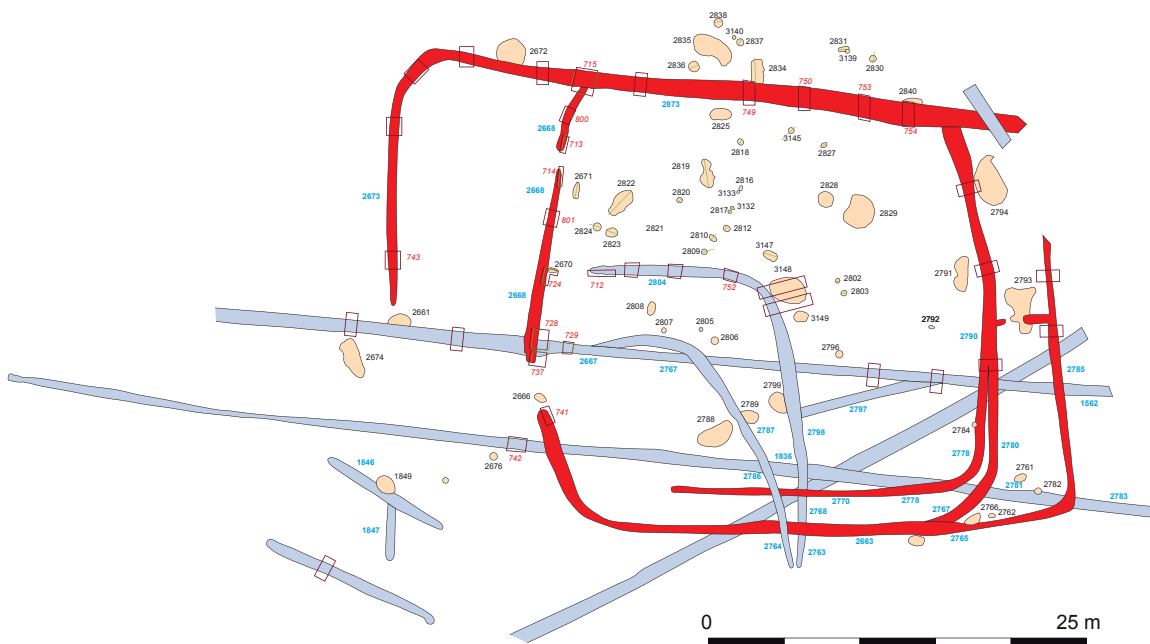
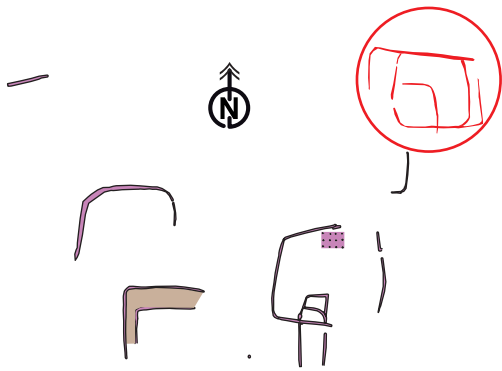


Fig. 286 : plan de l'enclos médiéval 2 © cliché équipe de fouille

3,6 m pour une largeur de 0,88 m et une profondeur conservée de 0,36 m (fig. 289). Seul le sondage 741 (ouverture de l'enclos) a été réalisé. Il présente un profil évasé et un fond arrondi. Le comblement est constitué d'un sédiment limono-argileux brun foncé compact, homogène avec quelques inclusions de charbons de bois et de schiste.

Ce fossé est recoupé par le fossé non daté 2764-2769-2787.

#### Fossé 2668

Il correspond à la façade ouest de l'enclos. D'axe nord-est/sud-ouest, il a été suivi sur une longueur de 18,64 m pour une largeur moyenne de 0,40 m et une profondeur conservée de 0,12 m (fig. 288 et 289). Le profil est évasé et le fond irrégulier. Le comblement est constitué d'un sédiment limono-argileux brun gris compact avec quelques blocs de schiste et du charbon de bois. Sur le plan il semble être ouvert entre les sondages 713 et 714. Cependant l'observation des coupes de ces sondages montre qu'il s'agit vraisemblablement d'une mauvaise conservation à cet endroit.

Dans le sondage 715, ce fossé est coupé par le fossé 2873 alors qu'en extrémité sud, il recoupe le fossé gallo-romain 2667 dans le sondage 728.

#### Fossé 2673

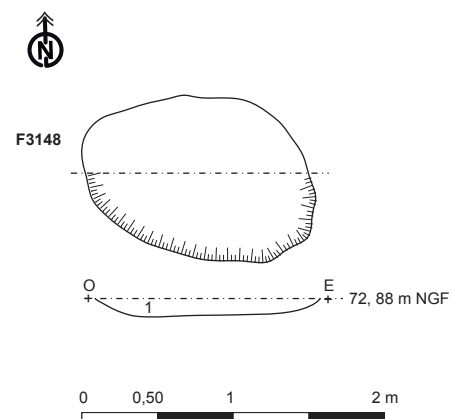
D'axe nord/sud, il a été suivi sur une longueur de 35,16 m pour une largeur de 0,60 m et une profondeur conservée de 0,18 m (fig. 288). Le profil est évasé et le fond relativement plat. Le comblement est constitué d'un sédiment limono-argileux gris meuble avec inclusion de charbons de bois et de terre cuite.

La fouille a livré dans le sondage 743, 7 tessons de céramique vraisemblablement du IX<sup>e</sup> siècle.

Ce fossé forme un coude vers l'est et se raccorde aux fossés 2873 et 2868 de l'enclos principal.

#### Fosse 3148

Elle est de forme ovale, avec une longueur de 1,50 m pour une largeur de 0,90 m et sur une profondeur conservée de 0,09 m (fig. 287). Les parois sont évasées et le fond est plat. Le comblement est constitué d'un sédiment limono-argileux peu compact, hétérogène, avec des inclusions d'oxydation, de schiste, d'altérite et de charbons de bois. A proximité se trouve le trou de poteau 3149 dont la fouille a livré des fragments d'une meule et des scories.



1 : sédiment limono-argileux brun peu compact hétérogène avec oxyde, fragments de schiste et d'altérite, charbons de bois et TCA

Fig. 287 : plan et coupe de la fosse 3148

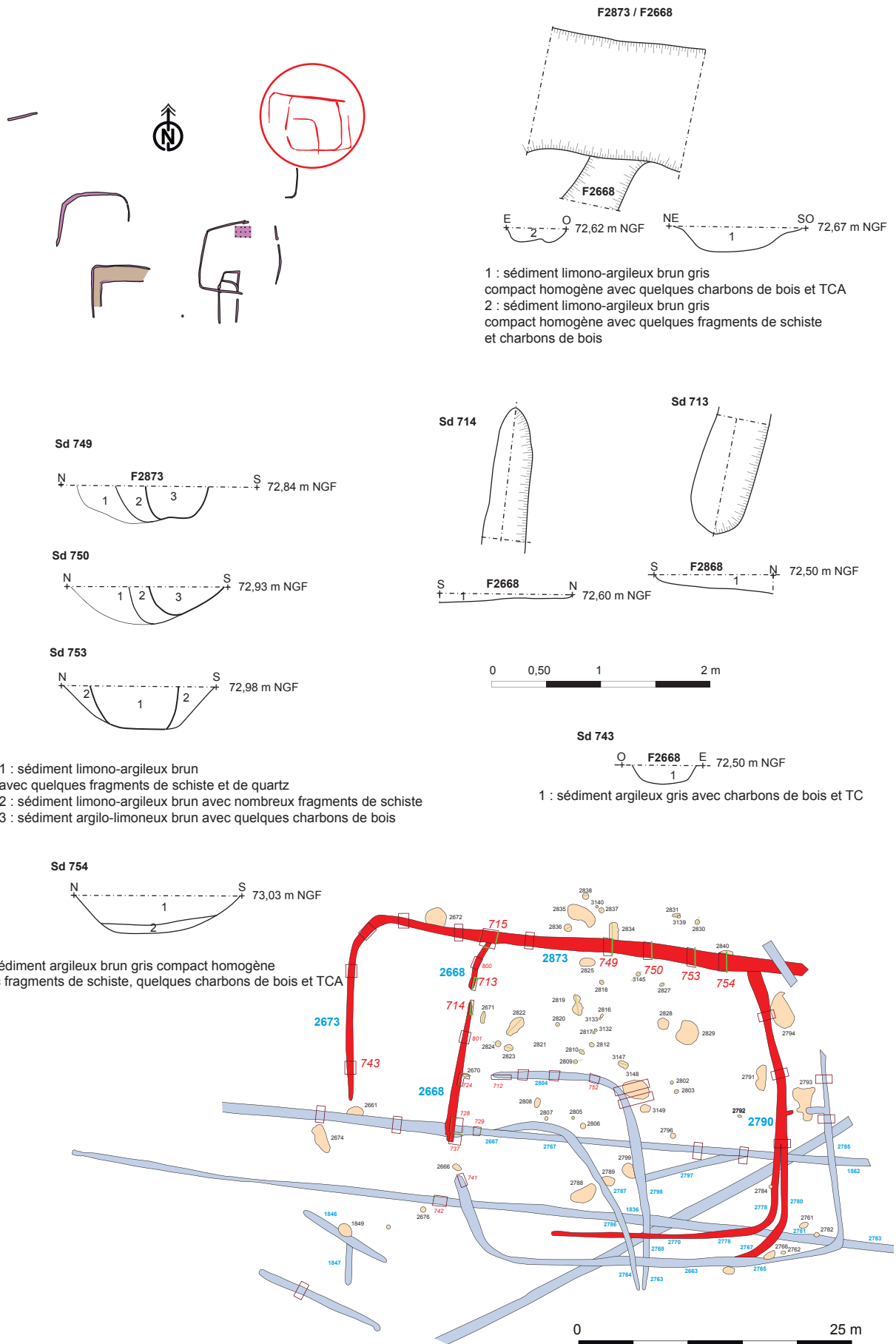


Fig. 288 : plan et coupes des fossés 2668, 2673 et 2873

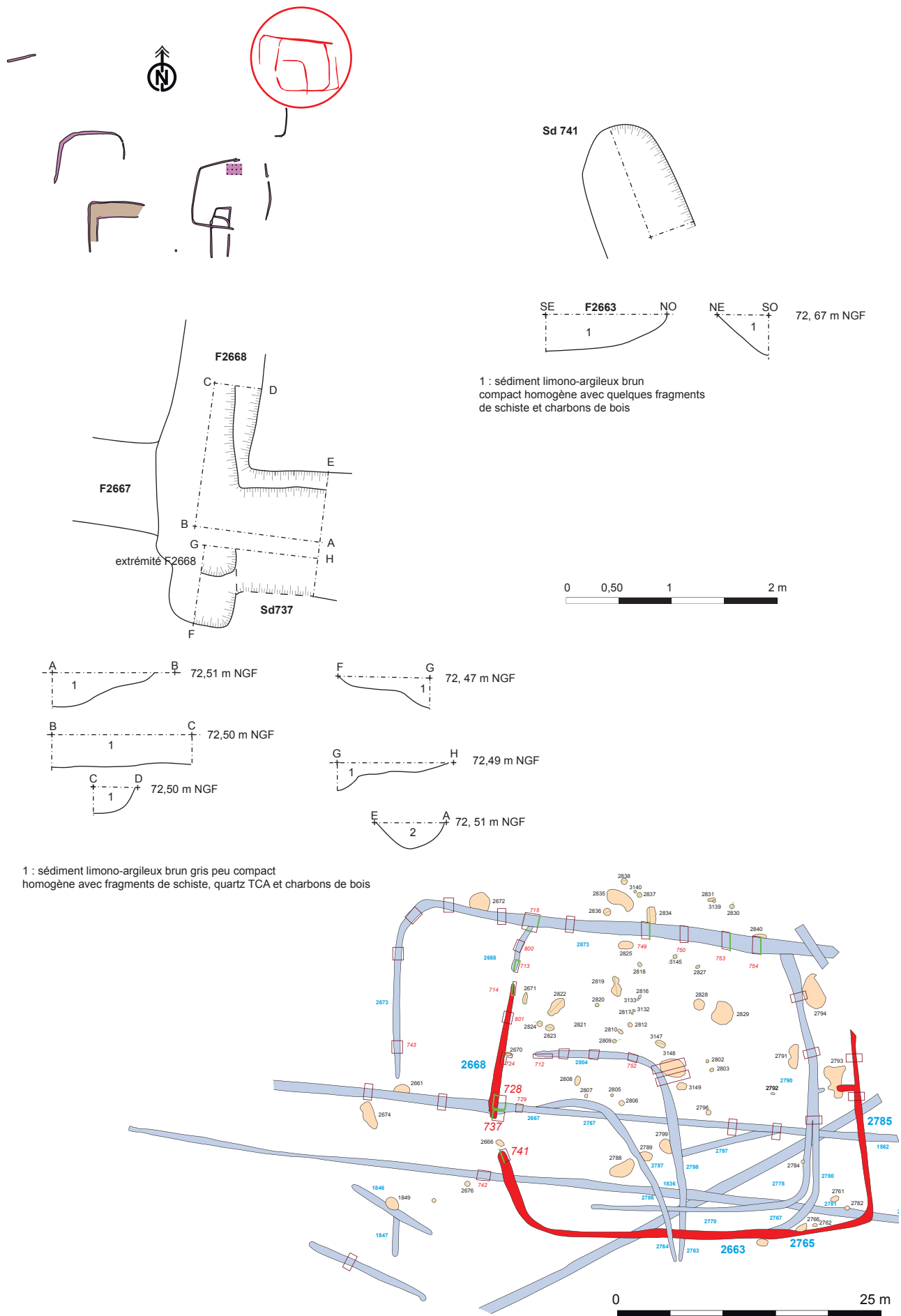


Fig. 289 : plan et coupes des fossés 2668 et 2663-2665

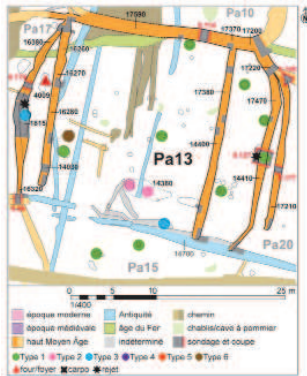


Fig. 290 : exemple de la parcelle Pa13 extrait du RFO de Châteaugiron la Perdriots  
© Mathilde Dupré

### Bâtiment 2

A l'intérieur de l'enclos 2, dans l'angle nord-ouest, un alignement de trous de poteaux peut indiquer l'emplacement d'un bâtiment. D'orientation nord-est/sud-ouest il aurait à peu près une longueur de 7 m sur une largeur variant de 2,60 à 3,50 m (fig. 291). Il correspondrait à un plan simple rectangulaire ou trapézoïdal avec une dizaine de trous de poteaux ou de fosses. Seule la ligne de poteaux nord-est/sud-ouest serait relativement bien conservée. Les diamètres varient de 0,20 m à 0,60 m pour des profondeurs conservées allant de 0,08 m à 0,17 m. Les profils sont en U avec un fond arrondi. Le comblement est constitué d'un sédiment limono-argileux brun meuble homogène.

Le seul tesson de céramique trouvé dans ce secteur en-dehors des fossés, provient du trou de poteau 3147, situé non loin de cet alignement de poteaux. Il est également situé à côté de la fosse 3148 dont la fouille a livré des fragments de TCA.

Les autres creusements présents dans cet enclos 2 sont principalement des chablis ou des anomalies.

Ce type d'enclos de part sa forme curviligne et ses dimensions rappelle les parcelles encloses trouvées sur le site de Châteaugiron, « la Perdriots » (35) et notamment la Parcelle Pa13 (fig. 290) dont la surface interne fait à peu près 700 m<sup>2</sup> avec des doublages de fossés sur les côtés et des reprises (op. cit. p. 196 et 197).

### 2.4.5. Enclos 3

Il est situé juste en-dessous de l'ensemble 1 gaulois, dans la partie centrale du site de La Salmondière. La fouille n'a pas livré de tesson de céramique permettant de dater son comblement, mais c'est par comparaison morphologique avec les autres enclos médiévaux et par chronologie relative, qu'il a été rattaché à cette période.

Il forme un arc de cercle, ouvert côté sud. Sa façade ouest est constituée du fossé 2001 se prolongeant vers l'est avec 1338 avec un retour est 1616 et 1617 (fig. 292).

#### Fossé 2001-1338

D'axe nord-est/sud-ouest, il a été suivi sur une longueur de 28 m pour une largeur de 1,20 m sur une profondeur conservée de 0,50 m. Le profil général est un V. Le comblement est constitué d'un sédiment limono-argileux brun orangé avec blocs de schiste.

#### Fossé 1616

D'axe est-ouest, il a été suivi sur une longueur de 28 m pour une largeur allant de 1,25 m à 1,48 m et sur une profondeur conservée variant de 0,50 à 0,58 m. Le profil est en V évasé. Le comblement est constitué d'un sédiment limoneux gris beige avec de nombreuses inclusions d'altérite, des charbons de bois et des fragments de terre cuite. Dans le sondage 393 un recusement ou reprise du fossé est visible dans la coupe.

#### Fossé 1617

D'axe nord/sud, il a été suivi sur une longueur de 14 m et sur une largeur de 0,60 m, mais il n'a pas été fouillé.

Il a été observé visuellement lors du décapage que le fossé d'enclos recoupe les fossés gallo-romains 1388, 2021 et 2073 et qu'il est recoupé par la haie moderne 2000, ce qui confirme qu'une datation pour l'époque médiévale est tout à fait possible.

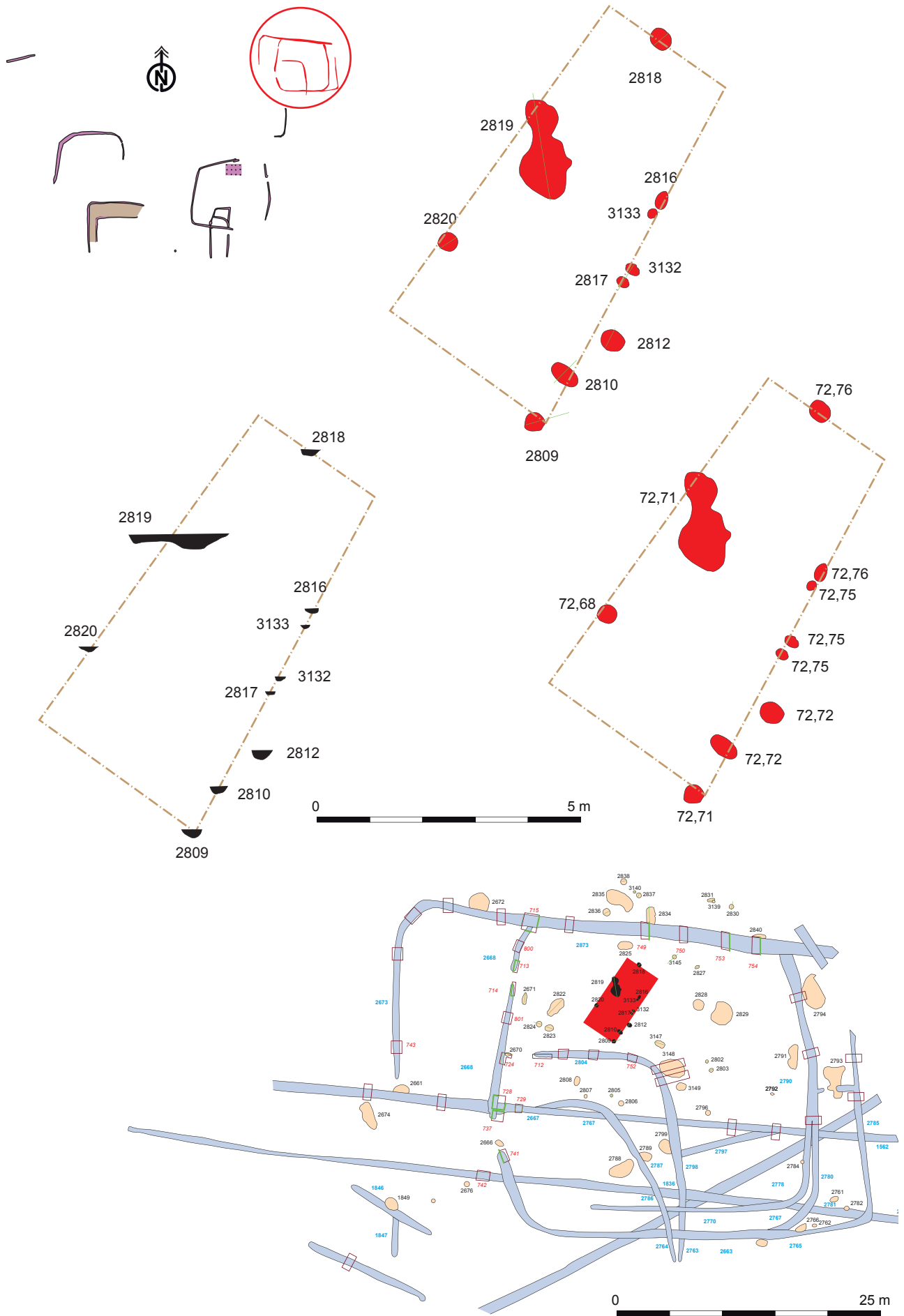
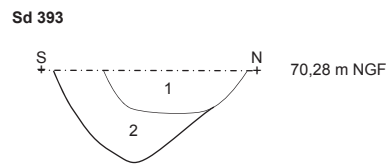
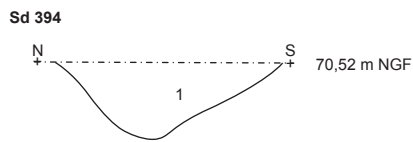
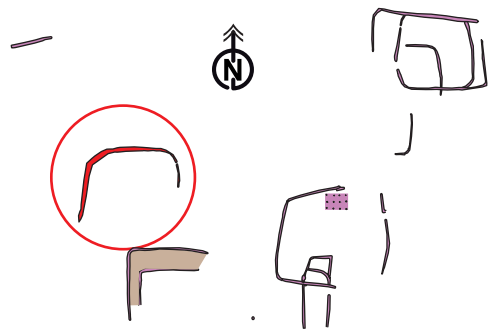


Fig. 291 : plan et coupes des trous de poteaux du bâtiment dans l'enclos 2



1 : sédiment limoneux brun beige avec manganèse, quelques fragments de schiste et charbons de bois  
 2 : sédiment limoneux gris beige avec manganèse, nombreux fragments de schiste, charbons de bois et TCA

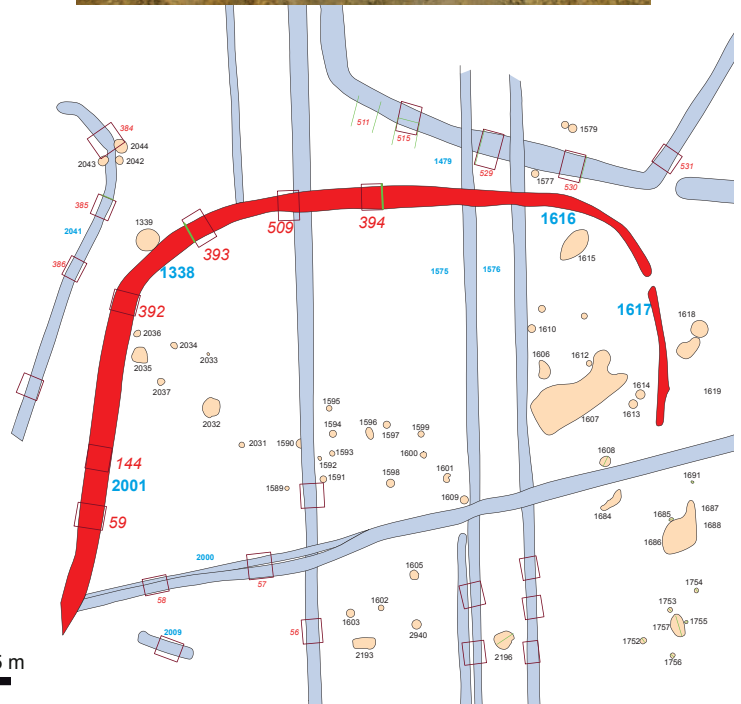


Fig. 292 : plan de l'enclos médiéval 3 © cliché équipe de fouille



### En résumé

L'occupation médiévale respecte donc pour son implantation, les occupations antérieures gauloises et antiques. Elle se compose de petits enclos curvilignes pouvant abriter quelques fosses et concentrations de trous de poteaux pouvant correspondre à des habitats et peut être à des activités artisanales comme la forge. Son installation, comme l'indique l'étude céramique couvre une longue période du haut Moyen Âge : du VI<sup>e</sup> au IX<sup>e</sup> siècle.

## 2.4.6. Étude du mobilier du haut Moyen Âge Par Françoise Labaune-Jean

### 2.4.6.1. La composition des lots et le traitement

Le mobilier postérieur à la fin de l'Antiquité se rapporte à 17 structures, soit un total de 152 tessons.

L'intervention menée sur un mobilier déjà propre a consisté en un inventaire de chacun de ces ensembles, puis au remontage des pièces fragmentées afin d'en faire un relevé le plus complet possible. Au terme duquel, a été entreprise la rédaction de la présente étude.

### 2.4.6.2. Présentation des lots (PL. 25)

#### Fait 523 (nord)

Deux tessons de panse ont été découverts dans cette structure. Ils possèdent les restes d'un décor à la molette et correspondent à l'épaule d'un récipient de type pot de cuisson. Le motif de la molette se compose de grandes croix en X imbriquées donnant une impression de chevrons. Par l'aspect de la pâte, ce récipient se rattache au haut Moyen Âge, plus précisément à l'époque mérovingienne.

#### Fait 624 (us5)

Les 9 fragments mis au jour ici correspondent après remontage à un même individu. Il en reste un fond plat prolongé par une panse oblique évasée et un fragment de bord à lèvre rentrante sans connexion avec la panse. Le tout correspond à une petite écuelle. Par l'aspect de la pâte, ce récipient se rattache au haut Moyen Âge sans précision possible (époque mérovingienne vraisemblable).

#### Fait 1805 (décap.)

Mobilier insuffisant : 1 tesson de panse avec pâte du haut Moyen Âge.

#### Fait 1814

À l'exception de deux petits éclats de terre cuite, le lot comprend 19 tessons appartenant à un même récipient à pâte bien cuite, à la limite du grésage. Le récipient de type pot de cuisson se compose d'un bord à lèvre en bourrelet, d'un col court et d'une panse ovoïde marquée à l'épaule d'un léger ressaut arrondi. Au dessus de ce dernier, le longéant à l'horizontale, une molette a été appliquée avant cuisson. Elle montre une alternance de deux motifs. Le premier est un rectangle formé de quatre lignes verticales juxtaposées constitué de six carrés superposés espacés d'un millimètre à peu près. Il sert à séparer le second motif en demi-cercle (ou fer à cheval), placé à la verticale au dessus d'un rectangle étroit de deux lignes verticales de trois carrés. Le demi-cercle montre en alternance deux ou trois lignes concentriques également à base de petits carrés. La section conservée est de bonne qualité et parfaitement imprimée. La forme générale du vase trouve des correspondances avec celles découvertes récemment sur l'atelier de potier mérovingien mis au jour à Gennes, La Liberderie, sur le tracé de la future ligne LGV (Labaune-Jean, en cours). Cette comparaison permet d'avancer une datation de la forme à la fin du VI<sup>e</sup> – courant du VII<sup>e</sup> siècle.

**Fait 1861 (sd 670)**

Mobilier insuffisant : 2 tessons de panse et fond de pot avec pâte du haut Moyen Âge.

**Fait 1861-3121 (sd 670)**

Lot insuffisant : 7 tessons de panse avec pâte du haut Moyen Âge. La pâte oxydante pourrait correspondre plutôt à des productions en usage à partir du IX<sup>e</sup> siècle.

**Fait 2160 (sd 93)**

Après remontage, les 5 tessons découverts ici livrent le haut d'un petit pot à panse ovoïde, avec une pâte oxydo-réductrice correspondant à une production du haut Moyen Âge. Le profil général de la pièce évoque des types en usage au cours du VIII<sup>e</sup> siècle.

**Fait 2208**

Lot insuffisant : 3 tessons de panse avec une pâte du haut Moyen Âge, sans précision possible.

**Fait 2618**

Lot insuffisant : 4 tessons de panse avec pâte du haut Moyen Âge. La pâte oxydante pourrait correspondre plutôt à des productions en usage à partir du IX<sup>e</sup> siècle.

**Fait 2668**

Lot insuffisant : seul l'aspect de la pâte de ces trois tessons de panse permet de rattacher leur production au haut Moyen Âge (période mérovingienne). Le sondage 728 de ce même fait livre quant à lui six tessons de panse à pâte claire en usage à partir du IX<sup>e</sup> siècle.

**Fait 2673**

Lot insuffisant : 7 tessons de panse avec pâte du haut Moyen Âge. La pâte oxydante pourrait correspondre plutôt à des productions en usage à partir du IX<sup>e</sup> siècle. Il convient de signaler la présence de deux fonds plats, dont un doté d'une perforation post-cuisson sans doute pour un remploi comme pot de fleur.

**Fait 2940**

Lot insuffisant : 2 tessons de panse avec pâte du haut Moyen Âge.

**Fait 3121 (sd 646)**

Lot insuffisant : 2 tessons dont un petit bord en bourrelet avec pâte du haut Moyen Âge. La pâte oxydante pourrait correspondre plutôt à des productions mérovingiennes (non illustré, car tesson trop petit).

**Fait 3126 (sd 654)**

Ce fait a livré deux tessons de céramique appartenant à un même récipient à pâte brune. La surface externe conserve d'importantes traces de cuisson indiquant un usage culinaire de la forme. Celle-ci se compose d'un haut de panse oblique, d'un petit col courbe, prolongé par une lèvre en courte collerette, éversée vers l'extérieur presque à l'horizontale. Ce type de profil trouve des correspondances localement avec des formes en usage au cours des VII-VIII<sup>e</sup> siècles (Husi, Hincker 2006).

**Fait 3134**

Lot insuffisant : 3 tessons de panse et fond avec pâte du haut Moyen Âge. La pâte oxydante pourrait correspondre plutôt à des productions en usage à partir du IX<sup>e</sup> siècle.

**Fait 3147**

Mobilier insuffisant : 1 tesson de panse avec pâte du haut Moyen Âge.

**En conclusion**

De cette petite étude, on remarquera que, si les formes sont suffisamment discriminantes pour avancer une datation, la faible quantité recueillie concernant la phase mérovingienne et la transition avec le début du Bas Moyen Âge ne se démarque pas des faciès locaux où, pour ces périodes, les contextes sont généralement pauvres en céramique, témoignant ainsi d'un recours vraisemblable à une part importante de récipients en matériaux périssables. La provenance des récipients les plus anciens ne peut être déterminée par un simple examen visuel. Toutefois, pour les formes plus récentes du fait 171, celui-ci est suffisant pour reconnaître les productions des ateliers chartrains déjà bien implantés à cette période.

## 2.5. Étude métallurgique par S. Barbeau<sup>1</sup> et N. Zaour<sup>2</sup>

Des activités métallurgiques ont été reconnues lors des opérations archéologiques qui se sont déroulées à Cesson-Sévigné en Ill<sup>e</sup> et Vilaine Les vestiges traités proviennent des fouilles du site de La Salmondière. De la réduction du minerai de fer à l'obtention d'un objet fini, les différentes opérations de traitement du fer se déroulent au sein d'installations distinctes et engendrent des déchets spécifiques, qui permettent de déterminer précisément les types d'activités pratiquées. Plus de 95 kg de déchets résultant d'un travail du fer se rapportant essentiellement aux étapes de forgeage ont été collectés sur le site de La Salmondière.

### 2.5.1. La chaîne opératoire de la production du fer :

Les sites à vocation sidérurgique sont constitués de différentes aires de production. Les aires d'extraction du minerai peuvent se situer dans un rayon proche des aires de réduction, mais ceci ne constitue en aucun cas une règle absolue. Dans le cas d'un site dédié à la réduction, les aires de rejets détritiques (ferriers, fosses de rejet) sont essentiellement rassemblées autour des bas fourneaux. À côté de ces structures peuvent coexister d'autres aménagements liés au traitement du minerai (lavage, grillage, tri et concassage), du combustible (charbonnage) et à la préparation des fours de réduction (extraction de l'argile). Le travail de post-réduction, c'est-à-dire l'épuration de la masse de fer brut, la mise en forme du lingot de fer, l'élaboration et la réparation d'objets en fer (foyers d'épuration ou de forge), peuvent s'exercer sur le même site ou dans des ateliers spécialisés. Les matières premières transformées dans les forges peuvent être des masses de fer non épurées ou bien du métal mis en forme, en demi-produits par exemple.

### 2.5.2. La paléométallurgie

La paléométallurgie couvre l'étude de l'ensemble des processus techniques artisanaux d'acquisition, de production et de travail des métaux (fer et cuivre) et de leurs alliages (acier, fonte, bronze, laiton). Cela concerne la restitution de la chaîne opératoire, de l'étape de la réduction du minerai à celle de la mise en forme des objets. En Europe occidentale, l'utilisation du fer est connue, de façon très ponctuelle, dès le IX<sup>e</sup> siècle avant J.-C. sans pour autant que des fourneaux de réduction soient identifiés. Dans nos régions la production semble débiter entre le VIII<sup>e</sup> et le VII<sup>e</sup> siècle avant J.-C., mais elle prend véritablement son essor durant les deux derniers siècles avant J.-C.

Le champ de ce domaine d'étude est très vaste. L'objectif est de comprendre les différents procédés techniques mis en œuvre tout au long de la chaîne opératoire (schématiquement : de la mine au minerai, du minerai au métal, du métal à l'objet) aux différentes époques. Il s'agit de « lire la matière » (caractérisations structurales et analytiques) afin de comprendre ce que l'homme a voulu faire et en déduire son habileté, ses compétences, ses

<sup>1</sup> (INRAP Grand Ouest)

<sup>2</sup>(INRAP Grand Ouest / UMR 5060 LMC - Laboratoire Métallurgies et cultures)

spécialités. Il s'agit aussi d'essayer de percevoir l'organisation économique et sociale qui sous-tend cette activité. Cela passe par la reconnaissance et l'analyse des liaisons entre la production primaire (extraction et réduction), la transformation du métal (forge) mais également la destination du métal (forge locale et/ou systèmes d'échange) et éventuellement son recyclage (grappage : refonte des vieux fers). Cependant il faut garder à l'esprit que l'étude d'un déchet métallurgique, même s'il est choisi pour sa représentativité au sein d'un lot, ne donne que l'image d'une action à un moment donné.

#### 2.5.2.1. Protocole d'analyse métallurgique

L'étude archéométrique appliquée à la paléométtallurgie du fer a pour but de déterminer la nature des matériaux. Il s'agit donc d'analyser par différentes méthodes macroscopiques, microscopiques et éventuellement analyses chimiques, les déchets liés à l'activité métallurgique pour aboutir à leur interprétation chimique et structurale afin de parvenir à une interprétation de leur origine et de leur formation. A La Salmondière, lors de la phase de terrain, tous les déchets métallurgiques, identifiés comme tels, ont été ramassés et seule une étude macroscopique globale a été réalisée. L'étude macroscopique de ces déchets a révélé quasi exclusivement la présence de culots de forge et de fragments de scories de forge. Ces scories sont des déchets caractéristiques laissés par les activités de forge qu'elles soient d'épuration, d'élaboration ou de réparation. Les culots de forge ont un aspect très spécifique aisément identifiable, plus ou moins en calotte, induit par la configuration du foyer (fig. 293) dans lequel elles se forment et qui est à l'origine de cette dénomination. Ces scories se forment en effet dans une structure de chauffe à partir du mélange de métal, de charbons de bois et d'autres éléments provenant de l'altération des parois du foyer comme des cailloux, de la terre ou de l'argile et parfois de matériaux ajoutés.

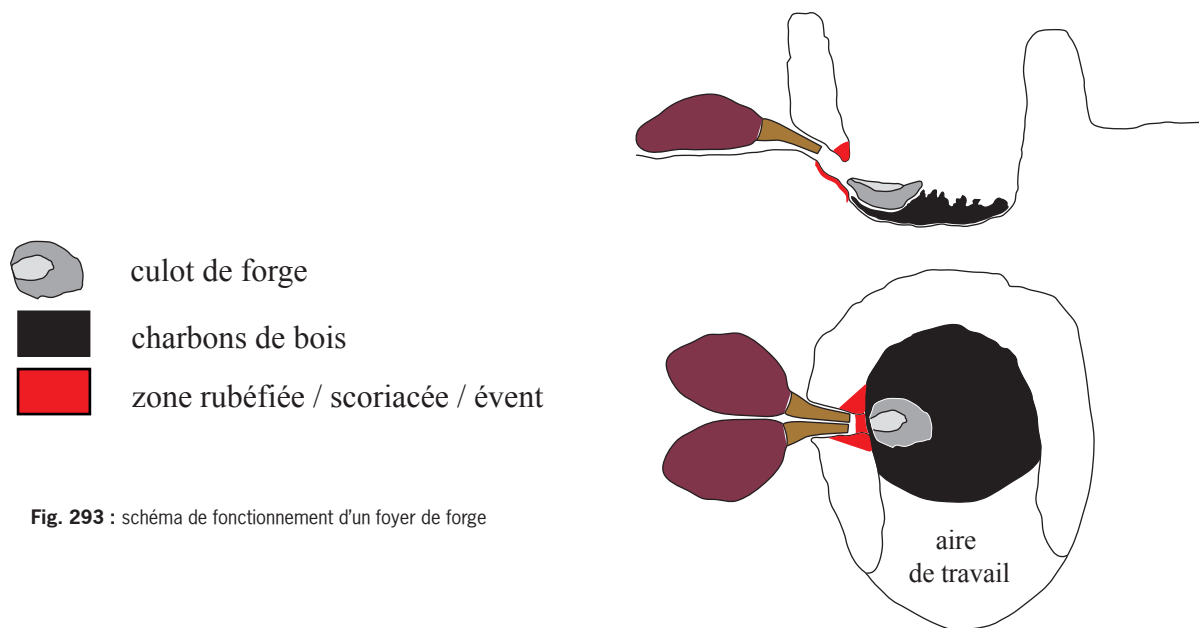


Fig. 293 : schéma de fonctionnement d'un foyer de forge

### 2.5.2.2. Typologie et assemblage des déchets métallurgiques à Cesson – La Salmondière

Un peu plus de 95 kg découvert sur l'ensemble de la zone étudiée sont des déchets liés au travail du fer. Les déchets proviennent des phases datées de l'âge du Fer, de l'Antiquité et du Haut Moyen-Âge avec une très forte présence dans les structures datées de la période antique (Tab. 6).

L'étude réalisée ici s'est donc essentiellement focalisée autour de cette occupation. Les déchets sidérurgiques provenant de structures non datées représentent 3% de la masse totale du mobilier sidérurgique et n'ont pas été retenus dans le cadre de ce travail.

Seuls des mobiliers évoquant le travail du fer et essentiellement les activités de forge ont été découverts sur le site de La Salmondière. Ils peuvent être classés en six grandes catégories (fig. 294).

### 2.5.2.3. Les produits métalliques

Si 95 kg de déchets métallurgiques ont été collectés seules 4 pièces de métal, totalisant une masse de 679 g, liées à ces activités ont été découvertes. L'une provient des niveaux datés de l'âge du Fer et les trois autres des niveaux antiques.

#### Les déchets scorifiés

##### – Les éléments de parois

Les parois scorifiées correspondent aux revêtements argileux tapissant les foyers métallurgiques. Leur but est de protéger la cavité soumise à la chauffe, ainsi que le soufflet assurant l'alimentation en oxygène. Directement soumis à la chaleur, ces éléments s'altèrent plus ou moins rapidement. Ils peuvent être réparés par rechapage, ou bien sont rejetés. Comme ces pièces sont presque toujours fragmentées, elles sont inventoriées en vrac, en portant néanmoins une attention spécifique à certains éléments qui s'avèrent porteurs d'informations, sur la morphologie du foyer ou sur ses conditions d'entretien. Des fragments de parois rubéfiées et des briques scoriacées ont également été découverts et évoquent la présence et les matériaux utilisés pour la fabrication des foyers de forge. Toutefois, les fragments de parois mis au jour à La Salmondière sont en faibles proportions et ne permettent pas d'avoir un aperçu des structures de forge.

##### – Les éléments de ventilation

Il s'agit d'éléments en argile permettant de conduire l'air jusque dans la chambre de combustion du foyer. Il peut s'agir d'un simple trou dans la paroi (évent) ou d'une pièce plus importante formant une sorte de bloc percé (tuyère). Ces pièces, qui sont au plus près de la source de chaleur, sont fortement scoriacées sur les faces internes du foyer.

##### – Les culots

Il s'agit de déchets de forme souvent plano-convexe, formés dans le foyer de forge, au débouché de l'arrivée d'air, dans le cadre de cycles de travail suffisamment longs, et ayant engendré suffisamment de pertes pour permettre l'agglomération des scories informes en un déchet individualisé. Les culots se forment durant un épisode de chauffe unique, compris entre le moment où le foyer est allumé et celui où il est éteint. Ils peuvent donc être mis en relation avec un cycle de travail cohérent, correspondant au maximum à une journée de travail. A l'issue de ce cycle ils sont rejetés, afin de ne pas boucher l'alimentation en oxygène fournie par l'arrivée d'air. Dans certains cas, le culot n'est pas évacué et un ou plusieurs exemplaires se

	NMI	NR	Masse (g)			
Antiquité	411	1340	83326			
Haut moyen-âge	20	27	9045			
âge du Fer	11	24	1672			
Non datée	5	7	2865			
<b>Total</b>	<b>447</b>	<b>1398</b>	<b>96908</b>			
âge du Fer	NMI	NR	masse (g)	Culot Type 1	Culot Type 2	Culot Type 3
culot de forge	5	9	1415	0	0	5
fragment scorie de forge	4	11	139			
masse métallique	1	1	104			
paroi rubéfiée	1	3	14			
<b>Total</b>	<b>11</b>	<b>24</b>	<b>1672</b>			
Antique	NMI	NR	Masse(g)	Culot Type 1	Culot Type 2	Culot Type 3
culot de forge	290	387	61979	79	77	134
fragment scorie de forge	81	774	16524			
masse métallique	3	3	575			
paroi rubéfiée	12	46	1270			
paroi scoriacée	16	46	597			
éléments de ventilation	4	40	672			
brique scoriacée	3	5	170			
scorie indéterminée (réduction ou forge ?)	3	39	1539			
<b>Total</b>	<b>412</b>	<b>1340</b>	<b>83326</b>			
haut Moyen-Âge	NMI	NR	masse (g)	Culot Type 1	Culot Type 2	Culot Type 3
culot de forge	16	14	8694	0	2	14
fragment scorie de forge	2	10	262			
paroi rubéfiée	1	2	41			
paroi scoriacée	1	1	48			
<b>Total</b>	<b>20</b>	<b>27</b>	<b>9045</b>			

Tab. 6 : inventaire des déchets sidérurgiques par phase

% de la masse des déchets sidérurgiques par phase chronologique

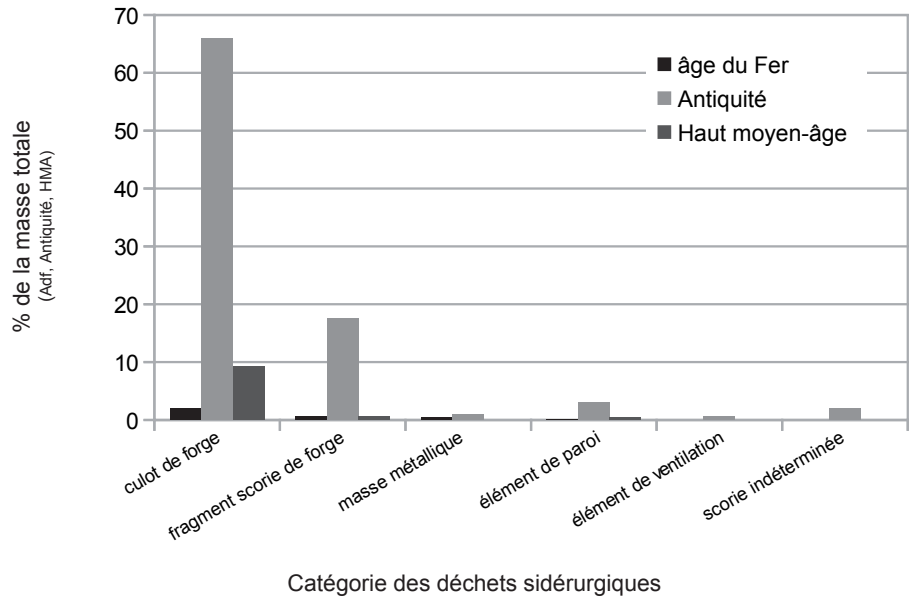
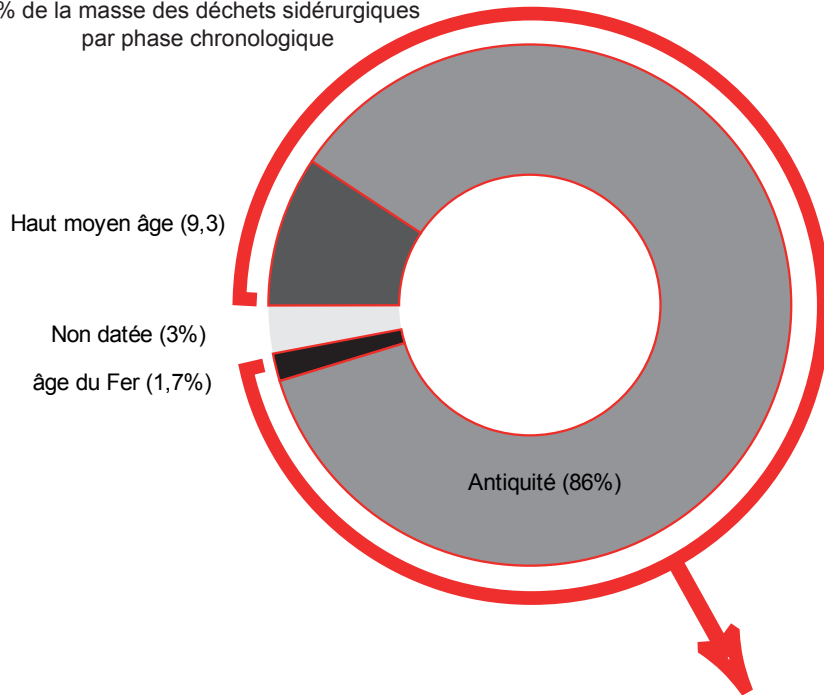


Fig. 294 : décompte par catégorie de déchets sidérurgiques (% de la masse total des déchets des phases datées)



trouvent superposés (culots multiples, composites).

72 kg de culots de forge ont été découverts lors de la fouille du site de La Salmondière. Ces déchets sont donc les mieux représentés avec plus de 76 % de la masse totale et 70 % du NMI total, toutes phases confondues.

Dans le cadre de ce rapport, les culots de forge ont été classés en trois grandes types qu'il conviendrait d'affiner. Le type 1 correspond au culot de forge exclusivement constitué de matériaux argilo-sableux. Le type 2 présente un aspect de scorie grise dense associée à une partie argilo-sableuse. Le troisième type quant à lui ne présente qu'un aspect de scorie grise dense.

- Les fragments de scories

Près de 17 kg de fragments de scorie ont été recueillis lors des travaux sur le site de La Salmondière. Ces fragments correspondent à la fois aux culots et aux scories informes fragmentées.

- Les scories indéterminées

Il s'agit de scories dont il est difficile de déterminer à quelle phase de la chaîne opératoire de la sidérurgie elles se rattachent.

### 2.5.3. Cesson-La Salmondière – La phase antique (fig. 295)

La fouille du site a révélé essentiellement un horizon antique contenant des déchets liés au travail du fer. Si quelques déchets ont été découverts dans une fosse (965) et les fossés situés à proximité de celle-ci (990, 927) de la zone nord, la majorité du mobilier sidérurgique provient de la zone ouest du site<sup>3</sup> avec la présence de près de 90 % du mobilier. Les déchets de cette phase sont alors essentiellement concentrés dans les fossés, fosses, trous de poteau et les deux foyers 746 et 748. En plus des déchets sidérurgiques de nombreux objets en fer ont également été découverts dans ces structures. Celles-ci se situent au sein d'un ensemble fossoyé qui évoque alors une zone ou un enclos dédié spécialement aux activités de forgeage.

### Conclusion

Le travail macroscopique sur les déchets métallurgiques de La Salmondière a permis de réaliser un diagnostic des activités pratiquées. La caractérisation typologique des culots de forge (métrologie, morphologie, nature des inclusions, densité, magnétisme), qui n'a pas pu être menée sur ce lot, permettrait de réaliser une étude plus fine sur le travail des forgerons de La Salmondière. L'analyse métallographique d'un échantillon représentatif pourrait également permettre de caractériser les étapes de travail et de reconnaître d'éventuelles spécificités techniques pratiquées par les forgerons de La Salmondière. Les déchets métalliques et scorifiés mis au jour se rattachent essentiellement aux dernières étapes de la chaîne opératoire de traitement du fer.

La quantité de culots de forge, la présence de fragments de paroi scoriacée, de plusieurs éléments de ventilation et l'existence de deux foyers (746 et 748) dans la zone ouest de la fouille ne laisse aucun doute sur l'existence d'une forge d'élaboration et sur l'intensité de cette activité qui s'achève à la fin du I<sup>er</sup> siècle de notre ère.

L'envergure de la production pourrait indiquer qu'il s'agit d'un atelier de forge mixte produisant à la fois pour le domaine et pour une demande locale. Dans le cas d'une activité liée à un domaine, comme cela semble être le cas ici, il a déjà été remarqué sur plusieurs sites que cette activité artisanale est reléguée assez loin de l'habitat principal faisant de la forge, une installation satellite du domaine.

.....  
<sup>3</sup> ST 700, 701, 704, 708, 709, 707, 746, 747, 748, 749, 755, 758, 759, 1153, 1157, 1158, 1159, 28861

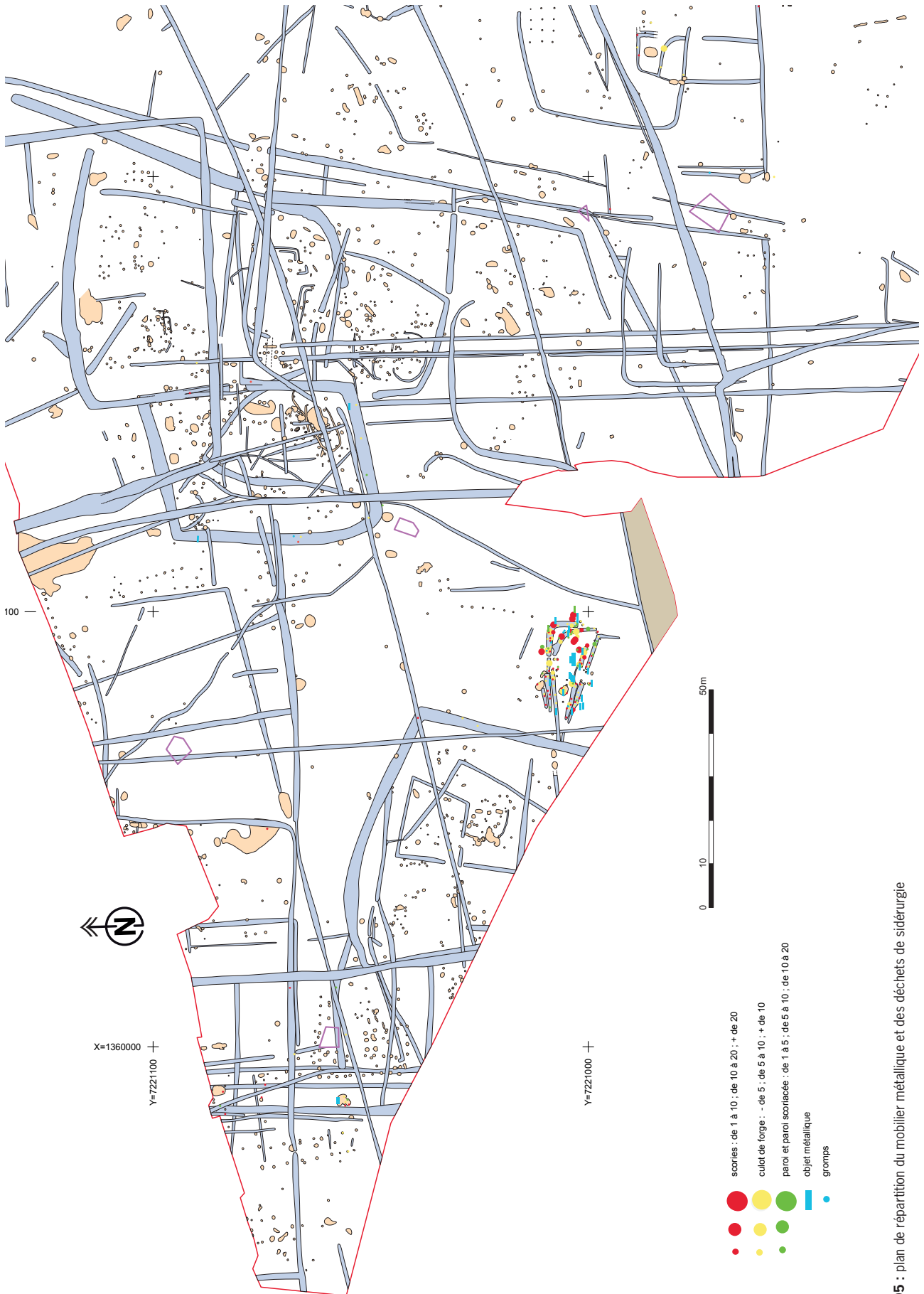


Fig. 295 : plan de répartition du mobilier métallique et des déchets de sidérurgie

Ce type d'installation se retrouve à Étampuis, La Briquetterie, en Seine Maritime<sup>4</sup> (fig. 296a). Il s'agit d'une occupation rurale datée entre la fin du I<sup>er</sup> siècle ap. J.-C. et le début du III<sup>e</sup> siècle ap. J.-C. L'installation métallurgique découverte est distante de 100 mètres de la parcelle contenant les bâtiments de stockage et d'habitat est séparée d'elle par une parcelle vide de toute structure. Le cas se retrouve également à Touffréville, La Saussaye, dans le Calvados<sup>5</sup> (fig. 296b). C'est un établissement rural couvrant 7 hectares dont l'occupation s'échelonne également entre le I<sup>er</sup> siècle av. J.-C. et le III<sup>e</sup> siècle ap. J.-C. La forge dont les scories couvrent une surface de 200 m<sup>2</sup> est située à 190 mètres de la maison principale, loin de toute zone habitée. Cette installation artisanale daterait du début du 1<sup>er</sup> s. ap. J.-C. Il en est de même avec la découverte de la zone de forge du Haut-Empire de Heudebouville, Ecoparc 2, dans l'Eure qui est située à 500 mètres de la villa (fig. 297a). A Heudebouville, les analyses métallographiques réalisées sur l'important lot de déchets sidérurgiques ont montré un travail de forge d'épuration et d'élaboration. Il est donc probable que l'activité de forge dépassait le cadre du domaine. Enfin un dernier exemple suisse nous permet de voir de nouveau une forge séparée de 300 mètres de la *pars urbana*. Il s'agit du site d'Etagnières, les Ripes, canton de Vaud en Suisse<sup>6</sup> (fig. 297b). L'étude qui a été menée sur la forge et sur les résidus métallurgiques a permis de définir avec finesse les activités pratiquées et l'incidence de ces activités sur l'environnement économique de l'établissement et de son territoire. Plus récemment les découvertes des forges du Haut-Empire à Orgères, Zac des Prairies d'Orgères, en Ille et Vilaine a montré de nouveau cette distanciation entre les zones de forge et les lieux de vie<sup>7</sup>. Il en est de même sur le site du Petit Bénazé à Domloup qui a révélé la présence d'une forge, datée entre la fin du I<sup>er</sup> et le début du III<sup>e</sup> siècle de notre ère, dans la *pars rustica* d'une villa située hors emprise<sup>8</sup>.

Dans ces différents cas, il semble qu'il s'agisse de forges de services ou de forges productives mixtes plutôt que de seules forges productives<sup>9</sup>.

Ainsi sur la majorité des occupations archéologiques sur lesquelles nous rencontrons des déchets de forge, nous pouvons sans doute parler de forges dites de services : la production est réduite à un usage strictement interne et l'artisan est probablement un paysan. Nous n'avons pas uniquement affaire à un travail de réparation ou d'entretien de mobilier déjà mis en forme. En effet, sur un certain nombre de sites, il est possible d'identifier aussi des demi-produits qui montrent bien qu'on y élabore un certain nombre d'objets (couteau, serpette). Il est plus facile de faire un outil à partir d'un matériau propre que d'essayer de reprendre un outil cassé qui peut nécessiter des soudures et donc une technique plus poussée.

Nous avons aussi visiblement ce que l'on pourrait décrire comme des forges productives mixtes. Dans ce cas, une partie de la production est tournée vers l'approvisionnement local, pour les fermes alentours, et une autre partie est à usage interne. Il est alors difficile de statuer sur la nature de l'artisan.

Enfin, un troisième et dernier type de forge est résolument ouvert sur l'extérieur et tourné vers un large marché par la commercialisation d'objets standardisés. Nous avons alors affaire à des forgerons professionnels qui travaillent de grosses quantités de métal et engendrent des quantités importantes de déchets. C'est le cas, par exemple, de la forge du quartier artisanal du lycée militaire d'Autun en Saône et Loire (Chardron-Picault, Pernot 1999).

4 Gertrude Blancquaert, 1995, p. 56-57.

5 Nicola Coulthard, 2005, p. 255-284

6 Perret Sébastien, 2002.

7 Levan Mélanie, à paraître.

8 Anne-Louise Hamon, 2014

9 Serneels Vincent, 1998, p. 7-44.

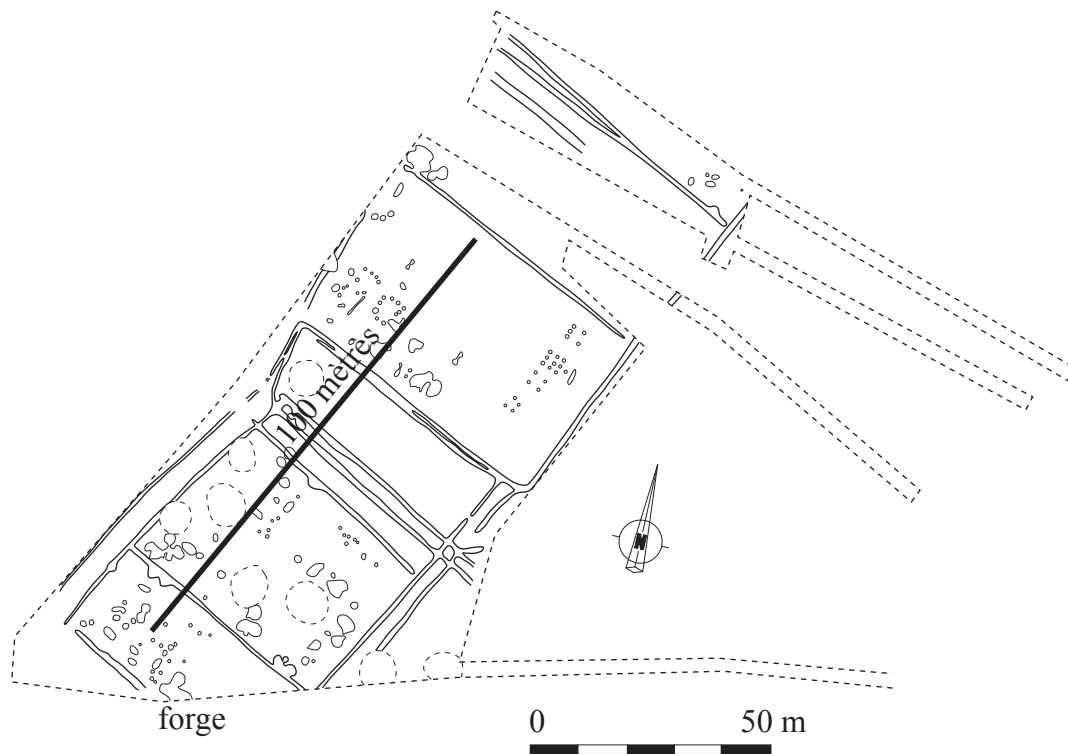


Fig. 296a : Etampuis, La Briquetterie 76, d'après Blancquaert G., 1995

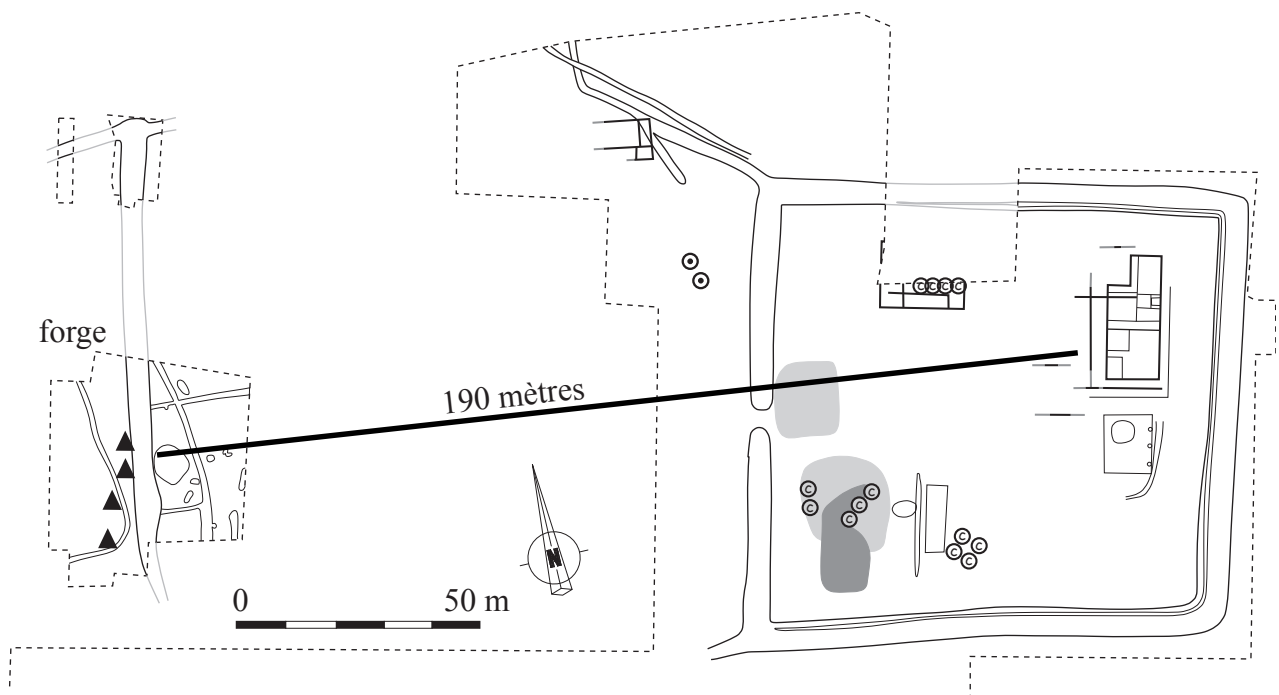
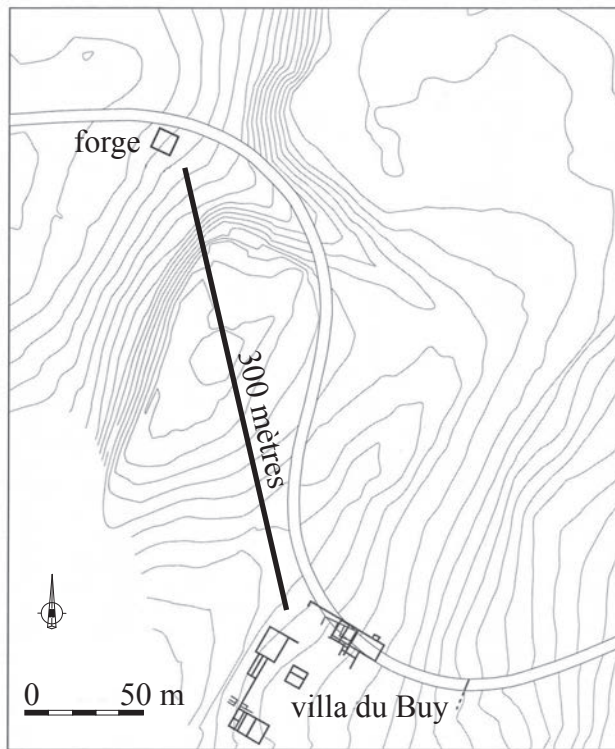
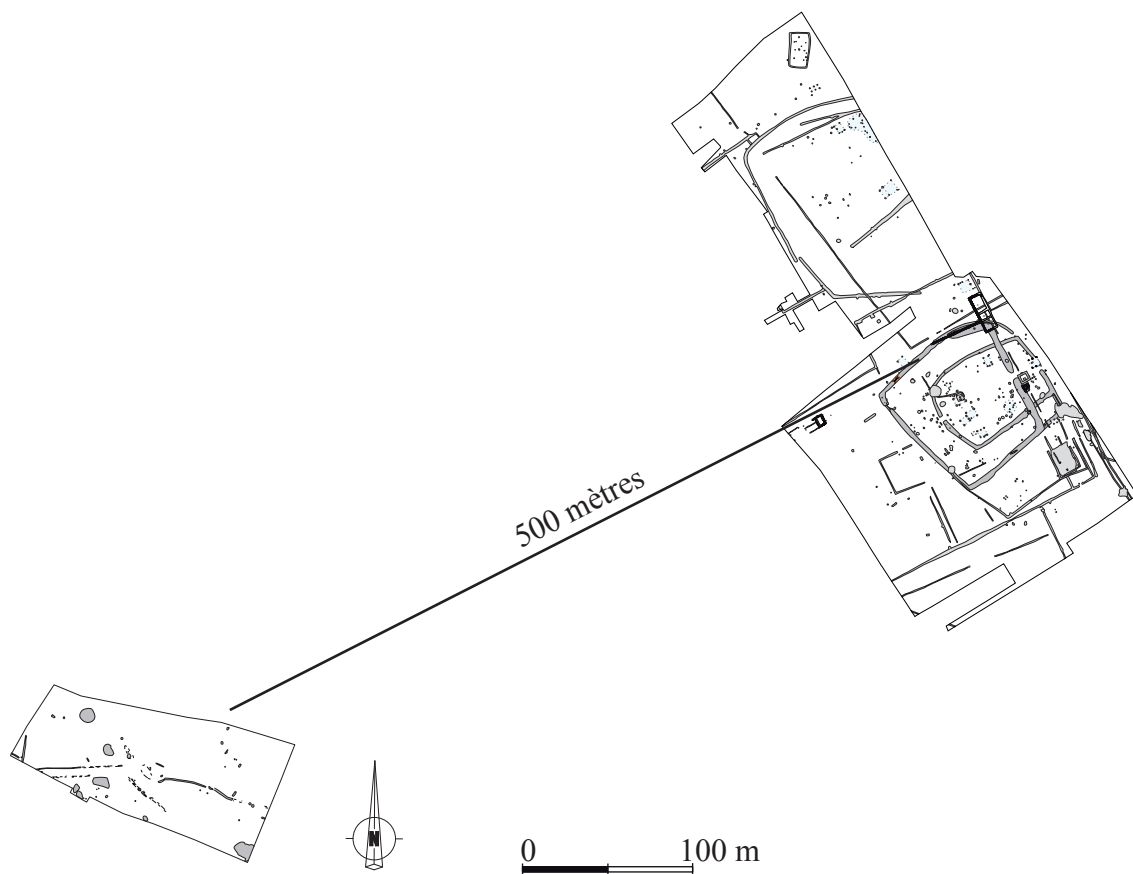


Fig. 296b : Touffréville, La Saussye 14, d'après Coulthard N., 2005



**Fig. 297b** : plan du domaine d'Etagnières, Les Ripes, Vaud (Suisse) d'après Perret S., 2002



**Fig. 297a** : Heudebouville, Ecoparc 2, Eure, d'après Dagmar Lukas, 2011

## 2.6. Étude du mobilier métallique par S. Barbeau

Le site de Cesson-Sévigné a livré 226 objets métalliques appartenant majoritairement à la période de l'antiquité (170 objets). L'autre partie importante des objets métalliques découverts au nombre de 45, se rattache à La Tène (fig. 300).

Ils comptabilisent au total, un poids de 4130 gr réparti comme suit : 1037 gr pour la période de La Tène soit 25,11 % de l'ensemble découvert sur le site et 3093 gr pour l'antiquité soit 74,89 % de l'ensemble du site (Tab. 7). Deux fossés modernes ont livré également du mobilier métallique F2000, 4 fragments d'une fine plaque de fer en mauvais état de 15 gr et F3112, une plaque de fer de 62 gr.

D'une manière générale, le mobilier est fragmenté et fortement corrodé. En dehors des clous plus facilement identifiables, il est difficile de déterminer la forme originelle des objets malgré les radiographies<sup>1</sup>.

### 2.6.1. Pour la période de l'âge du Fer

Les objets sont concentrés dans deux zones. La première à l'ouest correspond aux fossés, datés de La Tène C1, d'enclos 827, 836, au petit fossé 1132 et au trou de poteau 1122 (fig. 301). Le premier a livré un clou incomplet de 4 cm de long minimum à tête carré d'1,8 cm.

Le fossé 836 a livré plusieurs fragments d'une plaque lourde rectangulaire incurvée (fig. 298) de 13 cm minimum de long et 9,5 cm de large d'un poids total de 606 gr. La corrosion forme une gangue autour de l'objet. Sa fragmentation laisse entrevoir une épaisseur variant de 0,4 à 0,8 cm. Cet élément évoque un outil de type pelle-bêche s'apparentant à ceux présentés par Nillesse dans son article sur les activités et métiers de la vie quotidienne (Nillesse, 2007, p. 48).



Fig. 299 : radiographie de l'objet coudé provenant du fossé 1132

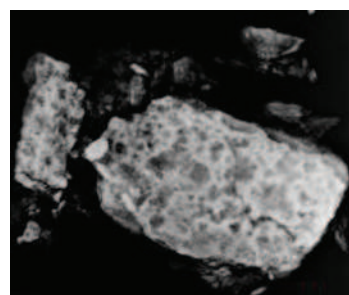


Fig. 298 : radiographie des éléments de plaque provenant du fossé 836

Le petit fossé 1132 a livré un objet coudé à tige de section rectangulaire de 9,7 cm de long et 1,6 cm de large pour 0,8 cm d'épaisseur (fig. 299). Il s'agit peut-être d'une agrafe utilisée en charpente. Une autre de ce type a été découverte dans le fossé 2046.

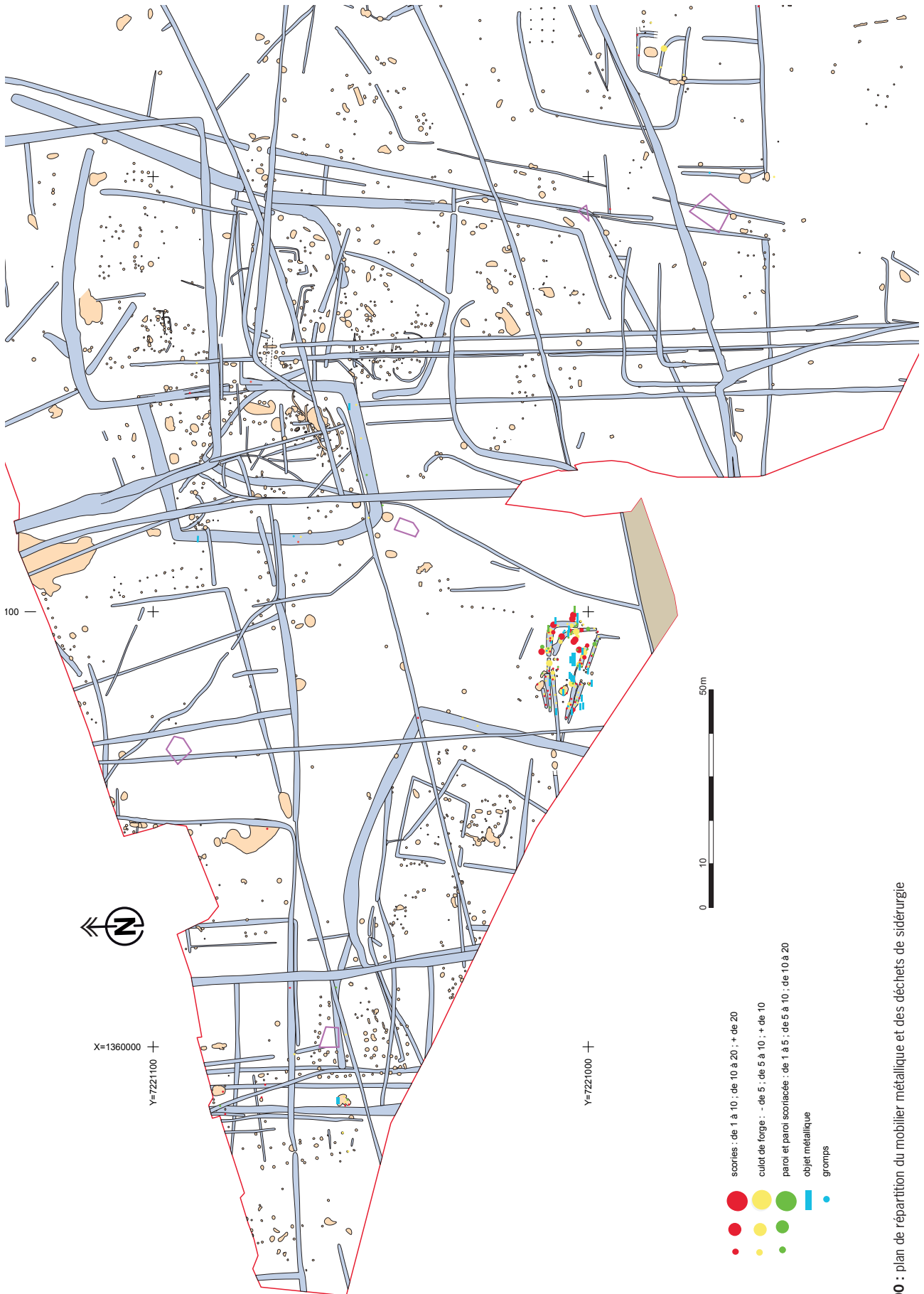


Fig. 300 : plan de répartition du mobilier métallique et des déchets de sidérurgie

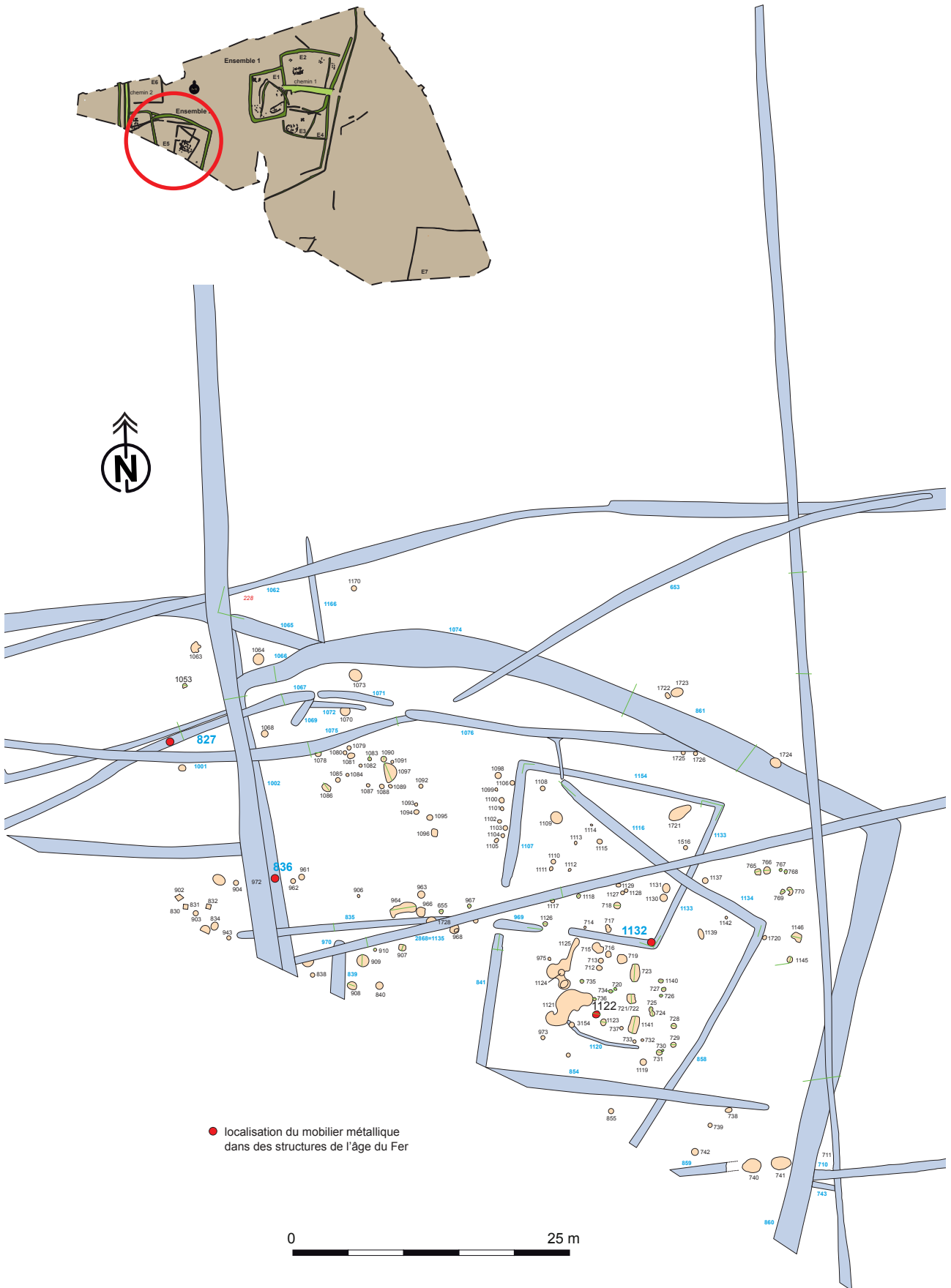


Fig. 301 : plan de répartition du mobilier métallique dans la zone ouest (ensemble 2) © Sandrine Barbeau





Fig. 302 : plan de répartition du mobilier métallique dans la 2<sup>e</sup> zone plus au nord-est (ensemble 1)

Dans une deuxième zone plus au nord-est et principalement dans un fossé d'enclos (1401 et 2046) plusieurs éléments de quincaillerie ont été découverts (fig. 302).

Dans le fossé d'enclos 2046, façade sud du même enclos que F1401, ce sont plusieurs fragments de clous de section rectangulaire et une agrafe ou un long clou plié qui ont été ramassés. Parmi les morceaux on dénombre quatre têtes carrées plates. Le clou entier fait 11,6 cm de long et 1 cm de section (fig. 303). Dans la même structure dans le sondage 710, un anneau complet de 4,5 cm de diamètre (fig. 304) a été trouvé. Il fait 36 gr. Il n'est pas possible d'apporter de précision sur sa fonction ni de l'associer à un domaine particulier.



Fig. 303 : radiographie des clous et de l'agrafe provenant du fossé 2046

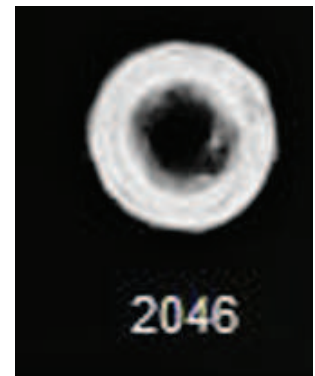


Fig. 304 : radiographie de l'anneau provenant du fossé 2046

Dans le petit fossé 110, au nord-est de la fouille un objet ferreux d'un peu plus de 9 cm de long par 2,3 cm de large et 1 cm d'épaisseur présentant un anneau à l'extrémité pourrait correspondre à une clé ou un élément de mors (fig. 305).



Fig. 305 : objet à anneau provenant du fossé 110 radiographie et photographie © Anne-Françoise Chereil

La fosse 1337 a livré 3 fragments d'un objet à tige de section rectangulaire et extrémité aplatie comportant un départ de perforation à l'extrémité la plus large. L'objet fait un minimum de 8,5 cm de 1 à 3 cm de large.

De ce qui a pu être identifié, il ressort une majorité de clous et d'éléments de quincaillerie utilisés dans la construction de charpente ou dans la menuiserie.

L'existence d'un bâtiment à proximité pourrait expliquer cette relative concentration d'objet.

Il est important de noter également que ce secteur et les structures ayant

fournies les objets en métal ont livré en petite quantité également des scories, des culots de forges et des fragments de parois scoriacées en relation avec une petite activité de forge.

### 2.6.2. Pour la période antique

Des concentrations s'opèrent selon deux grandes zones géographiques : autour et à proximité d'un bâtiment situé à l'ouest de la fouille puis dans la zone de l'atelier de forge (fig. 310). Les objets sont associés à un contexte de rejet important de scories pour l'atelier mais on trouve également un nombre important de scories au nord-est du bâtiment.

Dans l'ensemble les objets sont très érodés et fragmentés et il est difficile de leur attribuer une fonctionnalité. Il ressort néanmoins de cet inventaire qu'ils appartiennent à deux grandes familles : les clous ou tiges et des objets rectangulaires de type barre ou plaque.

Les objets dans l'environnement du bâtiment sont essentiellement des clous ou tiges. Ils sont de grande taille à tête plate et carrée.

Le trou de poteau 630 a livré un clou de 3,7 cm et 0,8 cm de section.

Le fossé 633 a livré de nombreux fragments de clous (env. 10 NMI) de plusieurs types. Des clous de très petites dimensions (moins d'1 cm de long) assemblés selon la forme de deux courbes concentriques soudées par une gangue d'oxydation (6,5 cm x 3, 5 cm x 1,2 cm) (fig. 306). Pour deux d'entre eux on reconnaît une petite tête bombée. Cette morphologie s'apparente aux clous de semelle de chaussure découverts sur le site de la Tourelle à Lamballe (Blanchet, 2010). La disposition en forme de talon de chaussure accreditte cette interprétation. On trouve régulièrement ce type de clous sur les sites d'habitat ou en contexte funéraire (Laure Simon, in Blanchet, 2010, p. 371).

Deux séries de clous de ce type ont également été découvertes dans le fossé 816.

Les clous découverts dans les structures 634 et 2885 et 2888 (633) font entre 5 et 7 cm de long (fig. 308 et 309). Ils peuvent avoir été utilisés selon leur taille soit pour la charpente soit pour la menuiserie.



Fig. 306 : photographie des clous de semelles et radiographie des clous du fossé 633  
© Anne-Françoise Chérel



Fig. 307 : radiographie des clous et clous de semelles du fossé 816

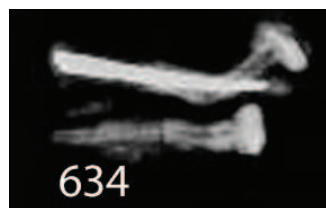


Fig. 308 : radiographie des clous de la fosse 634



Fig. 309 : radiographie des clous de la fosse 2888

Dans la zone du bâtiment (F 816, 821, 965, 1019, 1038, 2857, 2859), on dénombre 23 éléments de quincaillerie. Ils sont représentés par des fragments de clous et de tiges d'un minimum de 3 à 8 cm de long. Ils peuvent avoir été utilisés selon leur taille soit pour la charpente soit pour la menuiserie.

Bien que très fragmentés et érodés plusieurs objets ont été classés parmi les objets de parure et vestimentaires :

- Des séries de clous de semelle de chaussure ont été mis au jour

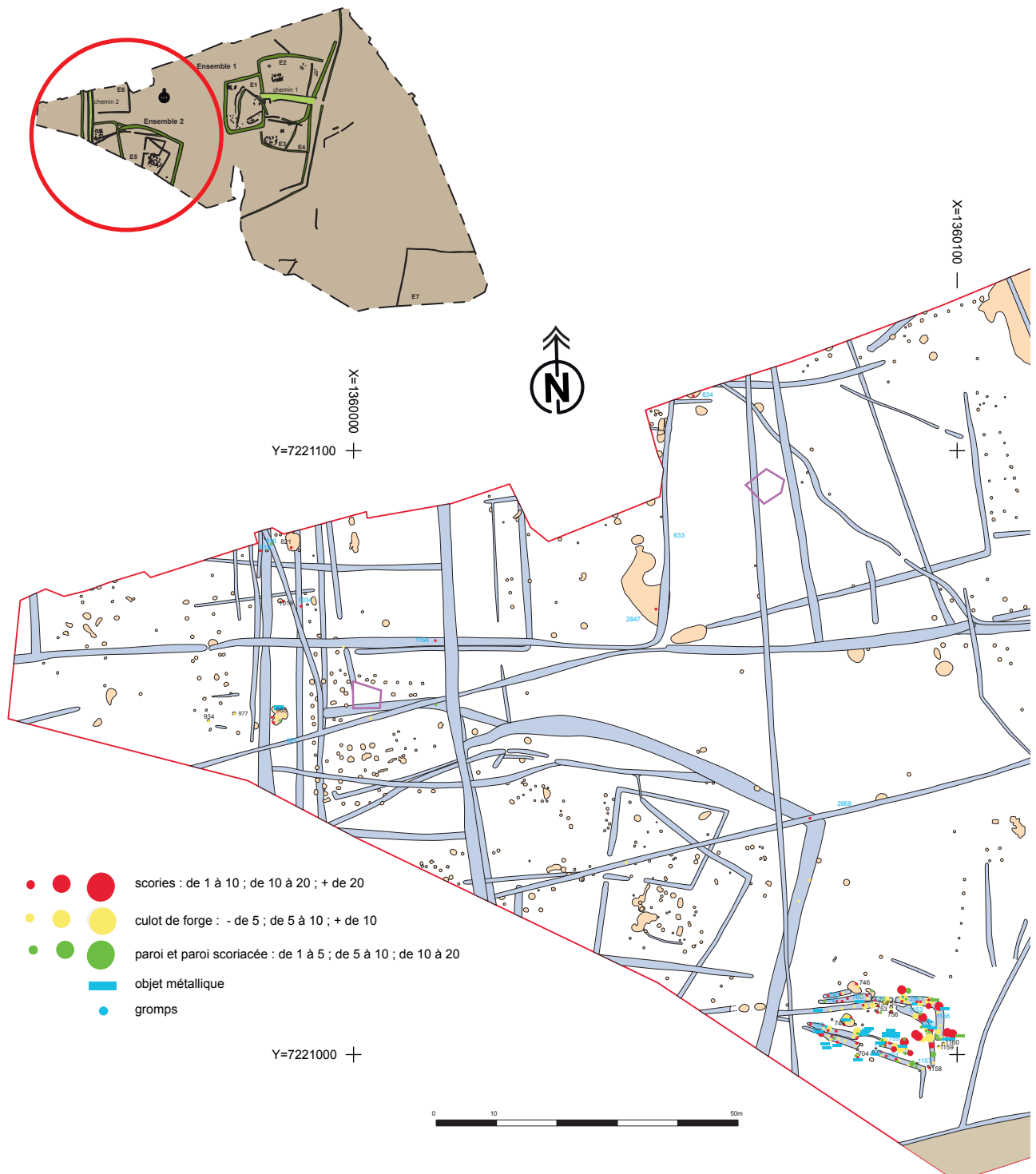


Fig. 310 : plan de répartition du mobilier métallique de la période antique

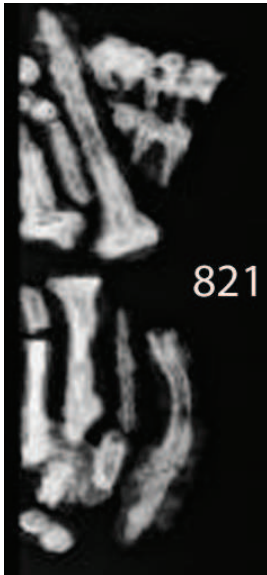


Fig. 311 : radiographie des clous de la fosse 821

dans le sondage 189 du fossé 816 et une dizaine dans la fosse 821 (fig. 311).

- Dans ce même sondage 189, un des objets difficilement identifiable rappelle par sa forme un fragment de fibule (fig. 312).

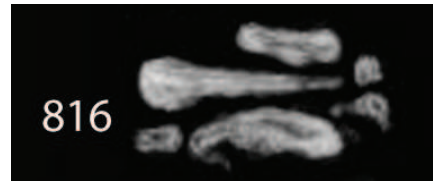


Fig. 312 : radiographie de clou ou d'une fibule du fossé 816

Un fragment de métal légèrement trapézoïdal (3,8 cm de large) composé de deux fines plaques a été découvert dans le fossé 1038. Il est fortement corrodé et fragmenté et laisse entrevoir un vide entre les deux plaques évoquant un fragment de fourreau (fig. 313).



Fig. 313 : radiographie du fragment de l'éventuel fourreau du fossé 1038

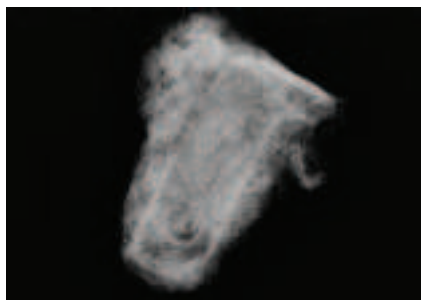


Fig. 314 : radiographie du fragment de penture du fossé 759

Dans la zone de l'atelier de forge (704,706, 708, 709, 746, 747, 748, 759, 1153, 1155, 1156, 2861, 2868), on note 12 clous de grande taille (entre 6 et 8 cm de long), des objets non identifiés et 4 gromps.

Dans le fossé 759, un fragment d'une petite plaque rectangulaire repliée à une extrémité et percé à l'autre correspondrait à un élément de penture (fig. 314).

La fosse 704 a donné un petit objet cylindrique spiralé de 5 cm de longueur sur 2,8 cm d'épaisseur. Il est creux. La radiographie n'ayant pas permis de bien l'appréhender, un scanner est venu compléter la représentation (fig. 315). Il montre un objet composé de 6 spires formant comme un ressort.

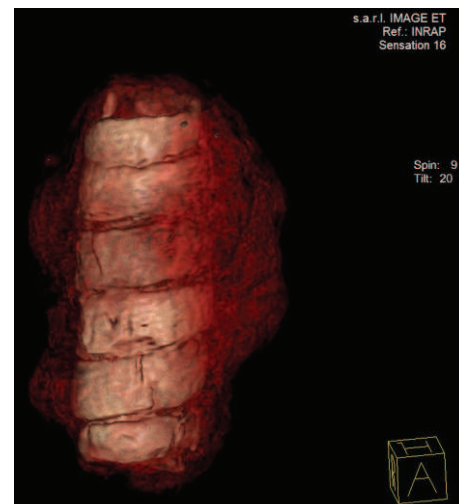


Fig. 315 : radiographie et scanner de l'élément cylindrique du fossé 704

Ce sont majoritairement des éléments rectangulaires de type plaque ou barre qui pourraient correspondre à des chutes de forge ou des demi-produits de matière première pour forger. On peut aussi noter la présence de déchets de forge.

### Conclusion

Les objets métalliques découverts à Cesson-Sévigné La salmondière, très érodés et peu identifiables sont essentiellement liés au domaine de la quincaillerie. Plusieurs éléments de parure apparaissent cependant au travers de ces découvertes. L'outillage fait par contre défaut et ne permet pas d'identifier d'activités humaines particulières pour la période de La Tène.

En nombre plus élevé, les objets métalliques de la période gallo-romaine ne transmettent cependant pas plus d'informations, mise à part quelques demi-produits et gromps liés à l'activité de forge et qui accompagnent un nombre très important de scorie. Les objets découverts dans la zone de l'atelier de forge ne caractérisent pas le type de production. Seule l'étude métallographique des scories pourrait apporter des précisions sur ce sujet.

La comparaison avec les données d'autres établissements ruraux locaux de la période antique est limitée par plusieurs facteurs. Les sites qui ont livré du mobilier métalliques sont rares et l'état de conservation des objets est souvent trop médiocre pour déterminer leur usage. La fouille de la villa de Bais a livré moins d'un kilogramme d'objets métalliques, qui pour la plupart correspondent à des clous. Plus proche par le type d'occupation et la superficie étudiée, le site de la Perdriots, à Châteaugiron, où les occupations et les aménagements se succèdent depuis la période gauloise jusqu'au Moyen-Âge, a livré 101 objets en fer pour la période antique et 46 pour la période gauloise.

Le corpus d'objets découverts à Cesson-Sévigné est donc représentatif des sites gaulois et antiques fouillés en Bretagne voire même plutôt riche mais reste en deçà de ce que les sites de Haute Normandie par exemple peuvent offrir.

L'étude du mobilier métallique de Luc Leconte sur le site de l'Ecoparc 2, à Heudebouville en Haute Normandie qui porte sur 802 éléments (10 kg), apporte un nouvel élément de comparaison. Il propose en effet une moyenne de 130 à 350 individus ou 3 à 7,7 kg pour les petits sites ruraux et un nombre de 683 pour le site de forge de la Fosse à Epiais-Lès-Louvres.

Secteur géographique et structure	Parure, accessoire	Outillage artisanat	Ustensile domestique	Quincaillerie	indéterminé	Poids, (g)
Nord-est, F110					1	59
Ouest : 827, 836 ; 1122, 1132		1		1 clou	1	718
Nord : 1337, 1401, 2046				10 NMI clous	7	260

Secteur géographique et structure	Parure, accessoire	Outillage artisanat	Ustensile domestique	Quincaillerie	Indéterminé	Poids, (g)
Ouest : 704,706, 708, 709, 746, 747, 748, 759, 1153, 1155, 1156, 2861, 2868		12 objets type barre, plaque, tige plate, gromps		13 clous (NMI)	1 objet spiralé, 1 anneau 1 fragt d'objet triangulaire en pointe avec une perforation rectangulaire côté pointe	1507 soit 51,13%
Nord-Ouest : 816, 821, 965, 1019, 1038, 2857, 2859	1 fibule ? 1 frgt de fourreau ? 9 séries de petits clous de semelle de chaussure		1 anneau large et plat	23 clous (NMI)		666 ou 22,59%
Nord : 630, 633, 634, 1186, 2885, 2887, 28888	1 bracelet et l'assemblage de clous de semelles			22 clous (NMI)	1	654 Soit 22,12%

Tab. 7 : Inventaire par zone géographique et par structure du mobilier métallique

## 2.7. Le matériel de mouture et de broyage de La Salmondière à Cesson- Sévigné par V.Brisotto et H. Morzadec)

Le matériel de mouture issu de la fouille de La Salmondière a livré une quarantaine de fragments de meules, représentant un maximum de quinze individus (fig. 316). Il provient essentiellement de structures protohistoriques ou antiques, et de façon plus anecdotique de faits, datés du haut-Moyen-Âge ou non datés.

L'ensemble se compose d'une meule à va-et-vient, d'une table de broyage, de huit pièces rotatives et de cinq fragments de mouture indéterminés. Le granite est exclusivement utilisé pour le façonnage des meules, alors que la dolérite est employée pour la table de broyage. Ce matériau est présent sur le site même, sous forme de filons. En ce qui concerne le granite, trois types ont été individualisés macroscopiquement par H. Morzadec. Leur origine reste à préciser, mais le massif granitique le plus proche de notre occupation se situe à environ 2 Km, à l'est sur le massif de Beaulieu (granodiorite à biotite).

L'état de conservation de ce mobilier est très dégradé en raison du passage au feu de la plupart des individus. Pour cette raison, les meules qui se trouvent dans un état très fragmentaire, ne permettent pas ou peu d'observation morphométriques.

Aucun remontage n'a pu être effectué ; cependant quelques fragments provenant de mêmes structures ont pu être rattachés à un même individu, au regard notamment de leur épaisseur.

Nous traiterons donc l'étude par contexte de découverte en tentant de faire ressortir certaines caractéristiques typologiques qui ont pu être mises en évidence.

### 2.7.1. L'occupation gauloise

Six individus comprenant une méta, trois catillus et deux fragments indéterminés dont un, que l'on peut attribuer avec certitude à une meule rotative, ont été comptabilisés dans des structures datées du second âge du Fer.

#### - Fossé 1401 sd 383 (LTM) : n° 7

Confectionné dans un granite noir/blanc comprenant de grosses inclusions, ce fragment de meule, épais de 6 cm présente un flanc soigneusement régularisé et une face active plutôt convexe permettant de l'attribuer à une méta. La face inférieure de la pièce est sommairement aménagée.

#### - Fosse 639 sd 366 (LTF) n° I2-I6-I8

Elle a livré 7 fragments attribués à un même individu, de type rotatif. Confectionnée dans un granite hétérogranulaire, cette meule a subi une forte altération par le feu.

Épaisse d'une quinzaine de centimètres, les flancs conservés sont soigneusement régularisés, de façon abrupte. La face active légèrement concave tend à identifier plutôt un catillus.

#### - Fossé 958 sd 230 (LTF) n° 2 (fig. 317)

Ce fossé a livré l'un des deux individus les plus complets de la série.

Il s'agit de 3 fragments de granite à deux micas isogranulaire, reconstituant un demi catillus, d'un diamètre de 42 cm et d'une épaisseur de 9 cm.

L'œil, de forme simple est circulaire, avec un diamètre de 3,6 cm, pour une



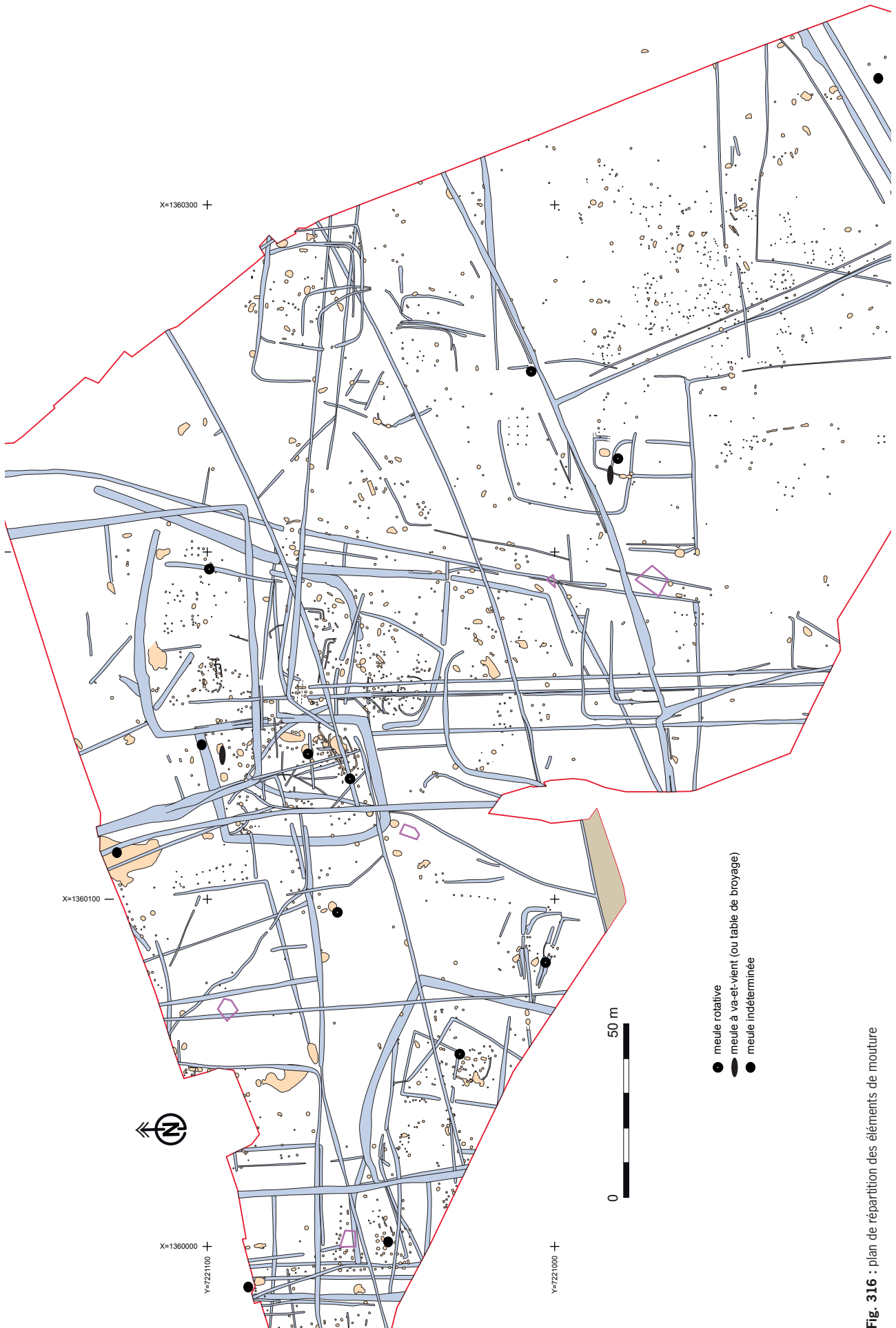


Fig. 316 : plan de répartition des éléments de mouture

profondeur de 8 cm.

La surface active est concave avec une pente nulle.

Comme pour les précédents exemplaires, les flancs sont soignés alors que la face supérieure semble moins bien régularisée.

Bien qu'aucun système d'entraînement n'ait pu être mis en évidence, la morphologie générale et notamment le diamètre de la meule semble correspondre à ceux reconnus pour les meules de la fin du second âge du Fer, voire des débuts de l'Antiquité. En effet tout au long de la période, le diamètre tend à augmenter progressivement pour se situer autour de 35 cm à la fin de La Tène Moyenne puis à une quarantaine de centimètres à la fin de la période laténienne, (JACCOTTEY et al. 2011, HAMON et al., 2011).

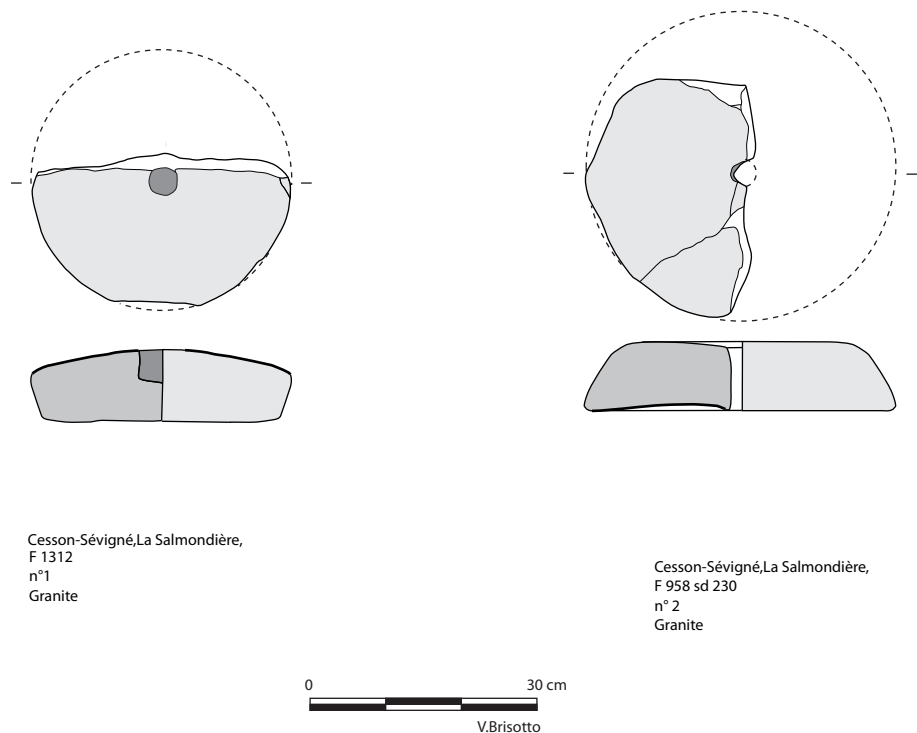


Fig. 317 : La Salmondière, Cesson-Sévigné, fragments de meules rotatives manuelles, 1 : méta ; 2 : catillus

- Fossé 1132 (LTF) : n° 5

Un fragment de meule rotative indéterminée provient de ce fossé. Elle est confectionnée dans un granite à deux micas. L'épaisseur du flanc conservé, est de 6,8 cm.

- Fossé 1410 sd 468 (LT) : n° 15

Ce sondage a livré deux fragments de mouture indéterminés, aux surfaces très altérées par le feu. Seul le flanc atteste d'une régularisation de façonnage.

- Fossé 545 sd 591 (proto) : n° 8

Malgré un état très dégradé des six fragments de meule provenant de ce fossé, il est possible d'y reconnaître un catillus, possédant vraisemblablement un réceptacle. L'épaisseur de la pièce est 14,7 cm.

### 2.7.2. L'occupation antique

Les structures attribuées à l'époque gallo-romaine ont livré cinq fragments de mouture indéterminés dont un seul provient avec certitude d'une meule rotative. Un fragment de table de broyage en grès a également été pris en compte.

- Fossé 1862 sd 671 (GR) : n°6

Seul ces deux fragments conservant une partie de l'œil vraisemblablement conservé permettent d'attester d'une meule rotative

Tous les autres fragments ne se prêtent à aucune observation morphométrique hormis un exemplaire épais de 10,5 cm, au flanc martelé et bouchardé.

- Fossé 3121 F 654 (GR) : n°19 (fig. )

Ce sondage a livré un fragment de dalle de dolérite, provenant probablement de filons présents sur le site. Elle possède une face concave, marquée d'impacts de percussion, induisant l'utilisation de ce support comme possible table de broyage.

### 2.7.3. L'occupation du haut-Moyen-Âge

Un seul individu provenant du fossé 3149, sd 751 daté de l'époque mérovingienne peut être attribué à cette phase d'occupation du site. Il s'agit de trois fragments de granite à gros grains de teinte gris-rose, complètement brûlés, appartenant à une meule rotative (n°11) d'une épaisseur de 4, 5 cm.

Hormis cette dimension, peu élevée qui semble conforter l'attribution alto-médiévale, aucune autre observation n'a pu être faite.

### 2.7.4. Les autres individus provenant de structures non datées ou incertaines

Le seul individu caractéristique de l'ensemble de ces structures est une demi meule provenant de la fosse F 1312, située, à l'intérieure d'enclos protohistorique(s).

Il s'agit d'un méta (n°1) d'un diamètre de 34,5 cm et d'une épaisseur de 9, 5 cm.

L'œil, circulaire est non traversant et possède un diamètre de 3,7 cm.

Le façonnage des flancs et de la face inférieure est soigné. La surface active affiche une usure moyenne avec un poli plus marqué en périphérie de la surface.

Les dimensions de cette pièce se résumant par une forme trapue (petit diamètre et épaisseur relativement élevée) associées au type de l'œil (non traversant) incitent à dater cette meule de la période du second âge du Fer (Hamon et al. ,2011).

Issu d'un foyer (F1214), pouvant être situé dans le même enclos, plusieurs fragments de mouture totalisant un poids de 9, 9 kg pourraient appartenir à une meule à va-et-vient (n°10, 14, 17) d'une épaisseur de 20 cm.

Elle est façonnée dans un granite à gros grains de teinte gris-rose. Les flancs conservés sont façonnés par épannelage, martelage et bouchardage. Le dos semble également régularisé par bouchardage. Le profil de la surface active n'a pu être observé.

Malgré une forte altération à la chauffe, les quelques parties de surfaces

actives préservées affichent des zones densément polies.

Enfin, un dernier individu (n°3), situé à proximité de la fosse F 2632 datée du Bronze Finale est représenté par un fragment de mouture indéterminé taillé dans un granite hétérogranulaire avec quelques phénocristaux. L'épaisseur de la pièce est de 11,2 cm. Les flancs sont régulièrement façonnés contrairement au dos de l'objet qui présente une surface peu régulière.

#### **Pour résumer**

Le matériel de mouture issu de la fouille de Cesson-Sévigné, La Salmondière, provient essentiellement des occupations gauloises et antiques du site.

Trouvé en position de rejet dans le comblement de fossés ou de fosses, il apparaît dans un état très fragmentaire et a subi une forte altération par la chauffe.

Malgré un examen forcément limité, certains individus, notamment pour la période de l'âge du Fer, correspondent au type reconnu dans les autres sites régionaux contemporains.

La répartition spatiale de ce mobilier nous apporte peu d'informations sur des éventuelles aires d'activité de la mouture. On remarque toutefois un nombre d'individus plus important dans le cœur du site, dans ou à proximité des enclos principaux laténiens.

## 2.8. Etude anthracologique du site archéologique de « La Salmondière », Cesson-Sévigné (Ille-et-Vilaine) par H. Seignac INRAP Bretagne<sup>1</sup>

### 2.8.1. Introduction

L'étude anthracologique a porté sur 731 charbons provenant de dix-huit échantillons différents (Tab. 8) :

- 6 prélèvements issus d'une structure de combustion gauloise dont la fonction est indéterminée (structure 1666).
- 11 échantillons provenant d'une zone de forge antique (structure 748) et ses fosses de rejet associées (structures 747 et 2861).
- 1 échantillon provenant d'une fosse protohistorique (structure 2035).

#### Localisation sur plan des structures étudiées en anthracologie

L'analyse anthracologique a pour objectif d'identifier les essences des bois utilisés comme combustible, de déterminer si possible le calibre des bois exploités et les conditions de leur combustion. L'étude permettra ainsi d'obtenir des réponses sur un choix éventuel ou non des essences utilisées en fonction de l'usage des structures de combustion, notamment pour l'activité de forge, et sur les milieux d'approvisionnement en combustible. L'ensemble des données recueillies permettra une reconstitution partielle du paysage contemporain des occupations sur la base du cortège ligneux.

	N° Inventaire	Fait	Carré / Sd	US	Volume (litre)	Définition	Chronologie/Datation C14	Conservation
1	Pr. 20	2035		5	0,5 L	fosse	Haut Moyen Âge	assez bien
2	Pr. 25	747		2	5 L	fosse de rejet dans zone de forge	Gallo-romain	moyen
3	Pr. 30	2861	sd 211	8	10 L	fosse de rejet dans zone de forge	Gallo-romain	assez bien
4	Pr. 35	1666		2	10 L	structure de combustion	Âge du Fer	bien
5	Pr. 36	1666		3	10 L	structure de combustion	Âge du Fer	bien
6	Pr. 37	1666		5	10 L	structure de combustion	C14 AMS Beta - 360238 ; Cal BC 160 to 130 et Cal BC 110 Cal AD 20	bien
7	Pr. 39	748			10 L	zone de forge	Gallo-romain	assez bien
8	Pr. 45	1666		4	10 L	structure de combustion	Âge du Fer	bien
9	Pr. 50	748	C3		0,5 L	zone de forge	Gallo-romain	assez bien
10	Pr. 51	748	D3		0,5 L	zone de forge	Gallo-romain	assez bien
11	Pr. 53	748	D4		0,5 L	zone de forge	Gallo-romain	assez bien
12	Pr. 54	748	D1		0,5 L	zone de forge	Gallo-romain	assez bien
13	Pr. 55	748	C2		0,5 L	zone de forge	Gallo-romain	assez bien
14	Pr. 56	748	C1		0,5 L	zone de forge	Gallo-romain	assez bien
15	Pr. 57	748	D2		0,5 L	zone de forge	Gallo-romain	assez bien
16	Pr. 58	748	C4		0,5 L	zone de forge	Gallo-romain	assez bien
17	Pr. 65	1666	extérieur est	5	10 L	structure de combustion	Âge du Fer	bien
18		1666	B2	5	prel. en motte	structure de combustion ; segment tronc	C14 AMS Beta - 360239 ; Cal BC 390 to 340 et Cal BC 320 to 200	bien

Tab. 8 : inventaire des échantillons analysés en anthracologie

<sup>1</sup> 37 rue du Bignon CS 67737 35577 Cesson-Sévigné Cedex. Rattachée à l'UMR 6566 CReAAH, Université de Rennes 1, Campus de Beaulieu, 35042 Rennes Cedex. [helene.seignac@inrap.fr](mailto:helene.seignac@inrap.fr)

## 2.8.2. Matériel et Méthode

Les échantillons analysés sont issus de prélèvements de masse : 10 litres pour les prélèvements n° 30, 35, 36, 37, 39, 45 et 65; 5 litres pour l'échantillon n° 25 et 0,5 litre pour les 9 autres lots. Un prélèvement en motte a été effectué pour le fond de la structure de combustion 1666. Les lots étudiés en anthracologie se sont avérés plus ou moins riches en charbons de bois qui étaient dans l'ensemble bien conservés. L'observation anatomique des charbons de bois s'est faite au laboratoire CReAAH, UMR 6566.

### 2.8.2.1. Principe de l'étude anthracologique

Les charbons de bois ont été analysés d'un point de vue anatomique et dendrologique.

Chaque ligneux produit un bois particulier, spécifique et héréditaire, présentant une organisation particulière de ses tissus. L'observation de la structure du bois est réalisée à la loupe binoculaire (grossissement x9 à x90) et au microscope optique à réflexion (x200 à x500) selon ses trois plans anatomiques sur cassure fraîche : transversal, longitudinal radial et longitudinal tangentiel (Marguerie et Hunot, 1992, p. 5-6).

La détermination s'effectue par comparaison en s'appuyant sur une collection de référence de charbons de bois actuels du laboratoire d'archéobotanique de l'UMR 6566 CReAAH et en consultant des atlas d'anatomie du bois (Schweingrüber, 1982 et 1990 ; Vernet *et al.*, 2001).

La précision de la détermination est variable suivant certaines espèces et selon la taille et le degré de conservation des charbons de bois.

L'analyse n'a pas permis systématiquement une identification au rang de l'espèce en raison de ressemblances anatomiques entre les essences appartenant à un même genre ou à une même famille de plantes. Ainsi, les espèces de chêne à feuillage caduc sont regroupées sous la dénomination *Quercus f.c.*

### 2.8.2.2. L'examen dendrologique

La détermination des essences ligneuses a été complétée par un examen dendrologique du plan ligneux transversal à plus faible grossissement afin de collecter des informations sur les caractéristiques du bois utilisé.

On observe l'allure des limites de cernes renseignant sur la section du bois d'origine (troncs ou branches), la zone du bois réduite en charbon (duramen ou aubier), les traces de galeries laissées par les insectes xylophages, la largeur moyenne des cernes d'accroissement du bois pour apprécier leurs caractères biotopiques et des traits de combustion particuliers (Marguerie, 1992, p. 16).

Dans le cas du chêne, la présence de thylls (excroissances cellulaires qui bouchent les vaisseaux du bois de cœur ou duramen) indique que les charbons de bois proviennent du duramen et non de l'aubier et reflètent l'emploi de bois âgés de fort calibre.

Remarque : la largeur moyenne des cernes à très faible courbure (sur les branches, cette mesure n'a pas de sens du fait de leur croissance souvent totalement excentrée) des charbons peut être calculée sur les individus à plan ligneux lisible afin d'apprécier l'homogénéité ou l'hétérogénéité des écosystèmes d'approvisionnement et de déterminer la nature du peuplement d'où ont été extraits les bois de chêne. Un cerne de croissance représente une année de croissance de l'arbre. Plus le cerne est large, plus la croissance est importante et révèle des conditions optimales pour que l'arbre puisse se développer.

### 2.8.3. Résultats d'analyse

L'observation anthracologique a porté sur 731 charbons. Elle a permis d'identifier quatre essences différentes (Tab. 9) : le noisetier (*Corylus avellana*), le frêne (*Fraxinus*), les génistées ou genêt/ajoncs (*Genistae*) et le chêne caducifolié (*Quercus f.c.*).

Taxon	Nom vernaculaire
<i>Corylus avellana</i>	Noisetier
<i>Fraxinus excelsior</i>	Frêne commun
<i>Genistae</i>	Génistées (ajoncs et/ou genêt)
<i>Quercus f.c.</i>	Chênes

Tab. 9 : liste des taxons mis en évidence par l'analyse anthracologique

#### 2.8.3.1. Résultats anthracologiques des échantillons prélevés dans la structure de combustion gauloise 1666

La structure 1666 est une structure de combustion d'époque gauloise de quatre mètres de long sur un mètre de large et 0,70 m de profondeur. Au moins quatre branches bien alignées tapissent le fond de la fosse. Ce sont des branches importantes dont le diamètre est d'environ de 15 à 20 cm.



Fig. 318 : photographie de la structure de combustion gauloise 1666 montrant les branches carbonisées alignées au fond de la fosse

### Taxons et proportion

Les prélèvements étudiés ont permis la détermination de 211 charbons. Trois essences ont pu être identifiées : le frêne (*Fraxinus*), le chêne caducifolié (*Quercus f.c.*) et les génistées (ajoncs et /ou genêt, *Genistae*) (Tab. 10). Le frêne domine dans l'assemblage (68,7 % des charbons déterminés) accompagné du chêne à feuillage caduc (27 %). Les génistées sont très peu représentées, seulement 1,9 % de l'échantillon. Les charbons de génistées sont observés uniquement dans les unités stratigraphiques 2 et 3, les plus proches de la surface. A partir de l'unité stratigraphique 4, seuls les taxons du frêne et du chêne caducifolié sont enregistrés. Le chêne caducifolié et le frêne sont des bois à combustion lente contrairement aux génistées qui sont idéals comme bois d'allumage car ils offrent une montée rapide en température. Des branches et des branchettes de génistées ont sans doute été disposées sur la partie supérieure (unités stratigraphiques 2 et 3) de la structure pour allumer le feu.

STRUCTURE 1666							
	US 2	US 3	US 4	US 5	US 5 ext E		
Taxon	Nombre	Nombre	Nombre	Nombre	Nombre	TOTAL	%
<i>Fraxinus</i>	38	43	12	42	10	145	68,7
<i>Genistae</i>	1	3				4	1,9
<i>Quercus f.c.</i>	8	4	36	9		57	27
Ecorce	3		2			5	2,4
<b>TOTAL</b>	<b>50</b>	<b>50</b>	<b>50</b>	<b>51</b>	<b>10</b>	<b>211</b>	<b>100</b>

Tab. 10 : inventaire des taxons présents et leurs proportions au sein de la structure de combustion gauloise 1666

### Observations dendrologiques (tab. 11)

Des observations macroscopiques des courbures de cernes de croissance ont pu être effectuées sur 78 charbons de frêne : 58 des échantillons déterminés présentent une courbure faible et sont donc issus de calibre de bois type grosse branche ; 17 ont une courbure plutôt intermédiaire, révélant l'utilisation de bois de calibre moyen type branche ; 3 charbons présentent une courbure forte et proviennent de bois de petit calibre, type petite branche, branchette et tige (1 tige de frêne vue dans l'unité stratigraphique 2).

Trois tiges de génistées ont été observées dans l'unité stratigraphique 3, dont une entière avec la moelle et l'écorce présente. Son diamètre est de 4,45 mm.

Les observations sur les charbons de chêne ont été limitées.

Cinq charbons de frêne présentent des traces de galeries d'insectes xylophages, signifiant que du bois mort ou malade a été utilisé.

	COURBURE			galerie d'insecte	Ecorce	Moëlle
	Faible	Intermédiaire	Forte			
<i>Fraxinus</i>	58	17	3	5		1
<i>Genistae</i>			4		1	3
<i>Quercus f.c.</i>	5	9	3			

Tab. 11 : observations macroscopiques du plan ligneux sur les charbons de bois de la structure de combustion gauloise 1666



### Caractéristiques de combustion

Les charbons de cette structure ne présentent pas de caractéristiques de combustion particulières contrairement aux charbons des structures liées à l'activité métallurgique (cf. partie 2.8.3.2). Il avait été question de vérifier si cette structure pouvait être une fosse de charbonnage qui aurait été liée à l'activité métallurgique. Cependant, la datation radiocarbone communiquée par Beta analytic a bien précisé que la structure 1666 était d'époque gauloise et non gallo-romaine. De plus, le taxon principalement enregistré dans la fosse 1666 est le frêne et il n'est pas du tout déterminé dans les structures à vocation métallurgique dont le chêne caducifolié est le principal combustible. Enfin, les aspects de combustion particuliers que l'on trouve de façon récurrente sur les charbons des fosses de charbonnage ne sont pas remarqués au sein des échantillons de cette fosse.

### Mesures de cernes

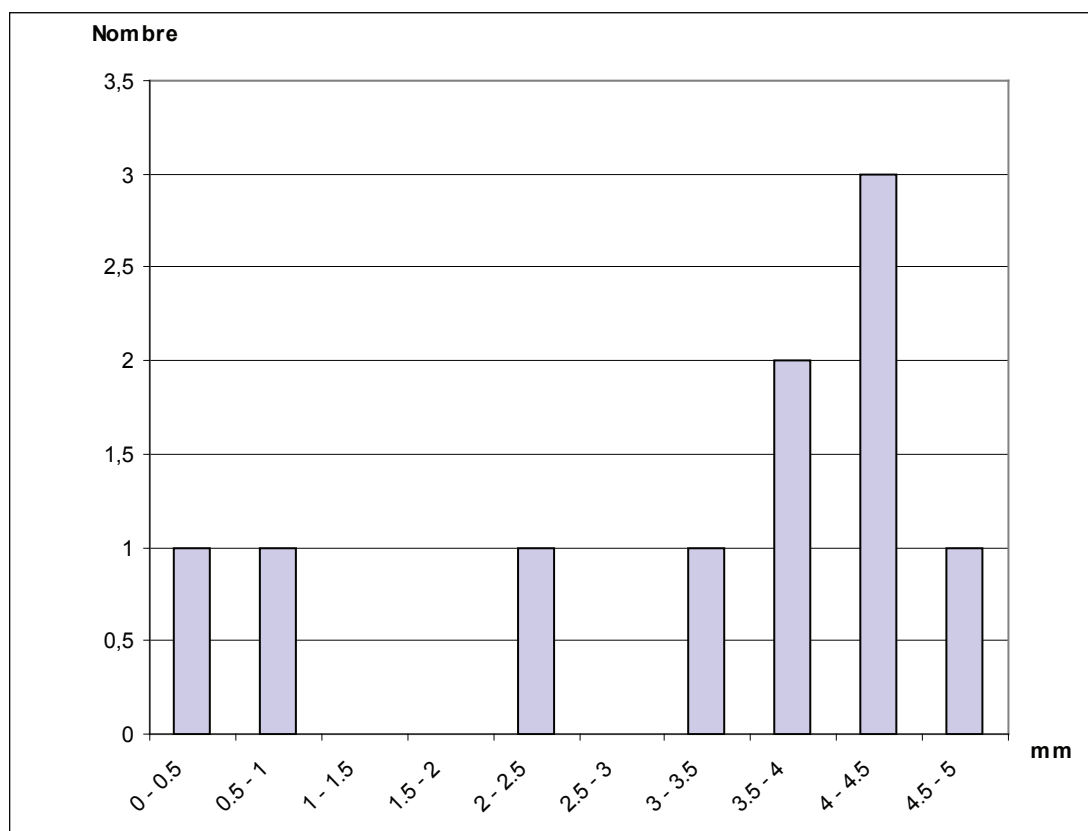
Des mesures des cernes de croissance des charbons de chêne à feuillage caduc ont pu être faites sur 10 échantillons, totalisant 25 cernes. La moyenne annuelle est égale à 3,17 mm. C'est une moyenne annuelle élevée qui peut révéler que les bois de chêne prélevés ont poussé dans un milieu clairsemé sans concurrence ni stress climatique. Cependant, ce résultat est à relativiser car il provient de mesures effectuées sur seulement 10 charbons (Tab. 12).

Espèce	Courbure	Nb bois	Nb cernes	Moyenne	Ecart type	Minimum	Maximum
<i>Quercus f.c.</i>	Fa./Int.	10	25	3,17	1,58	0,45	4,66

**Tab. 12** : résultats des largeurs moyennes des cernes de croissance annuels mesurés des charbons de chêne provenant de la structure de combustion 1666

L'histogramme révèle l'exploitation de deux milieux différents (même si le nombre de mesures est limité) : des individus ont été prélevés au sein d'un milieu très dense tandis que d'autres proviennent d'un milieu clairsemé (charbons avec des largeurs de cernes très importantes) (fig. 319).

Classe	Effectif
0 - 0.5	1
0.5 - 1	1
1 - 1.5	0
1.5 - 2	0
2 - 2.5	1
2.5 - 3	0
3 - 3.5	1
3.5 - 4	2
4 - 4.5	3
4.5 - 5	1



**Fig. 319** : histogramme 1 : distribution des largeurs des cernes de croissance mesurés sur les charbons de chêne issus de la structure de combustion 1666

### 2.8.3.2. Résultats anthracologiques des échantillons prélevés dans la zone de forge antique

#### Taxons et proportion (Tab. 13)

Les prélèvements analysés proviennent de la zone de forge (fait 748) et de deux fosses de rejet qui sont associées à l'activité métallurgique (structures 747 et 2861). Sur les 400 charbons déterminés dans cette zone, le chêne caducifolié est le taxon dominant car il représente 99,5 % de l'ensemble des lots. Il est le seul taxon identifié dans la zone de forge 748 et la fosse de rejet 747.

Dans la deuxième fosse de rejet étudiée (structure 2861), le chêne caducifolié est aussi majoritaire (98 %). Seulement 1 charbon de noisetier et 1 charbon de génistée (genêt/ajonc) sont présents.

Taxon	F748										F 2861 sd 211	TOTAL	%
	F 747 US 2	F 748	C1	C2	C3	C4	D1	D2	D3	D4			
<i>Quercus f.c.</i>	100	100	20	10	20	10	10	10	10	10	98	398	99,5
<i>Corylus avellana</i>											1	1	0,25
<i>Genistae</i>											1	1	0,25
<b>TOTAL</b>	<b>100</b>	<b>100</b>	<b>20</b>	<b>10</b>	<b>20</b>	<b>10</b>	<b>10</b>	<b>10</b>	<b>10</b>	<b>10</b>	<b>100</b>	<b>400</b>	<b>100</b>

**Tab. 13** : inventaire des taxons présents et leurs proportions dans la zone de forge antique et ses fosses de rejet associées

### Observations dendrologiques

L'observation du plan ligneux des charbons a été réalisée sur 142 individus. Les résultats présentés se rapportent à la zone de forge et aux fosses de rejet (**Tab. 14**).

Pour la structure 748, sur les 83 charbons de chêne observés en macroscopie, 53 présentent des courbures faibles et sont issus de troncs ou de grosses branches, 29 ont des courbures intermédiaires et sont donc issus de branches et seulement 1 charbon présente une courbure forte révélant l'utilisation d'un petit calibre de branche.

Pour la fosse de rejet 747, sur les 36 charbons de chêne observés, 30 présentent des courbures de cernes faibles, 6 des courbures intermédiaires. Les charbons sont issus pour certains de branches.

Dans la fosse de rejet métallurgique 2861, sur les 23 charbons de chêne qui ont pu bénéficier de cette observation, 14 charbons présentent des courbures de cernes faibles, 9 des courbures intermédiaires. Des bois de calibre type tronc ou grosse branche ont été utilisés au sein de cette structure.

On note l'utilisation en particulier de calibre important (24,25 % sur l'ensemble des 3 échantillons) ou moyen (11 % sur les 3 lots) soulignant une utilisation plus particulière de grosse branche ou de branche pour le fonctionnement de la forge

Structures	Taxon	COURBURE		
		Faible	Intermédiaire	Forte
st. 748	<i>Quercus f.c.</i>	53/200	29/200	1/200
st. 747 US 2	<i>Quercus f.c.</i>	30/100	6/100	0
st. 2861 sd 211	<i>Quercus f.c.</i>	14/98	9/98	0

**Tab. 14** : fréquence d'observations des calibres des bois de chêne (n/nombre de charbons observés) dans les structures archéologiques liées à la forge antique

L'absence de galeries d'insectes xylophages sur les échantillons de la zone de forge permet de penser que l'emploi de bois sains a été privilégié. Effectivement, les charbons affectés par des attaques d'insectes xylophages proviennent de bois morts, malades ou sénescents.

### Caractéristiques de combustion

Des caractéristiques de combustion ont été observées sur les échantillons de la zone de forge.

Des conditions particulières de combustion du bois selon trois niveaux d'altération ont été plus particulièrement notées : fendu, dur/luisant et fendu/luisant, les charbons pouvant présenter en surface des zones partiellement vitrifiées.

La vitrification est un phénomène fréquemment rencontré au cours des analyses anthracologiques portant sur des échantillons liés à des activités métallurgiques. On retrouve effectivement un taux important de charbons vitrifiés plus particulièrement dans deux types de structures : les fours de réduction et les charbonnières (Théry-Parisot, 2001, p.71). Elle se caractérise par l'homogénéisation et la fusion des différents éléments anatomiques du bois qui conduisent à la disparition de certains critères de détermination. Lorsque le processus a atteint un degré ultime, il est alors impossible de déterminer le charbon.

Les fissures de retrait ou fentes radiales de retrait sont aussi très fréquentes et apparaissent sous l'effet de plusieurs facteurs combinés différents d'une espèce à l'autre (id., p. 68). On remarque tout de même que les fentes

se développent en général dans la direction radiale à la faveur des rayons multisériés, qui représentent de longs plans de faiblesse, comme c'est le cas sur les charbons de chêne caducifolié.

Les charbons de chêne à feuillage caduc provenant de la zone de forge (st 748) et des fosses de rejet métallurgique ont subi des déformations liées à la combustion (Tab. 15).

Le taux de pourcentage pour les charbons présentant uniquement des fentes de retrait est de 10 % dans la fosse 747, de 17 % dans la structure 748 et de 7 % dans la fosse 2861.

Dans la structure 748, 9,5 % des charbons ont leur surface fendus et luisants et 9,5 % ont un aspect dur et luisant, dont 1 % avec une vitrification partielle de la surface.

Dans la fosse 747, les charbons de chêne sont plus altérés : 34 % des charbons ont un aspect luisant dont 8 % ont une zone de leur surface partiellement vitrifiée.

Dans la fosse 2861, 15 % des charbons de chêne sont fendus/luisants et 6 % durs/luisants, 11 % des échantillons étant partiellement vitrifiés.

Structures	Taxon	COMBUSTION		
		Fendu	Dur/Luisant	Fendu/Luisant
748	<i>Quercus f.c.</i>	34/200	19/200	19/200
747 US 2	<i>Quercus f.c.</i>	10/100	14/100	20/100
2861 sd 211	<i>Quercus f.c.</i>	7/98	6/98	15/98

Tab. 15 : fréquence d'observations des charbons d'aspect fendu, dur/luisant et fendu/luisant (n/nombre de charbons observés) dans les structures archéologiques liées à l'activité métallurgique

Finalement, ce sont les charbons de chêne caducifolié issus des fosses de rejet qui sont les plus altérés au niveau de la combustion. Les taux en pourcentage des déformations notées ne sont pas très importants mais la récurrence de ces traits particuliers de combustion sur les échantillons provenant de cette zone à vocation métallurgique est à souligner. L'hypothèse selon laquelle un milieu réducteur ou anaérobie favorise l'apparition de la vitrification reste à vérifier expérimentalement. La température de carbonisation très élevée n'est plus considérée comme étant un facteur déclenchant le phénomène de vitrification (McParland, 2010, p. 2686). Les conditions de température, du taux d'humidité, d'oxygène, le calibre des bois et les essences utilisés sont autant de facteurs à prendre en compte pour essayer de définir l'origine précise de ce phénomène qui n'a encore pas pu être reproduit systématiquement expérimentalement. Il est alors difficile de pouvoir tirer des conclusions sur ces aspects de combustion qui sont récurrents en contexte métallurgique.

#### Mesures de cernes

Des mesures de largeurs moyennes des cernes de croissance du chêne ont apporté des données complémentaires quant au milieu exploité. Elles sont de l'ordre de 1,74 à 1,86 mm (Tab. 16). Ces moyennes sont plutôt faibles et témoignent de la densité du milieu boisé exploité.

Lot	Moyenne(mm)	Ecart type	nb de bois	nb de cernes
747 US 2	1,74	0,88	26	55
748 (tous lots)	1,86	0,9	67	192
2861 sd 211 US 8	1,85	0,79	15	39

Tab. 16 : résultats des largeurs moyennes des cernes de croissance annuels mesurés des charbons de chêne issus de la zone de forge antique

Des histogrammes de fréquences ont été construits pour les 3 lots issus de la zone de forge.

Pour la structure 748, 67 charbons, soit 192 cerne, ont pu être mesurés. La moyenne annuelle de croissance est de 1,86 mm. L'historgramme montre des valeurs groupées qui témoignent de l'exploitation probable du même milieu. Seul un charbon présente un cerne très large, signe qu'un individu a poussé dans un contexte plus favorable, sans concurrence (fig. 320 ).

Classe	Effectif
0 - 0.5	1
0.5 - 1	10
1 - 1.5	13
1.5 - 2	17
2 - 2.5	13
2.5 - 3	8
3 - 3.5	1
3.5 - 4	3
4 - 4.5	0
4.5 - 5	0
5 - 5.5	1
5.5 - 6	0

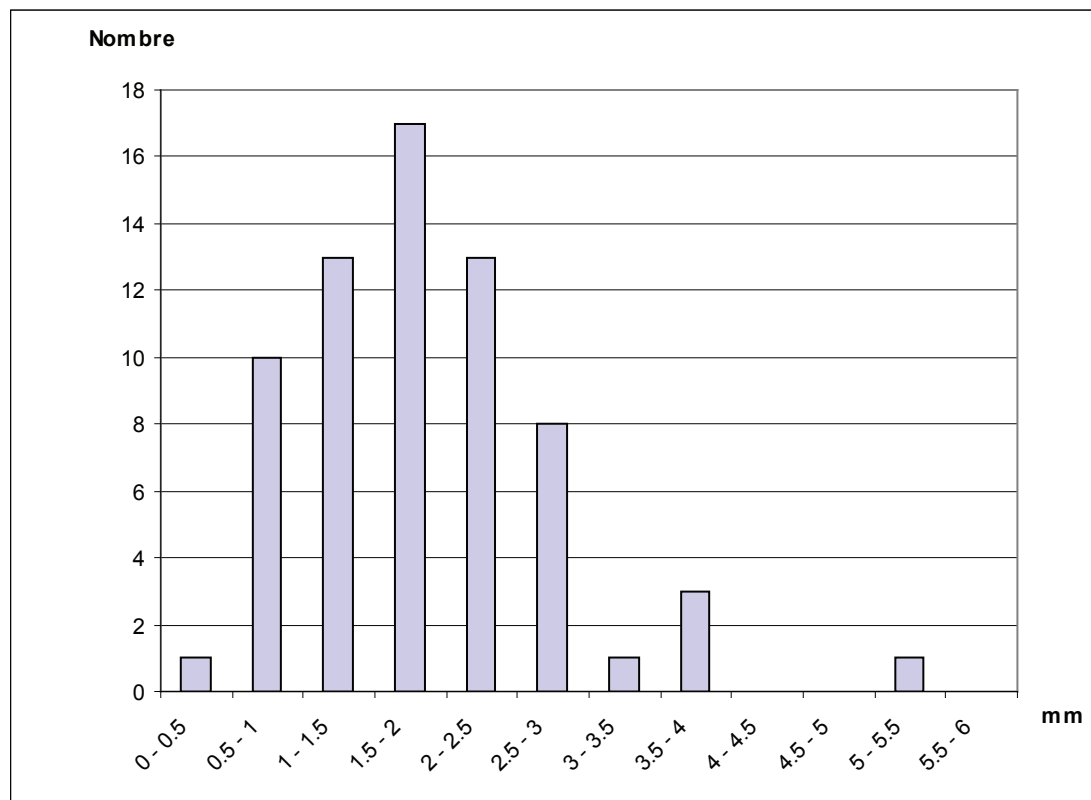


Fig. 320 : histogramme 2 : distribution des largeurs des cerne de croissance mesurés sur les charbons de chêne issus de la zone de forge 748

Pour la structure 747, 26 charbons, soit 55 cernes, ont été mesurés. La moyenne de croissance annuelle est plus faible, soit 1,74 mm. L'essentiel des valeurs sont groupées dans la tranche 0,5-2 mm mais six charbons présentent tout de même des croissances annuelles plus fortes. Les arbres ont donc été prélevés dans deux milieux différents, certains dans des zones de boisement assez dense, d'autres en lisière forestière ou dans un milieu plus dégagé (croissance plus rapide des arbres) (fig. 321).

Classe	Effectif
0 - 0.5	1
0.5 - 1	2
1 - 1.5	11
1.5 - 2	6
2 - 2.5	0
2.5 - 3	5
3 - 3.5	0
3.5 - 4	0
4 - 4.5	1

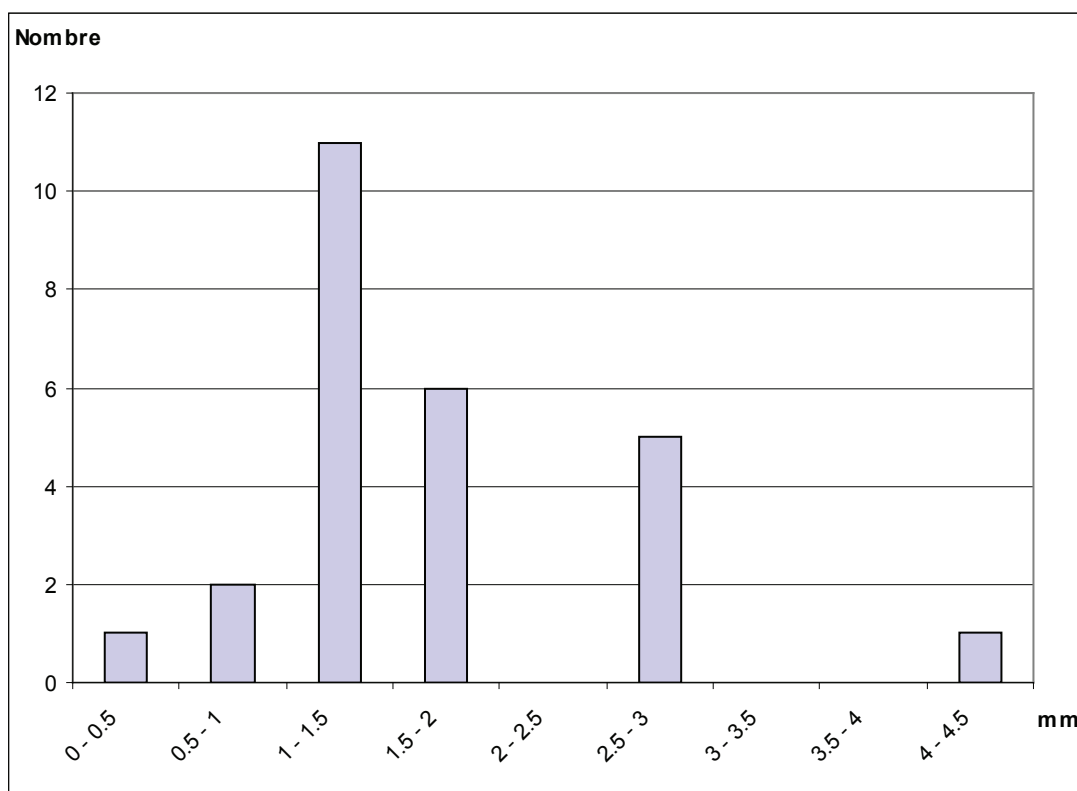


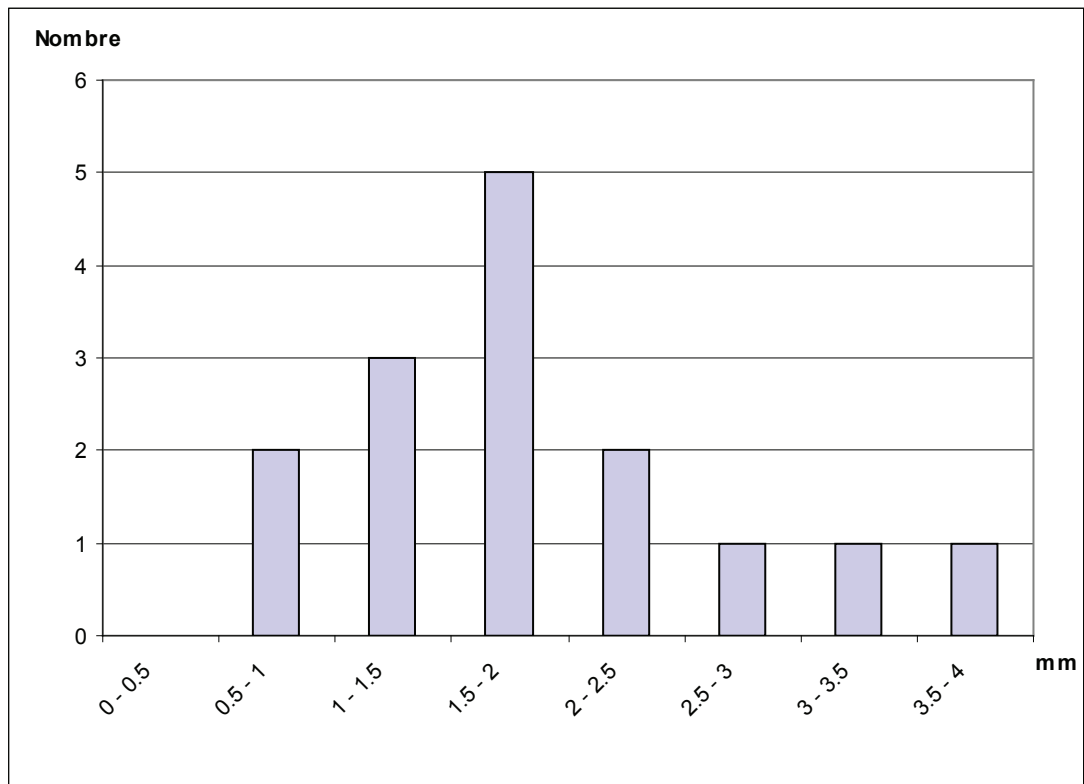
Fig. 321 : histogramme 3 : distribution des largeurs des cernes de croissance mesurés sur les charbons de chêne issus de la fosse de rejet 747

Enfin, pour la structure 2861, seulement 15 charbons, soit 39 cernes, ont pu être mesurés. La moyenne annuelle de croissance atteint 1,85 millimètres. Les valeurs sont dispersées révélant encore l'exploitation d'un boisement dense et d'une zone plus ouverte (fig. 322).

Les mesures des cernes moyens des charbons de chêne de « La Salmondière » peuvent être comparées aux données répertoriées dans le Massif armoricain sur les charbons de chêne prélevés au sein de structures de combustion ou de rejets de combustion de la période gallo-romaine. La largeur moyenne des cernes est de l'ordre de 2,3 mm au Gallo-

romain (Marguerie, 2009, p.194). Les valeurs de « La Salmondière » sont plus faibles et témoignent principalement de l'exploitation d'un milieu forestier encore dense même si des zones plus ouvertes sont aussi prélevées. La période gallo-romaine est une période caractérisée par de nombreux déboisements qui se traduisent par une croissance plus rapide des arbres. A « La Salmondière », il semble qu'un boisement important soit encore préservé.

Classe	Effectif
0 - 0.5	0
0.5 - 1	2
1 - 1.5	3
1.5 - 2	5
2 - 2.5	2
2.5 - 3	1
3 - 3.5	1
3.5 - 4	1



**Fig. 322** : histogramme 4 : distribution des largeurs des cernes de croissance mesurés sur les charbons de chêne issus de la fosse de rejet 2861

### 2.8.3.3. Résultats anthracologiques de l'échantillon prélevé dans la fosse 2035

Des charbons prélevés dans la fosse 2035, ont été observés (Tab. 17). Sur les 120 charbons analysés, une majorité de chêne caducifolié a été déterminé (70, 8%). Il est accompagné par le noisetier (29, 2%).

L'observation des courbures de cernes a pu être effectuée sur seulement 21 charbons de noisetier, révélant l'utilisation de grosse branche (5/21), de branche moyenne (10/21) et de petit calibre de bois (6/21).

On note la présence de galeries d'insectes xylophages sur 4 charbons de noisetier, indiquant une collecte ponctuelle probable de bois mort.

Dans cette fosse, deux bons combustibles sont associés. Le chêne caducifolié pour sa combustion lente et durable et le noisetier pour l'allumage du feu avec une montée rapide en température.

Taxon	Effectif	% effectif	COURBURE			Insecte
			Faible	Intermédiaire	Forte	
<i>Corylus avellana</i>	35	29,17	5	10	6	4
<i>Quercus f.c.</i>	85	70,83	4	1		
<b>TOTAL</b>	<b>120</b>		<b>9</b>	<b>11</b>	<b>6</b>	

Tab. 17 : résultats anthracologiques de la fosse 2035

## 2.8.4. Interprétation et discussion

### 2.8.4.1. Essai d'une approche paléoécologique

Dans cet ensemble, la diversité taxinomique est très faible puisque seulement quatre taxons ont été identifiés. Ce cortège reflète la présence de deux ou trois biotopes différents (Tab. 18).

Taxon identifié	Espèce	Ensoleillement et comportement	Humidité	Formations végétales et associations phytosociologiques
<i>Corylus</i>	<i>Corylus avellana</i> L. (noisetier)	Demi-ombre ou d'ombre	Large amplitude hydrique, optimum en condition mésophile	Fruticées, bois, haies, accrus
<i>Fraxinus</i>	<i>Fraxinus excelsior</i> L. (frêne commun)	Héliophile ou demi-ombre	Mésophile à mésohygrophile	Bois frais, haies, bords des eaux, versants ombragés, accrus Forêts ripicoles ( <i>Alno-Padion</i> ) ; hêtraies-chênaies, chênaies ( <i>Carpinion betuli</i> ), hêtraies, hêtraies-sapinières ( <i>Fagion sylvaticae</i> ), forêts de ravins ( <i>Lunario-Acerion</i> ) ; accrus ( <i>Corylo-Fraxinenalia</i> ).
<i>Genistae</i>	<i>Cytisus scoparius</i> (L.) Link (genêt à balais)	Héliophile	Mésoxérophile à mésophile	Landes, lisières forestières, manteaux forestiers
	<i>Ulex europaeus</i> L. (ajonc d'Europe)	Héliophile	Mésophile	Landes atlantiques, manteaux arborescents, forêts ouvertes
	<i>Ulex minor</i> Roth (ajonc nain)	Héliophile	Mésophiles à hygrophiles	Landes atlantiques humides, voire tourbeuses
<i>Quercus f.c.</i>	<i>Quercus petraea</i> (chêne sessile)	Demi-ombre Postpionnier	Mésoxérophile à mésophile	Bois : en peuplements purs ou en mélange avec le chêne pédonculé, le charme ou le hêtre.
	<i>Quercus robur</i> (chêne pédonculé)	Héliophile Postpionnier nomade	Mésophile à mésohygrophile	Bois, friches, haies, accrus Forêts ripicoles ( <i>Alno-padion</i> ), forêts collinéennes fraîches ( <i>Carpinion betuli</i> , <i>Quercetalia robori-petraeae</i> ).

Tab. 18 : caractéristiques autécologiques et biotopes des espèces pouvant correspondre aux taxons identifiés (d'après Rameau et al., 1989)

Le premier est un boisement de chêne caducifolié qui semble assez dense à la période gallo-romaine, même si des zones plus ouvertes sont aussi exploitées.

On ne peut pas distinguer spécifiquement le chêne à feuillage caduque. Cependant, en Bretagne, on trouve principalement le chêne sessile (*Quercus petraea*), dans les grands massifs forestiers, ou le chêne pédonculé (*Quercus robur*). Ce sont des espèces héliophiles ou de demi-ombre qui peuvent croître dans des forêts, sur leurs lisières voire dans des haies (Rameau et al., 1989).

Le chêne est accompagné par la strate arbustive de noisetier, dans les lisières et les zones plus claires. Les génistées sont des essences représentatives des zones de friches ou de landes et font partie de l'environnement de l'occupation gauloise et gallo-romaine.

Le frêne (*Fraxinus*), identifié seulement à la période gauloise, peut être issu de peuplements alluviaux qui se localisent dans les fonds de vallée, en bas



de pente ou en bordure des cours d'eau mais cet arbre peut aussi pousser sur les plateaux au sein d'une chênaie ou dans des haies. La croissance du frêne est toutefois optimale sur des sols profonds humides à frais et il est particulièrement exigeant quant à la richesse minérale du sol.

Le combustible utilisé a donc été prélevé dans une chênaie et ses lisières ainsi que dans des zones plus ouvertes comme la lande. A la période gauloise, un fonds de vallée a aussi pu être exploité (présence du frêne).

La faible diversité taxonomique ne permet pas d'avoir une image plus complète de l'environnement immédiat des différentes occupations. La présence des génistées enregistrée dès la période gauloise suggère tout de même un appauvrissement des sols lié à l'anthropisation du milieu environnemental. Les analyses paléobotaniques disponibles pour la période de l'âge du Fer montrent effectivement une ouverture du paysage sur l'ensemble du nord-ouest de la France avec le développement d'une végétation de type lande sur les zones ouvertes défrichées (Marguerie, 1992, p. 238). Les landes marquent les paysages de l'âge du Fer puisqu'elles sont identifiées dans plus de 60 % des études anthracologiques et carpologiques de cette période (Gaudin, 2004, p. 438).

L'ouverture du paysage est plus perceptible à travers deux autres études anthracologiques effectuées sur les sites de l'âge du Fer de Châteaubourg « La Goultière », et de Brielles « La Massuère » (tracé LGV Rennes-Le Mans), situés plus à l'est de « La Salmondière ».

A Châteaubourg, les échantillons prélevés dans huit fosses d'extraction d'argile de la période Hallstatt ont permis d'identifier dix taxons dont plusieurs taxons héliophiles comme le chêne, le bouleau, le saule, l'orme et des rosacées (Pomoïdées). Les Pomoïdées sont des espèces de friches ou de haies qui sont aussi des témoins de l'anthropisation du paysage. Les mesures de cernes de croissance annuelle du chêne faites sur 24 charbons (soit sur 69 cernes) donnent une moyenne annuelle de 1,86 mm, signe d'un boisement encore dense mais sans trop forte concurrence (Seignac, 2011, p. 151).

A Brielles «La Massuère», le four 5454 du II<sup>ème</sup> Âge du Fer (1 datation C14 : 2040± 30 BP, soit entre 160 et 20 av. J.-C.) comprend huit taxons avec comme essences les mieux représentées les génistées (35,2 %), le chêne caducifolié (24,8 %) et l'aulne (10,4 %), les Pomoïdées étant encore associés à l'assemblage (Seignac, 2013, p. 137-138). L'ensemble des essences identifiées permet ainsi de constater l'exploitation d'un milieu ouvert car on note la forte présence des génistées et celle plus discrète des Pomoïdées, des essences caractéristiques de la lande (en particulier les ajoncs et/ou genêts) ou des haies et friches.

A « La Salmondière », l'ouverture du paysage pour la période gauloise n'est perçue en particulier qu'à travers la présence des génistées et la moyenne annuelle de croissance très forte des charbons de chêne (3,17 millimètres par an) qu'on doit considérer avec précaution car elle ne porte que sur la mesure de dix charbons (soit 25 cernes). On note aussi l'exploitation possible d'un fonds de vallée lié à la présence du frêne, espèce qu'on ne retrouve pas dans les échantillons gallo-romains.

Pour la période gallo-romaine, l'ouverture du paysage est perçue par la présence discrète des génistées (lande) et du noisetier (lisière) mais les moyennes de croissance annuelle du chêne restent faibles pour la période, révélant une persistance d'un boisement dense (une chênaie) situé probablement localement.

2.8.4.2. Les bois utilisés comme combustible pour l'activité de forge.  
Données paléoethnographiques et comparaisons pour la période gallo-romaine  
(Tab. 19)

Pour le fonctionnement de la forge antique, le chêne caducifolié est le combustible principal utilisé. C'est un excellent bois de chauffe qui offre une combustion lente et optimale à flammes courtes en particulier si le combustible se présente sous forme de bûches provenant de branches de calibre important.

On note aussi la présence très discrète (2 charbons) de petits ligneux comme le noisetier et les génistées. Ils sont plus communément employés comme bois d'allumage car ce sont des bois qui libèrent très rapidement une température importante et se consomment rapidement surtout lorsqu'ils sont utilisés sous forme de fagots ou de petites branches.

Une préférence est sûrement affichée pour le chêne au regard de ses caractéristiques et de son fort pouvoir calorifique, mais sa disponibilité dans l'environnement local et régional est aussi à prendre en compte. C'est un taxon que l'on rencontre fréquemment sur les sites métallurgiques antiques de l'Ouest de la France, notamment sur quelques sites bretons. Dominique Marguerie souligne effectivement l'utilisation du chêne dans les structures de combustion artisanales, dont les structures métallurgiques, dans le nord-ouest de la France (Marguerie, 2002, p. 188 ; Marguerie et Hunot, 2007, p. 1425).

La sélection de cette essence a pu être mise en évidence sur la forge antique d'Orgères « Zac des Prairies d'Orgères » (Ille-et-Vilaine), datée de la fin du I<sup>er</sup> siècle après J.-C. Sur les trois échantillons liés à l'activité métallurgique, le chêne caducifolié est le taxon dominant dans un foyer de forge (95 % de chêne) et dans une fosse de rejet métallurgique associée. Cependant, dans le deuxième foyer de forge étudié, c'est le frêne qui est majoritaire (97%) et on le retrouve associé au chêne au sein de la fosse de rejet. Des essences de formations secondaires comme les Pomoidées ou les Prunoidées, et une essence de ripisylve (le saule), sont représentées minoritairement et ont dû sûrement servir comme combustible d'allumage (Seignac, 2014, p. 274). A Tréguieux (Côtes-d'Armor), l'étude anthracologique d'une fosse gallo-romaine associée à la métallurgie révèle la monospécificité d'un échantillon (flot 1066) avec la présence du chêne. Dans le flot 1064, le chêne est accompagné d'autres taxons dont la présence est rare : houx, bouleau, genêt/ajonc, érable (et peut-être Pomoidée et sureau). Cette fosse comporte une haute fréquence de charbons de type branche (Marcoux, 2011). Sur le site métallurgique gallo-romain de Couédouan à Plélan-le-grand (Ille-et-Vilaine), les charbons analysés proviennent du fond d'un bas-fourneau. Le chêne, de calibre important, est l'essence dominante (91 %), accompagnée discrètement par des génistées (Marguerie, 2002, p. 189-190).

Dans d'autres régions, le chêne caducifolié est toujours très représenté au sein des assemblages liés à la métallurgie, à l'époque gallo-romaine.

En Loire atlantique, sur le site antique de Saint-Lupien à Rezé, le foyer de forge étudié a fonctionné avec du chêne (56,2%) et du frêne (34,2%) (Aoustin, 2012, p. 6).

Dans la Sarthe, à Roche Brune (Pezé-le-Robert), l'atelier gallo-romain de réduction du minerai de fer du I et II<sup>ème</sup> siècle après J.-C. a fonctionné principalement avec du hêtre et du chêne. L'observation a aussi permis d'identifier de l'érable, de l'aulne, du bouleau ainsi que du saule mais en faible quantité (Marcoux et al., 2008 ; Marcoux, 2009, p. 5).

Sur la forge antique de Rom (Deux-Sèvres), la prédominance des chênes caducifoliés est à noter (99,2 %) mais il n'y a pas de monospécificité. Quelques fragments de hêtres et de frênes sont présents (Dabas et al., 2002, p. 150).

Sites archéologiques	Nature des structures	Nb charbons	Richesse taxon	Taxon(s) identifié(s) et proportions	Datation	Référence bibliographique
Cesson-Sévigné (Ille-et-Vilaine) «La Salmondière»	Fosse de rejet métallurgique(F 747)	100	1	chêne caducifolié	1er siècle après J.-C.	Seignac, 2014
	Fosse de rejet métallurgique (F 2861)	100	3	chêne majoritaire (98 cb), 1 cb de noisetier, 1 cb de gémistée	1er siècle après J.-C.	
	Zone de forge (F 748)	200	1	chêne caducifolié	1er siècle après J.-C.	
Orgères (Ille-et-Vilaine) «ZAC des Prairies d'Orgères»	Fosse de rejets métallurgiques 93 sd 2054	110	7	chêne (78 cb), frêne (17), prunus (3), saule (2), saule/peuplier, pomoïdée, orme	1er siècle après J.-C.	Seignac, 2014
	Fosse de rejets métallurgiques 93 sd 2054 us 2	100	4	chêne (49 cb), frêne (39), hêtre (8) et aulne (2)	1er siècle après J.-C.	
	Fosse de rejets métallurgiques 93 sd 2079	55	4	chêne (32 cb), frêne (15), aulne (3) et érable (2)	1er siècle après J.-C.	
	Foyer de forge (F 97)	100	2	frêne (97 cb) et pomoïdée (2)	1er siècle après J.-C.	
	Foyer de forge (F 118)	100	2	chêne (95 cb) et prunus (3)	1er siècle après J.-C.	
Tréguex (Côtes d'Armor) «Rocade briochine»	Fosse de rejet Flot 1066		1	chêne caducifolié	zone gallo-romaine	Marcoux, 2011
	Fosse de rejet Flot 1064		5	chêne majoritaire, houx, bouleau, genêt/ajonc, érable	zone gallo-romaine	
Plélan-Le-Grand (Ille-et-Vilaine) «Couédan»	Bas-fourneau		2	chêne majoritaire ( 91 %), gémistées (ajonc et/ou genêt)	Gallo-romain	Marguerie, 2002 Marguerie et Hunot, 2007
Rezé (Loire-Atlantique) «Saint-Lupien»	Foyer de forge 10150	30	2	chêne majoritaire (20 cb), frêne (6), écorce (3)	Gallo-romain	Aoustin, 2012
Pezé-le-Robert (Sarthe) «Roche Brune»	3 ferriers, 2 bas-fourneaux et 1 fosse à charbonnage	202	5	hêtre majoritaire (75,7 %), chêne caducifolié (20,3 %), érable, aulne, bouleau et saule	1er-IIe siècle ap.J.-C.	Marcoux, 2009

**Tab. 19** : richesse taxonomique des cortèges anthracologiques des structures liées à l'activité métallurgique gallo-romaine (foyers/bas-fourneaux, fosse) du nord-ouest de la France

## Conclusion

Le spectre anthracologique identifié à « La Salmondière » révèle quatre espèces issues de formations différentes. La végétation ligneuse représentée comprend un milieu type forêt ou boisement (chênaie), un groupement anthropique (haies, lisières, friches) et une probable zone de boisement hygrophile. Les mesures de cernes de croissance annuelle des charbons de chêne permettent de penser qu'un boisement dense existait encore dans le paysage environnant l'occupation gallo-romaine. Les aires d'approvisionnement en bois exploitées semblent assez diversifiées. Pour le fonctionnement de la forge gallo-romaine, le chêne caducifolié semble privilégié, utilisé sous forme de bûches de taille importante. Les charbons de la fosse de rejet présentent des traits particuliers de combustion assez représentatifs des charbons que l'on retrouve en contexte d'une activité métallurgique.

Ces données anthracologiques s'insèrent parmi celles des autres sites étudiés dans le cadre du tracé de la LGV Rennes-Le Mans et permettent d'avoir une perception plus affinée du paysage dans des zones encore peu étudiés.

## 2.9. Etude d'un stock d'orge vêtue (*Hordeum vulgare* ssp. *vulgare*) de La Tène ancienne par A.-M. Desiderio<sup>1</sup> et J. Wiethold<sup>2</sup>

### 2.9.1. Introduction

Lors du projet de la Ligne à Grande Vitesse Rennes-Le Mans, qui a intéressé la partie Ouest de la France, plusieurs fouilles archéologiques ont été effectuées sur son tracé. Parmi ces dernières, une fouille a été menée à Cesson-Sévigné « *La Salmondière* » (35). Cette fouille, effectuée sur la direction scientifique de Jean-Claude Durand, Inrap, et de son équipe, a eu lieu du 04/06/2012 au 26/10/2012, et concernait une surface de 6 hectares (fig. 323). Pendant la fouille, les archéologues ont mis au jour une occupation diachronique allant du Bronze final jusqu'au haut Moyen âge. Son occupation principale est composée par deux établissements de l'âge du Fer (datés de la fin de la Tène ancienne jusqu'à la fin de La Tène finale) distants d'une cinquantaine de mètres et constitués d'enclos emboîtés avec un système d'entrée monumentale. Lors de la fouille, les archéologues ont découvert une fosse circulaire, la structure 2032, d'1,15 m de diamètre avec une profondeur de 0,35 m, qui a révélé un fond tapissé de graines (fig. 324). Pour mieux comprendre la nature et l'utilisation de cette structure, un prélèvement destiné à la carpologie\* (étude des grains, semences, noyaux et des autres macrorestes végétaux ; cf. Marinval 1999, Jacomet, Kreuz 1999) a été fait et soumis à l'analyse.

### 2.9.2. L'état de la recherche carpologique dans l'Ouest de la France et dans les autres villes. Comparaison régional

Malgré une activité archéologique constante dans l'Ouest de la France, on remarque que les recherches paléo-environnementales sont assez réduites par rapport aux régions voisines (région Centre, Sud et Est de la France) dans les dernières années. Ces lacunes sont comblées peu à peu par une recherche systématique et méthodologique plus approfondie par les spécialistes. Les résultats dont nous disposons pour cette région viennent de l'analyse des petites séries de prélèvements effectuées dans les comblements de structures spécifiques. Au contraire on remarque que les études exhaustives effectuées sur des sites importants restent encore très rares. Pour cette raison chaque étude carpologique contribue à la connaissance des systèmes agraires de cette région.

A cet effet n'oublions pas les études carpologiques faites sur différentes sites au cours des années passées, comme celui de Bédée (35) « *Zac du Pont aux chèvres* », fouille de Gilles Leroux, Inrap, en 2013, étude d'Elsa Neveu (Neveu 2013) qui a livré des niveaux d'occupations de l'âge du Bronze et du haut Moyen Âge. Le site de Pleuven (29) « *Coat-Menhir* » daté de l'Antiquité, a fait l'objet d'une étude carpologique sur des fours longitudinaux où les espèces cultivées les plus courantes étaient l'avoine, le seigle et l'orge, étude menée par J. Wiethold (Wiethold 2012) au laboratoire de l'Inrap Grand Est nord à Metz. L'étude carpologique du site de Guichen (35) « *La Croix Vallée* » sous la responsabilité scientifique de Laurent Juhel Inrap, faite sur les offrandes alimentaires dans un bûcher funéraire du Haut Empire menée par J. Wiethold (Wiethold 2011). Concernant les sites datés du Moyen

1 (Inrap Grand-est Nord Laboratoire archéobotanique)

2 (Inrap Grand-est Nord Laboratoire archéobotanique - UMR 6298 « ArteHis, archéologie, terre, histoire et sociétés » Université de Bourgogne, Dijon)



Fig. 323 : plan général des structures

Âge, il faut citer les études de Châteaulin « *Penn-Ar-Roz* » de G. Daoulas (Daoulas 2012) Inrap Grand Est Nord à Metz et de M.-F. Dietsch-Sellami à Quimper (2005). Sur le tracé de la Ligne à Grande Vitesse Le Mans-Rennes, une autre fouille a été accompagnée par des études carpologiques, celle du site de Guignen « *Le Tertre* », en Ille-et-Vilaine (35) sous la direction scientifique de Sandrine Barbeau, Inrap. Cette étude a été ciblée sur deux prélèvements provenant de deux couches archéologiques d'un four du haut Moyen Âge (Desiderio, Wiethold 2014a). Une autre fouille, menée en 2012 à Domloup « *Petit Bénazé* » en Ille-et-Vilaine (35) sous la direction d'Anne Louise Hamon, Inrap, a permis d'étudier un site antique sur 16 000 m<sup>2</sup>. La fouille a révélé la *pars rustica* d'un établissement antique du type *villa*. L'étude carpologique a été effectuée sur deux foyers et le remplissage d'un fossé (Desiderio, Wiethold 2014b).



Fig. 324 : coupe ouest © équipe de fouille

### 2.9.3. Mode de conservation

Généralement les macro-restes végétaux peuvent être conservés sur les sites archéologiques sous différentes formes : carbonisée, minéralisée, desséchée, imbibée ou congelée. Les macro-restes végétaux retrouvés à Cesson-Sévigné « *La Salmondière* » sont tous carbonisés. Le processus de carbonisation résulte de l'exposition des éléments végétaux au feu au cours duquel la matière organique d'origine est remplacée par du carbone. Cette mode de conservation est la plus fréquente, et souvent l'unique, mode de préservation rencontré sur les sites archéologiques (Théry-Parisot *et al.* 2009). En dehors des incendies, volontaires ou accidentels, il ne concerne généralement que certaines catégories de plantes – celles les plus fréquentes exposées au feu par différents biais (préparations culinaires, brûlage de déchets, utilisation de combustibles). Le spectre des plantes identifiées à partir des restes carbonisés est ainsi souvent limité à certaines catégories de plantes cultivées et sauvages, dont les céréales, les légumineuses cultivées et leur adventives, et il ne représente qu'une partie des espèces réellement utilisées sur le site. De plus, la carbonisation n'affecte pas de la même façon les différents types de macro-restes végétaux selon leur nature (fragilité, contenu en huile gras et/ou volatile etc.) et les conditions de combustion (température et durée du feu, apport en oxygène, taux d'humidité de la matière végétale d'origine ; Théry-Parisot *et al.* 2009).

#### 2.9.4. Choix de prélèvements, traitement technique et conservation de restes végétaux

Le prélèvement porte sur une unique couche riche en graines, distinguée pendant la fouille, de la fosse circulaire 2032. Le volume de ce prélèvement unique est de 8 litres, cependant un volume standard d'environ 10 litres par prélèvement est généralement recommandé pour les études carpologiques (cf. Jacomet, Kreuz 1999).

Les restes végétaux étudiés n'étaient pas trop fragmentés ou détériorés, leur détermination était facile. Les prélèvements ont été traités par Jean-Claude Durand et son équipe, en utilisant le tamisage total des refus lourds. La totalité du traitement technique (mise en eau, tamisage avec une colonne de tamis de 0,5 mm, 1,0 mm et 2,0 mm, séchage et conditionnement des restes récoltés) a été effectuée lors de la post-fouille au centre de recherches archéologiques de Cesson-Sévigné. Le premier auteur de ce rapport carpologique a trié et déterminé les macro-restes végétaux de cette récolte au laboratoire archéobotanique d'Inrap Grand Est Nord à Metz.

#### 2.9.5. Méthodologie du traitement des refus de tamis

La fraction de 2,0 mm de ces prélèvements a été entièrement triée et analysée. En revanche, concernant la fraction de 0,5 mm, seulement un dixième du total a été traité. Ensuite, le nombre de macro-restes a été calculé pour le total du volume. Les principes généraux d'échantillonnage, la sélection des structures échantillonnées et le traitement des prélèvements sont décrits en détail dans l'ouvrage d'archéobotanique de Jacomet et Kreuz (1999) et par Marinval (1999). Pour déterminer les macro-restes végétaux carbonisés, les ouvrages de Beijerinck (1947, réimpression 1976), Brouwer et Stählin (1955), Cappers *et al.* (2006) et Jacomet *et al.* (2006) ont été utilisés, ainsi que la collection de référence de Julian Wiethold qui se compose de graines modernes et de macro-restes végétaux carbonisés provenant d'autres sites du Centre-Est et de l'Est de la France.

La détermination des restes des quelques espèces cultivées et sauvages nécessite aussi quelques remarques méthodologiques : concernant les blés vêtus\*, les éléments de la balle\* - bases de glumes\*, bases d'épillets\* - sont généralement plus facile à déterminer. La conservation médiocre des certains grains et/ou l'impossibilité d'en distinguer clairement les éléments discriminants, ont fait l'objet d'une détermination incertaine. Cela est signalé par l'apposition de l'abréviation « cf. » devant le nom de l'espèce. Les résultats carpologiques sont présentés dans les **tableaux 20** et **21**. Ils montrent les résultats en respectant le niveau stratigraphique du prélèvement et son appartenance chronologique. Dans la liste des taxons l'ordre des taxons respecte les groupes fonctionnels des plantes : céréales et messicoles\*. Les macro-restes qui n'ont pas pu être bien identifiés sont classés dans « autres restes ». Dans chaque groupe, les taxons les plus abondants – d'après leur fréquence dans la série d'échantillons et en deuxième classement de leur abondance en restes – sont indiqués en haut. Les nombres absolus des restes de plantes y sont indiqués. Les décomptes correspondent, en l'absence de la mention de « fragment » associée à la nomenclature scientifique, à un nombre minimum d'individus (NMI), composé de restes entiers et/ou des fragments décomptés comme suit : deux moitiés de semences/graines figurent une graine entière et des autres espèces un total en NMI a été estimé.

n° st	n° US	n° prélèvement	Volume/litrage	Type de structure	M-R	Total de M-R	Densité moyenne	Charbons	Datation	Datation calibré 2-sigma
2032	2	14	8	fosse circulaire	oui	1737	1737	oui	Tène ancienne/Tène final	Beta-360240 : 2140 ± 30 BP: 350-60 BC

Tab. 20 : données générales du prélèvement

La taxinomie\* scientifique et française, figurant dans ce rapport et dans les tableaux de données, se conforme à celle de la dernière édition de la flore pour la Belgique, le Grand-duché de Luxembourg et le Nord-est de la France (Lambinon, Verloove 2012).

Noms scientifiques	Structure	2032	Totaux	%
Lambinon, Verloove (2012)	Type de structure	fosse		
	N° US	2		
	Datation	Tène ancienne/Tène final		
	Volume/litres	8	8	1737%100
Noms scientifiques	Noms vernaculaires			
Lambinon, Verloove (2012)	Lambinon, Verloove (2012)			
Céréales				
<i>Hordeum vulgare</i> ssp. <i>vulgare</i>	Orge polystique vêtue	1219	1219	70
<i>Hordeum vulgare</i> ssp. <i>vulgare</i> rachis	Orge polystique vêtue	381	381	22
<i>Hordeum vulgare</i> ssp. <i>vulgare</i> base glume	Orge polystique vêtue	94	94	5
<i>Hordeum vulgare</i> ssp. <i>vulgare</i> frgm barbes	Orge polystique vêtue	21	21	1
<i>Hordeum vulgare</i> ssp. <i>vulgare</i> frgm tiges	Orge polystique vêtue	1	1	+
<i>Triticum spelta</i> frgm. Glume	Epeautre	1	1	+
Messicoles				
<i>Avena fatua</i>	Avoine	1	1	+
<i>Brome</i> sp.	Brome	1	1	+
<i>Vicia hirsuta/tetrasperma</i>	Vesce herissée/vesce à quatre graines	1	1	+
Autres restes				
Indeterminata/frgm. Tiges	Indéterminés, tiges	12	12	r
Cf. Pedicelle de vigne	Pedicelle de vigne cultivée	2	2	r
Indeterminata	Indéterminés	1	4	r
Indeterminata	Indéterminés	1	1	+
Poaceae	Poaceae	1	1	+
Totaux macro-restes végétaux		1737	1737	

Tab. 21 : tableau de détermination des macro-restes végétaux

### 2.9.6. Datation des macro-restes végétaux

La datation des macro-restes végétaux repose sur une fourchette chronologique fournie par une datation au radiocarbone par le laboratoire Beta Analytic (Floride, Etats-Unis). Cette dernière est : Beta-360240 : 2140 ± 30 BP, soit calibré avec 2-sigma (95%) probabilité : 350-60 BC (cf. datations 14C, en annexe). Enfin, nos résultats carpologiques obtenus sont présentés et discutés.

### 2.9.7. Les résultats carpologiques

Une seule unité stratigraphique a été échantillonnée pour un total de 8 litres de sédiment (Tab. 20). La limite de cette étude repose sur le fait que l'échantillonnage archéobotanique n'a pas été pratiqué systématiquement tout au long de la fouille. Nos conclusions seront, donc, assez restreintes sur l'agriculture, l'alimentation végétale pour la période chronologique étudiée et pour la région.

Les refus de tamis de nos échantillons étaient très charbonneux et très riches



en macro-restes végétaux, surtout, en caryopses carbonisés d'orge polystique vêtue *Hordeum vulgare* ssp. *vulgare*. La présence de grains légèrement tordus et irréguliers indique qu'il s'agit de la forme polystique, donc «à quatre rangs». En revanche, l'orge distique *Hordeum distichon* se caractérise normalement pas des grains très symétriques et réguliers.

Pour pouvoir compter correctement le nombre total des macro-restes végétaux, nous avons procédé d'abord à l'étude d'un dixième de son total, nous avons ensuite calculé le total des résidus restant en utilisant le poids spécifique d'un caryopse d'orge, qui s'élevé à 0.0134618 grammes, puis nous l'avons multiplié par mille. Le résultat total est de 1219 caryopses de l'orge vêtue polystique. Les résultats de l'identification des macro-restes végétaux sont ensuite présentés dans le **tableau 22** et la **figure 325**. Vu le faible nombre d'autres taxons\* de céréales représentés dans notre prélèvement, les fragments corrodés des céréales qui ne pouvaient pas être correctement identifiés, ont été classifiés parmi les restes d'orge polystique vêtue. Cette quantité, si importante, d'une seule céréale dans une structure de forme circulaire proche des bâtiments, nous suggère qu'il s'agit bien d'un stock de céréale, qui a été carbonisé, probablement lors d'un incendie ou d'un accident du traitement. Les résidus du battage de l'orge sont aussi bien présents dans notre échantillon.

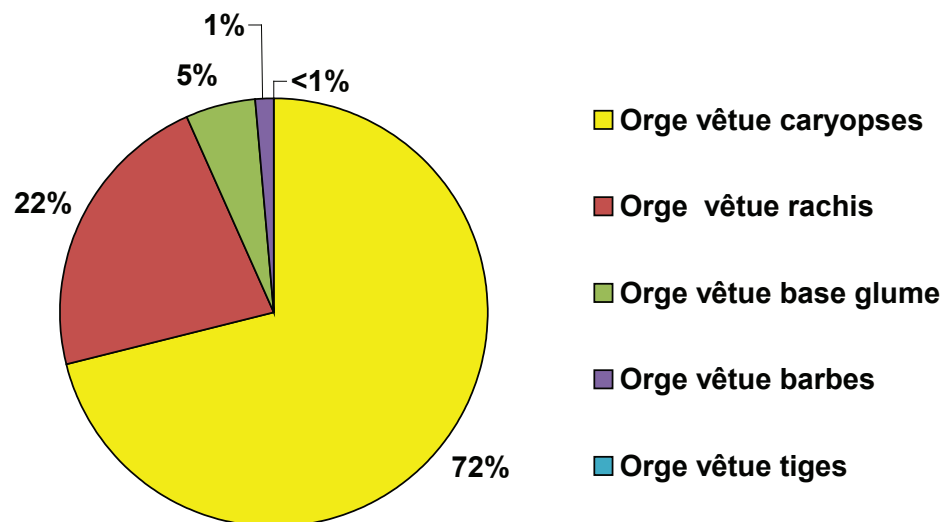


Fig. 325 : diagramme des pourcentages des macro-restes végétaux

Bien que la totalité des macro-restes que nous avons identifiés appartiennent essentiellement à l'orge polystique vêtue *Hordeum vulgare* ssp. *vulgare*, nous avons aussi identifié, parmi eux, une base de glume de l'épeautre *Triticum spelta*. Les plantes messicoles associées aux céréales sont représentées dans ce stock d'orge polystique par une graine de brome, *Brome* sp., par un caryopse\* de la folle avoine *Avena fatua* et aussi par une semence d'une vesce sauvage *Vicia hirsuta/V. tetrasperma* agg. (Vesce hérissée/vesce à quatre graines, *Vicia hirsuta/tetrasperma*). Parmi les autres restes, nous avons classifié, les macro-restes qui ont une identification soit incertaine soit indéterminée. Les fragments de tiges, non reductibles aux tiges de céréales, y sont présents avec douze fragments. Ils s'ajoutent à deux restes indéterminés et à un caryopse d'une graminée. Pendant notre analyse nous avons identifié également quelques pédicelles de vigne. Les attestations archéobotaniques pour l'Ouest de la France sur l'utilisation de la vigne, *Vitis vinifera*, pour l'âge du Fer sont rares. De plus, il reste la problématique de séparer les pédicelles de la vigne sauvage *Vitis vinifera* ssp. *silvestris* de celles de la vigne cultivée *Vitis vinifera* ssp. *vinifera*. Dans la plupart des cas le pédicelle se détache plus facilement des fruits de la vigne cultivée.

Néanmoins, l'identification demeure incertaine et le très faible nombre de pédicelles dans notre échantillon ne permet pas de s'exprimer plus précisément sur la nature de cette trouvaille.

### 2.9.8. Discussion des résultats et interprétations

En conclusion nos résultats carpologiques, bien qu'intéressants, sont assez limités puisque l'échantillonnage archéobotanique n'a pas été systématique tout au long de la fouille mais seulement dans une structure où les graines étaient évidentes à l'œil nu. L'orge polystyrique vêtue *Hordeum vulgare* ssp. *vulgare* (fig. 326) est la céréale principale de notre assemblage de graines carbonisées. C'est une céréale peu exigeante en éléments nutritifs et aussi pour les conditions climatiques. Elle appartient aux cultures d'été, c'est-à-dire semée au printemps et récoltée en été, durant les périodes préhistoriques jusqu'au début de l'époque moderne (Matterne 2001). Par contre quelques variétés pouvaient aussi être cultivées comme céréales d'hiver\*, donc semées en automne et récoltées au printemps. L'orge vêtue polystyrique a besoin, pour mieux pousser, d'avoir des sols lourds plutôt que des sols sableux légers. Il s'agit d'une céréale pas bien panifiable à la différence du froment et du seigle qui étaient principalement destinées à la panification. Malgré ce constat, la farine d'orge comme d'autres farines peu panifiables (par exemple la farine de fêveroles), a pu être mélangée avec la farine de céréales bien panifiables pour faire du pain, notamment durant les périodes de disette (Matterne 2001, Zohary, Hopf 2004).

La présence de l'épeautre *Triticum spelta* repose sur la seule base de glume\* dans notre stock d'orge. L'épeautre est une céréale vêtue\* et nécessite donc un deuxième battage\* pour libérer les grains de leur enveloppes. Grâce à ses racines profondes, l'épeautre peut pousser sur des terrains très pauvres, peu fertilisés et très secs. A la différence de l'orge, l'épeautre est une céréale qui produit une farine bien panifiable (Matterne 2001).



Fig. 326 : l'orge polystyrique vêtue *Hordeum vulgare* ssp. *vulgare* © Wiethold

### Les messicoles

Les restes de messicoles sont très rarement attestés. Deux caryopses de la famille des Poacées ont été identifiés. Ils représentent probablement des graminées qui poussaient comme mauvaises herbes dans les cultures de l'orge vêtue. Nous avons identifié un caryopse de la folle avoine *Avena fatua* (fig. 327), qui est une mauvaise herbe des cultures des céréales. Le bromus, *Brome* sp., est aussi une plante appartenant à la famille des graminées. On la retrouve seulement sous forme de glumelles\* car les grains décortiqués de l'avoine ne sont pas précisément déterminables. La vesce hérissée et la vesce à quatre graines *Vicia hirsuta/tetrasperma* agg. sont deux messicoles typiques qui accompagnaient normalement plus fréquemment les céréales d'hiver. Leur occurrence dans l'orge vêtue, principalement cultivée comme céréale d'été, n'est néanmoins pas étonnante car leur présence ne se limite pas exclusivement aux céréales d'hiver. La rotation des cultures a pu disperser aussi des espèces normalement reliées aux céréales d'hiver dans les cultures d'été. On trouve ces graines de vesces sauvages plus fréquemment dans les stocks du blé tendre et de l'épeautre (Wiethold 2012).



Fig. 327 : la folle avoine *Avena fatua* © Wiethold

En conclusion de notre étude, bien que les résultats soient très intéressants, nous ne pouvons pas trop nous prononcer sur l'agriculture pratiquée pendant l'âge du Fer pour le site de Cesson-Sévigné « *La Salmondière* » car nos résultats provenant d'une seule structure et d'un seul prélèvement ne reflètent pas l'ensemble des plantes cultivées et la totalité des pratiques agricoles. Pour mieux comprendre l'économie agricole d'un site de l'âge du Fer il est recommandé de prélever au minimum une trentaine de structures par phase chronologique. Nous pouvons avancer l'hypothèse que la fosse

2032 contenait les restes d'un stock de grains de l'orge polystique vêtue, qui a été brûlé lors d'un incendie ou d'un autre accident lors du traitement de récoltes ou de la préparation alimentaire. Si la fosse ne porte pas des traces de feu ou de rubéfaction, les macro-restes végétaux carbonisés doivent être considérés en position secondaire dans cette fosse. Les résidus de cet incendie ont été très probablement rejetés dans la fosse.

### Conclusion

La trouvaille d'un stock d'orge polystique vêtue dans une fosse datée du deuxième âge du Fer confirme la culture de cette céréale durant l'époque en question. L'assemblage de ces carporestes a été probablement rejeté intentionnellement comme déchets dans cette fosse. Les carporestes étaient en position secondaire et ils ne témoignent pas d'un stockage primaire dans cette structure en creux.

Il faut souligner que la connaissance et la compréhension de l'agriculture du deuxième âge du Fer et de l'exploitation du milieu naturel par l'homme nécessite de prévoir un échantillonnage plus systématique, lors des fouilles futures.

### Glossaire (après de Matteredne 2001, Wiethold, Bonnaire 2011)

#### \* Adventice

Plante originaire d'une autre contrée qui colonise un territoire sans être sciemment introduite, synonyme d'espèce « indésirable », de « mauvaise herbe » dans une culture.

\*Balle : ensemble des enveloppes de grains et des fragments de rachis\* qui contribuent à former la balle, résidu du traitement des céréales.

\*Battage : opération agricole qui consiste à séparer de l'épi ou de la tige les graines de certaines plantes.

#### \* Blé nu/blé vêtu

Chez les espèces vêtues, le principal critère de discrimination est le caractère persistant de la balle enveloppant le grain (Nesbitt, Samuel 1996).

Les céréales vêtues, en dépit de la domestication, conservent un caractère hérité de leurs ancêtres sauvages, destiné originellement à favoriser la dissémination des grains dans la nature. Le rachis\*, ou axe central de l'épi, est semi fragile, de sorte que les épillets, à maturité, ont tendance à se désarticuler spontanément (Anderson 1992). Les épillets tombés sur le sol s'enracinent et forment de nouveaux plants. Trois espèces de blés domestiques possèdent cette particularité. Il s'agit du blé épeautre, du blé amidonnier et du blé engrain. Lors du dépiquage des épis, après la récolte, la fragilité du rachis\* entraîne la segmentation de l'épi en épillets. À ce stade, le grain est encore solidement enserré dans les glumes\* ou enveloppes externes, dont les bases sont particulièrement coriaces chez ces espèces. Un second battage, ou décorticage, est nécessaire pour séparer le grain de la balle. Pour cette raison, les espèces à rachis\* semi-fragile sont appelées blés à grains vêtus par allusion au premier battage, qui ne suffit pas à libérer le grain.

En opposition, chez les espèces dites à grains nus, comme le blé tendre ou le blé compact, un seul battage est nécessaire pour séparer le grain de la balle. En effet, ces espèces possèdent un rachis\* solide et des glumes\* plus tendres, qui adhèrent au rachis. Lors du dépiquage, l'épi n'est pas fragmenté, les grains glissent spontanément en dehors des enveloppes. Le gain de temps qui en résulte est appréciable.

\*Caryopse : fruit sec, propre aux poacées, dont la graine est soudée au péricarpe.

#### \* Carbonisation

La carbonisation, lors de laquelle la matière organique d'origine est transformée en carbone, suite du contact avec le feu, est de loin le plus fréquent, et souvent l'unique, mode de préservation rencontré sur les sites archéologiques. En dehors des incendies, il ne concerne généralement que certaines catégories de plantes – celles exposées au feu par différents biais (préparations culinaires, brûlage de déchets, utilisation de combustibles). Le spectre des plantes identifiées à partir des restes carbonisés est ainsi souvent limité et ne représente qu'une partie des espèces réellement utilisées sur le site. De plus, la carbonisation n'affecte pas de la même façon les différents types de carporestes selon leur nature et les conditions de combustion (température et durée du feu, apport en oxygène, taux d'humidité de la matière végétale d'origine).

#### \* Carpologie

Discipline botanique qui étudie les macro-restes végétaux (graines, fruits, noyaux et autres restes végétaux) provenant des structures archéologiques ou des sédiments naturels. La carpologie des structures et couches anthropisées est une sous-discipline d'archéobotanique.

#### \* Céréale d'hiver/céréale d'été

Plusieurs espèces possèdent des variétés dites d'hiver ou de printemps. Une céréale d'hiver est semée en septembre. Les semences nécessitent une période de froid pour déclencher la germination. Ce phénomène est appelé la vernalisation\*. La plante passe l'hiver à l'état de plantules. Au retour de la belle saison, les plants solidement enracinés dans la terre développent immédiatement leur végétation. Les céréales d'hiver tallent davantage et fournissent ordinairement un rendement plus élevé. En revanche, les variétés de printemps sont sensibles aux gelées et on les sème quand tout risque est écarté. Elles développent leur végétation au cours d'un cycle accéléré et sont donc moins productives que les variétés d'hiver.

\* cf : Certaines graines ont fait l'objet d'une proposition d'attribution à un genre ou une espèce. En raison d'une attribution incertaine, du souvent à une conservation médiocre, l'attribution est signalée par l'apposition de l'abréviation « cf. » devant le nom de l'espèce.

#### \* Décorticage

Séparation des caryopses de céréales de leurs enveloppes protectrices (glumes\* ou glumelles\*) lors de la chaîne opératoire post-récolte.

#### \* Épillet

Un épillet est un ensemble de fleurs composant un épi secondaire. Les épillets sont rassemblés au sommet de la tige et forment ce que nous appelons l'épi\*. Chaque épillet contient normalement un grain chez l'engrain et deux chez l'amidonnier, sauf dans l'épillet sommital, qui n'en comporte qu'un.

#### \* Glume

Chacune des deux pièces écailleuses qui protègent l'épillet dans une inflorescence de Graminées.

#### \* Glumelle

Chacune des deux pièces écailleuses qui protègent chaque fleur d'un épillet de graminées.

#### \* Messicoles

Se dit des plantes qui colonisent en « mauvaises herbes » les cultures de céréales d'hiver (exemple: le bleuet, la nielle des blés...)

---

\* Rachis

Axe centrale d'épi de céréales cultivées et des graminées sauvages.

\*Taxon : unité systématique d'un rang quelconque (famille, genre, espèces, variétés).

\* Taxinomie

La taxinomie (ou taxonomie) est la science qui a pour objet d'identifier et classer les organismes.

## 3. SYNTHÈSE

A travers cette étude plusieurs niveaux d'informations ressortent.

### 3.1. Environnement

En l'absence de conservation de pollens dans ces terrains acides, ce sont les charbons de bois et les macro-restes qui peuvent nous donner un aperçu du paysage de l'époque.

L'étude des charbons de bois semble indiquer que le milieu évolue guère durant ces périodes car le site est bordé au moins jusqu'à la période gallo-romaine, d'un boisement dense. L'action humaine sur cet environnement transparait à travers des espèces révélatrices de haies, lisières et friches.

L'homme défriche vraisemblablement pour cultiver et établir des pâtures pour les animaux. Des espèces de boisement hygrophile, montre la proximité de l'eau. Il semble peut probable que les choses aient vraiment évolué durant la période médiévale.

Malgré 93 prélèvements de sédiment, un seul a livré des restes carpologiques. Ces graines et macro-restes ont été conservés dans le fond d'une fosse du fait qu'ils étaient carbonisés. L'étude a montré que la fosse ne constituait pas un lieu de stockage, du type silo, mais que ces graines étaient en rejet secondaire. Il s'agit principalement d'orge avec également de l'épautre, confirmant que ces populations cultivaient ces céréales sur ce site à l'époque de La Tène. Mais ces graines nous donnent également des indications sur les types de sols présents à l'époque. En effet, « ... *l'orge vêtue polystique a besoin, pour mieux pousser, d'avoir des sols lourds plutôt que des sols sableux légers* » « ... *l'épautre peut pousser sur des terrains très pauvres, peu fertilisés et très secs.* » (cf. § Étude d'un stock d'orge vêtue par A.-M. Désirio).

### 3.2. Chronologie

Les premières traces d'occupations sont datées de la fin du Bronze finale à la fois à travers la céramique, la petite perle en pâte de verre provenant des ateliers d'Italie mais également d'une datation  $14C$  de charbons de bois issus du trou de poteau 2307. Cette date donne : de 1190 à 1000 BC en datation calibrée. Il est possible qu'une présence humaine ait abordé ce lieu dès le Néolithique comme semble l'attester le tesson de céramique provenant de la fosse 2433, qui évoque une forme de cette époque (**n° 118 Pl. 2**). Le site est ensuite abandonné, puis de nouveau occupé à la fin du IV<sup>e</sup> siècle, début III<sup>e</sup> siècle av. J.-C., de façon continue, jusqu'à la fin du III<sup>e</sup> siècle ap. J.-C. Un tesson de céramique de sigillée du Bas Empire (IV<sup>e</sup>/V<sup>e</sup> siècle ap. J.-C.) a été trouvé dans l'extrémité nord du fossé 2705, mais il ne permet pas de confirmer que le site a perduré jusqu'à cette période. Le site est encore une fois abandonné à la fin de la période gallo-romaine (ici III<sup>e</sup> siècle) pour être de nouveau réoccupée au haut Moyen Âge sur une période allant, d'après l'étude céramique, du VI<sup>e</sup> au VIII<sup>e</sup> siècle.

Les nouvelles traces humaines apparaîtront ensuite au XIX<sup>e</sup> siècle, sous la forme de fosses de plantation d'arbres pour des vergers et des fossés de parcellaire dont la haie 1002 reprenant exactement le tracé du fossé gaulois 836 de l'enclos de l'ensemble 2.

### 3.3. Phasage du site et spatialité

Les hommes de l'âge du Bronze se sont installés bien regroupés dans la partie sud-est du site. Nous savons à partir des tranchées de diagnostic que le site se poursuit un peu hors emprise vers l'est et le sud mais que sur quelques mètres. Les tranchées ouvertes sur le reste du tracé de la LGV, plus au sud ou plus au nord n'ont pas révélé d'autres occupations de cette période.

Les gaulois viennent peu empiéter sur ce secteur. Seulement quelques fossés de parcellaire et peut être quelques trous de poteaux mais pas d'occupation véritable. Cela est peut être due à la nature très schisteuse du terrain, ils recherchaient peut être une couverture végétale plus importante et un terrain plus tendre pour creuser les fossés d'enclos.

Nous l'avons vu précédemment l'occupation gauloise est assez longue, plus de quatre siècles.

Il semble que dans un premier temps à la transition Tène ancienne/Tène moyenne (fin IV<sup>e</sup>/début III<sup>e</sup> siècle), l'habitat soit ouvert et représenté principalement par un chemin nord-sud et quelques bâtiments sur tranchées de fondation aussi bien dans l'ensemble 1 que l'ensemble 2. Il faut également ajouter la structure pouvant être liée à l'eau 3131.

Ensuite, l'étude céramique montre trois phases typologiques distinctes, mais la chronologie des structures et le comblement de ces dernières ne permet pas de mettre en évidence un phasage si précis. Nous constatons simplement le creusement des grands fossés d'enclos au III<sup>e</sup> siècle et la perdurance de l'occupation jusqu'à la fin de La Tène finale/début période augustéenne.

Le domaine semble se structurer autour de l'enclos principal rectangulaire, ouvert vers l'est. Des trous de poteaux situés à l'intérieur indiquent la présence de bâtiments mais les plans sont difficiles à restituer. Cet enclos desservi par un chemin d'axe est/ouest, se développe vraisemblablement tout au long de la période, vers l'est avec l'adjonction de cours et d'entrées monumentales devant accueillir un porche (non visible lors de la fouille) et certainement bordées de talus. A partir de ces entrées des fossés formant comme des couloirs vers le nord et le sud, devaient permettre de conduire le bétail dans les champs.

Le site est abandonné à la fin de La Tène finale, les fossés d'enclos sont comblés, les talus rasés et au début du premier siècle s'installe la ferme gallo-romaine.

Elle ne tient pas du tout compte des constructions et des aménagements antérieurs. Le domaine visible pour nous, se compose d'au moins un grand enclos vraisemblablement quadrangulaire, pouvant correspondre à la cour dans laquelle peut se trouver la maison d'habitation, le reste des fossés et des bâtiments, plus à l'ouest se trouvant à l'extérieur de l'enclos. Un chemin d'axe est/ouest, semble reprendre le chemin d'accès de la période gauloise et il est complété par un grand chemin d'axe nord/sud. Pour la période médiévale, les petits enclos sont disséminés dans la moitié est du site. Ils ne semblent pas correspondre à des enclos d'habitat mais plus à des parcelles encloses pour des activités de culture et peut être artisanale, avec la présence possible d'une forge dans l'un d'entre eux.

### 3.4. Réseau viaire

Nous l'avons vu précédemment l'occupation gauloise semble être desservie par un chemin d'axe nord/sud pour l'ensemble 2 et est/ouest pour l'ensemble 1. Il en est de même pour la période gallo-romaine. Nos connaissances sur les chemins gaulois dans ce secteur sont très lacunaires. Le « Vieux Grand Chemin » situé au nord du site à environ 2,5 km, est d'après les données de la carte archéologique de l'Atlas des Patrimoines, en usage dès la période gauloise, jusqu'à la période médiévale. Juste au-dessus



se trouve la voie gallo-romaine Rennes-Le Mans. Au sud-est du site de La Salmondière passe la voie gallo-romaine Rennes-Angers (fig. 328). Dans l'état actuel de l'étude les réseaux secondaires ne sont pas connus. En ce qui concerne le site de Cesson-Sévigné, il est intéressant de constater que lorsque l'on reporte le plan du site sur le cadastre napoléonien, l'axe est/ouest prédominant aux époques gauloises et gallo-romaines semble se prolonger par un chemin de même orientation, de l'autre côté de la route D32 (menant à Domloup) vers le hameau de La Salmondière (fig. 329). Ce chemin dessert un certain nombre d'habitats et vient ensuite buter sur la limite de commune avec Domloup. De même le chemin antique nord/sud, vient se greffer sur une limite parcellaire du cadastre napoléonien débouchant sur le chemin menant au domaine Gohorel vers l'ouest et rejoignant la D32 vers l'est. Il est possible que la D32 soit un axe ancien, mais aucune découverte ne vient l'étayer. Par contre des observations aériennes de Gilles Leroux montrent la présence d'un chemin d'axe nord-ouest/sud-est, non visible sur le cadastre actuel ainsi que sur le cadastre napoléonien et parallèle à la D32. Ce chemin n'a pas été daté (son emplacement correspond aux deux points notés chemin sur le carte archéologique, fig. 353).

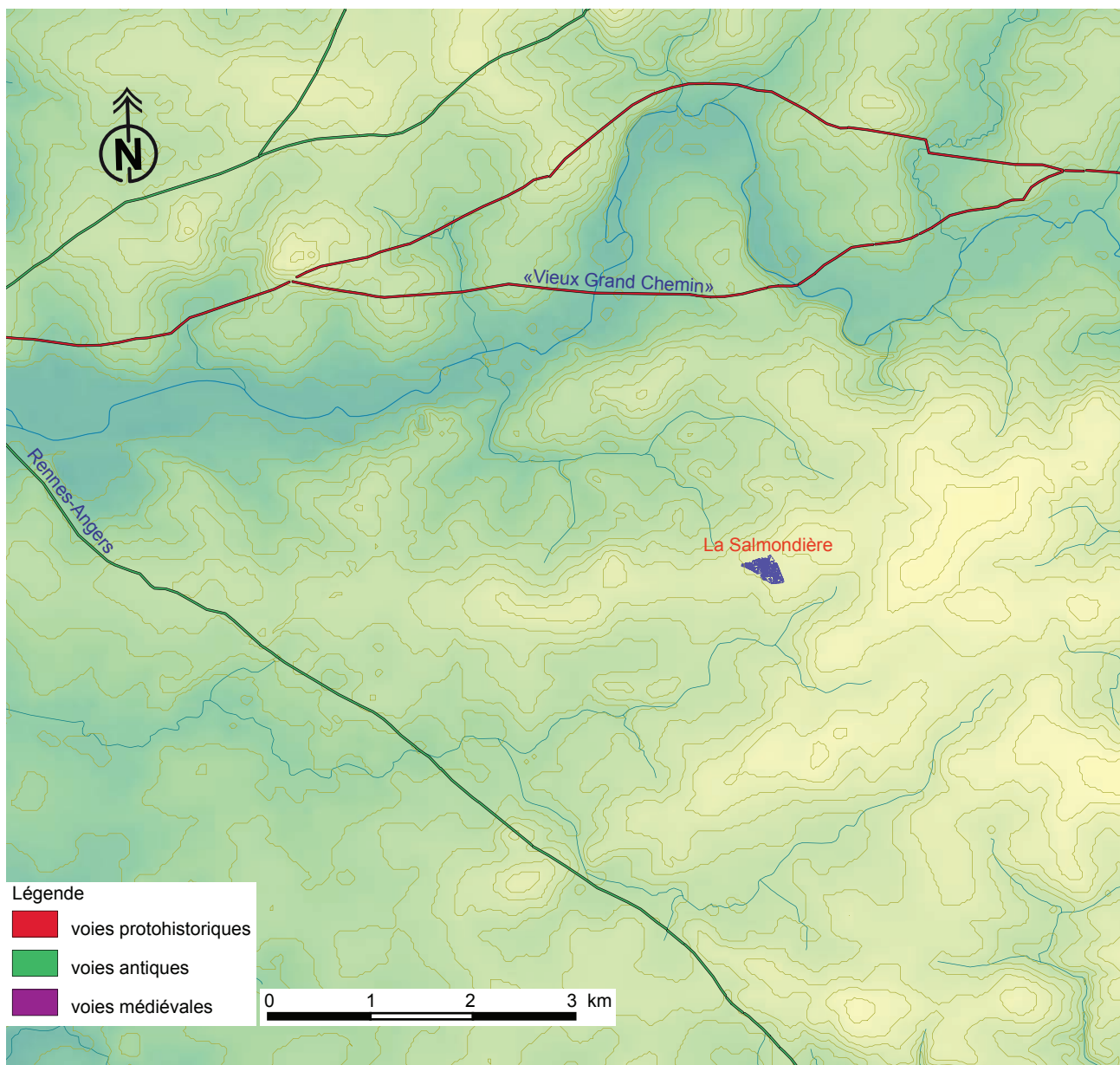


Fig. 328 : carte de localisation topographique du site avec réseau viaire ancien



Fig. 329 : report du site sur cadastre napoléonien, avec à l'est le hameau de La Salmondière

### 3.5. Gestion de l'eau

Comme on peut le voir sur la carte (fig. 7), le site est installé en rebord de plateau entre la vallée de La Vilaine et celle du Blossne. Le ruisseau du Blossne étant situé à moins de 500 m au sud-est de l'emprise, il est vraisemblable que la proximité de cette ressource a motivé l'installation à cet endroit de ces gens au Bronze final. Aucune structure en liaison avec l'eau n'a été mise au jour pour cette période, ils devaient donc s'approvisionner directement à la rivière. Par contre la structure composite 3131 (fig. 151) de la première phase de l'âge du Fer (fin IV<sup>e</sup>/début III<sup>e</sup> siècle) peut correspondre à une structure de stockage et peut être de décantation de l'eau pluviale pour une activité artisanale ou simplement pour un usage domestique pour les gents et le bétail. D'autres fosses pour l'époque gauloise peuvent être liées à l'eau. Il s'agit des fosses 639 (fig. 154) et 641 (fig. 156). De forme cylindrique, elles ont une ouverture de surface d'environ 2,70 m pour des profondeurs conservées variant de 1,64 m à 1,95 m mais avec un NGF de fond pratiquement à la même cote, avec une différence de seulement 0,15 m. Il peut s'agir de tentative de creusement avortée ou de puisard, citerne. Lors de la fouille nous avons été confronté à des remontées de résurgences d'eau, il est évident que les occupants du site, quelque soit la période, ont certainement été obligé de mettre en œuvre des systèmes de drainage, sous forme de fossés ou autres. Cela explique aussi l'absence de silos pour la conservation des grains et la présence dès le Bronze final de greniers sur au moins quatre poteaux. Ces petits greniers se retrouvent également à l'âge du Fer. Par contre, il semble que pour la période gallo-romaine ont préféré construire de grands bâtiments sur poteaux pour le stockage des cultures mais peut être également pour mettre le bétail. C'est peut-être également à ces fonctions que répond le grand bâtiment sur 12 poteaux que nous avons attribué au haut Moyen Âge.

### 3.6. Activités

Des pesons de terre cuite ont été retrouvés aussi bien pour la période du Bronze final que pour les périodes gauloises et antiques. Ils confirment donc une activité de tissage sur le site. Nous avons vu que la culture des céréales était réalisée sur le site au moins à l'époque gauloise, mais la présence de greniers sur poteaux à l'âge du Bronze et des grands bâtiments sur poteaux aux autres périodes atteste de cette activité durant toute l'occupation du site.

De nombreux résidus de forge ont été mis au jour dans les structures, mais pas pour l'âge du Bronze. Pour la période gauloise, les éléments proviennent majoritairement du comblement supérieur du fossé d'enclos E1 dans des sondages et des niveaux ayant livré du mobilier céramique du début de la période augustéenne. Il n'est donc pas avéré qu'une forge ait fonctionné à La Tène, par contre la zone de forge antique ayant été abandonnée à la fin du premier siècle, un début d'activité à la période augustéenne correspondrait tout à fait aux découvertes du fossé d'enclos. Comme l'indique N. Zaour (cf. § Étude métallurgique), il ne semble pas s'agir d'une petite forge pour réparer quelques outils domaine mais : « ... *l'envergure de la production pourrait indiquer qu'il s'agit d'un atelier de forge mixte produisant à la fois pour le domaine et pour une demande locale* ».

Les vestiges osseux n'étant conservés dans ces terrains schisteux, nous devons rechercher les traces d'élevage avec d'autres moyens. Le premier témoignage peut être apporté par ces grands bâtiments étroits, avec un côté rétrécis qui évoquent les bergeries ou les étables. Cela peut également être évoqué par ces longs et étroits « couloirs » situés de chaque côté des entrées pouvant permettre de canaliser du bétail pour le mener paître. De même le petit enclos de La Tène, situé en limite sud d'emprise (fossés 2069 et 2072), qui offre un rétrécissement pouvant laisser penser à un système de corral.

## CONCLUSION

La fouille du site de La Salmondière à Cesson-Sévigné a permis d'étudier une implantation humaine sur plus de 6 hectares et sur une période assez longue.

Pour le Bronze final, le site vient renouveler les connaissances locales. En effet la seule occupation de cette période attestée à proximité du site vient du site de Domloup Le Tertre. Il s'agit : « ... *d'un vaste espace funéraire protohistorique ayant été utilisé du début du Bronze ancien jusqu'à la fin du premier âge du fer* » (S. Sicard, 2012 p. 136).

L'habitat de Cesson-Sévigné est composé de petites structures domestiques sur poteaux de plan ovalaire, accompagnées de greniers sur poteaux. Cela évoque l'habitat fouillé récemment par Mélanie Levan à Caudan (Morbihan) (à paraître) ou ceux plus anciens de Malleville-sur-le-Bec (Eure) ou Cahagnes (Calvados). Il est dommage que la forte érosion ainsi que la forte densité des trous de poteaux diachroniques ne nous aient pas permis de mieux discriminer l'organisation spatiale de ces unités. La présence de la perle en pâte de verre provenant des ateliers d'Italie, montre que ces populations étaient situées sur des voies d'échanges.

Ce site s'inscrit dans la durée (avec un hiatus entre les IV<sup>e</sup> et V<sup>e</sup> siècles) affirmant ainsi l'importance de cette occupation. Cette durée est peut être due à une situation géographique (non loin de la cité des Riedones) et proche des voies antiques Rennes-Le Mans et Rennes-Angers.

Pour la période gauloise, comme pour le site de Châteaugiron, La Perdriotais (Ille-et-Vilaine), l'installation de la ferme de La Salmondière débute à la fin du IV<sup>e</sup>/début III<sup>e</sup> siècle et se poursuit durant la période antique et également à la période médiévale. Comme le montre l'enquête nationale sur les habitats ruraux du second âge du Fer (coordination Gertrude Blancquert et François Malrain) ce schéma se répète assez souvent en Bretagne, la différence se faisant sur la reprise des implantations gauloises durant la période antique, pérennité de l'occupation ou bien comme ici, rupture dans l'orientation des parcellaires et abandon des structures gauloises. Une explication possible à cette restructuration « violente des campagnes » pouvant faire disparaître des établissements gaulois, est : « ... *le regroupement des terres, une seule ferme étant désormais placée à la tête de terroirs autre fois exploités par plusieurs habitats.* » (Y. Menez et T. Lorho, 2013 p. 186).

Le plan de La Salmondière correspond au type des : « ... *systèmes de cours accolées où viennent s'adosser à la partie domestique, d'autres enclos recelant ou non des constructions ou des annexes.* » (Y. Menez et T. Lorho, op. cit. p. 176). Ces autres enclos pouvant correspondre à des activités spécifiques pas toujours faciles à mettre en évidence. Ce sont ensuite les formes des enclos et les dimensions qui varient ainsi que les systèmes d'entrée. Cependant la fouille du site de Châteaugiron, La Perdriotais (Ille-et-Vilaine) a permis de démontrer que deux établissements proches (263 m) peuvent avoir une activité différente. L'un pouvant être dédié à la culture et l'autre à l'élevage (I. Catteddu, 2013).

Sur le site de La Salmondière, deux ensembles fossoyés contemporains sont distants d'une cinquantaine de mètres. L'ensemble 1, constitue vraisemblablement le cœur de l'habitat principal avec de nombreux rejets de toutes sortes dans le comblement des fossés.

L'ensemble 2 n'a livré que 43 tessons de céramique, dont seulement 3 trois

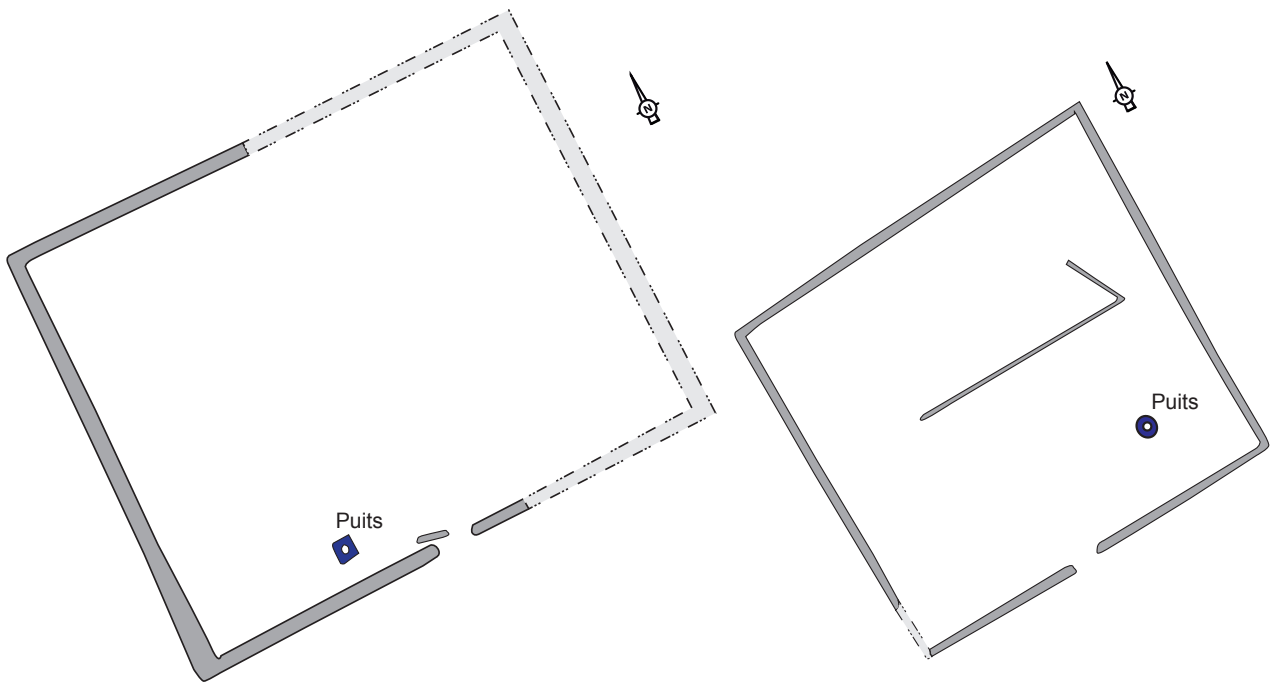
formes pouvant être dessinées. Incomplet car en limite d'emprise, il ne semble pas constituer un vrai lieu d'habitat mais doit plus correspondre à une activité spécifique, peut être le package d'animaux ? Il abrite, comme pour l'enclos E<sub>1</sub>, un bâtiment sur tranchée de fondation. Cependant, l'étude du site ainsi que les exemples régionaux comme : Brielles (J.-C. Durand 2013) ou Vitré (A.-L. Hamon 2010), montrent que ces bâtiments de forme curviligne sur tranchées de fondation correspondent à la phase la plus ancienne des occupations. Ils devaient, à l'origine être faiblement enclos.

Le site antique de Cesson-Sévigné est incomplet, mais de grands enclos quadrangulaires comme celui-ci, correspondent à ceux que l'on retrouve dans les fermes de cette période. Nous pouvons citer par exemple à Noyal-Châtillon-sur-Seiche (35), le site de la ZAC Sud Seiche (A.-L. Hamon 2006) mais son occupation débute à la phase de transition entre La Tène finale et le I<sup>er</sup> siècle de notre ère, donc antérieurement à la notre. Le meilleur exemple contemporain se trouve dans le Morbihan avec le site de Riantec Kerostin (B. Simier, 2015 à paraître) (fig. 330). Mais celui qui se rapproche le plus de La Salmondière, de part ses dimensions (autour de 80 m de côté), c'est celui de Vannes (56) Campen Bernus. Pour B. Simier ces enclos sont des enclos de ferme (op. cit. p. 207). Ils se rattachent comme ici à un parcellaire. A Cesson-Sévigné, l'enclos étant venu se surajouter à une occupation antérieure, il n'est pas possible de déterminer quel type de structure est en relation avec l'occupation antique. Mais l'établissement gallo-romain de Mauquenchy (76) Le Fond Randillon (Guillier et al 2006) montre bien que ces grands domaines peuvent se structurer intérieurement comme les fermes indigènes gauloises (fig. 331).

L'occupation du haut Moyen Âge simplement effleurée dans le cadre de cette opération selon les directives du SRA, correspond à de petits enclos curvilignes constituant des parcelles individualisées comme sur le site de Châteaugiron pouvant correspondre à des activités spécifiques.

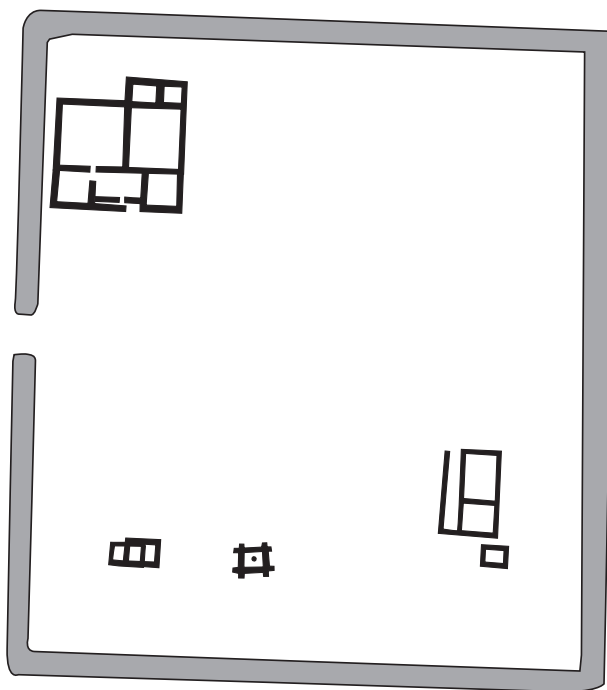
Cette longue occupation diachronique (surtout à la fin de la période antique et avant La Tène), s'intègre totalement dans les études locales de terroir, notamment celles de Châteaugiron ou de Lamballe. Ce site s'est avéré riche en mobilier céramique pour les phases protohistoriques, permettant ainsi de compléter les données typologiques sur cette période pour cette partie de l'Ille-et-Vilaine. Ce rapport constitue une première étape de synthèse des données apportées par la fouille. Il est évident que d'autres études complémentaires pourraient être menées afin d'approfondir certaines questions. Notamment l'étude en laboratoire des scories et des battitures (pour déterminer le type d'activité de la forge), d'autres analyses de charbons de bois pour mieux caractériser le paysage suivant les époques ainsi que l'examen plus poussé des refus de tamis à la recherche de macro-restes...

Le site de Cesson-Sévigné constitue une bonne base de travail pour mieux comprendre au niveau local ou régional l'interaction de l'homme sur les campagnes à la fin de la période gauloise et au début de la période gallo-romaine.

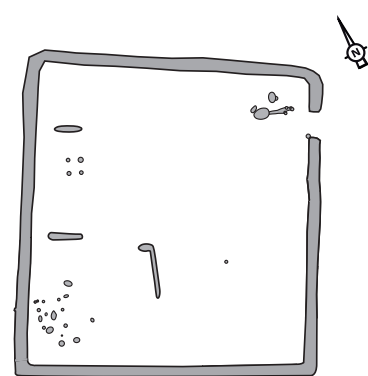


Pluméliau (22) - Le Champs d'aviation

Trémentines (49) - La Flèche



Vannes (56) - Campen Bernus



Riantec (56) - Kerostin

— Fossés  
 — Murs

0 50 m

Fig. 330 : plan rectangulaires de fermes antiques (B. Simier, 2015)



**Fig. 331** : plan de la ferme antique de Mauquenchy (76) Le Fond Randillon (Guillier et al 2006)

# Bibliographie

## Bibliographie générale

*Relevé cadastral napoléonien numérisé de la commune de Cesson-Sévigné (35) 1840.* En ligne sur Archives départementales d'Ille-et-Vilaine.  
<http://archives.ille-et-vilaine.fr/>

*État de la connaissance archéologique en Bretagne, Service Régional de d'Archéologie de Bretagne, Cellule Carte Archéologique, Rennes, consulté en ligne sur <http://geobretagne.fr/mapfishapp>.*

*Carte géologique de la France, feuille de Rennes 1/50 000 N° 317, BRGM, Orléans, 2013 en ligne sur <http://www.geoportail.gouv.fr/>*

### Du Bois 1846

DU BOIS (L.) — *De l'agriculture L'économie rurale livre VII Tome deuxième de Columelle* ; trad. nouvelle C. L. F. Panckoucke, 1846. Bibliothèque latine-française. Seconde série

### Barbeau 2011

BARBEAU (S.) — *Noyal-sur-Vilaine, Domloup, Cesson-Sévigné (35). LGV Rennes-Le Mans section 1 : occupations gauloises, antiques et médiévales : des pôles de développement. Rapport de diagnostic, Inrap Cesson-Sévigné, 2011. 155 p. : ill.*

### Barbeau 2012

BARBEAU (S.) — *Cesson-Sévigné, Ille-et-Vilaine-, LGV Rennes-Le Mans LGV Rennes-Le Mans, section 1, phase complémentaire. Rapport de diagnostic, Inrap Cesson-Sévigné, 2012. 51 p. : ill.*

### Catteddu 2013

CATTEDDU (I.) — *Ille et Vilaine, Châteaugiron, la Perdriotsais, Archéologie et environnement d'un terroir sur la longue durée et histoire de l'aménagement d'un territoire, Rapport de fouille Inrap Cesson-Sévigné, 2013. vol. 1 à 3*

### Durand 2013

DURAND (J.-C.) — *Ille et Vilaine, Brielles, La Massuère, Habitat du II<sup>e</sup> âge du Fer et occupation médiévale et moderne. Rapport*

### Guiller et al. 2006

GUILLER (G.), ADRIAN (Y.-M.), DOYEN (D.) — *Entre Calètes et Bellovaques, les établissements ruraux gallo-romains de Mauquenchy "Le Fond de Randillon" (Seine-Maritime) : un modèle de la ferme antique ?* RAP - n° 1/2, 2006, p. 7-48

### Hamon 2006

HAMON (A.-L.) — *Noyal-Châtillon-sur-Seiche (35), le site de la ZAC Sud* Rapport de fouille Inrap Cesson-Sévigné, 2006

### Hamon 2010

HAMON (A.-L.) — *Vitré, Ille et Vilaine, Boulevard de Laval*



*La ferme laténienne de La Grande Haie*. Rapport de fouille Inrap Cesson-Sévigné, 2010. 247 p. : ill.

#### **Hamon 2011**

HAMON (A.-L.) — *Taden, Côtes d'Armor, Le Petit Paris ZAC du Petit Paris*. Rapport de diagnostic Inrap Cesson-Sévigné, 2011. 58 p. : ill.

#### **Hamon 2015**

HAMON (A.-L.) — *LGV Le Mans-Rennes, section 1 Domloup, Ille-et-Vilaine, Le Petit Bénazé. Une occupation du I<sup>er</sup> au III<sup>e</sup> siècle après J.-C., aperçu sur l'organisation de l'espace rural en territoire riedone*. Rapport de fouille Inrap Cesson-Sévigné, 2015. 172 p. : ill.

#### **Jahier 1997**

JAHIER (I.) — Les sites de Cahagnes et de Courseulles-sur-Mer (Calvados), deux gisements protohistoriques à édifices circulaires, in.: Résumés des communications du Colloque du Programme Collectif de Recherche «*Les installations agricoles à l'Age du Fer en France septentrionale*» (29 et 30 novembre 1997, Paris), p. 23-24.

#### **Le Gall, Juhel 2013**

LE GALL (J.), JUHEL (L.) — Ille-et-Vilaine, Chavagne, la Touche Occupations rurales, du Néolithique à nos jours Rapport de fouille Inrap Cesson-Sévigné, 2013. 171 p. : ill.

#### **Mare 2005**

MARE (E) — Le village de Malleville-sur-le-Bec (Eure), In : MARCIGNY (C.) et al. dir. — *La Normandie à l'aube de l'histoire, les découvertes archéologiques de l'âge du Bronze 2300-800 av. JC*, Somogy éditions d'art, Paris, 2005, p. 54-55.

#### **Menez 2001**

MENEZ (Y.) — *Le Camp de Saint-Symphorien à Paule (Côtes d'Armor) et les résidences de l'aristocratie du second âge du Fer en France septentrionale*. Thèse de doctorat, Archéologie, Paris-1, 2009, 2 vol., 1132 p.

#### **Menez, Lohro 2013**

MENEZ (Y.), LORHO (T.) — La Bretagne. In : MALRAIN (F.), BLANCQUAERT (G.), LORHO (T.) dir. — *L'habitat rural du second âge du Fer. Rythmes de création et d'abandon au nord de la Loire*. Collection «*Recherches archéologiques*», 7, Une coédition Inrap-CNRS Éditions 29 2013 p. 169-188.

#### **Nicolas 2013**

NICOLAS (E.) — Châteaulin, Finistère, Penn ar Roz. Un site d'activité métallurgique protohistorique et antique. Rapport de fouille Inrap Cesson-Sévigné, 2013. 363 p. : ill.

#### **Pouille 2014**

POUILLE (D.) — *BRIELLES (35), La Dinetière : éléments de structuration de l'espace d'un domaine antique*, Rapport de fouille, Inrap Cesson Sévigné, 2014, 231 p. : ill.

#### **Provost, Leprêtre de 1987**

PROVOST (A.), LEPRETRE (B.) — *La prospection archéologique dans l'arrondissement de Rennes de 1984 à 1986*, dans Bull et mém. Soc. arch. d'Ille-et-Vilaine, LXXXIX, 1987, p. 23-25.

**Roy 2011**

ROY (E.) — *Theix, Morbihan, Clérigo Découverte d'une zone d'habitat datée entre la fin de l'âge du Bronze et le premier âge du Fer, à Theix dans le Morbihan*. Rapport de diagnostic archéologique, Inrap Cesson Sévigné 2011, 93 p. : ill.

**Sicard 2010**

SICARD (S.) — *DOMLOUP, Ille-et-Vilaine ZAC ECONOMIQUE DU TERTRE TRANCHES 1 ET 2*. Rapport de diagnostic archéologique, Inrap Cesson-Sévigné, 2010. 58 p. : ill.

**Simier 2011**

SIMIER (B.) — *Les partes rusticae des villae de Lyonnaise occidentale : organisation et fonctionnement de ces grandes exploitations rurales antiques*, Mémoire de Master 1, Université de Rennes 3 vol. (193 p., 305 p., 302 p.)

**Étude céramique bronze****Blanchet 1984**

BLANCHET (J.-C.) — *Les premiers métallurgistes en Picardie et dans le Nord de la France*. Mémoires de la Société Préhistorique Française, 17, 1984, 608 p.

**Blanchet, Talon 2005**

BLANCHET (J.-C.), TALON (M.) — L'âge du Bronze dans la moyenne vallée de l'Oise : apports récents. In : BOURGEOIS (J.) et TALON (M.) dir. *L'âge du Bronze au Nord de la France dans son contexte européen*. Actes des congrès nationaux des sociétés historiques et scientifiques 125e Lille, 2000. Editions du CTHS, Paris, 2005, p. 227-268.

**Cherel 2004**

CHEREL (A.-F.) — « Le mobilier céramique : synthèse et évolution comparée des différents ensembles archéologiques. In : LE GOFF (E.), dir. — *Les occupations protohistoriques et antiques de la Z.A.C. « Object'Ifs Sud »* (14), 4 vol. D.F.S. de fouille de sauvetage, I.N.R.A.P., S.R.A. de Basse-Normandie, Caen, 2004, p. 1011-1086.

**Talon, Buchez 2005**

TALON (M.), BUCHEZ (N.) — L'âge du Bronze dans le bassin de la Somme, bilan et périodisation du mobilier céramique. In : *L'âge du Bronze du Nord-Ouest de la France dans le contexte européen occidental : nouvelles découvertes et propositions de périodisation*, actes de la table ronde tenue dans le cadre du 125ème Congrès national des sociétés historiques et scientifiques, Lille, 2000, Pré- et Protohistoire, CTHS-APRAB

**Perle en verre****Angelini et al. 2004**

ANGELINI (I.), ARTIOLI (G.), BELLINTANI (P.), DIELLA (V.), GEMMI (M.), POLLA (A.), ROSSI (A.) — *Chemical analyses of Bronze Age glasses from Frattesina di Rovigo, Northern Italy*, Journal of Archaeological Science, 31, 2004, p. 1175-1184.

**Azemar et al. 2000**

AZEMAR (R.), BILLAUD (Y.), COSTANTINI (G.), GRATUZE (B.) —

*Les perles protohistoriques de l'Aveyron*. Cahiers d'Archéologie Aveyronnaise, n° 14, 2000, p. 75-88 : 5 fig., 8 tabl.

**Bellintani et al. 1998**

BELLINTANI (P.), BIAVATI (A.), VERITÀ (M.) — *Alcune considerazioni su materiali vetrosi da contesti dell'età del Bronzo media e recente dell'Italia settentrionale in 'Il vetro dall'antichità all'età contemporanea: aspetti tecnologici, funzionali e commerciali', in 'Atti 2e Giornate Nazionali di Studio AIHV', Milano 1998.*

**Biaviati, Verita 1989**

BIAVATI (A.), Verita (M.) — *The glass from Frattesina, a glassmaking center in the late Bronze Age*. *Rivista della Staz. Sper. Vetro*, n°4, 1989, p. 295-299.

**Billaud, Gratuze 2002**

BILLAUD (Y.), GRATUZE (B.) — Les perles en verre et en faïence de la Protohistoire française, *In : GUILAINE (J.) dir. «Matériaux, productions, circulation, du Néolithique à l'Age du Bronze», Séminaires du Collège de France*, Errance ed., 2002, p. 193-212.

**Brill 1992**

BRILL (R.H.) — *Chemical analysis of some glasses from Frattesina*, *Journal of Glass Studies*, 34, 1992, p. 11-22.

**Cosyns et al. 2003**

COSYNS (P.), WARMENBOL (E.), BOURGEOIS (J.), DEGRYSE (P.) — Pre-Roman glass beads in Belgium, *In : Annales du 16e Congrès de l'Association Internationale pour l'Histoire du Verre*, London 2003, Nottingham 2005, AIHV, 323-326.

**Gratuze 2010**

GRATUZE (B.) Les perles en verre, *In : SEGUIER (J.-M.) et al., Les nécropoles protohistoriques de « La Haute Grève » à Gouaix (Seine-et-Marne). Contribution à l'étude des pratiques funéraires au cours de l'étape moyenne du Bronze final (XIIe-XIe siècle avant J.-C.) et au début du second âge du Fer (Ve-IIIe siècle avant J.-C.) dans le sud du Bassin parisien*, FERCF, Tours, 2010, p. 57-62.

**Gratuze, Billaud 2003**

GRATUZE (B.), BILLAUD (Y.) — La circulation des perles en verre dans le Bassin méditerranéen de l'Age du Bronze moyen jusqu'au Hallstatt, *In : D. FOY et M.D. NENNA dir. — Echanges et commerce du verre dans le monde antique*, actes du colloque de l'AFAV, Aix-en-Provence Marseille 7-9 juin 2001, Monographie Instrumentum 24, Monique Mergoïl ed, Montagnac, 2003, p. 11-15.

**Gratuze et al. 1998**

GRATUZE (B.), LOUBOUTIN (C.), BILLAUD (Y.) — *Les perles protohistoriques en verre du musée des Antiquités nationales*. *Antiquités nationales*, 30, 1998, p. 13-24.

**Guilaine et al. 1991**

GUILAINE (J.), GRATUZE (B.), BARRANDON (J.N.) — Les perles de verre du chalcolithique et de l'Age du Bronze. Analyses d'exemplaires trouvés en France. *In : CHEVILLOT (C.) et COFFYIN (A.) dir. — L'Age du Bronze Atlantique*, Actes du 1er colloque du parc archéologique de Beynac, Ed. de l'association des musées du Sarladais, Beynac et Cazenac, 1991, p. 255-266.

**Hartmann et al. 1997**

HARTMANN (G.), KAPPEL (I.), GROTE (K.), ARNDT (B.) — *Chemistry and technology of prehistoric glass from Lower Saxony and Hesse*. Journal of Archaeological Science, 24, 1997, p. 547-559.

**Henderson 1988**

HENDERSON (J.) — *Electron probe microanalysis of mixed-alkali glasses*. Archaeometry, 30, 1, 1988, p. 77-91.

**Henderson 1989**

HENDERSON (J.) — The earliest glass in Britain and Ireland. In : FEUGERE (M.) dir. — *Le verre préromain en Europe occidentale*. Montagnac : éd. Mergoïl, 1989, p. 13-24.

**Henderson 1993**

HENDERSON (J.) — Chemical analysis of the glass and faïence from Hauterive-Champréveyres, Switzerland. In : RYCHNER-FARAGGI (A.-M.) dir. — *Hauterive-Champréveyres 9, Métal et Parure au Bronze Final*, Neuchâtel : Musée Cantonal d'Archéologie, Archéologie neuchâteloise, 17, 1993, p. 111-117.

**Mildner et al. 2010**

MILDNER (S.), FALKENSTEIN (F.), SCHMIDT (J.-P.), SCHÜSSLER (U.) — *Materialanalytische Untersuchungen an ausgewählten Glasperlen des bronzezeitlichen Hortfundes von Neustrelitz*, Lkr. Mecklenburg-Strelitz, Bodendenkmalpflege in Mecklenburg-Vorpommern, 57, 2010, p. 43-63.

**Ploin 2011**

PLOIN (S.), KOENIG (M.-P.), GRATUZE (B.) — à paraître, *Les perles en verre de l'âge du Bronze et du premier âge du Fer d'Alsace et de Lorraine*, colloque de l'AFAV, Metz, novembre 2011.

**Raftery, Henderson 1987**

RAFTERY (B.), HENDERSON (J.) — Some glass beads of the Later Bronze Age in Ireland, In : FREY et al. — *Glasperlen der vorrömischen Eisenzeit I*, Mayence, 1987, p. 39-53.

**Venclová et al. 2011**

VENCLOVÁ (N.), HULÍNSKÝ (V.), HENDERSON (J.), CHENERY (S.), ŠULOVÁ (L.), HLOEK (J.) — *Late Bronze Age mixed-alkali glasses from Bohemia, Skla typu mixed alkali mladší doby bronzové v echách*, Archeologické rozhledy, LXIII-2011 p. 559-585.

**Céramique de l'âge du Fer****Arcelin, Tuffreau-Libre 1998**

ARCELIN (P.), TUFFREAU-LIBRE (M.) — *La quantification des céramiques, conditions et protocole*, actes de la table-ronde avril 1998, Bibracte 2, Glux-en-Glenne, 1998, 157 pages.

**Cherel 2002**

CHEREL (A.-F.) — Le mobilier céramique In : LE GOFF (E.) dir. — *Les occupations protohistoriques et antiques de la ZAC « Object'Ifs Sud (14) »*, DFS de sauvetage urgent, INRAP, SRA de Basse-Normandie, 2002.

**Cherel 2004**

CHEREL (A.-F.) — L'occupation de l'âge du Fer : le mobilier archéologique In : BLANCHET (S.) et al. — *Chantepie « Les Rives du Blosne » (35) »*, INRAP Direction Interrégionale du Grand-Ouest, SRA Bretagne, 2004.

**Cherel 2007**

CHEREL (A.-F.) — Le mobilier archéologique *In* : BLANCHET (S.) dir. — *Betton*, « *Pluwignon* » (*Ille-et-Vilaine - Bretagne*), vol. 2-*De l'âge du Fer au Haut Moyen Age*. Rapport final de fouille, INRAP, Direction Interrégionale du Grand-Ouest, SRA Bretagne, Rennes, février 2007.

**Cherel 2008**

CHEREL (A.-F.) — La céramique de la fin de l'âge du Fer *In* : AUBRY (L.) dir. — *Saint-Méen-le-Grand (Ille-et-Vilaine) « Parc d'activités de Haute-Bretagne » Tranche 2 : mise en évidence d'une occupation du paysage de la Protohistoire ancienne à l'époque gallo-romaine*, Rapport final d'opération de diagnostic archéologique, INRAP, SRA de Bretagne, 2008.

**Cherel 2010**

CHEREL (A.-F.) — Le mobilier *In* : AUBRY (L.) dir. — *Corps-Nuds (Ille-et-Vilaine), ZAC des Grands Sillons « La Huberdière »*. Une exploitation agricole de la fin de l'âge du Fer. Rapport final d'opération de fouille, INRAP, SRA Bretagne, Rennes, mars 2010, p. 94-117.

**Cherel 2011a**

CHEREL (A.-F.) — Le mobilier céramique protohistorique *In* : BOURNE (S.) dir. — *Moutiers – La Guerche-de-Bretagne (35), « Des occupations humaines de La Tène moyenne et du haut Moyen-Âge »*, Rapport final d'opération de diagnostic archéologique, INRAP, SRA Bretagne, Rennes, 2011.

**Cherel 2011b**

CHEREL (A.-F.) — Etude du mobilier *In* : MENTELE (S.) dir. — *Un espace d'activité artisanale du second âge du Fer et de la période gallo-romaine précoce : une probable aire de traitement de denrées agricoles à Bais (35) « Carrière des Vallons »*, Rapport final d'opération de fouille, INRAP, SRA de Bretagne, 2011.

**Cherel 2011c**

CHEREL (A.-F.) — Etude du mobilier céramique *In* : HAMON (A.-L.) dir. — *Pleurduit (35), « Le Tertre Esnault »*, Rapport final d'opération de diagnostic archéologique, INRAP, SRA Bretagne, Rennes, 2010.

**Cherel 2013**

CHEREL (A.-F.) — Etude du mobilier *In* : DURAND (J.-C.) dir. — *Brielles (35) « La Massuère »* Habitat du II<sup>e</sup> âge du Fer et occupation médiévale et moderne, Rapport final d'opération de fouille, INRAP, SRA de Bretagne, 2013.

**Jean 2010**

JEAN (S.) — *Infographie des céramiques de l'âge du Fer dans le Grand-Ouest* : réalisé dans le cadre de l'ARC « Les mobiliers du second âge du Fer dans l'Ouest » sous la direction d'Y. Menez, CREAAH – UMR 6566, INRAP, Rennes, 2010.

**Le Goff 2001**

LE GOFF (E.) — Présentation des ensembles de vases issus de l'habitat de Pouilladou, commune de Prat (Côtes d'Armor) *In* : *Les mobiliers de la fin du 1<sup>er</sup> et du début du 2<sup>nd</sup> âge du Fer dans l'Ouest de la Gaule*. Compte-rendu de la réunion tenue le 22/03/2001 à Rennes ; UMR 6566, CNRS-Culture-Université, « Civilisations Atlantiques et Archéosciences », Thème : âges du Fer.

**Leroux et al. 1998**

LE ROUX (G.), LE BOULANGER (F.) et BLANCHET (S.) — *Les*

*occupations anciennes des rives de la Vilaine à Vieuxville-Beaurade (Rennes, Ille-et-Vilaine), de la Préhistoire à la fin du Moyen Age*, RAO, 15, Rennes, 1998, p. 173-199.

#### **Menez 2001**

MENEZ (Y.) — Présentation des ensembles de vases issus de la phase ancienne du Camp de Saint-Symphorien, commune de Paule (Côtes d'Armor) *In : Les mobiliers de la fin du 1er et du début du 2nd âge du Fer dans l'Ouest de la Gaule*. Compte-rendu de la réunion tenue le 22/03/2001 à Rennes ; UMR 6566, CNRS-Culture-Université, « Civilisations Atlantiques et Archéosciences », Thème : âges du Fer.

#### **Meuret 2005**

MEURET (J.-C.) — *Le Clos Maugendre, Visseiche (Ille-et-Vilaine)*. S.R.A. Bretagne, 2005.

#### **Monnier 2013a**

MONNIER (A.) — Etude des céramiques protohistoriques *In : HAMON (A. -L.) — Pleurtuit (35) « ZAC du Cap Emeraude »*, Rapport final d'opération de fouille, INRAP, SRA Bretagne, en cours.

#### **Monnier 2013b**

MONNIER (A.) — Etude des céramiques protohistoriques *In : LE CLOIREC (G.), LE GALL (J.) — Rennes (35) « ZAC de Beauregard-Quincé »*, Rapport final d'opération de fouille, INRAP, SRA Bretagne, en cours.

#### **Monnier 2013c**

MONNIER (A.) — Etude des céramiques protohistoriques *In : POUILLE (D.) dir. — Brielles (35) « La Dinetière »*, Rapport final d'opération de fouille, INRAP, SRA Bretagne, 2013.

#### **Pouille 2004**

POUILLE (D.) — *Rennes, « Rue d'Antrain/rue des Tanneurs » (Ille-et-Vilaine)*, avril 2004. Rapport de diagnostic, INRAP, SRA Bretagne, Rennes, 2004.

## **Céramique antique**

#### **Bet, Delor 2000**

BET (Ph.), DELOR (A.) — La typologie de la sigillée lisse de Lezoux et de la Gaule centrale du Haut-Empire. Révision décennale. *In : S.F.E.C.A.G., Actes du Congrès de Libourne*, 2000, p. 461-484.

#### **Ferrette 2003**

FERRETTE (R.) — La céramique gallo-romaine du site de Monterfil II à Corseul (Côtes d'Armor). *Étude d'ensembles de l'époque augustéenne au début du IV<sup>e</sup> s.* Montagnac, 2003.

#### **Isings 1957**

ISINGS (C.) — *Roman Glass from Dated Finds*, Groningen-Djakarta, 1957.

#### **Menez 1985**

MENEZ (Y.) — *Les céramiques fumigées de l'Ouest de la Gaule*, Quimper, 1985 (Cahiers de Quimper antique, 2).

#### **Passelac, Vernhet 1993**

PASSELAC (M.), VERNHET (A.) — Céramique sigillée sud-gauloise. *In :*

PY (M.) dir. — *Dictionnaire des Céramiques Antiques en Méditerranée Nord-Occidentale*, 1993, p. 569-580 (Lattara, 6).

#### Rütti 1991

RÜTTI (B.) — *Die römischen Gläser aus Augst und Kaiseraugst*, Augst, 1991, 2 vol. (Forschungen in Augst, 13).

### Métallurgie

#### Blancquaert, Herment 1995

BLANCQUAERT (G.), HERMENT (H.) — *Etampuis, La Briquetterie*, Bilan Scientifique Régional Haute Normandie, Service Régional de l'Archéologie Haute Normandie, p. 56-57

#### Chardron-Picault, Pernot 1999

CHARDRON-PICAULT (P.), PERNOT (M.) — *Un quartier antique d'artisanat métallurgique à Autun (Saône-et-Loire) : Le site du Lycée militaire*, Paris : MSH, DAF 76, 1999, 320 p.

#### Coulthard et al. 2005

COULTHARD (N.), DEMAREST (M.), JARDEL (K.) — *Deux forges de la cité des Viducasses, dans les arts du feu en Normandie*, XXXIX congrès des sociétés historiques et archéologiques de Normandie, Eu (76), 21 - 24 octobre 2004, p. 255-284.

#### Levan 2015

LEVAN (M.) — *RFO ZAC des Prairies d'Orgères, Orgères, Ille et Vilaine, Une activité de forge du Haut-Empire à Orgères*, INRAP Grand-Ouest.

#### Lukas et al. 2011

Lukas (D.), Lecler-Huby (E.), Zaour (N.) collab. DELOZE (V.), FLUZIN (PH.), LE MAHO (S.), MONNIER (A.) — *Les occupations laténiennes et antiques de Heudebouville (Eure) – Premiers résultats de la fouille préventive menée en 2009 à l'Ecoparc 2 (tranche 1)*», Journée Archéologiques Régionales de Haute-Normandie, 23 - 24 avril 2010, Harfleur, Presses Universitaires du Havre et de Rouen, p. 55 - 68.

#### Pagès 2007

PAGES (G.) — Fonctions et localisation préférentielle des travaux de forge dans les campagnes du Haut-Empire de Narbonnaise : pour une approche paléométallurgique des faits archéologiques, *In* : LEVEAU (P.) et al. dir — *Les formes de l'habitat rural gallo-romain : terminologies et typologies à l'épreuve des réalités archéologiques*, Aquitania, supplément 17, Bordeaux, 2007, p. 229-244.

#### Pellecuer 1998

PELLECUER (C.) — Le travail du fer dans la villa des Près-Bas à Loupian (Hérault). *In* : FEUGERE (M.), SERNEELS (V.) dir. — *Recherches sur l'économie du fer en Méditerranée nord-occidentale*, collection Monographie Instrumentum, 4, éditions Monique Mergoïl, Montagnac, 1998, p. 166-174.

#### Perret 2002

PERRET (S.) — *Étude quantitative et technologique des vestiges sidérurgiques d'une forge d'époque romaine à Etagnières (Vaud)*, travail de diplôme d'archéologie préhistorique sous la direction de SERNEELS (V.), GALLAY (A.), Université de Genève, département d'anthropologie et d'écologie, document dactylographié, 99 p.

**Serneels 1993**

SERNEELS (V.) — *Archéométrie des scories de fer, recherches sur la sidérurgie ancienne en Suisse Occidentale*, Les cahiers d'archéologie Romande, 61, Lausanne, 240 p.

**Serneels 1998**

SERNEELS (V.) — La chaîne opératoire de la sidérurgie du fer, *In* : FEUGERE (M.), SERNEELS (V.) dir. — *Recherches sur l'économie du fer en Méditerranée nord-occidentale*, collection Monographie Instrumentum, 4, éditions Monique Mergoïl, Montagnac, p. 7-44.

**Mobilier métallique**

*Revue Archéologique de Narbonnaise*, 2004, T37, Ed. de l'Association de RAN, Montpellier, 2004.

**Blanchet 2010**

BLANCHET (S.) — *Une occupation de longue durée sur le plateau de la Tourelle, Lamballe, côtes-d'Armor, Zac de la Tourelle*, Inrap, SRA Bretagne, 2010.

**Sicard 2012**

SICARD (S.) — *Un établissement rural antique, Montgermont, Ille et Vilaine, ZAC des Petits Prés*, Inrap, Sra Bretagne, juin 2012.

**Chanson-Bertolio 2010**

CHANSON-BERTOLIO (K.) — Etude du mobilier Instrumentum. *In* : LUKAS (D.) — *Parville (Eure), « Le Bois de Parville », De la ferme gauloise à la villa gallo-romaine*, rapport de fouille Inrap, 2010.

**Guillaumet, Nilesse 2000**

Guillaumet (J.-P.), Nilesse (O.) — Les petits objets de quelques fermes gauloises : approche méthodologique, *In* : *les installations agricoles de l'âge du Fer en France septentrionale*, Études d'histoire et d'archéologie 2000.

**Durand, Pouille 2013**

DURAND (J.-C.), POUILLE (D.) — *Habitat du II<sup>e</sup> âge du Fer et occupation médiévale et moderne, Brielles, La Massuères (35)*, Inrap, SRA Bretagne, 2013.

**Meules****Hamon et al. 2011**

HAMON (C.), ROBIN (B.), DONNART (K.), BRISOTTO (V.) — Produire des meules du Néolithique à l'âge du Fer- Economie des matières premières et évolution technologique des meules dans le massif armoricain, *In* : MARCHAND (G.), QUERRE (G.) dir. — *Roches et Sociétés de la Préhistoire entre Massif Cristallins et Bassins Sédimentaires*, PUR, 2011, p.221-236.

**Jaccottey et al. 2011**

JACCOTTEY (L.), JODRY (F.), LONGEPIERRE (S.), ROBIN (B.) — Chronologie et diamètres des meules à bras à la fin de la Tène Finale et à l'époque antique, *In* : BUCHSENSCHUTZ (O.), JACCOTTEY (L.), JODRY (F.), BLANCHARD (J.L.) dir. — *Évolution et technique des meules du Néolithique à l'an mille*, Actes des III<sup>e</sup> Rencontres Archéologiques de L'Archéosite gaulois, 2009, Aquitania, suppl. 23, Bordeaux, p.291-298.



## Anthracologie

### Aoustin 2012

AOUSTIN (D.) — *Saint-Lupien* », *Rezé. Etude anthracologique* : Rapport d'analyse, CReAAH : Université de Rennes 1, 2012, 16 p.

### Dabas et al. 2002

DABAS (M.), DIEUDONNE-GLAD (N.), POIRIER (P.) — Caractérisation des structures d'une forge antique : approche archéologique, géophysique et anthracologique. *Archéométrie* 26, 2002, p. 141-154.

### Gaudin 2004

GAUDIN (L.) — *Les transformations spatio-temporelles de la végétation du nord-ouest de la France depuis la fin de la dernière glaciation. Reconstitutions paléo-paysagères*. Thèse de l'Université de Rennes 1, 2004, 2 volumes, 763 p.

### Marcoux 2009

MARCOUX (N.) — *Roche Brune (Pezé-le-Robert, Sarthe) : les bois utilisés comme combustible dans l'atelier gallo-romain de réduction du minerai de fer* : Rapport d'étude anthracologique : CReAAH – Université de Rennes 1, 2009.

### Marcoux 2011

MARCOUX (N.) — *Étude anthracologique de structures du site de Trégueux (Cotes-d'Armor), de la protohistoire au Haut Moyen Age* : Rapport du CReAAH – UMR 6566 : Université de Rennes 1, 2011, 64 p.

### Marcoux, Marguerie 2008

MARCOUX (N.), MARGUERIE (D.) — *Étude anthracologique sur le site de Roche Brune (Pezé-le-Robert, Sarthe) : Rapport d'analyse*, CReAAH : Université de Rennes 1, 2008, 20 p.

### Marguerie 1992a

MARGUERIE (D.) — Charbons de bois et paléoenvironnement atlantique. *Les bois archéologiques*, AGORA, 2, 1992, p. 15-19.

### Marguerie 1992b

MARGUERIE (D.) — *Evolution de la végétation sous l'impact humain en Armorique du Néolithique aux périodes historiques*. Travaux du Laboratoire d'Anthropologie de Rennes, 40, Université de Rennes 1, 1992, 313 p.

### Marguerie 2002

MARGUERIE (D.) — Fuel from protohistorical and historical kilns in north-western France. In : THIEBAULT (S.) Ed. — *Charcoal Analysis. Methodological Approaches, Palaeoecological Results and Wood Uses*. Proceedings of the Second International Meeting of Anthracology, Paris, 2000. BAR International Series 1063, 2002, p. 187-191.

### Marguerie 2009

MARGUERIE (D.) — *Interactions sociétés-milieux dans le nord-ouest de la France à l'Holocène récent : méthodologie et données archéobotaniques*, HDR, Université de Rennes 1, 2009, 439 p.

### Marguerie, Hunot 1992

MARGUERIE (D.), HUNOT (J.-Y.) — Le bois : évolution, structure et détermination. *Les bois archéologiques*, AGORA, 2, 1992, p. 3-8.

**Marguerie, Hunot 2007**

MARGUERIE (D.), HUNOT (J.-Y.) — Charcoal analysis and dendrology : data from archaeological sites in north-western France. *Journal of Archaeological Science* 34, 2007, 1417-1433.

**McParland 2010**

McPARLAND (L.C.), COLLINSON (M.E.), SCOTT (A.C.), CAMPBELL (G.), VEAL (R.) — Is vitrification in charcoal a result of high temperature burning of wood ? *Journal of Archaeological Science* 37, 2010, p. 2679-2687.

**Rameau 1989**

RAMEAU (J.-C.), MANSION (D.), DUME (G.) — *Flore forestière française*, Paris : Institut pour le Développement Forestier, 1989, 1785 p.

**Schweingrüber 1982**

SCHWEINGRÜBER (F.-H.) — *Anatomie microscopique du bois*, Teufen : Flück-Wirth, 1982, 227 p.

**Schweingrüber 1990**

SCHWEINGRÜBER (F.-H.) — *Anatomy of European woods : an atlas for the identification of European trees, shrubs and dwarf shrubs*, WSL FNP, Bern Stuttgart : Haupt, 1990, 800 p.

**Seignac 2011**

SEIGNAC (H.) — Etude anthracologique du site de Châteaubourg, « La Goultière ». In : SICARD (S.) dir., BRISOTTO (V.), DELOZE (V.), MORZADEC (H.), NICOLAS (T.), SEIGNAC (H.) — *Une zone d'extraction d'argile du premier âge du Fer : matériaux, techniques et finalités, Châteaubourg, La Goultière, (Ille-et-Vilaine)* : rapport de fouilles, Cesson-Sévigné : Inrap GO, 2011, p. 142-153.

**Seignac 2013**

SEIGNAC (H.) — Etude anthracologique du site de Brielles, « La Massuère ». In : POUILLE (D) coord., DURAND (J.-C.) dir., CHEREL (A.-F.), LABAUNE-JEAN (F.), LE FORESTIER (S.), MORZADEC (H.), POILPRE (P.), ROBIN (B.), SEIGNAC (H.), ZAOUR (N.) — *Habitat du IIe âge du Fer et occupation médiévale et moderne, La Massuère, Brielles, (Ille-et-Vilaine)* : rapport de fouilles, Cesson-Sévigné : Inrap GO, 2013, p. 136-139.

**Seignac 2014**

SEIGNAC (H.) — Etude anthracologique du site d'Orgères, « Zac des Prairies ». In : LEVAN (M.) dir., VIVET (J.-B.) collab., BOUTIER (S.), BRISOTTO (V.), DAOULAS (G.), DELAGE (R.), LAVOUE (M.), SEIGNAC (H.) — *Une activité de forge du Haut-Empire à Orgères, Zac des Prairies, (Ille-et-Vilaine)* : rapport de fouilles, Cesson-Sévigné : Inrap GO, 2014, p. 266-283.

**Sell, Kropf 1990**

SELL (J.), KROPF (F.) — *Propriétés et caractéristiques des essences de bois*, Lignum, Le Mont, Suisse, 1990, 93 p.

**Thery-Parisot 2001**

THERY-PARISOT (I.) — Economie des combustibles au Paléolithique. Expérimentation, taphonomie, anthracologie, DDA n°20, CNRS éditions, 2001, 200 p.

**Vernet et al. 2001**

VERNET (J.-L.), OGEREAU (P.), FIGUEIRAL (I.) et al. — *Guide d'identification des charbons de bois préhistoriques et récentes, Sud-Ouest de l'Europe : France, Péninsule ibérique et Îles Canaries*, Paris : CNRS éditions, 2001, 395 p.

*Les arbres de nos forêts*, Office national des forêts, 1996, 2<sup>e</sup> édition 1997, 47 p.

Site du Centre Régional de la Propriété Forestière de Bretagne: [www.crpf.fr/bretagne/](http://www.crpf.fr/bretagne/)

Site sur l'anatomie des bois : [www.woodanatomy.ch](http://www.woodanatomy.ch)

**Carpologie****Beijerinck 1947**

BEIJERINCK (W.) — *Zadenatlas der Nederlandsche Flora ten behoeve van de botanie, bodemcultuur en warenkennis*. Wageningen 1947 : fac-similé Backhuis and Meesters, Amsterdam, 1976. 316 p. : ill. (Mededeeling van heet Biologische Instituut te Wijster ; 30).

**Brouwer, Stählin 1955**

BROUWER (W.), STÄHLIN (A.) — *Handbuch der Samenkunde für Landwirtschaft, Gartenbau und Forstwirtschaft*. Frankfurt a. Main : DLG-Verlags-GmbH, 656 p.

**Cappers et al. 2006**

CAPPERS (R.T.J.), BEKKER (R.M.), JANS (J.E.A.). — *Digitale Zadenatlas van Nederland*. Groningen : Barkhuis Publishing & Groningen University Library, 2006, 502 p. (*Groningen Archaeological Studies* ; 4).

**Daoulas 2013**

DAOULAS (G.) — Etude carpologique [Rapport d'archéobotanique 2013/8]. In : NICOLAS (E.) dir., BLANCHET (A.), BRISOTO (V.), CHEREL (A. F.), DAOULAS (G.), HENAFF (A.), HINGUANT (S.), JOUANET (N.), LABAUNE-JEAN (F.), LE FORESTIER (S.), SEIGNAC (H.) — *Châteaulin, Finistère (29) «Penn-Ar-Roz», Un site d'activité métallurgique protohistorique et antique*. Rapport final d'opération. Fouille archéologique. Cesson-Sévigné : Inrap Grand Ouest, 2013, p. 293-305.

**Desiderio, Wiethold 2014a**

DESIDERIO (A.-M.), WIETHOLD (J.). — *Guignen « Le Tertre » (35). Analyse carpologique d'un four du Haut Moyen Age en Ille-et-Vilaine* [Rapport d'archéobotanique 2014/9]. Metz : Inrap Grand Est nord, Laboratoire archéobotanique, 2014, 18 p., 9 fig.

**Desiderio, Wiethold 2014b**

DESIDERIO (A.-M.), WIETHOLD (J.). — *Domloup, Ille-et-Vilaine (35), « Le petit Bénazé »*. Etude carpologique effectuée sur un fossé d'un établissement rural antique et sur deux foyers, datés de l'Antiquité et de l'époque mérovingienne. Metz : Inrap Grand Est nord, Laboratoire archéobotanique, 2014, 19 p., 8 fig.

**Dietsch-Sellami 2005**

DIETSCH-SELLAMI (M.-F.). — Les macro-restes végétaux. In : LE BIHAN (J.-P.), VILLARD (J.-F.) — *Archéologie de Quimper, matériaux pour servir l'Histoire. 1 De la chute de l'empire romain à la fin du Moyen âge*. Quimper : Centre de Recherche Archéologique du Finistère, Editions Cloître, p. 278-280.

**Jacomet, Kreuz 1999**

JACOMET (S.), KREUZ (A.). — *Archäobotanik. Aufgaben, Methoden und Ergebnisse vegetations- und agrargeschichtlicher Forschung*. Stuttgart : Verlag Eugen Ulmer, 1999, 368 p. (UTB für Wissenschaft , 8158).

**Jacomet et al. 2006**

JACOMET (S.) et coll. — *Bestimmung von Getreidefunden aus archäologischen Ausgrabungen*, 2e édition. Bâle : dactylographié, 70 p.

**Lambinon, Verloove 2012**

LAMBINON (J.), VERLOOVE (F.). — *Nouvelle Flore de la Belgique, du Grand-Duché de Luxembourg, du Nord de la France et des Régions voisines (Ptéridophytes et Spermatophytes)*, 6e Edition. Meise : Editions du Patrimoine du Jardin botanique national de Belgique, 2012, 1194 p.

**Marinval 1999**

MARINVAL (Ph.). — Les graines et les fruits : la carpologie. In : FERDIERE (A.), dir. — *La Botanique*. Paris : éditions errance, 1999, p. 105-137. (Collection « Archéologiques »).

**Matterne 2001**

MATTERNE (V.) 2001. — Agriculture et alimentation végétale durant l'âge du Fer et l'époque gallo-romaine en France septentrionale. Montagnac : éditions Monique Mergoïl, 310 p. (*Archéologie des Plantes et des animaux* ; 1).

**Neveu 2013**

NEVEU (E.) — Etude carpologique du site de Bédée « Zac Pont aux Chèvres » (Ille-et-Vilaine) occupé au Bronze moyen et final puis à l'époque médiévale. In : LEROUX (G.) dir., DESFONDS (A.), NEVEU (E.), NICOLAS (T.) — *Les occupations de l'âge du Bronze et du haut Moyen-Âge*. Rapport final d'opération. Fouille archéologique. Cesson-Sévigné : Inrap Grand Ouest, 2013, p. 185-204.

**Théry-Parisot et al. 2009**

THERY-PARISOT (I.), CHABAL (L.), DELHON (C.), LEBRETON (V.), PREISS (S.), TENGBERG (M.), WIETHOLD (J.). — *Paléobotanique et taphonomie*. Rapport interne du Réseau Thématique Pluridisciplinaire (RTP) en Taphonomie (2007-2009). Valbonne, Paris : CNRS, 2009, 34 p.

**Wiethold, Bonnaire 2011**

WIETHOLD (J.), BONNAIRE (E.). — Glossaire. In : WIETHOLD (J.) dir., *Carpologia. Actes de la table ronde de carpologues françaises, tenu à Bibracte, Centre archéologique européen, Glux-en-Glenne, 9-12 juin 2005*. Glux-en-Glenne : Bibracte, Centre archéologique européen, 2011, p. 253-254 (Bibracte ; 20).

**Wiethold 2012**

WIETHOLD (J.). — Etude carpologique « Céréales et adventices carbonisés provenant du comblement charbonneux d'un four antique » In : VILLARD (J.-F.), WIETHOLD (J.), MENEZ (N.) et LEBLANC (P.) — *Pleuwen, Coat Menhir (29), Parcellaires, aménagement ruraux et funéraires en périphérie d'établissements protohistoriques et antique*. Cesson-Sévigné : Inrap Grand Ouest, 2012, p. 157-174.

**Wiethold 2013**

WIETHOLD (J.). — Guichen, Ille-et-Vilaine (35), « La Croix Vallée ». Céréales en tant que offrandes alimentaires dans un bûcher funéraire du Haut Empire [Rapport archéobotanique 2013/2]. In : JUHEL (L.) dir., CABOT (E.), LABAUNE-JEAN (F.), SEIGNAC (H.), WIETHOLD (J.) —

---

*Guichen, Ille-et-Vilaine, la Croix Vallée. Une occupation du Néolithique moyen et un enclos funéraire du Haut-Empire.* Cesson-Sévigné : Inrap Grand Ouest, 2013, p. 138-145, 5 fig.

**Zohary, Hopf 2001**

ZOHARY (D.), HOPF (M.). — *Domestication of plants in the Old World : The origin and spread of cultivated plants in West Asia, Europe and Nile Valley.* Third Edition. Oxford : University Press, 2000, 316 p.

## Table des illustrations

- 12 Fig. 1 : localisation du site de Cesson-Sévigné «La Salmondière» sur cartes IGN au 1/25 000 et 1/250 000
- 13 Fig. 2 : localisation du site de Cesson-Sévigné «La Salmondière» sur cadastre récent
- 39 Fig. 3 : carte de localisation des différents secteurs de la LGV Le Mans-Rennes
- 40 Fig. 4 : carte des sites du secteur 1 de la LGV Le Mans-Rennes
- 40 Fig. 5 : plan des tranchées de diagnostic de La Salmondière
- 41 Fig. 6 : localisation du site sur cadastre récent
- 42 Fig. 7 : plan de localisation du site de la Salmondière sur fond topographique
- 42 Fig. 8 : détail du site dans son contexte topographique
- 43 Fig. 9 : localisation du site sur fond géologique au 1/50 000 Feuille de Rennes © BRGM 2000
- 45 Fig. 10 : localisation des sites archéologiques sur fond topographique, données de la Carte archéologique du SRA
- 46 Fig. 11 : report d'une mission aérienne de 1955 sur l'emprise du site sur carte au 1/25 000 (IGN)
- 47 Fig. 12 : vue aérienne du site avant intervention © Google Maps 2012
- 48 Fig. 13 : localisation (en noir) des limites cadastrales présentes à la fois sur le cadastre napoléonien et dans le décapage © sur fond de cadastre napoléonien, Archives départementales d'Ille-et-Vilaine
- 48 Fig. 14 : en jaune, les limites cadastrales
- 50 Fig. 15 : plan de présentation des différents aménagements envisagés © Atlas de libération foncière ERE
- 51 Fig. 16 : vue générale du site décapé avec emplacement de la zone de stockage des terres © Hervé Paitier
- 52 Fig. 17 : plan général des structures
- 53 Fig. 18 : plan chronologique du site
- 54 Fig. 19 : vue aérienne du site décapé avec localisation de la zone Bronze final © cliché Hervé Paitier
- 55 Fig. 20 : plan général de la zone Bronze final
- 56 Fig. 21 : plan général des structures avec numéros, extrait 1
- 57 Fig. 22 : plan général des structures avec numéros, extrait 2
- 58 Fig. 23 : plan général des structures avec numéros, extrait 3
- 59 Fig. 25 : vue aérienne de l'unité 5 © Hervé Paitier
- 60 Fig. 24 : vue de l'arasement des structures dans le substrat schisteux
- 61 Fig. 26 : plan de l'unité 5 avec restitution de la maison de Trethellan Farm
- 62 Fig. 27 : plan de localisation des greniers
- 63 Fig. 28 : plan et coupe des trous de poteaux des greniers
- 64 Fig. 29 : plan de localisation des fosses et de la céramique du Bronze final
- 65 Fig. 30 : plan, coupe et mobilier de la fosse F2051
- 66 Fig. 31 : plan et coupe de la fosse F1990
- 66 Fig. 32 : plan et coupe de la fosse F2217
- 67 Fig. 33 : plan, coupe et mobilier (peson) de la fosse F2237
- 67 Fig. 34 : plan et coupe de la fosse F2275
- 68 Fig. 35 : plan, coupe et mobilier de la fosse F2562
- 68 Fig. 36 : plan, coupe et mobilier de la fosse F2592
- 70 Fig. 37 : coupe ouest du fossé F2135 © Aurélie Guesnon
- 70 Fig. 38 : plan, coupe des fossés F2132, 2135, 2142
- 73 Fig. 39 : mobilier céramique du Bronze final DAO David Gache
- 74 Fig. 40 : perle en pâte de verre © Hervé Paitier
- 74 Fig. 41 : tranchet en bronze © Anne-Françoise Chereil
- 75 Fig. 42 : peson ou contre-poids en terre cuite © Patrick Pihuit
- 77 Fig. 43 : le spectromètre de masse utilisé est un Element XR de Thermofisher et le système d'ablation laser une microsonde laser UV de VG Elemental (NdYAG quadruplé à 266 nm).
- 79 Fig. 44 : la petite perle annulaire en verre bleu retrouvée sur la fouille de Cesson (35), La Salmondière
- 83 Fig. 45 : plan général des occupations de l'âge du Fer
- 84 Fig. 46 : coupe ouest du fossé 1541-1368 © Hervé
- 85 Fig. 47 : plan et coupe des fossés du chemin 1
- 86 Fig. 48 : vue aérienne du sud-ouest avec zone caillouteuse (chemin moderne ?) en pointillé venant recouper l'enclos antique © Gilles Leroux
- 88 Fig. 49 : plan et coupe des fossés du chemin 2
- 89 Fig. 50 : plan général de l'enclos E1 de l'ensemble 1
- 90 Fig. 51 : plan des côtes NGF des sondages de l'enclos E1 de l'ensemble 1
- 92 Fig. 52 : coupes du fossé 1401 de l'enclos E1 de l'ensemble 1
- 93 Fig. 53 : coupes du fossé 2046 de l'enclos E1 de l'ensemble 1
- 95 Fig. 54 : coupes du fossé 1402 de l'enclos E1 de l'ensemble 1
- 96 Fig. 55 : coupes des fossés 1491 et 1305 de l'enclos E1 de l'ensemble 1
- 98 Fig. 56 : chronologie relative entre E1 et les autres fossés
- 99 Fig. 57 : plan de répartition de la céramique dans E1
- 100 Fig. 58 : localisation de la céramique des sondages 383 et 455 dans E1
- 101 Fig. 59 : localisation de la céramique du sondage 383 dans E1
- 102 Fig. 60 : localisation de la céramique des sondages 381, 389, 390, 451, 458 460 dans E1

- 103 Fig. 61 : localisation de la céramique des sondages 256, 501, 527 et 528 dans E1
- 104 Fig. 62 : localisation de la céramique des sondages 466 et 467 dans E1
- 105 Fig. 63 : localisation de la céramique du gallo-romain précoce du sondage 459 dans E1
- 106 Fig. 64 : localisation des importations gallo-romaines dans E1
- 107 Fig. 65 : localisation des scories et des objets métalliques dans E1
- 108 Fig. 66 : localisation des bâtiments à l'intérieur de l'enclos E1
- 109 Fig. 67 : vue à partir de l'est du radier
- 110 Fig. 68 : plan du bâtiment 1 et de son environnement
- 111 Fig. 69 : localisation, plan et coupe du sondage 410
- 112 Fig. 70 : localisation, plan et coupe des sondages 391 et 408
- 113 Fig. 71 : détail du creusement (extrémité de la tranchée ou TP ?) dans le sondage 412 © Solène Briand
- 114 Fig. 72 : localisation et coupe des sondages dans le bât 1 avec NGF de surface d'axe de coupe
- 115 Fig. 73 : plan, coupe des trous de poteaux et restitution de la maison de Vitré DAO Patrick Maguer
- 116 Fig. 74 : localisation et coupe du sondage 524 dans le bât 1
- 117 Fig. 75 : localisation plan et coupe du sondage 537 dans l'extrémité sud du fossé 2889
- 119 Fig. 76 : localisation plan et coupe du bâtiment 2 dans l'enclos E1
- 120 Fig. 77 : chronologie relative entre le bâtiment 2 et les fossés présents dans l'enclos E1
- 121 Fig. 78 : localisation plan et coupe du bâtiment 3 dans l'enclos E1
- 122 Fig. 79 : localisation plan et coupe du bâtiment 4 dans l'enclos E1
- 124 Fig. 80 : plan de localisation des fosses dans l'enclos E1
- 125 Fig. 81 : plan et coupe de la fosse 1315
- 126 Fig. 83 : plan et coupe de la fosse 1337
- 126 Fig. 82 : plan et coupe de la fosse 1320
- 127 Fig. 84 : plan et coupe de la fosse 3059
- 127 Fig. 85 : plan et coupe de la fosse 3062
- 128 Fig. 86 : localisation du fossé 2049
- 129 Fig. 87 : plan et coupe du fossé 2049 sondage 512 et des fosses 1327 et 2941
- 131 Fig. 88 : localisation, plan et coupe du fossé 2906-1310 sondages 630 et 611
- 132 Fig. 89 : plan général de l'enclos E2
- 133 Fig. 90 : localisation, plan et coupe du fossé 2903-94-506 sondages 466 et 13
- 134 Fig. 91 : vue du bâtiment 7 à partir de l'est
- 135 Fig. 92 : localisation, plan et coupe du fossé 525-1456-3084 sondages 14 et 525
- 136 Fig. 93 : vue du bâtiment 7 à partir du sud
- 137 Fig. 94 : plan général des trous de poteaux du bâtiment 7
- 138 Fig. 95 : essai de restitution des plans de bâtiments avec coupe des TP
- 139 Fig. 96 : plan du bâtiment 7 avec côtes NGF
- 140 Fig. 97 : concentration des trous de poteaux du bâtiment 8
- 141 Fig. 98 : proposition de restitution du plan du bâtiment 8
- 141 Fig. 99 : bâtiment 8 avec côtes NGF de surface
- 142 Fig. 100 : plan du bâtiment 9
- 143 Fig. 101 : restitution du plan du bâtiment 10 avec coupe des trous de poteaux
- 143 Fig. 102 : plan du bâtiment 10 avec côtes NGF de surface
- 144 Fig. 103 : localisation des structures dans l'enclos E2
- 145 Fig. 104 : plan et coupe de la fosse 538
- 146 Fig. 105 : plan et coupe de la fosse 1242 et du TP 2963
- 147 Fig. 106 : plan et coupe des sondages du fossé 545-1457
- 148 Fig. 107 : entrée constituée des fossés 3006 et 525
- 149 Fig. 108 : entrée constituée des fossés 1660 et 3084
- 151 Fig. 109 : plan du fossé 3006 avec coupe des sondages 554, 471, 572 et 583
- 152 Fig. 110 : sondage 583 coupe nord et 571 coupe sud du fossé 3006 © équipe de fouille
- 153 Fig. 111 : sondage 572 coupe nord et 554 coupe sud du fossé 3006 © équipe de fouille
- 154 Fig. 112 : plan et coupe ouest de la structure 3008
- 155 Fig. 113 : vue à partir de l'est du creusement présent dans le sondage 672 avec remontée rapide de la nappe © équipe de fouille
- 155 Fig. 114 : vue du sondage 615 avec à l'arrière plan les autres sondages submergés © équipe de fouille
- 156 Fig. 115 : plan et coupe de la structure composite 3131 © DAO Hervé Morzadec et Patrick Pihuit
- 157 Fig. 116 : localisation du mobilier céramique dans la structure composite 3131
- 158 Fig. 117 : détail du bois calciné au fond du fossé 3006 © Jean-Claude Durand
- 159 Fig. 118 : détail de la coupe nord longitudinale du sondage 515 avec possible trou de poteau dans l'angle ouest © Jean-Claude Durand
- 160 Fig. 119 : plan général de l'enclos E3
- 161 Fig. 120 : plan et coupes des fossés 1477 et 1568 de l'enclos E3
- 162 Fig. 121 : coupes des sondages 503, 506 et 519 du fossé 1477 © équipe de fouille
- 164 Fig. 122 : plan et coupes des fossés 1371 et 1567 de l'enclos E3
- 166 Fig. 123 : plan et coupes des fosses 1405 et 1415
- 167 Fig. 124 : vue aérienne du bâtiment 5 © Gilles Leroux
- 168 Fig. 125 : vues des sondages de la tranchée de fondation du bâtiment 5 avec ci-dessus tracé des fossés gallo-romains recoupant ce dernier © J. Le Gall
- 169 Fig. 126 : plan et coupes des sondages du bâtiment 5 de l'enclos E3
- 170 Fig. 127 : plan et coupes des trous de poteaux du bâtiment 5 de l'enclos E3
- 171 Fig. 128 : plan avec côtes NGF du bâtiment 5 de l'enclos E3
- 172 Fig. 129 : interprétation du plan du bâtiment 5 de l'enclos E3
- 173 Fig. 130 : répartition du mobilier céramique dans l'enclos E3
- 174 Fig. 131 : plan et coupe des TP du bâtiment 6 dans l'enclos E3 © cliché : équipe de fouille

- 176 Fig. 132 : plan et coupe des sondages 573 et 560 du fossé 3044-1374 dans l'enclos E3
- 177 Fig. 133 : plan et coupe du fossé 2904 et des sondages 475 et 462 dans l'enclos E3
- 179 Fig. 134 : vue en plan des deux systèmes de franchissement
- 180 Fig. 135 : vue en plan et coupes des fossés 1645 et 2190
- 181 Fig. 136 : vues des sondages 558 du fossé 1645 et 562 du fossé 2190 © équipe de fouille
- 182 Fig. 137 : vues des sondages 556 et 557 du fossé 1645 © équipe de fouille
- 184 Fig. 138 : vue en plan et coupes des fossés 2004 et 3142
- 185 Fig. 139 : vue en plan et coupes du fossé 110-104-106-1660
- 187 Fig. 140 : vue en plan des fossés 1645 et 1835 ainsi que la fosse 1666
- 188 Fig. 141 : vue en plan du fossé 1835 avec coupes
- 189 Fig. 142 : vue en plan du fossé 1675 avec coupes
- 190 Fig. 143 : vue en plan de la fosse 1666 avec premier niveau caillouteux de fouille
- 191 Fig. 144 : vue en plan de la fosse 1666 avec coupes
- 192 Fig. 145 : vues des coupes du four 1666 et vue générale après fouille complète © Aurélie Guesnon et Solenn Briand
- 194 Fig. 146 : plan des fossés 2002 et 2160
- 195 Fig. 147 : coupes du fossé 2002 © clichés équipe de fouille
- 196 Fig. 148 : coupes du fossé 2160 © clichés équipe de fouille
- 198 Fig. 149 : coupes des fossés 2207 et 2153 ainsi que des fosses 2773 et 2208 © cliché équipe de fouille
- 199 Fig. 150 : plan et coupe de la fosse 2775 © cliché équipe de fouille
- 201 Fig. 151 : plan et coupe des fossés 2069 et 2072 ainsi que des fosses 2071 et 2083
- 202 Fig. 152 : plan et coupes des fossés 2109 et 2549 © cliché équipe de fouille
- 204 Fig. 153 : plan de localisation des fosses hors des enclos
- 205 Fig. 154 : plan et coupe de la fosse 639 © cliché équipe de fouille
- 206 Fig. 155 : plan et coupe de la fosse 687 © cliché équipe de fouille
- 207 Fig. 156 : plan et coupe de la fosse 641 © cliché équipe de fouille
- 208 Fig. 157 : plan et coupe de la fosse 2008
- 209 Fig. 158 : plan et coupe de la fosse 2032 © cliché équipe de fouille
- 210 Fig. 159 : plan et coupe de la fosse 2035 © cliché équipe de fouille
- 212 Fig. 160 : plan général des ensembles
- 213 Fig. 161 : plan général de l'enclos E6
- 214 Fig. 162 : plan et coupes du fossé 860 de l'enclos E6
- 215 Fig. 163 : plan et coupes du fossé 861-1074-1066 de l'enclos E6
- 216 Fig. 164 : plan et coupes du fossé 836 de l'enclos E6
- 218 Fig. 165 : plan de localisation du mobilier céramique des fossés de l'enclos E6
- 219 Fig. 166 : sondages 325 du fossé 860 et 343 du fossé 861-1074-1066 © cliché équipe de fouille
- 220 Fig. 167 : sondages 344 et 417 du fossé 861-1074-1066 © cliché équipe de fouille
- 222 Fig. 168 : sondages 62 du fossé 861-1074-1066 et 63 du fossé 836 avec recoupement de ce dernier par la haie 1002 © cliché équipe de fouille
- 222 Fig. 169 : plan des fossés 841, 969, 1107, 1154, 1132 et 1133
- 225 Fig. 170 : plan et coupes des fossés 1116, 1134 et 858
- 226 Fig. 171 : plan et coupes des fossés 841 et 854
- 227 Fig. 172 : plan général de localisation des bâtiments et des fosses
- 228 Fig. 173 : bâtiment 11 avec coupes des trous de poteaux et fosses ainsi que restitution possible du plan
- 229 Fig. 174 : plan du bâtiment 11 avec cote NGF
- 231 Fig. 175 : plan du bâtiment 12 avec coupe des trous de poteaux et cotes NGF
- 232 Fig. 176 : plan du bâtiment 13 avec coupe des trous de poteaux et cotes NGF
- 233 Fig. 177 : plan du bâtiment 14 avec coupe des trous de poteaux et cotes NGF
- 234 Fig. 178 : plan et coupe de la fosse 964 © cliché équipe de fouille
- 235 Fig. 179 : plan et coupe de la fosse 966 © cliché équipe de fouille.
- 237 Fig. 180 : localisation et coupes des fossés 1076 et 827-1067
- 238 Fig. 181 : localisation de la céramique dans les fossés 1076, 827-1067 et 885
- 240 Fig. 182 : localisation et coupes du fossé 958-1067 et répartition de la céramique
- 241 Fig. 183 : sondages dans le fossé 958-1067 © cliché équipe de fouille
- 242 Fig. 184 : plan et coupes des fossés 1064-1065 et 780 © cliché équipe de fouille
- 243 Fig. 185 : plan et coupes du fossé 824-819-1007
- 244 Fig. 186 : coupes du fossé 824-819-1007 © cliché équipe de fouille
- 246 Fig. 187 : localisation des fosses et TP protohistoriques à l'est du fossé 824-819-1007
- 247 Fig. 188 : plan et coupe de la fosse 937-2851 © cliché équipe de fouille
- 248 Fig. 189 : plan et coupe de la fosse 936 © cliché équipe de fouille
- 249 Fig. 190 : plan et coupe de la fosse 894 © cliché équipe de fouille
- 250 Fig. 191 : plan et coupe de la fosse 898 © cliché équipe de fouille
- 250 Fig. 192 : plan et coupe de la fosse 925 © cliché équipe de fouille
- 251 Fig. 193 : plan et coupe de la fosse 1040
- 261 Fig. 194 : Typologie des formes basses à moyennes © David Gache
- 262 Fig. 195 : Typologie des formes moyennes à hautes © David Gache
- 269 Fig. 196 : phasage de l'occupation gauloise
- 271 Fig. 197 : plan de l'occupation antique dans le contexte général des occupations
- 272 Fig. 198 : plan général de l'occupation antique
- 274 Fig. 199 : plan et coupes du chemin 3
- 275 Fig. 200 : vue aérienne à partir du nord du chemin 3 © Hervé Paitier
- 275 Fig. 201 : coupe ouest du sondage 599 du fossé 1443 du chemin 3 © équipe de fouille
- 276 Fig. 202 : vue aérienne à partir du nord-ouest du chemin 4 en cours de décapage © Gilles Leroux



- 277 Fig. 203 : plan et coupes du fossé 2021-1576-1479-1345 du chemin 4
- 278 Fig. 204 : plan et coupes du fossé 2073-1370 du chemin 4
- 279 Fig. 205 : plan et coupes du fossé 1388-2005 du chemin 4
- 280 Fig. 206 : coupe sud du sondage 504 du fossé 1388 © équipe de fouille
- 281 Fig. 207 : plan général de l'enclos gallo-romain
- 282 Fig. 208 : plan et coupe du fossé 521 de la façade orientale de l'enclos gallo-romain © cliché équipe de fouille
- 283 Fig. 209 : plan et coupe de la façade méridionale avec le fossé 581-1465 de l'enclos gallo-romain
- 285 Fig. 210 : coupe ouest de l'inter entre les fossés 545 et 581 dans le sondage 15 © cliché équipe de fouille
- 285 Fig. 211 : inter fossés 581 et 1258 du sondage 461 © cliché équipe de fouille
- 285 Fig. 212 : coupe ouest des fossés 581 et 2902 du sondage 604 © cliché équipe de fouille
- 286 Fig. 213 : coupe est des fossés 581 et 2902 dans le sondage 464 © cliché équipe de fouille
- 287 Fig. 214 : plan et coupes de la façade occidentale avec les fossés 2897 et 2898 de l'enclos gallo-romain
- 288 Fig. 215 : coupe sud-est des fossés 2897 et 2898 dans le sondage 443 © cliché équipe de fouille
- 288 Fig. 216 : coupe nord des fossés 2897 et 2898 dans le sondage 448 © cliché équipe de fouille
- 288 Fig. 217 : coupe nord des fossés 2897 et 2898 dans le sondage 445 © cliché équipe de fouille
- 289 Fig. 218 : localisation des structures ayant livré du mobilier antique dans l'enclos gallo-romain
- 291 Fig. 219 : plan et coupe du fossé 1258-2900-2977
- 292 Fig. 220 : localisation des fossés de l'enclos 2
- 293 Fig. 221 : localisation et coupes du fossé 833
- 294 Fig. 222 : vue de l'est vers l'ouest de la coupe
- 294 Fig. 223 : détail de la coupe nord de F1213 © cliché équipe
- 294 Fig. 224 : vue générale de la zone inondée à l'emplacement de F1213 © cliché équipe
- 296 Fig. 225 : localisation et coupes des fossés 1172, 1188, 1506 et 1507
- 298 Fig. 226 : plan et coupes des TP du bâtiment 1 GR
- 299 Fig. 227 : plan des TP du bâtiment 1 GR avec cote NGF
- 300 Fig. 228 : localisation des fosses gallo-romaines de ce secteur
- 301 Fig. 229 : plan et coupe de la fosse 2870
- 301 Fig. 230 : plan et coupe de la fosse 1212
- 303 Fig. 231 : plan et coupes des fossés 646-648 et 1176
- 304 Fig. 232 : plan et coupes du fossé 626-647
- 306 Fig. 233 : plan et coupes des fossés 635-662 et 2890
- 307 Fig. 234 : plan et coupes du fossé 649-652 © cliché équipe de fouille
- 309 Fig. 235 : plan et coupes des fossés 653 et 926 914 883 1075
- 309 Fig. 236 : plan et coupes du fossé 804-927-1062-1168
- 312 Fig. 237 : plan et coupes des fossés 633, 2849-1058-1043-1041-2866, 801-822 et 800
- 313 Fig. 238 : coupe est du fossé 801-822 dans le sondage 188 © cliché équipe de fouille
- 313 Fig. 239 : coupe ouest du fossé 801-822 dans le sondage 220 © cliché équipe de fouille
- 314 Fig. 240 : coupe ouest du fossé 800 dans le sondage 186 © cliché équipe de fouille
- 315 Fig. 241 : plan et coupes du fossé 816-1033-1034-1042
- 317 Fig. 242 : plan et coupes des fossés 815-1031-976; 819-1032; 814-1016; 990 © cliché équipe de fouille
- 318 Fig. 243 : plan et coupes du fossé 2868-1135-2047 © cliché équipe de fouille
- 320 Fig. 244 : plan et coupes des fossés 1162 et 1163
- 321 Fig. 245 : plan et coupes de la fosse 2773 et du fossé 2705 © cliché équipe de fouille
- 323 Fig. 246 : localisation des fosses gallo-romaines de la partie ouest du site
- 324 Fig. 247 : plan et coupes des fosses 618; 622; 634; 821 © cliché équipe de fouille
- 326 Fig. 248 : plan et coupes des fosses 882; 1037; 1038 et 1696 © cliché équipe de fouille
- 327 Fig. 249 : plan et coupes des fosses 623 et 965 © cliché équipe de fouille
- 329 Fig. 250 : plan et coupes de la fosse 2847 © cliché équipe de fouille
- 330 Fig. 251 : plan et coupes des fosses 2885; 2886; 2887 et 2888 © cliché équipe de fouille
- 331 Fig. 252 : plan de localisation de la concentration de trous de poteaux
- 332 Fig. 253 : plan des granges sur poteaux en Bretagne (extrait du RFO de Chavagne,
- 333 Fig. 254 : plan de la zone de forge
- 335 Fig. 255 : plan et coupes des fossés 759 et 708
- 337 Fig. 256 : plan et coupes du fossé 707
- 339 Fig. 257 : plan et coupes du fossé 700-701
- 340 Fig. 258 : plan et coupes du fossé 1156-2861 et 758
- 342 Fig. 259 : plan et coupes du fossé 747-760 et 745
- 343 Fig. 260 : plan et coupes du fossé 709
- 345 Fig. 261 : plan et coupes du fossé 1153-1155
- 346 Fig. 262 : plans et coupes des trous de poteaux du possible bâtiment dans la zone de forge
- 348 Fig. 263 : plan, coupe et photo de la fosse foyer de forge 746 © cliché équipe de fouille
- 349 Fig. 264 : plan, coupe et photo de la fosse foyer de forge 748 © cliché équipe de fouille
- 350 Fig. 265 : 1 : vue de l'ouest de l'ensemble des sondages dans les fossés de la zone de forge, 2 : détail de la coupe d'un sondage © cliché équipe de fouille
- 351 Fig. 266 : plan de localisation du mobilier céramique, amphore, verre et TCA dans la zone de forge
- 352 Fig. 267 : plan de localisation des scories et du mobilier métallique dans la zone de forge
- 354 Fig. 268 : plan de localisation du mobilier céramique antique
- 363 Fig. 269 : plan de localisation des fragments d'amphore
- 364 Fig. 270 : plan de localisation des fragments de verre antique
- 365 Fig. 271 : plan de localisation des fragments de TCA
- 367 Fig. 272 : plan de localisation des structures médiévales
- 368 Fig. 273 : plan simplifié de localisation des structures médiévales
- 369 Fig. 274 : plan et coupes des fossés 2027-2025 et 2187 © cliché équipe de fouille

- 371 Fig. 275 : plan et coupes des fossés 3151-2841 et 2183
- 372 Fig. 276 : plan et coupes des fossés 2329 et 2238 © cliché équipe de fouille
- 373 Fig. 277 : localisation de l'enclos et des structures médiévales avec vue aérienne de l'enclos © cliché Gilles Leroux
- 374 Fig. 278 : plan et coupes des fossés 1805 et 2286
- 376 Fig. 279 : plan et coupes du fossé 1861 et la fosse 3129 © cliché équipe de fouille
- 377 Fig. 280 : plan et coupes de la fosse 3134
- 379 Fig. 281 : plan et coupes des fossés 1853, 1855, 1862, 3121 et 3126
- 381 Fig. 282 : plan et coupes des fossés 2503 et 3123
- 382 Fig. 283 : plan et coupes du fossé 1814-1815-1816
- 383 Fig. 284 : plan et coupe de la fosse 2208
- 384 Fig. 285 : plan et coupe des poteaux du bâtiment sur poteau
- 386 Fig. 286 : plan de l'enclos médiéval 2 © cliché équipe de fouille
- 387 Fig. 287 : plan et coupe de la fosse 3148 © Jean-Claude Durand
- 388 Fig. 288 : plan et coupes des fossés 2668, 2673 et 2873
- 389 Fig. 289 : plan et coupes des fossés 2668 et 2663-2665
- 390 Fig. 290 : exemple de la parcelle Pa13 extrait du RFO de Châteaugiron la Perdriots
- 391 Fig. 291 : plan et coupes des trous de poteaux du bâtiment dans l'enclos 2
- 392 Fig. 292 : plan de l'enclos médiéval 3 © cliché équipe de fouille
- 397 Fig. 293 : schéma de fonctionnement d'un foyer de forge
- 400 Fig. 294 : décompte par catégorie de déchets sidérurgiques (% de la masse total des déchets des phases datées)
- 402 Fig. 295 : plan de répartition du mobilier métallique et des déchets de sidérurgie
- 404 Fig. 296a : Etampuis, La Briquetterie 76, d'après Blancquaert G., 1995
- 404 Fig. 296b : Touffréville, La Saussye 14, d'après Coulthard N., 2005
- 405 Fig. 297a : Heudebouville, Ecoparc 2, Eure, d'après Dagmar Lukas, 2011
- 405 Fig. 297b : plan du domaine d'Etagnières, Les Ripes, Vaud (Suisse) d'après Perret S., 2002
- 406 Fig. 298 : radiographie des éléments de plaque provenant du fossé 836
- 406 Fig. 299 : radiographie de l'objet coudé provenant du fossé 1132
- 407 Fig. 300 : plan de répartition du mobilier métallique et des déchets de sidérurgie
- 408 Fig. 301 : plan de répartition du mobilier métallique dans la zone ouest (ensemble 2) © Sandrine Barbeau
- 409 Fig. 302 : plan de répartition du mobilier métallique dans la 2<sup>e</sup> zone plus au nord-est (ensemble 1)
- 410 Fig. 303 : radiographie des clous et de l'agrafe provenant du fossé 2046
- 410 Fig. 304 : radiographie de l'anneau provenant du fossé 2046
- 410 Fig. 305 : objet à anneau provenant du fossé 110 radiographie et photographie © Anne-Françoise Cherel
- 411 Fig. 306 : photographie des clous de semelles
- 411 Fig. 307 : radiographie des clous et clous de semelles du fossé 816
- 411 Fig. 308 : radiographie des clous de la fosse 634
- 411 Fig. 309 : radiographie des clous
- 412 Fig. 310 : plan de répartition du mobilier métallique de la période antique
- 413 Fig. 311 : radiographie des clous
- 413 Fig. 312 : radiographie de clou ou d'une fibule du fossé 816
- 413 Fig. 313 : radiographie du fragment de l'éventuel fourreau
- 413 Fig. 314 : radiographie du fragment de penture
- 413 Fig. 315 : radiographie et scanner de l'élément cylindrique du fossé 704
- 417 Fig. 316 : plan de répartition des éléments de mouture
- 418 Fig. 317 : La Salmontaine, Cesson-Sévigné, fragments de meules rotatives manuelles, 1 : méta ; 2 : catillus
- 423 Fig. 318 : photographie de la structure de combustion gauloise 1666 montrant les branches carbonisées alignées au fond de la fosse
- 426 Fig. 319 : histogramme 1 : distribution des largeurs des cernes de croissance mesurés sur les charbons de chêne issus de la structure de combustion 1666
- 429 Fig. 320 : histogramme 2 : distribution des largeurs des cernes de croissance mesurés sur les charbons de chêne issus de la zone de forge 748
- 431 Fig. 321 : histogramme 3 : distribution des largeurs des cernes de croissance mesurés sur les charbons de chêne issus de la fosse de rejet 747
- 431 Fig. 322 : histogramme 4 : distribution des largeurs des cernes de croissance mesurés sur les charbons de chêne issus de la fosse de rejet 2861
- 437 Fig. 323 : plan général des structures
- 438 Fig. 324 : coupe ouest © équipe de fouille
- 441 Fig. 325 : diagramme des pourcentages des macro-restes végétaux
- 442 Fig. 326 : l'orge polystique vêtue *Hordeum vulgare ssp. vulgare* © Wiethold
- 443 Fig. 327 : la folle avoine *Avena fatua* © Wiethold
- 449 Fig. 328 : carte de localisation topographique du site avec réseau viaire ancien
- 450 Fig. 329 : report du site sur cadastre napoléonien, avec à l'est le hameau de la Salmontaine
- 454 Fig. 330 : plan rectangulaires de fermes antiques (B. Simier, 2015)
- 455 Fig. 331 : plan de la ferme antique de Mauquenchy (76) Le Fond Randillon (Guillier et al 2006)

## Listing des tableaux

- 74** **Tab. 1** : pourcentage par structure des NR et MNI céramique
- 78** **Tab. 2** : les trois principaux groupes chimiques de verres de la Protohistoire et de l'Antiquité
- 79** **Tab. 3** : Compositions de la perle analysée (teneurs en % massique)
- 81** **Tab. 4** : inventaire des perles en verre, attribuées aux ateliers nord-italiens, retrouvées sur des sites archéologiques du nord-ouest de la France
- 266** **Tab. 5** : pourcentage par structure des NR et MNI céramique
- 399** **Tab. 6** : inventaire des déchets sidérurgiques par phase
- 415** **Tab. 7** : Inventaire par zone géographique et par structure du mobilier métallique
- 423** **Tab. 8** : inventaire des échantillons analysés en anthracologie
- 424** **Tab. 9** : liste des taxons mis en évidence par l'analyse anthracologique
- 424** **Tab. 11** : observations macroscopiques du plan ligneux sur les charbons de bois de la structure de combustion gauloise 1666
- 425** **Tab. 12** : résultats des largeurs moyennes des cernes de croissance annuels mesurés des charbons de chêne provenant de la structure de combustion 1666
- 426** **Tab. 13** : inventaire des taxons présents et leurs proportions dans la zone de forge antique et ses fosses de rejet associées
- 427** **Tab. 14** : fréquence d'observations des calibres des bois de chêne (n/nombre de charbons observés) dans les structures archéologiques liées à la forge antique
- 428** **Tab. 15** : fréquence d'observations des charbons d'aspect fendu, dur/luisant et fendu/luisant (n/nombre de charbons observés) dans les structures archéologiques liées à l'activité métallurgique
- 428** **Tab. 16** : résultats des largeurs moyennes des cernes de croissance annuels mesurés des charbons de chêne issus de la zone de forge antique
- 432** **Tab. 17** : résultats anthracologiques de la fosse 2035
- 432** **Tab. 18** : caractéristiques autécologiques et biotopes des espèces pouvant correspondre aux taxons identifiés (d'après Rameau *et al.*, 1989)
- 435** **Tab. 19** : richesse taxonomique des cortèges anthracologiques des structures liées à l'activité métallurgique gallo-romaine (foyers/bas-fourneaux, fosse) du nord-ouest de la France
- 439** **Tab. 20** : données générales du prélèvement
- 440** **Tab. 21** : tableau de détermination des macro-restes végétaux

## **Annexes**



enduit noir N



hematite HT



peinture rouge PR



peinture rouge PR



graphite GR



lustre LT



micace MC



tourne TN



modele MD



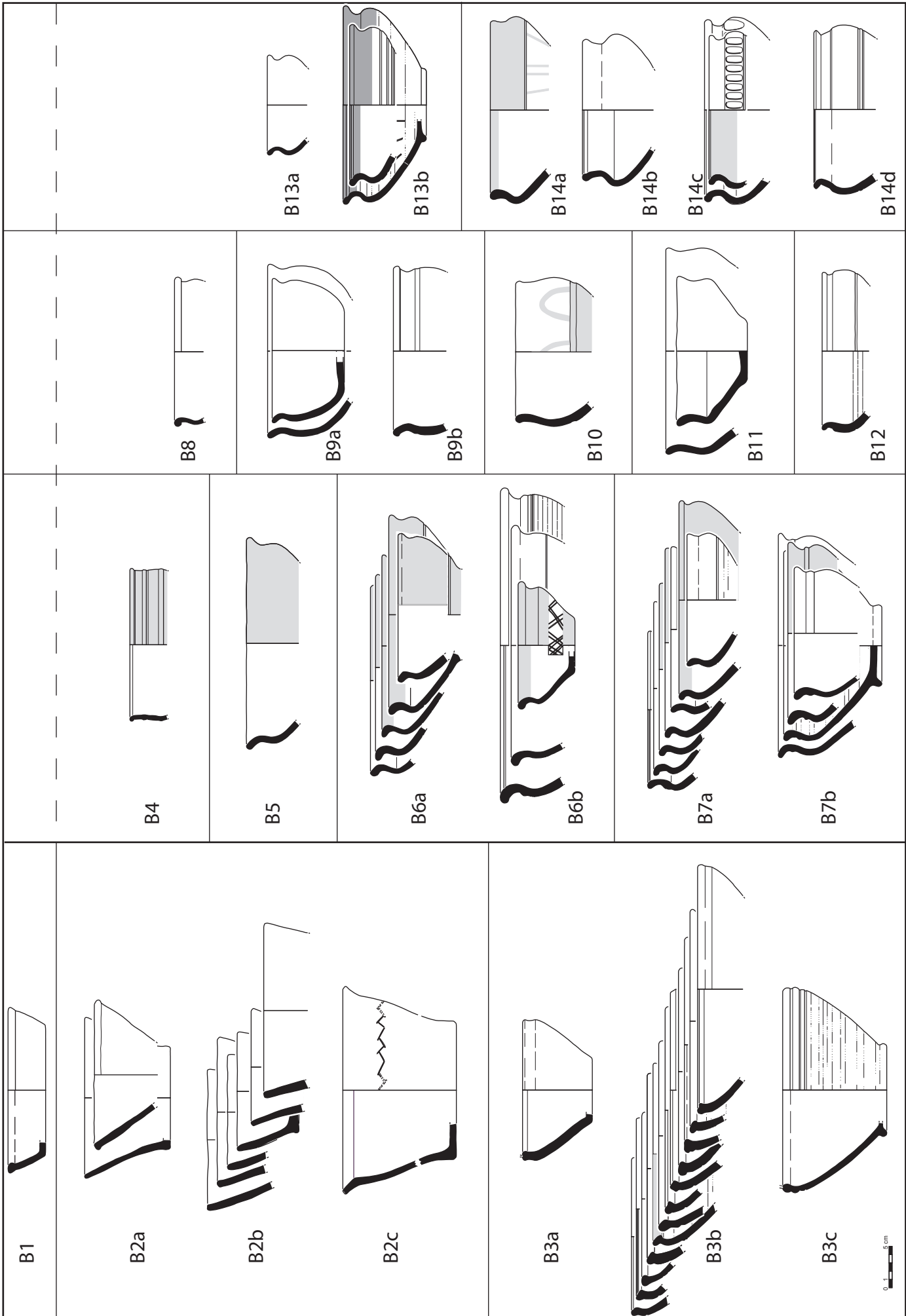
bande lissée BL

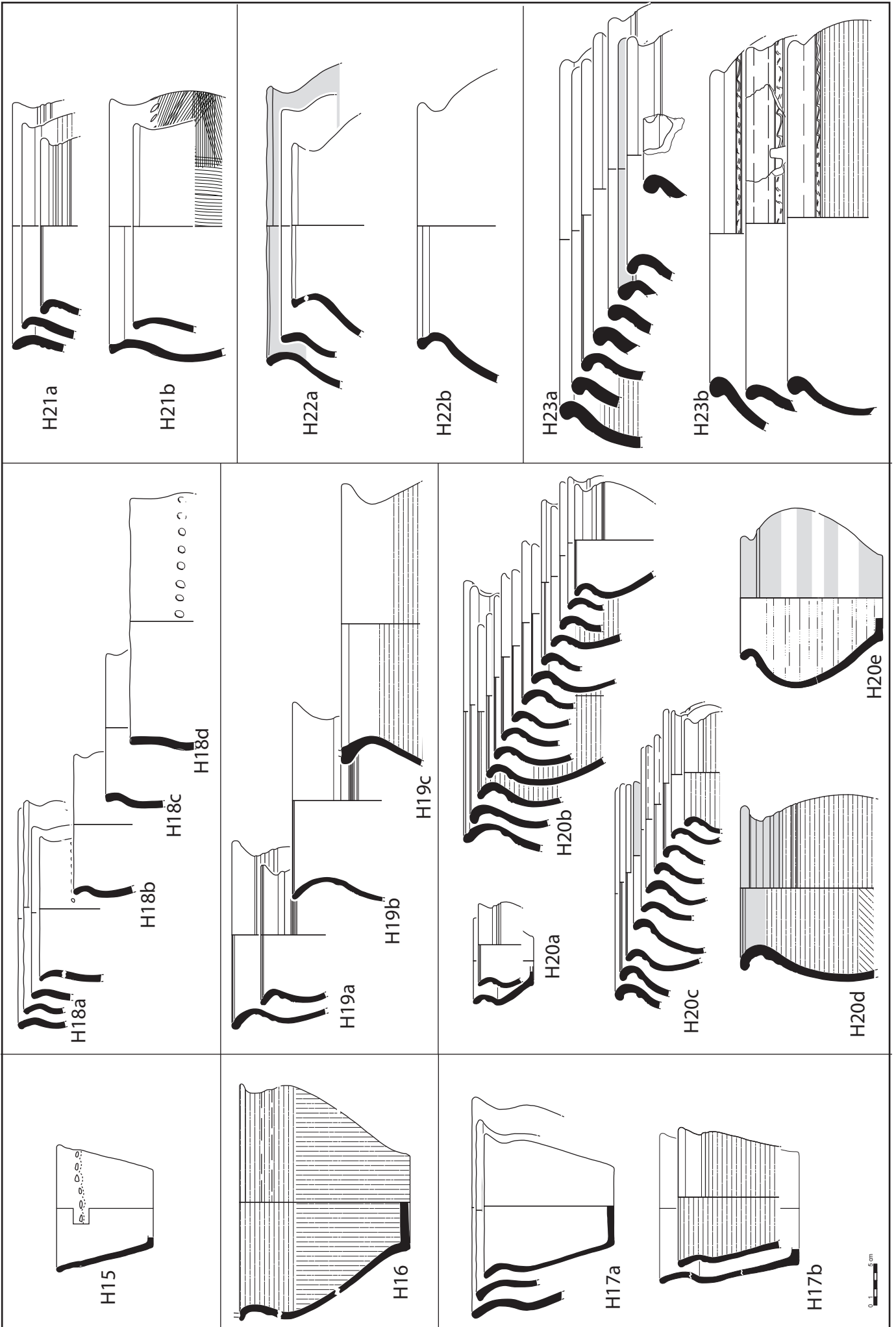


fer F

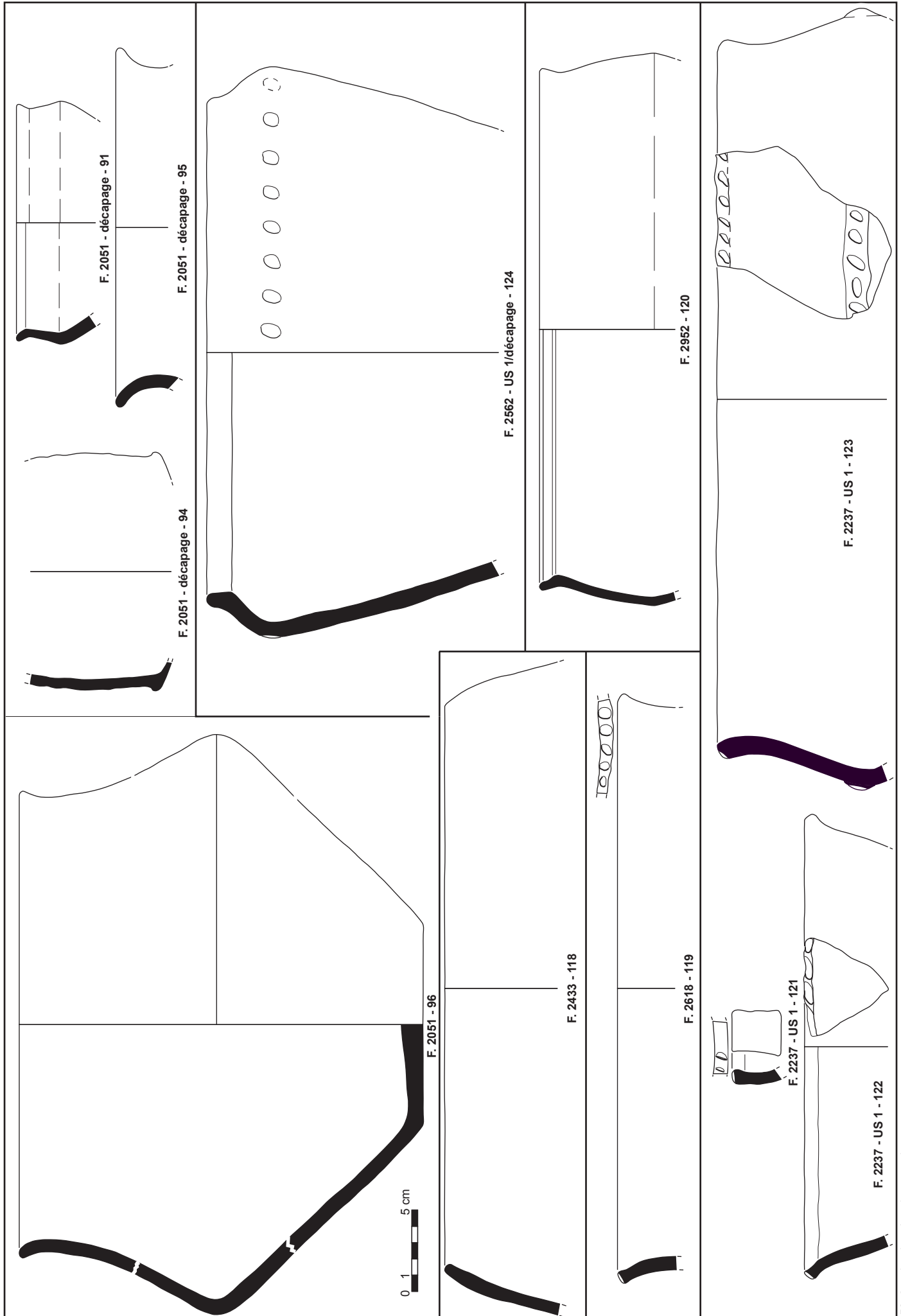


peigne/tour



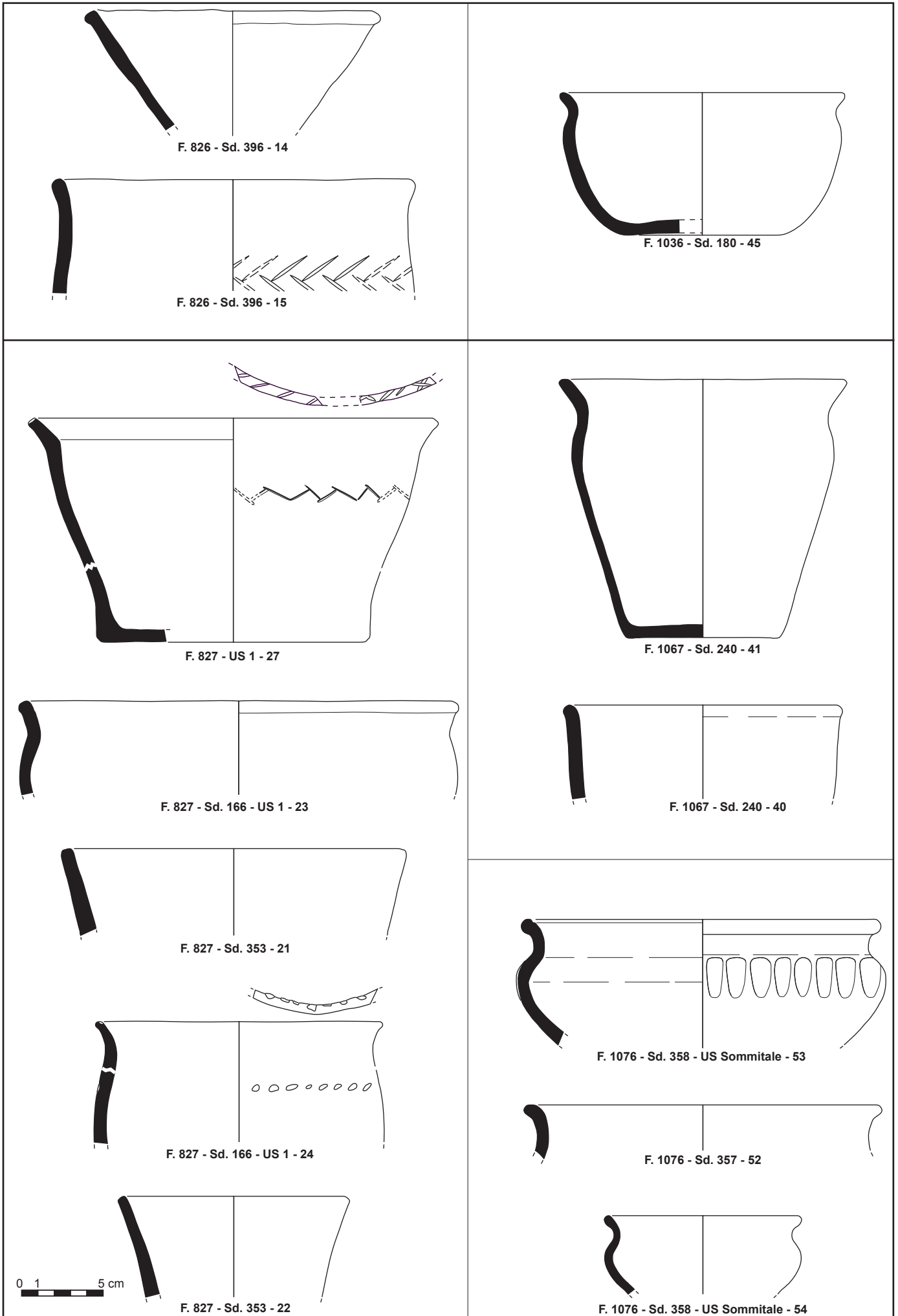


Pl. 1b : typologie des formes moyennes à hautes © D. Gaché

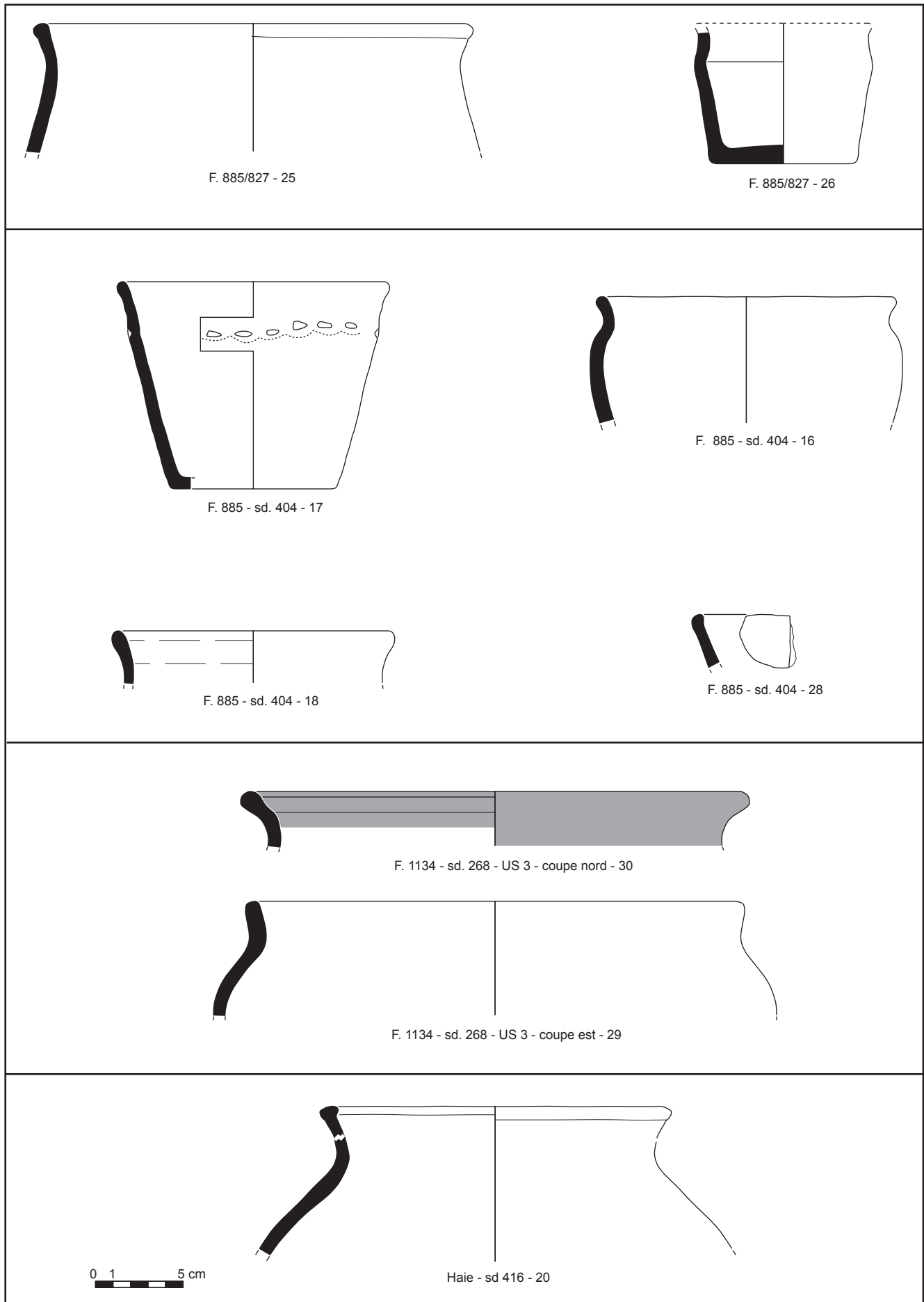


Pl. 2 : planche céramiques anciennes © D. Gachet

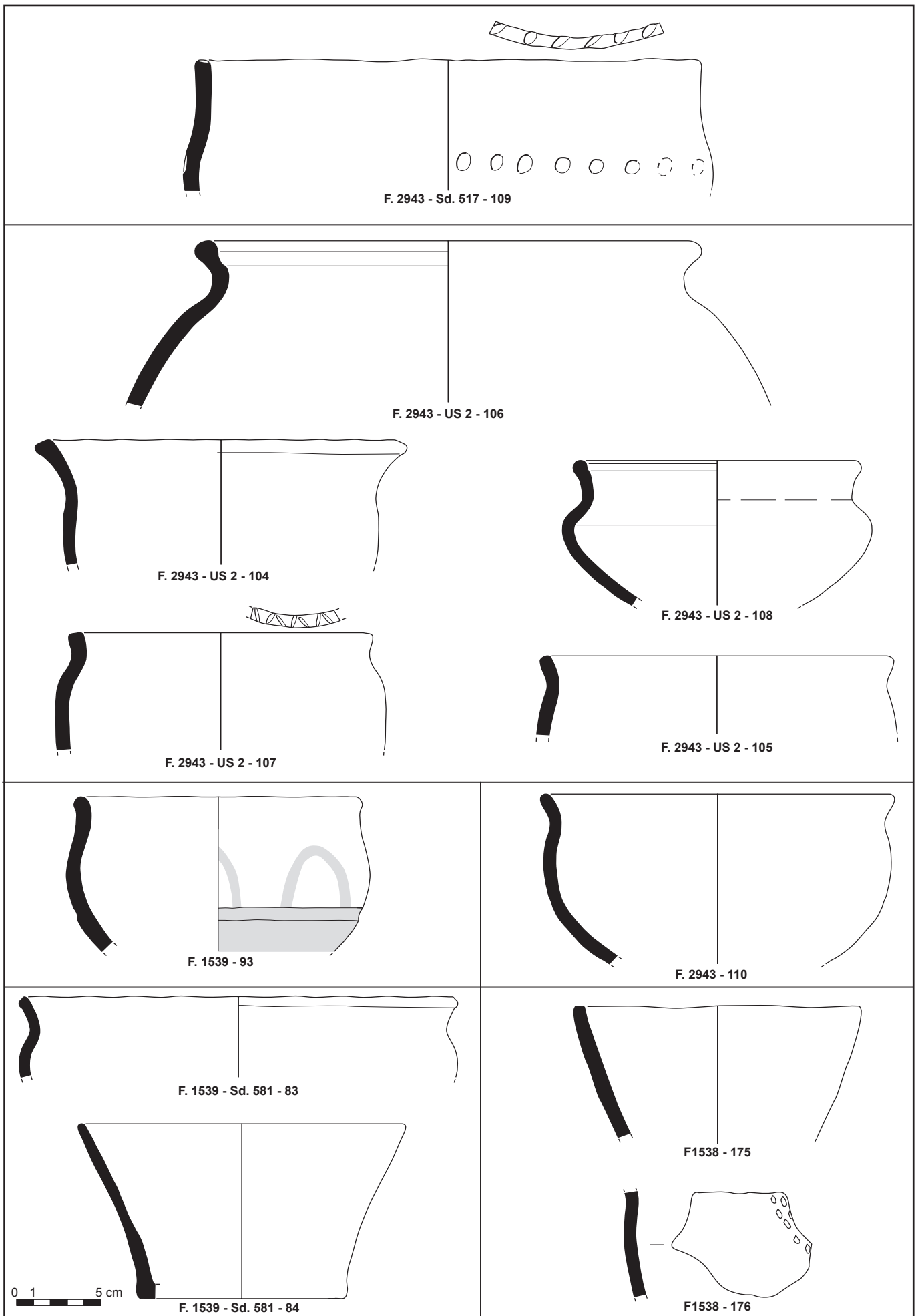




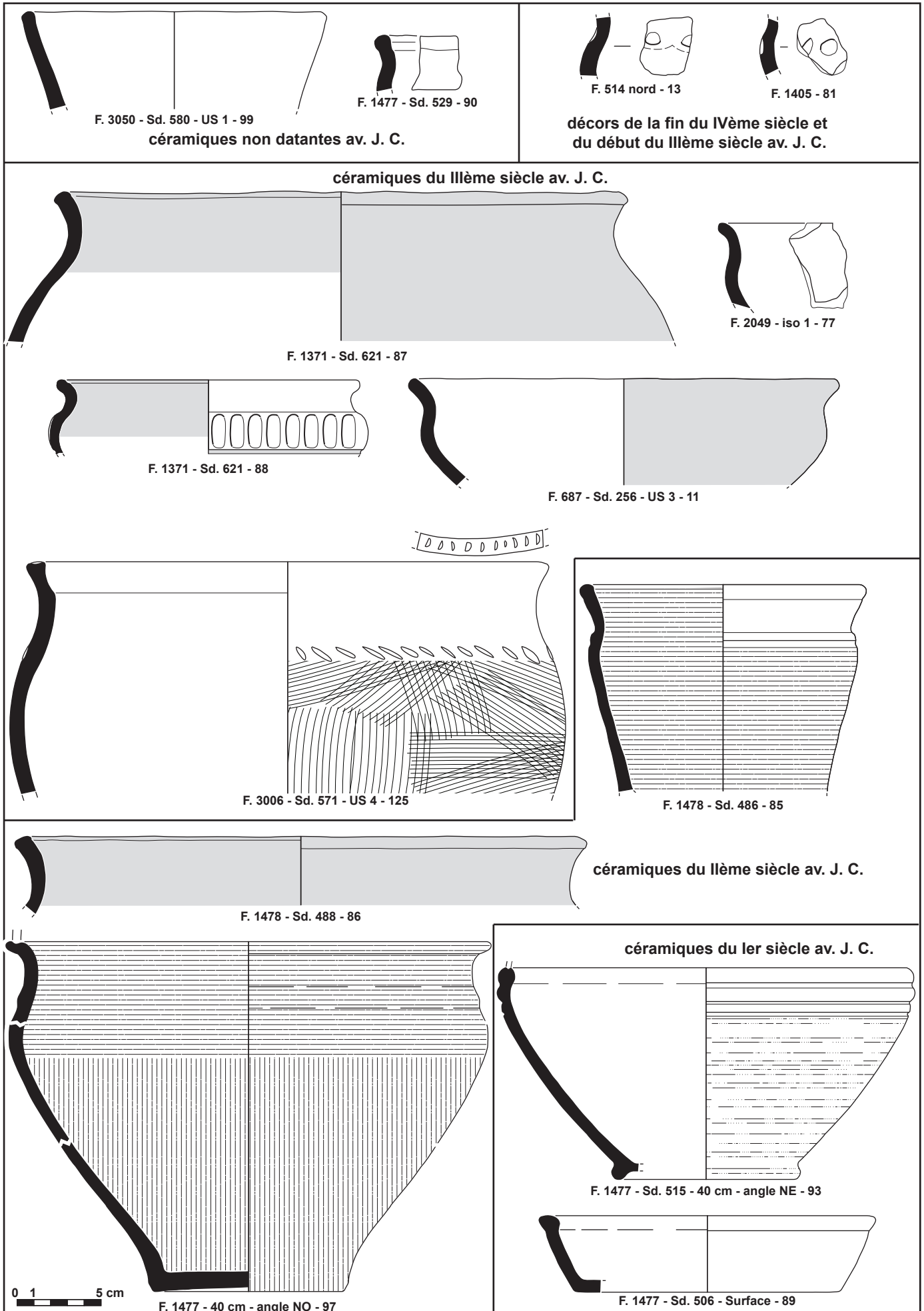
Pl. 3 : planche céramiques de la fin du IV<sup>e</sup> et du début du V<sup>e</sup> siècle av. J.-C. © D. Gache



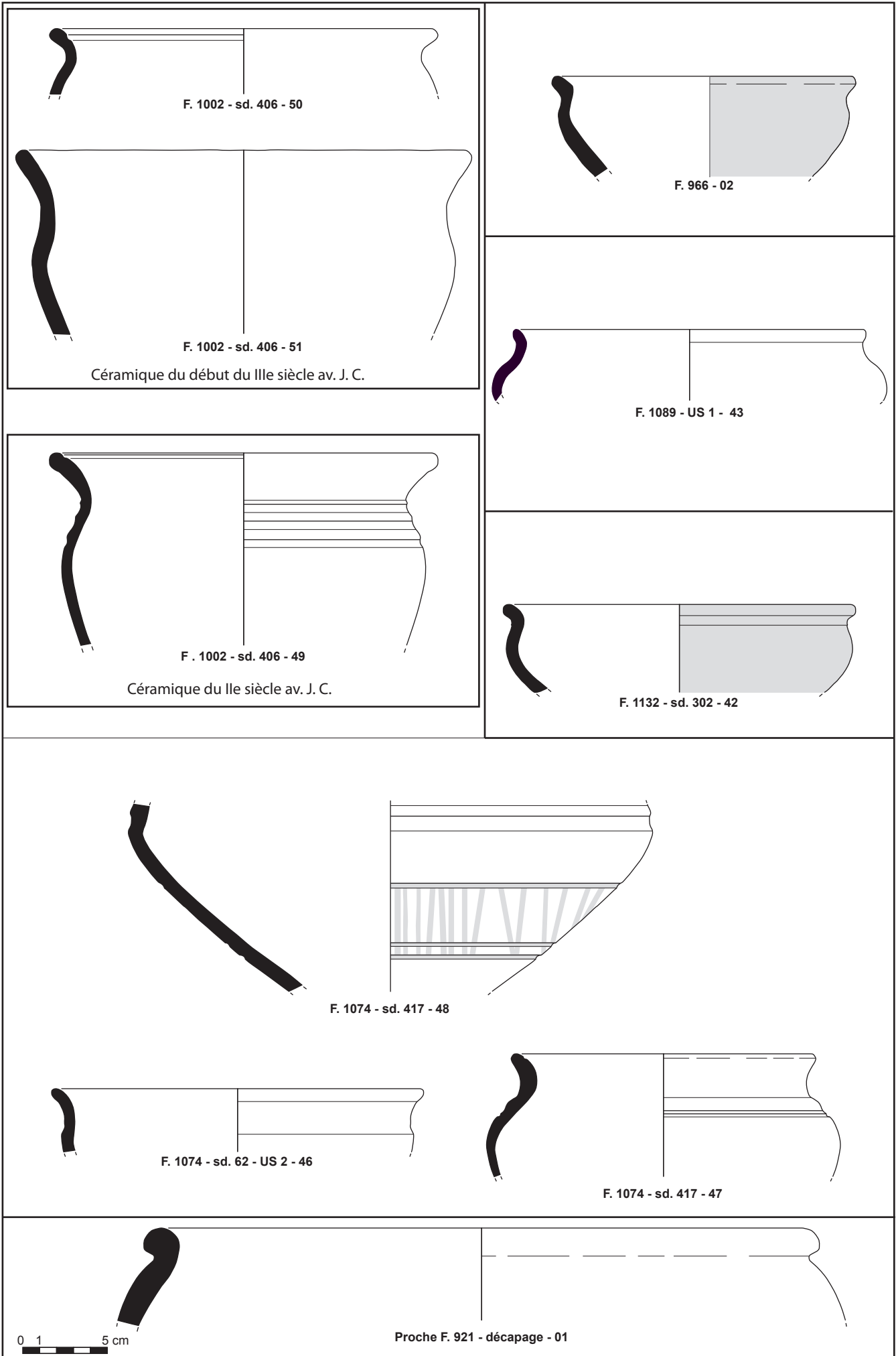
Pl. 4 : planche céramiques de la fin du IV<sup>e</sup> et du début du V<sup>e</sup> siècle av. J.-C. © D. Gache



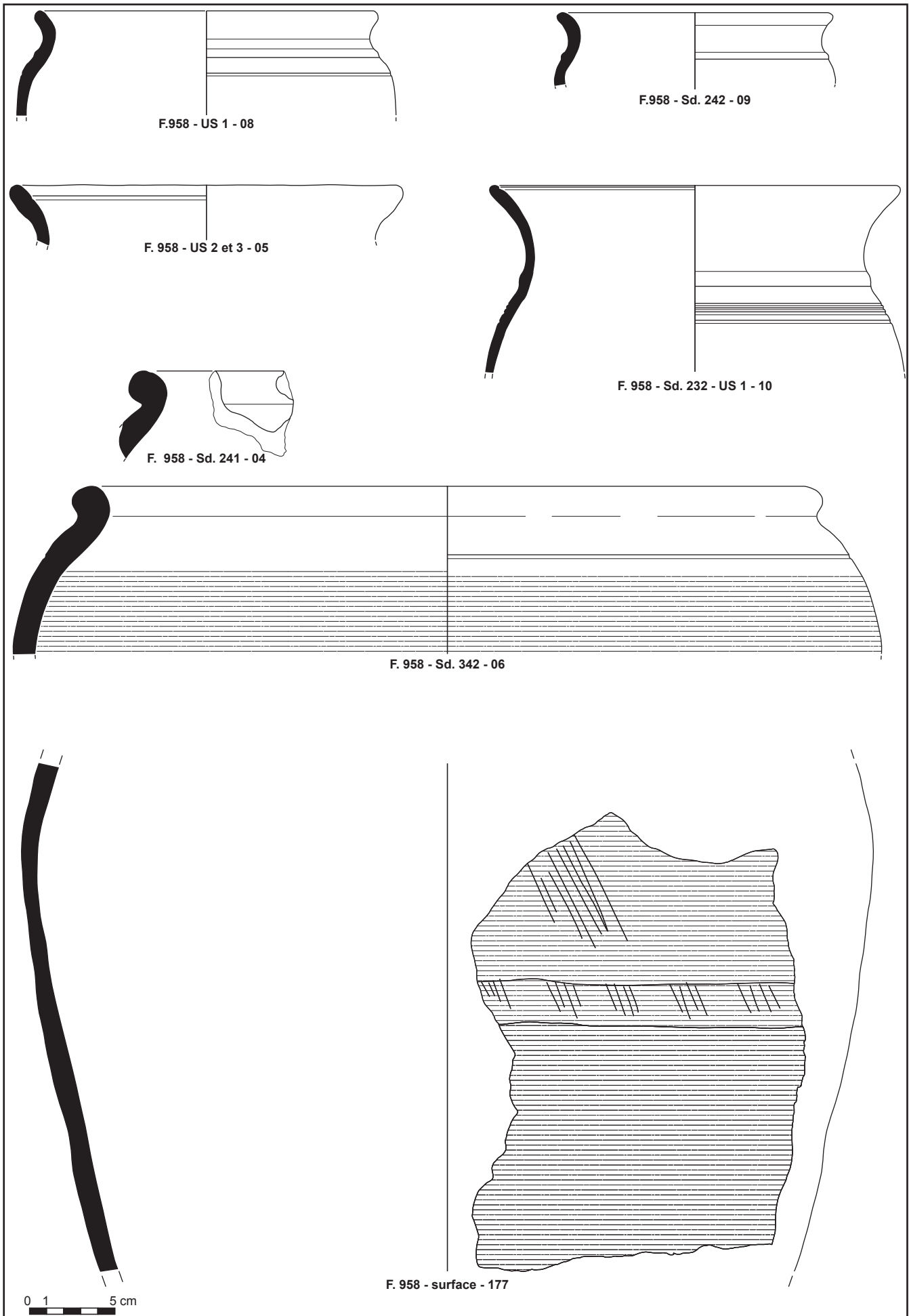
Pl. 5 : planche céramiques de la fin du IV<sup>e</sup> et du début du V<sup>e</sup> siècle av. J.-C. © D. Gache



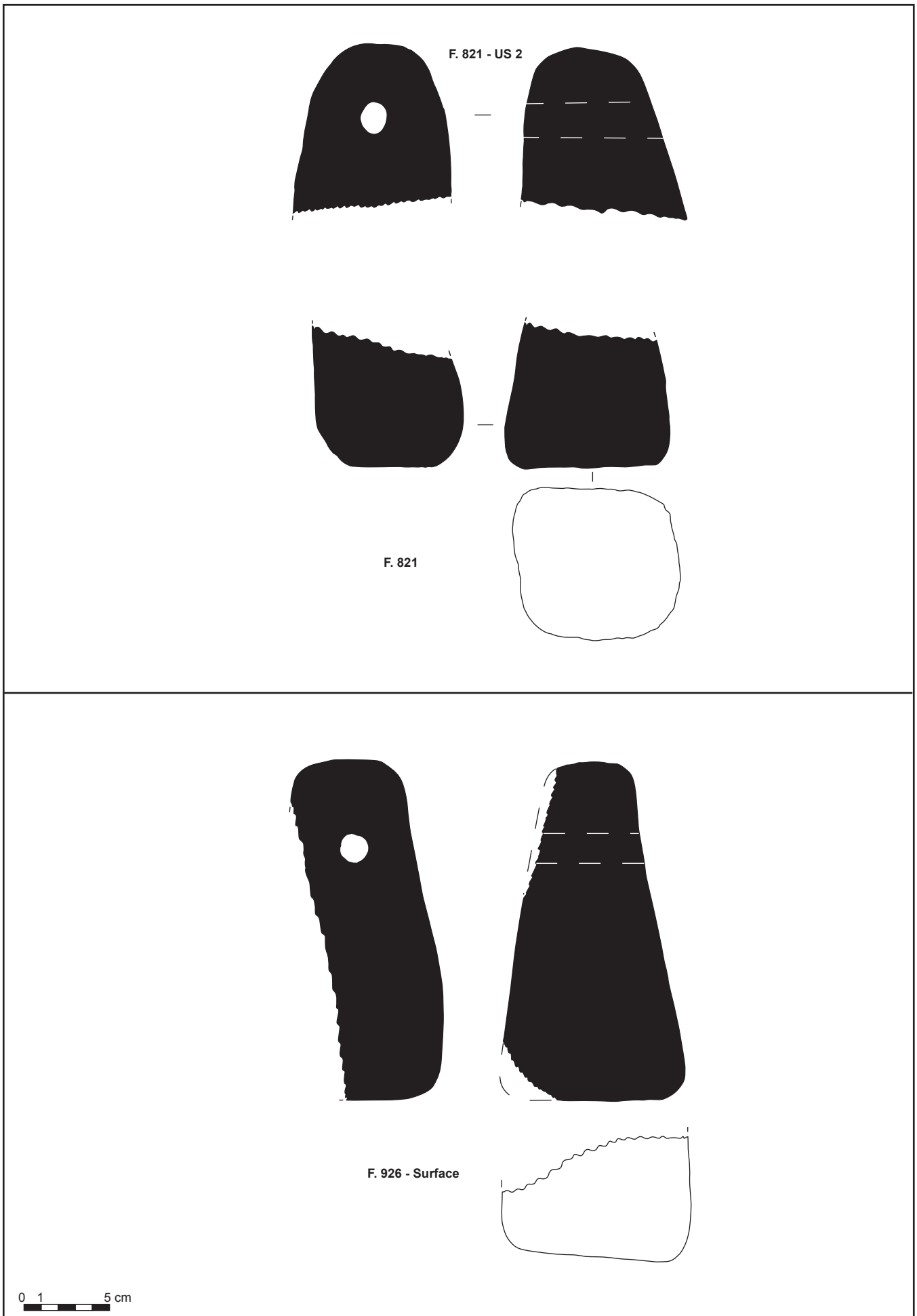
Pl. 6 : céramiques de la fin du IV<sup>e</sup> jusqu'au I<sup>er</sup> siècle av. J.-C. © D. Gache

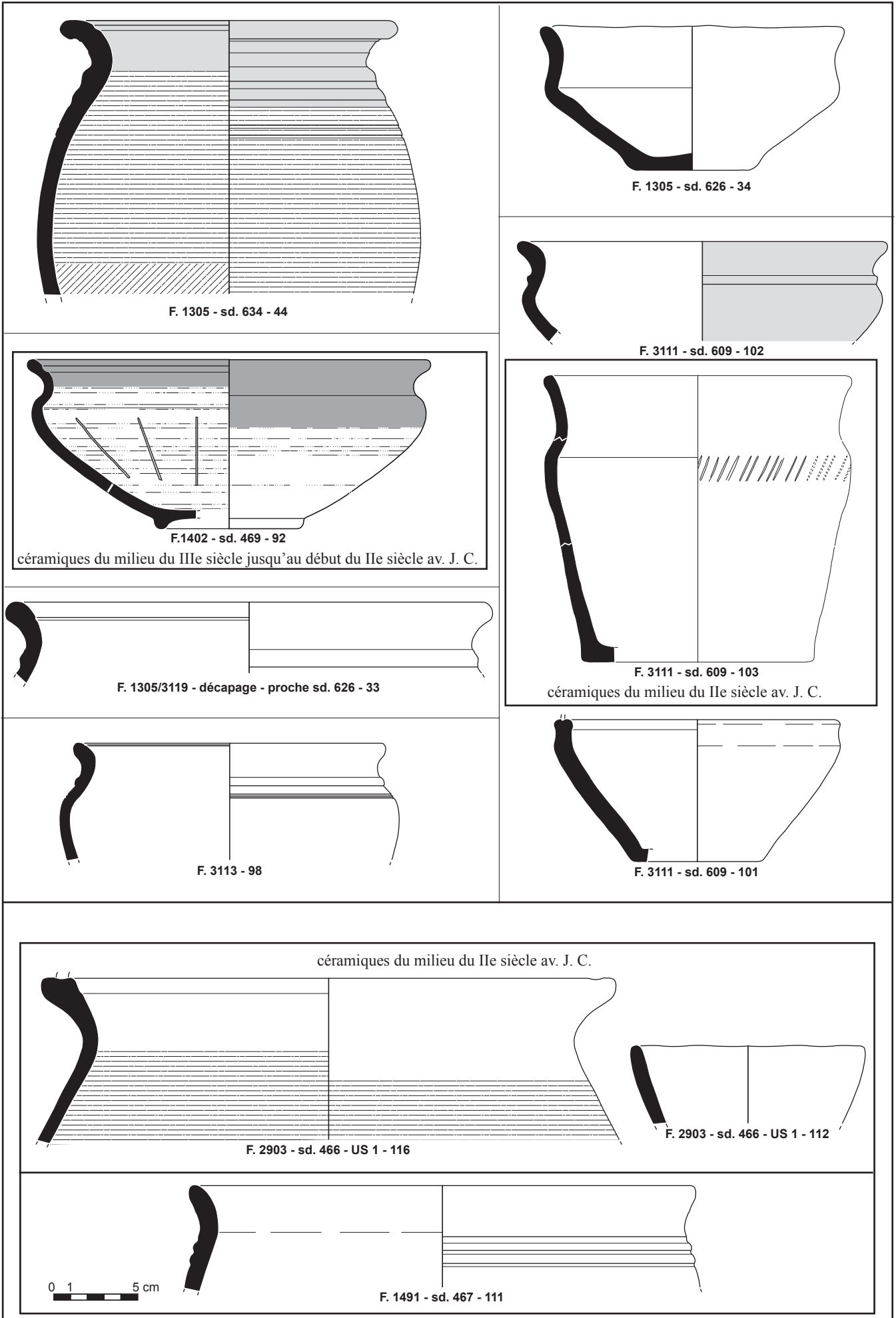


Pl. 7 : céramiques du I<sup>er</sup> siècle av. J.-C., sauf encadrées © D. Gache



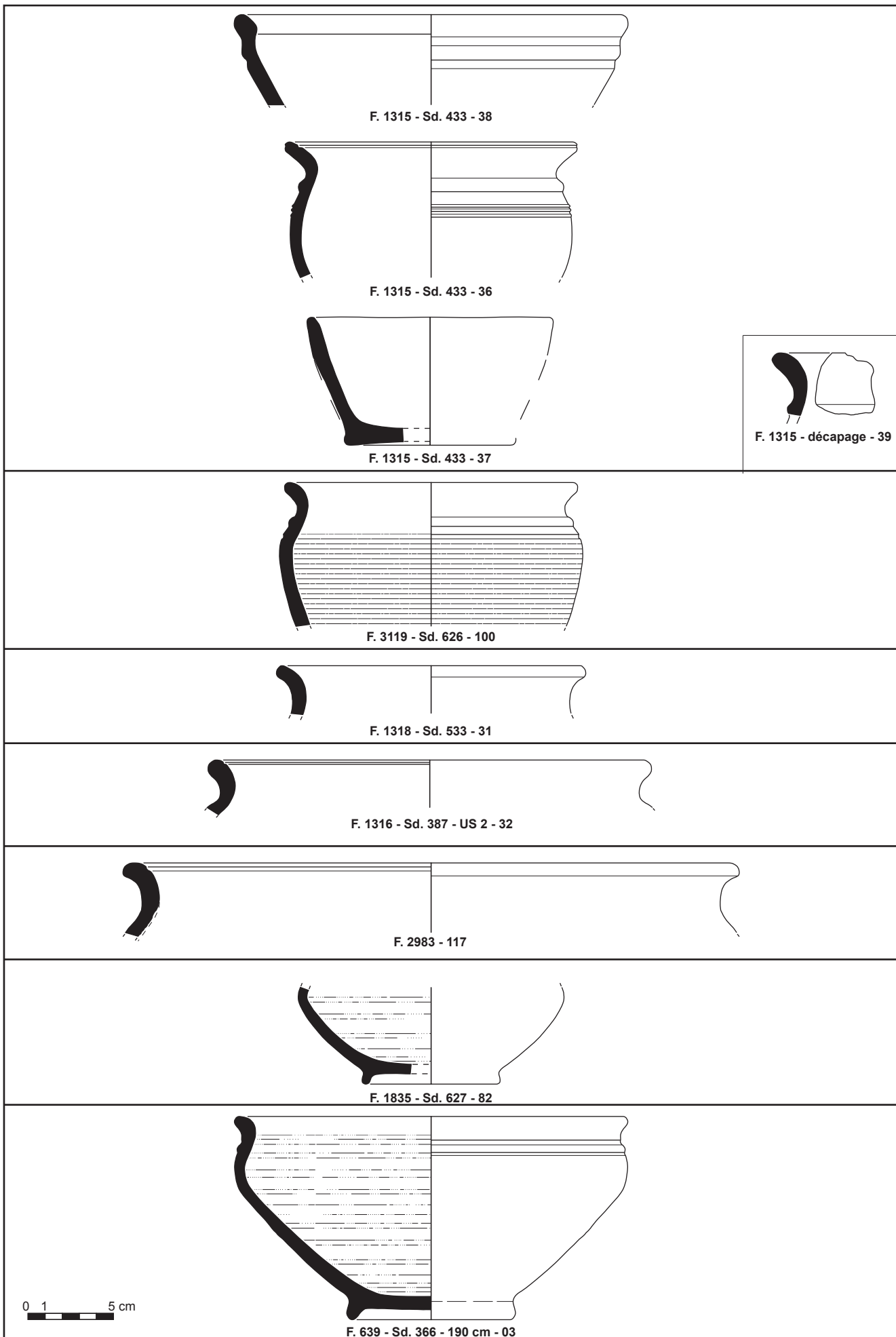
Pl. 8 : céramiques du I<sup>er</sup> siècle av. J.-C. © D. Gache



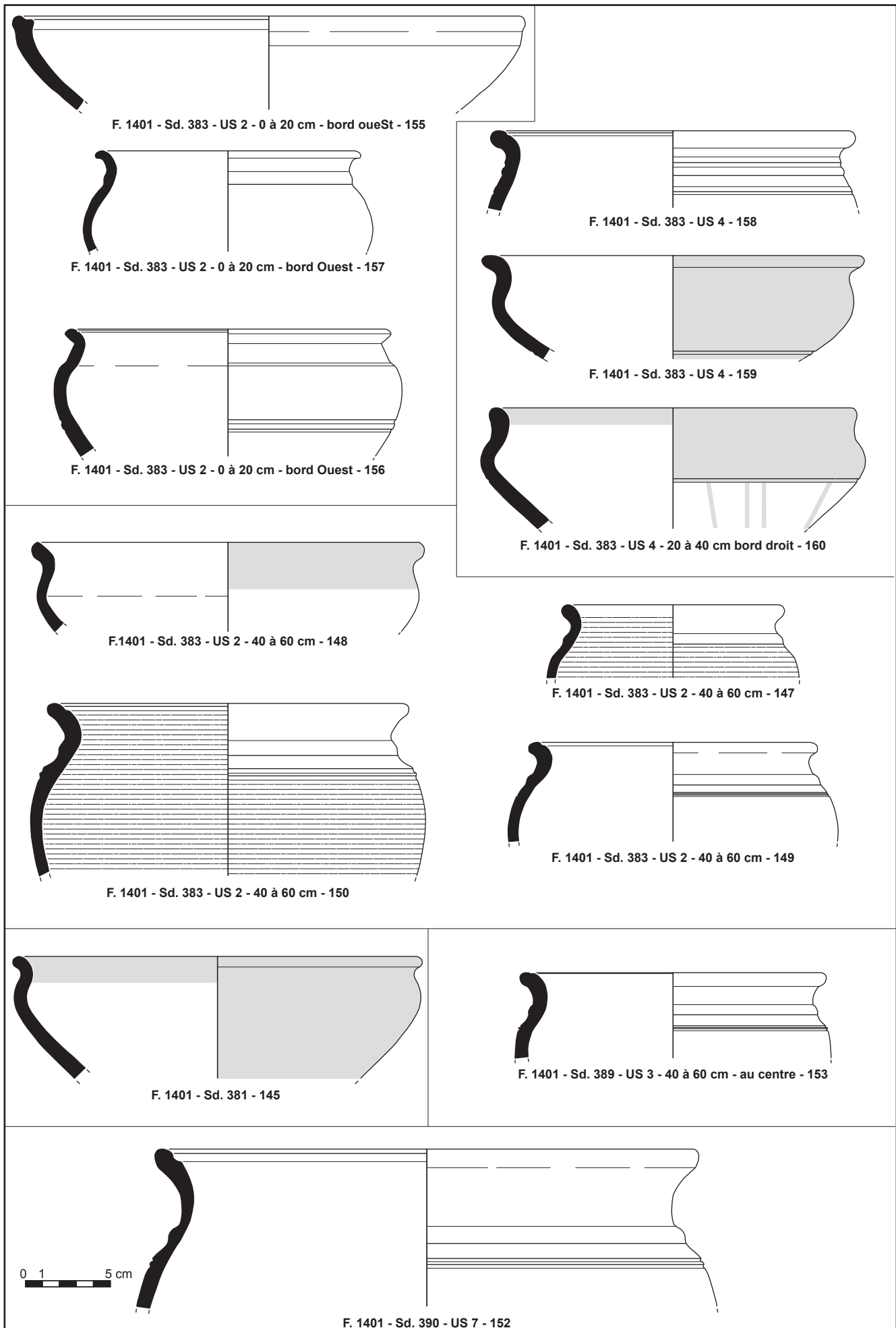


Pl. 10 : céramiques du I<sup>er</sup> siècle av. J.-C., sauf encadrées © D. Gache

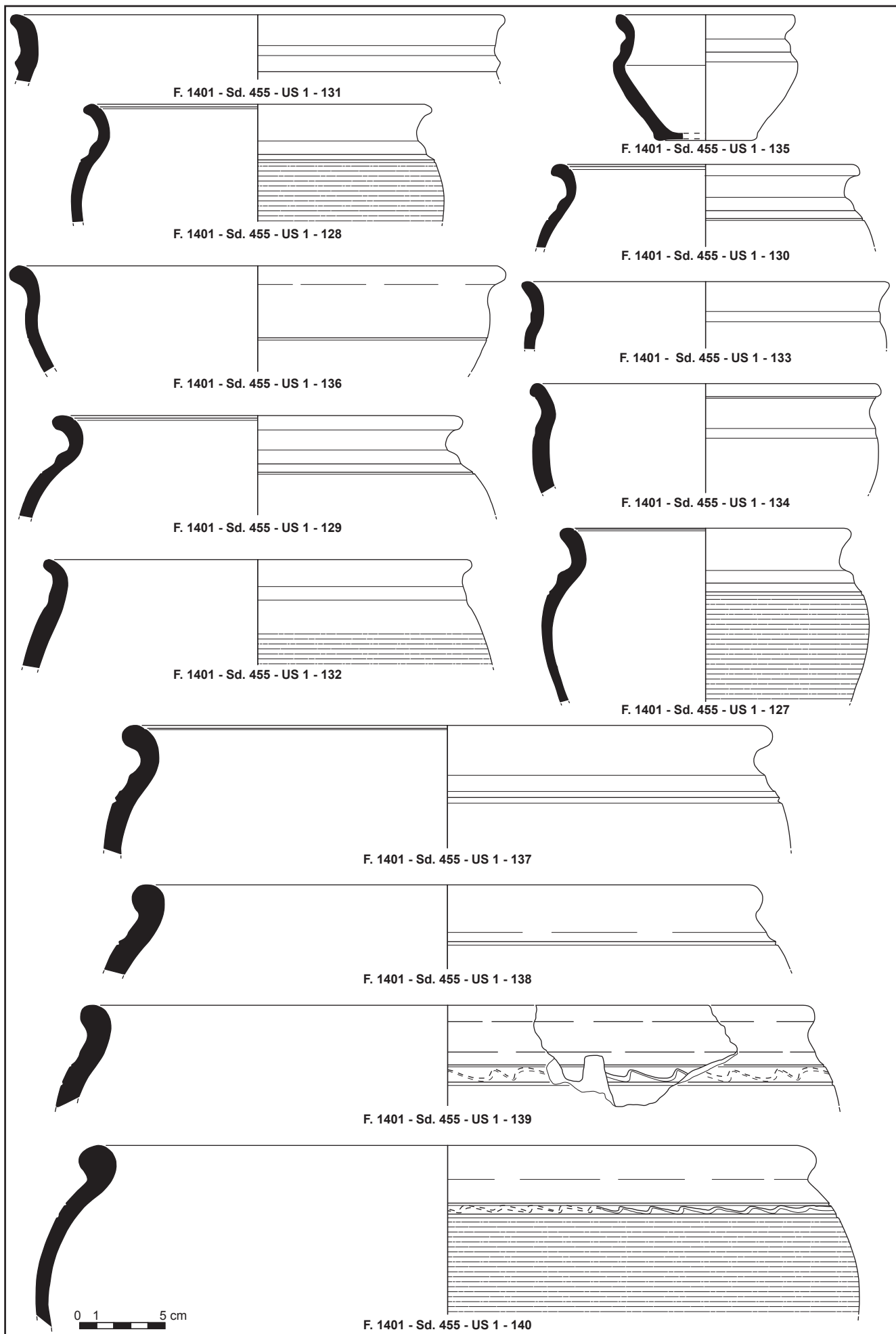




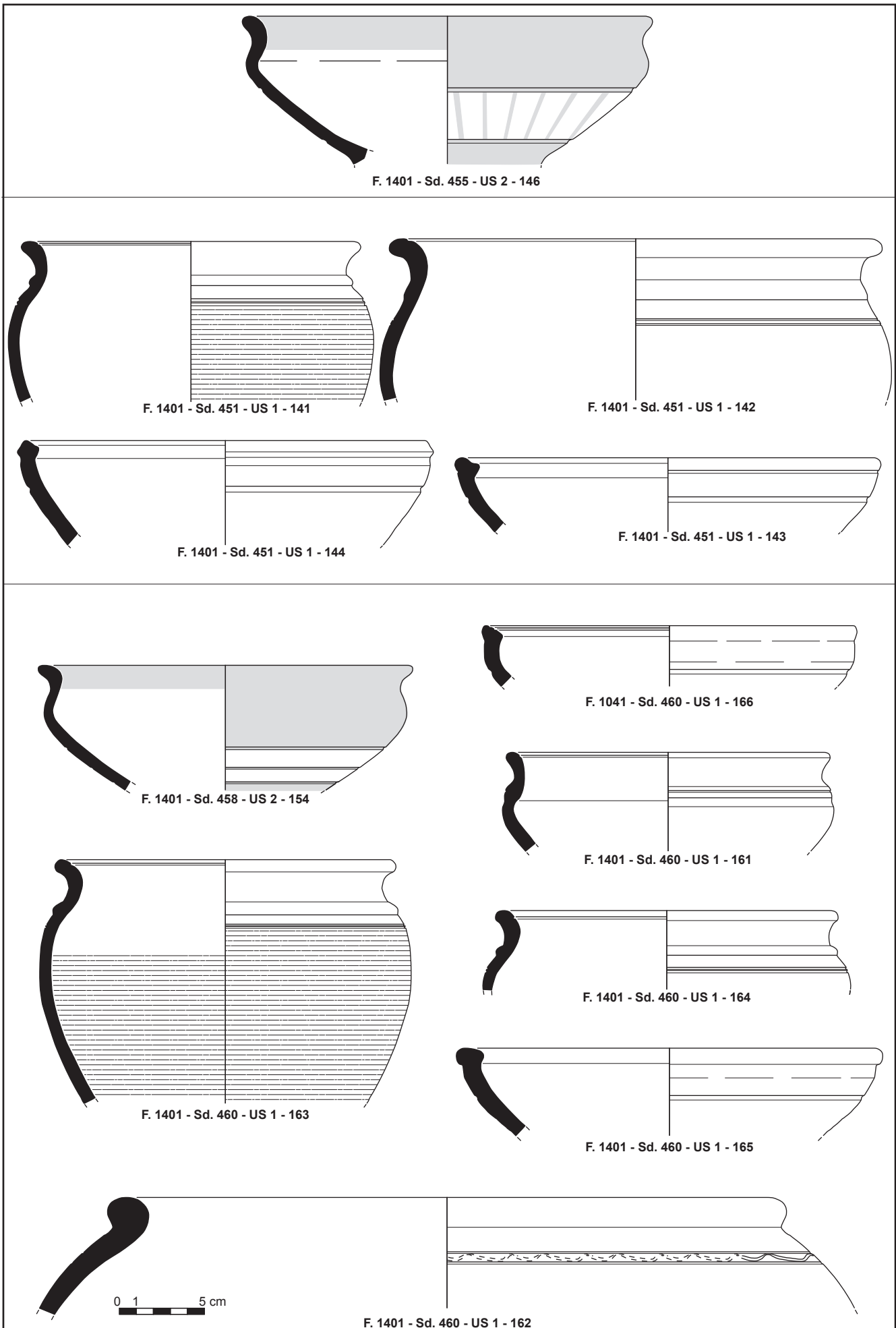
Pl. 11 : céramiques du milieu du II<sup>e</sup> siècle (36) et du I<sup>er</sup> siècle av. J.-C. © D. Gache



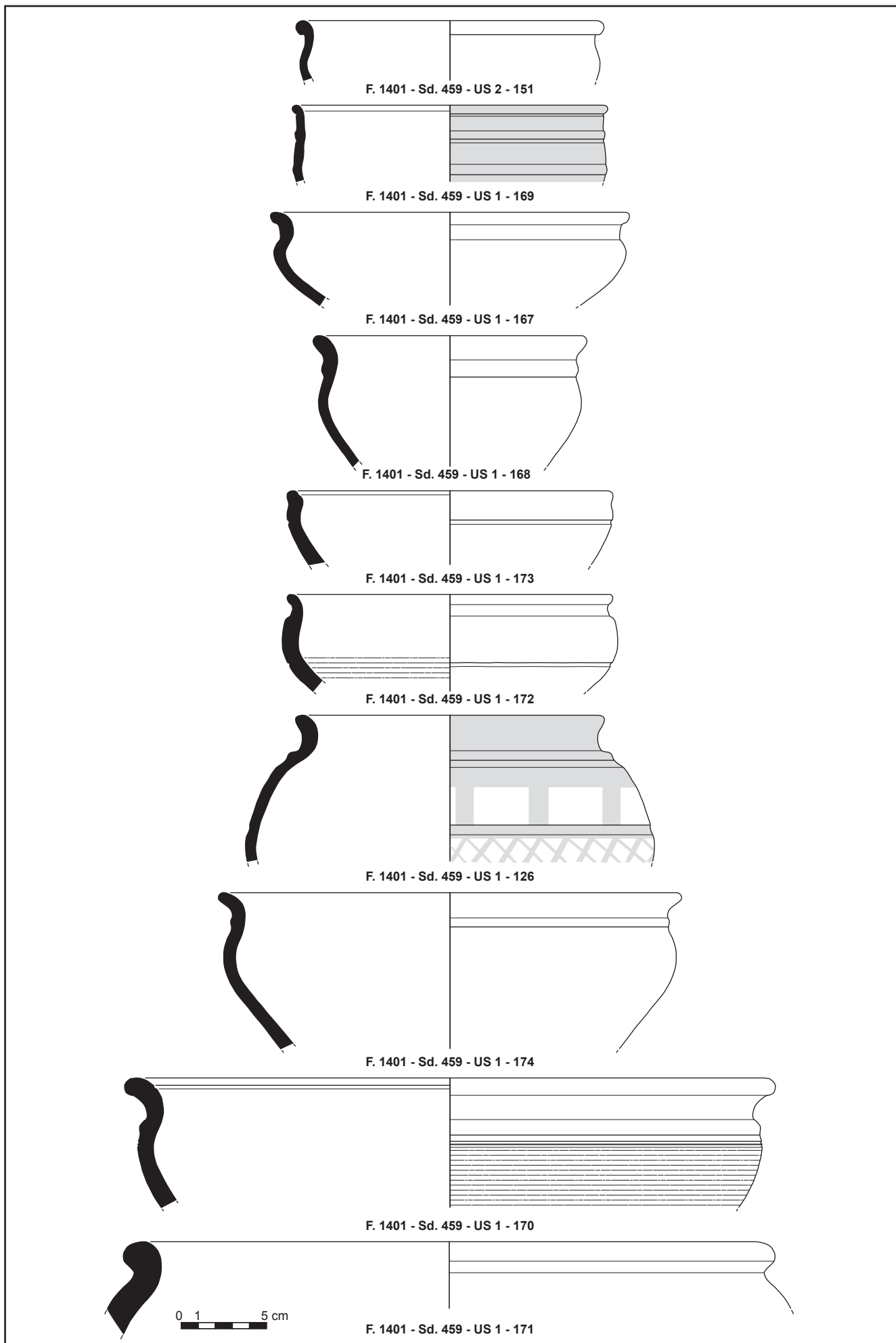
Pl. 12 : céramiques du milieu du IIe siècle (158) et du I<sup>er</sup> siècle av. J.-C. © D. Gache



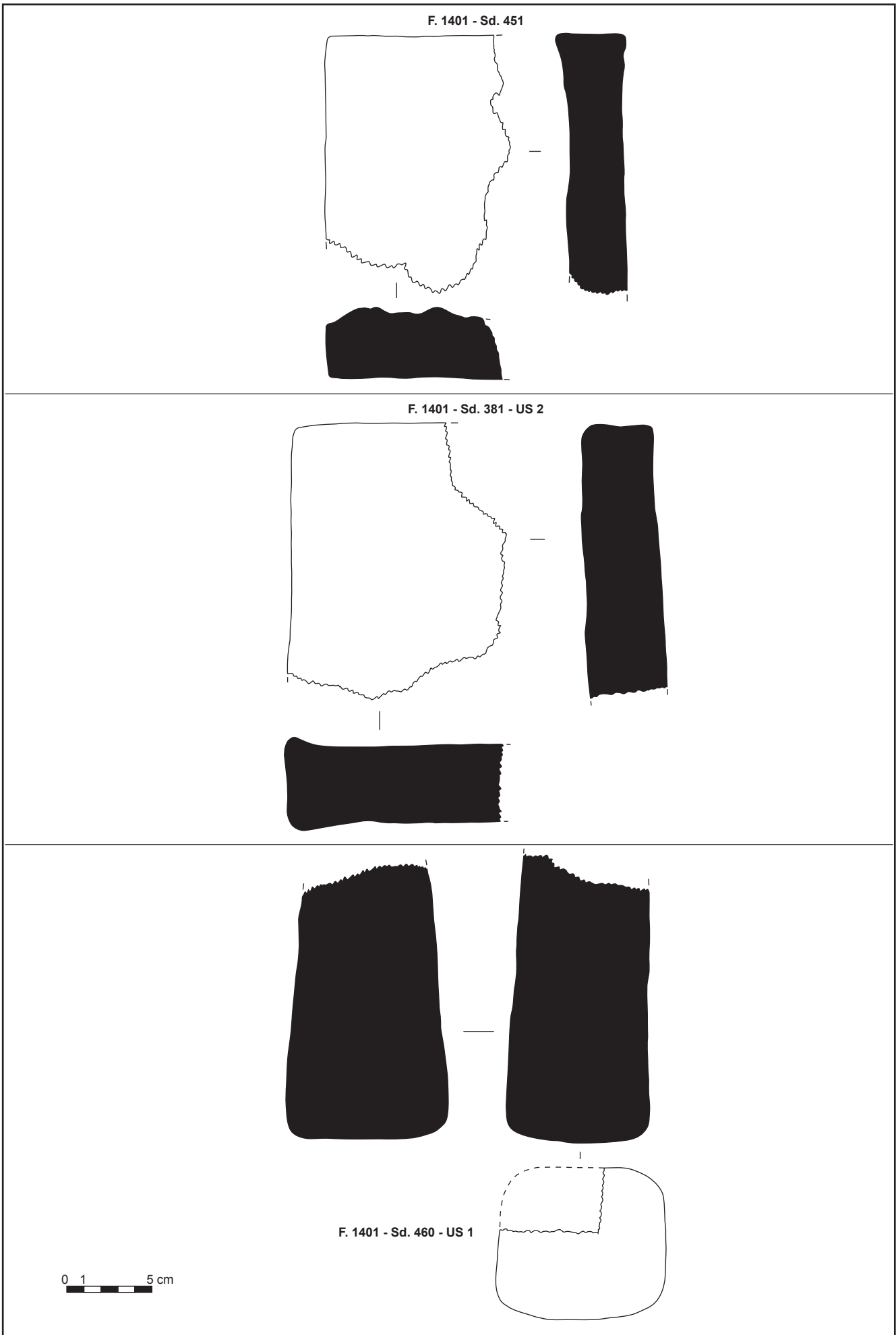
Pl. 13 : céramiques du milieu du II<sup>e</sup> siècle (132) et du I<sup>er</sup> siècle av. J.-C. © D. Gache



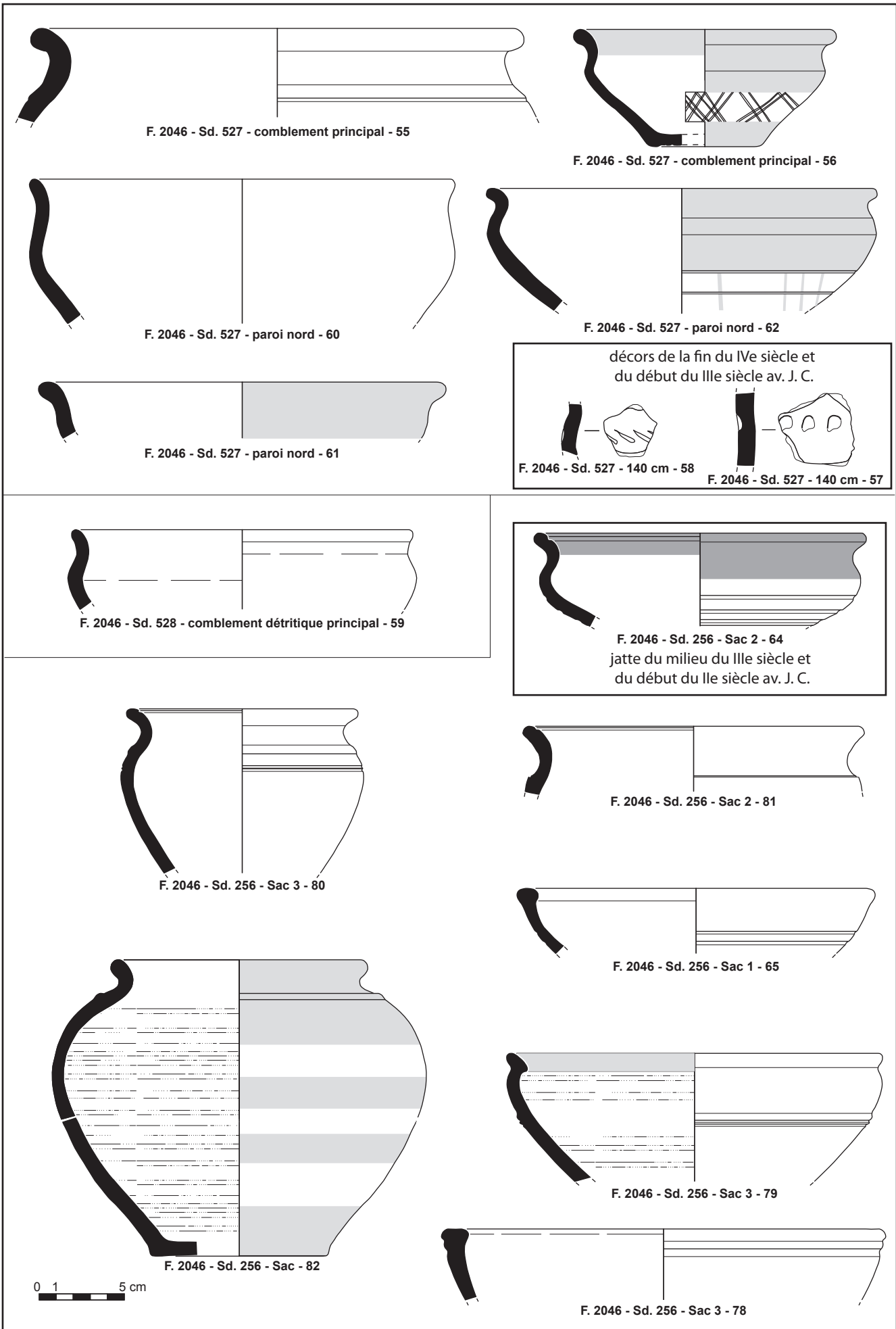
Pl. 14 : céramiques du I<sup>er</sup> siècle av. J.-C. © D. Gache

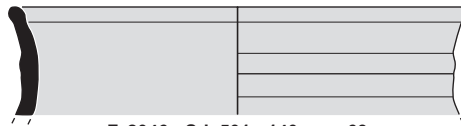


Pl. 15 : céramiques du I<sup>er</sup> siècle av. J.-C. et de la transition La Tène finale/Augustéen (161) © D. Gache

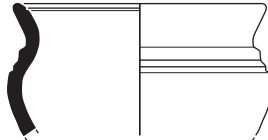


Pl. 16 : fragments de plaques foyères et de pesons de la fin de la période gauloise © D. Gache





F. 2046 - Sd. 501 - 140 cm - 63



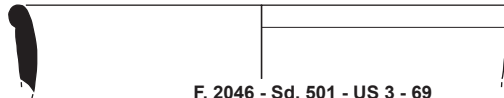
F. 2046 - Sd. 501 - US 3 - 72



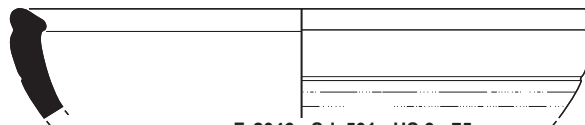
F. 2046 - Sd. 501 - US 3 - 68



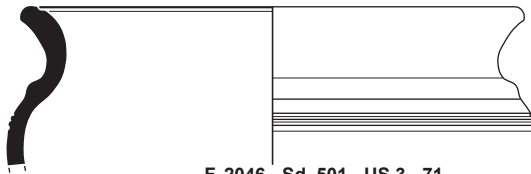
F. 2046 - Sd. 501 - US 3 - 73



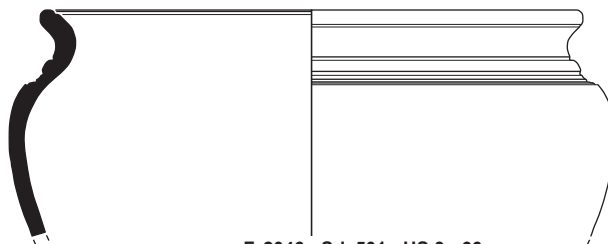
F. 2046 - Sd. 501 - US 3 - 69



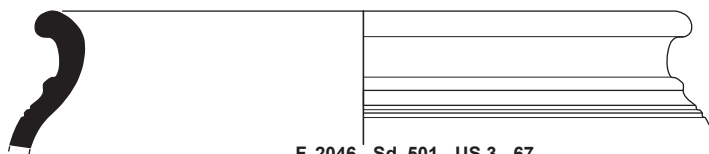
F. 2046 - Sd. 501 - US 3 - 75



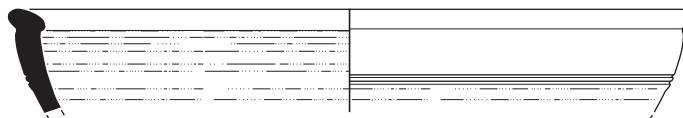
F. 2046 - Sd. 501 - US 3 - 71



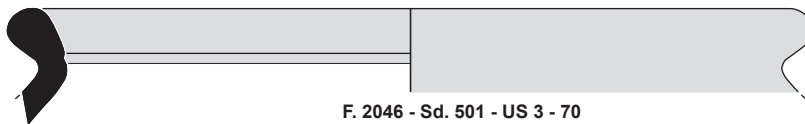
F. 2046 - Sd. 501 - US 3 - 66



F. 2046 - Sd. 501 - US 3 - 67



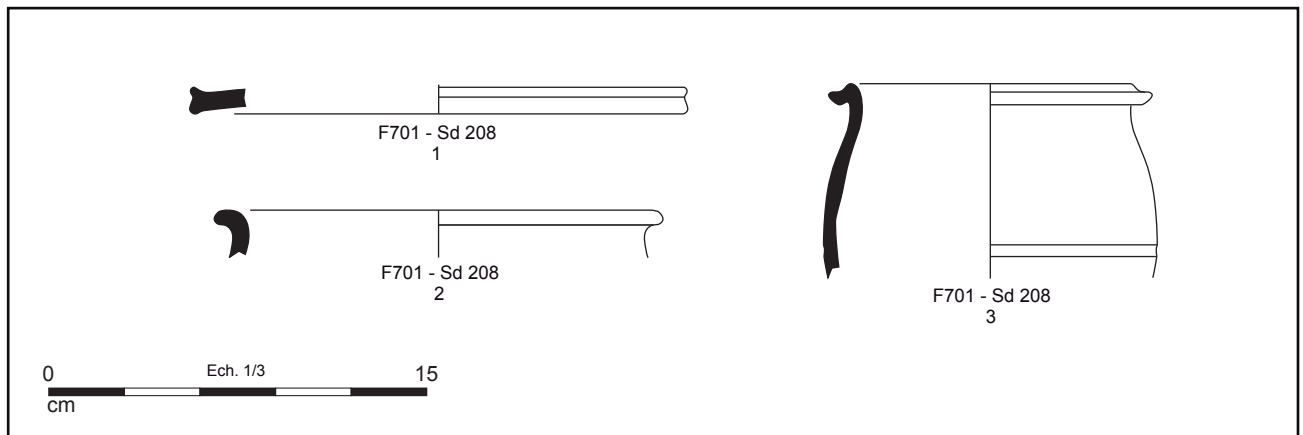
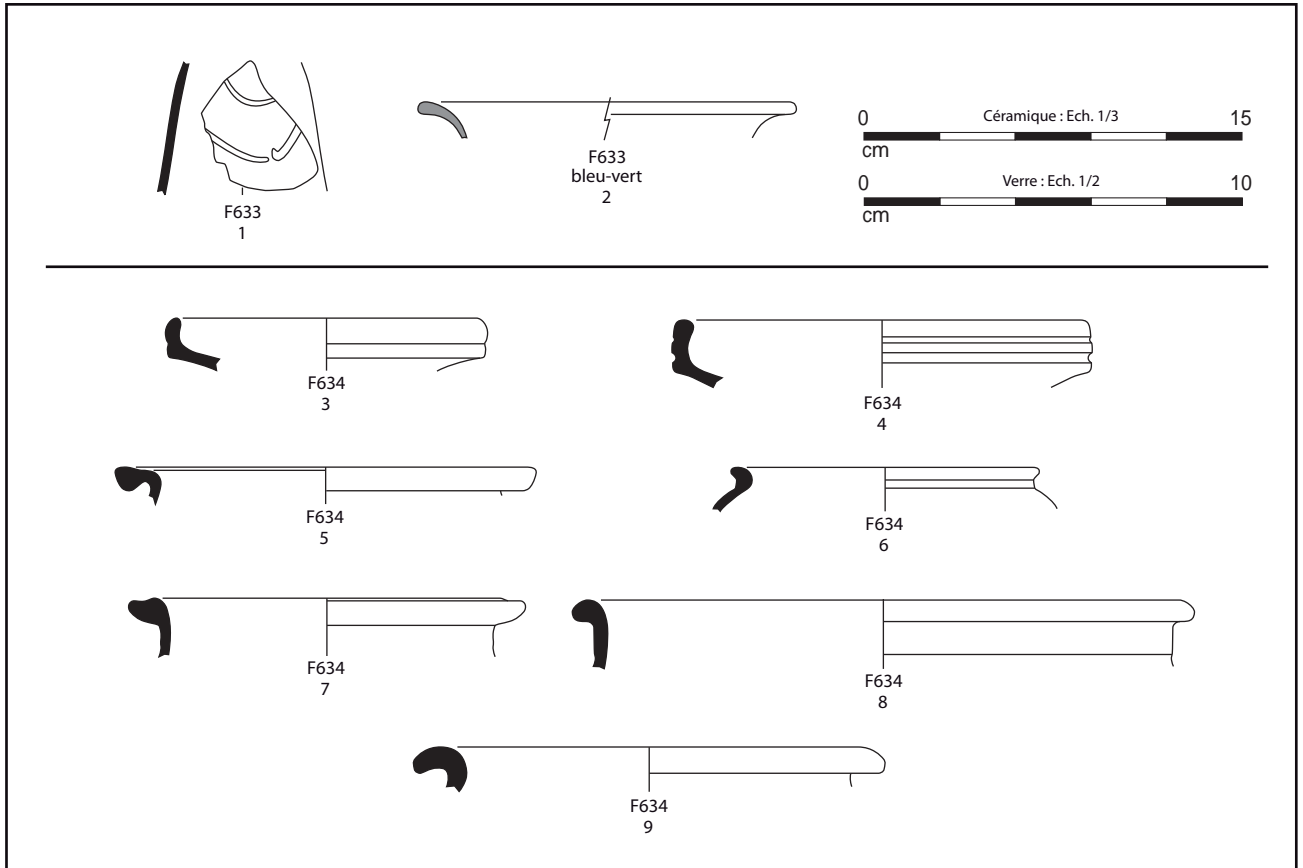
F. 2046 - Sd. 501 - US 3 - 74



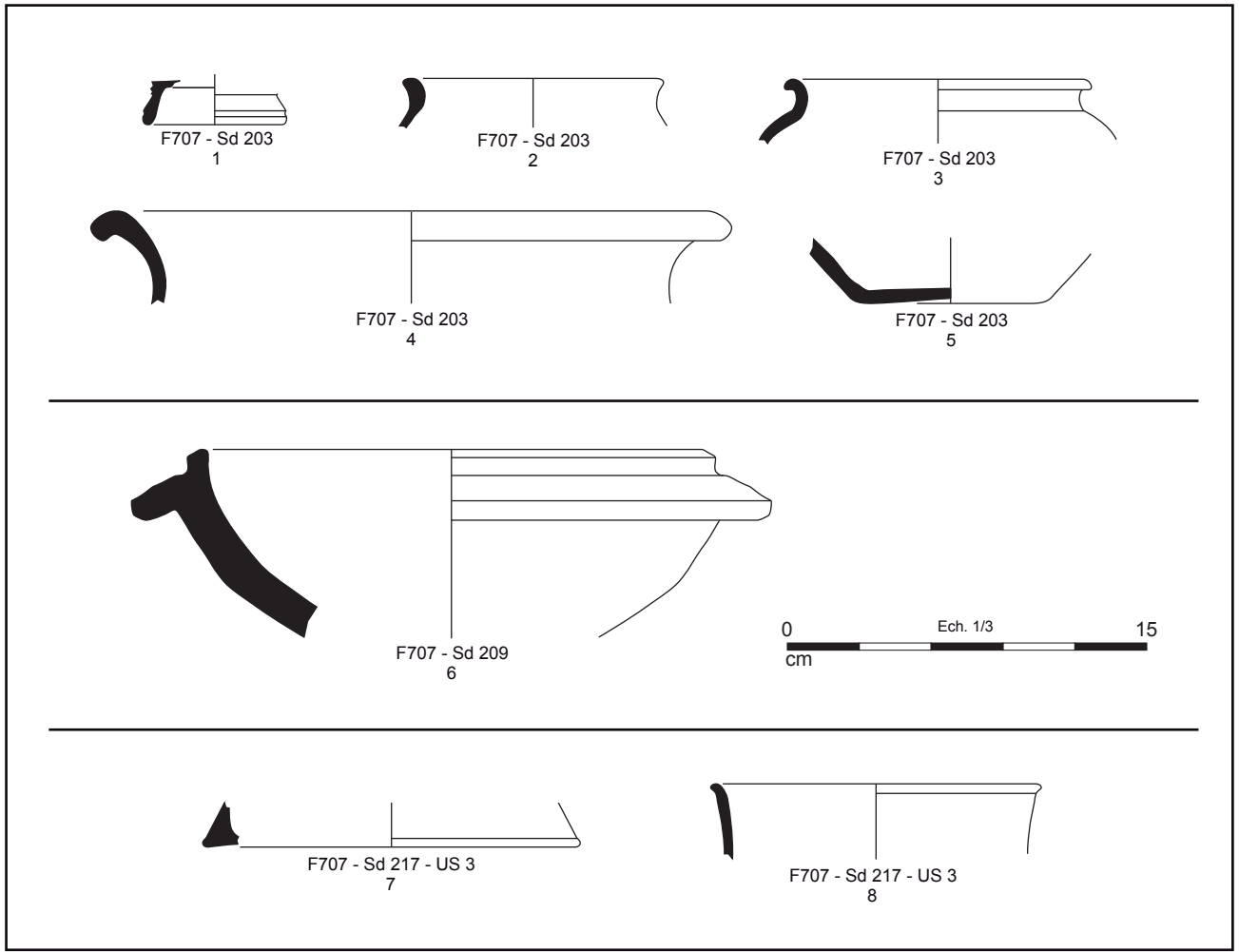
F. 2046 - Sd. 501 - US 3 - 70



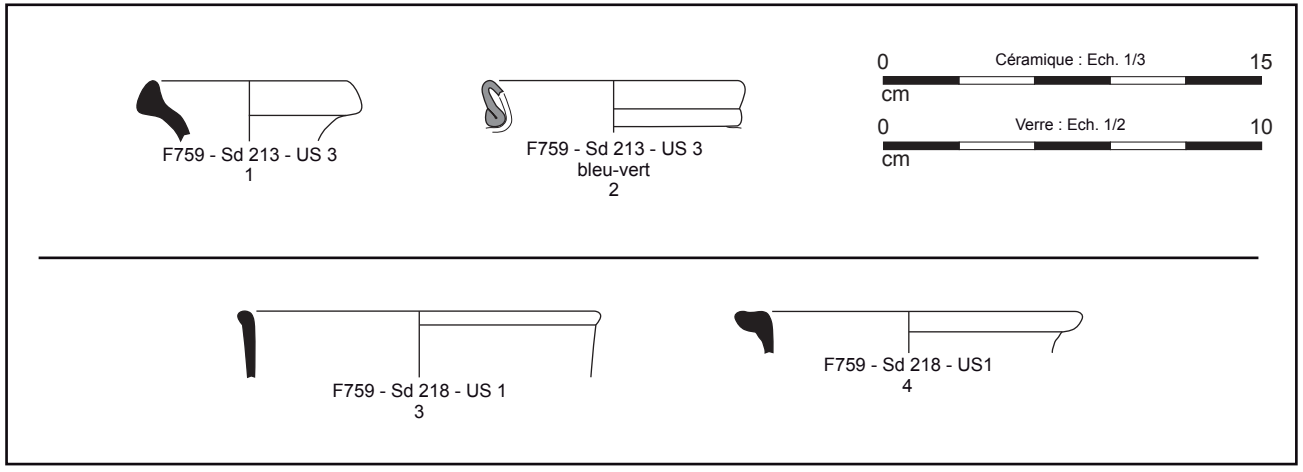
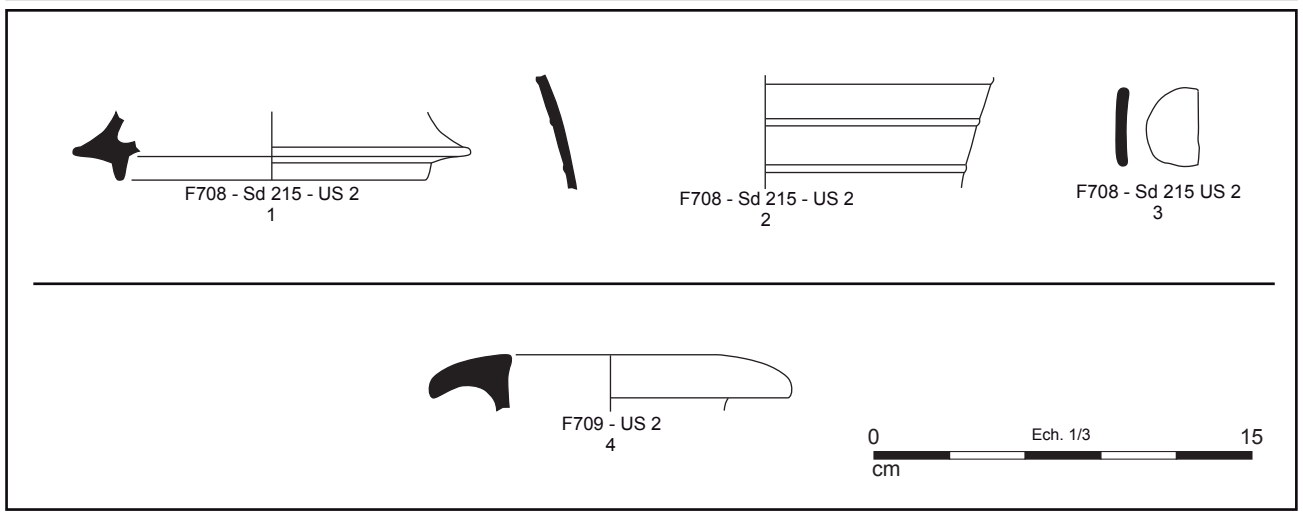




Cesson (35), La Salmontaine - Relevés et DAO L. Simon / Inrap.

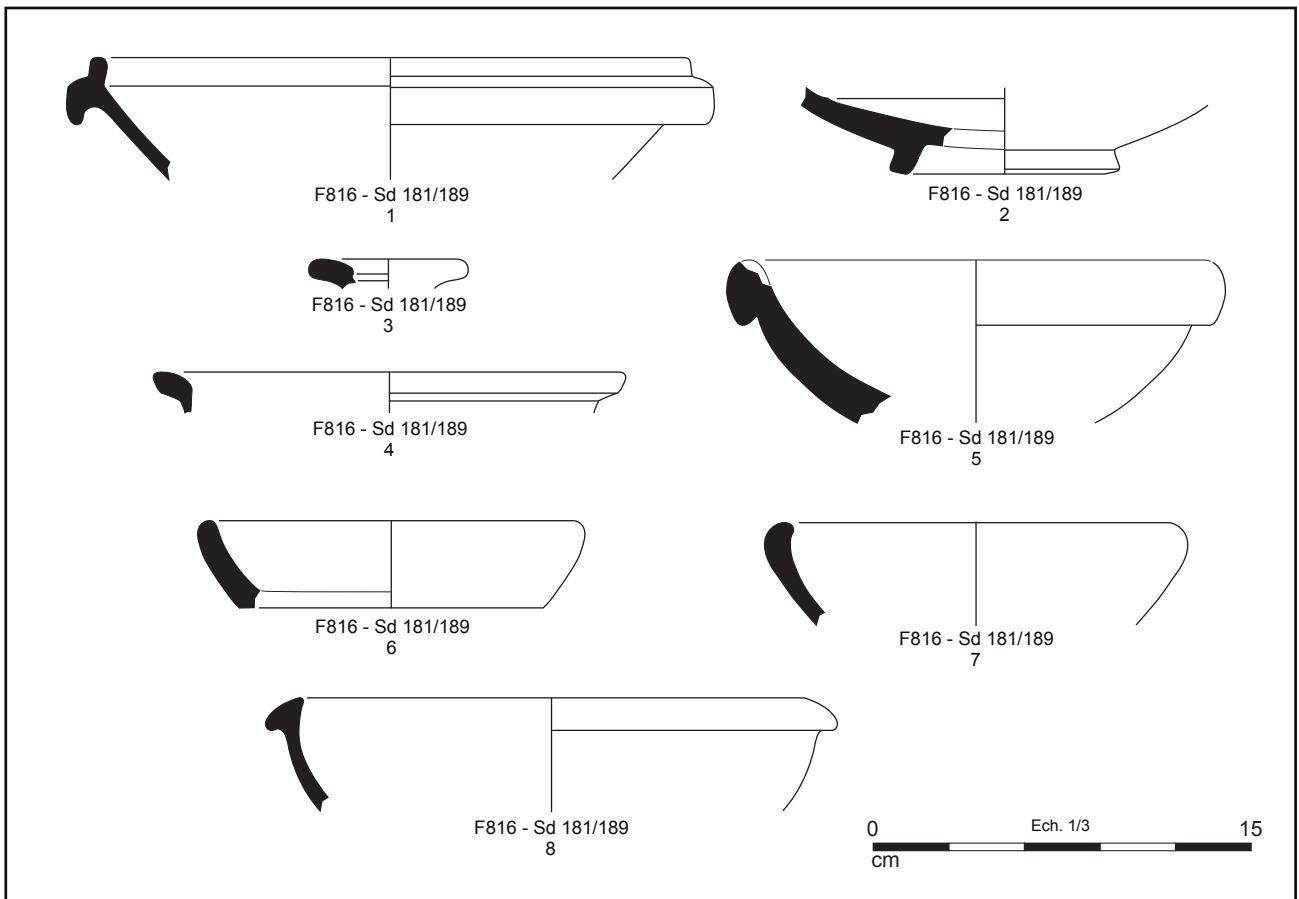


Cesson (35), La Salmontaine - Relevés et DAO L. Simon / Inrap.

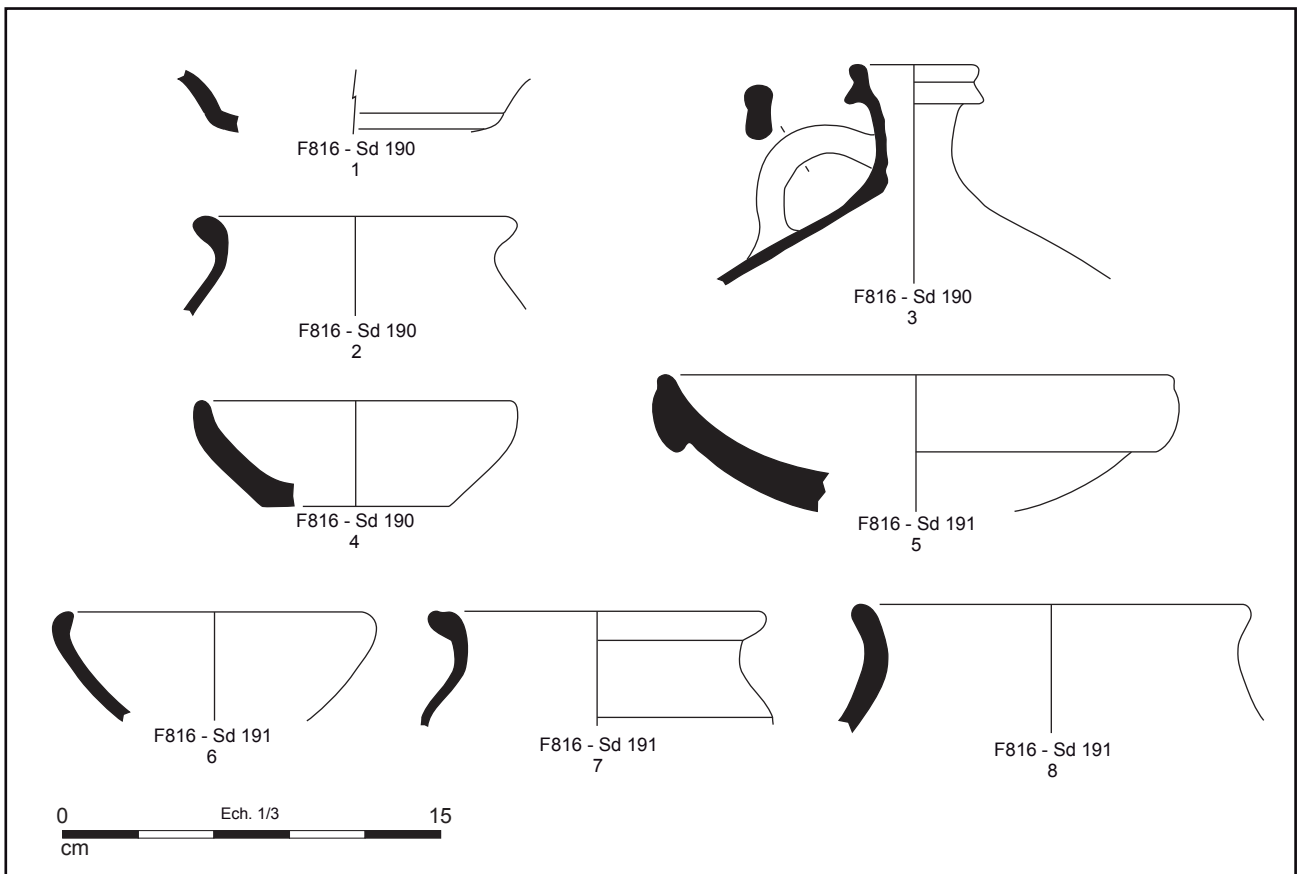


PL. 20 : mobilier céramique et verre des Faits F707, F708, F709 et F759 © Laure Simon

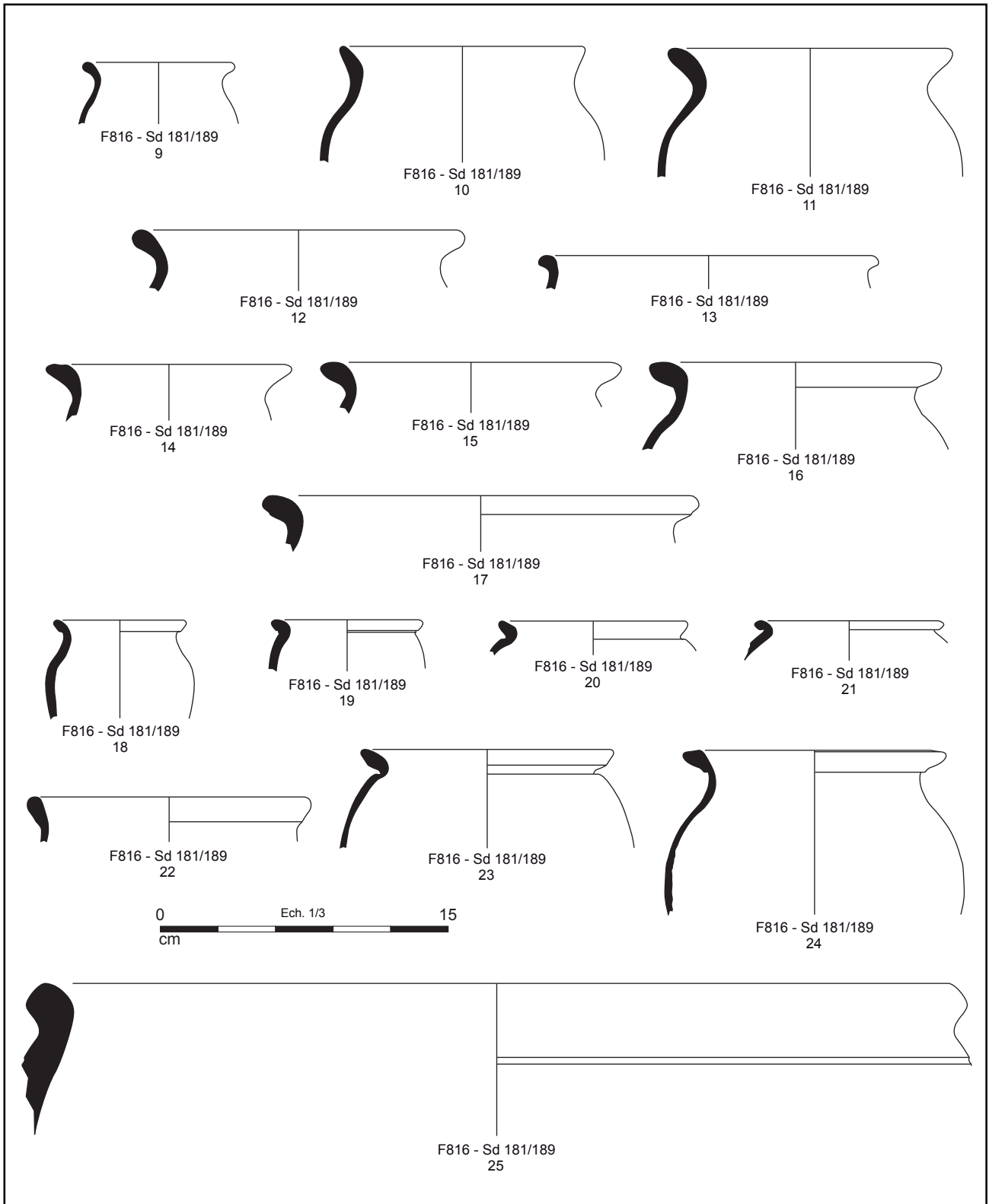
Cesson (35), La Salmontaine - Relevés et DAO L. Simon / Inrap.

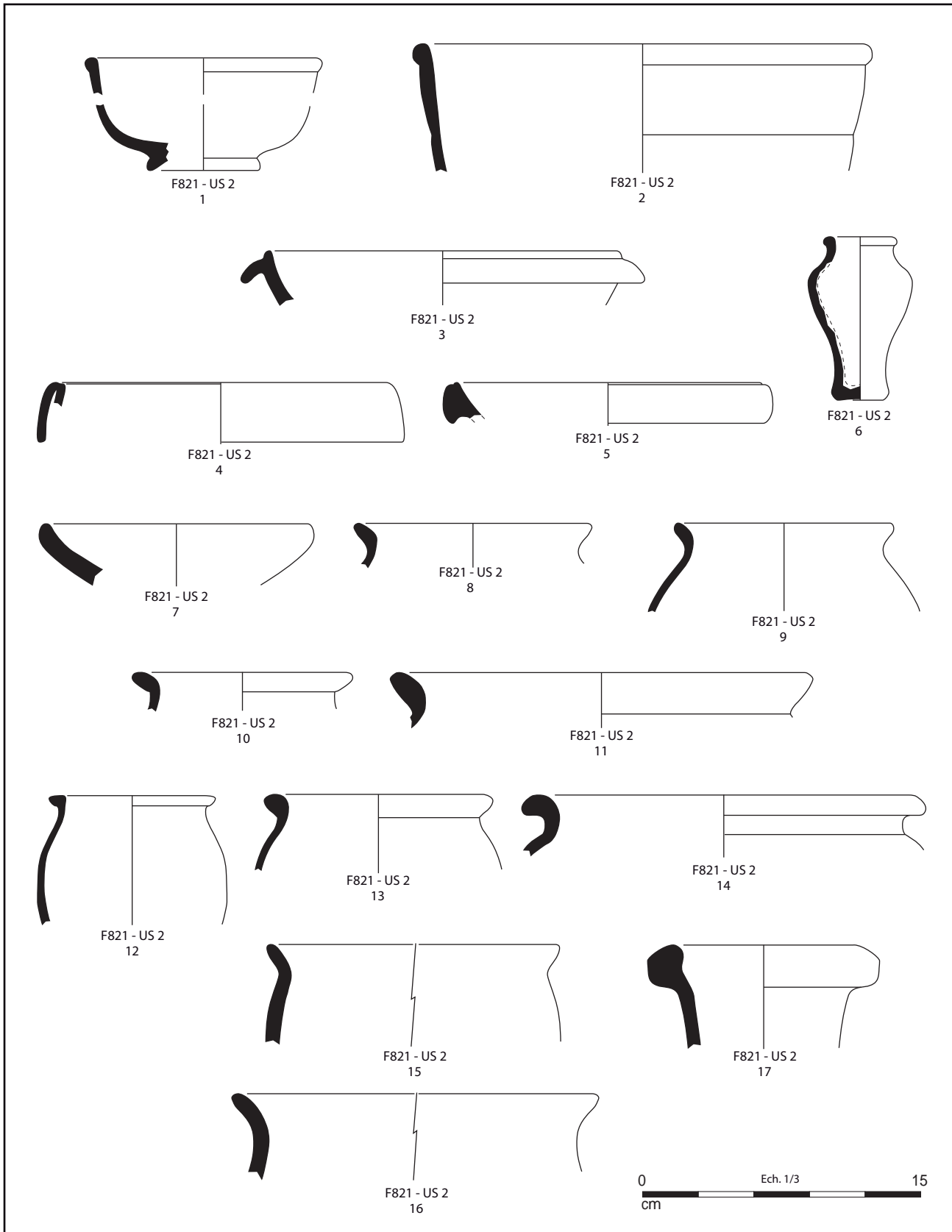


Cesson (35), La Salmontaine - Relevés et DAO L. Simon / Inrap.



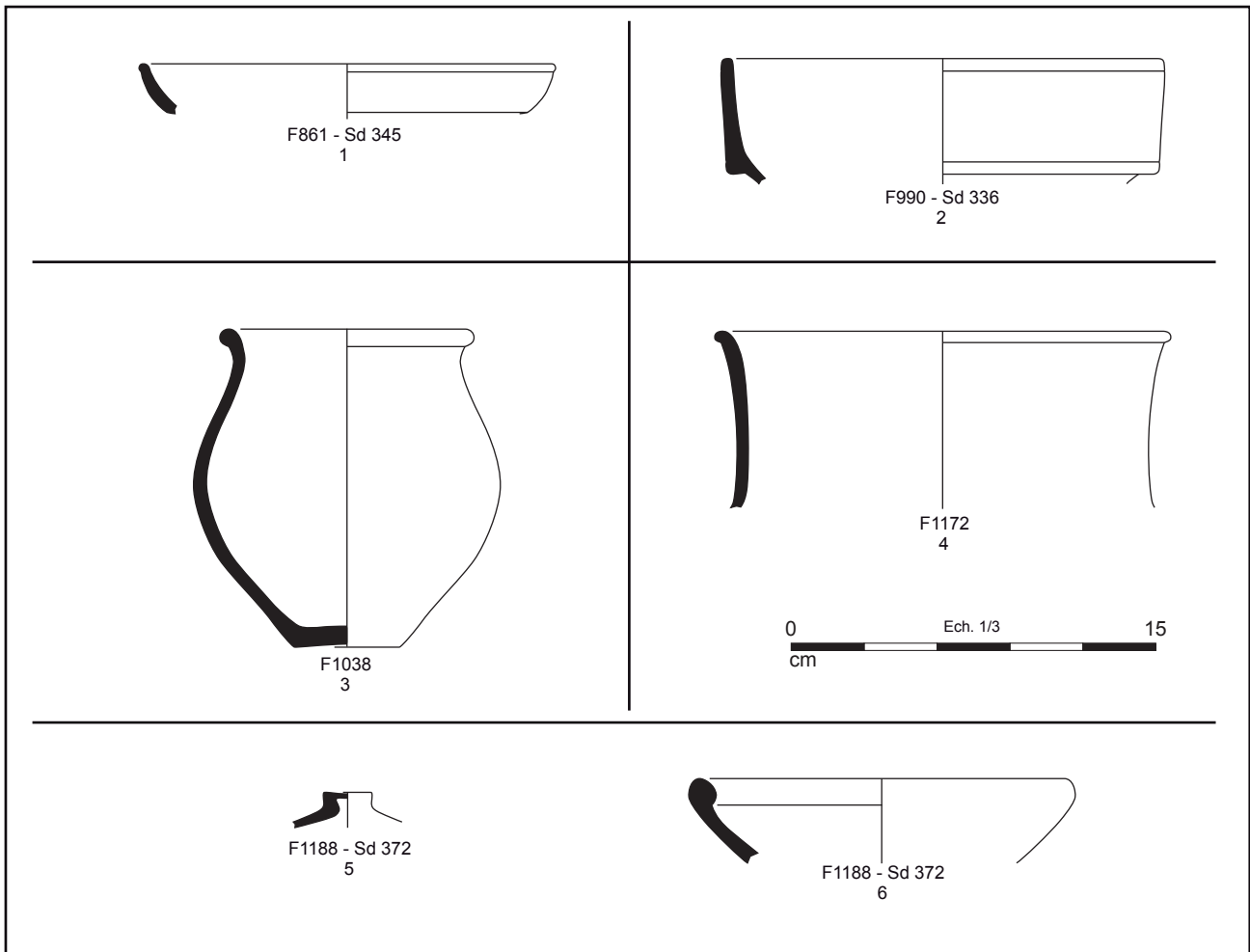
Cesson (35), La Salmontaine - Relevés et DAO L. Simon / Inrap.

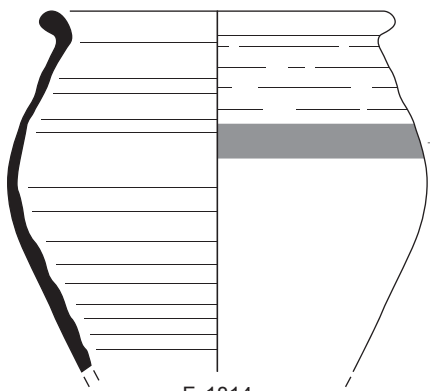




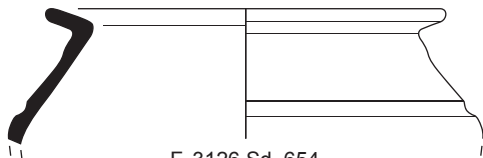
Cesson (35), La Salmontaine - Relevés et DAO L. Simon / Inrap.

Cesson (35), La Salmondière - Relevés et DAO L. Simon / Inrap.

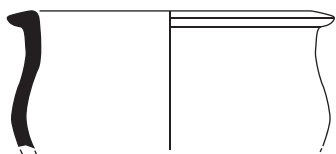




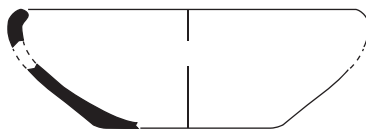
F. 1814



F. 3126 Sd. 654



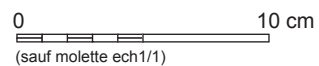
F. 2160 Sd. 93

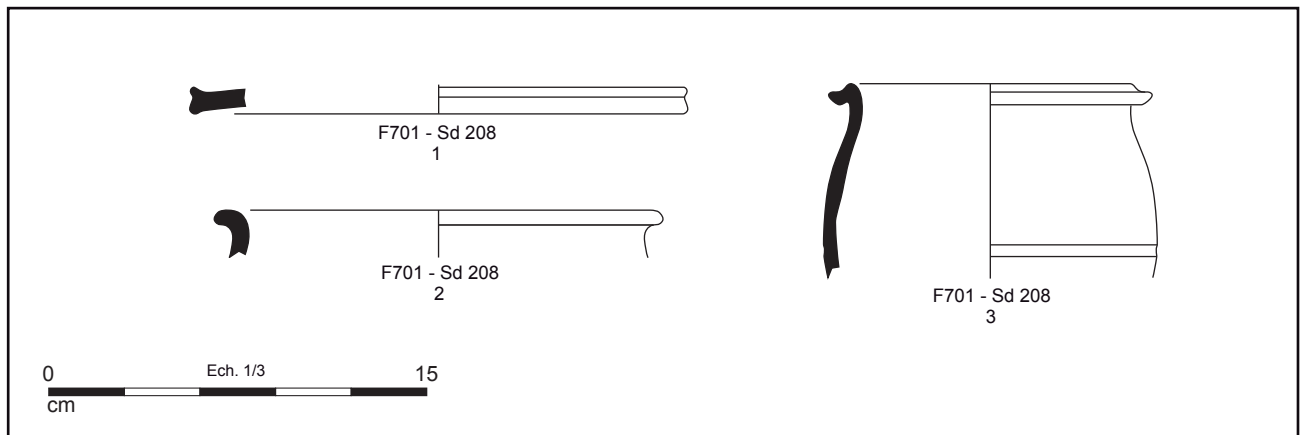
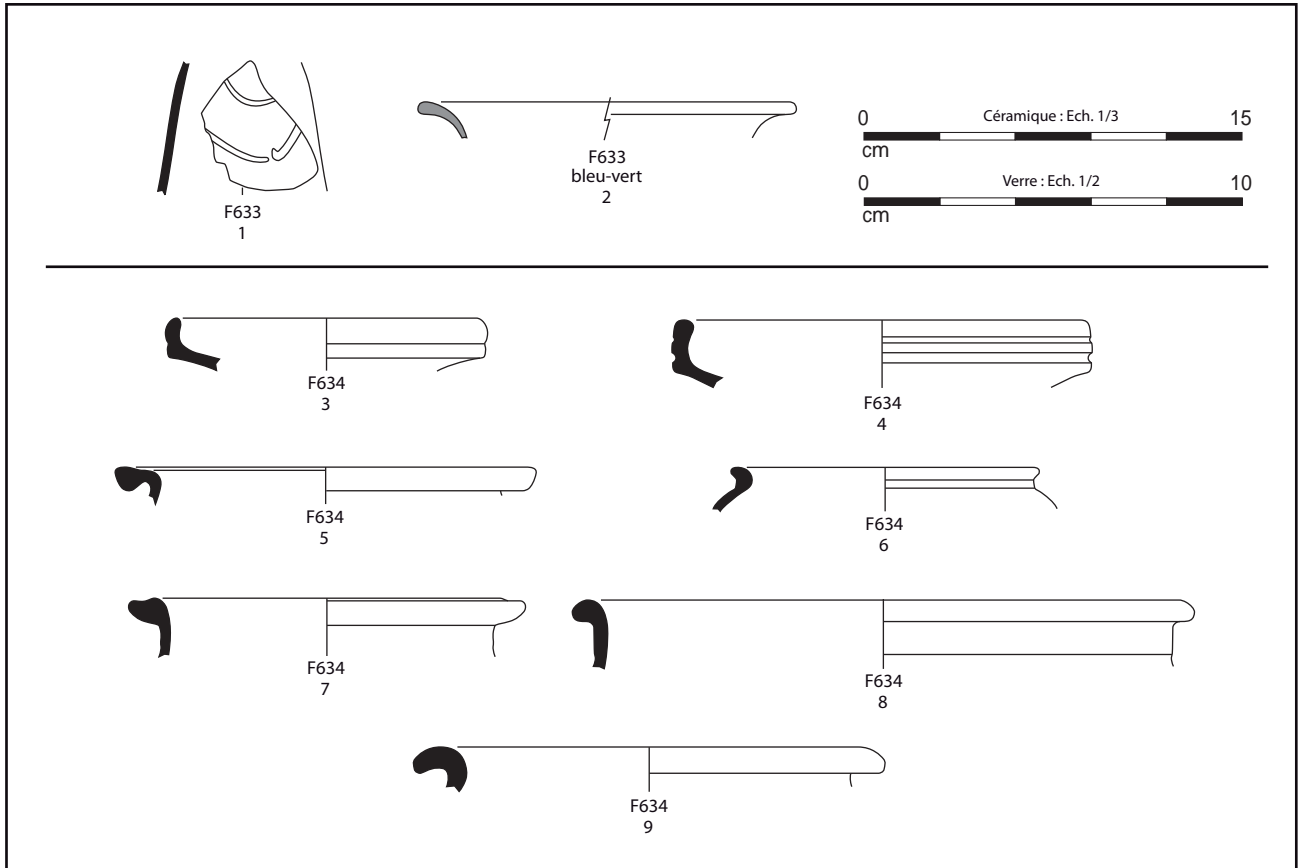


F. 624 us5



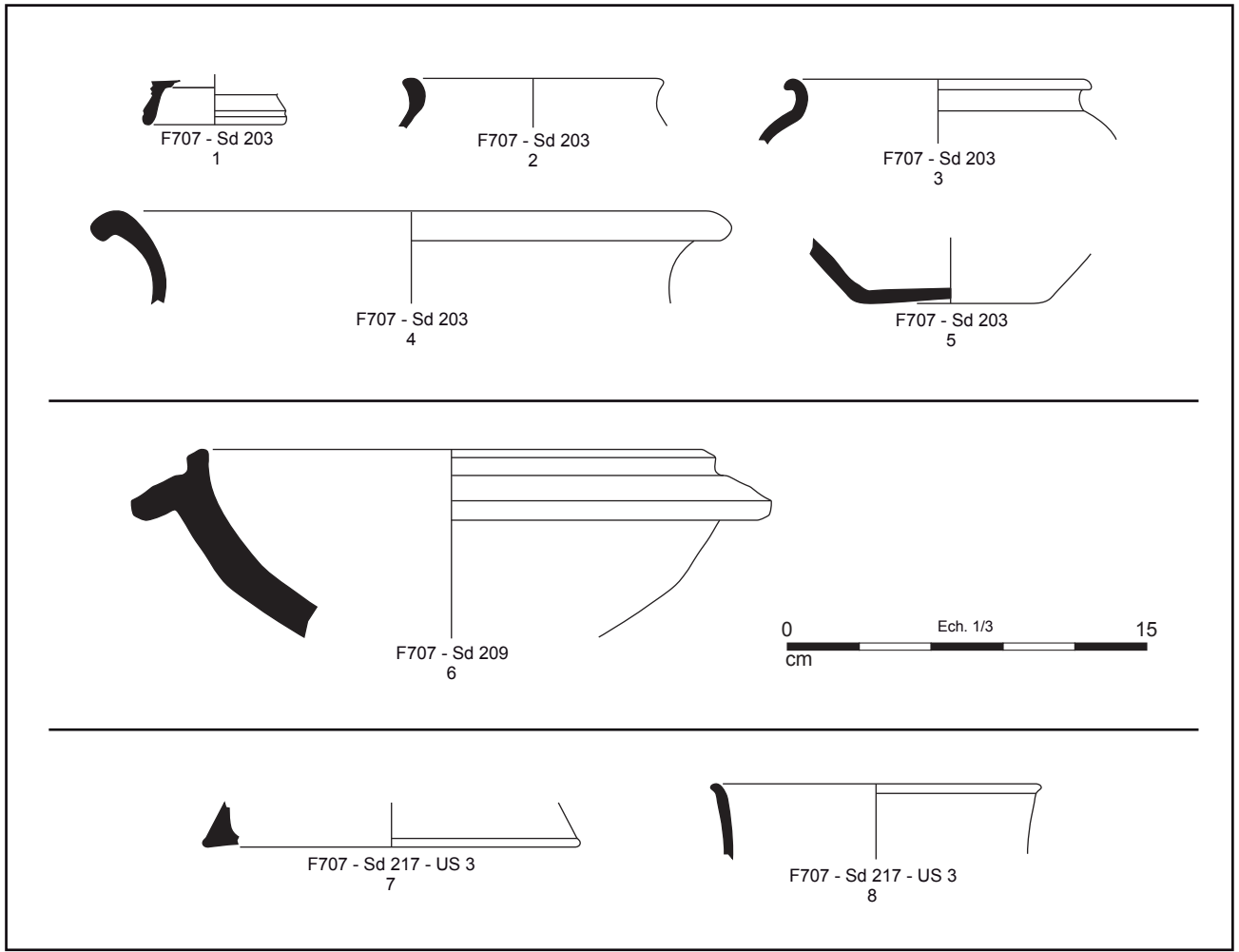
F. 522 nord



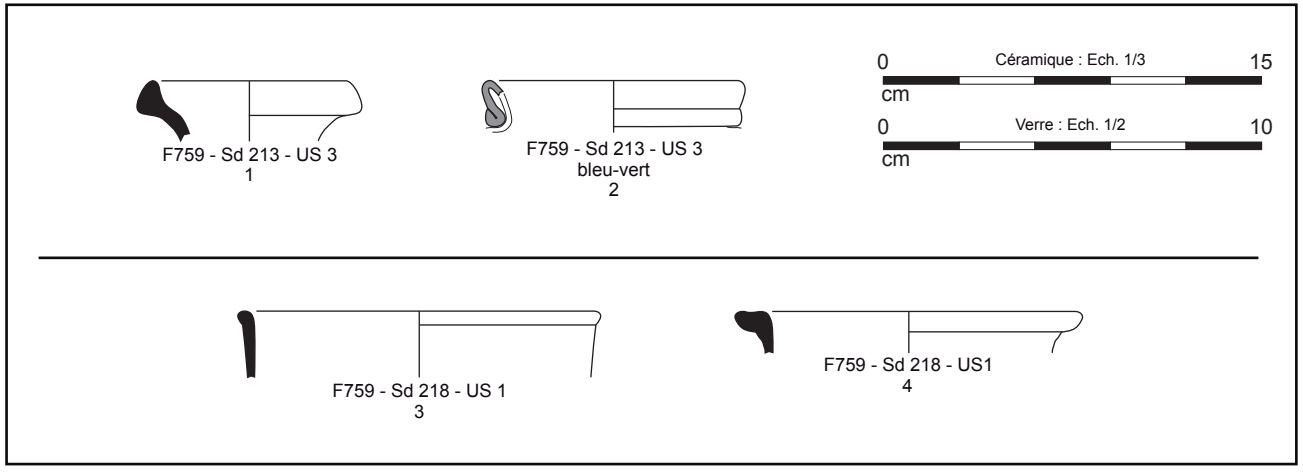
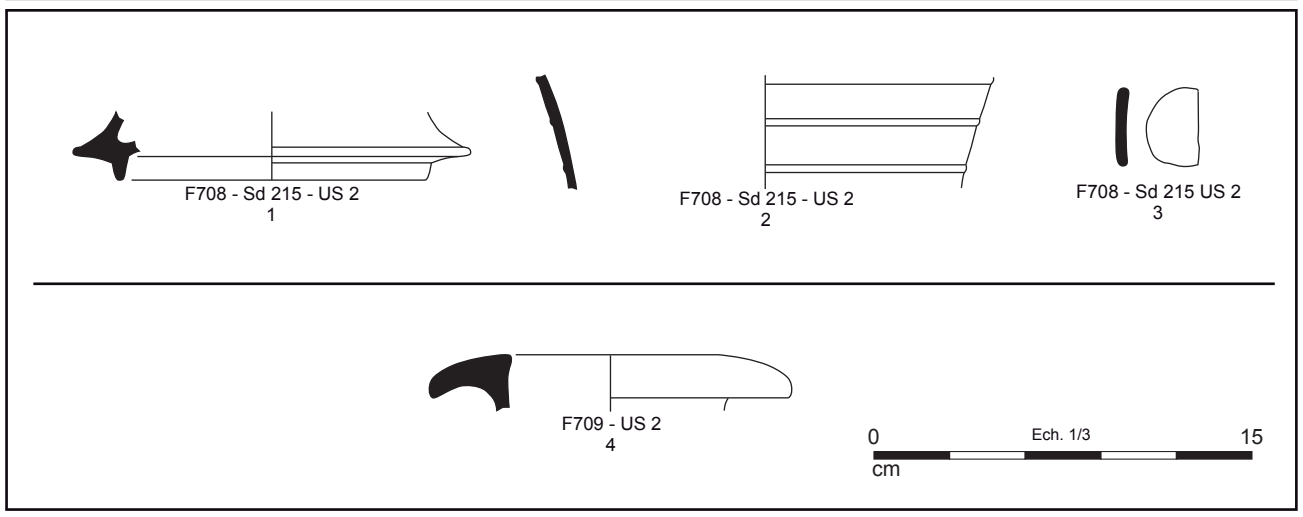




Cesson (35), La Salmontaine - Relevés et DAO L. Simon / Inrap.

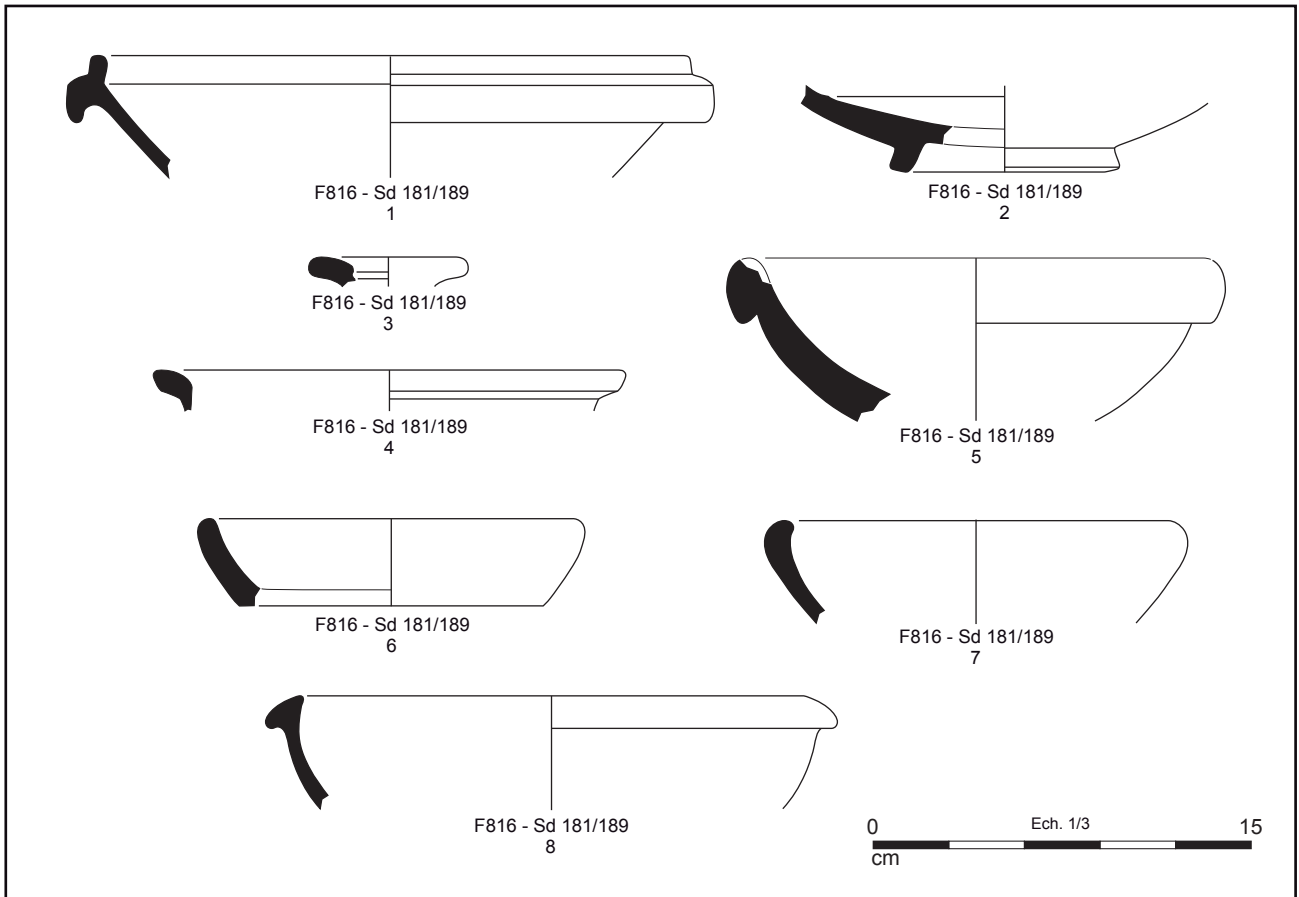


Cesson (35), La Salmontaine - Relevés et DAO L. Simon / Inrap.

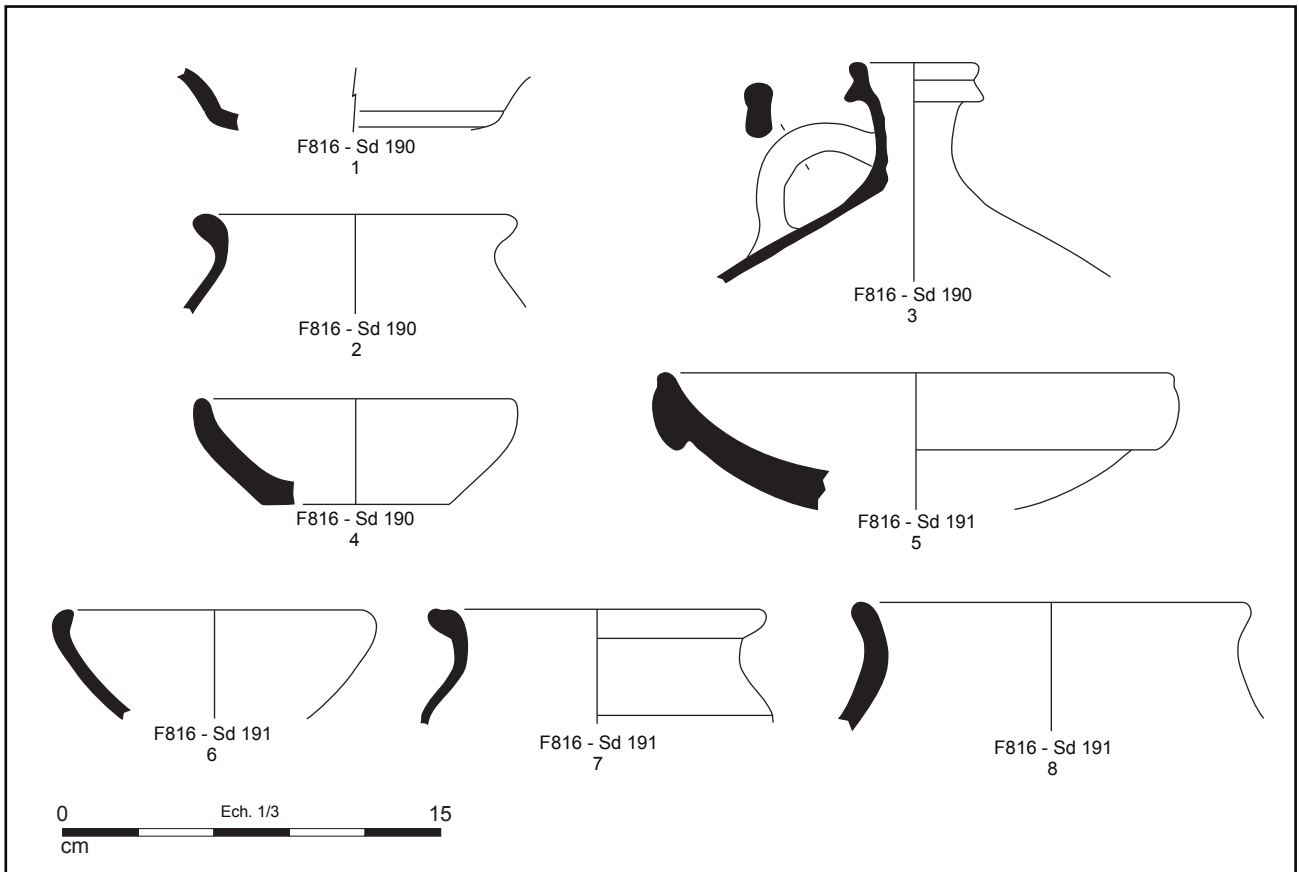


PL. 20 : mobilier céramique et verre des Faits F707, F708, F709 et F759 © Laure Simon

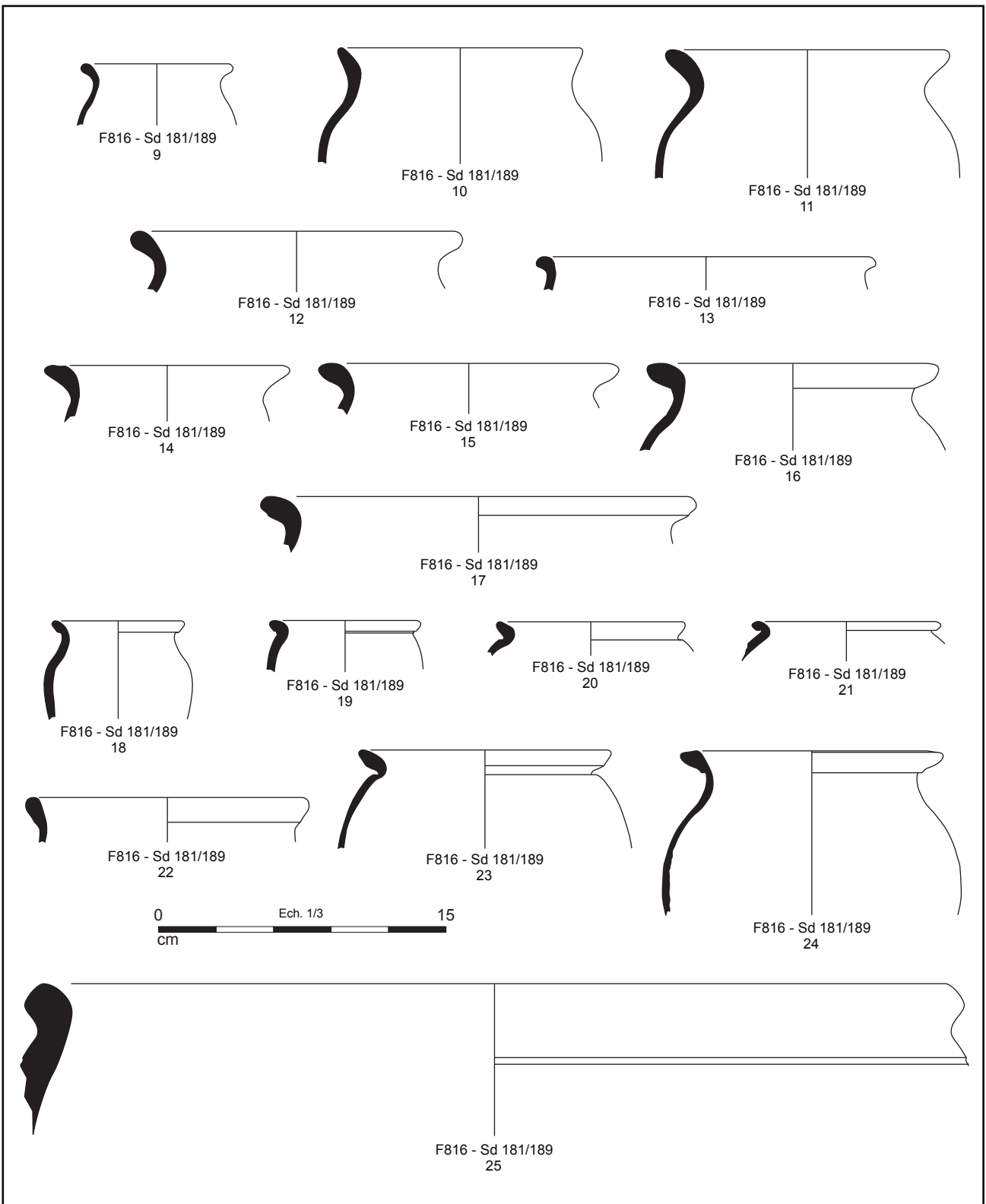
Cesson (35), La Salmondière - Relevés et DAO L. Simon / Inrap.

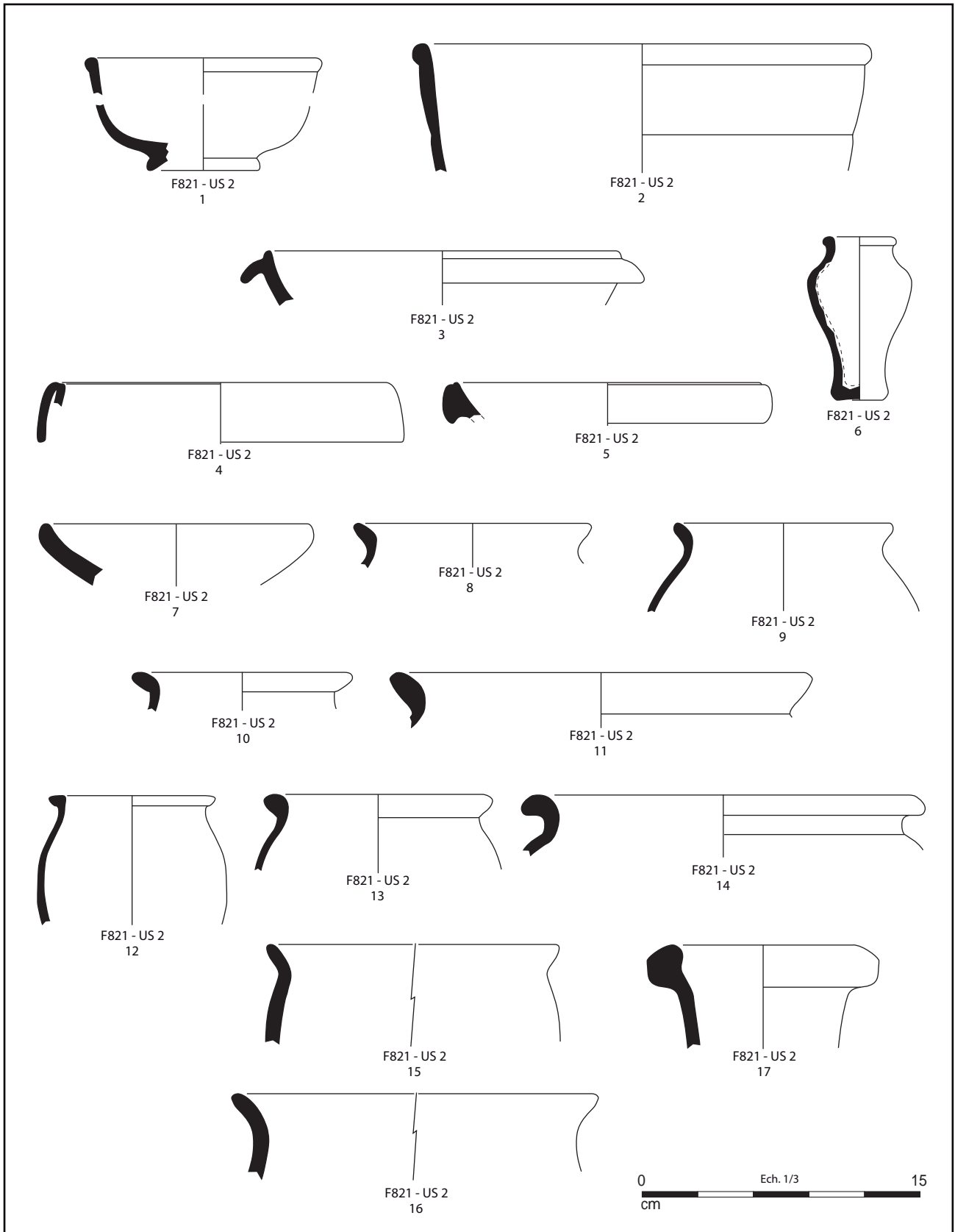


Cesson (35), La Salmondière - Relevés et DAO L. Simon / Inrap.

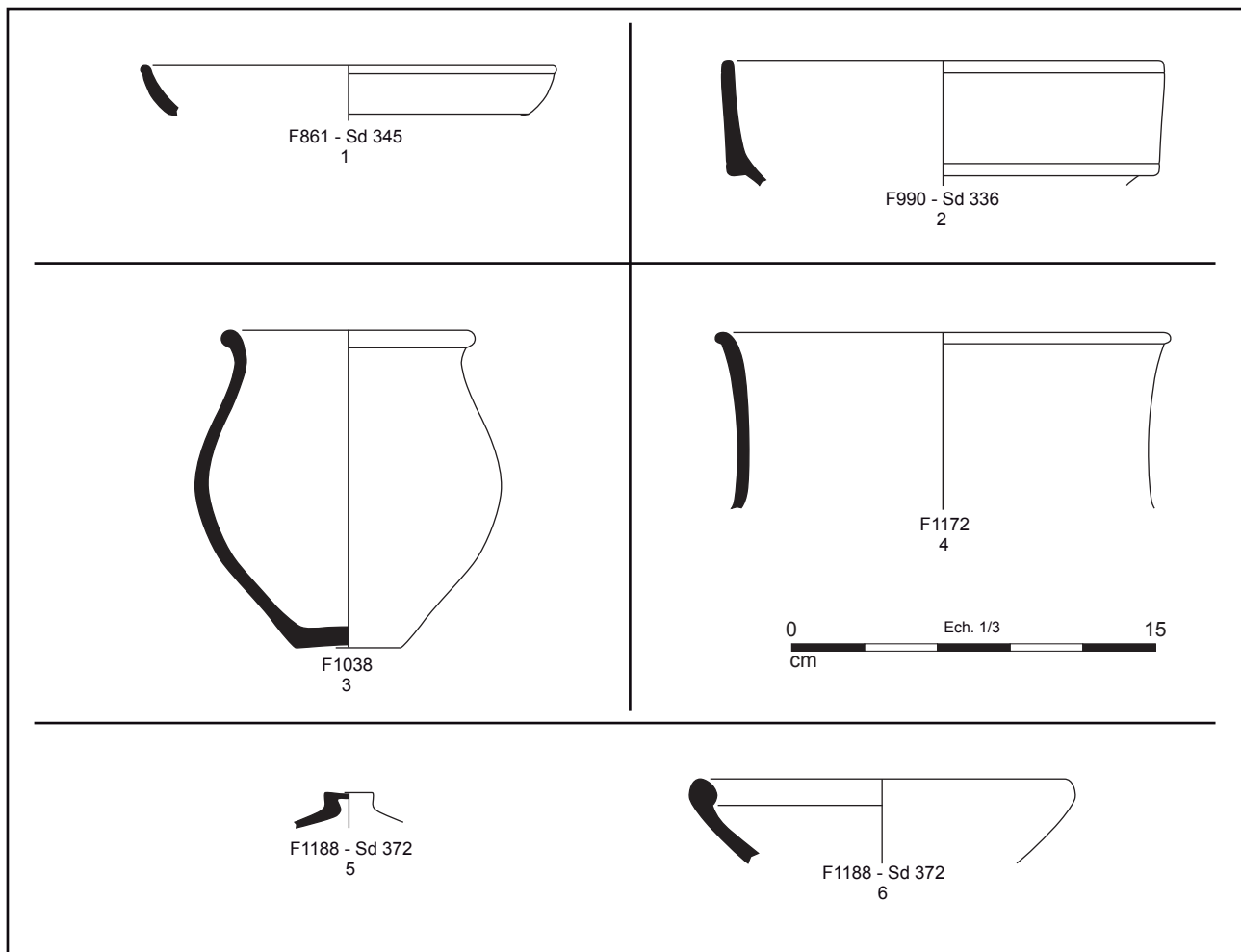


Cesson (35), La Saimondière - Relevés et DAO L. Simon / Inrap.





Cesson (35), La Salmontaine - Relevés et DAO L. Simon / Inrap.




**BETA ANALYTIC INC.**

DR. M.A. TAMERS and MR. D.G. HOOD

 4985 S.W. 74 COURT  
 MIAMI, FLORIDA, USA 33155  
 PH: 305-667-5167 FAX:305-663-0964  
 beta@radiocarbon.com

## REPORT OF RADIOCARBON DATING ANALYSES

Mr. Jean-Claude Durand

Report Date: 10/10/2013

INRAP

Material Received: 9/25/2013

Sample Data	Measured Radiocarbon Age	13C/12C Ratio	Conventional Radiocarbon Age(*)
Beta - 360237 SAMPLE : cessionsalmon 1214 ANALYSIS : RadiometricPLUS-Standard delivery MATERIAL/PRETREATMENT : (charred material): acid/alkali/acid 2 SIGMA CALIBRATION : Cal BC 90 to 80 (Cal BP 2040 to 2030) AND Cal BC 50 Cal AD 60 (Cal BP 2000 to 1890)	2000 +/- 30 BP	-24.2 o/oo	2010 +/- 30 BP
Beta - 360238 SAMPLE : cessionsalmon 1666 us 5 ANALYSIS : RadiometricPLUS-Standard delivery MATERIAL/PRETREATMENT : (charred material): acid/alkali/acid 2 SIGMA CALIBRATION : Cal BC 160 to 130 (Cal BP 2110 to 2080) AND Cal BC 110 Cal AD 20 (Cal BP 2060 to 1930)	2050 +/- 30 BP	-25.7 o/oo	2040 +/- 30 BP
Beta - 360239 SAMPLE : cessionsalmon 1666 us 5 B2 ANALYSIS : RadiometricPLUS-Standard delivery MATERIAL/PRETREATMENT : (charred material): acid/alkali/acid 2 SIGMA CALIBRATION : Cal BC 390 to 340 (Cal BP 2340 to 2290) AND Cal BC 320 to 200 (Cal BP 2270 to 2150)	2230 +/- 30 BP	-24.1 o/oo	2240 +/- 30 BP
Beta - 360240 SAMPLE : cessionsalmon 2032 ANALYSIS : RadiometricPLUS-Standard delivery MATERIAL/PRETREATMENT : (charred material): acid/alkali/acid 2 SIGMA CALIBRATION : Cal BC 350 to 300 (Cal BP 2300 to 2250) AND Cal BC 220 to 220 (Cal BP 2180 to 2170) Cal BC 210 to 90 (Cal BP 2160 to 2040) AND Cal BC 70 to 60 (Cal BP 2020 to 2010)	2120 +/- 30 BP	-23.8 o/oo	2140 +/- 30 BP

Dates are reported as RCYBP (radiocarbon years before present, "present" = AD 1950). By international convention, the modern reference standard was 95% the <sup>14</sup>C activity of the National Institute of Standards and Technology (NIST) Oxalic Acid (SRM 4990C) and calculated using the Libby <sup>14</sup>C half-life (5568 years). Quoted errors represent 1 relative standard deviation statistics (68% probability) counting errors based on the combined measurements of the sample, background, and modern reference standards. Measured <sup>13</sup>C/<sup>12</sup>C ratios (delta <sup>13</sup>C) were calculated relative to the PDB-1 standard.

The Conventional Radiocarbon Age represents the Measured Radiocarbon Age corrected for isotopic fractionation, calculated using the delta <sup>13</sup>C. On rare occasion where the Conventional Radiocarbon Age was calculated using an assumed delta <sup>13</sup>C, the ratio and the Conventional Radiocarbon Age will be followed by "\*\*\*\*". The Conventional Radiocarbon Age is not calendar calibrated. When available, the Calendar Calibrated result is calculated from the Conventional Radiocarbon Age and is listed as the "Two Sigma Calibrated Result" for each sample.

## CALIBRATION OF RADIOCARBON AGE TO CALENDAR YEARS

(Variables: C13/C12=-24.2:lab. mult=1)

**Laboratory number: Beta-360237**

**Conventional radiocarbon age: 2010±30 BP**

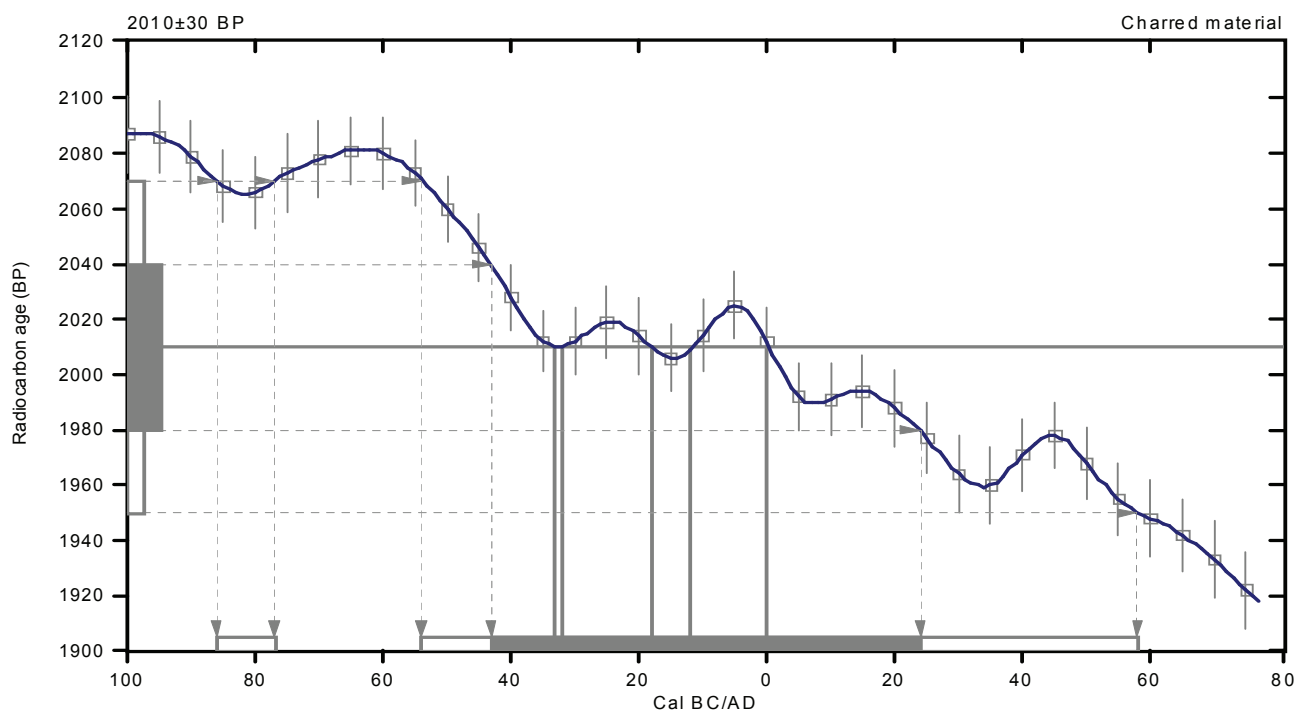
**2 Sigma calibrated results: Cal BC 90 to 80 (Cal BP 2040 to 2030) and  
(95% probability) Cal BC 50 Cal AD 60 (Cal BP 2000 to 1890)**

Intercept data

Intercepts of radiocarbon age  
with calibration curve:

Cal BC 30 (Cal BP 1980) and  
Cal BC 30 (Cal BP 1980) and  
Cal BC 20 (Cal BP 1970) and  
Cal BC 10 (Cal BP 1960) and  
Cal AD 0 (Cal BP 1950)

**1 Sigma calibrated result: Cal BC 40 Cal AD 20 (Cal BP 1990 to 1930)  
(68% probability)**



### References:

#### Database used

INTCAL09

#### References to INTCAL09 database

Heaton, et al., 2009, Radiocarbon 51(4):1151-1164, Reimer, et al., 2009, Radiocarbon 51(4):1111-1150, Stuiver, et al., 1993, Radiocarbon 35(1):1-244, Oeschger, et al., 1975, Tellus 27:168-192

#### Mathematics used for calibration scenario

A Simplified Approach to Calibrating C14 Dates

Talma, A. S., Vogel, J. C., 1993, Radiocarbon 35(2):317-322

## Beta Analytic Radiocarbon Dating Laboratory

4985 S.W. 74th Court, Miami, Florida 33155 • Tel: (305)667-5167 • Fax: (305)663-0964 • E-Mail: beta@radiocarbon.com

## CALIBRATION OF RADIOCARBON AGE TO CALENDAR YEARS

(Variables: C13/C12=-25.7:lab. mult=1)

**Laboratory number: Beta-360238**

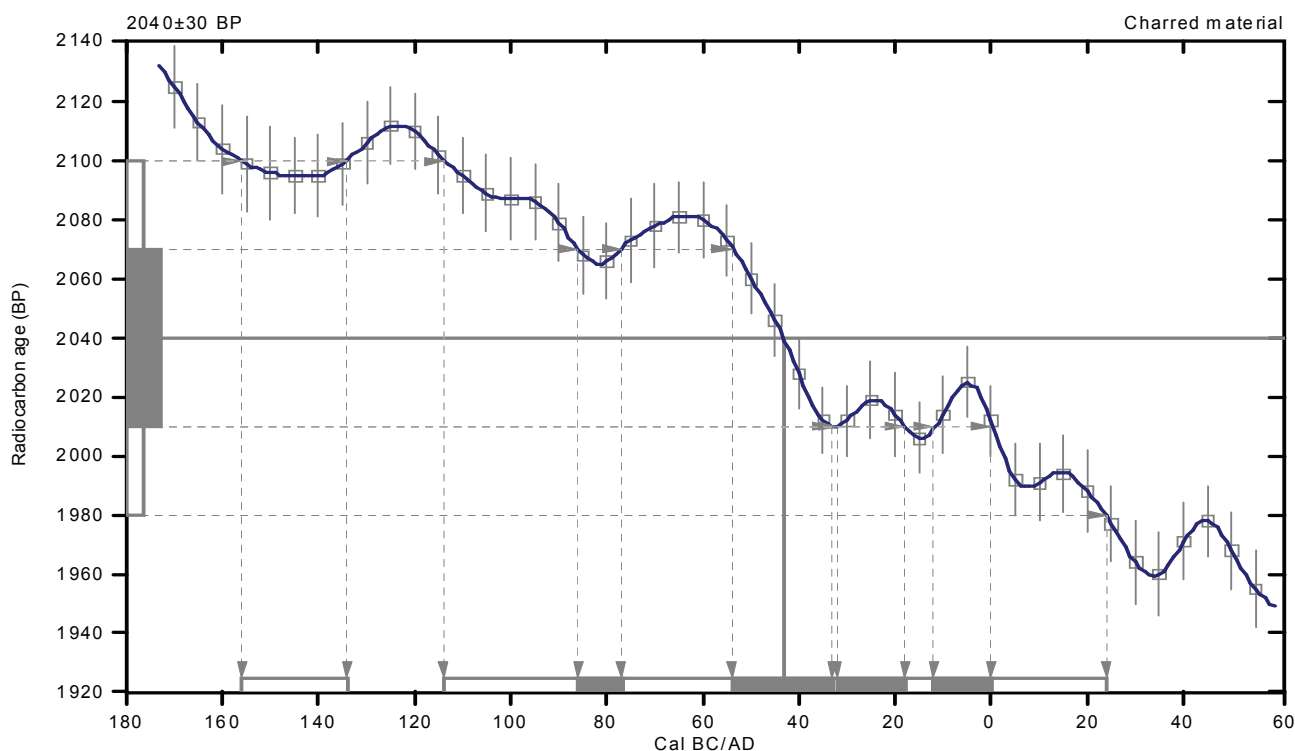
**Conventional radiocarbon age: 2040±30 BP**

**2 Sigma calibrated results: Cal BC 160 to 130 (Cal BP 2110 to 2080) and  
(95% probability) Cal BC 110 Cal AD 20 (Cal BP 2060 to 1930)**

Intercept data

Intercept of radiocarbon age  
with calibration curve: Cal BC 40 (Cal BP 1990)

1 Sigma calibrated results: Cal BC 90 to 80 (Cal BP 2040 to 2030) and  
(68% probability) Cal BC 50 to 30 (Cal BP 2000 to 1980) and  
Cal BC 30 to 20 (Cal BP 1980 to 1970) and  
Cal BC 10 Cal AD 0 (Cal BP 1960 to 1950)



### References:

#### Database used

INTCAL09

#### References to INTCAL09 database

Heaton, et al., 2009, *Radiocarbon* 51(4):1151-1164, Reimer, et al., 2009, *Radiocarbon* 51(4):1111-1150, Stuiver, et al., 1993, *Radiocarbon* 35(1):137-189, Oeschger, et al., 1975, *Tellus* 27:168-192

#### Mathematics used for calibration scenario

*A Simplified Approach to Calibrating C14 Dates*

Talma, A. S., Vogel, J. C., 1993, *Radiocarbon* 35(2):317-322

## Beta Analytic Radiocarbon Dating Laboratory

4985 S.W. 74th Court, Miami, Florida 33155 • Tel: (305)667-5167 • Fax: (305)663-0964 • E-Mail: beta@radiocarbon.com



## CALIBRATION OF RADIOCARBON AGE TO CALENDAR YEARS

(Variables: C13/C12=-24.1:lab. mult=1)

**Laboratory number: Beta-360239**

**Conventional radiocarbon age: 2240±30 BP**

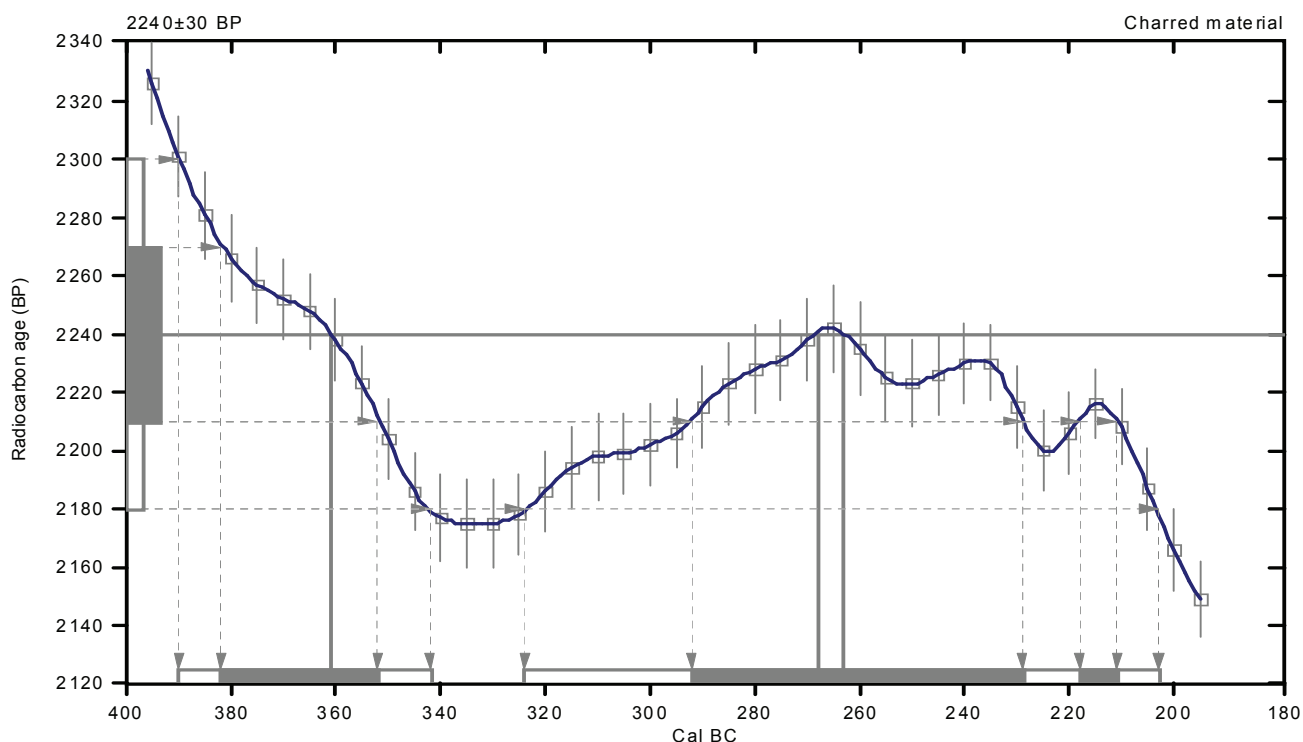
**2 Sigma calibrated results: Cal BC 390 to 340 (Cal BP 2340 to 2290) and  
(95% probability) Cal BC 320 to 200 (Cal BP 2270 to 2150)**

Intercept data

Intercepts of radiocarbon age  
with calibration curve:

Cal BC 360 (Cal BP 2310) and  
Cal BC 270 (Cal BP 2220) and  
Cal BC 260 (Cal BP 2210)

**1 Sigma calibrated results: Cal BC 380 to 350 (Cal BP 2330 to 2300) and  
(68% probability) Cal BC 290 to 230 (Cal BP 2240 to 2180) and  
Cal BC 220 to 210 (Cal BP 2170 to 2160)**



References:

**Database used**

*INTCAL09*

**References to INTCAL09 database**

*Heaton, et al., 2009, Radiocarbon 51(4):1151-1164, Reimer, et al., 2009, Radiocarbon 51(4):1111-1150, Stuiver, et al., 1993, Radiocarbon 35(1):137-189, Oeschger, et al., 1975, Tellus 27:168-192*

**Mathematics used for calibration scenario**

*A Simplified Approach to Calibrating C14 Dates*

*Talma, A. S., Vogel, J. C., 1993, Radiocarbon 35(2):317-322*

### Beta Analytic Radiocarbon Dating Laboratory

4985 S.W. 74th Court, Miami, Florida 33155 • Tel: (305)667-5167 • Fax: (305)663-0964 • E-Mail: beta@radiocarbon.com

## CALIBRATION OF RADIOCARBON AGE TO CALENDAR YEARS

(Variables: C13/C12=-23.8:lab.mult=1)

**Laboratory number: Beta-360240**

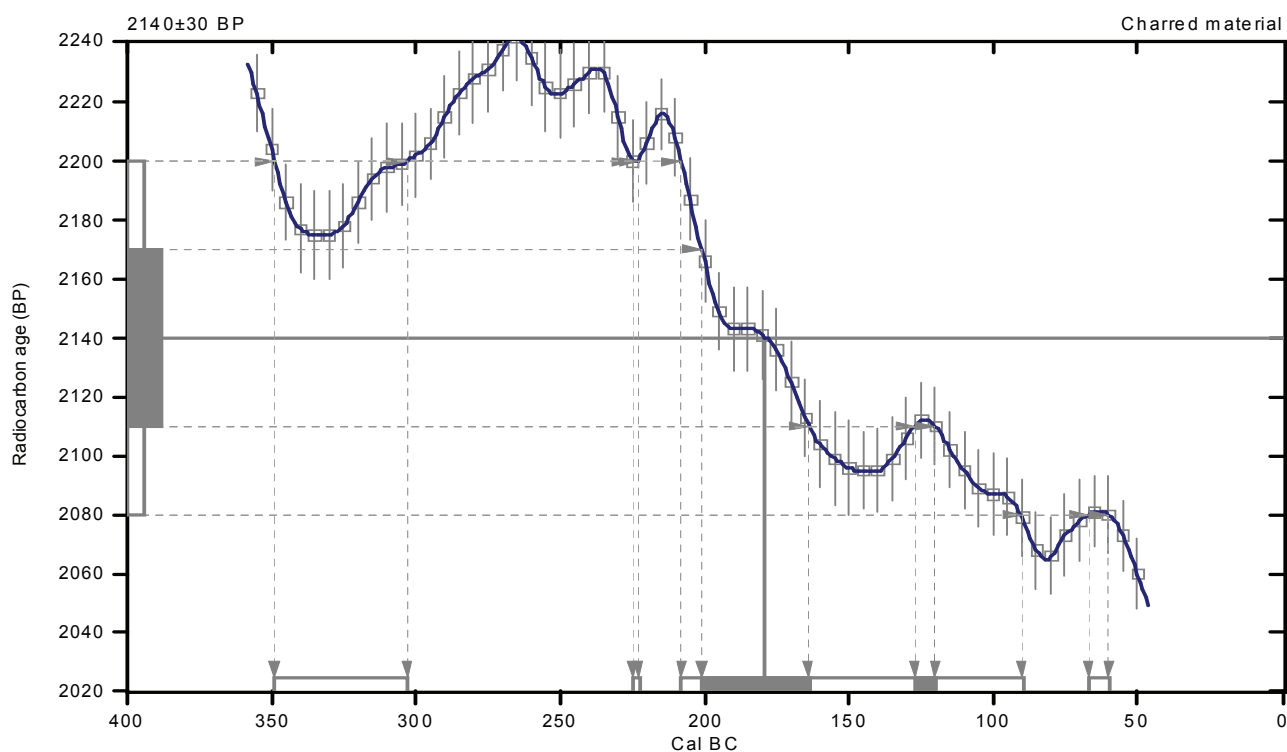
**Conventional radiocarbon age: 2140±30 BP**

**2 Sigma calibrated results: Cal BC 350 to 300 (Cal BP 2300 to 2250) and  
(95% probability) Cal BC 220 to 220 (Cal BP 2180 to 2170) and  
Cal BC 210 to 90 (Cal BP 2160 to 2040) and  
Cal BC 70 to 60 (Cal BP 2020 to 2010)**

Intercept data

Intercept of radiocarbon age  
with calibration curve: Cal BC 180 (Cal BP 2130)

1 Sigma calibrated results: Cal BC 200 to 160 (Cal BP 2150 to 2110) and  
(68% probability) Cal BC 130 to 120 (Cal BP 2080 to 2070)



### References:

#### Database used

INTCAL09

#### References to INTCAL09 database

Heaton, et al., 2009, *Radiocarbon* 51(4):1151-1164, Reimer, et al., 2009, *Radiocarbon* 51(4):1111-1150, Stuiver, et al., 1993, *Radiocarbon* 35(1):1-244, Oeschger, et al., 1975, *Tellus* 27:168-192

#### Mathematics used for calibration scenario

A Simplified Approach to Calibrating C14 Dates

Talma, A. S., Vogel, J. C., 1993, *Radiocarbon* 35(2):317-322

## Beta Analytic Radiocarbon Dating Laboratory

4985 S.W. 74th Court, Miami, Florida 33155 • Tel: (305)667-5167 • Fax: (305)663-0964 • E-Mail: beta@radiocarbon.com


**BETA ANALYTIC INC.**

DR. M.A. TAMERS and MR. D.G. HOOD

 4985 S.W. 74 COURT  
 MIAMI, FLORIDA, USA 33155  
 PH: 305-667-5167 FAX:305-663-0964  
 beta@radiocarbon.com

## REPORT OF RADIOCARBON DATING ANALYSES

Mr. Jean-Claude Durand

Report Date: 10/1/2013

INRAP

Material Received: 9/25/2013

Sample Data	Measured Radiocarbon Age	<sup>13</sup> C/ <sup>12</sup> C Ratio	Conventional Radiocarbon Age(*)
Beta - 360241 SAMPLE : cessionalmon 2307 ANALYSIS : AMS-Standard delivery MATERIAL/PRETREATMENT : (charred material): acid/alkali/acid 2 SIGMA CALIBRATION : Cal BC 1190 to 1180 (Cal BP 3140 to 3130) AND Cal BC 1160 to 1140 (Cal BP 3110 to 3090) Cal BC 1130 to 1000 (Cal BP 3080 to 2950)	2910 +/- 30 BP	-26.2 o/oo	2890 +/- 30 BP

Dates are reported as RCYBP (radiocarbon years before present, "present" = AD 1950). By international convention, the modern reference standard was 95% the <sup>14</sup>C activity of the National Institute of Standards and Technology (NIST) Oxalic Acid (SRM 4990C) and calculated using the Libby <sup>14</sup>C half-life (5568 years). Quoted errors represent 1 relative standard deviation statistics (68% probability) counting errors based on the combined measurements of the sample, background, and modern reference standards. Measured <sup>13</sup>C/<sup>12</sup>C ratios (delta <sup>13</sup>C) were calculated relative to the PDB-1 standard.

The Conventional Radiocarbon Age represents the Measured Radiocarbon Age corrected for isotopic fractionation, calculated using the delta <sup>13</sup>C. On rare occasion where the Conventional Radiocarbon Age was calculated using an assumed delta <sup>13</sup>C, the ratio and the Conventional Radiocarbon Age will be followed by "". The Conventional Radiocarbon Age is not calendar calibrated. When available, the Calendar Calibrated result is calculated from the Conventional Radiocarbon Age and is listed as the "Two Sigma Calibrated Result" for each sample.

## CALIBRATION OF RADIOCARBON AGE TO CALENDAR YEARS

(Variables: C13/C12=-26.2:lab.mult=1)

**Laboratory number: Beta-360241**

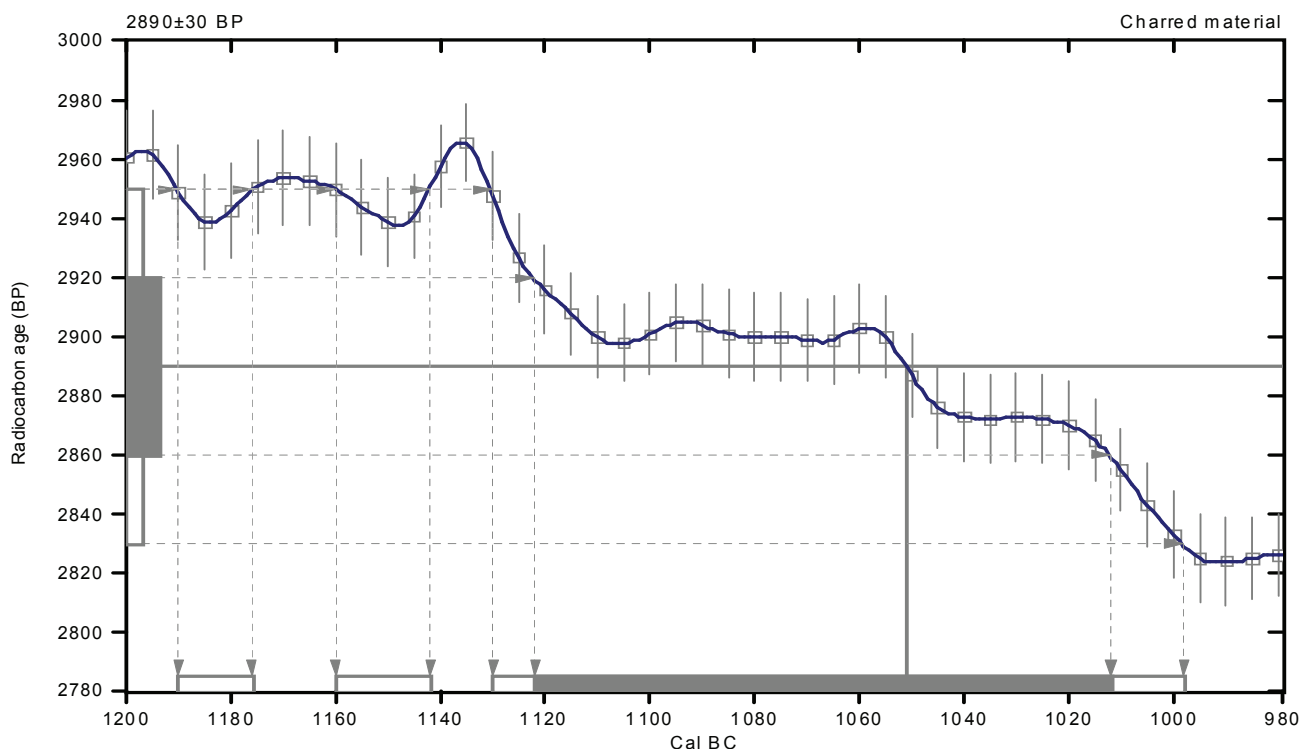
**Conventional radiocarbon age: 2890±30 BP**

**2 Sigma calibrated results: Cal BC 1190 to 1180 (Cal BP 3140 to 3130) and  
(95% probability) Cal BC 1160 to 1140 (Cal BP 3110 to 3090) and  
Cal BC 1130 to 1000 (Cal BP 3080 to 2950)**

Intercept data

Intercept of radiocarbon age  
with calibration curve: Cal BC 1050 (Cal BP 3000)

1 Sigma calibrated result: Cal BC 1120 to 1010 (Cal BP 3070 to 2960)  
(68% probability)



### References:

#### Database used

INTCAL09

#### References to INTCAL09 database

Heaton, et al., 2009, Radiocarbon 51(4):1151-1164, Reimer, et al., 2009, Radiocarbon 51(4):1111-1150, Stuiver, et al., 1993, Radiocarbon 35(1):1-244, Oeschger, et al., 1975, Tellus 27:168-192

#### Mathematics used for calibration scenario

A Simplified Approach to Calibrating C14 Dates

Talma, A. S., Vogel, J. C., 1993, Radiocarbon 35(2):317-322

## Beta Analytic Radiocarbon Dating Laboratory

4985 S.W. 74th Court, Miami, Florida 33155 • Tel: (305)667-5167 • Fax: (305)663-0964 • E-Mail: beta@radiocarbon.com


**BETA ANALYTIC INC.**

DR. M.A. TAMERS and MR. D.G. HOOD

 4985 S.W. 74 COURT  
 MIAMI, FLORIDA, USA 33155  
 PH: 305-667-5167 FAX:305-663-0964  
 beta@radiocarbon.com

## REPORT OF RADIOCARBON DATING ANALYSES

Mr. Jean-Claude Durand

Report Date: 12/16/2013

INRAP

Material Received: 12/5/2013

Sample Data	Measured Radiocarbon Age	$^{13}\text{C}/^{12}\text{C}$ Ratio	Conventional Radiocarbon Age(*)
Beta - 366837 SAMPLE : cessionsalmon 2051 ANALYSIS : AMS-Standard delivery MATERIAL/PRETREATMENT : (potsherd residue): acid/alkali/acid 2 SIGMA CALIBRATION : Cal BC 920 to 810 (Cal BP 2870 to 2760)	2820 +/- 30 BP	-31.0 o/oo	2720 +/- 30 BP

Dates are reported as RCYBP (radiocarbon years before present, "present" = AD 1950). By international convention, the modern reference standard was 95% the  $^{14}\text{C}$  activity of the National Institute of Standards and Technology (NIST) Oxalic Acid (SRM 4990C) and calculated using the Libby  $^{14}\text{C}$  half-life (5568 years). Quoted errors represent 1 relative standard deviation statistics (68% probability) counting errors based on the combined measurements of the sample, background, and modern reference standards. Measured  $^{13}\text{C}/^{12}\text{C}$  ratios ( $\delta^{13}\text{C}$ ) were calculated relative to the PDB-1 standard.

The Conventional Radiocarbon Age represents the Measured Radiocarbon Age corrected for isotopic fractionation, calculated using the  $\delta^{13}\text{C}$ . On rare occasion where the Conventional Radiocarbon Age was calculated using an assumed  $\delta^{13}\text{C}$ , the ratio and the Conventional Radiocarbon Age will be followed by "\*\*\*\*". The Conventional Radiocarbon Age is not calendar calibrated. When available, the Calendar Calibrated result is calculated from the Conventional Radiocarbon Age and is listed as the "Two Sigma Calibrated Result" for each sample.

## CALIBRATION OF RADIOCARBON AGE TO CALENDAR YEARS

(Variables: C13/C12=-31:lab. mult=1)

**Laboratory number: Beta-366837**

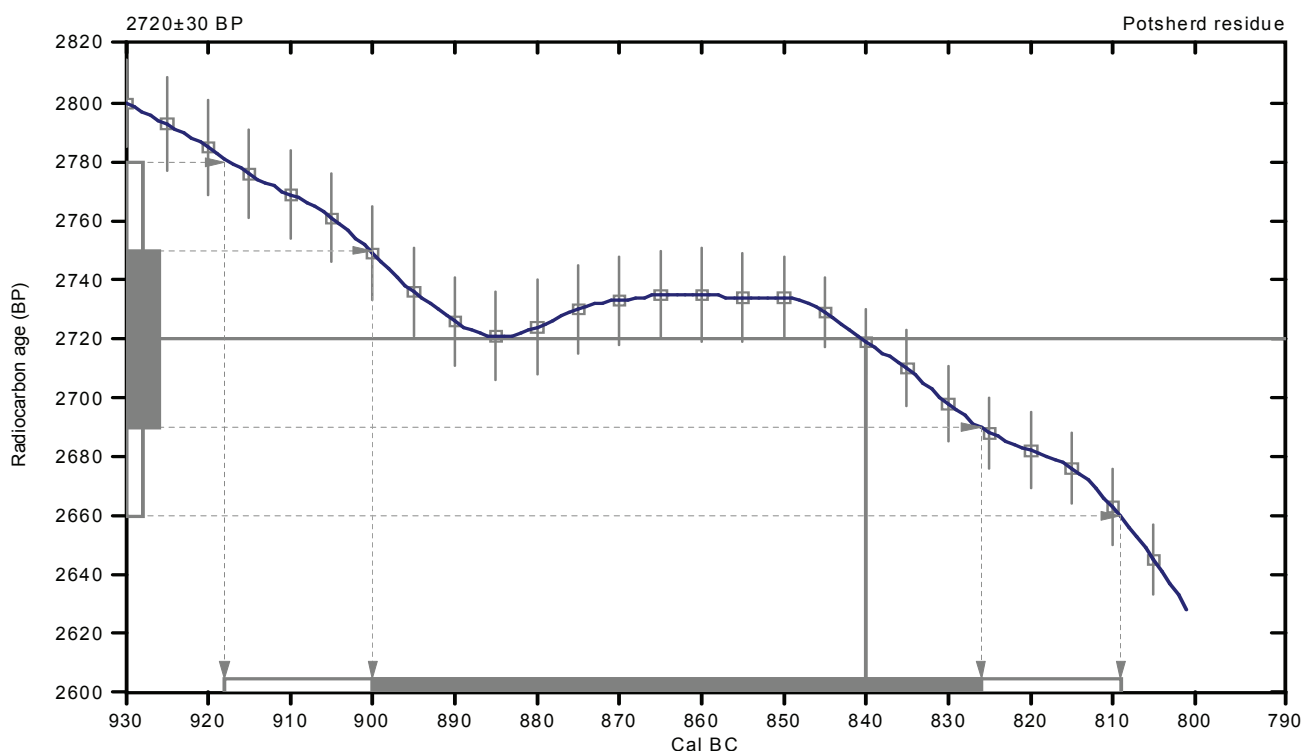
**Conventional radiocarbon age: 2720±30 BP**

**2 Sigma calibrated result: Cal BC 920 to 810 (Cal BP 2870 to 2760)  
(95% probability)**

Intercept data

Intercept of radiocarbon age  
with calibration curve: Cal BC 840 (Cal BP 2790)

1 Sigma calibrated result: Cal BC 900 to 830 (Cal BP 2850 to 2780)  
(68% probability)



### References:

#### Database used

*INTCAL09*

#### References to *INTCAL09* database

*Heaton, et al., 2009, Radiocarbon 51(4):1151-1164, Reimer, et al., 2009, Radiocarbon 51(4):1111-1150, Stuiver, et al., 1993, Radiocarbon 35(1):137-189, Oeschger, et al., 1975, Tellus 27:168-192*

#### Mathematics used for calibration scenario

*A Simplified Approach to Calibrating C14 Dates*

*Talma, A. S., Vogel, J. C., 1993, Radiocarbon 35(2):317-322*

## Beta Analytic Radiocarbon Dating Laboratory

4985 S.W. 74th Court, Miami, Florida 33155 • Tel: (305)667-5167 • Fax: (305)663-0964 • E-Mail: beta@radiocarbon.com

## Inventaire et datation des structures

N° de ST	Sond	Nature	L ou Diam en cm	larg en cm	Prof en cm	Description du remplissage	Datation
500		Segment FoC	2100	115		ramassage surface	Gallo-romain
502		ANNULE					
503		ANNULE					
504		non fouillé					
505		ANNULE					
506	13	Segment FoC	6100	200	118	sédiment limono-argileux beige gris avec rares inclusions de charbons de bois. Il rest plus argileux à la base.	Âge du Fer
506	11	Segment FoC	6100	222	105	sédiment limono-argileux beige gris avec rares inclusions de charbons de bois. Il rest plus argileux à la base.	Âge du Fer
507		non fouillé					
508		non fouillé					
509		non fouillé					
510		non fouillé					
511		non fouillé					
512		non fouillé					
513		non fouillé					
514		Segment FoC	750	280			Âge du Fer
515		non fouillé					
516		non fouillé					
517		non fouillé					
518		non fouillé					
519		non fouillé					
520		non fouillé					
521		Segment FoC	7000	160	56	sédiment limono-argileux beige gris moucheté orange peu compact avec charbons de bois	Gallo-romain
522	760	Segment FoC	8650	100	70	sédiment limono-argileux brun gris avec charbons de bois	Âge du Fer
522	593	Segment FoC	8650	120	75	sédiment limono-argileux brun gris hétérogène très caillouteux	Âge du Fer
523		non fouillé	1200	50		ramassage surface	Mérovingien
524		non fouillé					
525		Segment FoC				voir 3084	Âge du Fer
526		Segment FoC	14768	112	35	sédiment limoneux brun moyen peu compact homogène avec rares charbons de bois	Moderne
527		non fouillé	1150	106			
528		non fouillé					
529		non fouillé					
530		ANNULE					
531		ANNULE					
532		non fouillé	1080	40		ramassage de surface	Âge du Fer
533		non fouillé					
534		non fouillé					
535		non fouillé					
536		non fouillé					
537		non fouillé					
538		Fosse	4100	170	40	sédiment limono-argileux gris orangé à gris beige avec nombreux fragments de charbons de bois et nodules de terre cuite mélangés au substrat	Âge du Fer
539		Trou de Poteau	32		10	sédiment limono-argileux gris avec charbons de bois	
540		Trou de Poteau	38		10	sédiment limono-argileux gris avec charbons de bois	
541		Trou de Poteau	32		10	sédiment limono-argileux gris avec charbons de bois	

N° de ST	Sond	Nature	L ou Diam en cm	larg en cm	Prof en cm	Description du remplissage	Datation
542		Trou de Poteau	60	40	10	sédiment limono-argileux gris beige avec charbons de bois	
543		Trou de Poteau	48		13	sédiment limono-argileux gris avec charbons de bois	
544		Trou de Poteau	40		12	sédiment limono-argileux gris avec charbons de bois	
545	592	Segment FoC	3100	70	37	sédiment argilo-limoneux brun peu compact hétérogène avec charbons de bois	Âge du Fer
545	590	Segment FoC		127	70	sédiment argilo-limoneux brun peu compact hétérogène avec charbons de bois	
545	587	Segment FoC		126	62	sédiment argilo-limoneux brun peu compact hétérogène avec charbons de bois	
546		non fouillé					
547		Trou de Poteau	48		10	sédiment limoneux grisâtre	
548		Trou de Poteau	30		15	sédiment limono-argileux gris orangé avec charbons de bois	
549		non fouillé					
550		Trou de Poteau	50		16	sédiment limoneux orangé avec charbons de bois	
551		Trou de Poteau	38		16	sédiment limono-sableux grisâtre	
552		Trou de Poteau	55		18	sédiment limono-sableux grisâtre	Âge du Fer
553		Trou de Poteau	55		14	sédiment limono-argileux orangé avec charbons de bois	
554		Trou de Poteau	60		5	sédiment limono-argileux orangé avec charbons de bois	
555		non fouillé					
556		Trou de Poteau	46		12	sédiment limono-argileux grisâtre	
557		non fouillé					Âge du Fer
558		non fouillé	1100	50			
560		non fouillé					
561		non fouillé					
562		non fouillé					
563		non fouillé					
564		non fouillé					
565		non fouillé					
566		non fouillé					
567		non fouillé					
568		non fouillé					
569		non fouillé					
570		non fouillé					Âge du Fer
571		non fouillé					
572		non fouillé					
573		non fouillé					
574		non fouillé					
575		non fouillé					
576		Trou de Poteau	40		15	sédiment limono-argileux gris avec charbons de bois	Âge du Fer
577		non fouillé					
578		non fouillé					
579		Trou de Poteau	30		5	sédiment limono-argileux gris avec charbons de bois	
580		non fouillé					
581	596	Segment FoC	8100	230	72	sédiment argilo-limoneux gris brun peu compact homogène avec charbons de bois	Gallo-romain
581	604	Segment FoC	8100	170	97	sédiment argilo-limoneux gris brun compact homogène avec charbons de bois	Gallo-romain
581	603	Segment FoC	8100	175	80	sédiment argilo-limoneux gris brun compact homogène avec charbons de bois	Gallo-romain
581	464	Segment FoC	8100	230	75	sédiment argilo-limoneux gris brun compact homogène avec charbons de bois	Gallo-romain
584		non fouillé					
585		non fouillé					
586		non fouillé					



N° de ST	Sond	Nature	L ou Diam en cm	larg en cm	Prof en cm	Description du remplissage	Datation
587		non fouillé					
588		non fouillé					
589		non fouillé					
590		non fouillé					
591		non fouillé					
592		non fouillé					
593		non fouillé					
594		non fouillé					Âge du Fer
597		non fouillé					Âge du Fer
598		Fosse	110	55	5	sédiment limono-argileux gris avec schiste	
599		Chablis					
604		non fouillé					
610		non fouillé	1100	75			
612	689	Segment FoC	14000	60	15	sédiment limono-argileux brun meuble homogène	Gallo-romain
613		Segment FoC				voir 1837	Âge du Fer
614		Fosse	630	220	38	sédiment limono-argileux gris beige	
615		non fouillé					
617		non fouillé					
618		Fosse	100		11	sédiment limoneux brun meuble homogène avec charbons de bois, tc et ardoise	Gallo-romain
619		non fouillé					
620		Fosse	150	110	45	sédiment limono-argileux gris	Gallo-romain
621		Cave à pommier					
622	306	Fosse	190	167	38	sédiment limono-argileux gris compact	Gallo-romain
623		four à pierres chauffées	101	70	18	sédiment limoneux charbonneux compact homogène avec schiste chauffé	Gallo-romain
624		Fosse	380	175	56	sédiment limono-argileux gris meuble hétérogène avec traces d'oxydations et charbons de bois	Mérovingien
625		non fouillé					
626		Segment FoC				voir 647	Gallo-romain
627		non fouillé					
628		non fouillé					
629		non fouillé		45		non fouillé	Gallo-romain
630		Trou de Poteau	66	45	30	sédiment limono-argileux gris foncé avec charbons de bois, tuile, clou	Gallo-romain
631		non fouillé					
632		non fouillé					
633	145	Segment FoC	4028	75	17	sédiment limono-argileux gris compact avec rares charbons bois et teg	Gallo-romain
633	307	Segment FoC	4028	100	17	sédiment limoneux beige	Gallo-romain
634	14	Fosse	250	68	50	sédiment limono-argileux gris foncé avec charbons de bois, tc, clou	Gallo-romain
635	361	Segment FoC	4100	73	26	sédiment limoneux brun gris avec charbons de bois	Gallo-romain
636	312	Segment FoC	2534	93	26	sédiment limono-argileux beige gris compact avec charbons de bois	
637		non fouillé	1000	90			
638		non fouillé					
639		Fosse	270		195	sédiment limono-argileux gris avec inclusions de manganèse	Âge du Fer
640		Segment FoC	6100	80			
641		Fosse	275	158	164	sédiment limono-argileux gris meuble homogène légèrement oxydé avec charbons de bois	
642		non fouillé					
643		non fouillé				non fouillée	
644		Segment FoC	140	35	18	sédiment limoneux gris meuble hétérogène avec charbons de bois	

N° de ST	Sond	Nature	L ou Diam en cm	larg en cm	Prof en cm	Description du remplissage	Datation
645		non fouillé					
646	151	Segment FoC	4868	100	31	sédiment limoneux gris beige friable	Gallo-romain
646	365	Segment FoC	4868	100	31	sédiment limono-argileux gris brun	
647	316	Empierrement	4580	120	36	sédiment limono-argileux brun clair gris compact avec charbons de bois	Gallo-romain
647	317	Segment FoC	4580	140	36	sédiment limono-argileux brun clair gris compact avec charbons de bois	Gallo-romain
647	311	Segment FoC	4580	88	32	sédiment limono-argileux brun clair gris compact avec charbons de bois	Gallo-romain
647	313	Segment FoC	4580	130	37	sédiment limono-argileux brun clair gris compact avec charbons de bois	Gallo-romain
647	318	Segment FoC	4580	90	32	sédiment limono-argileux brun clair gris compact avec charbons de bois	Gallo-romain
648	162	Segment FoC	4868			voir 646	Gallo-romain
649	376	Segment FoC	5022	168	58	sédiment limoneux gris avec traces d'oxydation et charbons de bois	Gallo-romain
649	377	Segment FoC	5022	92	50	sédiment limoneux gris avec traces d'oxydation et charbons de bois	Gallo-romain
650		Empierrement	5022				
651		non fouillé					
652	158	Segment FoC	5022	122	34	sédiment limoneux gris beige	Gallo-romain
652	164	Segment FoC	5022	96	38	sédiment limoneux gris beige	
652	320	Segment FoC	5022	170	36	sédiment limoneux gris beige	
652	324	Segment FoC	5022			sédiment limoneux gris beige	
653	167	Segment FoC	475	110	36	sédiment limoneux gris brun compact homogène avec teg	Gallo-romain
653	169	Segment FoC	475	130	36	sédiment limoneux gris brun compact homogène	Gallo-romain
654		Segment FoC				voir 861	
655		Trou de Poteau	40		14	sédiment limono-argileux brun homogène compact	
656		non fouillé					
658		non fouillé					
659		non fouillé					
660		non fouillé					
661		non fouillé					
662	371	Segment FoC	4100	58	18	sédiment limoneux brun gris avec charbons de bois	Gallo-romain
662	314	Segment FoC	4100	76	32	sédiment limono-argileux gris avec charbons de bois	
662	315	Segment FoC	4100	96	34	sédiment limono-argileux gris avec charbons de bois	
662	319	Segment FoC	4100	70	26	sédiment limono-argileux gris avec charbons de bois	
663		non fouillé					
664		non fouillé					
666		non fouillé					
667		non fouillé					
668		non fouillé					
670		non fouillé					
671		non fouillé					
672		non fouillé					
673		non fouillé					
674		non fouillé					
675		non fouillé					
676		non fouillé					
677		non fouillé					
678		Segment FoC				voir 1401	
679		Trou de Poteau	53		5	sédiment argilo-limoneux gris beige dense	
680		Trou de Poteau	46		5	sédiment limoneux gris avec charbons de bois	
681		Trou de Poteau	50		5	sédiment limono-argileux gris orangé	
682		Trou de Poteau	34		16	sédiment limono-argileux gris beige compact	

N° de ST	Sond	Nature	L ou Diam en cm	larg en cm	Prof en cm	Description du remplissage	Datation
683		Trou de Poteau	30		4	sédiment limono-argileux gris	
684		non fouillé					
685		Trou de Poteau	70		10	sédiment limono-argileux gris avec charbons de bois et tc	Âge du Fer
686		non fouillé					
687	256	Fosse	260		80	sédiment limoneux gris clair très oxydé avec charbons de bois et tc	Âge du Fer
688		Segment FoC					
689		Trou de Poteau	70	56	20	sédiment limoneux gris clair compact homogène avec traces d'oxydation	
690		Trou de Poteau	32		14	sédiment limoneux brun gris meuble homogène avec charbons de bois	Gallo-romain
691		Trou de Poteau	50	43	10	sédiment limoneux brun gris meuble homogène avec charbons de bois	
692		Chablis					
693		ANNULE					
694		ANNULE					
695		Trou de Poteau	52		10	sédiment limono-argileux gris assez meuble	
696		Trou de Poteau	35		3	sédiment limono-argileux gris assez meuble	
697		Trou de Poteau	36		8	sédiment limoneux gris blanc	
698		non fouillé					
699	373	Segment FoC	1370	63	20	sédiment limoneux beige peu compact homogène avec charbons de bois	
700	248	Segment FoC	465	46	4	sédiment limono-argileux gris avec substrat remanié scories et tc	Gallo-romain
701	208	Segment FoC	847	80	34	sédiment limoneux gris compat avec inclusions de substrat, scories	Gallo-romain
702		Trou de Poteau	74	54	20	sédiment limono-argileux gris avec grosses inclusions de charbons de bois	
703		Trou de Poteau	48		12	sédiment limono-argileux brun gris avec charbons de bois	
704		Trou de Poteau	45		23	sédiment limono-argileux avec nombreuses inclusions de charbon de bois, scories, parois de four	
705		non fouillé					Gallo-romain
706		Trou de Poteau	40		16	sédiment limono-argileux gris beige	
707	203	Segment FoC	1000	112	40	sédiment limoneux brun foncé très riche en charbons de bois, scories, parois de four	Gallo-romain
707	209	Segment FoC	1000	110	50	sédiment limoneux brun foncé très riche en charbons de bois, scories, parois de four devenant plus clair mélangé en substrat en profondeur	
707	216	Segment FoC	1000	90	27	sédiment limoneux brun foncé très riche en charbons de bois, scories, parois de four	
707	217	Segment FoC	1000	106	50	sédiment limoneux brun foncé très riche en charbons de bois, scories, parois de four	
707	229	Segment FoC	1000	80	20	sédiment limoneux gris brun compact homogène avec rares inclusions de charbons de bois	
707		Segment FoC	1000	112	4,4	sédiment limoneux brun foncé très riche en charbons de bois, scories, parois de four	
708	216	Segment FoC	888	110	35	sédiment limoneux gris foncé très charbonneux, scories	Gallo-romain
708	231	Segment FoC	888	94	33	sédiment limoneux gris foncé très charbonneux, scories	
708	230	Segment FoC	888	120	42	sédiment limoneux gris foncé très charbonneux, scories	
708	229	Segment FoC	888	100	30	sédiment limoneux gris foncé très charbonneux, scories	
708		Empierrement	888	48	10	sédiment limono-argileux gris mélangé au substrat	
709	199	Segment FoC	1572	78	38	sédiment limoneux gris foncé meuble homogène avec grosses inclusions de charbons de bois, scories, tc	Gallo-romain
709	200	Segment FoC	1572	90	38	sédiment limoneux gris foncé meuble homogène avec grosses inclusions de charbons de bois, scories, tc	
709	210	Segment FoC	1572	115	54	sédiment limoneux gris foncé meuble homogène avec grosses inclusions de charbons de bois, scories, tc	
709	204	Segment FoC	1572	103	44	sédiment limoneux gris foncé meuble homogène avec grosses inclusions de charbons de bois, scories, tc	

N° de ST	Sond	Nature	L ou Diam en cm	Larg en cm	Prof en cm	Description du remplissage	Datation
709	202	Segment FoC	1572	85	27	sédiment limoneux gris foncé meuble homogène avec grosses inclusions de charbons de bois, scories, tc	
710	250	Segment FoC	1572			sédiment limoneux gris clair oxydé	
711		non fouillé					
712		Trou de Poteau	54		9	sédiment limono-argileux brun gris compact avec charbons de bois	
713		Trou de Poteau	36		3	sédiment limono-argileux brun gris compact avec charbons de bois et tc	
714		Trou de Poteau	18		8	sédiment limoneux gris beige	
715		Trou de Poteau	100		17	sédiment limoneux gris beige hétérogène compact	
716		Trou de Poteau	46		14	sédiment limoneux gris beige homogène avec teg	Gallo-romain
717		Trou de Poteau	70	44	6	sédiment limoneux gris beige	
718		Trou de Poteau	62		22	sédiment limono-argileux brun ocre avec charbons de bois	
719		Trou de Poteau	88		26	sédiment limono-argileux gris beige	
720		Trou de Poteau	22		5	sédiment limono-argileux gris meuble	
721		Fosse	84	72	17	sédiment limoneux brun orangé avec charbons de bois et nodules de tc	
723		Fosse	160	86	20	sédiment limono-argileux gris orangé avec inclusions de charbons de bois et nodules de tc	
724		Trou de Poteau	44		10	sédiment limoneux gris clair	
725		Trou de Poteau	45		10	sédiment brun grisâtre avec charbons de bois	
726		Trou de Poteau	30		6	sédiment limoneux brun	
727		Trou de Poteau	40		6	sédiment limoneux brun clair	
728		Trou de Poteau	50		16	sédiment limoneux gris clair avec charbons de bois	
729		Trou de Poteau	52		8	sédiment limoneux brun	
730		Trou de Poteau	22		16	sédiment limoneux brun gris avec charbons de bois	
731		Trou de Poteau	54		17	sédiment limoneux brun gris avec charbons de bois	
732		Trou de Poteau	24		5	sédiment limoneux gris brun homogène	
733		Trou de Poteau	30		6	sédiment limono-argileux gris beige hétérogène	
734		Trou de Poteau	32		6	sédiment limoneux gris beige	
735		Trou de Poteau	36		7	sédiment limono-argileux brun gris compact avec charbons de bois et tc	
736		Trou de Poteau	32		9	sédiment limoneux gris compact avec charbons de bois	
737		Trou de Poteau	25		5	sédiment limoneux gris beige	
738		non fouillé					
739		non fouillé					
740		Fosse	170	125	8	substrat remanié	
741		Fosse	182	115	18	substrat remanié	
742		non fouillé					
743		Segment FoC	164	42	3	sédiment limono-argileux gris clair	
744		Trou de Poteau	52		10	sédiment limoneux gris orangé homogène très compact avec schiste	
745	193	Segment FoC	475	68	15	sédiment limoneux gris brun clair meuble homogène avec charbons de bois	
745	198	Segment FoC	475	74	42	sédiment limoneux gris brun clair meuble homogène avec charbons de bois, scorie mélangé au substrat	
745	196	Segment FoC	475	76	36	sédiment limoneux gris foncé très charbonneux meuble homogène avec charbons de bois, scorie, clou	
746		Fosse	245	150	14	sédiment limoneux gris foncé très charbonneux homogène meuble avec zone rubéfiée au centre	
747	197	Segment FoC	880	124	10	sédiment limoneux gris mélangé à du substrat meuble hétérogène avec charbons de bois et tca	Gallo-romain
747	193	Segment FoC	880	83	10	sédiment limoneux gris meuble hétérogène avec charbons de bois, scorie, tca	
747	195	Segment FoC	880	103	22	sédiment limoneux brun très charbonneux meuble homogène avec tca, scorie	

N° de ST	Sond	Nature	L ou Diam en cm	Larg en cm	Prof en cm	Description du remplissage	Datation
747	205	Segment FoC	880	112	36	sédiment limono argileux gris meuble homogène avec charbons de bois, tca, scorie	
747	207	Segment FoC	880	140	30	sédiment limono argileux gris meuble homogène avec charbons de bois, tca, scorie	
747	194	Segment FoC	880	80	12	sédiment limoneux gris mélangé à du substrat meuble hétérogène avec charbons de bois et tca	
748		Fosse	220	165	12	sédiment limono-argileux gris foncé très charbonneux avec partie rubéfiée	Gallo-romain
749		Trou de Poteau					
750		Trou de Poteau	35	25	7	sédiment limono-argileux gris beige compact avec inclusions de charbons de bois et de tc	
751		non fouillé					
752		Trou de Poteau	33		7	sédiment limoneux gris clair très compact avec inclusions de charbons de bois et tc	
753		Trou de Poteau	40		10	sédiment limono-argileux avec inclusions de gros charbons de bois et tc	
754	208	Trou de Poteau	57		20	sédiment limoneux gris compact avec inclusions de substrat, scories	Gallo-romain
755		Trou de Poteau	50		14	sédiment limono-argileux gris beige compact avec nombreuses inclusions de charbons de bois	Gallo-romain
756		Trou de Poteau	45	35	9	sédiment limono-argileux mélangé au substrat avec charbons de bois et scories	
757		Trou de Poteau	30		8	sédiment limono-argileux brun gris avec charbons de bois	
758	201	Segment FoC	367	78	17	sédiment limoneux gris foncé meuble homogène avec charbons de bois, scories, tca recouvert d'un limon gris clair meuble homogène	Gallo-romain
758	197	Segment FoC	367	58	8	sédiment limoneux gris foncé meuble homogène avec charbons de bois	Gallo-romain
759	213	Segment FoC	509	104	33	sédiment limono-argileux gris très charbonneux avec scories, teg, verre, parois de four, métal	Gallo-romain
759	233	Segment FoC	5090	86	33	sédiment limono-argileux gris très charbonneux avec scories, teg, verre, parois de four, métal	
759	218	Segment FoC	5090	106	26	sédiment limono-argileux gris très charbonneux avec scories	
759	237	Segment FoC	5090	77	20	sédiment limono-argileux gris avec charbons de bois et scories	
760		Segment FoC				voir 747	
762		Chablis					
763		Trou de Poteau	35		7	sédiment limoneux beige avec traces d'oxydation	
764		Trou de Poteau	33		9	sédiment limoneux beige avec trace d'oxydation	
765		Trou de Poteau	60		20	sédiment limono-argileux gris compact avec charbons de bois et traces d'oxydation	
766		Trou de Poteau	65		19	sédiment limono-argileux gris compact avec charbons de bois, traces d'oxydation et tc	
767		Trou de Poteau	30		8	sédiment limono-argileux gris compact homogène avec charbons de bois et traces d'oxydation	
768		Trou de Poteau	40		17	sédiment limono-argileux gris compact homogène avec charbons de bois et traces d'oxydation	
769		Trou de Poteau	50	40		sédiment limono-argileux gris compact homogène avec charbons de bois, tc et traces d'oxydation	Âge du Fer
770		Trou de Poteau	74	50	10	sédiment limono-argileux gris compact homogène avec charbons de bois	
771		non fouillé					
773		Trou de Poteau	74		26	sédiment limono-argileux gris avec éléments de manganèse	
774		Trou de Poteau	91	82	22	sédiment limono-argileux brun gris avec inclusions de charbons de bois	
775		non fouillé					
776		Segment FoC	2000	37		ramassage de surface	Gallo-romain
777		non fouillé					
778		non fouillé					
779		non fouillé					

N° de ST	Sond	Nature	L ou Diam en cm	Larg en cm	Prof en cm	Description du remplissage	Datation
780	146	Segment FoC	2350			sédiment limoneux beige	Gallo-romain
781		non fouillé					
782		non fouillé	34		7	sédiment limoneux beige avec traces d'oxydation	
783		Trou de Poteau	37		3	sédiment limoneux beige avec traces d'oxydation	
784		Trou de Poteau	50		12	sédiment limoneux beige avec traces d'oxydation et tc	
785		non fouillé					
786		Segment FoC	650	50			
788		non fouillé					
789		non fouillé					
790		non fouillé					
791		non fouillé					
792		Trou de Poteau	48		8	sédiment limoneux gris clair compact homogène	
793		Trou de Poteau	35		16	sédiment limoneux brun clair gris meuble homogène avec rares charbons de bois	
794		Trou de Poteau	44		22	sédiment limoneux gris à brun clair meuble homogène avec charbons de bois	
795		Trou de Poteau	48		18	sédiment limoneux brun clair meuble homogène avec charbons de bois	
796		non fouillé					
797		non fouillé					
798		non fouillé					
799		non fouillé				ramassage de surface	Gallo-romain
800	186	Segment FoC	950	132	32	sédiment limoneux brun gris compact homogène avec charbons de bois et tca	Gallo-romain
801	220	Segment FoC	3180	110	37	sédiment limoneux brun gris meuble homogène	
801	188	Segment FoC	3180	140	34	sédiment limoneux brun gris compact homogène	
802		Segment FoC	1000	80			
803		non fouillé					
804		Segment FoC	7900			voir 1168, 927	Gallo-romain
805		Trou de Poteau	50		12	sédiment limono-argileux brun gris hétérogène avec altérite manganèse rares charbons de bois et tc	Âge du Fer
806		Trou de Poteau	41		17	sédiment limono-argileux brun gris hétérogène avec altérite rares charbons de bois et tc	
807		Trou de Poteau	80		22	sédiment limono-argileux brun gris avec rares charbons de bois et nodules de terre cuite	
810		Trou de Poteau	35		12	sédiment limoneux beige gris avec schiste altéré et charbons de bois	
811		non fouillé					
812		ANNULE					
813		Trou de Poteau	90	30	20	sédiment limoneux beige gris hétérogène mélangé à de l'altérite	
814		Segment FoC				voir 1016	
815		Segment FoC	3244			voir 976	
816	419	Segment FoC	4290	200	143	comblement stratifié voir figure	Âge du Fer
817		non fouillé					
818		Trou de Poteau	42		19	sédiment limono-argileux gris moyen compact homogène avec charbons de bois	Gallo-romain
819	181	Segment FoC	7715	75	26	sédiment limono-argileux avec charbons de bois et tc	Gallo-romain
819	185	Segment FoC	7715	76	20	sédiment limono-argileux gris clair compact et homogène rares charbons de bois, tegulae	Gallo-romain
819	419	Segment FoC	7715	54	24	sédiment limoneux brun rares charbons de bois	Gallo-romain
820		Trou de Poteau	50	32	4	sédiment limoneux grisâtre meuble avec charbons de bois	
821		Fosse	300	230	19	sédiment limoneux gris foncé avec, charbons de bois et terre cuite	Gallo-romain
822	188	Segment FoC	3180	140	34	sédiment limoneux brun gris compact homogène	Gallo-romain
823		Trou de Poteau	44	26	12	sédiment limono-argileux brun foncé hétérogène avec altérite	

N° de ST	Sond	Nature	L ou Diam en cm	Larg en cm	Prof en cm	Description du remplissage	Datation
824		Segment FoC	4290				Âge du Fer
825	395	Segment FoC	4562	110	58	sédiment limoneux beige gris avec charbons de bois	Âge du Fer
825	398	Segment FoC	4562	94	56	sédiment limoneux beige gris avec charbons de bois	Âge du Fer
826	178	Segment FoC	4839	120	52	sédiment limono-argileux brun gris compact avec charbons de bois	Âge du Fer
826	400	Segment FoC	4839	82	42	sédiment limoneux beig brun avec charbons de bois	Âge du Fer
827	154	Segment FoC	3160	70	50	sédiment limono-argileux brun clair meuble et avec inclusions de charbons de bois et nodules de terre cuite	Âge du Fer
827	166	Segment FoC	3160	104	45	sédiment limono-argileux gris clair compact avec inclusions de charbons de bois	Âge du Fer
827	404	Segment FoC	3160	78	38	sédiment limoneux brun clair avec quelques traces d'oxydation et ce charbons de bois, de la tc au fond	Âge du Fer
827	353	Segment FoC	3160	78	38	sédiment limono-argileux gris beige avec quelques inclusions de charbons de bois	Âge du Fer
828	351	Segment FoC	2037	86	14	sédiment argilo-limoneux gris brun très friable	Moderne
829		non fouillé					
830		non fouillé					
831		non fouillé					
832		non fouillé					
833	428	Segment FoC	5158	97	36	sédiment limoneux brun gris avec manganèse et charbons de bois	Gallo-romain
833	429	Segment FoC	5158	93	46	sédiment limoneux brun gris avec manganèse et charbons de bois	Gallo-romain
834		non fouillé					
835	422	Segment FoC	1875		30	sédiment limoneux beige gris avec charbons de bois	
836	63	Segment FoC	2331	150	110	sédiment limono-argileux gris beige compact devenant plus hétérogène vers le fond	Âge du Fer
836	416	Segment FoC	2331	150	110	sédiment limono-argileux gris beige avec quelques charbons de bois et tc	Âge du Fer
837	184	Segment FoC	4839	104	42	sédiment limoneux gris avec inclusions de manganèse	
837	182	Segment FoC	4839	92	38	sédiment limoneux gris brun compact avec inclusions de manganèse et charbons de bois	
837	180	Segment FoC	4839	80	54	sédiment limoneux gris brun compact homogène avec inclusions de manganèse et charbons de bois	
838		non fouillé					
839		Segment FoC	500	125			
840		non fouillé					
841	299	Segment FoC	1200	100	30	sédiment limono-argileux gris orangé avec tc	Âge du Fer
841	272	Fosse	1117	91	28	sédiment limono-argileux gris orangé avec tc	Âge du Fer
842		Fosse	76	60	20	sédiment limono-argileux brun gris hétérogène avec altérite manganèse	
843		non fouillé					
844		Trou de Poteau	44		6	sédiment limono-argileux brun avec altérite	
845		Fosse	90	70	10	sédiment limono-argileux brun gris	
846		Chablis					
847		ANNULE					
848		Trou de Poteau	50		12	sédiment limono-argileux brun gris hétérogène avec altérite rare charbons de bois	
849		non fouillé					
850		non fouillé					
851		Trou de Poteau	40		9	sédiment limono-argileux brun clair avec charbons de bois et nodules de terre cuite	
852		non fouillé					
853		Trou de Poteau	54	47	6	sédiment limono-argileux brun gris hétérogène avec altérite	
854	290	Segment FoC	2363	140	27	sédiment limono-argileux	
854	291	Segment FoC	2363	90	25	sédiment limono-argileux gris/beige	

N° de ST	Sond	Nature	L ou Diam en cm	Larg en cm	Prof en cm	Description du remplissage	Datation
854	255	Segment FoC	2363	1,08	29	sédiment limono-argileux gris/beige	
855		non fouillé					
856		Trou de Poteau	36		8	sédiment limono-argileux brun gris hétérogène avec altérite manganèse	
857		non fouillé					
858	292	Segment FoC	2335	60	30	sédiment limoneux gris avec charbons de bois	
858	293	Segment FoC	2335	68	28	sédiment limoneux gris avec charbons de bois	
858	255	Segment FoC	2335	87	26	sédiment limoneux gris avec charbons de bois	Âge du Fer
858	293	Segment FoC	2335	70	28	sédiment limoneux gris avec charbons de bois	
859	253	Segment FoC	1058	90	8	sédiment limoneux gris beige	
859	253	Segment FoC	1058	90	3	sédiment limoneux gris beige	
861	289	Segment FoC	3976	270	150	sédiment limono-argileux variant du beige au gris selon les couches, comportant charbons de bois, scories, tc	Âge du Fer
861	325	Segment FoC	3976	224	142	sédiment limono-argileux variant du beige au gris selon les couches, comportant charbons de bois, scories, tc	Âge du Fer
861	343	Segment FoC	3976	210	128	sédiment limono-argileux variant du beige au gris selon les couches	Âge du Fer
861	344	Segment FoC	3976	300	127	sédiment limono-argileux variant du beige au gris selon les couches avec charbons de bois, tc, plaque foyère	Âge du Fer
861	345	Segment FoC	3976	320	143	sédiment limono-argileux variant du beige au gris selon les couches avec charbons de bois, tc, plaque foyère	Âge du Fer
862	285	Segment FoC	11681	98	26	sédiment limono-argileux brun très meuble homogène	Moderne
862	286	Segment FoC	11681	72	12	sédiment limono-argileux brun très meuble homogène	Gallo-romain
862	250	Segment FoC	11681	102	18	sédiment limono-argileux brun très meuble homogène	Gallo-romain
862	289	Segment FoC	11681	60	32	sédiment limono-argileux brun très meuble homogène	Gallo-romain
862	346	Segment FoC	11681	112	37	sédiment limono-argileux gris avec traces d'oxydation, teg	Gallo-romain
862	347	Segment FoC	11681	96	27	sédiment limono-argileux gris	Gallo-romain
862	308	Segment FoC	11681	100	32	sédiment limono-argileux gris compact	Gallo-romain
862	288	Segment FoC	11681	72	18	sédiment limono-argileux brun très meuble homogène	Gallo-romain
865		non fouillé					
866		non fouillé					
869		Trou de Poteau	50		10	sédiment limono-argileux brun avec fragments de schiste	
870		Trou de Poteau	44		11	sédiment limono-argileux beige avec altérite rares charbons de bois	
871		Chablis					
872		Chablis					
873		Trou de Poteau	52	48	11	sédiment limoneux beige gris avec schiste altéré et quelques charbons de bois	
874		Chablis					
875		Chablis					
876		Chablis					
877		Chablis					
878		Chablis					
879		Trou de Poteau	78		34	sédiment limono-argileux brun clair meuble	
880		Trou de Poteau	56		28	sédiment limono-argileux brun avec charbons de bois et calage en schiste	
881		non fouillé					Gallo-romain
882		Fosse	164	90	28	sédiment limono-argileux gris clair mélangé au substrat compact hétérogène avec charbons de bois et tc	Gallo-romain
883	165	Segment FoC	4868	86	36	sédiment limono-argileux gris meuble avec oxydation	Gallo-romaine
883	397	Segment FoC	4868	80	21	sédiment limono-argileux gris meuble avec oxydation	Gallo-romaine
884		non fouillé					
885	404	Segment FoC	2096	76	38	sédiment limoneux brun clair avec charbons de bois et tc	Âge du Fer





N° de ST	Sond	Nature	L ou Diam en cm	Larg en cm	Prof en cm	Description du remplissage	Datation
927	399	Segment FoC	7900	62	26	sédiment limoneux beige avec rares charbons de bois	
929		Cave à pommier					
930		Trou de Poteau	56		17	sédiment limono-argileux brun gris hétérogène avec altérite manganèse rares charbons de bois et tc	
932		Sablère	187	36	11	sédiment limono-argileux brun clair et rares charbons de bois et tc	
933		Trou de Poteau	48	36	10	sédiment limono-argileux brun gris hétérogène avec altérite manganèse rares charbons de bois et tc	
934		Trou de Poteau	40		30	sédiment limono-argileux brun foncé homogène avec rares charbons de bois	
935		Trou de Poteau	40		10	sédiment limono-argileux brun gris hétérogène avec altérite et cailloux de quartz	
936		Fosse	155	40	13	sédiment limoneux brun meuble homogène avec charbons de bois	Âge du Fer
937		Fosse	97		28	sédiment limoneux brun meuble hétérogène avec blocs, galets de quartz et charbons de bois recouvrant couche plus argileuse	Âge du Fer
938		Trou de Poteau	58	37	17	sédiment limoneux gris brun meuble homogène avec traces d'oxydation et rares charbons de bois	Âge du Fer
939		Trou de Poteau	38	30	7	sédiment limoneux gris brun meuble homogène avec rares charbons de bois et tca	
940		non fouillé					
943		non fouillé					
945		Segment FoC				voir 885	Âge du Fer
949		Trou de Poteau	54		20	sédiment limono-argileux gris compact hétérogène avec inclusions de manganèse	
950		Trou de Poteau	55		15	sédiment limono-argileux gris compact hétérogène avec inclusions de manganèse	
951		Trou de Poteau	57		22	sédiment limono-argileux brun gris avec charbons de bois	
952		Trou de Poteau	58		21	sédiment limono-argileux beige gris avec rares charbons de bois	
954		Trou de Poteau	40		12	sédiment limono-argileux gris compact hétérogène avec inclusions de manganèse	
955		Trou de Poteau	56		8	sédiment limono-argileux gris compact hétérogène avec inclusions de manganèse	
956	342	Segment FoC	4839			sédiment limono-argileux gris clair très hétérogène	Âge du Fer
957		Trou de Poteau	52		7	sédiment limono-argileux brun clair grisé compact charbons de bois	
958	147	Segment FoC	2885	170	60	sédiment limoneux gris compact	Âge du Fer
958	228	Segment FoC	1690	200	50	sédiment limoneux brun gris compact homogène	Âge du Fer
958	227	Segment FoC	1690	150	94	sédiment limoneux brun gris compact homogène	Âge du Fer
958	241	Segment FoC	1690	150	86	sédiment limoneux brun gris compact homogène avec charbon de bois, meule	Âge du Fer
958	242	Segment FoC	1690	178	88	sédiment limoneux brun gris compact homogène avec charbon de bois	Âge du Fer
959	425	Segment FoC	4562	106	62	sédiment limoneux gris clair avec charbons de bois	
960		Trou de Poteau	55	49	16	sédiment limono-argileux gris clair avec rares charbons de bois	
961		non fouillé					
962		non fouillé					
963		non fouillé					
964		Fosse	240	90	30	sédiment limoneux brun clair homogène avec charbons de bois	Âge du Fer
965	340	Creusement indéterminé	338	160	50	recoupement de 4 fosses comblées d'un sédiment limono-argileux gris avec substrat remanié	Gallo-romain
966		Fosse	78		22	sédiment argilo-limoneux beige orangé compact avec charbons de bois	Âge du Fer
967		Trou de Poteau	68		36	sédiment limoneux brun jaune clair homogène compact avec charbons de bois et nodules de tc	
968		Trou de Poteau	38		11	sédiment limono-argileux beige homogène compact	

N° de ST	Sond	Nature	L ou Diam en cm	Larg en cm	Prof en cm	Description du remplissage	Datation
969		Segment FoC	430	82	37	sédiment limoneux brun gris	
971	166	Trou de Poteau	50		24	sédiment limono-argileux gris clair compact avec charbons de bois	
972		non fouillé					
973		Trou de Poteau	33		7	sédiment limoneux gris beige	
974		Trou de Poteau	38		8	sédiment limoneux gris beige	
975		Trou de Poteau	22		5	sédiment limoneux gris beige	
976	420	Segment FoC	3244			sédiment limoneux beige légèrement grisé avec taches d'oxydation	
976	421	Segment FoC	3244			sédiment limoneux beige légèrement grisé avec rares charbons de bois	
977		Trou de Poteau	56		24	sédiment limono-argileux brun gris hétérogène avec altérite manganèse et charbons de bois et tc	
978		Trou de Poteau	40		11	sédiment limono-argileux brun gris hétérogène avec altérite	
979		Trou de Poteau	60	45	35	sédiment limono-argileux brun gris hétérogène avec altérite manganèse et charbons de bois	
980		Trou de Poteau	66		36	sédiment limono-argileux brun gris hétérogène avec altérite manganèse et charbons de bois	
981		Trou de Poteau	50		16	sédiment limono-argileux brun gris hétérogène avec altérite manganèse	
982		Sablère	452	42	9	sédiment limono-argileux brun gris hétérogène avec altérite manganèse	
983		Trou de Poteau	36	26	8	sédiment limono-argileux brun avec rare altérite	
984		Trou de Poteau	82	66	8	sédiment limono-argileux brun avec altérite	
985		Trou de Poteau	100	60	10	sédiment limono-argileux gris compact hétérogène avec inclusions de manganèse	Âge du Fer
986		Trou de Poteau	50		28	sédiment limono-argileux gris avec éléments de manganèse et quelques micro charbons	
987		Trou de Poteau	41		10	substrat remanié	
988		Trou de Poteau	30		4	substrat remanié	
989		Trou de Poteau	46		12	sédiment limoneux gris très compact	
990	336	Segment FoC	700	93	36	sédiment limoneux hétérogène, présence de scories	Gallo-romain
992		Trou de Poteau	65	55	10	sédiment limono-argileux brun jaune avec rares charbons de bois	Gallo-romain
993		Trou de Poteau	45		10	sédiment limono-argileux mélangé au substrat très compact avec charbons de bois et tc	
994		Cave à pommier					
995	147	Trou de Poteau	48		10	sédiment limoneux blanchâtre compact	
1000		non fouillé					
1001		remblais					
1002	63	Haie	6554	220	70	sédiment limono-argileux brun gris plus meuble en surface	Moderne
1002	228	Haie	6554	298	54	sédiment argileux gris bleu meuble hétérogène	
1002	252	Haie	6554	146	60	sédiment limono-argileux brun gris plus meuble en surface recouvrant couche d'argile gris orangée meuble	
1002	416	Haie	6554	116	32	sédiment limono-argileux brun gris plus meuble en surface	
1003		Trou de Poteau	58		26	sédiment limono-argileux beige grisé hétérogène et rares charbons de bois	
1004		Trou de Poteau	58	50	20	sédiment limono-argileux beige grisé hétérogène et rares charbons de bois	
1005		Trou de Poteau	100	80	24	sédiment limono-argileux brun gris hétérogène avec inclusions d'altérite et de quartz	
1006		Trou de Poteau	44		22	sédiment limono-argileux brun gris hétérogène avec inclusions d'altérite et de manganèse	
1007	338	Segment FoC	4290	190	171	sédiment limoneo-argileux gris clair	Âge du Fer

N° de ST	Sond	Nature	L ou Diam en cm	Larg en cm	Prof en cm	Description du remplissage	Datation
1007	419	Segment FoC	4290	200	143	sédiment limoneux beige brun assez compact avec charbons de bois	Âge du Fer
1007	331	Segment FoC	4290	200	116	sédiment limono-argileux gris beige homogène avec charbons de bois	Âge du Fer
1007	339	Segment FoC	4290	70	88	sédiment limoneo-argileux gris clair	Âge du Fer
1008		Trou de Poteau	60	40	12	sédiment limono-argileux brun gris	
1009		Trou de Poteau	40		33	sédiment limono-argileux brun gris clair hétérogène et rares charbons de bois	Gallo-romain
1010		Trou de Poteau	59		26	sédiment limono-argileux brun gris hétérogène avec altérite manganèse et charbons de bois	Gallo-romain
1011		Trou de Poteau	63		26	sédiment limono-argileux brun gris hétérogène avec inclusions de charbons de bois et de quartz	Gallo-romain
1012		Trou de Poteau	106	74	27	sédiment limono-argileux gris beige avec inclusions d'altérite et de charbons de bois	
1013		Trou de Poteau	40		22	sédiment limono-argileux brun gris clair hétérogène et rares charbons de bois	
1014		non fouillé					
1015		non fouillé					
1016	192	Segment FoC	1157	50	18	sédiment limoneux gris très compact avec traces d'oxydation et rares charbons de bois	
1017		Trou de Poteau	50		10	substrat remanié	
1018		Trou de Poteau	60		19	sédiment limono-argileux brun gris clair hétérogène et rares charbons de bois	
1019		Trou de Poteau	80		34	sédiment limono-argileux gris assez compact homogène avec charbons de bois, tc et clou	Gallo-romain
1020		Trou de Poteau	36		4	sédiment limoneux gris compact homogène	
1021		Trou de Poteau	37		12	sédiment limono-argileux gris mélangé au substrat	
1022		Trou de Poteau	45		8	sédiment limoneux gris beige compact	
1023		Trou de Poteau	38		26	sédiment limoneux grisâtre très compact avec charbons de bois et tc	
1024		ANNULE					
1025		Trou de Poteau	25		5	sédiment limoneux gris compact	
1026		non fouillé					
1027		Trou de Poteau	63	42	13	substrat remanié avec schiste chauffé	Âge du Fer
1027		Trou de Poteau	54		13	sédiment limoneux brun avec substrat remanié et schiste chauffé	Âge du Fer
1028		Trou de Poteau					
1029		Trou de Poteau	54		13	sédiment limoneux gris très compact	
1030		non fouillé					
1031		Segment FoC	3244			voir 976	
1032		Segment FoC				voir 819	Gallo-romain
1033	419	Segment FoC	3400	90	30	sédiment limoneux brun avec inclusions de manganèse et charbons de bois	Gallo-romain
1033	332	Segment FoC	3400	80	44	sédiment limoneux brun avec inclusions de manganèse et charbons de bois	Gallo-romain
1034	332	Segment FoC	4562	106	62	sédiment limoneux gris clair avec charbons de bois	
1034	328	Segment FoC	4562	106	40	sédiment limono-argileux gris compact homogène	
1034	332	Segment FoC	4562	106	56	sédiment limono-argileux gris compact hétérogène	
1035		non fouillé					
1036		Segment FoC		80	56	US 1 : limon brun oxydé + rares CB US 2 : argile grise oxydé + rares CB	Âge du Fer
1037		Fosse	124	86	32	sédiment limoneux gris foncé compact avec charbons de bois et tc	Gallo-romain
1038		Fosse	330	120	28	sédiment limoneux gris clair avec charbons de bois tc et métal	Gallo-romain
1039	177	Segment FoC	3932	100	22	sédiment limoneux brun	
1039	183	Segment FoC	3932			sédiment limono-argileux gris foncé compact avec traces d'oxydation	
1039	328	Segment FoC	3932			sédiment limono-argileux gris foncé compact homogène	

N° de ST	Sond	Nature	L ou Diam en cm	Larg en cm	Prof en cm	Description du remplissage	Datation
1039	329	Segment FoC	3932			sédiment limono-argileux gris foncé compact homogène	
1040		Fosse	187	82	22	sédiment limono-argileux gris compact mélangé au substrat	Âge du Fer
1041		Segment FoC				voir 1164	Gallo-romain
1042	427	Segment FoC				voir 1033	Gallo-romain
1043		Segment FoC				voir 826	
1044		Trou de Poteau	46		5	substrat remanié	
1045		Trou de Poteau	50		12	sédiment limono-argileux mélangé au substrat très compact avec charbons de bois et tc	
1046		Trou de Poteau	50		10	sédiment limono-argileux mélangé au substrat très compact avec charbons de bois et tc	
1047		Trou de Poteau	50		18	sédiment limono-argileux brun gris avec rares charbons de bois	
1048		Trou de Poteau	40		13	substrat remanié très compact avec nodules de terre cuite	
1049		Trou de Poteau	70	53	17	limon gris compact homogène	
1050		Trou de Poteau	50		7	sédiment limono-argileux brun gris très compact avec charbons de bois	
1051		Trou de Poteau	60	50	7	sédiment limono-argileux très dense	
1052		Trou de Poteau	30		11	sédiment limono-argileux avec terre rubéfiée charbons de bois, tc et schiste chauffé	
1053		Trou de Poteau	40		8	sédiment limono-argileux brun gris avec charbons de bois et tc	
1054		Trou de Poteau	27		7	sédiment limono-argileux gris	
1055		Segment FoC	1600	85			
1056		non fouillé					
1057		non fouillé					
1058		Segment FoC	2800	70	30	sédiment limoneux beige	Âge du Fer
1059		Trou de Poteau	50		20	sédiment limono-argileux très compact avec charbons de bois et nodules de terre cuite	
1060		Trou de Poteau	40		15	sédiment limono-argileux très compact avec charbons de bois et tc	Âge du Fer
1061		non fouillé					
1062		Segment FoC	7900			voir 1168	
1063		Fosse	90			sédiment limoneux brun avec blocs indéterminés posés à plat.	
1065	247	Segment FoC	8250	200		sédiment limono-argileux gris très compact homogène	Âge du Fer
1065	227	Segment FoC	2885	148	82	sédiment limoneux gris foncé compact homogène	Âge du Fer
1066		Segment FoC				voir 1074	
1067	239	Segment FoC	3160	114	54	sédiment limoneux gris meuble hétérogène avec charbons de bois	Âge du Fer
1068		non fouillé					
1069		non fouillé					
1070		non fouillé					
1071		non fouillé					
1072		Segment FoC		226	64	sédiment limoneux gris oxydé	Âge du Fer
1073		non fouillé					
1074	62	Segment FoC	6200	356	158	sédiment limono-argileux variant du beige au gris selon les couches, comportant charbons de bois,	Âge du Fer
1074	417	Segment FoC	6200	356	158	sédiment limoneux brun clair oxydé	
1074	247	Segment FoC	6200	200	126	sédiment limono-argileux variant du beige au gris selon les couches, comportant charbons de bois,	
1074	416	Segment FoC	6200	110	84	sédiment limono-argileux variant du beige au gris selon les couches, comportant charbons de bois,	
1075	355	Segment FoC	4868	108	20	sédiment limono-argileux beige clair compact hétérogène	Gallo-romain
1075	356	Segment FoC	4868	60	22	sédiment limono-argileux gris orangé compact hétérogène	Gallo-romain
1076	358	Segment FoC	2535	90	72	sédiment argilo-limoneux beige jaune avec charbons de bois	Âge du Fer
1076	359	Segment FoC	2535	84	70	sédiment argilo-limoneux gris mélangé au substrat	
1077		non fouillé					

N° de ST	Sond	Nature	L ou Diam en cm	Larg en cm	Prof en cm	Description du remplissage	Datation
1078		Trou de Poteau	65	57	15	sédiment limoneux brun meuble homogène avec charbons de bois et tca	
1079		Trou de Poteau	40		12	sédiment limoneux beige gris avec charbons de bois et tc	
1080		Trou de Poteau	36		12	sédiment limoneux brun gris meuble homogène avec charbons de bois	
1081		Trou de Poteau	66	50	9	sédiment limoneux brun gris meuble homogène	
1082		Trou de Poteau	32		9	sédiment limono-argileux gris compact homogène	
1083		Trou de Poteau	36		16	sédiment limoneux gris clair orangé compact homogène avec charbons de bois	
1084		Trou de Poteau	30		7	sédiment limono-argileux gris	
1085		ANNULE					
1086		Fosse	89	60	15	sédiment limoneux gris brun meuble homogène avec charbons de bois	
1087		Trou de Poteau	31		10	sédiment limoneux brun gris compact hétérogène avec charbons de bois et tc	
1088		Trou de Poteau	39		16	sédiment limoneux beige gris orangé hétérogène compact avec charbons de bois et tc	
1089		Trou de Poteau	40	29	11	sédiment limoneux beige gris orangé hétérogène compact avec charbons de bois et tc	Âge du Fer
1090		non fouillé					
1091		Trou de Poteau	26		14	sédiment limoneux gris clair compact homogène avec charbons de bois	
1092		ANNULE	176	110	42	sédiment limono-argileux gris compact homogène avec oxydation	
1093		Trou de Poteau	20		4	sédiment limono-argileux gris beige	
1094		Trou de Poteau	20		14	sédiment limono-argileux gris beige	
1095		Trou de Poteau	40		25	sédiment limoneux gris beige homogène dense	
1096		Trou de Poteau	65	55	9	sédiment limoneux gris	
1097		non fouillé					
1098		ANNULE					
1099		Trou de Poteau	30		6	substrat remanié	
1100		Trou de Poteau	49		28	sédiment limoneux gris meuble et hétérogène	
1101		Trou de Poteau	30		15	sédiment limoneux gris blanc poudreux meuble homogène	Gallo-romain
1102		Trou de Poteau	38		8	substrat remanié meuble hétérogène	
1103		ANNULE					
1104		Trou de Poteau	36		12	sédiment limono-argileux gris	Âge du Fer
1105		Trou de Poteau	44	33	14	substrat remanié	
1106		ANNULE					
1107	298	Segment FoC	1165	102	42	sédiment limoneux gris beige homogène compact	
1107		Segment FoC	1165	77	30	sédiment limoneux gris beige homogène compact avec charbons de bois et tc	
1108		Trou de Poteau	34		6	sédiment limoneux gris	
1109		non fouillé					
1110		non fouillé					
1111		Trou de Poteau	42	30	10	sédiment limoneux gris	
1112		Trou de Poteau	29		8	sédiment limoneux gris beige	
1113		Trou de Poteau	35	23	5	sédiment limoneux gris beige	
1114		Trou de Poteau	24	16	5	sédiment limoneux gris beige	
1115		Trou de Poteau	42		13	sédiment limoneux gris beige	
1116	756	Segment FoC	2255	80	40	sédiment limono-argileux brun homogène	
1117		Trou de Poteau	46		7	sédiment argilo-sableux brun clair peu compact homogène	Gallo-romain
1118		Trou de Poteau	34		6	sédiment limono-argileux brun clair homogène compact	
1119		ANNULE					
1120	259	Sablière	683	25	5	sédiment limoneux gris clair	
1120	260	Sablière	683	25	5	sédiment limoneux gris clair homogène	

N° de ST	Sond	Nature	L ou Diam en cm	Larg en cm	Prof en cm	Description du remplissage	Datation
1121		non fouillé					
1122		Trou de Poteau	66		20	sédiment limono-argileux brun gris compact avec charbons de bois et tc	
1123		Trou de Poteau	64	52	30	sédiment limono-argileux brun gris très charbonneux compact hétérogène	
1124		non fouillé					
1125		non fouillé					
1126		Trou de Poteau	44		5	limon brun + rares CB	
1127		Trou de Poteau					
1128		Trou de Poteau					
1129		Trou de Poteau	30		27	substrat remanié	Gallo-romain
1130		ANNULE					
1131		ANNULE					
1132	276	Segment FoC	809	70	39	sédiment limoneux gris brun charbonneux	Âge du Fer
1132	302	Segment FoC	809	70	34	sédiment limoneux gris brun charbonneux	
1133	295	Segment FoC	1500	56	35	sédiment limoneux gris orangé beige	
1134	294	Segment FoC	2255	100	34	sédiment limoneux gris beige	Âge du Fer
1135		Segment FoC				voir 2868	Gallo-romain
1136		non fouillé					
1137		non fouillé					
1138		Chablis					
1139		ANNULE					
1140		Trou de Poteau	44	34	9	sédiment limoneux gris avec charbons de bois	
1141		Fosse	154	82	28	sédiment limono-argileux brun à gris meuble hétérogène avec charbons de bois et tc	Âge du Fer
1142		Trou de Poteau	25		6	sédiment limono-argileux brun gris compact avec traces d'oxydation	
1143		non fouillé					
1144		Segment FoC					
1145		Trou de Poteau	58	50	18	sédiment limoneux gris brun meuble homogène avec charbons de bois	
1146		Trou de Poteau	96	72	15	sédiment limoneux gris brun meuble homogène avec charbons de bois	
1147		non fouillé					
1148		Fosse	88	32	8	sédiment limoneux gris brun meuble homogène avec rares charbons de bois	
1149		Chablis					
1150		non fouillé					
1151		Trou de Poteau	60	44	24	limon brun + schistes + rares cailloux QTZ + CR	
1152	280	Segment FoC	754	52	12	sédiment limoneux orangé compact	
1152	281	Segment FoC	754	53	6	sédiment limoneux orangé compact	
1153	236	Segment FoC	597	92	38	sédiment limoneux gris noir avec inclusions de charbons de bois, scories, tc, parois de four	Gallo-romain
1153	243	Segment FoC	597	102	36	sédiment limoneux gris noir avec inclusions de charbons de bois, scories, tc, parois de four	
1153	244	Segment FoC	597	106	30	sédiment limoneux gris noir avec inclusions de charbons de bois, scories, tc, parois de four	
1154	297	Segment FoC	1900	60	12	sédiment limoneux gris orangé	
1154	296	Segment FoC	1900	60	10	sédiment limoneux gris orangé	
1155	246	Segment FoC	695	61	12	sédiment limono-argileux brun gris avec charbons de bois, scories	Gallo-romain
1155	235	Segment FoC	695	100	28	sédiment limono-argileux brun gris avec charbons de bois, scories, parois de four	Gallo-romain
1156	279	Segment FoC	590	122	38	sédiment limoneux gris foncé compact homogène avec charbons de bois, scorie, tc oxydation très importante au fond	Gallo-romain

N° de ST	Sond	Nature	L ou Diam en cm	Larg en cm	Prof en cm	Description du remplissage	Datation
1156	245	Segment FoC	590	130	38	sédiment limoneux gris foncé compact homogène avec charbons de bois, scorie, tc oxydation très importante au fond	
1156	234	Segment FoC	590	127	30	sédiment limoneux gris foncé compact homogène avec charbons de bois, scorie, tc oxydation très importante au fond	
1157		Trou de Poteau	30		18	sédiment limono-argileux brun gris avec des charbons de bois	
1158		Trou de Poteau	35		14	sédiment limoneux gris clair homogène compact avec charbons de bois, scories	Gallo-romain
1159		Trou de Poteau	36	27	5	sédiment limoneux mélangé au substrat, scorie	
1160		ANNULE					
1161		non fouillé					
1162	282	Segment FoC	3300	50	11	sédiment limoneux gris brun compact homogène	
1162	283	Segment FoC	3300	66	24	sédiment limoneux gris clair orangé compact	
1163	262	Segment FoC	5690	76	17	sédiment limono-argileux gris compact homogène très oxydé	Gallo-romain
1163	265	Segment FoC	5690	74	42	sédiment limono-argileux gris compact homogène très oxydé	
1163	267	Segment FoC	5690	88	36	sédiment limono-argileux gris compact homogène très oxydé	
1163	284	Segment FoC	5690	74	42	sédiment limono-argileux gris compact homogène très oxydé	
1164	159	Segment FoC	7526	48	20	sédiment limoneux gris brun	Gallo-romain
1164	160	Segment FoC	7526	60	26	sédiment limoneux gris beige	Gallo-romain
1164	152	Segment FoC	7526	140	34	sédiment limoneux gris brun	Gallo-romain
1164	156	Segment FoC	7526	170	43	sédiment limoneux brun	Gallo-romain
1164	337	Segment FoC	7526	142	52	sédiment limoneux brun	Gallo-romain
1165		non fouillé					
1166		non fouillé					
1167		non fouillé					
1168	149	Segment FoC	7900	65	26	sédiment limoneux brun	Gallo-romain
1168	160	Segment FoC	7900	150	21	sédiment limoneux brun	Gallo-romain
1169		non fouillé					
1170		non fouillé					
1171		non fouillé					
1172	362	Segment FoC	5000	42	26	sédiment limono-argileux beig claircompact	Gallo-romain
1172	363	Segment FoC	5000	56	23	sédiment limono-argileux beige clair hétérogène	Gallo-romain
1172	364	Segment FoC	5000	72	36	sédiment limono-argileux beige clair hétérogène	Gallo-romain
1173		non fouillé					
1174		non fouillé					
1175		non fouillé					
1176	369	Segment FoC	2712	97	22	sédiment limoneux beige brun peu compact homogène avec charbons de bois	Gallo-romain
1176	368	Segment FoC	2712	91	20	sédiment limoneux beige brun peu compact homogène avec charbons de bois	Gallo-romain
1176	367	Segment FoC	2712	106	21	sédiment limoneux beige brun peu compact homogène avec charbons de bois	Gallo-romain
1176	370	Segment FoC	2712	80	8	sédiment limoneux beige brun peu compact homogène avec charbons de bois	Gallo-romain
1177		Trou de Poteau	30		7	sédiment limoneux gris beige	
1178		Trou de Poteau	43		7	sédiment limono-argileux gris meuble homogène	
1179		non fouillé					
1180		Trou de Poteau	48	42	14	limon brun oxydé + CBSédiment limoneux brun gris meuble homogène avec charbons de bois	
1181		Trou de Poteau	35		10	sédiment limono-argileux gris meuble	
1182		non fouillé					
1183		Trou de Poteau	35		9	sédiment limono-argileux gris compact	Gallo-romain
1184		Trou de Poteau	60	40	15	sédiment limono-argileux beige clair, teg	Gallo-romain
1185		Trou de Poteau	27		5	sédiment limono-argileux gris assez meuble	
1186		Trou de Poteau	45		11	sédiment limono-argileux gris homogène	



N° de ST	Sond	Nature	L ou Diam en cm	Larg en cm	Prof en cm	Description du remplissage	Datation
1187		Trou de Poteau	58		4	sédiment limoneux beige gris homogène compact	
1188	372	Segment FoC	1035	122	64	sédiment limono-argileux gris, clair homogène	Gallo-romain
1188	305	Segment FoC	1035	110	50	sédiment limono-argileux gris, clair homogène	Gallo-romain
1189		Trou de Poteau	31		4	sédiment limoneux brun gris meuble homogène avec charbons de bois	
1190		Trou de Poteau	30		8	sédiment limoneux brun gris meuble homogène avec charbons de bois	
1191		Trou de Poteau	60	44	24	sédiment limoneux brun gris meuble homogène avec charbons de bois et tca	Gallo-romain
1192		Trou de Poteau	58		17	sédiment limoneux brun gris meuble homogène	Gallo-romain
1193		non fouillé					
1194		Trou de Poteau	40		12	sédiment limono-argileux gris orangé compact avec charbons de bois	
1195		Trou de Poteau	48	43	4	sédiment limoneux brun gris meuble homogène avec charbons de bois	
1196		non fouillé					
1197		Fosse	143		3	très érodée	Gallo-romain
1198		non fouillé					
1199		Trou de Poteau	50	40	20	sédiment limoneux brun meuble homogène avec charbons de bois et tc	
1200		Trou de Poteau	45		25	sédiment limono-argileux gris beige avec tc et teg	Gallo-romain
1201		Trou de Poteau	25		14	sédiment limono-argileux gris compact avec charbons de bois	
1202		Trou de Poteau	30		8	sédiment limono-argileux gris compact avec charbons de bois et tc	
1203		Trou de Poteau	40	30	8	sédiment limono-argileux gris compact avec charbons de bois	
1204		Fosse	322	245	24	sédiment limono-argileux gris assez hétérogène	Gallo-romain
1205		non fouillé					
1206		non fouillé					
1207		non fouillé					
1208		Trou de Poteau	40		16	substrat remanié très compact	
1209		non fouillé					
1210		Trou de Poteau	38		3	sédiment limoneux brun homogène meuble avec charbons de bois	
1211		Trou de Poteau	57	48	12	sédiment limono-argileux brun gris orangé avec charbons de bois	Gallo-romain
1212		Fosse	96	82	3	sédiment limoneux gris avec tc	Gallo-romain
1213		Mare	1700	700		sédiment limono-argileux hydromorphe recouvert d'une couche de pierres, avec charbons de bois, tuiles	
1214		Fosse	314	200	22	sédiment limoneux gris noir très charbonneux avec des fragments brûlés de meule	Âge du Fer
1215		Trou de Poteau	70	60	13	sédiment limoneux brun gris avec charbons de bois et tc	
1216		Trou de Poteau	45		7	sédiment argilo-limoneux gris mélangé au substrat avec charbons de bois et tc	
1217		Fosse	214	200	17	sédiment limoneux brun clair orangé compact homogène avec concentration de pierres en partie nord	
1218		Trou de Poteau	46		19	sédiment limoneux gris clair orangé	
1219		Trou de Poteau	100	80	20	limon gris oxydé + altérite + CB + TC sédiment limono-argileux gris brun avec charbons de bois et tc	
1220		Trou de Poteau	50		5	limon brun + schistes + TC + rares CB	
1221		non fouillé					
1222		Trou de Poteau	50		8	sédiment limono-argileux gris avec tc	
1223		Fosse	104	92	22	sédiment argilo-limoneux gris beige homogène compact	
1224		Sablière				voir 2933	
1225		non fouillé					
1226		Trou de Poteau	40		4	sédiment limono-argileux gris	

N° de ST	Sond	Nature	L ou Diam en cm	Larg en cm	Prof en cm	Description du remplissage	Datation
1227		non fouillé					
1228		non fouillé					
1229		non fouillé					
1230		non fouillé					
1231		Trou de Poteau				voir 2981	
1232		Trou de Poteau	100		25	sédiment limoneux gris beige homogène	
1233		Trou de Poteau	56		5	sédiment limoneux gris orangé avec charbons de bois	Gallo-romain
1234		non fouillé					
1235		ANNULE					
1236		Trou de Poteau	26		19	sédiment limono-argileux gris	
1237		Trou de Poteau	90	70	20	sédiment limono-argileux gris clair compact homogène	Gallo-romain
1238		Trou de Poteau	88	60	20	sédiment limono-argileux gris	Âge du Fer
1239		Fosse	181	96	38	sédiment limono-argileux gris orangé avec charbons de bois et tc	
1240		ANNULE					
1241		Trou de Poteau	65		26	sédiment limoneux brun gris très compact	Âge du Fer
1242		Fosse	102		16	sédiment limono-argileux gris avec charbons de bois	
1243		Trou de Poteau	76	66	12	sédiment limoneux gris avec charbons de bois	
1244		Fosse	86	62	6	sédiment sablo-limoneux gris clair homogène	
1245		Fosse	258	152	30	sédiment limono-argileux brun beige homogène compact	
1246		Segment FoC	230	55	10	sédiment limoneux gris jaune homogène	
1247		Trou de Poteau	60	45	13	sédiment limono-argileux gris clair très compact avec charbons de bois	
1248		non fouillé					
1249		non fouillé					
1250		Trou de Poteau	55		20	sédiment argilo-limoneux gris brun avec charbons de bois	
1251		Trou de Poteau	70	43	16	sédiment argilo-limoneux gris brun homogène avec charbons de bois	
1252		Trou de Poteau	35		10	sédiment argilo-limoneux gris beige avec charbons de bois	
1253		Trou de Poteau	45		12	sédiment argilo-limoneux gris brun homogène avec charbon de bois	
1254		Trou de Poteau	45		25	sédiment argilo-limoneux gris brun homogène avec charbon de bois	
1255		Trou de Poteau	40		11	sédiment argilo-limoneux gris brun homogène avec charbon de bois	
1256		non fouillé					
1257		ANNULE					
1258		Segment FoC				argile brune oxydé + altérite (=US 1 sur le relevé de Sd 461)	
1259		non fouillé					
1260		non fouillé					
1261		Trou de Poteau	40		8	sédiment argilo-limoneux gris brun homogène	
1262		Trou de Poteau	40		17	sédiment argilo-limoneux brun avec charbons de bois	
1263		Trou de Poteau	40		16	sédiment argilo-limoneux gris brun homogène avec charbon de bois	
1264		non fouillé					
1265		non fouillé					
1266		Trou de Poteau	45		10	sédiment argilo-limoneux gris brun homogène	
1267		non fouillé					
1268		Trou de Poteau	50		18	sédiment argilo-limoneux gris brun homogène avec charbon de bois	
1269		non fouillé					
1270		Trou de Poteau	40		9	sédiment argilo-limoneux gris brun homogène	
1271		Trou de Poteau	30		15	sédiment argilo-limoneux gris brun homogène avec charbon de bois	
1272		Trou de Poteau	50		10	sédiment argilo-limoneux gris brun homogène	

N° de ST	Sond	Nature	L ou Diam en cm	Larg en cm	Prof en cm	Description du remplissage	Datation
1273		Trou de Poteau	56		18	sédiment limono-argileux gris hétérogène compact avec charbons de bois	
1274		Trou de Poteau	76	60	21	sédiment limono-argileux gris jaune hétérogène compact	
1275		Trou de Poteau	60	48	12	sédiment limono-argileux brun gris homogène meuble	
1276		Trou de Poteau	52	42	10	sédiment limoneux brun gris mélangé au substrat	
1277		Fosse	170	80	32	sédiment limono-argileux gris très compact avec charbons de bois	
1278		Trou de Poteau	62	50	17	sédiment limono-argileux gris hétérogène compact	
1279		non fouillé					
1280		non fouillé					
1281		Trou de Poteau	56	34	12	sédiment argilo-limoneux gris brun homogène	
1282		non fouillé					
1283		non fouillé					
1284		non fouillé					
1285		Trou de Poteau	52	30	6	sédiment argilo-limoneux gris brun homogène	
1286		Segment FoC	56		16	sédiment argilo-limoneux jaune gris homogène avec charbon de bois	
1287		Trou de Poteau	60		15	sédiment argilo-limoneux gris brun homogène avec charbon de bois	
1288		Trou de Poteau	45		12	sédiment argilo-limoneux jaune brun homogène avec charbon de bois	
1289		non fouillé					
1290		Trou de Poteau	62	53	16	sédiment argilo-limoneux gris brun homogène avec charbon de bois	
1291		Trou de Poteau	50	40	22	sédiment argilo-limoneux gris brun homogène avec charbon de bois	
1292		non fouillé					
1293		Trou de Poteau	60	54	6	sédiment sablo-limoneux brun clair compact homogène	
1295		Trou de Poteau	45		12	sédiment argilo-limoneux gris brun homogène avec charbon de bois	
1296		non fouillé					
1297		non fouillé					
1298		Trou de Poteau				voir 2993	
1299		non fouillé					
1300		ANNULE				voir 2969	
1301		Trou de Poteau	40		8	sédiment limono-argileux très brun homogène avec inclusions de charbons de bois	
1302		Trou de Poteau	30		12	sédiment limono-argileux brun homogène avec inclusions de charbons de bois	
1303		Trou de Poteau	75		17	sédiment limono-argileux brun homogène	
1304		Trou de Poteau	60		18	sédiment très argileux gris hydromorphe compact avec charbons de bois	
1305		Segment FoC				voir 2974	Âge du Fer
1306		Trou de Poteau	50		14	sédiment limoneux beige avec charbons de bois	
1307		Trou de Poteau	42		19	sédiment limoneux brun clair avec charbons de bois	
1308		Trou de Poteau	34		12	sédiment limoneux brun clair avec charbons de bois et nodules de tc	
1309		Fosse	720	246	8		
1310	630	Segment FoC	3117	134	80	sédiment argileux gris hydromorphe	Âge du Fer
1310	611	Segment FoC	3117	140	50	sédiment argileux gris hydromorphe	Âge du Fer
1311		non fouillé					
1312		non fouillé					
1313		Segment FoC	1595	68	15	sédiment limono-argileux brun mélangé au substrat	
1314		Trou de Poteau					
1315		Fosse	200		26	sédiment limono-argileux brun gris homogène compact avec tc	Âge du Fer
1316	387	Segment FoC	600	70	26	sédiment limono-argileux gris beige homogène	Âge du Fer

N° de ST	Sond	Nature	L ou Diam en cm	Larg en cm	Prof en cm	Description du remplissage	Datation
1316	433	Segment FoC	600	76	33	sédiment limono-argileux gris beige homogène	Âge du Fer
1316	391	Segment FoC	600	80	30	sédiment limono-argileux gris beige homogène	Âge du Fer
1317		Segment FoC					
1318		Sablière	613	36	17	sédiment limono-argileux gris brun homogène meuble avec charbons de bois	Âge du Fer
1319		Trou de Poteau	40		8	sédiment limono-argileux gris brun	
1320		Fosse	118	49	27	sédiment argilo-limoneux brun foncé compact homogène recouvert d'un niveau plus sableux	Âge du Fer
1321		non fouillé					
1322		non fouillé					
1323		non fouillé					
1324		Segment FoC	14768	110	20	sédiment limono-argileux brun beige homogène meuble	Moderne
1325		Trou de Poteau	40		9	sédiment limono-argileux brun	
1326		non fouillé					
1327		Trou de Poteau	110	36	15	sédiment limono-argileux gris beige	
1328		Trou de Poteau	86	60	12	sédiment limono-argileux gris compact	
1329		non fouillé					
1330		non fouillé					
1331		non fouillé				voir 1503	
1332		Sablière				voir 1503	
1333		Sablière	685	46	6	sédiment limono-argileux gris assez compact hétérogène	
1334		non fouillé					
1335		non fouillé					
1336		Trou de Poteau	30		9	sédiment limono-argileux gris brun	
1337		Trou de Poteau	93		6	sédiment limono-argileux jaune orangé	Âge du Fer
1338		non fouillé					
1339		non fouillé					
1340	505	Segment FoC	1962	50	32	sédiment limono-argileux brun	Âge du Fer
1341		Fosse	178	83	24	sédiment argileux brun gris mélangé au substrat recouvrant une couche plus charbonneuse et compact	
1342	435	Sablière	500	40	18	sédiment argileux brun jaune	Âge du Fer
1342	436	Sablière	500	40	18	sédiment argileux brun jaune	
1342	436	Sablière	500	26	10	sédiment argileux brun jaune	
1342	434	Sablière	500	26	20	sédiment argileux brun jaune	
1343		Trou de Poteau	32		6	sédiment argileux brun jaune clair très hétérogène	
1344	624	Segment FoC	1600	95	23	sédiment argileux gris hydromorphe	Gallo-romain
1345		Segment FoC				voir 2021	Gallo-romain
1346		non fouillé					
1347		Trou de Poteau	45		12	sédiment limono-argileux gris brun	
1348		Trou de Poteau	45		12	sédiment limono-argileux gris brun	
1349		Trou de Poteau	40		5	sédiment limono-argileux gris brun hétérogène	
1350		Trou de Poteau					
1351		Sablière	1100	50	12	sédiment argilo-limoneux gris beige homogène dense avec tc et charbons de bois	Âge du Fer
1352		Trou de Poteau				voir 2874	
1353		Trou de Poteau	62		6	sédiment argilo-limoneux gris beige hétérogène	
1354		dépression					
1355		Empierrement					
1356		Trou de Poteau					
1357		Trou de Poteau	56		18	sédiment argileux brun gris clair mélangé au substrat	
1358		non fouillé					
1359		Chemin		1200	12	sédiment limono-argileux gris avec gros cailloutis rapporté	
1360		Trou de Poteau	70		14	sédiment argileux brun clair	

N° de ST	Sond	Nature	L ou Diam en cm	Larg en cm	Prof en cm	Description du remplissage	Datation
1361		Trou de Poteau	60		36	sédiment argileux brun clair	
1362		Trou de Poteau	60		18	sédiment argileux brun clair	
1363		ANNULE					
1364		Trou de Poteau	60		20	sédiment argileux brun clair	
1365		Trou de Poteau	40		23	sédiment argileux brun clair	
1366		Sablière	300	50	10	sédiment limono-argileux gris avec gros cailloux rapportés	
1367		Trou de Poteau	36		8	sédiment limoneux gris et charbons de bois	
1368		Segment FoC				voir 1451	Gallo-romain
1369		Trou de Poteau	48	39	16	sédiment limono-argileux gris	Âge du Fer
1370	475	Segment FoC	15432	101	40	sédiment limono-argileux gris beige	Gallo-romain
1370	449	Segment FoC	15432	90	40	sédiment limono-argileux brun compact, homogène	Gallo-romain
1371	457	Segment FoC	1330	102	76	sédiment argilo-limoneux brun gris compact homogène avec charbons de bois et tc	Âge du Fer
1371	567	Segment FoC	1330	94	76	sédiment argilo-limoneux brun gris compact homogène avec charbons de bois et tc	Âge du Fer
1371	613	Segment FoC	1330	84	78	sédiment argilo-limoneux brun gris compact homogène avec charbons de bois et tc	Âge du Fer
1371	446	Segment FoC	1330	84	81	sédiment argilo-limoneux brun gris compact homogène avec charbons de bois et tc	Âge du Fer
1372		Sablière					
1373		Segment FoC					
1374	560	Sablière	825	20	8		
1375		Trou de Poteau				voir 3010	
1376		Trou de Poteau				voir 3012	
1377		ANNULE					
1378		non fouillé					
1379		Trou de Poteau				voir 3018	
1380		ANNULE					
1381		Trou de Poteau				voir 3021	
1382		ANNULE					
1383		Trou de Poteau	38		6		
1384		non fouillé					
1385		ANNULE					
1386		non fouillé					
1387		Fosse	114		48	sédiment argilo-limoneux gris beige avec charbons de bois	
1388	504	Segment FoC	12445			sédiment limono-argileux gris à brun homogène	
1389		ANNULE					
1390		ANNULE					
1391		ANNULE					
1392		ANNULE					
1393		ANNULE					
1394		ANNULE					
1395		ANNULE					
1396		ANNULE					
1397		ANNULE					
1398		ANNULE					
1399		non fouillé					
1400		ANNULE					
1401	389	Segment FoC	4860	272	150	sédiment limoneux brun beige devenant plus argileux à la base avec charbons de bois	Âge du Fer
1401	390	Segment FoC	4860	258	165	sédiment limoneux brun beige devenant plus argileux à la base avec charbons de bois	Âge du Fer
1401	381	Segment FoC	4860	240	150	sédiment limoneux brun beige devenant plus argileux à la base avec charbons de bois	Âge du Fer

N° de ST	Sond	Nature	L ou Diam en cm	Larg en cm	Prof en cm	Description du remplissage	Datation
1401	383	Segment FoC	4860	270	152	sédiment limoneux brun beige devenant plus argileux à la base avec charbons de bois	Âge du Fer
1401	499	Segment FoC	4860	260	150	sédiment limoneux brun beige devenant plus argileux à la base avec charbons de bois	Âge du Fer
1402	468	Segment FoC	3455	270	154	sédiment argilo-limoneux gris à brun avec charbons de bois	Âge du Fer
1402	469	Segment FoC	3455	300	180	sédiment argilo-limoneux gris à brun avec charbons de bois	Âge du Fer
1403		ANNULE					
1404		non fouillé					
1405		Fosse	166	55	20	sédiment limono-argileux gris clair avec nodules de tc et charbons de bois	Âge du Fer
1406		ANNULE					
1407		ANNULE					
1408		Trou de Poteau	38		20	sédiment limono-argileux brun homogène avec charbons de bois et tc	Âge du Fer
1409		ANNULE					
1410		ANNULE					
1411		ANNULE					
1412		ANNULE					
1413		non fouillé					
1415		Trou de Poteau	60	32	21	sédiment limono-argileux brun meuble homogène avec charbons de bois	
1416		non fouillé					
1417		non fouillé					
1418		non fouillé					
1419		non fouillé					
1420		non fouillé					
1421		non fouillé					
1422		non fouillé					
1423		non fouillé					
1424		non fouillé					
1425		ANNULE					
1426		non fouillé					
1427		non fouillé					
1428	612	Sablrière	255	55	17	sédiment limoneux gris avec charbons de bois	
1429		Segment FoC	195	50	17	sédiment limoneux gris sombre avec charbons de bois et tc	
1430		Trou de Poteau	40		11	sédiment limoneux brun gris	
1431		Fosse	96	62	26	sédiment limono-argileux gris bleu avec charbons de bois	Âge du Fer
1432		Trou de Poteau	40		24	sédiment limoneux gris	
1433		non fouillé					
1434		non fouillé					
1435		non fouillé					
1436		Fosse	130	50	23	sédiment limoneux gris brun peu compact homogène avec charbons de bois et calage de pierres de quartz	
1437		non fouillé					
1438		non fouillé					
1439		non fouillé					
1440		remblais					
1441		non fouillé					
1442		non fouillé					
1443	748	Segment FoC	14000	60	15	sédiment limono-argileux brun meuble homogène	Gallo-romain
1443	599	Segment FoC	14000	190	70	sédiment limono-argileux brun compact homogène avec charbons de bois et tc	
1443	672	Segment FoC	14000	190	70	sédiment limono-argileux brun compact homogène avec charbons de bois et tc	

N° de ST	Sond	Nature	L ou Diam en cm	Larg en cm	Prof en cm	Description du remplissage	Datation
1444		non fouillé					
1445		non fouillé					
1446		non fouillé					
1447		non fouillé					
1448		non fouillé					
1449		non fouillé					
1450		non fouillé					
1451	598	Segment FoC	3000	114	43	sédiment limono-argileux brun à gris plus ou moins compact homogène avec charbons de bois	Âge du Fer
1452	597	Segment FoC	1020	162	58	sédiment limono-argileux brun peu compact homogène avec charbons de bois au fond	
1453		non fouillé					
1454		Segment FoC					
1455		Segment FoC					Âge du Fer
1456		Segment FoC					
1457		Segment FoC				voir 545	
1458		non fouillé					
1459		non fouillé					
1460		non fouillé					
1461		Fosse					
1462	595	Segment FoC	5246	90	65	sédiment argilo-limoneux brun peu compact hétérogène	Âge du Fer
1463	595	Segment FoC	3500	90	45	sédiment argilo-limoneux peu compact hétérogène	
1463	592	Segment FoC	3500	40	22	sédiment argilo-limoneux peu compact hétérogène	
1464		non fouillé					
1465	110	Segment FoC	8120	240	90	sédiment limono-argileux brun clair	
1466		non fouillé					
1467		Segment FoC					
1468		non fouillé					
1469		ANNULE					
1470		ANNULE					
1471		Trou de Poteau	50		11	sédiment limono-argileux gris jaune compact homogène avec manganèse	
1472		Trou de Poteau	26		8	sédiment limono-argileux gris jaune compact homogène avec manganèse	
1473		Trou de Poteau	56		20	sédiment limono-argileux gris jaune compact homogène avec tca	
1474		Trou de Poteau	50	32	7	sédiment limono-argileux gris jaune compact homogène avec charbons de bois et manganèse	
1475		Trou de Poteau	42		18	sédiment limono-argileux gris jaune compact homogène avec manganèse	
1476		Trou de Poteau	50	34	3	sédiment limono-argileux gris jaune compact homogène	
1477	503	Segment FoC	1100	148	95	sédiment limono-argileux gris brun homogène avec charbons de bois	Âge du Fer
1477	506	Segment FoC	1100	150	97	sédiment limono-argileux gris brun homogène avec charbons de bois	
1477	515	Segment FoC	1100	134	97	sédiment limono-argileux gris brun homogène avec charbons de bois	
1477	519	Segment FoC	1100	180	92	sédiment limono-argileux gris brun homogène avec charbons de bois	
1477	511	Segment FoC	1100	122	95	sédiment limono-argileux gris brun homogène avec charbons de bois	
1478		Sablière					Âge du Fer
1479		Segment FoC				voir 2021	
1480		Sablière					
1481		Trou de Poteau	28		4	sédiment limono-argileux gris jaune compact homogène avec manganèse	

N° de ST	Sond	Nature	L ou Diam en cm	Larg en cm	Prof en cm	Description du remplissage	Datation
1482		ANNULE					
1483		ANNULE					
1484		Trou de Poteau	38		7	sédiment limono-argileux gris jaune compact homogène avec charbons de bois et manganèse	
1485		Trou de Poteau	30		8	sédiment limono-argileux gris jaune compact homogène avec manganèse	
1486		Trou de Poteau				voir 3024	
1487		ANNULE					
1488		ANNULE					
1489		Trou de Poteau				voir 3022	
1490		non fouillé					
1491	467	Segment FoC	2158	206	164	sédiment argilo-limoneux brun gris relativement homogène avec charbons de bois	Âge du Fer
1491	609	Segment FoC	2158	240	172	sédiment argilo-limoneux brun gris relativement homogène avec charbons de bois	Âge du Fer
1492		Trou de Poteau	70		15	sédiment limono-argileux brun gris avec charbons de bois et tc	
1493		Chablis					
1494		non fouillé					
1495		Segment FoC				voir 1402	
1496		non fouillé					
1497		non fouillé					
1498		non fouillé					
1499		non fouillé					
1500		Trou de Poteau	60		6	sédiment argilo-limoneux gris beige	
1501		Segment FoC	2200	73			Âge du Fer
1502		non fouillé					
1503	510	Segment FoC	2557	58	17	sédiment limono-argileux gris beige avec charbons de bois	Gallo-romain
1504		non fouillé					
1505		non fouillé					
1506	379	Trou de Poteau	2051	52	33	sédiment limoneux gris peu compact avec charbons de bois	
1507	514	Segment FoC	1642	67	20	sédiment limono-argileux gris	Gallo-romain
1507	380	Segment FoC	1642	122	36	sédiment limono-argileux gris brun	
1508		non fouillé					
1509		non fouillé					
1510		Segment FoC					Gallo-romain
1511		non fouillé					
1512		non fouillé					
1513		non fouillé					
1514		non fouillé					
1515		non fouillé					
1516		non fouillé					
1517		Segment FoC	696	62			Gallo-romain
1518		Fosse	185	90	23	sédiment limoneux brun clair	
1519		non fouillé					
1520		ANNULE					
1521		Segment FoC				voir 3031	
1522		ANNULE					
1523		ANNULE					
1524		ANNULE					
1525		ANNULE					
1526		ANNULE					
1527		Trou de Poteau				voir 3035	
1528		Trou de Poteau				voir 3033	



N° de ST	Sond	Nature	L ou Diam en cm	Larg en cm	Prof en cm	Description du remplissage	Datation
1529		Trou de Poteau				voir 3032	
1530		Trou de Poteau				voir 3036	
1531		Trou de Poteau	68	48	11	sédiment limoneux brun gris avec charbons de bois	
1532		Fosse				voir 3131	
1533		non fouillé					
1534		non fouillé					
1535		Trou de Poteau					
1536		ANNULE					
1537		non fouillé					
1538		Cave					Âge du Fer
1539		Cave					Âge du Fer
1540		non fouillé					
1541		non fouillé					
1542		non fouillé					
1543		non fouillé					
1544		non fouillé					
1545		non fouillé					
1546		Segment FoC				voir 3131	
1547		Segment FoC				voir 3131	
1548		Segment FoC				parcellaire moderne	
1549		non fouillé					
1550		non fouillé					
1551		non fouillé					
1552		non fouillé					
1553		non fouillé					
1554		non fouillé					
1555		ANNULE					
1556		non fouillé					
1557		non fouillé					
1558		non fouillé					
1559		non fouillé					
1560		non fouillé					
1561		Segment FoC					Mérovingien
1562		non fouillé					
1563		non fouillé					
1564		non fouillé					
1565		non fouillé					
1566		non fouillé					
1567	456	Segment FoC	1960	130	48	sédiment limono-argileux brun gris compact homogène avec charbons de bois et tc	Âge du Fer
1567	614	Segment FoC	1960	92	76	sédiment limono-argileux brun gris compact homogène avec charbons de bois et tc	Âge du Fer
1567	615	Segment FoC	1960	92	76	sédiment limono-argileux brun gris compact homogène avec charbons de bois et tc	Âge du Fer
1568	709	Segment FoC	2653	100	68	sédiment limono-argileux gris brun avec en partie basse substrat remanié	Âge du Fer
1568	716	Segment FoC	2653	110	63	sédiment limono-argileux gris brun oxydé avec charbons de bois	Âge du Fer
1568	717	Segment FoC	2653	75	31	sédiment limono-argileux gris brun oxydé avec charbons de bois	Âge du Fer
1569		non fouillé					
1570		non fouillé					
1571		non fouillé					
1572		non fouillé					

N° de ST	Sond	Nature	L ou Diam en cm	Larg en cm	Prof en cm	Description du remplissage	Datation
1573		Sablère	1114	735	20	sédiment limono-argileux gris homogène compact avec substrat remanié	
1574		non fouillé					
1575		Segment FoC					
1576		Segment FoC				voir 2021	
1577		non fouillé					
1578		non fouillé					
1579		non fouillé					
1580		non fouillé					
1581		non fouillé					
1582		non fouillé					
1583		non fouillé					
1584		non fouillé					
1585		non fouillé					
1586		non fouillé					
1587		non fouillé					
1588		non fouillé					
1589		ANNULE					
1590		ANNULE					
1591		non fouillé					
1592		Trou de Poteau	28		10	substrat remanié très hétérogène	
1593		Trou de Poteau	35		10	substrat remanié très hétérogène	
1594		ANNULE					
1595		ANNULE					
1596		ANNULE					
1597		non fouillé					Mérovingien
1599		ANNULE					
1600		Trou de Poteau	43		7	sédiment limono-argileux gris brun meuble homogène	
1601		Trou de Poteau	62	40	18	sédiment limoneux mélangé au substrat avec charbons de bois	Âge du Fer
1602		non fouillé					
1603		ANNULE					
1604		non fouillé					
1605		Trou de Poteau	88	65	7	sédiment limono-argileux brun assez homogène	
1606		non fouillé					
1607		Mur					
1608		Trou de Poteau	72	66	20	sédiment limono-argileux gris brun meuble hétérogène avec traces d'oxydation	
1609		non fouillé					
1610		non fouillé					
1611		non fouillé					
1612		non fouillé					
1613		non fouillé					
1614		non fouillé					
1615		non fouillé					
1616		non fouillé					
1617		non fouillé					
1618		non fouillé					
1619		non fouillé					
1620		non fouillé					
1621		non fouillé					
1622		non fouillé					
1623		non fouillé					
1624		non fouillé					

N° de ST	Sond	Nature	L ou Diam en cm	Larg en cm	Prof en cm	Description du remplissage	Datation
1625		non fouillé					
1626		non fouillé					
1627		non fouillé					
1628		non fouillé					
1629		non fouillé					
1630		non fouillé					
1631		non fouillé					
1632		non fouillé					
1633		non fouillé					
1634		non fouillé					
1635		non fouillé					
1636		non fouillé					
1637		non fouillé					
1638		non fouillé					
1639		non fouillé					
1640		non fouillé					
1641		non fouillé					
1642		non fouillé					
1643		Segment FoC					
1644		non fouillé					
1645	561	Segment FoC	2600	140	70	sédiment argilo-limoneux gris brun avec charbons de bois	Âge du Fer
1645	556	Segment FoC	2606	145	92	sédiment argilo-limoneux gris brun avec rares charbons de bois	Âge du Fer
1645	557	Segment FoC	2606	165	98	sédiment argilo-limoneux gris brun avec rares charbons de bois	Âge du Fer
1645	558	Segment FoC	2606	168	85	sédiment argilo-limoneux gris brun avec rares charbons de bois	Âge du Fer
1646		non fouillé					
1647		non fouillé					
1648		non fouillé					
1649		non fouillé					
1650		non fouillé					
1651		ANNULE					
1652		ANNULE					
1653		non fouillé					
1654		Trou de Poteau	60		17	sédiment limono-argileux brun peu compact homogène avec rares charbons de bois	
1655		Trou de Poteau	68		9	sédiment limoneux brun assez homogène	
1656		non fouillé					
1657		non fouillé					
1658		non fouillé					
1659		non fouillé					
1660		Segment FoC	8650			voir 522	Âge du Fer
1661		non fouillé					
1662		non fouillé					
1663		Trou de Poteau	70		18	sédiment limono-argileux brun gris peu compact homogène avec charbons de bois	
1664		non fouillé					
1665		Fosse	150	65	26	sédiment limono-argileux brun gris meuble homogène	
1666		Four	410	98	50	sous un niveau de pierres, couche charbonneuse et troncs calcinés	Âge du Fer
1667		non fouillé					
1668		ANNULE					
1669		non fouillé					
1670		non fouillé					
1671		Fosse	84	52	16	sédiment argilo-limoneux gris avec substrat	

N° de ST	Sond	Nature	L ou Diam en cm	Larg en cm	Prof en cm	Description du remplissage	Datation
1672		Fosse	94	50	14	sédiment limono-argileux brun jaune meuble dense avec charbons de bois	
1673		Trou de Poteau	60		22	sédiment argilo-limoneux brun meuble homogène	
1674		Trou de Poteau	60		20	sédiment argilo-limoneux brun meuble homogène	
1675	639	Segment FoC	2150	52	20	sédiment limono-argileux gris homogène compact avec charbons de bois	Âge du Fer
1675	629	Segment FoC	2150	60	32	sédiment limono-argileux gris homogène compact avec charbons de bois	Âge du Fer
1675	633	Segment FoC	2150	70	31	sédiment limono-argileux gris homogène compact avec charbons de bois	Âge du Fer
1675	638	Segment FoC	2150	46	15	sédiment limono-argileux gris homogène compact avec charbons de bois	Âge du Fer
1675	631	Segment FoC	2150	40	8	sédiment limono-argileux gris homogène compact avec charbons de bois	Âge du Fer
1676		Trou de Poteau	54		10	sédiment limoneux gris	
1677		ANNULE					
1678		Segment FoC					
1679		ANNULE					
1680		non fouillé					
1681		non fouillé					
1682		Segment FoC					
1683		ANNULE					
1684		ANNULE	162	50	36	sédiment limono-argileux brun gris meuble hétérogène	
1685		Trou de Poteau	31	24	8	sédiment limono-argileux gris brun meuble homogène rares charbons de bois	
1686		non fouillé					
1687		Trou de Poteau	28		7	sédiment limono-argileux gris brun meuble homogène	
1688		Trou de Poteau	32	22	7	sédiment limono-argileux gris brun meuble homogène rares charbons de bois	
1689		Trou de Poteau	31		9	sédiment limono-argileux gris brun meuble homogène	
1690		ANNULE					
1691		Trou de Poteau	20	15	3	sédiment limono-argileux gris brun meuble homogène	
1692		non fouillé					
1693		non fouillé					
1694		non fouillé					
1695		non fouillé					
1696	361	Fosse	195	120	35	sédiment limoneux gris cendrex mélangé au substrat avec beaucoup de charbons de bois, tc	Gallo-romain
1697		non fouillé					
1698		non fouillé					
1699		non fouillé					
1700		Trou de Poteau					
1701		Trou de Poteau	35		10	sédiment limono-argileux gris compact	
1702		Trou de Poteau	25		6	sédiment limono-argileux beige clair avec, tc	
1703		non fouillé					
1704		non fouillé					
1705		non fouillé					
1706		remblais					
1707		non fouillé					
1708		non fouillé					
1709		non fouillé					
1710		non fouillé					
1711		non fouillé					
1712		non fouillé					
1713		Trou de Poteau	44		10	sédiment argilo-limoneux brun homogène compact	

N° de ST	Sond	Nature	L ou Diam en cm	Larg en cm	Prof en cm	Description du remplissage	Datation
1714		non fouillé					
1715		non fouillé					
1716		non fouillé					
1717		non fouillé					
1718		non fouillé					
1719		non fouillé					
1720		Trou de Poteau	40		14	sédiment limoneux brun gris meuble homogène avec charbons de bois	
1721		Trou de Poteau	235	98	20	sédiment limoneux gris beige	
1722		non fouillé					
1723		non fouillé					
1724		non fouillé					
1725		non fouillé					
1726		non fouillé					
1727		non fouillé					
1728		non fouillé					
1729		non fouillé					
1730		ANNULE					
1731		ANNULE					
1732		ANNULE					
1733		ANNULE					
1734		Trou de Poteau	56		12	sédiment limono-argileux gris orangé meuble homogène avec charbons de bois	
1735		Trou de Poteau	35		6	sédiment argileux brun gris peu compact homogène avec charbons de bois	
1736		Trou de Poteau	70		9	sédiment limono-argileux brun gris peu compact homogène avec charbons de bois	
1737		Trou de Poteau	36		9	sédiment limono-argileux brun gris peu compact homogène avec charbons de bois	
1738		Trou de Poteau	45		11	sédiment argileux brun gris peu compact homogène avec charbons de bois	
1739		Trou de Poteau	50		16	sédiment limono-argileux brun homogène	
1740		Trou de Poteau	38		6	sédiment limono-argileux brun gris homogène compact	
1741		Trou de Poteau	77		17	sédiment limono-argileux gris brun homogène compact	
1742		Trou de Poteau	110	63	22	sédiment limono-argileux gris brun peu compact homogène avec charbons de bois	
1743		non fouillé					
1744		non fouillé					
1745		non fouillé					
1746		non fouillé					
1747		non fouillé					
1748		Trou de Poteau	40		14	sédiment limono-argileux gris brun meuble homogène	
1749		Trou de Poteau	60	34	8	sédiment limono-argileux gris brun meuble homogène	
1750		Trou de Poteau	24		8	sédiment limono-argileux gris brun meuble homogène avec charbons de bois	
1751		ANNULE					
1752		Trou de Poteau	40		17	sédiment limoneux relativement dense avec négatif du poteau en charbons de bois	
1753		Trou de Poteau	31		7	sédiment limono-argileux gris brun meuble homogène	
1754		Trou de Poteau	30		11	sédiment limono-argileux gris brun meuble homogène	
1755		Trou de Poteau	22		4	sédiment limono-argileux gris brun meuble homogène	
1756		Trou de Poteau	32		16	sédiment limono-argileux gris brun meuble homogène	
1757		Fosse	123	87	18	sédiment limoneux brun homogène et compact	
1758		non fouillé	1500				
1759		ANNULE					

N° de ST	Sond	Nature	L ou Diam en cm	Larg en cm	Prof en cm	Description du remplissage	Datation
1760		Fosse	200	100	32	sédiment limono-argileux brun compact hétérogène avec oxydations et charbons de bois	
1761		Trou de Poteau	50		18	sédiment limono-argileux brun clair homogène	
1762		ANNULE					
1763		Trou de Poteau	30		12	sédiment limono-argileux brun hétérogène assez compact	
1764		Trou de Poteau	20		12	sédiment limono-argileux brun foncé homogène assez compact	
1765		Trou de Poteau	30		20	sédiment limono-argileux brun foncé hétérogène	
1766		non fouillé					
1767		Trou de Poteau	54		20	sédiment argileux gris homogène avec charbons de bois	
1768		Trou de Poteau	50		26	sédiment argileux gris avec charbons de bois	
1769		Trou de Poteau	62	42	10	sédiment argileux gris	
1770		Trou de Poteau	57		13	sédiment argileux gris clair avec tc	
1771		Fosse	146		20	sédiment limoneux brun sombre homogène	
1772		non fouillé					
1773		non fouillé					
1774		non fouillé					
1775		non fouillé					
1776		non fouillé					
1777		non fouillé					
1778		non fouillé					
1779		non fouillé					
1780		non fouillé					
1781		non fouillé					
1782		non fouillé					
1783		non fouillé					
1784		non fouillé					
1785		non fouillé					
1786		non fouillé					
1787		non fouillé	36		6	sédiment limoneux gris	
1788		non fouillé					
1789		ANNULE					
1790		Trou de Poteau	50		12	sédiment argileux gris avec charbons de bois	
1791		ANNULE					
1792		non fouillé					
1793		Trou de Poteau	30		18	sédiment limoneux brun	
1794		Trou de Poteau	35		6	sédiment limono-argileux gris homogène meuble avec charbons de bois	
1795		Trou de Poteau	33		20	sédiment limono-argileux gris homogène compact avec charbons de bois	
1796		Trou de Poteau	23		5	sédiment limoneux gris homogène peu compact avec charbons de bois	
1797		Trou de Poteau	25		5	sédiment limoneux gris	
1798		Trou de Poteau	30		15	sédiment limono-argileux gris homogène peu compact avec charbons de bois	
1799		Trou de Poteau	25		7	sédiment limoneux gris	
1800		Trou de Poteau	40		20	sédiment limoneux gris avec charbons de bois	
1801		Trou de Poteau	35		20	sédiment limoneux gris	
1802		Trou de Poteau	25		23	sédiment limoneux gris	
1803		non fouillé					
1804	719	Segment FoC	615		28	sédiment argileux gris orangé	
1804	678	Segment FoC	615	70	28	sédiment argileux gris meuble avec charbons de bois et tc	
1805	648	Segment FoC	2148	70	32	sédiment limoneux brun gris avec charbons de bois	Mérovingien
1805	649	Segment FoC	2148	100	28	sédiment limoneux brun gris avec charbons de bois	Mérovingien

N° de ST	Sond	Nature	L ou Diam en cm	Larg en cm	Prof en cm	Description du remplissage	Datation
1805	650	Segment FoC	2148	70	30	sédiment limoneux brun gris avec charbons de bois	Mérovingien
1805	651	Segment FoC	2148	90	40	sédiment limoneux brun gris avec charbons de bois	Mérovingien
1805	623	Segment FoC	2148	70	32	sédiment limoneux brun gris avec charbons de bois	Mérovingien
1806		non fouillé					
1807		non fouillé					
1808		non fouillé					
1809		non fouillé					
1810		non fouillé					
1811	693	Sablière	2480	54	12	sédiment limono-argileux gris homogène meuble	Gallo-romain
1812	677	Sablière	1962	67	4	sédiment limono-argileux gris beige clair	
1813		Segment FoC				voir 1961	
1814	687	Segment FoC	856	40	9	sédiment limono-argileux brun avec tc et charbons de bois	Mérovingien
1814	698	Segment FoC	856	30	6	sédiment limono-argileux brun	
1815		Segment FoC				voir 1814	
1816		Segment FoC				voir 1814	
1817		ANNULE					
1818		non fouillé					
1819		ANNULE					
1820		Trou de Poteau	48	23	12	sédiment limono-argileux brun homogène	
1821		non fouillé					
1822		non fouillé					
1823		non fouillé					
1824		non fouillé					
1825		Sablière					
1826		non fouillé					
1827		non fouillé					
1828		non fouillé					
1829		Trou de Poteau	22		17	sédiment limono-argileux brun homogène	
1830		Trou de Poteau	30		24	sédiment limono-argileux gris meuble avec charbons de bois et tc	
1831		Trou de Poteau	24		9	sédiment limono-argileux gris	
1832		Trou de Poteau	30		7	sédiment limono-argileux brun homogène	
1833		non fouillé					
1834		non fouillé					
1835	632	Segment FoC	1320	66	38	sédiment limoneux gris foncé meuble avec charbon de bois et tc	Âge du Fer
1835	627	Segment FoC	1320	65	34	sédiment limono-argileux gris brun homogène compact avec charbons de bois	Âge du Fer
1835	726	Segment FoC	1320	64	33	sédiment limono-argileux gris brun homogène compact avec charbons de bois	Âge du Fer
1835	733	Segment FoC	1320	73	36	sédiment limono-argileux gris brun homogène compact avec charbons de bois	Âge du Fer
1835	734	Segment FoC	1320	54	33	sédiment limono-argileux gris brun homogène compact avec charbons de bois	Âge du Fer
1836		Segment FoC				voir 3146	Gallo-romain
1837	745	Segment FoC	1235	75	45	sédiment limono-argileux gris meuble homogène avec charbons de bois	
1837	708	Segment FoC	1235	62	30	sédiment limono-argileux gris meuble homogène avec charbons de bois	
1837	744	Segment FoC	1235	50	32	sédiment limono-argileux brun gris meuble homogène avec charbons de bois	
1838		non fouillé					
1839	748	Segment FoC	14000	60	15	sédiment limono-argileux brun meuble homogène	Gallo-romain
1840		non fouillé					
1841		non fouillé					

N° de ST	Sond	Nature	L ou Diam en cm	Larg en cm	Prof en cm	Description du remplissage	Datation
1842		Chablis					
1843		non fouillé					
1844		non fouillé					
1845		non fouillé					
1846		non fouillé					
1847		non fouillé					
1848		non fouillé					
1849		non fouillé					
1850		non fouillé					
1851		non fouillé					
1852		non fouillé					
1853		non fouillé					
1854		Chablis					
1855	670	Segment FoC	1250	75	36	sédiment limono-argileux brun gris avec tc, scories	
1855	656	Segment FoC	9750	54	17	sédiment limono-argileux brun gris avec tc, scories	
1856		non fouillé					
1857		non fouillé					
1858		non fouillé					
1859		non fouillé					
1860		Trou de Poteau	56		8	sédiment limono-argileux gris mélangé au substrat	
1861	671	Segment FoC	2328	72	25	sédiment limono-argileux gris brun compact homogène avec tc et scories	Mérovingien
1862		Segment FoC				voir 1855	
1863		Trou de Poteau	40		12	sédiment limoneux brun homogène et meuble	
1864		non fouillé					
1865		non fouillé					
1866		non fouillé					
1867		non fouillé					
1868		non fouillé					
1869		ANNULE					
1870		Trou de Poteau	56		11	sédiment limono-argileux brun foncé homogène avec charbons de bois	
1871		non fouillé					
1872		Trou de Poteau	52		6	sédiment limono-argileux gris homogène compact avec charbons de bois	Âge du Bronze
1873		Trou de Poteau	82	40	8	sédiment limono-argileux gris homogène compact avec charbons de bois	Âge du Fer
1874		Trou de Poteau	36		6	sédiment limono-argileux brun gris compact homogène avec charbons de bois	
1875		non fouillé					
1876		non fouillé					
1877		Trou de Poteau	45	32	7	sédiment limono-argileux brun grisé avec quelques charbons de bois	Âge du Bronze
1878		Trou de Poteau	52	38	9	sédiment limono-argileux brun grisé avec quelques charbons de bois	Gallo-romain
1879		Trou de Poteau	30		10	sédiment brun mélangé au substrat	
1880		Trou de Poteau	42		16	sédiment limono-argileux gris moyen avec inclusions de charbons de bois	Âge du Bronze
1881		Trou de Poteau	20		2	sédiment limoneux gris	
1882		Trou de Poteau	20		6	sédiment limono-argileux brun gris avec rares charbons de bois	
1883		Trou de Poteau	22		6	sédiment limon-argileux brun gris avec rares charbons de bois	
1884		Trou de Poteau	20		12	sédiment limono-argileux gris brun très meuble et homogène	
1885		Trou de Poteau	72		10	sédiment limono-argileux gris homogène compact avec charbons de bois	Âge du Fer
1886		ANNULE					



N° de ST	Sond	Nature	L ou Diam en cm	Larg en cm	Prof en cm	Description du remplissage	Datation
1887		Trou de Poteau	26		6	sédiment limoneux gris meuble	
1888		Trou de Poteau	40		6	sédiment limoneux brun avec tc	
1889		Fosse	120	36	5	sédiment limoneux brun meuble avec nodules de terre cuite	
1890		Trou de Poteau	74	26	4	sédiment limoneux brun meuble	
1891		Trou de Poteau	20		6	sédiment limoneux grisâtre meuble avec traces de tc	
1892		Trou de Poteau	32		6	sédiment limoneux grisâtre meuble avec charbons de bois	
1893		Trou de Poteau	50		8	sédiment limoneux gris meuble avec charbons de bois	
1894		Trou de Poteau	20		4	sédiment limono-argileux brun hétérogène	
1895		Trou de Poteau	26		12	sédiment limono-argileux brun et homogène	
1896		non fouillé					
1897		Trou de Poteau	40		15	sédiment limono-argileux gris hétérogène et compact	Âge du Fer
1898		Trou de Poteau	62		10	sédiment limono-argileux brun meuble homogène	
1899		Trou de Poteau	22		5	sédiment limono-argileux brun très hétérogène	
1900		Trou de Poteau	38		10	sédiment limono-argileux brun gris foncé avec rares charbons de bois	
1901		Trou de Poteau	32		10	sédiment limono-argileux gris avec rares charbons de bois	
1902		Trou de Poteau	25		8	sédiment limono-argileux brun gris	
1903		Trou de Poteau	28		8	sédiment limono-argileux gris	
1904		Fosse	110		30	sédiment limono-argileux gris avec charbon	
1905		Trou de Poteau	23		25	sédiment limoneux brun homogène	
1906		Trou de Poteau	33		17	sédiment limoneux brun homogène	
1907		Trou de Poteau	30		10	sédiment limono-argileux gris	
1908		Trou de Poteau	32		10	sédiment limono-argileux brun gris foncé avec rares charbons de bois	
1909		Trou de Poteau	34		6	sédiment limono-argileux gris avec rares charbons de bois	
1910		Chablis	100	100	18	sédiment limoneux brun gris très charbonneux avec schistes brûlés	
1911		Cave à pommier					
1912		Trou de Poteau	33		6	sédiment limoneux gris brun	
1913		Trou de Poteau	26	17	5	sédiment limoneux gris beige	
1914		ANNULE					
1915		Trou de Poteau	80	58	18	sédiment limono-argileux brun gris avec charbons de bois et tc	
1916		Trou de Poteau	60	50	15	sédiment limoneux brun gris homogène avec charbons de bois	Gallo-romain
1917		Trou de Poteau	27		9	sédiment limoneux brun compact	
1918		Trou de Poteau	22		6	sédiment limoneux beige	
1919		Trou de Poteau	25		4	sédiment limoneux gris meuble	
1920		Trou de Poteau	24		4	sédiment limoneux beige gris	
1921		Trou de Poteau	26		18	sédiment limono-argileux beige gris compact homogène	
1922		Trou de Poteau	30		17	sédiment limoneux brun gris compact	
1923		Trou de Poteau	21		15	sédiment limoneux brun mélangé au substrat	
1924		Trou de Poteau	30		16	sédiment limoneux brun mélangé au substrat	
1925		Trou de Poteau	25		13	sédiment limoneux brun gris avec charbons de bois	
1926		Trou de Poteau	30		16	sédiment limoneux brun gris	Âge du Bronze
1927		Trou de Poteau	22		7	sédiment limoneux brun gris	
1928		Trou de Poteau	20		10	sédiment limoneux brun très charbonneux	
1929		Trou de Poteau	20		13	sédiment limoneux brun mélangé au substrat	Âge du Bronze
1930		Trou de Poteau	30		14	sédiment limoneux brun	
1931		Segment FoC				voir 1934	
1932		Trou de Poteau	25		5	sédiment limoneux brun meuble homogène	
1933		Trou de Poteau	20		10	sédiment limoneux brun meuble et homogène avec quelques charbons de bois	

N° de ST	Sond	Nature	L ou Diam en cm	Larg en cm	Prof en cm	Description du remplissage	Datation
1934	125	Segment FoC	5876	42	7	sédiment limoneux gris homogène	
1934	667	Segment FoC	5876	56	24	sédiment limoneux gris homogène	
1935		Trou de Poteau	20		2	sédiment limono-argileux gris	
1936		Trou de Poteau	20		12	sédiment limono-argileux brun hétérogène avec charbons de bois	
1937		Trou de Poteau	52	28	10	sédiment limoneux gris compact et hétérogène avec galets de quartz	
1938		Trou de Poteau	25		9	sédiment limoneux gris brun meuble et homogène	
1939		Trou de Poteau	24		10	sédiment limoneux gris brun meuble et homogène avec charbons de bois	
1940		Fosse	280	100	20	sédiment limoneux gris plus ou moins meuble	
1941		Trou de Poteau	32		11	sédiment limono-argileux gris très compact et homogène	
1942		Trou de Poteau	24		10	sédiment limoneux gris brun meuble et homogène avec charbons de bois	
1943		Trou de Poteau	24		10	sédiment limono-argileux gris très compact et homogène avec charbons de bois	
1944		Chablis					
1945		Trou de Poteau	20		6	sédiment limono-argileux brun homogène	
1946		Trou de Poteau	11		6	sédiment limono-argileux gris beige homogène	
1947		Trou de Poteau	22		8	sédiment limono-argileux brun compact assez homogène	
1948		Trou de Poteau	18		5	sédiment limoneux brun	
1949		Trou de Poteau	24		6	sédiment limono-argileux gris	
1950		Trou de Poteau	19		4	sédiment limoneux brun	
1951		Trou de Poteau	32		11	sédiment limono-argileux brun compact assez homogène	
1952		Trou de Poteau	22		4	sédiment limono-argileux brun compact hétérogène	
1953		ANNULE					
1954		non fouillé					
1955		Trou de Poteau	60		18	sédiment limono-argileux brun clair homogène	
1956		Trou de Poteau	46		8	sédiment limono-argileux brun homogène	
1957		Trou de Poteau	52		14	sédiment limono-argileux gris meuble	
1958		Trou de Poteau	30		5	sédiment limono-argileux brun sableux	
1959		Trou de Poteau	40		10	sédiment limono-argileux brun homogène	
1960		Trou de Poteau	54		22	sédiment argileux gris compact avec inclusions de charbons de bois	
1961	685	Segment FoC	2025	47	6	sédiment limono-argileux brun	
1961	681	Segment FoC	2025	40	10	sédiment limono-argileux brun	
1961	686	Segment FoC	2025	40	8	sédiment limono-argileux brun avec charbons de bois et tc	
1962		ANNULE					
1963		non fouillé					
1964		non fouillé					
1965		non fouillé					
1966		Trou de Poteau	20		6	sédiment limono-argileux gris	
1967		ANNULE					
1968		ANNULE					
1969		non fouillé					
1970		Trou de Poteau	30		17	sédiment limono-argileux gris	Âge du Bronze
1971		Trou de Poteau	25		16	sédiment limono-argileux gris avec rares charbons de bois	
1972		non fouillé					
1973		Trou de Poteau	26		5	sédiment limono-argileux gris	
1974		Trou de Poteau	40		7	sédiment limono-argileux gris avec rares charbons de bois	
1975		Trou de Poteau	34		6	sédiment limono-argileux gris	Âge du Bronze
1976		Chablis	206	130	18	sédiment limono-argileux gris hétérogène mélangé au substrat	

N° de ST	Sond	Nature	L ou Diam en cm	Larg en cm	Prof en cm	Description du remplissage	Datation
1977		remblais					
1978		Fosse	72	22	18	sédiment limoneux brun hétérogène avec charbons de bois	
1979		Trou de Poteau	42		22	sédiment limono-argileux grist homogène meuble	
1980		Trou de Poteau	40		26	sédiment limono-argileux gris avec rares charbons de bois	
1981		Trou de Poteau	18		10	sédiment limono-argileux gris meuble homogène	
1982		ANNULE					
1983		ANNULE					
1984		Chablis	260	90	18	sédiment limono-argileux brun meuble homogène	
1985		Fosse	76	40	14	sédiment limono-argileux brun mélangé à schiste rougit	
1986		Trou de Poteau	35		15	sédiment limono-argileux gris homogène meuble	
1987		Trou de Poteau	20		20	sédiment limono-argileux gris	
1988		Trou de Poteau	20		15	sédiment limono-argileux grismeuble et homogène	
1989		Trou de Poteau	50		2	sédiment limono-argileux gris meuble	
1990		Fosse	276	100	20	sédiment limoneux gris	Âge du Bronze
1991		Trou de Poteau	40		18	sédiment limono-argileux gris et charbons de bois	
1992		ANNULE					
1993		ANNULE					
1994		Trou de Poteau	22		10	sédiment limono-argileux gris avec rares charbons de bois	
1995		ANNULE					
1996		ANNULE					
1997		ANNULE					
1998		ANNULE					
1999		ANNULE					
2000	57	Segment FoC	2040	60	10	sédiment argileux gris brun homogène	Moderne
2000	58	Segment FoC	2040	60	30	sédiment argileux gris brun homogène	Moderne
2001	59	Segment FoC	6236	120	50	sédiment argileux brun gris devenant plus lessivé à la base	Mérovingien
2001	393	Segment FoC	6236	125	58	sédiment limoneux brun avec de nombreuses inclusions de manganèse et quelques charbons de bois. Des nodules de TCA au fond	
2001	394	Segment FoC	6236	148	50	sédiment limoneux brun beige avec inclusions de manganèse et fragments de charbons de bois	
2002	43	Segment FoC	5445	70	14	sédiment argileux gris beige hétérogène avec traces d'oxydes	Mérovingien
2002	44	Fosse	5445	66	12	sédiment argileux gris beige hétérogène avec traces d'oxydes	
2002	69	Segment FoC	5445	70	14	inter 2073 2002 semble recouper 2073	
2002	72	Segment FoC	5445	100	32	inter 2073 2002 semble recouper 2073	
2002	73	Segment FoC	5445	90	28	sédiment limoneux brun	
2003		Haie	2170	78	55	sédiment limoneux brun meuble hétérogène recouvrant un sédiment argileux gris	Moderne
2004	50	Segment FoC	6750	130	60	sédiment limono-argileux brun à gris plus ou moins oxydé	Âge du Fer
2004	106	Segment FoC	6750	104	54	sédiment limono-argileux brun très homogène	Âge du Fer
2004	107	Segment FoC	6750	82	43	sédiment limono-argileux brun très homogène	Âge du Fer
2004	51	Segment FoC	6750	100	55	sédiment limono-argileux brun à gris plus ou moins oxydé	Âge du Fer
2004	52	Segment FoC	6750	100	50	sédiment limono-argileux brun à gris plus ou moins oxydé	Âge du Fer
2004	137	Segment FoC	6750	130	114	sédiment limono-argileux brun à gris plus ou moins oxydé	Âge du Fer
2005	39	Segment FoC	12443	68	27	sédiment argileux gris beige avec traces d'oxydation	Gallo-romain
2005	40	Segment FoC	12443	106	30	sédiment argileux gris beige avec traces d'oxydation	Gallo-romain
2005	47	Segment FoC	12443	116	33	sédiment argileux gris beige avec traces d'oxydation	Gallo-romain
2005	49	Segment FoC	12443	80	30	sédiment argileux gris beige avec traces d'oxydation	Gallo-romain
2005	54	Segment FoC	12443	90	36	sédiment argileux gris beige avec traces d'oxydation	Gallo-romain
2005	55	Segment FoC	12443	92	32	sédiment argileux gris beige avec traces d'oxydation	Gallo-romain
2005	56	Segment FoC	12443	80	28	sédiment argileux gris beige avec traces d'oxydation	Gallo-romain

N° de ST	Sond	Nature	L ou Diam en cm	Larg en cm	Prof en cm	Description du remplissage	Datation
2005	67	Segment FoC	12443			2002 semble être coupé par 2005	Gallo-romain
2006		non fouillé					
2007		non fouillé					
2008		Fosse	89	62	7	sédiment argilo-limoneux brun assez homogène	Âge du Fer
2009		Fosse	390	80	37	sédiment limono-argileux brun gris	
2010		non fouillé	1145	150	105		Moderne
2011		Trou de Poteau	30		10	sédiment limono-argileux gris clair avec charbons de bois	
2012		Trou de Poteau	40		6	sédiment limono-argileux gris clair avec charbons de bois	
2013		Trou de Poteau	40		13	sédiment limono-argileux gris	
2014		Trou de Poteau	25		6	sédiment limono-argileux gris clair	
2015		Trou de Poteau	30		10	sédiment limono-argileux gris	
2016		Trou de Poteau	46		16	sédiment limono-argileux gris	
2017		non fouillé					
2018		non fouillé					
2019		Trou de Poteau	44		18	sédiment limono-argileux gris avec charbons de bois	Âge du Fer
2020		Trou de Poteau	60		90	sédiment limono-argileux brun meuble	Moderne
2021	33	Segment FoC	14800	63	20	sédiment limono-argileux beige gris avec charbons de bois	Gallo-romain
2021	127	Segment FoC	14800	94	26	sédiment limono-argileux beige gris avec charbons de bois	Gallo-romain
2021	636	Segment FoC	14800	70	30	sédiment limono-argileux beige gris avec charbons de bois	Gallo-romain
2022	41	ANNULE				ANOMALIE	
2023		non fouillé					
2024	42	Haie	5233	140	56	sédiment argilo-limoneux brun recouvrant une couche grise plus hydromorphe	Moderne
2024	84	Haie	5233	180	60	sédiment limono-argileux beige gris avec taches d'oxydation recouvrant un niveau plus hydromorphe	Moderne
2025		Segment FoC	2800	46	6	sédiment limoneux brun gris meuble hétérogène	
2025	99	Segment FoC	2800	32	6	sédiment limoneux brun gris meuble hétérogène	
2026		Haie	16700	130	28		Moderne
2027	48	Segment FoC	2800	84	34	sédiment argileux gris hétérogène	
2028		non fouillé					
2029		non fouillé					
2030		Cave à pom- mier	120				Moderne
2031		Trou de Poteau	36		6	sédiment limono-argileux brun mélangé au substrat avec charbons de bois	
2032		Fosse	116		35	le fond est tapissé d'une couche charbonneuse le comblement supérieur est un sédiment limono-argileux gris brun meuble homogène avec de nombreux fragments de schiste et de quartz et de rares charbons de bois	Âge du Fer
2033		Trou de Poteau	32		6	substrat remanié	
2034		Trou de Poteau	40		18	sustrat remanié avec beaucoup d'inclusions de charbons de bois hétérogène et très compact	
2035		Fosse	100		47	comblement stratifié avec sédiment limoneux brun gris plus ou moins riche en oxydes et en charbons de bois	Âge du Fer
2036		Trou de Poteau	52		23	sédiment limono-argileux gris très compact	
2037		Trou de Poteau	57		17	sédiment à base de substrat remanié avec quelques inclusions de charbon de bois	
2038		Trou de Poteau	54		11	sédiment limono-sableux brun clair avec inclusions de manganèse et charbons de bois	
2039		Trou de Poteau	74	56	18	sédiment limono-sableux gris beige compact homogène avec charbons de bois	
2040		non fouillé					
2041	385	Segment FoC	1500	66	13	sédiment limoneux brun beige	
2042		Trou de Poteau	52		10	sédiment limono-argileux meuble mélangé au substrat	
2043		non fouillé					

N° de ST	Sond	Nature	L ou Diam en cm	Larg en cm	Prof en cm	Description du remplissage	Datation
2044		non fouillé					
2045		non fouillé					
2046	275	Segment FoC	3460	295	167	sédiment limoneux brun gris compact homogène avec couches de rejets détritiques, charbons de bois, parois de four	Âge du Fer
2046	256	Segment FoC	3460	290	154	sédiment limoneux brun gris meuble homogène avec couches de rejets détritiques, charbons de bois,	Âge du Fer
2046	501	Segment FoC	3460	320	180	sédiment argilo-limoneux brun gris cendreuse homogène avec charbons de bois et tc	Âge du Fer
2046	502	Segment FoC	3460	320	180	sédiment argilo-limoneux brun gris cendreuse homogène avec charbons de bois et tc	Âge du Fer
2047	502	Segment FoC	12760	134	26	sédiment limoneux gris beige meuble	
2047	502	Segment FoC	12760	134	26	sédiment limoneux gris beige meuble	
2048		non fouillé					
2049	512	Segment FoC	3808	2,02	50	sédiment argilo-limoneux gris brun	Âge du Fer
2050		Segment FoC	900	36	22	sédiment limoneux brun avec cailloutis de schiste	
2051		Fosse	98	62	26	sédiment limoneux gris et schiste altéré	Âge du Bronze
2052		Trou de Poteau	30		10	sédiment limono-argileux grisâtre	
2053		Trou de Poteau	32		16	sédiment limono-argileux avec substrat remanié	
2054		Trou de Poteau	28		16	sédiment limono-argileux grisâtre	
2055		Trou de Poteau	24		8	sédiment limono-argileux gris très meuble	
2056		Trou de Poteau	48		9	sédiment limoneux gris meuble	
2057		Trou de Poteau	32		16	sédiment limono-argileux gris	
2058		Trou de Poteau	30		18	sédiment limono-argileux gris	
2059		Trou de Poteau	28		12	sédiment limono-argileux avec schiste altéré	
2060		Trou de Poteau	25		10	sédiment limono-argileux grisâtre	
2061		ANNULE				Annulé	
2062		Trou de Poteau	26		10	sédiment limono-argileux grisâtre	
2063		Trou de Poteau	30		5	sédiment limono-argileux brun hétérogène	
2064		Trou de Poteau	30		10	sédiment limono-argileux brun hétérogène compact avec inclusions d'altérite et de charbons de bois	
2065		Trou de Poteau	35		15	sédiment limono-argileux brun foncé, compact, hétérogène avec altérite	
2066		Trou de Poteau	45		14	sédiment limono-argileux brun avec nombreux fragments de schiste	
2067		Trou de Poteau	38		15	sédiment limono-argileux brun avec schiste	
2068		Trou de Poteau	58		8	sédiment limoneux brun avec céramique plaquée sur le fond	Âge du Bronze
2069	29	Segment FoC	1500	60	26	sédiment limoneux brun clair avec nombreux fragments de schiste	
2069	30	Segment FoC	1500	54	17	sédiment limoneux brun clair avec nombreux fragments de schiste	
2070		non fouillé				non fouillé	Âge du Fer
2071		Fosse	330	192	69	sédiment argileux gris plus ou moins riche en plaquettes de schiste devenant lessivé à la base	Âge du Fer
2072	36	Segment FoC	1500	50	24	sédiment limono-argileuxgris avec cailloutis de schiste	Âge du Fer
2072	32	Segment FoC	1500	50	20	sédiment limono-argileuxgris avec cailloutis de schiste	Âge du Fer
2073	35	Segment FoC	15432	80	26	sédiment argileux gris beige avec traces d'oxydation	Gallo-romain
2073	68	Segment FoC	15432	98	28	sédiment limoneux brun homogène	Gallo-romain
2073	82	Segment FoC	15432	96	30	sédiment limono-argileux brun clair homogène avec charbons de bois	Gallo-romain
2073	635	Segment FoC	15432	100	48	sédiment argileux gris beige avec traces d'oxydation	Gallo-romain
2074		Sablère				extrémité est de la sablière	
2075		Trou de Poteau	30		11	sédiment limono-argileux grisâtre avec schiste	
2076		ANNULE					

N° de ST	Sond	Nature	L ou Diam en cm	Larg en cm	Prof en cm	Description du remplissage	Datation
2077		Trou de Poteau	30		10	sédiment limono-argileux brun	
2078		Trou de Poteau	42		12	sédiment limono-argileux brun avec schiste	
2079		Trou de Poteau	34		15	sédiment limono-argileux brun avec substrat	
2080		Trou de Poteau	32		8	sédiment limono-argileux brun très meuble	
2081		Trou de Poteau	33		8	sédiment limono-argileux brun avec schiste	
2082		ANNULE					
2083		Fosse	150	113	37	sédiment limoneux brun meuble avec quelques inclusions de chistes, grès férugineux et rares charbons de bois	Âge du Fer
2084		ANNULE					
2085	781	Segment FoC	1319	50	5	sédiment limono-argileux brun gris	
2085	782	Segment FoC	1319	40	20	sédiment limono-argileux brun gris	
2086	20	Segment FoC	4711	60	8	sédiment argileux gris	
2086	21	Segment FoC	4711	52	14	sédiment argileux gris	
2086	22	Segment FoC	4711	60	20	sédiment argileux gris	
2087		ANNULE					
2088		Trou de Poteau	30		12	sédiment limono-argileux brun hétérogène avec altérite	
2089	28	Segment FoC					
2090		ANNULE					
2091		Trou de Poteau	80	68	14	sédiment limono-argileux brun homogène, compact	Âge du Bronze
2092		non fouillé					
2093		non fouillé					
2094		non fouillé					
2095		ANNULE					
2096		Trou de Poteau	40		12	sédiment limono-argileux brun foncé homogène	
2097		Chablis					
2098		Trou de Poteau	60		18	sédiment limoneux brun avec cailloutis chiste	
2099		Trou de Poteau	41		23	sédiment limono-argileux brun compact homogène avec schiste et charbon de bois	
2100		Trou de Poteau	50	30	19	sédiment limono-argileux brun rouge hétérogène avec charbons de bois et schiste rubéfié	
2101		non fouillé					
2102		ANNULE					
2103		ANNULE					
2104		Trou de Poteau	45	35	8	sédiment limono-argileux brun	
2105		Trou de Poteau					
2106		ANNULE					
2107		Trou de Poteau	40	35	9	sédiment limoneux brun avec cailloutis de schiste	
2108		ANNULE					
2109	23	Segment FoC	5400	78	37	sédiment argileux gris sur argile gris beige (fond)	Âge du Fer
2109	24	Segment FoC	5400	50	19	sédiment argileux gris	Âge du Fer
2109	113	Segment FoC	5400	70	38	sédiment limoneux gris peu compact	Âge du Fer
2109	114	Segment FoC	5400			sédiment limoneux gris peu compact	Âge du Fer
2110	25	Segment FoC	850	50	3	sédiment argileux gris	
2111		ANNULE					
2112		Trou de Poteau	33		10	sédiment limono-argileux brun hétérogène avec altérite	
2113		ANNULE					
2114		Trou de Poteau	70		45	sédiment limono-argileux brun foncé	
2115		Trou de Poteau	30		10	sédiment limono-argileux brun foncé hétérogène	
2116		ANNULE					
2117		ANNULE					
2118		ANNULE					
2119		ANNULE					

N° de ST	Sond	Nature	L ou Diam en cm	Larg en cm	Prof en cm	Description du remplissage	Datation
2120		ANNULE					
2121		ANNULE					
2122	28	Segment FoC	5398	50	9	sédiment argileux brun peu compact	
2123		ANNULE					
2124		ANNULE					
2125		ANNULE					
2126		ANNULE					
2127		ANNULE					
2128		ANNULE					
2129		ANNULE					
2130		ANNULE					
2131		ANNULE					
2132		Sablère	218	90	34	sédiment limono-argileux brun foncé hétérogène avec inclusions de cailloutis de schiste	Âge du Bronze
2133		ANNULE					
2134		ANNULE					
2135		Sablère	310	40	17	sédiment limoneux brun	Âge du Bronze
2136		ANNULE					
2137		ANNULE					
2138		ANNULE					
2139		ANNULE					
2140		Trou de Poteau	73	50	10	sédiment limono-argileux gris hétérogène meuble avec quelques traces d'oxydation	
2141		Trou de Poteau	50		12	sédiment limono-argileux hétérogène ocre et rubéfié	
2142		Sablère	310	35	11	sédiment limoneux brun avec éclats de schiste	Âge du Bronze
2143		ANNULE					
2144		ANNULE					
2145		ANNULE					
2146		non fouillé					
2147		non fouillé					
2148		non fouillé					
2149		non fouillé					
2150		non fouillé					
2151		ANNULE					
2152		Segment FoC				voir 2207	Âge du Fer
2153		Segment FoC	19400	53	19	sédiment limoneux brun	
2154	74	Segment FoC	5600	50	20	sédiment limoneux brun clair homogène	
2154	75	Segment FoC	5600	90	24	sédiment limoneux brun clair homogène	
2154	76	Segment FoC	5600	92	22	sédiment limoneux brun clair homogène avec charbons de bois et tc	
2154	79	Segment FoC	5600	90	18	sédiment limoneux brun homogène	
2154	80	Segment FoC	5600	82	15	sédiment limoneux brun homogène avec inclusions de charbons de bois et tc	
2155		Trou de Poteau	35		6	sédiment limoneux brun clair très compact	Âge du Fer
2156		Segment FoC	38000	45	10	sédiment argilo-schisteux	
2157		Trou de Poteau	53		9	sédiment limoneux brun clair avec cailloutis de schiste	
2158		ANNULE					
2159		ANNULE					
2160	93	Segment FoC	35750	68	36	sédiment limono-argileux brun assez meuble et rares charbons de bois	Mérovingien
2160	96	Segment FoC	35750	86	32	sédiment limono-argileux brun assez meuble et rares charbons de bois	

N° de ST	Sond	Nature	L ou Diam en cm	Larg en cm	Prof en cm	Description du remplissage	Datation
2161		non fouillé					
2162		ANNULE					
2163		ANNULE					
2165		ANNULE					
2166		Trou de Poteau	40		25	sédiment limono-argileux brun foncé assez compact et hétérogène avec inclusions altérite	
2167		Trou de Poteau	38		12	sédiment limoneux brun foncé meuble homogène avec quelques fragments de schiste	
2168		Trou de Poteau	30		8	sédiment limono-argileux beige compact et homogène avec charbons de bois	
2169		non fouillé					
2170		Trou de Poteau	35		8	sédiment limoneux brun clair avec traces de rubéfaction et charbons de bois	
2171		ANNULE					
2172		Trou de Poteau	30		10	sédiment limono-argileux brun hétérogène et compact avec cailloutis	
2173		ANNULE					
2174		Fosse	72	54	10	sédiment limoneux brun clair	
2175		Segment FoC				fossé bordier de chemin moderne	Moderne
2176		ANNULE					
2177		Fosse	90	56	13	sédiment limoneux brun jaune meuble, homogène avec quelques inclusions de charbon de bois	
2178		ANNULE					
2179		Trou de Poteau	40		18	sédiment limoneux brun avec cailloutis de schiste et charbons de bois	Gallo-romain
2180		Trou de Poteau	66		11	sédiment limoneux brun jaune meuble homogène	
2181		Haie				voir 2026	Moderne
2182		non fouillé					
2183		Segment FoC	2300	54	20	sédiment limoneux brun clair avec cailloutis de schiste	Médiévale
2184		Chablis					
2185		ANNULE					
2186		non fouillé					
2187	104	Segment FoC	3126	72	23	sédiment limono-argileux brun nodules de tc	
2188		Trou de Poteau	30		10	sédiment limono-argileux brun foncé homogène	
2189		ANNULE					
2190	61	Segment FoC	2200	54	28	sédiment limoneux gris-brun plus ou moins oxydé comportant de rares charbons de bois	Âge du Fer
2190	562	Segment FoC	2200	125	56	sédiment limoneux gris-brun plus ou moins oxydé comportant de rares charbons de bois	Âge du Fer
2191		ANNULE					
2192		non fouillé					
2193		Fosse	150	75	25	sédiment limoneux brun peu compact avec quartz rubéfié et nombreux charbons de bois	
2194		Trou de Poteau	30		5	sédiment limono-argileux brun avec fragments de schiste	
2195		Trou de Poteau	40	27	10	sédiment limono-argileux brun hétérogène avec altérite	
2196		Chablis					
2197		Chablis					
2198	124	Chablis	350	150	64	sédiment limono-argileux brun avec charbons de bois	
2199		ANNULE					
2200		ANNULE					
2201		ANNULE					
2202		ANNULE					
2203		non fouillé					
2204		ANNULE					
2205		Segment FoC				voir 2154	



N° de ST	Sond	Nature	L ou Diam en cm	Larg en cm	Prof en cm	Description du remplissage	Datation
2206		ANNULE					
2207	86	Segment FoC	1900	77	36		Âge du Fer
2208		Fosse	100		18	sédiment limoneux brun gris avec rares charbons de bois	Mérovingien
2209		Fosse	100	90	23	sédiment argileux et éclats de schiste	
2210		ANNULE					
2211		Chablis					
2212		Trou de Poteau	50		16	sédiment limono-argileux brun avec inclusions de charbons de bois	Âge du Bronze
2213		ANNULE					
2214		Trou de Poteau	70	54	16	sédiment limono-argileux brun compact	
2215		Trou de Poteau	72	48	15	sédiment limono-argileux brun clair homogène compact	
2216		Trou de Poteau	38		16	sédiment limono-argileux brun très meuble	
2217		Fosse	82	36	21	sédiment limoneux gris	Âge du Bronze
2218		Trou de Poteau	54		24	sédiment limoneux gris avec schiste altéré	
2219		ANNULE					
2220		ANNULE					
2221		Trou de Poteau	55	52	11	sédiment limoneux brun clair	
2222		Trou de Poteau	30		15	sédiment limono-argileux brun homogène et compact	
2223		Haie	3400	96	46		Moderne
2224		non fouillé					
2225		ANNULE					
2226		ANNULE					
2227		Segment FoC				voir 2021	Gallo-romain
2228		non fouillé					
2229		ANNULE					
2230		ANNULE					
2231		ANNULE					
2232		Trou de Poteau	50		10	sédiment limono-argileux gris	
2233		ANNULE					
2234		non fouillé					
2235		ANNULE					
2236		ANNULE					
2237		Fosse	63		16	sédiment limoneux brun avec quartz rubéfiés	Âge du Bronze
2238		Segment FoC	1755	80	13	sédiment limoneux brun avec inclusions de charbons de bois	
2239		ANNULE					
2240		ANNULE					
2241		Trou de Poteau	68		12	sédiment limono-argileux brun foncé, hétérogène avec cailloutis	
2242		Trou de Poteau	28		18	sédiment limono-argileux brun foncé hétérogène	
2243		ANNULE					
2244		non fouillé					
2245		Segment FoC				voir 2005	
2246		non fouillé					
2247		ANNULE					
2248		Fosse	74	62	24	sédiment limono-argileux gris meuble et homogène	
2249		ANNULE					
2250		non fouillé					
2251		non fouillé					
2252		non fouillé					
2253		remblais					
2254		non fouillé					
2255		non fouillé					

N° de ST	Sond	Nature	L ou Diam en cm	Larg en cm	Prof en cm	Description du remplissage	Datation
2256		non fouillé					
2257		non fouillé					
2258		non fouillé					
2259		ANNULE					
2260		Trou de Poteau	60	28	8	sédiment limoneux brun	
2261		ANNULE					
2262		Trou de Poteau	24		20	sédiment limoneux brun	
2263		ANNULE					
2264		Trou de Poteau	55	51	12	sédiment limoneux brun avec cailloutis schiste	
2265	26	Haie	11624	80	17	sédiment brun pulvérulent	Moderne
2266	27	Segment FoC	9927	36	10	sédiment argileux gris	Moderne
2266	27	Segment FoC	9927	36	10	sédiment argileux gris	Moderne
2267		ANNULE					
2268		ANNULE					
2269		ANNULE					
2270		non fouillé					
2271		ANNULE					
2272		ANNULE					
2273		Trou de Poteau	46		5	sédiment limoneux brun meuble et homogène	Âge du Bronze
2274		ANNULE					
2275		Fosse	70	62	20	sédiment limono-argileux brun hétérogène avec inclusions de schiste altéré	Âge du Bronze
2276		Trou de Poteau	47		11	sédiment limoneux brun meuble et homogène avec cailloutis	
2277		Trou de Poteau	33	22	9	sédiment limoneux brun avec cailloutis et rares charbons de bois	
2278		Trou de Poteau	27	19	6	sédiment limoneux brun meuble et homogène très charbonneux	
2279		ANNULE					
2280		Trou de Poteau	42		9	sédiment limoneux brun dense avec traces de rubéfaction	
2281		Trou de Poteau	37	18	4	sédiment limoneux brun meuble et homogène avec quelques charbons de bois	
2282		Trou de Poteau	29		4	sédiment limoneux brun meuble et homogène avec quelques charbons de bois	
2283		Trou de Poteau	28		10	sédiment limono-argileux gris brun meuble homogène	
2284		Trou de Poteau	23		6	sédiment limoneux brun meuble et homogène	
2285		non fouillé					
2286	640	Segment FoC	3142	74	26	sédiment limono-argileux brun hétérogène	
2286	641	Fosse	3142	82	27	sédiment limono-argileux brun hétérogène	
2286	642	Segment FoC	3142	70	27	sédiment limono-argileux brun hétérogène	
2286	643	Fosse	3142	68	28	sédiment limono-argileux brun hétérogène	
2286	644	Segment FoC	3142	68	26	sédiment limono-argileux brun hétérogène	
2286	648	Segment FoC	3142	70	26	sédiment limono-argileux brun hétérogène	
2286	649	Fosse	3142	100	28	sédiment limono-argileux brun hétérogène	
2287		non fouillé					Moderne
2288		Cave à pom- mier					
2289		Trou de Poteau	30		8	sédiment limono-argileux brun orangé meuble et homogène avec cailloutis	
2290		Trou de Poteau	30		16	sédiment argileux gris meuble et homogène	
2291		Fosse	190	80	24	sédiment limono-argileux gris hétérogène avec charbons de bois	Âge du Fer
2292		non fouillé					
2292		Segment FoC				voir 2086	
2293		remblais				fossé bordier chemin	Moderne
2294		non fouillé					Moderne
2295		non fouillé					Moderne

N° de ST	Sond	Nature	L ou Diam en cm	Larg en cm	Prof en cm	Description du remplissage	Datation
2296		non fouillé					Moderne
2297		non fouillé					
2298		ANNULE					
2299		Fosse	62		7	sédiment limoneux brun meuble homogène	
2300		non fouillé					
2301		Trou de Poteau	58	44	18	sédiment limoneux gris meuble homogène avec traces d'oxydation et rares charbons de bois	
2302		Trou de Poteau	29	26	9	sédiment limoneux gris meuble homogène avec nombreuses plaquettes de schiste	
2303		ANNULE					
2304		ANNULE					
2305		Trou de Poteau	22		16	sédiment limoneux	
2306		Trou de Poteau	42	22	5	sédiment limoneux brun homogène et meuble avec quelques fragments de charbons de bois	
2307		Trou de Poteau	58		20	sédiment limoneux brun meuble homogène avec charbons de bois, tca et perle bleue en verre	Âge du Bronze
2308		Trou de Poteau	28	20	4	sédiment limoneux brun homogène avec quelques fragments de charbons de bois	
2309		Trou de Poteau	17		8	sédiment limoneux brun compact et schiste altéré	
2310		Trou de Poteau	22		6	sédiment limoneux brun meuble et homogène avec quelques charbons de bois	
2311		ANNULE					
2312		Fosse	110	75	9	sédiment limoneux brun foncé homogène	Âge du Bronze
2313		Trou de Poteau	40		10	sédiment limoneux brun homogène	
2314		Fosse	155	150	42	sédiment limoneux brun et éclats de schistes plus ou moins denses	
2315		Segment FoC	1200	70	10	sédiment limoneux brun	
2316		ANNULE					
2317		Segment FoC	19400	40	13	sédiment limono-argileux brun hétérogène avec cailloutis	
2318	103	Segment FoC	1018	90	7	sédiment limono-argileux gris très compact avec quelques charbons de bois et scorie	
2319		non fouillé					
2320		non fouillé					
2321		non fouillé					
2322		Trou de Poteau	26		5	sédiment limoneux brun meuble et homogène	
2323		Trou de Poteau	30		10	sédiment limono-argileux brun foncé gris, hétérogène assez compact avec cailloutis	
2324		ANNULE					
2325		Trou de Poteau	30		12	sédiment limono-argileux brun foncé homogène et compact	
2326		ANNULE					
2327		ANNULE					
2328		ANNULE					
2329	78	Segment FoC	1275	98	25	sédiment limoneux brun foncé homogène	
2330		ANNULE					
2331		Trou de Poteau	32		12	sédiment limoneux gris et schiste altéré	Gallo-romain
2332		Trou de Poteau	40		16	sédiment limoneux gris	
2333		Cave à pommier					
2334		ANNULE					
2335		Trou de Poteau	22		10	sédiment limoneux brun meuble et homogène avec quelques charbons de bois	
2336		Trou de Poteau	26		14	sédiment limoneux	
2337		Trou de Poteau	32		16	sédiment limoneux avec pierres de calage en place	
2338		Trou de Poteau	17		11	sédiment limoneux	
2339		Trou de Poteau	23		13	sédiment limoneux	

N° de ST	Sond	Nature	L ou Diam en cm	Larg en cm	Prof en cm	Description du remplissage	Datation
2340		Trou de Poteau	26		12	sédiment limoneux	
2341		Trou de Poteau	20		9	sédiment limoneux	
2342		Trou de Poteau	28		24	sédiment limoneux brun gris avec traces d'oxydation	Âge du Bronze
2343		Trou de Poteau	25		9	sédiment limoneux brun gris avec traces d'oxydation	Âge du Bronze
2344		non fouillé					
2345		ANNULE					
2346		non fouillé					
2347		Trou de Poteau	23		17	sédiment limoneux	
2348		ANNULE					
2349		Trou de Poteau	24		17	sédiment limoneux gris	
2350		Trou de Poteau	30		10	sédiment argileux brun compact	
2351		Trou de Poteau	36		13	sédiment argileux brun homogène et compact	
2352		ANNULE					
2353		ANNULE					
2354		ANNULE					
2355		Trou de Poteau	33		12	sédiment limoneux brun homogène meuble	
2356		ANNULE					
2357		ANNULE					
2358		Fosse	73		56	sédiment limono-argileux brun orangé meuble et homogène avec cailloutis et rares charbons de bois	
2359		Trou de Poteau	40		14	sédiment limoneux gris orangé compact	Âge du Bronze
2360		Trou de Poteau	28		18	sédiment limono-argileux gris meuble et hétérogène	
2361		Trou de Poteau	42		8	sédiment limono-argileux brun compact avec des charbons de bois	
2362		Trou de Poteau	36		8	sédiment limoneux brun	
2363		Trou de Poteau	46		16	sédiment limono-argileux brun meuble homogène avec charbons de bois	Âge du Bronze
2364		Trou de Poteau	25		20	sédiment argileux gris meuble et hétérogène	
2365		Trou de Poteau	36		17	sédiment limono-argileux gris compact et homogène	Âge du Bronze
2366		Trou de Poteau	34		20	sédiment limono-argileux compact et homogène	Âge du Bronze
2367		Trou de Poteau	51		13	sédiment limono-argileux brun compact avec charbons de bois	Âge du Bronze
2368		Trou de Poteau	22		6	sédiment limono-argileux assez compact	Âge du Bronze
2369		Trou de Poteau	26		15	sédiment limono-argileux brun gris compact et homogène	Âge du Bronze
2370		Trou de Poteau	44		21	sédiment limono-argileux gris et homogène meuble	Âge du Bronze
2371		Trou de Poteau	64		5	sédiment limoneux brun meuble hétérogène avec charbons de bois	Âge du Bronze
2372		Trou de Poteau	48		8	sédiment limoneux brun meuble homogène avec charbons de bois et tca	Âge du Bronze
2373		Trou de Poteau	36		8	sédiment limono-argileux gris	
2374		non fouillé					
2375		Trou de Poteau	56	46	4	sédiment limoneux brun meuble homogène avec rares charbons de bois	
2376		Trou de Poteau	28		7	sédiment limono-argileux gris meuble et hétérogène avec schiste altéré	Âge du Bronze
2377		Trou de Poteau	28		5	sédiment limoneux brun meuble et homogène	
2378		Trou de Poteau	18		3	sédiment limoneux brun homogène et meuble avec quelques charbons de bois	

N° de ST	Sond	Nature	L ou Diam en cm	Larg en cm	Prof en cm	Description du remplissage	Datation
2379		Trou de Poteau	36		9	sédiment limoneux brun meuble homogène avec charbon de bois	
2380		Trou de Poteau	30		5	sédiment limoneux brun meuble homogène avec charbons de bois	
2381		Trou de Poteau	30		10	sédiment limoneux brun homogène et meuble avec cailloutis et rares charbons de bois	
2382		Trou de Poteau	15		12	sédiment limoneux brun meuble et homogène	
2383		ANNULE					
2384		Trou de Poteau	30		10	sédiment limoneux brun meuble et homogène avec cailloutis et rares charbons de bois	
2385		Trou de Poteau	19		9	sédiment limoneux brun meuble et homogène avec cailloutis	
2386		Trou de Poteau	14		5	sédiment limoneux brun meuble et homogène	
2387		Trou de Poteau	33	25	8	sédiment limoneux brun meuble et homogène avec cailloutis	
2388		ANNULE					
2389		Trou de Poteau	70	36	16	sédiment argileux brun hétérogène	Âge du Bronze
2390		ANNULE					
2391		Trou de Poteau	56		14	sédiment limoneux brun foncé	Âge du Bronze
2392		ANNULE					
2393		ANNULE					
2394		Trou de Poteau	40		14	sédiment limoneux brun compact avec schiste altéré	
2395		ANNULE					
2396		Fosse	54	29	5	sédiment limoneux brun avec quelques rares charbons de bois	
2397		Trou de Poteau	16		6	sédiment limoneux brun meuble et homogène avec charbons de bois	
2398		Trou de Poteau	21		16	sédiment limoneux brun dense	
2399		Trou de Poteau	42		10	sédiment limono-argileux gris compact et homogène	Âge du Bronze
2400		Trou de Poteau	24		4	sédiment limono-argileux brun très hétérogène	Âge du Bronze
2401		Trou de Poteau	40		15	sédiment limono-argileux brun compact, homogène	Âge du Bronze
2402		Trou de Poteau	22		16	sédiment limono-argileux brun compact et homogène	Âge du Bronze
2403		Trou de Poteau	36		13	sédiment limoneux brun meuble homogène avec charbons de bois	
2404		non fouillé					
2405		Trou de Poteau	34	21	9	sédiment limoneux brun meuble homogène avec charbons de bois	
2406		Trou de Poteau	24		12	sédiment limoneux brun meuble homogène	
2407		non fouillé					
2408		Trou de Poteau	33		10	sédiment limoneux brun meuble homogène avec charbons de bois	
2409		Trou de Poteau	26		5	sédiment limoneux brun avec charbons de bois	
2410		ANNULE					
2411		Trou de Poteau	25		3	sédiment limono-argileux brun meuble homogène avec charbons de bois et tc	
2412		ANNULE					
2413		Trou de Poteau	27		7	sédiment limoneux brun meuble homogène avec charbons de bois	
2414		Trou de Poteau	37		10	sédiment limoneux brun homogène et compact	Âge du Bronze
2415		Trou de Poteau	45		16	sédiment limoneux brun mélangé à du schiste altéré inclusions de charbons de bois et de terre cuite	Âge du Bronze
2416		Trou de Poteau	29		9	sédiment limoneux beige homogène	
2417		Trou de Poteau	28		14	sédiment limoneux brun beige	

N° de ST	Sond	Nature	L ou Diam en cm	Larg en cm	Prof en cm	Description du remplissage	Datation
2418		Trou de Poteau	34	28	5	sédiment limoneux gris beige	
2419		Trou de Poteau	54	34	5	sédiment limoneux brun gris	
2420		non fouillé					
2421		Trou de Poteau	24		4	sédiment limoneux brun meuble homogène	
2422		Trou de Poteau	40		13	sédiment limoneux brun homogène compact	
2423		Trou de Poteau	34		8	sédiment limoneux brun homogène et compact	
2424		Trou de Poteau	30		10	sédiment limoneux brun homogène et compact	Âge du Bronze
2425		Trou de Poteau	29		8	sédiment limoneux gris brun	
2426		Trou de Poteau	29		8	sédiment limoneux brun beige	
2427		non fouillé					
2428		ANNULE					
2429		ANNULE					
2430		ANNULE					
2431		Trou de Poteau	37		7	sédiment limoneux brun homogène et compact	
2432		Trou de Poteau	33		12	sédiment limoneux brun	
2433		non fouillé					Âge du Bronze
2434		Trou de Poteau	20		15	sédiment limoneux brun	Âge du Bronze
2435		Trou de Poteau	20		18	sédiment limoneux brun	
2436		Trou de Poteau	24		14	sédiment limono-argileux brun gris compact homogène	
2437		Trou de Poteau	46		8	sédiment limoneux gris brun homogène meuble avec charbons de bois	Âge du Bronze
2438		Trou de Poteau	23		4	sédiment limono-argileux gris compact	
2439		Trou de Poteau	18		3	sédiment limoneux beige	
2440		Trou de Poteau	18		6	sédiment limoneux beige	
2441		Trou de Poteau	26		4	sédiment limono-argileux gris hétérogène	
2442		Trou de Poteau	24		20	sédiment limono-argileux brun avec charbons de bois, meuble hétérogène	Âge du Bronze
2443		Trou de Poteau	30		8	sédiment limono-argileux gris compact hétérogène	
2444		Trou de Poteau	20		8	sédiment limono-argileux gris compact	Âge du Bronze
2445		Trou de Poteau	26		8	sédiment limono-argileux gris compact hétérogène	
2446		Trou de Poteau	22		12	sédiment limoneux brun	
2447		Trou de Poteau	38		18	sédiment limoneux brun avec altérite	Âge du Bronze
2448		Trou de Poteau	30		3	sédiment limoneux beige	
2449		Trou de Poteau	20		3	sédiment limoneux beige	
2450		Trou de Poteau	23		10	sédiment limoneux brun	
2451		Trou de Poteau	36		13	sédiment limoneux brun gris hétérogène mélangé à de l'altérite avec charbons de bois	
2452		Trou de Poteau	35		25	sédiment limoneux brun gris hétérogène mélangé à de l'altérite avec charbons de bois	
2453		Trou de Poteau	18		4	sédiment limono-argileux gris	
2454		Trou de Poteau	43	36	15	sédiment limoneux brun meuble homogène avec quelques charbons de bois	Âge du Bronze
2455		Trou de Poteau	56		16	sédiment limoneux brun gris compact hétérogène	
2456		Trou de Poteau	30		7	sédiment limoneux brun	
2457		Trou de Poteau	40		10	sédiment limoneux brun	Âge du Bronze
2458		Trou de Poteau	34		9	sédiment limoneux brun	
2459		Trou de Poteau	40		9	sédiment limoneux brun	
2460		Trou de Poteau	30		10	sédiment limoneux brun	

N° de ST	Sond	Nature	L ou Diam en cm	Larg en cm	Prof en cm	Description du remplissage	Datation
2461		Trou de Poteau	25		8	sédiment limono-argileux brun avec pierre de schiste rougit au fond	
2462		Trou de Poteau	34		11	sédiment limoneux brun gris	
2463		Trou de Poteau	21		12	sédiment limoneux brun	Âge du Bronze
2464		Trou de Poteau	36		8	sédiment limoneux gris brun	
2465		Trou de Poteau	15		4	sédiment limoneux brun gris	
2466		Trou de Poteau	28		12	sédiment limono-argileux brun meuble homogène	
2467		ANNULE					
2468		Trou de Poteau	22		3	sédiment limono-argileux gris hétérogène	
2469		Trou de Poteau	29		5	sédiment limoneux brun homogène	
2470		Trou de Poteau	26		7	sédiment limoneux brun gris	
2471		Trou de Poteau	32		20	sédiment limoneux beige avec charbons de bois	
2472		Trou de Poteau	28		9	sédiment limoneux beige gris	
2473		Trou de Poteau	26		10	sédiment limoneux beige	
2474		Trou de Poteau	25		7	sédiment limoneux brun meuble homogène avec charbons de bois	
2475		Trou de Poteau	30		8	sédiment limoneux gris beige homogène	
2476		Trou de Poteau	37		8	sédiment limoneux gris beige	
2477		Trou de Poteau	24		4	sédiment limoneux beige meuble	
2478		Trou de Poteau	15		5	sédiment limoneux beige homogène	
2479		Trou de Poteau	16		4	sédiment limoneux beige meuble	
2480		Trou de Poteau	45		11	sédiment limoneux brun	
2481		Trou de Poteau	40		9	sédiment limoneux brun homogène et compact	
2482		Trou de Poteau	25		10	sédiment limoneux brun gris	
2483		ANNULE					
2484		non fouillé					
2485		non fouillé					
2486		Trou de Poteau	25		8	comblement brun meuble et homogène avec charbons de bois	
2488		Trou de Poteau	22		20	sédiment limono-argileux brun meuble hétérogène avec nodules de tc	
2489		Trou de Poteau	25		7	sédiment argileux gris homogène avec charbons de bois	
2490		Trou de Poteau	60	40	9	sédiment argilo-sableux brun gris homogène avec charbons de bois	Âge du Fer
2491		Trou de Poteau	35		10	sédiment limono-argileux brun meuble homogène	Gallo-romain
2492		non fouillé					
2493		non fouillé					
2494		Trou de Poteau	56		14	sédiment limono-argileux brun meuble	
2495		Trou de Poteau	53		8	sédiment limono-argileux brun meuble	
2496		Trou de Poteau	70	32	16	sédiment limono-argileux brun meuble avec charbons de bois	
2497		ANNULE	74	36	19	sédiment limono-argileux brun gris foncé avec charbons de bois	Gallo-romain
2498		non fouillé					
2499		Trou de Poteau	25		10	sédiment limoneux brun avec charbons de bois	Gallo-romain
2500		non fouillé					
2501		non fouillé					
2502		ANNULE					
2503	688	Segment FoC	761	55	10	sédiment limoneux gris meuble homogène avec tc	
2504		non fouillé	2448				
2505		Fosse	70	24	10	sédiment limono-argileux brun gris homogène avec charbons de bois et tc	
2506		Trou de Poteau	80	36	8	sédiment limoneux grisâtre très meuble avec charbons de bois et tc	
2507		Trou de Poteau	54		16	sédiment limono-argileux gris	

N° de ST	Sond	Nature	L ou Diam en cm	Larg en cm	Prof en cm	Description du remplissage	Datation
2507		Trou de Poteau	70	26	8	sédiment limoneux grisâtre très meuble avec charbons de bois et tc	
2508		Trou de Poteau	44		8	sédiment limono-argileux gris homogène	
2509		Trou de Poteau	20		9	sédiment limono-argileux brun	
2510		non fouillé					
2511		non fouillé					
2512		Trou de Poteau	26		14	sédiment limono-argileux gris	
2513		Trou de Poteau	45	29	11	sédiment argileux gris homogène	
2514		ANNULE					
2515		Trou de Poteau	45		9	sédiment argileux gris compact	
2516		Trou de Poteau	34		8	sédiment argileux gris foncé peu compact homogène avec charbons de bois	
2517		Trou de Poteau	40		13	sédiment argileux gris foncé homogène peu compact	
2518		Trou de Poteau	36		12	sédiment limoneux brun mélangé au substrat schisteux	
2519		Trou de Poteau	19		9	sédiment limono-argileux brun	
2520		Trou de Poteau	65		12	sédiment limono-argileux brun	
2521		Trou de Poteau	35		12	sédiment limono-argileux brun	
2522		Trou de Poteau	30		19	sédiment limoneux brun gris	Âge du Bronze
2523		Trou de Poteau	30		5	sédiment limoneux brun très hétérogène	
2524		non fouillé					
2525		Trou de Poteau	16		8	sédiment limono-argileux gris	
2526		Trou de Poteau	22		22	sédiment limono-argileux gris très meuble avec charbons de bois	
2527		Fosse	128	100	10	sédiment limono-argileux gris clair	
2528		non fouillé					
2529		Trou de Poteau	30		10	sédiment limono-argileux gris hétérogène meuble	
2530		Trou de Poteau	44		10	sédiment limono-argileux gris compact	
2531		Trou de Poteau	66		13	sédiment limono-argileux brun gris compact hétérogène	
2532		Trou de Poteau	32		18	sédiment limono-argileux gris homogène compact avec charbons de bois	
2533		Trou de Poteau	22		10	sédiment limono-argileux gris homogène compact avec charbons de bois	
2534		Trou de Poteau	36		28	sédiment limono-argileux gris brun homogène compact avec charbons de bois	
2535		non fouillé					
2536		Trou de Poteau	30		5	sédiment limono-argileux gris homogène compact avec charbons de bois	
2537		non fouillé					
2538		non fouillé					
2539		Trou de Poteau	38		11	sédiment limono-argileux gris homogène compact avec charbons de bois	
2540		Trou de Poteau	32		17	sédiment limono-argileux gris hétérogène meuble	
2541		non fouillé					
2542		non fouillé					
2543		non fouillé					
2544		Fosse	195	124	15	sédiment limoneux gris peu compact avec charbons de bois	
2545		Fosse	120	83	10	sédiment limoneux gris compact	
2546		Trou de Poteau	17		36	sédiment limoneux gris foncé avec nombreux charbons de bois	
2547		Trou de Poteau	37		13	sédiment limoneux beige	
2548		Trou de Poteau	25		12	sédiment limono-argileux brun compact assez homogène	
2549	116	Segment FoC	6295	38	10	sédiment limoneux gris meuble	Âge du Fer
2549	118	Segment FoC	6295	36	12	sédiment limono-argileux gris meuble	Âge du Fer
2550		Trou de Poteau	50			sédiment limono-argileux gris meuble et hétérogène avec schiste altéré	



N° de ST	Sond	Nature	L ou Diam en cm	Larg en cm	Prof en cm	Description du remplissage	Datation
2551		non fouillé					
2552		non fouillé					
2553		non fouillé					
2554		non fouillé					
2555		non fouillé					
2556		remblais					
2557		non fouillé					
2558		non fouillé					
2559		non fouillé					
2560		non fouillé					
2561		Trou de Poteau	64	46	10	sédiment limoneux gris clair meuble homogène	
2562		Fosse	280	200	26	sédiment limono-argileux gris	Âge du Bronze
2563		Fosse				non fouillée, mobilier en surface	Âge du Bronze
2564		ornière chemin					
2565		non fouillé					
2566		Trou de Poteau	40		18		
2567		non fouillé					
2568		remblais					
2569		non fouillé					
2570		non fouillé					
2571		Trou de Poteau	63		18	sédiment argileux gris compact homogène avec charbons de bois	
2572		Trou de Poteau	45		14	sédiment limoneux gris	Âge du Bronze
2573		Trou de Poteau	27		22	sédiment argileux gris homogène compact avec charbons de bois	
2574		Trou de Poteau	30		21	sédiment limoneux gris avec charbons de bois	Âge du Bronze
2575		Trou de Poteau	78		22	sédiment limono-argileux gris compact avec charbons de bois	
2576		Trou de Poteau	52		17	sédiment limono-argileux brun foncé avec charbons de bois	Gallo-romain
2577		Trou de Poteau	36		11	sédiment limoneux brun hétérogène avec fragments de schiste, charbons de bois et tc	Âge du Bronze
2578		Trou de Poteau	45		22	sédiment limono-argileux gris meuble hétérogène	
2579		Trou de Poteau	44		17	sédiment limono-argileux brun gris compact homogène	
2580		ANNULE					
2581		Trou de Poteau	30		12	sédiment limono-argileux gris brun foncé compact homogène	
2582		Trou de Poteau	38		13	sédiment limono-argileux gris	
2583		Trou de Poteau	34		6	sédiment limono-argileux gris brun compact homogène	
2584		Trou de Poteau	38		22	sédiment limono-argileux brun gris compact homogène avec charbons de bois	
2585		Trou de Poteau	35		8	sédiment limoneux gris	
2586		Trou de Poteau	40		25	sédiment limono-argileux gris brun très compact homogène avec charbons de bois	
2587		Trou de Poteau	35		12	sédiment limono-argileux gris brun très compact homogène avec charbons de bois	
2588		Chablis					
2589		Fosse	108		23	sédiment limono-argileux gris compact homogène	
2590		Trou de Poteau	36		22	sédiment argileux homogène gris	
2591		Trou de Poteau	40		12	sédiment limono-argileux gris brun très compact homogène avec charbons de bois	Âge du Bronze
2592		Fosse	140	102	32	sédiment limoneux gris compact homogène avec charbons de bois	Âge du Bronze
2593		Trou de Poteau	25		24	sédiment limono-argileux gris	
2594		Trou de Poteau	20		11	sédiment limoneux gris	

N° de ST	Sond	Nature	L ou Diam en cm	Larg en cm	Prof en cm	Description du remplissage	Datation
2595		Trou de Poteau	42	28	10	sédiment argileux brun gris compact	
2596		Trou de Poteau	22		6	sédiment limoneux gris	
2597		Trou de Poteau	35		27	sédiment limoneux gris compact	
2598		ANNULE	54		10	sédiment limono-argileux brun gris avec charbons de bois	
2599		Trou de Poteau	30		13	sédiment limoneux gris avec rares charbons de bois	
2600		Chablis					
2601		Trou de Poteau	20		8	sédiment limoneux brun	
2602		ANNULE					
2603		Trou de Poteau	26		11	sédiment limono-argileux brun gris compact hétérogène	
2604		Chablis					
2605		non fouillé					
2606		non fouillé					
2607		Trou de Poteau	22		13	sédiment limono-argileux gris	
2608		non fouillé					
2609		non fouillé					
2610		Trou de Poteau	35		8	sédiment limoneux gris	
2611		Trou de Poteau	30		7	sédiment limoneux gris	
2612		Trou de Poteau	40		5	sédiment limono-argileux brun clair meuble homogène	
2613		Trou de Poteau	22		6	sédiment limono-argileux gris meuble hétérogène	
2614		Trou de Poteau	40		23	sédiment jaune sableux très meuble homogène	
2615		Trou de Poteau	50		18	sédiment limoneux gris avec charbons de bois	
2616		non fouillé					
2617		non fouillé					
2618		Trou de Poteau	35		18	sédiment limoneux gris foncé avec charbons de bois	Âge du Bronze
2619		Trou de Poteau	28		6	sédiment brun gris hétérogène	
2620		Trou de Poteau	30		6	sédiment limono-argileux brun gris homogène	
2621		ANNULE					
2622		ANNULE					
2623		Trou de Poteau	30		7	sédiment limoneux gris avec charbons de bois	
2624		non fouillé					
2625		non fouillé					
2626		non fouillé					
2627		non fouillé					
2628		non fouillé					
2629		non fouillé					
2630		Trou de Poteau	60		10	sédiment limono-argileux gris homogène meuble	
2631		non fouillé					
2632		Fosse	78	64	10	sédiment argileux gris avec quelques traces d'oxydation compact et homogène	
2632		Fosse	78	64	10	sédiment limono-argileux gris compact homogène avec oxydation et charbons de bois	
2633		Fosse	70	70	10	sédiment limono-argileux brun compact homogène avec quelques fragments de charbons de bois	
2634		non fouillé					
2635		non fouillé					
2636	755	Segment FoC	4176	64	6	sédiment limono-argileux gris avec tc	
2636	730	Fosse	4176	72	10	sédiment limono-argileux gris avec tc	
2637		non fouillé					
2638		non fouillé					
2639		non fouillé					
2640		non fouillé					
2641		non fouillé					

N° de ST	Sond	Nature	L ou Diam en cm	Larg en cm	Prof en cm	Description du remplissage	Datation
2642		non fouillé					
2643		ANNULE					
2644		non fouillé					
2645		non fouillé					
2646		non fouillé					
2647		non fouillé					
2648		remblais					
2649		non fouillé					
2650		non fouillé					
2651		remblais					
2652		non fouillé					
2653		ANNULE					
2654		ANNULE					
2655	735	Segment FoC	722	60	22	sédiment argilo-limoneux brun	
2656		Chablis					
2657		non fouillé					
2658		non fouillé					
2659		non fouillé					
2660	740	Segment FoC	767	80	12	sédiment limono-argileux brun gris meuble homogène avec tc	
2660	727	Segment FoC	767	110	22	sédiment limono-argileux brun gris meuble homogène avec tc	
2661		ANNULE					
2662		ANNULE					
2663		Segment FoC	3600	88	36	sédiment limono-argileux brun compact homogène	Mérovingien
2664		ANNULE					
2665		Chablis					
2666		ANNULE					
2667	728	Segment FoC	29600			sédiment limono-argileux brun clair gris compact homogène	Gallo-romain
2668	714	Segment FoC	1864	40	8	sédiment limono-argileux brun compact homogène avec charbons de bois	Mérovingien
2668	715	Segment FoC	1864	54	12	sédiment limono-argileux brun compact homogène avec charbons de bois	Mérovingien
2669		ANNULE					
2670		Fosse	60	32	5	sédiment limono-argileux brun gris homogène	
2671		Trou de Poteau	112	40	8	sédiment limono-argileux brun compact homogène avec charbons de bois	
2672		non fouillé					
2673	743	Segment FoC	3516	60	18	sédiment argileux gris meuble avec tc et charbons de bois	Mérovingien
2674		non fouillé					
2675		Segment FoC				voir 2663	Mérovingien
2676		non fouillé					
2677		Chablis					
2678	674	Sablère	1962	56	10	sédiment limono-argileux brun homogène	Gallo-romain
2679		ANNULE					
2680		Trou de Poteau	18		6	sédiment argileux brun gris	
2681		ANNULE					
2682		non fouillé					
2683		Trou de Poteau	32		8	sédiment argileux gris brun	
2684		Trou de Poteau	37		8	sédiment argileux gris brun	
2685		Trou de Poteau	32		26	sédiment limono-argileux gris	
2686		Trou de Poteau	50		18	sédiment limono-argileux gris	
2687		ANNULE					
2688		ANNULE					
2689		ANNULE					

N° de ST	Sond	Nature	L ou Diam en cm	Larg en cm	Prof en cm	Description du remplissage	Datation
2690		Fosse	112	75	38	substrat remanié gris beige	
2691		non fouillé					
2692		Chablis					
2693		non fouillé					
2694		Chablis					
2695		non fouillé					
2696		Chablis					
2697		Chablis					
2698		Chablis					
2699		Chablis					
2700		Trou de Poteau	28		8	sédiment limono-argileux gris compact	
2701		Trou de Poteau	30		10	sédiment limono-argileux gris	
2702		Trou de Poteau	18		10	sédiment limono-argileux brun homogène	Âge du Bronze
2703		Trou de Poteau	20		10	sédiment limono-argileux brun homogène et compact	
2704		ANNULE					
2705		Segment FoC	925	40	12	sédiment limoneux brun foncé	Gallo-romain
2706		Chablis					
2707		Chablis					
2708		Chablis					
2709		Chablis					
2710		Chablis					
2711		non fouillé					
2712		non fouillé					
2713		Fosse	122	80	28	sédiment limono-argileux gris brun compact hétérogène avec beaucoup de charbons de bois et de terres rubéfiées	
2714		Chablis					
2715		non fouillé					
2716		Chablis					
2717		Chablis					
2718		Chablis					
2719		Chablis					
2720		Trou de Poteau	40		13	sédiment limono-argileux gris compact homogène avec charbons de bois	
2721		Chablis					
2722		Chablis					
2723		Chablis					
2724		Chablis					
2725		Chablis					
2726		Chablis					
2727		Chablis					
2728		Chablis					
2729		Chablis					
2730		non fouillé					
2731		non fouillé					
2732		non fouillé					
2733		non fouillé					
2734		Chablis					
2735		Chablis					
2736		Chablis					
2737		non fouillé					
2738		Chablis					
2739		non fouillé					

N° de ST	Sond	Nature	L ou Diam en cm	Larg en cm	Prof en cm	Description du remplissage	Datation
2740		non fouillé					
2741		Chablis					
2742		Chablis					
2743		Chablis					
2744		non fouillé					
2745		non fouillé					
2746		non fouillé					
2747		non fouillé					
2748		non fouillé					
2749		Chablis					
2750		non fouillé					
2751		Chablis					
2752		non fouillé					
2753		Chablis					
2754		Chablis					
2755		ANNULE					
2756		Chablis					
2757		Chablis					
2758		Chablis					
2759		Chablis					
2760		Chablis					
2761		non fouillé					
2762		non fouillé					
2763		Segment FoC				voir 2663	Mérovingien
2764		Segment FoC	2300	80			Mérovingien
2765		non fouillé					
2766		non fouillé					
2767		Segment FoC	1200	80			Mérovingien
2768		Segment FoC				voir 2804	
2769		Segment FoC				voir 2000	Moderne
2770		Segment FoC	2800	80		se raccorde à 2790	Mérovingien
2771		Trou de Poteau	46		11	sédiment limono-argileux gris brun meuble homogène rares charbons de bois	
2772		Fosse					
2773		Fosse	218	190	70	sédiment limono-argileux brun meuble avec charbons de bois	Gallo-romain
2774		Trou de Poteau	35		10	sédiment limoneux brun homogène	
2775		Fosse	200	100	50	sédiment limoneux brun foncé avec de nombreuses pierres	Âge du Fer
2776		Trou de Poteau	40		10	sédiment limoneux brun assez homogène	
2777		Cave à pommier					
2778		Segment FoC				voir 2770	Mérovingien
2779		Segment FoC					Mérovingien
2780		Segment FoC				voir 2767	Mérovingien
2781		Segment FoC				voir 3146	Gallo-romain
2782		non fouillé					
2783		Segment FoC				voir 3146	Gallo-romain
2784		non fouillé					
2785		Segment FoC	1800	80			Mérovingien
2786		Segment FoC				voir 2764	Mérovingien
2787		Fosse				voir 2764	Mérovingien
2788		non fouillé					
2789		non fouillé					
2790		Segment FoC	2000	80		flanc est de l'enclos se divise en 2778 et 2780	Mérovingien

N° de ST	Sond	Nature	L ou Diam en cm	Larg en cm	Prof en cm	Description du remplissage	Datation
2791		non fouillé					
2792		Trou de Poteau	38		18	sédiment limono-argileux gris brun compact homogène	
2793		non fouillé					
2794		non fouillé					
2795		non fouillé					
2796		ANNULE					
2797		non fouillé					
2798		non fouillé					
2799		non fouillé					
2800		non fouillé					
2801		non fouillé					
2802		Trou de Poteau	30		18	sédiment limono-argileux brun compact homogène avec charbons de bois	
2803		Trou de Poteau	42		8	sédiment limono-argileux brun compact homogène avec charbons de bois	
2804	712	Segment FoC	2005	54	16	sédiment limono-argileux brun meuble hétérogène	
2805		Trou de Poteau	30		8	sédiment limono-argileux brun homogène meuble	
2806		non fouillé					
2807		Trou de Poteau	30		10	sédiment limono-argileux brun meuble homogène	
2808		Fosse	100	56	13	sédiment limono-argileux gris brun dense	
2809		Trou de Poteau	40		15	sédiment limono-argileux brun meuble homogène	
2810		Trou de Poteau	60	35	14	sédiment limono-argileux brun meuble homogène	
2811		Fosse	80	55	17	sédiment limoneux brun meuble	
2812		Trou de Poteau	40		17	sédiment limono-argileux brun meuble homogène	
2814		non fouillé					
2815		non fouillé					
2816		Trou de Poteau	40	25	8	sédiment limono-argileux brun gris mélangé au substrat	
2817		Trou de Poteau	20		6	sédiment limono-argileux brun meuble homogène	
2818		Trou de Poteau	40		12	sédiment limono-argileux brun compact homogène avec charbons de bois	
2819		Fosse	178	100	28	sédiment limono-argileux brun très meuble homogène	
2820		Trou de Poteau	38		10	sédiment limono-argileux brun compact homogène avec charbons de bois	
2821		non fouillé					
2822		Fosse	206	100	16	sédiment limono-argileux brun très compact homogène rares charbons de bois	
2823		Trou de Poteau	80		28	sédiment limono-argileux brun compact homogène avec charbons de bois	
2824		Trou de Poteau	78	46	13	sédiment limono-argileux brun compact homogène avec charbons de bois	
2825		Fosse	140	74	25	sédiment limono-argileux brun compact homogène avec charbons de bois	
2826		Fosse	82	70	20	sédiment limono-argileux brun marbré de gris mélangé à substrat et très oxydé	
2827		Trou de Poteau	44		16	sédiment limono-argileux brun compact homogène	
2828		non fouillé					
2829		non fouillé					
2830		Trou de Poteau	45		12	sédiment limono-argileux brun meuble homogène	
2831		Trou de Poteau	25		10	sédiment limono-argileux brun gris hétérogène	
2832		ANNULE					
2833		ANNULE					
2834		Fosse	170	84	43	sédiment limono-argileux gris brun homogène meuble	
2835		non fouillé					
2836		Trou de Poteau	70		20	sédiment limono-argileux brun gris compact homogène avec charbons de bois	

N° de ST	Sond	Nature	L ou Diam en cm	Larg en cm	Prof en cm	Description du remplissage	Datation
2837		Trou de Poteau	50		12	sédiment limono-argileux brun gris meuble homogène	
2838		ANNULE					
2839		non fouillé					
2840		non fouillé					
2841		Segment FoC	1411	28	6	sédiment limoneux brun gris compact homogène avec oxydation et cailloutis	Médiévale
2842		Trou de Poteau	32		9	sédiment argileux gris avec traces d'oxydation meuble homogène	
2843		Fosse	73	38	18	sédiment argileux gris avec traces d'oxydation meuble homogène avec charbons de bois	
2844	126	Segment FoC	7565	78	32	sédiment limono-argileux brun avec charbons de bois	Âge du Fer
2845	126	Segment FoC	7200	36	14	sédiment limono-argileux brun rares charbons de bois	Gallo-romain
2846		ANNULE					
2847		Fosse	1073	735	64	sédiment limoneux gris mélangé au substrat	Gallo-romain
2848		Trou de Poteau	60		16	sédiment limono-argileux brun homogène	
2849		Segment FoC	2800	116	50	sédiment limono-argileux brun	Âge du Fer
2850		Trou de Poteau	60		20	sédiment limoneux brun clair	
2851		Trou de Poteau	68	32	13	sédiment limoneux gris meuble homogène avec galets de quartz et rares charbons de bois	Âge du Fer
2852		Trou de Poteau	35		25	sédiment limono-argileux brun grix avec gros bloc de quartz	
2853		Trou de Poteau	58		7	sédiment limono-argileux gris mélangé au substrat	
2854		Trou de Poteau	73		18	sédiment limono-argileux gris avec rares charbons de bois	
2855		Trou de Poteau	66		20	sédiment limono-argileux brun gris	
2856		Trou de Poteau	36		17	sédiment limono-argileux gris avec charbons de bois	Gallo-romain
2857		Trou de Poteau	40		23	sédiment limono-argileux gris compact homogène avec charbons de bois, clou, tc	Gallo-romain
2858		Trou de Poteau	64	46	14	sédiment limoneux brun meuble homogène avec rares charbons de bois, tca	
2859		Trou de Poteau	35		32	sédiment limono-argileux gris avec beaucoup de charbons de bois	Gallo-romain
2860	197	Fosse	178	88	11	sédiment limoneux brun oxydé meuble homogène avec charbons de bois	Âge du Fer
2861	206	Segment FoC	882	92	23	sédiment limoneux gris compact avec charbons de bois et scories	Gallo-romain
2861	211	Segment FoC	882	92	23	sédiment limoneux gris compact avec charbons de bois et scories	Gallo-romain
2861	212	Segment FoC	882	142	31	sédiment limoneux gris compact avec charbons de bois et scories	Gallo-romain
2861	219	Segment FoC	882	150	38	sédiment limoneux gris compact avec charbons de bois et scories	Gallo-romain
2862		Trou de Poteau	50	32	26	sédiment limoneux gris clair homogène compact avec charbons de bois	
2863		non fouillé					
2864		non fouillé					
2865		Trou de Poteau	46		12	sédiment limoneux beige homogène avec rares charbons de bois	
2866	333	Segment FoC	7526	163	28	sédiment limono-argileux gris clair beige assez hétérogène	Gallo-romain
2866	334	Segment FoC	7526	163	38	sédiment limono-argileux gris clair beige assez hétérogène	Gallo-romain
2866	337	Segment FoC	7526	90	52	sédiment limono-argileux gris assez homogène	Gallo-romain
2867		Trou de Poteau	73	50	14	sédiment limoneux gris meuble avec charbons de bois	
2868	300	Segment FoC	12760	68	35	sédiment limoneux gris beige avec traces d'oxydation	Gallo-romain
2868	275	Segment FoC	12760	76	18	sédiment limoneux gris beige avec traces d'oxydation	Gallo-romain
2868	257	Segment FoC	12760	44	19	sédiment limoneux gris beige avec traces d'oxydation	Gallo-romain
2868	326	Segment FoC	12760	44	19	sédiment limono-argileux brun clair compact avec charbons de bois et nodules de tc	Gallo-romain
2868	327	Segment FoC	12760	100	27	sédiment limono-argileux brun clair compact avec charbons de bois et nodules de tc	Gallo-romain

N° de ST	Sond	Nature	L ou Diam en cm	Larg en cm	Prof en cm	Description du remplissage	Datation
2868	349	Segment FoC	12760	90	26	sédiment limono-argileux brun clair compact avec charbons de bois	Gallo-romain
2868	423	Segment FoC	12760	82	22	sédiment limono-argileux brun clair meuble avec rares charbons de bois	Gallo-romain
2868	348	Segment FoC	12760	140	32	sédiment limono-argileux gris beige avec traces d'oxydation	Gallo-romain
2869		Fosse	100	96	12	sédiment limoneux gris compact homogène avec charbons de bois	
2870		Fosse	140	120	18	sédiment limono-argileux brun gris avec charbons de bois, tc	Gallo-romain
2871		non fouillé					
2872		non fouillé					
2873	749	Segment FoC	4000	120	34	sédiment limono-argileux brun	Mérovingien
2873	750	Segment FoC	4000	140	38	sédiment limono-argileux brun hétérogène avec tc	Mérovingien
2873	753	Segment FoC	4000	140	34	sédiment limono-argileux brun hétérogène avec charbons de bois	Mérovingien
2873	754	Segment FoC	4000	150	36	sédiment limono-argileux brun peu compact homogène avec tc et charbons de bois	Mérovingien
2874		Trou de Poteau	62		8	sédiment sablo-limoneux brun clair compact homogène avec charbons de bois et nodules de tc	
2875		non fouillé					
2876		non fouillé					
2877		non fouillé					
2878		non fouillé					
2879		non fouillé					
2880		non fouillé					
2881		non fouillé					
2882	277	Segment FoC	1723	65	12	sédiment limoneux gris clair compact homogène	
2882	278	Segment FoC	1723	83	18	sédiment limoneux gris clair compact homogène	
2883		non fouillé					
2884		non fouillé					
2885	321	Fosse	120		12	sédiment limoneux brun gris meuble homogène avec charbons de bois	Gallo-romain
2886		Fosse	108	84	20	sédiment limoneux brun très charbonneux meuble homogène avec tc et métal	
2887	323	Fosse	194	92	20	sédiment limoneux brun gris avec charbons de bois et tca	Gallo-romain
2888	323	Fosse	130	50	20	sédiment limoneux brun gris meuble homogène avec charbons de bois, tc	
2889	375	Segment FoC	7857	78	14	sédiment limono-argileux brun gris hétérogène	
2890	379	Segment FoC	2000	100	10	sédiment limono-argileux beige assez meuble homogène avec charbons de bois	Gallo-romain
2891		Sablère				voir 1318	Âge du Fer
2892		Sablère	842	50	15	sédiment limono-argileux gris beige compact avec altérite	Âge du Fer
2893		Trou de Poteau	30		28	sédiment limono-argileux gris compact homogène	
2894		Trou de Poteau	40		50	sédiment limono-argileux gris foncé meuble	
2895		Trou de Poteau	36		14	sédiment limono-argileux gris foncé meuble	
2896		Trou de Poteau	40		32	sédiment argileux brun orangé mélangé au substrat avec tc	
2897	109	Segment FoC	5045	490	115	sédiment limono-argileux brun clair à gris avec traces ponctuelles d'oxydation et inclusions de tc	Gallo-romain
2897	440	Segment FoC	5045	310	66	sédiment limoneux gris clair avec inclusions manganèse	Gallo-romain
2897	443	Segment FoC	5045	300	56	sédiment limono-argileux brun clair à gris avec traces ponctuelles d'oxydation et inclusions de tc	Gallo-romain
2897	445	Segment FoC	5045	310	66	sédiment limoneux gris clair avec inclusions manganèse	Gallo-romain
2898	448	Segment FoC		100	72	sédiment limono-argileux gris clair, relativement homogène compact	
2899	445	Fosse	170		34	sédiment limono-argileux gris/beige avec inclusions altérite compact et TC	
2900		Segment FoC				voir 2977	Gallo-romain



N° de ST	Sond	Nature	L ou Diam en cm	Larg en cm	Prof en cm	Description du remplissage	Datation
2901		Trou de Poteau	90		20	sédiment argileux brun clair	
2902	604	Segment FoC	5246	70	40	sédiment argileux gris compact homogène avec traces d'oxydation et charbons de bois	Gallo-romain
2902	464	Segment FoC	5246	64	18	sédiment argileux brun beige légèrement hétérogène	
2903	466	Segment FoC	1303	156	140	sédiment argilo-limoneux gris brun compact avec charbons de bois	Âge du Fer
2904	475	Segment FoC	2400	120	43	sédiment limono-argileux brun avec tc	Âge du Fer
2904	618	Segment FoC	2400	76	62	sédiment limono-argileux brun avec charbons de bois	
2904	517	Segment FoC	2400	80	54	sédiment limono-argileux gris meuble homogène avec charbons de bois	
2905		Fosse	200		58	sédiment argilo-limoneux brun hétérogène avec altérite rouge	
2906		Segment FoC				voir 1310	Âge du Fer
2907		Trou de Poteau	54		16	sédiment argilo-limoneux brun homogène compact avec charbons de bois	
2908		Trou de Poteau	44		7	sédiment argilo-limoneux gris beige homogène compact	
2909		Trou de Poteau	60		12	sédiment limono-argileux gris beige	
2910		Trou de Poteau	20		12	sédiment limono-argileux gris beige	
2911		Fosse				ramassage surface	Âge du Fer
2912		Trou de Poteau	72		11	sédiment limono-argileux gris jaune compact homogène avec manganèse	
2913		Trou de Poteau	54	30	9	sédiment limono-argileux gris jaune compact homogène avec manganèse	Âge du Fer
2914		Trou de Poteau	44		20	sédiment limono-argileux gris jaune compact homogène avec charbons de bois	
2915		Trou de Poteau	54	40	14	sédiment limono-argileux gris jaune compact homogène avec manganèse	
2916		Trou de Poteau	42	31	20	sédiment limono-argileux gris jaune compact homogène avec manganèse	
2917		Trou de Poteau	40		12	sédiment limono-argileux gris homogène compact	
2918		Trou de Poteau	28		12	sédiment limono-argileux gris jaune compact homogène avec charbons de bois	
2919		Trou de Poteau	36		9	sédiment limono-argileux gris jaune compact homogène avec manganèse	
2920		Trou de Poteau	42	20	4	sédiment limono-argileux gris jaune compact homogène avec manganèse	
2921		Trou de Poteau	52	40	8	sédiment limono-argileux gris jaune compact homogène avec manganèse	Âge du Fer
2922		Fosse	90	60	13	sédiment limono-argileux gris clair compact homogène avec oxydations	
2923		Trou de Poteau	30		10	sédiment limono-argileux gris beige	
2924		Trou de Poteau	20		6	sédiment limono-argileux gris beige	
2925		Trou de Poteau	50		4	sédiment limono-argileux brun mélangé au substrat	
2926		Trou de Poteau	34		22	sédiment limono-argileux gris brun relativement homogène	
2927		Trou de Poteau	40		10	sédiment limono-argileux gris clair	
2928		Trou de Poteau	30		5	sédiment limono-argileux gris clair compact	
2929		Trou de Poteau	50		18	sédiment limono-argileux gris beige relativement homogène	
2930		Fosse	60		16	sédiment limono-argileux gris beige	
2931		non fouillé					
2932		non fouillé					
2933	499	Sablière		62	14	sédiment limono-argileux	
2933	500	Sablière		62	12	sédiment limono-argileux	
2934		non fouillé					
2935		Trou de Poteau	50		9	sédiment limono-argileux gris	
2936		Trou de Poteau	60	35	12	sédiment limono-argileux gris compact	
2937		Trou de Poteau	40		8	sédiment limono-argileux gris mélangé au substrat	

N° de ST	Sond	Nature	L ou Diam en cm	Larg en cm	Prof en cm	Description du remplissage	Datation
2938		Trou de Poteau	45	30	10	sédiment limono-argileux gris compact	
2939		Trou de Poteau	50		16	sédiment limono-argileux gris mélangé au substrat remanié orangé	
2940		Trou de Poteau	55				Mérovingien
2941		Trou de Poteau	96	47	8	sédiment limono-argileux gris beige clair	
2942		Trou de Poteau	88	68	8	sédiment limono-argileux compact	
2943		Segment FoC	300	180	70	Le comblement inférieur est constitué d'une couche de substrat remanié jaune et gris compact, présentant des traces de stagnation d'eau. Il est recouvert d'un sédiment limono-argileux gris très meuble homogène, comportant des charbons de bois	Âge du Fer
2944		Trou de Poteau	32		6	sédiment limono-argileux gris beige	
2945		Trou de Poteau	48		24	sédiment argilo-limoneux brun orangé avec charbon de bois	Âge du Fer
2946		Trou de Poteau	34		6	sédiment limono-argileux gris beige	
2947		Trou de Poteau	36		6	sédiment limono-argileux gris brun	
2948		Trou de Poteau	30		12	sédiment limono-argileux gris compact homogène	
2949		Segment FoC	2855	40	14	sédiment argilo-limoneux brun avec inclusions d'altérites	Âge du Fer
2950		Trou de Poteau	80	60	10	substrat remanié	Âge du Fer
2951		Trou de Poteau	35		12	sédiment limono-argileux gris brun homogène	
2952		Trou de Poteau	50		4	sédiment limono-argileux brun mélangé à des pierres	
2953		Fosse	160	50	13	sédiment argilo-limoneux gris brun avec tc et charbons de bois	
2954		Trou de Poteau	20		8	sédiment limono-argileux brun hétérogène	
2955		ANNULE					
2956		Trou de Poteau	60		8	sédiment limono-argileux jaune meuble	
2957		ANNULE					
2958		non fouillé					
2959		Trou de Poteau	46	28	13	sédiment limono-argileux brun homogène avec tc	Âge du Fer
2960		Trou de Poteau	18		22	sédiment limono-argileux brun gris meuble homogène avec charbons de bois	
2961		Trou de Poteau	48		36	sédiment limono-argileux gris avec charbons de bois	
2962		Trou de Poteau	35		8	sédiment argilo-limoneux gris brun homogène avec charbon de bois	Âge du Fer
2963		Trou de Poteau	46		16	sédiment limono-argileux gris	
2964		Trou de Poteau	40		12	sédiment argilo-limoneux gris brun homogène avec charbon de bois	
2965		Trou de Poteau	35		12	sédiment argilo-limoneux gris brun homogène avec charbon de bois	
2966		Trou de Poteau	50		16	sédiment argilo-limoneux gris brun homogène avec charbon de bois	
2967		Sablière	231	37	4	sédiment argilo-limoneux gris brun homogène	
2968		Trou de Poteau				voir 1301	
2969		Trou de Poteau	80	56	11	sédiment limono-argileux brun gris avec fragments de schiste, charbons de bois et tc	Âge du Fer
2970		Trou de Poteau	35		8	sédiment argilo-limoneux gris brun homogène	
2971		Trou de Poteau	72		7	sédiment limono-argileux gris brun hétérogène compact	
2972		Trou de Poteau				voir 1302	
2973		Trou de Poteau				voir 1303	
2974		Trou de Poteau				voir 1304	
2975		Trou de Poteau	58		8	sédiment limono-argileux	
2976		ANNULE					
2977	543	Segment FoC	3036	65	10	sédiment limono-argileux gris avec tc et charbons de bois	Gallo-romain
2977	544	Segment FoC	3036	65	10	sédiment limono-argileux gris avec tc et charbons de bois	Gallo-romain
2977	541	Segment FoC	3036	65	22	sédiment limono-argileux gris avec tc et charbons de bois	Gallo-romain
2978		Trou de Poteau				voir 1712	

N° de ST	Sond	Nature	L ou Diam en cm	Larg en cm	Prof en cm	Description du remplissage	Datation
2979		Trou de Poteau	65		11	sédiment limono-argileux	
2980		Trou de Poteau	60		12	sédiment limono-argileux brun gris avec charbons de bois	
2981		Trou de Poteau	60		25	sédiment limono-argileux brun compact homogène avec charbons de bois	Âge du Fer
2982		Trou de Poteau	63		18	sédiment limono-argileux gris jaune hétérogène compact	
2983		Trou de Poteau	45	30	11	sédiment limono-argileux brun gris hétérogène compact	Âge du Fer
2984		Trou de Poteau	54		25	sédiment limono-argileux gris jaune hétérogène compact avec charbons de bois	Âge du Fer
2985		Trou de Poteau	40		11	sédiment limono-argileux gris brun mélangé au substrat	
2986		Trou de Poteau	50		22	sédiment argilo-limoneux brun homogène compact	
2987		Trou de Poteau	60		16	sédiment argilo-limoneux brun gris	
2988		Trou de Poteau	100	46	23	sédiment argilo-limoneux brun avec charbons de bois	
2989		Trou de Poteau	30		13	sédiment argilo-limoneux brun gris homogène	
2990		Fosse	170	90	25	sédiment argilo-limoneux gris brun avec substrat remanié	
2991		Segment FoC				voir 1567	
2992	546	Sablière	600	26	8	sédiment limono-argileux gris beige compact	
2992	545	Sablière	600	22	5	sédiment limono-argileux brun homogène compact	
2993	546	Trou de Poteau	50		18	sédiment limono-argileux brun avec inclusions de schiste et cb	
2994		Trou de Poteau	40		15	sédiment limono-argileux brun compact homogène	
2995		Sablière	365	22	12	sédiment limono-argileux gris hétérogène compact	
2996		Trou de Poteau	40		21	sédiment limono-argileux brun gris homogène compact avec charbons de bois	
2997		Trou de Poteau	68		8	sédiment limono-argileux gris hétérogène compact	Gallo-romain
2998		Trou de Poteau	40		8	sédiment limono-argileux brun gris hétérogène compact	Gallo-romain
2999		Trou de Poteau	104	67	14	sédiment limono-argileux brun gris homogène compact avec charbons de bois	
3000		Trou de Poteau	30		20	sédiment limono-argileux brun gris homogène compact	
3001		ANNULE					
3002		Trou de Poteau	30		17	sédiment limono-argileux brun gris hétérogène compact	
3003		Trou de Poteau	32		7	sédiment limono-argileux brun gris homogène compact	
3004		Trou de Poteau	44		28	sédiment limono-argileux brun gris homogène compact avec charbons de bois	
3006	572	Segment FoC	4461	210	135	sédiment argilo-limoneux gris brun avec rejets cendreux	Âge du Fer
3006	571	Segment FoC	4461	210	128	sédiment argilo-limoneux gris brun avec rejets cendreux	Âge du Fer
3006	554	Segment FoC	4461	200	128	sédiment argilo-limoneux gris brun avec rejets cendreux	Âge du Fer
3006	583	Segment FoC	4461	260	172	sédiment argilo-limoneux gris brun avec rejets cendreux	Âge du Fer
3007		Trou de Poteau	60		19	sédiment limono-argileux gris avec charbons de bois	
3008	555	Segment FoC	1800	140	38	sédiment limono-argileux brun homogène avec inclusions d'altérite	
3009		Trou de Poteau	60		13	sédiment limono-argileux brun gris homogène meuble avec charbons de bois et tc	
3010		Trou de Poteau	70		30	sédiment limoneux brun clair avec charbons de bois	
3011		Trou de Poteau	26		10	sédiment argilo-limoneux gris beige	
3012		Trou de Poteau	30		6	sédiment limono-argileux brun clair compact homogène avec tc	Âge du Fer
3013		non fouillé					
3014		Trou de Poteau	25		7	sédiment limoneux gris	
3015		Trou de Poteau	35		6	sédiment limono-argileux brun clair homogène compact	
3016		Trou de Poteau	40		13	sédiment argilo-limoneux gris homogène	
3017		Trou de Poteau	20		6	sédiment limono-argileux brun clair compact homogène	
3018		Trou de Poteau	28		5	sédiment argileux gris assez homogène avec charbons de bois	
3019		Trou de Poteau	25		4	sédiment limoneux gris	
3020		Trou de Poteau	40		15	sédiment limoneux gris brun avec charbons de bois	
3021		Trou de Poteau	39		12	sédiment argileux gris foncé avec charbons de bois	
3022		Trou de Poteau	37		14	sédiment argileux brun gris	

N° de ST	Sond	Nature	L ou Diam en cm	Larg en cm	Prof en cm	Description du remplissage	Datation
3023		Trou de Poteau	25		6	sédiment limoneux gris	
3024		non fouillé					
3025		Trou de Poteau				voir 1486	
3026		non fouillé					
3027		Trou de Poteau	55		15	sédiment limoneux gris brun	
3028		Trou de Poteau	35		12	sédiment limoneux gris avec manganèse	
3029		Trou de Poteau	25		6	sédiment limoneux gris avec rares charbons de bois	
3030		ANNULE					
3031		Trou de Poteau	86	67	27	sédiment limono-argileux gris avec substrat	Âge du Fer
3032		Trou de Poteau	45		34	sédiment limoneux gris brun avec charbons de bois et tc	
3033		Trou de Poteau	34		12	sédiment limoneux gris brun avec charbons de bois	
3034		non fouillé					
3035		Trou de Poteau	34		12	sédiment limoneux gris	
3036		Trou de Poteau	50		20	sédiment limono-argileux brun	Âge du Fer
3037		Trou de Poteau	50		16	sédiment limono-argileux brun gris homogène avec charbons de bois	Âge du Fer
3038		Trou de Poteau	45		20	sédiment limono-argileux brun homogène compact avec charbons de bois et tc	
3039		Trou de Poteau	53	37	47	sédiment limono-argileux gris hétérogène compact avec charbons et tc	
3040		Sablère	190	18	10	sédiment limono-argileux gris hétérogène, compact avec inclusions de cb	Âge du Fer
3041		ANNULE					
3042		Trou de Poteau	45		19	sédiment limono-argileux brun gris avec charbons de bois	
3043		Trou de Poteau	30		6	sédiment limoneux gris	
3044		Segment FoC	150	60	13	sédiment limoneux gris	Âge du Fer
3045		Trou de Poteau	25		10	sédiment limono-argileux brun gris compact homogène avec charbons de bois	
3046		Trou de Poteau	26		9	sédiment limono-argileux brun gris compact homogène avec charbons de bois	
3047		Fosse	170	56	14	sédiment limono-argileux brun gris compact homogène avec charbons de bois	
3048		Trou de Poteau	56		6	sédiment limono-sableux brun gris compact homogène avec charbons de bois	
3049	573	Sablère	733	22	12	sédiment limoneux gris	
3049	574	Sablère	733	55	22	sédiment limoneux gris foncé avec charbons de bois	
3050		Sablère	825	34	10	sédiment argilo-limoneux brun gris compact homogène avec charbons de bois	Âge du Fer
3051		Trou de Poteau	40		10	sédiment limono-argileux gris bleu	
3052		Trou de Poteau	40		18	sédiment limoneux gris	
3055		Trou de Poteau	40		7	sédiment limono-argileux brun gris	
3056		Trou de Poteau	40		21	sédiment limono-argileux brun à gris avec charbons de bois et tc	
3057		Trou de Poteau	40		18	sédiment limono-argileux brun gris avec charbons de bois	
3058		Segment FoC				voir 3006	Âge du Fer
3059		Fosse	160	112	26	sédiment limono-argileux brun gris foncé homogène meuble avec charbons et tc	
3060		Trou de Poteau	40		16	sédiment limono-argileux gris brun homogène compact	
3061		Trou de Poteau	40		27	sédiment limono-argileux gris homogène compact avec charbons de bois	
3062		Fosse	160	120	8	sédiment limono-argileux gris brun homogène compact	Âge du Fer
3063		Trou de Poteau	60		20	sédiment limono-argileux gris brun homogène compact avec schiste	
3064		ANNULE					
3065		ANNULE					

N° de ST	Sond	Nature	L ou Diam en cm	Larg en cm	Prof en cm	Description du remplissage	Datation
3066		Trou de Poteau	30		7	sédiment limono-argileux brun homogène	
3067		Trou de Poteau	70		10	sédiment limono-argileux brun gris homogène compact avec charbons de bois	
3068		Trou de Poteau	32		5	sédiment limono-argileux gris homogène compact	
3069		Trou de Poteau	50		20	sédiment limono-argileux gris brun meuble avec traces d'oxydation	
3070		Trou de Poteau	35		14	sédiment limono-argileux gris meuble avec inclusions de terre cuite et tc	
3071		Trou de Poteau	38		10	sédiment limono-argileux gris clair avec charbons de bois et terre cuite	
3072		ANNULE					
3073		ANNULE					
3074		ANNULE					
3075		ANNULE					
3076		ANNULE					
3077		ANNULE					
3078		ANNULE					
3079		ANNULE					
3080		Trou de Poteau	25		7	sédiment limoneux gris avec charbons de bois	
3081		Trou de Poteau	36		10	sédiment limoneux gris foncé	
3082		Trou de Poteau	36		8	sédiment limono-argileux gris	
3083		Trou de Poteau	66	50	16	sédiment limono-argileux brun gris compact hétérogène avec charbons de bois	
3084	586	Segment FoC	5687	308	200	sédiment argilo-limoneux brun à gris hétérogène avec traces d'oxydations	Âge du Fer
3084	758	Segment FoC	5687	200	140	sédiment argilo-limoneux brun à gris hétérogène avec traces d'oxydations	Âge du Fer
3085	589	Sablière	685	30	16	sédiment limono-argileux gris compact hétérogène	
3086	589	Sablière	1225	30	11	sédiment limono-argileux gris compact homogène	
3087		Sablière	2585	32	10	sédiment limono-argileux gris brun compact hétérogène	
3088		Trou de Poteau	40		15	sédiment limono-argileux gris homogène meuble	
3089		Trou de Poteau	65		5	sédiment limono-argileux brun	
3090		Trou de Poteau	33		13	sédiment limono-argileux gris meuble	
3091		Trou de Poteau	42		12	sédiment limono-argileux gris meuble hétérogène	
3101		Trou de Poteau	32		14	sédiment limono-argileux gris	
3102		Trou de Poteau	62	44	10	sédiment limoneux gris	
3103		Trou de Poteau	35		5	sédiment limoneux gris avec charbons de bois	
3104		Trou de Poteau	42		8	sédiment limoneux gris	
3105		Trou de Poteau	38		8	sédiment limoneux gris	
3106		Trou de Poteau	40		10	sédiment limoneux gris	
3107		Fosse	88	55	24	sédiment limono-argileux gris bleuté oxydé	
3108		Trou de Poteau	66	42	12	sédiment limoneux gris oxydé	
3109		Trou de Poteau	48		36	sédiment limoneux gris	
3110		Trou de Poteau	32		8	sédiment limoneux gris brun	
3111		Segment FoC				voir 1491	Âge du Fer
3112		Segment FoC	800	30	21	sédiment limoneux brun peu compact homogène oxydé avec fragments de schiste et charbon de bois	
3113		Sablière	140	70	26	sédiment limono-argileux brun peu compact homogène avec oxydation	
3114		Trou de Poteau	32		30	sédiment limono-argileux gris brun avec schiste altéré	
3115		Trou de Poteau	28		20	sédiment limono-argileux gris meuble	
3116		Trou de Poteau	32		2	sédiment limono-argileux gris homogène compact avec charbons de bois	
3117		Trou de Poteau	17		5	sédiment limono-argileux gris homogène compact avec charbons de bois	

N° de ST	Sond	Nature	L ou Diam en cm	Larg en cm	Prof en cm	Description du remplissage	Datation
3118		Trou de Poteau	34		6	sédiment limono-argileux gris homogène compact avec charbons de bois	
3119	622	Segment FoC	630	70	40	sédiment argileux gris brun hétérogène avec cailloutis	
3120		Cave				voir 3131	Âge du Fer
3121	645	Segment FoC	860	82	30	sédiment limono-argileux gris brun	Mérovingien
3121	646	Segment FoC	817	50	11	sédiment limono-argileux gris brun	Gallo-romain
3121	657	Segment FoC	817	50	17	sédiment limono-argileux gris brun	Gallo-romain
3121	647	Segment FoC	817	30	7	sédiment limono-argileux brun très meuble homogène avec charbons de bois et tc	Gallo-romain
3122	658	Segment FoC	4000	60	38	sédiment argileux gris	
3123	696	Segment FoC	2207	50	14	sédiment limono-argileux brun gris homogène compact	
3124		ANNULE					
3125		Trou de Poteau	36		26	sédiment limoneux gris avec substrat remanié	
3126		Segment FoC	1150				Mérovingien
3127	668	Trou de Poteau	42		24	sédiment limono-argileux brun foncé compact homogène avec charbons de bois et nodules de terre cuite	
3128		Trou de Poteau	40		20	sédiment limono-argileux brun gris compact homogène	
3129		Fosse	100		20	sédiment limoneux brun foncé avec beaucoup de pierres	
3130		Trou de Poteau	50		24	sédiment limono-argileux brun gris compact homogène	
3131		Cave					Âge du Fer
3132		Trou de Poteau	30	20	8	sédiment limono-argileux brun meuble homogène	
3133		Trou de Poteau	20		8	sédiment limono-argileux brun meuble homogène	
3134		Fosse	200	112	40	sédiment limono-argileux brun foncé, homogène meuble avec dans la partie centrale de gros blocs de pierres avec charbons de bois	Mérovingien
3135		remblais				au-dessus de 3136 et 3137	
3136		Fosse	84		18	sédiment limono-argileux gris foncé peu compact homogène avec charbons de bois et gros blocs de quartz	
3137		Fosse	110		18	sédiment limono-argileux gris foncé peu compact homogène avec charbons de bois et gros blocs de quartz	
3138		Cave				voir 3131	Âge du Fer
3139		Trou de Poteau	25		12	sédiment limono-argileux brun homogène	
3140		Trou de Poteau	20		11	sédiment limono-argileux brun homogène	
3142	689	Segment FoC	7625	130	84	sédiment limono-argileux gris brun avec nombreux schistes et charbons de bois	Âge du Fer
3142	690	Segment FoC	7625	130	94	sédiment limono-argileux gris brun avec nombreux schistes et charbons de bois	Âge du Fer
3142	691	Segment FoC	7625	130	70	sédiment limono-argileux gris brun avec nombreux schistes et charbons de bois	Âge du Fer
3142	697	Segment FoC	7625	100	60	sédiment limono-argileux gris brun avec nombreux schistes et charbons de bois	Âge du Fer
3143	692	Segment FoC	2200	60	23	sédiment limono-argileux gris brun oxydé	
3144		Segment FoC	900	80	34	sédiment limono-argileux gris bleuté oxydé mélangé à du sédiment limoneux brun	
3145		Trou de Poteau	30		12	sédiment limono-argileux brun hétérogène mélangé au substrat	
3146	744	Segment FoC	7691	34	12	sédiment limono-argileux brun avec charbons de bois	Gallo-romain
3146	746	Segment FoC	7691	40	14	sédiment limono-argileux gris peu compact homogène avec charbons de bois	Gallo-romain
3146	747	Segment FoC	7691	70	27	sédiment limono-argileux gris peu compact homogène avec charbons de bois	Gallo-romain
3146	742	Segment FoC	7691	70	25	sédiment limono-argileux gris peu compact homogène avec charbons de bois	Gallo-romain
3147		Trou de Poteau	44		23	sédiment limono-argileux gris brun compact homogène avec charbons de bois	Mérovingien
3148		Fosse	150	90	9	sédiment limono-argileux gris brun compact homogène avec charbons de bois et TCA	

N° de ST	Sond	Nature	L ou Diam en cm	Larg en cm	Prof en cm	Description du remplissage	Datation
3149		Trou de Poteau	60		23	sédiment limono-argileux gris brun compact homogène avec charbons de bois	Mérovingien
3150	676	Segment FoC	400	70	8	sédiment limono-argileux brun avec inclusions de schiste et charbons de bois	
3151	98	Segment FoC	1411	28	6	sédiment limoneux brun gris compact homogène	Médiévale
3151	108	Segment FoC	1411	58	12	sédiment limoneux brun meuble homogène	
3152		Trou de Poteau	21		4	sédiment limoneux gris meuble homogène	
3154		Trou de Poteau	33		13	sédiment limoneux brun gris	

### Inventaire du mobilier du Bronze final

Structure	US/Profondeur	NR	Nbre bord	Nbre fond	Nbre décor	NMI	Contexte	dessin
657		13	0	2	0	2	1er?	non
2051	décapage	14	1	1	0	2	bronze?	oui
2051		53	2	1	0	2	bronze?	oui
2217		39	2	0	1	3	1er Fer?	non
2237	US 1	25	3	1	0	3	bronze final/1er Fer	oui
2433		5	1	0	0	1	bronze final/1er Fer	oui
2562	décapage	21	1	1	0	0	bronze final/1er Fer	non
2562	US 1	38	1	0	0	1	bronze final/1er Fer	oui
2592		19	1	0	0	1	bronze final/1er Fer	oui
2618		5	1	0	0	2	bronze final/1er Fer	oui
	<b>Total NR</b>	<b>232</b>						
	<b>Total bord</b>		<b>13</b>					
	<b>Total fond</b>			<b>6</b>				
	<b>Total décor</b>				<b>1</b>			
	<b>Total NMI</b>					<b>17</b>		

### Inventaire céramique de l'âge du Fer

N° ST	Sond	Nature	US/Profondeur	NR	Nbre bord	Nbre fond	Nbre décor	NMI	Contexte	Dessin
94	2	Segment FoC		6	0	0	0	0	proto	non
506	Nord	Segment FoC		1	0	0	0	0	2nd	non
514	Nord	Segment FoC		12	1	0	1	2	2nd	non
516	Nord			2	0	0	0	0	proto	non
525	Nord	Segment FoC		1	0	0	0	0	proto	non
532	Nord			2	0	0	0	0	proto	non
538	Nord	Fosse		3	0	0	0	0	proto	non
538		Fosse		4	0	0	0	0	2nd	non
538		Fosse		5	0	1	0	1	2nd	non
545	590	Segment FoC	US 1	26	0	1	0	1	proto	non
545	591	Segment FoC	US 1	16	0	0	0	0	2nd	non

N° ST	Sond	Nature	US/Profondeur	NR	Nbre bord	Nbre fond	Nbre décor	NMI	Contexte	Dessin
545		Segment FoC		9	0	0	0	0	2nd	non
549				1	0	0	0	0	proto	non
552		Trou de Poteau		1	0	0	0	0	proto	non
557	Nord			12	0	2	0	2	2nd	non
570	Nord			1	1	0	0	1	fin 2nd	non
576	Nord	Trou de Poteau		3	0	0	0	0	proto	non
594	Nord			2	0	0	0	0	proto	non
597	Nord			1	0	0	0	0	proto	non
612	Nord	Segment FoC		1	0	0	0	0	proto	non
622				1	0	0	0	0	proto	non
639	366	Fosse	190 cm	1	1	1	0	1	fin 2nd	oui
639	366	Fosse	50 cm	14	2	0	0	2	fin 2nd	non
685		Trou de Poteau		2	0	0	0	0	proto	non
687	256	Fosse	US 3	1	1	0	0	1	LTm?	oui
805		Trou de Poteau	US 1	2	0	0	0	0	proto	non
819	185	Segment FoC		3	1	0	0	1	proto	non
825	395	Segment FoC		2	0	0	0	0	proto	non
826	396	Segment FoC		9	2	0	0	2		oui
827	166	Segment FoC	US 1	14	2	0	0	2		oui
827	352	Segment FoC		38	0	0	0	0		non
827	353	Segment FoC		14	2	0	0	2		oui
827	354	Segment FoC		13	0	2	0	2		non
827		Segment FoC	US 1	43	1	2	0	1		oui
841	272	Fosse		1	0	0	0	0	proto	non
861	325	Segment FoC	US 2	2	0	0	0	0	proto	non
861	343	Segment FoC		1	0	0	0	0	proto	non
861	345	Segment FoC		4	0	0	0	0	proto	non
885	404	Segment FoC		23	5	0	0	5		oui
894		Trou de Poteau	US 2	2	0	0	0	0	proto	non
898		Sablière	US 2	1	0	0	0	0	proto	non
922			Décapage	5	1	0	1	1	fin 2nd	oui
927	232	Segment FoC	US 1	1	0	0	0	0	proto	non
936		Fosse	US 2	1	0	0	0	0	2nd	non
937		Fosse	US 6	1	0	0	0	0	proto	non
938		Trou de Poteau	US 2	3	0	0	0	0	proto	non
958	230	Segment FoC		17	1	0	0	1	fin 2nd	oui
958	231	Segment FoC		21	1	1	0	1	fin 2nd	oui
958	232	Segment FoC	US 1	113	1	0	1	1	fin 2nd	oui
958	342	Segment FoC		7	1	0	0	1	fin 2nd	oui
958		Segment FoC	décapage proche poteau électrique	1	0	1	0	1	2nd	non
958		Segment FoC	proche poteau électrique, surface	20	0	0	1	0	fin 2nd	oui
958		Segment FoC	surface	20	0	0	0	0	fin 2nd	non
958		Segment FoC	US 1	18	1	0	1	1	fin 2nd	oui
958		Segment FoC	US 2	6	1	0	0	1	2nd	oui
958		Segment FoC	US 3	5	1	0	0	0	proto	non
964		Fosse		3	0	0	0	0	proto	non



N° ST	Sond	Nature	US/Profondeur	NR	Nbre bord	Nbre fond	Nbre décor	NMI	Contexte	Dessin
966		Fosse		2	1	0	0	1	2nd	oui
985		Trou de Poteau	US 1	2	0	0	0	0	proto	non
1002	406			26	4	1	0	4	LTa, LTm	oui
1007	338	Segment FoC		22	2	1	0	2	2nd	non
1027		Trou de Poteau		1	0	0	0	0	proto	non
1036	180	Segment FoC		2	1	0	0	1	2nd	oui
1040		Fosse		3	0	0	0	0	2nd	non
1058	337	Segment FoC		2	0	0	0	0	proto	non
1060		Trou de Poteau		1	0	0	0	0	proto	non
1065	227	Segment FoC	US 2	1	0	0	0	0	2nd	non
1065	227	Segment FoC	US 3	1	0	0	0	0	2nd	non
1065	247	Segment FoC	US 1	5	0	0	0	0	2nd	non
1067	240	Segment FoC		93	3	1	0	3	fin 2nd	oui
1067	251	Segment FoC		1	0	0	0	0	2nd	non
1067		Segment FoC	décapage	1	0	0	0	0	2nd	non
1067		Segment FoC		6	0	0	0	0	2nd	non
1072	247	Segment FoC	US 1	1	0	0	0	0	2nd	non
1074	62	Segment FoC	US 2	10	1	1	0	1	fin 2nd	oui
1074	62	Segment FoC	US 3	3	1	0	0	1	2nd	non
1074	416	Segment FoC		1	0	1	0	1	2nd	non
1074	417	Segment FoC		22	3	0	1	3	fin 2nd	oui
1076	357	Segment FoC		3	1	0	0	1	2nd	oui
1076	358	Segment FoC	US sommitale	17	2	0	0	2	LTm?	oui
1089		Trou de Poteau	US 1	2	1	0	0	1	fin 2nd	oui
1104		Segment FoC		1	0	0	0	0	2nd	non
1132	271	Segment FoC	US 2	6	0	1	0	1	2nd Fer	non
1132	302	Segment FoC		3	1	0	0	1	2nd	oui
1134	268	Fosse	US 3, coupe Est	22	1	0	0	1	2nd	oui
1134	268	Fosse	US 3, coupe Nord	5	1	0	0	1	2nd	oui
1134	268	Fosse	US 3, coupe Nord	271	1	1	0	1	fin 2nd	oui
1141		Trou de Poteau		1	0	0	0	0	proto	non
1238		Fosse		3	0	0	0	0	2nd	non
1241		Segment FoC		1	0	0	0	0	2nd	non
1305	626	Segment FoC		46	1	0	0	1	LTm	oui
1305	634	Segment FoC		7	1	0	0	1	fin 2nd	oui
1310	611	Segment FoC		11	0	0	0	0	2nd	non
1310		Fosse	décapage	8	0	2	0	2	2nd	non
1315	433	Segment FoC		8	4	0	0	4	fin 2nd	oui
1315	533	Segment FoC		2	1	0	0	1	2nd	oui
1315		Segment FoC	décapage	2	0	0	0	0	2nd	non
1316	387	Segment FoC	US 2	9	2	0	0	2	fin 2nd	oui
1316	391	Segment FoC		7	0	1	0	1	2nd	non
1316	433	Sablrière		1	0	0	0	0	2nd	non
1318	533	Trou de Poteau		3	1	1	0	1	2nd	non
1320		Segment FoC		11	1	0	0	1	2nd	non
1324	382	Trou de Poteau	US 3	2	0	0	0	0	2nd	non
1337	441	Segment FoC		1	0	0	0	0	2nd	non

N° ST	Sond	Nature	US/Profondeur	NR	Nbre bord	Nbre fond	Nbre décor	NMI	Contexte	Dessin
1340		Sablère	surface	1	0	0	0	0	2nd	non
1342	435	Segment FoC		7	0	0	0	0	2nd	non
1344	415	Sablère		15	0	0	0	0	2nd	non
1351	382	Trou de Poteau	US 1	1	0	0	0	0	2nd	non
1369		Segment FoC		7	0	0	0	0	2nd	non
1370	475	Segment FoC	US 1	1	0	0	0	0	proto	non
1371	456	Segment FoC		3	0	0	0	3	proto	non
1371	517	Segment FoC	couche supérieure et surface	21	1	1	0	1	proto	non
1371	612	Segment FoC		4	0	0	0	0	proto	non
1371	613	Segment FoC		7	0	1	0	1	2nd	non
1371	614	Segment FoC		29	1	1	0	2	LTm	oui
1371	621	Segment FoC		4	1	0	0	1	début LTm	oui
1371	Proche fond de cabane	Segment FoC		26	0	0	0	0	proto	non
1401	381	Segment FoC	US 2	1	0	0	0	0	fin 2nd	non
1401	381	Segment FoC		76	10	3	0	10	fin 2nd	oui
1401	383	Segment FoC	US 2, 0 à 20 cm, bord Ouest	59	4	3	0	4	fin 2nd	oui
1401	383	Segment FoC	US 2, 40 à 60 cm	88	10	2	0	10	fin 2nd	oui
1401	383	Segment FoC	US 4	30	5	0	0	4	fin 2nd	oui
1401	383	Segment FoC	US 4, 20 à 40 cm, bord Ouest	51	2	1	0	3	fin 2nd	oui
1401	389	Segment FoC	US 1 et 2, 0 à 20 cm, au centre	19	0	0	0	0	2nd	non
1401	389	Segment FoC	US 3, 40 à 60 cm, au centre	23	3	1	0	3	fin 2nd	oui
1401	389	Segment FoC	US 5, 60 cm, bord Ouest	5	1	0	0	1	2nd	non
1401	389	Segment FoC	US 5, 70 à 80 cm	10	1	0	0	1	fin 2nd	non
1401	389	Segment FoC		1	0	0	0	0	2nd	non
1401	390	Segment FoC	US 4	5	0	0	0	0	fin 2nd	non
1401	390	Segment FoC	US 7	14	1	0	0	1	fin 2nd	oui
1401	450	Segment FoC	US 1	61	4	2	0	3	fin 2nd	non
1401	451	Segment FoC	US 1	65	6	0	0	6	fin 2nd	oui
1401	455	Segment FoC	US 1	266	23	7	1	22	fin 2nd	oui
1401	455	Segment FoC	US 2	9	1	0	0	1	fin 2nd	oui
1401	458	Segment FoC	US 2	13	1	2	0	3	fin 2nd	oui
1401	458	Segment FoC		10	0	1	0	0	fin 2nd	non
1401	459	Segment FoC	US 1	1	1	0	0	1	fin 2nd	oui
1401	459	Segment FoC	US 1	129	16	6	0	16	fin 2nd	oui
1401	459	Segment FoC	US 2	4	2	0	0	2	fin 2nd	oui
1401	460	Segment FoC	US 1	48	7	1	0	7	fin 2nd	oui
1401		Segment FoC	décapage	1	0	0	0	0	2nd	non
1401		Segment FoC		2	0	0	0	0	fin 2nd	non
1402	465	Segment FoC	50 cm	3	0	0	0	0	proto	non

N° ST	Sond	Nature	US/Profondeur	NR	Nbre bord	Nbre fond	Nbre décor	NMI	Contexte	Dessin
1402	468	Segment FoC	fond	2	0	0	0	0	proto	non
1402	468	Segment FoC	US 1	4	0	0	0	0	proto	non
1402	469	Segment FoC	175 cm	40	1	1	0	1	début LTm	oui
1402	469	Segment FoC		3	0	0	0	0	proto	non
1402	498	Segment FoC	bord Sud, 80 cm	1	1	0	0	1	fin 2nd	non
1402	498	Segment FoC	surface	13	0	0	0	0	2nd	non
1405		Trou de Poteau		3	0	0	1	1	2nd?	oui
1408		Fosse		1	0	0	0	0	proto	non
1431		Segment FoC		1	0	0	0	0	proto	non
1451	598	Segment FoC		1	0	1	0	1	2nd	non
1462	592	Segment FoC		2	0	0	0	0	proto	non
1477	503	Segment FoC	US 3	11	0	0	0	0	proto	non
1477	506	Segment FoC	couche argileuse au fond	11	0	0	0	0	proto	non
1477	506	Segment FoC	surface	1	1	1	0	1	LTm	oui
1477	510	Segment FoC		5	0	0	1	1		non
1477	515	Segment FoC	40 cm, angle NE	5	1	3	0	3	LTm, LTf	oui
1477	515	Segment FoC	90 cm	1	0	0	0	0	proto	non
1477	529	Segment FoC		4	1	0	0	1	2nd	oui
1477	531	Segment FoC	fond	1	1	0	0	1	proto	non
1477	531	Segment FoC		3	0	0	0	0	proto	non
1477	709	Segment FoC	US 1	2	0	0	0	0	proto	non
1477	515?	Segment FoC	40 cm, angle NO	91	1	1	0	1	LTm, LTf	oui
1478	479	Segment FoC		1	0	0	0	0	proto	non
1478	483	Segment FoC		3	0	0	0	0	proto	non
1478	486	Segment FoC		4	1	1	0	1	fin 2nd	oui
1478	487	Segment FoC		3	0	0	0	0	2nd	non
1478	488	Segment FoC		3	1	0	0	1	fin 2nd	oui
1478	489	Segment FoC		1	1	0	0	1	2nd	non
1501		Trou de Poteau		1	1	0	0	1	2nd	non
1538				16	2	2	0	4	2nd Fer	oui
1539	581	Segment FoC		73	8	3	0	8	2nd	oui
1539	617	Segment FoC		1	0	0	0	0	proto	non
1539		Segment FoC		81	2	0	0	2	2nd?	non
1539		Segment FoC		23	1	1	0	1	2nd	oui
1601		Four		1	0	0	0	0	proto	non
1666		Segment FoC	US 2	1	0	0	0	0	proto	non
1666		Segment FoC		8	1	0	0	1	proto	non
1835	627	Trou de Poteau		1	0	1	0	1	2nd	oui
1873		Trou de Poteau		2	0	0	0	0	proto	non
1877		Trou de Poteau		2	0	0	0	0	proto	non
1880		Trou de Poteau		5	1	0	0	1	2nd?	non
1885		Trou de Poteau		1	0	0	0	0	proto	non
1897	738	Trou de Poteau		1	0	0	0	0	proto	non
1926		Trou de Poteau		1	0	0	0	0	proto	non
1929		Trou de Poteau		3	0	0	0	0	proto	non
1970		Fosse		2	0	0	0	0	proto	non
1975				1	0	0	0	0	proto	non

N° ST	Sond	Nature	US/Profondeur	NR	Nbre bord	Nbre fond	Nbre décor	NMI	Contexte	Dessin
1990		Fosse		1	0	0	0	0	proto	non
2008		Trou de Poteau		1	0	0	0	0	proto	non
2018				4	0	0	1	1	2nd	non
2019	Nord	Fosse		3	0	0	0	0	proto	non
2035		Segment FoC	US 2	2	0	0	0	0	proto	non
2046	256	Segment FoC	sac 1	7	1	0	0	1	LTm	oui
2046	256	Segment FoC	sac 2	1	1	0	0	1	LTm	oui
2046	256	Segment FoC	sac 3	47	3	0	0	3	LTm	oui
2046	275	Segment FoC	sac 1	4	1	1	0	2	2nd	non
2046	275	Segment FoC	sac 2	46	3	6	0	6	LTm	oui
2046	275	Segment FoC	US 5, 110 cm	30	1	1	0	1	LTm	non
2046	501	Segment FoC	140 cm	5	1	2	0	3	LTm	oui
2046	501	Segment FoC	US 3	113	13	4	0	13	LTm	oui
2046	501	Segment FoC	US 6	7	1	1	0	1	2nd	non
2046	527	Segment FoC	140 cm	8	1	0	2	2	LTm	oui
2046	527	Segment FoC	comblement principal	39	2	1	0	2	LTm	oui
2046	527	Segment FoC	paroi Nord	64	4	3	0	4	LTm	oui
2046	528	Segment FoC	140 cm	7	1	0	0	1	2nd	non
2046	528	Segment FoC	comblement détritique principal	11	2	2	0	3	LTm	oui
2046	710	Segment FoC		3	0	1	0	1	proto	non
2049		Fosse	ISO 1	2	1	0	1	2	2nd	oui
2070			décapage	2	1	0	0	1	proto	non
2071		Segment FoC	US 1	12	0	1	0	1	proto	non
2072	37	Segment FoC		3	0	1	0	1	proto	non
2073	68	Fosse		1	0	0	0	0	proto	non
2083		Trou de Poteau	US 2 et 3	4	0	0	0	0	proto	non
2091		Segment FoC	US 1	5	0	0	0	0	proto	non
2109	24	Segment FoC		1	0	0	0	0	proto	non
2109	113	Sablère		3	0	0	0	0	2nd	non
2115				2	0	0	0	0	proto	non
2132				4	0	0	0	0	proto	non
2135				6	0	0	0	0	proto	non
2142		Segment FoC		5	0	0	0	0	proto	non
2153	89	Segment FoC		3	0	0	0	0	proto	non
2155			US 1	3	0	0	0	0	proto	non
2183	proche F2184	Segment FoC		1	0	0	0	0	proto	non
2190	138	Segment FoC		3	0	0	0	0	proto	non
2190	142	Segment FoC		1	0	0	0	0	proto	non
2207	86	Segment FoC		1	1	0	0	1	proto	non
2207	89	Trou de Poteau		3	0	1	0	1	proto	non
2218				27	0	0	0	0	proto	non
2273	90	Fosse	US 2	1	0	0	0	0	proto	non
2275				4	0	0	0	0	proto	non
2291		Trou de Poteau	US 2	1	0	0	0	0	proto	non
2307		Trou de Poteau	US 2	3	1	0	0	1	?proto	non
2307		Trou de Poteau	US 3	5	0	0	0	0	?proto	non
2315				3	0	0	0	0	proto	non

N° ST	Sond	Nature	US/Profondeur	NR	Nbre bord	Nbre fond	Nbre décor	NMI	Contexte	Dessin
2342		Trou de Poteau	US 1	1	0	0	0	0	proto	non
2343		Trou de Poteau	US 1	1	0	0	0	0	proto	non
2359		Trou de Poteau		2	0	0	0	0	?proto	non
2363		Trou de Poteau		15	0	1	0	1	?proto	non
2366		Trou de Poteau		3	0	0	0	0	?proto	non
2369		Trou de Poteau		1	0	0	0	0	?proto	non
2370		Trou de Poteau		7	0	0	0	0	?proto	non
2371		Trou de Poteau		1	0	0	0	0	proto	non
2372		Trou de Poteau		1	0	0	0	0	proto	non
2389		Trou de Poteau		1	0	0	0	0	proto	non
2391		Trou de Poteau		2	0	0	0	0	proto	non
2415		Trou de Poteau		4	0	0	0	0	proto	non
2434		Trou de Poteau	HS	1	0	0	0	0	proto	non
2442		Trou de Poteau		2	0	0	0	0	proto	non
2444		Trou de Poteau		1	0	0	0	0	proto	non
2463		Trou de Poteau		2	0	0	0	0	proto	non
2497				15	0	0	0	0		non
2522		Fosse		1	0	0	0	0	proto	non
2563		Trou de Poteau		11	0	0	0	0	?proto	non
2572		Trou de Poteau	surface	1	0	0	0	0	proto	non
2574		Trou de Poteau		1	0	0	0	0	proto	non
2577		Trou de Poteau		1	0	0	0	0	proto	non
2591		Segment FoC		4	0	0	0	0	proto	non
2667		Trou de Poteau		5	0	0	0	0	proto	non
2702		Fosse		1	0	0	0	0	proto	non
2775		Segment FoC	décapage	2	0	0	0	0	proto	non
2849	150	Trou de Poteau		1	0	0	0	0	proto	non
2851		Fosse	US 2	3	0	0	0	0	proto	non
2860	197	Segment FoC		1	0	0	0	0	proto	non
2868	275	Segment FoC		2	0	0	0	0	proto	non
2902	604	Segment FoC		2	1	0	0	1	2nd	non
2903	466	Segment FoC	US 1	34	2	2	0	3	fin 2nd	oui
2903	467	Segment FoC		26	3	1	0	4	fin 2nd	oui
2904	475	Segment FoC	US 2	1	0	0	0	0	2nd	non
2904	517	Segment FoC	couche supérieure et surface	10	1	1	0	1	proto	non
2904	517	Segment FoC		2	0	0	0	0	proto	non
2904	615	Segment FoC		8	0	0	0	0	proto	non
2904	616	Segment FoC		1	0	0	0	0	proto	non
2904	618	Segment FoC		10	0	0	0	0	proto	non
2904		Segment FoC	décapage	2	0	1	0	1	2nd	non
2906		Fosse		3	1	0	1	2	fin 2nd	non
2911		Trou de Poteau	surface	7	0	1	0	1	proto	non
2921		Segment FoC		2	0	0	0	0	proto	non
2943	517	Segment FoC	couche supérieure et surface	29	0	0	1	1	proto	non
2943	517	Segment FoC	fond	5	1	0	0	0		non
2943	517	Segment FoC	surface	6	0	0	0	0	proto	non
2943	517	Segment FoC		18	1	0	0	1		oui

N° ST	Sond	Nature	US/Profondeur	NR	Nbre bord	Nbre fond	Nbre décor	NMI	Contexte	Dessin
2943		Segment FoC	US 2	23	5	1	0	3	2nd	oui
2943		Trou de Poteau		9	2	0	0	2	proto	oui
2959	533	Trou de Poteau		2	0	0	0	0	proto	non
2962		Trou de Poteau		1	0	0	0	0	proto	non
2969		Segment FoC		1	0	0	0	0	proto	non
2977		Trou de Poteau		1	0	0	0	0	proto	non
2981		Trou de Poteau		1	0	0	0	0	proto	non
2983		Trou de Poteau		1	1	0	0	1	proto	non
2984		Segment FoC		4	0	0	0	0	proto	non
2991		Segment FoC	décapage	3	0	1	0	1	proto	non
3006	554	Segment FoC	US 2	2	0	0	1	1	2nd	non
3006	571	Segment FoC	US 4, 70 cm	236	1	0	0	1	fin 2nd	oui
3006	672	Trou de Poteau		4	0	1	0	1	proto	non
3012		Trou de Poteau		7	0	0	0	0	proto	non
3031		Trou de Poteau		2	0	0	0	0	proto	non
3036		Trou de Poteau		2	0	0	0	0	proto	non
3037		Segment FoC		1	0	0	0	0	proto	non
3044	574	Sablière		2	0	0	0	0	proto	non
3050	580	Segment FoC	US 1	1	1	0	0	1	2nd	oui
3058	583	Fosse	50 cm	9	0	1	0	1	proto	non
3062		Segment FoC		3	0	0	0	0	proto	non
3111	609	Segment FoC		83	3	1	1	4	fin 2nd	oui
3112		Sablière		6	0	0	0	0	proto	non
3113		Segment FoC		16	1	1	0	2	fin 2nd	oui
3119	626	Segment FoC		10	1	1	0	1	fin 2nd	oui
3131	682	Fosse		1	0	0	0	0	proto	non
20490				1	0	0	0	0	proto	non
1305	626		décapage	16	1	0	0	1	fin 2nd	oui
3119										
1402 2897 2898	448			3	0	0	0	0	2nd	non
1m au Nord de l'UA 5			décapage	2	0	0	0	0	?proto	non
2454 2702				1	0	0	0	0	proto	non
2904 2943	517			9	0	1	0	1	proto	non
827 885				62	2	2	0	2		oui
956 958	342			7	1	0	0	1	2nd	non
Haie	416			5	1	0	0	1	1er?	oui
HS				1	0	0	0	0	2nd	non
proche 2141			surface	3	0	0	0	0	proto	non
proche 2389			surface	8	0	0	0	0	proto	non
			<b>Total bord</b>		<b>258</b>					
			<b>Total décor</b>				<b>17</b>			
			<b>Total fond</b>			<b>111</b>				
			<b>Total NMI</b>					<b>308</b>		
			<b>Total NR</b>	<b>4087</b>						

## Inventaire de la céramique antique

Fait	Nature	Sondage	US	Catégorie	Nb Frag.	NMI
HS				métallescente	1	1
HS			2	métallescente	1	1
		161 à proxim		commune sombre	1	1
2997-2998	TP		décap	commune claire	1	1
2997-2998			décap	commune sombre	15	1
644/2886/2887	Fossé/Fosse	322		sigillée	1	1
644/2886/2887		322		commune claire	25	1
644/2886/2887		322		commune sombre	1	1
644/2886/2887		322	surface	sigillée	4	4
644/2886/2887		322	surface	commune claire	8	1
644/2886/2887		322	surface	commune sombre	10	4
633/2888	Fossé/Fosse	323		commune claire	10	1
633/2888		323		commune sombre	8	2
633/2888		323		amphore	1	1
1156/2861		234		terra nigra	1	1
1156/2861		234		commune claire	2	1
1156/2861		234		commune sombre	6	1
500	Fossé			sigillée	1	1
500				commune sombre	1	1
500				cér. non tournée	2	1
604	remblais		remblais sup du transect	amphore	1	1
618	Fosse			commune claire	1	1
622	Fosse			commune claire	1	1
623	Four ?			cér. grise mi-fine ou terra nigra	1	1
626	Fossé			amphore	1	1
629	TP			commune claire	1	1
630	TP			commune claire	1	1
633	Fossé			sigillée	6	4
633				métallescente	5	2
633				cér. grise mi-fine	12	3
633				engobe orange/ rouge	1	1
633				commune claire	122	3
633				commune sombre	112	14
633				cér. non tournée	7	2
633				amphore	8	3
634	Fosse			terra nigra	5	2
634				commune claire	1	1
634				commune sombre	29	4
634				cér. non tournée	3	1
634				amphore	2	2
646	Fossé			sigillée	1	1
646				commune claire	1	1
646			décap	amphore	1	1
647	Fossé		décap	sigillée	2	1
647			décap	commune sombre	3	2
647		303	1	sigillée	1	1
647		303	1	commune claire	8	1

Fait	Nature	Sondage	US	Catégorie	Nb Frag.	NMI
647		303	1	commune sombre	8	1
647		303	1	cér. non tournée	1	1
647		311		sigillée	9	1
647		311		commune sombre	3	1
647		311		cér. non tournée	1	1
647		313	surf	commune claire	1	1
648	Fossé	162		commune claire	1	1
649	Fossé	376	1	commune claire	4	1
649		376	1	commune sombre	11	1
649		376	1	cér. non tournée	1	1
678	Fossé		décap	sigillée	2	2
690	TP			commune sombre	1	1
701	Fossé	208		commune sombre	11	3
701		226		terra nigra	3	1
701		226		commune sombre	1	1
707	Fossé	203		sigillée	4	3
707		203		terra nigra	2	1
707		203		engobe blanc	1	1
707		203		commune claire	5	1
707		203		commune sombre	24	3
707		203	3 coupe ouest	commune sombre	1	1
707		209		commune claire	6	2
707		209		commune sombre	4	1
707		217	3	terra nigra	2	2
707		217	3	commune claire	7	2
707		217	3	commune sombre	3	1
707		217	4	commune sombre	1	1
707		229	1	commune claire	1	1
708		214	1	sigillée	1	1
708		215		commune sombre	2	1
708		215		cér. non tournée	1	1
708		215	1	commune claire	1	1
708		215	2	terra nigra	2	2
708		215	2	commune claire	2	1
708		215	2	commune sombre	3	2
708		216	4	terra nigra	1	1
708		230		amphore	1	1
708	Fossé	231	2	sigillée	2	2
708		231	2	commune sombre	19	1
708		231	2	amphore	1	1
709	Fossé	204	2	amphore	1	1
709			décap	terra nigra	6	1
709		197		commune claire	2	2
709		199	1	commune sombre	2	2
709		202	2	commune claire	1	1
709		202	2	commune sombre	1	1
709		202	2	cér. non tournée	1	1
747	Fossé	194		commune sombre	1	1
747		195	2	commune sombre	1	1
747		197		commune sombre	1	1
747		207		terra nigra	1	1
747		207		commune claire	3	1
748	Fosse			terra nigra	1	1



Fait	Nature	Sondage	US	Catégorie	Nb Frag.	NMI
758	Fossé		décap	sigillée	2	1
758		201	3	cér. non tournée	1	1
758		206		commune claire	1	1
759	Fossé			terra nigra	1	1
759				commune sombre	2	1
759		213		commune sombre	2	1
759		213	3	terra nigra	2	1
759		213	3	commune claire	9	1
759		213	3	commune sombre	2	1
759		218	1	sigillée	2	1
759		218	1	terra nigra	2	2
759		218	1	commune claire	2	1
759		218	1	commune sombre	2	2
759		237	1	commune claire	1	1
759		237	1	commune sombre	1	1
759		237	1	cér. non tournée	1	1
775				commune sombre	2	2
775				terra nigra	1	1
776	Fossé		décap	commune sombre	1	1
799	Mare			commune claire	1	1
800	Fossé	186		sigillée	1	1
818	TP			cér. grise mi-fine	1	1
818				commune claire	2	1
819	Fossé			commune claire	1	1
819		181/189		commune claire	85	4
819		181/189		commune sombre	136	21
819		181/189		cér. non tournée	14	1
821	Fosse		2	sigillée	10	4
821			2	cér. grise mi-fine	5	2
821			2	commune claire	170	8
821			2	commune sombre	97	10
821			2	cér. non tournée	22	2
821			2	amphore	1	1
821			TP dans angle nord de la fosse	paroi fine engobée	1	1
821			TP dans angle nord de la fosse	commune claire	3	1
821			TP dans angle nord de la fosse	commune sombre	3	1
833	Fossé			commune claire	3	1
833		429		terra nigra	1	1
833		429		commune sombre	4	1
833		430		sigillée	1	1
861	Fossé			amphore	2	2
861			décap	amphore	1	1
861		345		sigillée	3	1
861		345		cér. non tournée	1	1
862	Fossé		décap	sigillée	1	1
865	Fossé			terra nigra	1	1
881	Fossé			commune sombre	1	1
882	Fosse		2	cér. non tournée	2	1

Fait	Nature	Sondage	US	Catégorie	Nb Frag.	NMI
914	Fossé	397		commune claire	1	1
927	Fossé		décap	sigillée	2	1
965	Fosse			sigillée	1	1
965				commune sombre	1	1
990	Fossé		surface	sigillée	1	1
990		335		sigillée	2	2
990	Fossé	336		sigillée	1	1
992	TP		surface US 1	commune sombre	1	1
1010	TP			commune sombre	1	1
1011	TP			sigillée	1	1
1019	TP			commune sombre	1	1
1033	Fossé			commune claire	1	1
1033			décap	commune claire	1	1
1033			décap	commune sombre	1	1
1033	Fossé	181/189		sigillée	8	6
1033		190		sigillée	2	2
1033		190		commune claire	8	1
1033		190		commune sombre	3	1
1033		190		cér. non tournée	1	1
1033		191		sigillée	1	1
1033		191		cér. grise mi-fine	3	1
1033		191		commune claire	27	3
1033		191		commune sombre	16	2
1033		191		cér. non tournée	11	1
1037	Fosse		1	commune claire	1	1
1037			1	commune sombre	1	1
1037			2	commune sombre	4	1
1038	Fosse			commune claire	1	1
1038				commune sombre	7	1
1038			1	sigillée	1	1
1038			1	commune claire	3	1
1038			1	commune sombre	1	1
1042	Fossé	427		commune sombre	1	1
1101	TP			commune claire	1	1
1117	TP			commune claire	1	1
1129	TP			sigillée	1	1
1129				commune sombre	1	1
1135	Fossé		décap	amphore	1	1
1153	Fossé	236		commune sombre	1	1
1155	Fossé			commune claire	1	1
1156	Fossé	279		commune claire	1	1
1163	Fossé		décap	commune claire	1	1
1163		266		commune claire	1	1
1164	Fossé	148		cér. grise mi-fine	1	1
1164		153		commune sombre	1	1
1164		155		cér. grise mi-fine	10	1
1164		155		commune claire	1	1
1164		156		commune claire	2	2
1164		337		terra nigra	1	1
1164		337		commune sombre	4	1
1164		156		commune sombre	1	1
1168	Fossé	150		commune claire	1	1
1172	Fossé			terra nigra	7	1

Fait	Nature	Sondage	US	Catégorie	Nb Frag.	NMI
1176	Fossé			terra nigra	2	1
1176				commune claire	19	1
1176				commune sombre	2	2
1176			décap	cér. grise mi-fine	1	1
1183	TP			commune sombre	1	1
1188				commune claire	3	1
1188	Fossé			commune sombre	2	1
1188		305		commune claire	1	1
1188		372		sigillée	1	1
1188		372		paroi fine engobée	1	1
1188		372		commune claire	1	1
1188		372		commune sombre	6	1
1191	TP			commune sombre	1	1
1192	TP			sigillée	2	1
1192				terra nigra	1	1
1197	Fosse			commune claire	1	1
1204	Fossé		décap	commune claire	1	1
1204			décap	commune sombre	1	1
1211	TP		1	cér. grise mi-fine	2	1
1211			1	cér. grise mi-fine	2	1
1212	Fosse			terra nigra	1	1
1213	mare			commune claire	1	1
1237	TP			terra nigra	1	1
1237				commune sombre	2	1
à proxim. 1318			surface	commune sombre	1	1
1320	Fosse			commune claire	1	1
1368	Fossé			commune sombre	1	1
1401	Fossé			commune claire	1	1
1401		383	2	amphore	1	1
1401		389	1 et 2	terra nigra	1	1
1401		389	3	terra nigra	1	1
1401		455	1	amphore	2	1
1401		459	1	amphore	2	1
1443		608		commune sombre	1	1
1443		672		commune claire	1	1
1443		672		commune sombre	1	1
635 et 647	Fossé	309		sigillée	1	1
635 et 647		309		commune sombre	1	1
635 et 647		309		cér. non tournée	1	1
1507	Fossé		décap	commune sombre	1	1
1507		514		commune sombre	1	1
1510	Fossé		décap	sigillée	1	1
1510			décap	commune claire	1	1
1517	Fossé		décap	engobe orange/rouge	1	1
1517			décap	commune sombre	5	1
1675	Fossé	639		amphore	1	1
1696	Fossé		surface	commune sombre	3	1
1696		361		terra nigra	7	1
1696		361		commune sombre	12	2
1814	Fossé			commune claire	1	1
1814		687		commune sombre	1	1

Fait	Nature	Sondage	US	Catégorie	Nb Frag.	NMI
1878	TP			commune claire	2	1
1916	TP			commune sombre	1	1
2109	Fossé	120		commune sombre	1	1
2021	Fossé	636		sigillée	1	1
2021		636		commune claire	9	1
2046	Fossé	528	comblement sup	sigillée	1	1
2046		528	comblement sup	commune claire	2	1
2046		528	comblement sup	commune sombre	1	1
2046		710	surf	commune claire	1	1
2047	Fossé	261		amphore	1	1
2179	TP			commune claire	2	1
2773	Fosse	90	2	commune sombre	1	1
2331	TP			commune sombre	3	1
2491	TP			commune sombre	1	1
2499	TP			commune sombre	1	1
2576	TP			commune sombre	2	1
2667	Fossé			amphore	1	1
2678	Sablère	674		commune sombre	1	1
2705	Fossé			sigillée Bas Empire	1	1
2847	Fosse	1		sigillée	1	1
2847		1		commune claire	9	1
2847		1		commune sombre	8	2
2847		1		amphore	1	1
2847		1	fond	commune sombre	2	1
2847		2		commune claire	1	1
2847		2		commune sombre	6	2
2856	TP			sigillée	2	2
2856				commune claire	3	1
2857	TP			commune claire	2	1
2857				commune sombre	5	1
2859	TP			commune claire	1	1
2859				commune sombre	3	1
2861	Fossé	211	4	terra nigra	1	1
2861		211	8	commune claire	1	1
2861		211	8	commune sombre	5	1
2861		211	8	amphore	4	1
2861		212	3	commune sombre	1	1
2861		212	4	commune sombre	1	1
2861		219	3	commune sombre	1	1
2861		219	4	commune claire	1	1
2866	Fossé		décap	commune claire	1	1
2866			décap	commune sombre	7	1
2866		334		cér. grise mi-fine	10	1
2866		334		commune sombre	1	1
2868	Fossé	261		commune claire	1	1
2868		327		commune claire	1	1
2868		502		commune sombre	3	1
2870	Fosse			sigillée	1	1
2870				terra nigra	1	1
2870				commune sombre	1	1

Fait	Nature	Sondage	US	Catégorie	Nb Frag.	NMI
2885	Fosse	321		commune claire	10	1
2885		321		commune sombre	12	1
2887	Fosse	323		sigillée	1	1
2887		323		commune claire	14	1
2887		323		commune sombre	16	2
2891	Sablière	408	2	sigillée	1	1
2897	Fossé	442		sigillée	1	1
2897		442		commune claire	1	1
2897		442		commune sombre	76	1
2897		443		sigillée	1	1
2897		443		commune claire	1	1
2897		445		cér. grise mi-fine	8	1
2898	Fossé	445		commune claire	12	1
2902	Fossé			amphore	1	1
2903	Fossé	465	surface	commune sombre	1	1
2977	Fossé	544		commune sombre	3	1
2981	TP			commune sombre	1	1
<b>Total</b>					<b>1767</b>	<b>436</b>

### Inventaire des amphores

Structure	Sondage	US/Profondeur	NR
626			1
1401	455	US 1	1
1401	455	US 1	1
1401	383	US 2, 40 à 60 cm	1
1401	459	US 1	2
2667			1

### Inventaire du verre

Fait	Sond	US	Identif.	Nb Frag.	NMI
581	461	5	réipient	1	1
633			réipient	1	1
633 + 2888	323		réipient	1	1
707	209		réipient	1	1
759	213	3	réipient	1	1
821			réipient	1	0
821		2	réipient	3	1
1038			réipient	1	1
2861	211	8	réipient	1	1
2959	533		réipient	1	1
<b>Total</b>				<b>12</b>	<b>9</b>

## Inventaire de la terre cuite

Structure	Sondage	US/Profondeur	NR	Poids (g)	Type
94	2		1	14	indéterminé
478	478				plaque foyère
522	zone Nord				TCA
538			4	100	plaque foyère
538	zone Nord		6	206	indéterminé
545	zone Nord		2	34	indéterminé
557	zone Nord		1	43	indéterminé
622			1	49	plaque foyère
626		décapage	2	427	plaque foyère
633			8	92	indéterminé
633		couche supérieure	1	32	indéterminé
633	321		4	32	indéterminé
633	322		2	46	indéterminé
635		décapage			tuile
639	366	50 cm	12	95	indéterminé
640		décapage	1	109	plaque foyère
646		décapage	1	18	indéterminé
647			1	744	plaque foyère ?
647	313				TCA
649		décapage	2	91	indéterminé
657			3	80	plaque foyère
662		décapage			TCA
700	251		1	103	plaque foyère ?
701	208		1	22	indéterminé
707	203		1	5	indéterminé
708	229	US 2	6	287	indéterminé
709		US 2	1	120	plaque foyère
716		US 1			tuile
735		décapage			indéterminé
747		décapage	3	600	plaque foyère ?
747	195	US 2	19	45	indéterminé
747	205				indéterminé
748			10	65	TC scorifiée
758	201	US 2 et 3	5	17	indéterminé
759	213	US 3	4	215	indéterminé
759	237	US 1	2	11	TC scorifiée
769			2	73	plaque foyère
780		décapage	2	141	tuile? plaque foyère ?
816			2	16	indéterminé
816		décapage	1	116	plaque foyère
816	190		2	418	plaque foyère ?
818			1	49	plaque foyère
821			1	892	peson
821		US 2	1	830	peson
821		US 2	8	177	indéterminé
821		décapage			tuile
821	zone Nord		2	91	plaque foyère
822		décapage	2	600	plaque foyère
827	166	US 1	4	22	indéterminé

Structure	Sondage	US/Profondeur	NR	Poids (g)	Type
827	352		5	49	indéterminé
827	353		3	284	plaque foyère
827	354		1	257	plaque foyère
827		US 1	13	458	plaque foyère
861	325	US 1	5	500	tuile? plaque foyère
861	343		7	141	peson?
861	344		35	2290	torchis et plaque foyère
862	346	US 1	2	53	TC antique?
862	347		1	6	indéterminé
883	165	US 1	1	114	indéterminé
885		décapage			tuile
885	404		1	28	indéterminé
898		US 2	2	9	indéterminé
900			3	15	indéterminé
924			15	100	indéterminé
926			1	1238	peson
926		décapage	1	73	peson et indéterminé
927	230		2	122	plaque foyère ?
937		US 6	9	168	indéterminé
947		décapage			TCA
950		surface			tuile
956/958	342		1	1	indéterminé
958		US 3	18	1950	plaque foyère
958	230		1	6	indéterminé
995			1	1	indéterminé
1007	338		1	303	peson? plaque foyère ?
1011			1	6	indéterminé
1018		US 1			TCA
1019			3	113	plaque foyère
1027			1	50	indéterminé
1034		décapage	1	59	indéterminé
1035		décapage			tuile
1038			1	133	plaque foyère
1048			1	1	indéterminé
1052			4	17	indéterminé
1059			3	6	indéterminé
1060			1	1	indéterminé
1067	240		1	23	indéterminé
1067	251		1	391	plaque foyère
1075	355?				tuile?
1076	357		1	26	indéterminé
1121		décapage	4	385	plaque foyère
1132		décapage	2	52	indéterminé
1132/1133	302		3	91	plaque foyère
1153	235				tuile
1156	245	US 2 et 3	5	112	indéterminé
1156	245	US 5	4	165	indéterminé
1163	262		2	65	indéterminé
1163	264				TCA
1164		décapage			TCA
1164/1168	160				TCA
1169		décapage	1	21	indéterminé
1176	370		1	92	indéterminé

Structure	Sondage	US/Profondeur	NR	Poids (g)	Type
1184		US 1			TCA
1188	372		1	13	indéterminé
1191			1	35	indéterminé
1212			3	79	indéterminé
1212		décapage	3	105	indéterminé
1233			1	3	indéterminé
1237			4	43	indéterminé
1312			5	87	indéterminé
1315		décapage	6	189	plaque foyère ?
1315	433		13	542	plaque foyère
1315	533		5	45	indéterminé
1316	387	US 2	4	13	indéterminé
1320			13	190	indéterminé
1341			1	5	indéterminé
1345	573		3	27	indéterminé
1351	382	US 1	1	10	indéterminé
1371	517	couche supérieure et surface	3	7	indéterminé
1371	517	couche supérieure, surface	1	33	plaque foyère ?
1371	proche fond de cabane		1	26	indéterminé
1388	504				TCA
1401	381	US 2	34	3630	plaque foyère
1401	381	US 3			plaque foyère
1401	381		14	60	indéterminé
1401	381		13	429	plaque foyère
1401	381		1	1100	plaque foyère
1401	383	US 4	8	451	plaque foyère
1401	383		3	468	plaque foyère et tuile
1401	389	US 1 et 2, 20 cm, au centre	6	144	indéterminé
1401	389	US 3	5	23	indéterminé
1401	389	US 3, 40 à 60 cm, au centre	2	12	indéterminé
1401	389	US 5	8	623	indéterminé
1401	389		15	437	plaque foyère
1401	450	US 1	1	50	indéterminé
1401	450		15	2300	plaque foyère
1401	451	US 1	13	83	indéterminé
1401	451		21	2550	plaque foyère
1401	451		1	750	plaque foyère
1401	455	US 1	7	45	indéterminé
1401	455	US 1	44	3300	plaque foyère
1401	458	US 2	1	3	indéterminé
1401	458	US 1	12	782	torchis
1401	458		46	2950	plaque foyère et peson
1401	459	US 1	6	28	indéterminé
1401	459	US 1	6	209	peson?
1401	459		6	700	plaque foyère
1401	460	US 1	13	1250	plaque foyère
1401	460	US 1	1	1657	peson
1402/2897/2898	448	surface	3	78	plaque foyère ?
1405			1	2	indéterminé
1443	608		1	632	plaque foyère ?
1477	519?				TCA
1478	478		4	273	indéterminé



Structure	Sondage	US/Profondeur	NR	Poids (g)	Type
1478	479		2	41	indéterminé
1478	480		1	11	indéterminé
1478	483		3	96	plaque foyère
1478	485		9	147	plaque foyère
1478	487		6	405	plaque foyère
1478	488		1	9	indéterminé
1478	489		3	40	indéterminé
1503					TCA
1538			2	376	plaque foyère
1573	491		1	8	indéterminé
1573	494		1	47	plaque foyère
1666		US 2	1	1	indéterminé
1767			2	183	indéterminé
1805	628	US1	1	53	indéterminé
1805/2286	651		2	155	plaque foyère
1855	656		2	594	plaque foyère
1861	670		1	19	indéterminé
1861	672?				TCA
1885			1	1	indéterminé
1895			1	1	indéterminé
1961	681				TCA
1985			1	57	indéterminé
2000		décapage	1	350	plaque foyère
2004	104		3	358	plaque foyère
2046	256		29	1043	torchis? Plaque foyère
2046	261		1	17	indéterminé
2046	275	US 3	66	5900	torchis et plaque foyère
2046	501	US 3	8	1150	plaque foyère
2046	527		1	139	plaque foyère
2046	528	comblement supérieur	1	83	plaque foyère
2046	710	surface	1	3	indéterminé
2046	710	surface			TCA
2049	512	US 2	1	595	plaque foyère
2049		décapage	1	105	indéterminé
2073	68		1	3	indéterminé
2086		décapage			TCA
2154	76		1	47	indéterminé
2177		US 2	2	6	indéterminé
2179		US 1	1	144	plaque foyère
2193		US 2			indéterminé
2207	86		1	145	indéterminé
2207	89		1	24	indéterminé
2237			28	1200	peson
2307		US 2 et 3	2	7	indéterminé
2381		US 2	12	25	indéterminé
2411			1	8	indéterminé
2636	711		1	340	indéterminé
2668	743		3	86	TCA
2671					TCA
2673			1	113	indéterminé
2804	752		2	462	plaque foyère
2847	1?		2	1000	plaque foyère
2853			3	40	indéterminé

Structure	Sondage	US/Profondeur	NR	Poids (g)	Type
2856			1	32	indéterminé
2857			3	16	indéterminé
2861	211	US 8	1	211	plaque foyère
2861	211	US 8	28	310	paroi four
2861	212	US 4	6	310	indéterminé
2861	212	US 4	2	465	plaque foyère et tuile
2861	219	US 3	3	3	indéterminé
2861	219	US 4	10	645	plaque foyère
2861/1156	234		1	104	plaque foyère
2866			1	10	indéterminé
2870 ou 885			6	211	indéterminé
2873	749				TCA
2873	750				TCA
2873	753				TCA
2873	754				TCA
2885	321		2	227	plaque foyère
2889	441		2	120	indéterminé
2891	391	US 2	9	167	plaque foyère
2891	408	US 2	2	8	indéterminé
2902	542				TCA
2904	475	US 2	8	42	indéterminé
2904	517	couche supérieure et surface	2	101	plaque foyère ?
2904	517		3	13	plaque foyère ?
2904/2943	517		5	51	indéterminé
2906			1	24	indéterminé
2913			1	18	indéterminé
2914			1	40	indéterminé
2917	497		1	45	plaque foyère ?
2927			1	1	indéterminé
2943	517	couche supérieure, surface	4	196	torchis et plaque foyère
2943	517	fond	4	31	indéterminé
2943	517	surface	2	97	indéterminé
2943		US 2	1	4	indéterminé
3003			1	20	indéterminé
3031			2	8	indéterminé
3069			1	24	indéterminé
3087	589				indéterminé
3121	654		2	369	indéterminé
3131	682		1	47	indéterminé
3135					TCA
3148					TCA
			7	21	indéterminé
		<b>Total</b>	<b>1024</b>	<b>63201</b>	

## Inventaire de la céramique médiévale

Fait	Sd	Us	HMA	total	Datation proposée
523	nord		2	2	mérovingien
624		5	9	9	mérovingien
1805	Décap.		1	1	Haut Moyen Âge
1814	687		19	19	Fin VI <sup>e</sup> -courant VII <sup>e</sup> siècle
1855	670 bis		9	9	Haut Moyen Âge
2160	93		5	5	VIII <sup>e</sup> siècle probable
2208			3	3	Haut Moyen Âge
2618			4	4	Haut Moyen Âge
2668	737		3	3	mérovingien
2668	728		7	7	carolingien
2673			6	6	Haut Moyen Âge (carolingien ?)
2940			2	2	Haut Moyen Âge
3121	646		2	2	mérovingien
3126	654		2	2	VII <sup>e</sup> -VIII <sup>e</sup> siècles
3134			3	3	carolingien
3147			1	1	Haut Moyen Âge
<b>Total</b>			<b>78</b>	<b>152</b>	

## Inventaire du macro outillage

N°	Fait	Sd	Us	Type de St	Détermination	Type	Matière	Conservation	Dimensions -Lxhxe-Øx ép.	Poids (g)	Forme	Façonnage	œil	usure	observation	dessin
8	545	591	Fossé	Fossé proto	meule rotative ?	catillus	5 granite gris-rose (chauffe) à gros grains	6 fragments	...x14,7	2230		très faibles flancs conservés, arrondis			1 très faible SA conservée + 1 faible surface travaillée concave, presque opposée (réceptacle ?)	
12	639	366	Fosse TF	Fosse TF	meule rotative	catillus ?	5 granite gris-rose (chauffe) à gros grains	2 fragments	...x...x15	5610		flancs épais bouchardé régulièrement	non visible	usure moyenne	crâmée, SA concave (catillus ?)	
16	639	366	Fosse TF	Fosse TF	indéterminé pas de SA, mais peut être = n°12		5 granite gris-rose (chauffe) à gros grains	3 fragments		2020		dos fracturé, flanc altéré			crâmée	
18	639	366	Fosse TF	Fosse TF	meule rotative ? = proba n°12 et n°16		5 granite gris-rose (chauffe) à gros grains	2 fragments		2950		flanc abrupt martelé rég.		pas de SA	crâmée	
4	882	2	Fosse GR	Fosse GR	meule indéterminée	?	4 granite gris avec grosses inclusions	2 fragments	...x10,5	6690		épannelage, + martelage des flancs conservés		moyenne à forte	faibles flancs conservés mais assez fruste et pas de courbure justifiant une rotative, + cupule sur face active	
2	968	241	Fossé TF	Fossé TF	meule rotative	méta ?	2 granite blanc noir avec grosse inclusions	secteur (3 frgt)	dao	8420	circulaire	bouchardage régulier des flancs, face inf moins soignée	circulaire, traversant, évasé	faible, + en périphérie		X
5	1132		Fossé TF	Fossé TF	meule rotative ?	indéter	3 granite noir blanc orange avec grosses inclusions	fragment	...x6,8	1640		flancs abrupts régularisés		faible,	SA légèrement concave, méta ?	
9	1213	310	Marre GR	Marre GR	meule indéterminée		5 granite gris-rose (chauffe) à gros grains	4 fragments		5390		aucun visible		SA très altérée	complètement crâmée	
10	1214		Foyer ?	Foyer ?	meule VV ?		5 granite gris-rose (chauffe) à gros grains	fragment	...x...x20,5	5870		épannelage, + martelage des flancs conservés ???		faible sa, moyen	crâmée	
14	1214		Foyer ?	Foyer ?	indéterminé pas de SA		5 granite gris-rose (chauffe) à gros grains	3 fragments		2150		id			crâmée	
17	1214		Foyer ?	Foyer ?	meule VV ? = proba n°10		5 granite gris-rose (chauffe) à gros grains	fragment	...x...x20	1900		flanc abrupt martelé rég.		faible SA, fortement polie	crâmée	
1	1312		Fosse	Fosse	meule rotative	méta	1 granite noir blanc avec grosse inclusions	demi	dao	9650	circulaire	bouchardage régulier des flancs et de la face inf	circulaire, non traversant	moyenne + en périphérie		X
7	1401	383	Fossé TM	Fossé TM	meule rotative	méta ?	1 granite noir blanc avec grosse inclusions	fragment	...x6,1	1330		faible flanc conservé mais soigneusement régularisé, face inf moins bien	non visible	forte	SA plano-convexe d'où plutôt méta	
15	1402	468	Fossé Tène	Fossé Tène	meule indéterminée		5 granite gris-rose (chauffe) à gros grains	2 fragments		2940		id		Sa altérée	crâmée	
6	1862	671	Fossé Méro	Fossé Méro	meule rotative	indéter	1 granite noir blanc avec grosse inclusions	2 fragments		2120		très faibles flancs conservés, semblent épannelés	œil en partie conservé, circu	moyenne	cassé dans l'épaisseur	
13	2857		TP GR	TP GR	meule indéterminée		5 granite gris-rose (chauffe) à gros grains	1 fragment		880		pas de flancs, dos fracturé	non visible	usure moyenne	crâmée	
19	3121	654	Fossé Méro	Fossé Méro	table de broyage ?		grès	fragment	...x...x	1900		épannelage bords sup + martelage		surface "centrale" piquetée + poli périphérique		
11	3149	751	Fossé méro	Fossé méro	meule rotative ?		5 granite gris-rose (chauffe) à gros grains	3 fragments	...x...x4,5	1620		martelage fruste mais très altéré		SA très altérée, faible usure	crâmée	
3	à côté de 2632		Fosse (Bz final ?)	Fosse (Bz final ?)	meule indéterminée	?	3 granite noir blanc orange avec grosses inclusions	fragment	...x11,2	6900		bouchardage fruste de la face opposée		moyenne mais SA altérée	VV ? Rotative ? si rotative : vu la courbure SA, plutôt catillus mais dans ce cas face sup peu soignée, courbure du dos plutôt méta (arrondie) + fissure, effritement chauffé ?	

## Inventaire des objets métalliques

Fait	Sondage	Us ou prof. (m)	Nbre	Type de mobilier ou description	Dimensions (cm)	Poids (g)	Scan
110			1	objet avec anneau à l'extrémité (mors? Clef?)	L:9,5cm; l:2,3cm;ép.:1cm	59	pl 1
428			2	Une barre de section rectangulaire et un objet oblongue et plat	9cm x 2,2 ép. + 7,3cm x 3,7 cm	146	
630			1	1 clou	L:3,7cm;l:0,8cm	8	pl 5
633			1	clou	L:6,3cm; ép.:1cm	19	pl5
633			1	3 fgts même objet : association de petits clous de semelle ?	vol: 6,5cm par 3,5cm par 1,2cm	30	pl5
633		couche sup.	12	9 clous et tiges/têtes	L:6cm;l:1cm	145	pl 5
633			2	2 bracelets à bossettes emboîtés? Clous?	L:5,2cm;l:1,7cm	27	pl 5
633	214		1	frgt de plaque	3,5cm x 4,5cm	42	
633	321		2	2 petits clous?	L:2,4cm;diam tête (?):1,3cm	11	pl 5
633	322		6	1 tête de clou avec départ tige-divers	L:2,7cm;diam.:1,7cm	19	pl 5
633	428	2 et 3	2			142	
634			1	demi anneau ou clou tordu?	L:5,8cm;diam tige:1cm	39	pl 1
634			4	3 clous complets	L:7,7cm;diam tête:2cm	60	pl 5
704			1	1 objet spiralé	L: 5cm; ép.: 2,8cm	58	pl 4
706		décapage	1	1 objet lourd quadrangulaire	L:4,8cm;l:2,5cm;ép.:1,3cm	50	pl 1
707	203		1	indéterminé	L:3,6cm;l:1,5	11	pl 4
707	209	3	1	1 tige de clou?	L:3,2cm; diam:0,8cm	3	pl 5
707	216	3	1	1 fgt de tige de clou	L: 2,9cm;diam: 1,3	8	pl 2
707	217		1	Objet parallépipédique	2,4 x2,4 x 2 ép.	19	pl 4
707	203		1	1 fgt de tige plate avec tête	L: 3,5cm;ép:0,9cmà 1,6cm	12	pl 5
707	229	1	2	fragts de clou	L:4cm x 2cm et 3cm x 2,5cm	40	pl 4
708	2	2	3	fragt de plaque repliée? + indéterminé	5cm x 4,3 x 2,2cm	99	pl3
708	214	2	1			40	
708	215	2	5	1 tête de clou?	diam. Tête:2,6cm	22	pl 5
708	215	3	2			98	
708	216		3	2 individus: pièce rectangulaire	4cm x 4,6cm x 2,6cm d'ép. Et 3cm x 1,5cm ép.	60	pl 5
709			1			20	
709	200		1	indéterminé	L: 3,4cm x 1,7cm	21	
709	204		1	tige plate recourbée	L:4cm; ép.2cm	23	pl4
746		1	1	1 grand clou/bois conservé	L:9,8cm;l:1cm;diam tête:2,5cm	36	pl 1
747	205		1	1 frgt de barre plate	5,5 cm x 2,4cm x 1,5 cm	25	
748			1	frgt de clou	1,7cm x 0,8 ép.	4	
759			4			41	
759			4			10	
759			1			148	
759			8	fragts de clous et objet lourd indéterminé		44	pl 3
759	213		1	frgt d'une plaque rectangulaire repliée à une extrémité et percé à l'autre	5,7 cm x 4,5 cm x 1,9 cm	58	
759	213		1	2 clous accolés ou pointe de compas?	L:7,7cm;l:2,5cm, ép.:1,5cm	78	pl 1
759	213	3	2	1 clou + 1 objet rectangulaire et plat	8,3 cm x 2,4cm d'ép.	120	
759	213	3	1	objet aplati rectangulaire réduit à une extrémité	7cm x 2,4 à 1,2 cm x 1,2cm ép.	65	
759	213	3	2	1 clou entier et tige	L:3,8cm;diam.tige:0,5cm	4	pl 5
759	218	1	1	1 tige à section rectangulaire qui s'amincit à une extrémité	L:8,8cm;l:1,3cm	23	pl 1

Fait	Sondage	Us ou prof. (m)	Nbre	Type de mobilier ou description	Dimensions (cm)	Poids (g)	Scan
759	218	1	3	1 objet rectangulaire et plat + deux sortes d'agraffe repliée	6?2cm x 3,7 cm x 2,2 cm ép. + 3,2cm x 2 cm x 1,2cm ép. + 3,4cm x 2,5cm de diam	137	pl3
759	237	1	1	1 tige à section rectangulaire	L:5,5cm;l:1,1cm;ép.:0,5cm	8	pl 5
816			2	1 clou	L:4,8cm;diam tête:2,1cm	15	pl 5
816	189	détecteur	15	au moins 10 clous et tiges/têtes		298	pl 5
816	189	détecteur	1	1 clou ou fibule?	L:5,7cm	22	pl 5
816	191		6	1 clou/tiges et têtes?	L:6,2cm;l:1 cm	58	pl 5
821			3	3 clous + une tête de clou	L:2,8cm;l:0,8cm	36	pl 5
821		US 2 (30 cm)	17	5 clous et tiges/têtes	L:4 à 8 cm	148	pl 5
827		1	1	1 clou	L:4cm;diam tête:1,8cm	10	pl 5
836				plaque lourde rectangulaire incurvée : pelle bêche?	minimum 13 cm x 9,5 cm de large	606	
965			1	petit anneau large et plat ?	3,4 x 2 x 1,7 cm	20	pl 4
1019			1	1 tige (clou?)	L:3,3cm;section ovale:1,8cm maxi	6	?
1038			1	frag de lame?	L:3,8cm;l:3,8cm;ép.dos:0,9cm	18	pl 1
1122			1	1objet cylindrique indéterminé	diam.:2,8cm	24	pl 2
1132	302		7	1 objet coudé à tige de section rectangulaire	L:9,7cm; l:1,6cm;ép.:0,8cm	78	pl 2
1186			1	1 tête de clou avec départ tige	L:1,8cm; diam. Tête:1,1cm	2	?
1337	441		3	1 objet à tige de section rectangulaire et extrémité aplatie	L mini:8,5cm; l:1,1 cm tige et 3 cm vers extrémité	37	pl. 2
1153	244		3	3 objets incomplets	L tige: 5,5cm;l:1,1cm	31	pl 5
1155	235		1	gromps	informe	40	
1156	245	5	1	tige cylindrique : clou?	3,7cm x 1,5cm	16	pl 2
1401	390	4	6	tête de clou?		17	pl 2
2000			4 et nbreux frag	fine plaque de fer en mauvais état	L:3,1cm;l:1,8cm;ép.:0,1cm	15	pl 2
2046	710	surface	1	anneau	diam tête : 4,5 cm	36	pl 2
2046	501	US 2 (30 cm)	4	clou entier	L:11,6cm; diam tête:2cm;section ronde	31	pl 1
2046	501	US 2 (30 cm)	3	agrafe	L:8,5cm;l:1cm	68	pl 1
2046	501	US 2 (30 cm)	16	clous incomplets		71	pl 1
2885 2886 644	322		1	1 tête de clou avec départ tige	diam tête : 2cm	8	pl 5
2857			3	3 indéterminés dont 1 tige (clou?)	L:3,2cm;l:0,6cm	27	pl 5
2859			3	2 tige	L:4,4cm;diam:0,8cm	18	pl 5
2861 1156	234		5	2 clous et une tige plate	L tige plate:6cm;l:1cm;ép.:0,4cm	19	pl 5
2861 1156	234		1	anneau?	3,6cm x 1,2cm	16	pl 5
2868	502		1	1 objet à section quadrangulaire	L:9,5cm; l:1,3cm; ép:1cm	43	pl 1
2885	321		3	1 clou et 1 tige (clou?)	L:5cm;diam tête:1,3cm	20	pl 5
2887	323		1	1 objet quadrangulaire indéterminé	L:5,4cm;l:1,5cm;ép.:0,8cm	18	pl 5
2888 633	323		7	3 clous/1 tige et 1 tête	L:7cm;diam tête:1,8cm	64	pl 1
3112			3	plaque	L:7,2cm; ép.:0,5cm	62	pl 2
<b>Total</b>			<b>217</b>			<b>4130</b>	
	Gaulois						
	Antique						
	Moderne						

## Inventaire des résidus métallurgiques de l'âge du Fer

iso	fait	sd	us	nature	masse (g)	NMI	NR	Type 1	Type 2	Type 3	NMI	NR	masse (g)
224	111			culot de forge	361	1	1			1			
261	1401	383	4, - 50 cm	culot de forge	72	1	2			1			
31	2046	261		culot de forge	192	1	1			1			
68	2046	527		culot de forge	169	1	4			1			
237	2046	710	surf	culot de forge	621	1	1			1	5	9	1415
266	1034		décapage	fragment scorie de forge	19	1	1			1			
63	1305	626		fragment scorie de forge	60	1	5			1			
267	1401	383	4	fragment scorie de forge	29	1	3			1			
262	3111	609		fragment scorie de forge	31	1	2			1	4	11	139
49	2046	275	4	paroi rubéfiée	14	1	3				1	3	14
48	1401	458		masse métallique	104	1	1				1	1	104
				<b>Total</b>	<b>1672</b>	<b>11</b>	<b>24</b>	<b>0</b>	<b>0</b>	<b>9</b>			

## Inventaire des résidus métallurgiques de l'antiquité

iso	fait	sd	us	nature	masse (g)	NMI	NR	Type 1	Type 2	Type 3	NMI	NR	masse (g)
2	861	235	1	culot de forge	687	3	4		1	2			
3	759	237	1	culot de forge	604	5	5	2	1	2			
4	707	209		culot de forge	642	5	5	1	2	2			
5	748			culot de forge	392	4	7		1	3			
6	707	203		culot de forge	69	1	1			1			
7	1155	235		culot de forge	86	2	2		2				
7	1155	235		culot de forge	250	8	8	8					
8	1159			culot de forge	60	1	1	1					
9	709	202	2	culot de forge	39	1	3	1					
10	1155	235		culot de forge	710	8	8	2	1	5			
12	2861	211		culot de forge	2922	11	11	3	2	6			
13	759	213	3	culot de forge	2482	14	14	4	3	7			
15	428		2 et 3	culot de forge	399	2	2			2			
20	1153	235		culot de forge	1167	8	8			8			
21	704			culot de forge	1493	3	3			3			
21	704			culot de forge	203	1	1		1				

iso	fait	sd	us	nature	masse (g)	NMI	NR	Type 1	Type 2	Type 3	NMI	NR	masse (g)
23	1153	244		culot de forge	717	2	2			2			
23	1153	244		culot de forge	197	1	1		1				
23	1153	244		culot de forge	144	3	3	3					
24	709	204		culot de forge	3203	9	9	1	2	6			
26	1156	245	5	culot de forge	1454	8	12		1	7			
27	758	dé-cap.		culot de forge	1278	8	8	3	2	3			
28	1155	246	1	culot de forge	196	3	3	3					
30	759			culot de forge	1718	4	4			4			
30	759			culot de forge	810	2	4		2				
30	759			culot de forge	391	7	7	7					
36	708	215	3	culot de forge (+ 8 fragments scorie de forge)	2275	6	6		4	2			
37	701	226		culot de forge	951	3	3		2	1			
38	708	2		culot de forge	1561	8	8		4	4			
40	2861	212	4	culot de forge	691	5	7			2			
41	708	2	2	culot de forge	2701	4	6		3	1			
44	2861	219		culot de forge	2279	13	13	3	7	3			
46	759	218	1	culot de forge	2679	8	13	1	4	3			
47	708	229	2	culot de forge	1876	5	8		3	2			
50	2861	211	7	culot de forge	387	4	4	1	1	2			
51	755			culot de forge	1448	1	1			1			
54	2861/1156	234		culot de forge	414	4	7	1	1	2			
56	709	210		culot de forge	1444	7	7	1	1	5			
57	965	340		culot de forge	1243	4	5	1	3				
59	2286/1805	651		culot de forge	774	1	1			1			
76	1156	279		culot de forge	469	5	5		3	2			
82	1155			culot de forge	589	2	2			2			
83	701	208		culot de forge	258	1	1		1				
84	1155			culot de forge	1373	10	10	3	2	5			
85	746			culot de forge	944	1	1			1			
87	709	200	1	culot de forge	1047	3	8	2		1			
200	865			culot de forge	1091	3	3	1		2			
201	965			culot de forge	1579	3	25		2	1			
204	931			culot de forge	707	1	1			1			
205	864			culot de forge	290	1	1			1			
207	708	215	2	culot de forge	79	1	1		1				
214	747	205		culot de forge	813	5	5	4	1				
215	927	401		culot de forge	510	1	6			1			
216	748		3	culot de forge	202	2	5	2					
217	707	203		culot de forge	326	3	13		3				
220	759	201	2+3	culot de forge	726	5	7	2	1	2			
223	1155	235		culot de forge	90	2	2	1		1			
225	709	199	1	culot de forge	646	3	6			3			
226	1135			culot de forge	375	1	1			1			
227	745	198	1	culot de forge (+ 2 fragments scorie de forge)	201	3	3	1		2			
228	200	249		culot de forge	1151	1	5		1				
229	748			culot de forge (+ 2 fragments scorie de forge)	125	3	3	3					



iso	fait	sd	us	nature	masse (g)	NMI	NR	Type 1	Type 2	Type 3	NMI	NR	masse (g)
230	707	217		culot de forge (+ 2 fragments scorie de forge)	315	2	3	2	1				
231	759	213		culot de forge	341	3	4	1	1	1			
233	747	207		culot de forge (+ 2 fragments scories de forge)	142	3	3	2		1			
236	701			culot de forge	1120	1	4			1			
238	861			culot de forge	242	1	1		1				
239	707			culot de forge	258	1	7			1			
240	2861	211	4	culot de forge	339	1	4			1			
242	990	345		culot de forge	322	1	3		1				
250	708	214	2	culot de forge (+ 1 fragment scorie de forge)	49	1	1	1					
253	2861	219	3	culot de forge (+ 1 fragment scorie de forge)	253	3	3	1		2			
255	707	216	3	culot de forge (+ 3 fragments scorie de forge)	52	4	4	3		1			
257	934		1	culot de forge	13	1	1	1					
263	2775		déca-page	culot de forge	57	1	1			1			
264	2977			culot de forge	107	1	1		1				
1	2861	212	4	culot de forge (+ 4 fragments scorie de forge)	1742	8	8	2	2	4			
					<b>61979</b>	<b>289</b>	<b>387</b>	<b>79</b>	<b>77</b>	<b>131</b>	<b>289</b>	<b>387</b>	<b>61979</b>
3	759	237	1	fragment scorie de forge	233		13						
5	748			fragment scorie de forge	38		2						
6	707	203		fragment scorie de forge	69		2						
7	1155	235		fragment scorie de forge	405		20						
10	1155	235		fragment scorie de forge	426		21						
12	2861	211		fragment scorie de forge	2030		43						
13	759	213	3	fragment scorie de forge	480		21						
16	2861	211	8	fragment scorie de forge	2143		206						
20	1153	235		fragment scorie de forge	118	2	2						
20	1153	235		fragment scorie de forge	511		12						
21	704			fragment scorie de forge	270		9						
24	709	204		fragment scorie de forge	331		9						
26	1156	245	5	fragment scorie de forge	235	2	28						
27	758	dé-cap.		fragment scorie de forge	122		5						
27	758	dé-cap.		fragment scorie de forge	206	1	3						

iso	fait	sd	us	nature	masse (g)	NMI	NR	Type 1	Type 2	Type 3	NMI	NR	masse (g)
30	759			fragment scorie de forge	547		43						
30	759			fragment scorie de forge	453		42						
34	2861	212	3	fragment scorie de forge	70	2	6						
37	701	226		fragment scorie de forge	54		2						
38	708	2		fragment scorie de forge	316	4	9						
38	708	2		fragment scorie de forge	30		1						
40	2861	212	4	fragment scorie de forge	65		4						
41	708	2	2	fragment scorie de forge	144		5						
41	708	2	2	fragment scorie de forge	196		5						
44	2861	219		fragment scorie de forge	89	5	5						
44	2861	219		fragment scorie de forge	357	12	12						
46	759	218	1	fragment scorie de forge	199		14						
50	2861	211	7	fragment scorie de forge	24	2	2						
50	2861	211	7	fragment scorie de forge	88	2	2						
54	2861/1156	234		fragment scorie de forge	333		25						
54	2861/1156	234		fragment scorie de forge	325		28						
57	965	340		fragment scorie de forge	88		3						
64	2847	1		fragment scorie de forge	20	1	7						
66	707	229	1	fragment scorie de forge	72		1						
66	707	229	1	fragment scorie de forge	54		4						
66	707	229	1	fragment scorie de forge	57		6						
69	821 (coin de la fosse)			fragment scorie de forge	25	1	4						
70	756			fragment scorie de forge	12	1	2						
71	2154	80		fragment scorie de forge	312	1	2						
76	1156	279		fragment scorie de forge	88	4	4						
77	1156	245	5	fragment scorie de forge	569	2	16						
79	708	215	2	fragment scorie de forge	91		5						
79	708	215	2	fragment scorie de forge	493	2	2						
80	1156	245	2 et 3	fragment scorie de forge	526		15						
81	747			fragment scorie de forge	590	2	2						

iso	fait	sd	us	nature	masse (g)	NMI	NR	Type 1	Type 2	Type 3	NMI	NR	masse (g)
81	747			fragment scorie de forge	20	1	1						
82	1155			fragment scorie de forge	409	2	2						
82	1155			fragment scorie de forge	141		11						
83	701	208		fragment scorie de forge	118		5						
83	701	208		fragment scorie de forge	41		4						
84	1155			fragment scorie de forge	29		2						
84	1155			fragment scorie de forge	187		6						
202	7112	114		fragment scorie de forge	61	2	4						
210	707	217	1	fragment scorie de forge	32	1	1						
211	634			fragment scorie de forge	23	1	2						
212	1019			fragment scorie de forge	23	1	6						
213	746		1	fragment scorie de forge	15	1	1						
218	747	195	2	fragment scorie de forge	11	1	1						
219	708	216		fragment scorie de forge	621	4	10						
221	758	206		fragment scorie de forge	7	2	2						
222	747	747	4	fragment scorie de forge	64	1	3						
235	861	345		fragment scorie de forge	39	1	4						
243	708	708	1	fragment scorie de forge	116	2	2						
245	701	701		fragment scorie de forge	123	2	2						
246	3149	3149		fragment scorie de forge	215	1	12						
251	707	216	1	fragment scorie de forge	123	1	1						
252	1164	156		fragment scorie de forge	38	1	1						
256	965			fragment scorie de forge	6	1	1						
258	819	187		fragment scorie de forge	15	1	1						
259	745			fragment scorie de forge	28	2	4						
260	634			fragment scorie de forge	46	1	1						
265	1158			fragment scorie de forge	4	1	2						
268	747	194		fragment scorie de forge	24	1	4						
269	754	754		fragment scorie de forge	13	2	2						
270	708	229	2	fragment scorie de forge	28	1	2						
											<b>81</b>	<b>774</b>	<b>16524</b>

iso	fait	sd	us	nature	masse (g)	NMI	NR	Type 1	Type 2	Type 3	NMI	NR	masse (g)
47	708	229		masse métallique	268	1	1						
82	1155		sur-face	masse métallique	118	1	1						
84	1155	235		masse métallique	189	1	1						
											<b>3</b>	<b>3</b>	<b>575</b>
10	1155	235		paroi rubéfiée	81	1	1						
11	2861	211	8	paroi rubéfiée	285	1	9						
16	2861	211	8	paroi rubéfiée	129	1	17						
21	704			paroi rubéfiée	379	1	5						
23	1153	244		paroi rubéfiée	131	1	3						
28	1155	256	1	paroi rubéfiée	4	1	1						
30	759			paroi rubéfiée	179	1	5						
33	1157			paroi rubéfiée	16	1	1						
37	701	226		paroi rubéfiée	18	1	1						
50	2861	211	7	paroi rubéfiée	6	1	1						
79	708	215	2	paroi rubéfiée	25	1	1						
80	1156	245	2 et 3	paroi rubéfiée	17	1	1						
											<b>12</b>	<b>46</b>	<b>1270</b>
26	1156	245	5	paroi scoriacée	3	1	1						
54	2861/1156	234		paroi scoriacée	14	1	3						
33	1157			paroi scoriacée	65	1	7						
62	759	213		paroi scoriacée	46	1	3						
75	1156	245	5	paroi scoriacée	60	1	14						
82	1155			paroi scoriacée	115	2	6						
84	1155			paroi scoriacée	22	1	1						
208	965			paroi scoriacée	20	1	3						
209	759	218	1	paroi scoriacée	6	1	2						
220	759	201	2+3	paroi scoriacée	24	1	1						
231	759	213		paroi scoriacée	16	1	1						
234	709	197		paroi scoriacée	171	1	1						
249	816			paroi scoriacée	19	1	1						
254	1156	245	2	paroi scoriacée	6	1	1						
255	707	216	3	paroi scoriacée	10	1	1						
											<b>16</b>	<b>46</b>	<b>597</b>
223	1155	235		paroi scoriacée et un élément de ventilation	131	1	10						
60	2286 1805	628	4	paroi scoriacée et un élément de ventilation (diam 3,2 cm)	299	1	25						
11	2861	211	8	éléments de ventilation	222	1	4						
232	759	213		éléments de ventilation	20	1	1						
											<b>4</b>	<b>40</b>	<b>672</b>
67	2861	219	4	brique scoriacée	68	1	1						
77	1156	245	5	brique scoriacée	5	1	1						
241	956 et 958	242 inter-sec-tion		brique scoriacée	97	1	3						
											<b>3</b>	<b>5</b>	<b>170</b>
23	1153	244		scorie indéterminée (réduction ou forge ?)	943	1	37						

iso	fait	sd	us	nature	masse (g)	NMI	NR	Type 1	Type 2	Type 3	NMI	NR	masse (g)
203	522			scorie indéterminée (réduction ou forge ?)	537	1	1						
232	759	213		scorie indéterminée (réduction ou forge ?)	59	1	1						
											3	39	1539
				<b>Total</b>							<b>411</b>	<b>1340</b>	<b>83326</b>

### Inventaire des résidus métallurgiques du haut Moyen Âge

iso	fait	sd	us	nature	masse (g)	NMI	NR	Type 1	Type 2	Type 3	NMI	NR	masse (g)
19	1805	628	4	culot de forge composite	923	4	2			4			
19	1805	628	4	culot de forge	3190	6	6			6			
244	2663	2663		culot de forge	553	1	1			1			
74	3121	654		culot de forge	2323	1	1			1			
78	3121	645		culot de forge	1705	4	4		2	2			
											16	14	8694
19	1805	628	4	fragment scorie de forge	212		8						
78	3121	645		fragment scorie de forge	34	1	1						
248	3121	657		fragment scorie de forge	16	1	1						
											2	10	262
248	3121	657		paroi scoriacée	48	1	1						
											1	1	48
19	1805	628	4	paroi rubéfiée	41		2						
											1	2	41
				<b>Total</b>	<b>9045</b>	<b>19</b>	<b>27</b>	<b>0</b>	<b>2</b>	<b>14</b>			

### Inventaire des résidus métallurgiques non datés

iso	fait	sd	us	nature	masse (g)	NMI	NR	Type 1	Type 2	Type 3
52	1865	628	4	culots de forge (+ 8 fragments scorie de forge)	1285	2	2	2		
52	1865	628	4	paroi scoriacée	20		2			
55	1855	656		culot double?	474	1	1		1	
58	1860			culot de forge	1086	2	2		1	1
				<b>Total</b>	<b>2865</b>	<b>5</b>	<b>7</b>	<b>2</b>	<b>2</b>	<b>1</b>

## Inventaire masses métalliques

iso	fait	sd	us	nature	masse (g)	NMI	NR	commentaire	phasage
47	708	229		masse métallique	268	1	1		GR
82	1155		surface	masse métallique	118	1	1		GR
84	1155	235		masse métallique	189	1	1	informe	GR
48	1401	458		masse métallique	104	1	1		AdF
				<b>Total</b>	<b>679</b>	<b>4</b>	<b>4</b>		

## Inventaire des prélèvements

N°	Fait	Sondage	US	Description	Quantité
1	2091		2	Charbon	0,5 litre
2	2190	61	3	Charbon	< 0,5 litre
3	2018		1	Charbon	< 0,5 litre
4	2193		1	Charbon	0,5 litre
5	2278		2	Charbon	0,5 litre
6	2367		1	Charbon	
7	2442		1	Charbon	< 0,5 litre
8	2372		2	Charbon	0,5 litre
9	2307		2 et 3	Charbon	0,5 litre
10	2454 et 2702		2 et 3	Charbon	< 0,5 litre
11	2371		2	Charbon	0,5 litre
12	2363		1	Charbon	
13	2700		1	Charbon	< 0,5 litre
14	2032		2	Charbon	8 litres
15	2031		1	Charbon	< 0,5 litre
16	2034		1	Charbon	< 0,5 litre
17	1978		1	Charbon	< 0,5 litre
18	2036		1	Charbon	< 0,5 litre
19	1904		1	Charbon	< 0,5 litre
20	2035		5	Charbon	0,5 litre
21	925		2	Charbon	0,5 litre
22	747		4	Battitures	6 litres
23	745		2	Battitures	10 litres
24	747	195	2	Charbon et battitures	10 litres
25	747	195	2	Charbon et battitures	5 litres
26	709	197	2	Charbon et battitures	10 litres
27	709	197	2	Charbon et battitures	10 litres
28	758	201	2 et 3	Battitures	10 litres
29	2861	211	7	Charbon et battitures	10 litres
30	2861	211	8	Charbon et battitures	10 litres
31	2861	212	3	Charbon et battitures	10 litres
32	2861	212	4	Charbon et battitures	10 litres
33	2861	219	3	Charbon et battitures	10 litres
34	2861	219	4	Charbon et battitures	10 litres
35	1666	Banquette 1	2	Charbon	10 litres
36	1666	Banquette 2	3		10 litres
37	1666		5	Charbon	10 litres

N°	Fait	Sondage	US	Description	Quantité
38	821		2		10 litres
39	748				10 litres
40	747	194			10 litres
41	1666	extérieur est	5		10 litres
42	816				6 litres
43	707	203	1		10 litres
44	707	209	1		10 litres
45	1666	Banquette 2 et 3	4		6 litres
46	1675	629	2		6 litres
47	746		1 surface		10 litres
48	1666	Banquette 2	1		10 litres
49	1214		2		10 litres
50	748	C3		Battitures	0,5 litre
51	748	D3		Battitures	0,5 litre
52	748	C5		Battitures	0,5 litre
53	748	D4		Battitures	0,5 litre
54	748	D1		Battitures	0,5 litre
55	748	C2		Battitures	0,5 litre
56	748	C1		Battitures	0,5 litre
57	748	D2		Battitures	0,5 litre
58	748	C4		Battitures	0,5 litre
59	754			Battitures	10 litres
60	2043	517	1		10 litres
61	2887	323			10 litres
62	707	216	1	Battitures	10 litres
63	747	207			10 litres
64	2943	517	2	Charbon	10 litres
65	1666	extérieur est	5		1 litre
66	623				3 litres
67	3058	583	fond	Charbon	3 litres
68	759	213	3	Charbon	3 litres
69	707	216	4	Charbon	0,5 litre
70	1666	Banquette 2 et 3	5	Charbon	0,5 litre
71	624		6	Charbon	0,5 litre
72	1666		5	Charbon bûche	< 0,5 litre
73	2943			Charbon	< 0,5 litre
74	2314		3	Charbon	< 0,5 litre
75	1790			Charbon	< 0,5 litre
76	1929			Charbon	< 0,5 litre
77	1910			Charbon	< 0,5 litre
78	2713			Charbon	0,5 litre
79	759	213		Battitures	< 0,5 litre
80	543			Charbon	< 0,5 litre
81	1805	628	1	Charbon	< 0,5 litre
82	110			Charbon	< 0,5 litre
83	1928			Charbon	< 0,5 litre
84	766			Charbon	0,5 litre
85	2019	zone nord		Charbon	< 0,5 litre
86	900	- 20 cm		Charbon	< 0,5 litre
87	1088		1	Charbon	< 0,5 litre
88	1155	235		Charbon	< 0,5 litre
89	1915			Charbon	< 0,5 litre
90	1925			Charbon	< 0,5 litre

---

N°	Fait	Sondage	US	Description	Quantité
91	1916			Charbon	< 0,5 litre
92	550			Charbon	< 0,5 litre
93	2772	86		Charbon	< 0,5 litre



## Inventaire des minutes

N° de feuille	Description	Echelle	Format	Support	Auteur
1	525 coupe sud sond 758, 521 coupe sud, 522 coupe nord, 526 coupe ouest, 539, 540, 544, 543, 576, 541, 542, 2011, 2012, 2013, 2014, 2015, 2016, 3084	1/20	A3	Film	AV
2	coupe inter 545 et 581, 2019, 2020	1/20	A3	Film	SB
3	coupe inter 525 et 581	1/20	A3	Film	
4	coupe 94 sd 1 et sd 2, 506, 545 extrémité	1/20	A3	Film	
5	coupe et plan 2100, 2091, 2222, 2172, 2168, 2167, 2132, 2166, 2135, 2142, 2141, 2323	1/20	A3	Film	AR
6	coupe et plan 2098, 2104, 2107, 2170, 2264, 2157, 2179, 2069 sd 31, 2050 sd 38, 2174 sd 53, 2183 sd 60	1/20	A3	Film	
7	coupe et plan 2072 sd 37, 2209, 2156, 2232 inter 2160	1/20	A3	Film	Aurélie et Solenn
8	coupe et plan 2083, 2177, 2180, 2301, 2302, 2190 sd 61	1/20	A3	Film	
9	plan et coupe 2343, 2342, 2237, 1074 sd 62, 2193, 2221, 2155, 2480, 2208/2153 (2317) sd 64, 2184 sd 66	1/20	A3	Film	MF
10	coupe et plan 2197, 1752, 2340, 2341, 2305, 2336, 2337, 2347, 2338, 2339, 2349, 2068, 2391	1/20	A3	Film	Aurélie
11	coupe et plan 2396, 2277, 2398, 2276, 2385, 2387, 2384, 2280, 22241, 2242, 2381, 2358, 2289, coupe 2317, sd 65, 2190 sd 61	1/20	A3	Film	MF AG
12	coupe et plan inter 2027/2004 sd 128, 2004 sd 137, 2036, 888, 2037, 879, 827 sd 154, 883 sd 165, 2000, 889, 897, 2850	1/20	A3	Film	Gwendal
13	coupe et plan 2086 sd 20, sd 21, sd 22, 2109 sd 23 et 24, 2110 sd 25, 2265 sd 26, 2266 sd 27, 2122 sd 28, 2069 sd 29 et 30, 2072 sd 32 et 36, 2021 sd 33, 2223 sd 34, 2073 sd 35, 2005 sd 39 et 40, 2022 sd 41, 2024 sd 42, 2002 sd 43 et 44, 2071	1/20	A3	Film	
14	coupe et plan 1757, 2350, 2351, 2394, 2325, 2309, 2389, 2275, 2218, 2217, 2312, 2313, 2331	1/20	A3	Film	SB AG
15	coupe et plan 2291, 1763, 1764, 2376, 2370, 2368, 2290, 2364, 2373, 2359, 2415, 2365, 2400, 2399, 2361, 2366, 2402, 2369, 2367, 2401, 2450, 2435, 2415	1/20	A3	Film	AR

N° de feuille	Description	Echelle	Format	Support	Auteur
16	coupe et plan 2355, 1863, 2333, 2332, 1765, 2382, 2386, 2378, 2377, 2322, 2335, 2284, 2273, 2281, 2282, 2278, 2310, 2397	1/20	A3	Film	MF
17	coupe et plan 1013, 1018, 1009, 1008, 1003, 1004, 807, 932, 851, 813, 773, 873, 810, 986	1/20	A3	Film	
18	coupe et plan 2212, 2314, 2315, 2422, 2423, 2414, 2424, 2481, 2431	1/20	A3	Film	SB AG
19	coupe et plan 2003 sd 45 et 46, 2005 sd 47 49 54 55 et 56, 2004 sd 50 51 et 52, 2000 sd 57 et 58, 2001 sd 59, 2009, 2027 sd 48	1/20	A3	Film	Hervé
20	coupe et plan 1006, 1005, 980, 818, 984, 1012, 1011, 979, 981, 978, 934, 1010	1/20	A3	Film	AR AV
21	977, 930, 844, 806, 845, 983, 933, 935, 823, 805, 870, 848, 842, 774, 853, 856, 846, 869	1/20	A3	Film	AR
22	coupe et plan 2306, 2283, 2266, 2308, 2140, 1942, 1939, 2437, 2299, 1937, 1938, 1932, 1933, 2632, 2633	1/20	A3	Film	MF
23	plan et coupe 2314, 2452, 2089, 2455, 2447, 2451, 2482, 2436, 2089	1/20	A3	Film	SB AG
24	plan et coupe 2408, 2406, 2405, 2413, 2411, 2466, 2474, 2421, 2409, 2403, 2372, 2375, 1898, 2307, 2362, 2461, 2468, 1894, 1899, 1895	1/20	A3	Film	MF et QF
19 bis	836 sd 63, 1878, 1877, 1882, 1880, 1883, 2024 sd 84, 2773 sd 90, 2207 sd 86, 2811, 1002 sd 63	1/20	A3	Film	
25	992, 1047, 960, 952, inter 2026/2073 sd 71, 2085 sd 81, 2073 sd 82, 2005 et 2245 sd 67, 2026 et 2021 sd 70	1/20	A3	Film	Alex
26	1909, 1900, 1907, 1902, 1903, 2700, 2444, 1974, 1908, 1901, 2562, 2607, 1971, 1980, 1991, 2700, 1975, 1994, 1966, 1973, 1970, 2701	1/20	A3	Film	
27	plan et coupe 2446, 2449, 2546, 1930, 1924, 2434, 1948, 1950, 2547, 1923, 1929, 2440, 2601, 1927, 2522, 2439, 2523, 2448, 1926, 1928, 1925, 1922, 1919, 1920, 1917	1/20	A3	Film	AG et SB
28	plan et coupe 2518, 2438, 2453, 2441, 2519, 2445, 2442, 2443, 1952, 1951, 2548, 2577, 1943, 1941, 1936, 1935, 1947, 1949, 1945, 2525, 1921, 2363, 1946, 1922	1/20	A3	Film	SB QF et AG
29	985, 950, 949, 915, 919, 954, 955, 2459, 1916, 1915, 2456, 2463, 2462, 1910, 2460, 2457, 2458	1/20	A3	Film	SB et AR

N° de feuille	Description	Echelle	Format	Support	Auteur
30	plan et coupe 1918, 2472, 2478, 2479, 2417, 2471, 2475, 2477, 2416, 2473, 2426, 1912, 1913, 2464, 2469, 1911, 2425, 2456, 2459, 2465, 2419, 2418, 2432, 1897, 2702, 2703, 1904, 2476, 2470	1/20	A3	Film	QF AG
31	1905, 1906, 2705 (ext 2205), 2073 sd 68, 2238 sd 77, inter 2026 et 2073 sd 71, 2002 sd 72 et sd 73, inter 2002 et 2073 sd 69, 2154 sd 79, 2774, 2154 sd 75 et sd 76, 2154 et 2775 sd 74	1/20	A3	Film	SB
32	coupe et plan 2454, 2379, 1754, 1685, 1688, 1687, 1756, 1753, 2371, 1689, 1749, 1608, 1755, 2380, 1691, 1750	1/20	A3	Film	MF
33	Coupe et plan 2771, 1748, 2248, 1600, 2843, 913, 2025 sd 99, 2841 2842 et 2026 sd 98, 2025 sd 108, 3151	1/20	A3	Film	MF
34	2160 sd 93 à 96, 2318 sd 103, 2844 et 2845 sd 126, 2021 sd 127, 2198 sd 124, 957, 951, 900, 917, 895	1/20	A3	Film	AV
35	plan et coupe 2196, 2184, 2183, 2214, 1592, 1593, 2031, 2187 sd 104, 2004 sd 106 et sd 107, 2215	1/20	A3	Film	QF
36	2329 sd 78, 2154 sd 80, 2002 et 2073 sd 69, 1601, 1605, 2008, 2034, 2033, 2897/2898 sd 109, 1465 sd 110	1/20	A3	Film	QF SB AV GJ
37	2154 2315 et 2705 sd 91 et sd 92, 2109 sd 113 et sd 114, 2549 sd 116 et sd 118, 1049, 1940, 1931, 2544, 2561, 1934 sd 125	1/20	A3	Film	LL
38	plan et coupe 1684, 2035, 936, 2032, 925	1/20	A3	Film	MF
39	1027, 993, 1208, 988, 987, 1046, 1021, 2848, 1059, 1050, 1045, 1054, 1048, 1051, 1060, 1052, 924, 1053	1/20	A3	Film	SB et QF
40	891, 892, 880, 827 et 971 sd 166, 826 899 2852 sd 178, 857 sd 182, 837 et 1039 sd 183, 837 sd 180 et sd 184	1/20	A3	Film	AV
41	1890, 1888, 1889, 1891, 2505, 2506, 1887, 1893, 1892, 995 958 sd 147, 1020, 1023, 1025, 821, 820, 819 sd 181	1/20	A3	Film	LL
42	plan et coupe 1978, 2776, 2777, 2135, 2142 inter 2109 et 2266 sd 111, 2545	1/20	A3	Film	AG QF
43	inter 2109 et 2086 sd 129, 1029, 989, 1044, 1022,	1/20	A3	Film	AG
44	2847 sd 2, 633 sd 145, 1058 et 1164 sd 156, 1168 sd 149, 780 sd 146, 1164 sd 152, 614 et 646 sd 151, 1164 780 et 2849 sd 150	1/20	A3	Film	AG
45	coupe et plan 911, 938, 939, 2851, 937, 898, 894, 758 sd 201	1/20	A3	Film	MF
46	coupe et plan 2858, 886, 745 et 747 sd 193 et sd 195, 709 2860 747 758 sd 197	1/20	A3	Film	MF

N° de feuille	Description	Echelle	Format	Support	Auteur
47	coupe et plan 882 890 746 sd 196, 709 sd 199 sd 200 et sd 204, 745 sd 198 et 196	1/20	A3	Film	GJL
48	652 sd 158, 1164 sd 159, 1164 et 1168 sd 160, 652 653 sd 164, 653 sd 167 et sd 169, 1039 sd 177, 2856, 2857, 652, 819 sd 185, 689, 800 sd 186, 822 sd 188 801	1/20	A3	Film	AG QF ASP
49	2853, 1016 sd 192, 2859, 747 sd 194 sd 205 sd 207, 708 sd 214 sd 215 sd 230	1/20	A3	Film	SB ASP QF
50	707 sd 203 sd 209 sd 217, 707 708 sd 229 sd 216, 706 sd 203	1/20	A3	Film	AG GJL
51	1063, 893, 752, 753, 709 (ext), 755, 750, 704 1157 756	1/20	A3	Film	SB
52	1037, 1038, 748	1/20	A3	Film	LL AV
53	918, 2854, 2855, 747 707 2860 sd 197, 754, 701 sd 208	1/20	A3	Film	
54	759 sd 213 sd 233 sd 218 sd 237, 1155 sd 246	1/20	A3	Film	AV
55	707 (ext), inter 862 710 sd 250, 741, inter 862 743 1153 sd 244, 1155 sd 235, 1153 sd 243 sd 236, 708 (ext), 740	1/20	A3	Film	GJL
56	757, 703, 702, 758 2861 sd 206, 1158, 2862, 822 sd 220, 1065 sd 227, 927, 958 sd 241 sd 242, 1067 sd 239, 1002 1065 sd 228 801 sd 220	1/20	A3	Film	AV LL
57	736, 735, 712, 713, 1122, 1142, 1123, 764, 763, 782, 783, 784, 858 sd 292, 1133 sd 295, 854 sd 291 sd 290, 841 sd 299, 1134 sd 294, 2868 sd 300, 858 sd 293	1/20	A3	Film	EG et ?
58	1126, 718, 969 sd 269, 1111, 1112, 1113, 1114, 1115, 1108, 1107 sd 298, 1154 sd 296, 1154 sd 297, 1154 1133 sd 301, 731, 730, 729, 728, 725, 726, 727, 724, 1140	1/20	A3	Film	
59	2861 sd 211, 212, 2119 1148, 1156 sd 245	1/20	A3	Film	MF
60	Plan et coupe 623, 2038, 2039, 624 sd 258	1/20	A3	Film	Aude Solenn Marion
61	plan et coupe 793, 794, 795, 1720, 721, 723, 720, 2867, 1141, 1145	1/20	A3	Film	MF
62	plan et coupe 1117, 968, 1118, 1116, 655,	1/20	A3	Film	GLM
63	2046 2868 sd 261, 2046 sd 275, 1163 sd 262 sd 267, sd 265, 2868 sd 275, 2882 sd 277 sd 278, 1156 sd 279, 1152 sd 280 sd 281	1/20	A3	Film	LL
64	1065 1072 sd 247, 1002 sd 252, 792, 744, 2868 sd 257, 641, 2046, 687 sd 256 1074 sd 247	1/20	A3	Film	
65	1132 sd 271, 719, 1107 sd 287, 717, 1721, 1132 sd 276, 716, 714, 1099, 975, 1105, 1107 (ext)	1/20	A3	Film	

N° de feuille	Description	Echelle	Format	Support	Auteur
66	859 (ext) sd 253, 734, 737, 1120 sd 260, inter 1133 1134 sd 270, ext 854, inter 858 854 sd 254 sd 255, 733, 732, 974, 973, 1120 sd 259, 715, 3154	1/20	A3	Film	
67	765, 766, 767, 768, 769, 770, 862 sd 288, 861 862 sd 289	1/20	A3	Film	
68	coupe et plan 2869, 1146, 1086, 1080, 1081, 1078, 1144 sd 268, 841 sd 272	1/20	A3	Film	MF
69	1401 sd 389 sd 390, 2001 sd 393 sd 394	1/20	A3	Film	
70	1401 sd 381 sd 383, 2041 sd 385, 1307, 1308, 1306	1/20	A3	Film	
71	inter 1172 636 sd 304, 861 sd 325, 647 sd 316, 2868 sd 326, inter 647 650 sd 320, 1034 1039 sd 328, 1039 1007 sd 329, 1007 819 sd 330, 1188 sd 372, 1236, 861 sd 325	1/20	A3	Film	AG AV QF
72	825 sd 395, 927 sd 401, 914 sd 397, 927 sd 399, 885 827 sd 404, 825 sd 398, 826 sd 400, 816 819 1007 1033 sd 419	1/20	A3	Film	AV
73	inter 1342 1344 sd 415, inter 1345 1324 sd 439, 1367, 1362, 1366, 1359, 1369	1/20	A3	Film	AG GJL JL
74	1214, 1232, 1219, 683, 685, 682, 1237, 2889 1337 sd 441	1/20	A3	Film	AG SB
75	2891 2893 1355 sd 408, 1355 1324 sd 409, 1324 2894 2889 2895 sd 410, 2891 2892 1316 1355 1324 sd 391, 1324 1354 sd 411, 2891 2892 1355 sd 412, 1355 1324 sd 413, 1354 sd 414  4 minutes numérotées 75 a, b, c et d : a : plan, les trois autres : coupes	1/20	A3	Film	AG SB QF
76	1162 sd 282 sd 283, 862 sd 285 sd 286, 1163 sd 284, coupe et plan : 1091, 1083, 1180, 1092, 908, 909, 1176 sd 369, 699 sd 373, 662 sd 371, 649 sd 376 sd 377	1/20	A3	Film	
77	Coupes et plans 1084, 695, 1178, 691 sd 327, 2868, 1082, 696, 1185, 1186, 690, 679, 1181, 1183, 1199, 1701, 1203, 3152, 680, 1202, 1201, 618, 681, 647	1/20	A3	Film	QF SB
78	1040 sd 226, 701, 1017, 1016, 1019, 2861 1156 sd 234	1/20	A3	Film	QF SB
79	1210, 1189, 1518, 1220, 1215, 1192, 1195, 1218, 1151, 964, 1190, 1246, 1233, 1191	1/20	A3	Film	MF
80	1132 1133 sd 302, 1188 sd 305, 2866 1007 sd 341, 1241, 1212, 1216, 956 sd 342, 958	1/20	A3	Film	SB QF
81	Coupe et plan : 1351 2889 1353 sd 375, coupe : 1506 1507 2890 sd 379, 1316 sd 387, coupe et plan : 1351 1324 sd 382	1/20	A3	Film	AG AV SB
82	2868 sd 349, 1076 sd 358, 1075 sd 355, 1172 sd 362, 653 652 650 sd 324, 2874, 1293, 1320	1/20	A3	Film	

N° de feuille	Description	Echelle	Format	Support	Auteur
83	622 sd 306, 633 sd 307, sd 308, 647 sd 311, 647 635 sd 309, 1213 sd 310, 636 sd 312, 647 sd 313, 662 sd 314 sd 315 sd 319, 647 sd 318 862 sd 308, 2010	1/20	A3	Film	
84	1214, 862 sd 347, 1075 sd 356, 861 sd 343 sd 345, 862 sd 346, 1239	1/20	A3	Film	
85	1007 sd 331, 1034 1033 sd 332, 2866 sd 337, 1033 2866 sd 333, 1036 2866 sd 334, 1007 sd 339 sd 338, 990 sd 336	1/20	A3	Film	
86	708 sd 231, 700, 1101, 1159, 1102, 1104, 700 sd 249, 2042, 1129, 2868, 1087, 1100	1/20	A3	Film	
87	coupes et plans : 967, 906, 907, 966, 1245, 1244	1/20	A3	Film	
88	1094, 1093, 1095, 1096, 1088, 1177, 1200, 1208, 2870, 1089, 1079, 1187, 697, 1184, 1702, 1194, 1211, 1088, inter 647 636 sd 303,	1/20	A3	Film	
89	2885 633 sd 321, 2886 2885 633 2887 644 sd 322, 2887 2888 633 sd 323	1/20	A3	Film	
90	2897 sd 440, 2897 sd 442, 2897 2898 sd 443, 2897 2898 2899 sd 445	1/20	A3	Film	
91	plan 1365, 1364, 2900, 1366, 1359, 1360, 1362, 1370, 1361, 1345, 2901	1/20	A3	Film	JLG
92	coupes 1361, 1362, 1360, 1364, 1365, inter 1371/1345 sd 446, 1345 sd 452, 1345 2901 sd 453, 581 1258 sd 461, 2900 612 sd 454	1/20	A3	Film	
93	965 sd 340, 1696 635 sd 361, 1172 sd 363 sd 364, 1204 833 sd 374, 1076 sd 359, 646 sd 365, 1415, 1408, 1204 833 sd 378	1/20	A3	Film	
94	1387 1345 sd 444, 1567 sd 4561371 sd 457	1/20	A3	Film	
95	1507 sd 514, 1328 2049 sd 513, 2942 sd 516	1/20	A3	Film	
96	2047 sd 502, 2047 sd 501, 1388 sd 504, 1477 sd 503 sd 506, 1340 sd 505	1/20	A3	Film	
97	1401 sd 498, 1477 sd 506, 2049 1327 2941 sd 512	1/20	A3	Film	
98	2909, 2922, 1222, 2923, 2925, 2924, 2933 2930 2929 sd 499, 2927, 2926, 2935, 2938, 2928, 2933 sd 500, 2937, 2936	1/20	A3	Film	
99	1401 2897 2898 sd 448, 1370 2904 sd 475, 1345 1372 1373 sd 462 sd 463	1/20	A3	Film	
100	836 sd 416, 959 sd 425, 833 sd 428, 1074 sd 417, 835 sd 422, 2868 sd 423, 2910, 976 sd 421, 833 sd 429, 1226, 976 2865 sd 420, 1223	1/20	A3	Film	
101	1402 sd 468, 2907, 1713, 1402 2905 sd 469, 2908, 1500	1/20	A3	Film	
102	2903 sd 466 sd 467	1/20	A3	Film	

N° de feuille	Description	Echelle	Format	Support	Auteur
103	plan ensemble et coupes : 1480 sd 478 sd 479 sd 480 sd 481 sd 482 sd 484 sd 483 sd 486 sd 485 sd 487 sd 488 sd 489, 1480 1479 sd 490, 2074 sd 491, 1573 sd 494 sd 492 sd 493 sd 495 sd 496, 2917 1479 sd 497	1/20	A3	Film	
104	plan et coupe : 1477 sd 519	1/20	A3	Film	
105	639 sd 366, 1176 sd 367 sd 368 sd 370, 1507 sd 380,1243 sd 538, 2956	1/20	A3	Film	
106	1242, 2963 sd 540, 2961, 1492, 2968, 2969, 2972, 2973, 2974, 1302, 1303, 1304	1/20	A3	Film	
107	2975, 2979, 1238, inter 3153 2977 sd 541, 2977 sd 543	1/20	A3	Film	
108	1250, 1251, 1252, 1253, 1254, 1255, 2961, 2962, 1295, 2967, 1266, 2965, 2966, 2964, 1270, 1268, 2970, 1271, 1272, 1261, 1263, 1291, 1230, 1290	1/20	A3	Film	
109	1288, 1287, 1286, 1285, 1281, 2982, 2983, 2984, 1274, 2985, 2986, 1262, 2987, 2988, 2989, 2990, 2598, 2999, 3004, 3000, 3002, 1278, 2971, 2997, 2998, 3003	1/20	A3	Film	
110	2996, 3003, 3039, 1278, 1273, 2995 sd 549 sd 550 sd 551 sd 552 sd 553, 3061, 3060, 3063, 3068, 3083, 3040, 3062, 3059, 3067	1/20	A3	Film	
111	3040 1273 sd 569, 3040 sd 570, 3070, 3071, 3082, 3090, 2512, 1990, 3101, 2686, 2689, 2685	1/20	A3	Film	
112	3032, 3033, 3035, 3027, 3028, 3030, 3029, 3019, 3023, 3014, 3051, 3052, 3043, 3080, 2574, 2572, 2526, 1989, 1986, 1987, 2527, 1374, 3081, 3049, 1345, 1374 sd 560, 1345 3044 sd 573, 3049 3081 sd 574, 3049, 3044 3020, 2585, 3088	1/20	A3	Film	
113	3031, 3018, 3022, 3021, 3045, 3046, 3048, 3047, 2515, 2571, 2595, 3050 sd 576 sd 577 sd 580, 3049 3050 sd 575, 3050 1479 sd 585, 3050 sd 379 sd 378, 2513	1/20	A3	Film	
114	2594, 2593, 2596, 2599, 2597, 2611, 2586, 2587, 2591, 2516, 2610, 2517, 2592, 2615, 2623, 3110, 3106, 3105, 3104, 3108, 3109, 1431, 1432, 1430	1/20	A3	Film	
115	2573, 2684, 2683, 2489, 2590, 2620, 2680, 2490, 3010, 3012, 2619, 2690, 3017, 1374 1370 sd 559, 3015 1374 sd 563, 1383	1/20	A3	Film	
116	1988, 1976, 1981, 1979, 2612, 2582, 1428 3114 sd 612, 2578, 2499, 1976, 2529, 3091, 2613, 2614, 2486, 1797, 1884, 1881, 3103, 3102, 1793, 1879, 2488, 2491, 3107, 1802, 1799, 1428, 1801, 1800, 2618	1/20	A3	Film	

N° de feuille	Description	Echelle	Format	Support	Auteur
117	1333 sd 588, 3085 3086 3087 sd 589, 2584, 2581, 2583, 2603, 2579, 2582, 2531, 2589, 2530, 2576, 2497, 1885, 1874, 1873, 1870, 2534, 2533, 1872, 2532, 2536, 2539, 2540	1/20	A3	Film	
118	1796, 3116, 3117, 3118, 1798, 1795, 1794, 1539 sd 617 sd 616, 2904 sd 618, 1429 sd 620, 2630, 1805 sd 628	1/20	A3	Film	
119	1676, 2520, 3089, 1984, 2521, 1985, 1835 sd 632	1/20	A3	Film	
120	3119 sd 622, 2073 sd 635, 2021 sd 636, 1344 sd 624, 1310 sd 630, 1675 sd 639, 1804 sd 719, 1769, 1768, 1770, 1767, 1771, 1860	1/20	A3	Film	JCD HM
121	1673, 1674, 1671, 1761, 1655, 1739, 1790, 1675 sd 637, 3121 sd 646 sd 645, 1675 sd 629, 1787	1/20	A3	Film	
122	=minute 135	1/20	A3	Film	
123	1645 sd 561 sd 562, 3006 sd 572 sd 571, 1538 sd 581, 3011 1345 sd 582, 3016	1/20	A3	Film	
124	plan d'ensemble : 2953, 2951, 2954, 2952, 2944, 2945, 1293, 1320, 2893, 1314, 1319, 1325, 1315, 1347, 1349, 1350, 1348, 2948, 2950, 2947, 2874, 1352, 1353, 1356, 2894, 2895, 1324, 2949, 2889, 1342, 1318, 2892, 1351, 2891, 1351 sd 438 sd 437 sd 520 sd 521 sd 522 sd 518, 1351 2889 1353 sd 375, 1351 1324 sd 382, 2891 2893 1355sd 408, 1355 1324 sd 409, 1324 2894 2889 2895 sd 410, 1324 1354 sd 411, 1354 sd 414, 1355 1324 sd 413, 2891 2892 1355 sd 412, 1355 1324 2892 2891 1316 sd 391, 2889 2950 sd 525, 1324 sd 534 sd 536	1/20	A3	Film	
125	3058 3120 sd 585	1/20	A3	Film	
126	2943 2904 1317 sd 517	1/20	A3	Film	
127	2995 3040 sd 564, 3040 sd 565 sd 567, 1313 sd 584, 3056, 3069, 3057, 3042, 3055, 3066	1/20	A3	Film	
128	1462 ,1463 sd 595, 1452 sd 597, 1465 sd 603, 1451 sd 598, 1465 sd 596, 1443 sd 599, 2902 1465 sd 604	1/20	A3	Film	
129	3084 sd 586, 545 sd 590, 106 sd 593, 545 sd 587, 545, 1462, 1463 sd 592, 1730	1/20	A3	Film	
130	3111 sd 609, 3111 3112 3113 sd 610, 1310 sd 611	1/20	A3	Film	
131	1835 sd 627, 1805 3128 sd 669, 3121 sd 657, 1805 3127 sd 668, 1861 sd 670 sd 671, 1855 sd 656, 1740, 1741, 1760	1/20	A3	Film	
132	2503 sd 688, 3123 sd 696, 2660 sd 740, 2636 sd 711, 2655 sd 723, 2660 sd 727, 1811 sd 693	1/20	A3	Film	



N° de feuille	Description	Echelle	Format	Support	Auteur
133	2286 sd 640 sd 641 sd 643, 2286 1805 sd 642 sd 649 sd 644 sd 648 sd 650 sd 651, 3122 sd 658, 3121 3126 3125 sd 654, 1804 sd 678, 1934 sd 667	1/20	A3	Film	
134	3142 612 sd 689, 3143 sd 692, 3142 3144 612 sd 691, 3142 sd 697 sd 690, 1837 sd 708	1/20	A3	Film	
135	coupes et plans 3005, 3038, 3037, 3007, 3009, 1247, 1275, 1276,1277,	1/20	A3	Film	
136	inter 1318 1342 sd 533, 1318 sd 539, 1315, 2959, 2960, 1355	1/20	A3	Film	
137	1371 sd 613 1567 sd 614 sd 615, 1675 sd 631, plans et coupes : 1531, 2260, 1675, 2262, 3131	1/20	A3	Film	
138	1666 sd B1 sd B2 sd B3	1/20	A3	Film	
139	plans et coupes : 1665, 1672, 2805, 2808, 2809, 2817, 2807, 2810, 2816, 2812, 2830, 3132, 3133	1/20	A3	Film	
140	3131 sd 682 sd 683, 3131 3138 sd 684	1/20	A3	Film	
141	3131 3138 sd 684	1/20	A3	Film	
142	3006 sd 554, 1645 sd 556, 3006 3008 1645 1643 sd 555, 1645 sd 557 sd 558	1/20	A3	Film	
143	1347, 2953, 1348, 1349, 2944, 2946, 1319, 1325, 2954, 2947, 1336, 2951, 2945 1351 2949 sd 524, 1351 1348 sd 518, 29502889 sd 525	1/20	A3	Film	
144	2673 sd 743, 2873 sd 749	1/20	A3	Film	
145	1837 sd 745, 612 sd 748, 2873 sd 753	1/20	A3	Film	
146	plan au 50e : 2373, 2359, 2368, 2366, 2367, 2402, 2401, 2550, 2376, 2364, 2360, 2365, 2361, 2370, 2369, 2400, 2389	1/20	A3	Film	
147	1568 sd 709, 1835 sd 733, 1568 sd 716 sd 717, inter 1837 3146 sd 744, 1835 sd 734 sd 726, inter 1837 1839 sd 739, inter 2668 2873 sd 750	1/20	A3	Film	
148	3146 sd 746 sd 747, 2873 sd 754, 3147, 3148, 3149	1/20	A3	Film	
149	plan de zone (50e) : 3121 sd 647 sd 646 sd 657 sd 645, 1855 sd 656 sd 671 sd 670, 3121 1855 sd 652, 3134, 1861, 1861 3121 sd 670, 3170 1805 sd 668, 3128 1805 sd 669, 3130, 3129	1/20	A3	Film	
150	2713, 2827, 2671, 2668, 2802, 2803, 2720, 2820, 2818, 2824, 2802, 2803, 2792, 2823, 2836, 2668 sd 713 sd 714, inter 2668 sd 715, 2667 sd 729, ext 2663 sd 741, 1836 sd 742	1/20	A3	Film	
151	1959, 2678 sd 676, inter 1811 1812 sd 679, ext 1961 sd 680, ext 2678 sd 674 sd 675, 1956, 1958, 1820, 1832, 1955, 1829	1/20	A3	Film	

N° de feuille	Description	Echelle	Format	Support	Auteur
152	2678 (1812+1811) 3150 sd 676, 2655 2636 sd 735 sd 736, 2655 sd 755, 1961 1814 sd 687, 2636 sd 730, 1961 sd 681 sd 685, 1961 1813 sd 686, 1814 sd 698 sd 699	1/20	A3	Film	
153	1351 sd 526, 2948, 1351 sd 520 sd 521 sd 523, 2952, 1992 sd 547, 2994, 2992 sd 548	1/20	A3	Film	
154	1370 sd 449, 1405, 2980, 2981, 2939, 1503 sd 510, 2992 sd 545, 2992 2993 sd 546, 2977 sd 544	1/20	A3	Film	
155	861 sd 344, 2868 sd 348, 827 sd 353, 828 sd 351	1/20	A3	Film	
156	1477 sd 511	1/20	A3	Film	
157	1342 sd 434 sd 435, 1343 sd 436, 1357, 1351 sd 437 sd 438 sd 375	1/20	A3	Film	
158	581 2902 sd 464, 2903 1491 1402 sd 465	1/20	A3	Film	
159	1341, 1315 1316 2896 sd 433	1/20	A3	Film	
160	2914, 2915, 1485, 2919, 2918, 1475, 2921, 2920, 1473, 1476, 1481, 1472, 1474, 2916, 1471, 1484, 2912, 2913	1/20	A3	Film	
161	1217	1/20	A3	Film	
162	plan de zone des sondages : 1402, 1491 et 2903 sd 465 et sd 466, 581, 2902, 2900 sd 454, 2901 1345 sd 453 sd 452, 1341, 2896 sd 433 sd 434 sd 435 sd 436, 1351 sd 437 sd 438	1/20	A3	Film	
163	1478 sd 478 sd 479 sd 480 sd 481 sd 482 sd 483 sd 484 sd 485 sd 486 sd 487 sd 488 sd 489, inter 1479 2021 sd 490, 1573 sd 491 sd 492 sd 493 sd 494 sd 495 sd 496, 2917 1479 2021 sd 497	1/20	A3	Film	
164	3136, 3137, 2822, 2825, inter 2668 2667 sd 728, ext 2668 sd 737	1/20	A3	Film	
165	2831, 3139, 2826, 2837, 3145, 3140, 2804 sd 712, 2668 2670 sd 724	1/20	A3	Film	
166	1805 sd 623, 1735, 1742, 1736, 1675 sd 633, 3121 sd 647, 1734, 1737, 1738, 1654, 1663, inter 3121 1855 sd 652	1/20	A3	Film	
167	3134 sd 669, 3134 3121 sd 670 2834, 2819	1/20	A3	Film	
168	2494, 1436, 3115, 2495, 2575, 2496, 2508, 2507, 2509	1/20	A3	Film	
169	1960, 1957, 1812 sd 677, 1831, 1830, 3006, 1454, 1443, 3131 sd 672	1/20	A3	Film	
F17	2058	1/20	A4	Papier	
F10	538	1/20	A4	Papier	
F7	547	1/20	A4	Papier	
F3	550	1/20	A4	Papier	
F13	2051				
F4	548	1/20	A3	Film	

N° de feuille	Description	Echelle	Format	Support	Auteur
F6	551	1/20	A3	Film	
F5	552	1/20	A3	Film	
F2	553	1/20	A3	Film	
F1	554	1/20	A3	Film	
F9	556	1/20	A3	Film	
F8	579	1/20	A3	Film	
F11	598	1/20	A3	Film	
F15	630	1/20	A3	Film	
F14	634	1/20	A3	Film	
F16	2057	1/20	A3	Film	
F21	2052	1/20	A3	Film	
F20	2053	1/20	A3	Film	
F22	2054	1/20	A3	Film	
F23	2055	1/20	A3	Film	
F19	2059	1/20	A3	Film	
F24	2060	1/20	A3	Film	
F25	2062	1/20	A3	Film	
F26	2063	1/20	A3	Film	
F27	2064	1/20	A3	Film	
F28	2065	1/20	A3	Film	
F29	2066	1/20	A3	Film	
F30	2067	1/20	A3	Film	
F31	2075	1/20	A3	Film	
F32	2077	1/20	A3	Film	
F33	2078	1/20	A3	Film	
F34	2079	1/20	A3	Film	
F35	2080	1/20	A3	Film	
F36	2081	1/20	A3	Film	
F37	2088	1/20	A3	Film	
F18	2099	1/20	A3	Film	
F38	2096	1/20	A3	Film	
F39	2112	1/20	A3	Film	
F40	2114	1/20	A3	Film	
F41	2115	1/20	A3	Film	
F42	2188	1/20	A3	Film	
F43	2194	1/20	A3	Film	
F44	2195	1/20	A3	Film	
F45	2216	1/20	A3	Film	

## Inventaire des photographies

N° Photo	Description	Zone	Auteur
	vue depuis le Sud		
7	coupe N/O		
8	coupe N/O		
9	ambiance		
10	ambiance		
11	ensemble 1		
12	ensemble 1		
13	ensemble 2		
14	ensemble 2		
15	ensemble 3		
16	ambiance		
17	ambiance		
18	ambiance		
19	ensemble 03		
20	ambiance		
21	ambiance		
22	ambiance		
23	Ensemble 04		
24	Ensemble 04		
25	plan en cours de fouille		
26	calage en cours de fouille		
27	vue en plan		
28	ambiance		
29	ambiance		
30	ambiance		
31	ambiance		
32	ambiance		
33	TP avec calage en cours de fouille		
34	TP avec pierre de calage.		
35	TP avec pierre de calage		
36	vue vers le nord avant fouille		
37	vue vers le nord avant fouille		
38	vue vers le nord avant fouille		
39	essai perche maison ovulaire		
40	essai perche maison ovulaire		
41	essai perche maison ovulaire		
42	essai perche maison ovulaire		
43	essai perche maison ovulaire		
44	essai perche maison ovulaire		
45	essai perche maison ovulaire		
46	essai perche maison ovulaire		
47	essai perche maison ovulaire		
48	essai perche maison ovulaire		
49	essai perche maison ovulaire		
50	essai perche maison ovulaire		
51	ambiance		
52	ambiance		
53	ambiance		

N° Photo	Description	Zone	Auteur
54	vue en plan		
55	ambiance		
56	ambiance		
57	vue en plan		
58	vue en plan		
59	vue en plan		
60	vue en coupe		
61	vue en plan		
62			
63			
64			
65			
66	coupe		
67	coupe		
68	coupe		
69	coupe		
70	sd 781 à 782, coupe		
71	sd 90 à 91, coupe		
72	sd 90, coupe		
73	sd 90, coupe		
74	sd 90, coupe		
75	sd 90, coupe N		
76	sd 90, coupe N		
77	sd 90, coupe N		
78	ambiance, vue générale du site		
79	ambiance, vue générale du site		
80	ambiance, vue générale du site		
81	ambiance, vue générale du site		
82	ambiance, vue générale du site		
83	ambiance, vue générale du site		
84	ambiance, vue générale du site		
85	ambiance, vue générale du site		
86	ambiance, vue générale du site		
87	ambiance, vue générale du site		
88	ambiance, vue générale du site		
89	ambiance, vue générale du site		
90	ambiance, vue générale du site		
91	ambiance, vue générale du site		
92	ambiance, vue générale du site		
93	ambiance, vue générale du site		
94	ambiance, vue générale du site		
95	ambiance, vue générale du site		
96	ambiance, vue générale du site		
97	ambiance, vue générale du site		
98	ambiance, vue générale du site		
99	ambiance, vue générale du site		
100	ambiance, vue générale du site		
101	ambiance, vue générale du site		
102	ambiance, vue générale du site		
103	ambiance, vue générale du site		
104	ambiance, vue générale du site		
105	sd 90, coupe sud		
106	sd 90, coupe sud		

N° Photo	Description	Zone	Auteur
107	sd 90, coupe sud		
108	sd 86		
109	sd 86		
110	sd 93. détail		
111	sd 93. détail		
112	sd 93. détail		
113	sd 93. détail		
114	sd 68, coupe sud		
115	sd 68, coupe sud		
116	sd 69, coupe ouest		
117	sd 69, coupe ouest		
118	sd 69, coupe ouest		
119	sd 69, détail		
120	sd 69, détail		
121	sd 70, coupe nord		
122	sd 70, coupe nord		
123	sd 70, coupe nord		
124	sd 70, coupe nord		
125	sd 70, coupe ouest		
126	sd 70, coupe ouest		
127	sd 70, coupe ouest		
128	sd 70, coupe ouest		
129	sd 71		
130	sd 71		
131	sd 71		
132	sd 71		
133	sd 71		
134	sd 71		
135	sd 71		
136	sd 67		
137	sd 67		
138	sd 67		
139	sd 72		
140	sd 72		
141	sd 72		
142	sd 82		
143	sd 82		
144	sd 73		
145	sd 73		
146	109		
147	109		
148	109		
149	sd 110		
150	sd 110		
151	sd 110		
152	sd 111		
153	sd 111		
154	sd 112		
155	sd 113		
156	sd 113		
157	sd 114		
158	sd 114		
159	coupe est		

N° Photo	Description	Zone	Auteur
160	coupe est		
161	coupe est		
162	coupe nord		
163	coupe nord		
164	coupe nord		
165	sd 74 plan et coupe		
166	sd 74 plan et coupe		
167	sd 74 plan et coupe		
168	sd 74 plan et coupe		
169	sd 74 plan et coupe		
170	sd 74 plan et coupe		
171	sd 74 plan et coupe		
172	sd 75		
173	sd 75		
174	sd 75		
175	sd 104, coupe nord ouest		
176	sd 104, coupe nord ouest		
177	sd 104, coupe nord ouest		
178	sd 106, coupe sud ouest		
179	sd 106, coupe sud ouest		
180	sd 106, coupe sud ouest		
181	sd 96, coupe nord		
182	sd 96, coupe nord		
183	sd 121, plan		
184	sd 121, plan		
185	sd 121, coupe est		
186	sd 121, coupe est		
187	sd 122, coupe nord		
188	sd 122, coupe nord		
189	sd 122, coupe nord		
190	sd 122, plan		
191	sd 122, plan		
192	sd 77, coupe sud		
193	sd 77, coupe sud		
194	sd 77, coupe sud		
195	sd 78 coupe nord est		
196	sd 78 coupe nord est		
197	sd 78 coupe sud		
198	sd 78 coupe sud		
199	sd 103 coupe sud		
200	sd 103 coupe sud		
201	sd 103 coupe sud		
202	sd 125, coupe nord		
203	sd 125, coupe nord		
204	sd 124, coupe nord		
205	sd 124, coupe nord		
206	sd 124, coupe nord		
207	sd 126, coupe nord		
208	sd 126, coupe nord		
209	sd 126, coupe nord		
210	sd 127, coupe sud		
211	sd 127, coupe sud		
212	sd 127, coupe sud		

N° Photo	Description	Zone	Auteur
213	coupe ouest		
214	sd 128		
215	ambiance		
216	sd 128		
217	sd 128		
218	plan de la fosse en cours de fouille : US charbonneuse. Vers ouest		
219	plan de la fosse en cours de fouille : US charbonneuse. Vers ouest		
220	plan de la fosse en cours de fouille : US charbonneuse. Vers ouest		
221	plan et coupe de la fosse après fouille. Vers Ouest		
222	plan et coupe de la fosse après fouille. Vers Ouest		
223	plan et coupe de la fosse après fouille. Vers Ouest		
224	sd 137 coupe nord ouest		
225	sd 137 coupe nord ouest		
226	sd 137 coupe nord ouest		
227	sd 129. Inter. coupe nord est		
228	sd 129. Inter. coupe nord est		
229	sd 129. coupe ouest		
230	plan vers Nord		
231	plan vers Nord		
232	coupe vers Nord		
233	coupe vers Nord		
234	plan		
235	plan		
236	plan du four avant fouille, vers Nord		
237	plan du four avant fouille, vers Nord		
238	plan du four avant fouille, vers Nord		
239	plan du four avant fouille, vers Nord		
240	coupe NE/SO		JCD
241	coupe NE/SO		JCD
242	coupe NE/SO		JCD
243	coupe NE/SO		JCD
244	vues générales		JCD
245	vues générales		JCD
246	vues générales		JCD
247	vues générales		JCD
248	vues générales		JCD
249	plan. calage après fouille		
250	plan. calage après fouille		
251	plan. calage après fouille		
252	plan. calage après fouille		
253	plan du four après fouille vers Sud		
254	plan du four après fouille vers Sud		
255	coupe du four après fouille vers Sud		
256	coupe du four après fouille vers Sud		
257	plan		
258	plan		
259	sd 147. coupe est		
260	sd 147. coupe est		
261	sd 147. coupe est		
262	calage		
263	calage		



N° Photo	Description	Zone	Auteur
264	calage		
265	calage		
266	calage		
267	sd 154		
268	sd 154		
269	plan		
270	plan		
271	coupe		
272	coupe		
273			
274			
275			
276	sd 152		
277	sd 152		
278	sd 150		
279	sd 150		
280	sd 150		
281	sd 149		
282	sd 149		
283	sd 146		
284	sd 146		
285	sd 2, coupe sud		
286	sd 2, coupe sud		
287	sd 2, coupe sud		
288	sd 2, coupe sud		
289	sd 145, coupe sud ouest		
290	sd 145, coupe sud ouest		
291	calage plan		
292	calage plan		
293	calage plan		
294	calage plan		
295	calage plan		
296	négatif poteau		
297	négatif poteau		
298	sd 151		Aurélie
299	sd 151		Aurélie
300	vue générale, vue de travail		JCD
301	vue générale, vue de travail		JCD
302	vue générale, vue de travail		JCD
303	vue générale, vue de travail		JCD
304	sd 151		Aurélie
305	sd 151		Aurélie
306	sd 151		Aurélie
307	sd 151		Aurélie
308	sd 158		Aurélie
309	sd 158		Aurélie
310	sd 165		
311	sd 165		
312	ambiance		
313	sd 160		Aurélie
314	sd 160		Aurélie
315	sd 167		Aurélie
316	sd 167		Aurélie

N° Photo	Description	Zone	Auteur
317	coupe est		
318	coupe est		
319	coupe est		
320	coupe est		
321	sd 169		
322	sd 169		
323	plan		
324	plan		
325	plan		
326	plan		
327	plan		
328	plan		
329	coupe vers Nord		
330	coupe vers Nord		
331	sd 178, coupe sud		
332	sd 178, coupe sud		
333	sd 178, coupe nord		
334	sd 178, coupe nord		
335	sd 178, coupe nord		
336	plan		
337	plan		
338	sd 164. coupe nord ouest		
339	sd 164. coupe nord ouest		
340	sd 166. coupe sud ouest		
341	sd166. coupe nord est		
342	plan		
343	plan		
344	coupe		
345	coupe		
346	ambiance céram		
347	ambiance céram		
348	vue générale		
349	vue générale		
350	extrémité ouest fossé		
351	extrémité ouest fossé		
352	extrémité ouest fossé		
353	extrémité ouest fossé		
354	sd 180 coupe sud		
355	sd 181. coupe nord est		
356	sd 181. coupe nord est		
357	sd 183. coupe ouest		
358	sd 183. coupe ouest		
359	sd 185, coupe sud		
360	sd 185, coupe sud		
361	sd 186. coupe sud		
362	calage poteau, plan		
363	calage poteau, plan		
364	calage poteau, plan		
365	calage poteau, plan		
366	calage poteau, plan		
367	sd 188. coupe est		
368	sondage		
369	sondage		

N° Photo	Description	Zone	Auteur
370	coupe ouest		
371	coupe ouest		
372	calage poteau		
373	calage poteau		
374	calage poteau		
375	coupe nord est		
376	coupe nord est		
377	coupe nord est		
378	coupe nord est		
379	coupe nord est		
380	plan et coupe, calage poteau		
381	plan et coupe, calage poteau		
382	plan en cours de fouille, vue vers le Nord		
383	plan en cours de fouille, vue vers le Nord		
384	coupe		
385	coupe		
386	coupe		
387	coupe nord est		
388	coupe nord est		
389	coupe nord est		
390	ambiance céramique		
391	ambiance céramique		
392	ambiance céramique		
393	ambiance céramique		
394	sd 192, coupe nord		
395	sd 192, coupe nord		
396	plan		
397	vue d'ensemble de la "zone de forge" avant fouille. Photos de travail		
398	vue d'ensemble de la "zone de forge" avant fouille. Photos de travail		
399	vue d'ensemble de la "zone de forge" avant fouille. Photos de travail		
400	vue d'ensemble de la "zone de forge" avant fouille. Photos de travail		
401	vue d'ensemble de la "zone de forge" avant fouille. Photos de travail		
402	vue d'ensemble de la "zone de forge" avant fouille. Photos de travail		
403	vue d'ensemble de la "zone de forge" avant fouille. Photos de travail		
404	vue d'ensemble de la "zone de forge" avant fouille. Photos de travail		
405	vue d'ensemble de la "zone de forge" avant fouille. Photos de travail		
406	vue d'ensemble de la "zone de forge" avant fouille. Photos de travail		
407	vue d'ensemble de la "zone de forge" avant fouille. Photos de travail		
408	vue d'ensemble de la "zone de forge" avant fouille. Photos de travail		
409	vue d'ensemble de la "zone de forge" avant fouille. Photos de travail		
410	en plan avant fouille, vers le Sud		
411	en plan avant fouille, vers le Sud		
412	en plan avant fouille, vers le Sud		
413	en plan avant fouille, vers le Sud		

N° Photo	Description	Zone	Auteur
414	sd 193, extrémités, en plan		
415	sd 193, extrémités, en plan		
416	sd 193, extrémités, en plan		
417	sd 193, extrémités, en plan		
418	sd 193, extrémités, en plan		
419	sd 194, en coupe		
420	sd 194, en coupe		
421	en cours de fouille		
422	en cours de fouille		
423	en cours de fouille		
424	sd 196		
425	sd 196		
426			
427			
428			
429			
430			
431	sd 195, en coupe		
432	sd 198 et arrière plan sd 196		
433	sd 198 et arrière plan sd 196		
434	sd 198 et arrière plan sd 196		
435			
436			
437			
438			
439	sd 197, coupe ouest		
440	sd 197, coupe ouest		
441	sd 199, coupe nord est		
442	sd 197. coupe ouest		
443	sd 197. coupe ouest		
444	sd 197. plan		
445	sd 197. plan		
446	sd 200		
447	sd 202		
448	sd 202		
449	sd 197, extrémité fossé vers Est		
450	sd 201, vers Est		
451	sd 204. coupe est		
452	sd 205		
453	sd 205		
454	sondage extrémité nord ouest		
455	sondage extrémité nord ouest		
456	sondage extrémité nord ouest		
457	sondage extrémité nord ouest		
458	sd 206		
459	sd 206		
460	sd 206, coupe ouest		
461	sd 206, coupe ouest		
462	plan		
463	coupe nord		
464	sd 207. coupe sud ouest		
465	sd 207. coupe sud ouest		
466	sd 203		

N° Photo	Description	Zone	Auteur
467	sd 203		
468	sd 203		
469	sd 203		
470	sd 203		
471	sd 203		
472	sd 203		
473	vue générale de l'est vers l'ouest		
474	vue générale de l'est vers l'ouest		
475	TP avec calage+ scorie de grande taille		SB
476	TP avec calage+ scorie de grande taille		SB
477	sd 211 coupe sud-nord		MF
478	sd 211 coupe sud-nord		MF
479	sd 215, angle sud ouest		
480	sd 215, angle sud ouest		
481	sd 215, angle sud ouest		
482	sd 215, angle sud ouest		
483	sd 209 coupe ouest		
484	sd 209 coupe ouest		
485	sd 209 coupe ouest		
486	calage poteau		
487	calage poteau		
488	calage poteau		
489	sd 220 coupe sud/nord vue vers l'Ouest		LL
490	sd 220 coupe sud/nord vue vers l'Ouest		LL
491	sd 216		
492	sd 216		
493	sd 216		
494	sd 216		
495	sd 216		
496	sd 216		
497	sd 213, extrémité		
498	sd 213, extrémité		
499	sd 213, extrémité		
500	sd 213, extrémité		
501	sd 213, extrémité		
502	sd 213, extrémité		
503	sd 213, extrémité		
504	sd 213, extrémité		
505	sd 217, coupe sud		
506	sd 217, coupe sud		
507	sd 217, coupe sud		
508	sd 217, coupe sud		
509	sd 212, coupe sud/nord, vue vers l'Ouest		MF
510	sd 212, coupe sud/nord, vue vers l'Ouest		MF
511	sd 212, coupe sud/nord, vue vers l'Ouest		MF
512	sd 212, coupe sud/nord, vue vers l'Ouest		MF
513	sd 212, coupe sud/nord, vue vers l'Ouest		MF
514	sd 226, coupe S/N vue vers l'Ouest		SB
515	sd 226, coupe N/Svue vers l'Est		SB
516	sd 227, coupe S/N vue vers l'Ouest		LL
517	sd 227, coupe S/N vue vers l'Ouest		LL
519	sd 215, coupe S/N		
520	sd 215, coupe S/N		

N° Photo	Description	Zone	Auteur
521	sd 215, coupe S/N		
522	sd 229		
523	sd 229		
524	sd 229		
525	sd 218		
526	sd 218		
527	sd 218		
528	sd 218		
529	sd 218		
530	sd 218		
531	sd 218		
532	sd 218		
533	sd 228		LL
534	sd 228		LL
535	sd 228		LL
536	sd 228		LL
537	sd 228		LL
538	sd 228		LL
539	sd 230		LL
540	sd 230		LL
541	sd 230		LL
542	sd 231 coupe O		LL
543	sd 231		LL
544	sd 219 coupe ouest		MF
545	sd 219 coupe ouest		MF
546	sd 219 coupe ouest		MF
547	sd 219 coupe ouest		MF
548	sd 219, coupe est		
549	sd 219, coupe est		
550	sd 235, coupe sud		
551	sd 235, coupe sud		
552	ambiance		
553	sd 235, coupe nord		
554	sd 235, coupe nord		
555	sd 235, coupe nord		
556	ambiance		
557	ambiance		
558	ambiance		
559	ambiance		
560	sd 231 coupe nord ouest		
561	sd 231 coupe nord ouest		
562	sd 231 coup sud est		
563	sd 231 coup sud est		
564	sd 231 coup sud est		
565	sd 213 et sd 233		
566	sd 213 et sd 233		
567	sd 213 et sd 233		
568	sd 213 et sd 233		
569	sd 238, coupe ouest		
570	sd 238, coupe ouest		
571	sd 237 coupe sud ouest		
572	sd 237 coupe sud ouest		
573	sd 237 coupe sud ouest		

N° Photo	Description	Zone	Auteur
574	sd 237 coupe sud ouest		
575	sd 237 coupe nord ouest		
576	sd 237 coupe nord ouest		
577	sd 237 coupe nord ouest		
578	sd 239		
579	sd 239		
580	sd 240. céram		
581	sd 240. céram		
582	sd 240. céram		
583	sd 240. céram		
584	sd 243, coupe est		
585	sd 243, coupe est		
586	sd 243, coupe est		
587	sd 243, coupe est		
588	sd 246, coupe ouest		
589	sd 246, coupe ouest		
590	sd 246, coupe ouest		
591	sd 246, coupe nord		
592	sd 246, coupe nord		
593	plan		
594	plan		
595	plan		
596	sd 245, coupe nord		
597	sd 245, coupe nord		
598	sd 245, coupe ouest		
599	sd 245, coupe ouest		
600	sd 245, coupe nord		
601	virage du fossé vue générale, sd 234		SB
602	coupe nord/sud vue est, sd 234		SB
603	coupe nord/sud vue ouest, sd 234		SB
604	coupe O/E, sd 234		SB
605	coupe O/E, sd 234		SB
606	sd 62		LL
607	sd 62		LL
608	sd 247		
609	sd 247		
610	sd 247		
611	sd 247		
612	sd 247 coupe ouest		
613	sd 247 coupe ouest		
614	sd 247 coupe ouest		
615	sd 244		
616	sd 244		
617	plan, calage		
618	plan, calage		
619	plan, calage		
620	plan, calage		
621	sd 247		LL
622	sd 247		LL
623	coupe et plan		MF
624	coupe et plan		MF
625	sd 250, coupe est		
626	sd 250, coupe est		

N° Photo	Description	Zone	Auteur
627	sd 250, coupe est		
628	ambiance		
629	sd 250, coupe sud		
630	sd 250, coupe sud		
631	sd 249, coupe nord est		
632	sd 249, coupe nord est		
633	sd 249, coupe nord est		
634	sd 249, coupe nord est		
635	sd 251		LL
636	sd 239 sd 251		LL
637	sd 252 section vue vers le sud		LL
638	sd 252 section vue vers le sud		LL
639	UA6		
640	UA6		
641	vue générale		
642	vue générale		
643	vue générale		
644	vue générale		
645	vue générale		
646	vue générale		
647	vue générale		
648	vue générale		
649	vue générale		
650	vue générale		
651	sd 256		
652	sd 256		
653	sd 256		
654	sd 256		
655	sd 256 coupe ouest		
656	sd 256 coupe ouest		
657	Philippe		
658	sd 267, coupe ouest		
659	sd 267, coupe ouest		
660	sd 258, coupe ouest		SB MF
661	sd 258, coupe ouest		SB MF
662	coupe nord		
663	sd 261, coupe est		
664	sd 261, coupe est		
665	coupe et plan		
666	coupe et plan		
667	coupe et plan		
668			LL
669			LL
670			LL
671			
672			
673			LL
674	plan		GLM
675	plan		GLM
676	plan		GLM
677	coupe et plan		LL
678	coupe et plan		LL
679	coupe et plan		LL



N° Photo	Description	Zone	Auteur
680	plan, depuis l'est		GLM
681	plan, depuis l'est		GLM
682	plan, vue sud		FB
683	plan, vue sud		FB
684	plan, vue sud		FB
685	plan, vue sud		FB
686	plan, vue sud		FB
687	coupe fossé, sd 307, vue nord		
688	coupe fossé, sd 307, vue nord		
689	plan fossé		FB
690	plan fossé		FB
691	coupe est		FB
692	coupe est		FB
693	sd 308, face nord		
694	sd 308, face nord		
695	sd 303 coupe nord		
696	sd 303, coupennord ouest		
697	sd 303 plan		
698	sd 303 coupe nord côté ouest		
699	sd 303 coupe ouest côté sud		
700	plan depuis le Nord		GLM
701	plan depuis le Nord		GLM
702	extrémité fossé, vue générale du sd 305		SB
703	sd 305, coupe O/E, vue sud		SB
704	sd 305, coupe N/S, vue ouest		SB
705	sd 309, intersection, face nord coupe O/E		
706	sd 309, intersection, face nord coupe O/E		
707	intersection, face est, coupe N/S		
708	intersection, face est, coupe N/S		
709	sd 310. tranchée est/ouest		
710	sd 310. tranchée est/ouest		
711	sd 310, coupe nord ouest		
712	sd 310, coupe nord ouest		
713	plan depuis l'Ouest		GLM
714	plan, vue du Sud		FB
715	plan, vue du Sud		FB
716	plan, vue du Sud		FB
717	coupe, vue du Sud		FB
718	coupe, vue du Sud		FB
719	coupe, vue du Sud		FB
720	sd 311		
721	sd 311		
722	sd 312 coupe nord est		
723	en cours de fouille, amas de pierre au sein du comblement de la petite fosse		SB
724	plan		FB
725	coupe nord		FB
726	coupe nord		FB
727	sd 314, coupe sud ouest		
728	sd 314, coupe sud ouest		
729	sd 315, coupe nord		
730	sd 315, coupe nord		
731	sd 318, coupe nord ouest647		
732	sd 318, coupe nord ouest647		

N° Photo	Description	Zone	Auteur
733			SB
734			SB
735			SB
736	plan		FB
737	coupe vue sud		FB
738	coupe vue sud		FB
739	coupe vue sud		FB
740	sd 313, coupe sud ouest		
741	sd 313, coupe sud ouest		
742	sd 313, coupe sud ouest		
743	vue du Nord		GLM
744	vue du Nord		GLM
745	sd 319, coupe est		
746	sd 319, coupe est		
747	Vues Nord, sd 316		
748	Vues Nord, sd 316		
749	vue Nord		
750	vue Nord		
751	plan, vue sud-ouest		FB
752	coupe		FB
753	coupe		FB
754	sd 320, coupe sud ouest		
755	sd 320, coupe sud ouest		
756	sd 320, coupe sud ouest		
757	ambiance		
758	plan vue sud		FB
759	plan vue sud		FB
760	plan vue sud		FB
761	plan vue sud		FB
762	sd 325, coupe sud		
763	sd 325, coupe sud		
764	sd 325, coupe sud		
765	sd 325, coupe sud		
766	sd 325, coupe sud		
767	sd 325, coupe sud		
768	sd 326, coupe est		
769	sd 326, coupe est		
770	sd 327 coupe nord		
771	sd 327 coupe nord		
772	sd 328, inter coupe ouest		
773	sd 328, inter coupe ouest		
774	sd 328, inter coupe ouest		
775	sd 328, inter coupe ouest		
776	sd 328, inter coupe ouest		
777	sd 330, coupe vue nord		
778	sd 330, coupe vue nord		
779	sd 331, coupe nord ouest		
780	sd 331, coupe nord ouest		
781	sd 331, coupe nord ouest		
782	sd 332, coupe vue sud		
783	sd 332, coupe vue sud		
784	sd 333, coupe vue sud		
785	sd 333, coupe vue sud		

N° Photo	Description	Zone	Auteur
786	sd 334, coupe vue ouest		
787	sd 334, coupe vue ouest		
788	sd 336, coupe vue sud		
789	sd 336, coupe vue sud		
790	sd 337, coupe nord ouest		
791	sd 337, coupe nord ouest		
792	sd 338, coupe sud est		
793	sd 338, coupe sud est		
794	sd 339, coupe nord		
795	sd 339, coupe nord		
796	plan		FB
797	coupe nord		
798	coupe nord		
799	sd 340, coupes côté nord et côté est		
800	sd 340, coupes côté nord et côté est		
801	sd 340, coupes côté nord et côté est		
802	sd 340, coupes côté nord et côté est		
803	sd 342, coupe vue nord		
804	sd 342, coupe vue nord		
805	sd 341, coupe vue nord, inter		
806	sd 341, coupe vue nord, inter		
807	coupe nord est		
808	coupe nord est		
809	sd 343, coupe vue nord		
810	sd 343, coupe vue nord		
811	sd 344, coupe vue nord		
812	sd 344, coupe vue nord		
813	sd 345, coupe vue nord		
814	sd 345, coupe vue nord		
815	sd 356, coupe est		FB
816	sd 356, coupe est		FB
817	sd 347, coupe nord		FB
818	sd 347, coupe nord		FB
819	sd 346, coupe nord		SB
820	sd 346, coupe nord		SB
821	coupe nord est		
822	coupe nord est		
823	coupe nord est		
824	coupe nord est		
825			SB
826			SB
827			SB
828	sd 359		QF GLM FP
829	sd 359		QF GLM FP
830	sd 361, coupe vue nord		
831	sd 361, coupe vue nord		
832	362, coupe O/E		
833	362, coupe O/E		
834	plan et ocupe vue de l'ouest		FB
835	plan et ocupe vue de l'ouest		FB

N° Photo	Description	Zone	Auteur
836	plan coupe vue de l'ouest		FB
837	plan coupe vue de l'ouest		FB
838	coupe NO/SE vue sud		SB
839	coupe NO/SE vue sud		SB
840	extrémité fossé, sd 324, vues en plan		
841	extrémité fossé, sd 324, vues en plan		
842	extrémité fossé, sd 324, vues en plan		
843	sd 366, coupe vue du nord-ouest		AV
844	sd 366, coupe vue du nord-ouest		AV
845	sd 366, coupe vue du nord-ouest		AV
846	sd 366, coupe vue du nord-ouest		AV
847	sd 366, coupe vue du nord-ouest		AV
848	sd 366, coupe vue du nord-ouest		AV
849	coupe O/E vue sud		SB
850	coupe O/E vue sud		SB
851	coupe depuis l'ouest et plan depuis nord		GLM
852	coupe depuis l'ouest et plan depuis nord		GLM
853	sd 372, coupe vue nord		
854	sd 372, coupe vue nord		
855	sd 367, coupe est		FB
856	sd 373, coupe est		
857	sd 373, coupe est		
858	coupe et plan, vue depuis le nord		GLM
859	coupe et plan, vue depuis le nord		GLM
860	sd 376, coupe ouest		AV
861	sd 376, coupe ouest		AV
862	sd 376, coupe ouest		AV
863	sd 377, coupe est		AV
864	sd 377, coupe est		AV
865	sd 380, coupe ouest		
866	sd 379, coupe ouest		
867	sd 379, coupe ouest		
868	sd 379, coupe nord		
869	sd 379, coupe nord		
870	sd 381, coupe nord		
871	sd 381, coupe nord		
872	sd 381, coupe nord		
873	sd 381, coupe nord		
874	sd 381, coupe nord		
875	sd 382, vue générale inter vue sud,		SB
876	sd 382, vue générale inter vue sud,		SB
877	sd 382, vue générale inter vue est		SB
878	sd 382, détail coupe S/N, vue E		SB
879	sd 383, coupe nord		
880	sd 383, coupe nord		
881	sd 383, coupe nord		
882	sd 383, coupe nord		
883	sd 383, coupe nord		
884	coupe et plan depuis l'est		GLM
885	coupe et plan depuis l'est		GLM
886	coupe nord		
887	coupe nord		
888	sd 387, extrémité fossé		SB

N° Photo	Description	Zone	Auteur
889	sd 387, extrémité fossé		SB
890	sd 387, extrémité fossé		SB
891	sd 387, extrémité fossé		SB
892	sd 389, coupe sud		AV
893	sd 389, coupe sud		AV
894	sd 389, coupe sud		AV
895	sd 389, coupe sud		AV
896	sd 389, coupe sud		AV
897	sd 389, coupe sud		AV
898	sd 389, coupe sud		AV
899	sd 390, coupe sud		AV
900	sd 390, coupe sud		AV
901	sd 390, coupe sud		AV
902	sd 390, coupe sud		AV
903	sd 393, coupe ouest		AV
904	sd 393, coupe ouest		AV
905	sd 394, coupe est		AV
906	sd 394, coupe est		AV
907	sd 407, plan général (pas de relevé)		AV
908	sd 407, plan général (pas de relevé)		AV
909	sd 407, plan général (pas de relevé)		AV
910	sd 407, plan général (pas de relevé)		AV
911	sd 407, plan général (pas de relevé)		AV
912	vue d'ensemble de sd 391, sd 408 et sd 414		SB
913	vue d'ensemble de sd 391, sd 408 et sd 414		SB
914	vue d'ensemble de sd 391, sd 408 et sd 414		SB
915	vue d'ensemble de sd 391, sd 408 et sd 414		SB
916	vue d'ensemble de sd 391, sd 408 et sd 414		SB
917	vue d'ensemble de sd 391, sd 408 et sd 414		SB
918	vue d'ensemble de sd 391, sd 408 et sd 414		SB
919	sd 391, vues générales et plans		SB
920	sd 391, vues générales et plans		SB
921	sd 391, vues générales et plans		SB
922	sd 391, vues générales et plans		SB
923	sd 391, vues générales et plans		SB
924	sd 391, vues générales et plans		SB
925	sd 408, coupes et vue générale		SB
926	sd 408, coupes et vue générale		SB
927	sd 408, coupes et vue générale		SB
928	sd 408, coupes et vue générale		SB
929	sd 408, coupes et vue générale		SB
930	sd 409, vue générale et plan		SB
931	sd 409, vue générale et plan		SB
932	sd 409, vue générale et plan		SB
933	sd 410, vue générale et coupes		SB
934	sd 410, vue générale et coupes		SB
935	sd 410, vue générale et coupes		SB
936	sd 410, vue générale et coupes		SB
937	sd 411, vue générale, vue sud		SB
938	sd 411, coupe O/E et N/S		SB
939	sd 411, coupe O/E et N/S		SB
940	vue générale, vue sud, sd 412		SB
941	sd 412, coupe O/E, vue sud		SB

N° Photo	Description	Zone	Auteur
942	sd 412, coupe S/N vue est		SB
943	sd 412, coupe S/N vue est		SB
944	sd 412, coupe N/S, vue ouest		SB
945	sd 419, coupe nord		
946	sd 419, coupe nord		
947	sd 419, coupe nord		
948	sd 419, coupe nord		
949	sd 413, vue générale, vue sud		SB
950	sd 413, coupes O/E, N/S, E/O, S/N		SB
951	sd 413, coupes O/E, N/S, E/O, S/N		SB
952	sd 413, coupes O/E, N/S, E/O, S/N		SB
953	sd 413, coupes O/E, N/S, E/O, S/N		SB
954	sd 414, vue générale, vue sud		SB
955	sd 414, coupe O/E et S/N		SB
956	sd 414, coupe O/E et S/N		SB
957	sd 395, coupe S/E		AV
958	sd 395, coupe S/E		AV
959	sd 397, coupe ouest		
960	sd 397, coupe ouest		
961	sd 398, coupe S/E		
962	sd 398, coupe S/E		
963	sd 400, coupe NO		
964	sd 400, coupe NO		
965	sd 399		
966	sd 399		
967	sd 420		
968	sd 421		
969	sd 401		
970	sd 401		
971	sd 404		
972	sd 404		
973	sd 416 coupe nord ouest		
974	sd 416 coupe nord ouest		
975	sd 416 coupe nord ouest		
976	sd 417		
977	sd 417		
978	sd 425		
979	sd 425		
980	sd 422		
981	sd 422		
982	sd 423		
983	sd 423		
984	sd 415		
985	sd 415		
986	sd 415		
987	sd 429		
988	sd 429		
989	sd 428		
990	sd 428		
991	sd 321, 322, 323		
992	sd 321, 322, 323		
993	sd 321, 322, 323		
994	sd 321, 322, 323		

N° Photo	Description	Zone	Auteur
995	sd 321, 322, 323		
996	sd 321, 322, 323		
997	sd 321, 322, 323		
998	sd 321, 322, 323		
999	sd 321, 322, 323		
1000	sd 321, 322, 323		
1001	sd 321, 322, 323		
1002	sd 321, 322, 323		
1003	sd 321, 322, 323		
1004	sd 321, 322, 323		
1005	sd 321, 322, 323		
1006	sd 342 coupe sud		
1007	sd 342 coupe sud		
1008	sd 342 coupe sud		
1009	sd 439		
1010	sd 444		
1011	sd 444		
1012	sd 444		
1013	sd 444		
1014	sd 449, coupe O/E et S/N		SB
1015	sd 449, coupe O/E et S/N		SB
1016	sd 449, vue générale, vue sud		SB
1017	vue générale, sd 449 sd 452 sd 453 sd 454 et TP		
1018	vue générale, sd 449 sd 452 sd 453 sd 454 et TP		
1019	vue générale, sd 449 sd 452 sd 453 sd 454 et TP		
1020	vue générale, sd 449 sd 452 sd 453 sd 454 et TP		
1021	vue générale, sd 449 sd 452 sd 453 sd 454 et TP		
1022	vue générale, sd 449 sd 452 sd 453 sd 454 et TP		
1023	vue générale, sd 449 sd 452 sd 453 sd 454 et TP		
1024	sd 446, coupes		
1025	sd 446, coupes		
1026	sd 446, coupes		
1027	sd 446, coupes		
1028	sd 446, coupes		
1029	sd 456, vues générales et coupes		
1030	sd 456, vues générales et coupes		
1031	sd 456, vues générales et coupes		
1032	sd 456, vues générales et coupes		
1033	sd 456, vues générales et coupes		
1034	sd 456, vues générales et coupes		
1035	sd 456, vues générales et coupes		
1036	sd 456, vues générales et coupes		
1037	sd 456, vues générales et coupes		
1038	sd 457		
1039	sd 457		
1040	sd 448, coupe 448		
1041	sd 448, coupe 448		
1042	sd 448, coupe 448		
1043	sd 448, coupe 448		
1044	sd 443		
1045	sd 443		
1046	sd 445		
1047	sd 445		

N° Photo	Description	Zone	Auteur
1048	sd 445		
1049	sd 459, céram		
1050	sd 459, céram		
1051	sd 459, céram		
1052	sd 461, coupe nord est		
1053	sd 461, coupe nord est		
1054	sd 461, coupe nord est		
1055	sd 461, coupe nord est		
1056	sd 461, coupe nord est		
1057	sd 461, coupe sud		
1058	sd 464, coupe est		
1059	sd 464, coupe est		
1060	sd 464, coupe est		
1061	sd 464, coupe est		
1062	sd 465, coupe nord		
1063	sd 465, coupe nord		
1064	sd 465, coupe nord		
1065	sd 465, coupe sud		
1066	sd 465, coupe sud		
1067	sd 465, coupe ouest		
1068	sd 465, coupe ouest		
1069	ambiance		
1070	sd 466, coupe sud		
1071	sd 466, coupe sud		
1072	sd 466, coupe sud		
1073	sd 466, coupe sud		
1074	vue générale		
1075	vue générale		
1076	vue générale		
1077	vue générale		
1078	meule		
1079	meule		
1080	meule		
1081	sd 468, coupe sud est		
1082	sd 468, coupe sud est		
1083	sd 467, coupe sud ouest		
1084	sd 467, coupe sud ouest		
1085	sd 469, coupe nord est		
1086	sd 469, coupe nord est		
1087	sd 469, coupe nord est		
1088	sd 469, coupe nord est		
1089	sd 469, coupe nord est		
1090	sd 475 coupe nord		
1091	sd 475 coupe nord		
1092	sd 475 coupe nord		
1093	vues générales du bâtiment ovalaire proto dans enclos. sd 478 à 497		
1094	vues générales du bâtiment ovalaire proto dans enclos. sd 478 à 497		
1095	vues générales du bâtiment ovalaire proto dans enclos. sd 478 à 497		
1096	vues générales du bâtiment ovalaire proto dans enclos. sd 478 à 497		
1097	vues générales du bâtiment ovalaire proto dans enclos. sd 478 à 497		



N° Photo	Description	Zone	Auteur
1098	vues générales du bâtiment ovalaire proto dans enclos. sd 478 à 497		
1099	vues générales du bâtiment ovalaire proto dans enclos. sd 478 à 497		
1100	vues générales du bâtiment ovalaire proto dans enclos. sd 478 à 497		
1101	vues générales du bâtiment ovalaire proto dans enclos. sd 478 à 497		
1102	vues générales du bâtiment ovalaire proto dans enclos. sd 478 à 497		
1103	vues générales du bâtiment ovalaire proto dans enclos. sd 478 à 497		
1104	sd 499, coupe sud et coupe nord		
1105	sd 499, coupe sud et coupe nord		
1106	sd 498		
1107	sd 498		
1108	sd 498		
1109	sd 501. Erreur numéro de fait sur ardoise		
1110	sd 501. Erreur numéro de fait sur ardoise		
1111	sd 501. Erreur numéro de fait sur ardoise		
1112	sd 501. Erreur numéro de fait sur ardoise		
1113	sd 501. Erreur numéro de fait sur ardoise		
1114	sd 503		
1115	sd 501, urne funéraire US 3		
1116	sd 501, urne funéraire US 3		
1117	sd 504		
1118	sd 504		
1119	sd 510, vue zénithale		
1120	sd 510, coupe O/E vue sud		
1121	sd 513		
1122	sd 513		
1123	sd 513		
1124	sd 506, coupe nord et coupe sud		
1125	sd 506, coupe nord et coupe sud		
1126	sd 506, coupe nord et coupe sud		
1127	sd 512, coupe nord ouest		
1128	sd 512, coupe nord ouest		
1129	sd 512, coupe nord ouest		
1130	sd 512, coupe nord ouest		
1131	sd 514		
1132	sd 514		
1133	sd 514		
1134	sd 514		
1135	sd 514		
1136	sd 514		
1137	sd 514		
1138	sd 515		
1139	sd 515		
1140	sd 515		
1141	sd 515		
1142	sd 519		
1143	sd 519		
1144	sd 527, coupe est		JCD
1145	sd 527, coupe est		JCD
1146	sd 538. erreur numéro sondage sur ardoise		

N° Photo	Description	Zone	Auteur
1147	sd 538. erreur numéro sondage sur ardoise		
1148	vue générale, sd 533 et sd 539, vue ouest		
1149	vue générale, sd 533 et sd 539, vue ouest		
1150	coupe E/O, vue nord		
1151	sd 533, coupe O/E		
1152	sd 540		
1153	sd 540		
1154	sd 540		
1155	sd 541		
1156	sd 541		
1157	sd 541		
1158	sd 541		
1159	sd 544		
1160	sd 544		
1161	sd 544		
1162	sd 545, coupe N/S, vue ouest		
1163	sd 546, coupe S/N, vue est		
1164	sd 546, coupe S/N, vue est		
1165	sd 546, coupe E/O, vue est		
1166	sd 547		
1167	sd 548 coupe ouest		
1168	vue générale		
1169	sd 555, coupe sud est		
1170	sd 555, coupe sud est		
1171	sd 555, coupe nord est		
1172	sd 555, coupe		
1173	sd 554		
1174	sd 554		
1175	sd 556		
1176	sd 557 coupe nord est		
1177	sd 558, coupe nord est		
1178	sd 561, coupe nord		
1179	sd 561, coupe nord		
1180	sd 562, coupe nord		
1181	vue depuis Sud		HLG
1182	vue depuis Sud		HLG
1183	vue depuis Sud		HLG
1184	vue depuis Sud		HLG
1185	sd 517		
1186	sd 517		
1187	sd 517		
1188	sd 517		
1189	sd 517		
1190	sd 517, coupe nord ouest		
1191	sd 517, coupe nord ouest		
1192	vue générale, vue ouest		SB
1193	vue générale, vue ouest		SB
1194	vue générale, vue ouest		SB
1195	vue générale, vue sud		SB
1196	vue générale, vue sud		SB
1197	vue générale, vue sud		SB
1198	coupe nord		
1199	coupe nord		

N° Photo	Description	Zone	Auteur
1200	coupe nord		
1201	sd 571 coupe nord ouest		
1202	sd 571 coupe nord ouest		
1203	sd 572		
1204	sd 572		
1205	sd 517		
1206	sd 517		
1207	sd 481, coupe ouest		
1208	sd 481, coupe ouest		
1209	sd 481, coupe ouest		
1210	sd 481, coupe ouest		
1211	sd 583 branche calcinée		
1212	sd 583 branche calcinée		
1213	sd 583 branche calcinée		
1214	sd 583 branche calcinée		
1215	sd 583 branche calcinée		
1216	sd 583 branche calcinée		
1217	vue depuis le Sud		
1218	vue depuis le Sud		
1219	vue depuis le Nord		
1220	vue depuis le Nord		
1221	vue depuis l'Ouest		
1222	sd 584, extrémité, vue depuis Sud		SB
1223	sd 517		
1224	sd 517		
1225	sd 517		
1226	sd 517		
1227	sd 517		
1228	sd 517		
1229	sd 517		
1230	sd 517		
1231	sd 583 coupe nord		
1232	sd 583 coupe nord		
1233	sd 583 coupe nord		
1234	sd 583 coupe nord		
1235	plan essai perche		
1236	plan essai perche		
1237	plan essai perche		
1238	plan essai perche		
1239	sd 586, coupe nord		
1240	sd 586, coupe nord		
1241	sd 586, coupe nord		
1242	sd 586, coupe nord		
1243	sd 587, coupe nord		
1244	sd 587, coupe nord		
1245	sd 590, coupe nord		
1246	sd 590, coupe nord		
1247	plan		
1248	plan		
1249	plan		
1250	plan		
1251	plan		
1252	plan		

N° Photo	Description	Zone	Auteur
1253	vue zénithale		SB
1254	coupe S/N, vue ouest		SB
1255	coupe S/N, vue ouest		SB
1256	plan		F Go
1257	plan		F Go
1258	coupe vers Sud		F Go
1259	coupe vers Sud		F Go
1260	plan		SB
1261	coupe O/E, vue sud		SB
1262	coupe O/E, vue sud		SB
1263	essais photo générale, vue depuis Sud		SB et AG
1264	essais photo générale, vue depuis Sud		SB et AG
1265	essais photo générale, vue depuis Sud		SB et AG
1266	essais photo générale, vue depuis Sud		SB et AG
1267	essais photo générale, vue depuis Sud		SB et AG
1268	essais photo générale, vue depuis Sud		SB et AG
1269	essais photo générale, vue depuis Sud		SB et AG
1270	essais photo générale, vue depuis Sud		SB et AG
1271			
1272			
1273			
1274	vue avant fouille		
1275	sd 682 coupe nord		
1276	sd 682 coupe nord		
1277	sd 682 coupe nord		
1278	sd 682 coupe nord		
1279	TP avec calage		
1280	sd 614, coupe est		
1281	sd 614, coupe est		
1282	sd 614, coupe est		
1283			
1284	début de fouille, plan et coupe		
1285	début de fouille, plan et coupe		
1286	début de fouille, plan et coupe		
1287	début de fouille, plan et coupe		
1288	début de fouille, plan et coupe		
1289	sd 615		
1290	sd 615		
1291	sd 615		
1292	sd 615		
1293	sd 615		
1294	sd 615		
1295	sd 615		
1296	sd 615		
1297	sd 615		
1298	sd 615		
1299	sd 617		JCD
1300	sd 617		JCD
1301	Ext O		
1302	Ext O		
1303	Ext O		
1304	Ext O		
1305	sd 616		KB

N° Photo	Description	Zone	Auteur
1306	sd 616		KB
1307	sd 618		JCD
1308	sd 618		JCD
1309	US 2 vue depuis Nord		SB
1310	US 2 depuis Nord		
1311	Ext O, US 5		
1312	Ext O, US 5		
1313	Ext O, US 5		
1314	sd 627, depuis le Nord		
1315	sd 627, depuis le Nord		
1316	sd 627, depuis l'Ouest		
1317	coupe et plan.		
1318	coupe et plan.		
1319	coupe et plan.		
1320	coupe et plan.		
1321	coupe et plan.		
1322	-vue générale depuis Ouest - vue sondage plus à l'Ouest depuis Nord - 2 vues sondage intermédiaire - vue sondage plus à l'est depuis Nord - vue générale depuis Est 2 vues générale depuis Ouest		SB et AG
1323	-vue générale depuis Ouest - vue sondage plus à l'Ouest depuis Nord - 2 vues sondage intermédiaire - vue sondage plus à l'est depuis Nord - vue générale depuis Est 2 vues générale depuis Ouest		SB et AG
1324	-vue générale depuis Ouest - vue sondage plus à l'Ouest depuis Nord - 2 vues sondage intermédiaire - vue sondage plus à l'est depuis Nord - vue générale depuis Est 2 vues générale depuis Ouest		SB et AG
1325	-vue générale depuis Ouest - vue sondage plus à l'Ouest depuis Nord - 2 vues sondage intermédiaire - vue sondage plus à l'est depuis Nord - vue générale depuis Est 2 vues générale depuis Ouest		SB et AG
1326	-vue générale depuis Ouest - vue sondage plus à l'Ouest depuis Nord - 2 vues sondage intermédiaire - vue sondage plus à l'est depuis Nord - vue générale depuis Est 2 vues générale depuis Ouest		SB et AG
1327	-vue générale depuis Ouest - vue sondage plus à l'Ouest depuis Nord - 2 vues sondage intermédiaire - vue sondage plus à l'est depuis Nord - vue générale depuis Est 2 vues générale depuis Ouest		SB et AG
1328	-vue générale depuis Ouest - vue sondage plus à l'Ouest depuis Nord - 2 vues sondage intermédiaire - vue sondage plus à l'est depuis Nord - vue générale depuis Est 2 vues générale depuis Ouest		SB et AG
1329	-vue générale depuis Ouest - vue sondage plus à l'Ouest depuis Nord - 2 vues sondage intermédiaire - vue sondage plus à l'est depuis Nord - vue générale depuis Est 2 vues générale depuis Ouest		SB et AG
1330	sd 632		

N° Photo	Description	Zone	Auteur
1331	sd 632		
1332	sd 632		
1333	sd 632		
1334	sd 633		
1335	coupes et détails de la souche		
1336	coupes et détails de la souche		
1337	coupes et détails de la souche		
1338	coupes et détails de la souche		
1339	coupes et détails de la souche		
1340	coupes et détails de la souche		
1341	coupes et détails de la souche		
1342	coupes et détails de la souche		
1343	coupes et détails de la souche		
1344	coupes et détails de la souche		
1345	coupes et détails de la souche		
1346	coupes et détails de la souche		
1347	coupes et détails de la souche		
1348	coupes et détails de la souche		
1349	B3 vue générale depuis Nord		SB AG
1350	B3 coupe E/W depuis Nord		SB AG
1351	B3 vue depuis Sud		SB AG
1352	B3 vue depuis Sud		SB AG
1353	B2 depuis Sud		SB AG
1354	B2 depuis Sud, détails parois		SB AG
1355	B2 depuis Sud, détails parois		SB AG
1356	B2 depuis Sud, détail buche en place		SB AG
1357	B2 depuis Sud, détail buche en place		SB AG
1358	B2 vue générale depuis Sud		SB AG
1359	B2 vue générale depuis Nord		SB AG
1360	B2 vue générale depuis Nord		SB AG
1361	B1 vue générale depuis Nord		SB AG
1362	B1 coupe E/W depuis Nord		SB AG
1363	B1 depuis Sud avec détail parois		SB AG
1364	B1 depuis Sud avec détail parois		SB AG
1365	B1 depuis Sud avec détail parois		SB AG
1366	Vue générale four depuis Ouest		SB AG
1367	Vue générale four depuis Est		SB AG
1368	Vue générale four depuis Est		SB AG
1369	B2 vue générale de la bûche après dégagement des pierres, depuis Nord et détails depuis NOrd et Ouest		SB AG
1370	B2 vue générale de la bûche après dégagement des pierres, depuis Nord et détails depuis NOrd et Ouest		SB AG
1371	B2 vue générale de la bûche après dégagement des pierres, depuis Nord et détails depuis NOrd et Ouest		SB AG
1372	B1 coupe S/N depuis Est		SB AG
1373	B2 coupe N/S depuis Ouest		SB AG
1374	B2 coupe S/N depuis Est		SB AG
1375	B3 coupe N/S depuis Ouest		SB AG
1376	sd 670, plan		
1377	sd 670, plan		
1378	sd 670, coupe E/W, vue vers le Sud, fossé avec fosse empierrée		

N° Photo	Description	Zone	Auteur
1379	sd 670, coupe E/W, vue vers le Sud, fossé avec fosse empierrée		
1380	vue en coupe		
1381	vue en coupe		
1382	vue en plan		
1383	fosse fouillée complètement		
1384	fosse fouillée complètement		
1385	depuis Est		
1386	depuis Est		
1387	vue en plan extrémité, vue depuis Nord		
1388	vue en plan extrémité, vue depuis Nord		
1389	vue en plan (fosse à l'extrémité)		
1390	vue en plan (fosse à l'extrémité)		
1391	sd 678		
1392	sd 678		
1393	sd 678		
1394	sd 678		
1395	fosse en coupe N/O		
1396	fosse en coupe N/O		
1397	sd 708. coupe NE		
1398	sd 708. coupe NE		
1399	sd 708. coupe NE		
1400	sd 708. coupe NE		
1401	extrémité ouest depuis Sud. Sd 712		SB
1402	sd 724, depuis Est		SB
1403	sd 724, depuis Est		SB
1404	sd 724, depuis Est		SB
1405	sd 724 depuis Sud		SB
1406	ambiance		
1407	sd 728 partie N/E		
1408	sd 728 partie O		
1409	sd 728 partie O		
1410	sd 728 partie O		
1411	sd 728 partie O		
1412	sd 728 partie O		
1413	sd 728 partie O		
1414	sd 737 coupe N/E		
1415	sd 737 coupe N/O		
1416	sd 738 coupe S/E		
1417	sd 738 coupe S/E		
1418	1465 sd 596 coupe ouest		Hervé
1419	1452 sd 597 coupe sud		Hervé
1420	1451 sd 598 coupe ouest		Hervé
1421	1443 sd 599 coupe ouest		Hervé
1422	1465 sd 604 coupe ouest		Hervé
1423	1465 sd 603 coupe est		Hervé
1424	1465 sd 603 coupe ouest		Hervé
1425	2109 sd 23		Hervé
1426	2109 sd 23		Hervé
1427	2110 sd 25		Hervé
1428	2110 sd 25 détail		Hervé
1429	2110 sd 25 détail		Hervé
1430	2265 sd 26 coupe nord		Hervé
1431	2265 sd 26 coupe nord		Hervé

N° Photo	Description	Zone	Auteur
1432	2265 sd 26 coupe nord		Hervé
1433	2069 sd 29 coupe ouest		Hervé
1434	2069 sd 29 coupe ouest		Hervé
1435	2069 sd 29 coupe ouest détail		Hervé
1436	2071 coupe nord-ouest		Hervé
1437	2071 coupe nord-ouest		Hervé
1438	2071 coupe nord-ouest détail		Hervé
1439	2003 sd 45 coupe est		Hervé
1440	2003 sd 45 coupe est		Hervé
1441	2003 sd 46 coupe sud-est		Hervé
1442	2003 sd 46 coupe sud-est		Hervé
1443	2003 sd 50 coupe sud-est		Hervé
1444	2003 sd 50 coupe sud-est		Hervé
1445	2003 sd 51 coupe sud-est		Hervé
1446	2003 sd 51 coupe sud-est		Hervé
1447	2003 sd 51 coupe sud-est		Hervé
1448	2003 sd 52 coupe sud-est		
1449	2003 sd 52 coupe sud-est		
1450	2003 sd 52 coupe sud-est		
1451	2001 sd 59 coupe nord		
1452	2001 sd 59 coupe nord		
1453	2001 sd 59 coupe nord		
1454	2001 sd 59 coupe nord		
1455	1074 sd 61 coupe ouest		
1456	1074 sd 61 coupe ouest		
1457	1074 sd 61 coupe ouest		
1458	1074 sd 61 coupe ouest		
1459	1074 sd 61 coupe ouest		
1460	836 sd 63 coupe sud		
1461	836 sd 63 coupe sud		
1462	836 sd 63 coupe sud		
1463	836 sd 63 coupe sud		
1464	836 sd 63 coupe sud		
1465	1371 coupe est		
1466	1371 coupe est		
1467	1371 coupe est		
1468	3131 sd 672 vue de l'est		
1469	3131 sd 672 vue de l'est		
1470	3131 sd 672 vue de l'est		
1471	3131 sd 672 vue de l'est		
1472	3131 sd 672 vue de l'est détail		
1473	3131 sd 672 vue de l'est		
1474	3131 sd 672 vue du sud-est		
1475	3131 sd 672 vue de l'est		
1476	3131 sd 672 vue de l'ouest		
1477	3131 sd 672 vue du sud		
1478	3131 sd 672 vue du sud		
1479	3131 sd 672 vue de l'est		
1480	3131 sd 672 vue de l'est		
1481	3131 sd 672 vue de l'est		
1482	3131 sd 617 vue de l'est		
1483	3131 vue générale des sondages du sud vers le nord		



### Chronologie

âge du Bronze  
âge du Fer (Tène  
ancienne à Tène finale)  
Antique (I<sup>er</sup> au III<sup>e</sup>  
siècle)  
haut Moyen Âge (VI<sup>e</sup>  
au IX<sup>e</sup> siècle)  
Moderne

### Sujet et thèmes

fossé, fosses, puisard,  
four, bâtiment, trou de  
poteau, foyer de forge,  
enclos, parcellaire,  
marre, grenier, étable  
ou bergerie

### Mobilier

céramique, métal,  
scorie, amphore, verre,  
terre cuite, plaque  
foyère, meule, char-  
bons de bois, céréales

### Ille-et-Vilaine, Cesson-Sévigné, LGV Le Mans/Rennes secteur 1 La Salmondière Occupation diachronique du Bronze final au haut Moyen Âge

Dans le cadre des travaux de la Ligne à Grand Vitesse Le Mans-Rennes une fouille archéologique a été conduite en 2012 sur la commune de Cesson-Sévigné, au lieu dit La Salmondière. Elle porte sur une superficie de 6 hectares et a permis la mise au jour d'occupations allant du Bronze final au haut Moyen Âge, avec des *hiatus*. En effet à l'habitat du Bronze final, composé de maisons ovalaires et de greniers sur poteaux, a suivi l'implantation d'une ferme indigène à partir de la fin du IV<sup>e</sup> siècle av. J.-C. jusqu'au III<sup>e</sup> siècle ap. notre ère. Le site sera de nouveau occupé à partir du VI<sup>e</sup> siècle jusqu'au IX<sup>e</sup> siècle.

L'occupation gauloise, dans sa phase la plus ancienne est composée d'un habitat peu enclos comportant des bâtiments de forme curviligne sur tranchées de fondations. A partir du III<sup>e</sup> siècle un enclos fossoyé principal est creusé auquel va s'ajouter d'autres enclos ou cours pouvant correspondre à des activités spécifiques dont l'accès se fait vers l'est par une double entrée monumentale. Le site est abandonné au début de la période augustéenne et remplacé par une ferme antique ne prenant pas en compte l'organisation précédente. Elle se caractérise par un grand enclos d'au moins 80 m de côté, de grands bâtiments allongés et une forge.

La période médiévale se compose de petites unités de parcellaire curviligne avec peut être un bâtiment sur 12 poteaux et un foyer de forge. A l'époque moderne du parcellaire et des vergers viennent modeler le paysage. Le site de l'âge du Fer a livré une structure particulière pouvant être liée au stockage de l'eau ainsi qu'une grande structure de combustion de plus de 4 m de longueur. Il faut ajouter un bel ensemble céramique de La Tène finale avec quelques fragments d'amphore qui montrent que cette ferme avait un certain statut social. La découverte de graines d'orge vêtue confirme que parmi ses différentes activités, elle pratiquait la culture des céréales. La forge antique, de part l'importance de ses rejets correspond à un atelier mixte, produisant pour le domaine mais également pour la demande locale. Ce qui confirme l'importance de la place de ce domaine dans le contexte local.



### Chronologie

âge du Bronze  
âge du Fer (Tène  
ancienne à Tène finale)  
Antique (I<sup>er</sup> au III<sup>e</sup>  
siècle)  
haut Moyen Âge (VI<sup>e</sup>  
au IX<sup>e</sup> siècle)  
Moderne

### Sujet et thèmes

fossé, fosses, puisard,  
four, bâtiment, trou de  
poteau, foyer de forge,  
enclos, parcellaire,  
marre, grenier, étable  
ou bergerie

### Mobilier

céramique, métal,  
scorie, amphore, verre,  
terre cuite, plaque  
foyère, meule, char-  
bons de bois, céréales

### Ille-et-Vilaine, Cesson-Sévigné, LGV Le Mans/Rennes secteur 1 La Salmondière Occupation diachronique du Bronze final au haut Moyen Âge

Dans le cadre des travaux de la Ligne à Grand Vitesse Le Mans-Rennes une fouille archéologique a été conduite en 2012 sur la commune de Cesson-Sévigné, au lieu dit La Salmondière. Elle porte sur une superficie de 6 hectares et a permis la mise au jour d'occupations allant du Bronze final au haut Moyen Âge, avec des *hiatus*. En effet à l'habitat du Bronze final, composé de maisons ovalaires et de greniers sur poteaux, a suivi l'implantation d'une ferme indigène à partir de la fin du IV<sup>e</sup> siècle av. J.-C. jusqu'au III<sup>e</sup> siècle ap. notre ère. Le site sera de nouveau occupé à partir du VI<sup>e</sup> siècle jusqu'au IX<sup>e</sup> siècle.

L'occupation gauloise, dans sa phase la plus ancienne est composée d'un habitat peu enclos comportant des bâtiments de forme curviligne sur tranchées de fondations. A partir du III<sup>e</sup> siècle un enclos fossoyé principal est creusé auquel va s'ajouter d'autres enclos ou cours pouvant correspondre à des activités spécifiques dont l'accès se fait vers l'est par une double entrée monumentale. Le site est abandonné au début de la période augustéenne et remplacé par une ferme antique ne prenant pas en compte l'organisation précédente. Elle se caractérise par un grand enclos d'au moins 80 m de côté, de grands bâtiments allongés et une forge.

La période médiévale se compose de petites unités de parcellaire curviligne avec peut être un bâtiment sur 12 poteaux et un foyer de forge. A l'époque moderne du parcellaire et des vergers viennent modeler le paysage. Le site de l'âge du Fer a livré une structure particulière pouvant être liée au stockage de l'eau ainsi qu'une grande structure de combustion de plus de 4 m de longueur. Il faut ajouter un bel ensemble céramique de La Tène finale avec quelques fragments d'amphore qui montrent que cette ferme avait un certain statut social. La découverte de graines d'orge vêtue confirme que parmi ses différentes activités, elle pratiquait la culture des céréales. La forge antique, de part l'importance de ses rejets correspond à un atelier mixte, produisant pour le domaine mais également pour la demande locale. Ce qui confirme l'importance de la place de ce domaine dans le contexte local.

N° Photo	Description	Zone	Auteur
1484	3131 vue générale des sondages du sud vers le nord		
1485	3131 sd 617 vue de l'est		
1486	3131 sd 617 vue de l'est		
1487	3131 sd 617 vue de l'est		
1488	525 sd 758 coupe sud		
1489	525 sd 758 coupe sud		Sandrine
1490	525 sd 758 coupe sud		Sandrine
1491	525 sd 758 coupe sud		Sandrine
1492	525 sd 758 coupe sud		Sandrine
1493	525 sd 758 coupe sud		Sandrine
1494	525 sd 758 coupe sud		Sandrine
1495	521 coupe sud-est		sandrine
1496	521 coupe sud-est		
1497	521 coupe sud-est		
1498	521 coupe sud-est		
1499	521 coupe sud-est		
1500	521 coupe sud-est		
1501	521 coupe sud-est		
1502	522 coupe nord-est		
1503	522 coupe nord-est		
1504	522 coupe nord-est		
1505	522 coupe nord-est		
1506	522 coupe nord-est		
1507	522 coupe nord-est		
1508	526 coupe ouest		
1509	526 coupe ouest		
1510	526 coupe ouest		
1511	526 coupe ouest		
1512	526 coupe ouest		
1513	526 coupe ouest		
1514	1163 sd 262 coupe sud		
1515	1163 sd 262 coupe sud		
1516	1163 sd 263 coupe sud		
1517	1163 sd 264 coupe sud-ouest		
1518	1163 sd 264 coupe sud-ouest		
1519	1163 sd 264 coupe sud-ouest		
1520	1163 sd 265 coupe sud-ouest		
1521	1163 sd 265 coupe sud-ouest		
1522	1163 sd 266 coupe sud-ouest		
1523	1163 sd 267 coupe nord-est		
1524	969 sd 269 coupe sud		
1525	969 sd 269 coupe sud		
1526	1133 inter 1134 sd 270 coupe nord-est		
1527	1133 inter 1134 sd 270 coupe nord-ouest		
1528	841 sd 272 coupe sud		
1530	2046 sd 275 coupe est		
1531	2046 sd 275 coupe est		
1532	2046 sd 275 coupe est		
1533	2046 sd 275 coupe est		
1534	2046 sd 275 coupe est, détail		
1535	ambiance		
1536	ambiance		





### Chronologie

âge du Bronze  
âge du Fer (Tène  
ancienne à Tène finale)  
Antique (I<sup>er</sup> au III<sup>e</sup>  
siècle)  
haut Moyen Âge (VI<sup>e</sup>  
au IX<sup>e</sup> siècle)  
Moderne

### Sujet et thèmes

fossé, fosses, puisard,  
four, bâtiment, trou de  
poteau, foyer de forge,  
enclos, parcellaire,  
marre, grenier, étable  
ou bergerie

### Mobilier

céramique, métal,  
scorie, amphore, verre,  
terre cuite, plaque  
foyère, meule, char-  
bons de bois, céréales

### Ille-et-Vilaine, Cesson-Sévigné, LGV Le Mans/Rennes secteur 1 La Salmondière Occupation diachronique du Bronze final au haut Moyen Âge

Dans le cadre des travaux de la Ligne à Grand Vitesse Le Mans-Rennes une fouille archéologique a été conduite en 2012 sur la commune de Cesson-Sévigné, au lieu dit La Salmondière. Elle porte sur une superficie de 6 hectares et a permis la mise au jour d'occupations allant du Bronze final au haut Moyen Âge, avec des *hiatus*. En effet à l'habitat du Bronze final, composé de maisons ovalaires et de greniers sur poteaux, a suivi l'implantation d'une ferme indigène à partir de la fin du IV<sup>e</sup> siècle av. J.-C. jusqu'au III<sup>e</sup> siècle ap. notre ère. Le site sera de nouveau occupé à partir du VI<sup>e</sup> siècle jusqu'au IX<sup>e</sup> siècle.

L'occupation gauloise, dans sa phase la plus ancienne est composée d'un habitat peu enclos comportant des bâtiments de forme curviligne sur tranchées de fondations. A partir du III<sup>e</sup> siècle un enclos fossoyé principal est creusé auquel va s'ajouter d'autres enclos ou cours pouvant correspondre à des activités spécifiques dont l'accès se fait vers l'est par une double entrée monumentale. Le site est abandonné au début de la période augustéenne et remplacé par une ferme antique ne prenant pas en compte l'organisation précédente. Elle se caractérise par un grand enclos d'au moins 80 m de côté, de grands bâtiments allongés et une forge.

La période médiévale se compose de petites unités de parcellaire curviligne avec peut être un bâtiment sur 12 poteaux et un foyer de forge. A l'époque moderne du parcellaire et des vergers viennent modeler le paysage. Le site de l'âge du Fer a livré une structure particulière pouvant être liée au stockage de l'eau ainsi qu'une grande structure de combustion de plus de 4 m de longueur. Il faut ajouter un bel ensemble céramique de La Tène finale avec quelques fragments d'amphore qui montrent que cette ferme avait un certain statut social. La découverte de graines d'orge vêtue confirme que parmi ses différentes activités, elle pratiquait la culture des céréales. La forge antique, de part l'importance de ses rejets correspond à un atelier mixte, produisant pour le domaine mais également pour la demande locale. Ce qui confirme l'importance de la place de ce domaine dans le contexte local.







### **Chronologie**

âge du Bronze  
âge du Fer (Tène  
ancienne à Tène finale)  
Antique (I<sup>er</sup> au III<sup>e</sup>  
siècle)  
haut Moyen Âge (VI<sup>e</sup>  
au IX<sup>e</sup> siècle)  
Moderne

### **Sujet et thèmes**

fossé, fosses, puisard,  
four, bâtiment, trou de  
poteau, foyer de forge,  
enclos, parcellaire,  
marre, grenier, étable  
ou bergerie

### **Mobilier**

céramique, métal,  
scorie, amphore, verre,  
terre cuite, plaque  
foyère, meule, char-  
bons de bois, céréales

### **Ille-et-Vilaine, Cesson-Sévigné, LGV Le Mans/Rennes secteur 1 La Salmondière Occupation diachronique du Bronze final au haut Moyen Âge**

Dans le cadre des travaux de la Ligne à Grand Vitesse Le Mans-Rennes une fouille archéologique a été conduite en 2012 sur la commune de Cesson-Sévigné, au lieu dit La Salmondière. Elle porte sur une superficie de 6 hectares et a permis la mise au jour d'occupations allant du Bronze final au haut Moyen Âge, avec des *hiatus*. En effet à l'habitat du Bronze final, composé de maisons ovalaires et de greniers sur poteaux, a suivi l'implantation d'une ferme indigène à partir de la fin du IV<sup>e</sup> siècle av. J.-C. jusqu'au III<sup>e</sup> siècle ap. notre ère. Le site sera de nouveau occupé à partir du VI<sup>e</sup> siècle jusqu'au IX<sup>e</sup> siècle.

L'occupation gauloise, dans sa phase la plus ancienne est composée d'un habitat peu enclos comportant des bâtiments de forme curviligne sur tranchées de fondations. A partir du III<sup>e</sup> siècle un enclos fossoyé principal est creusé auquel va s'ajouter d'autres enclos ou cours pouvant correspondre à des activités spécifiques dont l'accès se fait vers l'est par une double entrée monumentale. Le site est abandonné au début de la période augustéenne et remplacé par une ferme antique ne prenant pas en compte l'organisation précédente. Elle se caractérise par un grand enclos d'au moins 80 m de côté, de grands bâtiments allongés et une forge.

La période médiévale se compose de petites unités de parcellaire curviligne avec peut être un bâtiment sur 12 poteaux et un foyer de forge. A l'époque moderne du parcellaire et des vergers viennent modeler le paysage. Le site de l'âge du Fer a livré une structure particulière pouvant être liée au stockage de l'eau ainsi qu'une grande structure de combustion de plus de 4 m de longueur. Il faut ajouter un bel ensemble céramique de La Tène finale avec quelques fragments d'amphore qui montrent que cette ferme avait un certain statut social. La découverte de graines d'orge vêtue confirme que parmi ses différentes activités, elle pratiquait la culture des céréales. La forge antique, de part l'importance de ses rejets correspond à un atelier mixte, produisant pour le domaine mais également pour la demande locale. Ce qui confirme l'importance de la place de ce domaine dans le contexte local.

N° Photo	Description	Zone	Auteur
1537	1141 coupe ouest		
1538	1141 vue en plan		
1539	1141 vue en plan		
1540	2868 sd 275 coupe nord-est		
1541	2868 sd 275 coupe nord-est		
1542	1144 sd 268 vue générale		
1543	1144 sd 268 vue générale		
1544	1144 sd 268 coupe est		
1545	1144 sd 268 coupe sud		
1546	1144 sd 268 coupe nord-est		
1547	1144 sd 268 coupe nord-ouest		
1548	1128 vue en plan avec calage		
1549	1128 coupe sud-est		
1550			
1551			
1552	2882 sd 277 coupe sud-est		
1553	2882 sd 278 coupe sud-est		
1554	2882 sd 278 coupe sud-est		
1555	1128 vue en plan sans calage		
1556	1128 coupe sud-est		
1557	716 coupe nord		
1558	716 vue en plan		
1559	1118 vue en plan		
1560	1156 sd 279 coupe sud-est		
1561	1152 sd 280 coupe sud-est		
1562	1152 sd 281 coupe sud-est		
1563	1162 sd 282 coupe sud-est		
1564	1162 sd 283 coupe sud-ouest		
1565	1163 sd 284 coupe nord		
1566	1107 extrémité sud		
1567	1107 coupe ouest		
1568	1107 coupe ouest		
1569	862 sd 285 coupe nord		
1570	862 sd 286 coupe sud-ouest		
1571	862 sd 286 coupe nord-est		
1572	1107 sd 287 vue en plan		
1573	1107 sd 287 coupe ouest		
1574	1107 sd 287 coupe nord		
1575	1107 sd 287 vue en plan		
1576	1107 sd 287 coupe ouest		
1577	1146 coupe nord-est		
1578	1116 coupe sud-est		
1579	1116 vue en plan		
1580	861 et 862 sd 289 coupe nord		
1581	861 et 862 sd 289 coupe nord		
1582	968 vue en plan		
1583	968 vue en plan		
1584	1095 vue en plan		
1585	1095 coupe ouest		
1586	UA7 en plan		
1587	UA7 en plan		
1588	1132 et 133 sd 302 vue générale		
1589	1132 et 133 sd 302 coupe est		

---

N° Photo	Description	Zone	Auteur
1590	1132 et 133 sd 302 coupe est		
1591	1132 et 133 sd 302 coupe sud		
1592	1132 et 133 sd 302 coupe nord-ouest		
1593	1132 et 133 sd 302 coupe nord-ouest		
1594	1132 et 133 sd 302 coupe nord-est		
1595	655 vue en plan		
1596	655 vue en plan		
1597	1095 et 1096 vue générale		
1598	1095 et 1096 vue générale		
1599	1078 vue en plan		
1600	1078 coupe nord		
1601	1080 vue en plan		
1602	1080 coupe ouest		